

Nouveaux produits pour les utilisateurs d'outils coupants

NEW

MonsterMill – Fraises hémisphériques



NCR

→ Page 39

Notre spécialiste pour le fraisage 3D et le copiage dans des alliages à base nickel.

NEW

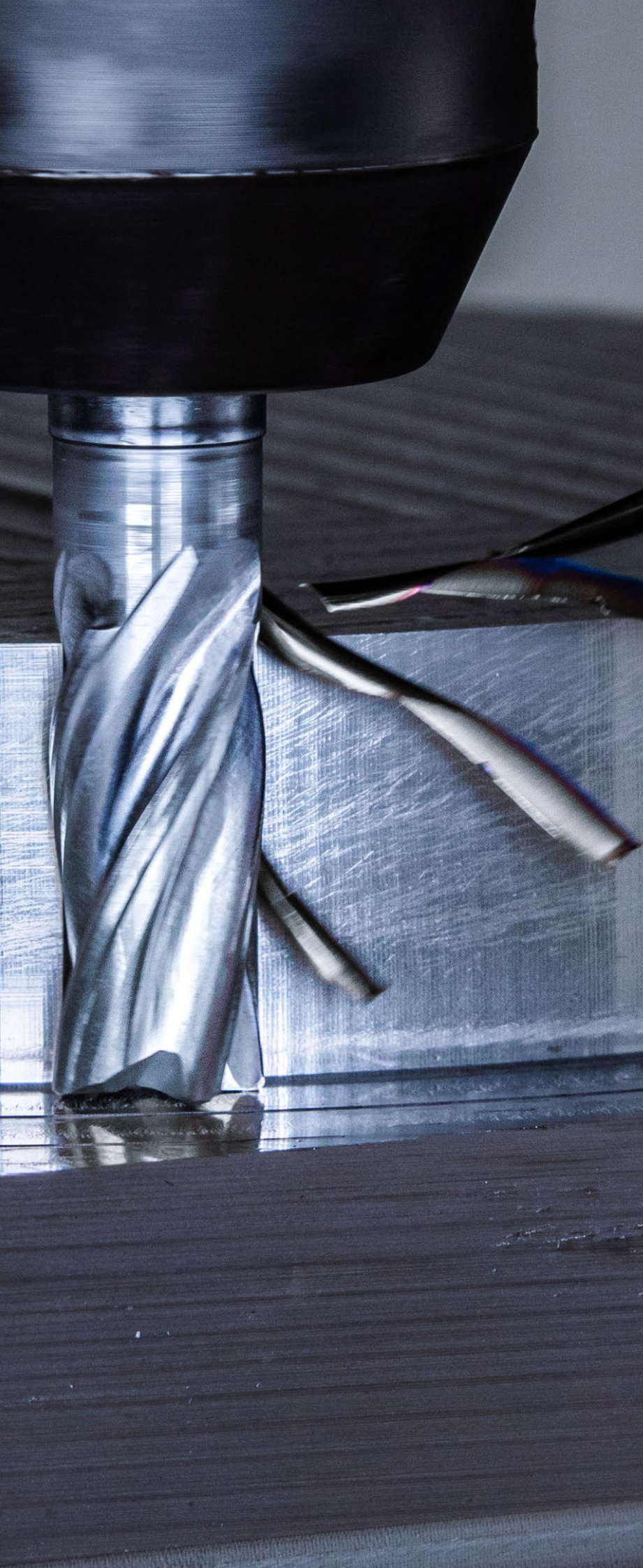
HPC-UNI Fraises deux tailles 3xDC



N

→ Page 242

Nouveaux produits dans notre gamme d'outils standards.



Percage et alésage

1 Forets HSS

2 Forets en carbure monobloc

3 Forets à plaquettes amovibles

4 Alésage et lamage

5 Têtes d'alésage modulaires

6 Tarauds

Filetage

7 Fraises à fileter et à gorges

8 Outils de filetage / tournage

9 Outils de tournage

10 Outils multifonctions
EcoCut et FreeTurn

11 Outils de tronçonnage et gorges

12 Outils UltraMini et MiniCut

Tournage

13 Fraises HSS

14 Fraises en carbure monobloc

14

15 Fraises à plaquettes amovibles

Fraisage

16 Attachements et accessoires

17 Serrage de pièces

18 Exemples de matières
et index alpha-numérique

Table des matières

Légende	4
Toolfinder pour fraises à hautes performances	5–9
Vue d'ensemble du programme	10–18
Gamme d'outils	19–320
Informations techniques	
Vue d'ensemble des fraises pour matières plastiques ou renforcées par fibre	309
Conditions de coupe	321–485
Choix des avances	486
Fraisage trochoïdal	487
Instructions générales	488–496
Description des types d'outils	497
Revêtements	498

WNT \ Performance

Des outils de qualité Premium pour de plus hautes performances.

Les outils Premium de la ligne de produits **WNT Performance** ont été conçus pour répondre aux exigences les plus élevées. Nous vous recommandons ce label Premium pour augmenter votre productivité.

WNT \ Standard

Des outils de qualité pour les applications standard.

La gamme de produits **WNT Standard** correspond aux outils de dernière génération pour les applications standard.

Légende

Queue

	Exécution de la queue
	Construction: extra courte / courte / mi longue / longue / extra longue
	Lubrification axiale
	Lubrification radiale

Exécution en bout

	Vive
	Chanfreinée (CHW = Valeur du chanfrein en mm)
	Rayon en bout
	Rayon complet

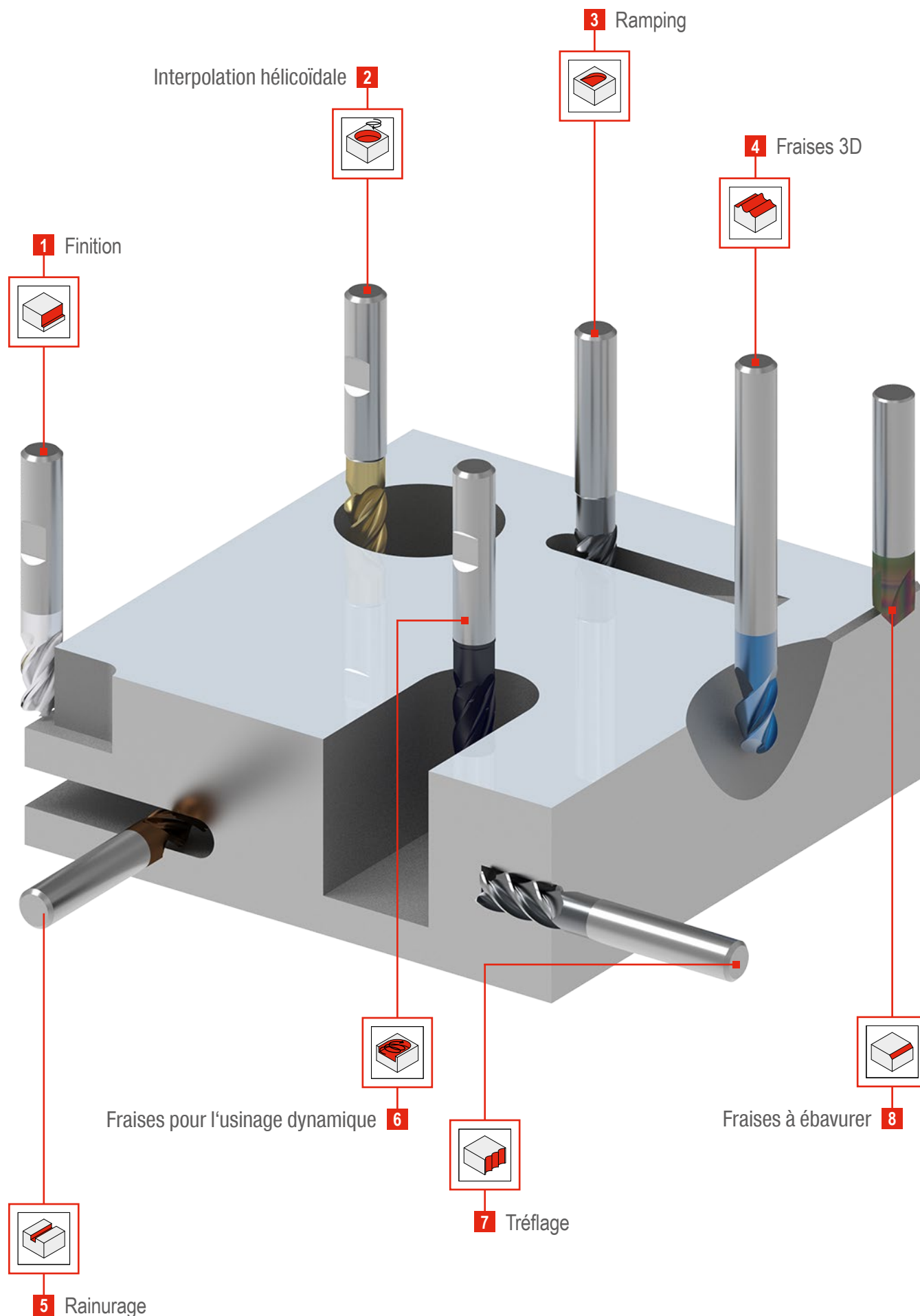


Caractéristiques et applications

HPC	Fraises à gros volume de copeaux
HFC	Fraise à grande avance
54–70 HRC	Pour les matières trempées
	Type d'application
	Les flèches rouges indiquent les directions d'avance possibles
$\lambda_s = 48^\circ$ $\gamma_s = 10^\circ$	Géométrie λ_s = Angle d'hélice γ_s = Angle de coupe
λ_s var.	Angle d'hélice variable

ZEPF = Nombre de dents
 ● = Application principale
 ○ = Utilisation possible

Toolfinder pour fraises à hautes performances



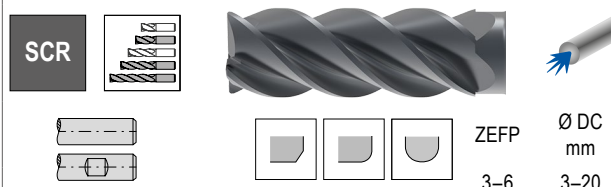
Toolfinder pour fraises à hautes performances – MonsterMill

		1 Finition	2 Interpolation hélicoïdale	3 Ramping	4 Fraises 3D	
P	Acières	MonsterMill – SCR MonsterMill – PCR	MonsterMill – PCR MonsterMill – SCR MonsterMill – MCR	MonsterMill – PCR MonsterMill – SCR MonsterMill – MCR	MonsterMill – SCR	
M	Acières inoxydables	MonsterMill – ICR	MonsterMill – ICR	MonsterMill – ICR	MonsterMill – TCR	
K	Fontes	MonsterMill – SCR MonsterMill – PCR	MonsterMill – PCR MonsterMill – SCR MonsterMill – MCR	MonsterMill – PCR MonsterMill – SCR MonsterMill – MCR	MonsterMill – SCR	
N	Métaux non ferreux	MonsterMill – PCR	MonsterMill – PCR	MonsterMill – PCR		
S	Alliages résistants aux hautes températures	MonsterMill – NCR MonsterMill – TCR MonsterMill – ICR	MonsterMill – NCR MonsterMill – TCR MonsterMill – ICR	MonsterMill – NCR MonsterMill – TCR MonsterMill – ICR	MonsterMill – TCR MonsterMill – NCR	
H	Matières trempées	< 55 HRC > 55 HRC	MonsterMill – HCR			MonsterMill – HCR
O	Matériaux non métalliques	MonsterMill – FRP / FRP CR	MonsterMill – FRP / FRP CR	MonsterMill – FRP / FRP CR		

MonsterMill – SCR

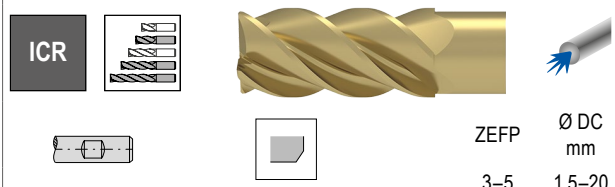
→ Page 19–26

Les spécialistes pour l'usinage des aciers et des fontes

**MonsterMill – ICR**

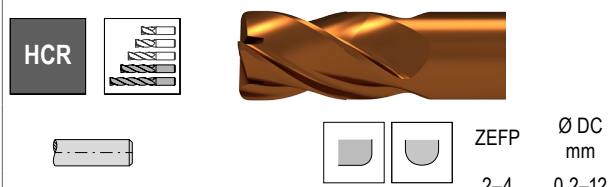
→ Page 27+28

Les spécialistes pour l'usinage des aciers inoxydables

**MonsterMill – HCR**

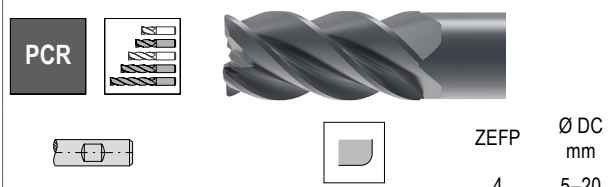
→ Page 40–45

Les spécialistes pour la finition des aciers trempés jusqu'à 70 HRC

**MonsterMill – PCR**

→ Page 46–50

Les spécialistes pour les travaux en plongée, le ramping et l'interpolation hélicoïdale

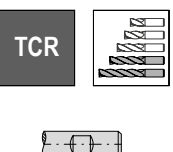


5 Rainurage	6 Fraise pour l'usinage dynamique	7 Tréflage	8 Ebavurage
			
MonsterMill – PCR MonsterMill – SCR MonsterMill – MCR	MonsterMill – PCR	MonsterMill – PCR	
MonsterMill – ICR			
MonsterMill – PCR MonsterMill – SCR MonsterMill – MCR	MonsterMill – PCR	MonsterMill – PCR	
MonsterMill – PCR	MonsterMill – PCR	MonsterMill – PCR	
MonsterMill – NCR MonsterMill – TCR MonsterMill – ICR			
MonsterMill – FRP / FRP CR			

MonsterMill – TCR

→ Page 29–33

Les spécialistes pour l'usinage des titanes et alliages de titane

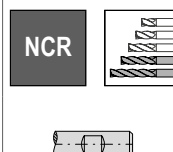


ZEFP Ø DC mm
2–5 2–20

MonsterMill – NCR

→ Page 34–39

Les spécialistes pour l'usinage des alliages base Nickel

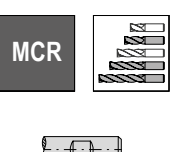


ZEFP Ø DC mm
4–5 2–20

MonsterMill – MCR

→ Page 51

Les spécialistes pour l'usinage ébauche des aciers et des fontes

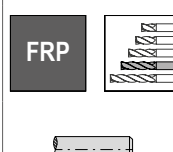


ZEFP Ø DC mm
3–4 1–20

MonsterMill – FRP / FRP CR

→ Page 52–56

Spécialiste de l'usinage des composites



ZEFP Ø DC mm
1–8 6–12,7

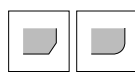
Toolfinder pour fraises à hautes performances

		1 Finition	2 Interpolation hélicoïdale	3 Ramping	4 Fraises 3D	
P	Acières	SilverLine S-Cut Micro-fraises MultiLock / MultiChange	MultiLock / MultiChange		3D Finish SilverLine Micro-fraises MultiLock / MultiChange	
M	Aciers inoxydables	SilverLine S-Cut Micro-fraises			3D Finish SilverLine Micro-fraises	
K	Fontes	SilverLine S-Cut Micro-fraises MultiLock / MultiChange	MultiLock / MultiChange	MultiLock / MultiChange	3D Finish SilverLine Micro-fraises MultiLock / MultiChange	
N	Métaux non ferreux	AluLine Fraises PCD Micro-fraises MultiChange	AluLine Fraises PCD MultiChange	AluLine Fraises PCD MultiChange	3D Finish AluLine Fraises PCD Micro-fraises MultiChange	
S	Alliages résistants aux hautes températures	Micro-fraises MultiLock	MultiLock	MultiLock	3D Finish Micro-fraises MultiLock	
H	Matières trempées	BlueLine Micro-fraises	BlueLine	BlueLine	BlueLine Micro-fraises	
O	Matériaux non métalliques	Fraises PCD Micro-fraises	Fraises PCD	Fraises PCD	3D Finish Fraises PCD Micro-fraises	

CircularLine

→ Page 57–76

Les spécialistes pour l'usinage dynamique



ZEFP

Ø DC mm

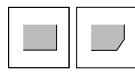
4–6

6–20

S-Cut

→ Page 151–155

Les fraises polyvalentes pour une coupe douce et faiblement énergivore



ZEFP

Ø DC mm

4–5

3–25

MultiLock

→ Page 193–196

Le système durable à têtes interchangeables



ZEFP

Ø DC mm

4–6

12–25

AluLine

→ Page 77–115

Les spécialistes pour l'usinage des métaux non ferreux



ZEFP

2–6

Ø DC mm

2–25

3D Finish

→ Page 156–160

Les spécialistes pour la finition 3D



ZEFP

Ø DC mm

2–4

4–16

MultiChange

→ Page 197–202

Le système à têtes interchangeables pour les exigences les plus élevées et les applications les plus diverses



ZEFP

3–6

Ø DC mm

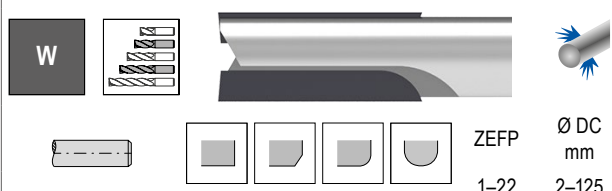
8–20

5 Rainurage	6 Fraises pour l'usinage dynamique	7 Tréflage	8 Ebavurage
			
S-Cut SilverLine Micro-fraises MultiLock / MultiChange	CircularLine		SilverLine MultiLock MultiChange
S-Cut SilverLine Micro-fraises	CircularLine		SilverLine
S-Cut SilverLine Micro-fraises MultiLock / MultiChange	CircularLine		SilverLine MultiLock MultiChange
AluLine Fraises PCD Micro-fraises MultiChange	CircularLine	Fraises PCD	AluLine MultiChange
Micro-fraises MultiLock	CircularLine		SilverLine
BlueLine Micro-fraises	CircularLine		BlueLine
	CircularLine		BlueLine
Fraises PCD Micro-fraises		Fraises PCD	AluLine

Fraises PCD

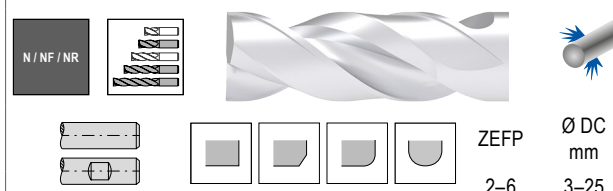
→ Page 116–128

Les outils aux paramètres de coupe et aux durées de vie les plus élevés pour l'usinage des métaux non ferreux et des plastiques

**SilverLine**

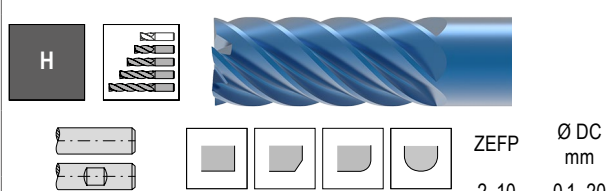
→ Page 129–150

Les fraises polyvalentes pour une utilisation universelle

**BlueLine**

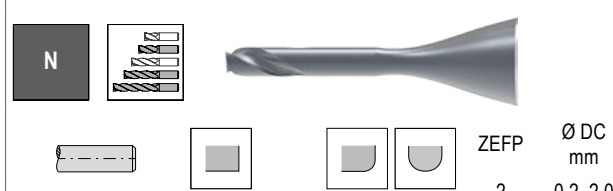
→ Page 161–185

Les fraises polyvalentes pour l'usinage des aciers trempés

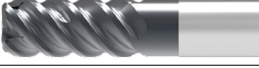
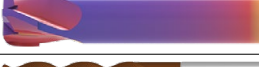
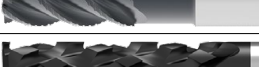
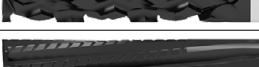
**Micro-fraises**

→ Page 186–192

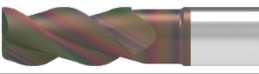
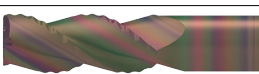
Les fraises universelles pour le micro-usinage



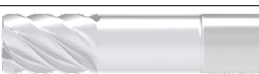
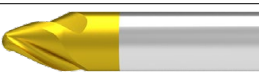
Vue d'ensemble des fraises à hautes performances

Type d'outil	ZEFP	Nombre de dents	Diamètre en mm	Aciers	Aciers inoxydables	Fontes	Métaux non ferreux	Superalliages	Matières trempées	Matières métalliques	Vive	Chamfrinée	Rayon bout	Rayon complet	Version	Conception des outils	Rafraîchissement	WNT \ Performance
	Ø DC			P	M	K	N	S	H	O							Revêtu	Non revêtu
MonsterMill																		
	SCR	4-6	3-20	●	○	●	○	○	○	○								19-24
	SCR	3-4	3-16	●	○	●	○	○	○	○								25
	SCR	4	3-16	●	○	●	○	○	○	○								26
	ICR	3-5	1,5-20	○	●	○	○	●	○	○								27+28
	TCR	4-5	4-20	○	○	○	○	●	○	○								29-31
	TCR	4	2-16	○	○	○	○	●	○	○								32
	TCR	2-5	2-16	○	○	○	○	●	○	○								33
	NCR	4-5	4-20	○	○	○	○	●	○	○								34-38
	NCR	4	2-16	○	○	○	○	●	○	○								39
	HCR	2-4	0,2-12	○	○	○	○	●	○	○								40-42
	HCR	2-4	0,2-12	○	○	○	○	●	○	○								43-45
	PCR UNI	4	5-20	●	○	●	○	○	○	○								46-48
	PCR ALU	4	5-20	○	○	○	○	●	○	○								49+50
	MCR	3-4	1-20	●	○	●	○	○	○	○								51
	FRP CR		6,0-12,7	●	○	○	○	○	○	○								52+53
	FRP	8	6,0-12,7	●	○	○	○	○	○	○								54-56
CircularLine																		
	CCR UNI	5-6	6-20	●	○	●	○	○	○	○								57-66
	CCR VA	5-6	6-20	○	●	○	●	○	○	○								67+68
	CCR AL	4	6-20	○	○	○	●	○	○	○								69-74
	CCR Ti	5	6-20	○	○	○	●	○	○	○								75
	CCR H	6	6-20	○	○	○	●	○	○	○								76

Vue d'ensemble des fraises à hautes performances

Type d'outil	ZEFP	Nombre de dents	Diamètre en mm	Aciérs	Aciérs inoxydables	Fontes	Métaux non ferreux	Superalloys	Matières trempées	Matières métalliques	Vive	Chamfrinée	Rayon bout	Rayon complet	Version	Conception des outils	Rafraîchissement	WNT \ Performance
	Ø DC	P M K N S H O															Revêtu	Non revêtu
AluLine																		
	W	2	2-20	●													 	77-82
	W	3	2-20	●													 	83-90
	W	3	2-20	●												HPC	 	91-97
	W	3	6-20	●													 	98-100
	W	4	2-25	●													 	101-106
	WF	3	3-20	●														107
	WR	3	6-20	●												HPC	 	108+109
	W	6	6-20	●												HPC	 	110
	W	2	3-20	●													 	111-113
	W	4	4-16	●													 	114+115
Fraises PCD																		
	W	1-4	2-20	●													 	116-118
	W	1-2	2-20	●													 	119
	W	1-2	2-20	●													 	120+121
	W	4-10	10-32	●												HPC	 	122
	W	3	16-25	●													 	123
	W	2-3	10-25	●													 	124
	W	2-6	10-32	●													 	125
	W	4-10	10-32	●												HPC	 	126
	W	2-3	10-16	●													 	127
	W	10-22	40-125	●													 	128

Vue d'ensemble des fraises à hautes performances

Type d'outil	ZEFP	Nombre de dents	Diamètre en mm	Aciérs	Aciérs inoxydables	Fontes	Métaux non ferreux	Superalliages	Matières trempées	Matières métalliques	Vive	Chamfrinée	Rayon bout	Rayon complet	Version	Conception des outils	Refroidissement	WNT \ Performance
	Ø DC			P	M	K	N	S	H	O							Revêtu	Non revêtu
SilverLine																		
	N	2	3-20	●	●	●	○	●								HPC		129+130
	N	3	3-20	●	●	●	○	●							HPC		131-133	
	N	4	3-20	●	●	●	○	●								HPC		134-136
	N	4	6-20	●	●	●	○	●								HPC		137
	N	4-5	3-20	●	●	●	○	●								HPC		138-142
	NF	4	3-20	●	●	●	○	●								HPC		143
	NR	4	3-20	●	●	●	○	●								HPC		144
	N	6	6-25	●	●	○	○	●										145
	N	2	3-20	●	●	●	○	○	○									146
	N	4	4-20	●	○	●	○	○	○									147
	N	4	6-20	●	○	●	○	○	○							HPC		148
	N	5	4-16	●	●	●	●	●	●									149+150
S-Cut																		
	SC UNI	4	3-25	●	●	●	○	○	○	○						HPC		151-153
	SC UNI	5	6-20	●	●	●	○									HPC		154
	SC NR	4	3-20	●	●	●	○	○	○	○						HPC		155
3D Finish																		
	N	4	10	●	●	●	●	●	●	●								156
	N	3-4	6-16	●	●	●	●	●	●	●								157
	N	3	6-16	●	●	●	●	●	●	●								158
	N	2	10	●	●	●	●	●	●	●								159
	N	3	4-12	●	●	●	●	●	●	●								160

Vue d'ensemble des fraises à hautes performances

Type d'outil	ZEFP	Nombre de dents	Diamètre en mm	Aciérs	Aciérs inoxydables	Fontes	Métaux non ferreux	Superalloys	Matières trempées	Matières métalliques	Vive	Chanfreinée	Rayon en bout	Rayon complet	Version	Conception des outils	Refroidissement	WNT \ Performance
	Ø DC	P M K N S H O															Revêtu	Non revêtu
BlueLine																		
	H	2	0,2-3	●					●									161-163
	H	2	0,2-3	●					●									164-166
	H	2	0,4-3	●					●									167-169
	H	2	0,5-20	●					●									170
	H	4-6	1-20	●					●									171-173
	H	4-10	2-20	●					●									174+175
	H	2	0,1-20	○					●									176-179
	H	3	3-12	●					●									180
	H	4	2-20	○					●									181
	H	2	0,5-16	○					●									182-184
	H	5-8	4-16	●					●									185
Micro-fraises																		
	N	2	0,2-2	●	●	●	●	●	●	○ ○								186+187
	N	2	0,2-2	●	●	●	●	●	●	○ ○								188-190
	N	2	0,5-2	●	●	●	●	●	●	○ ○								191+192

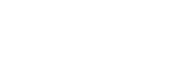
Vue d'ensemble des fraises à hautes performances

Type d'outil	ZEFP	Nombre de dents	Diamètre en mm	Aciers	Aciers inoxydables	Fontes	Métaux non ferreux	Superalliages	Matières trempées	Matières non métalliques	Vive	Chamfrinée	Rayon en bout	Rayon complet	Version	Conception des outils	Refroidissement	WNT \ Performance
	Ø DC			P	M	K	N	S	H	O							Revêtu	Non revêtu
MultiLock – Système à têtes interchangeables																		
	N	4	12-25	●	○	●	○	●										193
	N	4-6	12-25	●	○	●	○	●										193
	N	5-6	12-25	●	○	●	○	●										194
	N	4	12-16	●	○	●	○											194
MultiLock – Attachements et adaptateurs																		195+196
MultiChange – Système à têtes interchangeables																		
	PCR	4	10-20	●	○	●	●											198
	W	3	10-20	●	○	●	●											198
	N	3-4	8-20	●	○	●												199
	N	4-6	8-20	●	○	●	●											199
	N	6	8-20	●	○	●												200
	N	4	10-20	●	○	●	●											200
	N	4	8-20	●	○	●	●											200
	N	6	8-20	●	○	●												201
	N	4	8-20	●	○	●	●											201
	N	4-6	10-20	●	○	●	●											202

Vue d'ensemble des fraises

Type d'outil	ZEFP	Nombre de dents	Diamètre en mm	Aciérs	Aciérs inoxydables	Fontes	Métaux non ferreux	Superallogies	Matières trempées	Matières métalliques	Vive	Chamfrinée	Rayon bout	Rayon complet	Version	Conception des outils	Refroidissement	WNT \ Standard
	Ø DC	P M K N S H O																
Fraises à denture lisse																		
	W	2	0,2-6,0	●													<input type="checkbox"/> Revêtu	203+204
	W	2	2,7-25	●												HPC	<input type="checkbox"/> Non revêtu	205-211
	W	3	3-25	●												HPC	<input type="checkbox"/> Non revêtu	212-214
	W	4	6-20	●												HPC	<input type="checkbox"/> Non revêtu	215+216
	W	5-7	6-20	●												HPC	<input type="checkbox"/> Non revêtu	217
	N	2	0,2-20	●	○	●	○	○	○	○							<input type="checkbox"/> Revêtu	218-225
	N	3	3-20	○	●	○	●	○	○	○							<input type="checkbox"/> Non revêtu	226
	N	3	0,5-20	●	●	●	●	●	○	●							<input type="checkbox"/> Revêtu	227-233
	N	4	1,5-25	●	○	●	○	○	○	○						HPC	<input type="checkbox"/> Revêtu	234-237
	N	4	2-12	○	●	○	●	●	●	●						HPC	<input type="checkbox"/> Non revêtu	238
	N	4	3-20	●	○	●	○	○	○	○							<input type="checkbox"/> Revêtu	239
	N	4	3-20	●	●	●	○	●	●	●						HPC	<input type="checkbox"/> Non revêtu	240-245
	N	6-8	4-32	●	●	●	●	●	●	●							<input type="checkbox"/> Revêtu	246-249
	N	8-16	6-20	○	●	○	●	●	●	●							<input type="checkbox"/> Revêtu	250
	H	4	4-20	●													<input type="checkbox"/> Revêtu	251
	H	6-8	4-25	●	●	○	●	●	●	●							<input type="checkbox"/> Revêtu	252+253
Fraises à denture ébauche-finition																		
	WF	4	5-20	●	○	●	○	●	●	●							<input type="checkbox"/> Revêtu	254
	NTR	3-4	6-20	●	○	●	○	●	●	●							<input type="checkbox"/> Revêtu	255

Vue d'ensemble des fraises deux tailles, hémisphériques et toriques

Type d'outil		Nombre de dents	Diamètre en mm	ZEFP	P Aciers	M Aciers inoxydables	K Fontes	N Métaux non ferreux	S Superalliages	H Matières trempées	O Matériaux non métalliques	Vive	Chantefinée	Rayon en bout	Rayon complet	Version	Conception des outils	Réfrigération		
			Ø DC																	
Fraises à denture ébauche																				
		NR	4-6	4-25	●	●	●	○	●		○									256-258
		HR	4-5	6-25	●	●	●	●	●		○									259-261
Fraises hémisphériques à denture lisse																				
		W	2	0,5-12	●	●	●	●	●	●	●									262
		W	2	0,2-6	●	●	●	●	●	●	●									263+264
		W	2	3-20	●	●	●	●	●	●	●									265
		W	2	0,5-12	●	●	●	●	●	●	●									266+267
		N	2	0,1-20	●	○	●	●	○	○	○									268-273
		N	2	1-12	●	○	●	●	○	○	○									274
		N	2	3-20	●	●	○	●	●	○	○									275
		N	4	3-20	●	●	●	●	●	○	●									276-278
		H	2	0,2-20	●	○	●	●	○	○	○									279-280
Fraises toriques à denture lisse																				
		W	2	0,2-12	●	●	●	●	●	●	●									281-284
		W	2	2-12	●	●	●	●	●	●	●									285
		W	4	4-12	●	●	●	●	●	●	●									286+287
		N	2	0,5-16	●	○	●	●	○	○	○									288
		H	2	0,4-12	●	○	●	●	○	○	○									289-292
		H	4-8	3-16	●	●	○	●	●	●	●									293

Vue d'ensemble des fraises

Type d'outil	ZEFP	Ø DC	Nombre de dents	Diamètre en mm	Aciers	Aciers inoxydables	Fontes	Métaux non ferreux	Superalliages	Matières trempées	Matières non métalliques	Vive	Chanfreinée	Rayon en bout	Rayon complet	Version	Conception des outils	Refroidissement	Revêtu	Non revêtu	WNT \ Standard
Fraises toriques avec diamètres intermédiaires																					
	H	4	7-17	7-17	●	○	○	●	●	●	●									294	
Fraises de forme, à graver, à chanfreiner et à ébavurer																					
	W	1	3-6	3-6	○	○	○	●	○	●	●								295		
	N	4	4-12	4-12	●	○	●	○	○	○	○								296		
	N	4	3-12	3-12	●	○	●	○	○	○	○								297		
	N	4	6-10	6-10	●	○	●	○	○	○	○								298		
	N	6-10	11-40	11-40	●	○	●	○	○	○	●								299		
				3-16															300+301		
Fraises scies																					
	24-160	15-200		15-200	●	●	●	●	●	●	●								302-304		
	20-80	15-200		15-200	●	●	●	●	●	●	●								305-307		
Attachements cylindriques pour fraises scie																					
					Ø 15-200	●	●	●	●	●	●								308		

Vue d'ensemble des fraises

Type d'outil	ZEFP	Ø DC	Nombre de dents	Diamètre en mm	Aciéris	Aciérs inoxydables	Fontes	Métaux non ferreux	Superalliages	Matières trempées	Matières non métalliques	Vive	Chanfreinée	Rayon en bout	Rayon complet	Version	Conception des outils	Refroidissement	WNT \ Standard
					P	M	K	N	S	H	O								
Fraises pour matières plastiques et composites																			
	W	2-20	2-12	2-20	●													<input type="checkbox"/>	310
	W	2-20	1-12	2-20	●													<input type="checkbox"/>	311
	W	2-20	1-12	2-20	●													<input checked="" type="checkbox"/>	312
	W	5-16	1-12	5-16	●													<input checked="" type="checkbox"/>	313
	W	6-24	1-12	6-24	●													<input checked="" type="checkbox"/>	314
	W	2	2-12	2-12	●	●												<input checked="" type="checkbox"/>	315
	W	1	1,5-16,0	1,5-16,0	●	●												<input type="checkbox"/>	316
	W	1	1,5-12,0	1,5-12,0	●	●												<input checked="" type="checkbox"/>	317
	W	2	2-12	2-12	●	●												<input checked="" type="checkbox"/>	318
	W	3	3-12	3-12	●	●												<input checked="" type="checkbox"/>	319
	N	2	2-12	2-12	●	○	●	○	○	○	●							<input type="checkbox"/>	320

MonsterMill – Fraises deux tailles

Les spécialistes pour l'usinage des aciers et des fontes

SCR $\lambda_s = 35^\circ$ $\gamma_s = 7^\circ$ **HPC**

DC _{r8} mm	APMX mm	DN mm	LH mm	I ₆ mm	LPR mm	OAL mm	DCONMS _{r8} mm	CHW mm	ZEFP	EUR V2	EUR V2	EUR V2	EUR V2
3,0	5	2,9	9	14	14	50	6	0,07	4	54,45	030	54,45	030
3,0	8	2,9	14	20	22	58	6	0,07	4			54,45	030
3,5	5	3,4	9	14	14	50	6	0,07	4	54,45	035	54,45	035
3,5	8	3,4	14	20	22	58	6	0,07	4	54,45	040	54,45	040
4,0	8	3,8	12	18	18	54	6	0,07	4	54,45	045	55,48	045
4,0	11	3,8	18	20	22	58	6	0,07	4	54,45	050	55,48	050
4,5	9	4,3	12	18	18	54	6	0,07	4	55,48	055	55,48	055
4,5	13	4,3	18	20	22	58	6	0,07	4	55,48	060	55,48	060
5,0	9	4,8	16	18	18	54	6	0,07	4	55,48	065	55,48	065
5,0	13	4,8	19	20	22	58	6	0,07	4	55,48	070	55,48	070
5,5	9	5,3	16	18	18	54	6	0,07	4	55,48	075	55,48	075
5,5	13	5,3	19	20	22	58	6	0,07	4	55,48	080	55,48	080
6,0	10	5,8	16	18	54	6	0,07	4	55,48	085	55,48	085	
6,0	13	5,8	20	22	58	6	0,07	4	55,48	090	55,48	090	
6,5	12	6,3	18	20	23	59	8	0,07	4	71,55	095	71,55	095
6,5	19	6,3	23	25	28	64	8	0,07	4	71,55	100	71,55	100
7,0	12	6,8	18	20	23	59	8	0,07	4	71,55	105	71,55	105
7,0	19	6,8	23	25	28	64	8	0,07	4	71,55	110	71,55	110
7,5	12	7,3	18	20	23	59	8	0,12	4	71,55	115	71,55	115
7,5	19	7,3	23	25	28	64	8	0,12	4	71,55	120	71,55	120
8,0	12	7,7	20	23	59	8	0,12	4	71,55	125	71,55	125	
8,0	19	7,7	25	28	64	8	0,12	4	71,55	130	71,55	130	
8,5	15	8,2	22	24	27	67	10	0,20	4	93,43	135	93,43	135
8,5	22	8,2	28	30	33	73	10	0,20	4	93,43	140	93,43	140
9,0	15	8,7	22	24	27	67	10	0,20	4	93,43	145	93,43	145
9,0	22	8,7	28	30	33	73	10	0,20	4	93,43	150	93,43	150
9,5	15	9,2	22	24	27	67	10	0,20	4	93,43	155	93,43	155
9,5	22	9,2	28	30	33	73	10	0,20	4	93,43	160	93,43	160
10,0	15	9,5	24	27	67	10	0,20	4	93,43	165	93,43	165	
10,0	22	9,5	30	33	73	10	0,20	4	93,43	170	93,43	170	
11,0	18	10,5	24	26	28	73	12	0,20	4	147,70	175	147,70	175
11,0	26	10,5	32	35	39	84	12	0,20	4	147,70	180	147,70	180
11,5	18	11,0	24	26	28	73	12	0,20	4	147,70	185	147,70	185
11,5	26	11,0	32	35	39	84	12	0,20	4	147,70	190	147,70	190
12,0	18	11,5	26	28	73	12	0,20	4	147,70	195	147,70	195	
12,0	26	11,5	35	39	84	12	0,20	4	147,70	200	147,70	200	
14,0	21	13,5	28	30	75	14	0,20	4	189,80	205	189,80	205	
14,0	26	13,5	35	39	84	14	0,20	4	189,80	210	189,80	210	
15,0	24	14,5	30	32	35	83	16	0,20	4	233,30	215	233,30	215
15,0	32	14,5	38	40	45	93	16	0,20	4	233,30	220	233,30	220

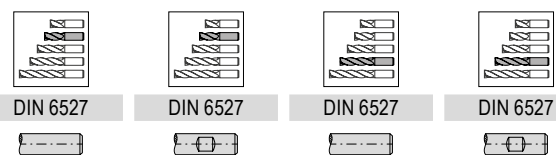
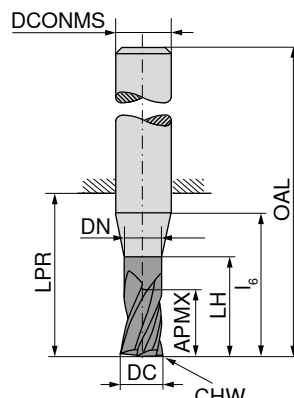
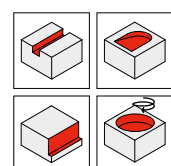
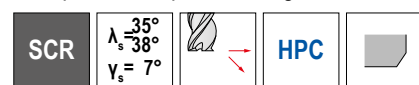
P M K N S H O

1) Non adapté au rainurage dans le plein, n'utiliser qu'en contournage ou en rainurage trochoïdal

→ v_c/f_z Page 322+323

MonsterMill – Fraises deux tailles

Les spécialistes pour l'usinage des aciers et des fontes



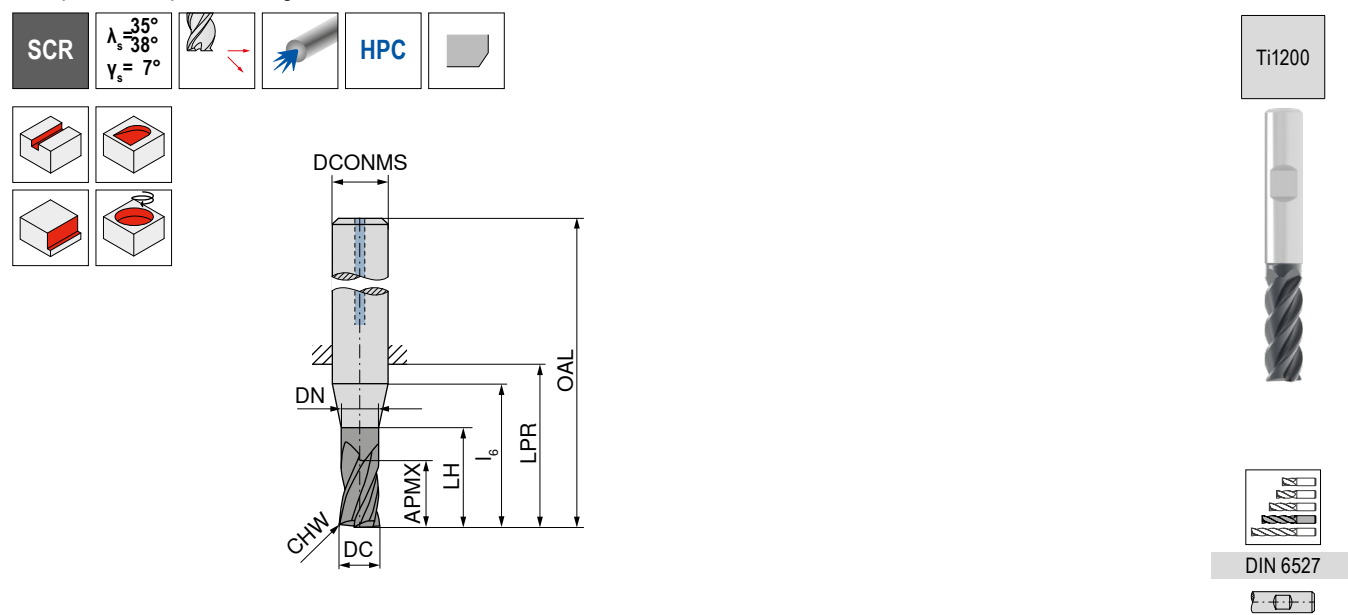
	52 600 ...	52 601 ...	52 602 ...	52 603 ...
	EUR V2	EUR V2	EUR V2	EUR V2
DC _{r8} mm				
16,0	24	15,5		
16,0	24	15,5	160	160
16,0	32	15,5	161 ¹⁾	161 ¹⁾
16,0	32	15,5	247,80	247,80
17,0	32	16,5	233,30	233,30
18,0	27	17,5	48	161 ¹⁾
18,0	27	17,5	336,10	336,10
18,0	32	17,5	181 ¹⁾	181 ¹⁾
18,0	32	17,5	317,30	317,30
19,0	38	18,5	180	180
19,5	38	19,0	48	181 ¹⁾
20,0	30	19,5	50	180
20,0	30	19,5	54	180
20,0	38	19,5	104	180
20,0	38	19,5	20	180
P		●	●	●
M		○	○	○
K		●	●	●
N		○	○	○
S		○	○	○
H		○	○	○
O		○	○	○

1) Non adapté au rainurage dans le plein, n'utiliser qu'en contournage ou en rainurage trochoïdal

→ v_c/f_z Page 322+323

MonsterMill – Fraises deux tailles

Les spécialistes pour l'usinage des aciers et des fontes



DIN 6527

52 606 ...

EUR V2

DC r_8 mm	APMX mm	DN mm	LH mm	I_6 mm	LPR mm	OAL mm	DCONMS r_5 mm	CHW mm	ZEFP	EUR V2	
3	8	2,9	14	20	22	58	6	0,07	4	66,79	030
4	11	3,8	18	20	22	58	6	0,07	4	66,79	040
5	13	4,8	19	20	22	58	6	0,07	4	67,80	050
6	13	5,8		20	22	58	6	0,07	4	65,75	060
8	19	7,7		25	28	64	8	0,12	4	86,05	080
10	22	9,5		30	33	73	10	0,20	4	110,70	100
12	26	11,5		35	39	84	12	0,20	4	175,30	120
16	32	15,5		40	45	93	16	0,20	4	297,00	160
20	38	19,5		50	54	104	20	0,30	4	476,70	200

P	●
M	○
K	●
N	○
S	○
H	○
O	○

→ v_c/f_z Page 322+323

MonsterMill – Fraises deux tailles

Les spécialistes pour l'usinage des aciers et des fontes

DC _{r8} mm	APMX mm	DN mm	LH mm	I ₆ mm	LPR mm	OAL mm	DCONMS _{h5} mm	CHW mm	ZEFP	52 604 ...	52 605 ...
3	5	2,9	14	20	22	58	6	0,07	4	54,45	030
3	5	2,9	19	23	26	62	6	0,07	4		63,44
4	8	3,8	18	20	22	58	6	0,07	4	54,45	040
4	8	3,8	23	25	26	62	6	0,07	4		63,44
5	9	4,8	19	20	22	58	6	0,07	4	55,48	050
5	9	4,8	24	25	26	62	6	0,07	4		64,73
6	10	5,8		20	22	58	6	0,07	4	53,73	060
6	10	5,8		25	26	62	6	0,07	4		62,86
8	12	7,7		25	28	64	8	0,12	4	71,55	080
8	12	7,7		30	32	68	8	0,12	4		83,14
10	15	9,5		30	33	73	10	0,20	4	93,43	100
10	15	9,5		35	40	80	10	0,20	4		107,50
12	18	11,5		35	39	84	12	0,20	4	147,70	120
12	18	11,5		45	48	93	12	0,20	4		169,60
14	21	13,5		35	39	84	14	0,20	4	189,80	140
14	21	13,5		50	54	99	14	0,20	4		228,80
16	24	15,5		40	45	93	16	0,20	4	233,30	160
16	24	15,5		40	45	93	16	0,20	5	247,80	161 ¹⁾
16	24	15,5		55	60	108	16	0,20	4		276,60
16	24	15,5		55	60	108	16	0,20	5		291,20
18	27	17,5		50	52	100	18	0,20	4	317,30	180
18	27	17,5		50	52	100	18	0,20	5	336,10	181 ¹⁾
18	27	17,5		60	66	114	18	0,20	4		392,70
18	27	17,5		60	66	114	18	0,20	5		412,80
20	30	19,5		50	54	104	20	0,30	4	360,80	200
20	30	19,5		50	54	104	20	0,30	5	381,00	201 ¹⁾
20	30	19,5		70	76	126	20	0,30	4		440,50
20	30	19,5		70	76	126	20	0,30	5		462,10

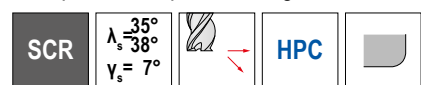
P ● ●
M ○ ○
K ● ●
N ○ ○
S ○ ○
H ○ ○
O ○ ○

1) Non adapté au rainurage dans le plein, n'utiliser qu'en contournage ou en rainurage trochoïdal

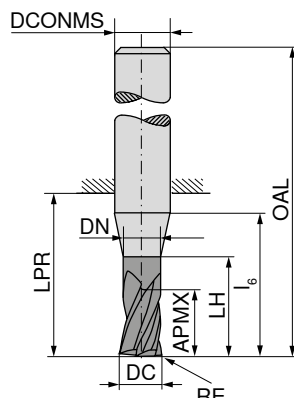
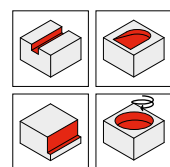
→ v_c/f_z Page 322–325

MonsterMill – Fraise deux tailles rayonnées

Les spécialistes pour l'usinage des aciers et des fontes



Ti1200



Norme usine

Norme usine

52 607 ...

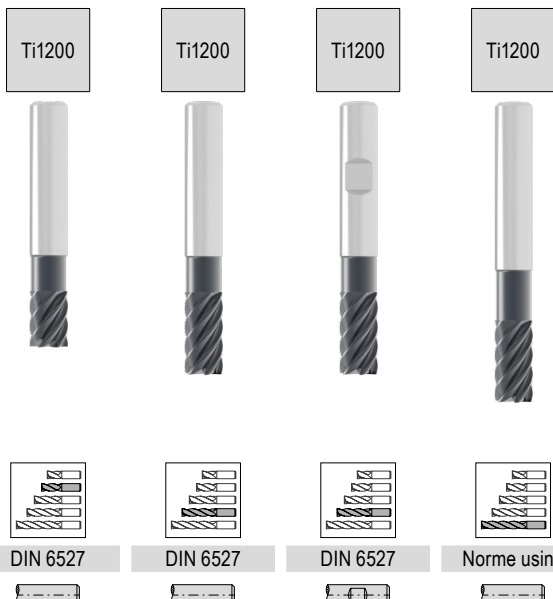
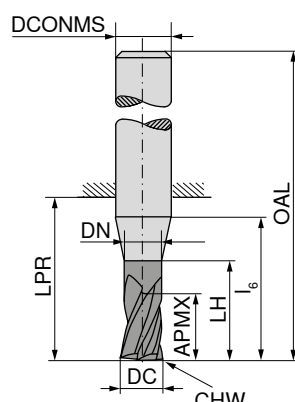
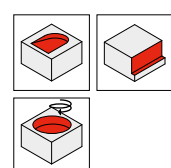
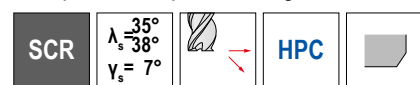
DC _{r8} mm	RE _{±0,01} mm	APMX mm	DN mm	LH mm	l ₆ mm	LPR mm	OAL mm	DCONMS _{h5} mm	ZEFP	EUR V2
3	0,10	8	2,9	14	20	22	58	6	4	61,73 030
3	0,30	8	2,9	14	20	22	58	6	4	61,73 031
3	0,50	8	2,9	14	20	22	58	6	4	61,73 032
4	0,10	11	3,8	18	20	22	58	6	4	61,73 040
4	0,40	11	3,8	18	20	22	58	6	4	61,73 041
4	0,50	11	3,8	18	20	22	58	6	4	61,73 042
5	0,10	13	4,8	19	20	22	58	6	4	63,01 050
5	0,50	13	4,8	19	20	22	58	6	4	63,01 051
5	1,00	13	4,8	19	20	22	58	6	4	63,01 052
6	0,10	13	5,8		20	22	58	6	4	60,83 060
6	0,50	13	5,8		20	22	58	6	4	60,83 061
6	1,00	13	5,8		20	22	58	6	4	60,83 062
8	0,15	19	7,7		25	28	64	8	4	81,12 080
8	0,50	19	7,7		25	28	64	8	4	81,12 081
8	1,00	19	7,7		25	28	64	8	4	81,12 082
8	2,00	19	7,7		25	28	64	8	4	81,12 083
10	0,15	22	9,5		30	33	73	10	4	105,90 100
10	0,50	22	9,5		30	33	73	10	4	105,90 101
10	1,00	22	9,5		30	33	73	10	4	105,90 102
10	1,50	22	9,5		30	33	73	10	4	105,90 103
10	2,00	22	9,5		30	33	73	10	4	105,90 104
12	0,20	26	11,5		35	39	84	12	4	168,00 120
12	0,50	26	11,5		35	39	84	12	4	168,00 121
12	1,00	26	11,5		35	39	84	12	4	168,00 122
12	1,50	26	11,5		35	39	84	12	4	168,00 123
12	2,00	26	11,5		35	39	84	12	4	168,00 124
14	1,00	26	13,5		35	39	84	14	4	215,80 140
16	0,30	32	15,5		40	45	93	16	4	265,30 160
16	0,50	32	15,5		40	45	93	16	4	265,30 161
16	1,00	32	15,5		40	45	93	16	4	265,30 162
16	2,00	32	15,5		40	45	93	16	4	265,30 163
16	4,00	32	15,5		40	45	93	16	4	265,30 164
20	0,30	38	19,5		50	54	104	20	4	409,90 200
20	0,50	38	19,5		50	54	104	20	4	409,90 201
20	1,00	38	19,5		50	54	104	20	4	409,90 202
20	2,00	38	19,5		50	54	104	20	4	409,90 203

P	●
M	○
K	●
N	○
S	○
H	○
O	○

→ v_c/f_z Page 322+323

MonsterMill – Fraises deux tailles

Les spécialistes pour l'usinage des aciers et des fontes



DC _{r8} mm	APMX mm	DN mm	LH mm	I ₆ mm	LPR mm	OAL mm	DCONMS _{r8} mm	CHW mm	ZEFP	52 608 ...	52 608 ...	52 608 ...	52 608 ...
5	9	4,8	16	18	18	54	6	0,12	6	73,02	050		
5	13	4,8	19	20	22	58	6	0,12	6	73,02	051		
5	13	4,8	24	25	26	62	6	0,12	6			82,71	052
6	10	5,8	16	18	54	6	0,12	6	70,55	060	70,55	061	
6	13	5,8	20	22	58	6	0,12	6	93,86	080	93,86	081	80,39
8	12	7,7	20	23	59	8	0,12	6	122,70	100	122,70	101	106,20
8	19	7,7	25	28	64	8	0,12	6	194,30	120	194,30	121	137,40
8	19	7,7	30	32	68	8	0,12	6	308,60	160	308,60	161	215,80
10	15	9,5	24	27	67	10	0,20	6	475,20	200	475,20	201	356,40
10	22	9,5	30	33	73	10	0,20	6					162
10	22	9,5	35	40	80	10	0,20	6					567,90
12	18	11,5	26	28	73	12	0,20	6					202
12	26	11,5	35	39	84	12	0,20	6					
12	26	11,5	45	48	93	12	0,20	6					
16	24	15,5	32	35	83	16	0,20	6					
16	32	15,5	40	45	93	16	0,20	6					
16	32	15,5	55	60	108	16	0,20	6					
20	30	19,5	40	43	93	20	0,30	6					
20	38	19,5	50	54	104	20	0,30	6					
20	38	19,5	70	76	126	20	0,30	6					

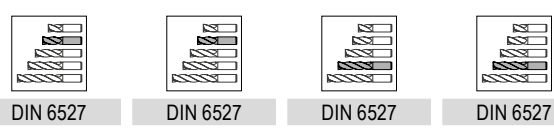
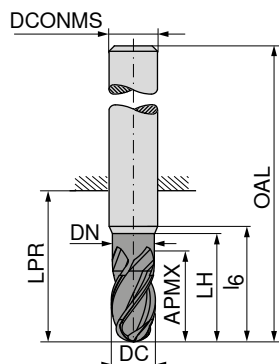
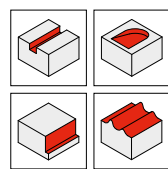
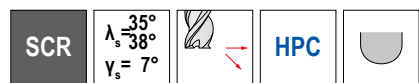
P	●	●	●	●
M	○	○	○	○
K	●	●	●	●
N	○	○	○	○
S	○	○	○	○
H	○	○	○	○
O	○	○	○	○

 $\rightarrow v_c/f_z$ Page 322–325

MonsterMill – Fraises hémisphériques

Les spécialistes pour l'usinage des aciers et des fontes

▲ Précision du rayon: - 0,015 mm pour $\varnothing \leq 6,0$ mm / - 0,02 mm pour $\varnothing > 6,0$ mm



DIN 6527 DIN 6527 DIN 6527 DIN 6527

52 611 ... **52 611 ...** **52 612 ...** **52 612 ...**

DC _{fs} mm	APMX mm	DN mm	LH mm	I _s mm	LPR mm	OAL mm	DCONMS _{hs} mm	ZEFFP	EUR V2	EUR V2	EUR V2	EUR V2
3	5	2,9	9	14	14	50	6	3	68,23	030		
3	8	2,9	14	20	22	58	6	3	68,23	040	70,98	030
4	8	3,8	12	18	18	54	6	3	68,23	050	70,98	040
4	11	3,8	18	20	22	58	6	3	69,53	060	72,14	050
5	9	4,8	16	18	18	54	6	3	89,52	080	69,98	060
5	13	4,8	19	20	22	58	6	3	89,52	081	69,98	061
6	10	5,8		16	18	54	6	4	116,80	100	93,01	080
6	13	5,8		20	22	58	6	4	116,80	101	93,01	081
8	12	7,7		20	23	59	8	4	184,00	120	121,20	100
8	19	7,7		25	28	64	8	4	184,00	121	121,20	101
10	15	9,5		24	27	67	10	4	294,20	160	191,30	120
10	22	9,5		30	33	73	10	4	294,20	161	191,30	121
12	18	11,5		26	28	73	12	4				
12	26	11,5		35	39	84	12	4				
16	24	15,5		32	35	83	16	4				
16	32	15,5		40	45	93	16	4				

P	●	●	●	●
M	○	○	○	○
K	●	●	●	●
N	○	○	○	○
S	○	○	○	○
H	○	○	○	○
O	○	○	○	○

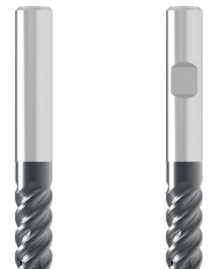
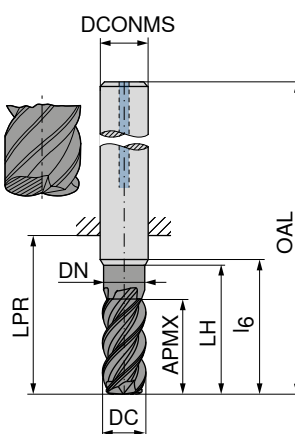
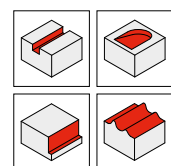
→ v_c/f_z Page 322+323

MonsterMill – Fraises grande avance

Les spécialistes pour l'usinage des aciers et des fontes

▲ r_{3D} = Rayon à programmer

▲ Lors de l'usinage grande avance : APMX ne correspond pas à la profondeur de coupe maximale



DIN 6527 DIN 6527

DC -0,04 mm	r_{3D} mm	APMX mm	DN mm	LH mm	LPR mm	OAL mm	l_6 mm	DCONMS h_5 mm	$T_{max.}$ mm	ZEFP
3	0,4	3	2,9	14,00	21	57	20	6	0,10	4
4	0,5	4	3,8	18,00	21	57	20	6	0,15	4
5	0,6	5	4,8	18,00	21	57	20	6	0,20	4
6	0,8	13	5,8	19,90	21	57	20	6	0,20	4
8	1,0	19	7,7	24,85	27	63	25	8	0,30	4
10	1,2	22	9,5	29,75	32	72	30	10	0,40	4
12	1,6	26	11,5	34,75	38	83	35	12	0,40	4
16	2,2	32	15,5	39,75	44	92	40	16	0,50	4

52 609 ... 52 609 ...

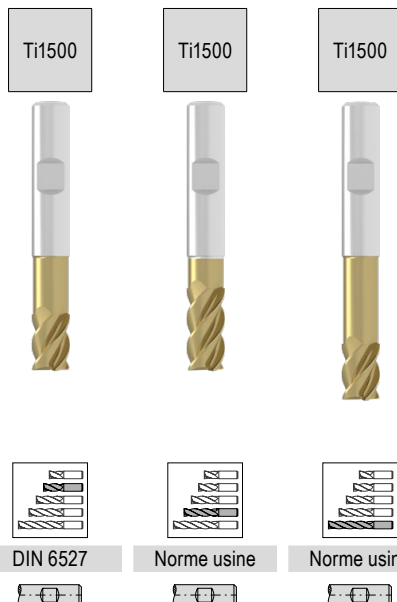
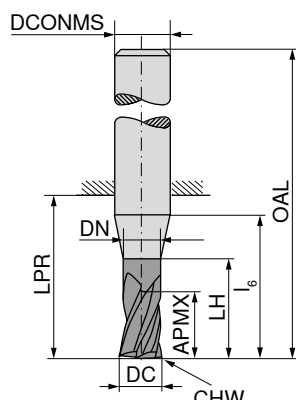
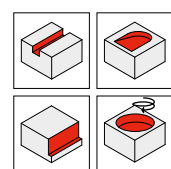
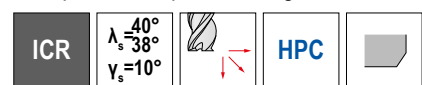
EUR V2	EUR V2
133,40 030	133,40 031
136,70 040	136,70 041
152,20 050	152,20 051
138,60 060	138,60 061
159,50 080	159,50 081
188,40 100	188,40 101
240,60 120	240,60 121
378,10 160	378,10 161

P	●	●
M		
K	●	●
N		
S		
H	○	○
O		

→ v_c/f_z Page 326–328

MonsterMill – Fraises deux tailles

Les spécialistes pour l'usinage des aciers inoxydables



DC ϵ_8 mm	APMX mm	DN mm	LH mm	I ₆ mm	LPR mm	OAL mm	DCONMS h_6 mm	CHW mm	ZEFF	52 784 ... EUR V1	52 784 ... EUR V1	52 784 ... EUR V1
1,5	2,3	1,4	6	14	21	57	6	0,04	3	74,60	017	
2,0	3,0	1,9	8	15	21	57	6	0,04	3	74,60	022	
2,5	3,8	2,4	10	16	21	57	6	0,07	3	74,60	027	
3,0	5,0	2,9	14	18	21	57	6	0,07	3	73,15	032	
3,0	8,0	2,9	14	18	21	57	6	0,07	3			
3,0	5,0	2,9	19	23	26	62	6	0,07	3	78,37	034	78,37
4,0	8,0	3,8	18	20	21	57	6	0,07	3	74,60	042	79,67
4,0	11,0	3,8	18	20	21	57	6	0,07	3			044
4,0	8,0	3,8	23	25	26	62	6	0,07	3	79,67		79,67
5,0	9,0	4,8	19	20	21	57	6	0,12	3	75,92	052	80,97
5,0	13,0	4,8	19	20	21	57	6	0,12	3			054
5,0	9,0	4,8	24	25	26	62	6	0,12	3	80,97		80,97
6,0	10,0	5,8	20		21	57	6	0,12	4	77,06	062	
6,0	13,0	5,8	20		21	57	6	0,12	4	82,13	064	
6,0	10,0	5,8	25		26	62	6	0,12	4	82,13		82,13
8,0	12,0	7,7	25		27	63	8	0,12	4	91,13	082	96,03
8,0	19,0	7,7	25		27	63	8	0,12	4	96,03	084	94,73
8,0	12,0	7,7	30		32	68	8	0,12	4			086
10,0	15,0	9,5	30		32	72	10	0,20	4	116,20	102	
10,0	22,0	9,5	30		32	72	10	0,20	4	123,70	104	
10,0	15,0	9,5	35		40	80	10	0,20	4			123,70
12,0	18,0	11,5	35		38	83	12	0,20	4	155,00	122	
12,0	26,0	11,5	35		38	83	12	0,20	4	163,70	124	
12,0	18,0	11,5	45		48	93	12	0,20	4	166,60	126	
14,0	21,0	13,5	35		38	83	14	0,20	4	212,90	142	
14,0	26,0	13,5	35		38	83	14	0,20	4	224,70	144	
14,0	21,0	13,5	50		54	99	14	0,20	4	240,60	146	
16,0	24,0	15,5	40		44	92	16	0,20	4	255,00	161	
16,0	24,0	15,5	40		44	92	16	0,20	5	265,30	162 ¹⁾	
16,0	32,0	15,5	40		44	92	16	0,20	4	267,90	163	
16,0	32,0	15,5	40		44	92	16	0,20	5	283,90	164 ¹⁾	
16,0	24,0	15,5	55		60	108	16	0,20	4			283,90
16,0	24,0	15,5	55		60	108	16	0,20	5			292,50
18,0	27,0	17,5	40		44	92	18	0,20	4	328,80	181	
18,0	27,0	17,5	40		44	92	18	0,20	5	347,70	182 ¹⁾	
18,0	32,0	17,5	40		44	92	18	0,20	4			350,60
18,0	32,0	17,5	40		44	92	18	0,20	5	366,40	183 ¹⁾	
18,0	27,0	17,5	60		66	114	18	0,20	4			378,10
18,0	27,0	17,5	60		66	114	18	0,20	5			396,90
20,0	30,0	19,5	50		54	104	20	0,30	4	383,80	201	
20,0	30,0	19,5	50		54	104	20	0,30	5	402,70	202 ¹⁾	
20,0	38,0	19,5	50		54	104	20	0,30	4			405,60
20,0	38,0	19,5	50		54	104	20	0,30	5			427,30
20,0	30,0	19,5	70		76	126	20	0,30	4			430,20
20,0	30,0	19,5	70		76	126	20	0,30	5			451,90
P							○	○	○			
M							●	●	●			
K							○	○	○			
N							○	○	○			
S							●	●	●			
H							○	○	○			
O							○	○	○			

1) Non adapté au rainurage dans le plein, n'utiliser qu'en contournage ou en rainurage trochoïdal

→ v_c/f_z Page 330–335

MonsterMill – Fraises deux tailles

Les spécialistes pour l'usinage des aciers inoxydables

ICR
 $\lambda_s = 40^\circ$
 $\lambda_s = 38^\circ$
 $\gamma_s = 10^\circ$
HPC

Ti1500

DIN 6527

DC ϵ_8 mm	APMX mm	DN mm	LH mm	I ₆ mm	LPR mm	OAL mm	DCONMS ϵ_6 mm	CHW mm	ZEFP	EUR V1
3	8	2,9	14	18	21	57	6	0,07	3	85,90 034
4	11	3,8	18	20	21	57	6	0,07	3	87,19 044
5	13	4,8	19	20	21	57	6	0,12	3	88,50 054
6	13	5,8	20		21	57	6	0,12	4	89,66 064
8	19	7,7	25		27	63	8	0,12	4	105,20 084
10	22	9,5	30		32	72	10	0,20	4	134,00 104
12	26	11,5	35		38	83	12	0,20	4	178,10 124
14	26	13,5	35		38	83	14	0,20	4	260,60 144
16	32	15,5	40		44	92	16	0,20	4	307,10 163
16	32	15,5	40		44	92	16	0,20	5	323,10 164 ¹⁾
18	32	17,5	40		44	92	18	0,20	4	405,60 183
18	32	17,5	40		44	92	18	0,20	5	427,30 184 ¹⁾
20	38	19,5	50		54	104	20	0,30	4	480,90 203
20	38	19,5	50		54	104	20	0,30	5	502,60 204 ¹⁾

52 786 ...

P	O
M	●
K	○
N	○
S	●
H	○
O	○

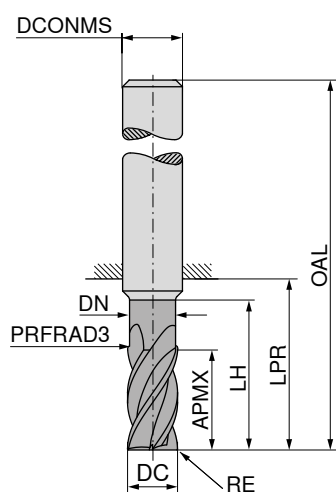
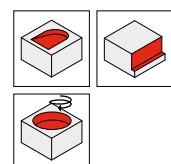
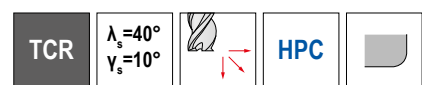
→ v_c/f_z Page 331–333

1) Non adapté au rainurage dans le plein, n'utiliser qu'en contournage ou en rainurage trochoïdal

MonsterMill – Fraise deux tailles rayonnées

Les spécialistes pour l'usinage des titanes et alliages de titane

▲ PRFRAD3 = 1 mm



DRAGONSKIN



DRAGONSKIN



Norme usine



Norme usine

52 504 ...

52 506 ...

EUR
V1
76,31 04000

EUR
V1
82,31 04000¹⁾

76,31 05000

85,67 05000¹⁾

76,31 06000

85,67 06000¹⁾

106,10 08000

106,10 08000¹⁾

129,20 10000

150,00 10000¹⁾

139,30 12000

186,80 12000¹⁾

232,70 16000

255,10 16000¹⁾

334,10 20000

402,10 20000¹⁾

DC _{e8} mm	RE mm	APMX mm	DN mm	LH mm	LPR mm	OAL mm	DCONMS _{h5} mm	ZEFP
4	0,1	11		14	21	57	6	4
4	0,1	11	3,8	17	21	57	6	5
5	0,1	13		16	21	57	6	4
5	0,1	13	4,8	19	21	57	6	5
6	0,1	13			21	57	6	4
6	0,1	13	5,8	19	21	57	6	5
8	0,2	21			27	63	8	4
8	0,2	21	7,7	25	27	63	8	5
10	0,2	22			32	72	10	4
10	0,2	22	9,7	30	32	72	10	5
12	0,2	26			38	83	12	4
12	0,2	26	11,6	36	38	83	12	5
16	0,3	36			44	92	16	4
16	0,3	36	15,5	42	44	92	16	5
20	0,3	41			54	104	20	4
20	0,3	41	19,5	52	54	104	20	5

P	○	○
M	○	○
K		
N		
S	●	●
H		
O		

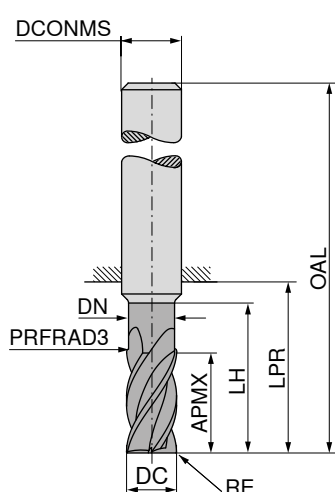
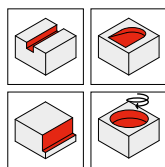
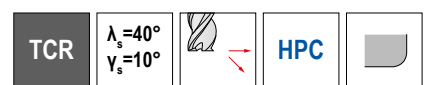
1) Non adapté au rainurage dans le plein, n'utiliser qu'en contournage ou en rainurage trochoïdal

→ v_c/f_z Page 336+337

MonsterMill – Fraise deux tailles rayonnées

Les spécialistes pour l'usinage des titanes et alliages de titane

▲ PRFRAD3 = 1 mm



DRAGONSkin



DRAGONSkin



Norme usine



Norme usine

52 508 ...**52 508 ...**

EUR V1

EUR V1

79,65 04104

79,65 04105

79,65 04108

88,36 05105

88,36 05108

79,65 05005

79,65 05010

79,65 05010

79,65 06004

79,65 06005

79,65 06006

93,05 06106

79,65 06008

93,05 06108

83,33 06010

93,05 06110

83,33 06015

129,80 08108

106,10 08005

129,80 08110

106,10 08008

129,80 08115

110,10 08010

129,80 08120

110,10 08012

106,10 08015

110,10 08016

110,10 08020

110,10 08020

160,00 10105

160,00 10110

160,00 10115

160,00 10120

129,20 10005

132,90 10010

132,90 10012

132,90 10015

132,90 10016

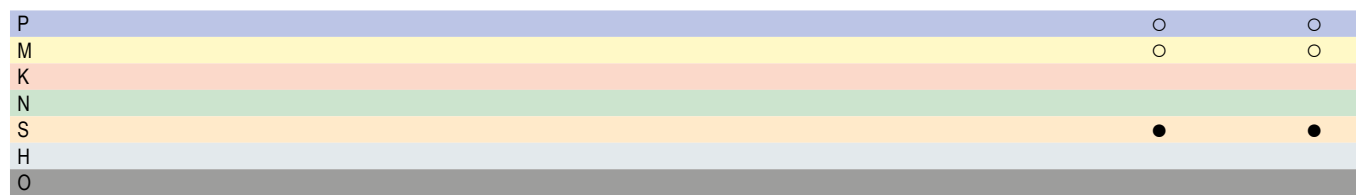
132,90 10020

198,80 12105

198,80 12110

198,80 12110

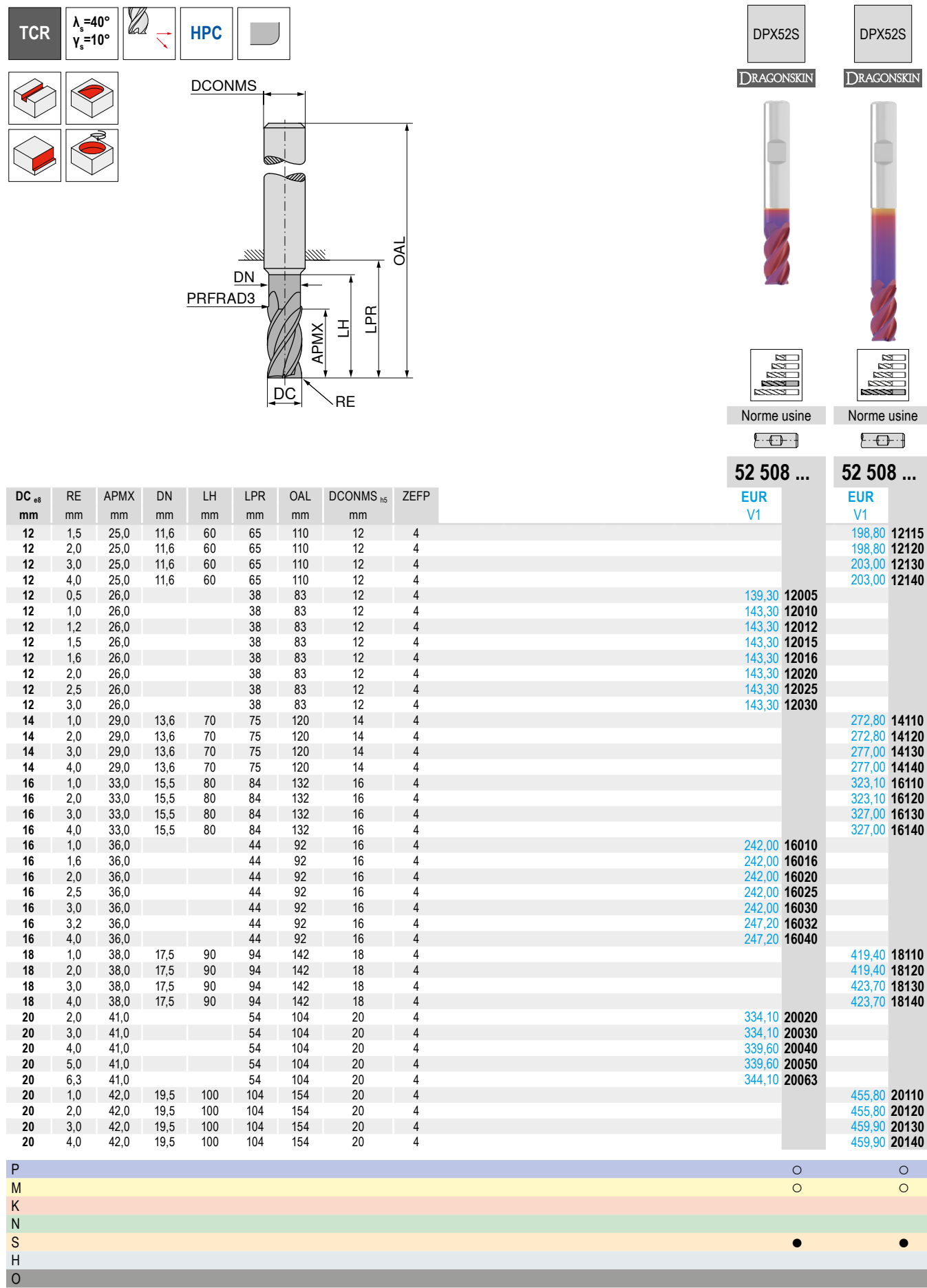
DC _{e8} mm	RE mm	APMX mm	DN mm	LH mm	LPR mm	OAL mm	DCONMS _{h5} mm	ZEFP
4	0,4	8,5	3,8	20	26	62	6	4
4	0,5	8,5	3,8	20	26	62	6	4
4	0,8	8,5	3,8	20	26	62	6	4
4	0,2	11,0		14	21	57	6	4
4	0,4	11,0		14	21	57	6	4
4	0,5	11,0		14	21	57	6	4
5	0,5	10,5	4,8	25	34	70	6	4
5	0,8	10,5	4,8	25	34	70	6	4
5	0,5	13,0		16	21	57	6	4
5	1,0	13,0		16	21	57	6	4
6	0,4	13,0			21	57	6	4
6	0,5	13,0			21	57	6	4
6	0,6	13,0			21	57	6	4
6	0,6	13,0	5,8	30	34	70	6	4
6	0,8	13,0	5,8	30	34	70	6	4
6	1,0	13,0	5,8	30	34	70	6	4
6	1,0	13,0	5,8	30	34	70	6	4
6	1,5	13,0			21	57	6	4
8	0,8	17,0	7,7	40	44	80	8	4
8	1,0	17,0	7,7	40	44	80	8	4
8	1,5	17,0	7,7	40	44	80	8	4
8	2,0	17,0	7,7	40	44	80	8	4
8	0,5	21,0			27	63	8	4
8	0,8	21,0			27	63	8	4
8	1,0	21,0			27	63	8	4
8	1,2	21,0			27	63	8	4
8	1,5	21,0			27	63	8	4
8	2,0	21,0			27	63	8	4
10	0,5	21,0	9,7	50	54	94	10	4
10	1,0	21,0	9,7	50	54	94	10	4
10	1,5	21,0	9,7	50	54	94	10	4
10	2,0	21,0	9,7	50	54	94	10	4
10	0,5	22,0			32	72	10	4
10	1,0	22,0			32	72	10	4
10	1,2	22,0			32	72	10	4
10	1,5	22,0			32	72	10	4
10	1,6	22,0			32	72	10	4
10	2,0	22,0			32	72	10	4
12	0,5	25,0	11,6	60	65	110	12	4
12	1,0	25,0	11,6	60	65	110	12	4

→ v_c/f_z Page 336+337

MonsterMill – Fraise deux tailles rayonnées

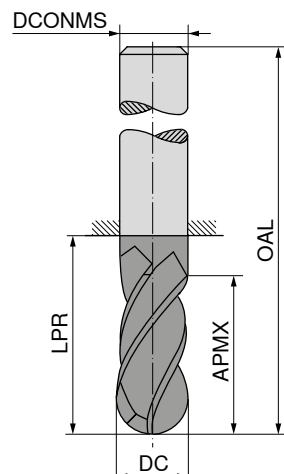
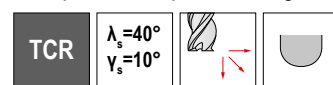
Les spécialistes pour l'usinage des titanes et alliages de titane

▲ PRFRAD3 = 1 mm

→ v_c/f_z Page 336+337

MonsterMill – Fraises hémisphériques

Les spécialistes pour l'usinage des titanes et alliages de titane



DRAGONSKIN



DRAGONSKIN



DRAGONSKIN



DRAGONSKIN



Norme usine



Norme usine

52 514 ...**52 514 ...**EUR
V1EUR
V1

70,61 02000

99,76 02100

70,61 03000

99,76 03100

70,61 04000

99,76 04100

78,67 05000

104,40 05100

78,67 06000

104,40 06100

89,38 08000

111,80 08100

118,10 10000

143,30 10100

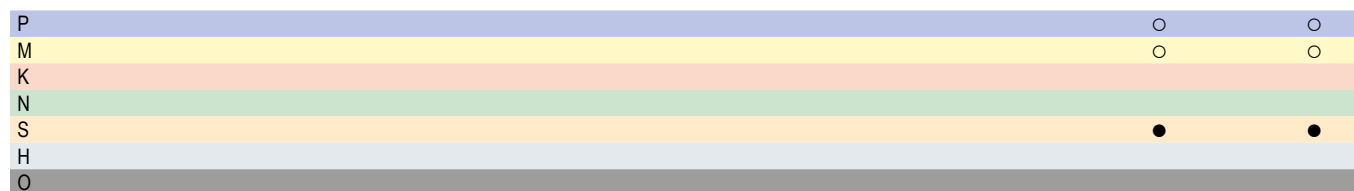
154,60 12000

179,40 12100

232,00 16000

256,70 16100

DC _{e8} mm	APMX mm	LPR mm	OAL mm	DCONMS _{h5} mm	ZEFP
2	4	18	54	6	4
2	4	44	80	6	4
3	5	18	54	6	4
3	5	44	80	6	4
4	8	18	54	6	4
4	8	44	80	6	4
5	9	18	54	6	4
5	9	44	80	6	4
6	10	18	54	6	4
6	10	44	80	6	4
8	12	22	58	8	4
8	12	64	100	8	4
10	14	26	66	10	4
10	14	60	100	10	4
12	16	28	73	12	4
12	16	55	100	12	4
16	20	34	82	16	4
16	20	52	100	16	4

→ v_c/f_z Page 338+339

MonsterMill – Fraises grande avance

Les spécialistes pour l'usinage des titanes et alliages de titane

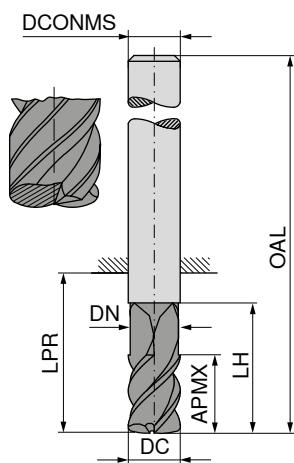
▲ r_{3D} = Rayon à programmer

▲ APMX ne correspond pas à la profondeur de passe maximale



DRAGONSKIN

DRAGONSKIN



DIN 6527

DIN 6527

52 512 ...

52 512 ...

EUR
V1

EUR
V1

77,30 02000

82,01 02100

77,30 03000

82,01 03100

77,30 04000

85,67 04100

83,00 05000

96,03 05100

83,00 06000

96,03 06100

99,40 08000

125,80 08100

133,30 10000

175,70 10100

177,70 12000

224,90 12100

213,20 16000

273,80 16100

DC _{e8} mm	r _{3D} mm	APMX mm	DN mm	LH mm	LPR mm	OAL mm	DCONMS _{hs} mm	ZEFP
2	0,3	1,5	1,7	13	18	54	6	2
2	0,3	1,5	1,7	18	39	75	6	2
3	0,3	1,5	2,7	15	18	54	6	2
3	0,3	1,5	2,7	20	39	75	6	2
4	0,5	2,5	3,6	16	22	58	6	2
4	0,5	2,5	3,6	24	49	85	6	2
5	0,5	3,5	4,6	18	29	65	6	4
5	0,5	3,5	4,6	28	64	100	6	4
6	1,0	3,5	5,2	20	29	65	6	4
6	1,0	3,5	5,2	28	64	100	6	4
8	1,5	4,8	7,0	24	34	70	8	5
8	1,5	4,8	7,0	40	64	100	8	5
10	2,0	5,8	9,0	26	45	85	10	5
10	2,0	5,8	9,0	48	60	100	10	5
12	2,0	6,8	11,0	30	48	93	12	5
12	2,0	6,8	11,0	56	75	120	12	5
16	2,5	8,8	14,5	35	52	100	16	5
16	2,5	8,8	14,5	65	102	150	16	5

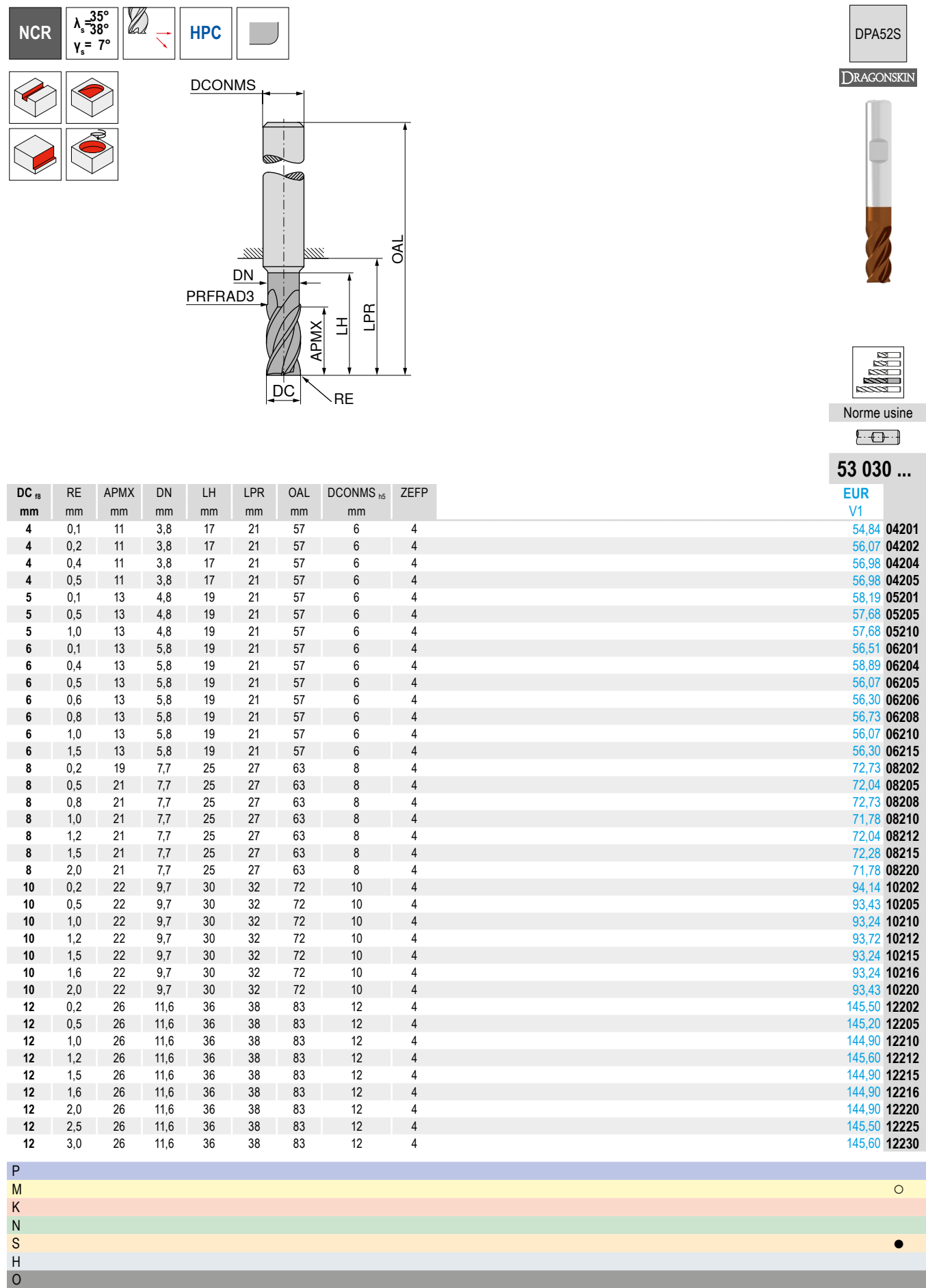
P	○	○
M	○	○
K		
N		
S	●	●
H		
O		

→ v_c/f_z Page 338

MonsterMill – Fraises deux tailles rayonnées

Les spécialistes pour l'usinage des alliages base Nickel

▲ PRFRAD3 = 1 mm



→ v_c/f_z Page 340+341

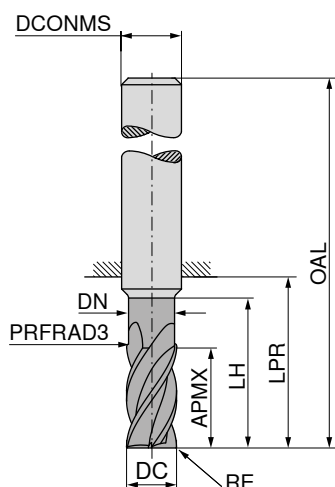
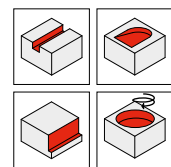
MonsterMill – Fraises deux tailles rayonnées

Les spécialistes pour l'usinage des alliages base Nickel

▲ PRFRAD3 = 1 mm



DPA52S



DRAGONSINK

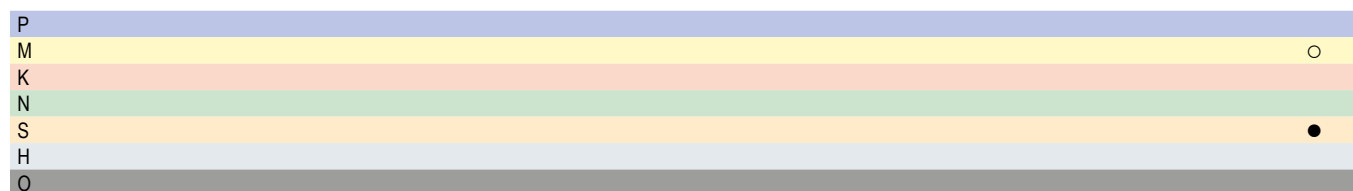


Norme usine



53 030 ...

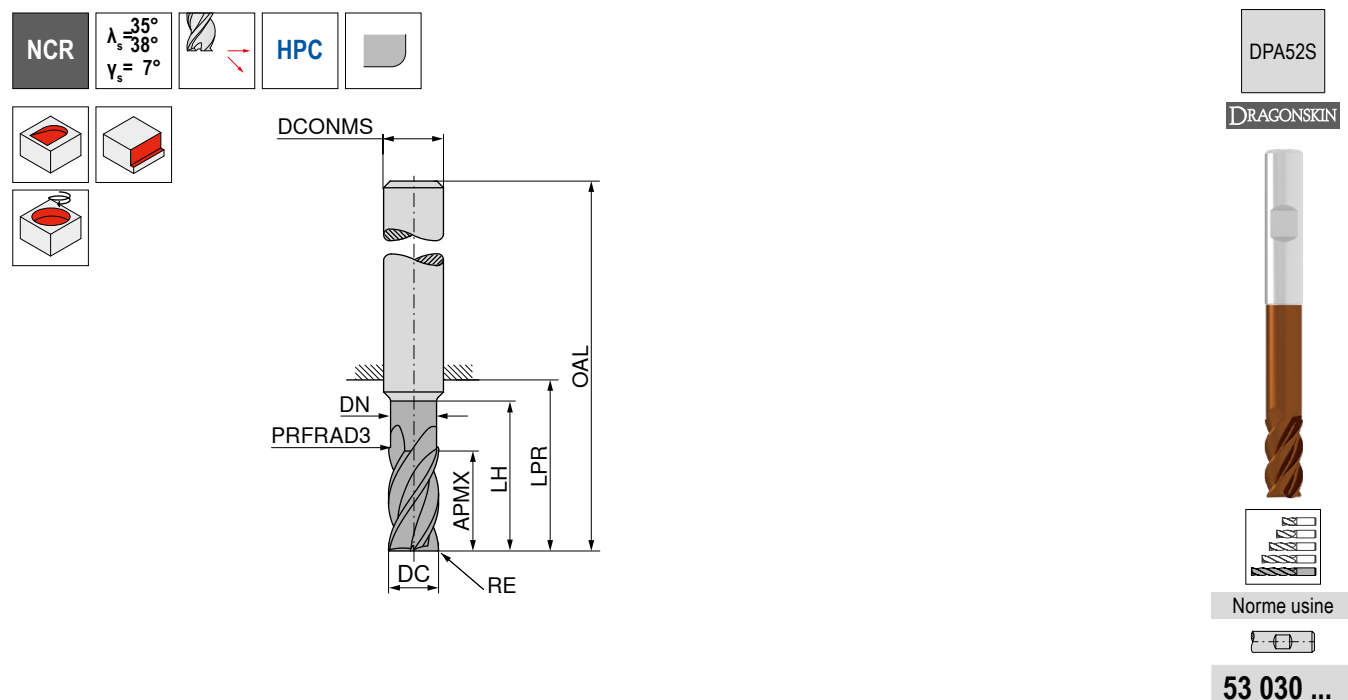
DC _{r8} mm	RE mm	APMX mm	DN mm	LH mm	LPR mm	OAL mm	DCONMS _{h5} mm	ZEFP	EUR V1
16	0,3	36	15,5	42	44	92	16	4	226,30 16203
16	1,0	36	15,5	42	44	92	16	4	225,90 16210
16	1,6	36	15,5	42	44	92	16	4	228,10 16216
16	2,0	36	15,5	42	44	92	16	4	225,70 16220
16	2,5	36	15,5	42	44	92	16	4	226,30 16225
16	3,0	36	15,5	42	44	92	16	4	227,10 16230
16	3,2	36	15,5	42	44	92	16	4	227,10 16232
16	4,0	36	15,5	42	44	92	16	4	225,70 16240
20	0,3	41	19,5	52	54	104	20	4	356,40 20203
20	1,0	41	19,5	52	54	104	20	4	355,50 20210
20	2,0	41	19,5	52	54	104	20	4	355,50 20220
20	3,0	41	19,5	52	54	104	20	4	357,20 20230
20	4,0	41	19,5	52	54	104	20	4	358,90 20240
20	5,0	41	19,5	52	54	104	20	4	359,40 20250
20	6,3	41	19,5	52	54	104	20	4	360,00 20263

→ v_c/f_z Page 340+341

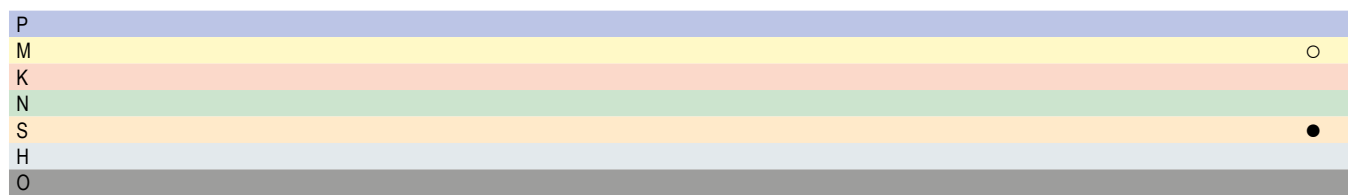
MonsterMill – Fraises deux tailles rayonnées

Les spécialistes pour l'usinage des alliages base Nickel

▲ PRFRAD3 = 1 mm



DC _{re} mm	RE mm	APMX mm	DN mm	LH mm	LPR mm	OAL mm	DCONMS _{re5} mm	ZEFF	EUR V1
4	0,1	8,5	3,8	20	26	62	6	4	53,91 04401
4	0,2	8,5	3,8	20	26	62	6	4	55,14 04402
4	0,4	8,5	3,8	20	26	62	6	4	56,07 04404
4	0,5	8,5	3,8	20	26	62	6	4	56,07 04405
5	0,1	10,5	4,8	25	34	70	6	4	58,60 05401
5	0,5	10,5	4,8	25	34	70	6	4	58,19 05405
5	1,0	10,5	4,8	25	34	70	6	4	58,19 05410
6	0,1	13,0	5,8	30	34	70	6	4	57,68 06401
6	0,4	13,0	5,8	30	34	70	6	4	60,03 06404
6	0,5	13,0	5,8	30	34	70	6	4	57,25 06405
6	0,6	13,0	5,8	30	34	70	6	4	57,49 06406
6	0,8	13,0	5,8	30	34	70	6	4	57,92 06408
6	1,0	13,0	5,8	30	34	70	6	4	56,98 06410
6	1,5	13,0	5,8	30	34	70	6	4	57,49 06415
8	0,2	17,0	7,7	40	44	80	8	4	75,54 08402
8	0,5	17,0	7,7	40	44	80	8	4	74,61 08405
8	0,8	17,0	7,7	40	44	80	8	4	75,37 08408
8	1,0	17,0	7,7	40	44	80	8	4	74,45 08410
8	1,2	17,0	7,7	40	44	80	8	4	74,61 08412
8	1,5	17,0	7,7	40	44	80	8	4	74,84 08415
8	2,0	17,0	7,7	40	44	80	8	4	74,45 08420
10	0,2	21,0	9,7	50	54	94	10	4	97,92 10402
10	0,5	21,0	9,7	50	54	94	10	4	100,00 10405
10	1,0	21,0	9,7	50	54	94	10	4	99,55 10410
10	1,2	21,0	9,7	50	54	94	10	4	100,00 10412
10	1,5	21,0	9,7	50	54	94	10	4	99,32 10415
10	1,6	21,0	9,7	50	54	94	10	4	99,32 10416
10	2,0	21,0	9,7	50	54	94	10	4	99,32 10420
12	0,2	25,0	11,6	60	65	110	12	4	160,70 12402
12	0,5	25,0	11,6	60	65	110	12	4	160,10 12405
12	1,0	25,0	11,6	60	65	110	12	4	159,60 12410
12	1,2	25,0	11,6	60	65	110	12	4	160,10 12412
12	1,5	25,0	11,6	60	65	110	12	4	159,40 12415
12	1,6	25,0	11,6	60	65	110	12	4	159,60 12416
12	2,0	25,0	11,6	60	65	110	12	4	159,10 12420
12	2,5	25,0	11,6	60	65	110	12	4	159,60 12425
12	3,0	25,0	11,6	60	65	110	12	4	159,90 12430

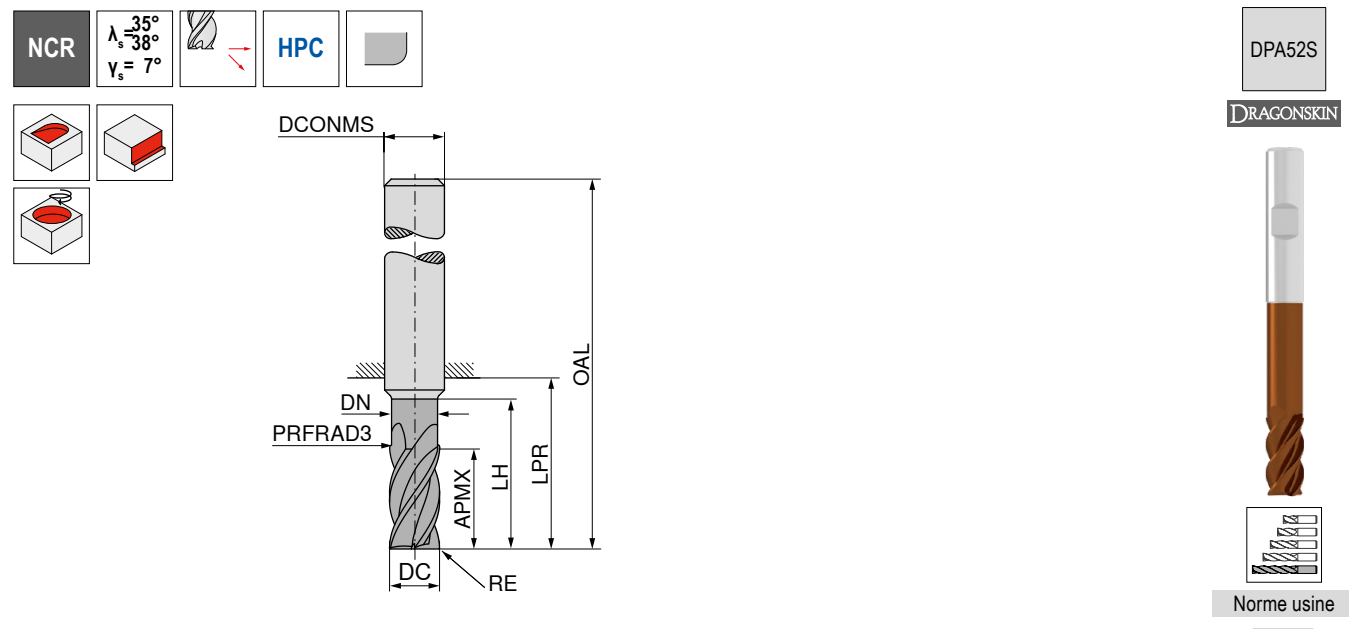


→ v_e/f_z Page 342+343

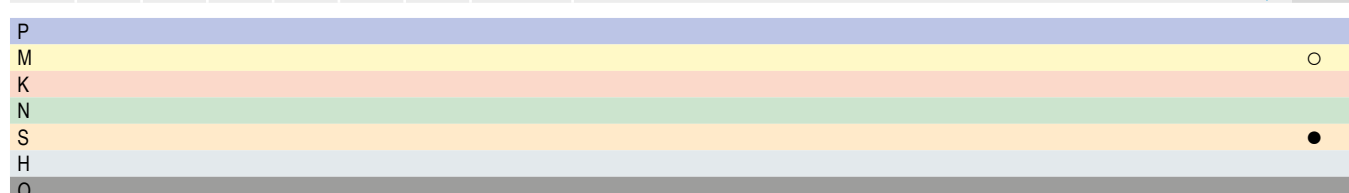
MonsterMill – Fraises deux tailles rayonnées

Les spécialistes pour l'usinage des alliages base Nickel

▲ PRFRAD3 = 1 mm



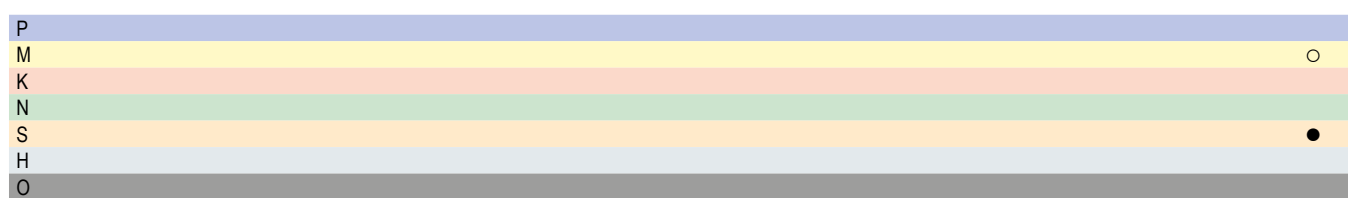
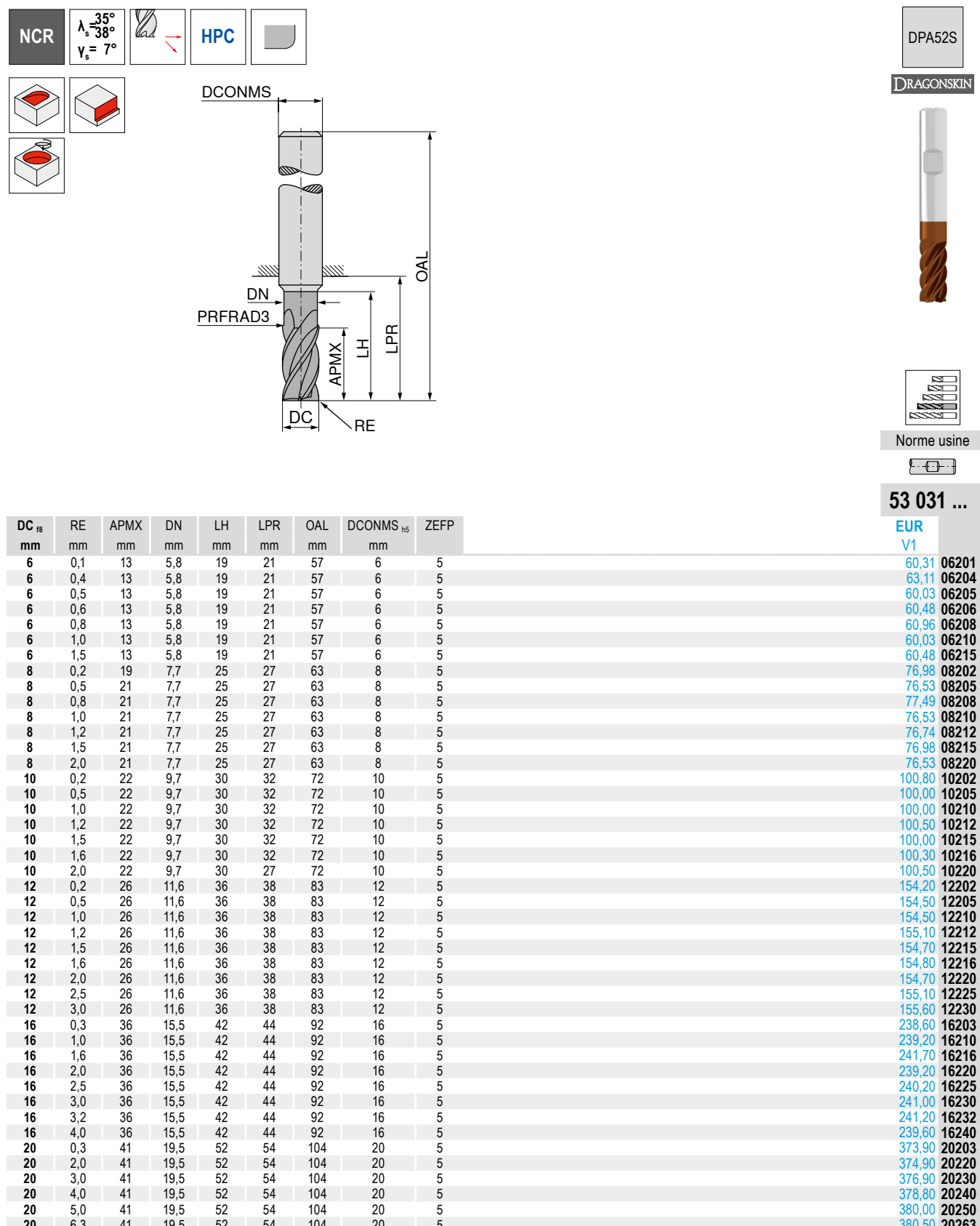
DC _{re} mm	RE mm	APMX mm	DN mm	LH mm	LPR mm	OAL mm	DCONMS _{re} mm	ZEFF	EUR V1
16	0,3	33,0	15,5	80	84	132	16	4	265,40 16403
16	1,0	33,0	15,5	80	84	132	16	4	264,10 16410
16	1,6	33,0	15,5	80	84	132	16	4	265,90 16416
16	2,0	33,0	15,5	80	84	132	16	4	263,10 16420
16	2,5	33,0	15,5	80	84	132	16	4	263,70 16425
16	3,0	33,0	15,5	80	84	132	16	4	264,20 16430
16	3,2	33,0	15,5	80	84	132	16	4	264,50 16432
16	4,0	33,0	15,5	80	84	132	16	4	262,40 16440
20	0,3	42,0	19,5	100	104	154	20	4	438,20 20403
20	1,0	42,0	19,5	100	104	154	20	4	435,60 20410
20	2,0	42,0	19,5	100	104	154	20	4	434,40 20420
20	3,0	42,0	19,5	100	104	154	20	4	436,40 20430
20	4,0	42,0	19,5	100	104	154	20	4	437,70 20440
20	5,0	42,0	19,5	100	104	154	20	4	438,50 20450
20	6,3	42,0	19,5	100	104	154	20	4	439,10 20463

→ v_c/f_z Page 342+343

MonsterMill – Fraises deux tailles rayonnées

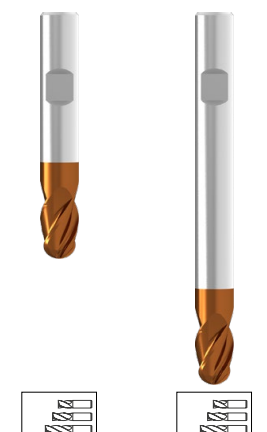
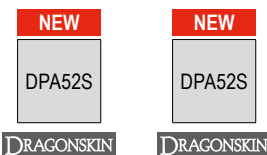
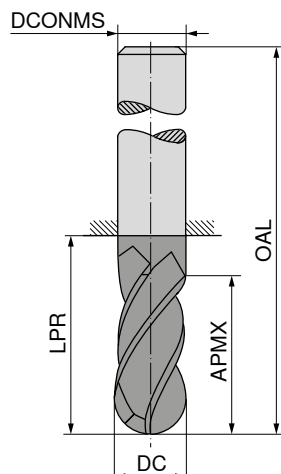
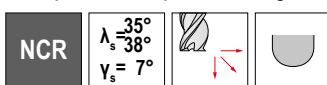
Les spécialistes pour l'usinage des alliages base Nickel

▲ PRFRAD3 = 1 mm

→ v_c/f_z Page 340

MonsterMill – Fraises hémisphériques

Les spécialistes pour l'usinage des alliages base Nickel

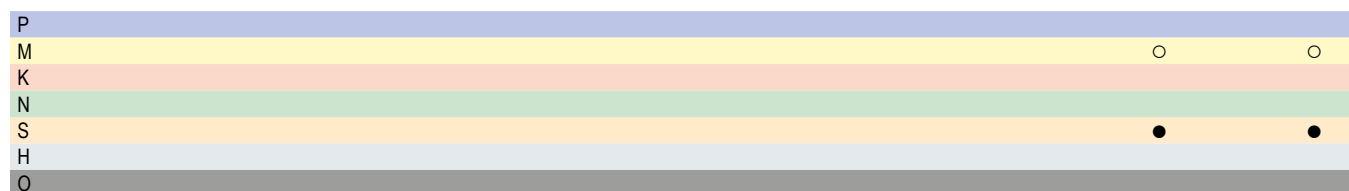


Norme usine Norme usine

53 032 ... **53 033 ...**

EUR	V1	02210	65,12	02410
62,72	02210			
58,58	03215		60,71	03415
58,58	04220		60,71	04420
59,78	05225		61,91	05425
57,77	06230		60,04	06430
76,59	08240		79,53	08440
99,80	10250		103,50	10450
157,20	12260		163,40	12460
248,10	16280		257,60	16480

DC $\pm 0,01$ mm	APMX mm	LPR mm	OAL mm	DCONMS h_5 mm	ZEFP
2	4	18	54	6	4
2	4	44	80	6	4
3	5	18	54	6	4
3	5	44	80	6	4
4	8	18	54	6	4
4	8	44	80	6	4
5	9	18	54	6	4
5	9	44	80	6	4
6	10	18	54	6	4
6	10	44	80	6	4
8	12	22	58	8	4
8	12	64	100	8	4
10	14	26	66	10	4
10	14	60	100	10	4
12	16	28	73	12	4
12	16	55	100	12	4
16	20	34	82	16	4
16	20	52	100	16	4



→ v_c/f_z Page 342+343

MonsterMill – Fraises deux tailles rayonnées

Les spécialistes pour la finition des aciers trempés jusqu'à 70 HRC

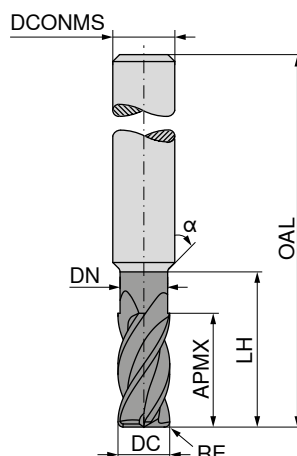
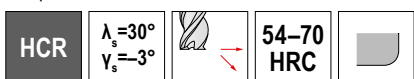
▲ Précision du rayon 0 / -0,005 mm

▲ T_x = longueur utile maximale

▲ DC Tolérance

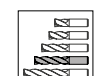
jusque Ø 6 mm: 0 / -0,01 mm

à partir de Ø 6 mm: 0 / -0,02 mm



DRAGONSKIN

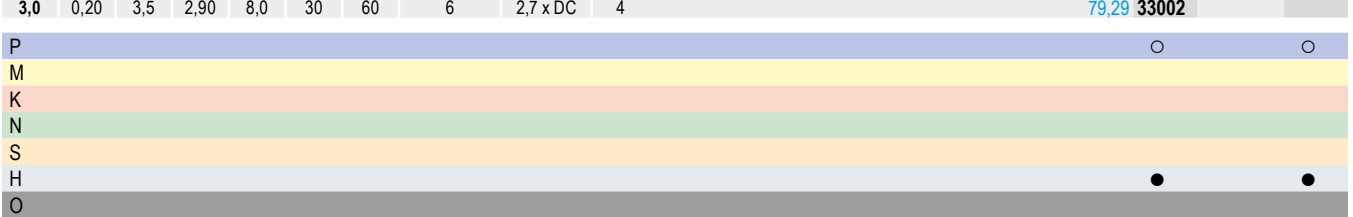
DRAGONSKIN



53 603 ...

53 604 ...

DC mm	RE mm	APMX mm	DN mm	LH mm	α°	OAL mm	DCONMS mm	T_x	ZEFF	EUR V1
0,2	0,05	0,5	0,5	30	30	48	4	2,5 x DC	2	67,37 30205
0,2	0,05	0,5	0,18	1,0	30	48	4	5 x DC	2	67,37 40205
0,3	0,05	0,6	0,27	1,0	30	48	4	3,3 x DC	2	63,86 30305
0,3	0,05	0,6	0,27	2,0	30	48	4	6,7 x DC	2	63,86 40305
0,4	0,05	0,7	0,35	1,0	30	48	4	2,5 x DC	2	63,86 30405
0,4	0,05	0,7	0,35	2,0	30	48	4	5 x DC	2	63,86 40405
0,4	0,05	0,7	0,35	3,0	30	48	4	7,5 x DC	2	63,86 50405
0,5	0,05	0,7	0,45	1,0	30	48	4	2 x DC	2	62,02 30505
0,5	0,05	0,7	0,45	2,0	30	48	4	4 x DC	2	62,02 40505
0,5	0,05	0,7	0,45	2,5	30	48	4	5 x DC	2	62,02 50505
0,5	0,05	0,7	0,45	3,0	30	48	4	6 x DC	2	62,02 60505
0,5	0,05	0,7	0,45	4,0	30	48	4	8 x DC	2	62,02 70505
0,6	0,05	0,8	0,55	2,0	30	48	4	3,3 x DC	2	60,36 30605
0,6	0,05	0,8	0,55	3,0	30	48	4	5 x DC	2	60,36 40605
0,6	0,05	0,8	0,55	4,5	30	48	4	7,5 x DC	2	60,36 50605
0,6	0,05	0,8	0,55	6,0	30	48	4	10 x DC	2	60,36 30605
0,8	0,05	1,0	0,75	2,0	30	48	4	2,5 x DC	2	60,36 30805
0,8	0,05	1,0	0,75	4,0	30	48	4	5 x DC	2	60,36 40805
0,8	0,05	1,0	0,75	6,0	30	48	4	7,5 x DC	2	60,36 50805
0,8	0,05	1,0	0,75	8,0	30	48	4	10 x DC	2	62,24 30805
0,8	0,05	1,0	0,75	10,0	30	48	4	12,5 x DC	2	62,24 40805
1,0	0,10	1,5	0,95	2,0	30	48	4	2 x DC	4	68,32 31001
1,0	0,10	1,5	0,95	4,0	30	48	4	4 x DC	4	69,76 41001
1,0	0,10	1,5	0,95	6,0	30	48	4	6 x DC	4	69,76 51001
1,0	0,10	1,5	0,95	8,0	30	48	4	8 x DC	4	71,53 61001
1,0	0,10	1,5	0,95	10,0	30	48	4	10 x DC	4	71,53 31001
1,0	0,10	1,5	0,95	14,0	30	48	4	14 x DC	4	71,53 41001
1,5	0,10	2,0	1,45	4,0	30	48	4	2,7 x DC	4	69,39 31501
1,5	0,10	2,0	1,45	6,0	30	48	4	4 x DC	4	70,97 41501
1,5	0,10	2,0	1,45	10,0	30	48	4	6,7 x DC	4	70,97 51501
1,5	0,10	2,0	1,45	12,0	30	48	4	8 x DC	4	72,53 61501
1,5	0,10	2,0	1,45	15,0	30	60	4	10 x DC	4	73,41 31501
1,5	0,10	2,0	1,45	20,0	30	60	4	13,3 x DC	4	75,20 41501
2,0	0,20	2,5	1,90	4,0	30	48	4	2 x DC	4	69,39 32002
2,0	0,20	2,5	1,90	6,0	30	48	4	3 x DC	4	70,97 42002
2,0	0,20	2,5	1,90	8,0	30	48	4	4 x DC	4	70,97 52002
2,0	0,20	2,5	1,90	10,0	30	48	4	5 x DC	4	70,97 62002
2,0	0,20	2,5	1,90	12,0	30	48	4	6 x DC	4	72,53 72002
2,0	0,20	2,5	1,90	16,0	30	60	4	8 x DC	4	73,41 82002
2,0	0,20	2,5	1,90	20,0	30	60	4	10 x DC	4	75,20 32002
2,0	0,20	2,5	1,90	25,0	30	60	4	12,5 x DC	4	75,20 42002
3,0	0,20	3,5	2,90	8,0	30	60	6	2,7 x DC	4	79,29 33002



→ v_c/f_z Page 344-349

MonsterMill – Fraise deux tailles rayonnées

Les spécialistes pour la finition des aciers trempés jusqu'à 70 HRC

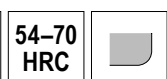
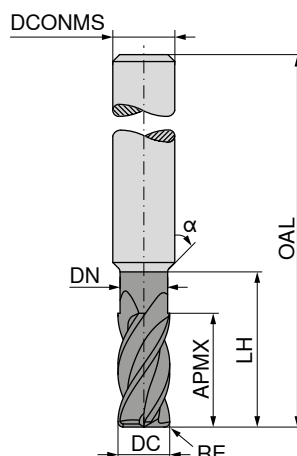
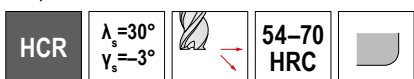
▲ Précision du rayon 0 / -0,005 mm

▲ T_x = longueur utile maximale

▲ DC Tolérance

jusque Ø 6 mm: 0 / -0,01 mm

à partir de Ø 6 mm: 0 / -0,02 mm



DRAGONSKIN

DRAGONSKIN



53 603 ...

53 604 ...

EUR V1

EUR V1

DC mm	RE mm	APMX mm	DN mm	LH mm	α°	OAL mm	DCONMS mm	T_x	ZEFF
3,0	0,20	3,5	2,90	12,0	30	60	6	4 x DC	4
3,0	0,20	3,5	2,90	16,0	30	60	6	5,3 x DC	4
3,0	0,20	3,5	2,90	20,0	30	70	6	6,7 x DC	4
3,0	0,20	3,5	2,90	24,0	30	70	6	8 x DC	4
4,0	0,20	4,5	3,90	8,0	30	60	6	2 x DC	4
4,0	0,20	4,5	3,90	12,0	30	60	6	3 x DC	4
4,0	0,20	4,5	3,90	16,0	30	60	6	4 x DC	4
4,0	0,20	4,5	3,90	20,0	30	70	6	5 x DC	4
4,0	0,20	4,5	3,90	24,0	30	70	6	6 x DC	4
4,0	0,20	4,5	3,90	28,0	30	70	6	7 x DC	4
4,0	0,50	4,5	3,90	8,0	30	60	6	2 x DC	4
4,0	0,50	4,5	3,90	12,0	30	60	6	3 x DC	4
4,0	0,50	4,5	3,90	16,0	30	60	6	4 x DC	4
4,0	0,50	4,5	3,90	20,0	30	70	6	5 x DC	4
4,0	0,50	4,5	3,90	24,0	30	70	6	6 x DC	4
4,0	0,50	4,5	3,90	28,0	30	70	6	7 x DC	4
4,0	1,00	4,5	3,90	8,0	30	60	6	2 x DC	4
4,0	1,00	4,5	3,90	12,0	30	60	6	3 x DC	4
4,0	1,00	4,5	3,90	16,0	30	60	6	4 x DC	4
4,0	1,00	4,5	3,90	20,0	30	70	6	5 x DC	4
4,0	1,00	4,5	3,90	24,0	30	70	6	6 x DC	4
4,0	1,00	4,5	3,90	28,0	30	70	6	7 x DC	4
6,0	0,20	6,5	5,90	12,0		60	6	2 x DC	4
6,0	0,20	6,5	5,90	16,0		60	6	2,7 x DC	4
6,0	0,20	6,5	5,90	20,0		60	6	3,3 x DC	4
6,0	0,50	6,5	5,90	12,0		60	6	2 x DC	4
6,0	0,50	6,5	5,90	16,0		60	6	2,7 x DC	4
6,0	0,50	6,5	5,90	20,0		60	6	3,3 x DC	4
6,0	1,00	6,5	5,90	12,0		60	6	2 x DC	4
6,0	1,00	6,5	5,90	16,0		60	6	2,7 x DC	4
6,0	1,00	6,5	5,90	20,0		60	6	3,3 x DC	4
8,0	0,50	8,5	7,90	16,0		60	8	2 x DC	4
8,0	0,50	8,5	7,90	40,0		80	8	5 x DC	4
8,0	1,00	8,5	7,90	16,0		60	8	2 x DC	4
8,0	1,00	8,5	7,90	40,0		80	8	5 x DC	4
10,0	0,50	10,5	9,90	20,0		70	10	2 x DC	4
10,0	0,50	10,5	9,90	40,0		90	10	4 x DC	4
10,0	1,00	10,5	9,90	20,0		70	10	2 x DC	4
10,0	1,00	10,5	9,90	40,0		90	10	4 x DC	4
12,0	1,00	12,5	11,90	24,0		70	12	2 x DC	4
12,0	1,00	12,5	11,90	40,0		90	12	3,3 x DC	4

P	O	O
M		
K		
N		
S		
H	●	●
O		

→ v_c/f_z Page 344-349

MonsterMill – Fraise deux tailles rayonnées

Les spécialistes pour la finition des aciers trempés jusqu'à 70 HRC

▲ Précision du rayon 0 / -0,005 mm

▲ T_x = longueur utile maximale

▲ DC Tolérance

jusque Ø 6 mm: 0 / -0,01 mm

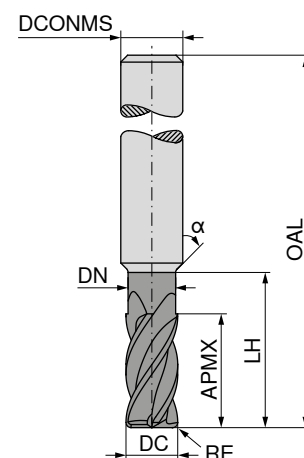
à partir de Ø 6 mm: 0 / -0,02 mm

HCR

$\lambda_s = 50^\circ$
 $Y_s = -15^\circ$



54-70 HRC



DPX62U

DPX62U

DRAGONSKIN

DRAGONSKIN



Norme usine

Norme usine

53 605 ...

53 606 ...

EUR V1

EUR V1

72,75 410

87,85 410

73,97 420

89,04 420

85,67 030

102,30 030

90,26 040

104,70 040

86,64 060

102,30 060

126,40 080

144,50 080

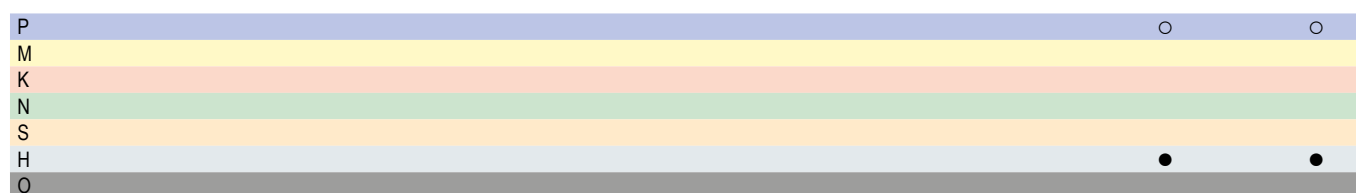
153,00 100

174,50 100

173,40 120

199,90 120

DC mm	RE mm	APMX mm	DN mm	LH mm	α°	OAL mm	DCONMS h_5 mm	T_x	ZEFP
1	0,03	2			30	48	4	2 x DC	4
1	0,03	3	0,95	4	30	48	4	3 x DC	4
2	0,03	4			30	48	4	2 x DC	4
2	0,03	6	1,90	8	30	48	4	3 x DC	4
3	0,03	6			30	60	6	2 x DC	4
3	0,03	9	2,90	12	30	60	6	3 x DC	4
4	0,05	8			30	60	6	2 x DC	4
4	0,05	12	3,90	16	30	60	6	3 x DC	4
6	0,05					60	6	2 x DC	4
6	0,05	18	5,90	24		60	6	3 x DC	4
8	0,05	16				60	8	2 x DC	4
8	0,05	24	7,90	32		70	8	3 x DC	4
10	0,05	20				70	10	2 x DC	4
10	0,05	30	9,90	40		80	10	3 x DC	4
12	0,05	24				70	12	2 x DC	4
12	0,05	36	11,90	44		90	12	3 x DC	4



→ v_c/f_z Page 350

MonsterMill – Fraises hémisphériques

Les spécialistes pour la finition des aciers trempés jusqu'à 70 HRC

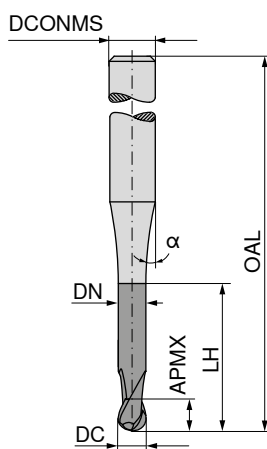
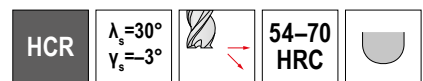
▲ Précision du rayon 0 / -0,005 mm

▲ T_x = longueur utile maximale

▲ DC Tolérance

jusque Ø 6 mm: 0 / -0,01 mm

à partir de Ø 6 mm: 0 / -0,02 mm



DRAGONSKIN

DRAGONSKIN



Norme usine

Norme usine

53 600 ...

53 601 ...

EUR V1

EUR V1

67,37	302
67,37	402
63,86	303
63,86	403
63,86	304
63,86	404
63,86	504
62,02	305
62,02	405
62,02	505
62,02	605
62,02	705
62,02	306
62,02	406
62,02	506
	62,02 306
60,36	308
60,36	408
60,36	508
	60,36 308
	60,36 408
58,33	310
58,33	410
58,33	510
58,33	610
	58,33 310
59,28	315
59,28	415
59,28	515
59,28	615
	59,28 315

DC mm	APMX mm	DN mm	LH mm	α°	OAL mm	DCONMS _{h5} mm	T _x	ZEFF
0,2	0,5	0,5	0,5	15	48	4	2,5 x DC	2
0,2	0,5	0,18	1,0	15	48	4	5 x DC	2
0,3	0,5	0,27	1,0	15	48	4	3,3 x DC	2
0,3	0,5	0,27	2,0	15	48	4	6,7 x DC	2
0,4	0,5	0,35	1,0	15	48	4	2,5 x DC	2
0,4	0,5	0,35	2,0	15	48	4	5 x DC	2
0,4	0,5	0,35	3,0	15	48	4	7,5 x DC	2
0,5	0,5	0,45	1,0	15	48	4	2 x DC	2
0,5	0,5	0,45	2,0	15	48	4	4 x DC	2
0,5	0,5	0,45	2,5	15	48	4	5 x DC	2
0,5	0,5	0,45	3,0	15	48	4	6 x DC	2
0,5	0,5	0,45	4,0	15	48	4	8 x DC	2
0,6	0,6	0,55	2,0	15	48	4	3,3 x DC	2
0,6	0,6	0,55	3,0	15	48	4	5 x DC	2
0,6	0,6	0,55	4,5	15	48	4	7,5 x DC	2
0,6	0,6	0,55	6,0	15	48	4	10 x DC	2
0,8	1,0	0,75	2,0	15	48	4	2,5 x DC	2
0,8	1,0	0,75	4,0	15	48	4	5 x DC	2
0,8	1,0	0,75	6,0	15	48	4	7,5 x DC	2
0,8	1,0	0,75	8,0	15	48	4	10 x DC	2
0,8	1,0	0,75	10,0	15	48	4	12,5 x DC	2
1,0	1,5	0,95	2,0	15	48	4	2 x DC	2
1,0	1,5	0,95	4,0	15	48	4	4 x DC	2
1,0	1,5	0,95	6,0	15	48	4	6 x DC	2
1,0	1,5	0,95	8,0	15	48	4	8 x DC	2
1,0	1,5	0,95	10,0	15	48	4	10 x DC	2
1,0	1,5	0,95	14,0	15	48	4	14 x DC	2
1,5	1,5	1,45	4,0	15	48	4	2,7 x DC	2
1,5	1,5	1,45	6,0	15	48	4	4 x DC	2
1,5	1,5	1,45	8,0	15	48	4	5,3 x DC	2
1,5	1,5	1,45	10,0	15	48	4	6,7 x DC	2
1,5	1,5	1,45	15,0	15	60	4	10 x DC	2

P	○	○
M		
K		
N		
S		
H	●	●
O		

→ v_c/f_z Page 352+353

MonsterMill – Fraises hémisphériques

Les spécialistes pour la finition des aciers trempés jusqu'à 70 HRC

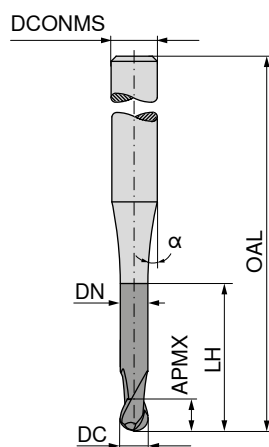
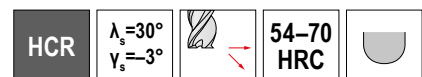
▲ Précision du rayon 0 / -0,005 mm

▲ T_x = longueur utile maximale

▲ DC Tolérance

jusque Ø 6 mm: 0 / -0,01 mm

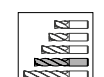
à partir de Ø 6 mm: 0 / -0,02 mm



DRAGONSKIN



DRAGONSKIN



Norme usine

Norme usine

53 600 ...

53 601 ...

EUR V1

EUR V1

61,19 415

59,28 320

59,28 420

59,28 520

60,36 620

60,36 720

61,31 820

63,27 320

63,27 420

63,86 330

63,86 430

63,86 530

65,33 630

67,21 730

67,21 740

67,21 840

67,86 340

67,86 440

67,86 540

67,86 640

67,86 740

67,86 840

67,86 940

63,86 360

63,86 460

63,86 560

95,06 380

101,90 480

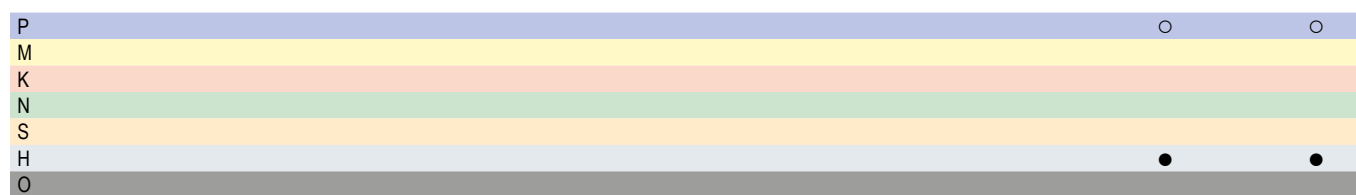
112,20 100

121,60 101

149,20 120

159,40 121

DC mm	APMX mm	DN mm	LH mm	α°	OAL mm	DCONMS mm	T_x	ZEFF
1,5	1,5	1,45	20,0	15	60	4	13,3 x DC	2
2,0	2,5	1,90	4,0	15	48	4	2 x DC	2
2,0	2,5	1,90	6,0	15	48	4	3 x DC	2
2,0	2,5	1,90	8,0	15	48	4	4 x DC	2
2,0	2,5	1,90	10,0	15	48	4	5 x DC	2
2,0	2,5	1,90	12,0	15	48	4	6 x DC	2
2,0	2,5	1,90	16,0	15	60	4	8 x DC	2
2,0	2,5	1,90	20,0	15	60	4	10 x DC	2
2,0	2,5	1,90	25,0	15	60	4	12,5 x DC	2
3,0	3,5	2,90	8,0	15	60	6	2,7 x DC	2
3,0	3,5	2,90	12,0	15	60	6	4 x DC	2
3,0	3,5	2,90	16,0	15	60	6	5,3 x DC	2
3,0	3,5	2,90	20,0	15	70	6	6,7 x DC	2
3,0	3,5	2,90	24,0	15	70	6	8 x DC	2
4,0	4,5	3,90	8,0	15	60	6	2 x DC	2
4,0	4,5	3,90	12,0	15	60	6	3 x DC	2
4,0	4,5	3,90	16,0	15	60	6	4 x DC	2
4,0	4,5	3,90	20,0	15	70	6	5 x DC	2
4,0	4,5	3,90	24,0	15	70	6	6 x DC	2
4,0	4,5	3,90	28,0	15	70	6	7 x DC	2
6,0	6,5	5,90	12,0		60	6	2 x DC	2
6,0	6,5	5,90	16,0		60	6	2,7 x DC	2
6,0	6,5	5,90	20,0		60	6	3,3 x DC	2
8,0	8,5	7,90	16,0		60	8	2 x DC	2
8,0	8,5	7,90	40,0		80	8	5 x DC	2
10,0	10,5	9,90	20,0	15	70	10	2 x DC	2
10,0	10,5	9,90	40,0		90	10	4 x DC	2
12,0	12,5	11,90	24,0		75	12	2 x DC	2
12,0	12,5	11,90	40,0		90	12	3,3 x DC	2

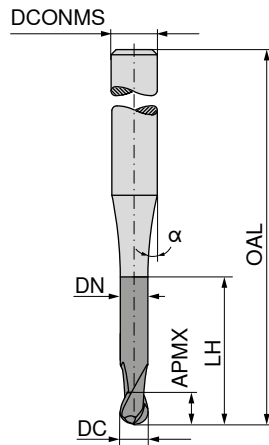
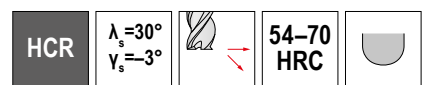


→ v_c/f_z Page 352+353

MonsterMill – Fraises hémisphériques

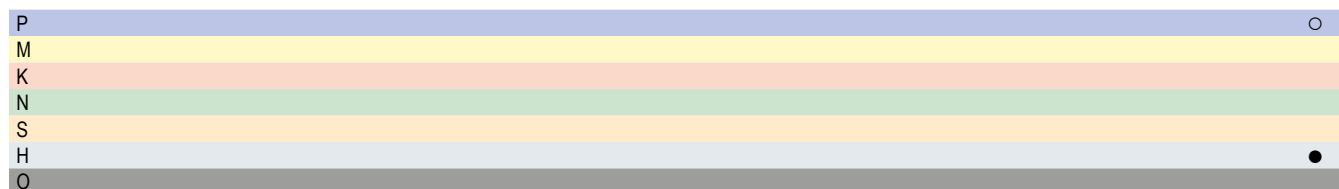
Les spécialistes pour la finition des aciers trempés jusqu'à 70 HRC

▲ Précision du rayon: $\pm 0,01$ mm



53 602 ...

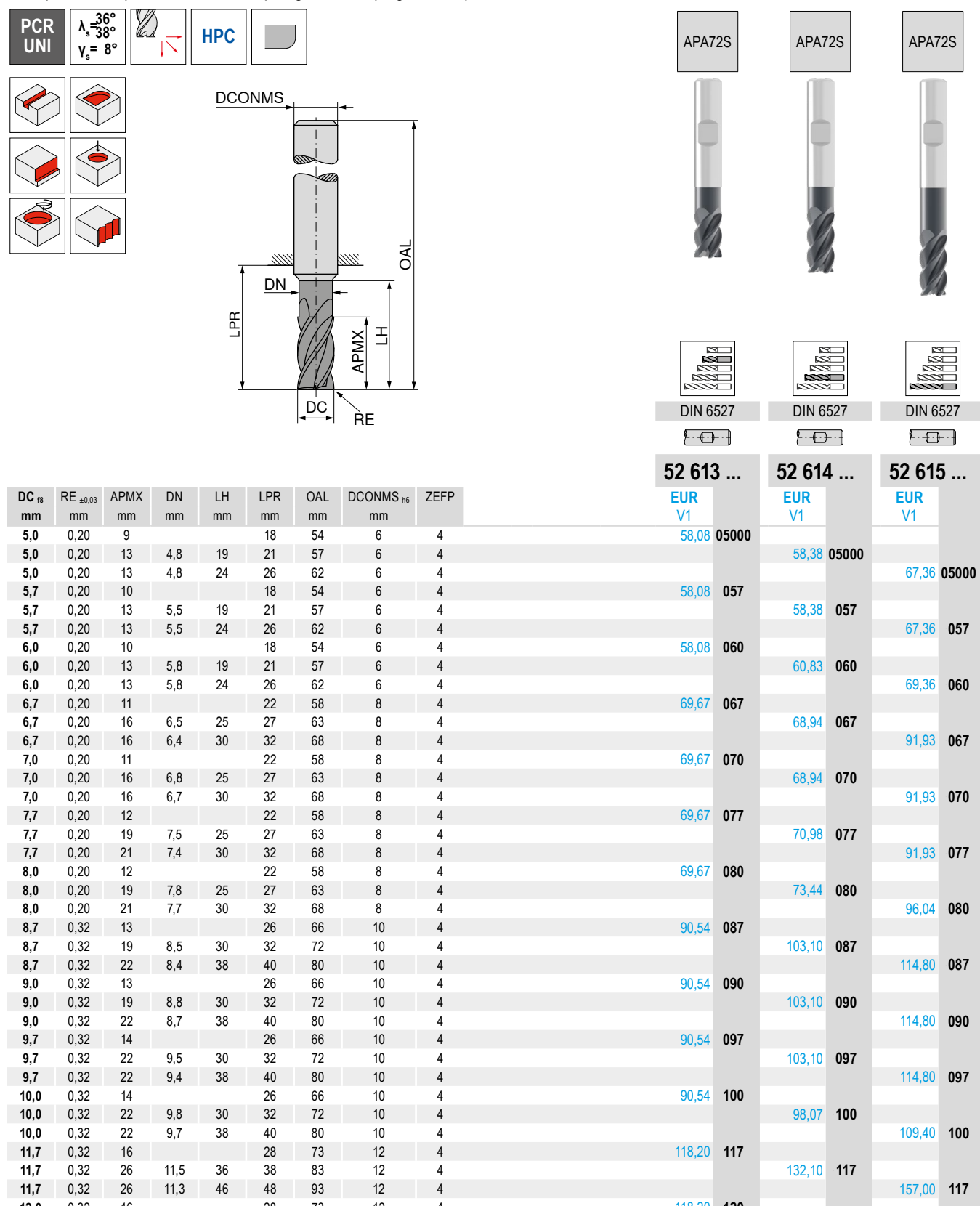
DC mm	APMX mm	DN mm	LH mm	α°	OAL mm	DCONMS mm	T_x	ZEFF	EUR V1	
3	3,5	2,9	8	15	60	6	2,7 x DC	4	73,01	330
3	3,5	2,9	12	15	60	6	4 x DC	4	73,01	430
3	3,5	2,9	16	15	60	6	5,3 x DC	4	73,01	530
3	3,5	2,9	20	15	70	6	6,7 x DC	4	74,49	630
3	3,5	2,9	24	15	70	6	8 x DC	4	76,32	730
4	4,5	3,9	8	15	60	6	2 x DC	4	74,95	340
4	4,5	3,9	12	15	60	6	3 x DC	4	76,27	440
4	4,5	3,9	16	15	60	6	4 x DC	4	76,27	540
4	4,5	3,9	20	15	70	6	5 x DC	4	77,75	640
4	4,5	3,9	24	15	70	6	6 x DC	4	79,63	740
4	4,5	3,9	28	15	70	6	7 x DC	4	79,63	840
6	6,5	5,9	12		60	6	2 x DC	4	79,52	360
6	6,5	5,9	16		60	6	2,7 x DC	4	82,30	460
6	6,5	5,9	20		60	6	3,3 x DC	4	82,30	560
8	8,5	7,9	16		60	8	2 x DC	4	104,70	380
8	8,5	7,9	40		80	8	5 x DC	4	111,50	480
10	10,5	9,9	20		70	10	2 x DC	4	124,00	100
10	10,5	9,9	40		90	10	4 x DC	4	133,60	101
12	12,5	11,9	24		75	12	2 x DC	4	163,20	120
12	12,5	11,9	40		90	12	3,3 x DC	4	173,40	121



→ v_c/f_z Page 351

MonsterMill – Fraises rayonnées pour le travail en plongée

Les spécialistes pour les travaux en plongée, le ramping et l'interpolation hélicoïdale

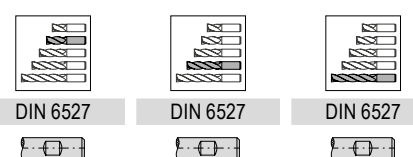
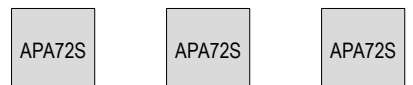
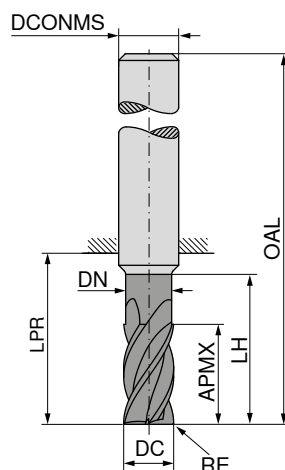
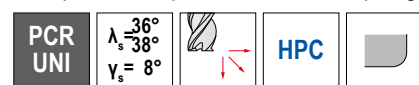


P	●	●	●
M	○	○	○
K	●	●	●
N			
S			
H			
O			

→ v_c/f_z Page 354+355

MonsterMill – Fraises rayonnées pour le travail en plongée

Les spécialistes pour les travaux en plongée, le ramping et l'interpolation hélicoïdale



								52 613 ...	52 614 ...	52 615 ...	
DC_{r8}	RE ±0,03	APMX	DN	LH	LPR	OAL	DCONMS_{i6}	ZEFFP	EUR V1	EUR V1	EUR V1
13,7	0,32	18			30	75	14	4	149,30	137	
13,7	0,32	26	13,5	36	38	83	14	4	156,60	137	189,30
13,7	0,32	26	13,3	52	54	99	14	4	149,30	140	140
14,0	0,32	18			30	75	14	4	162,40	140	184,50
14,0	0,32	26	13,8	36	38	83	14	4	189,80	155	212,90
14,0	0,32	26	13,6	52	54	99	14	4	220,20	160	264,10
15,5	0,32	22			34	82	16	4	226,10	175	249,20
15,5	0,32	32	15,3	42	44	92	16	4	249,20	175	297,00
15,5	0,32	36	15,0	58	60	108	16	4	256,50	180	336,10
16,0	0,32	22			34	82	16	4	279,60	195	435,90
16,0	0,32	32	15,8	42	44	92	16	4	347,70	200	427,80
16,0	0,32	36	15,5	58	60	108	16	4			160
17,5	0,32	24			36	84	18	4			175
17,5	0,32	32	17,3	42	44	92	18	4			180
17,5	0,32	36	17,0	67	69	117	18	4			180
18,0	0,32	24			36	84	18	4			180
18,0	0,32	32	17,8	42	44	92	18	4			180
18,0	0,32	36	17,5	67	69	117	18	4			180
19,5	0,50	26			42	92	20	4			195
19,5	0,50	38	19,3	52	54	104	20	4			195
19,5	0,50	41	19,0	74	76	126	20	4			195
20,0	0,50	26			42	92	20	4	279,60	200	
20,0	0,50	38	19,8	52	54	104	20	4	347,70	200	
20,0	0,50	41	19,5	74	76	126	20	4	427,80	200	

P	●	●	●
M	○	○	○
K	●	●	●
N			
S			
H			
O			

→ v_c/f_z Page 354+355

MonsterMill – Fraises rayonnées pour le travail en plongée

Les spécialistes pour les travaux en plongée, le ramping et l'interpolation hélicoïdale

- ▲ Adaptée au fraisage trochoïdal
- ▲ Brise copeaux espacés de 0,9xDC

PCR UNI
 $\lambda_s = 36^\circ$
 $\gamma_s = 10^\circ$

HPC

APA72S

DIN 6527

52 619 ...

DC _{r8} mm	RE _{±0,03} mm	APMX mm	DN mm	LH mm	LPR mm	OAL mm	DCONMS _{h6} mm	ZEFF	EUR V1
5	0,20	17	4,8	24	26	62	6	4	71,60 05202
6	0,20	17	5,8	25	26	62	6	4	71,60 06202
8	0,20	24	7,7	30	32	68	8	4	95,29 08202
10	0,32	30	9,7	35	40	80	10	4	111,30 10203
12	0,32	36	11,6	45	48	93	12	4	150,30 12203
14	0,32	42	13,6	50	54	99	14	4	190,30 14203
16	0,32	48	15,5	56	60	108	16	4	256,40 16203
18	0,32	54	17,5	67	69	117	18	4	313,40 18203
20	0,50	60	19,5	70	76	126	20	4	421,10 20205

P ●

M ○

K ●

N

S

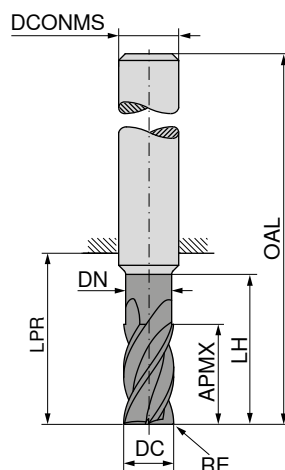
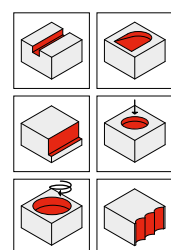
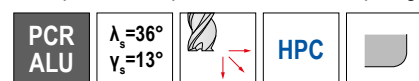
H

O

→ v_c/f_z Page 356+357

MonsterMill – Fraises rayonnées

Les spécialistes pour les travaux en plongée, le ramping et l'interpolation hélicoïdale



DRAGONSKIN



DRAGONSKIN



DIN 6527



DIN 6527

DC _{rs} mm	RE _{±0,03} mm	APMX mm	DN mm	LH mm	LPR mm	OAL mm	DCONMS _{h6} mm	ZEFP
5,0	0,20	13	4,8	19	21	57	6	4
5,0	0,20	13	4,8	24	26	62	6	4
5,7	0,20	13	5,5	19	21	57	6	4
5,7	0,20	13	5,5	24	26	62	6	4
6,0	0,20	13	5,8	19	21	57	6	4
6,0	0,20	13	5,8	24	26	62	6	4
7,7	0,20	19	7,5	25	27	63	8	4
7,7	0,20	21	7,4	30	32	68	8	4
8,0	0,20	19	7,8	25	27	63	8	4
8,0	0,20	21	7,7	30	32	68	8	4
9,0	0,32	19	8,8	30	32	72	10	4
9,0	0,32	22	8,7	38	40	80	10	4
9,7	0,32	22	9,5	30	32	72	10	4
9,7	0,32	22	9,4	38	40	80	10	4
10,0	0,32	22	9,8	30	32	72	10	4
10,0	0,32	22	9,7	38	40	80	10	4
11,7	0,32	26	11,5	36	38	83	12	4
11,7	0,32	26	11,3	46	48	93	12	4
12,0	0,32	26	11,8	36	38	83	12	4
12,0	0,32	26	11,6	46	48	93	12	4
13,7	0,32	26	13,5	36	38	83	14	4
13,7	0,32	26	13,3	52	54	99	14	4
14,0	0,32	26	13,8	36	38	83	14	4
14,0	0,32	26	13,6	52	54	99	14	4
15,5	0,32	32	15,3	42	44	92	16	4
15,5	0,32	36	15,0	58	60	108	16	4
16,0	0,32	32	15,8	42	44	92	16	4
16,0	0,32	36	15,5	58	60	108	16	4
17,5	0,32	32	17,3	42	44	92	18	4
17,5	0,32	36	17,0	67	69	117	18	4
18,0	0,32	32	17,8	42	44	92	18	4
18,0	0,32	36	17,5	67	69	117	18	4
19,5	0,50	38	19,3	52	54	104	20	4
19,5	0,50	41	19,0	74	76	126	20	4
20,0	0,50	38	19,8	52	54	104	20	4
20,0	0,50	41	19,5	74	76	126	20	4

52 616 ...

EUR V1

050

75,03

050

68,02

057

75,03

057

68,02

060

77,26

060

80,68

077

100,80

077

85,45

080

105,20

080

112,80

090

124,10

090

112,80

097

124,10

097

109,40

100

119,30

100

146,30

117

170,20

117

139,40

120

163,40

120

174,20

137

207,40

137

180,50

140

202,70

140

234,50

155

285,80

155

241,70

160

272,80

175

320,30

175

279,30

180

319,70

180

365,40

195

464,90

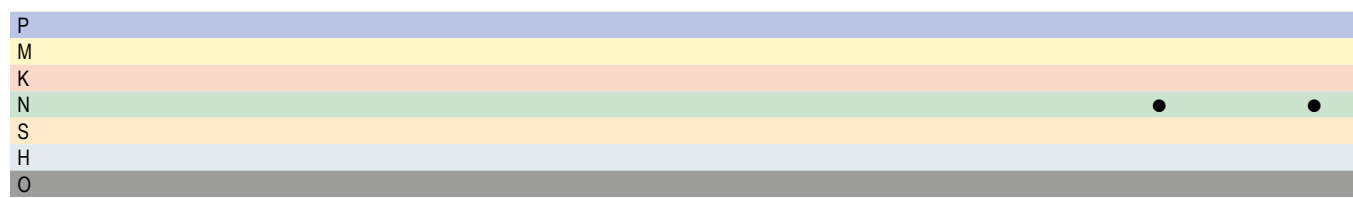
195

377,80

200

457,00

200

→ v_c/f_z Page 358+359

MonsterMill – Fraises rayonnées pour le travail en plongée

Les spécialistes pour les travaux en plongée, le ramping et l'interpolation hélicoïdale

- ▲ Adaptée au fraisage trochoïdal
- ▲ Brise copeaux espacés de 0,9xDC

PCR ALU
 $\lambda_s=36^\circ$
 $\nu_s=13^\circ$
HPC

DLC

DRAGONSkin

DIN 6527

52 618 ...

DC _{r8} mm	RE _{±0.03} mm	APMX mm	DN mm	LH mm	LPR mm	OAL mm	DCONMS _{h6} mm	ZEFFP	EUR V1	
5	0,20	17	4,8	24	26	62	6	4	79,62	05202
6	0,20	18	5,8	25	26	62	6	4	79,62	06202
8	0,20	24	7,7	30	32	68	8	4	104,50	08202
10	0,32	30	9,7	35	40	80	10	4	121,70	10203
12	0,32	36	11,6	45	48	93	12	4	164,50	12203
14	0,32	42	13,6	50	54	99	14	4	209,00	14203
16	0,32	48	15,5	56	60	108	16	4	276,60	16203
18	0,32	54	17,5	67	69	117	18	4	345,90	18203
20	0,50	60	19,5	70	76	126	20	4	449,40	20205

P
M
K
N
S
H
O

→ v_c/f_z Page 358–361

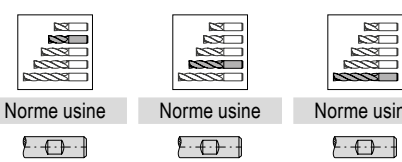
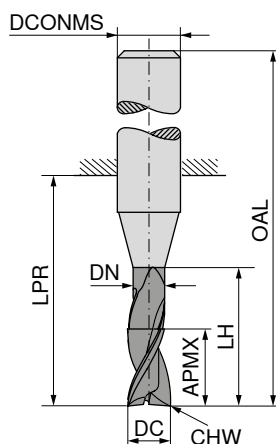
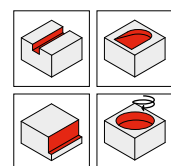
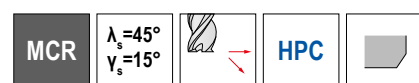
14|50

cuttingtools.ceratizit.com

MonsterMill – Fraises d'ébauche

Les spécialistes pour l'usinage ébauche des aciers et des fontes

- ▲ Avec pas différentiel
- ▲ Avec brise copeaux d'ébauche



52 752 ... EUR V1

52 752 ... EUR V1

52 752 ... EUR V1

DC _{h11} mm	APMX mm	DN mm	LH mm	LPR mm	OAL mm	DCONMS _{h6} mm	CHW mm	ZEFP	EUR V1	010 ¹⁾	020	030	176,70	031	169,60	032	
1	1,5	0,9	3	10	38	3	0,09	3	149,30								
2	3,0	1,9	8	21	57	6	0,17	3	147,70	020							
3	5,0	2,9	14	21	57	6	0,17	3	166,60	030							
3	8,0	2,9	14	21	57	6	0,17	3					176,70	031	169,60	032	
3	5,0	2,9	19	26	62	6	0,17	3									
4	8,0	3,8	18	21	57	6	0,17	3	165,20	040				175,30	041	168,00	042
4	11,0	3,8	18	21	57	6	0,17	3									
4	8,0	3,8	23	26	62	6	0,17	3					160,70	050			
5	9,0	4,8	19	21	57	6	0,17	3						172,60	051	165,20	052
5	13,0	4,8	19	21	57	6	0,17	3									
5	9,0	4,8	24	26	62	6	0,17	3					157,80	060			
6	10,0	5,8	20	21	57	6	0,17	4						169,60	061	160,70	062
6	13,0	5,8	20	21	57	6	0,17	4									
6	10,0	5,8	25	26	62	6	0,17	4					195,50	100			
8	12,0	7,7	25	27	63	8	0,28	4					215,80	101	202,80	102	
8	19,0	7,7	25	27	63	8	0,28	4	173,90	080				207,20	081	176,70	082
8	12,0	7,7	30	32	68	8	0,28	4									
10	15,0	9,5	30	32	72	10	0,28	4					240,60	120			
10	22,0	9,5	30	32	72	10	0,28	4						262,20	121	252,10	122
10	15,0	9,5	35	40	80	10	0,28	4									
12	18,0	11,5	35	38	83	12	0,28	4					281,00	140			
12	26,0	11,5	35	38	83	12	0,28	4						292,50	141	304,30	142
12	18,0	11,5	45	48	93	12	0,28	4					391,00	160			
14	21,0	13,5	35	38	83	14	0,28	4						426,00	161	424,50	162
14	26,0	13,5	35	38	83	14	0,28	4									
14	21,0	13,5	50	54	99	14	0,28	4					523,00	200			
16	24,0	15,5	40	44	92	16	0,43	4						556,40	201		
16	32,0	15,5	40	44	92	16	0,43	4									
16	24,0	15,5	55	60	108	16	0,43	4									
20	30,0	19,5	50	54	104	20	0,43	4									
20	38,0	19,5	50	54	104	20	0,43	4									
20	30,0	19,5	70	76	126	20	0,43	4									

P	●	●	●
M	○	○	○
K	●	●	●
N	○	○	○
S	○	○	○
H	○	○	○
O	○	○	○

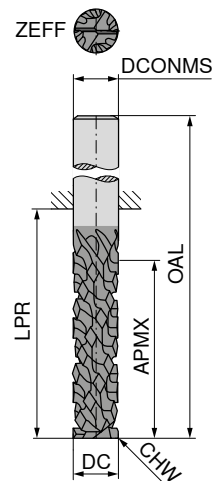
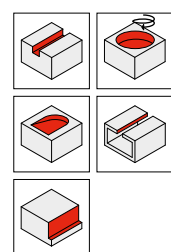
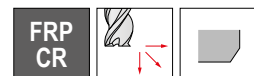
1) Queue suivant norme DIN 6535 HA

→ v_c/f_z Page 362-365

MonsterMill – FRP CR profil fin

Spécialiste de l'usinage des composites

- ▲ zone de compression sur toute la longueur de coupe
- ▲ coupe à droite
- ▲ denture fine en croix
- ▲ 2 arêtes de coupe frontales effectives .



Norme usine

52 598 ...

	EUR
V1/5B	
236,60	06000
254,40	06350
286,40	08000
322,90	09525
325,70	10000
422,00	12000
457,30	12700

DC _{h11} mm	APMX mm	LPR mm	OAL mm	DCONMS _{h6} mm	CHW mm	ZEFF
6,000	18	23,5	60	6,000	0,1	2
6,350	18	23,5	60	6,350	0,1	2
8,000	26	33,0	70	8,000	0,1	2
9,525	30	40,0	80	9,525	0,1	2
10,000	30	40,0	80	10,000	0,1	2
12,000	30	41,0	85	12,000	0,1	2
12,700	30	41,0	85	12,700	0,1	2

P	
M	
K	
N	
S	
H	
O	

→ v_c/f Page 329

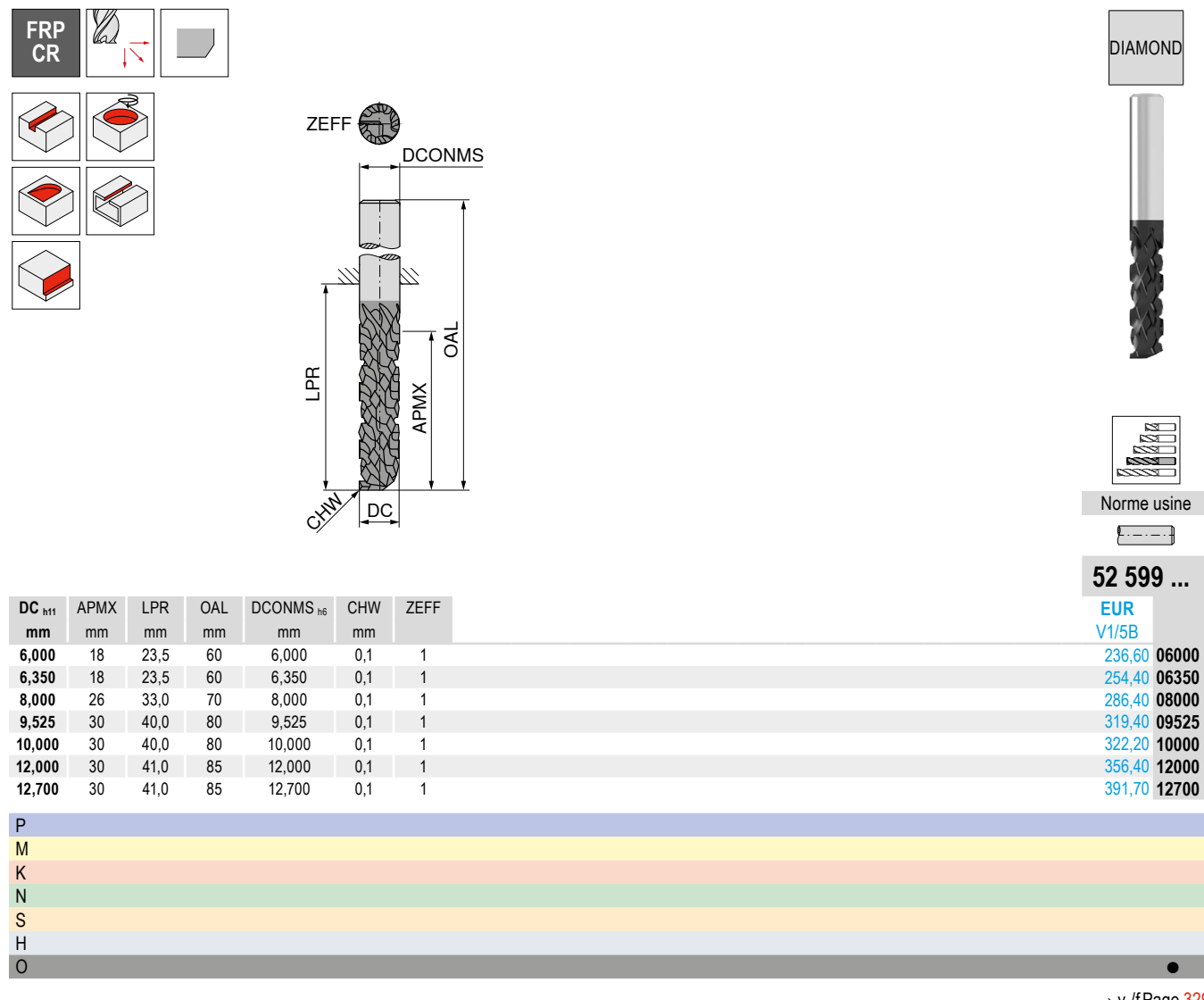


Pour la fraise MonsterMill FRP CR, l'avance est exprimée en mm/tr.

MonsterMill – FRP CR profil prononcé

Spécialiste de l'usinage des composites

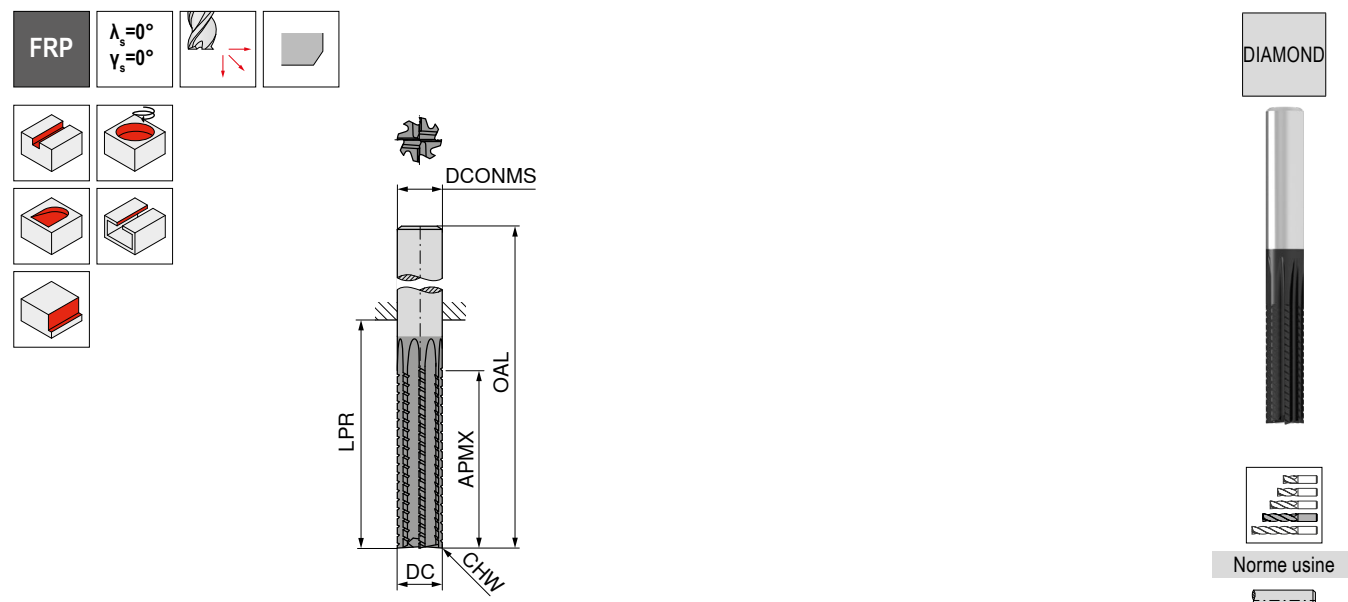
- ▲ zone de compression sur toute la longueur de coupe
- ▲ coupe à droite
- ▲ denture en croix prononcée
- ▲ 1 arête de coupe frontale effective .



1 Pour la fraise MonsterMill FRP CR, l'avance est exprimée en mm/tr.

MonsterMill – FRP

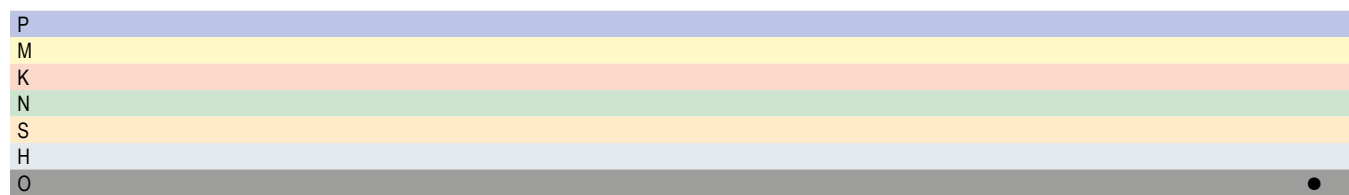
- Spécialiste de l'usinage des composites
- ▲ Évacuation optimale de la poussière de composites
 - ▲ Coupe à droite
 - ▲ Goujure droite, coupe neutre
 - ▲ 4 arêtes de coupe frontales dont 2 arêtes de coupe au centre



DC _{h11} mm	APMX mm	LPR mm	OAL mm	DCONMS _{h6} mm	CHW mm	ZEFP
6,000	25	35	70	6,000	0,1	8
6,350	25	35	70	6,350	0,1	8
8,000	30	40	80	8,000	0,1	8
9,525	32	44	85	9,525	0,1	8
10,000	32	45	85	10,000	0,1	8
12,000	32	46	95	12,000	0,1	8
12,700	32	46	95	12,700	0,1	8

52 595 ...

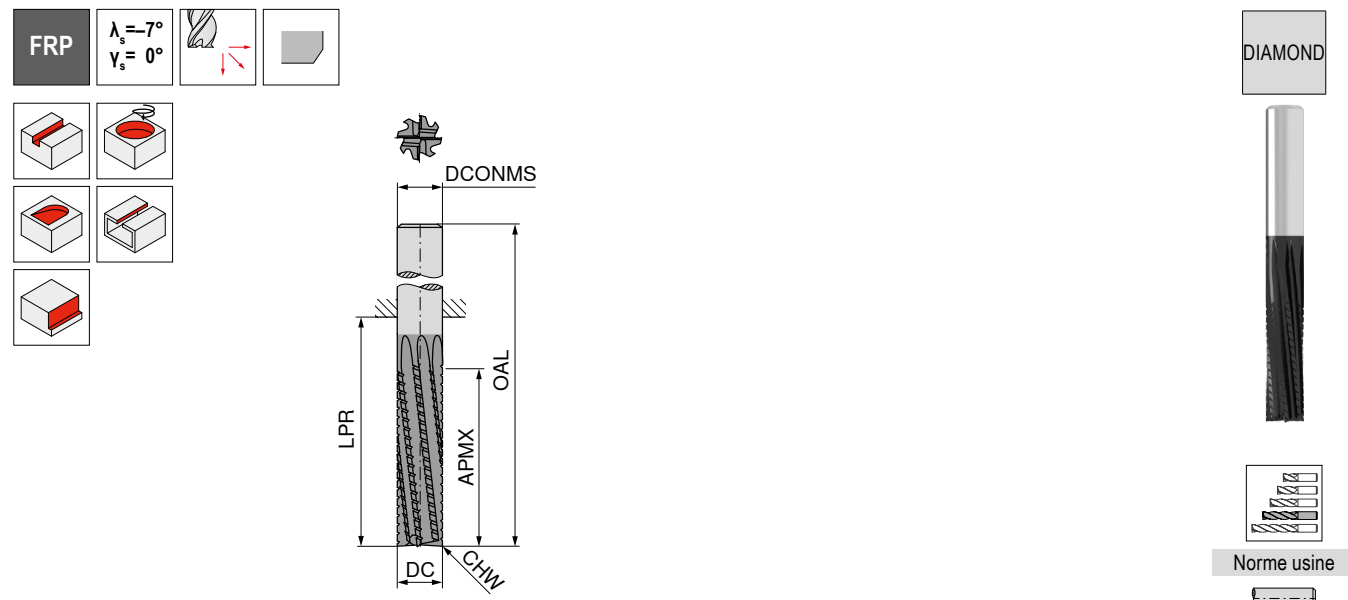
EUR
V1/5B
249,70 06000
266,90 06350
300,70 08000
327,10 09525
341,50 10000
369,90 12000
407,70 12700

→ v_c/f_z Page 329

MonsterMill – FRP goujures à gauche

Spécialiste de l'usinage des composites

- ▲ Évacuation optimale de la poussière de composites
- ▲ Coupe à droite
- ▲ Hélice à gauche, effet de coupe en poussant
- ▲ 4 arêtes de coupe frontales dont 2 arêtes de coupe au centre



52 596 ...

DC _{h11} mm	APMX mm	LPR mm	OAL mm	DCONMS _{h6} mm	CHW mm	ZEFP	EUR V1/5B
6,000	25	38	70	6,000	0,1	8	249,70 06000
6,350	25	39	70	6,350	0,1	8	266,90 06350
8,000	30	43	80	8,000	0,1	8	300,70 08000
9,525	32	48	85	9,525	0,1	8	327,10 09525
10,000	32	49	85	10,000	0,1	8	341,50 10000
12,000	32	53	95	12,000	0,1	8	369,90 12000
12,700	32	54	95	12,700	0,1	8	407,70 12700

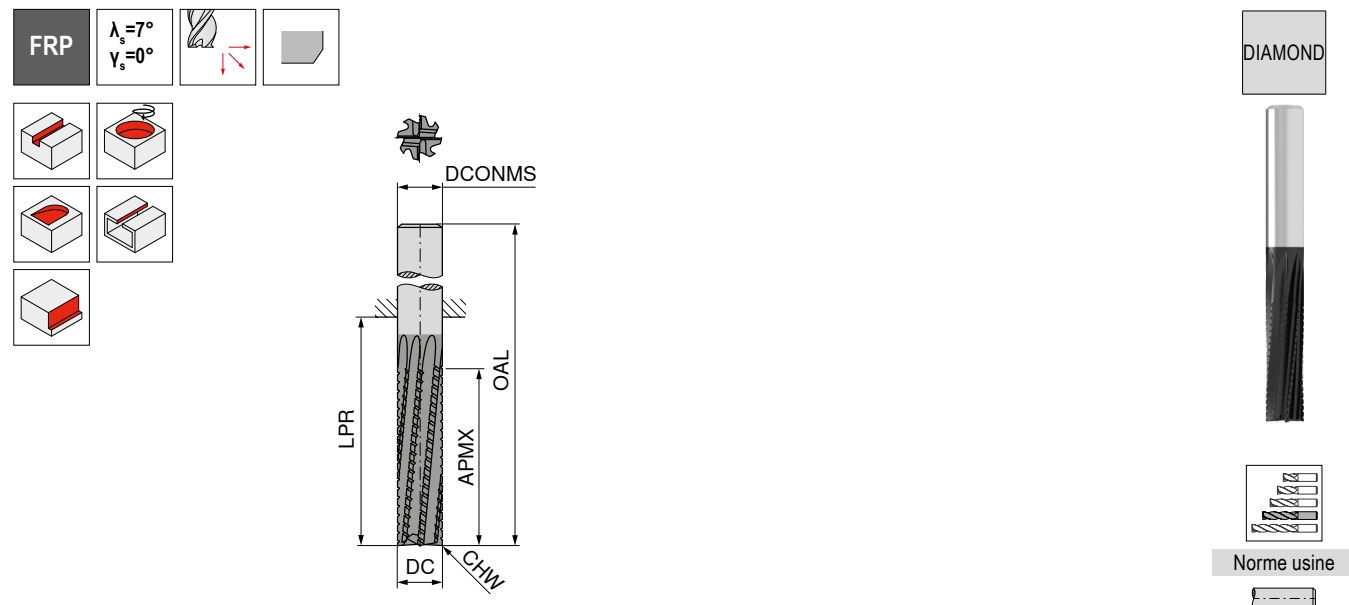
P	
M	
K	
N	
S	
H	
O	

→ v_c/f_z Page 329

MonsterMill – FRP goujures à droite

Spécialiste de l'usinage des composites

- ▲ Évacuation optimale de la poussière de composites
- ▲ Coupe à droite
- ▲ Hélice à droite, effet de coupe en tirant
- ▲ 4 arêtes de coupe frontales dont 2 arêtes de coupe au centre



DC _{h11} mm	APMX mm	LPR mm	OAL mm	DCONMS _{h6} mm	CHW mm	ZEFP
6,000	25	35	70	6,000	0,1	8
6,350	25	35	70	6,350	0,1	8
8,000	30	40	80	8,000	0,1	8
9,525	32	44	85	9,525	0,1	8
10,000	32	45	85	10,000	0,1	8
12,000	32	49	95	12,000	0,1	8
12,700	32	49	95	12,700	0,1	8

52 597 ...

EUR	
V1/5B	
249,70	06000
266,90	06350
300,70	08000
327,10	09525
341,50	10000
369,90	12000
407,70	12700

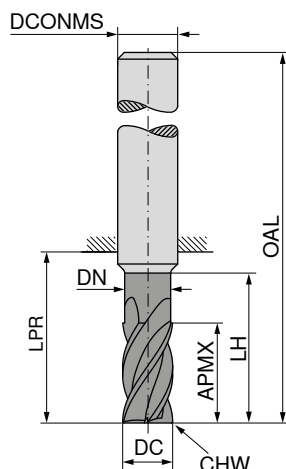
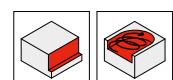
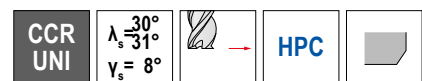
P	
M	
K	
N	
S	
H	
O	

→ v_c/f_z Page 329

CircularLine – Fraises deux tailles

Les spécialistes pour l'usinage dynamique

- ▲ Brise-coapeaux espacés de 0,9 x DC
- ▲ 53 585 ... Profondeur de coupe : 2 x DC
- ▲ 53 587 ... Profondeur de coupe : 3 x DC



DRAGONSKIN

DRAGONSKIN



Norme usine

Norme usine

53 585 ...

53 587 ...

EUR
V1/5B

EUR
V1/5B

6	13	5,8	19	21	57	6	0,2	6	61,37	060
6	19	5,8	25	27	63	6	0,2	6	61,86	060
8	21	7,7	25	27	63	8	0,2	6	80,01	080
8	25	7,7	33	35	71	8	0,2	6	80,55	080
10	22	9,7	30	32	72	10	0,2	6	102,80	100
10	31	9,7	41	43	83	10	0,2	6	112,80	100
12	26	11,6	36	38	83	12	0,2	6	132,20	120
12	37	11,6	47	49	94	12	0,2	6	133,20	120
14	26	13,6	36	38	83	14	0,2	6	181,90	14000
14	43	13,6	55	59	104	14	0,2	6	237,20	14000
16	36	15,5	42	44	92	16	0,2	6	263,60	160
16	49	15,5	61	63	111	16	0,2	6	275,30	160
18	36	17,5	42	44	92	18	0,2	6	362,90	18000
18	55	17,5	69	73	121	18	0,2	6	382,90	18000
20	41	19,5	52	54	104	20	0,2	6	379,10	200
20	61	19,5	75	77	127	20	0,2	6	385,40	200

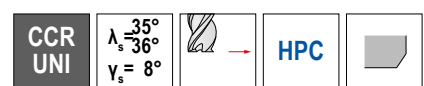
P	●	●
M	○	○
K	●	●
N	○	○
S	○	○
H		
O		

→ v_c/f_z Page 366+367

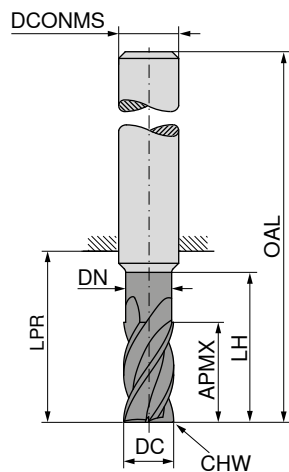
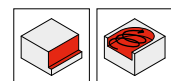
CircularLine – Fraises deux tailles

Les spécialistes pour l'usinage dynamique

- ▲ Brise-copeaux espacés de $0,9 \times DC$
- ▲ Profondeur de coupe : $4 \times DC$



DRAGONSKIN



53 589 ...

EUR
V1/5B

64,02	060
82,71	080
115,00	100
140,10	120
248,50	14000
281,00	160
385,90	18000
395,60	200

DC e_8 mm	APMX mm	DN mm	LH mm	LPR mm	OAL mm	DCONMS h_6 mm	CHW mm	ZEFP
6	25	5,8	29	31	67	6	0,2	5
8	33	7,7	38	40	76	8	0,2	5
10	41	9,7	47	49	89	10	0,2	5
12	49	11,6	55	57	102	12	0,2	5
14	57	13,6	64	68	113	14	0,2	5
16	65	15,5	73	75	123	16	0,2	5
18	73	17,5	82	86	134	18	0,2	5
20	82	19,5	91	93	143	20	0,2	5

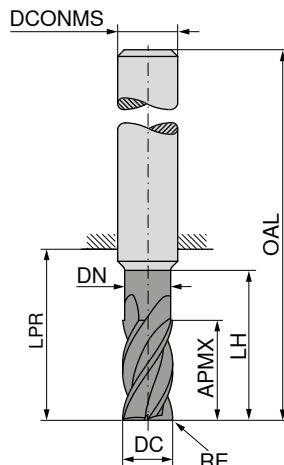
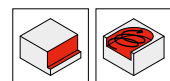
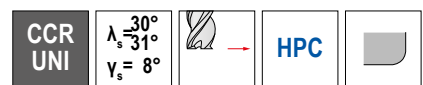
P	●
M	○
K	●
N	
S	○
H	
O	

→ v_c/f_z Page 368+369

CircularLine – Fraises deux tailles rayonnées

Les spécialistes pour l'usinage dynamique

- ▲ Brise-copeaux espacés de 0,9 x DC
- ▲ Profondeur de coupe : 2 x DC



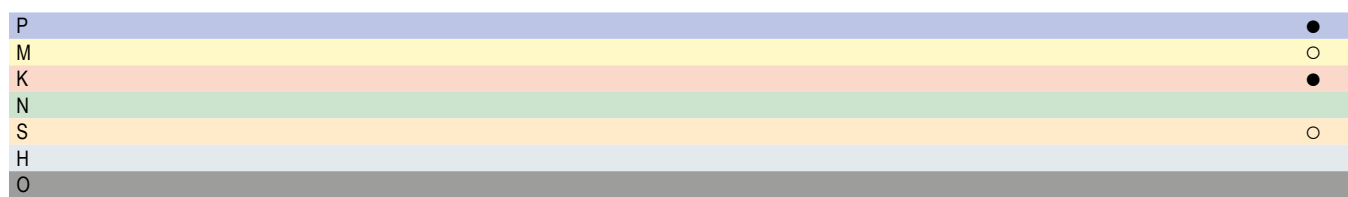
DRAGONSKIN



Norme usine

53 586 ...

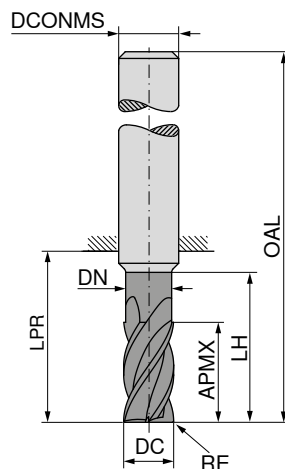
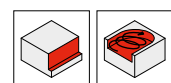
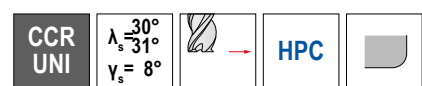
DC e_8 mm	RE $\pm 0,05$ mm	APMX mm	DN mm	LH mm	LPR mm	OAL mm	DCONMS h_{16} mm	ZEFF	EUR V1/5B
6	0,2	13	5,8	19	21	57	6	6	61,37 06002
6	1,0	13	5,8	19	21	57	6	6	61,70 06010
6	1,5	13	5,8	19	21	57	6	6	61,70 06015
8	0,2	21	7,7	25	27	63	8	6	80,01 08002
8	1,0	21	7,7	25	27	63	8	6	81,93 08010
8	1,5	21	7,7	25	27	63	8	6	81,93 08015
8	2,0	21	7,7	25	27	63	8	6	81,93 08020
10	0,2	22	9,7	30	32	72	10	6	102,80 10002
10	1,0	22	9,7	30	32	72	10	6	105,60 10010
10	1,5	22	9,7	30	32	72	10	6	105,60 10015
10	1,6	22	9,7	30	32	72	10	6	105,60 10016
10	2,0	22	9,7	30	32	72	10	6	105,60 10020
12	0,2	26	11,6	36	38	83	12	6	132,20 12002
12	1,0	26	11,6	36	38	83	12	6	132,90 12010
12	1,5	26	11,6	36	38	83	12	6	132,90 12015
12	1,6	26	11,6	36	38	83	12	6	132,90 12016
12	2,0	26	11,6	36	38	83	12	6	132,90 12020
12	3,0	26	11,6	36	38	83	12	6	132,90 12030
14	0,2	26	13,6	36	38	83	14	6	157,20 14002
14	1,0	26	13,6	36	38	83	14	6	158,50 14010
14	1,5	26	13,6	36	38	83	14	6	158,50 14015
14	1,6	26	13,6	36	38	83	14	6	158,50 14016
14	2,0	30	13,6	36	38	83	14	6	158,50 14020
14	3,0	26	13,6	36	38	83	14	6	158,50 14030
16	0,2	36	15,5	42	44	92	16	6	263,60 16002
16	1,0	36	15,5	42	44	92	16	6	284,30 16010
16	1,5	36	15,5	42	44	92	16	6	274,70 16015
16	1,6	36	15,5	42	44	92	16	6	274,70 16016
16	2,0	36	15,5	42	44	92	16	6	274,70 16020
16	3,0	36	15,5	42	44	92	16	6	274,70 16030
16	4,0	36	15,5	42	44	92	16	6	274,70 16040
18	0,2	36	17,5	42	44	92	18	6	313,70 18002
18	1,0	36	17,5	42	44	92	18	6	316,30 18010
18	1,5	36	17,5	42	44	92	18	6	316,30 18015
18	1,6	36	17,5	42	44	92	18	6	316,30 18016
18	2,0	36	17,5	42	44	92	18	6	316,30 18020



CircularLine – Fraises deux tailles rayonnées

Les spécialistes pour l'usinage dynamique

- ▲ Brise-copeaux espacés de $0,9 \times DC$
- ▲ Profondeur de coupe : $2 \times DC$



HPC



DRAGONSKIN



Norme usine



53 586 ...

DC e_8 mm	RE $\pm 0,05$ mm	APMX mm	DN mm	LH mm	LPR mm	OAL mm	DCONMS h_{16} mm	ZEFFP
18	3,0	36	17,5	42	44	92	18	6
18	4,0	36	17,5	42	44	92	18	6
20	0,2	41	19,5	52	54	104	20	6
20	1,0	41	19,5	52	54	104	20	6
20	1,5	41	19,5	52	54	104	20	6
20	1,6	41	19,5	52	54	104	20	6
20	2,0	41	19,5	52	54	104	20	6
20	3,0	41	19,5	52	54	104	20	6
20	4,0	41	19,5	52	54	104	20	6

EUR

V1/5B

316,30 18030

316,30 18040

379,10 20002

383,00 20010

383,00 20015

383,00 20016

383,00 20020

383,00 20030

383,00 20040

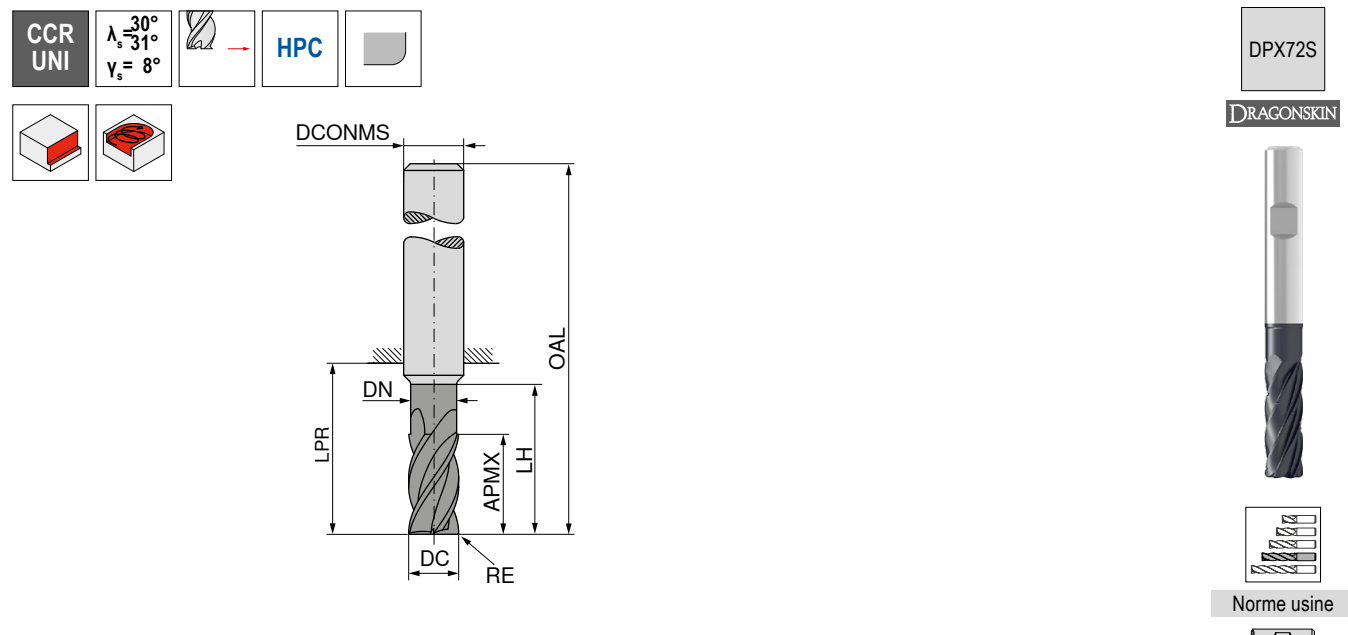
P	●
M	○
K	●
N	
S	○
H	
O	

→ v_c/f_z Page 366+367

CircularLine – Fraises deux tailles rayonnées

Les spécialistes pour l'usinage dynamique

- ▲ Brise-copeaux espacés de 0,9 x DC
- ▲ Profondeur de coupe : 3 x DC



53 642 ...

DC e_8 mm	RE $\pm 0,05$ mm	APMX mm	DN mm	LH mm	LPR mm	OAL mm	DCONMS h_{16} mm	ZEFF	EUR V1/5B
6	0,2	19	5,8	25	27	63	6	6	61,86 06202
6	1,0	19	5,8	25	27	63	6	6	63,75 06210
6	1,5	19	5,8	25	27	63	6	6	63,75 06215
8	0,2	25	7,7	33	35	71	8	6	80,55 08202
8	1,0	25	7,7	33	35	71	8	6	82,71 08210
8	1,5	25	7,7	33	35	71	8	6	82,71 08215
8	2,0	25	7,7	33	35	71	8	6	82,71 08220
10	0,2	31	9,7	41	43	83	10	6	112,80 10202
10	1,0	31	9,7	41	43	83	10	6	115,30 10210
10	1,5	31	9,7	41	43	83	10	6	115,30 10215
10	1,6	31	9,7	41	43	83	10	6	115,30 10216
10	2,0	31	9,7	41	43	83	10	6	115,30 10220
12	0,2	37	11,6	47	49	94	12	6	133,20 12202
12	1,0	37	11,6	47	49	94	12	6	136,60 12210
12	1,5	37	11,6	47	49	94	12	6	136,60 12215
12	1,6	37	11,6	47	49	94	12	6	136,60 12216
12	2,0	37	11,6	47	49	94	12	6	136,60 12220
12	3,0	37	11,6	47	49	94	12	6	136,60 12230
14	0,2	43	13,6	55	59	104	14	6	205,20 14202
14	1,0	43	13,6	55	59	104	14	6	209,40 14210
14	1,5	43	13,6	55	59	104	14	6	209,40 14215
14	1,6	43	13,6	55	59	104	14	6	209,40 14216
14	2,0	43	13,6	55	59	104	14	6	209,40 14220
14	3,0	43	13,6	55	59	104	14	6	209,40 14230
16	0,2	49	15,5	61	63	111	16	6	275,30 16202
16	1,0	49	15,5	61	63	111	16	6	278,10 16210
16	1,5	49	15,5	61	63	111	16	6	278,10 16215
16	1,6	49	15,5	61	63	111	16	6	278,10 16216
16	2,0	49	15,5	61	63	111	16	6	278,10 16220
16	3,0	49	15,5	61	63	111	16	6	278,10 16230
16	4,0	49	15,5	61	63	111	16	6	278,10 16240
18	0,2	55	17,5	69	73	121	18	6	331,00 18202
18	1,0	55	17,5	69	73	121	18	6	334,30 18210
18	1,5	55	17,5	69	73	121	18	6	334,30 18215
18	1,6	55	17,5	69	73	121	18	6	334,30 18216
18	2,0	55	17,5	69	73	121	18	6	334,30 18220

P	●
M	○
K	●
N	
S	
H	
O	○

14

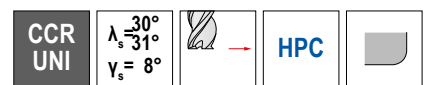
→ v_c/f_z Page 366+367

CircularLine – Fraise deux tailles rayonnées

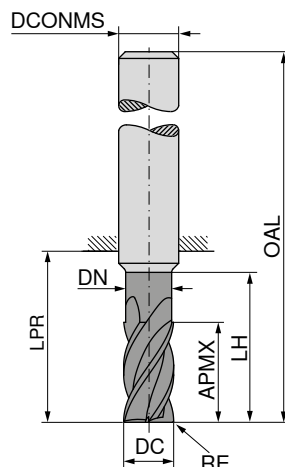
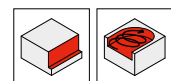
Les spécialistes pour l'usinage dynamique

▲ Brise-copeaux espacés de $0,9 \times DC$

▲ Profondeur de coupe : $3 \times DC$



DPX72S



DRAGONSKIN



Norme usine

53 642 ...

DC e_8 mm	RE $\pm 0,05$ mm	APMX mm	DN mm	LH mm	LPR mm	OAL mm	DCONMS $_{\text{h}6}$ mm	ZEFF
18	3,0	55	17,5	69	73	121	18	6
18	4,0	55	17,5	69	73	121	18	6
20	0,2	61	19,5	75	77	127	20	6
20	1,0	61	19,5	75	77	127	20	6
20	1,5	61	19,5	75	77	127	20	6
20	1,6	61	19,5	75	77	127	20	6
20	2,0	61	19,5	75	77	127	20	6
20	3,0	61	19,5	75	77	127	20	6
20	4,0	61	19,5	75	77	127	20	6

EUR

V1/5B

334,30 18230

334,30 18240

385,40 20202

389,70 20210

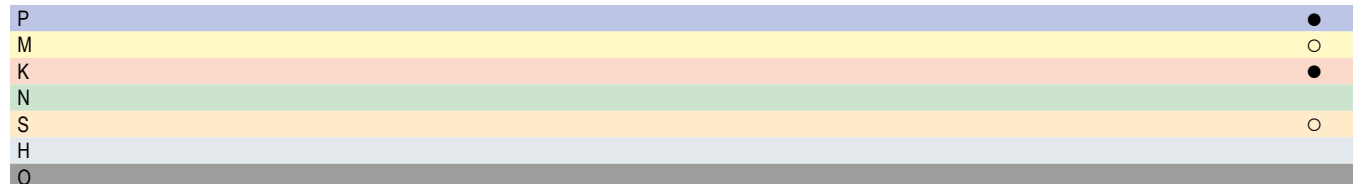
389,70 20215

389,70 20216

389,70 20220

389,70 20230

389,70 20240



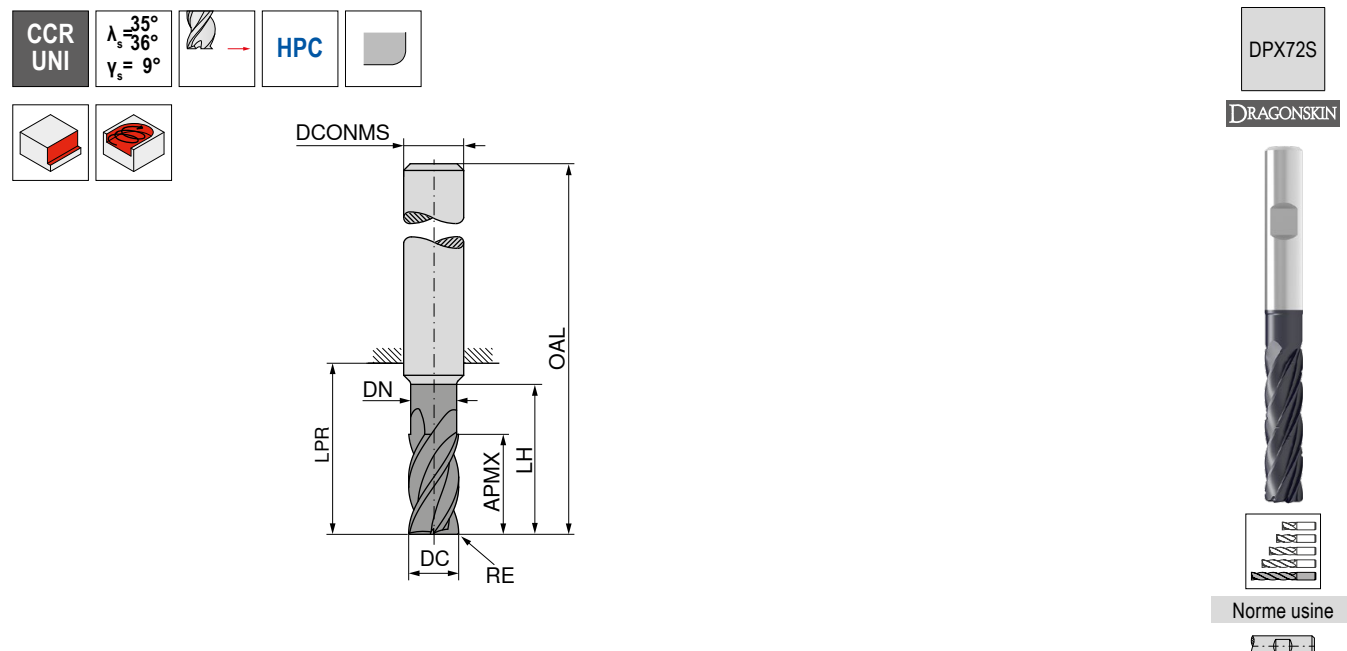
→ v_c/f_z Page 366+367

CircularLine – Fraises deux tailles rayonnées

Les spécialistes pour l'usinage dynamique

▲ Brise-copeaux espacés de 0,9 x DC

▲ Profondeur de coupe maxi: 4 x DC



53 593 ...

DC e_8 mm	RE $\pm 0,05$ mm	APMX mm	DN mm	LH mm	LPR mm	OAL mm	DCONMS h_6 mm	ZEFP	EUR V1/5B
6	0,2	25	5,8	29	31	67	6	5	64,02 06002
6	1,0	25	5,8	29	31	67	6	5	65,90 06010
6	1,5	25	5,8	29	31	67	6	5	65,90 06015
8	0,2	33	7,7	38	40	76	8	5	82,71 08002
8	1,0	33	7,7	38	40	76	8	5	84,87 08010
8	1,5	33	7,7	38	40	76	8	5	84,87 08015
8	2,0	33	7,7	38	40	76	8	5	84,87 08020
10	0,2	41	9,7	47	49	89	10	5	115,00 10002
10	1,0	41	9,7	47	49	89	10	5	117,60 10010
10	1,5	41	9,7	47	49	89	10	5	117,60 10015
10	1,6	41	9,7	47	49	89	10	5	117,60 10016
10	2,0	41	9,7	47	49	89	10	5	117,60 10020
12	0,2	49	11,6	55	57	102	12	5	140,10 12002
12	1,0	49	11,6	55	57	102	12	5	143,60 12010
12	1,5	49	11,6	55	57	102	12	5	143,60 12015
12	1,6	49	11,6	55	57	102	12	5	143,60 12016
12	2,0	49	11,6	55	57	102	12	5	143,60 12020
12	3,0	49	11,6	55	57	102	12	5	143,60 12030
14	0,2	57	13,6	64	68	113	14	5	214,80 14002
14	1,0	57	13,6	64	68	113	14	5	219,20 14010
14	1,5	57	13,6	64	68	113	14	5	219,20 14015
14	1,6	57	13,6	64	68	113	14	5	219,20 14016
14	2,0	57	13,6	64	68	113	14	5	219,20 14020
14	3,0	57	13,6	64	68	113	14	5	219,20 14030
16	0,2	65	15,5	73	75	123	16	5	281,00 16002
16	1,0	65	15,5	73	75	123	16	5	285,40 16010
16	1,5	65	15,5	73	75	123	16	5	285,40 16015
16	1,6	65	15,5	73	75	123	16	5	285,40 16016
16	2,0	65	15,5	73	75	123	16	5	285,40 16020
16	3,0	65	15,5	73	75	123	16	5	285,40 16030
16	4,0	65	15,5	73	75	123	16	5	285,40 16040
18	0,2	73	17,5	82	86	134	18	5	333,60 18002
18	1,0	73	17,5	82	86	134	18	5	337,20 18010
18	1,5	73	17,5	82	86	134	18	5	337,20 18015
18	1,6	73	17,5	82	86	134	18	5	337,20 18016
18	2,0	73	17,5	82	86	134	18	5	337,20 18020

P	●
M	○
K	●
N	
S	○
H	
O	○

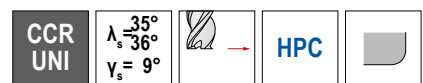
→ v_c/f_z Page 368+369

CircularLine – Fraises deux tailles rayonnées

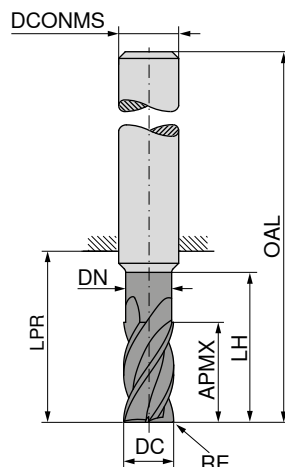
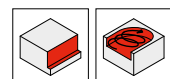
Les spécialistes pour l'usinage dynamique

▲ Brise-copeaux espacés de $0,9 \times DC$

▲ Profondeur de coupe maxi: $4 \times DC$



DRAGONSKIN



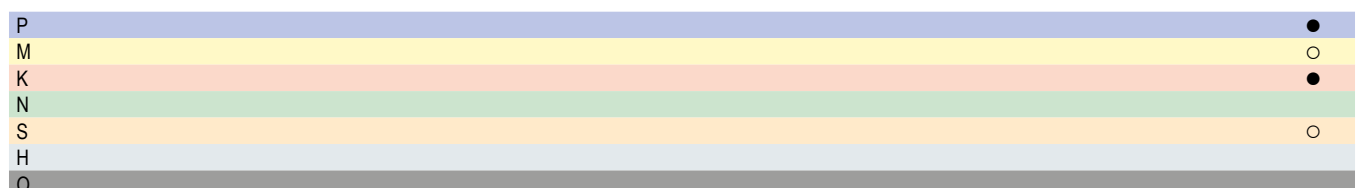
53 593 ...

EUR

V1/5B

18	3,0	73	17,5	82	86	134	18	5	337,20	18030
18	4,0	73	17,5	82	86	134	18	5	337,20	18040
20	0,2	82	19,5	91	93	143	20	5	395,60	20002
20	1,0	82	19,5	91	93	143	20	5	401,30	20010
20	1,5	82	19,5	91	93	143	20	5	401,30	20015
20	1,6	82	19,5	91	93	143	20	5	401,30	20016
20	2,0	82	19,5	91	93	143	20	5	401,30	20020
20	3,0	82	19,5	91	93	143	20	5	401,30	20030
20	4,0	82	19,5	91	93	143	20	5	401,30	20040

DC _{e8} mm	RE _{±0,05} mm	APMX mm	DN mm	LH mm	LPR mm	OAL mm	DCONMS _{h6} mm	ZEFF	
18	3,0	73	17,5	82	86	134	18	5	
18	4,0	73	17,5	82	86	134	18	5	
20	0,2	82	19,5	91	93	143	20	5	
20	1,0	82	19,5	91	93	143	20	5	
20	1,5	82	19,5	91	93	143	20	5	
20	1,6	82	19,5	91	93	143	20	5	
20	2,0	82	19,5	91	93	143	20	5	
20	3,0	82	19,5	91	93	143	20	5	
20	4,0	82	19,5	91	93	143	20	5	

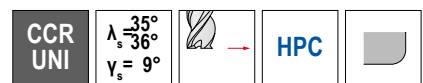


→ v_c/f_z Page 368+369

CircularLine – Fraise deux tailles rayonnées

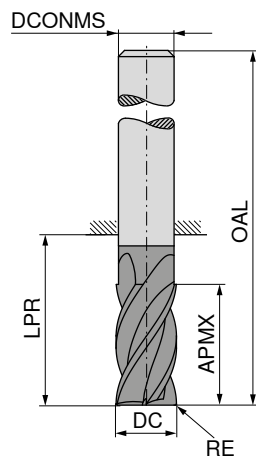
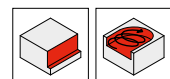
Les spécialistes pour l'usinage dynamique

- ▲ Brise-copeaux espacés de $0,9 \times DC$
- ▲ Profondeur de coupe maxi: $5 \times DC$



DPX72S

DRAGOSKIN



Norme usine



53 593 ...

DC e_8 mm	RE $\pm 0,05$ mm	APMX mm	LPR mm	OAL mm	DCONMS h_6 mm	ZEFP	EUR V1/5B
6,0	0,2	31	39	75	6	5	78,75 06402
6,0	1,0	31	39	75	6	5	78,75 06410
6,0	1,5	31	39	75	6	5	78,75 06415
8,0	0,2	41	49	85	8	5	90,78 08402
8,0	1,0	41	49	85	8	5	90,78 08410
8,0	1,5	41	49	85	8	5	90,78 08415
8,0	2,0	41	49	85	8	5	90,78 08420
10,0	0,2	51	60	100	10	5	125,30 10402
10,0	1,0	51	60	100	10	5	125,30 10410
10,0	1,5	51	60	100	10	5	125,30 10415
10,0	1,6	51	60	100	10	5	125,30 10416
10,0	2,0	51	60	100	10	5	125,30 10420
12,0	0,2	61	70	115	12	5	155,30 12402
12,0	1,0	61	70	115	12	5	155,30 12410
12,0	1,5	61	70	115	12	5	155,30 12415
12,0	1,6	61	70	115	12	5	155,30 12416
12,0	2,0	61	70	115	12	5	155,30 12420
12,0	3,0	61	70	115	12	5	155,30 12430
14,0	0,2	71	81	126	14	5	319,10 14402
14,0	1,0	71	81	126	14	5	319,10 14410
14,0	1,5	71	81	126	14	5	319,10 14415
14,0	1,6	71	81	126	14	5	319,10 14416
14,0	2,0	71	81	126	14	5	319,10 14420
14,0	3,0	71	81	126	14	5	319,10 14430
16,0	0,2	81	92	140	16	5	315,70 16402
16,0	1,0	81	92	140	16	5	315,70 16410
16,0	1,5	81	92	140	16	5	315,70 16415
16,0	1,6	81	92	140	16	5	315,70 16416
16,0	2,0	81	92	140	16	5	315,70 16420
16,0	3,0	81	92	140	16	5	315,70 16430
16,0	4,0	81	92	140	16	5	315,70 16440
18,0	0,2	91	102	150	18	5	361,00 18402
18,0	1,0	91	102	150	18	5	361,00 18410
18,0	1,5	91	102	150	18	5	361,00 18415
18,0	1,6	91	102	150	18	5	361,00 18416
18,0	2,0	91	102	150	18	5	361,00 18420

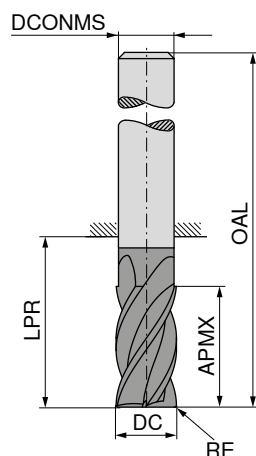
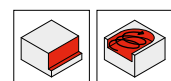
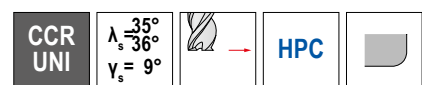
P	●
M	○
K	●
N	○
S	○
H	○
O	○

→ v_c/f_z Page 368+369

CircularLine – Fraise deux tailles rayonnées

Les spécialistes pour l'usinage dynamique

- ▲ Brise-copeaux espacés de 0,9 x DC
- ▲ Profondeur de coupe maxi: 5 x DC



DRAGONSKIN



53 593 ...

EUR
V1/5B

18,0	3,0	91	102	150	18	5	361,00	18430
18,0	4,0	91	102	150	18	5	361,00	18440
20,0	0,2	102	113	163	20	5	436,00	20402
20,0	1,0	102	113	163	20	5	436,00	20410
20,0	1,5	102	113	163	20	5	436,00	20415
20,0	1,6	102	113	163	20	5	436,00	20416
20,0	2,0	102	113	163	20	5	436,00	20420
20,0	3,0	102	113	163	20	5	436,00	20430
20,0	4,0	102	113	163	20	5	436,00	20440

DC _{e8} mm	RE _{±0,05} mm	APMX mm	LPR mm	OAL mm	DCONMS _{h6} mm	ZEFP	
18,0	3,0	91	102	150	18	5	
18,0	4,0	91	102	150	18	5	
20,0	0,2	102	113	163	20	5	
20,0	1,0	102	113	163	20	5	
20,0	1,5	102	113	163	20	5	
20,0	1,6	102	113	163	20	5	
20,0	2,0	102	113	163	20	5	
20,0	3,0	102	113	163	20	5	
20,0	4,0	102	113	163	20	5	

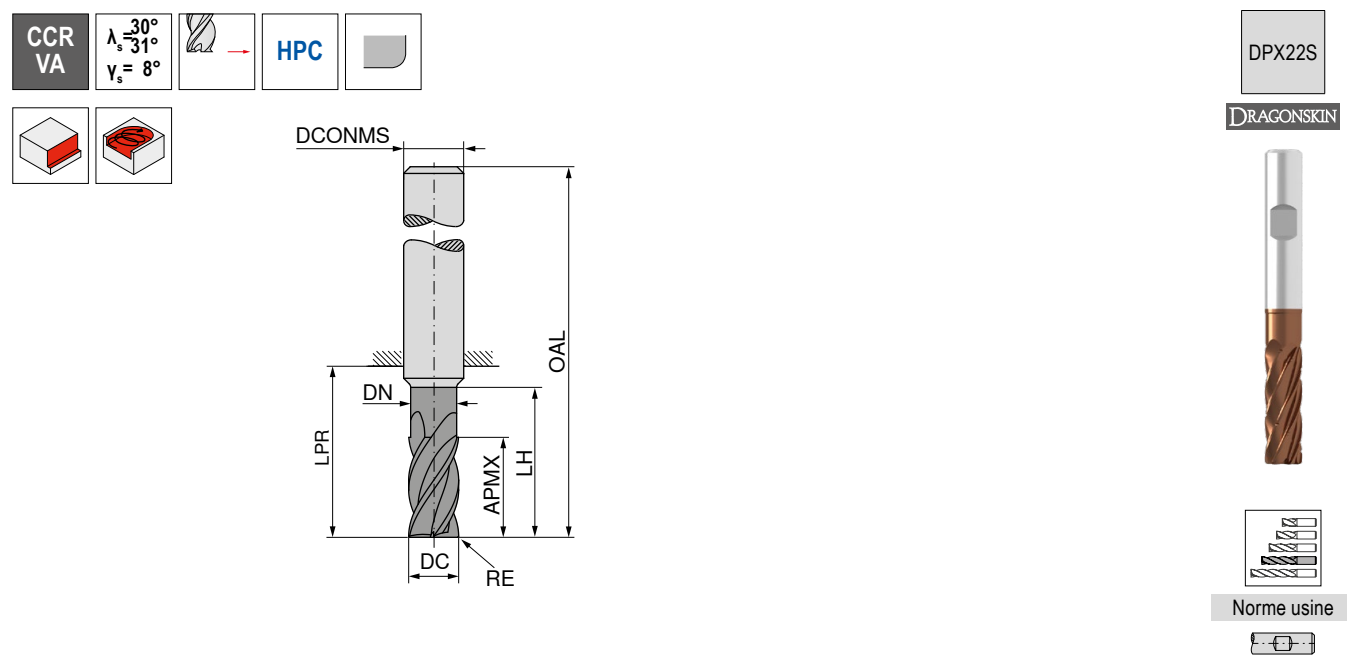
P	●
M	○
K	●
N	
S	○
H	
O	

→ v_c/f_z Page 368+369

CircularLine – Fraises deux tailles rayonnées

Les spécialistes pour l'usinage dynamique

- ▲ Brise-copeaux espacés de $0,9 \times DC$
- ▲ Profondeur de coupe : $3 \times DC$



53 643 ...

DC ϵ_8 mm	RE $\pm 0,05$ mm	APMX mm	DN mm	LH mm	LPR mm	OAL mm	DCONMS h_6 mm	ZEFF	EUR V1/5B
6	0,2	19	5,8	25	27	63	6	6	61,86 06202
6	1,0	19	5,8	25	27	63	6	6	63,75 06210
6	1,5	19	5,8	25	27	63	6	6	63,75 06215
8	0,2	25	7,7	33	35	71	8	6	80,55 08202
8	1,0	25	7,7	33	35	71	8	6	82,71 08210
8	1,5	25	7,7	33	35	71	8	6	82,71 08215
8	2,0	25	7,7	33	35	71	8	6	82,71 08220
10	0,2	31	9,7	41	43	83	10	6	112,80 10202
10	1,0	31	9,7	41	43	83	10	6	115,30 10210
10	1,5	31	9,7	41	43	83	10	6	115,30 10215
10	2,0	31	9,7	41	43	83	10	6	115,30 10220
12	0,2	37	11,6	47	49	94	12	6	133,20 12202
12	1,0	37	11,6	47	49	94	12	6	136,60 12210
12	1,5	37	11,6	47	49	94	12	6	136,60 12215
12	2,0	37	11,6	47	49	94	12	6	136,60 12220
12	3,0	37	11,6	47	49	94	12	6	136,60 12230
14	0,2	43	13,6	55	59	104	14	6	205,20 14202
14	1,0	43	13,6	55	59	104	14	6	209,40 14210
14	1,5	43	13,6	55	59	104	14	6	209,40 14215
14	2,0	43	13,6	55	59	104	14	6	209,40 14220
14	3,0	43	13,6	55	59	104	14	6	209,40 14230
16	0,2	49	15,5	61	63	111	16	6	275,30 16202
16	1,0	49	15,5	61	63	111	16	6	278,10 16210
16	1,5	49	15,5	61	63	111	16	6	278,10 16215
16	2,0	49	15,5	61	63	111	16	6	278,10 16220
16	3,0	49	15,5	61	63	111	16	6	278,10 16230
16	4,0	49	15,5	61	63	111	16	6	278,10 16240
18	0,2	55	17,5	69	73	121	18	6	331,00 18202
18	1,0	55	17,5	69	73	121	18	6	334,30 18210
18	1,5	55	17,5	69	73	121	18	6	334,30 18215
18	2,0	55	17,5	69	73	121	18	6	334,30 18220
18	3,0	55	17,5	69	73	121	18	6	334,30 18230
18	4,0	55	17,5	69	73	121	18	6	334,30 18240
20	0,2	61	19,5	75	77	127	20	6	385,40 20202
20	1,0	61	19,5	75	77	127	20	6	389,70 20210
20	1,5	61	19,5	75	77	127	20	6	389,70 20215
20	2,0	61	19,5	75	77	127	20	6	389,70 20220
20	3,0	61	19,5	75	77	127	20	6	389,70 20230
20	4,0	61	19,5	75	77	127	20	6	389,70 20040

P	○
M	●
K	
N	
S	
H	
O	●

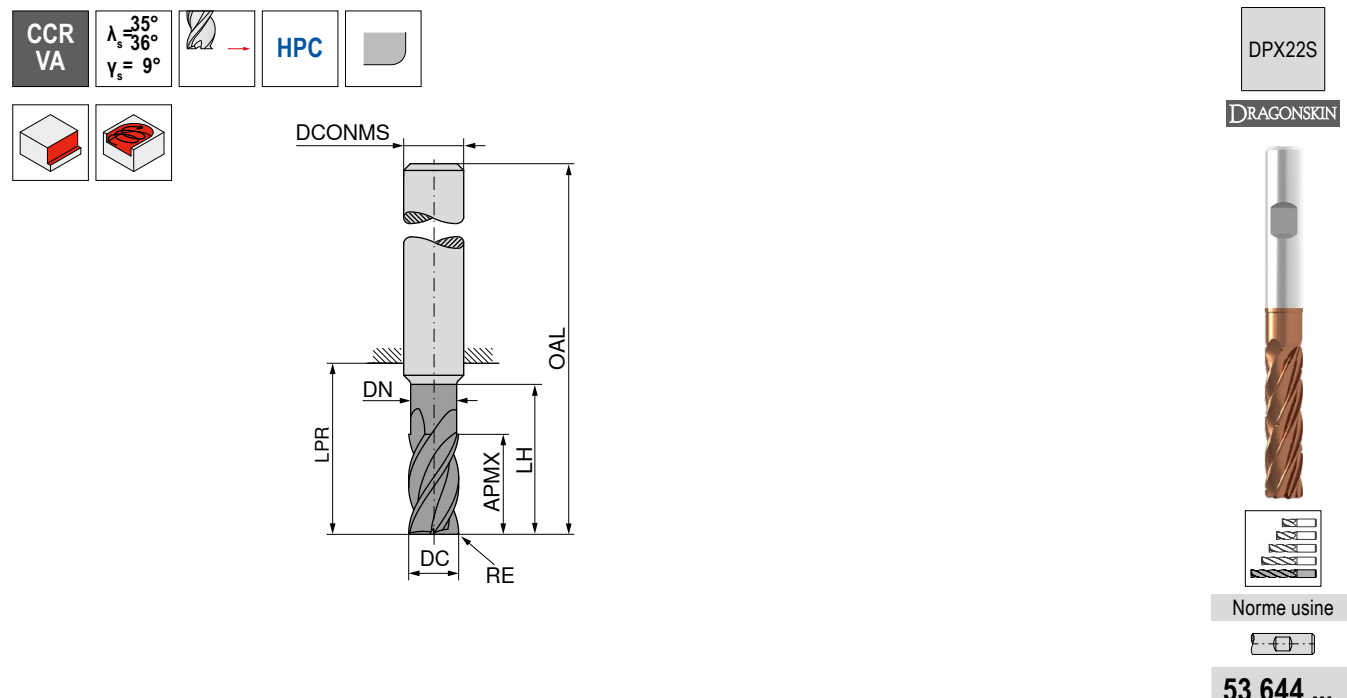
→ V_c/f_z Page 370+371

CircularLine – Fraises deux tailles rayonnées

Les spécialistes pour l'usinage dynamique

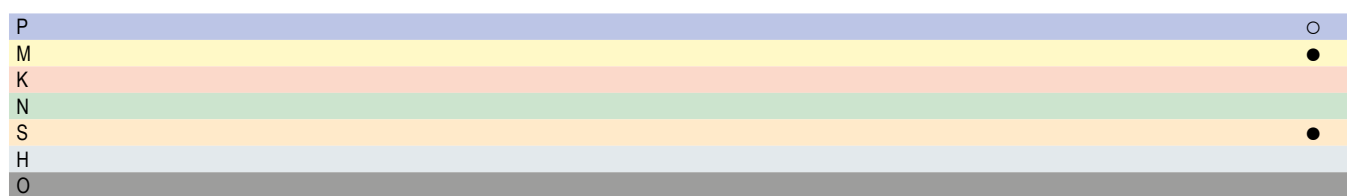
▲ Brise-copeaux espacés de 0,9 x DC

▲ Profondeur de coupe maxi: 4 x DC



53 644 ...

DC d_8 mm	RE $\pm 0,05$ mm	APMX mm	DN mm	LH mm	LPR mm	OAL mm	DCONMS h_6 mm	ZEFF	EUR V1/5B
6	0,2	25	5,8	29	31	67	6	5	64,02 06002
6	1,0	25	5,8	29	31	67	6	5	65,90 06010
6	1,5	25	5,8	29	31	67	6	5	65,90 06015
8	0,2	33	7,7	38	40	76	8	5	82,71 08002
8	1,0	33	7,7	38	40	76	8	5	84,87 08010
8	1,5	33	7,7	38	40	76	8	5	84,87 08015
8	2,0	33	7,7	38	40	76	8	5	84,87 08020
10	0,2	41	9,7	47	49	89	10	5	115,00 10002
10	1,0	41	9,7	47	49	89	10	5	117,60 10010
10	1,5	41	9,7	47	49	89	10	5	117,60 10015
10	2,0	41	9,7	47	49	89	10	5	117,60 10020
12	0,2	49	11,6	55	57	102	12	5	140,10 12002
12	1,0	49	11,6	55	57	102	12	5	143,60 12010
12	1,5	49	11,6	55	57	102	12	5	143,60 12015
12	2,0	49	11,6	55	57	102	12	5	143,60 12020
12	3,0	49	11,6	55	57	102	12	5	143,60 12030
14	0,2	57	13,6	64	68	113	14	5	214,80 14002
14	1,0	57	13,6	64	68	113	14	5	219,20 14010
14	1,5	57	13,6	64	68	113	14	5	219,20 14015
14	2,0	57	13,6	64	68	113	14	5	219,20 14020
14	3,0	57	13,6	64	68	113	14	5	219,20 14030
16	0,2	65	15,5	73	75	123	16	5	281,00 16002
16	1,0	65	15,5	73	75	123	16	5	285,40 16010
16	1,5	65	15,5	73	75	123	16	5	285,40 16015
16	2,0	65	15,5	73	75	123	16	5	285,40 16020
16	3,0	65	15,5	73	75	123	16	5	285,40 16030
16	4,0	65	15,5	73	75	123	16	5	285,40 16040
18	0,2	73	17,5	82	86	134	18	5	333,60 18002
18	1,0	73	17,5	82	86	134	18	5	337,20 18010
18	1,5	73	17,5	82	86	134	18	5	337,20 18015
18	2,0	73	17,5	82	86	134	18	5	337,20 18020
18	3,0	73	17,5	82	86	134	18	5	337,20 18030
18	4,0	73	17,5	82	86	134	18	5	337,20 18040
20	0,2	82	19,5	91	93	143	20	5	395,60 20002
20	1,0	82	19,5	91	93	143	20	5	401,30 20010
20	1,5	82	19,5	91	93	143	20	5	401,30 20015
20	2,0	82	19,5	91	93	143	20	5	401,30 20020
20	3,0	82	19,5	91	93	143	20	5	401,30 20030
20	4,0	82	19,5	91	93	143	20	5	401,30 20040

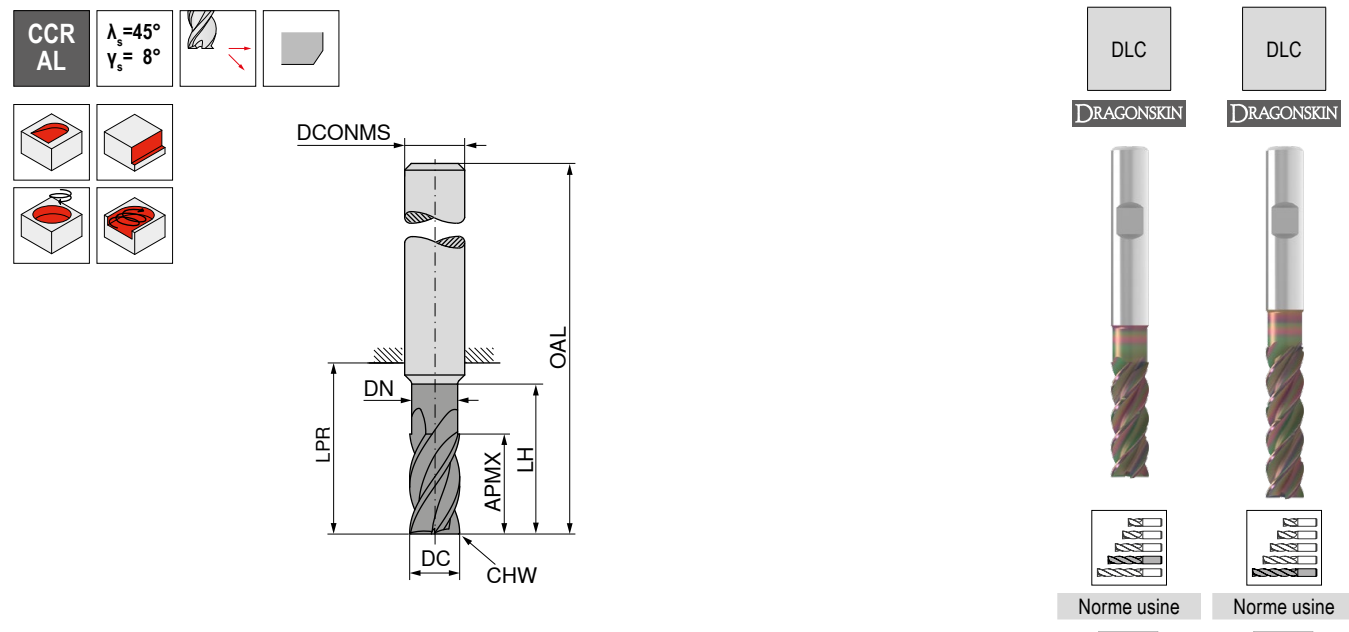


→ v_c/f_z Page 372+373

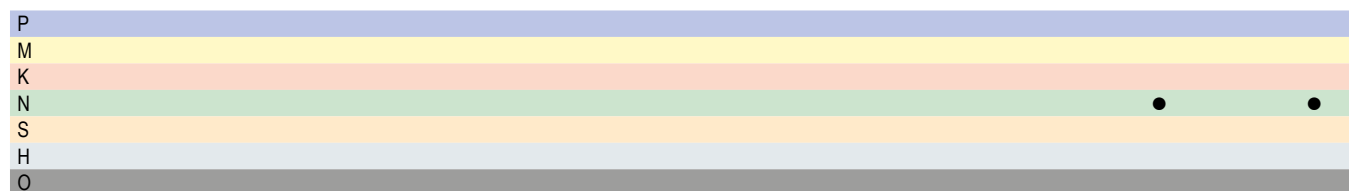
CircularLine – Fraises deux tailles

Les spécialistes pour l'usinage dynamique

- ▲ Brise-coapeaux espacés de 1,8 x DC
- ▲ 53 590 ... Profondeur de coupe maxi : 3 x DC
- ▲ 53 591 ... Profondeur de coupe maxi : 4 x DC



DC _{e8} mm	APMX mm	DN mm	LH mm	LPR mm	OAL mm	DCONMS _{h6} mm	CHW mm	ZEFF	53 590 ...	53 591 ...
									EUR V1/5B	EUR V1/5B
6	19	5,8	24	30	66	6	0,2	4	65,03	060
6	25	5,8	30	35	71	6	0,2	4	67,21	060
8	25	7,7	32	37	73	8	0,2	4	84,61	080
8	33	7,7	40	44	80	8	0,2	4	86,78	080
10	31	9,7	40	49	89	10	0,2	4	117,90	100
10	41	9,7	50	55	95	10	0,2	4	120,10	100
12	37	11,6	48	56	101	12	0,2	4	141,80	120
12	49	11,6	60	64	109	12	0,2	4	149,30	120
14	43	13,0	56	60	105	14	0,2	4	217,20	14000
14	57	13,0	70	74	119	14	0,2	4	222,40	14000
16	49	15,5	64	72	120	16	0,2	4	291,20	160
16	65	15,5	80	84	132	16	0,2	4	297,00	160
18	56	17,0	72	76	124	18	0,2	4	333,70	18000
18	74	17,0	90	94	142	18	0,2	4	360,00	18000
20	62	19,5	80	84	134	20	0,2	4	408,70	200
20	82	19,5	100	104	154	20	0,2	4	418,70	200

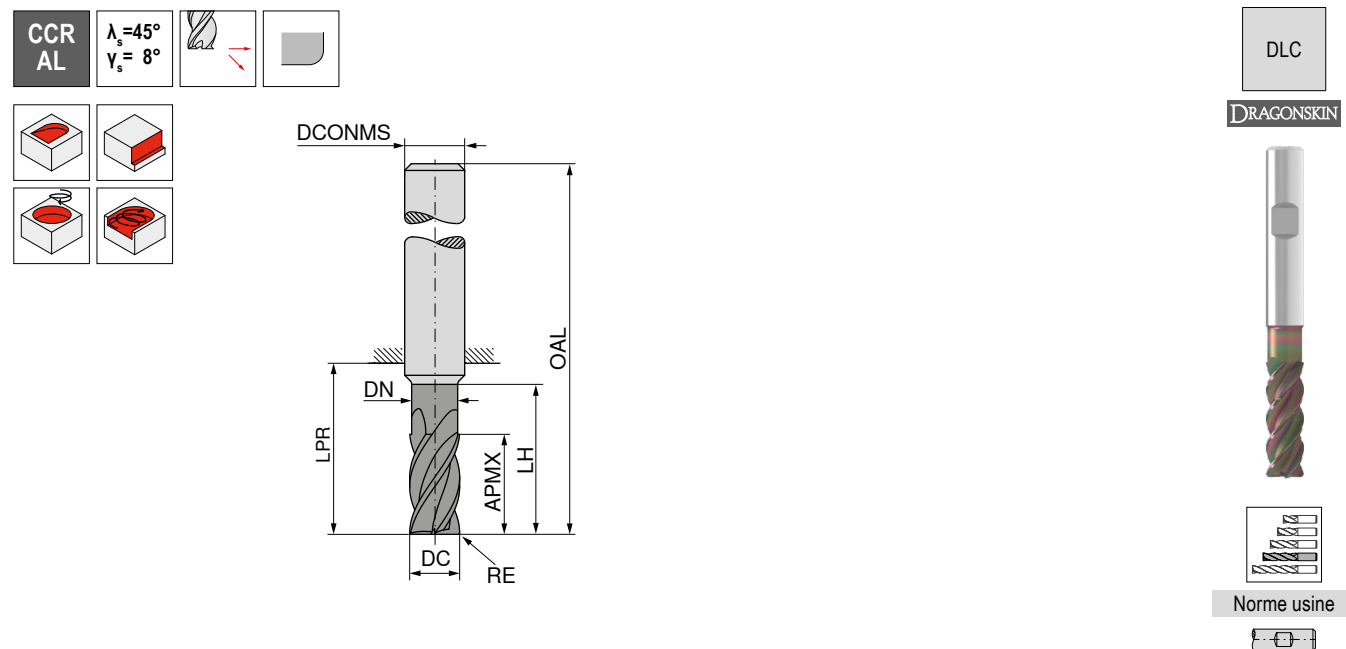


→ V_c/f_z Page 374+375

CircularLine – Fraise deux tailles rayonnées

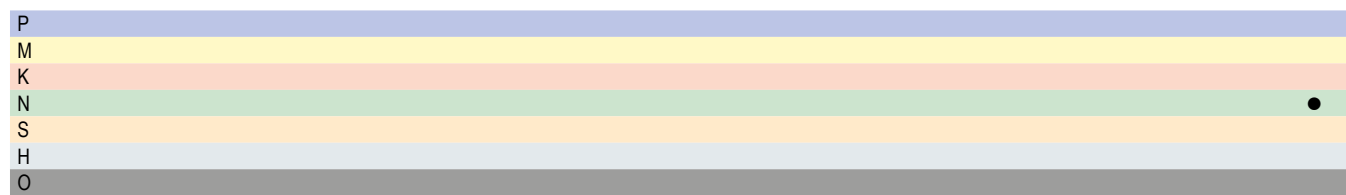
Les spécialistes pour l'usinage dynamique

- ▲ Brise-copeaux espacés de 1,8 x DC
- ▲ Profondeur de coupe maxi: 3 x DC



53 594 ...

DC _{e8} mm	RE _{±0,05} mm	APMX mm	DN mm	LH mm	LPR mm	OAL mm	DCONMS _{h6} mm	ZEFF	EUR V1/5B
6	0,2	19	5,8	24	30	66	6	4	65,03 06002
6	1,0	19	5,8	24	30	66	6	4	66,93 06010
6	1,5	19	5,8	24	30	66	6	4	66,93 06015
8	0,2	25	7,7	32	37	73	8	4	84,61 08002
8	1,0	25	7,7	32	37	73	8	4	86,78 08010
8	1,5	25	7,7	32	37	73	8	4	86,78 08015
8	2,0	25	7,7	32	37	73	8	4	86,78 08020
10	0,2	31	9,7	40	49	89	10	4	117,90 10002
10	1,0	31	9,7	40	49	89	10	4	120,40 10010
10	1,5	31	9,7	40	49	89	10	4	120,40 10015
10	1,6	31	9,7	40	49	89	10	4	120,40 10016
10	2,0	31	9,7	40	49	89	10	4	120,40 10020
12	0,2	37	11,6	48	56	101	12	4	141,80 12002
12	1,0	37	11,6	48	56	101	12	4	144,70 12010
12	1,5	37	11,6	48	56	101	12	4	144,70 12015
12	1,6	37	11,6	48	56	101	12	4	144,70 12016
12	2,0	37	11,6	48	56	101	12	4	144,70 12020
12	3,0	37	11,6	48	56	101	12	4	144,70 12030
14	0,2	43	13,0	56	60	105	14	4	217,20 14002
14	1,0	43	13,0	56	60	105	14	4	221,80 14010
14	1,5	43	13,0	56	60	105	14	4	221,80 14015
14	1,6	43	13,0	56	60	105	14	4	221,80 14016
14	2,0	43	13,0	56	60	105	14	4	221,80 14020
14	3,0	43	13,0	56	60	105	14	4	221,80 14030
16	0,2	49	15,5	64	72	120	16	4	291,20 16002
16	1,0	49	15,5	64	72	120	16	4	294,20 16010
16	1,5	49	15,5	64	72	120	16	4	294,20 16015
16	1,6	49	15,5	64	72	120	16	4	294,20 16016
16	2,0	49	15,5	64	72	120	16	4	294,20 16020
16	3,0	49	15,5	64	72	120	16	4	294,20 16030
16	4,0	49	15,5	64	72	120	16	4	294,20 16040
18	0,2	56	17,0	72	76	124	18	4	333,70 18002
18	1,0	56	17,0	72	76	124	18	4	336,80 18010
18	1,5	56	17,0	72	76	124	18	4	336,80 18015
18	1,6	56	17,0	72	76	124	18	4	336,80 18016
18	2,0	56	17,0	72	76	124	18	4	336,80 18020

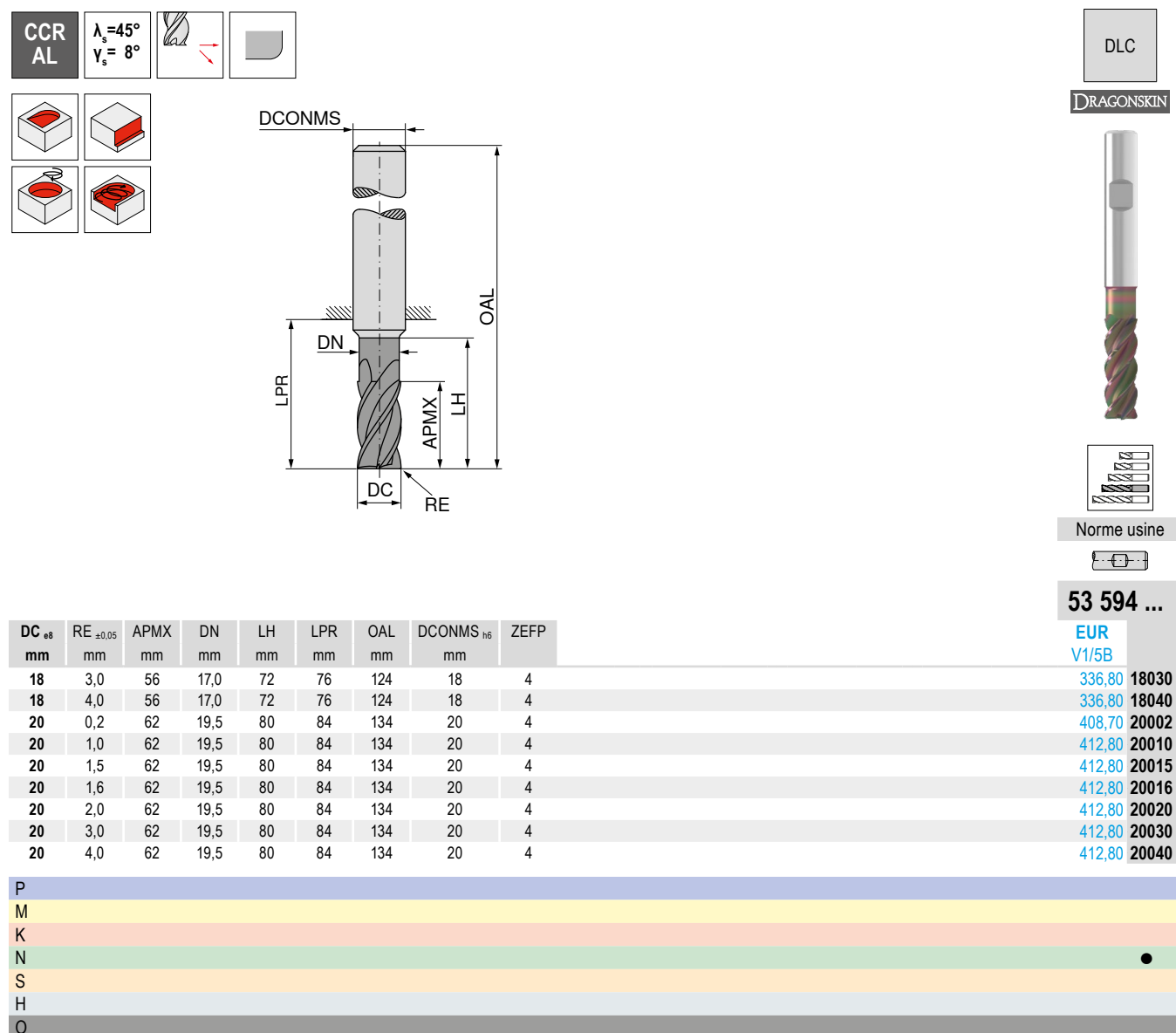


→ V_c/f_z Page 374+375

CircularLine – Fraise deux tailles rayonnées

Les spécialistes pour l'usinage dynamique

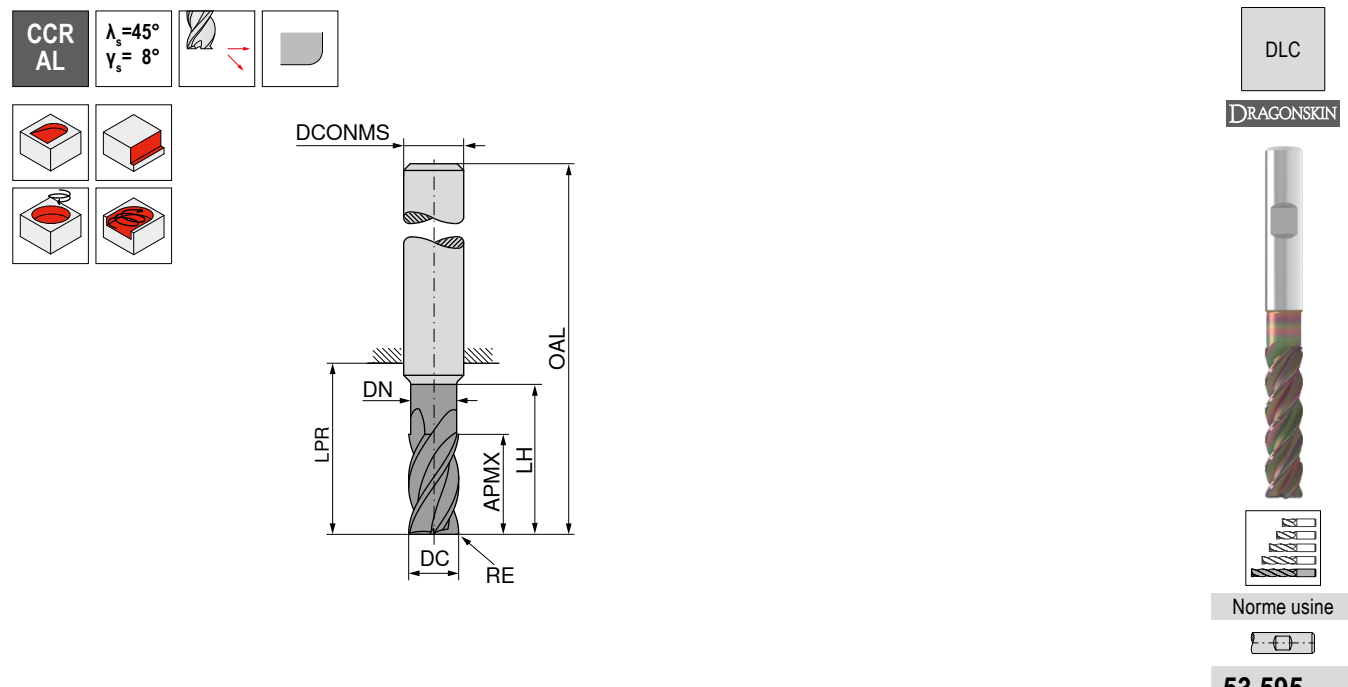
- ▲ Brise-copeaux espacés de 1,8 x DC
- ▲ Profondeur de coupe maxi: 3 x DC



CircularLine – Fraises deux tailles rayonnées

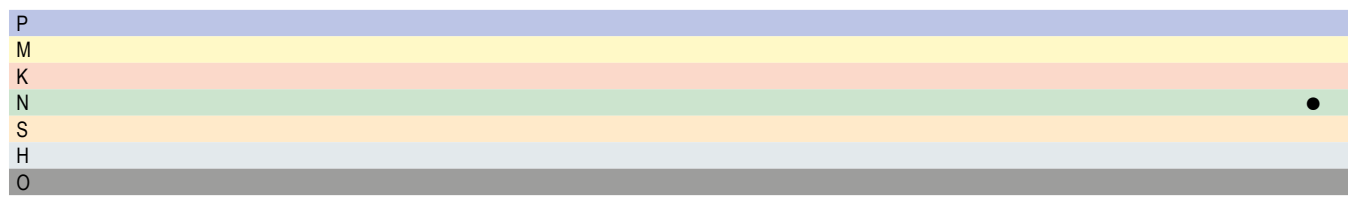
Les spécialistes pour l'usinage dynamique

- ▲ Brise-copeaux espacés de 1,8 x DC
- ▲ Profondeur de coupe maxi: 4 x DC



53 595 ...

DC d_8 mm	RE $\pm 0,05$ mm	APMX	DN	LH	LPR	OAL	DCONMS h_6 mm	ZEFF	EUR V1/5B	
6	0,2	25	5,8	30	35	71	6	4	67,21	06002
6	1,0	25	5,8	30	35	71	6	4	69,09	06010
6	1,5	25	5,8	30	35	71	6	4	69,09	06015
8	0,2	33	7,7	40	44	80	8	4	86,78	08002
8	1,0	33	7,7	40	44	80	8	4	89,09	08010
8	1,5	33	7,7	40	44	80	8	4	89,09	08015
8	2,0	33	7,7	40	44	80	8	4	89,09	08020
10	0,2	41	9,7	50	55	95	10	4	120,10	10002
10	1,0	41	9,7	50	55	95	10	4	122,70	10010
10	1,5	41	9,7	50	55	95	10	4	122,70	10015
10	1,6	41	9,7	50	55	95	10	4	122,70	10016
10	2,0	41	9,7	50	55	95	10	4	122,70	10020
12	0,2	49	11,6	60	64	109	12	4	149,30	12002
12	1,0	49	11,6	60	64	109	12	4	152,20	12010
12	1,5	49	11,6	60	64	109	12	4	152,20	12015
12	1,6	49	11,6	60	64	109	12	4	152,20	12016
12	2,0	49	11,6	60	64	109	12	4	152,20	12020
12	3,0	49	11,6	60	64	109	12	4	152,20	12030
14	0,2	57	13,0	70	74	119	14	4	222,40	14002
14	1,0	57	13,0	70	74	119	14	4	224,80	14010
14	1,5	57	13,0	70	74	119	14	4	224,80	14015
14	1,6	57	13,0	70	74	119	14	4	224,80	14016
14	2,0	57	13,0	70	74	119	14	4	224,80	14020
14	3,0	57	13,0	70	74	119	14	4	224,80	14030
16	0,2	65	15,5	80	84	132	16	4	297,00	16002
16	1,0	65	15,5	80	84	132	16	4	301,40	16010
16	1,5	65	15,5	80	84	132	16	4	301,40	16015
16	1,6	65	15,5	80	84	132	16	4	301,40	16016
16	2,0	65	15,5	80	84	132	16	4	301,40	16020
16	3,0	65	15,5	80	84	132	16	4	301,40	16030
16	4,0	65	15,5	80	84	132	16	4	301,40	16040
18	0,2	74	17,0	90	94	142	18	4	360,00	18002
18	1,0	74	17,0	90	94	142	18	4	361,10	18010
18	1,5	74	17,0	90	94	142	18	4	361,10	18015
18	1,6	74	17,0	90	94	142	18	4	361,10	18016
18	2,0	74	17,0	90	94	142	18	4	361,10	18020

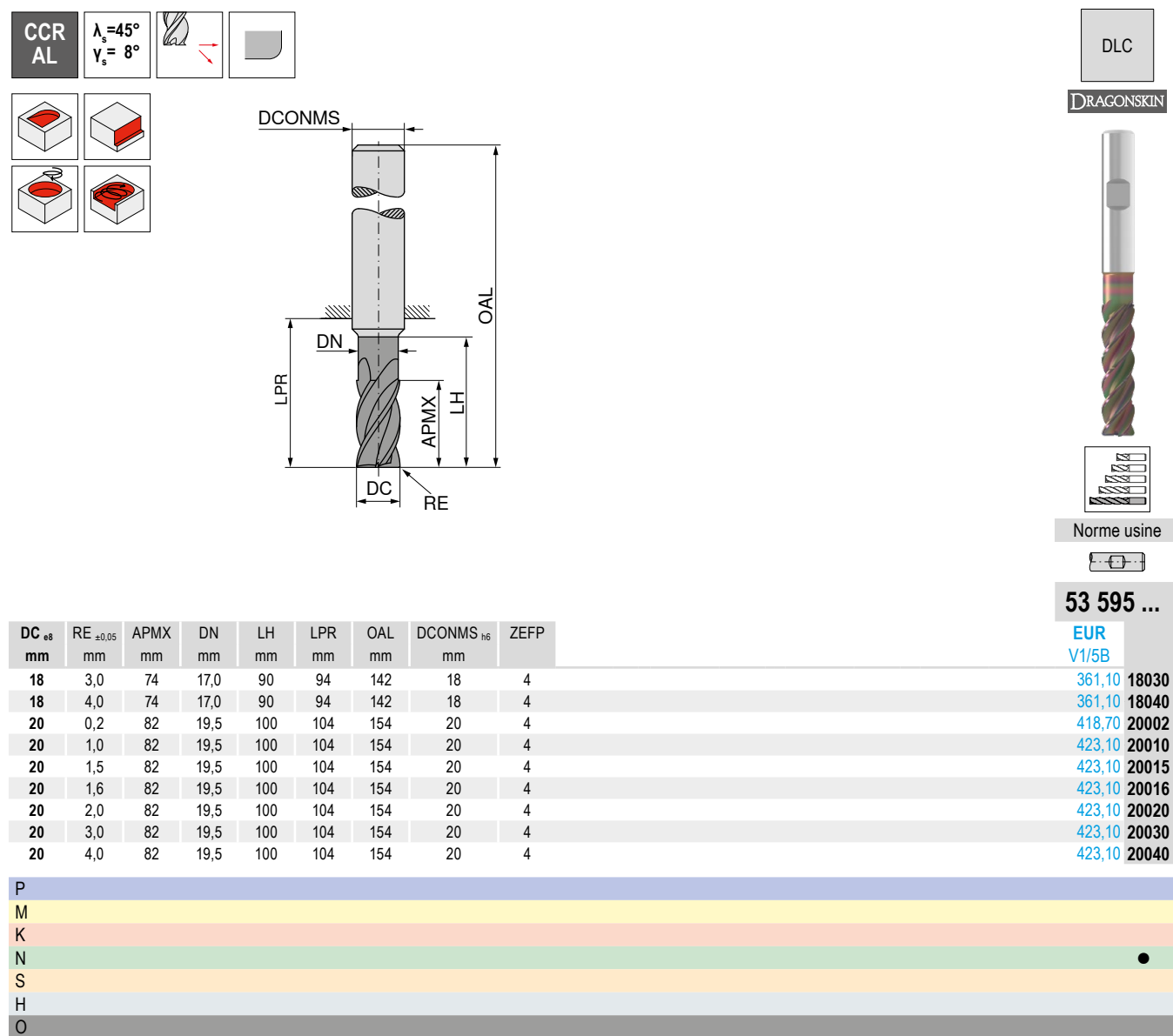


→ V_c/f_z Page 374+375

CircularLine – Fraise deux tailles rayonnées

Les spécialistes pour l'usinage dynamique

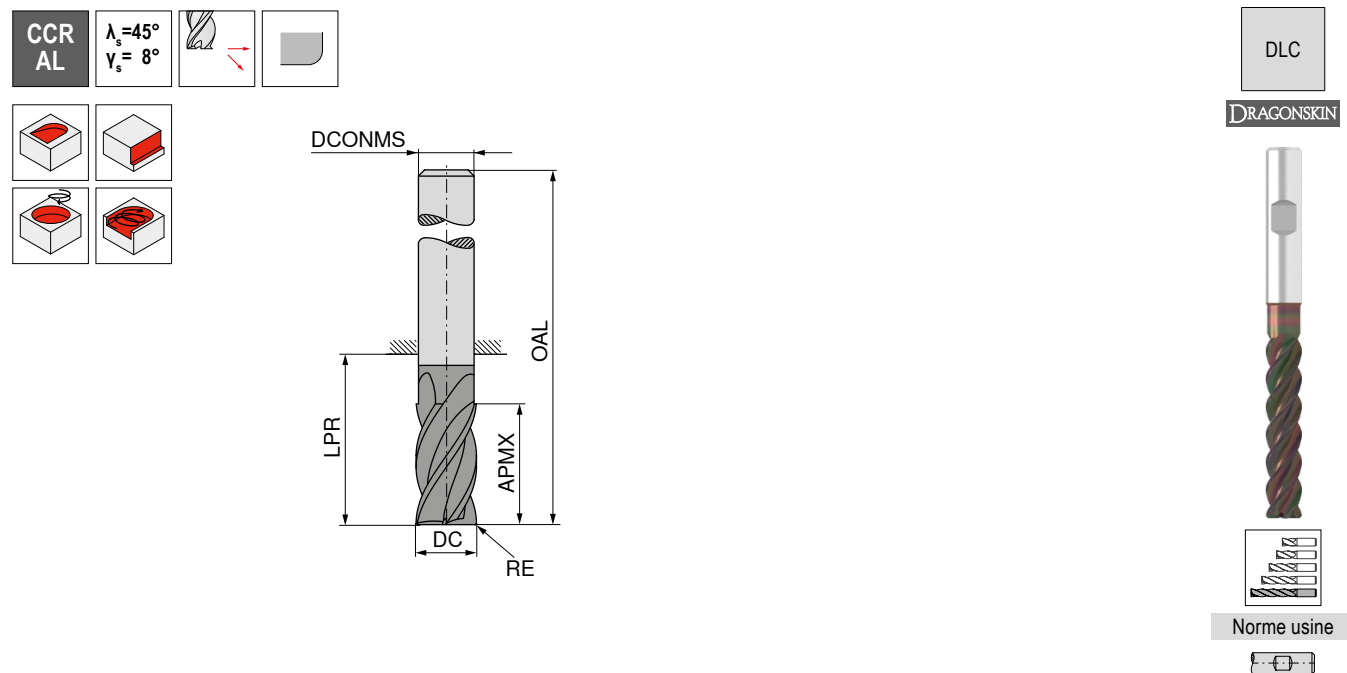
- ▲ Brise-copeaux espacés de 1,8 x DC
- ▲ Profondeur de coupe maxi: 4 x DC



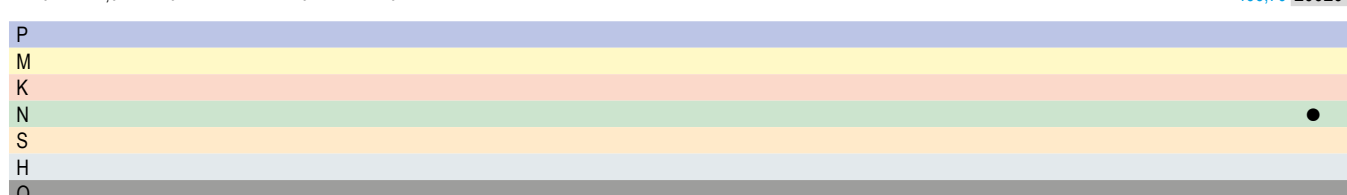
CircularLine – Fraises deux tailles rayonnées

Les spécialistes pour l'usinage dynamique

- ▲ Brise-copeaux espacés de 1,8 x DC
- ▲ Profondeur de coupe maxi: 5 x DC



DC _{h8} mm	RE ±0,05 mm	APMX mm	LPR mm	OAL mm	DCONMS _{h6} mm	ZEFP	EUR V1/5B
6	0,2	31	40	76	6	4	80,68 06002
6	1,0	31	40	76	6	4	83,13 06010
6	1,5	31	40	76	6	4	83,13 06015
8	0,2	41	50	86	8	4	95,66 08002
8	1,0	41	50	86	8	4	98,10 08010
8	1,5	41	50	86	8	4	98,10 08015
8	2,0	41	50	86	8	4	98,10 08020
10	0,2	51	61	101	10	4	132,30 10002
10	1,0	51	61	101	10	4	135,10 10010
10	1,5	51	61	101	10	4	135,10 10015
10	2,0	51	61	101	10	4	135,10 10020
12	0,2	61	71	116	12	4	163,70 12002
12	1,0	61	71	116	12	4	167,60 12010
12	1,5	61	71	116	12	4	167,60 12015
12	2,0	61	71	116	12	4	167,60 12020
14	0,2	71	82	127	14	4	245,60 14002
14	1,0	71	82	127	14	4	248,30 14010
14	1,5	71	82	127	14	4	248,30 14015
14	2,0	71	82	127	14	4	248,30 14020
16	0,2	81	93	141	16	4	327,10 16002
16	1,0	81	93	141	16	4	331,30 16010
16	1,5	81	93	141	16	4	331,30 16015
16	2,0	81	93	141	16	4	331,30 16020
18	0,2	91	103	151	18	4	397,60 18002
18	1,0	91	103	151	18	4	399,00 18010
18	1,5	91	103	151	18	4	399,00 18015
18	2,0	91	103	151	18	4	399,00 18020
20	0,2	102	114	164	20	4	461,50 20002
20	1,0	102	114	164	20	4	466,70 20010
20	1,5	102	114	164	20	4	466,70 20015
20	2,0	102	114	164	20	4	466,70 20020

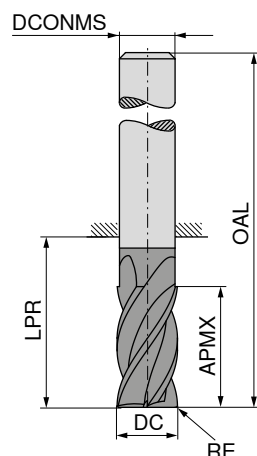
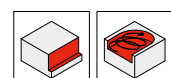
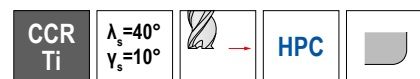


→ V_c/f_z Page 374+375

CircularLine – Fraise deux tailles rayonnées

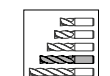
Les spécialistes pour l'usinage des titanes et alliages de titane

- ▲ Brise-copeaux 0,9 x DC
- ▲ Profondeur de coupe extra longue : 4 x DC
- ▲ Profondeur de coupe longue : 3 x DC



DRAGONSKIN

DRAGONSKIN



Norme usine

Norme usine

52 510 ...

52 510 ...

EUR
V1EUR
V1

89,71 06000

96,71 06100

118,50 08000

122,80 08100

147,80 10000

155,70 10100

187,10 12000

194,50 12100

283,80 16000

300,50 16100

372,50 20000

454,10 20100

DC _{e8} mm	RE _{±0,01} mm	APMX mm	LPR mm	OAL mm	DCONMS _{hs} mm	ZEFP
6	0,1	18	29	65	6	5
6	0,1	24	31	67	6	5
8	0,2	24	34	70	8	5
8	0,2	32	44	80	8	5
10	0,2	30	40	80	10	5
10	0,2	40	50	90	10	5
12	0,2	36	50	95	12	5
12	0,2	48	55	100	12	5
16	0,2	48	62	110	16	5
16	0,3	64	72	120	16	5
20	0,3	60	75	125	20	5
20	0,3	80	90	140	20	5

P	○	○
M	○	○
K		
N		
S	●	●
H		
O		

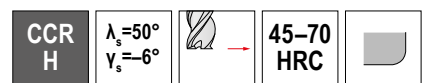
→ v_c/f_x Page 376+377

CircularLine – Fraise deux tailles rayonnées

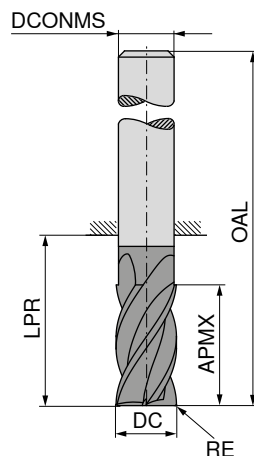
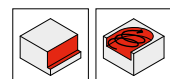
Les spécialistes pour l'usinage dynamique

▲ Brise-copeaux espacés de 0,9 x DC

▲ Profondeur de coupe : 3 x DC



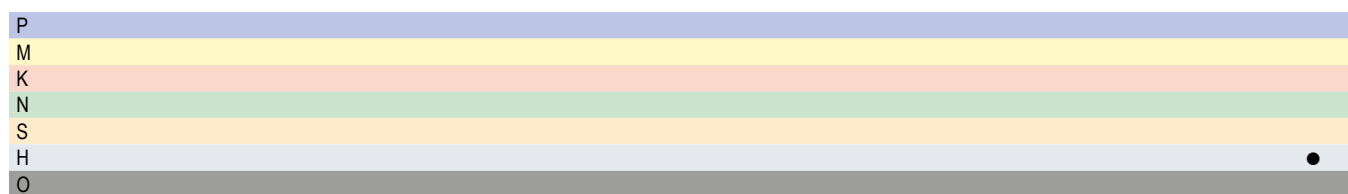
DRAGONSKIN



Norme usine

53 596 ...

DC e_8 mm	RE $\pm 0,05$ mm	APMX mm	LPR mm	OAL mm	DCONMS h_6 mm	ZEFF	EUR V1/5B	
6	0,2	19	24	60	6	6	66,30	06002
6	1,0	19	24	60	6	6	66,30	06010
8	0,2	25	31	67	8	6	91,31	08002
8	1,0	25	31	67	8	6	91,31	08010
10	0,2	31	37	77	10	6	126,60	10002
10	1,0	31	37	77	10	6	126,60	10010
10	1,5	31	37	77	10	6	126,60	10015
12	0,2	37	43	88	12	6	150,20	12002
12	1,0	37	43	88	12	6	150,20	12010
12	1,5	37	43	88	12	6	150,20	12015
12	2,0	37	43	88	12	6	150,20	12020
12	3,0	37	43	88	12	6	150,20	12030
16	0,2	49	56	104	16	6	301,10	16002
16	1,0	49	56	104	16	6	301,10	16010
16	1,5	49	56	104	16	6	301,10	16015
16	2,0	49	56	104	16	6	301,10	16020
16	3,0	49	56	104	16	6	301,10	16030
20	0,2	61	68	118	20	6	434,00	20002
20	1,0	61	68	118	20	6	434,00	20010
20	1,5	61	68	118	20	6	434,00	20015
20	2,0	61	68	118	20	6	434,00	20020
20	3,0	61	68	118	20	6	434,00	20030

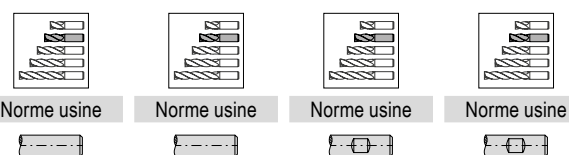
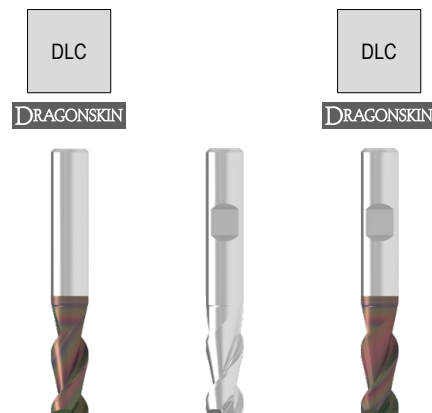
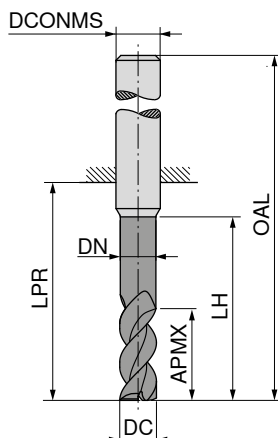
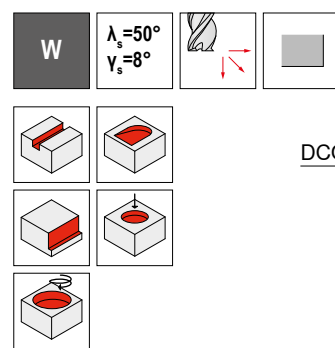


→ v_c/f_z Page 378

AluLine – Fraises deux tailles

Les spécialistes pour l'usinage des métaux non ferreux

▲ Avec goujures polies



	53 623 ...	53 625 ...	53 624 ...	53 626 ...
	EUR V1/5B	EUR V1/5B	EUR V1/5B	EUR V1/5B
5,0	33,93 05100	42,63 05100	33,93 05100	42,63 05100
5,5	41,38 05600	50,11 05600	41,38 05600	50,11 05600
6,0	38,12 06100	48,21 06100	38,12 06100	48,21 06100
6,5	43,76 06600	53,89 06600	43,76 06600	53,89 06600
7,0	42,68 07100	52,82 07100	42,68 07100	52,82 07100
7,5	41,53 07600	51,62 07600	41,53 07600	51,62 07600
8,0	39,65 08100	51,01 08100	39,65 08100	51,01 08100
8,5	67,52 08600	78,87 08600	67,52 08600	78,87 08600
9,0	65,72 09100	77,09 09100	65,72 09100	77,09 09100
9,5	63,90 09600	75,25 09600	63,90 09600	75,25 09600
10,0	60,93 10100	73,57 10100	60,93 10100	73,57 10100
10,5	93,33 10600	106,00 10600	93,33 10600	106,00 10600
11,0	90,79 11100	103,40 11100	90,79 11100	103,40 11100
11,5	88,08 11600	100,70 11600	88,08 11600	100,70 11600
12,0	86,46 12100	104,10 12100	86,46 12100	104,10 12100
12,5		124,50 12600	124,50 12600	142,20 12600
13,0		123,40 13100	123,40 13100	141,20 13100
13,5		122,40 13600	122,40 13600	140,10 13600
14,0		123,60 14100	123,60 14100	147,30 14100
14,5		169,00 14600	169,00 14600	192,80 14600
15,0		165,20 15100	165,20 15100	189,00 15100
15,5		161,20 15600	161,20 15600	185,00 15600
16,0		169,90 16100	169,90 16100	197,50 16100
16,5		219,60 16600	219,60 16600	247,30 16600
17,0		213,70 17100	213,70 17100	241,50 17100
17,5		207,40 17600	207,40 17600	235,20 17600
18,0		204,80 18100	204,80 18100	235,20 18100
18,5		271,50 18600	271,50 18600	301,90 18600
19,0		264,10 19100	264,10 19100	294,40 19100
19,5		256,50 19600	256,50 19600	286,80 19600
20,0		252,00 20100	252,00 20100	289,90 20100

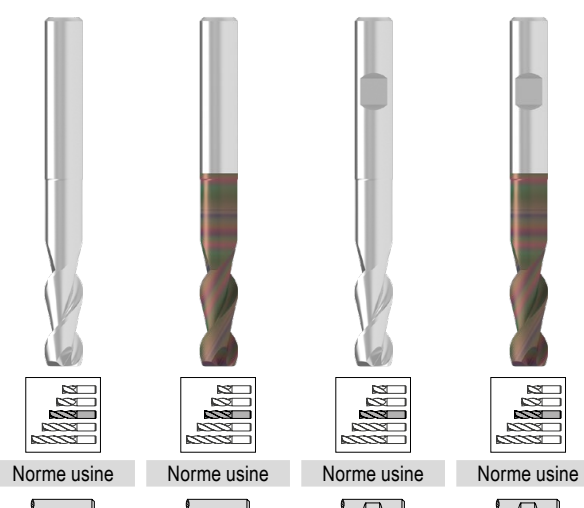
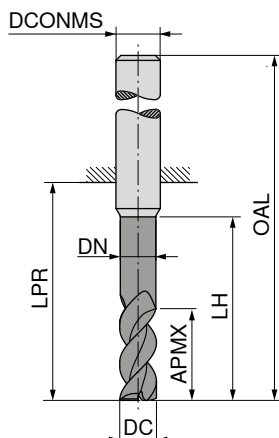
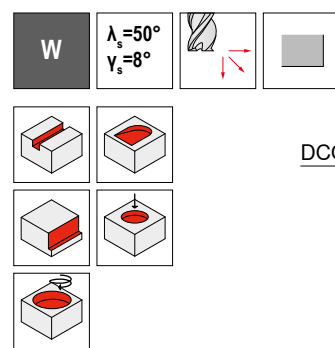
P				
M				
K				
N	●	●	●	●
S				
H				
O				

→ V_c/f_z Page 414+415

AluLine – Fraise deux tailles

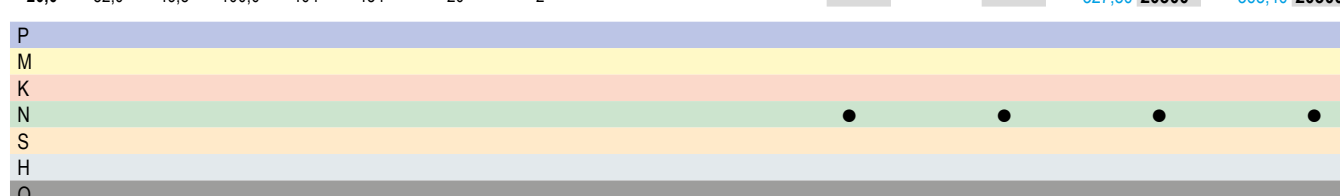
Les spécialistes pour l'usinage des métaux non ferreux

▲ Avec goujures polies



DC _{h6} mm	APMX mm	DN mm	LH mm	LPR mm	OAL mm	DCONMS _{h6} mm	ZEFP
2,0	5,5	1,8	10,0	19	55	6	2
2,5	6,5	2,3	12,5	22	58	6	2
3,0	8,0	2,8	15,0	22	58	6	2
3,5	10,5	3,3	20,0	26	62	6	2
4,0	10,5	3,8	20,0	26	62	6	2
4,5	13,0	4,3	25,0	34	70	6	2
5,0	13,0	4,8	25,0	34	70	6	2
5,5	16,0	5,3	30,0	34	70	6	2
6,0	16,0	5,8	30,0	34	70	6	2
6,5	21,0	6,2	40,0	44	80	8	2
7,0	21,0	6,7	40,0	44	80	8	2
7,5	21,0	7,2	40,0	44	80	8	2
8,0	21,0	7,7	40,0	44	80	8	2
8,5	26,0	8,2	50,0	54	94	10	2
9,0	26,0	8,7	50,0	54	94	10	2
9,5	26,0	9,2	50,0	54	94	10	2
10,0	26,0	9,7	50,0	54	94	10	2
10,5	31,0	10,1	60,0	64	109	12	2
11,0	31,0	10,6	60,0	64	109	12	2
11,5	31,0	11,1	60,0	64	109	12	2
12,0	31,0	11,6	60,0	64	109	12	2
12,5	36,0	12,1	70,0	74	119	14	2
13,0	36,0	12,6	70,0	74	119	14	2
13,5	36,0	13,1	70,0	74	119	14	2
14,0	36,0	13,6	70,0	74	119	14	2
14,5	41,0	14,0	80,0	84	132	16	2
15,0	41,0	14,5	80,0	84	132	16	2
15,5	41,0	15,0	80,0	84	132	16	2
16,0	41,0	15,5	80,0	84	132	16	2
16,5	47,0	16,0	90,0	94	142	18	2
17,0	47,0	16,5	90,0	94	142	18	2
17,5	47,0	17,0	90,0	94	142	18	2
18,0	47,0	17,5	90,0	94	142	18	2
18,5	52,0	18,0	100,0	104	154	20	2
19,0	52,0	18,5	100,0	104	154	20	2
19,5	52,0	19,0	100,0	104	154	20	2
20,0	52,0	19,5	100,0	104	154	20	2

53 633 ...	EUR V1/5B	53 635 ...	EUR V1/5B	53 634 ...	EUR V1/5B	53 636 ...	EUR V1/5B
30,44 02300	39,14 02300	30,44 02300	39,14 02300	30,44 02300	39,14 02300	30,44 02300	39,14 02300
38,96 02800	47,67 02800	38,96 02800	47,67 02800	38,96 02800	47,67 02800	38,96 02800	47,67 02800
39,98 03300	48,66 03300	39,98 03300	48,66 03300	39,98 03300	48,66 03300	39,98 03300	48,66 03300
37,66 03800	46,40 03800	37,66 03800	46,40 03800	37,66 03800	46,40 03800	37,66 03800	46,40 03800
38,48 04300	47,19 04300	38,48 04300	47,19 04300	38,48 04300	47,19 04300	38,48 04300	47,19 04300
39,76 04800	48,47 04800	39,76 04800	48,47 04800	39,76 04800	48,47 04800	39,76 04800	48,47 04800
40,72 05300	49,43 05300	40,72 05300	49,43 05300	40,72 05300	49,43 05300	40,72 05300	49,43 05300
49,65 05800	58,38 05800	49,65 05800	58,38 05800	49,65 05800	58,38 05800	49,65 05800	58,38 05800
45,72 06300	55,80 06300	45,72 06300	55,80 06300	45,72 06300	55,80 06300	45,72 06300	55,80 06300
54,73 06800	64,83 06800	54,73 06800	64,83 06800	54,73 06800	64,83 06800	54,73 06800	64,83 06800
53,36 07300	63,49 07300	53,36 07300	63,49 07300	53,36 07300	63,49 07300	53,36 07300	63,49 07300
51,93 07800	62,07 07800	51,93 07800	62,07 07800	51,93 07800	62,07 07800	51,93 07800	62,07 07800
49,56 08300	60,91 08300	49,56 08300	60,91 08300	49,56 08300	60,91 08300	49,56 08300	60,91 08300
84,36 08800	95,72 08800	84,36 08800	95,72 08800	84,36 08800	95,72 08800	84,36 08800	95,72 08800
78,90 09300	90,24 09300	78,90 09300	90,24 09300	78,90 09300	90,24 09300	78,90 09300	90,24 09300
76,66 09800	88,03 09800	76,66 09800	88,03 09800	76,66 09800	88,03 09800	76,66 09800	88,03 09800
73,12 10300	85,77 10300	73,12 10300	85,77 10300	73,12 10300	85,77 10300	73,12 10300	85,77 10300
112,00 10800	124,70 10800	112,00 10800	124,70 10800	112,00 10800	124,70 10800	112,00 10800	124,70 10800
113,50 11300	126,20 11300	113,50 11300	126,20 11300	113,50 11300	126,20 11300	113,50 11300	126,20 11300
105,70 11800	118,30 11800	105,70 11800	118,30 11800	105,70 11800	118,30 11800	105,70 11800	118,30 11800
103,80 12300	121,40 12300	103,80 12300	121,40 12300	103,80 12300	121,40 12300	103,80 12300	121,40 12300
162,00 12800	179,60 12800	162,00 12800	179,60 12800	162,00 12800	179,60 12800	162,00 12800	179,60 12800
160,50 13300	178,20 13300	160,50 13300	178,20 13300	160,50 13300	178,20 13300	160,50 13300	178,20 13300
159,40 13800	176,90 13800	159,40 13800	176,90 13800	159,40 13800	176,90 13800	159,40 13800	176,90 13800
160,70 14300	184,40 14300	160,70 14300	184,40 14300	160,70 14300	184,40 14300	160,70 14300	184,40 14300
219,80 14800	243,60 14800	219,80 14800	243,60 14800	219,80 14800	243,60 14800	219,80 14800	243,60 14800
214,90 15300	238,70 15300	214,90 15300	238,70 15300	214,90 15300	238,70 15300	214,90 15300	238,70 15300
209,80 15800	233,50 15800	209,80 15800	233,50 15800	209,80 15800	233,50 15800	209,80 15800	233,50 15800
220,80 16300	248,60 16300	220,80 16300	248,60 16300	220,80 16300	248,60 16300	220,80 16300	248,60 16300
285,50 16800	313,30 16800	285,50 16800	313,30 16800	285,50 16800	313,30 16800	285,50 16800	313,30 16800
277,60 17300	305,40 17300	277,60 17300	305,40 17300	277,60 17300	305,40 17300	277,60 17300	305,40 17300
269,60 17800	297,30 17800	269,60 17800	297,30 17800	269,60 17800	297,30 17800	269,60 17800	297,30 17800
266,20 18300	296,70 18300	266,20 18300	296,70 18300	266,20 18300	296,70 18300	266,20 18300	296,70 18300
353,00 18800	383,40 18800	353,00 18800	383,40 18800	353,00 18800	383,40 18800	353,00 18800	383,40 18800
343,40 19300	373,60 19300	343,40 19300	373,60 19300	343,40 19300	373,60 19300	343,40 19300	373,60 19300
333,50 19800	363,50 19800	333,50 19800	363,50 19800	333,50 19800	363,50 19800	333,50 19800	363,50 19800
327,50 20300	365,40 20300	327,50 20300	365,40 20300	327,50 20300	365,40 20300	327,50 20300	365,40 20300

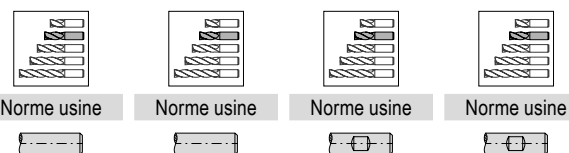
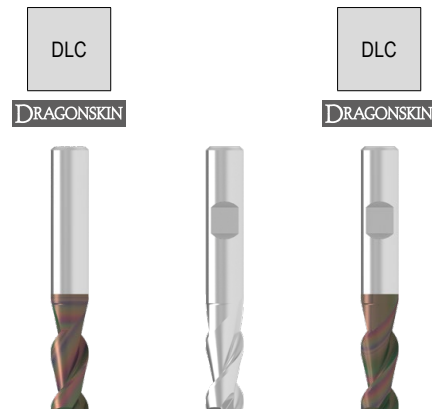
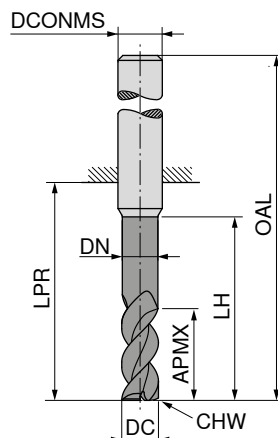
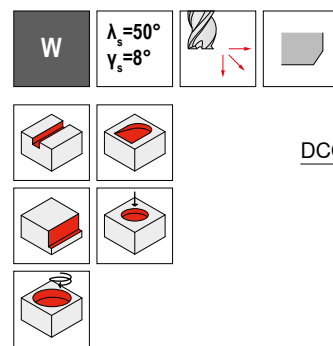


→ v_c/f_z Page 414+415

AluLine – Fraises deux tailles

Les spécialistes pour l'usinage des métaux non ferreux

▲ Avec goujures polies



DC _{h6} mm	APMX mm	DN mm	LH mm	LPR mm	OAL mm	DCONMS _{h6} mm	CHW mm	ZEFP	53 619 ...	EUR V1/5B	53 621 ...	EUR V1/5B	53 620 ...	EUR V1/5B	53 622 ...	EUR V1/5B	
5,0	10,5	4,8	15	22	58	6	0,1	2		33,93	05100	42,63	05100	33,93	05100	42,63	05100
5,5	13,0	5,3	18	22	58	6	0,1	2		41,38	05600	50,11	05600	41,38	05600	50,11	05600
6,0	13,0	5,8	18	22	58	6	0,1	2		38,12	06100	48,21	06100	38,12	06100	48,21	06100
6,5	17,0	6,2	24	28	64	8	0,1	2		43,76	06600	53,89	06600	43,76	06600	53,89	06600
7,0	17,0	6,7	24	28	64	8	0,1	2		42,68	07100	52,82	07100	42,68	07100	52,82	07100
7,5	17,0	7,2	24	28	64	8	0,1	2		41,53	07600	51,62	07600	41,53	07600	51,62	07600
8,0	17,0	7,7	24	28	64	8	0,1	2		39,65	08100	51,01	08100	39,65	08100	51,01	08100
8,5	21,0	8,2	30	34	74	10	0,1	2		67,52	08600	78,87	08600	67,52	08600	78,87	08600
9,0	21,0	8,7	30	34	74	10	0,1	2		65,72	09100	77,09	09100	65,72	09100	77,09	09100
9,5	21,0	9,2	30	34	74	10	0,1	2		63,90	09600	75,25	09600	63,90	09600	75,25	09600
10,0	21,0	9,7	30	34	74	10	0,1	2		60,93	10100	73,57	10100	60,93	10100	73,57	10100
10,5	25,0	10,1	36	40	85	12	0,1	2		93,33	10600	106,00	10600	93,33	10600	106,00	10600
11,0	25,0	10,6	36	40	85	12	0,1	2		90,79	11100	103,40	11100	90,79	11100	103,40	11100
11,5	25,0	11,1	36	40	85	12	0,1	2		88,08	11600	100,70	11600	88,08	11600	100,70	11600
12,0	25,0	11,6	36	40	85	12	0,1	2		86,46	12100	104,10	12100	86,46	12100	104,10	12100
12,5	29,0	12,1	42	46	91	14	0,1	2				124,50	12600	142,20	12600		
13,0	29,0	12,6	42	46	91	14	0,1	2				123,40	13100	141,20	13100		
13,5	29,0	13,1	42	46	91	14	0,1	2				122,40	13600	140,10	13600		
14,0	29,0	13,6	42	46	91	14	0,1	2				123,60	14100	147,30	14100		
14,5	33,0	14,0	48	52	100	16	0,1	2				169,00	14600	192,80	14600		
15,0	33,0	14,5	48	52	100	16	0,1	2				165,20	15100	189,00	15100		
15,5	33,0	15,0	48	52	100	16	0,1	2				161,20	15600	185,00	15600		
16,0	33,0	15,5	48	52	100	16	0,1	2				169,90	16100	197,50	16100		
16,5	38,0	16,0	54	58	106	18	0,1	2				219,60	16600	247,30	16600		
17,0	38,0	16,5	54	58	106	18	0,1	2				213,70	17100	241,50	17100		
17,5	38,0	17,0	54	58	106	18	0,1	2				207,40	17600	235,20	17600		
18,0	38,0	17,5	54	58	106	18	0,1	2				204,80	18100	235,20	18100		
18,5	42,0	18,0	60	64	114	20	0,1	2				271,50	18600	301,90	18600		
19,0	42,0	18,5	60	64	114	20	0,1	2				264,10	19100	294,40	19100		
19,5	42,0	19,0	60	64	114	20	0,1	2				256,50	19600	286,80	19600		
20,0	42,0	19,5	60	64	114	20	0,1	2				252,00	20100	289,90	20100		

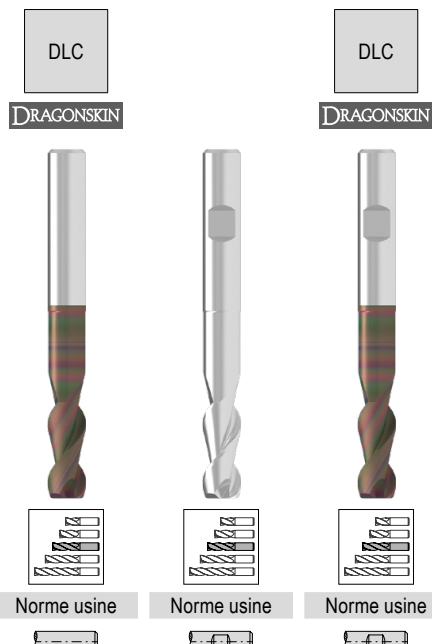
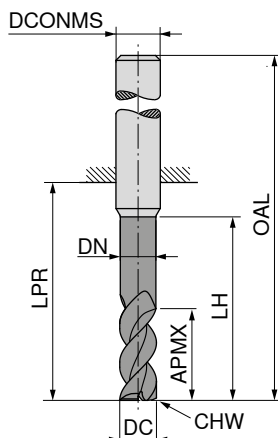
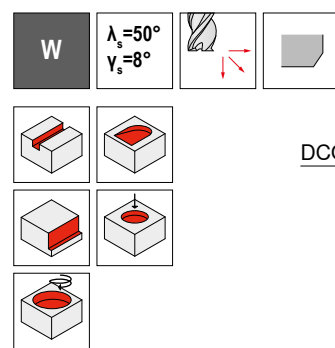
P															
M															
K															
N									●		●		●		●
S															
H															
O															

→ V_c/f_z Page 414+415

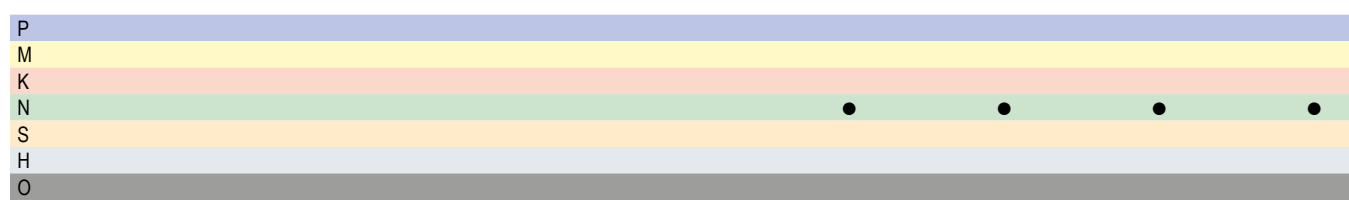
AluLine – Fraise deux tailles

Les spécialistes pour l'usinage des métaux non ferreux

▲ Avec goujures polies



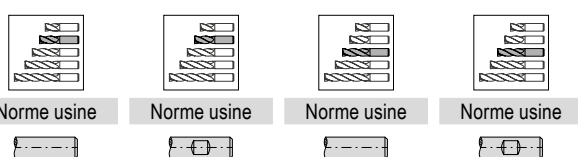
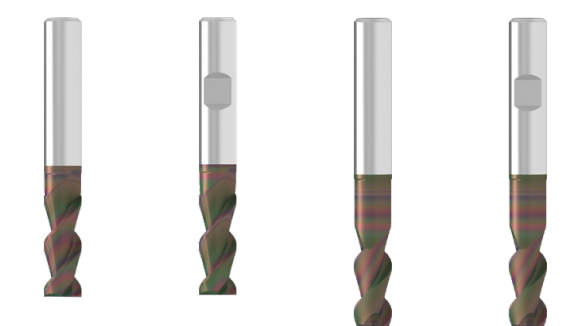
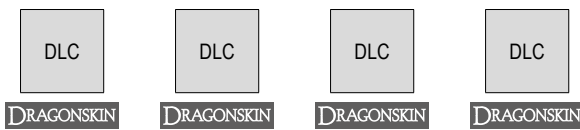
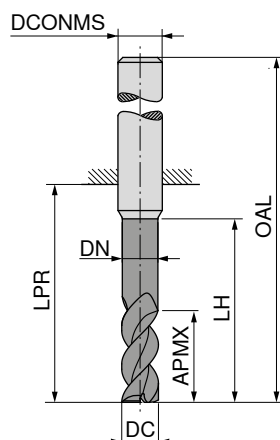
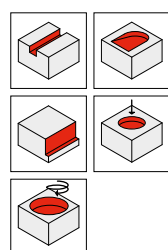
DC _{h6} mm	APMX mm	DN mm	LH mm	LPR mm	OAL mm	DCONMS _{h6} mm	CHW mm	ZEFP	53 629 ...	EUR V1/5B	53 631 ...	EUR V1/5B	53 630 ...	EUR V1/5B	53 632 ...	EUR V1/5B	
2,0	5,5	1,8	10,0	19	55	6	0,05	2		30,44	02300	39,14	02300	30,44	02300	39,14	02300
2,5	6,5	2,3	12,5	22	58	6	0,05	2		38,96	02800	47,67	02800	38,96	02800	47,67	02800
3,0	8,0	2,8	15,0	22	58	6	0,10	2		39,98	03300	48,66	03300	39,98	03300	48,66	03300
3,5	10,5	3,3	20,0	26	62	6	0,10	2		37,66	03800	46,40	03800	37,66	03800	46,40	03800
4,0	10,5	3,8	20,0	26	62	6	0,10	2		38,48	04300	47,19	04300	38,48	04300	47,19	04300
4,5	13,0	4,3	25,0	34	70	6	0,10	2		39,76	04800	48,47	04800	39,76	04800	48,47	04800
5,0	13,0	4,8	25,0	34	70	6	0,10	2		40,72	05300	49,43	05300	40,72	05300	49,43	05300
5,5	16,0	5,3	30,0	34	70	6	0,10	2		49,65	05800	58,38	05800	49,65	05800	58,38	05800
6,0	16,0	5,8	30,0	34	70	6	0,10	2		40,72	06300	50,83	06300	40,72	06300	50,83	06300
6,5	21,0	6,2	40,0	44	80	8	0,10	2		54,73	06800	64,83	06800	54,73	06800	64,83	06800
7,0	21,0	6,7	40,0	44	80	8	0,10	2		53,36	07300	63,49	07300	53,36	07300	63,49	07300
7,5	21,0	7,2	40,0	44	80	8	0,10	2		51,93	07800	62,07	07800	51,93	07800	62,07	07800
8,0	21,0	7,7	40,0	44	80	8	0,10	2		49,56	08300	60,91	08300	49,56	08300	60,91	08300
8,5	26,0	8,2	50,0	54	94	10	0,10	2		84,36	08800	95,72	08800	84,36	08800	95,72	08800
9,0	26,0	8,7	50,0	54	94	10	0,10	2		78,90	09300	90,24	09300	78,90	09300	90,24	09300
9,5	26,0	9,2	50,0	54	94	10	0,10	2		76,66	09800	88,03	09800	76,66	09800	88,03	09800
10,0	26,0	9,7	50,0	54	94	10	0,10	2		73,12	10300	85,77	10300	73,12	10300	85,77	10300
10,5	31,0	10,1	60,0	64	109	12	0,10	2		112,00	10800	124,70	10800	112,00	10800	124,70	10800
11,0	31,0	10,6	60,0	64	109	12	0,10	2		113,50	11300	126,20	11300	113,50	11300	126,20	11300
11,5	31,0	11,1	60,0	64	109	12	0,10	2		105,70	11800	118,30	11800	105,70	11800	118,30	11800
12,0	31,0	11,6	60,0	64	109	12	0,10	2		103,80	12300	121,40	12300	103,80	12300	121,40	12300
12,5	36,0	12,1	70,0	74	119	14	0,10	2				162,00	12800	179,60	12800		
13,0	36,0	12,6	70,0	74	119	14	0,10	2				160,50	13300	178,20	13300		
13,5	36,0	13,1	70,0	74	119	14	0,10	2				159,40	13800	176,90	13800		
14,0	36,0	13,6	70,0	74	119	14	0,10	2				160,70	14300	184,40	14300		
14,5	41,0	14,0	80,0	84	132	16	0,10	2				219,80	14800	243,60	14800		
15,0	41,0	14,5	80,0	84	132	16	0,10	2				214,90	15300	238,70	15300		
15,5	41,0	15,0	80,0	84	132	16	0,10	2				209,80	15800	233,50	15800		
16,0	41,0	15,5	80,0	84	132	16	0,10	2				220,80	16300	248,60	16300		
16,5	47,0	16,0	90,0	94	142	18	0,10	2				285,50	16800	313,30	16800		
17,0	47,0	16,5	90,0	94	142	18	0,10	2				277,60	17300	305,40	17300		
17,5	47,0	17,0	90,0	94	142	18	0,10	2				269,60	17800	297,30	17800		
18,0	47,0	17,5	90,0	94	142	18	0,10	2				266,20	18300	296,70	18300		
18,5	52,0	18,0	100,0	104	154	20	0,10	2				353,00	18800	383,40	18800		
19,0	52,0	18,5	100,0	104	154	20	0,10	2				343,40	19300	373,60	19300		
19,5	52,0	19,0	100,0	104	154	20	0,10	2				333,50	19800	363,50	19800		
20,0	52,0	19,5	100,0	104	154	20	0,10	2				327,50	20300	365,40	20300		



→ v_f/f_z Page 414+415

AluLine – Fraise deux tailles

Les spécialistes pour l'usinage des métaux non ferreux



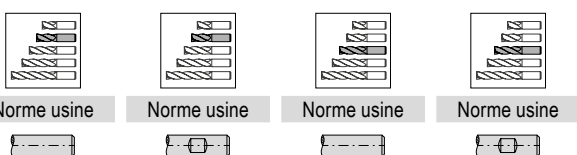
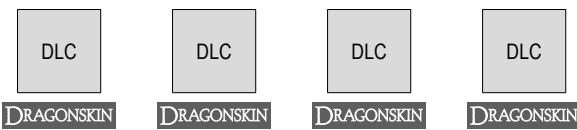
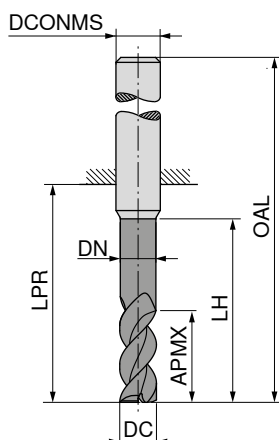
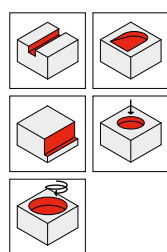
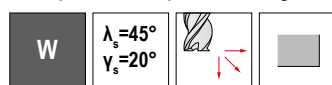
DC _{h6} mm	APMX mm	DN mm	LH mm	LPR mm	OAL mm	DCONMS _{h6} mm	ZEPP	53 627 ...	53 628 ...	53 637 ...	53 638 ...	
								EUR V1/5B	EUR V1/5B	EUR V1/5B	EUR V1/5B	
2,0	5,5	1,8	10,0	19	55	6	2					
2,5	6,5	2,3	12,5	22	58	6	2					
3,0	8,0	2,8	15,0	22	58	6	2					
3,5	10,5	3,3	20,0	26	62	6	2					
4,0	10,5	3,8	20,0	26	62	6	2					
4,5	13,0	4,3	25,0	34	70	6	2					
5,0	10,5	4,8	15,0	22	58	6	2	51,30	05100	51,30	05100	
5,0	13,0	4,8	25,0	34	70	6	2			48,96	05300	
5,5	13,0	5,3	18,0	22	58	6	2	52,05	05600	52,05	05600	
5,5	16,0	5,3	30,0	34	70	6	2			49,68	05800	
6,0	13,0	5,8	18,0	22	58	6	2	48,79	06100	48,79	06100	
6,0	16,0	5,8	30,0	34	70	6	2			45,92	06300	
6,5	17,0	6,2	24,0	28	64	8	2	56,61	06600	56,61	06600	
6,5	21,0	6,2	40,0	44	80	8	2			69,71	06800	
7,0	17,0	6,7	24,0	28	64	8	2	55,53	07100	55,53	07100	
7,0	21,0	6,7	40,0	44	80	8	2			67,96	07300	
7,5	17,0	7,2	24,0	28	64	8	2	54,36	07600	54,36	07600	
7,5	21,0	7,2	40,0	44	80	8	2			65,97	07800	
8,0	17,0	7,7	24,0	28	64	8	2	52,50	08100	52,50	08100	
8,0	21,0	7,7	40,0	44	80	8	2			62,98	08300	
8,5	21,0	8,2	30,0	34	74	10	2	82,45	08600	82,45	08600	
8,5	26,0	8,2	50,0	54	94	10	2			96,79	08800	
9,0	21,0	8,7	30,0	34	74	10	2	80,68	09100	80,68	09100	
9,0	26,0	8,7	50,0	54	94	10	2			93,89	09300	
9,5	21,0	9,2	30,0	34	74	10	2	78,87	09600	78,87	09600	
9,5	26,0	9,2	50,0	54	94	10	2			90,83	09800	
10,0	21,0	9,7	30,0	34	74	10	2	75,88	10100	75,88	10100	
10,0	26,0	9,7	50,0	54	94	10	2			86,58	10300	
10,5	25,0	10,1	36,0	40	85	12	2	110,40	10600	110,40	10600	
10,5	31,0	10,1	60,0	64	109	12	2			131,80	10800	
11,0	25,0	10,6	36,0	40	85	12	2	107,90	11100	107,90	11100	
11,0	31,0	10,6	60,0	64	109	12	2			127,60	11300	
11,5	25,0	11,1	36,0	40	85	12	2	105,20	11600	105,20	11600	
11,5	31,0	11,1	60,0	64	109	12	2			123,00	11800	
12,0	25,0	11,6	36,0	40	85	12	2	103,60	12100	103,60	12100	
12,0	31,0	11,6	60,0	64	109	12	2			119,90	12300	
12,5	29,0	12,1	42,0	46	91	14	2			142,60	12600	
12,5	36,0	12,1	70,0	74	119	14	2				175,00	12800

P				
M				
K				
N			●	
S			●	
H			●	
O			●	

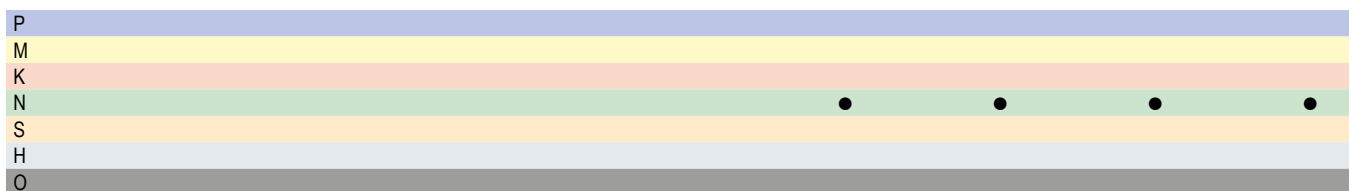
→ V_c/f_z Page 414+415

AluLine – Fraise deux tailles

Les spécialistes pour l'usinage des métaux non ferreux



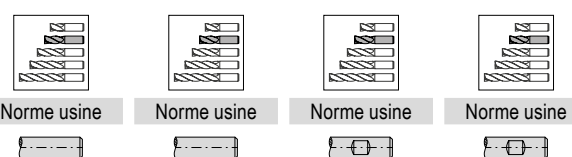
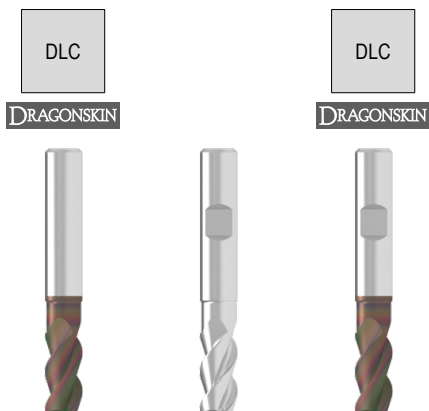
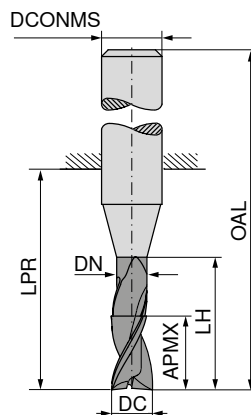
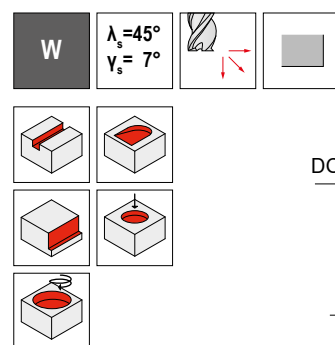
DC _{h6} mm	APMX mm	DN mm	LH mm	LPR mm	OAL mm	DCONMS _{h6} mm	ZEPP	53 627 ... EUR V1/5B	53 628 ... EUR V1/5B	53 637 ... EUR V1/5B	53 638 ... EUR V1/5B
13,0	29,0	12,6	42,0	46	91	14	2				
13,0	36,0	12,6	70,0	74	119	14	2				
13,5	29,0	13,1	42,0	46	91	14	2				
13,5	36,0	13,1	70,0	74	119	14	2				
14,0	29,0	13,6	42,0	46	91	14	2				
14,0	36,0	13,6	70,0	74	119	14	2				
14,5	33,0	14,0	48,0	52	100	16	2				
14,5	41,0	14,0	80,0	84	132	16	2				
15,0	33,0	14,5	48,0	52	100	16	2				
15,0	41,0	14,5	80,0	84	132	16	2				
15,5	33,0	15,0	48,0	52	100	16	2				
15,5	41,0	15,0	80,0	84	132	16	2				
16,0	33,0	15,5	48,0	52	100	16	2				
16,0	41,0	15,5	80,0	84	132	16	2				
16,5	38,0	16,0	54,0	58	106	18	2				
16,5	47,0	16,0	90,0	94	142	18	2				
17,0	38,0	16,5	54,0	58	106	18	2				
17,0	47,0	16,5	90,0	94	142	18	2				
17,5	38,0	17,0	54,0	58	106	18	2				
17,5	47,0	17,0	90,0	94	142	18	2				
18,0	38,0	17,5	54,0	58	106	18	2				
18,0	47,0	17,5	90,0	94	142	18	2				
18,5	42,0	18,0	60,0	64	114	20	2				
18,5	52,0	18,0	100,0	104	154	20	2				
19,0	42,0	18,5	60,0	64	114	20	2				
19,0	52,0	18,5	100,0	104	154	20	2				
19,5	42,0	19,0	60,0	64	114	20	2				
19,5	52,0	19,0	100,0	104	154	20	2				
20,0	42,0	19,5	60,0	64	114	20	2				
20,0	52,0	19,5	100,0	104	154	20	2				

→ v_c/f_z Page 414+415

AluLine – Fraises deux tailles

Les spécialistes pour l'usinage des métaux non ferreux

▲ Avec goujures polies



DC _{h6} mm	APMX mm	DN mm	LH mm	LPR mm	OAL mm	DCONMS _{h6} mm	ZEFP	53 615 ...	53 617 ...	53 616 ...	53 618 ...
								EUR V1/5B	EUR V1/5B	EUR V1/5B	EUR V1/5B
2,0	4,5	1,8	6,0	14	50	6	3	31,03 02100	39,69 02100	31,03 02100	39,69 02100
2,5	5,5	2,3	7,5	19	55	6	3	30,63 02600	39,32 02600	30,63 02600	39,32 02600
3,0	6,5	2,8	9,0	19	55	6	3	31,42 03100	40,09 03100	31,42 03100	40,09 03100
3,5	8,5	3,3	12,0	19	55	6	3	33,02 03600	41,73 03600	33,02 03600	41,73 03600
4,0	8,5	3,8	12,0	19	55	6	3	33,38 04100	42,06 04100	33,38 04100	42,06 04100
4,5	10,5	4,3	15,0	22	58	6	3	42,40 04600	51,09 04600	42,40 04600	51,09 04600
5,0	10,5	4,8	15,0	22	58	6	3	37,25 05100	45,98 05100	37,25 05100	45,98 05100
5,5	13,0	5,3	18,0	22	58	6	3	43,44 05600	52,14 05600	43,44 05600	52,14 05600
6,0	13,0	5,8	18,0	22	58	6	3	38,05 06100	48,18 06100	38,05 06100	48,18 06100
6,5	17,0	6,2	24,0	28	64	8	3	45,98 06600	56,07 06600	45,98 06600	56,07 06600
7,0	17,0	6,7	24,0	28	64	8	3	44,85 07100	54,97 07100	44,85 07100	54,97 07100
7,5	17,0	7,2	24,0	28	64	8	3	43,64 07600	53,73 07600	43,64 07600	53,73 07600
8,0	17,0	7,7	24,0	28	64	8	3	41,63 08100	53,00 08100	41,63 08100	53,00 08100
8,5	21,0	8,2	30,0	34	74	10	3	70,86 08600	82,25 08600	70,86 08600	82,25 08600
9,0	21,0	8,7	30,0	34	74	10	3	69,02 09100	80,37 09100	69,02 09100	80,37 09100
9,5	21,0	9,2	30,0	34	74	10	3	67,08 09600	78,47 09600	67,08 09600	78,47 09600
10,0	21,0	9,7	30,0	34	74	10	3	63,98 10100	76,62 10100	63,98 10100	76,62 10100
10,5	25,0	10,1	36,0	40	85	12	3	98,02 10600	110,70 10600	98,02 10600	110,70 10600
11,0	25,0	10,6	36,0	40	85	12	3	95,32 11100	108,00 11100	95,32 11100	108,00 11100
11,5	25,0	11,1	36,0	40	85	12	3	92,51 11600	105,20 11600	92,51 11600	105,20 11600
12,0	25,0	11,6	36,0	40	85	12	3	90,79 12100	108,40 12100	90,79 12100	108,40 12100
12,5	29,0	12,1	42,0	46	91	14	3			124,50 12600	142,20 12600
13,0	29,0	12,6	42,0	46	91	14	3			123,40 13100	141,20 13100
13,5	29,0	13,1	42,0	46	91	14	3			122,40 13600	140,10 13600
14,0	29,0	13,6	42,0	46	91	14	3			123,60 14100	147,30 14100
14,5	33,0	14,0	48,0	52	100	16	3			169,00 14600	192,80 14600
15,0	33,0	14,5	48,0	52	100	16	3			165,20 15100	189,00 15100
15,5	33,0	15,0	48,0	52	100	16	3			161,20 15600	185,00 15600
16,0	33,0	15,5	48,0	52	100	16	3			169,90 16100	197,50 16100
16,5	38,0	16,0	54,0	58	106	18	3			219,60 16600	247,30 16600
17,0	38,0	16,5	54,0	58	106	18	3			213,70 17100	241,50 17100
17,5	38,0	17,0	54,0	58	106	18	3			207,40 17600	235,20 17600
18,0	38,0	17,5	54,0	58	106	18	3			204,80 18100	235,20 18100
18,5	42,0	18,0	60,0	64	114	20	3			271,50 18600	301,90 18600
19,0	42,0	18,5	60,0	64	114	20	3			264,10 19100	294,40 19100
19,5	42,0	19,0	60,0	64	114	20	3			256,50 19600	286,80 19600
20,0	42,0	19,5	60,0	64	114	20	3			252,00 20100	289,90 20100

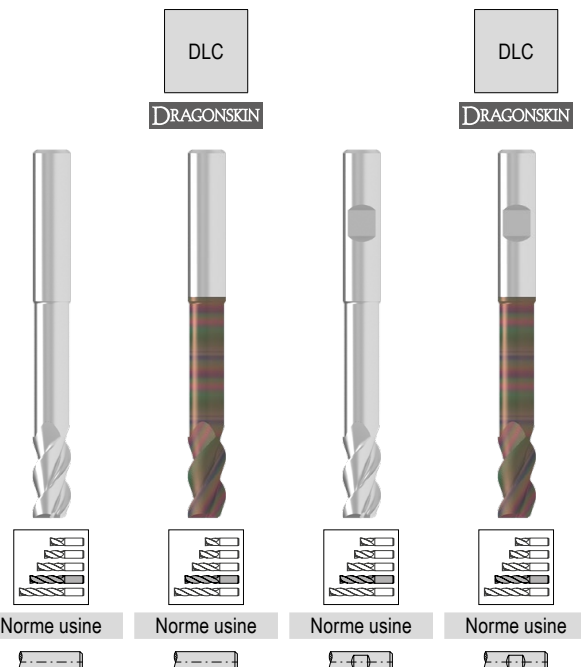
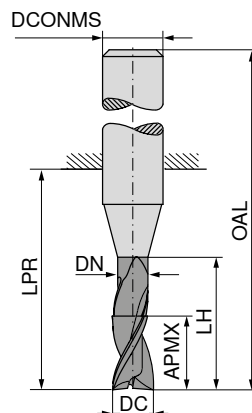
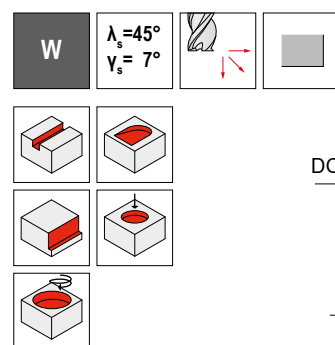
P				
M				
K				
N			●	
S			●	
H			●	
O			●	

→ v_c/f_z Page 414+415

AluLine – Fraises deux tailles

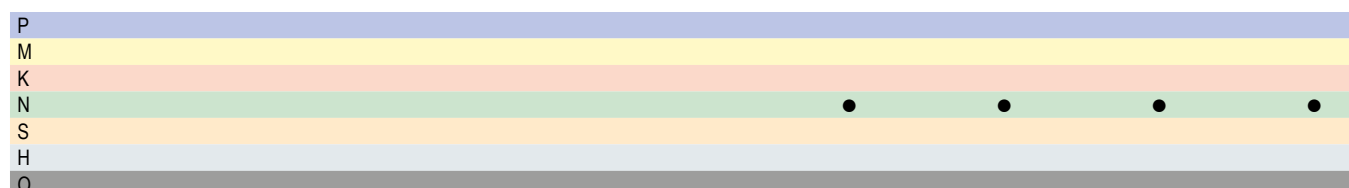
Les spécialistes pour l'usinage des métaux non ferreux

▲ Avec goujures polies



DC _{h6} mm	APMX mm	DN mm	LH mm	LPR mm	OAL mm	DCONMS _{h6} mm	ZEFP
2,0	5,5	1,8	10,0	19	55	6	3
2,5	6,5	2,3	12,5	22	58	6	3
3,0	8,0	2,8	15,0	22	58	6	3
3,5	10,5	3,3	20,0	26	62	6	3
4,0	10,5	3,8	20,0	26	62	6	3
4,5	13,0	4,3	25,0	34	70	6	3
5,0	13,0	4,8	25,0	34	70	6	3
5,5	16,0	5,3	30,0	34	70	6	3
6,0	16,0	5,8	30,0	34	70	6	3
6,5	21,0	6,2	40,0	44	80	8	3
7,0	21,0	6,7	40,0	44	80	8	3
7,5	21,0	7,2	40,0	44	80	8	3
8,0	21,0	7,7	40,0	44	80	8	3
8,5	26,0	8,2	50,0	54	94	10	3
9,0	26,0	8,7	50,0	54	94	10	3
9,5	26,0	9,2	50,0	54	94	10	3
10,0	26,0	9,7	50,0	54	94	10	3
10,5	31,0	10,1	60,0	64	109	12	3
11,0	31,0	10,6	60,0	64	109	12	3
11,5	31,0	11,1	60,0	64	109	12	3
12,0	31,0	11,6	60,0	64	109	12	3
12,5	36,0	12,1	70,0	74	119	14	3
13,0	36,0	12,6	70,0	74	119	14	3
13,5	36,0	13,1	70,0	74	119	14	3
14,0	36,0	13,6	70,0	74	119	14	3
14,5	41,0	14,0	80,0	84	132	16	3
15,0	41,0	14,5	80,0	84	132	16	3
15,5	41,0	15,0	80,0	84	132	16	3
16,0	41,0	15,5	80,0	84	132	16	3
16,5	47,0	16,0	90,0	94	142	18	3
17,0	47,0	16,5	90,0	94	142	18	3
17,5	47,0	17,0	90,0	94	142	18	3
18,0	47,0	17,5	90,0	94	142	18	3
18,5	52,0	18,0	100,0	104	154	20	3
19,0	52,0	18,5	100,0	104	154	20	3
19,5	52,0	19,0	100,0	104	154	20	3
20,0	52,0	19,5	100,0	104	154	20	3

53 615 ...	EUR V1/5B	53 617 ...	EUR V1/5B	53 616 ...	EUR V1/5B	53 618 ...	EUR V1/5B
37,20	02200	45,90	02200	37,20	02200	45,90	02200
36,71	02700	45,42	02700	36,71	02700	45,42	02700
37,66	03200	46,40	03200	37,66	03200	46,40	03200
39,63	03700	48,32	03700	39,63	03700	48,32	03700
40,05	04200	48,79	04200	40,05	04200	48,79	04200
50,89	04700	59,60	04700	50,89	04700	59,60	04700
44,71	05200	53,38	05200	44,71	05200	53,38	05200
52,14	05700	60,86	05700	52,14	05700	60,86	05700
45,69	06200	55,78	06200	45,69	06200	55,78	06200
55,15	06700	65,26	06700	55,15	06700	65,26	06700
53,78	07200	63,90	07200	53,78	07200	63,90	07200
52,35	07700	62,46	07700	52,35	07700	62,46	07700
49,97	08200	61,36	08200	49,97	08200	61,36	08200
85,01	08700	96,36	08700	85,01	08700	96,36	08700
82,83	09200	94,21	09200	82,83	09200	94,21	09200
80,50	09700	91,88	09700	80,50	09700	91,88	09700
76,79	10200	89,44	10200	76,79	10200	89,44	10200
117,60	10700	130,30	10700	117,60	10700	130,30	10700
114,40	11200	127,10	11200	114,40	11200	127,10	11200
111,00	11700	123,70	11700	111,00	11700	123,70	11700
108,90	12200	126,70	12200	108,90	12200	126,70	12200
149,50	12700	167,20	12700	149,50	12700	167,20	12700
148,10	13200	165,90	13200	147,00	13700	164,60	13700
148,20	14200	172,10	14200	148,20	14200	172,10	14200
202,80	14700	226,60	14700	198,40	15200	222,20	15200
193,60	15700	217,40	15700	193,60	15700	217,40	15700
203,90	16200	231,60	16200	263,50	16700	291,30	16700
256,40	17200	284,00	17200	249,00	17700	276,60	17700
245,80	18200	276,10	18200	353,00	18700	383,40	18700
343,40	19200	373,60	19200	333,50	19700	363,50	19700
327,50	20200	365,40	20200				

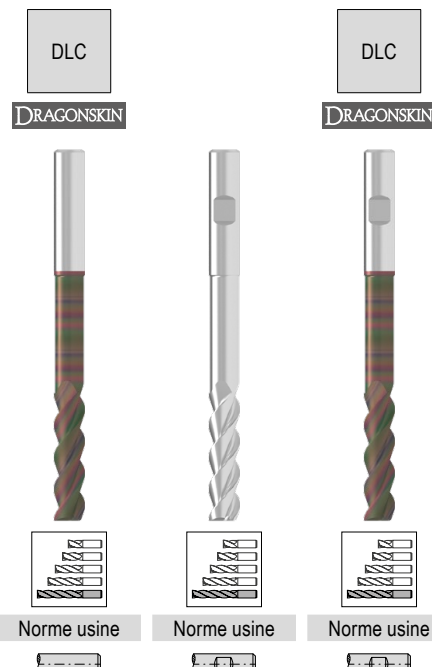
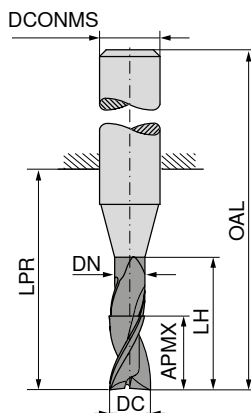
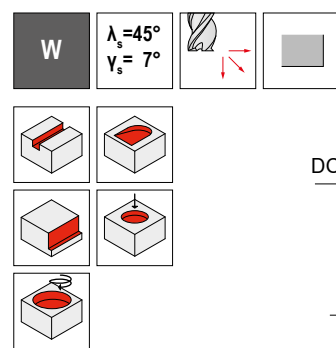


→ v_c/f_z Page 414+415

AluLine – Fraises deux tailles

Les spécialistes pour l'usinage des métaux non ferreux

▲ Avec goujures polies



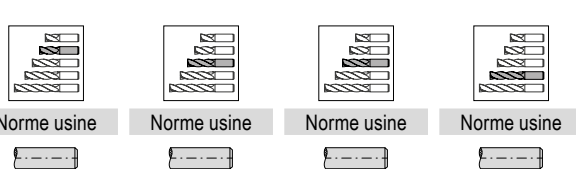
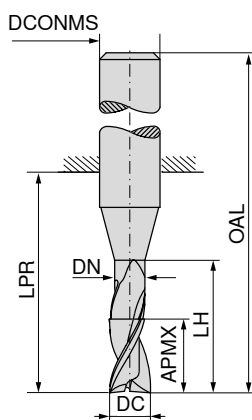
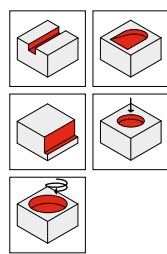
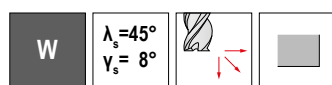
DC _{h6} mm	APMX mm	DN mm	LH mm	LPR mm	OAL mm	DCONMS _{h6} mm	ZEFP
2,0	8,5	1,8	16	26	62	6	3
2,5	10,5	2,3	20	31	67	6	3
3,0	12,5	2,8	24	31	67	6	3
3,5	16,5	3,3	32	38	74	6	3
4,0	16,5	3,8	32	38	74	6	3
4,5	20,5	4,3	40	52	88	6	3
5,0	20,5	4,8	40	52	88	6	3
5,5	25,0	5,3	48	52	88	6	3
6,0	25,0	5,8	48	52	88	6	3
6,5	33,0	6,2	64	68	104	8	3
7,0	33,0	6,7	64	68	104	8	3
7,5	33,0	7,2	64	68	104	8	3
8,0	33,0	7,7	64	68	104	8	3
8,5	41,0	8,2	80	84	124	10	3
9,0	41,0	8,7	80	84	124	10	3
9,5	41,0	9,2	80	84	124	10	3
10,0	41,0	9,7	80	84	124	10	3
10,5	49,0	10,1	96	100	145	12	3
11,0	49,0	10,6	96	100	145	12	3
11,5	49,0	11,1	96	100	145	12	3
12,0	49,0	11,6	96	100	145	12	3
12,5	57,0	12,1	112	116	161	14	3
13,0	57,0	12,6	112	116	161	14	3
13,5	57,0	13,1	112	116	161	14	3
14,0	57,0	13,6	112	116	161	14	3
14,5	65,0	14,0	128	132	180	16	3
15,0	65,0	14,5	128	132	180	16	3
15,5	65,0	15,0	128	132	180	16	3
16,0	65,0	15,5	128	132	180	16	3
16,5	74,0	16,0	144	148	196	18	3
17,0	74,0	16,5	144	148	196	18	3
17,5	74,0	17,0	144	148	196	18	3
18,0	74,0	17,5	144	148	196	18	3
18,5	82,0	18,0	160	164	214	20	3
19,0	82,0	18,5	160	164	214	20	3
19,5	82,0	19,0	160	164	214	20	3
20,0	82,0	19,5	160	164	214	20	3

53 615 ...	EUR V1/5B	53 617 ...	EUR V1/5B	53 616 ...	EUR V1/5B	53 618 ...	EUR V1/5B
49,61 02400	58,33 02400	49,61 02400	58,33 02400	49,61 02400	58,33 02400	49,61 02400	58,33 02400
48,96 02900	57,67 02900	48,96 02900	57,67 02900	48,96 02900	57,67 02900	48,96 02900	57,67 02900
50,26 03400	58,98 03400	50,26 03400	58,98 03400	50,26 03400	58,98 03400	50,26 03400	58,98 03400
52,84 03900	61,53 03900	52,84 03900	61,53 03900	52,84 03900	61,53 03900	52,84 03900	61,53 03900
53,38 04400	62,12 04400	53,38 04400	62,12 04400	53,38 04400	62,12 04400	53,38 04400	62,12 04400
67,85 04900	76,55 04900	67,85 04900	76,55 04900	67,85 04900	76,55 04900	67,85 04900	76,55 04900
59,65 05400	68,32 05400	59,65 05400	68,32 05400	59,65 05400	68,32 05400	59,65 05400	68,32 05400
69,50 05900	78,24 05900	69,50 05900	78,24 05900	69,50 05900	78,24 05900	69,50 05900	78,24 05900
60,91 06400	71,03 06400	60,91 06400	71,03 06400	60,91 06400	71,03 06400	60,91 06400	71,03 06400
73,55 06900	83,66 06900	73,55 06900	83,66 06900	73,55 06900	83,66 06900	73,55 06900	83,66 06900
71,75 07400	81,86 07400	71,75 07400	81,86 07400	71,75 07400	81,86 07400	71,75 07400	81,86 07400
69,79 07900	79,91 07900	69,79 07900	79,91 07900	69,79 07900	79,91 07900	69,79 07900	79,91 07900
66,60 08400	77,97 08400	66,60 08400	77,97 08400	66,60 08400	77,97 08400	66,60 08400	77,97 08400
113,40 08900	124,70 08900	113,40 08900	124,70 08900	113,40 08900	124,70 08900	113,40 08900	124,70 08900
110,40 09400	121,80 09400	110,40 09400	121,80 09400	110,40 09400	121,80 09400	110,40 09400	121,80 09400
107,30 09900	118,70 09900	107,30 09900	118,70 09900	107,30 09900	118,70 09900	107,30 09900	118,70 09900
102,40 10400	115,00 10400	102,40 10400	115,00 10400	102,40 10400	115,00 10400	102,40 10400	115,00 10400
156,80 10900	169,60 10900	156,80 10900	169,60 10900	156,80 10900	169,60 10900	156,80 10900	169,60 10900
152,60 11400	165,10 11400	152,60 11400	165,10 11400	152,60 11400	165,10 11400	152,60 11400	165,10 11400
148,00 11900	160,60 11900	148,00 11900	160,60 11900	148,00 11900	160,60 11900	148,00 11900	160,60 11900
145,30 12400	163,00 12400	145,30 12400	163,00 12400	145,30 12400	163,00 12400	145,30 12400	163,00 12400
236,60 12900	254,20 12900	236,60 12900	254,20 12900	236,60 12900	254,20 12900	236,60 12900	254,20 12900
234,60 13400	252,20 13400	234,60 13400	252,20 13400	234,60 13400	252,20 13400	234,60 13400	252,20 13400
232,70 13900	250,20 13900	232,70 13900	250,20 13900	232,70 13900	250,20 13900	232,70 13900	250,20 13900
234,80 14400	258,60 14400	234,80 14400	258,60 14400	234,80 14400	258,60 14400	234,80 14400	258,60 14400
321,20 14900	345,00 14900	321,20 14900	345,00 14900	321,20 14900	345,00 14900	321,20 14900	345,00 14900
314,20 15400	338,00 15400	314,20 15400	338,00 15400	314,20 15400	338,00 15400	314,20 15400	338,00 15400
306,70 15900	330,30 15900	306,70 15900	330,30 15900	306,70 15900	330,30 15900	306,70 15900	330,30 15900
322,60 16400	350,50 16400	322,60 16400	350,50 16400	322,60 16400	350,50 16400	322,60 16400	350,50 16400
417,20 16900	444,90 16900	417,20 16900	444,90 16900	417,20 16900	444,90 16900	417,20 16900	444,90 16900
405,80 17400	433,60 17400	405,80 17400	433,60 17400	405,80 17400	433,60 17400	405,80 17400	433,60 17400
394,10 17900	421,80 17900	394,10 17900	421,80 17900	394,10 17900	421,80 17900	394,10 17900	421,80 17900
389,20 18400	419,40 18400	389,20 18400	419,40 18400	389,20 18400	419,40 18400	389,20 18400	419,40 18400
516,00 18900	546,40 18900	516,00 18900	546,40 18900	516,00 18900	546,40 18900	516,00 18900	546,40 18900
501,80 19400	532,20 19400	501,80 19400	532,20 19400	501,80 19400	532,20 19400	501,80 19400	532,20 19400
487,20 19900	517,50 19900	487,20 19900	517,50 19900	487,20 19900	517,50 19900	487,20 19900	517,50 19900
478,50 20400	516,60 20400	478,50 20400	516,60 20400	478,50 20400	516,60 20400	478,50 20400	516,60 20400

AluLine – Fraises deux tailles

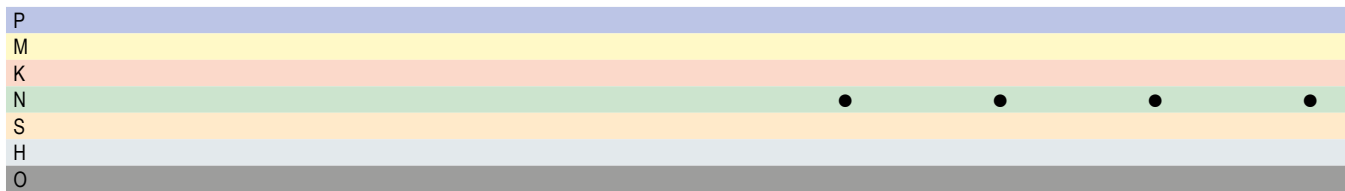
Les spécialistes pour l'usinage des métaux non ferreux

▲ Avec goujures polies



DC _{h6} mm	APMX mm	DN mm	LH mm	LPR mm	OAL mm	DCONMS _{h5} mm	ZEFP
3	8	2,7	13	21	57	6	3
4	11	3,7	17	21	57	6	3
5	13	4,7	19	21	57	6	3
6	13	5,7	19	21	57	6	3
6	18	5,7	24	26	62	6	3
8	21	7,4	25	27	63	8	3
8	24	7,4	30	32	68	8	3
10	22	9,2	30	32	72	10	3
10	30	9,2	38	40	80	10	3
12	26	11,0	36	38	83	12	3
12	36	11,0	46	48	93	12	3
14	26	13,0	36	38	83	14	3
16	36	15,0	42	44	92	16	3
16	48	15,0	58	60	108	16	3
18	36	17,0	42	44	92	18	3
20	41	19,0	52	54	104	20	3
20	60	19,0	74	76	126	20	3

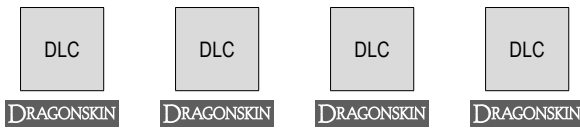
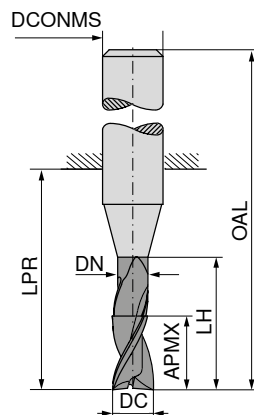
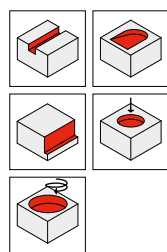
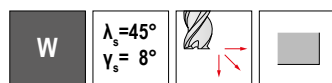
53 517 ...	53 518 ...	53 519 ...	53 520 ...
EUR V1/5B	EUR V1/5B	EUR V1/5B	EUR V1/5B
		38,97 36,51	050 060
	51,27 71,13	080 100	39,54 77,06
	110,70	120	100 120
141,50 197,00	140 160	119,80 160	
239,00 282,60	180 200	215,80 200	
		404,20	200



→ V_c/f_z Page 414+415

AluLine – Fraise deux tailles

Les spécialistes pour l'usinage des métaux non ferreux



Norme usine



Norme usine



Norme usine



Norme usine



DC _{h6} mm	APMX mm	DN mm	LH mm	LPR mm	OAL mm	DCONMS _{h5} mm	ZEFP
3	8	2,7	13	21	57	6	3
4	11	3,7	17	21	57	6	3
5	13	4,7	19	21	57	6	3
6	13	5,7	19	21	57	6	3
6	18	5,7	24	26	62	6	3
8	21	7,4	25	27	63	8	3
8	24	7,4	30	32	68	8	3
10	22	9,2	30	32	72	10	3
10	30	9,2	38	40	80	10	3
12	26	11,0	36	38	83	12	3
12	36	11,0	46	48	93	12	3
14	26	13,0	36	38	83	14	3
16	36	15,0	42	44	92	16	3
18	36	17,0	42	44	92	18	3
20	41	19,0	52	54	104	20	3

53 521 ...

EUR
V1/5B

155,00

140

53 522 ...

EUR
V1/5B

64,02

080

83,87

100

123,40

120

53 523 ...

EUR
V1/5B

51,73

050

49,40

060

71,13

080

89,95

100

132,70

120

53 524 ...

EUR
V1/5B

48,83

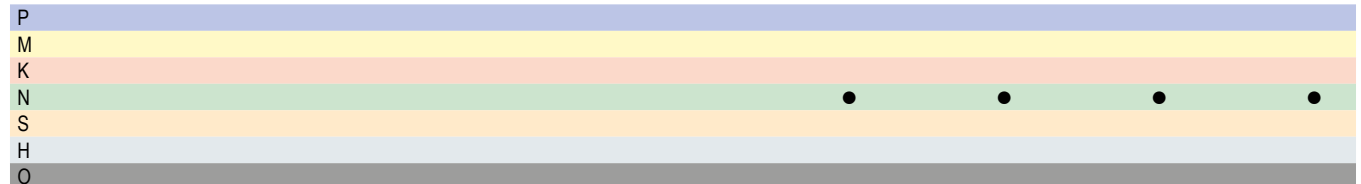
030

52,30

040

52,46

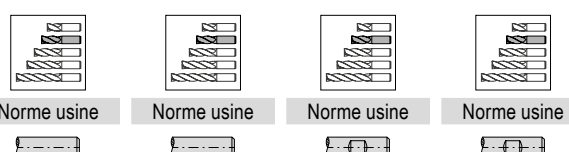
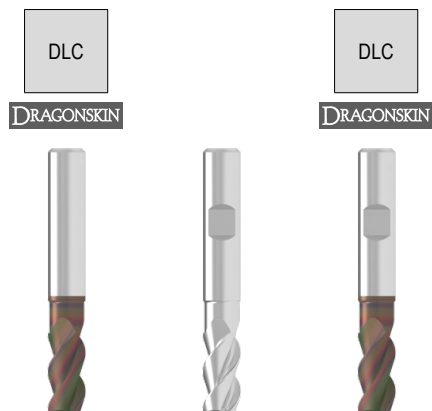
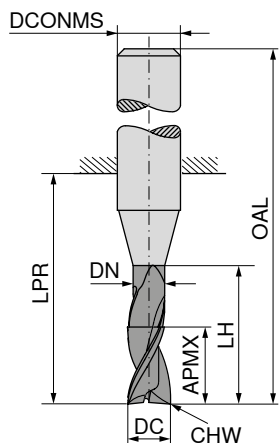
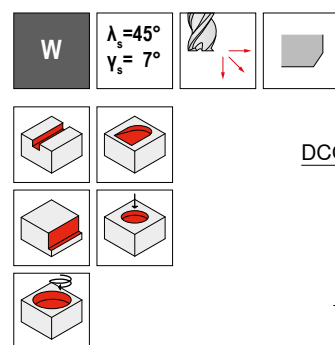
060

→ V_c/f_z Page 414+415

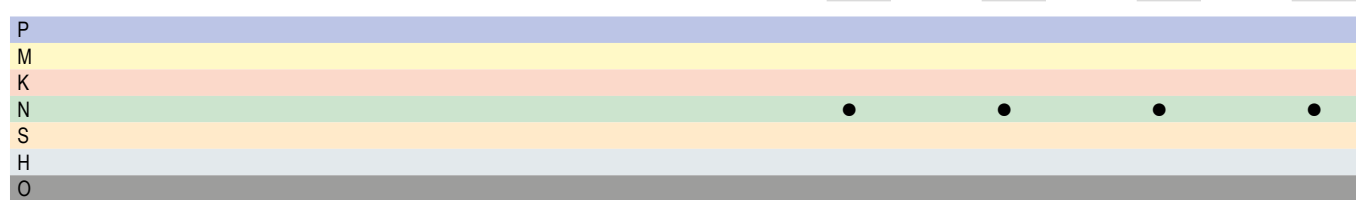
AluLine – Fraise deux tailles

Les spécialistes pour l'usinage des métaux non ferreux

▲ Avec goujures polies



DC _{h6} mm	APMX mm	DN mm	LH mm	LPR mm	OAL mm	DCONMS _{h6} mm	CHW mm	ZEFP	53 611 ...	EUR V1/5B	53 613 ...	EUR V1/5B	53 612 ...	EUR V1/5B	53 614 ...	EUR V1/5B
2,0	4,5	1,8	6,0	14	50	6	0,05	3	31,03	02100	39,69	02100	31,03	02100	39,69	02100
2,5	5,5	2,3	7,5	19	55	6	0,05	3	30,63	02600	39,32	02600	30,63	02600	39,32	02600
3,0	6,5	2,8	9,0	19	55	6	0,10	3	31,42	03100	40,09	03100	31,42	03100	40,09	03100
3,5	8,5	3,3	12,0	19	55	6	0,10	3	33,02	03600	41,73	03600	33,02	03600	41,73	03600
4,0	8,5	3,8	12,0	19	55	6	0,10	3	33,38	04100	42,06	04100	33,38	04100	42,06	04100
4,5	10,5	4,3	15,0	22	58	6	0,10	3	42,40	04600	51,09	04600	42,40	04600	51,09	04600
5,0	10,5	4,8	15,0	22	58	6	0,10	3	37,25	05100	45,98	05100	37,25	05100	45,98	05100
5,5	13,0	5,3	18,0	22	58	6	0,10	3	43,44	05600	52,14	05600	43,44	05600	52,14	05600
6,0	13,0	5,8	18,0	22	58	6	0,20	3	38,05	06100	48,18	06100	38,05	06100	48,18	06100
6,5	17,0	6,2	24,0	28	64	8	0,20	3	45,98	06600	56,07	06600	45,98	06600	56,07	06600
7,0	17,0	6,7	24,0	28	64	8	0,20	3	44,85	07100	54,97	07100	44,85	07100	54,97	07100
7,5	17,0	7,2	24,0	28	64	8	0,20	3	43,64	07600	53,73	07600	43,64	07600	53,73	07600
8,0	17,0	7,7	24,0	28	64	8	0,20	3	41,63	08100	53,00	08100	41,63	08100	53,00	08100
8,5	21,0	8,2	30,0	34	74	10	0,20	3	70,86	08600	82,25	08600	70,86	08600	82,25	08600
9,0	21,0	8,7	30,0	34	74	10	0,20	3	69,02	09100	80,37	09100	69,02	09100	80,37	09100
9,5	21,0	9,2	30,0	34	74	10	0,20	3	67,08	09600	78,47	09600	67,08	09600	78,47	09600
10,0	21,0	9,7	30,0	34	74	10	0,20	3	63,98	10100	76,62	10100	63,98	10100	76,62	10100
10,5	25,0	10,1	36,0	40	85	12	0,20	3	98,02	10600	110,70	10600	98,02	10600	110,70	10600
11,0	25,0	10,6	36,0	40	85	12	0,20	3	95,32	11100	108,00	11100	95,32	11100	108,00	11100
11,5	25,0	11,1	36,0	40	85	12	0,20	3	92,51	11600	105,20	11600	92,51	11600	105,20	11600
12,0	25,0	11,6	36,0	40	85	12	0,20	3	90,79	12100	108,40	12100	90,79	12100	108,40	12100
12,5	29,0	12,1	42,0	46	91	14	0,20	3			124,50	12600	142,20	12600		
13,0	29,0	12,6	42,0	46	91	14	0,20	3			123,40	13100	141,20	13100		
13,5	29,0	13,1	42,0	46	91	14	0,20	3			122,40	13600	140,10	13600		
14,0	29,0	13,6	42,0	46	91	14	0,20	3			123,60	14100	147,30	14100		
14,5	33,0	14,0	48,0	52	100	16	0,20	3			169,00	14600	192,80	14600		
15,0	33,0	14,5	48,0	52	100	16	0,20	3			165,20	15100	189,00	15100		
15,5	33,0	15,0	48,0	52	100	16	0,20	3			161,20	15600	185,00	15600		
16,0	33,0	15,5	48,0	52	100	16	0,20	3			169,90	16100	197,50	16100		
16,5	38,0	16,0	54,0	58	106	18	0,20	3			219,60	16600	247,30	16600		
17,0	38,0	16,5	54,0	58	106	18	0,20	3			213,70	17100	241,50	17100		
17,5	38,0	17,0	54,0	58	106	18	0,20	3			207,40	17600	235,20	17600		
18,0	38,0	17,5	54,0	58	106	18	0,20	3			204,80	18100	235,20	18100		
18,5	42,0	18,0	60,0	64	114	20	0,20	3			271,50	18600	301,90	18600		
19,0	42,0	18,5	60,0	64	114	20	0,20	3			264,10	19100	294,40	19100		
19,5	42,0	19,0	60,0	64	114	20	0,20	3			256,50	19600	286,80	19600		
20,0	42,0	19,5	60,0	64	114	20	0,20	3			252,00	20100	289,90	20100		

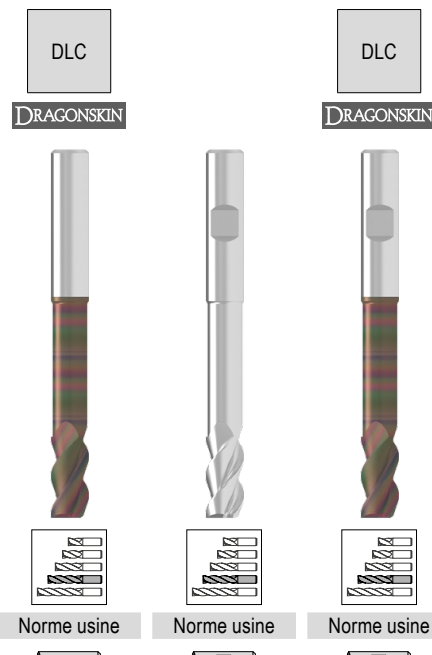
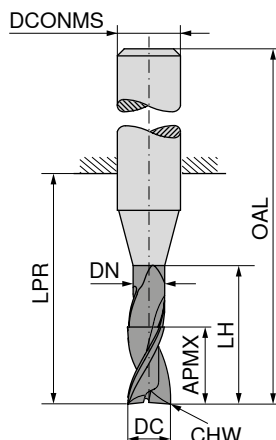
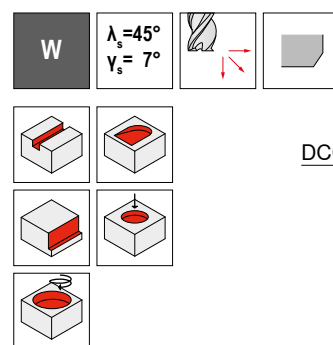


→ v_c/f_z Page 414+415

AluLine – Fraise deux tailles

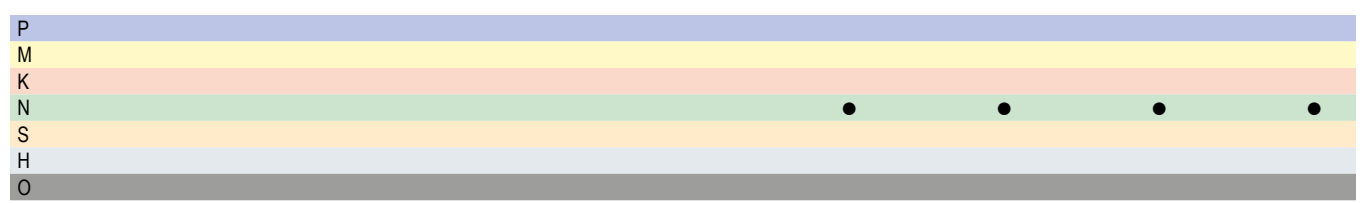
Les spécialistes pour l'usinage des métaux non ferreux

▲ Avec goujures polies



DC _{h6} mm	APMX mm	DN mm	LH mm	LPR mm	OAL mm	DCONMS _{h6} mm	CHW mm	ZEFP
2,0	5,5	1,8	10,0	19	55	6	0,05	3
2,5	6,5	2,3	12,5	22	58	6	0,05	3
3,0	8,0	2,8	15,0	22	58	6	0,10	3
3,5	10,5	3,3	20,0	26	62	6	0,10	3
4,0	10,5	3,8	20,0	26	62	6	0,10	3
4,5	13,0	4,3	25,0	34	70	6	0,10	3
5,0	13,0	4,8	25,0	34	70	6	0,10	3
5,5	16,0	5,3	30,0	34	70	6	0,10	3
6,0	16,0	5,8	30,0	34	70	6	0,20	3
6,5	21,0	6,2	40,0	44	80	8	0,20	3
7,0	21,0	6,7	40,0	44	80	8	0,20	3
7,5	21,0	7,2	40,0	44	80	8	0,20	3
8,0	21,0	7,7	40,0	44	80	8	0,20	3
8,5	26,0	8,2	50,0	54	94	10	0,20	3
9,0	26,0	8,7	50,0	54	94	10	0,20	3
9,5	26,0	9,2	50,0	54	94	10	0,20	3
10,0	26,0	9,7	50,0	54	94	10	0,20	3
10,5	31,0	10,1	60,0	64	109	12	0,20	3
11,0	31,0	10,6	60,0	64	109	12	0,20	3
11,5	31,0	11,1	60,0	64	109	12	0,20	3
12,0	31,0	11,6	60,0	64	109	12	0,20	3
12,5	36,0	12,1	70,0	74	119	14	0,20	3
13,0	36,0	12,6	70,0	74	119	14	0,20	3
13,5	36,0	13,1	70,0	74	119	14	0,20	3
14,0	36,0	13,6	70,0	74	119	14	0,20	3
14,5	41,0	14,0	80,0	84	132	16	0,20	3
15,0	41,0	14,5	80,0	84	132	16	0,20	3
15,5	41,0	15,0	80,0	84	132	16	0,20	3
16,0	41,0	15,5	80,0	84	132	16	0,20	3
16,5	47,0	16,0	90,0	94	142	18	0,20	3
17,0	47,0	16,5	90,0	94	142	18	0,20	3
17,5	47,0	17,0	90,0	94	142	18	0,20	3
18,0	47,0	17,5	90,0	94	142	18	0,20	3
18,5	52,0	18,0	100,0	104	154	20	0,20	3
19,0	52,0	18,5	100,0	104	154	20	0,20	3
19,5	52,0	19,0	100,0	104	154	20	0,20	3
20,0	52,0	19,5	100,0	104	154	20	0,20	3

53 611 ...	EUR V1/5B	53 613 ...	EUR V1/5B	53 612 ...	EUR V1/5B	53 614 ...	EUR V1/5B
37,20	02200	45,90	02200	37,20	02200	45,90	02200
36,71	02700	45,42	02700	36,71	02700	45,42	02700
37,66	03200	46,40	03200	37,66	03200	46,40	03200
39,63	03700	48,32	03700	39,63	03700	48,32	03700
40,05	04200	48,79	04200	40,05	04200	48,79	04200
50,89	04700	59,60	04700	50,89	04700	59,60	04700
44,71	05200	53,38	05200	44,71	05200	53,38	05200
52,14	05700	60,86	05700	52,14	05700	60,86	05700
45,69	06200	55,78	06200	45,69	06200	55,78	06200
55,15	06700	65,26	06700	55,15	06700	65,26	06700
53,78	07200	63,90	07200	53,78	07200	63,90	07200
52,35	07700	62,46	07700	52,35	07700	62,46	07700
49,97	08200	61,36	08200	49,97	08200	61,36	08200
85,01	08700	96,36	08700	85,01	08700	96,36	08700
82,83	09200	94,21	09200	82,83	09200	94,21	09200
80,50	09700	91,88	09700	80,50	09700	91,88	09700
76,79	10200	89,44	10200	76,79	10200	89,44	10200
117,60	10700	130,30	10700	117,60	10700	130,30	10700
114,40	11200	127,10	11200	114,40	11200	127,10	11200
111,00	11700	123,70	11700	111,00	11700	123,70	11700
108,90	12200	126,70	12200	108,90	12200	126,70	12200
174,40	12700	192,00	12700	174,40	12700	192,00	12700
173,00	13200	190,60	13200	173,00	13200	190,60	13200
171,40	13700	189,00	13700	171,40	13700	189,00	13700
173,10	14200	196,90	14200	173,10	14200	196,90	14200
236,70	14700	260,50	14700	236,70	14700	260,50	14700
231,40	15200	255,20	15200	231,40	15200	255,20	15200
225,90	15700	249,60	15700	225,90	15700	249,60	15700
237,80	16200	265,60	16200	237,80	16200	265,60	16200
307,40	16700	335,20	16700	307,40	16700	335,20	16700
299,20	17200	326,80	17200	299,20	17200	326,80	17200
290,40	17700	318,10	17700	290,40	17700	318,10	17700
286,80	18200	317,10	18200	286,80	18200	317,10	18200
380,10	18700	410,50	18700	380,10	18700	410,50	18700
369,80	19200	400,10	19200	369,80	19200	400,10	19200
359,00	19700	389,30	19700	359,00	19700	389,30	19700
352,60	20200	390,70	20200	352,60	20200	390,70	20200

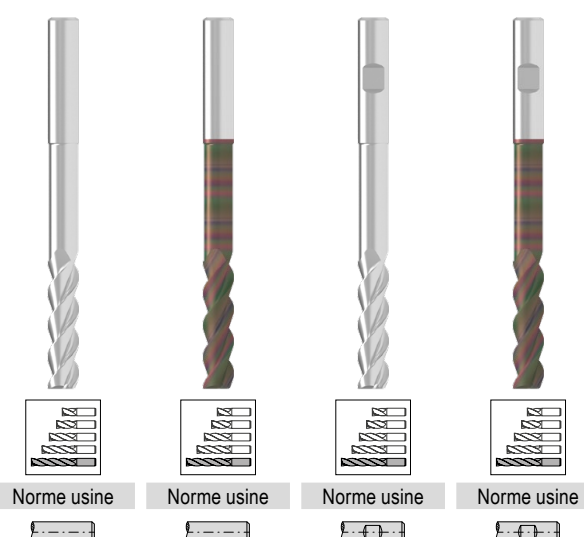
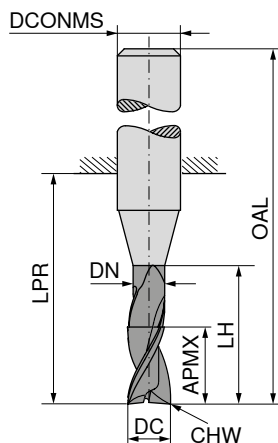
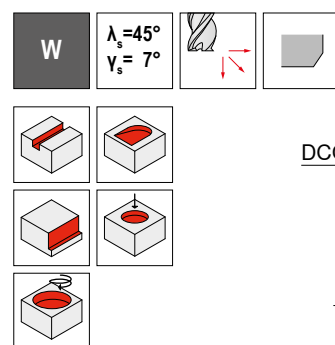


→ V_c/f_z Page 414+415

AluLine – Fraise deux tailles

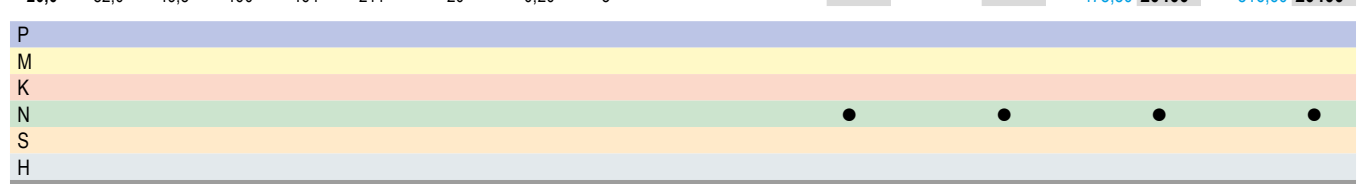
Les spécialistes pour l'usinage des métaux non ferreux

▲ Avec goujures polies



DC _{h6} mm	APMX mm	DN mm	LH mm	LPR mm	OAL mm	DCONMS _{h6} mm	CHW mm	ZEFP
2,0	8,5	1,8	16	26	62	6	0,05	3
2,5	10,5	2,3	20	31	67	6	0,05	3
3,0	12,5	2,8	24	31	67	6	0,10	3
3,5	16,5	3,3	32	38	74	6	0,10	3
4,0	16,5	3,8	32	38	74	6	0,10	3
4,5	20,5	4,3	40	52	88	6	0,10	3
5,0	20,5	4,8	40	52	88	6	0,10	3
5,5	25,0	5,3	48	52	88	6	0,10	3
6,0	25,0	5,8	48	52	88	6	0,20	3
6,5	33,0	6,2	64	68	104	8	0,20	3
7,0	33,0	6,7	64	68	104	8	0,20	3
7,5	33,0	7,2	64	68	104	8	0,20	3
8,0	33,0	7,7	64	68	104	8	0,20	3
8,5	41,0	8,2	80	84	124	10	0,20	3
9,0	41,0	8,7	80	84	124	10	0,20	3
9,5	41,0	9,2	80	84	124	10	0,20	3
10,0	41,0	9,7	80	84	124	10	0,20	3
10,5	49,0	10,1	96	100	145	12	0,20	3
11,0	49,0	10,6	96	100	145	12	0,20	3
11,5	49,0	11,1	96	100	145	12	0,20	3
12,0	49,0	11,6	96	100	145	12	0,20	3
12,5	57,0	12,1	112	116	161	14	0,20	3
13,0	57,0	12,6	112	116	161	14	0,20	3
13,5	57,0	13,1	112	116	161	14	0,20	3
14,0	57,0	13,6	112	116	161	14	0,20	3
14,5	65,0	14,0	128	132	180	16	0,20	3
15,0	65,0	14,5	128	132	180	16	0,20	3
15,5	65,0	15,0	128	132	180	16	0,20	3
16,0	65,0	15,5	128	132	180	16	0,20	3
16,5	74,0	16,0	144	148	196	18	0,20	3
17,0	74,0	16,5	144	148	196	18	0,20	3
17,5	74,0	17,0	144	148	196	18	0,20	3
18,0	74,0	17,5	144	148	196	18	0,20	3
18,5	82,0	18,0	160	164	214	20	0,20	3
19,0	82,0	18,5	160	164	214	20	0,20	3
19,5	82,0	19,0	160	164	214	20	0,20	3
20,0	82,0	19,5	160	164	214	20	0,20	3

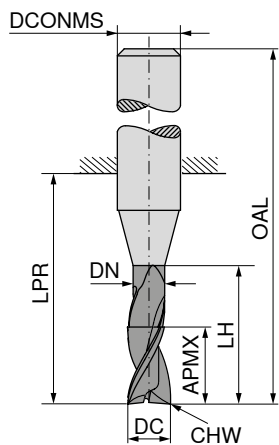
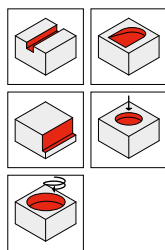
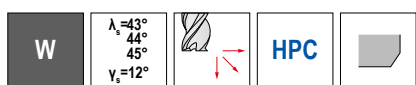
53 611 ...	EUR V1/5B	53 613 ...	EUR V1/5B	53 612 ...	EUR V1/5B	53 614 ...	EUR V1/5B
	49,61 02400	58,33 02400	49,61 02400	58,33 02400	49,61 02400	58,33 02400	58,33 02400
	48,96 02900	57,67 02900	48,96 02900	57,67 02900	48,96 02900	57,67 02900	57,67 02900
	50,26 03400	58,98 03400	50,26 03400	58,98 03400	50,26 03400	58,98 03400	58,98 03400
	52,84 03900	61,53 03900	52,84 03900	61,53 03900	52,84 03900	61,53 03900	61,53 03900
	53,38 04400	62,12 04400	53,38 04400	62,12 04400	53,38 04400	62,12 04400	62,12 04400
	67,85 04900	76,55 04900	67,85 04900	76,55 04900	67,85 04900	76,55 04900	76,55 04900
	59,65 05400	68,32 05400	59,65 05400	68,32 05400	59,65 05400	68,32 05400	68,32 05400
	69,50 05900	78,24 05900	69,50 05900	78,24 05900	69,50 05900	78,24 05900	78,24 05900
	60,91 06400	71,03 06400	60,91 06400	71,03 06400	60,91 06400	71,03 06400	71,03 06400
	73,55 06900	83,66 06900	73,55 06900	83,66 06900	73,55 06900	83,66 06900	83,66 06900
	71,75 07400	81,86 07400	71,75 07400	81,86 07400	71,75 07400	81,86 07400	81,86 07400
	69,79 07900	79,91 07900	69,79 07900	79,91 07900	69,79 07900	79,91 07900	79,91 07900
	66,60 08400	77,97 08400	66,60 08400	77,97 08400	66,60 08400	77,97 08400	77,97 08400
	113,40 08900	124,70 08900	113,40 08900	124,70 08900	113,40 08900	124,70 08900	124,70 08900
	110,40 09400	121,80 09400	110,40 09400	121,80 09400	110,40 09400	121,80 09400	121,80 09400
	107,30 09900	118,70 09900	107,30 09900	118,70 09900	107,30 09900	118,70 09900	118,70 09900
	102,40 10400	115,00 10400	102,40 10400	115,00 10400	102,40 10400	115,00 10400	115,00 10400
	156,80 10900	169,60 10900	156,80 10900	169,60 10900	156,80 10900	169,60 10900	169,60 10900
	152,60 11400	165,10 11400	152,60 11400	165,10 11400	152,60 11400	165,10 11400	165,10 11400
	148,00 11900	160,60 11900	148,00 11900	160,60 11900	148,00 11900	160,60 11900	160,60 11900
	145,30 12400	163,00 12400	145,30 12400	163,00 12400	145,30 12400	163,00 12400	163,00 12400
	236,60 12900	254,20 12900	236,60 12900	254,20 12900	236,60 12900	254,20 12900	254,20 12900
	234,60 13400	252,20 13400	234,60 13400	252,20 13400	234,60 13400	252,20 13400	252,20 13400
	232,70 13900	250,20 13900	232,70 13900	250,20 13900	232,70 13900	250,20 13900	250,20 13900
	234,80 14400	258,60 14400	234,80 14400	258,60 14400	234,80 14400	258,60 14400	258,60 14400
	321,20 14900	345,00 14900	321,20 14900	345,00 14900	321,20 14900	345,00 14900	345,00 14900
	314,20 15400	338,00 15400	314,20 15400	338,00 15400	314,20 15400	338,00 15400	338,00 15400
	306,70 15900	330,30 15900	306,70 15900	330,30 15900	306,70 15900	330,30 15900	330,30 15900
	322,60 16400	350,50 16400	322,60 16400	350,50 16400	322,60 16400	350,50 16400	350,50 16400
	417,20 16900	444,90 16900	417,20 16900	444,90 16900	417,20 16900	444,90 16900	444,90 16900
	405,80 17400	433,60 17400	405,80 17400	433,60 17400	405,80 17400	433,60 17400	433,60 17400
	394,10 17900	421,80 17900	394,10 17900	421,80 17900	394,10 17900	421,80 17900	421,80 17900
	389,20 18400	419,40 18400	389,20 18400	419,40 18400	389,20 18400	419,40 18400	419,40 18400
	516,00 18900	546,40 18900	516,00 18900	546,40 18900	516,00 18900	546,40 18900	546,40 18900
	501,80 19400	532,20 19400	501,80 19400	532,20 19400	501,80 19400	532,20 19400	532,20 19400
	487,20 19900	517,50 19900	487,20 19900	517,50 19900	487,20 19900	517,50 19900	517,50 19900
	478,50 20400	516,60 20400	478,50 20400	516,60 20400	478,50 20400	516,60 20400	516,60 20400



AluLine – Fraises deux tailles

Les spécialistes pour l'usinage des métaux non ferreux

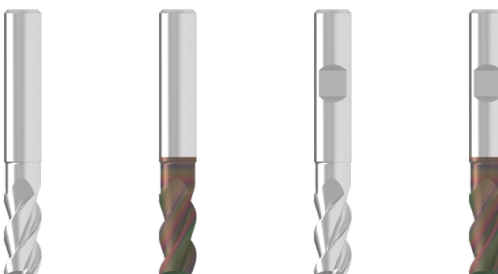
▲ Avec poches à copeaux optimisées



DRAGONSkin



DRAGONSkin



Norme usine



Norme usine



Norme usine



Norme usine

DC _{f8} mm	APMX mm	DN mm	LH mm	LPR mm	OAL mm	DCONMS _{h6} mm	CHW mm	ZEFP	53 584 ...	53 598 ...	53 597 ...	53 599 ...	
									EUR V1/5B	EUR V1/5B	EUR V1/5B	EUR V1/5B	
3,0	8	2,7	12	21	57	6	0,1	3	38,33 03000	47,06 03000	38,33 03000	47,06 03000	
3,5	8	3,2	12	21	57	6	0,1	3	38,73 03600	47,45 03600	38,73 03600	47,45 03600	
4,0	11	3,7	18	21	57	6	0,1	3	38,33 04000	47,06 04000	38,33 04000	47,06 04000	
4,5	11	4,2	18	21	57	6	0,1	3	38,51 04600	48,60 04600	38,51 04600	48,60 04600	
5,0	13	4,7	18	21	57	6	0,1	3	38,46 05000	48,56 05000	38,46 05000	48,56 05000	
5,5	13	5,2	18	21	57	6	0,1	3	38,33 05600	48,44 05600	38,33 05600	48,44 05600	
6,0	13	5,7	18	21	57	6	0,2	3	39,04 06000	49,15 06000	39,04 06000	49,15 06000	
6,5	21	6,1	25	27	63	8	0,2	3	45,72 06600	58,55 06600	45,72 06600	58,55 06600	
7,0	21	6,6	25	27	63	8	0,2	3	44,91 07000	58,55 07000	44,91 07000	58,55 07000	
7,5	21	7,1	25	27	63	8	0,2	3	45,36 07600	56,71 07600	45,36 07600	56,71 07600	
8,0	21	7,4	25	27	63	8	0,2	3	45,87 08000	57,26 08000	45,87 08000	57,26 08000	
8,5	22	7,9	30	33	73	10	0,2	3	83,11 08600	95,76 08600	83,11 08600	95,76 08600	
9,0	22	8,4	30	33	73	10	0,2	3	83,31 09000	95,95 09000	83,31 09000	95,95 09000	
9,5	22	8,9	30	33	73	10	0,2	3	83,17 09600	95,81 09600	83,17 09600	95,81 09600	
10,0	22	9,2	30	33	73	10	0,2	3	83,07 10000	95,72 10000	83,07 10000	95,72 10000	
10,5	26	9,7	36	38	83	12	0,2	3	115,90 10600	133,60 10600	115,90 10600	133,60 10600	
11,0	26	10,0	36	38	83	12	0,2	3	115,90 11000	133,60 11000	115,90 11000	133,60 11000	
11,5	26	10,5	36	38	83	12	0,2	3	115,80 11600	133,40 11600	115,80 11600	133,40 11600	
12,0	26	11,0	36	38	83	12	0,2	3	115,50 12000	133,30 12000	115,50 12000	133,30 12000	
12,5	26	11,5	36	38	83	14	0,2	3		143,30 12600	167,00 12600		
13,0	26	12,0	36	38	83	14	0,2	3		143,20 13000	167,00 13000		
13,5	26	12,5	36	38	83	14	0,2	3		143,20 13600	167,00 13600		
14,0	26	13,0	36	38	83	14	0,2	3		143,00 14000	166,90 14000		
14,5	36	13,5	42	44	92	16	0,2	3		223,90 14600	251,70 14600		
15,0	36	14,0	42	44	92	16	0,2	3		223,90 15000	251,70 15000		
15,5	36	14,5	42	44	92	16	0,2	3		223,90 15600	251,70 15600		
16,0	36	15,0	42	44	92	16	0,2	3		223,70 16000	251,60 16000		
16,5	36	15,5	42	44	92	18	0,2	3		293,70 16600	324,00 16600		
17,0	36	16,0	42	44	92	18	0,2	3		293,50 17000	323,80 17000		
17,5	36	16,5	42	44	92	18	0,2	3		293,40 17600	323,70 17600		
18,0	36	17,0	42	44	92	18	0,2	3		293,40 18000	323,70 18000		
18,5	41	17,5	52	54	104	20	0,2	3		339,10 18600	377,20 18600		
19,0	41	18,0	52	54	104	20	0,2	3		339,10 19000	377,20 19000		
19,5	41	18,5	52	54	104	20	0,2	3		339,00 19600	376,90 19600		
20,0	41	19,0	52	54	104	20	0,2	3		338,80 20000	376,80 20000		

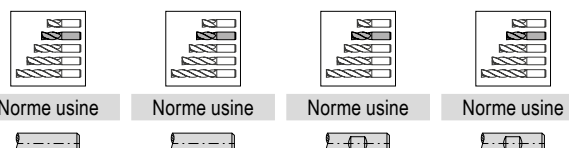
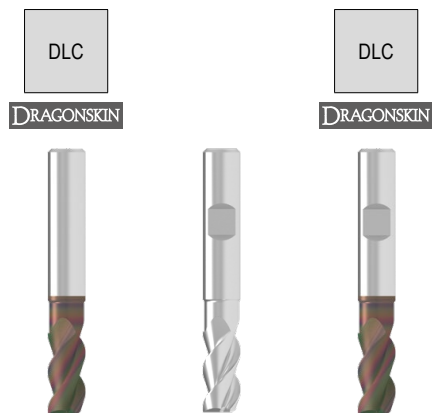
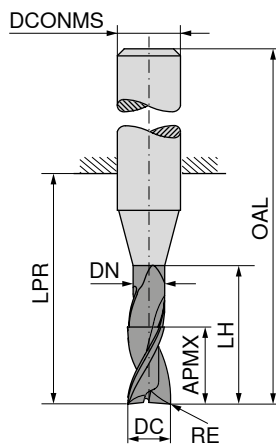
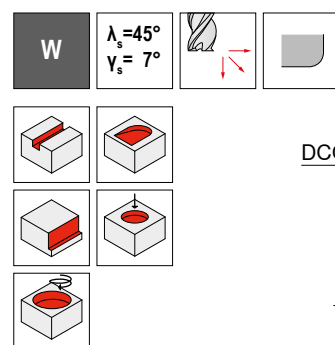
P				
M				
K				
N			•	•
S				
H				•
O				•

→ V_c/f_z Page 414+415

AluLine – Fraise deux tailles rayonnées

Les spécialistes pour l'usinage des métaux non ferreux

▲ Avec goujures polies



53 708 ... **53 710 ...** **53 709 ...** **53 711 ...**

DC _{h6} mm	RE _{±0,05} mm	APMX mm	DN mm	LH mm	LPR mm	OAL mm	DCONMS _{h6} mm	ZEFP	EUR V1/5B	EUR V1/5B	EUR V1/5B	EUR V1/5B
2	0,3	4,5	1,8	6	14	50	6	3	32,59	02103	41,29	02103
2	0,5	4,5	1,8	6	14	50	6	3	32,59	02105	41,29	02105
3	0,3	6,5	2,7	9	19	55	6	3	33,46	03103	42,16	03103
3	0,5	6,5	2,7	9	19	55	6	3	33,46	03105	42,16	03105
3	1,0	6,5	2,7	9	19	55	6	3	33,46	03110	42,16	03110
4	0,3	8,5	3,7	12	19	55	6	3	35,53	04103	44,26	04103
4	0,5	8,5	3,7	12	19	55	6	3	35,53	04105	44,26	04105
4	1,0	8,5	3,7	12	19	55	6	3	35,53	04110	44,26	04110
5	0,3	10,5	4,7	15	22	58	6	3	39,67	05103	48,38	05103
5	0,5	10,5	4,7	15	22	58	6	3	39,67	05105	48,38	05105
5	1,0	10,5	4,7	15	22	58	6	3	39,67	05110	48,38	05110
6	0,3	13,0	5,7	18	22	58	6	3	40,55	06103	50,66	06103
6	0,5	13,0	5,7	18	22	58	6	3	40,55	06105	50,66	06105
6	1,0	13,0	5,7	18	22	58	6	3	40,55	06110	50,66	06110
6	1,5	13,0	5,7	18	22	58	6	3	40,55	06115	50,66	06115
8	0,3	17,0	7,4	24	28	64	8	3	44,35	08103	55,71	08103
8	0,5	17,0	7,4	24	28	64	8	3	44,35	08105	55,71	08105
8	1,0	17,0	7,4	24	28	64	8	3	44,35	08110	55,71	08110
8	1,5	17,0	7,4	24	28	64	8	3	44,35	08115	55,71	08115
8	2,0	17,0	7,4	24	28	64	8	3	44,35	08120	55,71	08120
10	0,3	21,0	9,2	30	34	74	10	3	68,13	10103	80,78	10103
10	0,5	21,0	9,2	30	34	74	10	3	68,13	10105	80,78	10105
10	1,0	21,0	9,2	30	34	74	10	3	68,13	10110	80,78	10110
10	1,5	21,0	9,2	30	34	74	10	3	68,13	10115	80,78	10115
10	2,0	21,0	9,2	30	34	74	10	3	68,13	10120	80,78	10120
10	3,0	21,0	9,2	30	34	74	10	3	68,13	10130	80,78	10130
12	0,3	25,0	11,0	36	40	85	12	3	96,68	12103	114,40	12103
12	0,5	25,0	11,0	36	40	85	12	3	96,68	12105	114,40	12105
12	1,0	25,0	11,0	36	40	85	12	3	96,68	12110	114,40	12110
12	1,5	25,0	11,0	36	40	85	12	3	96,68	12115	114,40	12115
12	2,0	25,0	11,0	36	40	85	12	3	96,68	12120	114,40	12120
12	3,0	25,0	11,0	36	40	85	12	3	96,68	12130	114,40	12130
12	4,0	25,0	11,0	36	40	85	12	3	96,68	12140	114,40	12140
16	0,3	33,0	15,0	48	52	100	16	3			155,60	16103
16	0,5	33,0	15,0	48	52	100	16	3			155,60	16105
16	1,0	33,0	15,0	48	52	100	16	3			155,60	16110
16	1,5	33,0	15,0	48	52	100	16	3			155,60	16115

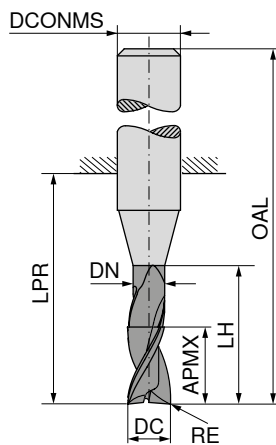
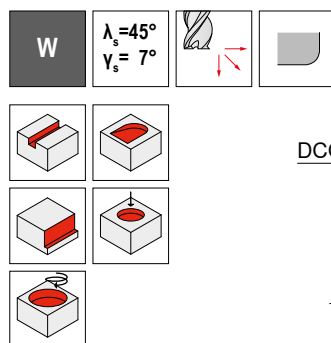
P				
M				
K				
N	●			
S				
H	●			
O		●		

→ V_e/f_z Page 414+415

AluLine – Fraises deux tailles rayonnées

Les spécialistes pour l'usinage des métaux non ferreux

▲ Avec goujures polies



Norme usine Norme usine Norme usine Norme usine

53 708 ... 53 710 ... 53 709 ... 53 711 ...

	EUR V1/5B	EUR V1/5B	EUR V1/5B	EUR V1/5B
16	2,0	33,0	15,0	48
16	3,0	33,0	15,0	48
16	4,0	33,0	15,0	48
20	0,5	42,0	19,0	60
20	1,0	42,0	19,0	60
20	1,5	42,0	19,0	60
20	2,0	42,0	19,0	60
20	3,0	42,0	19,0	60
20	4,0	42,0	19,0	60

DC _{h6} mm	RE _{±0,05} mm	APMX mm	DN mm	LH mm	LPR mm	OAL mm	DCONMS _{h6} mm	ZEFP
16	2,0	33,0	15,0	48	52	100	16	3
16	3,0	33,0	15,0	48	52	100	16	3
16	4,0	33,0	15,0	48	52	100	16	3
20	0,5	42,0	19,0	60	64	114	20	3
20	1,0	42,0	19,0	60	64	114	20	3
20	1,5	42,0	19,0	60	64	114	20	3
20	2,0	42,0	19,0	60	64	114	20	3
20	3,0	42,0	19,0	60	64	114	20	3
20	4,0	42,0	19,0	60	64	114	20	3

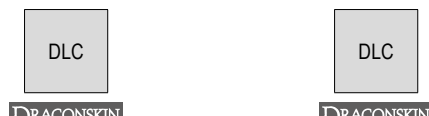
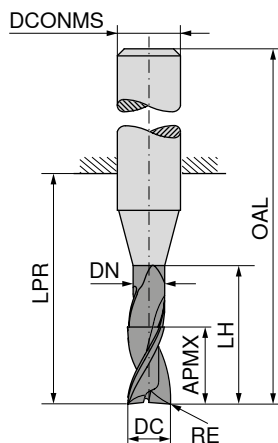
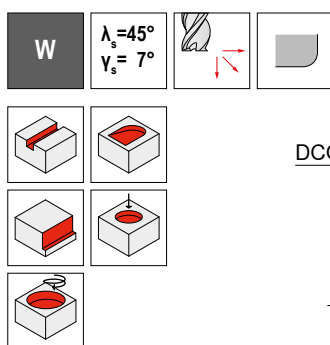
P				
M				
K				
N	●	●	●	●
S				
H				
O				

→ V_c/f_z Page 414+415

AluLine – Fraise deux tailles rayonnées

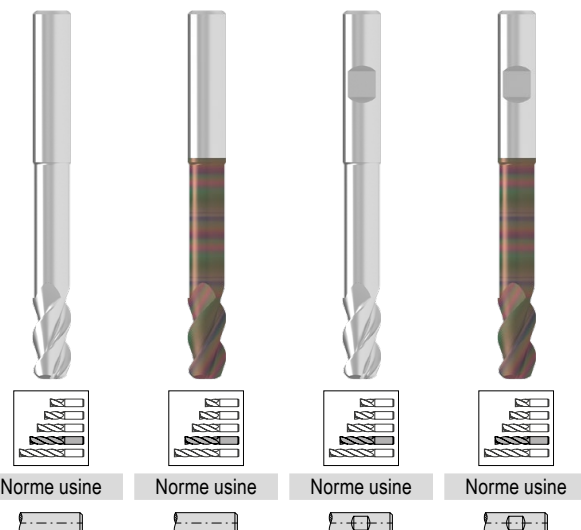
Les spécialistes pour l'usinage des métaux non ferreux

▲ Avec goujures polies



DRAGONSKIN

DRAGONSKIN



DC _{h6} mm	RE _{±0,05} mm	APMX mm	DN mm	LH mm	LPR mm	OAL mm	DCONMS _{h6} mm	ZEFP	53 708 ... EUR V1/5B	53 710 ... EUR V1/5B	53 709 ... EUR V1/5B	53 711 ... EUR V1/5B
2	0,3	5,5	1,8	10	19	55	6	3	39,08 02203	47,83 02203	39,08 02203	47,83 02203
2	0,5	5,5	1,8	10	19	55	6	3	39,08 02205	47,83 02205	39,08 02205	47,83 02205
3	0,3	8,0	2,7	15	22	58	6	3	40,16 03203	48,87 03203	40,16 03203	48,87 03203
3	0,5	8,0	2,7	15	22	58	6	3	40,16 03205	48,87 03205	40,16 03205	48,87 03205
3	1,0	8,0	2,7	15	22	58	6	3	40,16 03210	48,87 03210	40,16 03210	48,87 03210
4	0,3	10,5	3,7	20	26	62	6	3	42,66 04203	51,37 04203	42,66 04203	51,37 04203
4	0,5	10,5	3,7	20	26	62	6	3	42,66 04205	51,37 04205	42,66 04205	51,37 04205
4	1,0	10,5	3,7	20	26	62	6	3	42,66 04210	51,37 04210	42,66 04210	51,37 04210
5	0,3	13,0	4,7	25	34	70	6	3	47,61 05203	56,30 05203	47,61 05203	56,30 05203
5	0,5	13,0	4,7	25	34	70	6	3	47,61 05205	56,30 05205	47,61 05205	56,30 05205
5	1,0	13,0	4,7	25	34	70	6	3	47,61 05210	56,30 05210	47,61 05210	56,30 05210
6	0,3	16,0	5,7	30	34	70	6	3	48,63 06203	58,75 06203	48,63 06203	58,75 06203
6	0,5	16,0	5,7	30	34	70	6	3	48,63 06205	58,75 06205	48,63 06205	58,75 06205
6	1,0	16,0	5,7	30	34	70	6	3	48,63 06210	58,75 06210	48,63 06210	58,75 06210
6	1,5	16,0	5,7	30	34	70	6	3	48,63 06215	58,75 06215	48,63 06215	58,75 06215
8	0,3	21,0	7,4	40	44	80	8	3	53,25 08203	64,60 08203	53,25 08203	64,60 08203
8	0,5	21,0	7,4	40	44	80	8	3	53,25 08205	64,60 08205	53,25 08205	64,60 08205
8	1,0	21,0	7,4	40	44	80	8	3	53,25 08210	64,60 08210	53,25 08210	64,60 08210
8	1,5	21,0	7,4	40	44	80	8	3	53,25 08215	64,60 08215	53,25 08215	64,60 08215
8	2,0	21,0	7,4	40	44	80	8	3	53,25 08220	64,60 08220	53,25 08220	64,60 08220
10	0,3	26,0	9,2	50	54	94	10	3	81,77 10203	94,43 10203	81,77 10203	94,43 10203
10	0,5	26,0	9,2	50	54	94	10	3	81,77 10205	94,43 10205	81,77 10205	94,43 10205
10	1,0	26,0	9,2	50	54	94	10	3	81,77 10210	94,43 10210	81,77 10210	94,43 10210
10	1,5	26,0	9,2	50	54	94	10	3	81,77 10215	94,43 10215	81,77 10215	94,43 10215
10	2,0	26,0	9,2	50	54	94	10	3	81,77 10220	94,43 10220	81,77 10220	94,43 10220
10	3,0	26,0	9,2	50	54	94	10	3	81,77 10230	94,43 10230	81,77 10230	94,43 10230
12	0,3	31,0	11,0	60	64	109	12	3	116,00 12203	133,70 12203	116,00 12203	133,70 12203
12	0,5	31,0	11,0	60	64	109	12	3	116,00 12205	133,70 12205	116,00 12205	133,70 12205
12	1,0	31,0	11,0	60	64	109	12	3	116,00 12210	133,70 12210	116,00 12210	133,70 12210
12	1,5	31,0	11,0	60	64	109	12	3	116,00 12215	133,70 12215	116,00 12215	133,70 12215
12	2,0	31,0	11,0	60	64	109	12	3	116,00 12220	133,70 12220	116,00 12220	133,70 12220
12	3,0	31,0	11,0	60	64	109	12	3	116,00 12230	133,70 12230	116,00 12230	133,70 12230
12	4,0	31,0	11,0	60	64	109	12	3	116,00 12240	133,70 12240	116,00 12240	133,70 12240
16	0,3	41,0	15,0	80	84	132	16	3			249,00 16203	276,60 16203
16	0,5	41,0	15,0	80	84	132	16	3			249,00 16205	276,60 16205
16	1,0	41,0	15,0	80	84	132	16	3			249,00 16210	276,60 16210

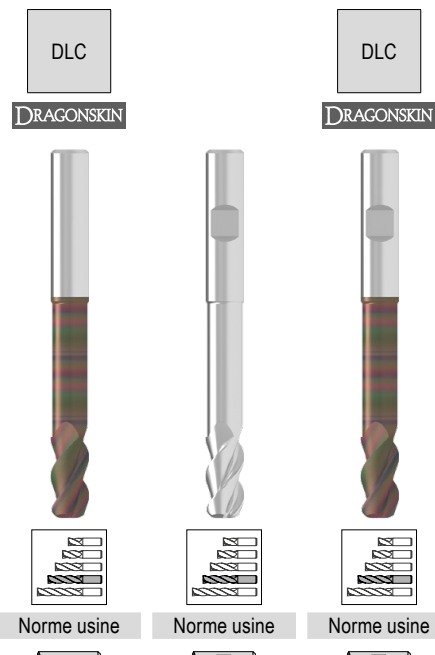
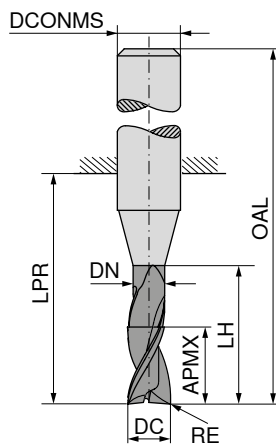
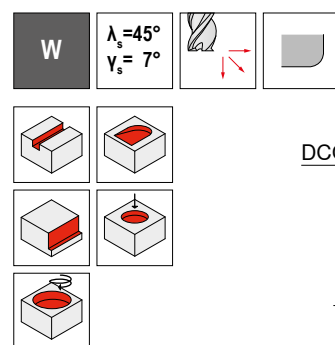
P				
M				
K				
N			●	
S			●	
H				●
O				●

→ V_c/f_z Page 414+415

AluLine – Fraise deux tailles rayonnées

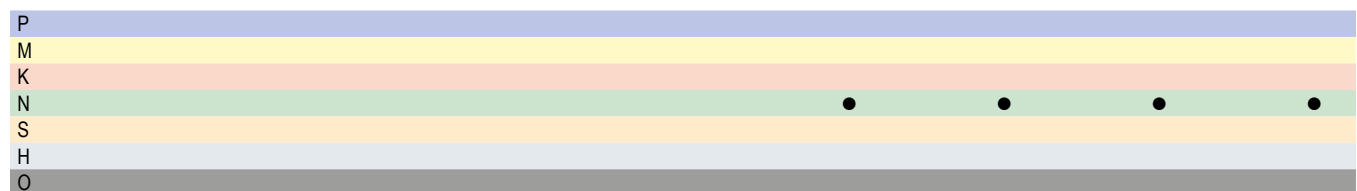
Les spécialistes pour l'usinage des métaux non ferreux

▲ Avec goujures polies



DC _{h6} mm	RE ±0,05 mm	APMX mm	DN mm	LH mm	LPR mm	OAL mm	DCONMS _{h6} mm	ZEFP
16	1,5	41,0	15,0	80	84	132	16	3
16	2,0	41,0	15,0	80	84	132	16	3
16	3,0	41,0	15,0	80	84	132	16	3
16	4,0	41,0	15,0	80	84	132	16	3
20	0,5	52,0	19,0	100	104	154	20	3
20	1,0	52,0	19,0	100	104	154	20	3
20	1,5	52,0	19,0	100	104	154	20	3
20	2,0	52,0	19,0	100	104	154	20	3
20	3,0	52,0	19,0	100	104	154	20	3
20	4,0	52,0	19,0	100	104	154	20	3

53 708 ...	53 710 ...	53 709 ...	53 711 ...
EUR V1/5B	EUR V1/5B	EUR V1/5B	EUR V1/5B
		249,00	16215
		249,00	16220
		249,00	16230
		249,00	16240
		392,20	20205
		392,20	20210
		392,20	20215
		392,20	20220
		392,20	20230
		392,20	20240
			276,60 16215
			276,60 16220
			276,60 16230
			276,60 16240
			430,20 20205
			430,20 20210
			430,20 20215
			430,20 20220
			430,20 20230
			430,20 20240

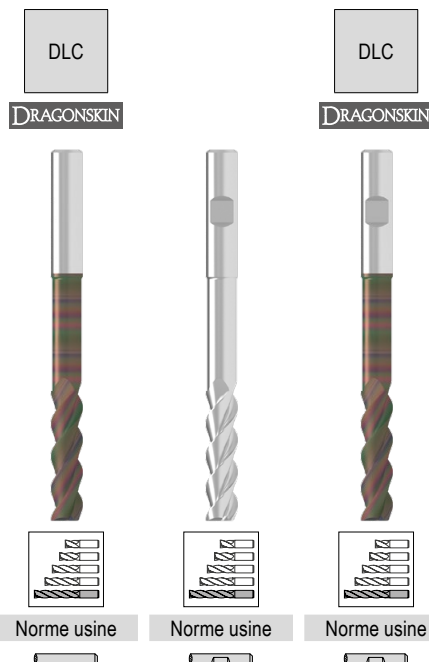
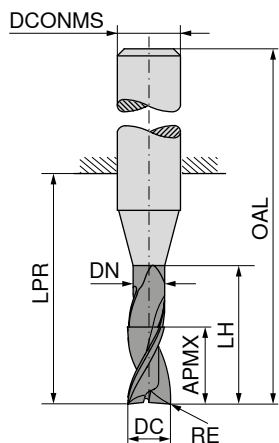
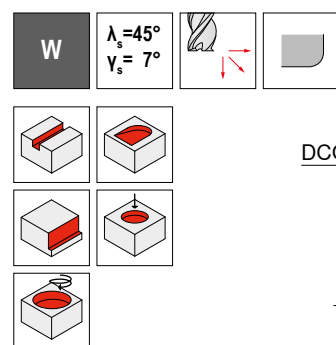


→ V_c/f_z Page 414+415

AluLine – Fraise deux tailles rayonnées

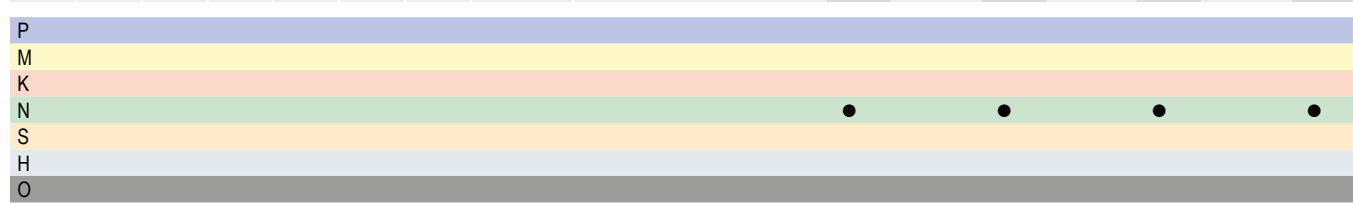
Les spécialistes pour l'usinage des métaux non ferreux

▲ Avec goujures polies



DC _{h6} mm	RE _{±0,05} mm	APMX mm	DN mm	LH mm	LPR mm	OAL mm	DCONMS _{h6} mm	ZEFP
2	0,3	8,5	1,8	16	26	62	6	3
2	0,5	8,5	1,8	16	26	62	6	3
3	0,3	12,5	2,7	24	31	67	6	3
3	0,5	12,5	2,7	24	31	67	6	3
3	1,0	12,5	2,7	24	31	67	6	3
4	0,3	16,5	3,7	32	38	74	6	3
4	0,5	16,5	3,7	32	38	74	6	3
4	1,0	16,5	3,7	32	38	74	6	3
5	0,3	20,5	4,7	40	52	88	6	3
5	0,5	20,5	4,7	40	52	88	6	3
5	1,0	20,5	4,7	40	52	88	6	3
6	0,3	25,0	5,7	48	52	88	6	3
6	0,5	25,0	5,7	48	52	88	6	3
6	1,0	25,0	5,7	48	52	88	6	3
6	1,5	25,0	5,7	48	52	88	6	3
8	0,3	33,0	7,4	64	68	104	8	3
8	0,5	33,0	7,4	64	68	104	8	3
8	1,0	33,0	7,4	64	68	104	8	3
8	1,5	33,0	7,4	64	68	104	8	3
8	2,0	33,0	7,4	64	68	104	8	3
10	0,3	41,0	9,2	80	84	124	10	3
10	0,5	41,0	9,2	80	84	124	10	3
10	1,0	41,0	9,2	80	84	124	10	3
10	1,5	41,0	9,2	80	84	124	10	3
10	2,0	41,0	9,2	80	84	124	10	3
10	3,0	41,0	9,2	80	84	124	10	3
12	0,3	49,0	11,0	96	100	145	12	3
12	0,5	49,0	11,0	96	100	145	12	3
12	1,0	49,0	11,0	96	100	145	12	3
12	1,5	49,0	11,0	96	100	145	12	3
12	2,0	49,0	11,0	96	100	145	12	3
12	3,0	49,0	11,0	96	100	145	12	3
12	4,0	49,0	11,0	96	100	145	12	3
16	0,3	65,0	15,0	128	132	180	16	3
16	0,5	65,0	15,0	128	132	180	16	3
16	1,0	65,0	15,0	128	132	180	16	3

53 708 ...	EUR V1/5B	53 710 ...	EUR V1/5B	53 709 ...	EUR V1/5B	53 711 ...	EUR V1/5B
	42,37 02403	51,05 02403	42,37 02403	51,05 02403	42,37 02403	51,05 02403	51,05 02403
	42,37 02405	51,05 02405	42,37 02405	51,05 02405	42,37 02405	51,05 02405	51,05 02405
	43,51 03403	52,22 03403	43,51 03403	52,22 03403	43,51 03403	52,22 03403	52,22 03403
	43,51 03405	52,22 03405	43,51 03405	52,22 03405	43,51 03405	52,22 03405	52,22 03405
	43,51 03410	52,22 03410	43,51 03410	52,22 03410	43,51 03410	52,22 03410	52,22 03410
	47,97 04403	56,71 04403	47,97 04403	56,71 04403	47,97 04403	56,71 04403	56,71 04403
	47,97 04405	56,71 04405	47,97 04405	56,71 04405	47,97 04405	56,71 04405	56,71 04405
	51,57 05403	60,27 05403	51,57 05403	60,27 05403	51,57 05403	60,27 05403	60,27 05403
	51,57 05405	60,27 05405	51,57 05405	60,27 05405	51,57 05405	60,27 05405	60,27 05405
	51,57 05410	60,27 05410	51,57 05410	60,27 05410	51,57 05410	60,27 05410	60,27 05410
	52,71 06403	62,83 06403	52,71 06403	62,83 06403	52,71 06403	62,83 06403	62,83 06403
	52,71 06405	62,83 06405	52,71 06405	62,83 06405	52,71 06405	62,83 06405	62,83 06405
	52,71 06410	62,83 06410	52,71 06410	62,83 06410	52,71 06410	62,83 06410	62,83 06410
	52,71 06415	62,83 06415	52,71 06415	62,83 06415	52,71 06415	62,83 06415	62,83 06415
	70,97 08403	82,33 08403	70,97 08403	82,33 08403	70,97 08403	82,33 08403	82,33 08403
	70,97 08405	82,33 08405	70,97 08405	82,33 08405	70,97 08405	82,33 08405	82,33 08405
	70,97 08410	82,33 08410	70,97 08410	82,33 08410	70,97 08410	82,33 08410	82,33 08410
	70,97 08415	82,33 08415	70,97 08415	82,33 08415	70,97 08415	82,33 08415	82,33 08415
	70,97 08420	82,33 08420	70,97 08420	82,33 08420	70,97 08420	82,33 08420	82,33 08420
	109,00 10403	121,70 10403	109,00 10403	121,70 10403	109,00 10403	121,70 10403	121,70 10403
	109,00 10405	121,70 10405	109,00 10405	121,70 10405	109,00 10405	121,70 10405	121,70 10405
	109,00 10410	121,70 10410	109,00 10410	121,70 10410	109,00 10410	121,70 10410	121,70 10410
	109,00 10415	121,70 10415	109,00 10415	121,70 10415	109,00 10415	121,70 10415	121,70 10415
	109,00 10420	121,70 10420	109,00 10420	121,70 10420	109,00 10420	121,70 10420	121,70 10420
	109,00 10430	121,70 10430	109,00 10430	121,70 10430	109,00 10430	121,70 10430	121,70 10430
	154,70 12403	172,40 12403	154,70 12403	172,40 12403	154,70 12403	172,40 12403	172,40 12403
	154,70 12405	172,40 12405	154,70 12405	172,40 12405	154,70 12405	172,40 12405	172,40 12405
	154,70 12410	172,40 12410	154,70 12410	172,40 12410	154,70 12410	172,40 12410	172,40 12410
	154,70 12415	172,40 12415	154,70 12415	172,40 12415	154,70 12415	172,40 12415	172,40 12415
	154,70 12420	172,40 12420	154,70 12420	172,40 12420	154,70 12420	172,40 12420	172,40 12420
	154,70 12430	172,40 12430	154,70 12430	172,40 12430	154,70 12430	172,40 12430	172,40 12430
	154,70 12440	172,40 12440	154,70 12440	172,40 12440	154,70 12440	172,40 12440	172,40 12440
	283,40 16403						311,10 16403
	283,40 16405						311,10 16405
	283,40 16410						311,10 16410

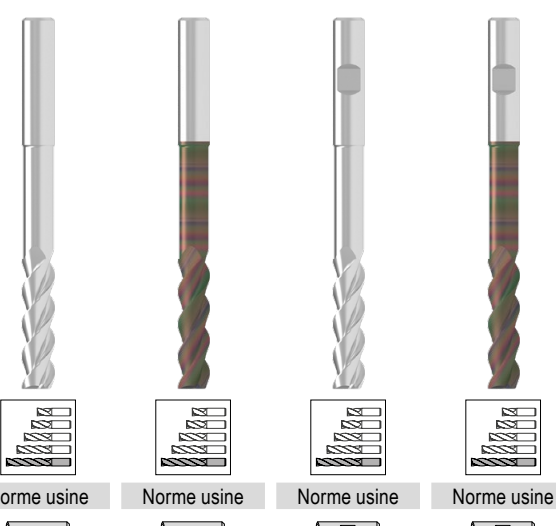
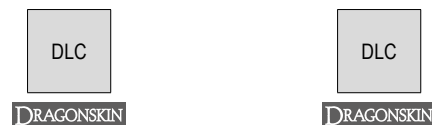
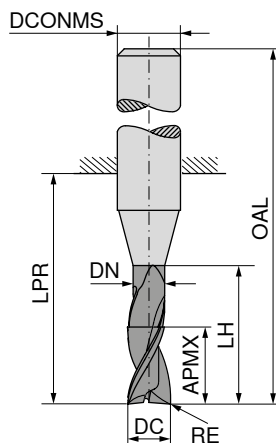
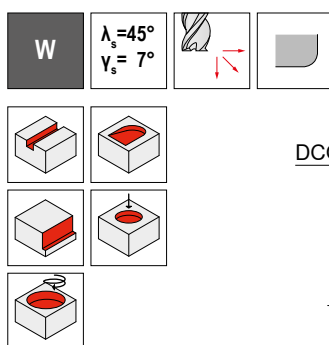


→ V_c/f_z Page 414+415

AluLine – Fraises deux tailles rayonnées

Les spécialistes pour l'usinage des métaux non ferreux

▲ Avec goujures polies



DC mm	RE mm	APMX mm	DN mm	LH mm	LPR mm	OAL mm	DCONMS h6	ZEFP	EUR V1/5B	EUR V1/5B	EUR V1/5B	EUR V1/5B
16	1,5	65,0	15,0	128	132	180	16	3			283,40	16415
16	2,0	65,0	15,0	128	132	180	16	3			283,40	16420
16	3,0	65,0	15,0	128	132	180	16	3			283,40	16430
16	4,0	65,0	15,0	128	132	180	16	3			283,40	16440
20	0,5	82,0	19,0	160	164	214	20	3			464,70	20405
20	1,0	82,0	19,0	160	164	214	20	3			464,70	20410
20	1,5	82,0	19,0	160	164	214	20	3			464,70	20415
20	2,0	82,0	19,0	160	164	214	20	3			464,70	20420
20	3,0	82,0	19,0	160	164	214	20	3			464,70	20430
20	4,0	82,0	19,0	160	164	214	20	3			464,70	20440

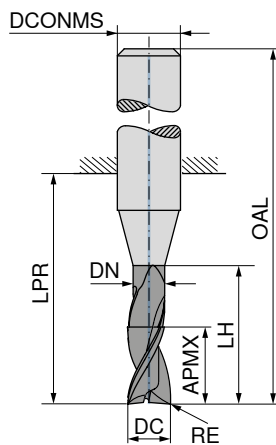
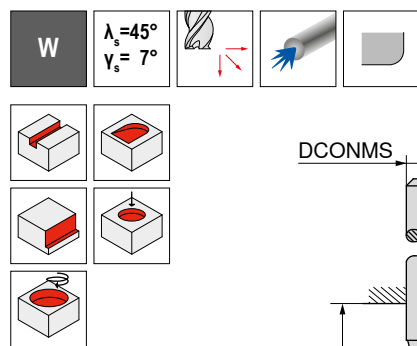
A horizontal bar chart illustrating the distribution of seven variables (P, M, K, N, S, H, O) across four categories. The x-axis is marked with integers 1, 2, 3, and 4. The bars are color-coded: P (blue), M (orange), K (red), N (green), S (yellow), H (purple), and O (brown). The length of each bar indicates the value of the variable for that category. P, M, K, and N reach category 1. S, H, and O reach category 2. O extends slightly past category 2.

→ v_c/f_z Page 414+415

AluLine – Fraise deux tailles rayonnées

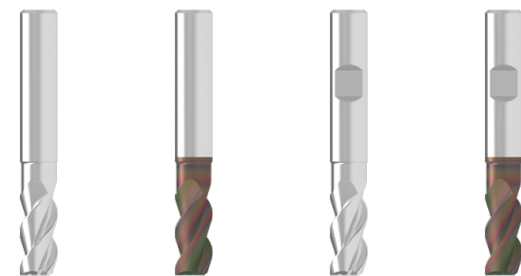
Les spécialistes pour l'usinage des métaux non ferreux

▲ Avec goujures polies



DRAGOSKIN

DRAGOSKIN



Norme usine



Norme usine

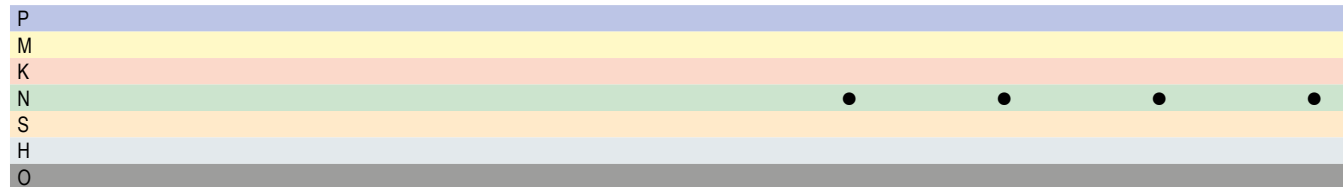


Norme usine



Norme usine

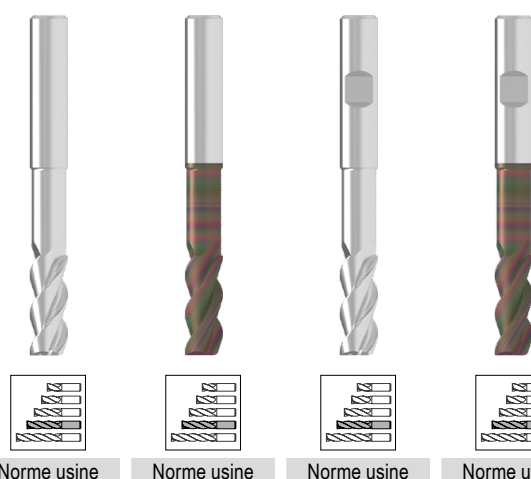
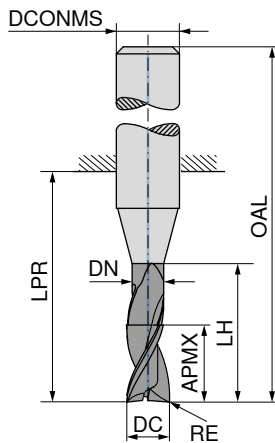
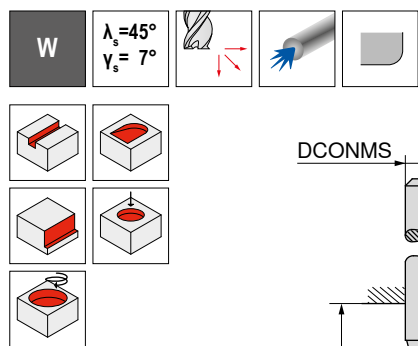
DC _{h6} mm	RE _{±0,05} mm	APMX mm	DN mm	LH mm	LPR mm	OAL mm	DCONMS _{h6} mm	ZEFP	53 712 ...	53 714 ...	53 713 ...	53 715 ...
									EUR V1/5B	EUR V1/5B	EUR V1/5B	EUR V1/5B
6	0,3	13	5,7	18	22	58	6	3	46,60	06103	56,73	06103
6	0,5	13	5,7	18	22	58	6	3	46,60	06105	56,73	06105
6	1,0	13	5,7	18	22	58	6	3	46,60	06110	56,73	06110
6	1,5	13	5,7	18	22	58	6	3	46,60	06115	56,73	06115
8	0,3	17	7,4	24	28	64	8	3	61,73	08103	73,07	08103
8	0,5	17	7,4	24	28	64	8	3	61,73	08105	73,07	08105
8	1,0	17	7,4	24	28	64	8	3	61,73	08110	73,07	08110
8	1,5	17	7,4	24	28	64	8	3	61,73	08115	73,07	08115
8	2,0	17	7,4	24	28	64	8	3	61,73	08120	73,07	08120
10	0,3	21	9,2	30	34	74	10	3	94,84	10103	94,84	10103
10	0,5	21	9,2	30	34	74	10	3	94,84	10105	107,50	10103
10	1,0	21	9,2	30	34	74	10	3	94,84	10110	107,50	10110
10	1,5	21	9,2	30	34	74	10	3	94,84	10115	107,50	10115
10	2,0	21	9,2	30	34	74	10	3	94,84	10120	107,50	10120
10	3,0	21	9,2	30	34	74	10	3	94,84	10130	107,50	10130
12	0,3	25	11,0	36	40	85	12	3	134,60	12103	152,30	12103
12	0,5	25	11,0	36	40	85	12	3	134,60	12105	152,30	12105
12	1,0	25	11,0	36	40	85	12	3	134,60	12110	152,30	12110
12	1,5	25	11,0	36	40	85	12	3	134,60	12115	152,30	12115
12	2,0	25	11,0	36	40	85	12	3	134,60	12120	152,30	12120
12	3,0	25	11,0	36	40	85	12	3	134,60	12130	152,30	12130
12	4,0	25	11,0	36	40	85	12	3	134,60	12140	152,30	12140
16	0,3	33	15,0	48	52	100	16	3	202,20	16103	230,10	16103
16	0,5	33	15,0	48	52	100	16	3	202,20	16105	230,10	16105
16	1,0	33	15,0	48	52	100	16	3	202,20	16110	230,10	16110
16	1,5	33	15,0	48	52	100	16	3	202,20	16115	230,10	16115
16	2,0	33	15,0	48	52	100	16	3	202,20	16120	230,10	16120
16	3,0	33	15,0	48	52	100	16	3	202,20	16130	230,10	16130
16	4,0	33	15,0	48	52	100	16	3	202,20	16140	230,10	16140
20	0,5	42	19,0	60	64	114	20	3	411,40	20105	449,50	20105
20	1,0	42	19,0	60	64	114	20	3	411,40	20110	449,50	20110
20	1,5	42	19,0	60	64	114	20	3	411,40	20115	449,50	20115
20	2,0	42	19,0	60	64	114	20	3	411,40	20120	449,50	20120
20	3,0	42	19,0	60	64	114	20	3	411,40	20130	449,50	20130
20	4,0	42	19,0	60	64	114	20	3	411,40	20140	449,50	20140



AluLine – Fraises deux tailles rayonnées

Les spécialistes pour l'usinage des métaux non ferreux

▲ Avec goujures polies



DC _{h6} mm	RE _{±0,01} mm	APMX mm	DN mm	LH mm	LPR mm	OAL mm	DCONMS _{h5} mm	ZEFP	53 712 ...	EUR V1/5B	53 714 ...	EUR V1/5B	53 713 ...	EUR V1/5B	53 715 ...	EUR V1/5B	
6	0,3	16	5,7	30	34	70	6	3		55,97	06203	66,03	06203	55,97	06203	66,03	06203
6	0,5	16	5,7	30	34	70	6	3		55,97	06205	66,03	06205	55,97	06205	66,03	06205
6	1,0	16	5,7	30	34	70	6	3		55,97	06210	66,03	06210	55,97	06210	66,03	06210
6	1,5	16	5,7	30	34	70	6	3		55,97	06215	66,03	06215	55,97	06215	66,03	06215
8	0,3	21	7,4	40	44	80	8	3	74,05	08203	85,41	08203	74,05	08203	85,41	08203	
8	0,5	21	7,4	40	44	80	8	3	74,05	08205	85,41	08205	74,05	08205	85,41	08205	
8	1,0	21	7,4	40	44	80	8	3	74,05	08210	85,41	08210	74,05	08210	85,41	08210	
8	1,5	21	7,4	40	44	80	8	3	74,05	08215	85,41	08215	74,05	08215	85,41	08215	
8	2,0	21	7,4	40	44	80	8	3	74,05	08220	85,41	08220	74,05	08220	85,41	08220	
10	0,3	26	9,2	50	54	94	10	3	113,80	10203	126,40	10203	113,80	10203	126,40	10203	
10	0,5	26	9,2	50	54	94	10	3	113,80	10205	126,40	10205	113,80	10205	126,40	10205	
10	1,0	26	9,2	50	54	94	10	3	113,80	10210	126,40	10210	113,80	10210	126,40	10210	
10	1,5	26	9,2	50	54	94	10	3	113,80	10215	126,40	10215	113,80	10215	126,40	10215	
10	2,0	26	9,2	50	54	94	10	3	113,80	10220	126,40	10220	113,80	10220	126,40	10220	
10	3,0	26	9,2	50	54	94	10	3	113,80	10230	126,40	10230	113,80	10230	126,40	10230	
12	0,3	31	11,0	60	64	109	12	3	161,40	12203	179,00	12203	161,40	12203	179,00	12203	
12	0,5	31	11,0	60	64	109	12	3	161,40	12205	179,00	12205	161,40	12205	179,00	12205	
12	1,0	31	11,0	60	64	109	12	3	161,40	12210	179,00	12210	161,40	12210	179,00	12210	
12	1,5	31	11,0	60	64	109	12	3	161,40	12215	179,00	12215	161,40	12215	179,00	12215	
12	2,0	31	11,0	60	64	109	12	3	161,40	12220	179,00	12220	161,40	12220	179,00	12220	
12	3,0	31	11,0	60	64	109	12	3	161,40	12230	179,00	12230	161,40	12230	179,00	12230	
12	4,0	31	11,0	60	64	109	12	3	161,40	12240	179,00	12240	161,40	12240	179,00	12240	
16	0,3	41	15,0	80	84	132	16	3					280,00	16203	307,70	16203	
16	0,5	41	15,0	80	84	132	16	3					280,00	16205	307,70	16205	
16	1,0	41	15,0	80	84	132	16	3					280,00	16210	307,70	16210	
16	1,5	41	15,0	80	84	132	16	3					280,00	16215	307,70	16215	
16	2,0	41	15,0	80	84	132	16	3					280,00	16220	307,70	16220	
16	3,0	41	15,0	80	84	132	16	3					280,00	16230	307,70	16230	
16	4,0	41	15,0	80	84	132	16	3					280,00	16240	307,70	16240	
20	0,5	52	19,0	100	104	154	20	3					441,20	20205	479,20	20205	
20	1,0	52	19,0	100	104	154	20	3					441,20	20210	479,20	20210	
20	1,5	52	19,0	100	104	154	20	3					441,20	20215	479,20	20215	
20	2,0	52	19,0	100	104	154	20	3					441,20	20220	479,20	20220	
20	3,0	52	19,0	100	104	154	20	3					441,20	20230	479,20	20230	
20	4,0	52	19,0	100	104	154	20	3					441,20	20240	479,20	20240	

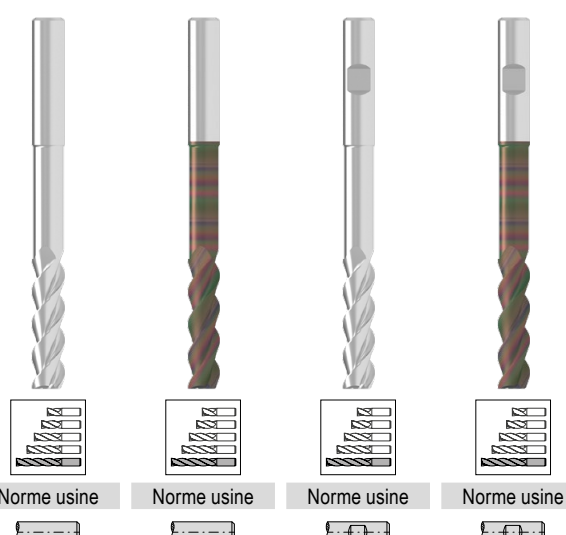
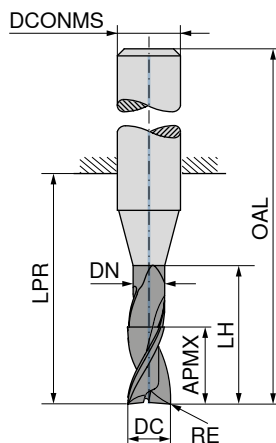
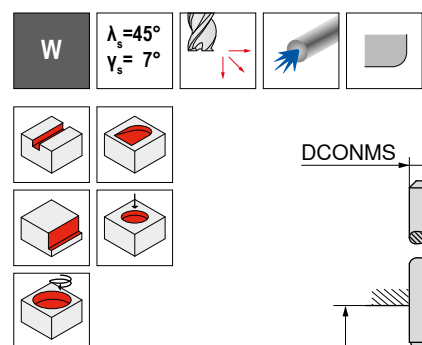
P				
M				
K				
N			•	•
S				
H				
O			•	•

→ V_c/f_z Page 414+415

AluLine – Fraise deux tailles rayonnées

Les spécialistes pour l'usinage des métaux non ferreux

▲ Avec goujures polies



DC _{h6} mm	RE _{±0,01} mm	APMX mm	DN mm	LH mm	LPR mm	OAL mm	DCONMS _{h5} mm	ZEFP
6	0,3	25	5,7	48	52	88	6	3
6	0,5	25	5,7	48	52	88	6	3
6	1,0	25	5,7	48	52	88	6	3
6	1,5	25	5,7	48	52	88	6	3
8	0,3	33	7,4	64	68	104	8	3
8	0,5	33	7,4	64	68	104	8	3
8	1,0	33	7,4	64	68	104	8	3
8	1,5	33	7,4	64	68	104	8	3
8	2,0	33	7,4	64	68	104	8	3
10	0,3	41	9,2	80	84	124	10	3
10	0,5	41	9,2	80	84	124	10	3
10	1,0	41	9,2	80	84	124	10	3
10	1,5	41	9,2	80	84	124	10	3
10	2,0	41	9,2	80	84	124	10	3
10	3,0	41	9,2	80	84	124	10	3
12	0,3	49	11,0	96	100	145	12	3
12	0,5	49	11,0	96	100	145	12	3
12	1,0	49	11,0	96	100	145	12	3
12	1,5	49	11,0	96	100	145	12	3
12	2,0	49	11,0	96	100	145	12	3
12	3,0	49	11,0	96	100	145	12	3
12	4,0	49	11,0	96	100	145	12	3
16	0,3	65	15,0	128	132	180	16	3
16	0,5	65	15,0	128	132	180	16	3
16	1,0	65	15,0	128	132	180	16	3
16	1,5	65	15,0	128	132	180	16	3
16	2,0	65	15,0	128	132	180	16	3
16	3,0	65	15,0	128	132	180	16	3
16	4,0	65	15,0	128	132	180	16	3
20	0,5	82	19,0	160	164	214	20	3
20	1,0	82	19,0	160	164	214	20	3
20	1,5	82	19,0	160	164	214	20	3
20	2,0	82	19,0	160	164	214	20	3
20	3,0	82	19,0	160	164	214	20	3
20	4,0	82	19,0	160	164	214	20	3

53 712 ... 53 714 ... 53 713 ... 53 715 ...

EUR V1/5B EUR V1/5B EUR V1/5B EUR V1/5B

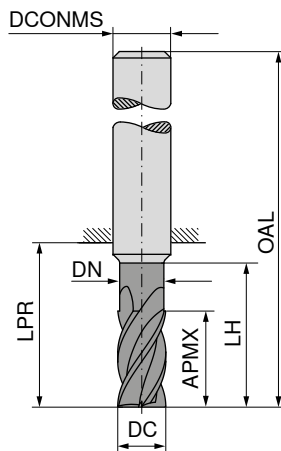
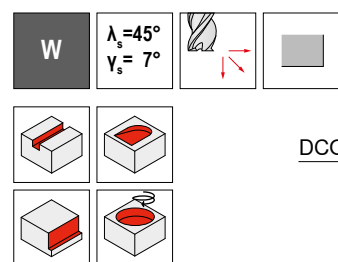
P				
M				
K				
N	●	●	●	●
S				
H				
O				

→ v_c/f_z Page 414+415

AluLine – Fraises deux tailles

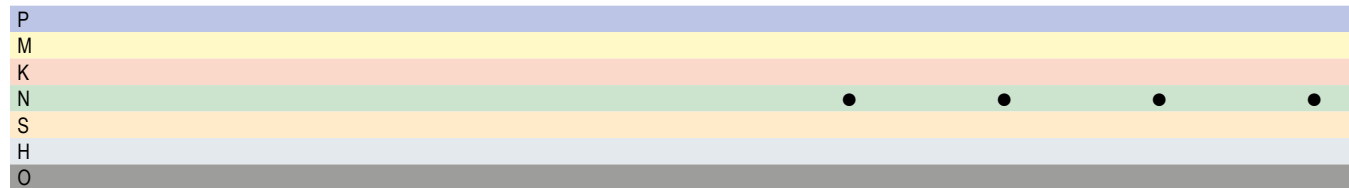
Les spécialistes pour l'usinage des métaux non ferreux

▲ Avec goujures polies



DC _{h6} mm	APMX mm	DN mm	LH mm	LPR mm	OAL mm	DCONMS _{h6} mm	ZEFP
5	10,5	4,8	15	22	58	6	4
6	13,0	5,8	18	22	58	6	4
8	17,0	7,7	24	28	64	8	4
10	21,0	9,7	30	34	74	10	4
12	25,0	11,6	36	40	85	12	4
14	29,0	13,6	42	46	91	14	4
16	33,0	15,5	48	52	100	16	4
18	38,0	17,5	54	58	106	18	4
20	42,0	19,5	60	64	114	20	4

53 704 ...	53 706 ...	53 705 ...	53 707 ...
EUR V1/5B	EUR V1/5B	EUR V1/5B	EUR V1/5B
40,46 05100	51,16 05100	40,46 05100	51,16 05100
41,19 06100	51,28 06100	41,19 06100	51,28 06100
58,62 08100	69,98 08100	58,62 08100	69,98 08100
77,24 10100	89,87 10100	77,24 10100	89,87 10100
118,90 12100	136,60 12100	118,90 12100	136,60 12100
		137,70 14100	161,60 14100
		217,70 16100	245,30 16100
		234,60 18100	265,00 18100
		399,80 20100	437,90 20100

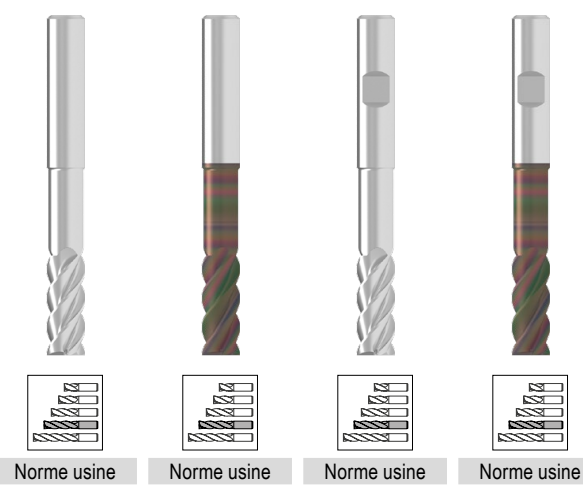
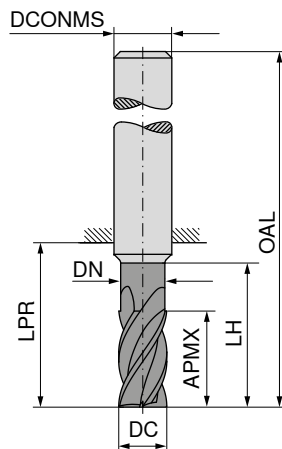
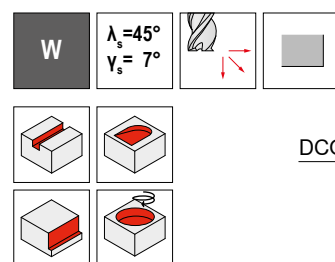


→ V_c/f_z Page 414+415

AluLine – Fraises deux tailles

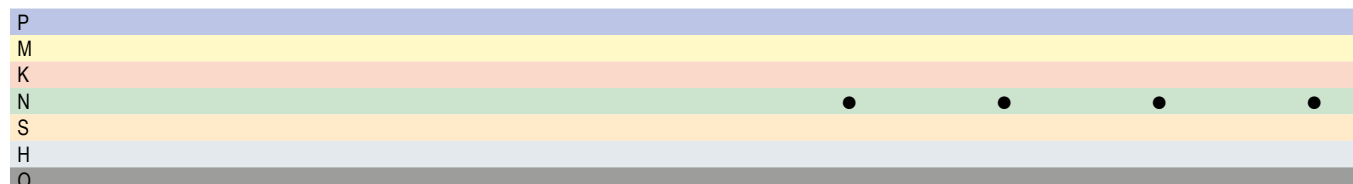
Les spécialistes pour l'usinage des métaux non ferreux

▲ Avec goujures polies



DC _{h6} mm	APMX mm	DN mm	LH mm	LPR mm	OAL mm	DCONMS _{h6} mm	ZEFP
2	5,5	1,8	10	19	55	6	4
3	8,0	2,8	15	22	58	6	4
4	10,5	3,8	20	26	62	6	4
5	13,0	4,8	25	34	70	6	4
6	16,0	5,8	30	34	70	6	4
8	21,0	7,7	40	44	80	8	4
10	26,0	9,7	50	54	94	10	4
12	31,0	11,6	60	64	109	12	4
14	36,0	13,6	70	74	119	14	4
16	41,0	15,5	80	84	132	16	4
18	47,0	17,5	90	94	142	18	4
20	52,0	19,5	100	104	154	20	4

53 704 ...	53 706 ...	53 705 ...	53 707 ...
EUR V1/5B	EUR V1/5B	EUR V1/5B	EUR V1/5B
32,35 02200	41,93 02200	32,35 02200	41,93 02200
42,59 03200	51,84 03200	42,59 03200	51,84 03200
40,83 04200	50,15 04200	40,83 04200	50,15 04200
39,43 05200	49,56 05200	39,43 05200	49,56 05200
41,19 06200	51,28 06200	41,19 06200	51,28 06200
58,62 08200	69,98 08200	58,62 08200	69,98 08200
77,24 10200	89,87 10200	77,24 10200	89,87 10200
118,90 12200	136,60 12200	118,90 12200	136,60 12200
		144,00 14200	167,60 14200
		217,70 16200	245,30 16200
		234,60 18200	265,00 18200
		399,80 20200	437,90 20200

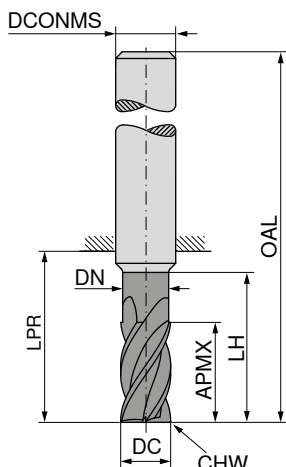
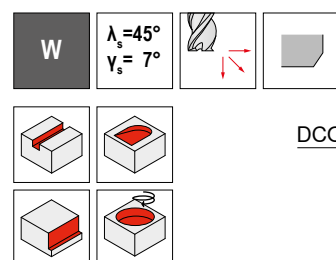


→ V_c/f_z Page 414+415

AluLine – Fraises deux tailles

Les spécialistes pour l'usinage des métaux non ferreux

▲ Avec goujures polies



DC _{h6} mm	APMX mm	DN mm	LH mm	LPR mm	OAL mm	DCONMS _{h6} mm	CHW mm	ZEFP	EUR V1/5B	EUR V1/5B	EUR V1/5B	EUR V1/5B
5	10,5	4,8	15	22	58	6	0,1	4	40,46	51,16	40,46	51,16
6	13,0	5,8	18	22	58	6	0,2	4	05100	06100	05100	06100
8	17,0	7,7	24	28	64	8	0,2	4	41,19	51,28	41,19	51,28
10	21,0	9,7	30	34	74	10	0,2	4	08100	08100	08100	08100
12	25,0	11,6	36	40	85	12	0,2	4	77,24	89,87	77,24	89,87
14	29,0	13,6	42	46	91	14	0,2	4	10100	10100	10100	10100
16	33,0	15,5	48	52	100	16	0,2	4	118,90	136,60	118,90	136,60
18	38,0	17,5	54	58	106	18	0,2	4	12100	12100	12100	12100
20	42,0	19,5	60	64	114	20	0,2	4	137,70	14100	137,70	14100

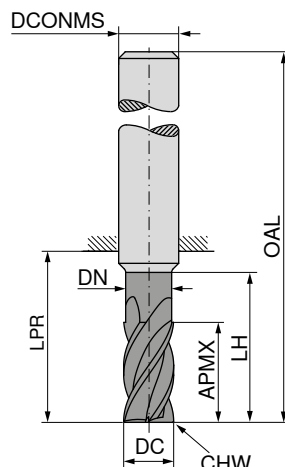
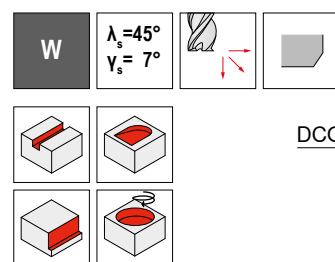
P												
M												
K												
N							●		●		●	
S												
H												
O												

→ V_c/f_z Page 414+415

AluLine – Fraises deux tailles

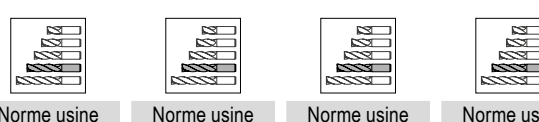
Les spécialistes pour l'usinage des métaux non ferreux

▲ Avec goujures polies



DRAGOSKIN

DRAGOSKIN



Norme usine

Norme usine

Norme usine

Norme usine

	53 700 ...	53 702 ...	53 701 ...	53 703 ...
	EUR V1/5B	EUR V1/5B	EUR V1/5B	EUR V1/5B
2	32,35 02200	41,06 02200	32,35 02200	41,06 02200
3	42,59 03200	51,28 03200	42,59 03200	51,28 03200
4	40,83 04200	49,56 04200	40,83 04200	49,56 04200
5	39,43 05200	49,56 05200	39,43 05200	49,56 05200
6	41,19 06200	51,28 06200	41,19 06200	51,28 06200
8	58,62 08200	69,98 08200	58,62 08200	69,98 08200
10	77,24 10200	89,87 10200	77,24 10200	89,87 10200
12	118,90 12200	136,60 12200	118,90 12200	136,60 12200
14			144,00 14200	167,60 14200
16			217,70 16200	245,30 16200
18			234,60 18200	265,00 18200
20			399,80 20200	437,90 20200

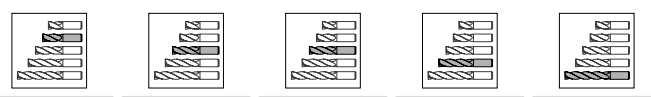
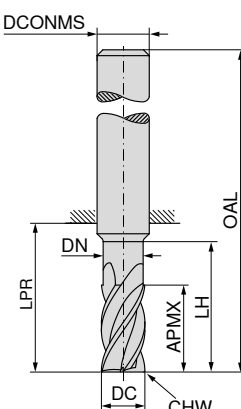
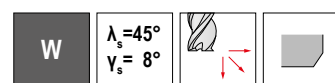
P				
M				
K				
N	●	●	●	●
S				
H				
O				

→ v_c/f_z Page 414+415

AluLine – Fraises deux tailles

Les spécialistes pour l'usinage des métaux non ferreux

▲ Avec goujures polies



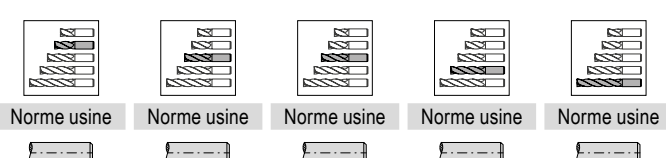
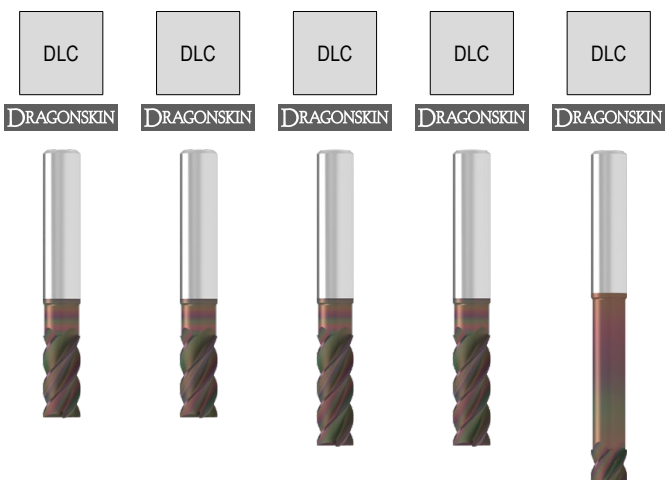
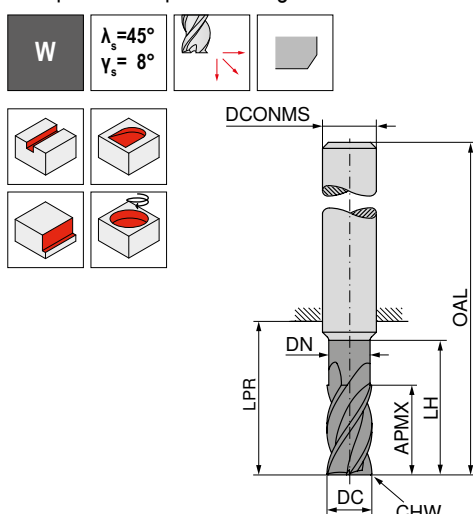
DC h10	APMX	DN	LH	LPR	OAL	DCONMS h6	CHW	ZEFP	EUR V1/5B					
3,0	8	2,7	13	21	57	6	0,1	4						
3,5	11	3,2	17	21	57	6	0,1	4						
4,0	11	3,7	17	21	57	6	0,1	4						
4,5	13	4,2	19	21	57	6	0,1	4						
5,0	13	4,7	19	21	57	6	0,1	4						
5,5	13	5,2	19	21	57	6	0,1	4						
6,0	10	5,7	42	44	80	6	0,2	4						
6,0	13	5,7	19	21	57	6	0,2	4						
6,0	18	5,7	24	26	62	6	0,2	4						
6,5	21	6,1	25	27	63	8	0,2	4						
8,0	13	7,4	62	64	100	8	0,2	4						
8,0	21	7,4	25	27	63	8	0,2	4	63,60	080				
8,0	24	7,4	30	32	68	8	0,2	4			63,60	080		
8,5	22	7,9	30	32	72	10	0,2	4			79,97	085		
10,0	16	9,2	58	60	100	10	0,2	4				83,74	100	
10,0	22	9,2	30	32	72	10	0,2	4				83,74	100	
10,0	30	9,2	38	40	80	10	0,2	4				83,74	100	
12,0	19	11,0	73	75	120	12	0,2	4					128,80	120
12,0	26	11,0	36	38	83	12	0,2	4					128,80	120
12,0	36	11,0	46	48	93	12	0,2	4					149,30	140
14,0	26	13,0	36	38	83	14	0,2	4					236,10	160
16,0	25	15,0	100	102	150	16	0,2	4					236,10	160
16,0	36	15,0	42	44	92	16	0,2	4					253,30	180
16,0	48	15,0	58	60	108	16	0,2	4					433,20	200
18,0	36	17,0	42	44	92	18	0,2	4					433,20	200
20,0	32	19,0	98	100	150	20	0,2	4					566,40	250
20,0	41	19,0	52	54	104	20	0,2	4						
20,0	60	19,0	74	76	126	20	0,2	4						
25,0	52	24,0	62	65	121	25	0,3	4						



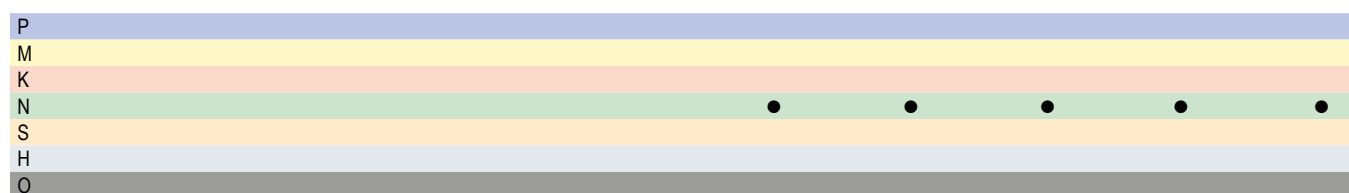
→ V_c/f_z Page 414+415

AluLine – Fraises deux tailles

Les spécialistes pour l'usinage des métaux non ferreux

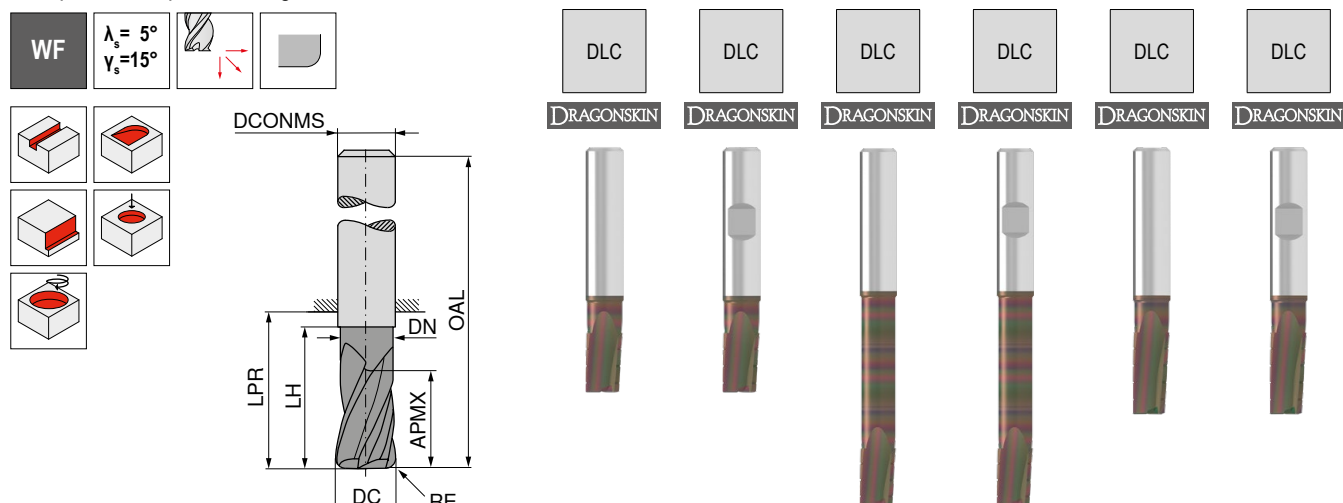


DC _{h10} mm	APMX mm	DN mm	LH mm	LPR mm	OAL mm	DCONMS _{h6} mm	CHW mm	ZEFP	53 565 ... EUR V1/5B	53 566 ... EUR V1/5B	53 567 ... EUR V1/5B	53 568 ... EUR V1/5B	53 569 ... EUR V1/5B
3,0	8	2,7	13	21	57	6	0,1	4				51,57 030	
3,5	11	3,2	17	21	57	6	0,1	4				55,91 035	
4,0	11	3,7	17	21	57	6	0,1	4				55,91 040	
4,5	13	4,2	19	21	57	6	0,1	4				58,54 045	
5,0	13	4,7	19	21	57	6	0,1	4				55,18 050	
5,5	13	5,2	19	21	57	6	0,1	4				54,45 055	
6,0	10	5,7	42	44	80	6	0,2	4				57,34 060	
6,0	13	5,7	19	21	57	6	0,2	4				72,57 065	
6,0	18	5,7	24	26	62	6	0,2	4				76,32 080	
6,5	21	6,1	25	27	63	8	0,2	4				76,32 080	
8,0	13	7,4	62	64	100	8	0,2	4				92,72 085	
8,0	21	7,4	25	27	63	8	0,2	4				96,47 100	
8,0	24	7,2	30	32	68	8	0,2	4				141,50 120	
8,5	22	7,9	30	32	72	10	0,2	4				141,50 120	
10,0	16	9,2	58	60	100	10	0,2	4				162,40 140	
10,0	22	9,2	30	32	72	10	0,2	4				249,20 160	
10,0	30	9,2	38	40	80	10	0,2	4				249,20 160	
12,0	19	11,0	73	75	120	12	0,2	4				444,60 200	
12,0	26	11,0	36	38	83	12	0,2	4				444,60 200	
12,0	36	11,0	46	48	93	12	0,2	4				444,60 200	
14,0	26	13,0	36	38	83	14	0,2	4				444,60 200	
16,0	25	15,0	100	102	150	16	0,2	4				444,60 200	
16,0	36	15,0	42	44	92	16	0,2	4				444,60 200	
16,0	48	15,0	58	60	108	16	0,2	4				444,60 200	
18,0	36	17,0	42	44	92	18	0,2	4				444,60 200	
20,0	32	19,0	98	100	150	20	0,2	4				444,60 200	
20,0	41	19,0	52	54	104	20	0,2	4				444,60 200	
20,0	60	19,0	74	76	126	20	0,2	4				444,60 200	
25,0	52	24,0	62	65	121	25	0,3	4	580,80 250				

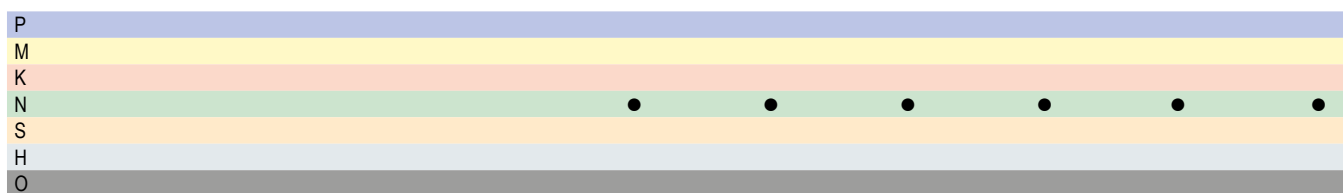
→ v_c/f_z Page 414+415

AluLine – Fraise de semi-ébauche

Les spécialistes pour l'usinage des métaux non ferreux



$DC_{\text{ø}8}$ mm	$RE \pm 0,05$ mm	$APMX$ mm	DN mm	LH mm	LPR mm	OAL mm	$DCONMS$ mm	$ZEFP$	53 582 ...		53 583 ...		53 582 ...		53 583 ...		53 582 ...		53 583 ...	
									EUR V1/5B											
3	0,10	5	2,7	18	44	80	6	3			54,51 03301	54,51 03301								
4	0,10	7	3,7	24	44	80	6	3			56,35 04301	56,35 04301								
5	0,15	8	4,7	16	18	54	6	3	47,63 05101	47,63 05101										
5	0,15	8	4,7	30	44	80	6	3			59,33 05301	59,33 05301								
5	0,15	13	4,7	18	21	57	6	3									47,63 05201	47,63 05201		
6	0,20	10	5,7	17	18	54	6	3	47,63 06102	47,63 06102										
6	0,20	10	5,7	42	44	80	6	3			64,75 06302	64,75 06302								
6	0,20	13	5,7	18	21	57	6	3									47,63 06202	47,63 06202		
8	0,25	13	7,4	20	22	58	8	3	55,39 08103	55,39 08103										
8	0,25	13	7,4	62	64	100	8	3			71,05 08303	71,05 08303								
8	0,25	21	7,4	25	27	63	8	3									58,55 08203	58,55 08203		
10	0,30	16	9,2	24	26	66	10	3	75,99 10103	75,99 10103										
10	0,30	16	9,2	58	60	100	10	3			100,20 10303	100,20 10303								
10	0,30	22	9,2	30	32	72	10	3									80,57 10203	80,57 10203		
12	0,35	19	11,0	26	28	73	12	3	104,70 12104	104,70 12104										
12	0,35	19	11,0	73	75	120	12	3			128,60 12304	128,60 12304								
12	0,35	26	11,0	36	38	83	12	3									108,70 12204	108,70 12204		
16	0,50	25	15,0	32	34	82	16	3			175,50 16105									
16	0,50	25	15,0	100	102	150	16	3									216,00 16305			
16	0,50	36	15,0	42	44	92	16	3										183,80 16205		
20	0,60	32	19,0	40	42	92	20	3			293,80 20106									
20	0,60	32	19,0	100	100	150	20	3									320,70 20306			
20	0,60	41	19,0	52	54	104	20	3										314,40 20206		

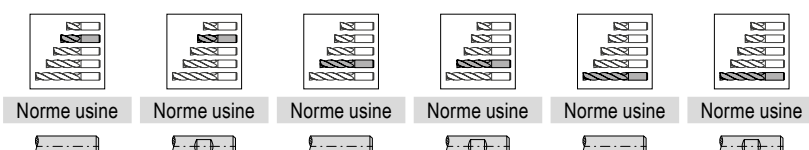
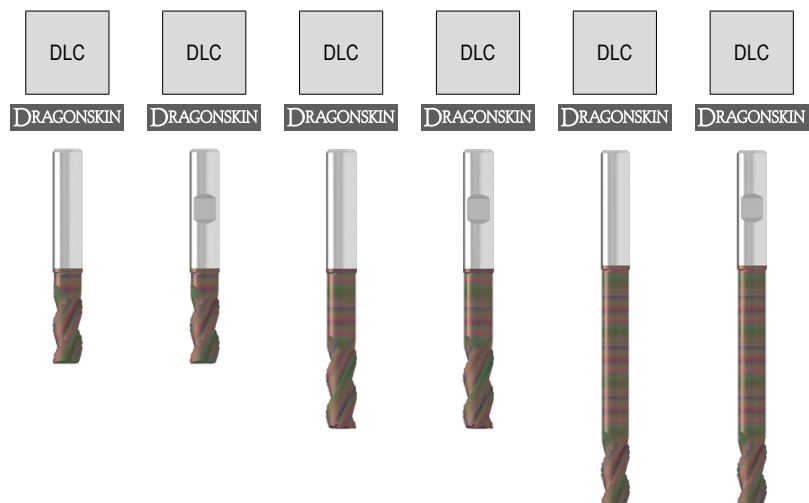
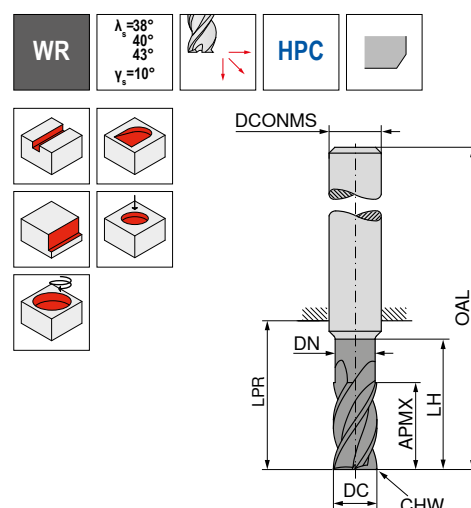


→ V_c/f_z Page 416+417

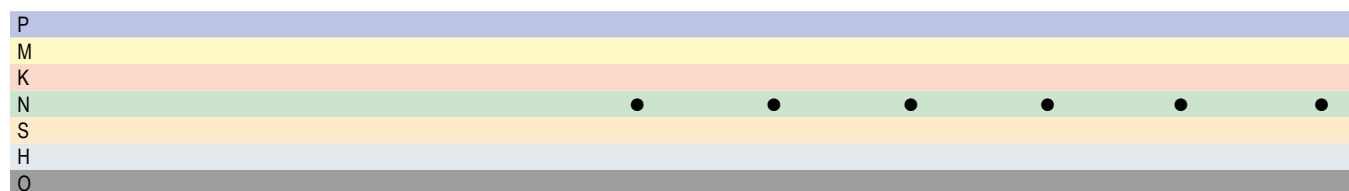
AluLine – Fraise d'ébauche

Les spécialistes pour l'usinage des métaux non ferreux

▲ Avec goujures polies



DC _{d11} mm	APMX mm	DN mm	LH mm	LPR mm	OAL mm	DCONMS _{h6} mm	CHW mm	ZEFP	EUR V1/5B										
									06100	44,45	06100	44,45	06200	47,50	06200	47,50	06400	51,88	06400
6	13	5,8	18	22	58	6	0,4	3											
6	16	5,8	30	34	70	6	0,4	3											
6	13	5,8	48	52	88	6	0,4	3											
8	17	7,7	24	28	64	8	0,4	3	54,51	08100	54,51	08100							
8	21	7,7	40	44	80	8	0,4	3											
8	17	7,7	65	68	104	8	0,4	3											
10	21	9,7	30	34	74	10	0,4	3	69,10	10100	69,10	10100							
10	26	9,7	50	54	94	10	0,4	3											
10	21	9,7	80	84	124	10	0,4	3											
12	25	11,6	36	40	85	12	0,4	3	89,08	12100	89,08	12100							
12	31	11,6	60	64	109	12	0,4	3											
12	25	11,6	96	100	145	12	0,4	3											
16	33	15,5	48	52	100	16	0,4	3											
16	41	15,5	80	84	132	16	0,4	3											
16	33	15,5	128	132	180	16	0,4	3											
20	42	19,5	60	64	114	20	0,4	3											
20	52	19,5	100	104	154	20	0,4	3											
20	42	19,5	160	164	214	20	0,4	3											



→ v_c/f_z Page 414+415

AluLine – Fraise d'ébauche

Les spécialistes pour l'usinage des métaux non ferreux

▲ Avec goujures polies

The diagram illustrates the AluLine end mill with various applications:

- WR:** WR parameters: $\lambda_s = 38^\circ$, 40° , 43° , $\gamma_s = 10^\circ$.
- HPC:** HPC parameters: $\lambda_s = 38^\circ$, 40° , 43° , $\gamma_s = 10^\circ$.
- DLC:** DLC parameters: $\lambda_s = 38^\circ$, 40° , 43° , $\gamma_s = 10^\circ$.
- DRAGONSkin:** DRAGONSkin parameters: $\lambda_s = 38^\circ$, 40° , 43° , $\gamma_s = 10^\circ$.
- Tool Geometry:** Shows dimensions: DCONMS, OAL, LPR, APMX, LH, DC, CHW.
- Applications:** Shows various machining operations like slotting, corner radius, and pocketing.
- Tool Variants:** Shows six different tool variants labeled 53 580 ... to 53 581 ... with their respective Norme usine codes.

DC _{d11} mm	APMX mm	DN mm	LH mm	LPR mm	OAL mm	DCONMS _{h6} mm	CHW mm	ZEFP	EUR V1/5B											
6	13	5,8	18	22	58	6	0,4	3	56,07	06100	56,07	06100	63,57	06200	63,57	06200	72,36	06400	72,36	06400
6	16	5,8	30	34	70	6	0,4	3												
6	13	5,8	48	52	88	6	0,4	3												
8	17	7,7	24	28	64	8	0,4	3	72,19	08100	72,19	08100	82,74	08200	82,74	08200	96,21	08400	96,21	08400
8	21	7,7	40	44	80	8	0,4	3												
8	17	7,7	64	68	104	8	0,4	3												
10	21	9,7	30	34	74	10	0,4	3	98,09	10100	98,09	10100	119,30	10200	119,30	10200	155,70	10400	155,70	10400
10	26	9,7	50	54	94	10	0,4	3												
10	21	9,7	80	84	124	10	0,4	3												
12	25	11,6	36	40	85	12	0,4	3	146,10	12100	146,10	12100	149,60	12200	149,60	12200	193,90	12400	193,90	12400
12	31	11,6	60	64	109	12	0,4	3												
12	25	11,6	96	100	145	12	0,4	3												
16	33	15,5	48	52	100	16	0,4	3												
16	41	15,5	80	84	132	16	0,4	3	225,70	16100			309,70	16200						
16	33	15,5	128	132	180	16	0,4	3												
20	42	19,5	60	64	114	20	0,4	3					459,00	20100						
20	52	19,5	100	104	154	20	0,4	3									466,10	20200		
20	42	19,5	160	164	214	20	0,4	3											824,00	20400

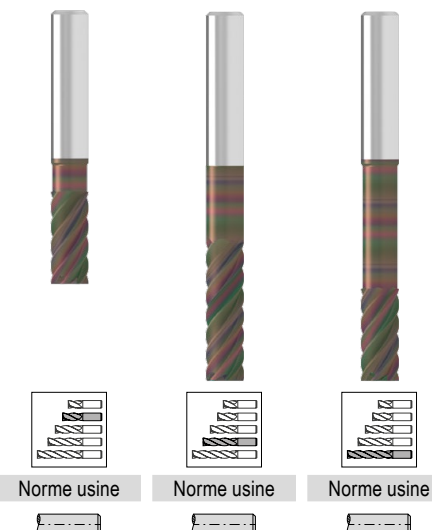
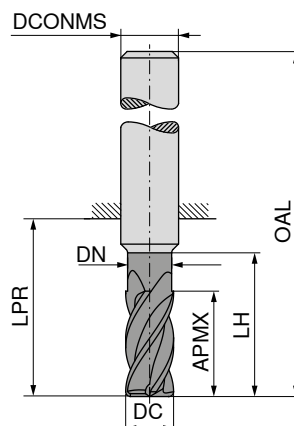
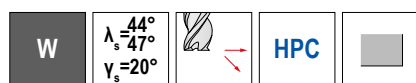
P
M
K
N
S
H
O

→ v_c/f_z Page 414+415

AluLine – Fraises de finition

Les spécialistes pour l'usinage des métaux non ferreux

▲ Outils de grande précision géométrique



DC_{f8} mm	APMX mm	DN mm	LH mm	LPR mm	OAL mm	DCONMS _{h6} mm	ZEFP
6	16	5,7	20	22	58	6	6
6	16	5,7	42	44	80	6	6
8	19	7,4	26	28	64	8	6
8	19	7,4	62	64	100	8	6
10	25	9,2	32	34	74	10	6
10	25	9,2	58	60	100	10	6
12	30	11,0	37	39	84	12	6
12	30	11,0	73	75	120	12	6
12	45			75	120	12	6
16	40	15,0	44	45	93	16	6
16	40	15,0	100	102	150	16	6
16	65			102	150	16	6
20	50	19,0	53	54	104	20	6
20	50	19,0	98	100	150	20	6
20	75			100	150	20	6

53 639

53 639

53 639

EUR

EUR

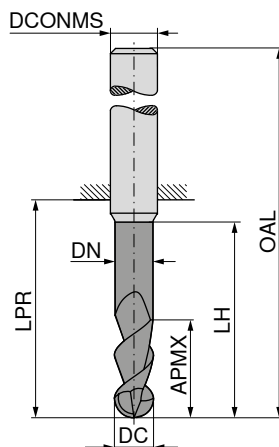
EUR

Category	Value 1	Value 2	Value 3
P	3	2	1
M	3	2	1
K	3	2	1
N	3	2	1
S	2	3	1
H	1	3	2
O	1	2	3

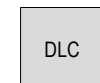
→ v_c/f_z Page 416+417

AluLine – Fraise hémisphérique

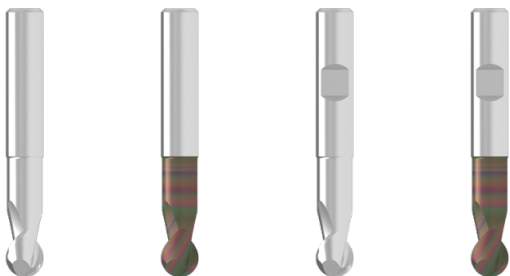
Les spécialistes pour l'usinage des métaux non ferreux



DRAGOSKIN



DRAGOSKIN



Norme usine



Norme usine



Norme usine



Norme usine



53 607 ...

EUR
V1/5B

32,91 03100

40,93 04100

46,80 05100

45,50 06100

55,63 06100

60,50 08100

82,27 10100

113,30 12100

130,90 12100

142,80 14100

166,50 14100

188,00 16100

215,80 16100

265,10 20100

53 608 ...

EUR
V1/5B

41,63 03100

49,63 04100

56,92 05100

45,50 06100

71,86 08100

60,50 08100

94,92 10100

82,27 10100

113,30 12100

130,90 12100

142,80 14100

166,50 14100

188,00 16100

215,80 16100

303,00 20100

53 609 ...

EUR
V1/5B

45,50 06100

60,50 08100

71,86 08100

94,92 10100

82,27 10100

113,30 12100

130,90 12100

142,80 14100

166,50 14100

188,00 16100

215,80 16100

265,10 20100

53 610 ...

EUR
V1/5B

55,63 06100

71,86 08100

94,92 10100

113,30 12100

130,90 12100

142,80 14100

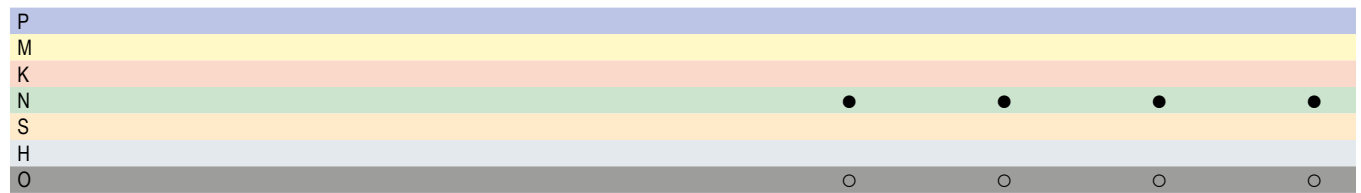
166,50 14100

188,00 16100

215,80 16100

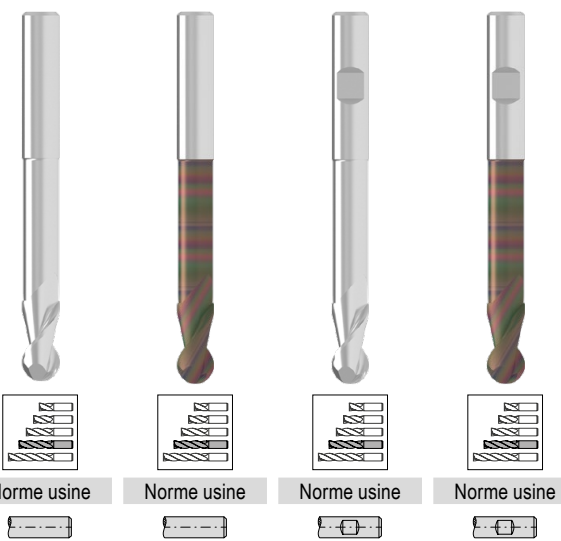
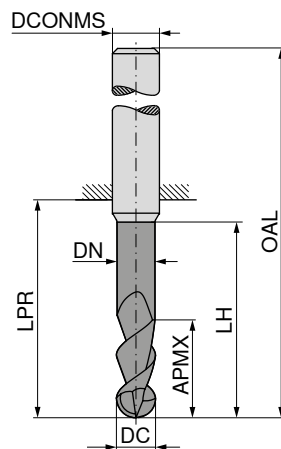
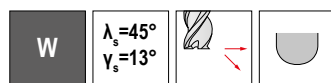
303,00 20100

DC _{IS} mm	APMX mm	DN mm	LH mm	LPR mm	OAL mm	DCONMS _{H6} mm	ZEPP
3	6	2,7	16	22	50	3	2
4	7	3,7	17	26	54	4	2
5	8	4,6	18	26	54	5	2
6	10	5,5	21	26	62	6	2
8	12	7,5	27	31	67	8	2
10	13	9,4	32	34	74	10	2
12	16	11,4	38	48	93	12	2
14	16	13,2	38	55	100	14	2
16	20	15,0	44	52	100	16	2
20	25	19,0	50	54	104	20	2

→ v_c/f_z Page 416+417

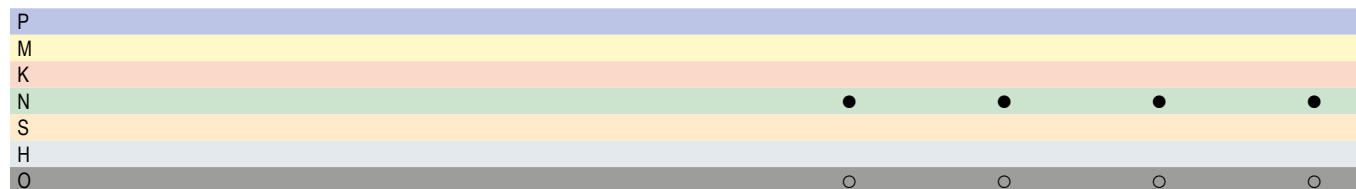
AluLine – Fraise hémisphérique

Les spécialistes pour l'usinage des métaux non ferreux



DC _{f8} mm	APMX mm	DN mm	LH mm	LPR mm	OAL mm	DCONMS _{h6} mm	ZEFP
3	10	2,7	32	47	75	3	2
4	13	3,7	36	47	75	4	2
5	15	4,6	40	47	75	5	2
6	16	5,5	44	64	100	6	2
8	22	7,5	54	64	100	8	2
10	25	9,4	60	61	101	10	2
12	26	11,4	60	63	108	12	2
14	26	13,2	60	65	110	14	2
16	30	15,0	92	102	150	16	2
20	40	19,0	92	100	150	20	2

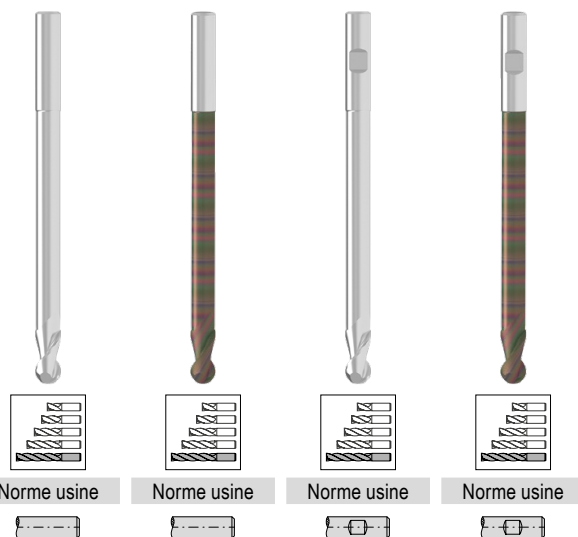
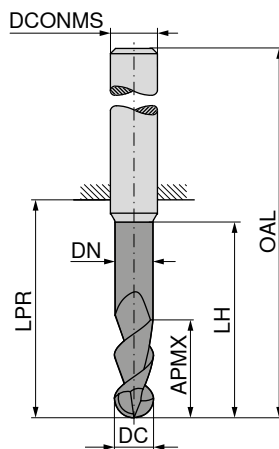
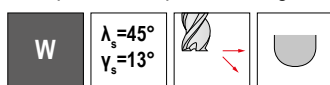
53 607 ...	53 608 ...	53 609 ...	53 610 ...
EUR V1/5B	EUR V1/5B	EUR V1/5B	EUR V1/5B
39,50 03200	49,61 03200		
49,13 04200	59,22 04200		
56,15 05200	67,54 05200		
54,62 06200	65,97 06200	54,62 06200	65,97 06200
72,62 08200	83,99 08200	72,62 08200	83,99 08200
98,71 10200	111,30 10200	98,71 10200	111,30 10200
136,10 12200	153,70 12200	136,10 12200	153,70 12200
171,40 14200	195,00 14200	171,40 14200	195,00 14200
263,10 16200	291,00 16200	263,10 16200	291,00 16200
318,10 20200	356,10 20200	318,10 20200	356,10 20200



→ v_c/f_z , Page 416+417

AluLine – Fraise hémisphérique

Les spécialistes pour l'usinage des métaux non ferreux

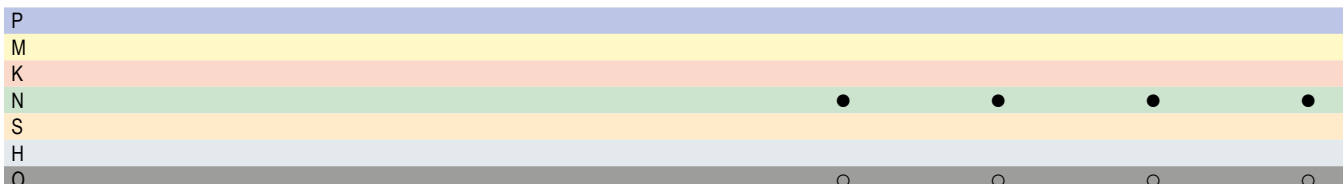


Norme usine Norme usine Norme usine Norme usine



	53 607 ...	53 608 ...	53 609 ...	53 610 ...
	EUR V1/5B	EUR V1/5B	EUR V1/5B	EUR V1/5B
DC _{f8} mm	52,67 03400	61,41 03400		
3	2,7	86	97	125
4	3,7	97	125	125
6	5,5	94	114	150
8	7,5	104	114	150
10	9,4	110	111	151
12	11,4	105	106	151
16	15,0	192	202	250
LH mm	97	114	150	151
LPR mm	125	150	151	151
OAL mm	125	150	151	151
DCONMS mm	3	4	6	10
ZEFP	2	2	2	2

DC _{f8} mm	APMX mm	DN mm	LH mm	LPR mm	OAL mm	DCONMS _{h6} mm	ZEFP
3	10	2,7	82	97	125	3	2
4	13	3,7	86	97	125	4	2
6	16	5,5	94	114	150	6	2
8	22	7,5	104	114	150	8	2
10	25	9,4	110	111	151	10	2
12	26	11,4	105	106	151	12	2
16	30	15,0	192	202	250	16	2

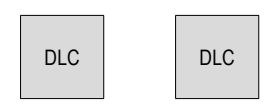
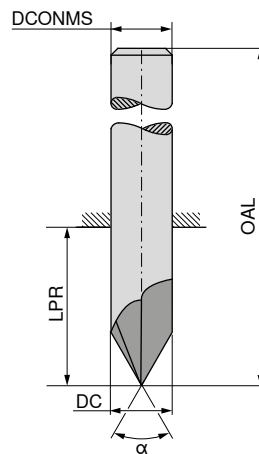
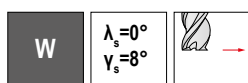


→ V_c/f_z Page 416+417

AluLine – Fraise à ébavurer

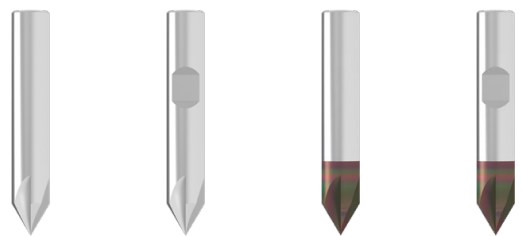
Les spécialistes pour l'usinage des métaux non ferreux

▲ Angle de pointe $\alpha = 60^\circ$



DRAGONSkin

DRAGONSkin



$\alpha = 60^\circ$	$\alpha = 60^\circ$	$\alpha = 60^\circ$	$\alpha = 60^\circ$
Norme usine	Norme usine	Norme usine	Norme usine

53 666 ...	53 667 ...	53 662 ...	53 663 ...
EUR V1	EUR V1	EUR V1	EUR V1
39,99 04000	44,64 06000	52,14 08000	46,84 04000
44,64 06000	44,64 06000	52,14 08000	51,50 06000
52,14 08000	52,14 08000	59,89 08000	59,89 08000
73,65 10000	73,65 10000	82,95 10000	82,95 10000
82,95 12000	82,95 12000	93,56 12000	93,56 12000
138,20 16000	138,20 16000	152,50 16000	152,50 16000

DC mm	OAL mm	LPR mm	DCONMS mm	ZEFP
4	50	22	4	4
6	55	19	6	4
8	58	22	8	4
10	60	20	10	4
12	70	25	12	4
16	80	32	16	4

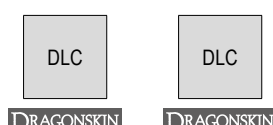
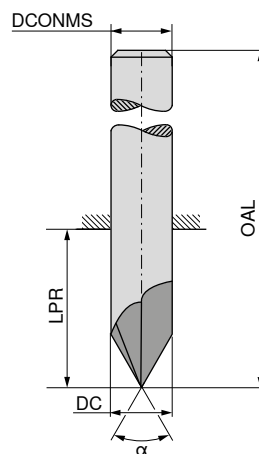
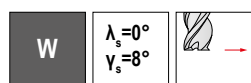
P				
M				
K				
N	●	●	●	●
S				
H				
O	●	●	●	●

→ v_c/f_z Page 419

AluLine – Fraise à ébavurer

Les spécialistes pour l'usinage des métaux non ferreux

▲ Angle de pointe $\alpha = 90^\circ$



DRAGOSKIN

DRAGOSKIN

DC mm	OAL mm	LPR mm	DCONMS mm	ZEFP
4	50	22	4	4
6	55	19	6	4
8	58	22	8	4
10	60	20	10	4
12	70	25	12	4
16	80	32	16	4

| $\alpha = 90^\circ$
Norme usine |
|------------------------------------|------------------------------------|------------------------------------|------------------------------------|
| | | | |
| 53 664 ... | 53 665 ... | 53 660 ... | 53 661 ... |
| EUR
V1 | EUR
V1 | EUR
V1 | EUR
V1 |
| 39,99 04000 | 44,64 06000 | 52,14 08000 | 46,84 04000 |
| 51,50 06000 | 52,14 08000 | 59,89 08000 | 51,50 06000 |
| 59,89 08000 | 73,65 10000 | 82,95 10000 | 82,95 10000 |
| 82,95 12000 | 82,95 12000 | 93,56 12000 | 93,56 12000 |
| 138,20 16000 | 138,20 16000 | 152,50 16000 | 152,50 16000 |

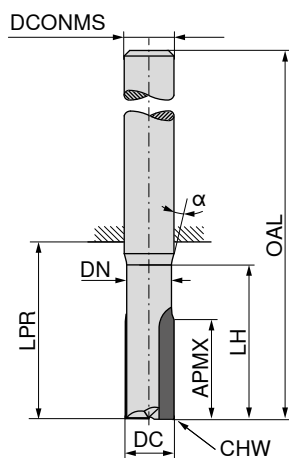
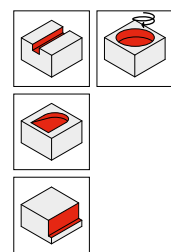
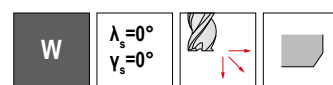
P				
M				
K				
N	●	●	●	●
S				
H				
O	●	●	●	●

→ v_c/f_z Page 419

Fraises deux tailles à inserts PCD

Les outils aux paramètres de coupe et aux durées de vie les plus élevés pour l'usinage des métaux non ferreux et des plastiques

▲ Angle $\alpha = 45^\circ$



50 010 ...		50 010 ...	
EUR	V1/5B	EUR	V1/5B
219,80	03100	226,60	03300
243,70	04100	250,60	04300
264,30	05100	271,10	05300
291,70	06100	298,40	06300
381,20	08100	395,10	08300
453,10	10100	460,00	10300

DC _{h7} mm	APMX mm	DN mm	LH mm	LPR mm	OAL mm	DCONMS _{h6} mm	CHW mm	ZEFP
3	6	2,8	11	21	57	6	0,15	2
3	6	2,8	22	64	100	6	0,15	2
4	8	3,5	13	21	57	6	0,15	2
4	8	3,5	26	64	100	6	0,15	2
5	10	4,4	15	21	57	6	0,15	2
5	10	4,4	30	64	100	6	0,15	2
6	12	5,4	19	21	57	6	0,15	2
6	12	5,4	38	64	100	6	0,15	2
8	16	7,2	26	28	64	8	0,15	2
8	16	7,2	52	64	100	8	0,15	2
10	20	9,0	31	34	74	10	0,15	2
10	20	9,0	60	60	100	10	0,15	2

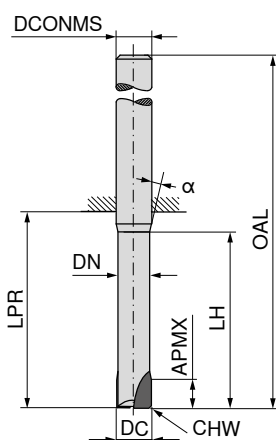
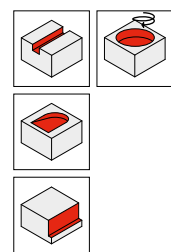
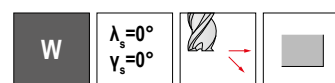
P		
M		
K		
N	●	●
S		
H	●	●
O	●	●

→ v_c/f_z Page 412+413

Fraises deux tailles à inserts PCD

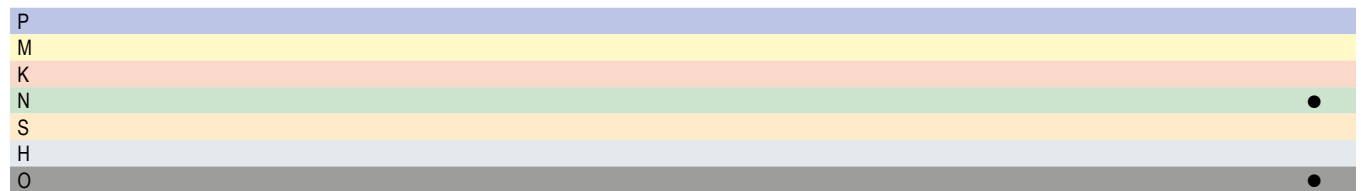
Les outils aux paramètres de coupe et aux durées de vie les plus élevés pour l'usinage des métaux non ferreux et des plastiques

▲ Angle $\alpha = 15^\circ$



50 011 ...

DC _{h7} mm	APMX mm	DN mm	LH mm	LPR mm	OAL mm	DCONMS _{h6} mm	CHW mm	ZEFP	EUR V1/5B	
2	2,0	1,7	6	39	75	6	0,1	1	165,00	02100
2	2,0	1,7	10	39	75	6	0,1	1	165,00	02300
2	2,0	1,7	14	39	75	6	0,1	1	165,00	02200
3	2,5	2,5	9	39	75	6	0,2	2	199,20	03100
3	2,5	2,5	15	39	75	6	0,2	2	199,20	03300
3	2,5	2,5	21	39	75	6	0,2	2	199,20	03200
4	2,5	3,5	12	39	75	6	0,2	2	206,00	04100
4	2,5	3,5	20	39	75	6	0,2	2	206,00	04300
4	2,5	3,5	28	39	75	6	0,2	2	206,00	04200
5	3,0	4,4	15	39	75	6	0,2	2	216,30	05100
5	3,0	4,4	25	39	75	6	0,2	2	216,30	05300
5	3,0	4,4	35	39	75	6	0,2	2	216,30	05200
6	6,0	5,4	18	64	100	6	0,2	2	254,00	06100
6	6,0	5,4	30	64	100	6	0,2	2	254,00	06300
6	6,0	5,4	42	64	100	6	0,2	2	254,00	06200
8	7,0	7,2	24	64	100	8	0,2	2	330,00	08100
8	7,0	7,2	40	64	100	8	0,2	2	330,00	08300
10	8,0	9,0	30	60	100	10	0,2	2	374,40	10100
10	8,0	9,0	50	60	100	10	0,2	2	374,40	10300
12	9,0	11,0	36	60	105	12	0,2	2	418,90	12100
12	9,0	11,0	58	60	105	12	0,2	2	418,90	12300

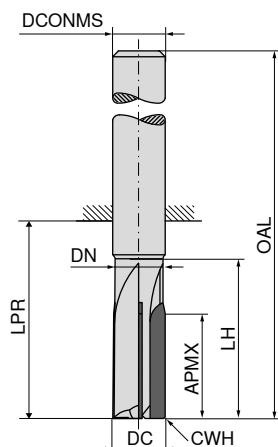
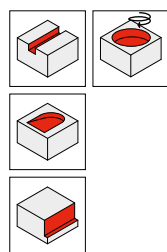
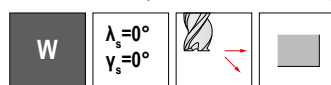


→ V_c/f_z Page 412+413

14

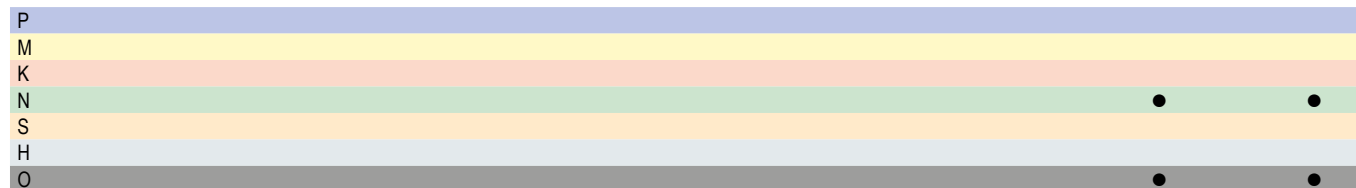
Fraises deux tailles à inserts PCD

Les outils aux paramètres de coupe et aux durées de vie les plus élevés pour l'usinage des métaux non ferreux et des plastiques



50 013 ...		50 013 ...		
	EUR V1/5B		EUR V1/5B	
6	432,00	06100	438,80	06200
6	432,00	06100	438,80	06200
8	572,90	08100	583,20	08200
8	572,90	08100	583,20	08200
10	706,40	10100	716,70	10200
10	706,40	10100	716,70	10200
12	809,10	12100	826,30	12200
12	809,10	12100	826,30	12200
16	1.066,00	16100	1.117,00	16200
16	1.066,00	16100	1.117,00	16200
20	1.305,00	20100	1.388,00	20200
20	1.305,00	20100	1.388,00	20200

DC _{h7} mm	APMX mm	DN mm	LH mm	LPR mm	OAL mm	DCONMS _{h6} mm	CHW mm	ZEFP
6	12	5,4	19	21	57	6	0,05	4
6	12	5,4	38	64	100	6	0,05	4
8	16	7,2	26	28	64	8	0,05	4
8	16	7,2	52	64	100	8	0,05	4
10	20	9,0	31	34	74	10	0,10	4
10	20	9,0	62	60	100	10	0,10	4
12	24	11,0	37	39	84	12	0,10	4
12	24	11,0	73	70	115	12	0,10	4
16	32	15,0	44	45	93	16	0,20	4
16	32	15,0	88	90	130	16	0,20	4
20	38	19,0	53	54	104	20	0,20	4
20	38	19,0	105	110	160	20	0,20	4

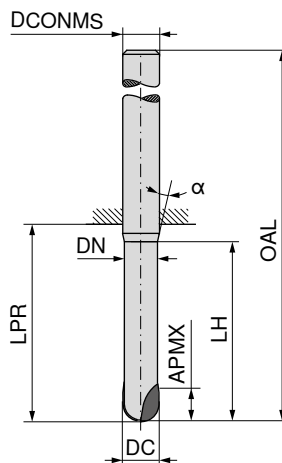
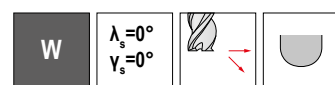


→ V_c/f_z Page 412+413

Fraises hémisphériques à inserts PCD

Les outils aux paramètres de coupe et aux durées de vie les plus élevés pour l'usinage des métaux non ferreux et des plastiques

▲ Angle $\alpha = 15^\circ$



50 014 ...

DC _{h7} mm	APMX mm	DN mm	LH mm	LPR mm	OAL mm	DCONMS _{h6} mm	ZEFFP	EUR V1/5B
2	2,0	1,7	6	39	75	6	1	168,30 02100
2	2,0	1,7	10	39	75	6	1	168,30 02200
2	2,0	1,7	14	39	75	6	1	168,30 02300
2	2,0	1,7	35	39	75	6	1	168,30 02400
3	2,5	2,5	9	39	75	6	2	199,20 03100
3	2,5	2,5	15	39	75	6	2	199,20 03200
3	2,5	2,5	21	39	75	6	2	199,20 03300
3	2,5	2,5	35	39	75	6	2	199,20 03400
4	2,5	3,5	12	39	75	6	2	206,00 04100
4	2,5	3,5	20	39	75	6	2	206,00 04200
4	2,5	3,5	28	39	75	6	2	206,00 04300
4	2,5	3,5	35	39	75	6	2	206,00 04400
5	3,0	4,4	15	39	75	6	2	216,30 05100
5	3,0	4,4	25	39	75	6	2	216,30 05200
5	3,0	4,4	35	39	75	6	2	216,30 05400
6	6,0	5,4	18	64	100	6	2	260,80 06100
6	6,0	5,4	30	64	100	6	2	260,80 06200
6	6,0	5,4	40	64	100	8	2	260,80 06300
6	6,0	5,4	42	64	100	6	2	260,80 06400
8	7,0	7,2	24	64	100	8	2	333,30 08100
8	7,0	7,2	40	64	100	8	2	333,30 08300
8	7,0	7,2	40	60	100	10	2	333,30 08900
10	8,0	9,0	30	60	100	10	2	360,70 10100
10	8,0	9,0	40	55	100	12	2	360,70 10200
10	8,0	9,0	50	60	100	10	2	360,70 10300
12	9,0	11,0	36	60	105	12	2	418,90 12100
12	9,0	11,0	40	55	100	16	2	418,90 12200
12	9,0	11,0	58	60	105	12	2	418,90 12400
16	11,0	15,0	45	82	130	16	2	562,70 16200
16	11,0	15,0	50	82	130	16	2	562,70 16300
20	13,0	19,0	60	110	160	20	2	709,90 20400

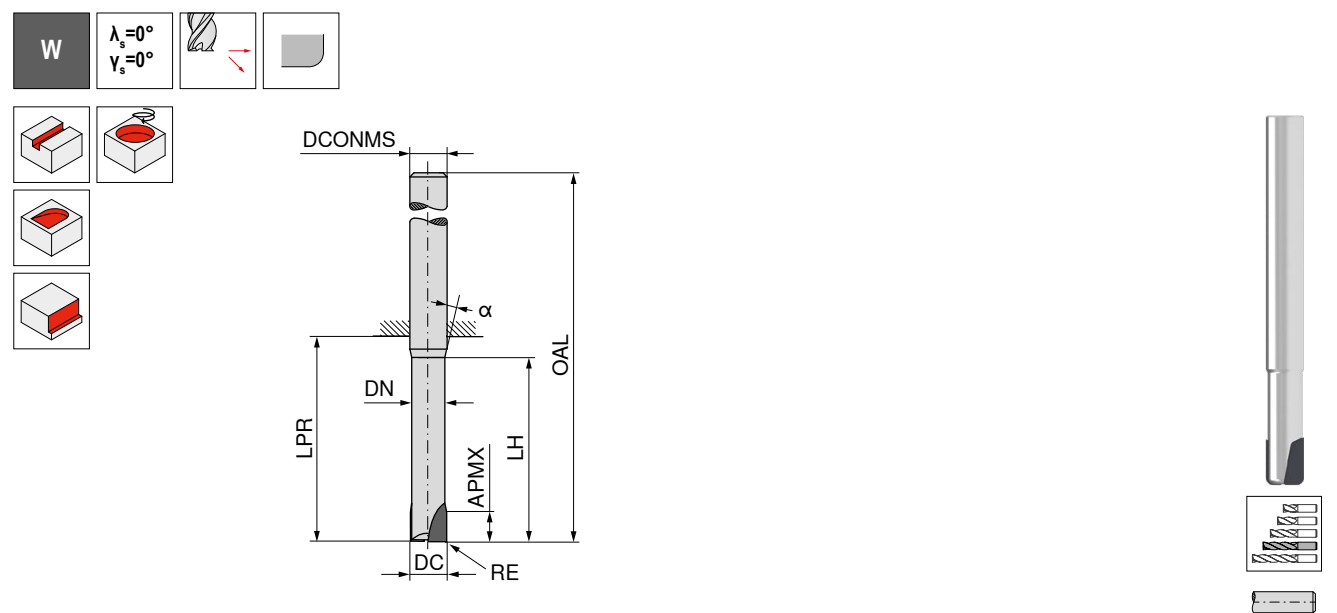
P	
M	
K	
N	●
S	
H	
O	●

→ v_c/f_z Page 412+413

Fraises toriques à inserts PCD

Les outils aux paramètres de coupe et aux durées de vie les plus élevés pour l'usinage des métaux non ferreux et des plastiques

▲ Angle $\alpha = 15^\circ$



50 012 ...

DC h7 mm	RE mm	APMX mm	DN mm	LH mm	LPR mm	OAL mm	DCONMS h6 mm	ZEFP	EUR V1/5B
2	0,3	2,0	1,7	6	39	75	6	1	171,70 02103
2	0,3	2,0	1,7	10	39	75	6	1	171,70 02203
2	0,3	2,0	1,7	14	39	75	6	1	171,70 02303
2	0,3	2,0	1,7	35	39	75	6	1	171,70 02403
3	0,3	2,5	2,5	9	39	75	6	2	207,20 03103
3	0,3	2,5	2,5	15	39	75	6	2	207,20 03203
3	0,3	2,5	2,5	21	39	75	6	2	207,20 03303
3	0,3	2,5	2,5	35	39	75	6	2	207,20 03403
4	0,3	2,5	3,5	12	39	75	6	2	214,30 04103
4	0,3	2,5	3,5	20	39	75	6	2	214,30 04203
4	0,3	2,5	3,5	28	39	75	6	2	214,30 04303
4	0,3	2,5	3,5	35	39	75	6	2	214,30 04403
5	0,3	3,0	4,4	15	39	75	6	2	225,00 05103
5	0,3	3,0	4,4	25	39	75	6	2	225,00 05203
5	0,3	3,0	4,4	35	39	75	6	2	225,00 05303
6	0,3	6,0	5,4	18	64	100	6	2	264,20 06103
6	0,3	6,0	5,4	30	64	100	6	2	264,20 06203
6	0,3	6,0	5,4	42	64	100	6	2	264,20 06403
6	0,5	6,0	5,4	18	64	100	6	2	264,20 06105
6	0,5	6,0	5,4	30	64	100	6	2	264,20 06205
6	0,5	6,0	5,4	42	64	100	6	2	264,20 06405
6	1,0	6,0	5,4	18	64	100	6	2	264,20 06110
6	1,0	6,0	5,4	40	64	100	8	2	264,20 06310
6	1,0	6,0	5,4	42	64	100	6	2	264,20 06410
8	0,3	7,0	7,2	24	64	100	8	2	343,10 08103
8	0,3	7,0	7,2	40	64	100	8	2	343,10 08203
8	0,5	7,0	7,2	24	64	100	8	2	343,10 08105
8	0,5	7,0	7,2	40	64	100	8	2	343,10 08205
8	1,0	7,0	7,2	24	64	100	8	2	343,10 08110
8	1,0	7,0	7,2	40	64	100	8	2	343,10 08210
8	2,0	7,0	7,2	24	64	100	8	2	343,10 08120
8	2,0	7,0	7,2	40	60	100	10	2	343,10 08920
8	2,0	7,0	7,2	40	64	100	8	2	343,10 08220
10	0,5	8,0	9,0	30	60	100	10	2	389,50 10105
10	0,5	8,0	9,0	50	60	100	10	2	389,50 10305
10	1,0	8,0	9,0	30	60	100	10	2	389,50 10110
10	1,0	8,0	9,0	50	60	100	10	2	389,50 10310
10	1,5	8,0	9,0	30	60	100	10	2	389,50 10115

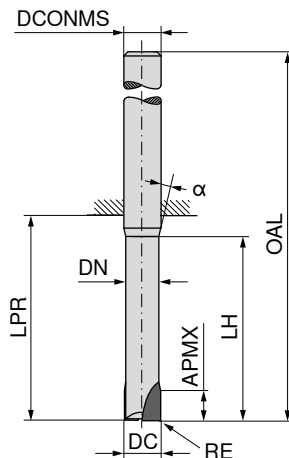
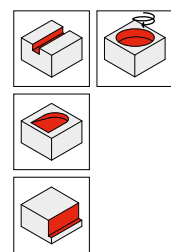
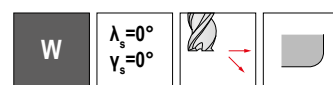
P									
M									
K									
N									
S									
H									
O									

→ v_c/f_z Page 412+413

Fraises toriques à inserts PCD

Les outils aux paramètres de coupe et aux durées de vie les plus élevés pour l'usinage des métaux non ferreux et des plastiques

▲ Angle $\alpha = 15^\circ$



50 012 ...

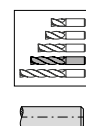
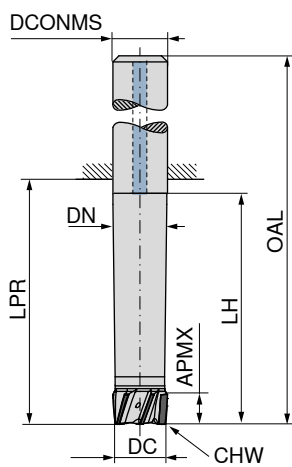
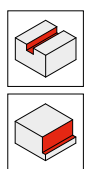
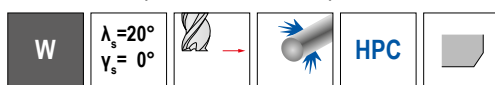
DC _{h7} mm	RE mm	APMX mm	DN mm	LH mm	LPR mm	OAL mm	DCONMS _{h6} mm	ZEFP	EUR V1/5B
10	1,5	8,0	9,0	50	60	100	10	2	389,50 10315
10	2,0	8,0	9,0	30	60	100	10	2	389,50 10120
10	2,0	8,0	9,0	50	60	100	10	2	389,50 10320
10	3,0	8,0	9,0	30	60	100	10	2	389,50 10130
10	3,0	8,0	9,0	40	55	100	12	2	389,50 10230
10	3,0	8,0	9,0	50	60	100	10	2	389,50 10330
12	0,5	9,0	11,0	36	60	105	12	2	435,70 12105
12	0,5	9,0	11,0	58	60	105	12	2	435,70 12305
12	1,0	9,0	11,0	36	60	105	12	2	435,70 12110
12	1,0	9,0	11,0	58	60	105	12	2	435,70 12310
12	1,5	9,0	11,0	36	60	105	12	2	435,70 12115
12	1,5	9,0	11,0	58	60	105	12	2	435,70 12315
12	4,0	9,0	11,0	40	52	100	16	2	435,70 12240
16	3,0	11,0	15,0	45	82	130	16	2	585,20 16130
16	5,0	11,0	15,0	50	82	130	16	2	585,20 16250
20	6,0	13,0	19,0	60	140	160	20	2	599,50 20260

P	
M	
K	
N	
S	
H	
O	●

→ V_c/f_z Page 412+413

Fraises deux tailles à inserts PCD

Les outils aux paramètres de coupe et aux durées de vie les plus élevés pour l'usinage des métaux non ferreux et des plastiques



50 015 ...

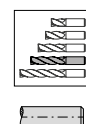
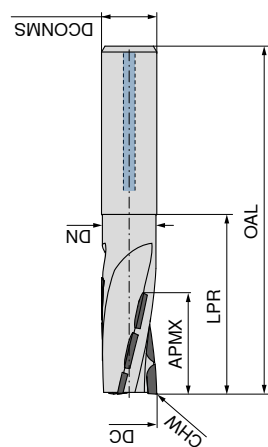
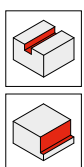
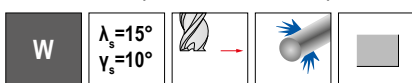
DC mm	APMX mm	DN mm	LH mm	LPR mm	OAL mm	DCONMS mm	CHW mm	ZEFP	Réf. KOMET	EUR V8	
10	5	9,6	25,0	27	67	10	0,2	4	38320001001000	744,70	10200
12	5	11,6	30,0	33	78	12	0,2	4	38320001001200	744,70	12200
16	11	15,6	40,0	43	91	16	0,2	5	38320001001600	837,00	16200
20	11	19,6	50,0	54	104	20	0,2	6	38320001002000	933,40	20200
25	11	24,6	62,5	68	124	25	0,2	8	38320001002500	1.220,00	25200
32	11	31,6	80,0	87	147	32	0,2	10	38320001003200	1.559,00	32200

P		
M		
K		
N		●
S		
H		
O		●

→ v_c/f_z Page 412+413

Fraises deux tailles à inserts PCD

Les outils aux paramètres de coupe et aux durées de vie les plus élevés pour l'usinage des métaux non ferreux et des plastiques



50 020 ...

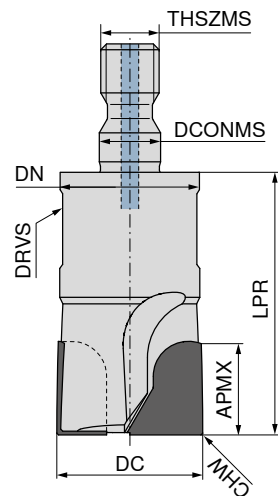
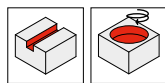
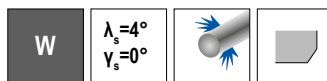
DC _{h7} mm	APMX mm	DN mm	LPR mm	OAL mm	DCONMS _{h6} mm	ZEFFP	Réf. KOMET	EUR V8	
16	30	15,5	45	93	16	3	38170099001600	858,00	01600
20	30	19,5	50	100	20	3	38170099002000	873,50	02000
25	30	24,5	54	110	25	3	38170099002500	886,50	02500

P									
M									
K									
N									●
S									
H									
O									●

→ v_c/f_z Page 412+413

Fraises deux tailles à inserts PCD, et à queue filetée

Les outils aux paramètres de coupe et aux durées de vie les plus élevés pour l'usinage des métaux non ferreux et des plastiques



50 016 ...

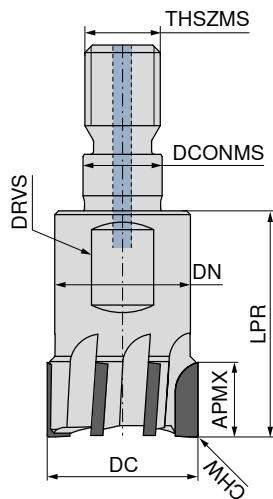
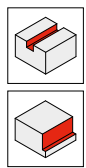
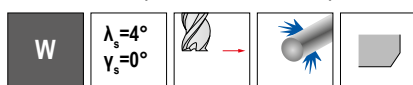
DC mm	APMX mm	DN mm	LPR mm	DCONMS mm	CHW mm	DRVS mm	ZEFP	THSZMS	Réf. KOMET	EUR V8
10	10	9,6	28	5,5	0,2	8	2	M5	37340099001000	453,00 01000
12	12	9,6	28	5,5	0,2	8	2	M5	37340099001200	495,90 01200
16	16	13,8	32	8,5	0,2	13	3	M8	37340099001600	595,00 01600
20	20	18,0	45	10,5	0,2	16	3	M10	37340099002000	725,20 02000
25	20	21,0	45	12,6	0,2	18	3	M12	37340099002500	916,50 02500

P	
M	
K	
N	●
S	
H	
O	●

→ V_c/f_z Page 412-413

Fraises deux tailles à inserts PCD, et à queue filetée

Les outils aux paramètres de coupe et aux durées de vie les plus élevés pour l'usinage des métaux non ferreux et des plastiques



50 018 ...

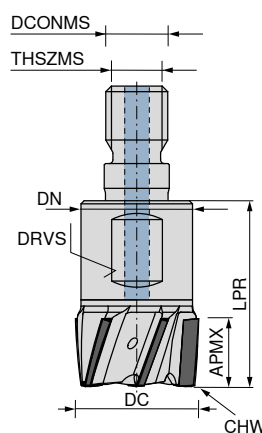
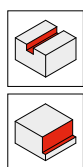
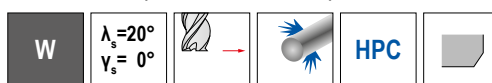
DC mm	APMX mm	DN mm	LPR mm	DCONMS mm	CHW mm	DRVS mm	ZEFP	THSZMS	Réf. KOMET	EUR V8
10	5	9,6	22	5,5	0,2	8	2	M5	37341099001000	365,70 01000
12	5	9,6	28	5,5	0,2	8	2	M5	37341099001200	365,70 01200
16	10	13,8	28	8,5	0,2	13	3	M8	37341099001600	493,40 01600
20	10	18,0	30	10,5	0,2	16	4	M10	37341099002000	614,50 02000
25	10	21,0	35	12,5	0,2	18	5	M12	37341099002500	695,20 02500
32	10	29,0	35	17,0	0,2	27	6	M16	37341099003200	769,30 03200

P	
M	
K	
N	●
S	
H	
O	●

→ v_c/f_z Page 412+413

Fraises deux tailles à inserts PCD, et à queue filetée

Les outils aux paramètres de coupe et aux durées de vie les plus élevés pour l'usinage des métaux non ferreux et des plastiques



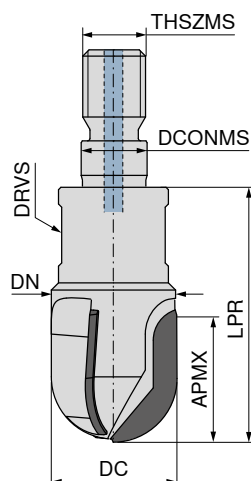
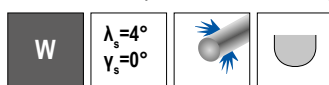
											50 015 ...	
DC mm	APMX mm	DN mm	LPR mm	DCONMS mm	CHW mm	DRVS mm	ZEFP	THSZMS	Réf. KOMET	EUR V8		
10	5	9,6	22	5,5	0,2	8	4	M5	37310001001000	731,60	10100	
12	5	11,5	22	6,5	0,2	10	4	M6	37310099001200	741,60	12100	
16	11	13,8	28	8,5	0,2	13	5	M8	37310001001600	822,80	16100	
20	11	18,0	30	10,5	0,2	16	6	M10	37310001002000	920,40	20100	
25	11	21,0	35	12,5	0,2	18	8	M12	37310001002500	1.112,00	25100	
32	11	29,0	35	17,0	0,2	27	10	M16	37310001003200	1.308,00	32100	

P	
M	
K	
N	●
S	
H	
O	●

→ v_c/f_z Page 412+413

Fraises hémisphériques à inserts PCD, et à queue filetée

Les outils aux paramètres de coupe et aux durées de vie les plus élevés pour l'usinage des métaux non ferreux et des plastiques



50 017 ...

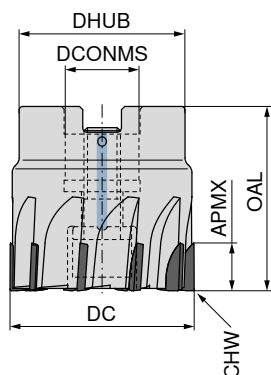
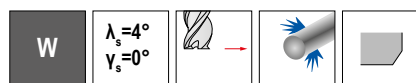
DC mm	APMX mm	DN mm	LPR mm	DCONMS mm	DRVS mm	ZEFF	THSZMS	Réf. KOMET	EUR V8	
10	10	9,6	28	5,5	8	2	M5	37340098001000	453,00	01000
12	12	9,6	28	5,5	8	2	M5	37340098001200	495,90	01200
16	16	13,8	32	8,5	13	3	M8	37340098001600	595,00	01600

P										
M										
K										
N										●
S										
H										
O										●

→ v_c/f_z Page 412+413

Fraises à surfacer-dresser à inserts PCD

Les outils aux paramètres de coupe et aux durées de vie les plus élevés pour l'usinage des métaux non ferreux et des plastiques



50 019 ...

DC mm	OAL mm	DHUB mm	APMX mm	DCONMS H6 mm	CHW mm	ZNF	Réf. KOMET	EUR V8	
40	40	36	10	16	0,2	10	37155099004000	1.841,00	04000
50	40	41	10	22	0,2	12	37155099005000	2.194,00	05000
63	40	48	10	22	0,2	14	37155099006300	2.543,00	06300
80	50	60	10	27	0,2	16	37155099008000	2.804,00	08000
100	50	78	10	32	0,2	18	37155099010000	3.148,00	10000
125	63	100	10	40	0,2	22	37155099012500	3.678,00	12500

P		
M		
K		
N		●
S		
H		
O		●

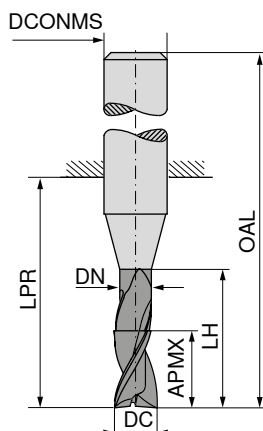
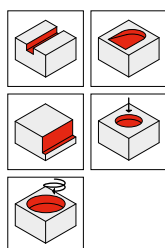
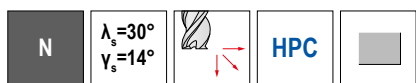
→ v_c/f_z Page 412



Vous trouverez les pièces de rechange sur notre e-shop : cuttingtools.ceratizit.com.

SilverLine – Fraises deux tailles

Les fraises polyvalentes pour une utilisation universelle



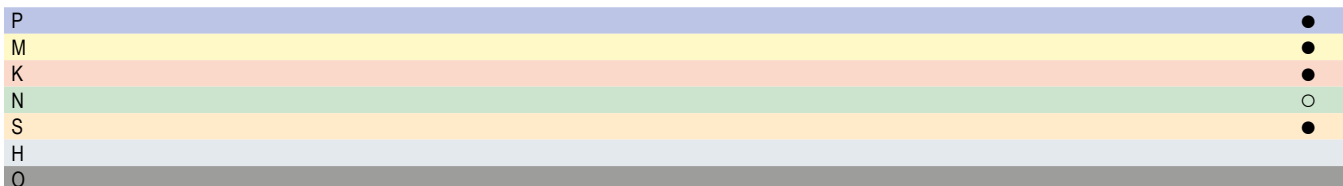
DRAGONSKIN



≈DIN 6527

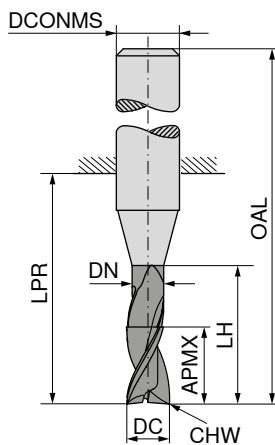
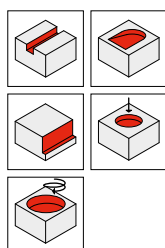
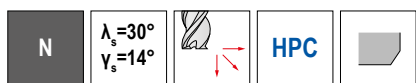
**50 558 ...**

DC _{e8} mm	APMX mm	DN mm	LH mm	LPR mm	OAL mm	DCONMS _{h6} mm	ZEFF	EUR V0/5A
3,0	8	2,8	15	21	57	6	2	50,06 03200
3,5	11	3,3	15	21	57	6	2	50,06 03700
4,0	11	3,8	15	21	57	6	2	50,06 04200
4,5	13	4,3	21	21	57	6	2	50,06 04700
5,0	13	4,8	21	21	57	6	2	50,06 05200
5,5	13	5,3	21	21	57	6	2	50,06 05700
6,0	13	5,8	21	21	57	6	2	50,06 06200
7,0	16	6,8	27	27	63	8	2	58,31 07200
8,0	19	7,8	27	27	63	8	2	58,31 08200
9,0	19	8,8	32	32	72	10	2	81,14 09200
10,0	22	9,8	32	32	72	10	2	81,14 10200
11,0	26	10,8	38	38	83	12	2	117,60 11200
12,0	26	11,8	38	38	83	12	2	117,60 12200
14,0	26	13,8	38	38	83	14	2	146,60 14200
15,0	32	14,7	44	44	92	16	2	190,00 15200
16,0	32	15,7	44	44	92	16	2	190,00 16200
17,0	32	16,7	44	44	92	18	2	230,80 17200
18,0	32	17,7	44	44	92	18	2	230,80 18200
19,0	38	18,7	54	54	104	20	2	285,60 19200
20,0	38	19,7	54	54	104	20	2	285,60 20200

→ v_c/f_z Page 384+385

SilverLine – Fraises deux tailles

Les fraises polyvalentes pour une utilisation universelle



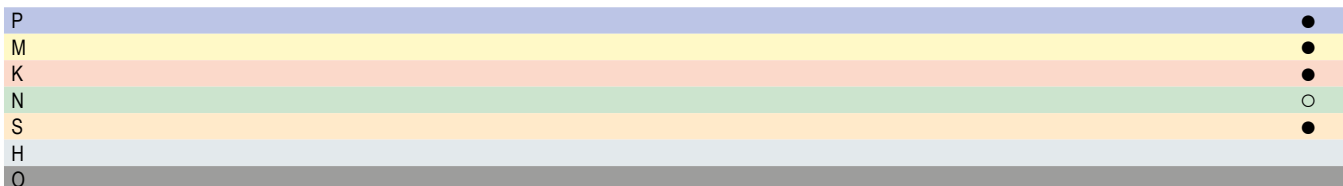
DRAGONSKIN



≈DIN 6527

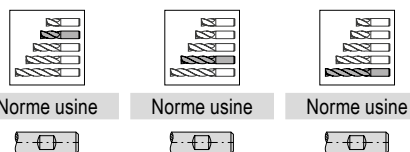
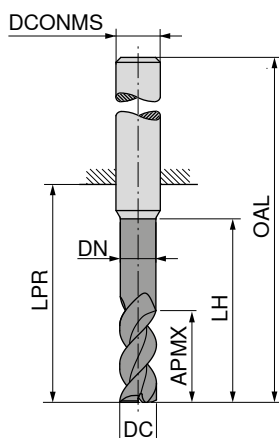
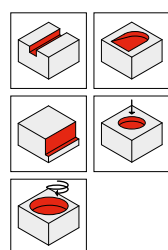
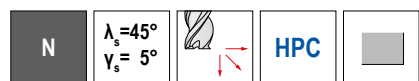
**50 958 ...**EUR
V0/5A

DC _{e8} mm	APMX mm	DN mm	LH mm	LPR mm	OAL mm	DCONMS _{h6} mm	CHW mm	ZEFF	EUR V0/5A
3,0	8	2,8	15	21	57	6	0,1	2	50,06 03200
3,5	11	3,3	15	21	57	6	0,1	2	50,06 03700
4,0	11	3,8	15	21	57	6	0,1	2	50,06 04200
4,5	13	4,3	21	21	57	6	0,1	2	50,06 04700
5,0	13	4,8	21	21	57	6	0,1	2	50,06 05200
5,5	13	5,3	21	21	57	6	0,1	2	50,06 05700
6,0	13	5,8	21	21	57	6	0,1	2	50,06 06200
7,0	16	6,8	27	27	63	8	0,1	2	58,31 07200
8,0	19	7,8	27	27	63	8	0,1	2	58,31 08200
9,0	19	8,8	32	32	72	10	0,1	2	81,14 09200
10,0	22	9,8	32	32	72	10	0,1	2	81,14 10200
11,0	26	10,8	38	38	83	12	0,1	2	117,60 11200
12,0	26	11,8	38	38	83	12	0,1	2	117,60 12200
14,0	26	13,8	38	38	83	14	0,1	2	146,60 14200
15,0	32	14,7	44	44	92	16	0,1	2	190,00 15200
16,0	32	15,7	44	44	92	16	0,1	2	190,00 16200
17,0	32	16,7	44	44	92	18	0,1	2	230,80 17200
18,0	32	17,7	44	44	92	18	0,1	2	230,80 18200
19,0	38	18,7	54	54	104	20	0,1	2	285,60 19200
20,0	38	19,7	54	54	104	20	0,1	2	285,60 20200

→ v_c/f_z Page 384+385

SilverLine – Fraises deux tailles

Les fraises polyvalentes pour une utilisation universelle



DC _{fs} mm	APMX mm	DN mm	LH mm	LPR mm	OAL mm	DCONMS _{h6} mm	ZEFP	EUR V0/5A	EUR V0/5A	EUR V0/5A
3,0	8	2,9	15	21	57	6	3			
3,5	11	3,4	16	21	57	6	3			
4,0	8	3,9	15	18	54	6	3			
4,0	11	3,9	16	21	57	6	3	58,52	04100	
4,0	16			26	62	6	3			58,52
4,5	13	4,4	19	21	57	6	3			04200
5,0	9	4,9	16	18	54	6	3	58,52	05100	
5,0	13	4,9	19	21	57	6	3			04700
5,0	17			26	62	6	3			61,70
5,5	13	5,4	19	21	57	6	3			04400
6,0	10	5,9	17	18	54	6	3	60,86	06100	
6,0	13	5,9	19	21	57	6	3			05200
6,0	18			26	62	6	3			61,70
6,5	19	6,3	25	27	63	8	3			05400
7,0	19	6,8	25	27	63	8	3			61,70
7,5	19	7,3	25	27	63	8	3			06400
8,0	12		20	22	58	8	3	69,14	08100	
8,0	19	7,8	25	27	63	8	3			74,04
8,0	24			32	68	8	3			06700
8,5	22	8,2	30	32	72	10	3			74,04
9,0	22	8,7	30	32	72	10	3			07200
9,5	22	9,2	30	32	72	10	3			74,04
10,0	14	9,7	24	26	66	10	3	109,30	10100	
10,0	22	9,7	30	32	72	10	3			121,10
10,0	30			40	80	10	3			10200
12,0	16	11,7	26	28	73	12	3	153,20	12100	
12,0	26	11,7	36	38	83	12	3			164,00
12,0	36			48	93	12	3			12200
14,0	18	13,7	28	30	75	14	3	189,30	14100	
14,0	26	13,7	36	38	83	14	3			216,30
14,0	42			54	99	14	3			14200
16,0	22	15,5	32	34	82	16	3	229,10	16100	
16,0	32	15,5	42	44	92	16	3			367,10
16,0	48			60	108	16	3			16200
18,0	24	17,5	34	36	84	18	3	316,10	18100	
18,0	32	17,5	42	44	92	18	3			378,40
18,0	54			66	114	18	3			18200
20,0	26	19,5	40	42	92	20	3	387,30	20100	
20,0	38	19,5	52	54	104	20	3			441,50
20,0	60			76	126	20	3			20200

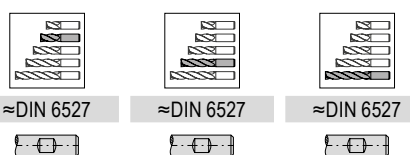
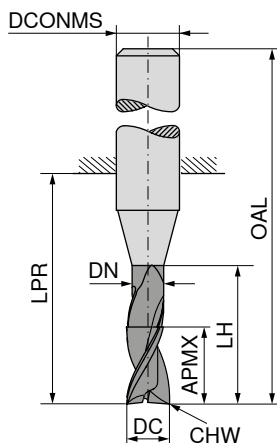
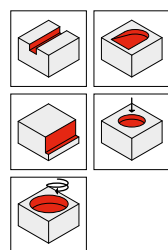
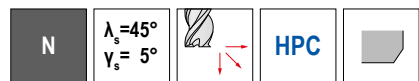
DC _{fs} mm	APMX mm	DN mm	LH mm	LPR mm	OAL mm	DCONMS _{h6} mm	ZEFP	EUR V0/5A	EUR V0/5A	EUR V0/5A
3,0	8	2,9	15	21	57	6	3			
3,5	11	3,4	16	21	57	6	3	58,52	04100	
4,0	8	3,9	15	18	54	6	3			04200
4,0	11	3,9	16	21	57	6	3	58,52	05100	
4,0	16			26	62	6	3			04700
4,5	13	4,4	19	21	57	6	3			05200
5,0	9	4,9	16	18	54	6	3	58,52	05700	
5,0	13	4,9	19	21	57	6	3	61,56	06200	
5,0	17			26	62	6	3			68,42
5,5	13	5,4	19	21	57	6	3	71,89	08200	
6,0	10	5,9	17	18	54	6	3	74,04	08700	
6,0	13	5,9	19	21	57	6	3	74,04	09200	
6,0	18			26	62	6	3	74,04	09700	
6,5	19	6,3	25	27	63	8	3	109,30	10100	
7,0	19	6,8	25	27	63	8	3	121,10	10200	
7,5	19	7,3	25	27	63	8	3	136,80	10400	
8,0	12		20	22	58	8	3	153,20	12100	
8,0	19	7,8	25	27	63	8	3	164,00	12200	
8,0	24			32	68	8	3	189,30	14100	
8,5	22	8,2	30	32	72	10	3	216,30	14200	
9,0	22	8,7	30	32	72	10	3	229,10	16100	
9,5	22	9,2	30	32	72	10	3	367,10	16200	
10,0	14	9,7	24	26	66	10	3	371,10	16400	
10,0	22	9,7	30	32	72	10	3	378,40	18200	
10,0	30			40	80	10	3	441,50	20200	
12,0	16	11,7	26	28	73	12	3	478,50	18400	
12,0	26	11,7	36	38	83	12	3	552,50	20400	

P	●	●	●
M	●	●	●
K	●	●	●
N	○	○	○
S	●	●	●
H			
O			

→ v_c/f_z Page 386+387

SilverLine – Fraises deux tailles

Les fraises polyvalentes pour une utilisation universelle



50 966 ... **50 966 ...** **50 966 ...**

EUR V0/5A **EUR V0/5A** **EUR V0/5A**

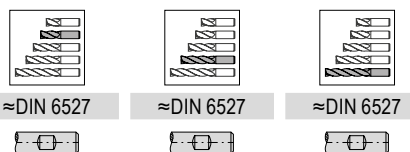
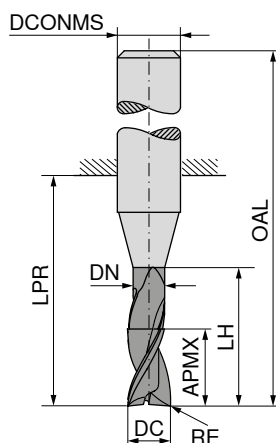
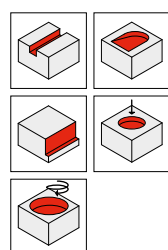
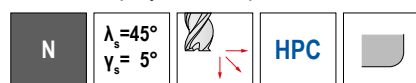
DC _{fs} mm	APMX mm	DN mm	LH mm	LPR mm	OAL mm	DCONMS _{h6} mm	CHW mm	ZEFP			
3,0	8	2,9	15	21	57	6	0,1	3			
3,5	11	3,4	16	21	57	6	0,1	3			
4,0	8	3,9	15	18	54	6	0,1	3	58,52	04100	
4,0	11	3,9	16	21	57	6	0,1	3		58,52	04200
4,0	16			26	62	6	0,1	3		60,70	04700
4,5	13	4,4	19	21	57	6	0,1	3		58,52	05100
5,0	9	4,9	16	18	54	6	0,1	3		58,52	05200
5,0	13	4,9	19	21	57	6	0,1	3		63,67	05700
5,0	17			26	62	6	0,1	3		61,56	06200
5,5	13	5,4	19	21	57	6	0,1	3		61,56	06400
6,0	10	5,9	17	18	54	6	0,2	3	60,86	06100	
6,0	13	5,9	19	21	57	6	0,2	3		74,04	06700
6,0	18			26	62	6	0,2	3		74,04	07200
6,5	19	6,3	25	27	63	8	0,2	3		74,04	07700
7,0	19	6,8	25	27	63	8	0,2	3		123,40	08700
7,5	19	7,3	25	27	63	8	0,2	3		123,40	09200
8,0	12	7,8	20	22	58	8	0,2	3	69,14	08100	
8,0	19	7,8	25	27	63	8	0,2	3		71,89	08200
8,0	24			32	68	8	0,2	3		121,10	10200
8,5	22	8,2	30	32	72	10	0,2	3	109,30	10100	
9,0	22	8,7	30	32	72	10	0,2	3		153,20	12100
9,5	22	9,2	30	32	72	10	0,2	3		164,00	12200
10,0	14	9,7	24	26	66	10	0,2	3	189,30	14100	
10,0	22	9,7	30	32	72	10	0,2	3		216,30	14200
10,0	30			40	80	10	0,2	3		229,10	16100
12,0	16	11,7	26	28	73	12	0,2	3	316,10	18100	
12,0	26	11,7	36	38	83	12	0,2	3		367,10	16200
12,0	36			48	93	12	0,2	3		378,40	18200
14,0	18	13,7	28	30	75	14	0,2	3	441,50	20100	
14,0	26	13,7	36	38	83	14	0,2	3		478,50	18400
14,0	42			54	99	14	0,2	3		441,50	20200
16,0	22	15,5	32	34	82	16	0,2	3	552,50	20400	
16,0	32	15,5	42	44	92	16	0,2	3			
16,0	48			60	108	16	0,2	3			
18,0	24	17,5	34	36	84	18	0,2	3			
18,0	32	17,5	42	44	92	18	0,2	3			
18,0	54			66	114	18	0,2	3			
20,0	26	19,5	40	42	92	20	0,2	3			
20,0	38	19,5	52	54	104	20	0,2	3			
20,0	60			76	126	20	0,2	3			

P	●	●	●
M	●	●	●
K	●	●	●
N	○	○	○
S	●	●	●
H			
O			

→ v_c/f_z Page 386+387

SilverLine – Fraises deux tailles rayonnées

Les fraises polyvalentes pour une utilisation universelle



50 967 ... EUR V0/5A 04105

50 967 ... EUR V0/5A 04205

50 967 ... EUR V0/5A 04405

71,38 05105

73,53 05205

78,05 05405

73,29 06105

85,60 06205

86,58 06405

86,19 08110

98,33 08210

104,23 08410

155,30 10110

168,40 10210

173,10 10410

214,70 12115

228,80 12215

235,00 12415

435,10 16120

442,20 16220

469,60 16420

629,60 20120

644,70 20220

699,10 20420

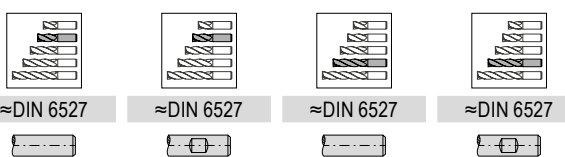
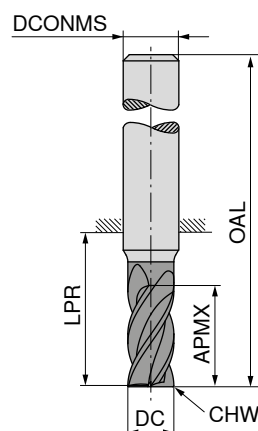
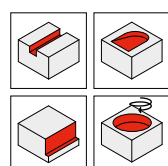
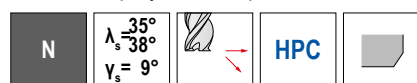
DC _{IS} mm	RE _{±0,05} mm	APMX mm	DN mm	LH mm	LPR mm	OAL mm	DCONMS _{h6} mm	ZEFP	
4,0	0,5	8	3,9	15	18	54	6	3	71,38 04105
4,0	0,5	11	3,9	16	21	57	6	3	73,53 04205
4,0	0,5	16		26	62	6	3		78,05 04405
5,0	0,5	9	4,9	16	18	54	6	3	71,38 05105
5,0	0,5	13	4,9	19	21	57	6	3	73,53 05205
5,0	0,5	17		26	62	6	3		78,05 05405
6,0	0,5	10	5,9	17	18	54	6	3	73,29 06105
6,0	0,5	13	5,9	19	21	57	6	3	85,60 06205
6,0	0,5	18		26	62	6	3		86,58 06405
8,0	1,0	12	7,8	20	22	58	8	3	86,19 08110
8,0	1,0	19	7,8	25	27	63	8	3	98,33 08210
8,0	1,0	24		32	68	8	3		104,23 08410
10,0	1,0	14	9,7	24	26	66	10	3	155,30 10110
10,0	1,0	22	9,7	30	32	72	10	3	168,40 10210
10,0	1,0	30		40	80	10	3		173,10 10410
12,0	1,5	16	11,7	26	28	73	12	3	214,70 12115
12,0	1,5	26	11,7	36	38	83	12	3	228,80 12215
12,0	1,5	36		48	93	12	3		235,00 12415
16,0	2,0	22	15,5	32	34	82	16	3	435,10 16120
16,0	2,0	32	15,5	42	44	92	16	3	442,20 16220
16,0	2,0	48		60	108	16	3		469,60 16420
20,0	2,0	26	19,5	40	42	92	20	3	629,60 20120
20,0	2,0	38	19,5	52	54	104	20	3	644,70 20220
20,0	2,0	60		76	126	20	3		699,10 20420

P	●	●	●
M	●	●	●
K	●	●	●
N	○	○	○
S	●	●	●
H			
O			

→ v_c/f_z Page 386+387

SilverLine – Fraises deux tailles

Les fraises polyvalentes pour une utilisation universelle



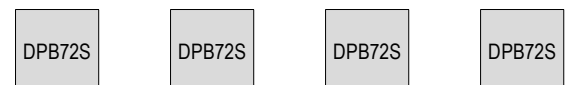
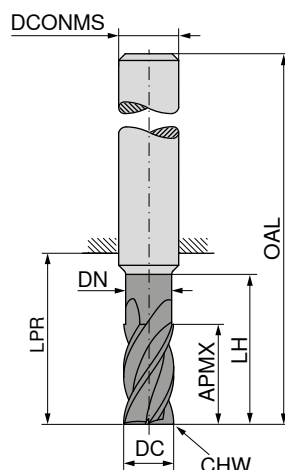
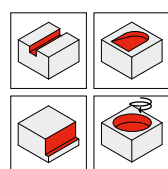
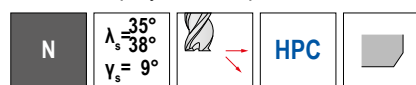
DC _{fs} mm	APMX mm	LPR mm	OAL mm	DCONMS _{h6} mm	CHW mm	ZEFP	50 972 ... EUR V0/5A	50 973 ... EUR V0/5A	50 972 ... EUR V0/5A	50 973 ... EUR V0/5A
3,0	5	14	50	6	0,1	4	50,21	03100	50,21	03100
3,0	8	21	57	6	0,1	4	50,21	03600	50,21	03600
3,5	8	18	54	6	0,1	4	50,21	04100	50,21	04100
3,5	11	21	57	6	0,1	4	51,26	04600	51,26	04600
4,0	8	18	54	6	0,1	4	51,26	05100	51,26	05100
4,0	11	21	57	6	0,1	4	51,26	05600	51,26	05600
4,5	9	18	54	6	0,1	4	49,60	06100	49,60	06100
4,5	13	21	57	6	0,1	4	49,60	06600	49,60	06600
5,0	9	18	54	6	0,1	4	49,60	07100	49,60	07100
5,0	13	21	57	6	0,1	4	49,60	07600	49,60	07600
5,5	10	18	54	6	0,1	4	49,60	08100	49,60	08100
5,5	13	21	57	6	0,1	4	49,60	08600	49,60	08600
6,0	10	18	54	6	0,1	4	49,60	09100	49,60	09100
6,0	13	21	57	6	0,1	4	49,60	09600	49,60	09600
7,0	12	22	58	8	0,2	4	65,95	10100	65,95	10100
7,0	21	27	63	8	0,2	4	65,95	10600	65,95	10600
8,0	12	22	58	8	0,2	4	65,95	11100	65,95	11100
8,0	21	27	63	8	0,2	4	65,95	11600	65,95	11600
9,0	14	26	66	10	0,2	4	86,07	11600	86,07	11600
9,0	22	32	72	10	0,2	4	86,07	12100	86,07	12100
10,0	14	26	66	10	0,2	4	86,07	12600	86,07	12600
10,0	22	32	72	10	0,2	4	86,07	13100	86,07	13100
11,0	16	28	73	12	0,3	4	136,10	136,10	136,10	136,10
11,0	26	38	83	12	0,3	4	136,10	14100	136,10	14100
12,0	16	28	73	12	0,3	4	136,10	14600	136,10	14600
12,0	26	38	83	12	0,3	4	174,90	15100	174,90	15100
14,0	16	28	73	14	0,3	4	215,90	15600	215,90	15600
14,0	26	38	83	14	0,3	4	215,90	16100	215,90	16100
15,0	22	34	82	16	0,3	4	215,90	16600	215,90	16600
15,0	36	44	92	16	0,3	4	215,90	17100	215,90	17100
16,0	22	34	82	16	0,3	4	293,70	17600	293,70	17600
16,0	36	44	92	16	0,3	4	293,70	18100	293,70	18100
17,0	22	34	82	18	0,3	4	293,70	18600	293,70	18600
17,0	36	44	92	18	0,3	4	293,70	19100	293,70	19100
18,0	22	34	82	18	0,3	4	333,20	19600	333,20	19600
18,0	36	44	92	18	0,3	4	333,20	20100	333,20	20100
19,0	26	42	92	20	0,3	4	333,20	20600	333,20	20600
19,0	41	54	104	20	0,3	4	333,20	21100	333,20	21100
20,0	26	42	92	20	0,3	4	333,20	21600	333,20	21600
20,0	41	54	104	20	0,3	4	333,20	22100	333,20	22100

P	●	●	●	●
M	●	●	●	●
K	●	●	●	●
N	○	○	○	○
S	●	●	●	●
H				
O				

→ v_c/f_z Page 392+393

SilverLine – Fraises deux tailles

Les fraises polyvalentes pour une utilisation universelle



DPB72S DRAGONSkin DPB72S DRAGONSkin



DIN 6527 DIN 6527 DIN 6527 DIN 6527

50 974 ... 50 975 ... 50 974 ... 50 975 ...

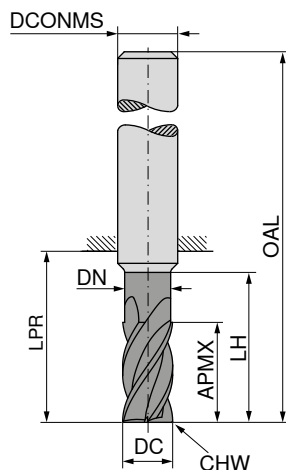
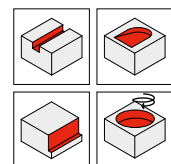
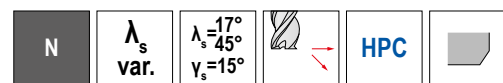
DC _{r8} mm	APMX mm	DN mm	LH mm	LPR mm	OAL mm	DCONMS _{h6} mm	CHW mm	ZEFP	EUR V0/5A	EUR V0/5A	EUR V0/5A	EUR V0/5A
3,0	6,5	2,8	9	19	55	6	0,1	4	46,63	03200	46,63	03200
3,0	6,5	2,8	15	22	58	6	0,1	4	46,63	04200	46,63	04200
4,0	8,5	3,8	12	19	55	6	0,1	4	46,63	05200	46,63	05200
4,0	8,5	3,8	20	26	62	6	0,1	4	46,63	06200	46,63	06200
5,0	10,5	4,8	15	22	58	6	0,1	4	46,63	07200	46,63	07200
5,0	10,5	4,8	25	34	70	6	0,1	4	46,63	08200	46,63	08200
6,0	13,0	5,8	18	22	58	6	0,1	4	46,63	09200	46,63	09200
6,0	13,0	5,8	30	34	70	6	0,1	4	46,63	10200	46,63	10200
8,0	17,0	7,7	24	28	64	8	0,2	4	63,61	08200	63,61	08200
8,0	17,0	7,7	40	44	80	8	0,2	4	63,61	10200	63,61	10200
10,0	21,0	9,7	30	34	74	10	0,2	4	93,08	08200	93,08	08200
10,0	21,0	9,7	50	54	94	10	0,2	4	93,08	10200	93,08	10200
12,0	25,0	11,6	36	40	85	12	0,3	4	117,30	12200	117,30	12200
12,0	25,0	11,6	60	64	109	12	0,3	4	117,30	14200	117,30	14200
14,0	29,0	13,6	42	46	91	14	0,3	4	164,50	14200	164,50	14200
14,0	29,0	13,6	70	74	119	14	0,3	4	164,50	16200	164,50	16200
16,0	33,0	15,5	48	52	100	16	0,3	4	263,30	16200	263,30	16200
16,0	33,0	15,5	80	84	132	16	0,3	4	263,30	18200	263,30	18200
18,0	38,0	17,5	54	58	106	18	0,3	4	333,00	18200	333,00	18200
18,0	38,0	17,5	90	94	142	18	0,3	4	333,00	20200	333,00	20200
20,0	42,0	19,5	60	64	114	20	0,3	4	360,10	20200	360,10	20200
20,0	42,0	19,5	100	104	154	20	0,3	4	360,10	20200	360,10	20200

P	●	●	●	●
M	●	●	●	●
K	●	●	●	●
N	○	○	○	○
S	●	●	●	●
H				
O				

SilverLine – Fraises deux tailles

Les fraises polyvalentes pour une utilisation universelle

▲ Spécialement conçue pour le rainurage



DRAGONSKIN



DRAGONSKIN



DIN 6527



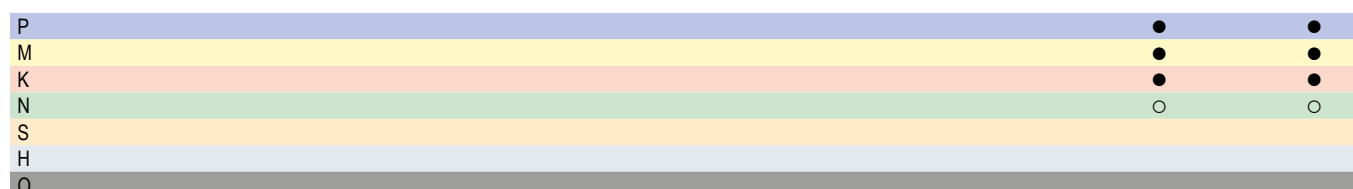
DIN 6527

50 976 ...

50 977 ...

	EUR	V0/5A		EUR	V0/5A
3,0	53,92	03200		53,92	03200
4,0	53,92	04200		53,92	04200
5,0	53,92	05200		53,92	05200
6,0	53,92	06200		53,92	06200
8,0	72,68	08200		72,68	08200
10,0	106,40	10200		106,40	10200
12,0	135,90	12200		135,90	12200
14,0	187,90	14200		187,90	14200
16,0	306,70	16200		306,70	16200
18,0	402,30	18200		402,30	18200
20,0	418,20	20200		418,20	20200

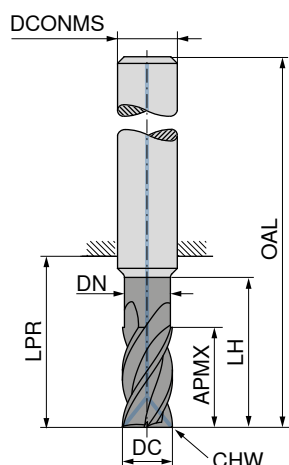
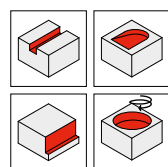
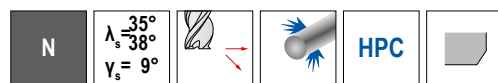
DC _{r8} mm	APMX mm	DN mm	LH mm	LPR mm	OAL mm	DCONMS _{h6} mm	CHW mm	ZEFP
3,0	8	2,8	13	21	57	6	0,1	4
4,0	11	3,8	17	21	57	6	0,1	4
5,0	13	4,8	19	21	57	6	0,1	4
6,0	13	5,8	19	21	57	6	0,1	4
8,0	21	7,7	25	27	63	8	0,2	4
10,0	22	9,7	30	32	72	10	0,2	4
12,0	26	11,6	36	38	83	12	0,3	4
14,0	26	13,6	36	38	83	14	0,3	4
16,0	36	15,5	42	44	92	16	0,3	4
18,0	36	17,5	42	44	92	18	0,3	4
20,0	41	19,5	52	54	104	20	0,3	4



→ v_c/f_z Page 388+389

SilverLine – Fraises deux tailles

Les fraises polyvalentes pour une utilisation universelle



DRAGONSKIN

**50 978 ...**EUR
V0/5A

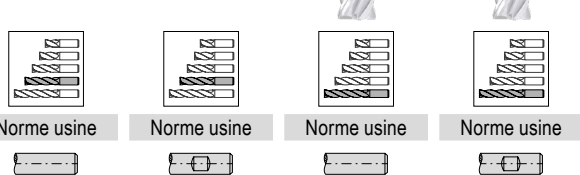
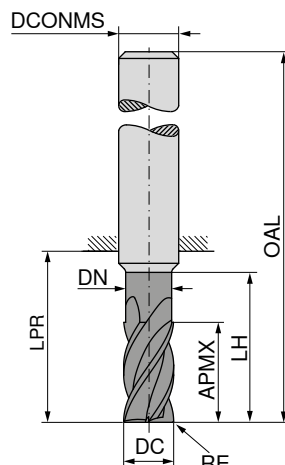
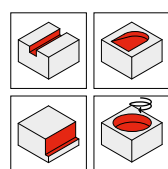
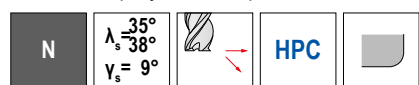
DC _{rs} mm	APMX mm	DN mm	LH mm	LPR mm	OAL mm	DCONMS _{h6} mm	CHW mm	ZEFP	
6,0	13	5,8	19	21	57	6	0,1	4	139,40 06200
8,0	21	7,7	25	27	63	8	0,2	4	162,60 08200
10,0	22	9,7	30	32	72	10	0,2	4	183,80 10200
12,0	26	11,6	36	38	83	12	0,3	4	257,00 12200
14,0	26	13,6	36	38	83	14	0,3	4	394,20 14200
16,0	36	15,5	42	44	92	16	0,3	4	394,20 16200
18,0	36	17,5	42	44	92	18	0,3	4	524,70 18200
20,0	41	19,5	52	54	104	20	0,3	4	524,70 20200

P	●
M	●
K	●
N	○
S	●
H	
O	

→ v_c/f_z Page 392+393

SilverLine – Fraises deux tailles rayonnées

Les fraises polyvalentes pour une utilisation universelle



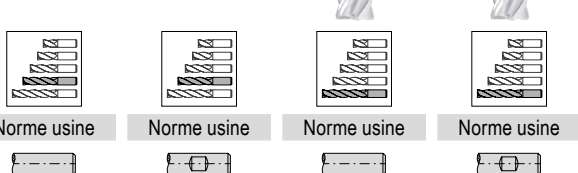
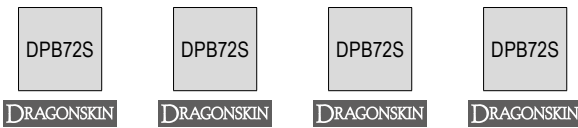
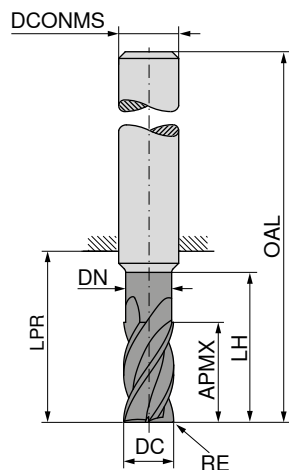
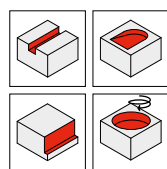
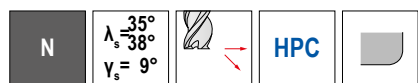
50 970 ...		50 971 ...		50 970 ...		50 971 ...						
DC ₁₈ mm	RE _{±0,05} mm	APMX mm	DN mm	LH mm	LPR mm	OAL mm	DCONMS _{h6} mm	ZEFP	EUR V0/5A	EUR V0/5A	EUR V0/5A	EUR V0/5A
3,0	0,10	8,0	2,8	13	21	57	6	4	67,66	03201	67,66	03201
3,0	0,40	8,0	2,8	13	21	57	6	4	67,66	03204	67,66	03204
3,0	0,50	8,0	2,8	13	21	57	6	4	67,66	03205	67,66	03205
3,0	1,00	8,0	2,8	13	21	57	6	4	67,66	03210	79,54	03403
3,0	0,30	6,5	2,8	15	22	58	6	4			79,54	03405
3,0	0,50	6,5	2,8	15	22	58	6	4			79,54	03405
3,0	0,80	6,5	2,8	15	22	58	6	4			79,54	03408
4,0	0,10	11,0	3,8	17	21	57	6	4	67,66	04201	67,66	04201
4,0	0,40	11,0	3,8	17	21	57	6	4	67,66	04204	67,66	04204
4,0	0,50	11,0	3,8	17	21	57	6	4	67,66	04205	67,66	04205
4,0	1,00	11,0	3,8	17	21	57	6	4	67,66	04210	67,66	04210
4,0	0,40	8,5	3,8	20	26	62	6	4			79,54	04404
4,0	0,50	8,5	3,8	20	26	62	6	4			79,54	04405
4,0	0,80	8,5	3,8	20	26	62	6	4			79,54	04408
5,0	0,10	13,0	4,8	19	21	57	6	4	68,79	05201	68,79	05201
5,0	0,50	13,0	4,8	19	21	57	6	4	68,79	05205	68,79	05205
5,0	1,00	13,0	4,8	19	21	57	6	4	68,79	05210	68,79	05210
5,0	0,50	10,5	4,8	25	34	70	6	4			80,79	05405
5,0	0,80	10,5	4,8	25	34	70	6	4			80,79	05408
6,0	0,10	13,0	5,8	19	21	57	6	4	67,11	06201	67,11	06201
6,0	0,50	13,0	5,8	19	21	57	6	4	67,11	06205	67,11	06205
6,0	1,00	13,0	5,8	19	21	57	6	4	67,11	06210	67,11	06210
6,0	1,50	13,0	5,8	19	21	57	6	4	67,11	06215	67,11	06215
6,0	0,60	13,0	5,8	30	34	70	6	4			80,79	06406
6,0	0,80	13,0	5,8	30	34	70	6	4			80,79	06408
6,0	1,00	13,0	5,8	30	34	70	6	4			80,79	06410
8,0	0,15	21,0	7,7	25	27	63	8	4	84,14	08202	84,14	08202
8,0	0,50	21,0	7,7	25	27	63	8	4	84,14	08205	84,14	08205
8,0	1,00	21,0	7,7	25	27	63	8	4	84,14	08210	84,14	08210
8,0	1,50	21,0	7,7	25	27	63	8	4	84,14	08215	84,14	08215
8,0	2,00	21,0	7,7	25	27	63	8	4	84,14	08220	84,14	08220
8,0	0,80	17,0	7,7	40	44	80	8	4			97,83	08408
8,0	1,00	17,0	7,7	40	44	80	8	4			97,83	08410
8,0	1,50	17,0	7,7	40	44	80	8	4			97,83	08415
8,0	2,00	17,0	7,7	40	44	80	8	4			97,83	08420
10,0	0,15	22,0	9,7	30	32	72	10	4	105,20	10202	105,20	10202
10,0	0,50	22,0	9,7	30	32	72	10	4	105,20	10205	105,20	10205
10,0	1,00	22,0	9,7	30	32	72	10	4	105,20	10210	105,20	10210
10,0	1,50	22,0	9,7	30	32	72	10	4	105,20	10215	105,20	10215
10,0	2,00	22,0	9,7	30	32	72	10	4	105,20	10220	105,20	10220
10,0	0,50	21,0	9,7	50	54	94	10	4			121,00	10405
10,0	1,00	21,0	9,7	50	54	94	10	4			121,00	10410
10,0	1,50	21,0	9,7	50	54	94	10	4			121,00	10415
10,0	2,00	21,0	9,7	50	54	94	10	4			121,00	10420
12,0	0,20	26,0	11,6	36	38	83	12	4	162,40	12202	162,40	12202
12,0	0,50	26,0	11,6	36	38	83	12	4	162,40	12205	162,40	12205
12,0	1,00	26,0	11,6	36	38	83	12	4	162,40	12210	162,40	12210

P	●	●	●	●
M	●	●	●	●
K	●	●	●	●
N	○	○	○	○
S	●	●	●	●
H				
O				

→ v_c/f_z Page 392+393

SilverLine – Fraises deux tailles rayonnées

Les fraises polyvalentes pour une utilisation universelle



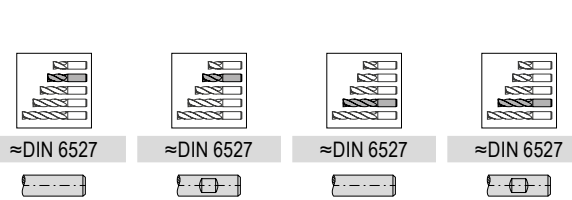
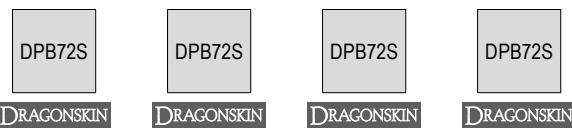
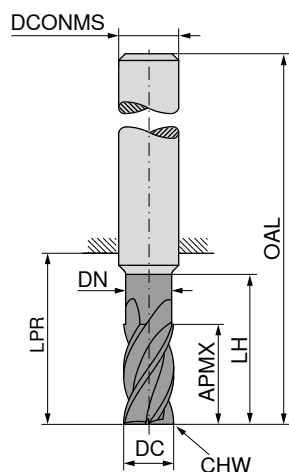
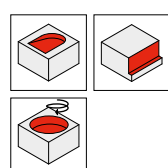
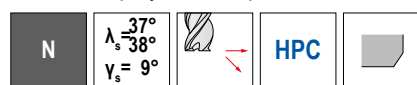
DC _{r8} mm	RE _{±0,05} mm	APMX mm	DN mm	LH mm	LPR mm	OAL mm	DCONMS _{h6} mm	ZEFP	EUR V0/5A	EUR V0/5A	EUR V0/5A	EUR V0/5A
12,0	1,50	26,0	11,6	36	38	83	12	4	162,40	12215	162,40	12215
12,0	2,00	26,0	11,6	36	38	83	12	4	162,40	12220	162,40	12220
12,0	3,00	26,0	11,6	36	38	83	12	4	162,40	12230	162,40	12230
12,0	4,00	26,0	11,6	36	38	83	12	4	162,40	12240	162,40	12240
12,0	0,50	25,0	11,6	60	64	109	12	4			183,80	12405
12,0	1,00	25,0	11,6	60	64	109	12	4			183,80	12410
12,0	1,50	25,0	11,6	60	64	109	12	4			183,80	12415
12,0	2,00	25,0	11,6	60	64	109	12	4			183,80	12420
12,0	3,00	25,0	11,6	60	64	109	12	4			183,80	12430
12,0	4,00	25,0	11,6	60	64	109	12	4			183,80	12440
14,0	0,30	26,0	13,6	36	38	83	14	4	245,50	14203	245,50	14203
14,0	1,00	26,0	13,6	36	38	83	14	4	245,50	14210	245,50	14210
14,0	2,00	26,0	13,6	36	38	83	14	4	245,50	14220	245,50	14220
14,0	3,00	26,0	13,6	36	38	83	14	4	245,50	14230	245,50	14230
14,0	4,00	26,0	13,6	36	38	83	14	4	245,50	14240	245,50	14240
14,0	1,00	29,0	13,6	70	74	119	14	4			275,40	14410
14,0	2,00	29,0	13,6	70	74	119	14	4			275,40	14420
14,0	3,00	29,0	13,6	70	74	119	14	4			275,40	14430
14,0	4,00	29,0	13,6	70	74	119	14	4			275,40	14440
16,0	0,30	36,0	15,5	42	44	92	16	4	245,50	16203	245,50	16203
16,0	1,00	36,0	15,5	42	44	92	16	4	245,50	16210	245,50	16210
16,0	2,00	36,0	15,5	42	44	92	16	4	245,50	16220	245,50	16220
16,0	3,00	36,0	15,5	42	44	92	16	4	245,50	16230	245,50	16230
16,0	4,00	36,0	15,5	42	44	92	16	4	245,50	16240	245,50	16240
16,0	1,00	33,0	15,5	80	84	132	16	4			302,10	16410
16,0	2,00	33,0	15,5	80	84	132	16	4			302,10	16420
16,0	3,00	33,0	15,5	80	84	132	16	4			302,10	16430
16,0	4,00	33,0	15,5	80	84	132	16	4			302,10	16440
18,0	1,00	36,0	17,5	42	44	92	18	4	326,60	18210	326,60	18210
18,0	2,00	36,0	17,5	42	44	92	18	4	326,60	18220	326,60	18220
18,0	3,00	36,0	17,5	42	44	92	18	4	326,60	18230	326,60	18230
18,0	4,00	36,0	17,5	42	44	92	18	4	326,60	18240	326,60	18240
18,0	1,00	38,0	17,5	90	94	142	18	4			364,40	18410
18,0	2,00	38,0	17,5	90	94	142	18	4			364,40	18420
18,0	3,00	38,0	17,5	90	94	142	18	4			364,40	18430
18,0	4,00	38,0	17,5	90	94	142	18	4			364,40	18440
20,0	0,30	41,0	19,5	52	54	104	20	4	367,80	20203	367,80	20203
20,0	1,00	41,0	19,5	52	54	104	20	4	367,80	20210	367,80	20210
20,0	2,00	41,0	19,5	52	54	104	20	4	367,80	20220	367,80	20220
20,0	3,00	41,0	19,5	52	54	104	20	4	367,80	20230	367,80	20230
20,0	4,00	41,0	19,5	52	54	104	20	4	367,80	20240	367,80	20240
20,0	1,00	42,0	19,5	100	104	154	20	4			409,60	20410
20,0	2,00	42,0	19,5	100	104	154	20	4			409,60	20420
20,0	3,00	42,0	19,5	100	104	154	20	4			409,60	20430
20,0	4,00	42,0	19,5	100	104	154	20	4			409,60	20440

P	●	●	●
M	●	●	●
K	●	●	●
N	○	○	○
S	●	●	●
H			
O			

→ v_c/f_z Page 392+393

SilverLine – Fraises deux tailles

Les fraises polyvalentes pour une utilisation universelle



DC _{e8} mm	APMX mm	DN mm	LH mm	LPR mm	OAL mm	DCONMS _{h6} mm	CHW mm	ZEFP	50 993 ...	EUR V0/5A	50 995 ...	EUR V0/5A	50 994 ...	EUR V0/5A	50 996 ...	EUR V0/5A
6	10			18	54	6	0,1	5		54,57	06100					
6	13	5,8	19	21	57	6	0,1	5		72,56	08100					
8	12			22	58	8	0,2	5		94,68	10100					
8	21	7,7	25	27	63	8	0,2	5		124,10	12100					
10	14			26	66	10	0,2	5		237,60	16100					
10	22	9,7	30	32	72	10	0,2	5		366,50	20100					
12	16			28	73	12	0,3	5		417,80	20200					
12	26	11,6	36	38	83	12	0,3	5								
16	22			34	82	16	0,3	5								
16	36	15,5	42	44	92	16	0,3	5								
20	26			42	92	20	0,3	5								
20	41	19,5	52	54	104	20	0,3	5								

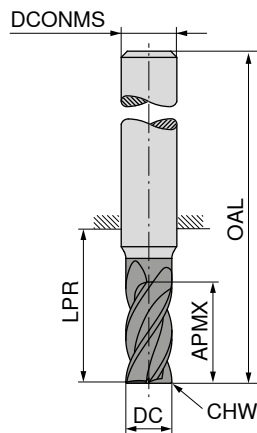
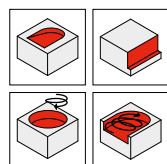
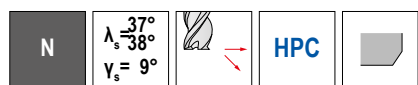
P	●	●	●	●
M	●	●	●	●
K	●	●	●	●
N	○	○	○	○
S	●	●	●	●
H				
O				

→ v_c/f_z Page 380

SilverLine – Fraises deux tailles

Les fraises polyvalentes pour une utilisation universelle

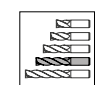
▲ Profondeur de coupe: 3 x DC



DRAGONSkin



DRAGONSkin



≈DIN 6527



≈DIN 6527

50 999 ...

50 949 ...

EUR
V0/5AEUR
V0/5A

64,92	06200
88,56	08200
129,70	10200
157,70	12200
366,40	16200
501,30	20200

64,92	06200
88,56	08200
129,70	10200
157,70	12200
366,40	16200
501,30	20200

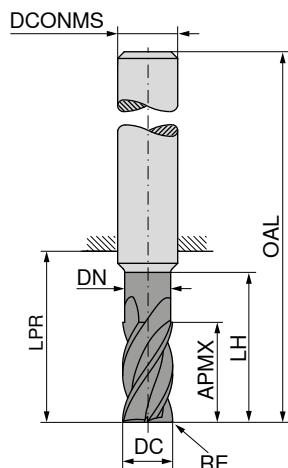
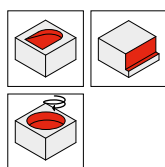
DC _{e8} mm	APMX mm	LPR mm	OAL mm	DCONMS _{h6} mm	CHW mm	ZEFP
6	19	26	62	6	0,1	5
8	25	32	68	8	0,2	5
10	31	40	80	10	0,2	5
12	37	48	93	12	0,3	5
16	49	60	108	16	0,3	5
20	61	76	126	20	0,3	5

P	●	●
M	●	●
K	●	●
N	○	○
S	●	●
H		
O		

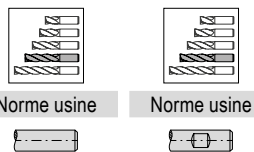
→ v_c/f_z Page 381–383

SilverLine – Fraises deux tailles rayonnées

Les fraises polyvalentes pour une utilisation universelle



DRAGONSkin



Norme usine Norme usine

**50 997 ...** **50 998 ...**

DC _{e8} mm	RE _{±0,05} mm	APMX mm	DN mm	LH mm	LPR mm	OAL mm	DCONMS _{h6} mm	ZEFP	EUR V0/5A	EUR V0/5A
6	0,2	13	5,8	19	21	57	6	5	77,84	06202
6	0,5	13	5,8	19	21	57	6	5	77,84	06205
6	1,0	13	5,8	19	21	57	6	5	77,84	06210
8	0,2	21	7,7	25	27	63	8	5	97,61	08202
8	0,5	21	7,7	25	27	63	8	5	97,61	08205
8	1,0	21	7,7	25	27	63	8	5	97,61	08210
8	1,5	21	7,7	25	27	63	8	5	97,61	08215
10	0,2	22	9,7	30	32	72	10	5	122,00	10202
10	0,5	22	9,7	30	32	72	10	5	122,00	10205
10	1,0	22	9,7	30	32	72	10	5	122,00	10210
10	1,5	22	9,7	30	32	72	10	5	122,00	10215
10	1,6	22	9,7	30	32	72	10	5	122,00	10216
10	2,0	22	9,7	30	32	72	10	5	122,00	10220
12	0,3	26	11,6	36	38	83	12	5	188,40	12203
12	0,5	26	11,6	36	38	83	12	5	188,40	12205
12	1,0	26	11,6	36	38	83	12	5	188,40	12210
12	1,5	26	11,6	36	38	83	12	5	188,40	12215
12	1,6	26	11,6	36	38	83	12	5	188,40	12216
12	2,0	26	11,6	36	38	83	12	5	188,40	12220
12	2,5	26	11,6	36	38	83	12	5	188,40	12225
16	0,3	36	15,5	42	44	92	16	5	284,80	16203
16	0,5	36	15,5	42	44	92	16	5	284,80	16205
16	1,0	36	15,5	42	44	92	16	5	284,80	16210
16	1,5	36	15,5	42	44	92	16	5	284,80	16215
16	1,6	36	15,5	42	44	92	16	5	284,80	16216
16	2,0	36	15,5	42	44	92	16	5	284,80	16220
16	2,5	36	15,5	42	44	92	16	5	284,80	16225
16	3,0	36	15,5	42	44	92	16	5	284,80	16230
20	0,3	41	19,5	52	54	104	20	5	426,60	20203
20	0,5	41	19,5	52	54	104	20	5	426,60	20205
20	1,0	41	19,5	52	54	104	20	5	426,60	20210
20	1,5	41	19,5	52	54	104	20	5	426,60	20215
20	1,6	41	19,5	52	54	104	20	5	426,60	20216
20	2,0	41	19,5	52	54	104	20	5	426,60	20220
20	2,5	41	19,5	52	54	104	20	5	426,60	20225
20	3,0	41	19,5	52	54	104	20	5	426,60	20230
20	4,0	41	19,5	52	54	104	20	5	426,60	20240

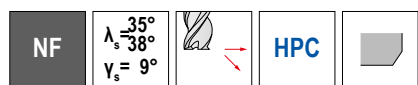
P	●	●
M	●	●
K	●	●
N	○	○
S	●	●
H		
O		

→ v_c/f_z Page 380

SilverLine – Fraises de semi-ébauche

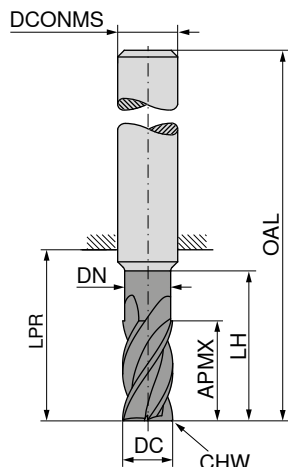
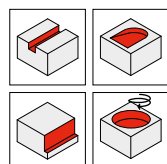
Les fraises polyvalentes pour une utilisation universelle

▲ Avec brise-coapeaux fins



DPB72S

DRAGOSKIN



DIN 6527

50 969 ...

DC _{f8} mm	APMX mm	DN mm	LH mm	LPR mm	OAL mm	DCONMS _{h6} mm	CHW mm	ZEFP	EUR V0/5A
3,0	8	2,8	13	21	57	6	0,1	4	85,10 03200
3,5	11	3,3	17	21	57	6	0,1	4	85,10 03700
4,0	11	3,8	17	21	57	6	0,1	4	85,10 04200
4,5	13	4,3	19	21	57	6	0,1	4	85,10 04700
5,0	13	4,8	19	21	57	6	0,1	4	85,10 05200
5,5	13	5,3	19	21	57	6	0,1	4	85,10 05700
6,0	13	5,8	19	21	57	6	0,1	4	85,10 06200
7,0	21	6,7	25	27	63	8	0,2	4	90,69 07200
8,0	21	7,7	25	27	63	8	0,2	4	90,69 08200
9,0	22	8,7	30	32	72	10	0,2	4	112,70 09200
10,0	22	9,7	30	32	72	10	0,2	4	112,70 10200
11,0	26	10,6	36	38	83	12	0,3	4	178,10 11200
12,0	26	11,6	36	38	83	12	0,3	4	178,10 12200
14,0	26	13,6	36	38	83	14	0,3	4	228,90 14200
15,0	36	14,5	42	44	92	16	0,3	4	282,80 15200
16,0	36	15,5	42	44	92	16	0,3	4	282,80 16200
17,0	36	16,5	42	44	92	18	0,3	4	334,10 17200
18,0	36	17,5	42	44	92	18	0,3	4	334,10 18200
19,0	41	18,5	52	54	104	20	0,3	4	436,20 19200
20,0	41	19,5	52	54	104	20	0,3	4	436,20 20200

P	●
M	●
K	●
N	○
S	●
H	
O	

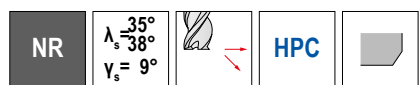
→ v_c/f_z Page 392+393

14

SilverLine – Fraises d'ébauche

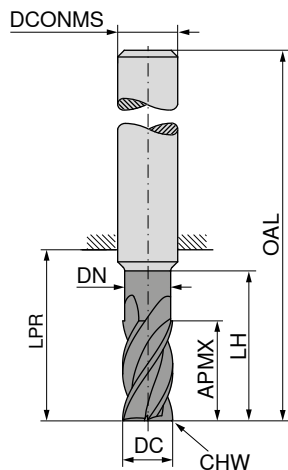
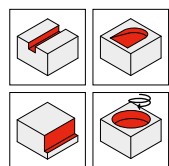
Les fraises polyvalentes pour une utilisation universelle

▲ Avec brise-copeaux d'ébauche



DPB72S

DRAGONSKIN



DIN 6527

50 979 ...

DC _{d11} mm	APMX mm	DN mm	LH mm	LPR mm	OAL mm	DCONMS _{h6} mm	CHW mm	ZEFP	EUR V0/5A
3,0	8	2,8	13	21	57	6	0,1	4	85,10 03200
3,5	11	3,3	17	21	57	6	0,1	4	85,10 03700
4,0	11	3,8	17	21	57	6	0,1	4	85,10 04200
4,5	13	4,3	19	21	57	6	0,1	4	85,10 04700
5,0	13	4,8	19	21	57	6	0,1	4	85,10 05200
5,5	13	5,3	19	21	57	6	0,1	4	85,10 05700
6,0	13	5,8	19	21	57	6	0,1	4	85,10 06200
7,0	21	6,7	25	27	63	8	0,2	4	90,69 07200
8,0	21	7,7	25	27	63	8	0,2	4	90,69 08200
9,0	22	8,7	30	32	72	10	0,2	4	112,70 09200
10,0	22	9,7	30	32	72	10	0,2	4	112,70 10200
11,0	26	10,6	36	38	83	12	0,3	4	178,10 11200
12,0	26	11,6	36	38	83	12	0,3	4	178,10 12200
14,0	26	13,6	36	38	83	14	0,3	4	228,90 14200
15,0	36	14,5	42	44	92	16	0,3	4	282,80 15200
16,0	36	15,5	42	44	92	16	0,3	4	282,80 16200
17,0	36	16,5	42	44	92	18	0,3	4	334,10 17200
18,0	36	17,5	42	44	92	18	0,3	4	334,10 18200
19,0	41	18,5	52	54	104	20	0,3	4	436,20 19200
20,0	41	19,5	52	54	104	20	0,3	4	436,20 20200

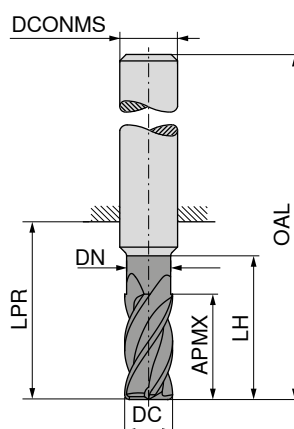
P	●
M	●
K	●
N	○
S	●
H	●
O	●

→ v_c/f_z Page 392+393

SilverLine – Fraises de finition

Les fraises polyvalentes pour une utilisation universelle

- ▲ avec une conicité maximale de 0,008 mm pour une grande précision angulaire et un parallélisme des surfaces
- ▲ Outil avec correction de face avant



DRAGONSKIN



DRAGONSKIN



≈DIN 6527



Norme usine

50 991 ...**50 991 ...**EUR
V0/5AEUR
V0/5A74,72 06200
74,69 06700101,30 06400
126,60 06900
101,30 90000

85,46 08200

125,30 08400
156,70 08900

85,79 08700

125,20 90100

147,30 10200

187,90 10400
234,70 90200

147,00 10700

187,30 10900

199,70 12200

290,80 12400
363,30 90300

199,20 12700

290,40 12900

371,40 16200

511,70 16400
639,50 16900

371,30 16700

511,20 90400

535,30 20200
535,00 20700704,60 20400
880,70 90500
704,30 20900

670,30 25200

881,60 25400
1.102,00 25900

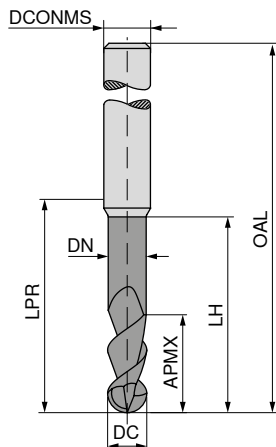
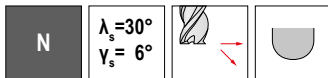
DC _{f8} mm	APMX mm	DN mm	LH mm	LPR mm	OAL mm	DCONMS _{hs} mm	ZEPP
6,0	10	5,8	18	22	58	6	6
6,0	13	5,6	19	21	57	6	6
6,0	13	5,8	27	31	67	6	6
6,0	13	5,8	36	40	76	6	6
6,0	15	5,6	42	44	80	6	6
8,0	13	7,7	24	28	64	8	6
8,0	17	7,7	36	40	76	8	6
8,0	17	7,7	48	53	89	8	6
8,0	19	7,6	25	27	63	8	6
8,0	20	7,6	62	64	100	8	6
10,0	16	9,7	30	34	74	10	6
10,0	21	9,7	45	49	89	10	6
10,0	21	9,7	60	64	104	10	6
10,0	22	9,6	30	32	72	10	6
10,0	25	9,6	58	60	100	10	6
12,0	19	11,6	36	40	85	12	6
12,0	25	11,6	54	58	103	12	6
12,0	25	11,6	72	76	121	12	6
12,0	26	11,5	36	38	83	12	6
12,0	30	11,5	73	75	120	12	6
16,0	25	15,5	48	52	100	16	6
16,0	32	15,0	42	44	92	16	6
16,0	33	15,5	72	76	124	16	6
16,0	33	15,5	96	100	148	16	6
16,0	40	15,0	100	102	150	16	6
20,0	32	19,5	60	64	114	20	6
20,0	38	19,0	52	54	104	20	6
20,0	42	19,5	90	94	144	20	6
20,0	42	19,5	120	124	174	20	6
20,0	50	19,0	98	100	150	20	6
25,0	40	24,5	75	80	136	25	6
25,0	52	24,5	113	118	174	25	6
25,0	52	24,5	150	154	210	25	6

P	●	●
M	●	●
K	○	○
N	○	○
S	●	●
H		
O		

→ v_c/f_z Page 394

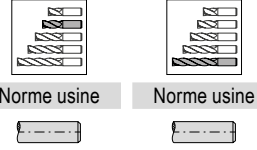
SilverLine – Fraises hémisphériques

Les fraises polyvalentes pour une utilisation universelle



DRAGONSKIN

DRAGONSKIN



Norme usine

Norme usine



50 963 ... 50 963 ...

EUR EUR
V0/5A V0/5A

63,77 03115 85,54 03415

63,77 04120 85,54 04420

63,77 05125 88,99 05425

63,77 06130 103,00 06430

77,62 07135 120,50 08440

77,62 08140 163,70 10450

97,05 10150 141,10 12160

141,10 12160 211,20 12460

163,70 14170 336,80 14470

207,80 16180 453,90 16480

342,30 18190 601,50 20410

342,30 20110

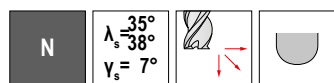
DC _{f_b} mm	APMX mm	DN mm	LH mm	LPR mm	OAL mm	DCONMS _{h6} mm	ZEFF
3,0	4	2,8	10,0	14	50	6	2
3,0	7	3,0	8,8	24	60	6	2
4,0	8	3,8	12,0	18	54	6	2
4,0	10	4,0	12,5	39	75	6	2
5,0	9	4,8	16,0	18	54	6	2
5,0	12	5,0	15,0	39	75	6	2
6,0	10	5,7	16,0	18	54	6	2
6,0	12	6,0	15,0	64	100	6	2
7,0	11	6,6	20,0	22	58	8	2
8,0	12	7,6	20,0	22	58	8	2
8,0	14	8,0	17,5	64	100	8	2
10,0	14	9,6	24,0	26	66	10	2
10,0	18	10,0	22,5	60	100	10	2
12,0	16	11,5	26,0	28	73	12	2
12,0	22	12,0	27,5	55	100	12	2
14,0	18	13,3	28,0	30	75	14	2
14,0	26	14,0	32,5	75	120	14	2
16,0	22	15,2	32,0	34	82	16	2
16,0	30	16,0	37,5	102	150	16	2
18,0	24	17,1	34,0	36	84	18	2
20,0	26	19,0	40,0	42	92	20	2
20,0	38	20,0	47,5	100	150	20	2

P	●	●
M		
K	●	●
N	○	○
S		
H	○	○
O		

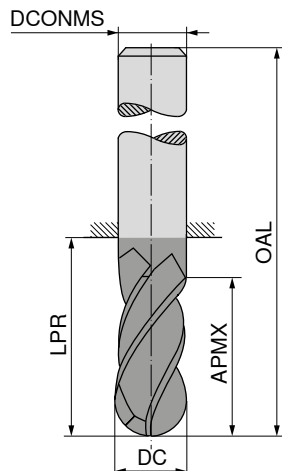
→ v_c/f_z Page 398+399

SilverLine – Fraises hémisphériques

Les fraises polyvalentes pour une utilisation universelle



DRAGONSKIN



Norme usine

**50 990 ...**EUR
V0/5A

62,10	04220
62,10	05225
72,63	06230
90,01	08280
113,60	10250
179,80	12260
265,40	16280
384,50	20210

DC _{rs} mm	APMX mm	LPR mm	OAL mm	DCONMS _{h6} mm	ZEFP
4,0	11	21	57	6	4
5,0	13	21	57	6	4
6,0	13	21	57	6	4
8,0	19	36	72	8	4
10,0	22	32	72	10	4
12,0	26	38	83	12	4
16,0	32	44	92	16	4
20,0	38	54	104	20	4

P	●
M	○
K	●
N	○
S	
H	
O	

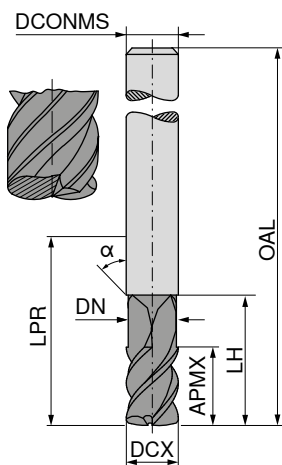
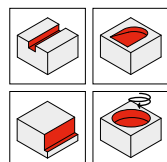
→ v_c/f_z Page 395–397

SilverLine – Fraises grande avance

Les fraises polyvalentes pour une utilisation universelle

▲ APMX ne correspond pas à la profondeur de passe maximale

▲ r_{3D} = Rayon à programmer



DRAGONSKIN

DRAGONSKIN



Norme usine

Norme usine

50 989 ...

50 989 ...

EUR V0/5A

EUR V0/5A

06110

06410

118,70

10415

101,80

08410

154,80

10415

174,00

10415

254,60

12415

228,10

12415

280,90

16420

428,50

16420

626,40

20420

616,50

20420

926,80

20420

DCX f _b mm	r _{3D} mm	APMX mm	DN mm	LH mm	LPR mm	OAL mm	α°	DCONMS h ₆ mm	ZEFP
6,00	1,12	6	5,5	21	21	57	45	6	4
6,00	1,12	6	5,5	64	64	100	45	6	4
8,00	1,23	8	7,4	27	27	63	45	8	4
8,00	1,23	8	7,4	64	64	100	45	8	4
10,00	1,17	10	9,2	32	32	72	45	10	4
10,00	1,17	10	9,2	60	60	100	45	10	4
12,00	1,86	12	11,0	32	38	83	45	12	4
12,00	1,86	12	11,0	65	65	110	45	12	4
16,00	2,47	16	15,0	38	44	92	45	16	4
16,00	2,47	16	15,0	65	102	150	45	16	4
20,00	2,61	20	18,5	40	42	92	45	20	4
20,00	2,61	20	18,5	65	100	150	45	20	4

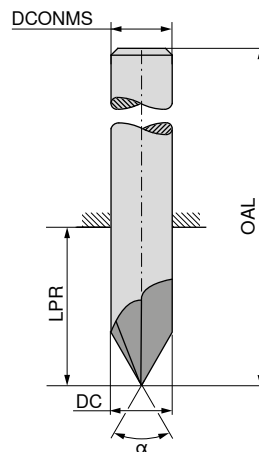
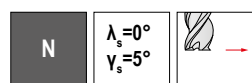
P	●	●
M	○	○
K	●	●
N	○	○
S		
H	○	○
O		

→ v_c/f_z Page 400+401

SilverLine – Fraises à ébavurer

Les fraises polyvalentes pour une utilisation universelle

▲ Angle de pointe $\alpha = 60^\circ$



DRAGOSKIN



DRAGOSKIN

DC mm	OAL mm	LPR mm	DCONMS mm	ZEFP
4	50	22	4	5
6	55	19	6	5
8	58	22	8	5
10	60	20	10	5
12	70	25	12	5
16	80	32	16	5

| $\alpha = 60^\circ$
Norme usine |
|------------------------------------|------------------------------------|------------------------------------|------------------------------------|
| | | | |
| 50 566 ... | 50 567 ... | 50 562 ... | 50 563 ... |
| EUR
V1 | EUR
V1 | EUR
V1 | EUR
V1 |
| 39,99 04000 | 44,87 06000 | 49,34 04000 | 54,22 06000 |
| 59,96 08000 | 59,96 08000 | 70,65 08000 | 70,65 08000 |
| 71,16 10000 | 71,16 10000 | 83,97 10000 | 83,97 10000 |
| 92,72 12000 | 92,72 12000 | 107,30 12000 | 107,30 12000 |
| 147,40 16000 | 147,40 16000 | 167,10 16000 | 167,10 16000 |

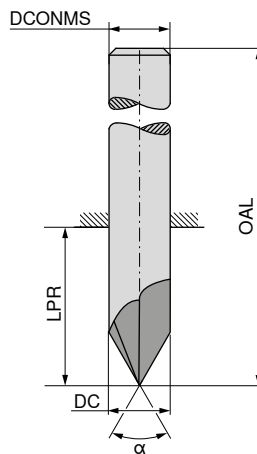
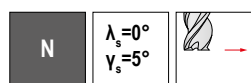
P	●	●	●	●
M	●	●	●	●
K	●	●	●	●
N				
S	●	●	●	●
H				
O				

→ v_c/f_z Page 379

SilverLine – Fraises à ébavurer

Les fraises polyvalentes pour une utilisation universelle

▲ Angle de pointe $\alpha = 90^\circ$



DRAGOSKIN



DRAGOSKIN



DC mm	OAL mm	LPR mm	DCONMS mm	ZEFP
4	50	22	4	5
6	55	19	6	5
8	58	22	8	5
10	60	20	10	5
12	70	25	12	5
16	80	32	16	5

| $\alpha = 90^\circ$
Norme usine |
|------------------------------------|------------------------------------|------------------------------------|------------------------------------|
| | | | |
| 50 564 ... | 50 565 ... | 50 560 ... | 50 561 ... |
| EUR
V1 | EUR
V1 | EUR
V1 | EUR
V1 |
| 39,99 04000 | 44,87 06000 | 49,34 04000 | 54,22 06000 |
| 44,87 06000 | 59,96 08000 | 54,22 06000 | 70,65 08000 |
| 59,96 08000 | 71,16 10000 | 70,65 08000 | 70,65 08000 |
| 71,16 10000 | 92,72 12000 | 83,97 10000 | 83,97 10000 |
| 92,72 12000 | 147,40 16000 | 107,30 12000 | 107,30 12000 |
| 147,40 16000 | 147,40 16000 | 167,10 16000 | 167,10 16000 |

P	●	●	●	●
M	●	●	●	●
K	●	●	●	●
N				
S	●	●	●	●
H				
O				

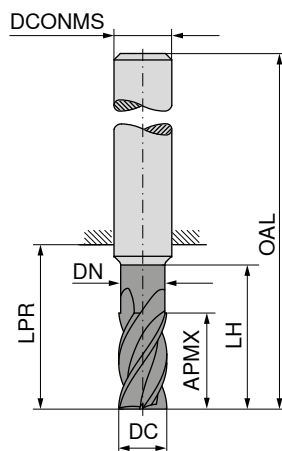
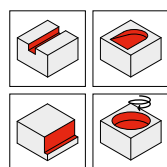
→ v_c/f_z Page 379

S-Cut – Fraises deux tailles

Les fraises polyvalentes pour une coupe douce et faiblement énergivore



APX72S



≈DIN 6527



52 225 ...

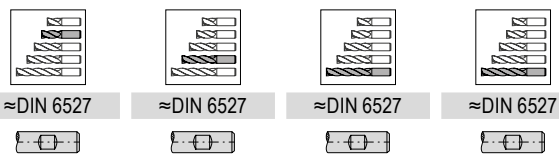
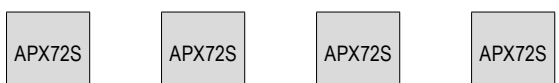
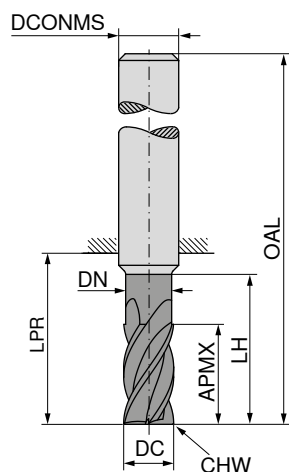
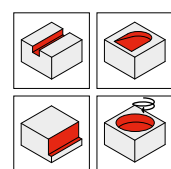
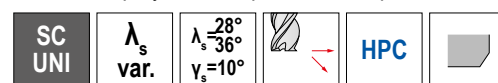
DC _{r8} mm	APMX mm	DN mm	LH mm	LPR mm	OAL mm	DCONMS _{h6} mm	ZEFF	EUR V1/1#	
3	8	2,8	15,0	21	57	6	4	53,31	030
4	11	3,8	16,5	21	57	6	4	53,31	040
5	13	4,8	18,5	21	57	6	4	53,31	050
6	13	5,5	21,0	21	57	6	4	53,31	060
8	19	7,5	27,0	27	63	8	4	71,55	080
10	22	9,5	32,0	32	72	10	4	101,50	100
12	26	11,5	38,0	38	83	12	4	141,30	120
14	26	13,5	38,0	38	83	14	4	182,40	140
16	36	15,5	44,0	44	92	16	4	228,80	160
18	36	17,5	52,0	52	100	18	4	307,10	180
20	38	19,5	54,0	54	104	20	4	352,00	200
25	42	24,0	65,0	65	121	25	4	559,10	250

P	●
M	●
K	●
N	○
S	○
H	○
O	○

→ v_c/f_z Page 402+403

S-Cut – Fraises deux tailles

Les fraises polyvalentes pour une coupe douce et faiblement énergivore



52 223 ...	52 224 ...	52 226 ...	52 227 ...
EUR V1/1#	EUR V1/1#	EUR V1/1#	EUR V1/1#

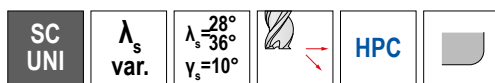
DC mm	APMX mm	DN mm	LH mm	LPR mm	OAL mm	DCONMS mm	CHW mm	ZEFF	EUR V1/1#	EUR V1/1#	EUR V1/1#	EUR V1/1#	
3	6	2,8	12,0	18	54	6	0,10	4	44,04	030			
3	8	2,8	15,0	21	57	6	0,10	4		53,31	030		
4	8	3,8	13,5	18	54	6	0,13	4	44,04	040			
4	11	3,8	16,5	21	57	6	0,13	4		53,31	040		
5	9	4,8	15,5	18	54	6	0,18	4	44,04	050			
5	13	4,8	18,5	21	57	6	0,18	4		53,31	050		
5	22	4,8	24,5	27	63	6	0,18	4			64,90	050	
6	10	5,5	18,0	18	54	6	0,20	4	44,04	060			
6	13	5,5	21,0	21	57	6	0,20	4		53,31	060		
6	13	5,5	42,0	44	80	6	0,20	4			64,90	060	
6	22	5,5	27,0	27	63	6	0,20	4				81,54	
7	12	6,5	22,0	22	58	8	0,20	4	61,73	070			
7	19	6,5	27,0	27	63	8	0,20	4		73,74	070		
8	12	7,5	22,0	22	58	8	0,20	4	59,81	080			
8	19	7,5	27,0	27	63	8	0,20	4		71,55	080		
8	21	7,5	62,0	64	100	8	0,20	4				96,47	
8	28	7,5	36,0	44	80	8	0,20	4				080	
9	14	8,5	26,0	26	66	10	0,30	4	84,15	090			
9	22	8,5	32,0	32	72	10	0,20	4		104,70	090		
10	14	9,5	26,0	26	66	10	0,30	4	81,54	100			
10	22	9,5	32,0	32	72	10	0,30	4		101,50	100		
10	22	9,5	58,0	60	100	10	0,30	4				119,80	
10	33	9,5	54,0	60	100	10	0,30	4				100	
11	16	10,5	28,0	28	73	12	0,30	4	125,20	110			
11	26	10,5	38,0	38	83	12	0,30	4		146,30	110		
12	16	11,5	28,0	28	73	12	0,30	4	121,40	120			
12	26	11,5	38,0	38	83	12	0,30	4		141,30	120		
12	26	11,5	73,0	75	120	12	0,30	4				149,30	
12	42	11,5	54,0	55	100	12	0,30	4				120	
13	18	12,5	30,0	30	75	14	0,30	4	159,50	130			
13	26	12,5	38,0	38	83	14	0,30	4		188,40	130		
14	18	13,5	30,0	30	75	14	0,30	4	155,00	140			
14	26	13,5	38,0	38	83	14	0,30	4		182,40	140		
14	48	13,5	54,0	55	100	14	0,30	4		155,00	140		
16	22	15,5	34,0	34	82	16	0,40	4	194,30	160			
16	36	15,5	44,0	44	92	16	0,40	4		228,80	160		
16	36	15,5	100,0	102	150	16	0,40	4				260,60	
16	53	15,5	84,0	102	150	16	0,40	4				160	
18	24	17,5	34,0	36	84	18	0,40	4	260,60	180			
18	36	17,5	52,0	52	100	18	0,40	4		307,10	180		
20	26	19,5	42,0	42	92	20	0,50	4	302,80	200			
20	38	19,5	54,0	54	104	20	0,50	4		352,00	200		
20	38	19,5	100,0	100	150	20	0,50	4				369,50	
20	68	19,5	84,0	100	150	20	0,50	4	478,20	250			
25	32	24,0	46,0	49	105	25	0,50	4		559,10	250		
25	42	24,0	65,0	65	121	25	0,50	4				647,50	
25	68	24,0	84,0	94	150	25	0,50	4				250	

P	●	●	●	●
M	●	●	●	●
K	●	●	●	●
N	○	○	○	○
S	○	○	○	○
H	○	○	○	○
O	○	○	○	○

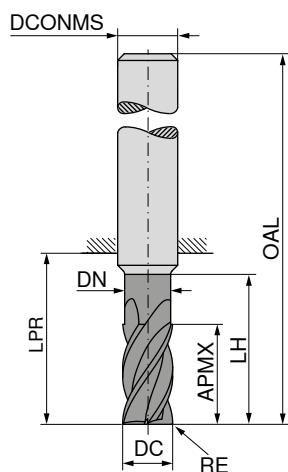
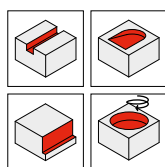
→ v_c/f_z Page 402–405

S-Cut – Fraise deux tailles rayonnées

Les fraises polyvalentes pour une coupe douce et faiblement énergivore



APX72S



≈DIN 6527

52 228 ...

DC _{r8} mm	RE mm	APMX mm	DN mm	LH mm	LPR mm	OAL mm	DCONMS _{h6} mm	ZEFFP	EUR V1/1#
3	0,25	8	2,8	15,0	21	57	6	4	53,31 03003
3	0,50	8	2,8	15,0	21	57	6	4	53,31 03005
3	1,00	8	2,8	15,0	21	57	6	4	53,31 03010
4	0,25	11	3,8	16,5	21	57	6	4	53,31 04003
4	0,50	11	3,8	16,5	21	57	6	4	53,31 04005
4	1,00	11	3,8	16,5	21	57	6	4	53,31 04010
5	0,50	13	4,8	18,5	21	57	6	4	53,31 05005
5	1,00	13	4,8	18,5	21	57	6	4	53,31 05010
5	1,50	13	4,8	18,5	21	57	6	4	53,31 05015
6	0,50	13	5,5	21,0	21	57	6	4	53,31 06005
6	0,80	13	5,5	21,0	21	57	6	4	53,31 06008
6	1,00	13	5,5	21,0	21	57	6	4	53,31 06010
6	1,50	13	5,5	21,0	21	57	6	4	53,31 06015
6	2,00	13	5,5	21,0	21	57	6	4	53,31 06020
8	0,50	19	7,5	27,0	27	63	8	4	71,55 08005
8	0,80	19	7,5	27,0	27	63	8	4	71,55 08008
8	1,00	19	7,5	27,0	27	63	8	4	71,55 08010
8	1,50	19	7,5	27,0	27	63	8	4	71,55 08015
8	2,00	19	7,5	27,0	27	63	8	4	71,55 08020
10	0,50	22	9,5	32,0	32	72	10	4	101,50 10005
10	1,00	22	9,5	32,0	32	72	10	4	101,50 10010
10	1,50	22	9,5	32,0	32	72	10	4	101,50 10015
10	1,60	22	9,5	32,0	32	72	10	4	101,50 10016
10	2,00	22	9,5	32,0	32	72	10	4	101,50 10020
12	0,50	26	11,5	38,0	38	83	12	4	141,30 12005
12	1,00	26	11,5	38,0	38	83	12	4	141,30 12010
12	1,50	26	11,5	38,0	38	83	12	4	141,30 12015
12	1,60	26	11,5	38,0	38	83	12	4	141,30 12016
12	2,00	26	11,5	38,0	38	83	12	4	141,30 12020
12	3,00	26	11,5	38,0	38	83	12	4	141,30 12030
16	1,00	36	15,5	44,0	44	92	16	4	228,80 16010
16	1,50	36	15,5	44,0	44	92	16	4	228,80 16015
16	1,60	36	15,5	44,0	44	92	16	4	228,80 16016
16	2,00	36	15,5	44,0	44	92	16	4	228,80 16020
16	2,50	36	15,5	44,0	44	92	16	4	228,80 16025
16	3,00	36	15,5	44,0	44	92	16	4	228,80 16030
20	1,00	38	19,5	54,0	54	104	20	4	352,00 20010
20	1,50	38	19,5	54,0	54	104	20	4	352,00 20015
20	2,00	38	19,5	54,0	54	104	20	4	352,00 20020
20	2,50	38	19,5	54,0	54	104	20	4	352,00 20025
20	3,00	38	19,5	54,0	54	104	20	4	352,00 20030
20	4,00	38	19,5	54,0	54	104	20	4	352,00 20040

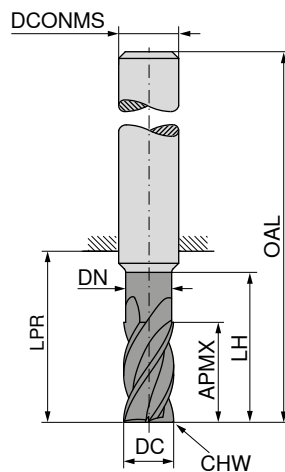
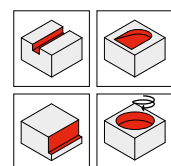
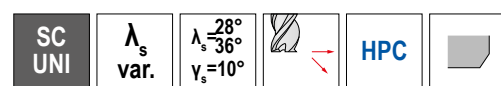
P	●
M	●
K	●
N	○
S	○
H	○
O	○

→ v_c/f_z Page 402+403

S-Cut – Fraises deux tailles

Les fraises polyvalentes pour une coupe douce et faiblement énergivore

- ▲ Pour l'usinage trochoïdal
- ▲ avec brise copeaux.



APX72S



≈DIN 6527



52 230 ...

DC _{r8} mm	APMX mm	DN mm	LH mm	LPR mm	OAL mm	DCONMS _{h6} mm	CHW mm	ZEFP	EUR V1/1#	
6	18	5,5	25	26	62	6	0,12	5	79,09	060
8	24	7,5	30	32	68	8	0,16	5	104,70	080
10	30	9,5	35	40	80	10	0,20	5	133,20	100
12	36	11,5	45	48	93	12	0,24	5	175,30	120
16	48	15,5	55	60	108	16	0,32	5	299,80	160
20	60	19,5	70	76	126	20	0,40	5	472,30	200

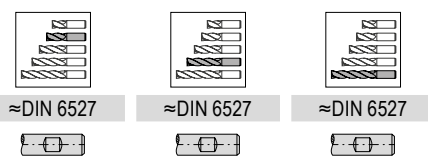
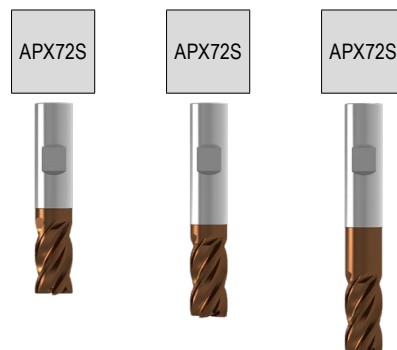
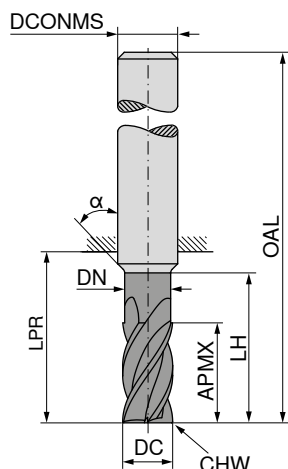
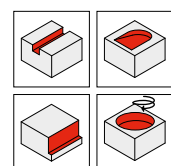
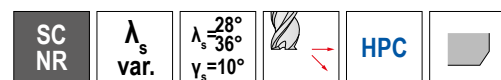
P	●
M	●
K	●
N	
S	
H	
O	○

→ v_c/f_z Page 406+407

S-Cut – Fraises d'ébauche

Les fraises polyvalentes pour une coupe douce et faiblement énergivore

▲ Avec brise-coapeaux d'ébauche



DC _{h11} mm	APMX mm	DN mm	LH mm	LPR mm	OAL mm	DCONMS _{h6} mm	CHW mm	α°	ZEFFP	52 205 ...	52 205 ...	52 205 ...
										EUR V1/1#	EUR V1/1#	EUR V1/1#
3	6	2,8	12,0	18	54	6	0,18	15	4	86,19	03100	
3	8	2,8	14,0	21	57	6	0,18	15	4	102,10	03200	116,70 03400
3	8	2,8	19,0	26	62	6	0,18	15	4	86,19	04100	102,10 04200
4	8	3,8	13,5	18	54	6	0,20	15	4	86,19	05100	116,70 04400
4	11	3,8	18,0	21	57	6	0,20	15	4	102,10	05200	116,70 05400
4	11	3,8	23,0	26	62	6	0,20	15	4	86,19	06100	102,10 06200
5	9	4,8	15,5	18	54	6	0,25	15	4	109,70	08100	116,70 06400
5	13	4,8	19,0	21	57	6	0,25	15	4	129,80	08200	148,60 08400
5	13	4,8	24,0	26	62	6	0,25	15	4	134,00	10100	158,60 10200
6	10	5,5	18,0	18	54	6	0,25		4	152,00	12100	181,40 10400
6	13	5,5	20,0	21	57	6	0,25		4	152,00	12200	205,70 12400
6	13	5,5	25,0	26	62	6	0,25		4	204,90	14100	242,60 14200
8	12	7,5	22,0	22	58	8	0,30		4	204,90	14100	277,50 14400
8	19	7,5	25,0	27	63	8	0,30		4	276,90	16100	328,00 16200
8	19	7,5	30,0	32	68	8	0,30		4	328,00	16200	375,00 16400
10	14	9,5	26,0	26	66	10	0,30		4	399,80	20100	473,50 20200
10	22	9,5	30,0	32	72	10	0,30		4	473,50	20200	541,40 20400
10	22	9,5	35,0	40	80	10	0,30		4			
12	16	11,5	28,0	28	73	12	0,45		4			
12	26	11,5	35,0	38	83	12	0,45		4			
12	26	11,5	45,0	48	93	12	0,45		4			
14	18	13,5	30,0	30	75	14	0,50		4			
14	26	13,5	35,0	38	83	14	0,50		4			
14	26	13,5	50,0	54	99	14	0,50		4			
16	22	15,5	34,0	34	82	16	0,60		4			
16	32	15,5	40,0	44	92	16	0,60		4			
16	32	15,5	55,0	60	108	16	0,60		4			
20	26	19,5	42,0	42	92	20	0,60		4			
20	38	19,5	50,0	54	104	20	0,60		4			
20	38	19,5	70,0	76	126	20	0,60		4			

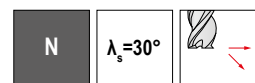
P	●	●	●
M	●	●	●
K	●	●	●
N	○	○	○
S	○	○	○
H	○	○	○
O	○	○	○

→ v_c/f_z Page 402–405

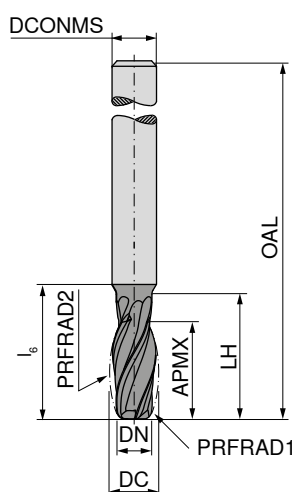
3D Finish – Forme de tonneau

Les spécialistes pour la finition 3D

▲ Tolérance sur forme $\pm 0,01$ mm



APB72S



DIN 6527



52 739 ...

EUR

V1

181,00

100

DC mm	DCONMS mm	DN mm	PRFRAD1 mm	PRFRAD2 mm	LH mm	APMX mm	I _s mm	OAL mm	ZEFP
10	10	8	2	50	28	21	30	80	4

P	●
M	●
K	●
N	●
S	●
H	○
O	●

→ v_c/f_z Page 408

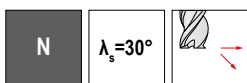


Pour plus d'informations sur ce type d'application ainsi que sur le choix des outils, veuillez consulter les informations techniques → **Page 491+492**.

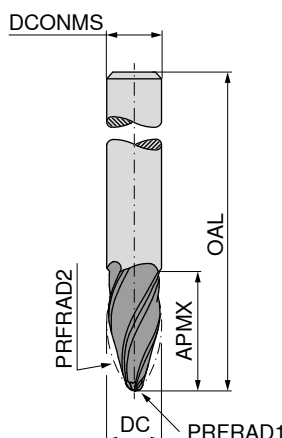
3D Finish – Forme ovale

Les spécialistes pour la finition 3D

▲ Tolérance sur forme $\pm 0,01$ mm



APB72S



DIN 6527



52 745 ...

DC mm	DCONMS mm	PRFRAD1 mm	PRFRAD2 mm	APMX mm	OAL mm	ZEFP	EUR V1	
6	6	1	95	22	62	3	121,50	060
8	8	1	90	25	68	3	160,40	080
10	10	2	85	26	72	4	181,00	100
12	12	2	80	28	83	4	271,40	120
16	16	3	75	31	92	4	328,30	160

P	●
M	●
K	●
N	●
S	●
H	○
O	●

→ v_c/f_z Page 409

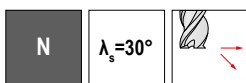


Pour plus d'informations sur ce type d'application ainsi que sur le choix des outils, veuillez consulter les informations techniques → Page 491+492.

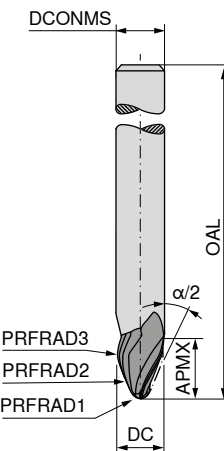
3D Finish – Forme conique

Les spécialistes pour la finition 3D

▲ Tolérance sur forme $\pm 0,01$ mm



APB72S



DIN 6527



52 753 ...

DC mm	DCONMS h6 mm	PRFRAD1 mm	PRFRAD2 mm	PRFRAD3 mm	$\alpha/2$	APMX mm	OAL mm	ZEFF	EUR V1
6	6	1,0	250	3	17,5	9,5	62	3	124,10 060
8	8	1,5	250	4	20	10,5	68	3	173,40 080
10	10	2,0	250	5	20	12,5	80	3	201,80 100
12	12	1,0	200	1	42,5	8,0	93	3	258,60 120
12	12	3,0	250	6	20	13,5	93	3	258,60 121
16	16	2,0	1000	5	12,5	31,0	108	3	336,10 160
16	16	4,0	500	8	20	18,5	108	3	336,10 161
16	16	4,0	1000	5	12,5	24,0	108	3	336,10 162
16	16	4,0	1500	8	20	18,5	108	3	336,10 163

P	●
M	●
K	●
N	●
S	●
H	○
O	●

→ v_c/f_z Page 410

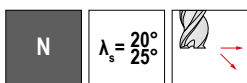


Pour plus d'informations sur ce type d'application ainsi que sur le choix des outils, veuillez consulter les informations techniques → Page 491+492.

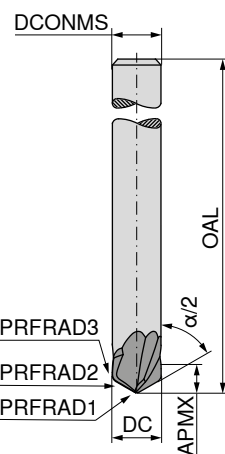
3D Finish – Forme conique

Les spécialistes pour la finition 3D

▲ Tolérance sur forme $\pm 0,01$ mm



APB72S



DIN 6527



52 755 ...

DC mm	DCONMS mm	PRFRAD1 mm	PRFRAD2 mm	PRFRAD3 mm	$\alpha/2$	APMX mm	OAL mm	ZEFF	EUR V1
10	10	1	200	1,5	60	6	80	2	168,00
10	10	1	200	2,0	70	6	80	2	168,00

P	●
M	●
K	●
N	●
S	●
H	○
O	●

→ v_c/f_z Page 410

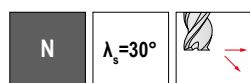


Pour plus d'informations sur ce type d'application ainsi que sur le choix des outils, veuillez consulter les informations techniques → Page 491+492.

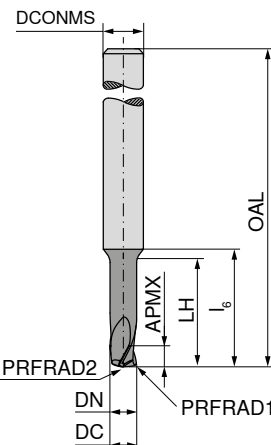
3D Finish – Forme lenticulaire

Les spécialistes pour la finition 3D

▲ Tolérance sur forme $\pm 0,01$ mm



APB72S



DIN 6527



52 756 ...

DC mm	DCONMS mm	DN mm	PRFRAD1 mm	PRFRAD2 mm	LH mm	APMX mm	I ₆ mm	OAL mm	ZEFP	EUR V1
4	6	4	0,25	6	18	4	20	62	3	129,30
6	6		0,50	10		6		62	3	126,70
8	8		0,75	15		8		68	3	142,20
10	10		1,00	20		10		80	3	168,00
12	12		1,25	25		12		93	3	194,00

P	●
M	●
K	●
N	●
S	●
H	
O	

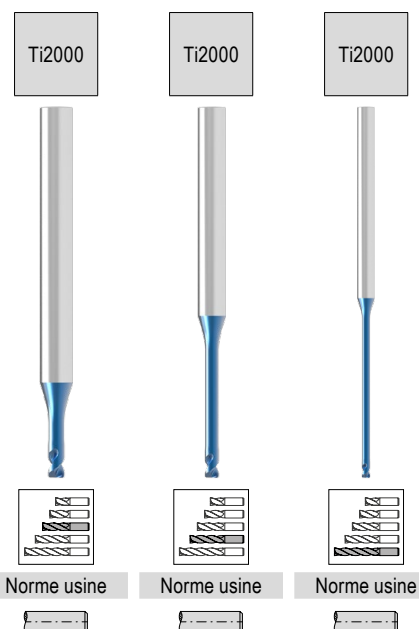
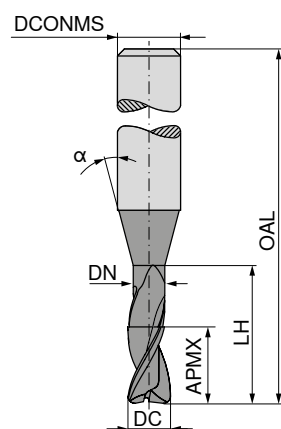
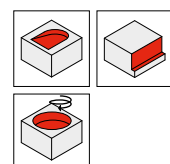
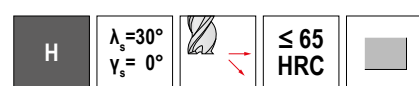
→ v_c/f_z Page 411



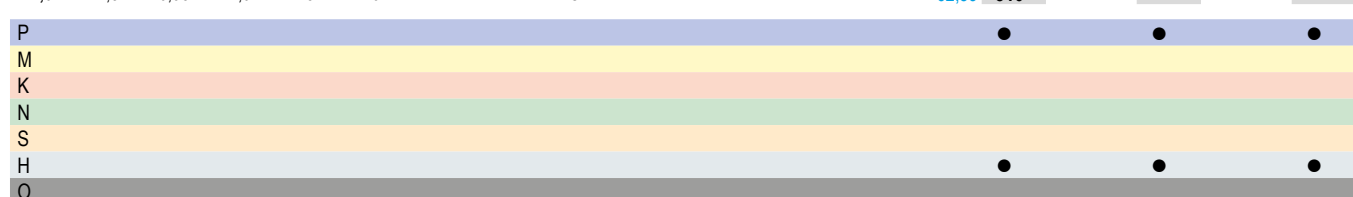
Pour plus d'informations sur ce type d'application ainsi que sur le choix des outils, veuillez consulter les informations techniques → Page 491+492.

BlueLine – Micro-fraises deux tailles

Les fraises polyvalentes pour l'usinage des aciers trempés

▲ T_x = Longueur utile maximale

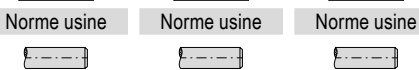
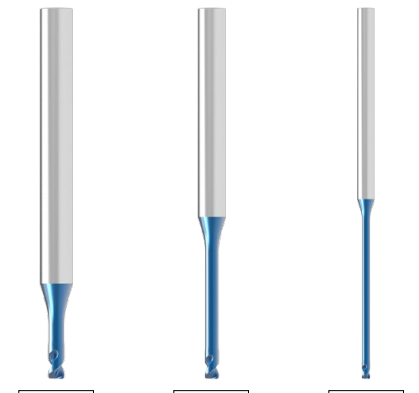
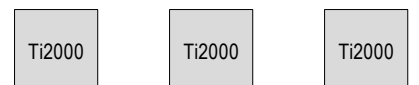
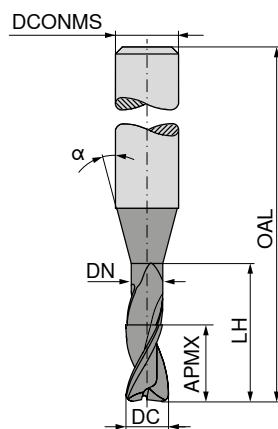
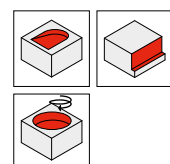
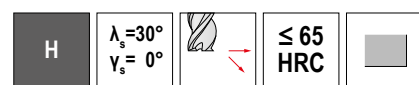
		52 345 ...		52 346 ...		52 347 ...					
DC _{-0,01} mm	APMX mm	DN mm	LH mm	OAL mm	a°	DCONMS _{h5} mm	T _x	ZEFP	EUR V1	EUR V1	EUR V1
0,2	0,3	0,18	0,5	45	16	4	2,5 x DC	2	82,41	302	
0,2	0,3	0,18	1,0	45	16	4	5 x DC	2	82,41	402	
0,2	0,3	0,18	1,5	45	16	4	7,5 x DC	2	82,41	502	
0,3	0,4	0,28	1,0	45	16	4	3,3 x DC	2	79,01	303	
0,3	0,4	0,28	2,0	45	16	4	6,6 x DC	2	79,01	403	
0,3	0,4	0,28	3,0	45	16	4	10 x DC	2			79,01
0,3	0,4	0,28	6,0	45	16	4	20 x DC	2			79,01
0,3	0,4	0,28	9,0	45	16	4	30 x DC	2			79,01
0,4	0,6	0,38	2,0	45	16	4	5 x DC	2	77,87	304	
0,4	0,6	0,38	3,0	45	16	4	7,5 x DC	2	77,87	404	
0,4	0,6	0,38	4,0	45	16	4	10 x DC	2			77,87
0,4	0,6	0,38	5,0	45	16	4	12,5 x DC	2			77,87
0,4	0,6	0,38	8,0	45	16	4	20 x DC	2			80,28
0,4	0,6	0,38	12,0	45	16	4	30 x DC	2			404
0,5	0,7	0,48	2,0	45	16	4	4 x DC	2	63,39	305	
0,5	0,7	0,48	4,0	45	16	4	8 x DC	2	63,39	405	
0,5	0,7	0,48	6,0	45	16	4	12 x DC	2			63,39
0,5	0,7	0,48	8,0	45	16	4	16 x DC	2			65,22
0,5	0,7	0,48	10,0	50	16	4	20 x DC	2			405
0,5	0,7	0,48	15,0	50	16	4	30 x DC	2			66,63
0,6	0,9	0,58	2,0	45	16	4	3,3 x DC	2	63,39	306	
0,6	0,9	0,58	4,0	45	16	4	6,6 x DC	2	63,39	406	
0,6	0,9	0,58	6,0	45	16	4	10 x DC	2			63,39
0,6	0,9	0,58	8,0	45	16	4	13,3 x DC	2			65,22
0,6	0,9	0,58	10,0	45	16	4	16,6 x DC	2			506
0,6	0,9	0,58	12,0	50	16	4	20 x DC	2			65,65
0,6	0,9	0,58	18,0	50	16	4	30 x DC	2			70,36
0,7	1,0	0,68	2,0	45	16	4	2,8 x DC	2	66,79	307	
0,7	1,0	0,68	4,0	45	16	4	5,7 x DC	2	66,79	407	
0,7	1,0	0,68	6,0	45	16	4	8,5 x DC	2	66,79	507	
0,7	1,0	0,68	8,0	45	16	4	11,4 x DC	2			68,65
0,7	1,0	0,68	10,0	50	16	4	14,2 x DC	2			407
0,8	1,2	0,78	4,0	45	16	4	5 x DC	2	72,74	308	
0,8	1,2	0,78	6,0	45	16	4	7,5 x DC	2	72,74	408	
0,8	1,2	0,78	8,0	45	16	4	10 x DC	2			72,74
0,8	1,2	0,78	10,0	50	16	4	12,5 x DC	2			76,31
0,8	1,2	0,78	12,0	50	16	4	15 x DC	2			508
0,8	1,2	0,78	16,0	50	16	4	20 x DC	2			80,13
0,8	1,2	0,78	24,0	60	16	4	30 x DC	2			83,55
0,9	1,3	0,88	4,0	45	16	4	4,4 x DC	2	60,68	309	
0,9	1,3	0,88	6,0	45	16	4	6,6 x DC	2	60,68	409	
0,9	1,3	0,88	8,0	45	16	4	8,8 x DC	2	62,39	509	
0,9	1,3	0,88	10,0	45	16	4	11 x DC	2			62,39
0,9	1,3	0,88	15,0	50	16	4	16,6 x DC	2			409
1,0	1,5	0,95	4,0	45	16	4	4 x DC	2	62,39	310	

→ v_c/f_z Page 420+421

BlueLine – Micro-fraises deux tailles

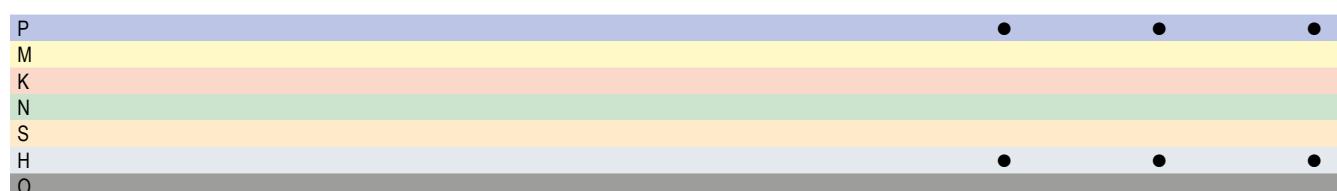
Les fraises polyvalentes pour l'usinage des aciers trempés

▲ T_x = Longueur utile maximale



52 345 ... **52 346 ...** **52 347 ...**

DC _{-0,01} mm	APMX mm	DN mm	LH mm	OAL mm	α°	DCONMS _{h5} mm	T_x	ZEFP	EUR V1	EUR V1	EUR V1
1,0	1,5	0,95	6,0	45	16	4	6 x DC	2	62,39	410	
1,0	1,5	0,95	8,0	45	16	4	8 x DC	2	62,39	510	
1,0	1,5	0,95	10,0	45	16	4	10 x DC	2			62,39 310
1,0	1,5	0,95	12,0	45	16	4	12 x DC	2			63,66 410
1,0	1,5	0,95	14,0	45	16	4	14 x DC	2			63,66 510
1,0	1,5	0,95	16,0	50	16	4	16 x DC	2			66,63 610
1,0	1,5	0,95	20,0	54	16	4	20 x DC	2			73,89 310
1,0	1,5	0,95	25,0	70	16	4	25 x DC	2			80,13 410
1,0	1,5	0,95	30,0	70	16	4	30 x DC	2			81,28 510
1,2	1,8	1,14	6,0	45	16	4	5 x DC	2	67,50	312	
1,2	1,8	1,14	8,0	45	16	4	6,6 x DC	2	67,50	412	
1,2	1,8	1,14	10,0	45	16	4	8,3 x DC	2	69,35	512	
1,2	1,8	1,14	12,0	45	16	4	10 x DC	2			69,35 312
1,2	1,8	1,14	16,0	50	16	4	13,3 x DC	2			76,31 412
1,2	1,8	1,14	20,0	60	16	4	16,6 x DC	2			78,44 512
1,4	2,1	1,34	6,0	45	16	4	4,2 x DC	2	67,50	314	
1,4	2,1	1,34	8,0	45	16	4	5,7 x DC	2	67,50	414	
1,4	2,1	1,34	10,0	45	16	4	7,1 x DC	2	69,35	514	
1,4	2,1	1,34	12,0	45	16	4	8,5 x DC	2	69,35	614	
1,4	2,1	1,34	14,0	45	16	4	10 x DC	2			69,35 314
1,4	2,1	1,34	16,0	50	16	4	11,4 x DC	2			76,31 414
1,4	2,1	1,34	22,0	54	16	4	15,7 x DC	2			78,44 514
1,5	2,3	1,44	6,0	45	16	4	4 x DC	2	65,09	315	
1,5	2,3	1,44	8,0	45	16	4	5,3 x DC	2	65,09	415	
1,5	2,3	1,44	10,0	45	16	4	6,6 x DC	2	65,93	515	
1,5	2,3	1,44	12,0	45	16	4	8 x DC	2	65,93	615	
1,5	2,3	1,44	14,0	50	16	4	9,3 x DC	2	73,76	715	
1,5	2,3	1,44	16,0	50	16	4	10,6 x DC	2			73,76 315
1,5	2,3	1,44	18,0	54	16	4	12 x DC	2			73,76 415
1,5	2,3	1,44	20,0	54	16	4	13,3 x DC	2			73,76 515
1,5	2,3	1,44	25,0	70	16	4	16,6 x DC	2			81,13 615
1,5	2,3	1,44	30,0	70	16	4	20 x DC	2			81,13 715
1,5	2,3	1,44	35,0	70	16	4	23,3 x DC	2			82,14 315
1,5	2,3	1,44	40,0	80	16	4	26,6 x DC	2			85,96 415
1,5	2,3	1,44	45,0	80	16	4	30 x DC	2			87,82 515
1,6	2,4	1,51	6,0	45	16	4	3,7 x DC	2	65,09	316	
1,6	2,4	1,51	8,0	45	16	4	5 x DC	2	65,09	416	
1,6	2,4	1,51	10,0	45	16	4	6,2 x DC	2	65,93	516	
1,6	2,4	1,51	12,0	45	16	4	7,5 x DC	2	65,93	616	
1,6	2,4	1,51	14,0	50	16	4	8,75 x DC	2	69,63	716	
1,6	2,4	1,51	16,0	50	16	4	10 x DC	2			69,63 316
1,6	2,4	1,51	18,0	54	16	4	11,25 x DC	2			69,63 416
1,6	2,4	1,51	20,0	54	16	4	12,5 x DC	2			69,63 516
1,6	2,4	1,51	26,0	60	16	4	16,2 x DC	2			81,13 616
1,8	2,7	1,71	6,0	45	16	4	3,3 x DC	2	65,09	318	

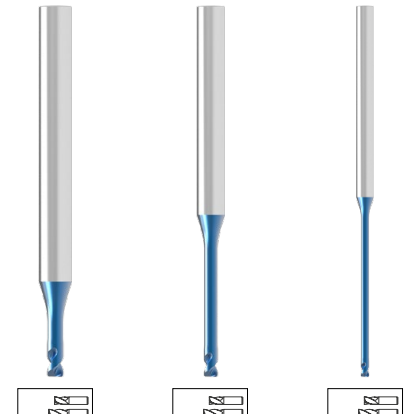
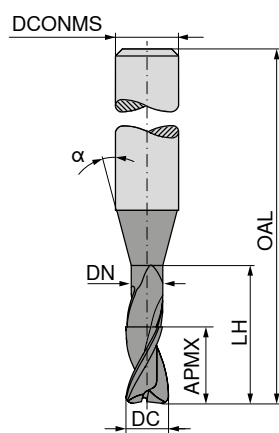
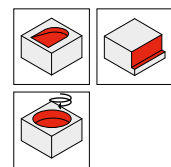
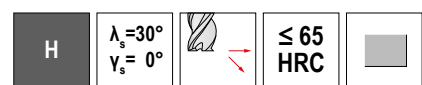


→ v_c/f_z Page 420+421

BlueLine – Micro-fraises deux tailles

Les fraises polyvalentes pour l'usinage des aciers trempés

▲ T_x = Longueur utile maximale



52 345 ... 52 346 ... 52 347 ...

DC -0,01 mm	APMX mm	DN mm	LH mm	OAL mm	α°	DCONMS h_5 mm	T_x	ZEFP	EUR V1	EUR V1	EUR V1
1,8	2,7	1,71	8,0	45	16	4	4,4 x DC	2	65,09	418	
1,8	2,7	1,71	10,0	45	16	4	5,5 x DC	2	65,65	518	
1,8	2,7	1,71	12,0	45	16	4	6,6 x DC	2	65,93	618	
1,8	2,7	1,71	14,0	50	16	4	7,7 x DC	2	69,63	718	
1,8	2,7	1,71	16,0	50	16	4	8,8 x DC	2	69,63	818	
1,8	2,7	1,71	18,0	54	16	4	10 x DC	2			73,76
1,8	2,7	1,71	20,0	54	16	4	11 x DC	2			73,76
1,8	2,7	1,71	25,0	60	16	4	13,8 x DC	2			81,13
2,0	3,0	1,91	6,0	45	16	4	3 x DC	2	65,09	320	
2,0	3,0	1,91	8,0	45	16	4	4 x DC	2	65,09	420	
2,0	3,0	1,91	10,0	45	16	4	5 x DC	2	65,93	520	
2,0	3,0	1,91	12,0	45	16	4	6 x DC	2	65,93	620	
2,0	3,0	1,91	14,0	50	16	4	7 x DC	2	69,63	720	
2,0	3,0	1,91	16,0	50	16	4	8 x DC	2	69,63	820	
2,0	3,0	1,91	18,0	54	16	4	9 x DC	2	69,63	920	
2,0	3,0	1,91	20,0	54	16	4	10 x DC	2			73,76
2,0	3,0	1,91	25,0	60	16	4	12,5 x DC	2			81,13
2,0	3,0	1,91	30,0	70	16	4	15 x DC	2			83,71
2,0	3,0	1,91	35,0	80	16	4	17,5 x DC	2			86,54
2,0	3,0	1,91	40,0	90	16	4	20 x DC	2			93,37
2,0	3,0	1,91	50,0	100	16	4	25 x DC	2			100,00
2,0	3,0	1,91	60,0	110	16	4	30 x DC	2			113,70
2,5	3,7	2,41	8,0	45	16	4	3,2 x DC	2	65,09	325	
2,5	3,7	2,41	10,0	45	16	4	4 x DC	2	65,93	425	
2,5	3,7	2,41	12,0	45	16	4	4,8 x DC	2	65,93	525	
2,5	3,7	2,41	14,0	50	16	4	5,6 x DC	2	69,63	625	
2,5	3,7	2,41	16,0	50	16	4	6,4 x DC	2	69,63	725	
2,5	3,7	2,41	18,0	54	16	4	7,2 x DC	2	73,76	825	
2,5	3,7	2,41	20,0	54	16	4	8 x DC	2	73,76	925	
2,5	3,7	2,41	25,0	60	16	4	10 x DC	2			80,57
2,5	3,7	2,41	30,0	70	16	4	12 x DC	2			87,95
2,5	3,7	2,41	40,0	90	16	4	16 x DC	2			114,00
2,5	3,7	2,41	50,0	100	16	4	20 x DC	2			127,30
3,0	4,5	2,92	8,0	45	16	4	2,6 x DC	2	65,93	330	
3,0	4,5	2,92	12,0	45	16	4	4 x DC	2	65,93	430	
3,0	4,5	2,92	16,0	50	16	4	5,3 x DC	2	69,63	530	
3,0	4,5	2,92	20,0	54	16	4	6,6 x DC	2	73,76	630	

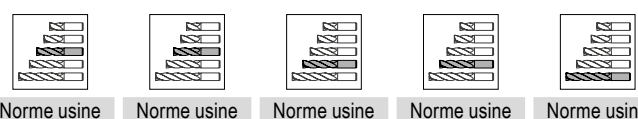
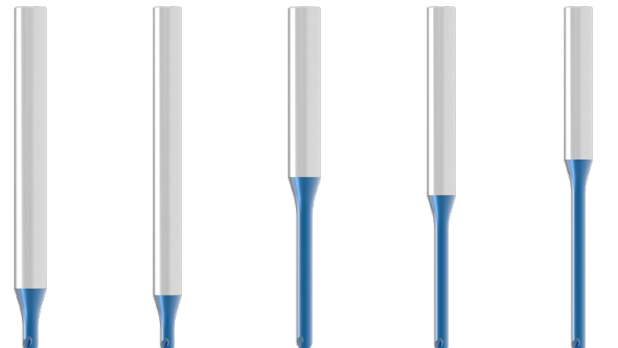
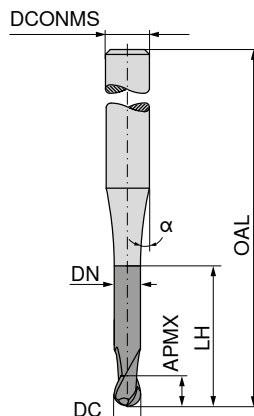
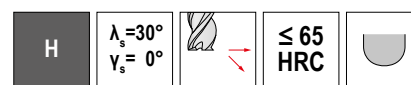
P	•	•	•
M			
K			
N			
S			
H	•	•	•
O			

→ v_c/f_z Page 420+421

BlueLine – Micro-fraises hémisphériques

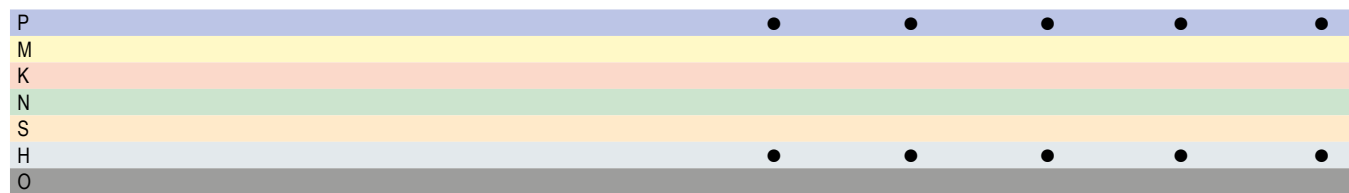
Les fraises polyvalentes pour l'usinage des aciers trempés

▲ T_x = Longueur utile maximale



52 356 ... 52 358 ... 52 357 ... 52 359 ... 52 360 ...

DC _{-0,01} mm	APMX mm	DN mm	LH mm	OAL mm	α°	DCONMS _{hs} mm	T _x	ZEFFP	EUR V1	EUR V1	EUR V1	EUR V1	EUR V1
0,2	0,16	0,17	0,30	45	16	4	1,5 x DC	2	86,23	302			
0,2	0,16	0,17	0,50	45	16	4	2,5 x DC	2	86,23	402			
0,2	0,16	0,17	0,75	45	16	4	3,75 x DC	2	86,23	502			
0,2	0,16	0,17	1,00	45	16	4	5 x DC	2	86,23	602			
0,2	0,16	0,17	1,25	45	16	4	6,2 x DC	2	86,23	702			
0,2	0,16	0,17	1,50	45	16	4	7,5 x DC	2	86,23	802			
0,2	0,16	0,17	1,75	45	16	4	8,7 x DC	2	86,23	902			
0,2	0,16	0,17	2,00	45	16	4	10 x DC	2			86,23	302	
0,2	0,16	0,17	2,50	45	16	4	12,5 x DC	2			86,23	402	
0,2	0,16	0,17	3,00	45	16	4	15 x DC	2			86,23	502	
0,3	0,24	0,27	0,50	45	16	4	1,6 x DC	2	83,71	303			
0,3	0,24	0,27	0,75	45	16	4	2,5 x DC	2	83,71	403			
0,3	0,24	0,27	1,00	45	16	4	3,3 x DC	2	83,71	503			
0,3	0,24	0,27	1,25	45	16	4	4,1 x DC	2	83,71	603			
0,3	0,24	0,27	1,50	45	16	4	5 x DC	2	83,71	703			
0,3	0,24	0,27	1,75	50	16	4	5,8 x DC	2			83,71	303	
0,3	0,24	0,27	2,00	50	16	4	6,6 x DC	2			83,71	403	
0,3	0,24	0,27	2,25	50	16	4	7,5 x DC	2			83,71	503	
0,3	0,24	0,27	2,50	50	16	4	8,3 x DC	2			83,71	603	
0,3	0,24	0,27	2,75	50	16	4	9,1 x DC	2			83,71	703	
0,3	0,24	0,27	3,00	50	16	4	10 x DC	2				83,71	303
0,3	0,24	0,27	3,50	50	16	4	11,6 x DC	2				83,71	403
0,3	0,24	0,27	4,00	50	16	4	13,3 x DC	2				83,71	503
0,3	0,24	0,27	4,50	50	16	4	15 x DC	2				83,71	603
0,4	0,32	0,34	0,50	45	16	4	1,2 x DC	2	82,54	304			
0,4	0,32	0,34	1,00	45	16	4	2,5 x DC	2	82,54	404			
0,4	0,32	0,34	1,50	45	16	4	3,75 x DC	2	82,54	504			
0,4	0,32	0,34	2,00	45	16	4	5 x DC	2	82,54	604			
0,4	0,32	0,34	2,50	45	16	4	6,2 x DC	2	82,54	704			
0,4	0,32	0,34	3,00	45	16	4	7,5 x DC	2	82,54	804			
0,4	0,32	0,34	3,50	45	16	4	8,7 x DC	2	82,01	904			
0,4	0,32	0,34	4,00	45	16	4	10 x DC	2			82,01	304	
0,4	0,32	0,34	4,50	45	16	4	11,2 x DC	2			82,01	404	
0,4	0,32	0,34	5,00	45	16	4	12,5 x DC	2			82,01	504	
0,4	0,32	0,34	5,50	45	16	4	13,7 x DC	2			82,01	604	
0,4	0,32	0,34	6,00	45	16	4	15 x DC	2			82,01	704	
0,5	0,40	0,47	1,50	45	16	4	3 x DC	2	67,06	305			
0,5	0,40	0,47	2,00	45	16	4	4 x DC	2	67,06	405			
0,5	0,40	0,47	2,50	45	16	4	5 x DC	2	67,06	505			
0,5	0,40	0,47	3,00	45	16	4	6 x DC	2	67,06	605			
0,5	0,40	0,47	3,50	45	16	4	7 x DC	2	67,06	705			

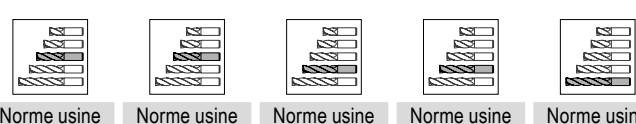
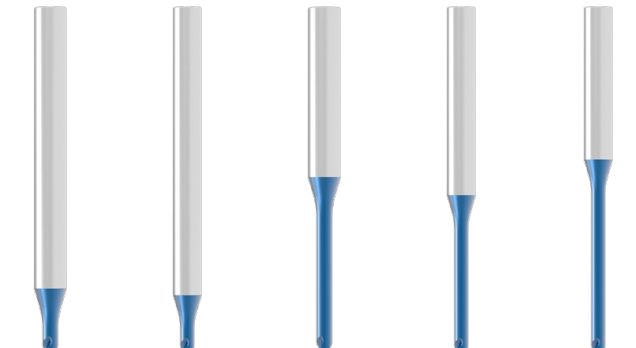
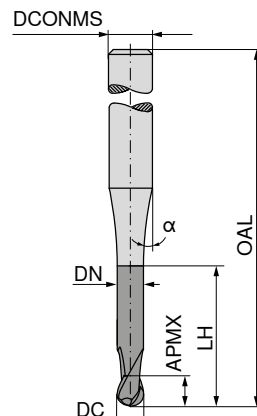


→ v_c/f_z Page 422+423

BlueLine – Micro-fraises hémisphériques

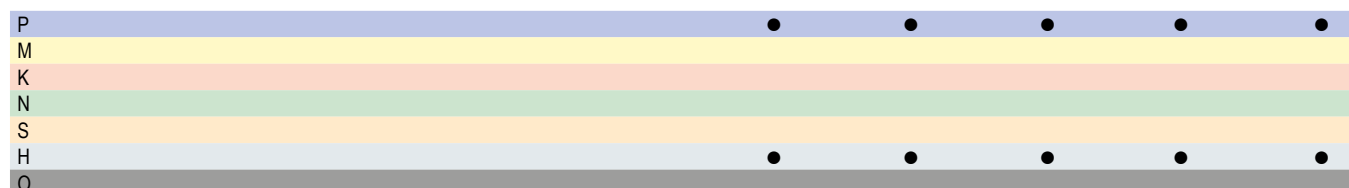
Les fraises polyvalentes pour l'usinage des aciers trempés

▲ T_x = Longueur utile maximale



52 356 ... 52 358 ... 52 357 ... 52 359 ... 52 360 ...

DC _{-0,01} mm	APMX mm	DN mm	LH mm	OAL mm	α°	DCONMS _{hs} mm	T _x	ZEFFP	EUR V1	EUR V1	EUR V1	EUR V1	EUR V1
0,5	0,40	0,47	4,00	45	16	4	8 x DC	2	67,06	805			
0,5	0,40	0,47	4,50	45	16	4	9 x DC	2	67,06	905			
0,5	0,40	0,47	5,00	45	16	4	10 x DC	2			67,06	305	
0,5	0,40	0,47	5,50	45	16	4	11 x DC	2			67,06	405	
0,5	0,40	0,47	6,00	45	16	4	12 x DC	2			67,06	505	
0,5	0,40	0,47	7,00	45	16	4	14 x DC	2			67,06	605	
0,5	0,40	0,47	8,00	45	16	4	16 x DC	2			67,94	705	
0,5	0,40	0,47	9,00	45	16	4	18 x DC	2			67,94	805	
0,5	0,40	0,47	10,00	50	16	4	20 x DC	2					
0,6	0,40	0,57	12,00	50	16	4	20 x DC	2					67,94
0,6	0,48	0,57	1,00	45	16	4	1,6 x DC	2	67,06	306			305
0,6	0,48	0,57	2,00	45	16	4	3,3 x DC	2	67,06	406			
0,6	0,48	0,57	3,00	45	16	4	5 x DC	2	67,06	506			
0,6	0,48	0,57	4,00	45	16	4	6,6 x DC	2	67,06	606			
0,6	0,48	0,57	5,00	45	16	4	8,3 x DC	2	67,06	706			
0,6	0,48	0,57	6,00	45	16	4	10 x DC	2			67,06	306	
0,6	0,48	0,57	8,00	45	16	4	13,3 x DC	2	67,06	406			
0,6	0,48	0,57	10,00	50	16	4	16,6 x DC	2				69,77	306
0,8	0,64	0,77	2,00	45	16	4	2,5 x DC	2	75,59	308			
0,8	0,64	0,77	3,00	45	16	4	3,75 x DC	2	75,59	408			
0,8	0,64	0,77	4,00	45	16	4	5 x DC	2	75,59	508			
0,8	0,64	0,77	5,00	45	16	4	6,2 x DC	2	75,59	608			
0,8	0,64	0,77	6,00	45	16	4	7,5 x DC	2	75,59	708			
0,8	0,64	0,77	7,00	45	16	4	8,7 x DC	2	75,59	808			
0,8	0,64	0,77	8,00	45	16	4	10 x DC	2			76,31	308	
0,8	0,64	0,77	9,00	45	16	4	11,2 x DC	2	76,31	408			
0,8	0,64	0,77	10,00	50	16	4	12,5 x DC	2			76,31	308	
1,0	0,80	0,96	3,00	45	16	4	3 x DC	2	64,23	310			
1,0	0,80	0,96	4,00	45	16	4	4 x DC	2	64,23	410			
1,0	0,80	0,96	5,00	45	16	4	5 x DC	2	64,23	510			
1,0	0,80	0,96	6,00	45	16	4	6 x DC	2	64,23	610			
1,0	0,80	0,96	7,00	45	16	4	7 x DC	2	69,35	710			
1,0	0,80	0,96	8,00	45	16	4	8 x DC	2	69,35	810			
1,0	0,80	0,96	9,00	45	16	4	9 x DC	2	69,35	910			
1,0	0,80	0,96	10,00	45	16	4	10 x DC	2			69,35	310	
1,0	0,80	0,96	12,00	45	16	4	12 x DC	2	69,35	410			
1,0	0,80	0,96	14,00	50	16	4	14 x DC	2			71,34	310	
1,0	0,80	0,96	16,00	50	16	4	16 x DC	2			74,17	410	
1,2	0,96	1,16	6,00	45	16	4	5 x DC	2	71,63	312			
1,2	0,96	1,16	8,00	45	16	4	6,6 x DC	2	71,63	412			
1,2	0,96	1,16	10,00	45	16	4	8,3 x DC	2	74,04	512			

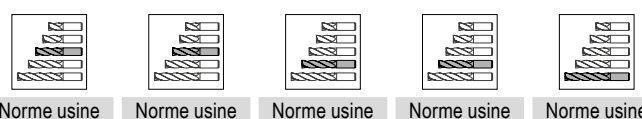
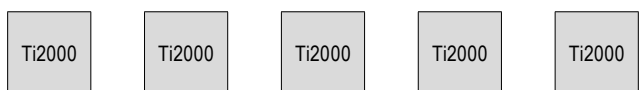
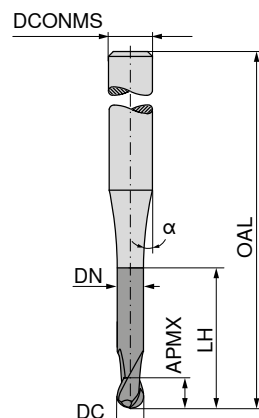
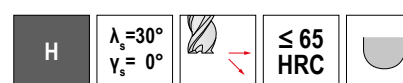


→ v_c/f_z Page 422+423

BlueLine – Micro-fraises hémisphériques

Les fraises polyvalentes pour l'usinage des aciers trempés

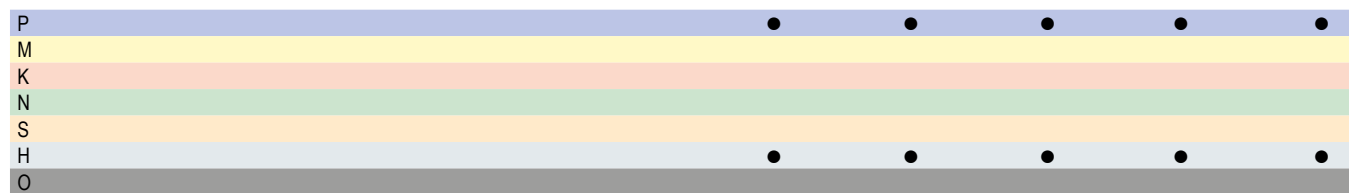
▲ T_x = Longueur utile maximale



Norme usine Norme usine Norme usine Norme usine Norme usine

52 356 ... 52 358 ... 52 357 ... 52 359 ... 52 360 ...

DC _{-0,01} mm	APMX mm	DN mm	LH mm	OAL mm	α°	DCONMS _{hs} mm	T_x	ZEFFP	EUR V1	EUR V1	EUR V1	EUR V1	EUR V1
1,2	0,96	1,16	12,00	45	16	4	10 x DC	2					
1,2	0,96	1,16	14,00	50	16	4	11,6 x DC	2					
1,2	0,96	1,16	16,00	50	16	4	13,3 x DC	2					
1,4	1,12	1,34	8,00	45	16	4	5,7 x DC	2	68,92	314			
1,4	1,12	1,34	12,00	45	16	4	8,5 x DC	2	71,63	414			
1,4	1,12	1,34	16,00	50	16	4	11,4 x DC	2					
1,5	1,20	1,44	3,00	45	16	4	2 x DC	2	67,35	315			
1,5	1,20	1,44	4,00	45	16	4	2,6 x DC	2	67,35	415			
1,5	1,20	1,44	6,00	45	16	4	4 x DC	2	67,35	515			
1,5	1,20	1,44	8,00	45	16	4	5,3 x DC	2	67,35	615			
1,5	1,20	1,44	10,00	45	16	4	6,6 x DC	2	67,35	715			
1,5	1,20	1,44	12,00	45	16	4	8 x DC	2	71,34	815			
1,5	1,20	1,44	14,00	50	16	4	9,3 x DC	2					
1,5	1,20	1,44	16,00	50	16	4	10,6 x DC	2					
1,6	1,28	1,54	8,00	45	16	4	5 x DC	2	71,34	316			
1,6	1,28	1,54	12,00	45	16	4	7,5 x DC	2	71,34	416			
1,6	1,28	1,54	16,00	50	16	4	10 x DC	2					
1,8	1,44	1,74	8,00	45	16	4	4,4 x DC	2	71,34	318			
1,8	1,44	1,74	12,00	45	16	4	6,6 x DC	2	71,34	418			
1,8	1,44	1,74	16,00	50	16	4	8,8 x DC	2					
2,0	1,60	1,94	3,00	45	16	4	1,5 x DC	2	66,93	320			
2,0	1,60	1,94	4,00	45	16	4	2 x DC	2	66,93	420			
2,0	1,60	1,94	6,00	45	16	4	3 x DC	2	66,93	520			
2,0	1,60	1,94	8,00	45	16	4	4 x DC	2	71,34	620			
2,0	1,60	1,94	10,00	45	16	4	5 x DC	2	71,34	720			
2,0	1,60	1,94	12,00	45	16	4	6 x DC	2	71,34	820			
2,0	1,60	1,94	14,00	50	16	4	7 x DC	2					
2,0	1,60	1,94	16,00	50	16	4	8 x DC	2					
2,5	2,00	2,41	10,00	45	16	4	4 x DC	2	74,31	325			
2,5	2,00	2,41	15,00	50	16	4	6 x DC	2	76,44	325			
3,0	3,50	2,92	8,00	45	16	4	2,6 x DC	2	71,63	330			
3,0	3,50	2,92	10,00	45	16	4	3,3 x DC	2	71,63	430			
3,0	3,50	2,92	12,00	45	16	4	4 x DC	2	71,63	530			
3,0	3,50	2,92	16,00	45	16	4	5,3 x DC	2	75,19	630			
3,0	3,50	2,92	16,00	50	16	4	5,3 x DC	2	75,59	330			

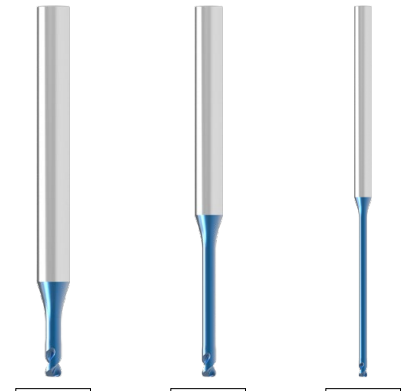
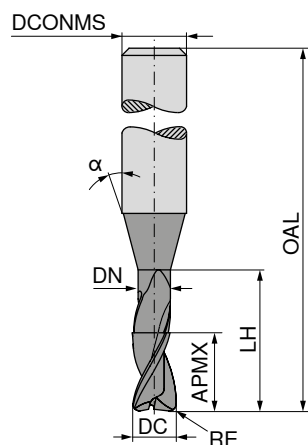
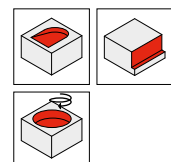
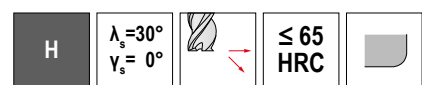


→ v_c/f_z Page 422+423

BlueLine – Micro-fraises toriques

Les fraises polyvalentes pour l'usinage des aciers trempés

▲ T_x = Longueur utile maximale

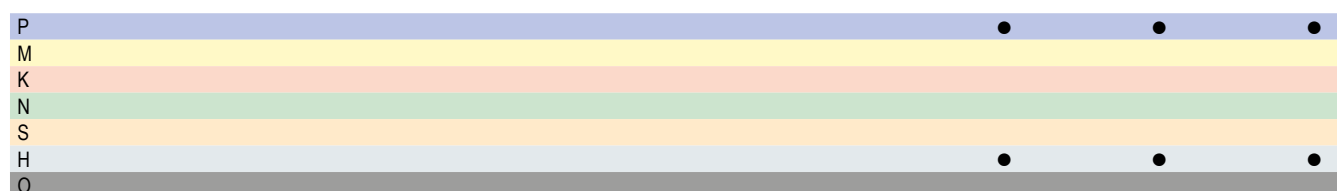


Norme usine Norme usine Norme usine

EUR V1 EUR V1 EUR V1

52 349 ... 52 350 ... 52 351 ...

DC _{-0,012} mm	RE _{±0,005} mm	APMX mm	DN mm	LH mm	OAL mm	α°	DCONMS _{h5} mm	T_x	ZEFFP	EUR V1	EUR V1	EUR V1
0,4	0,1	0,4	0,38	1,0	50	16	4	2,5 x DC	2	82,54	30401	
0,4	0,1	0,4	0,38	1,5	50	16	4	3,75 x DC	2	82,54	40401	
0,4	0,1	0,4	0,38	2,0	50	16	4	5 x DC	2	82,54	50401	
0,4	0,1	0,4	0,38	3,0	50	16	4	7,5 x DC	2	82,54	60401	
0,4	0,1	0,4	0,38	4,0	50	16	4	10 x DC	2			
0,5	0,1	0,5	0,48	1,0	50	16	4	2 x DC	2	67,06	30501	
0,5	0,1	0,5	0,48	2,0	50	16	4	4 x DC	2	67,06	40501	
0,5	0,1	0,5	0,48	3,0	50	16	4	6 x DC	2	67,06	50501	
0,5	0,1	0,5	0,48	4,0	50	16	4	8 x DC	2	67,06	60501	
0,5	0,1	0,5	0,48	5,0	50	16	4	10 x DC	2			
0,5	0,1	0,5	0,48	6,0	50	16	4	12 x DC	2			
0,6	0,1	0,6	0,58	2,0	50	16	4	3,3 x DC	2	67,06	30601	
0,6	0,1	0,6	0,58	3,0	50	16	4	5 x DC	2	67,06	40601	
0,6	0,1	0,6	0,58	4,0	50	16	4	6,6 x DC	2	67,06	50601	
0,6	0,1	0,6	0,58	6,0	50	16	4	10 x DC	2			
0,6	0,1	0,6	0,58	8,0	50	16	4	13,3 x DC	2			
0,7	0,1	0,7	0,68	4,0	50	16	4	5,7 x DC	2	70,76	30701	
0,7	0,1	0,7	0,68	6,0	50	16	4	8,5 x DC	2	70,76	40701	
0,8	0,1	0,8	0,78	4,0	50	16	4	5 x DC	2	75,46	30801	
0,8	0,1	0,8	0,78	6,0	50	16	4	7,5 x DC	2	75,46	40801	
0,8	0,2	0,8	0,78	4,0	50	16	4	5 x DC	2	75,59	30802	
0,8	0,2	0,8	0,78	6,0	50	16	4	7,5 x DC	2	75,59	40802	
1,0	0,1	1,0	0,95	2,0	50	16	4	2 x DC	2	63,66	31001	
1,0	0,1	1,0	0,95	4,0	50	16	4	4 x DC	2	63,66	41001	
1,0	0,1	1,0	0,95	6,0	50	16	4	6 x DC	2	69,35	51001	
1,0	0,1	1,0	0,95	8,0	50	16	4	8 x DC	2	69,35	61001	
1,0	0,1	1,0	0,95	10,0	50	16	4	10 x DC	2			
1,0	0,1	1,0	0,95	12,0	54	16	4	12 x DC	2	69,35	31001	
1,0	0,1	1,0	0,95	16,0	60	16	4	16 x DC	2	91,08	51001	101,90
1,0	0,1	1,0	0,95	20,0	60	16	4	20 x DC	2			
1,0	0,2	1,0	0,95	2,0	50	16	4	2 x DC	2	64,23	31002	
1,0	0,2	1,0	0,95	4,0	50	16	4	4 x DC	2	64,23	41002	
1,0	0,2	1,0	0,95	6,0	50	16	4	6 x DC	2	69,35	51002	
1,0	0,2	1,0	0,95	8,0	50	16	4	8 x DC	2	69,35	61002	
1,0	0,2	1,0	0,95	10,0	50	16	4	10 x DC	2			
1,0	0,2	1,0	0,95	12,0	54	16	4	12 x DC	2			
1,0	0,2	1,0	0,95	16,0	60	16	4	16 x DC	2			
1,0	0,2	1,0	0,95	20,0	60	16	4	20 x DC	2			
1,0	0,3	1,0	0,95	2,0	50	16	4	2 x DC	2	64,23	31003	
1,0	0,3	1,0	0,95	4,0	50	16	4	4 x DC	2	64,23	41003	
1,0	0,3	1,0	0,95	6,0	50	16	4	6 x DC	2	69,21	51003	
1,0	0,3	1,0	0,95	8,0	50	16	4	8 x DC	2	69,21	61003	
1,0	0,3	1,0	0,95	10,0	50	16	4	10 x DC	2			
1,0	0,3	1,0	0,95	12,0	54	16	4	12 x DC	2			
1,0	0,3	1,0	0,95	16,0	60	16	4	16 x DC	2			

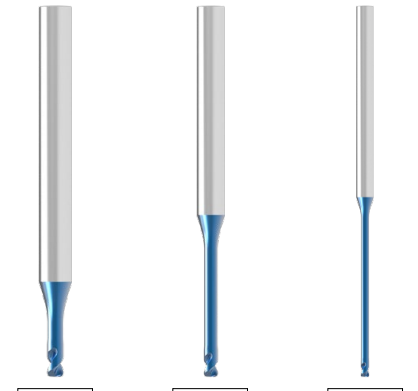
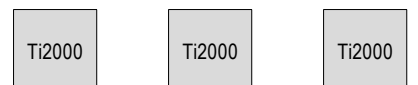
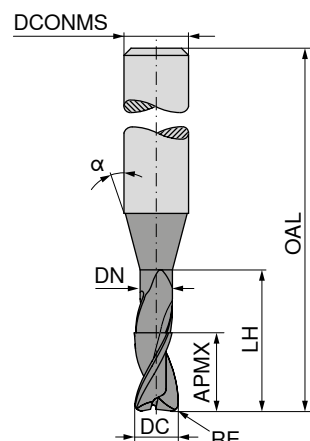
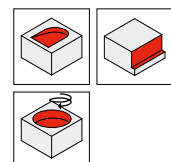
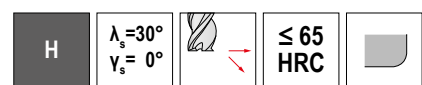


→ v_c/f_z Page 420+421

BlueLine – Micro-fraises toriques

Les fraises polyvalentes pour l'usinage des aciers trempés

▲ T_x = Longueur utile maximale



Norme usine Norme usine Norme usine

52 349 ... 52 350 ... 52 351 ...

EUR V1 EUR V1 EUR V1

31202 31202 31003

71,63 71,63 101,90

31202 41202

71,63 71,63 107,30

31203 41203

71,34 71,34 107,30

31502 41502

67,35 67,35 107,30

31502 41502

71,34 71,34 107,30

31502 41502

71,34 71,34 107,30

31503 41503

67,35 67,35 107,30

31503 41503

71,34 71,34 107,30

31503 41503

71,34 71,34 107,30

31503 41503

67,35 67,35 107,30

31505 41505

67,35 67,35 107,30

31505 41505

67,35 67,35 107,30

31505 41505

67,35 67,35 107,30

31505 41505

67,35 67,35 107,30

31505 41505

67,35 67,35 107,30

31505 41505

67,35 67,35 107,30

31505 41505

67,35 67,35 107,30

31505 41505

67,35 67,35 107,30

31505 41505

67,35 67,35 107,30

31505 41505

67,35 67,35 107,30

31505 41505

67,35 67,35 107,30

31505 41505

67,35 67,35 107,30

31505 41505

67,35 67,35 107,30

31505 41505

67,35 67,35 107,30

31505 41505

67,35 67,35 107,30

31505 41505

67,35 67,35 107,30

31505 41505

67,35 67,35 107,30

31505 41505

67,35 67,35 107,30

31505 41505

67,35 67,35 107,30

31505 41505

67,35 67,35 107,30

31505 41505

67,35 67,35 107,30

31505 41505

67,35 67,35 107,30

31505 41505

67,35 67,35 107,30

31505 41505

67,35 67,35 107,30

31505 41505

67,35 67,35 107,30

31505 41505

67,35 67,35 107,30

31505 41505

67,35 67,35 107,30

31505 41505

67,35 67,35 107,30

31505 41505

67,35 67,35 107,30

31505 41505

67,35 67,35 107,30

31505 41505

67,35 67,35 107,30

31505 41505

67,35 67,35 107,30

31505 41505

67,35 67,35 107,30

31505 41505

67,35 67,35 107,30

31505 41505

67,35 67,35 107,30

31505 41505

67,35 67,35 107,30

31505 41505

67,35 67,35 107,30

31505 41505

67,35 67,35 107,30

31505 41505

67,35 67,35 107,30

31505 41505

67,35 67,35 107,30

31505 41505

67,35 67,35 107,30

31505 41505

67,35 67,35 107,30

31505 41505

67,35 67,35 107,30

31505 41505

67,35 67,35 107,30

31505 41505

67,35 67,35 107,30

31505 41505

67,35 67,35 107,30

31505 41505

67,35 67,35 107,30

31505 41505

67,35 67,35 107,30

31505 41505

67,35 67,35 107,30

31505 41505

67,35 67,35 107,30

31505 41505

67,35 67,35 107,30

31505 41505

67,35 67,35 107,30

31505 41505

67,35 67,35 107,30

31505 41505

67,35 67,35 107,30

31505 41505

67,35 67,35 107,30

31505 41505

67,35 67,35 107,30

31505 41505

67,35 67,35 107,30

31505 41505

67,35 67,35 107,30

31505 41505

67,35 67,35 107,30

31505 41505

67,35 67,35 107,30

31505 41505

67,35 67,35 107,30

31505 41505

67,35 67,35 107,30

31505 41505

67,35 67,35 107,30

31505 41505

67,35 67,35 107,30

31505 41505

67,35 67,35 107,30

31505 41505

67,35 67,35 107,30

31505 41505

67,35 67,35 107,30

31505 41505

67,35 67,35 107,30

31505 41505

67,35 67,35 107,30

31505 41505

67,35 67,35 107,30

31505 41505

67,35 67,35 107,30

31505 41505

67,35 67,35 107,30

31505 41505

67,35 67,35 107,30

31505 41505

67,35 67,35 107,30

31505 41505

67,35 67,35 107,30

31505 41505

67,35 67,35 107,30

31505 41505

67,35 67,35 107,30

31505 41505

67,35 67,35 107,30

31505 41505

67,35 67,35 107,30

31505 41505

67,35 67,35 107,30

31505 41505

67,35 67,35 107,30

31505 41505

67,35 67,35 107,30

31505 41505

67,35 67,35 107,30

31505 41505

67,35 67,35 107,30

31505 41505

67,35 67,35 107,30

31505 41505

67,35 67,35 107,30

31505 41505

67,35 67,35 107,30

31505 41505

67,35 67,35 107,30

31505 41505

67,35 67,35 107,30

31505 41505

67,35 67,35 107,30

31505 41505

67,35 67,35 107,30

31505 41505

67,35 67,35 107,30

31505 41505

67,35 67,35 107,30

31505 41505

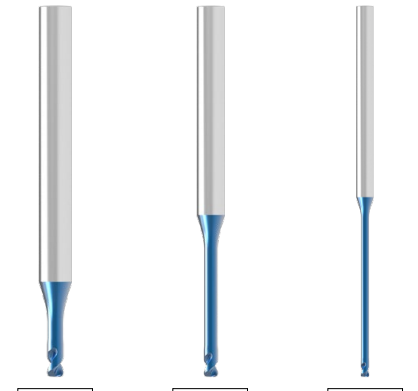
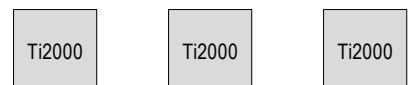
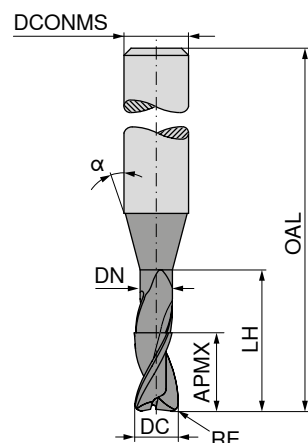
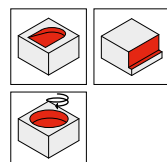
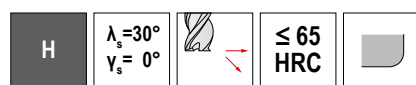
67,35 67,35 107,30

31505 41505

BlueLine – Micro-fraises toriques

Les fraises polyvalentes pour l'usinage des aciers trempés

▲ T_x = Longueur utile maximale

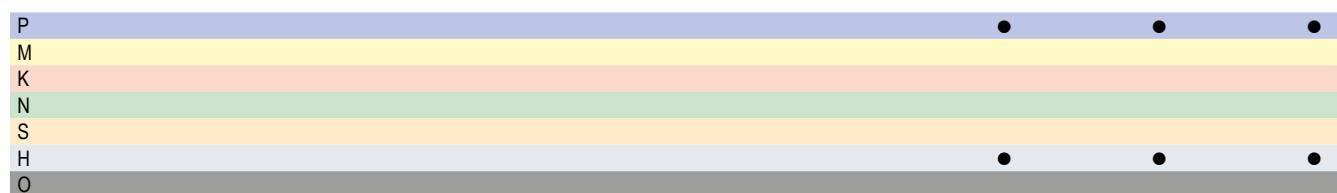


Norme usine Norme usine Norme usine

EUR V1 EUR V1 EUR V1

52 349 ... 52 350 ... 52 351 ...

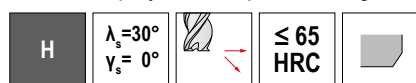
DC _{-0,012} mm	RE _{±0,005} mm	APMX mm	DN mm	LH mm	OAL mm	α°	DCONMS _{h5} mm	T_x	ZEFFP	EUR V1	EUR V1	EUR V1
2,0	0,3	2,0	1,91	6,0	50	16	4	3 x DC	2	66,93	42003	
2,0	0,3	2,0	1,91	8,0	50	16	4	4 x DC	2	66,93	52003	
2,0	0,3	2,0	1,91	10,0	50	16	4	5 x DC	2	71,34	62003	
2,0	0,3	2,0	1,91	12,0	54	16	4	6 x DC	2	71,34	72003	
2,0	0,3	2,0	1,91	16,0	54	16	4	8 x DC	2	71,34	82003	
2,0	0,3	2,0	1,91	20,0	60	16	4	10 x DC	2			
2,0	0,3	2,0	1,91	26,0	70	16	4	13 x DC	2			
2,0	0,5	2,0	1,91	4,0	50	16	4	2 x DC	2	66,93	32005	
2,0	0,5	2,0	1,91	6,0	50	16	4	3 x DC	2	66,93	42005	
2,0	0,5	2,0	1,91	8,0	50	16	4	4 x DC	2	71,34	52005	
2,0	0,5	2,0	1,91	10,0	50	16	4	5 x DC	2	71,34	62005	
2,0	0,5	2,0	1,91	12,0	54	16	4	6 x DC	2	71,34	72005	
2,0	0,5	2,0	1,91	16,0	54	16	4	8 x DC	2	71,34	82005	
2,0	0,5	2,0	1,91	20,0	60	16	4	10 x DC	2			
2,0	0,5	2,0	1,91	26,0	70	16	4	13 x DC	2			
2,5	0,3	2,5	2,41	10,0	50	16	4	4 x DC	2	74,31	32503	
2,5	0,3	2,5	2,41	12,0	60	16	4	4,8 x DC	2	76,44	42503	
2,5	0,3	2,5	2,41	30,0	70	16	4	12 x DC	2			78,86 32503
2,5	0,5	2,5	2,41	10,0	50	16	4	4 x DC	2	74,31	32505	
2,5	0,5	2,5	2,41	12,0	60	16	4	4,8 x DC	2	74,31	42505	
2,5	0,5	2,5	2,41	30,0	70	16	4	12 x DC	2			78,86 32505
3,0	0,3	3,0	2,92	10,0	50	16	4	3,3 x DC	2	70,47	33003	
3,0	0,3	3,0	2,92	12,0	50	16	4	4 x DC	2	71,47	43003	
3,0	0,3	3,0	2,92	30,0	70	16	4	10 x DC	2			
3,0	0,5	3,0	2,92	10,0	50	16	4	3,3 x DC	2	70,47	33005	
3,0	0,5	3,0	2,92	12,0	50	16	4	4 x DC	2	71,34	43005	
3,0	0,5	3,0	2,92	30,0	70	16	4	10 x DC	2			95,78 33005



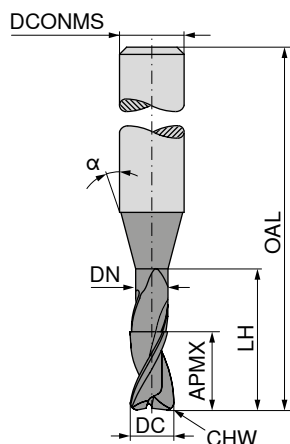
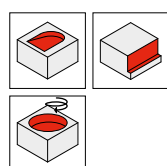
→ v_c/f_z Page 420+421

BlueLine – Fraises deux tailles

Les fraises polyvalentes pour l'usinage des aciers trempés



Ti2000

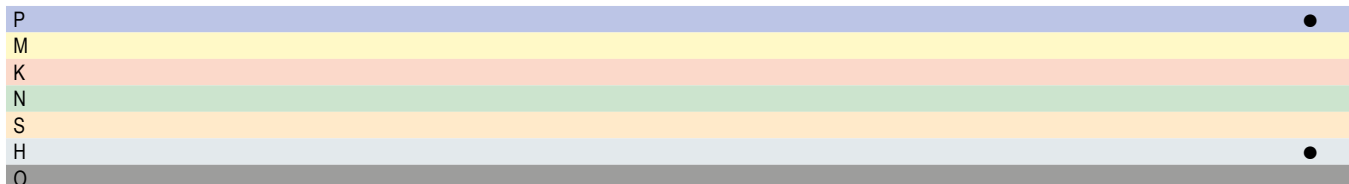


Norme usine

52 344 ...

EUR
V1

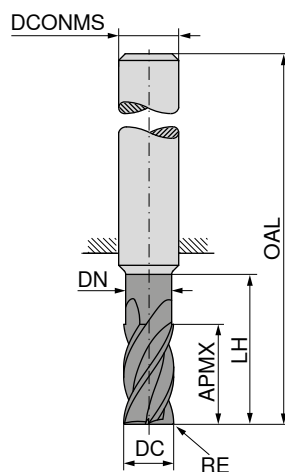
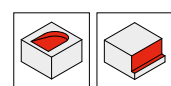
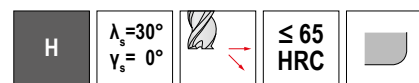
DC ϵ_8 mm	APMX mm	DN mm	LH mm	OAL mm	α°	DCONMS h_5 mm	CHW mm	ZEFF	EUR V1	
0,5	1,5			58	12	6	0,02	2	52,87	905
1,0	3,0			58	12	6	0,02	2	52,87	010
1,5	4,0			58	12	6	0,03	2	52,87	015
2,0	5,0	1,8	12	58	20	6	0,03	2	52,87	020
2,5	6,0	2,3	13	58	20	6	0,04	2	52,87	025
3,0	8,0	2,8	15	58	20	6	0,04	2	52,87	030
3,5	8,0	3,3	15	58	20	6	0,05	2	52,87	035
4,0	11,0	3,8	15	58	20	6	0,05	2	52,87	040
5,0	13,0	4,8	21	58	20	6	0,06	2	52,87	050
6,0	16,0	5,8	24	58		6	0,07	2	52,87	060
8,0	19,0	7,8	27	64		8	0,08	2	69,35	080
10,0	22,0	9,8	32	73		10	0,10	2	105,70	100
12,0	26,0	11,8	38	84		12	0,13	2	138,50	120
16,0	32,0	15,7	44	93		16	0,18	2	237,40	160
20,0	38,0	19,7	54	104		20	0,20	2	363,80	200



→ v_c/f_z Page 424+425

BlueLine – Fraises deux tailles rayonnées

Les fraises polyvalentes pour l'usinage des aciers trempés



52 353 ...

52 354 ...

EUR V1

EUR V1

63,50 31001

91,24 31001

63,94 31002

91,24 31002

62,94 32002

89,81 32002

62,94 32003

89,81 32003

62,94 32005

89,81 32005

59,82 33002

85,13 33002

59,82 33003

85,13 33003

59,82 33005

85,13 33005

59,82 33010

85,13 33010

64,23 44002

92,23 44002

64,23 44003

92,23 44003

64,23 44004

92,23 44004

64,23 44005

92,23 44005

64,23 44010

92,23 44010

64,23 55002

102,90 55002

69,63 55005

102,90 55005

69,63 55010

102,90 55010

78,86 06002

111,40 06002

78,86 06005

111,40 06005

78,86 06008

111,40 06010

78,86 06010

111,40 06010

78,86 06015

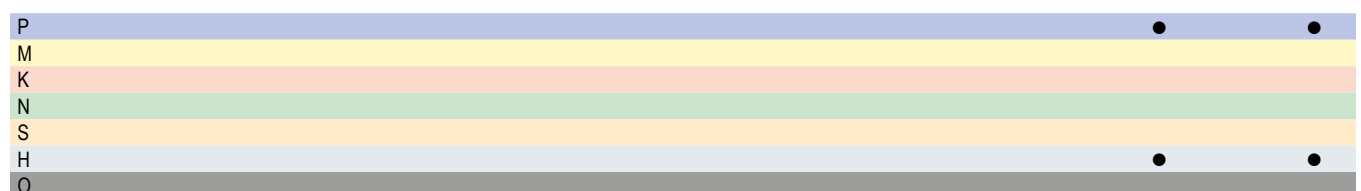
111,40 06015

78,86 06020

111,40 06020

103,90 08002

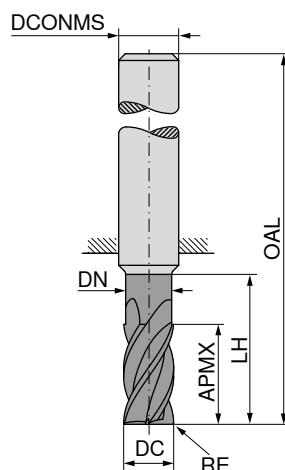
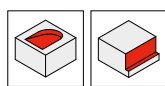
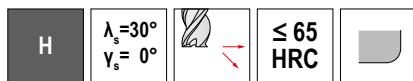
DC _{ø8} mm	RE _{±0,05} mm	APMX mm	DN mm	LH mm	OAL mm	DCONMS _{hs} mm	ZEPP
1	0,10	1,5	0,85	10	50	3	4
1	0,10	1,5	0,85	20	75	3	4
1	0,20	1,5	0,85	10	50	3	4
1	0,20	1,5	0,85	20	75	3	4
2	0,20	2,5	1,80	12	50	3	4
2	0,20	2,5	1,80	25	75	3	4
2	0,30	2,5	1,80	12	50	3	4
2	0,30	2,5	1,80	25	75	3	4
2	0,50	2,5	1,80	12	50	3	4
2	0,50	2,5	1,80	25	75	3	4
3	0,25	4,0	2,70	14	50	3	4
3	0,25	4,0	2,70	32	75	3	4
3	0,30	4,0	2,70	14	50	3	4
3	0,30	4,0	2,70	32	75	3	4
3	0,50	4,0	2,70	14	50	3	4
3	0,50	4,0	2,70	32	75	3	4
3	1,00	4,0	2,70	14	50	3	4
3	1,00	4,0	2,70	32	75	3	4
4	0,20	5,0	3,70	16	50	4	4
4	0,20	5,0	3,70	36	75	4	4
4	0,25	5,0	3,70	16	50	4	4
4	0,25	5,0	3,70	36	75	4	4
4	0,40	5,0	3,70	16	50	4	4
4	0,40	5,0	3,70	36	75	4	4
4	0,50	5,0	3,70	16	50	4	4
4	0,50	5,0	3,70	36	75	4	4
4	1,00	5,0	3,70	16	50	4	4
4	1,00	5,0	3,70	36	75	4	4
5	0,25	6,0	4,60	18	54	5	4
5	0,25	6,0	4,60	40	75	5	4
5	0,50	6,0	4,60	18	54	5	4
5	0,50	6,0	4,60	40	75	5	4
5	1,00	6,0	4,60	18	54	5	4
5	1,00	6,0	4,60	40	75	5	4
6	0,25	7,0	5,50	21	58	6	4
6	0,25	7,0	5,50	44	80	6	4
6	0,50	7,0	5,50	21	58	6	4
6	0,50	7,0	5,50	44	80	6	4
6	0,80	7,0	5,50	21	58	6	4
6	1,00	7,0	5,50	21	58	6	4
6	1,00	7,0	5,50	44	80	6	4
6	1,50	7,0	5,50	21	58	6	4
6	1,50	7,0	5,50	44	80	6	4
6	2,00	7,0	5,50	21	58	6	4
8	0,25	9,0	7,40	27	64	8	4



→ v_c/f_z Page 426+427

BlueLine – Fraise deux tailles rayonnées

Les fraises polyvalentes pour l'usinage des aciers trempés



DC _{ø8} mm	RE _{±0,05} mm	APMX mm	DN mm	LH mm	OAL mm	DCONMS _{hs} mm	ZEPP
8	0,25	9,0	7,40	54	100	8	4
8	0,50	9,0	7,40	27	64	8	4
8	0,50	9,0	7,40	54	100	8	4
8	0,80	9,0	7,40	27	64	8	4
8	0,80	9,0	7,40	54	100	8	4
8	1,00	9,0	7,40	27	64	8	4
8	1,00	9,0	7,40	54	100	8	4
8	1,50	9,0	7,40	27	64	8	4
8	1,50	9,0	7,40	54	100	8	4
8	2,00	9,0	7,40	27	64	8	4
8	2,00	9,0	7,40	54	100	8	4
8	2,50	9,0	7,40	27	64	8	4
8	3,00	9,0	7,40	27	64	8	4
8	3,00	9,0	7,40	54	100	8	4
10	0,25	11,0	9,20	32	73	10	4
10	0,25	11,0	9,20	60	100	10	4
10	0,50	11,0	9,20	32	73	10	4
10	0,50	11,0	9,20	60	100	10	4
10	0,80	11,0	9,20	32	73	10	4
10	0,80	11,0	9,20	60	100	10	4
10	1,00	11,0	9,20	32	73	10	4
10	1,00	11,0	9,20	60	100	10	4
10	1,50	11,0	9,20	32	73	10	4
10	1,50	11,0	9,20	60	100	10	4
10	2,00	11,0	9,20	32	73	10	4
10	2,00	11,0	9,20	60	100	10	4
10	3,00	11,0	9,20	32	73	10	4
10	3,00	11,0	9,20	60	100	10	4
10	3,50	11,0	9,20	32	73	10	4
12	0,50	12,0	11,00	38	84	12	4
12	0,50	12,0	11,00	75	120	12	4
12	1,00	12,0	11,00	38	84	12	4
12	1,00	12,0	11,00	75	120	12	4
12	1,50	12,0	11,00	38	84	12	4
12	1,50	12,0	11,00	75	120	12	4
12	2,00	12,0	11,00	38	84	12	4
12	2,00	12,0	11,00	75	120	12	4
12	3,00	12,0	11,00	38	84	12	4
12	3,00	12,0	11,00	75	120	12	4
16	2,00	16,0	15,00	44	93	16	4
16	2,00	16,0	15,00	92	150	16	4
16	3,00	16,0	15,00	44	93	16	4
16	3,00	16,0	15,00	92	150	16	4

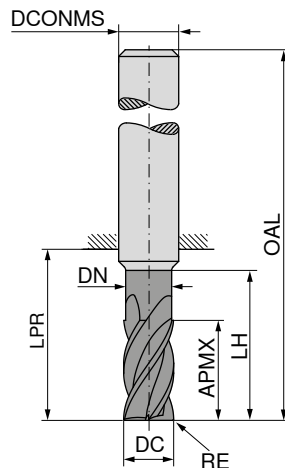
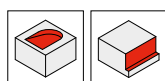
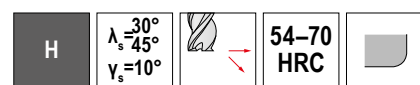
P	●	●
M		
K		
N		
S		
H	●	●
O		

→ v_c/f_z Page 426+427

BlueLine – Fraise deux tailles rayonnées

Les fraises polyvalentes pour l'usinage des aciers trempés

▲ Usinage silencieux grâce aux angles d'hélice irréguliers



Norme usine

Norme usine

52 140 ...

52 141 ...

EUR

V1

EUR

V1

DC e_8 mm	RE $\pm 0,01$ mm	APMX mm	DN mm	LH mm	LPR mm	OAL mm	DCONMS h_6 mm	ZEFF
3	0,3	4	2,7	14	22	50	3	4
3	0,5	4	2,7	14	22	50	3	4
3	1,0	4	2,7	14	22	50	3	4
4	0,4	5	3,7	16	22	50	4	4
4	0,5	5	3,7	16	22	50	4	4
4	1,0	5	3,7	16	22	50	4	4
5	0,5	6	4,6	18	26	54	5	4
5	1,0	6	4,6	18	26	54	5	4
6	0,5	7	5,5	21	21	57	6	6
6	1,0	7	5,5	21	21	57	6	6
6	1,5	7	5,5	21	21	57	6	6
8	0,5	9	7,4	27	27	63	8	6
8	1,0	9	7,4	27	27	63	8	6
8	1,5	9	7,4	27	27	63	8	6
8	2,0	9	7,4	27	27	63	8	6
10	0,5	11	9,2	32	32	72	10	6
10	1,0	11	9,2	32	32	72	10	6
10	1,5	11	9,2	32	32	72	10	6
10	2,0	11	9,2	32	32	72	10	6
12	0,5	12	11,0	38	38	83	12	6
12	1,0	12	11,0	38	38	83	12	6
12	1,5	12	11,0	38	38	83	12	6
12	2,0	12	11,0	38	38	83	12	6
16	1,0	16	15,0	44	45	93	16	6
16	2,0	16	15,0	44	45	93	16	6
20	1,0	20	18,5	50	54	104	20	6
20	2,5	20	18,5	50	54	104	20	6

P	○	○
M		
K		
N		
S		
H	●	
O		●

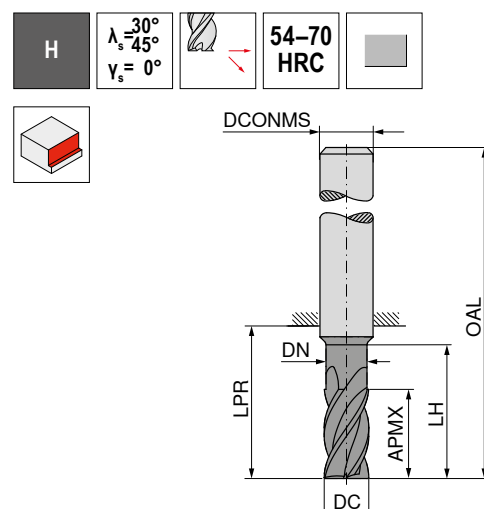
14

→ v_c/f_z Page 424+425

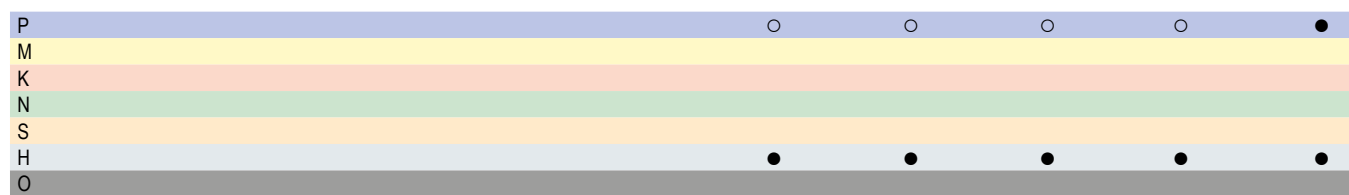
BlueLine – Fraises deux tailles

Les fraises polyvalentes pour l'usinage des aciers trempés

▲ Usinage silencieux grâce aux angles d'hélice irréguliers



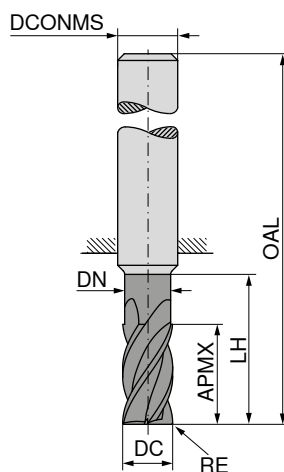
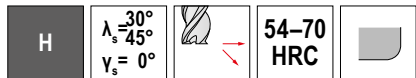
DC _{e8} mm	APMX mm	LPR mm	DN mm	LH mm	OAL mm	DCONMS mm	ZEFP	EUR V1	EUR V1	EUR V1	EUR V1	EUR V1	
2	8	22		58	6	4			57,27	020			
2	8	22	2,0	10	58	6	4		57,27	020			
3	12	22		58	6	4			57,27	030			
3	12	22	3,0	14	58	6	4		57,27	030			
4	13	22		58	6	4			67,50	040			
4	13	22	4,0	15	58	6	4		67,50	040			
5	15	22		58	6	6			69,92	050			
5	15	22	5,0	17	58	6	6		69,92	050			
6	16	22		58	6	6			77,30	060			
6	16	44	5,8	40	80	6	6		77,30	060			
6	21	29		65	6	6					95,90	060	
8	19	64	7,7	50	100	8	6				95,90	060	
8	22	34		70	8	6			92,93	080	92,93	080	
8	28	39		75	8	6				113,30	080	113,30	080
10	25	33		73	10	6			149,30	100	149,30	100	
10	25	60	9,7	60	100	10	6			169,30	100	169,30	100
10	35	45		85	10	6					169,30	100	
12	28	39		84	12	6			214,60	120	214,60	120	
12	30	75	11,6	60	120	12	6				258,60	120	
12	45	55		100	12	6				258,60	120	258,60	120
14	30	39		84	14	6			225,90	140	225,90	140	
14	45	55		100	14	6				299,70	140	299,70	140
16	35	45		93	16	8			331,00	160	331,00	160	
16	40	102	15,6	100	150	16	8				422,00	160	
16	50	62		110	16	8				422,00	160	422,00	160
16	65	77		125	16	8				454,70	161	454,70	161
18	35	45		93	18	10			349,60	180	349,60	180	
18	35	45		93	18	10				469,00	180	469,00	180
20	40	54		114	18	10				469,00	180	469,00	180
20	50	100	19,6	100	150	20	10		473,20	200	473,20	200	
20	55	76		126	20	10				596,90	200	596,90	200
20	70	85		135	20	10				596,90	200	543,00	200
										729,10	201	729,10	201



→ v_c/f_z Page 424–426

BlueLine – Fraises de finition rayonnées

Les fraises polyvalentes pour l'usinage des aciers trempés



Norme usine

Norme usine

52 324 ...

52 325 ...

EUR V1

EUR V1

DC _{e8} mm	RE _{v=0,005} mm	APMX mm	DN mm	LH mm	OAL mm	DCONMS _{h6} mm	ZEFF
5	0,5	15	4,8	19	58	6	6
5	1,0	15	4,8	19	58	6	6
6	0,5	16	5,8	20	58	6	6
6	0,5	21	5,8	29	65	6	6
6	1,0	16	5,8	20	58	6	6
6	1,0	21	5,8	29	65	6	6
8	0,5	22	7,8	26	70	8	6
8	0,5	28	7,8	39	75	8	6
8	1,0	22	7,8	26	70	8	6
8	1,0	28	7,8	39	75	8	6
10	0,5	25	9,8	31	73	10	6
10	0,5	35	9,8	45	85	10	6
10	1,0	25	9,8	31	73	10	6
10	1,0	35	9,8	45	85	10	6
10	1,5	25	9,8	31	73	10	6
10	1,5	35	9,8	45	85	10	6
12	0,5	28	11,8	37	84	12	6
12	0,5	45	11,8	55	100	12	6
12	1,0	28	11,8	37	84	12	6
12	1,0	45	11,8	55	100	12	6
12	1,5	28	11,8	37	84	12	6
12	1,5	45	11,8	55	100	12	6
14	1,0	30	13,8	37	84	14	6
14	1,0	45	13,8	55	100	14	6
16	1,0	35	15,8	43	93	16	8
16	1,0	50	15,8	62	110	16	8
16	2,0	35	15,8	43	93	16	8
16	2,0	50	15,8	62	110	16	8
18	1,0	35	17,8	43	93	18	10
18	1,0	54	17,8	66	114	18	10
20	1,0	40	19,8	52	104	20	10
20	1,0	55	19,8	76	126	20	10
20	2,0	40	19,8	52	104	20	10
20	2,0	55	19,8	76	126	20	10

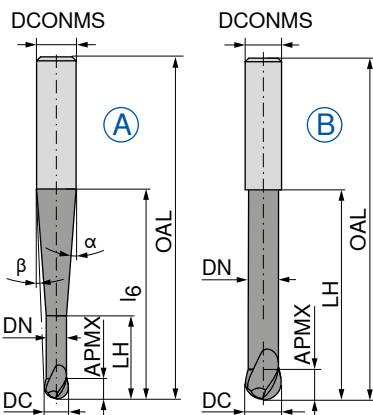
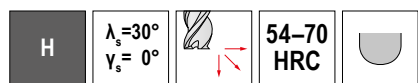
P	○	○
M		
K		
N		
S		
H	●	●
O		

→ v_c/f_z Page 424+425

BlueLine – Fraise hémisphérique

Les fraises polyvalentes pour l'usinage des aciers trempés

▲ Précision du rayon: $\pm 0,005$ mm



Norme usine



52 302 ...

EUR
V1

1,0	1,00	0,95	10	16,5	57	15	9	6	2	A	164,80	010
1,5	1,25	1,40	12	18,0	57	15	7,5	6	2	A	149,30	015
2,0	1,50	1,90	16	20,0	57	15	6	6	2	A	118,80	020
3,0	2,00	2,90	20	34,5	80	15	2,5	6	2	A	143,50	030
4,0	2,50	3,90	22	35,0	80	15	2	6	2	A	134,60	040
5,0	3,00	4,90	25	35,0	80	15	1	6	2	A	132,00	050
6,0	3,50	5,90	29					6	2	B	125,60	060

P	M	K	N	S	H	O	●

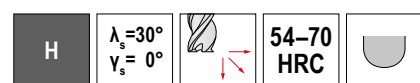
→ v_c/f_z Page 428+429

BlueLine – Fraise hémisphérique

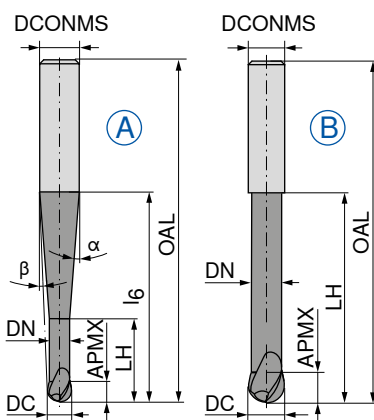
Les fraises polyvalentes pour l'usinage des aciers trempés

▲ Précision du rayon : $\pm 0,005$ mm pour $\varnothing \leq 6,0$ mm / $\pm 0,01$ mm pour $\varnothing > 6,0$ mm

▲ Pour $\varnothing \leq 5,0$ mm, tolérances angulaires sur α et β : $\pm 0,5^\circ$



Ti2000



52 303 ...

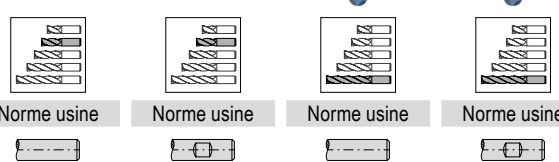
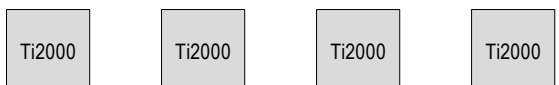
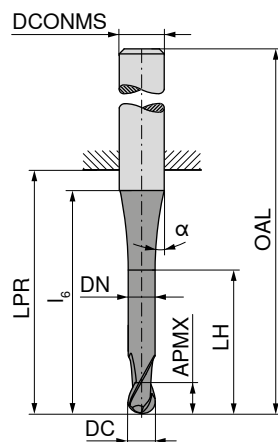
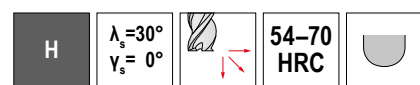
DC mm	DC Tol. mm	APMX mm	DN mm	LH mm	I ₆ mm	OAL mm	α°	β°	DCONMS _{h5} mm	ZEFFP	Ver- sion :	EUR V1
0,5	$\pm 0,01$	1,0	0,45	2,0	20	57	10	8,5	6	2	A	178,90 005
1,0	$\pm 0,01$	2,0	0,95	4,0	20	57	10	8	6	2	A	167,60 010
1,5	$\pm 0,01$	2,5	1,40	7,5	20	57	12,5	7	6	2	A	159,30 015
2,0	$\pm 0,01$	3,0	1,80	8,0	20	57	12	6,5	6	2	A	135,10 020
3,0	$\pm 0,01$	3,5	2,80	10,0	20	57	11,5	5	6	2	A	128,60 030
4,0	$\pm 0,01$	4,0	3,80	12,0	20	57	11	3,5	6	2	A	126,40 040
5,0	$\pm 0,01$	5,0	4,70	14,0	20	57	10	2	6	2	A	126,60 050
6,0	$\pm 0,01$	6,0	5,60	20,0		57			6	2	B	115,80 060
8,0	$\pm 0,02$	7,0	7,60	25,0		63			8	2	B	157,70 080
10,0	$\pm 0,02$	8,0	9,60	30,0		72			10	2	B	214,60 100
12,0	$\pm 0,02$	10,0	11,50	35,0		83			12	2	B	277,30 120
12,0	$\pm 0,02$	10,0	11,50	35,0	40	92	35	3,5	16	2	A	386,60 121
16,0	$\pm 0,02$	12,0	15,50	40,0		92			16	2	B	375,30 160

P	O
M	
K	
N	
S	
H	●
O	

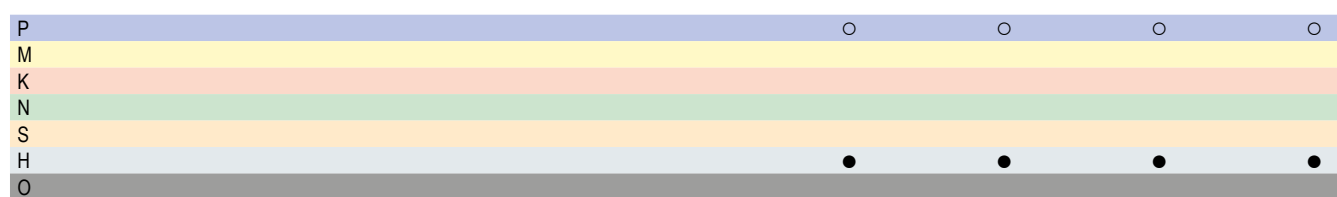
→ v_c/f_z Page 428+429

BlueLine – Fraises hémisphériques

Les fraises polyvalentes pour l'usinage des aciers trempés

▲ Précision du rayon: $\pm 0,005$ mm
52 256 ... **52 257 ...** **52 258 ...** **52 259 ...**

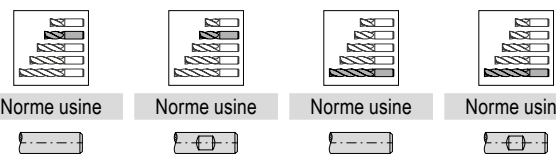
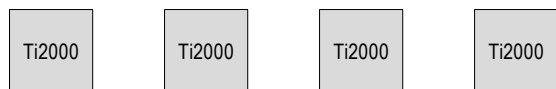
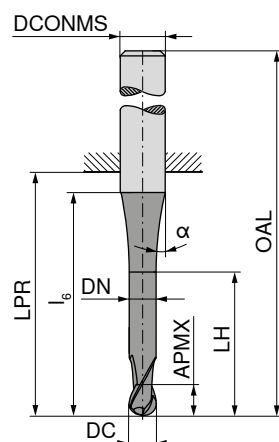
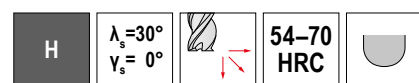
DC mm	APMX mm	DN mm	LH mm	l_6 mm	LPR mm	OAL mm	DCONMS h_6 mm	$\alpha^{\circ} \pm 0,5$	ZEFF	EUR V1	EUR V1	EUR V1	EUR V1
0,10	0,2			11	10	38	3	8	2	127,10	910		
0,15	0,3			12	10	38	3	7,5	2	117,10	915		
0,20	0,4			12	10	38	3	7	2	109,90	920		
0,25	0,5	0,20	0,8	12	10	38	3	7	2	117,20	925		
0,30	1,0	0,25	1,3	12	10	38	3	7	2	109,90	930		
0,35	1,0	0,30	1,3	12	10	38	3	7	2	98,20	935		
0,40	1,0	0,35	1,3	12	10	38	3	7	2	73,60	940		
0,50	1,5	0,40	2,0	12	10	38	3	7,5	2	60,97	950		
0,50	1,5	0,40	2,0	17	18	54	6	10,5	2	64,64	005	64,64	005
0,50	1,5	0,40	2,0	13	47	75	3	7	2	82,84	950	94,92	005
0,50	1,5	0,40	2,0	17	44	80	6	10,5	2	94,92	005	94,92	005
0,60	1,5	0,50	2,0	12	10	38	3	7	2	65,80	960		
0,70	2,0	0,60	2,5	12	10	38	3	7,5	2	60,97	970		
0,80	2,0	0,70	2,5	13	10	38	3	7,5	2	60,97	980		
0,90	2,5	0,80	3,5	13	10	38	3	7	2	60,97	990		
1,00	2,0	0,90	3,0	13	22	50	3	6	2	65,22	011		
1,00	2,0	0,90	3,0	18	18	54	6	9,5	2	71,34	106	71,34	010
1,00	3,0	0,90	4,0	14	47	75	3	6	2	82,84	011		
1,00	3,0	0,90	4,0	19	44	80	6	9,5	2	91,36	010	91,36	010
1,10	3,0	1,00	4,0	13	22	50	3	7	2	60,97	911		
1,20	3,0	1,10	4,0	13	22	50	3	7	2	60,97	012		
1,40	3,0	1,30	4,0	14	22	50	3	5	2	60,97	014		
1,50	3,0	1,40	4,0	13	22	50	3	5,5	2	65,22	016		
1,50	3,0	1,40	4,0	18	18	54	6	9	2	71,34	156	71,34	015
1,50	4,0	1,40	6,0	13	47	75	3	7	2	81,83	016		
1,50	4,0	1,40	6,0	19	44	80	6	10	2	90,52	015	90,52	015
1,60	4,0	1,50	5,0	13	22	50	3	5	2	60,97	916		
1,80	4,0	1,70	5,0	13	22	50	3	5	2	60,97	018		
2,00	4,0	1,90	5,5	12	22	50	3	5	2	65,22	021		
2,00	4,0	1,90	5,5	18	18	54	6	9	2	71,34	206	71,34	020
2,00	6,0	1,90	8,0	12	47	75	3	8	2	77,45	021		
2,00	6,0	1,90	8,0	20	44	80	6	11	2	85,13	020	85,13	020
2,50	5,0	2,30	6,5	10	22	50	3	7	2	60,97	025		
2,50	5,0	2,30	6,5	17	18	54	6	10	2	71,34	026	71,34	026
2,50	8,0	2,30	10,0	14	47	75	3	5,5	2	76,03	026		
2,50	8,0	2,30	10,0	20	44	80	6	10	2	83,99	025	83,99	025
3,00	6,0	2,80	8,0	18	18	54	6	9	2	65,22	031		
3,00	6,0	2,80	8,0	18	18	54	6	9	2	71,34	306	71,34	030

→ v_c/f_z Page 428+429

BlueLine – Fraise hémisphérique

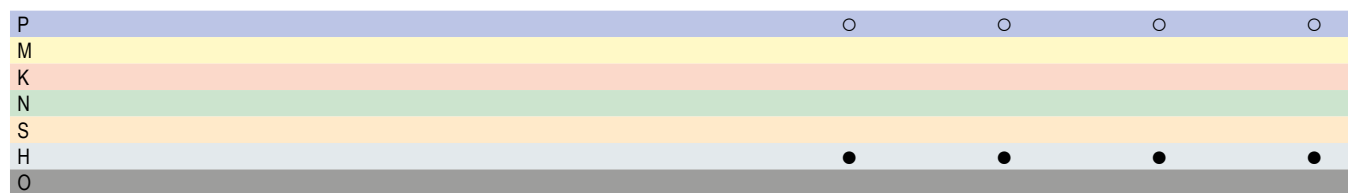
Les fraises polyvalentes pour l'usinage des aciers trempés

▲ Précision du rayon: $\pm 0,005$ mm



52 256 ... **52 257 ...** **52 258 ...** **52 259 ...**

DC _{f8} mm	APMX mm	DN mm	LH mm	I ₆ mm	LPR mm	OAL mm	DCONMS _{h6} mm	α° ±0,5	ZEFFP	EUR V1	EUR V1	EUR V1	EUR V1
3,00	10,0	2,80	13,0		47	75	3		2				
3,00	10,0	2,80	15,0	23	44	80	6	11	2				
4,00	7,0	3,80	10,0	18	18	54	6	11	2	71,34	406	71,34	040
4,00	7,0	3,80	10,0		26	54	4		2	68,65			
4,00	13,0	3,80	20,0		47	75	4		2				
4,00	13,0	3,80	18,0	23	44	80	6	12,5	2				
5,00	8,0	4,80	11,0	15	18	54	6	8	2	71,34	506	71,34	050
5,00	8,0	4,80	11,0		26	54	5		2	71,34	051		
5,00	14,0	4,80	19,0		47	75	5		2				
5,00	14,0	4,80	19,0	21	64	100	6	13	2				
6,00	10,0	5,80	15,0		18	54	6		2	71,34	061	71,34	060
6,00	16,0	5,80	25,0		64	100	6		2				
8,00	12,0	7,80	17,0		23	59	8		2	86,68	081	86,68	080
8,00	22,0	7,80	35,0		64	100	8		2				
10,00	13,0	9,80	18,0		27	67	10		2	112,90	101	112,90	100
10,00	25,0	9,80	40,0		60	100	10		2				
12,00	16,0	11,90	21,0		28	73	12		2	160,60	121	160,60	120
12,00	26,0	11,80	40,0		55	100	12		2				
14,00	16,0	13,80	21,0		30	75	14		2	203,20	141	203,20	140
14,00	26,0	13,80	40,0		55	100	14		2				
16,00	20,0	15,80	25,0		35	83	16		2	233,10	161	233,10	160
16,00	30,0	15,80	50,0		102	150	16		2				
20,00	25,0	19,80	30,0		43	93	20		2	380,90	201	380,90	200
20,00	40,0	19,80	60,0		100	150	20		2				

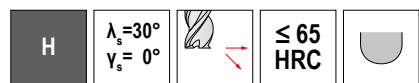


→ v_c/f_z Page 428+429

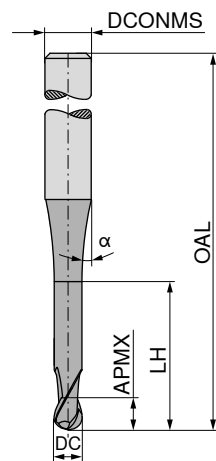
BlueLine – Fraise hémisphérique

Les fraises polyvalentes pour l'usinage des aciers trempés

▲ Précision du rayon: $\pm 0,005$ mm



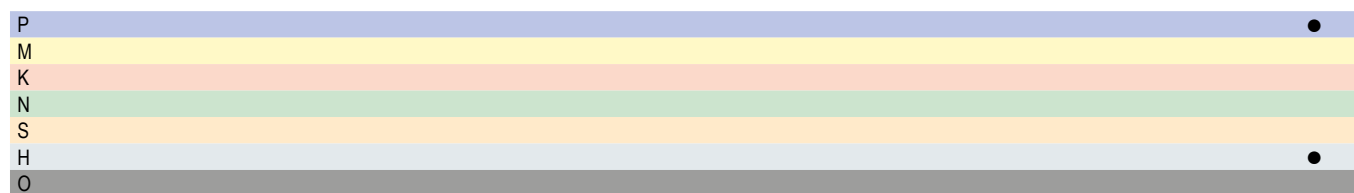
Ti2000



Norme usine

52 355 ...

DC _{f8} mm	APMX mm	LH mm	OAL mm	α°	DCONMS _{h5} mm	ZEFFP	EUR V1	
3	8	11	65	12	6	3	79,01	030
4	8	11	75	12	6	3	81,28	040
5	10	13	75	12	6	3	81,28	050
6	12		100		6	3	83,99	060
8	14		100		8	3	114,40	080
10	18		100		10	3	144,90	100
12	22		120		12	3	188,80	120

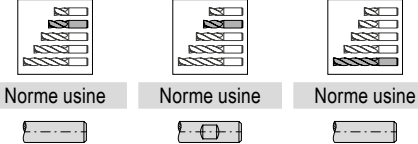
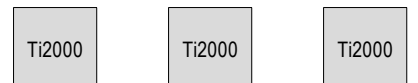
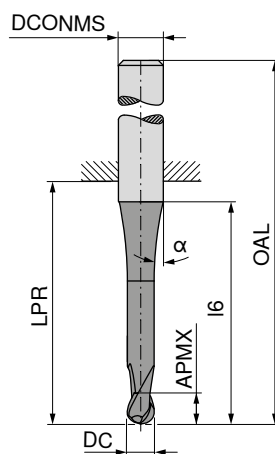
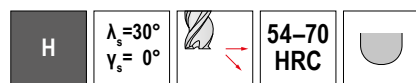


→ v_c/f_z Page 428

BlueLine – Fraises hémisphériques

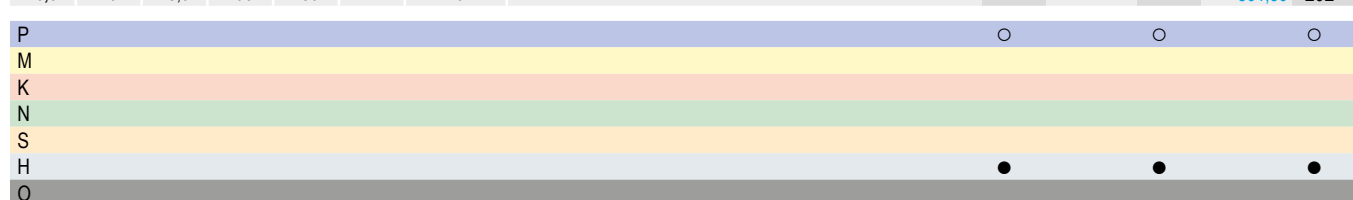
Les fraises polyvalentes pour l'usinage des aciers trempés

▲ Précision du rayon: $\pm 0,005$ mm



52 404 ... **52 405 ...** **52 404 ...**

DC _{f8} mm	APMX mm	I ₆ mm	LPR mm	OAL mm	α° ±1	DCONMS _{h6} mm	ZEPP	EUR V1	EUR V1	EUR V1
2,0	4	10,0	22	50	8	3	4	61,67	020	
2,0	4	16,0	18	54	12	6	4	73,18	021	
2,0	4	10,0	47	75	8	3	4			
2,0	4	16,0	44	80	12	6	4			
2,5	5	16,0	18	54	12	6	4	73,18	025	
2,5	5	16,0	44	80	12	6	4			
3,0	5		22	50		3	4	65,80	030	
3,0	5	14,0	18	54	12	6	4	71,63	031	
3,0	5		47	75		3	4			
3,0	5	14,0	44	80	12	6	4			
4,0	8	15,0	18	54	12	6	4	71,63	041	
4,0	8		26	54		4	4	68,21	040	
4,0	8		47	75		4	4			
4,0	8	15,0	44	80	12	6	4			
5,0	9	13,5	18	54	12	6	4	70,76	051	
5,0	9		26	54		5	4	67,94	050	
5,0	9		47	75		5	4			
5,0	9	13,5	64	100	12	6	4			
6,0	10		18	54		6	4	70,63	060	
6,0	10		64	100		6	4			
7,0	12	15,0	23	59	12	8	4	95,90	070	
8,0	12		23	59		8	4	87,95	080	
8,0	12		64	100		8	4			
9,0	14	17,0	27	67	12	10	4	128,30	090	
10,0	14	16,0	27	67		10	4	118,90	100	
10,0	14		60	100		10	4			
12,0	16		29	74		12	4	160,60	120	
12,0	16		55	100		12	4			
14,0	18		30	75		14	4	200,50	140	
14,0	18	20,0	55	100		14	4			
16,0	22	24,0	35	83		16	4	251,60	160	
16,0	22	24,0	102	150		16	4			
20,0	26	28,0	43	93		20	4	383,60	200	
20,0	26	28,0	100	150		20	4			

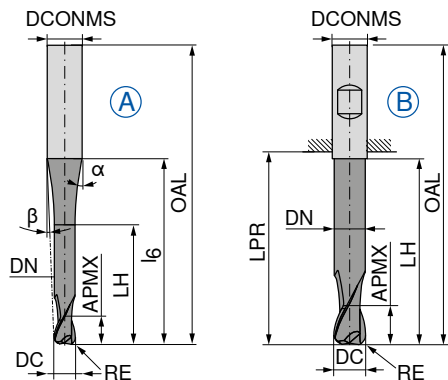
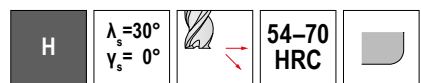


→ v_c/f_z Page 428+429

BlueLine – Fraises toriques

Les fraises polyvalentes pour l'usinage des aciers trempés

- ▲ Précision du rayon: $\pm 0,005$ mm pour $\varnothing \leq 6,0$ mm / $\pm 0,01$ mm pour $\varnothing > 6,0$ mm
- ▲ Pour $\varnothing \leq 5,0$ mm, tolérances angulaires sur α et β : $\pm 0,5^\circ$



LPR pour queue suivant DIN 6535 HB

DC $\pm 0,01$ mm	RE mm	APMX mm	DN mm	LH mm	LPR mm	l6 mm	OAL mm	$\alpha^\circ \pm 0,5$	β°	DCONMS h_5 mm	ZEFP	Ver- sion :
1,0	0,2	1,00	0,95	10	21	16,5	57	23	9	6	2	A
1,5	0,3	1,25	1,40	12	21	18,0	57	21	7,5	6	2	A
2,0	0,4	1,50	1,90	16	21	20,0	57	25	6	6	2	A
3,0	0,5	2,00	2,90	20	44	34,5	80	6	2,5	6	2	A
4,0	0,6	2,50	3,90	22	44	35,0	80	4,5	2	6	2	A
5,0	0,8	3,00	4,90	25	44	35,0	80	3,5	1	6	2	A
6,0	1,0	3,50	5,90	29	44		80			6	2	B

Norme usine

Norme usine



52 305 ...

52 305 ...

EUR
V1

EUR
V1

010

015

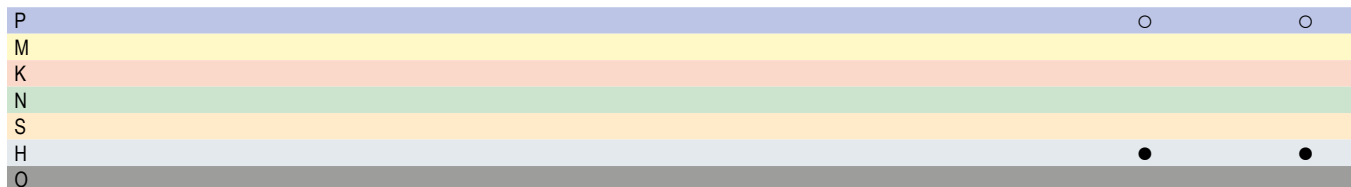
020

030

040

050

136,20 060

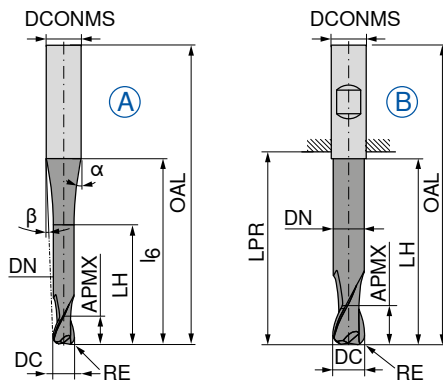
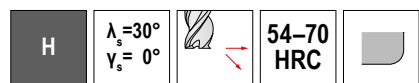


→ v_c/f_z Page 430+431

BlueLine – Fraises toriques

Les fraises polyvalentes pour l'usinage des aciers trempés

- ▲ Précision du rayon: $\pm 0,005$ mm pour $\varnothing \leq 6,0$ mm / $\pm 0,01$ mm pour $\varnothing > 6,0$ mm
- ▲ Pour $\varnothing \leq 5,0$ mm, tolérances angulaires sur α et β : $\pm 0,5^\circ$



LPR pour queue suivant DIN 6535 HB



Norme usine

52 304 ...

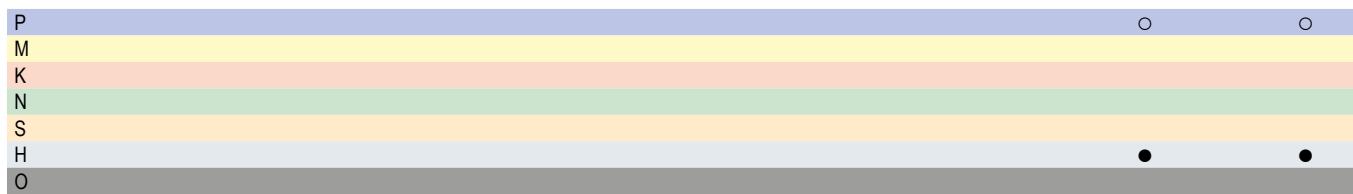
EUR V1

DC mm	DC Tol.	RE mm	APMX mm	DN mm	LH mm	LPR mm	I ₆ mm	OAL mm	α°	β°	DCONMS h ₅ mm	ZEFP	Version :
0,5	$\pm 0,01$	0,10	1,0	0,45	2,0	21	20	57	10	8,5	6	2	A
1,0	$\pm 0,01$	0,25	2,0	0,95	4,0	21	20	57	10	8	6	2	A
1,5	$\pm 0,01$	0,30	2,5	1,40	7,5	21	20	57	12,5	7	6	2	A
2,0	$\pm 0,01$	0,50	3,0	1,80	8,0	21	20	57	12	6,5	6	2	A
3,0	$\pm 0,01$	0,50	3,5	2,80	10,0	21	20	57	11,5	5	6	2	A
4,0	$\pm 0,01$	1,00	4,0	3,80	12,0	21	20	57	11	3,5	6	2	A
5,0	$\pm 0,01$	1,50	5,0	4,70	14,0	21	20	57	10	2	6	2	A
6,0	$\pm 0,01$	2,00	6,0	5,60	20,0	21		57			6	2	B
8,0	$\pm 0,02$	2,00	7,0	7,60	25,0	27		63			8	2	B
10,0	$\pm 0,02$	3,00	8,0	9,60	30,0	32		72			10	2	B
12,0	$\pm 0,02$	4,00	10,0	11,50	35,0	38		83			12	2	B
12,0	$\pm 0,02$	4,00	10,0	11,50	35,0	44	40	92	37	3,5	16	2	A
16,0	$\pm 0,02$	5,00	12,0	15,50	40,0	44		92			16	2	B

52 304 ...

EUR V1

186,20	005
183,50	010
167,60	015
133,60	020
130,40	030
126,40	040
131,40	050
127,30	060
164,80	080
228,90	100
292,70	120
423,50	121
415,00	160



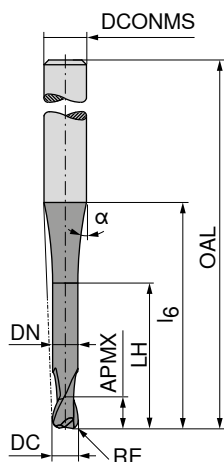
→ v_c/f_x Page 430+431

BlueLine – Fraises toriques

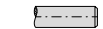
Les fraises polyvalentes pour l'usinage des aciers trempés



Ti2000

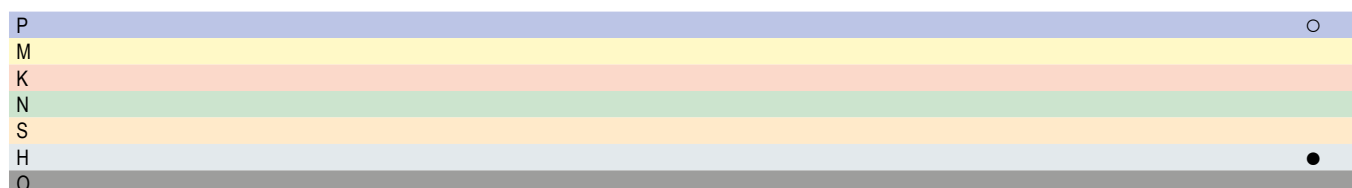


Norme usine



52 361 ...

DC _{ø8} mm	RE _{±0,01} mm	APMX mm	DN mm	LH mm	I ₆ mm	OAL mm	α°	DCONMS _{hs} mm	ZEFFP	EUR V1
0,8	0,08	1,0	0,75	1,6	27	75	1,5	3	2	84,82 90801
1,0	0,10	1,2	0,95	2,0	27	75	1,5	3	2	86,68 31001
1,0	0,25	2,0	0,85	4,0	40	80	1,5	6	2	136,70 01002
1,2	0,12	1,4	1,15	2,4	27	75	1,5	3	2	85,70 31201
1,5	0,15	1,8	1,45	3,0	27	75	1,5	3	2	83,25 31501
2,0	0,20	2,4	1,95	4,0	27	75	1,5	3	2	82,54 32002
2,0	0,50	2,0	1,80	8,0	40	80	1,5	6	2	132,10 02005
3,0	0,30	3,6	2,95	6,0	27	75	1,5	4	2	88,24 43003
3,0	0,50	2,0	2,80	12,0	40	80	1,5	6	2	132,10 03005
3,0	1,00	2,0	2,80	12,0	40	80	1,5	6	2	132,10 03010
4,0	1,00	3,0	3,80	16,0	40	80	1,5	6	2	132,10 04010
6,0	1,00	4,0	5,80	25,0	50	100	1,5	8	2	178,90 06010
6,0	2,00	4,0	5,80	25,0	50	100	1,5	8	2	178,90 06020
8,0	1,00	4,0	7,80	32,0	60	120	1,5	10	2	243,10 08010
8,0	2,00	4,0	7,80	32,0	60	120	1,5	10	2	243,10 08020
10,0	1,50	6,0	9,80	40,0	80	160	1,5	12	2	379,40 10015
12,0	1,50	8,0	11,80	50,0	100	200	1,5	16	2	655,10 12015



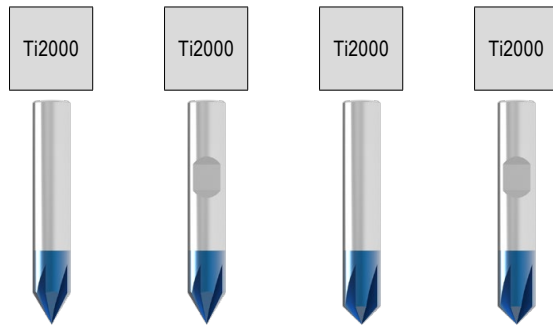
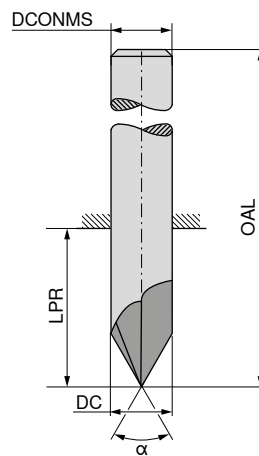
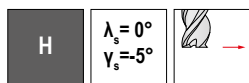
→ v_c/f_z Page 430+431

BlueLine – Fraises à ébavurer

Les fraises polyvalentes pour l'usinage des aciers trempés

▲ 52 562 ... / 52 563 ... – Angle de pointe $\alpha = 60^\circ$

▲ 52 560 ... / 52 561 ... – Angle de pointe $\alpha = 90^\circ$



$\alpha = 60^\circ$ Norme usine $\alpha = 60^\circ$ Norme usine $\alpha = 90^\circ$ Norme usine $\alpha = 90^\circ$ Norme usine

52 562 ...	52 563 ...	52 560 ...	52 561 ...
EUR V1	EUR V1	EUR V1	EUR V1
53,19 04000	67,04 06000	53,19 04000	67,04 06000
67,04 06000	81,08 08000	67,04 06000	81,08 08000
81,08 08000	108,60 10000	81,08 08000	108,60 10000
108,60 10000	108,60 10000	108,60 10000	108,60 10000
140,10 12000	140,10 12000	140,10 12000	140,10 12000
217,50 16000	217,50 16000	217,50 16000	217,50 16000

DC mm	OAL mm	LPR mm	DCONMS mm	ZEFP
4	50	22	4	5
6	57	21	6	6
8	63	27	8	6
10	72	32	10	6
12	83	38	12	6
16	92	44	16	8

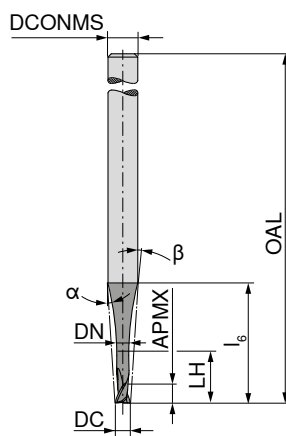
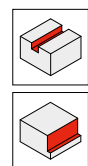
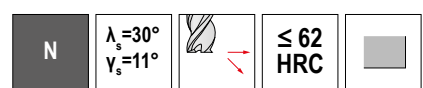
P	●	●	●	●
M				
K				
N				
S				
H	●	●	●	●
O				

→ v_c/f_z Page 419

Micro-fraises deux tailles

Les fraises universelles pour le micro-usinage

▲ T_x = Longueur utile maximale



DRAGONSkin



DRAGONSkin



Norme usine



Norme usine

52 802 ...

52 802 ...

DC mm	APMX mm	DN mm	LH mm	I ₆ mm	OAL mm	α°	β°	DCONMS _{hs} mm	T _x	ZEFP	EUR V1
0,2	0,12	0,16	0,44	5,7	38	15	14	3	2,2 x DC	2	65,34 021
0,2	0,20	0,16	1,00	6,4	38	15	13	3	5 x DC	2	65,34 023
0,2	0,20	0,16	2,00	9,2	38	15	9	3	10 x DC	2	65,34 025
0,2	0,20	0,16	0,44	5,7	43	15	14	3	2,2 x DC	2	62,67 03100
0,2	0,20	0,16	1,00	6,4	43	15	13	3	5 x DC	2	62,67 03300
0,2	0,20	0,16	2,00	9,2	43	15	9	3	10 x DC	2	62,67 03500
0,3	0,18	0,24	0,66	5,8	38	16,5	14	3	2,2 x DC	2	56,60 04100
0,3	0,30	0,24	1,50	6,9	38	16	11,5	3	5 x DC	2	56,60 04300
0,3	0,30	0,24	3,00	9,7	38	13,5	8,5	3	10 x DC	2	56,60 04500
0,4	0,24	0,32	0,88	5,8	38	16,5	13,5	3	2,2 x DC	2	50,13 051
0,4	0,40	0,32	2,00	7,4	38	15,5	10,5	3	5 x DC	2	50,13 053
0,4	0,40	0,32	4,00	10,2	38	14	8	3	10 x DC	2	50,13 055
0,5	0,30	0,40	1,10	5,8	38	15	13	3	2,2 x DC	2	50,13 052
0,5	0,50	0,40	2,50	7,8	38	15	10	3	5 x DC	2	50,13 054
0,5	0,50	0,40	5,00	10,7	38	13	7	3	10 x DC	2	50,13 056
0,5	0,50	0,40	1,10	5,8	43	15	13	3	2,2 x DC	2	51,72 06100
0,5	0,50	0,40	2,50	7,8	43	15	10	3	5 x DC	2	51,72 06300
0,5	0,50	0,40	5,00	14,5	43	13	5	3	10 x DC	2	51,72 06500
0,6	0,36	0,48	1,32	5,9	38	16,5	12	3	2,2 x DC	2	57,78 07100
0,6	0,60	0,48	3,00	8,3	38	15	9	3	5 x DC	2	57,78 07300
0,6	0,60	0,48	6,00	11,6	38	14	6,5	3	10 x DC	2	57,78 07500
0,7	0,42	0,56	1,54	5,9	38	16,5	11,5	3	2,2 x DC	2	57,80 081
0,7	0,70	0,56	3,50	8,8	38	14,5	8	3	5 x DC	2	57,80 083
0,7	0,70	0,56	7,00	12,5	38	14	6	3	10 x DC	2	57,80 085
0,8	0,48	0,64	1,76	5,9	38	15	11	3	2,2 x DC	2	57,80 082
0,8	0,80	0,64	4,00	9,0	38	15	7	3	5 x DC	2	57,80 084
0,8	0,80	0,64	8,00	13,5	38	12	5	3	10 x DC	2	57,80 086
0,8	0,80	0,64	1,76	5,9	43	15	11	3	2,2 x DC	2	49,75 09100
0,8	0,80	0,64	4,00	9,0	43	15	7	3	5 x DC	2	49,75 09300
0,8	0,80	0,64	8,00	15,5	43	9,8	5	3	10 x DC	2	49,75 09500
0,9	0,54	0,72	1,98	5,9	38	17	10,5	3	2,2 x DC	2	48,09 101
0,9	0,90	0,72	4,50	9,5	38	14	7	3	5 x DC	2	48,09 103
0,9	0,90	0,72	9,00	14,4	38	13	5	3	10 x DC	2	49,53 105
1,0	0,60	0,80	2,20	5,9	38	15	10	3	2,2 x DC	2	48,09 104
1,0	1,00	0,80	2,20	5,9	43	15	10	3	2,2 x DC	2	49,53 106
1,0	1,00	0,80	5,00	9,7	43	15	6	3	5 x DC	2	48,56 11100
1,0	1,00	0,80	10,00	15,3	43	11	4	3	10 x DC	2	48,56 11300
1,0	1,00	0,80	5,00	9,7	50	15	6	3	5 x DC	2	48,56 11100
1,0	1,00	0,80	10,00	20,6	50	8,5	3	3	10 x DC	2	48,56 11300
1,1	0,66	0,88	2,42	6,0	38	17	9,5	3	2,2 x DC	2	48,56 11100
1,1	1,10	0,88	5,50	10,0	43	14	6	3	5 x DC	2	48,56 11300

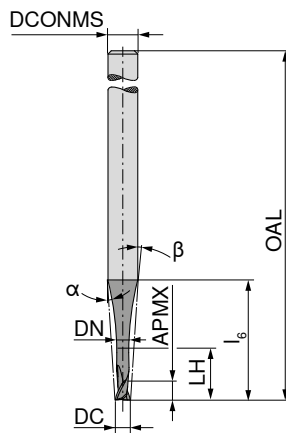
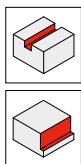
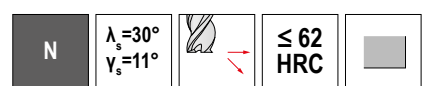
P	●	●
M	●	●
K	●	●
N	●	●
S	●	●
H	○	○
O	○	○

→ v_c/f_z Page 432-439

Micro-fraises deux tailles

Les fraises universelles pour le micro-usinage

▲ T_x = Longueur utile maximale



DRAGONSKIN

DRAGONSKIN



Norme usine

Norme usine

52 802 ...

52 802 ...

EUR V1

EUR V1

48,56 11500

48,56 12100

48,56 12300

48,56 12500

48,44 13100

48,44 13300

48,44 13500

48,44 14100

48,44 14300

48,44 14500

51,86 151

51,86 152

51,86 153

55,35 155

51,86 154

55,35 156

49,61 16100

49,61 16300

49,61 16500

51,99 17100

51,99 17300

51,99 17500

51,86 181

51,86 182

52,46 183

58,54 185

52,46 184

58,54 186

52,79 19100

52,79 19300

52,79 19500

51,86 201

52,46 203

58,54 205

51,86 202

52,46 204

58,54 206

14

DC mm	APMX mm	DN mm	LH mm	l_6 mm	OAL mm	α°	β°	DCONMS _{hs} mm	T_x	ZEFP
1,1	1,10	0,88	11,00	15,9	43	13	4	3	10 x DC	2
1,2	0,72	0,96	2,64	6,0	38	17	9	3	2,2 x DC	2
1,2	1,20	0,96	6,00	10,5	43	13,5	5,5	3	5 x DC	2
1,2	1,20	0,96	12,00	16,5	43	13,5	4	3	10 x DC	2
1,3	0,78	1,04	2,86	6,0	38	17	8,5	3	2,2 x DC	2
1,3	1,30	1,04	6,50	11,0	43	12,5	5	3	5 x DC	2
1,3	1,30	1,04	13,00	17,1	43	14	3,5	3	10 x DC	2
1,4	0,84	1,12	3,08	6,1	38	17	8	3	2,2 x DC	2
1,4	1,40	1,12	7,00	11,5	43	12	4,5	3	5 x DC	2
1,4	1,40	1,12	14,00	17,6	43	15	3,5	3	10 x DC	2
1,5	0,90	1,20	3,30	6,1	38	15	8	3	2,2 x DC	2
1,5	1,50	1,20	3,30	6,1	43	15	8	3	2,2 x DC	2
1,5	1,50	1,20	7,50	11,8	43	14	4	3	5 x DC	2
1,5	1,50	1,20	15,00	18,1	43	14,6	3	3	10 x DC	2
1,5	1,50	1,20	7,50	11,8	50	14	4	3	5 x DC	2
1,5	1,50	1,20	15,00	22,0	50	6,2	2	3	10 x DC	2
1,6	0,96	1,28	3,52	6,2	38	16,5	7	3	2,2 x DC	2
1,6	1,60	1,28	8,00	12,0	43	12	4	3	5 x DC	2
1,6	1,60	1,28	16,00	18,7	43	17	3	3	10 x DC	2
1,7	1,02	1,36	3,74	6,2	38	17	6,5	3	2,2 x DC	2
1,7	1,70	1,36	8,50	12,5	43	11	3,5	3	5 x DC	2
1,7	1,70	1,36	17,00	19,3	43	18,5	2,5	3	10 x DC	2
1,8	1,08	1,44	3,96	6,2	38	15	6	3	2,2 x DC	2
1,8	1,80	1,44	3,96	6,2	43	15	6	3	2,2 x DC	2
1,8	1,80	1,44	9,00	12,9	43	12	3	3	5 x DC	2
1,8	1,80	1,44	18,00	20,0	43	19,8	2	3	10 x DC	2
1,8	1,80	1,44	9,00	12,9	50	12	3	3	5 x DC	2
1,8	1,80	1,44	18,00	22,0	50	5,3	2	3	10 x DC	2
1,9	1,14	1,52	4,18	6,2	38	17,5	5,5	3	2,2 x DC	2
1,9	1,90	1,52	9,50	13,2	43	10	3	3	5 x DC	2
1,9	1,90	1,52	19,00	20,5	43	23,5	2,5	3	10 x DC	2
2,0	1,20	1,60	4,40	11,9	50	15	10	6	2,2 x DC	2
2,0	2,00	1,60	10,00	19,7	50	15	6	6	5 x DC	2
2,0	2,00	1,60	20,00	25,0	50	22,1	5	6	10 x DC	2
2,0	2,00	1,60	4,40	11,9	57	15	10	6	2,2 x DC	2
2,0	2,00	1,60	10,00	19,7	57	15	6	6	5 x DC	2
2,0	2,00	1,60	20,00	29,0	57	7,8	4	6	10 x DC	2

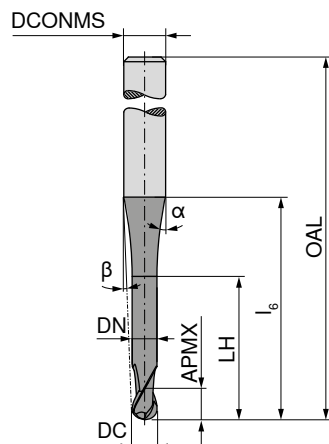
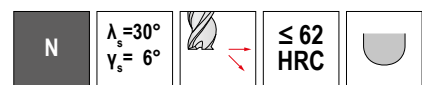
P	●	●
M	●	●
K	●	●
N	●	●
S	●	●
H	○	○
O	○	○

→ v_c/f_z Page 432-439

Micro-fraises hémisphériques

Les fraises universelles pour le micro-usinage

▲ T_x = Longueur utile maximale



DPA72S

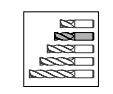
DRAGOSKIN

DPA72S

DRAGOSKIN

DPA72S

DRAGOSKIN



Norme usine

Norme usine

Norme usine

52 804 ...

52 804 ...

52 804 ...

EUR V1

EUR V1

EUR V1

021

024

027

73,02

73,02

73,02

022

025

028

73,02

73,02

73,02

023

026

029

72,28

03100

03400

72,28

03700

04100

65,56

04400

04700

65,56

051

054

56,94

057

052

56,94

055

058

56,94

053

056

56,94

059

059

59,25

06100

06400

59,25

06700

07100

62,28

07400

07700

62,28

081

084

64,32

087

088

64,32

082

085

64,32

088

083

64,32

083

DC ±,01 mm	APMX mm	DN mm	LH mm	l_6 mm	OAL mm	α°	β°	DCONMS h_5 mm	T_x	ZEFP
0,2	0,12	0,16	0,44	5,7	38	15	14	3	2,2 x DC	2
0,2	0,20	0,16	1,00	6,4	38	15	13	3	5 x DC	2
0,2	0,20	0,16	2,00	9,2	38	15	9	3	10 x DC	2
0,2	0,12	0,16	0,44	5,7	50	15	14	3	2,2 x DC	2
0,2	0,20	0,16	1,00	6,4	50	15	13	3	5 x DC	2
0,2	0,20	0,16	2,00	9,2	50	15	9	3	10 x DC	2
0,2	0,12	0,16	0,44	11,3	80	15	15	6	2,2 x DC	2
0,2	0,20	0,16	1,00	12,0	80	15	14	6	5 x DC	2
0,2	0,20	0,16	2,00	14,8	80	15	12	6	10 x DC	2
0,3	0,18	0,24	0,66	5,8	38	16,5	14	3	2,2 x DC	2
0,3	0,30	0,24	1,50	6,9	38	16	11,5	3	5 x DC	2
0,3	0,30	0,24	3,00	9,7	38	13,5	8,5	3	10 x DC	2
0,4	0,24	0,32	0,88	5,8	38	16,5	13	3	2,2 x DC	2
0,4	0,40	0,32	2,00	7,4	38	15,5	10,5	3	5 x DC	2
0,4	0,40	0,32	4,00	10,2	38	14	8	3	10 x DC	2
0,5	0,30	0,40	1,10	5,8	38	15	13	3	2,2 x DC	2
0,5	0,50	0,40	2,50	7,8	38	15	10	3	5 x DC	2
0,5	0,50	0,40	5,00	10,7	38	13	7	3	10 x DC	2
0,5	0,30	0,40	1,10	5,8	50	15	13	3	2,2 x DC	2
0,5	0,50	0,40	2,50	7,8	50	15	10	3	5 x DC	2
0,5	0,50	0,40	5,00	14,5	50	13	5	3	10 x DC	2
0,5	0,30	0,40	1,10	11,4	80	15	14	6	2,2 x DC	2
0,5	0,50	0,40	2,50	13,4	80	15	12	6	5 x DC	2
0,5	0,50	0,40	5,00	20,2	80	15	8	6	10 x DC	2
0,6	0,36	0,48	1,32	5,9	38	16,5	12	3	2,2 x DC	2
0,6	0,60	0,48	3,00	8,3	38	15	9	3	5 x DC	2
0,6	0,60	0,48	6,00	10,6	38	17	7	3	10 x DC	2
0,7	0,42	0,56	1,54	5,9	38	16,5	11,5	3	2,2 x DC	2
0,7	0,70	0,56	3,50	8,8	38	14	8	3	5 x DC	2
0,7	0,70	0,56	7,00	10,6	38	20,5	7	3	10 x DC	2
0,8	0,48	0,64	1,76	5,9	50	15	11	3	2,2 x DC	2
0,8	0,80	0,64	4,00	9,0	50	15	7	3	5 x DC	2
0,8	0,80	0,64	8,00	10,5	38	8,2	6	3	10 x DC	2
0,8	0,48	0,64	1,76	5,9	50	15	11	3	2,2 x DC	2
0,8	0,80	0,64	4,00	9,0	50	15	7	3	5 x DC	2
0,8	0,80	0,64	8,00	18,7	50	9,8	4	3	10 x DC	2
0,8	0,48	0,64	1,76	11,5	80	15	13	6	2,2 x DC	2

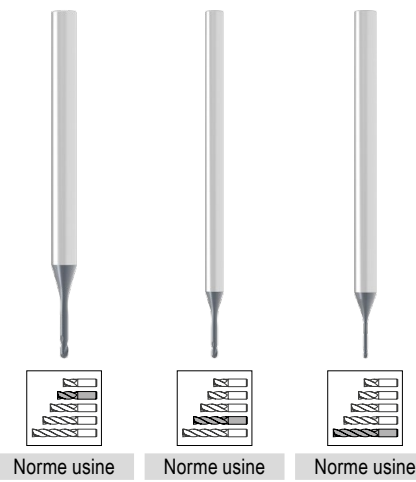
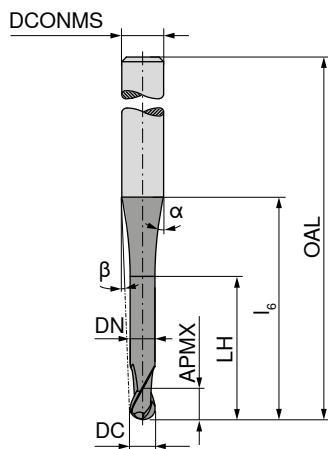
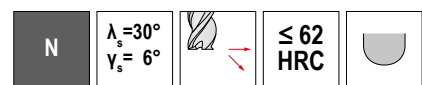
P	●	●	●
M	●	●	●
K	●	●	●
N	●	●	●
S	○	○	○
H	○	○	○
O	○	○	○

→ v_c/f_z Page 432-439

Micro-fraises hémisphériques

Les fraises universelles pour le micro-usinage

▲ T_x = Longueur utile maximale



DC ±,01 mm	APMX mm	DN mm	LH mm	I ₆ mm	OAL mm	α°	β°	DCONMS _{h5} mm	T _x	ZEFP	52 804 ...	52 804 ...	52 804 ...
											EUR V1	EUR V1	EUR V1
0,8	0,80	0,64	4,00	14,6	80	15	11	6	5 x DC	2			
0,8	0,80	0,64	8,00	25,9	80	14,8	6	6	10 x DC	2			
0,9	0,54	0,72	1,98	5,9	38	17	10,5	3	2,2 x DC	2	64,24	09100	
0,9	0,90	0,72	4,50	9,5	38	14	7	3	5 x DC	2	64,24	09400	
0,9	0,90	0,72	9,00	10,5	38	39,5	6,5	3	10 x DC	2	64,24	09700	
1,0	0,60	0,80	2,20	7,8	43	15	11	4	2,2 x DC	2	54,62	101	
1,0	1,00	0,80	5,00	11,6	43	15	8	4	5 x DC	2	54,62	104	
1,0	1,00	0,80	10,00	18,3	43	8	5	4	10 x DC	2	58,67	107	
1,0	0,60	0,80	2,20	7,8	60	15	11	4	2,2 x DC	2			54,62 102
1,0	1,00	0,80	5,00	11,6	60	15	8	4	5 x DC	2			54,62 105
1,0	1,00	0,80	10,00	23,7	60	10,2	4	4	10 x DC	2			58,67 108
1,0	0,60	0,80	2,20	11,5	80	15	13	6	2,2 x DC	2			54,62 103
1,0	1,00	0,80	5,00	15,3	80	15	10	6	5 x DC	2			54,62 106
1,0	1,00	0,80	10,00	28,7	80	13	5	6	10 x DC	2			58,67 109
1,1	0,66	0,88	2,42	7,9	43	16,5	11	4	2,2 x DC	2	58,94	11100	
1,1	1,10	0,88	5,50	12,0	43	14,5	7,5	4	5 x DC	2	58,94	11400	
1,1	1,10	0,88	11,00	18,3	43	13,5	5,5	4	10 x DC	2	58,94	11700	
1,2	0,72	0,96	2,64	7,9	43	15	11	4	2,2 x DC	2	60,53	121	
1,2	1,20	0,96	6,00	12,4	43	15	7	4	5 x DC	2	60,53	124	
1,2	1,20	0,96	12,00	18,2	43	9,3	5	4	10 x DC	2	62,86	127	
1,2	0,72	0,96	2,64	11,6	80	15	12	6	2,2 x DC	2			60,53 122
1,2	1,20	0,96	6,00	16,2	80	15	9	6	5 x DC	2			60,53 125
1,2	1,20	0,96	12,00	31,8	80	11,7	5	6	10 x DC	2			62,86 128
1,3	0,78	1,04	2,86	8,0	43	16,5	10,5	4	2,2 x DC	2	59,05	13100	
1,3	1,30	1,04	6,50	12,8	43	14	6,5	4	5 x DC	2	59,05	13400	
1,3	1,30	1,04	13,00	18,2	43	17	5	4	10 x DC	2	59,05	13700	
1,4	0,84	1,12	3,08	8,0	43	16,5	10	4	2,2 x DC	2	59,30	14100	
1,4	1,40	1,12	7,00	13,2	43	14	6,5	4	5 x DC	2	59,30	14400	
1,4	1,40	1,12	14,00	18,1	43	20,5	5	4	10 x DC	2	59,30	14700	
1,5	0,90	1,20	3,30	8,0	43	15	9	4	2,2 x DC	2	57,08	151	
1,5	1,50	1,20	7,50	13,7	43	15	6	4	5 x DC	2	60,42	154	
1,5	1,50	1,20	15,00	18,1	43	13,5	4	4	10 x DC	2	60,42	157	
1,5	0,90	1,20	3,30	8,0	60	15	9	4	2,2 x DC	2			57,08 152
1,5	1,50	1,20	7,50	13,7	60	15	6	4	5 x DC	2			60,42 155

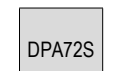
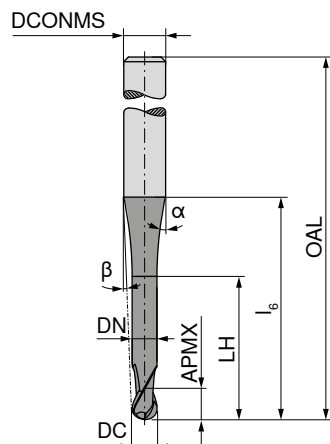
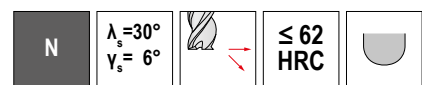
P	●	●	●
M	●	●	●
K	●	●	●
N	●	●	●
S	●	●	●
H	○	○	○
O	○	○	○

→ v_c/f_z Page 432-439

Micro-fraises hémisphériques

Les fraises universelles pour le micro-usinage

▲ T_x = Longueur utile maximale



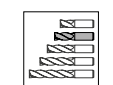
DRAGONSkin



DRAGONSkin



DRAGONSkin



Norme usine



Norme usine



Norme usine

52 804 ...

52 804 ...

52 804 ...

EUR V1

EUR V1

EUR V1

60,42 158

57,08 153

60,42 156

60,42 159

57,93 16100

57,93 16400

57,93 16700

60,39 17100

60,39 17400

60,39 17700

60,39 181

60,42 184

60,42 187

60,42 182

60,42 185

62,86 188

60,42 183

60,42 186

62,86 189

61,28 19100

61,28 19400

61,28 19700

56,94 201

60,42 204

60,42 207

56,94 202

60,42 205

60,42 208

56,94 203

60,42 206

60,42 209

DC $\pm 0,01$ mm	APMX mm	DN mm	LH mm	I ₆ mm	OAL mm	α°	β°	DCONMS h_{55} mm	T_x	ZEFP	
1,5	1,50	1,20	15,00	28,0	60	7,8	3	4	10 x DC	2	
1,5	0,90	1,20	3,30	11,7	80	15	11	6	2,2 x DC	2	
1,5	1,50	1,20	7,50	17,4	80	15	8	6	5 x DC	2	
1,5	1,50	1,20	15,00	35,8	80	10,2	4	6	10 x DC	2	
1,6	0,96	1,28	3,52	8,1	43	16,5	9	4	2,2 x DC	2	57,93 16100
1,6	1,60	1,28	8,00	14,1	43	13	5,5	4	5 x DC	2	57,93 16400
1,6	1,60	1,28	16,00	18,5	43	29,5	4,5	4	10 x DC	2	57,93 16700
1,7	1,02	1,36	3,74	8,1	43	16,5	9	4	2,2 x DC	2	60,39 17100
1,7	1,70	1,36	8,50	14,5	43	12,5	5	4	5 x DC	2	60,39 17400
1,7	1,70	1,36	17,00	18,9	43	35,5	4	4	10 x DC	2	60,39 17700
1,8	1,08	1,44	3,96	8,1	43	15	8	4	2,2 x DC	2	60,42 181
1,8	1,80	1,44	9,00	15,0	43	15	5	4	5 x DC	2	60,42 184
1,8	1,80	1,44	18,00	19,5	43	31,1	4	4	10 x DC	2	62,86 187
1,8	1,08	1,44	3,96	8,1	60	15	8	4	2,2 x DC	2	60,42 182
1,8	1,80	1,44	9,00	15,0	60	15	5	4	5 x DC	2	60,42 185
1,8	1,80	1,44	18,00	31,9	60	6,8	2	4	10 x DC	2	62,86 188
1,8	1,08	1,44	3,96	11,8	80	15	11	6	2,2 x DC	2	60,42 183
1,8	1,80	1,44	9,00	18,7	80	15	7	6	5 x DC	2	60,42 186
1,8	1,80	1,44	18,00	39,3	80	9,1	4	6	10 x DC	2	62,86 189
1,9	1,14	1,52	4,18	8,2	43	16,5	8	4	2,2 x DC	2	
1,9	1,90	1,52	9,50	15,5	43	11,5	4,5	4	5 x DC	2	61,28 19400
1,9	1,90	1,52	19,00	19,9	43	54,5	3,5	4	10 x DC	2	61,28 19700
2,0	1,20	1,60	4,40	11,9	57	15	10	6	2,2 x DC	2	56,94 201
2,0	2,00	1,60	10,00	19,7	57	15	6	6	5 x DC	2	60,42 204
2,0	2,00	1,60	20,00	32,0	57	9,5	4	6	10 x DC	2	60,42 207
2,0	1,20	1,60	4,40	11,9	70	15	10	6	2,2 x DC	2	
2,0	2,00	1,60	10,00	19,7	70	15	6	6	5 x DC	2	60,42 205
2,0	2,00	1,60	20,00	41,4	70	8,5	3	6	10 x DC	2	60,42 208
2,0	1,20	1,60	4,40	11,9	80	15	10	6	2,2 x DC	2	56,94 203
2,0	2,00	1,60	10,00	19,7	80	15	6	6	5 x DC	2	60,42 206
2,0	2,00	1,60	20,00	41,4	80	8,5	3	6	10 x DC	2	60,42 209

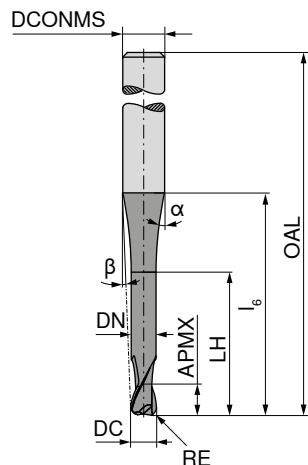
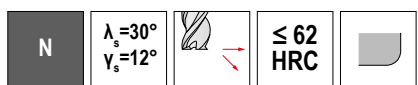
P	●	●	●
M	●	●	●
K	●	●	●
N	●	●	●
S	●	●	●
H	○	○	○
O	○	○	○

→ v_c/f_z Page 432–439

Micro-fraises toriques

Les fraises universelles pour le micro-usinage

▲ T_x = Longueur utile maximale



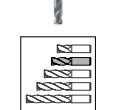
DRAGONSkin



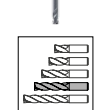
DRAGONSkin



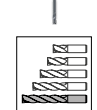
DRAGONSkin



Norme usine



Norme usine



Norme usine

52 806 ...

52 806 ...

52 806 ...

EUR V1

EUR V1

EUR V1

DC ±,01 mm	RE ±,005 mm	APMX mm	DN mm	LH mm	l ₆ mm	OAL mm	α°	β°	DCONMS h5 mm	T _x	ZEFP	
0,5	0,1	0,30	0,40	1,10	5,8	38	15	13	3	2,2 x DC	2	58,08 051
0,5	0,1	0,50	0,40	2,50	7,8	38	15	10	3	5 x DC	2	58,08 054
0,5	0,1	0,50	0,40	5,00	10,7	38	13	7	3	10 x DC	2	58,08 057
0,5	0,1	0,30	0,40	1,10	5,8	50	15	13	3	2,2 x DC	2	58,08 052
0,5	0,1	0,50	0,40	2,50	7,8	50	15	10	3	5 x DC	2	58,08 055
0,5	0,1	0,50	0,40	5,00	14,5	50	13	5	3	10 x DC	2	58,08 058
0,5	0,1	0,30	0,40	1,10	11,4	80	15	14	6	2,2 x DC	2	58,08 053
0,5	0,1	0,50	0,40	2,50	13,4	80	15	12	6	5 x DC	2	58,08 056
0,5	0,1	0,50	0,40	5,00	20,2	80	15	8	6	10 x DC	2	58,08 059
0,6	0,1	0,36	0,48	1,32	5,9	38	16,5	12	3	2,2 x DC	2	59,25 06101
0,6	0,1	0,60	0,48	3,00	8,3	38	15	9	3	5 x DC	2	59,25 06401
0,6	0,1	0,60	0,48	6,00	10,6	38	17	7	3	10 x DC	2	59,25 06701
0,8	0,2	0,48	0,64	1,76	5,9	38	16,5	11	3	2,2 x DC	2	62,28 08102
0,8	0,2	0,80	0,64	4,00	9,0	38	14,5	7,5	3	5 x DC	2	62,28 08402
0,8	0,2	0,80	0,64	8,00	10,5	38	27	6,5	3	10 x DC	2	62,28 08702
1,0	0,2	0,60	0,80	2,20	7,8	43	15	11	4	2,2 x DC	2	55,48 101
1,0	0,2	1,00	0,80	5,00	11,6	43	15	8	4	5 x DC	2	59,81 104
1,0	0,2	1,00	0,80	10,00	18,3	43	8	5	4	10 x DC	2	59,81 107
1,0	0,2	0,60	0,80	2,20	7,8	60	15	11	4	2,2 x DC	2	55,48 102
1,0	0,2	1,00	0,80	5,00	11,6	60	15	8	4	5 x DC	2	59,81 105
1,0	0,2	1,00	0,80	10,00	23,7	60	10,2	4	4	10 x DC	2	59,81 108
1,0	0,2	0,60	0,80	2,20	11,5	80	15	13	6	2,2 x DC	2	55,48 103
1,0	0,2	1,00	0,80	5,00	15,3	80	15	10	6	5 x DC	2	59,81 106
1,0	0,2	1,00	0,80	10,00	28,7	80	13	5	6	10 x DC	2	59,81 109
1,2	0,2	0,72	0,96	2,64	7,9	43	16,5	10,5	4	2,2 x DC	2	58,94 12102
1,2	0,2	1,20	0,96	6,00	12,4	43	14,5	7	4	5 x DC	2	58,94 12402
1,2	0,2	1,20	0,96	12,00	18,2	43	15	5	4	10 x DC	2	58,94 12702
1,5	0,3	0,90	1,20	3,30	8,0	43	15	9	4	2,2 x DC	2	58,23 151
1,5	0,3	1,50	1,20	7,50	13,7	43	15	6	4	5 x DC	2	61,73 154
1,5	0,3	1,50	1,20	15,00	18,1	43	24	4	4	10 x DC	2	61,73 157
1,5	0,3	0,90	1,20	3,30	8,0	60	15	9	4	2,2 x DC	2	58,23 152
1,5	0,3	1,50	1,20	7,50	13,7	60	15	6	4	5 x DC	2	61,73 155
1,5	0,3	1,50	1,20	15,00	29,2	60	7,8	3	4	10 x DC	2	61,73 158
1,5	0,3	0,90	1,20	3,30	11,7	80	15	11	6	2,2 x DC	2	58,23 153
1,5	0,3	1,50	1,20	7,50	17,4	80	15	8	6	5 x DC	2	61,73 156
1,5	0,3	1,50	1,20	15,00	35,8	80	10,2	4	6	10 x DC	2	61,73 159
1,6	0,3	0,96	1,28	3,52	8,1	43	16,5	9	4	2,2 x DC	2	57,93 16103

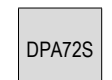
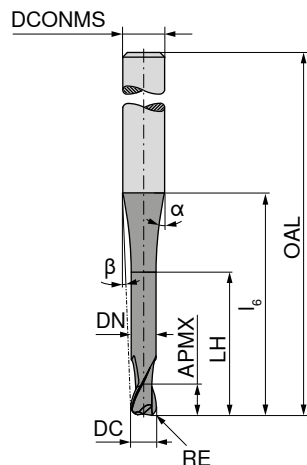
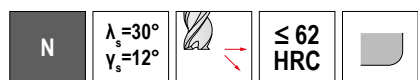
P	●	●	●
M	●	●	●
K	●	●	●
N	●	●	●
S	○	○	○
H	○	○	○
O	○	○	○

→ v_c/f_z Page 432-439

Micro-fraises toriques

Les fraises universelles pour le micro-usinage

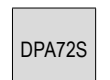
▲ T_x = Longueur utile maximale



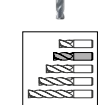
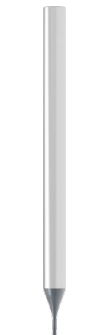
DRAGOSKIN



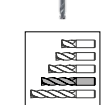
DRAGOSKIN



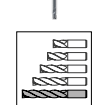
DRAGOSKIN



Norme usine



Norme usine



Norme usine

52 806 ...

52 806 ...

52 806 ...

EUR V1

EUR V1

EUR V1

1,6	0,3	1,60	1,28	8,00	14,1	43	13	5,5	4	5 x DC	2	57,93	16403
1,6	0,3	1,60	1,28	16,00	18,5	43	29,5	4,5	4	10 x DC	2	57,93	16703
1,8	0,4	1,08	1,44	3,96	8,1	43	16,5	8,5	4	2,2 x DC	2	60,39	18104
1,8	0,4	1,80	1,44	9,00	15,0	43	12	5	4	5 x DC	2	60,39	18404
1,8	0,4	1,80	1,44	18,00	19,5	43	41	4	4	10 x DC	2	60,39	18704
2,0	0,5	1,20	1,60	4,40	11,9	57	15	10	6	2,2 x DC	2	58,08	201
2,0	0,5	2,00	1,60	10,00	19,7	57	15	6	6	5 x DC	2	61,73	204
2,0	0,5	2,00	1,60	20,00	32,0	57	9,5	4	6	10 x DC	2	61,73	207
2,0	0,5	1,20	1,60	4,40	11,9	70	15	10	6	2,2 x DC	2	58,08	202
2,0	0,5	2,00	1,60	10,00	19,7	70	15	6	6	5 x DC	2	61,73	205
2,0	0,5	2,00	1,60	20,00	41,4	70	8,5	3	6	10 x DC	2	61,73	208
2,0	0,5	1,20	1,60	4,40	11,9	80	15	10	6	2,2 x DC	2	58,08	203
2,0	0,5	2,00	1,60	10,00	19,7	80	15	6	6	5 x DC	2	61,73	206
2,0	0,5	2,00	1,60	20,00	41,4	80	8,5	3	6	10 x DC	2	61,73	209

DC $\pm 0,01$ mm	RE $\pm 0,005$ mm	APMX mm	DN mm	LH mm	l_6 mm	OAL mm	α°	β°	DCONMS h_5 mm	T_x	ZEFFP		
1,6	0,3	1,60	1,28	8,00	14,1	43	13	5,5	4	5 x DC	2	57,93	16403
1,6	0,3	1,60	1,28	16,00	18,5	43	29,5	4,5	4	10 x DC	2	57,93	16703
1,8	0,4	1,08	1,44	3,96	8,1	43	16,5	8,5	4	2,2 x DC	2	60,39	18104
1,8	0,4	1,80	1,44	9,00	15,0	43	12	5	4	5 x DC	2	60,39	18404
1,8	0,4	1,80	1,44	18,00	19,5	43	41	4	4	10 x DC	2	60,39	18704
2,0	0,5	1,20	1,60	4,40	11,9	57	15	10	6	2,2 x DC	2	58,08	201
2,0	0,5	2,00	1,60	10,00	19,7	57	15	6	6	5 x DC	2	61,73	204
2,0	0,5	2,00	1,60	20,00	32,0	57	9,5	4	6	10 x DC	2	61,73	207
2,0	0,5	1,20	1,60	4,40	11,9	70	15	10	6	2,2 x DC	2	58,08	202
2,0	0,5	2,00	1,60	10,00	19,7	70	15	6	6	5 x DC	2	61,73	205
2,0	0,5	2,00	1,60	20,00	41,4	70	8,5	3	6	10 x DC	2	61,73	208
2,0	0,5	1,20	1,60	4,40	11,9	80	15	10	6	2,2 x DC	2	58,08	203
2,0	0,5	2,00	1,60	10,00	19,7	80	15	6	6	5 x DC	2	61,73	206
2,0	0,5	2,00	1,60	20,00	41,4	80	8,5	3	6	10 x DC	2	61,73	209

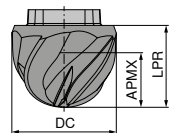
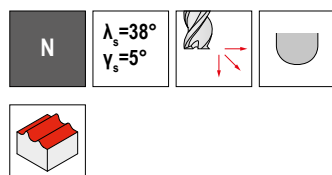
P	●	●	●
M	●	●	●
K	●	●	●
N	●	●	●
S	●	●	●
H	○	○	○
O	○	○	○

→ v_c/f_z Page 432–439

MultiLock – Fraises hémisphériques

Le système durable à têtes interchangeables

▲ KLG = Taille d'accouplement

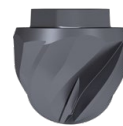


CTC5240

CTPX225

DRAGONSKIN

DRAGONSKIN



DC mm	KLG	APMX mm	LPR mm	ZEFP
12	EL12	7,0	9	4
16	EL16	9,5	12	4
20	EL20	12,0	15	4
25	EL25	16,0	19	4

Norme usine

Norme usine

53 803 ...

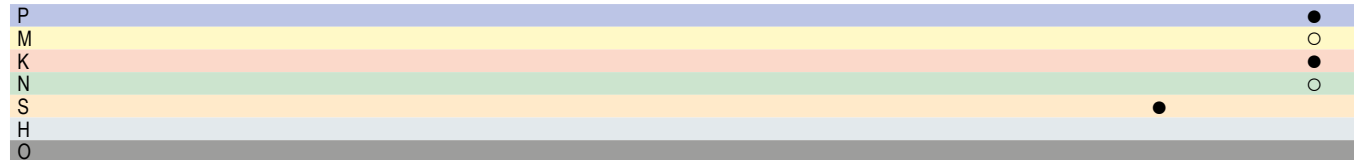
53 804 ...

EUR
W2/5E

EUR
W2/5E

65,59 01200
85,31 01600
105,00 02000
118,20 02500

59,02 01200
78,73 01600
98,45 02000
111,60 02500

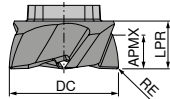
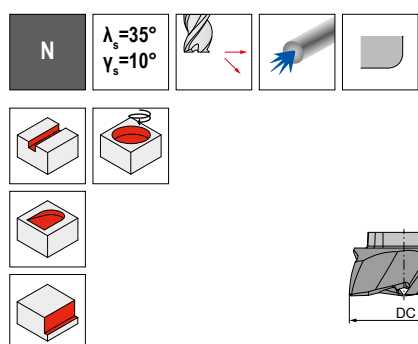


→ v_c/f_z Page 440

MultiLock – Fraises toriques

Le système durable à têtes interchangeables

▲ KLG = Taille d'accouplement



CTC5240

CTPX225

DRAGONSKIN

DRAGONSKIN



DC mm	RE mm	KLG	APMX mm	LPR mm	ZEFP
12	0,2	EL12	3,0	5	4
16	0,3	EL16	4,5	7	4
20	0,3	EL20	6,0	8	5
25	0,5	EL25	8,0	10	6

Norme usine

Norme usine

53 805 ...

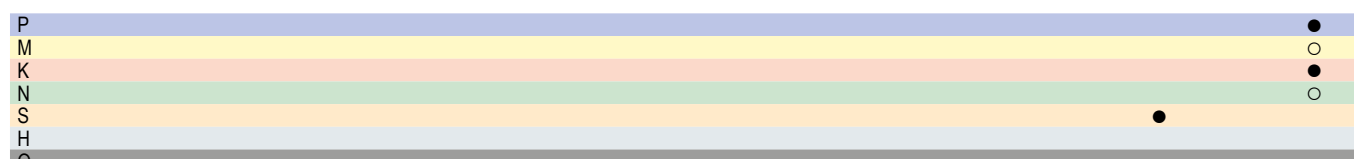
53 806 ...

EUR
W2/5E

EUR
W2/5E

59,02 01205
78,73 01607
98,45 02008
111,60 02510

52,46 01205
72,16 01607
91,88 02008
105,00 02510

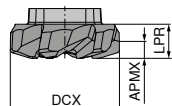
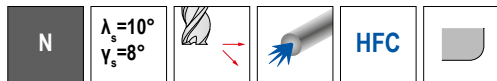


→ v_c/f_z Page 441

MultiLock – Fraises grande avance

Le système durable à têtes interchangeables

- ▲ KLG = Taille du système
- ▲ r_{3d} = Rayon à programmer
- ▲ APMX ne correspond pas à la profondeur de coupe maximale



DRAGOSKIN



DRAGOSKIN



DCX mm	KLG mm	r_{3d} mm	APMX mm	LPR mm	ZEFP
12	EL12	0,7	3,18	4	5
16	EL16	1,2	3,73	5	6
20	EL20	1,2	4,31	6	6
25	EL25	1,2	5,32	7	6

Norme usine

Norme usine

53 801 ...**53 802 ...**EUR
W2/5EEUR
W2/5E

65,59	01202	59,02	01202
85,31	01605	78,73	01605
98,45	02005	91,88	02005
118,20	02505	111,60	02505

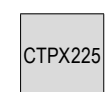
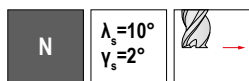
P
M
K
N
S
H
O

→ v_c/f_z Page 442

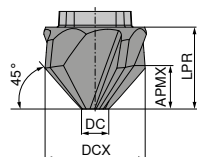
MultiLock – Fraises à chanfreiner

Le système durable à têtes interchangeables

- ▲ KLG = Taille d'accouplement



DRAGOSKIN



DCX mm	KLG mm	APMX mm	DC mm	LPR mm	ZEFP
12	EL12	4	4	8	4
16	EL16	6	4	12	4

Norme usine

53 800 ...EUR
W2/5E

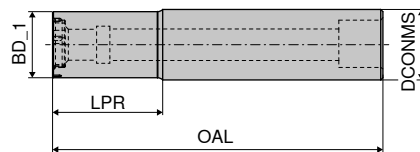
60,33	01200
80,04	01600

P
M
K
N
S
H
O

→ v_c/f_z Page 443

MultiLock – Porte-outils

▲ KLG = Taille d'accouplement



KLG	BD_1 mm	DCONMS mm	OAL mm	LPR mm
EL12	11	12	66	20
EL16	15	16	75	25
EL20	19	20	77	25
EL25	24	25	87	30

84 050 ...**84 051 ...**

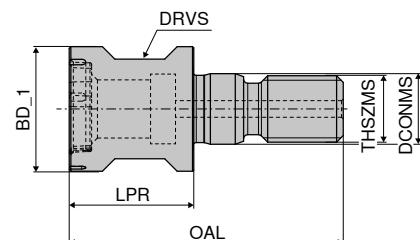
EUR W1/5D	EUR W1/5D
126,30 01200	126,30 01200
138,00 01600	138,00 01600
150,80 02000	150,80 02000
166,40 02500	166,40 02500

	70 950 ...		80 950 ...		80 950 ...		70 950 ...		70 950 ...		70 950 ...		80 950 ...		80 398 ...
Pièces détachées Pour référence															
84 051 01200 / 84 050 01200	1,46 42000	6,78 054	11,79 120	5,64 303	5,01 41900	7,43 42100	170,10 193	6,64 03500							
84 051 01600 / 84 050 01600	1,76 42300	6,78 055	12,62 121	5,64 303	5,96 42200	8,93 42400	170,10 193	6,64 04500							
84 051 02000 / 84 050 02000	1,76 42300	6,78 055	12,62 121	5,64 303	5,96 42200	8,93 42400	170,10 193	6,64 04500							
84 051 02500 / 84 050 02500	2,16 42600	6,78 055	12,62 121	5,64 303	11,36 42500	8,24 42700	170,10 193	4,90 06000							

MultiLock – Adaptateur à queue filetée, Type A

▲ KLG = Taille d'accouplement

▲ Pour fraises grande avance et torques



KLG	BD_1 mm	THSZMS	OAL mm	LPR mm	DCONMS	DRVS mm
EL12	11	M6	28	13	6,5	9
EL16	15	M8	33	14	8,5	12
EL20	19	M10	37	18	10,5	15
EL25	24	M12	42	20	12,5	17

84 052 ...

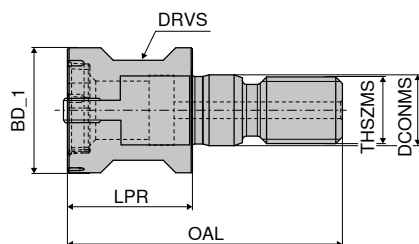
EUR W1/5D
132,80 01200
144,50 01600
157,30 02000
184,40 02500

	80 950 ...		80 950 ...		70 950 ...		70 950 ...		70 950 ...		80 950 ...		80 398 ...
Pièces détachées Pour référence													
84 052 01200	6,78 054	11,79 120	5,64 303	5,01 41900	7,43 42100	170,10 193	6,64 03500						
84 052 01600	6,78 055	12,62 121	5,64 303	5,96 42200	8,93 42400	170,10 193	6,64 04500						
84 052 02000	6,78 055	12,62 121	5,64 303	5,96 42200	8,93 42400	170,10 193	6,64 04500						
84 052 02500	6,78 055	12,62 121	5,64 303	11,36 42500	8,24 42700	170,10 193	4,90 06000						

MultiLock – Adaptateur à queue filetée, Type B

▲ KLG = Taille d'accouplement

▲ Pour fraises hémisphériques et à ébavurer

**84 053 ...**

KLG	BD_1 mm	THSZMS mm	OAL mm	LPR mm	DCONMS mm	DRVS mm	EUR W1/5D	
EL12	11	M6	28	13	6,5	9	148,30	01200
EL16	15	M8	33	14	8,5	12	161,20	01600
EL20	20	M10	37	18	10,5	15	174,10	02000
EL25	25	M12	42	20	12,5	17	205,00	02500

**Pièces détachées**
Pour référence

	EUR Y7	EUR W1/5D	EUR Y7	EUR 2A/28	EUR Y7	EUR 18000
84 053 01200	6,78	054	52,57	18600	11,79	120
84 053 01600	6,78	055	57,18	18800	12,62	121
84 053 02000	6,78	055	61,77	18700	12,62	121
84 053 02500	6,78	055	72,28	18900	12,62	121

Pour plus d'informations relatives au montage du système MultiLock, veuillez vous référer à → **Page 490.**

MultiChange – Vue d'ensemble du programme

Le système à têtes interchangeables « MultiChange » permet un changement d'outil extrêmement rapide. Il est extrêmement stable et dispose d'une très haute qualité de concentricité. Vous retrouverez l'ensemble des têtes, disponibles pour de nombreuses applications, dans les chapitres mentionnés ci-dessous.

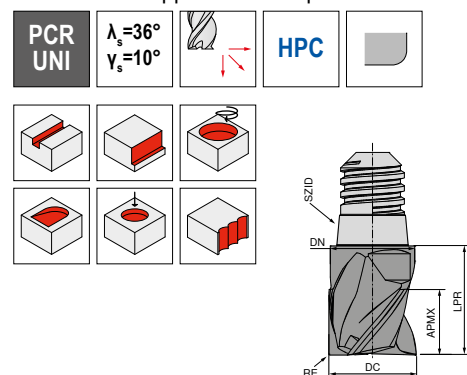
Têtes de coupe		
→ Chapitre 2, Forets en carbure monobloc		Page 2 107
Forets à pointer		
Ø 8, 10, 12, 16, 20 mm NOF 2	SIG 90°	SIG 120°
	SIG 142°	
→ Chapitre 4, Alésage et lamage		Page 4 18 + 4 19
Têtes interchangeables		
Ø 8,00 – 30,20 mm		Trou débouchant
Ø 12,20 – 30,20 mm		Trou borgne
→ Chapitre 14, Fraises en carbure monobloc		Page 14 198 – 14 202
Fraises deux tailles		
Ø 8, 10, 12, 16, 20 mm / ZEFP 3+4	Type PCR-UNI	Type PCR-ALU
		Type N
Fraises toriques		
Ø 8, 10, 12, 16, 20 mm / ZEFP 3+4	Type W	Type N
Fraises d'ébauche/semi-finition en carbure monobloc		
Ø 8, 10, 12, 16, 20 mm / ZEFP 4+6		Type NF
Fraises de finition en carbure monobloc		
Ø 8, 10, 12, 16, 20 mm / ZEFP 6		Type N
Fraises hémisphériques		
Ø 10, 12, 16, 20 mm / ZEFP 4		Type N
Fraises grande avance		
Ø 8, 10, 12, 16, 20 mm / ZEFP 6		Type N
Fraises à rayons concaves		
Ø 8, 10, 12, 16, 20 mm / ZEFP 6		Type N
Fraises à ébavurer		
Ø 10, 12, 16, 20 mm / ZEFP 4+6		Type N
NOF / ZEFP = Nombre d'arêtes de coupe		

Porte-outils	
→ Catalogue serrage, Chapitre 16 Accessoires	Page 16 259 – 16 261
OAL 60 – 90 mm	
	Conique 87° / aciers
	Cylindrique* / aciers
OAL 85 – 120 mm	
	Conique 87° / aciers
	Cylindrique* / aciers
	Conique 87° / carbure
	Cylindrique* / carbure
OAL 110 – 150 mm	
	Conique 87° / carbure
	Cylindrique* / carbure
OAL 150 – 200 mm	
	Conique 87° / carbure
	Cylindrique* / aciers
	Cylindrique* / carbure
OAL 200 – 250 mm	
	Cylindrique* / aciers
	Cylindrique* / carbure

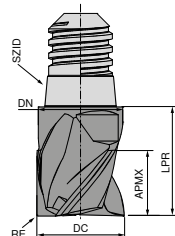
* Adapté au fraisage avec des paramètres de coupe réduits

MultiChange – Fraises à rainurer

Le système à têtes interchangeables pour les exigences les plus élevées et les applications les plus diverses



APA72S



Norme usine

52 871 ...

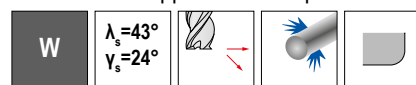
DC mm	RE mm	SZID	APMX mm	DN mm	LPR $\pm 0,02$	ZEFP	EUR V1
10	0,32	08	7,5	9,8	13	4	98,70 10000
12	0,32	10	9,0	11,8	16	4	113,80 12000
16	0,32	12	12,0	15,8	20	4	148,60 16000
20	0,50	16	15,0	19,8	25	4	195,00 20000

P ●
M ○
K ●
N
S
H
O

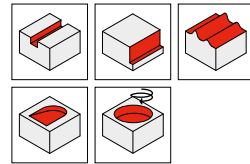
→ v_c/f_z Page 444+445

MultiChange – Fraises toriques

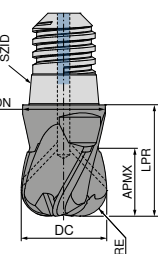
Le système à têtes interchangeables pour les exigences les plus élevées et les applications les plus diverses



DLC



DRAGOSKIN



Norme usine

52 870 ...

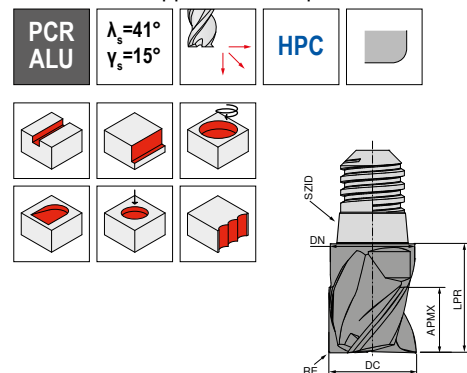
DC mm	RE mm	SZID	APMX mm	DN mm	LPR mm	ZEFP	EUR V1
10	0,5	08	7,5	9,8	13	3	87,29 10005
10	1,0	08	7,5	9,8	13	3	87,29 10010
12	0,5	10	9,0	11,8	16	3	102,30 12005
12	1,0	10	9,0	11,8	16	3	102,30 12010
12	2,0	10	9,0	11,8	16	3	102,30 12020
16	2,0	12	12,0	15,8	20	3	141,90 16020
16	4,0	12	12,0	15,8	20	3	141,90 16040
20	2,0	16	15,0	19,8	25	3	200,90 20020
20	3,0	16	15,0	19,8	25	3	200,90 20030
20	4,0	16	15,0	19,8	25	3	200,90 20040

P
M
K
N
S
H
O

→ v_c/f_z Page 452

MultiChange – Fraises à rainurer

Le système à têtes interchangeables pour les exigences les plus élevées et les applications les plus diverses



DLC



Norme usine

52 872 ...

DC mm	RE mm	SZID	APMX mm	DN mm	LPR $\pm 0,02$	ZEFP	EUR V1
10	0,32	08	7,5	9,8	13	4	102,40 10000
12	0,32	10	9,0	11,8	16	4	122,80 12000
16	0,32	12	12,0	15,8	20	4	162,30 16000
20	0,50	16	15,0	19,8	25	4	219,50 20000

P
M
K
N
S
H
O

→ v_c/f_z Page 444+445

Conseils de montage

- ▲ SZID = Taille du système
- ▲ SW = Type de clé
- ▲ M = Couple de serrage

SZID	SW mm	M Nm
06	6	5
08	8	12,5
10	10	15
12	13	20
16	16	25



- ▲ Les tailles 06 et 08 doivent être impérativement montées et serrées avec une clé dynamométrique.
- ▲ Lors d'applications instables, les paramètres de coupe doivent être réduits.

Vous trouverez les attaches et pièces de rechange
→ Chapitre 16 dans le catalogue : Solutions de serrage.

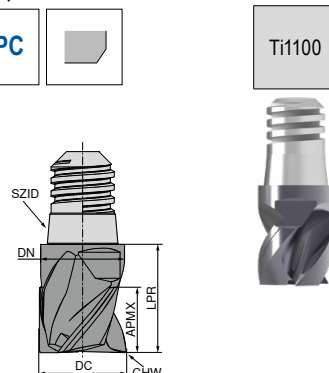
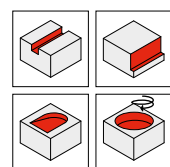
Informations importantes



APMX ne correspond pas à la profondeur de passe maximale

MultiChange – Fraises à rainurer

Le système à têtes interchangeables pour les exigences les plus élevées et les applications les plus diverses



Norme usine

52 861 ...

DC mm	SZID	APMX	DN mm	LPR $\pm 0,02$	CHW mm	ZEFFP	EUR V1	
8	06	6,0	7,8	11	0,16	3	61,26	080
10	08	7,5	9,8	13	0,20	3	69,63	100
12	10	9,0	11,8	16	0,24	3	87,11	120
16	12	12,0	15,8	20	0,32	3	121,80	160
20	16	15,0	19,8	25	0,40	3	156,40	200

P	●
M	○
K	●
N	●
S	○
H	●
O	●

→ v_c/f_z Page 446

Norme usine

52 862 ...

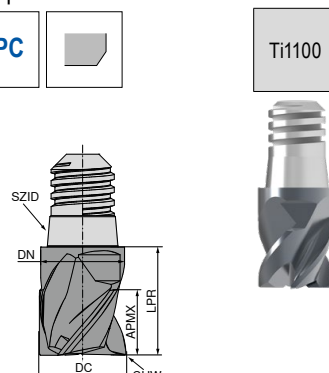
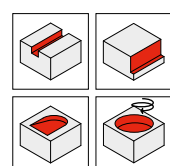
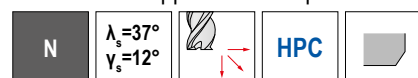
DC mm	SZID	APMX	DN mm	LPR $\pm 0,02$	CHW mm	ZEFFP	EUR V1	
8	06	10,0	7,8	15	0,16	4	76,31	080
10	08	12,5	9,8	18	0,20	4	79,42	100
12	10	15,0	11,8	22	0,24	4	108,00	120
16	12	20,0	15,8	28	0,32	5	164,80	160
20	16	25,0	19,8	35	0,40	6	221,80	200

P	●
M	○
K	●
N	●
S	○
H	●
O	●

→ v_c/f_z Page 447

MultiChange – Fraises à rainurer

Le système à têtes interchangeables pour les exigences les plus élevées et les applications les plus diverses



Norme usine

52 860 ...

DC mm	SZID	APMX	DN mm	LPR $\pm 0,02$	CHW mm	ZEFFP	EUR V1	
8	06	6,0	7,8	11	0,16	4	66,51	080
10	08	7,5	9,8	13	0,20	4	74,61	100
12	10	9,0	11,8	16	0,24	4	94,92	120
16	12	12,0	15,8	20	0,32	4	136,10	160
20	16	15,0	19,8	25	0,40	4	176,30	200

P	●
M	○
K	●
N	●
S	○
H	●
O	●

→ v_c/f_z Page 446

Conseils de montage

- ▲ SZID = Taille du système
- ▲ SW = Type de clé
- ▲ M = Couple de serrage

SZID	SW mm	M Nm
06	6	5
08	8	12,5
10	10	15
12	13	20
16	16	25

▲ Les tailles 06 et 08 doivent être impérativement montées et serrées avec une clé dynamométrique.

▲ Lors d'applications instables, les paramètres de coupe doivent être réduits.

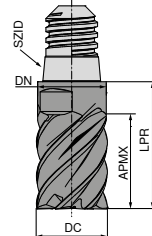
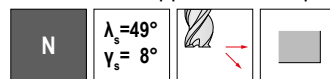
Vous trouverez les attaches et pièces de rechange
→ Chapitre 16 dans le catalogue : Solutions de serrage.

Informations importantes

APMX ne correspond pas à la profondeur de passe maximale

MultiChange – Fraises de finition

Le système à têtes interchangeables pour les exigences les plus élevées et les applications les plus diverses



Norme usine

52 863 ...

DC mm	SZID	APMX	DN mm	LPR $\pm 0,02$	ZEFP	EUR V1	
8	06	10,0	7,8	15	6	68,06	080
10	08	12,5	9,8	18	6	76,88	100
12	10	15,0	11,8	22	6	96,35	120
16	12	20,0	15,8	28	6	150,50	160
20	16	25,0	19,8	35	6	207,60	200

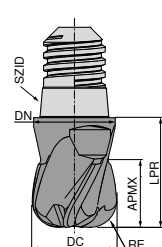
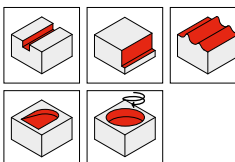
P
M
K
N
S
H
O

Norme usine

52 863 ...

MultiChange – Fraises toriques

Le système à têtes interchangeables pour les exigences les plus élevées et les applications les plus diverses



Norme usine

52 865 ...

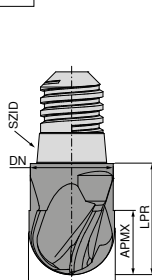
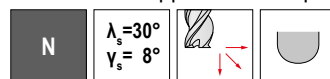
DC mm	SZID	APMX	DN mm	LPR $\pm 0,02$	RE mm	ZEFP	EUR V1	
8	06	6,0	7,8	11	1,0	4	61,26	081
8	06	6,0	7,8	11	2,0	4	61,26	082
10	08	7,5	9,8	13	1,5	4	69,63	101
10	08	7,5	9,8	13	3,0	4	69,63	103
12	10	9,0	11,8	16	1,5	4	87,11	121
12	10	9,0	11,8	16	4,0	4	87,11	124
16	12	12,0	15,8	20	2,0	4	129,40	162
16	12	12,0	15,8	20	5,0	4	129,40	165
20	16	15,0	19,8	25	2,0	4	174,70	202
20	16	15,0	19,8	25	6,0	4	174,70	206

P
M
K
N
S
H
O

→ v_c/f_z Page 449

MultiChange – Fraises hémisphériques

Le système à têtes interchangeables pour les exigences les plus élevées et les applications les plus diverses



Norme usine

52 866 ...

DC mm	SZID	APMX	DN mm	LPR $\pm 0,02$	ZEFP	EUR V1	
10	08	7,5	9,8	13	4	77,45	100
12	10	9,0	11,8	16	4	96,49	120
16	12	12,0	15,8	20	4	144,90	160
20	16	15,0	19,8	25	4	177,70	200

P
M
K
N
S
H
O

→ v_c/f_z Page 450+451

Conseils de montage

- ▲ SZID = Taille du système
- ▲ SW = Type de clé
- ▲ M = Couple de serrage

SZID	SW mm	M Nm
06	6	5
08	8	12,5
10	10	15
12	13	20
16	16	25

- ▲ Les tailles 06 et 08 doivent être impérativement montées et serrées avec une clé dynamométrique.
- ▲ Lors d'applications instables, les paramètres de coupe doivent être réduits.

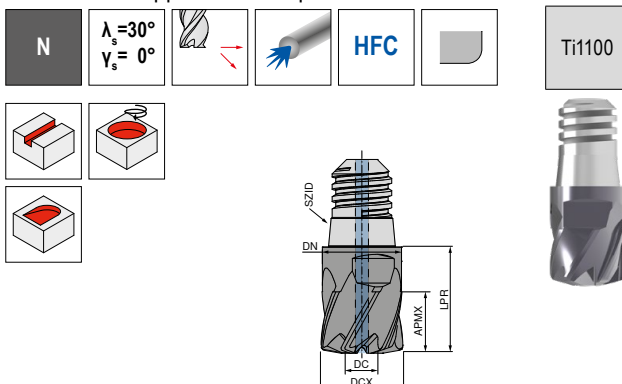
Vous trouverez les attaches et pièces de rechange
→ Chapitre 16 dans le catalogue : Solutions de serrage.

Informations importantes

- APMX ne correspond pas à la profondeur de passe maximale

MultiChange – Fraises grande avance

Le système à têtes interchangeables pour les exigences les plus élevées et les applications les plus diverses



Norme usine						52 864 ...	Norme usine						52 869 ...		
DCX	SZID	r _{3D}	APMX	LPR	ZEFP	EUR V1	DCX	SZID	PRFRAD	APMX	DC	LPR	LH	ZEFP	EUR V1
8	06	0,7	6,0	11	6	66,51 080	8	06	0,5	2,0	6,63	11	4,5	4 89,66 080	
10	08	0,9	7,5	13	6	74,61 100	8	06	1,0	3,0	5,69	11	5,0	4 89,66 081	
12	10	1,0	9,0	16	6	94,92 120	10	08	1,5	4,0	6,63	13	6,5	4 96,20 100	
16	12	1,4	12,0	20	6	136,10 160	10	08	2,0	4,5	5,69	13	7,0	4 96,20 101	
20	16	1,7	15,0	25	6	176,30 200	12	10	2,5	5,5	6,65	16	8,5	4 116,20 120	

P	●
M	○
K	●
N	●
S	●
H	●
O	●

→ v_c/f_z Page 448

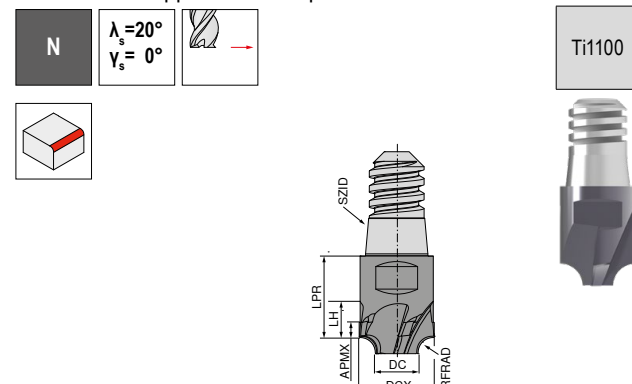
▲ r_{3D} = Rayon à programmer

▲ Ø DCX est supérieur de 0,2 mm au Ø DN

▲ Ø DCX est le double de la valeur du Ø DC

MultiChange – Fraises à rayons concaves

Le système à têtes interchangeables pour les exigences les plus élevées et les applications les plus diverses



Norme usine						52 864 ...	Norme usine						52 869 ...						
DCX	SZID	PRFRAD	APMX	DC	LPR	LH	ZEFP	EUR	V1	DCX	SZID	PRFRAD	APMX	DC	LPR	LH	ZEFP	EUR	V1
8	06	0,5	2,0	6,63	11	4,5	4	89,66	080	8	06	0,5	2,0	6,63	11	4,5	4	89,66	080
8	06	1,0	3,0	5,69	11	5,0	4	89,66	081	10	08	1,5	4,0	6,63	13	6,5	4	96,20	100
10	08	1,5	4,0	6,63	13	6,5	4	96,20	100	10	08	2,0	4,5	5,69	13	7,0	4	96,20	101
12	10	2,5	5,5	6,65	16	8,5	4	116,20	120	12	10	3,0	6,0	5,70	16	9,0	4	116,20	121
12	10	3,0	6,5	4,76	16	9,5	4	116,20	122	12	10	3,5	6,5	4,76	16	9,5	4	116,20	122
16	12	4,0	8,0	7,60	20	12,0	4	164,80	160	16	12	4,5	8,5	6,68	20	12,5	4	164,80	161
16	12	4,5	8,5	6,68	20	12,5	4	164,80	161	16	12	5,0	9,0	5,74	20	13,0	4	164,80	162
20	16	5,0	10,0	9,53	25	15,0	4	221,80	200	20	16	5,0	11,0	7,64	25	16,0	4	221,80	201

P	●
M	○
K	●
N	●
S	●
H	●
O	●

→ v_c/f_z Page 453

Conseils de montage

▲ SZID = Taille du système

▲ SW = Type de clé

▲ M = Couple de serrage

SZID	SW	M
	mm	Nm
06	6	5
08	8	12,5
10	10	15
12	13	20
16	16	25

- ▲ Les tailles 06 et 08 doivent être impérativement montées et serrées avec une clé dynamométrique.
- ▲ Lors d'applications instables, les paramètres de coupe doivent être réduits.

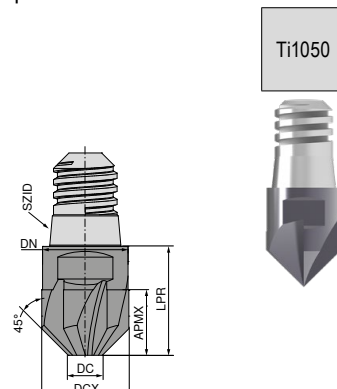
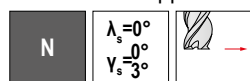
Vous trouverez les attaches et pièces de rechange
→ Chapitre 16 dans le catalogue : Solutions de serrage.

Informations importantes

- APMX ne correspond pas à la profondeur de passe maximale

MultiChange – Fraises à chanfreiner

Le système à têtes interchangeables pour les exigences les plus élevées et les applications les plus diverses



Ti1050



DCX mm	SZID	APMX	DC mm	DN mm	LPR $\pm 0,02$	ZEFFP	Norme usine	EUR V1	
10	08	7,5	0,02	9,8	13	4		62,94	100
12	10	9,0	0,02	11,8	16	4		81,43	120
16	12	12,0	6,40	15,8	20	6		108,30	160
20	16	15,0	8,00	19,8	25	6		143,50	200

P ●
M ○
K ●
N ●
S
H
O

→ v_c/f_z Page 454

Conseils de montage

- ▲ SZID = Taille du système
- ▲ SW = Type de clé
- ▲ M = Couple de serrage

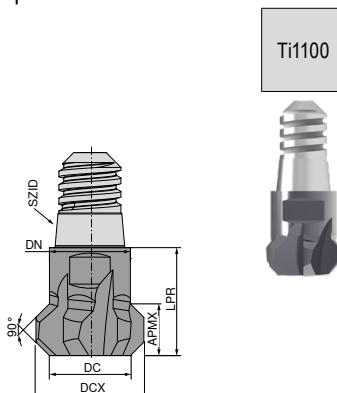
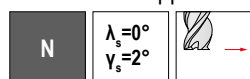
SZID	SW mm	M Nm
06	6	5
08	8	12,5
10	10	15
12	13	20
16	16	25

- ▲ Les tailles 06 et 08 doivent être impérativement montées et serrées avec une clé dynamométrique.
▲ Lors d'applications instables, les paramètres de coupe doivent être réduits.

Vous trouverez les attaches et pièces de rechange
→ Chapitre 16 dans le catalogue : Solutions de serrage.

MultiChange – Fraises à chanfreiner

Le système à têtes interchangeables pour les exigences les plus élevées et les applications les plus diverses



Ti1100

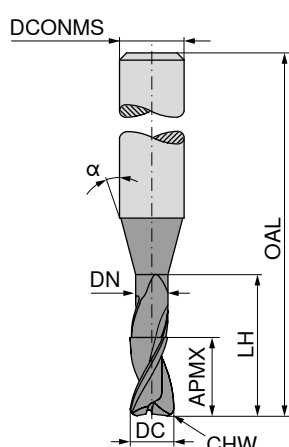
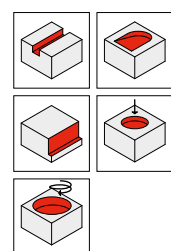
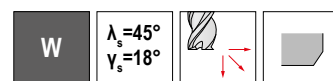


DCX mm	SZID	APMX	DC mm	DN mm	LPR $\pm 0,02$	ZEFFP	Norme usine	EUR V1	
10	06	4,8	7,5	8	11	6		69,63	100
12	08	5,5	9,0	10	13	6		87,11	120
16	10	8,0	12,0	12	16	6		121,80	160
20	12	9,5	15,0	16	20	6		156,40	200

P ●
M ○
K ●
N ●
S
H
O

→ v_c/f_z Page 454

Fraises deux tailles



Norme usine

Norme usine

50 900 ...

50 900 ...

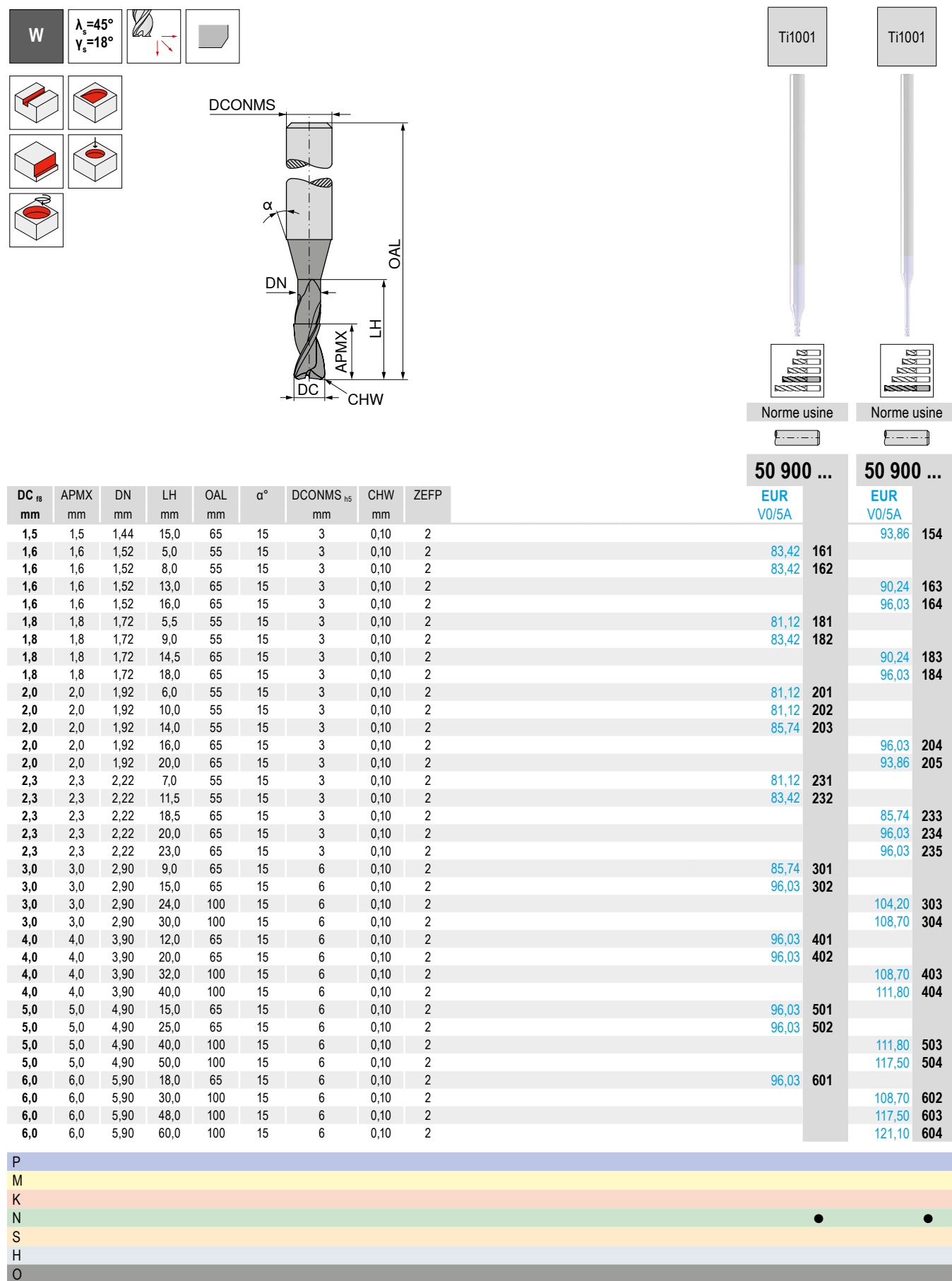
EUR
V0/5AEUR
V0/5A

DC ₁₈ mm	APMX mm	DN mm	LH mm	OAL mm	α°	DCONMS _{hs} mm	CHW mm	ZEFF
0,2	0,2	0,18	0,6	55	15	3	0,02	2
0,2	0,2	0,18	1,0	55	15	3	0,02	2
0,2	0,2	0,18	1,6	55	15	3	0,02	2
0,2	0,2	0,18	2,0	55	15	3	0,02	2
0,3	0,3	0,28	0,9	55	15	3	0,03	2
0,3	0,3	0,28	1,5	55	15	3	0,03	2
0,3	0,3	0,28	2,4	55	15	3	0,03	2
0,3	0,3	0,28	3,0	55	15	3	0,03	2
0,4	0,4	0,37	1,2	55	15	3	0,04	2
0,4	0,4	0,37	2,0	55	15	3	0,04	2
0,4	0,4	0,37	3,2	55	15	3	0,04	2
0,4	0,4	0,37	4,0	55	15	3	0,04	2
0,5	0,5	0,45	1,5	55	15	3	0,05	2
0,5	0,5	0,45	2,5	55	15	3	0,05	2
0,5	0,5	0,45	4,0	55	15	3	0,05	2
0,5	0,5	0,45	5,0	55	15	3	0,05	2
0,6	0,6	0,58	2,0	55	15	3	0,06	2
0,6	0,6	0,58	3,0	55	15	3	0,06	2
0,6	0,6	0,58	5,0	65	15	3	0,06	2
0,6	0,6	0,58	6,0	65	15	3	0,06	2
0,8	0,8	0,77	2,5	55	15	3	0,08	2
0,8	0,8	0,77	4,0	55	15	3	0,08	2
0,8	0,8	0,77	6,5	65	15	3	0,08	2
0,8	0,8	0,77	8,0	65	15	3	0,08	2
1,0	1,0	0,95	3,0	55	15	3	0,10	2
1,0	1,0	0,95	5,0	55	15	3	0,10	2
1,0	1,0	0,95	8,0	65	15	3	0,10	2
1,0	1,0	0,95	10,0	65	15	3	0,10	2
1,0	1,0	0,95	12,0	65	15	3	0,10	2
1,2	1,2	1,15	3,0	55	15	3	0,10	2
1,2	1,2	1,15	6,0	55	15	3	0,10	2
1,2	1,2	1,15	10,0	65	15	3	0,10	2
1,2	1,2	1,15	12,0	65	15	3	0,10	2
1,3	1,3	1,25	4,0	55	15	3	0,10	2
1,3	1,3	1,25	7,0	55	15	3	0,10	2
1,3	1,3	1,25	11,0	65	15	3	0,10	2
1,3	1,3	1,25	13,0	65	15	3	0,10	2
1,5	1,5	1,44	5,0	55	15	3	0,10	2
1,5	1,5	1,44	7,5	55	15	3	0,10	2
1,5	1,5	1,44	12,0	65	15	3	0,10	2

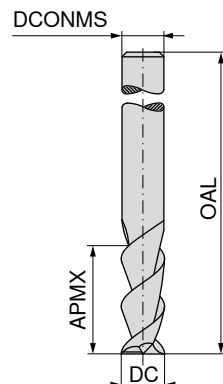
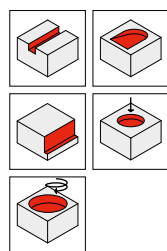
P								
M								
K								
N								
S								
H								
O								

→ v_c/f_z Page 480–485

Fraises deux tailles



Fraises deux tailles

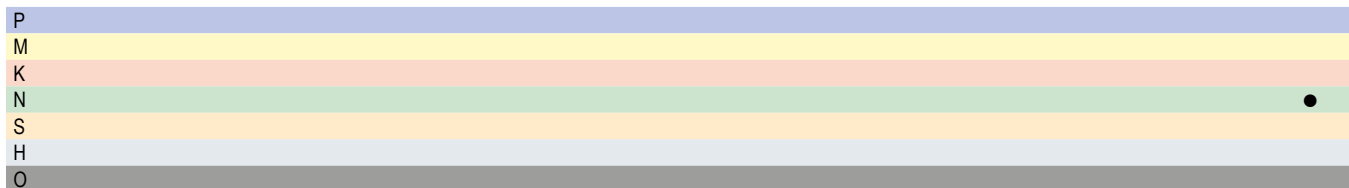


≈DIN 6527

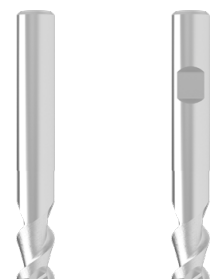
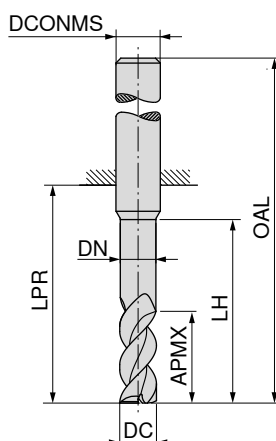
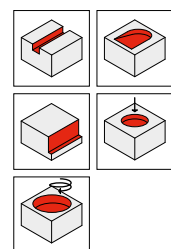
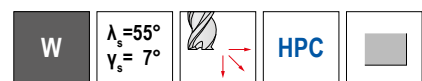


50 960 ...

DC _{h6} mm	APMX mm	OAL mm	DCONMS _{h6} mm	ZEFP	EUR V0/5A	
3	12	50	3	2	20,84	030
4	15	50	4	2	23,75	040
5	20	50	5	2	25,78	050
6	20	57	6	2	28,23	060
8	20	63	8	2	41,87	080
10	25	73	10	2	65,90	100
12	25	83	12	2	86,47	120
14	30	83	14	2	150,60	140
16	30	92	16	2	157,80	160
20	38	104	20	2	223,10	200

→ v_c/f_z Page 460+461

Fraises deux tailles



Norme usine

Norme usine



54 590 ...

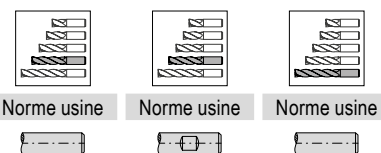
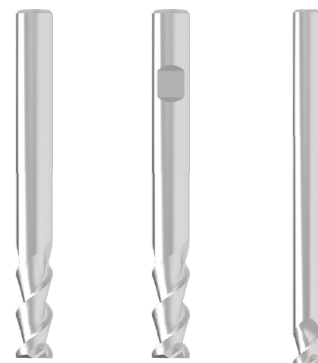
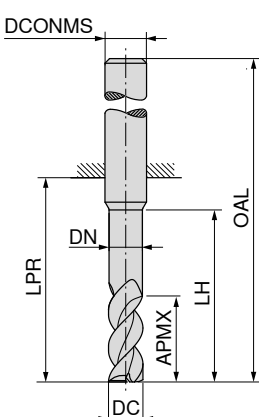
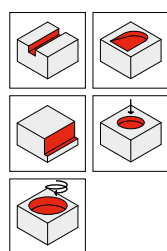
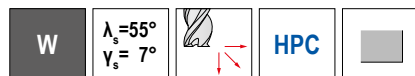
54 591 ...

	EUR	V0/5A	EUR	V0/5A
2,7	30,56	027	30,56	027
3,0	31,43	033	31,43	033
3,0	30,56	031	30,56	031
3,7	30,56	037	30,56	037
4,0	31,43	043	31,43	043
4,0	30,56	041	30,56	041
4,7	30,56	047	30,56	047
5,0	31,43	053	31,43	053
5,0	30,56	051	30,56	051
5,7	30,56	057	30,56	057
6,0	31,43	063	31,43	063
6,0	30,56	061	30,56	061
6,7	44,91	067	44,91	067
7,0	44,91	071	44,91	071
7,7	44,91	077	44,91	077
8,0	44,91	083	44,91	083
8,0	44,91	081	44,91	081
8,7	70,98	087	70,98	087
9,0	70,98	091	70,98	091
9,7	70,98	097	70,98	097
10,0	70,98	103	70,98	103
10,0	70,98	101	70,98	101
10,7	94,16	107	94,16	107
11,0	94,16	111	94,16	111
11,7	94,16	117	94,16	117
12,0	94,16	123	94,16	123
12,0	94,16	121	94,16	121
13,0	137,20	131	137,20	131
13,7	137,20	137	137,20	137
14,0	137,20	143	137,20	143
14,0	137,20	141	137,20	141
15,0	221,60	151	221,60	151
15,7	221,60	157	221,60	157
16,0	221,60	163	221,60	163
16,0	221,60	161	221,60	161
18,0	283,90	183	283,90	183
18,0	285,40	181	285,40	181
19,7	311,60	197	311,60	197
20,0	299,80	203	299,80	203
20,0	311,60	201	311,60	201
24,7	479,40	247	479,40	247
25,0	453,60	253	453,60	253
25,0	479,40	251	479,40	251

P				
M				
K				
N	●		●	
S				
H				
O				

→ v_c/f_z Page 460+461

Fraises deux tailles



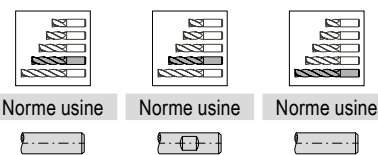
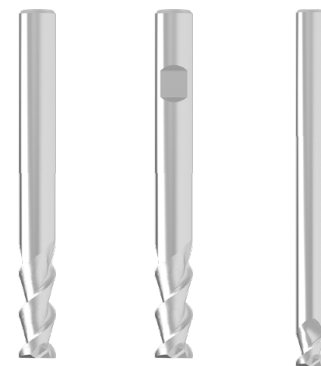
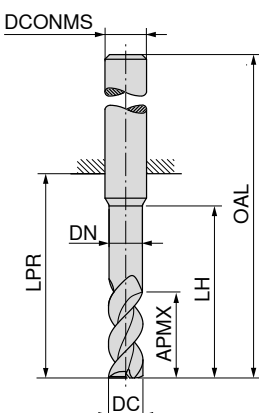
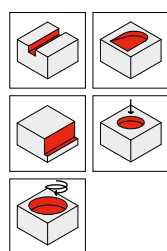
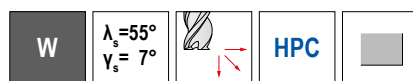
DC _{h6} mm	APMX mm	DN mm	LH mm	LPR mm	OAL mm	DCONMS _{h5} mm	ZEFP
2,7	8,0	2,5	15	22	58	6	2
3,0	3,5	2,8	15	22	58	6	2
3,0	8,0	2,8	15	22	58	6	2
3,0	3,5	2,8	24	31	67	6	2
3,7	10,5	3,5	20	26	62	6	2
4,0	4,5	3,8	20	26	62	6	2
4,0	10,5	3,8	20	26	62	6	2
4,0	4,5	3,8	32	38	74	6	2
4,7	13,0	4,5	25	34	70	6	2
5,0	5,5	4,8	25	34	70	6	2
5,0	13,0	4,8	25	34	70	6	2
5,0	5,5	4,8	40	52	88	6	2
5,7	16,0	5,5	30	34	70	6	2
6,0	7,0	5,8	30	34	70	6	2
6,0	16,0	5,8	30	34	70	6	2
6,0	7,0	5,8	48	52	88	6	2
6,7	21,0	6,4	40	44	80	8	2
7,0	21,0	6,7	40	44	80	8	2
7,7	21,0	7,4	40	44	80	8	2
8,0	9,0	7,7	40	44	80	8	2
8,0	21,0	7,7	40	44	80	8	2
8,0	9,0	7,7	64	68	104	8	2
8,7	26,0	8,4	50	54	94	10	2
9,0	26,0	8,7	50	54	94	10	2
9,7	26,0	9,4	50	54	94	10	2
10,0	11,0	9,7	50	54	94	10	2
10,0	26,0	9,7	50	54	94	10	2
10,0	11,0	9,7	80	84	124	10	2
10,7	31,0	10,3	60	64	109	12	2
11,0	31,0	10,6	60	64	109	12	2
11,7	31,0	11,3	60	64	109	12	2
12,0	13,0	11,6	60	64	109	12	2
12,0	31,0	11,6	60	64	109	12	2
12,0	13,0	11,6	96	100	145	12	2
13,0	36,0	12,6	70	74	119	14	2
13,7	36,0	13,3	70	74	119	14	2
14,0	15,0	13,6	70	74	119	14	2
14,0	36,0	13,6	70	74	119	14	2
14,0	15,0	13,6	112	116	161	14	2
15,0	41,0	14,5	80	84	132	16	2

54 590 ...	54 591 ...	54 590 ...
EUR V0/5A	EUR V0/5A	EUR V0/5A
35,50	028	35,50
33,61	034	35,50
35,50	032	35,50
35,50	038	35,50
33,61	044	35,50
35,50	042	35,50
35,50	048	35,50
33,61	054	35,50
35,50	052	35,50
35,50	058	35,50
33,61	064	35,50
35,50	062	35,50
50,84	068	50,84
50,84	072	50,84
50,84	078	50,84
49,40	084	50,84
50,84	082	50,84
80,24	088	80,24
80,24	092	80,24
80,24	098	80,24
78,07	104	80,24
80,24	102	80,24
132,10	108	132,10
132,10	112	132,10
132,10	118	132,10
129,70	124	132,10
132,10	122	132,10
191,30	132	191,30
191,30	138	191,30
189,80	144	191,30
191,30	142	191,30
249,20	152	249,20
		253,30
		105
		42,00
		035
		43,02
		045
		43,02
		065
		63,75
		085
		129,90
		105
		170,90
		125
		253,30
		145

P			
M			
K			
N	●	●	●
S			
H			
O			

→ v_c/f_z Page 460+461

Fraises deux tailles



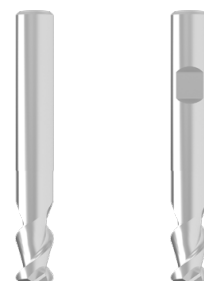
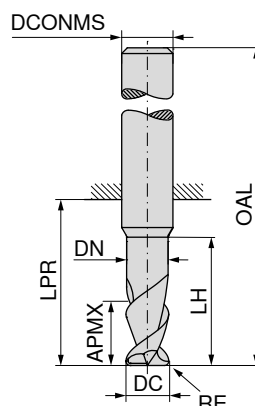
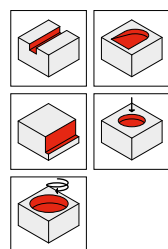
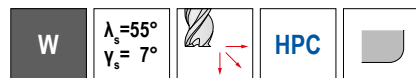
DC _{h6} mm	APMX mm	DN mm	LH mm	LPR mm	OAL mm	DCONMS _{h5} mm	ZEFP
15,7	41,0	15,2	80	84	132	16	2
16,0	17,0	15,5	80	84	132	16	2
16,0	41,0	15,5	80	84	132	16	2
16,0	17,0	15,5	128	132	180	16	2
18,0	20,0	17,5	90	94	142	18	2
18,0	47,0	17,5	90	94	142	18	2
18,0	20,0	17,5	144	148	196	18	2
19,7	52,0	19,2	100	104	154	20	2
20,0	22,0	19,5	100	104	154	20	2
20,0	52,0	19,5	100	104	154	20	2
20,0	22,0	19,5	160	164	214	20	2

54 590 ...	54 591 ...	54 590 ...
EUR V0/5A	EUR V0/5A	EUR V0/5A
249,20	158	249,20
246,20	164	249,20
249,20	162	249,20
310,10	184	328,80
324,60	182	324,60
355,00	198	355,00
330,30	204	418,70
355,00	202	355,00
		456,40
		205

P			
M			
K			
N	●	●	●
S			
H			
O			

→ v_c/f_z Page 460+461

Fraises deux tailles rayonnées



Norme usine

Norme usine



54 594 ...

54 595 ...

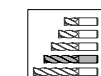
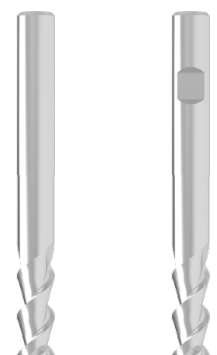
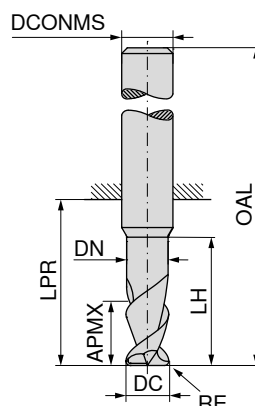
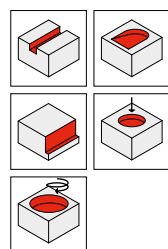
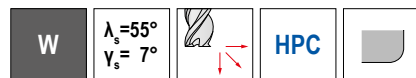
	EUR V0/5A		EUR V0/5A
34,78 031	34,78 031	34,78 031	34,78 031
34,78 033	34,78 033	34,78 033	34,78 033
34,78 035	34,78 035	34,78 035	34,78 035
34,78 041	34,78 041	34,78 041	34,78 041
34,78 043	34,78 043	34,78 043	34,78 043
34,78 045	34,78 045	34,78 045	34,78 045
35,50 051	35,50 051	35,50 051	35,50 051
35,50 053	35,50 053	35,50 053	35,50 053
35,50 055	35,50 055	35,50 055	35,50 055
36,07 061	36,07 061	36,07 061	36,07 061
36,07 063	36,07 063	36,07 063	36,07 063
36,07 065	36,07 065	36,07 065	36,07 065
49,68 081	49,68 081	49,68 081	49,68 081
49,68 083	49,68 083	49,68 083	49,68 083
49,68 085	49,68 085	49,68 085	49,68 085
75,47 101	75,47 101	75,47 101	75,47 101
75,47 103	75,47 103	75,47 103	75,47 103
75,47 105	75,47 105	75,47 105	75,47 105
99,08 121	99,08 121	99,08 121	99,08 121
99,08 123	99,08 123	99,08 123	99,08 123
99,08 125	99,08 125	99,08 125	99,08 125
230,30 161	230,30 161	230,30 161	230,30 161
231,70 163	231,70 163	231,70 163	231,70 163
231,70 165	231,70 165	231,70 165	231,70 165
314,30 201	314,30 201	314,30 201	314,30 201
314,30 203	314,30 203	314,30 203	314,30 203
314,30 205	314,30 205	314,30 205	314,30 205
314,30 206	314,30 206	314,30 206	314,30 206
482,40 251	482,40 251	482,40 251	482,40 251
483,90 253	483,90 253	483,90 253	483,90 253

P			
M			
K			
N			
S			
H		•	•
O			

14

→ v_c/f_z Page 460+461

Fraises deux tailles rayonnées



Norme usine

Norme usine



54 594 ...

54 595 ...

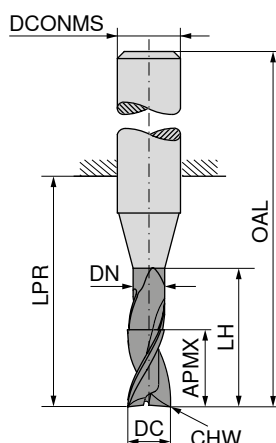
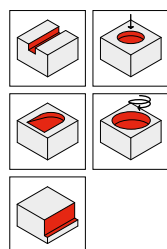
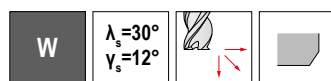
EUR
V0/5AEUR
V0/5A

3	0,2	8,0	2,8	15	22	58	6	2	34,78	032
3	0,3	8,0	2,8	15	22	58	6	2	34,78	034
3	0,5	8,0	2,8	15	22	58	6	2	34,78	036
4	0,3	10,5	3,8	20	26	62	6	2	36,62	042
4	0,5	10,5	3,8	20	26	62	6	2	36,62	044
4	1,0	10,5	3,8	20	26	62	6	2	36,62	046
5	0,3	13,0	4,8	25	34	70	6	2	39,69	052
5	0,5	13,0	4,8	25	34	70	6	2	39,69	054
5	1,0	13,0	4,8	25	34	70	6	2	39,69	056
6	0,3	16,0	5,8	30	34	70	6	2	39,69	062
6	0,5	16,0	5,8	30	34	70	6	2	39,69	064
6	1,0	16,0	5,8	30	34	70	6	2	39,69	066
8	0,3	21,0	7,7	40	44	80	8	2	55,35	082
8	0,5	21,0	7,7	40	44	80	8	2	55,35	084
8	1,0	21,0	7,7	40	44	80	8	2	55,35	086
10	0,5	26,0	9,7	50	54	94	10	2	84,72	102
10	1,0	26,0	9,7	50	54	94	10	2	84,72	104
10	1,5	26,0	9,7	50	54	94	10	2	84,72	106
12	1,0	31,0	11,6	60	64	109	12	2	138,40	122
12	1,5	31,0	11,6	60	64	109	12	2	138,40	124
12	2,0	31,0	11,6	60	64	109	12	2	138,40	126
16	2,0	41,0	15,5	80	84	132	16	2	260,60	162
16	2,5	41,0	15,5	80	84	132	16	2	262,20	164
16	4,0	41,0	15,5	80	84	132	16	2	262,20	166
20	2,0	52,0	19,5	100	104	154	20	2	360,80	202
20	2,5	52,0	19,5	100	104	154	20	2	362,30	204
20	4,0	52,0	19,5	100	104	154	20	2	362,30	207
25	2,0	65,0	24,5	125	130	186	25	2	673,50	252
25	4,0	65,0	24,5	125	130	186	25	2	673,50	254

P	
M	
K	
N	●
S	
H	
O	●

→ v_c/f_z Page 460+461

Fraises deux tailles



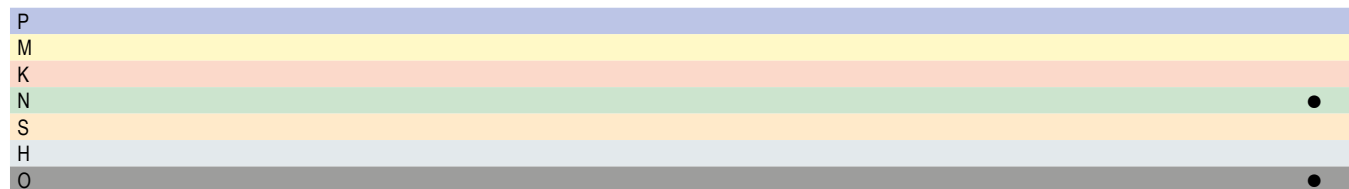
Norme usine



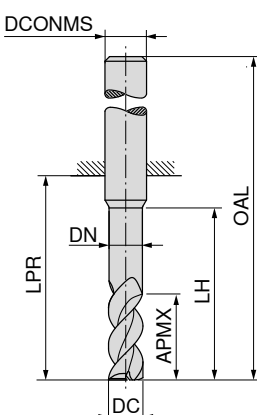
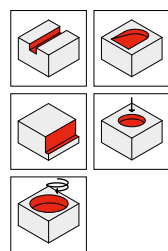
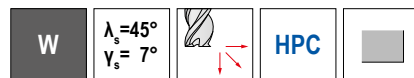
52 762 ...

DC mm	DC Tol. mm	APMX mm	DN mm	LH mm	LPR mm	OAL mm	DCONMS _{h6} mm	CHW mm	ZEFF
2	h10	8	1,8	31	32	60	2	0,04	2
3	h10	12	2,8	41	42	70	3	0,07	2
4	h10	15	3,8	51	52	80	4	0,07	2
5	h10	20	4,8	71	72	100	5	0,12	2
6	h10	20	5,8	63	64	100	6	0,12	2
8	h10	20	7,8	83	84	120	8	0,12	2
10	h10	25	9,8	99	100	140	10	0,20	2
12	h10	25	11,8	104	105	150	12	0,20	2

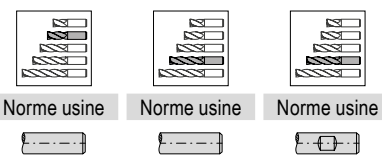
EUR	V1	020
159,50		
170,90		030
211,70		040
249,20		050
273,80		060
385,40		080
495,40		100
649,00		120

→ v_c/f_z Page 418

Fraises deux tailles



LPR pour queue suivant DIN 6535 HB



Norme usine Norme usine Norme usine

DC _{h6} mm	APMX mm	DN mm	LH mm	LPR mm	OAL mm	DCONMS _{h5} mm	ZEFP
3	3,5	2,8	12	19	55	6	3
3	3,5	2,8	15	22	58	6	3
3	8,0	2,8	15	22	58	6	3
4	4,5	3,8	12	19	55	6	3
4	4,5	3,8	20	26	62	6	3
4	10,5	3,8	20	26	62	6	3
5	5,5	4,8	15	22	58	6	3
5	5,5	4,8	25	34	70	6	3
5	13,0	4,8	25	34	70	6	3
6	7,0	5,8	18	22	58	6	3
6	7,0	5,8	30	34	70	6	3
6	16,0	5,8	30	34	70	6	3
7	21,0	6,7	40	44	80	8	3
8	9,0	7,7	24	28	64	8	3
8	9,0	7,7	40	44	80	8	3
8	21,0	7,7	40	44	80	8	3
9	26,0	8,7	50	54	94	10	3
10	11,0	9,7	30	34	74	10	3
10	11,0	9,7	50	54	94	10	3
10	26,0	9,7	50	54	94	10	3
11	31,0	10,6	60	64	109	12	3
12	13,0	11,6	36	40	85	12	3
12	13,0	11,6	60	64	109	12	3
13	36,0	12,6	70	74	119	14	3
14	15,0	13,6	42	46	91	14	3
14	15,0	13,6	70	74	119	14	3
14	36,0	13,6	70	74	119	14	3
15	17,0	14,5	48	52	100	16	3
15	17,0	14,5	80	84	132	16	3
15	41,0	14,5	80	84	132	16	3
16	17,0	15,5	48	52	100	16	3
16	17,0	15,5	80	84	132	16	3
16	41,0	15,5	80	84	132	16	3
18	20,0	17,5	54	58	106	18	3
18	20,0	17,5	90	94	142	18	3
18	47,0	17,5	90	94	142	18	3
20	22,0	19,5	60	64	114	20	3
20	22,0	19,5	100	104	154	20	3
20	52,0	19,5	100	104	154	20	3
25	27,0	24,5	75	80	136	25	3
25	27,0	24,5	125	130	186	25	3

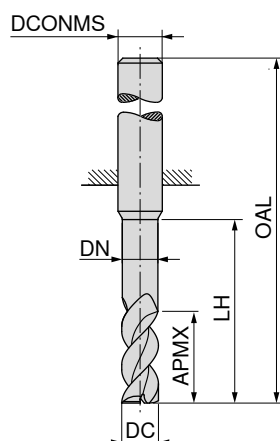
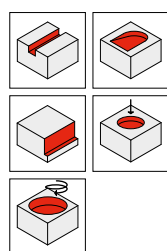
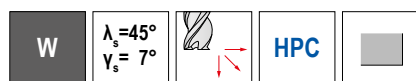
54 610 ... 54 610 ... 54 611 ...

EUR V0/5A	033	33,03	36,07	034	36,07	032
EUR V0/5A	043	33,03	36,07	044	38,25	042
EUR V0/5A	053	33,03	36,07	054	38,25	052
EUR V0/5A	063	33,03	36,07	064	38,25	062
EUR V0/5A	083	47,37	51,73	084	54,45	082
EUR V0/5A	103	73,59	80,55	104	85,74	102
EUR V0/5A	123	96,77	142,40	102	142,40	112
EUR V0/5A	143	139,90	149,30	124	142,40	122
EUR V0/5A	153	181,10	215,80	144	207,20	142
EUR V0/5A	163	181,10	207,20	142	207,20	132
EUR V0/5A	183	228,80	281,00	154	267,90	152
EUR V0/5A	203	339,00	350,60	184	339,00	182
EUR V0/5A	253	618,50	362,30	204	362,30	202
EUR V0/5A	254	724,40	362,30	202	362,30	202

P						
M						
K						
N				●	●	●
S						
H						
O						

→ v_c/f_z Page 460+461

Fraises deux tailles



Norme usine

54 610 ...

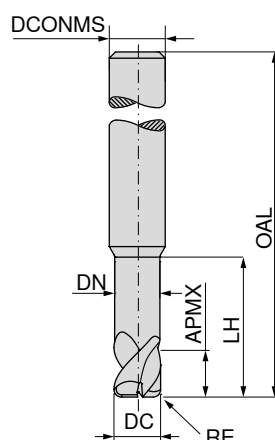
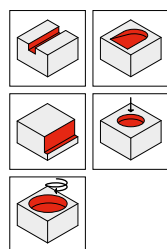
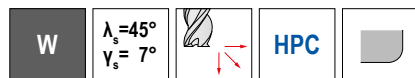
EUR
V0/5A

DC _{h6} mm	APMX mm	DN mm	LH mm	OAL mm	DCONMS _{h5} mm	ZEFP	
3	3,5	2,8	24	67	6	3	035
4	4,5	3,8	32	74	6	3	44,64 045
5	5,5	4,8	40	88	6	3	44,64 055
6	7,0	5,8	48	88	6	3	44,64 065
8	9,0	7,7	64	104	8	3	65,03 085
10	11,0	9,7	80	124	10	3	147,70 105
12	13,0	11,6	96	145	12	3	197,00 125
14	15,0	13,6	112	161	14	3	286,90 145
16	17,0	15,5	128	180	16	3	370,90 165
18	20,0	17,5	144	196	18	3	470,90 185
20	22,0	19,5	160	214	20	3	515,70 205

P							
M							
K							
N							●
S							
H							
O							

→ v_c/f_z Page 460+461

Fraises deux tailles rayonnées



Norme usine



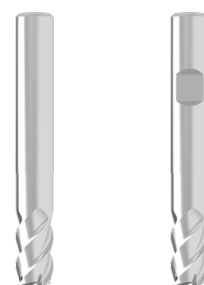
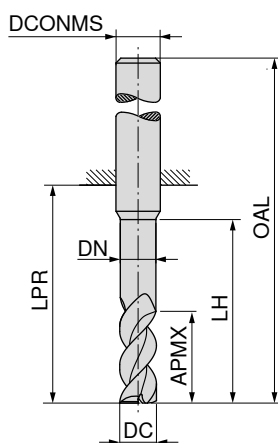
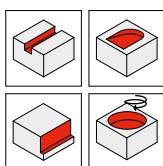
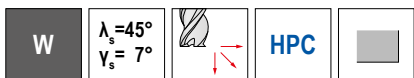
54 620 ...

DC _{h6} mm	RE ±0,01 mm	APMX mm	DN mm	LH mm	OAL mm	DCONMS _{h5} mm	ZEPP	EUR V0/5A	
3	0,4	3,5	2,8	12	55	6	3	37,09	034
3	0,6	3,5	2,8	12	55	6	3	37,09	035
4	0,4	4,5	3,8	12	55	6	3	37,09	044
4	0,6	4,5	3,8	12	55	6	3	37,09	046
5	0,4	5,5	4,8	15	58	6	3	37,09	054
5	0,6	5,5	4,8	15	58	6	3	37,09	056
6	0,4	7,0	5,8	18	58	6	3	37,09	064
6	0,6	7,0	5,8	18	58	6	3	37,09	066
8	0,4	9,0	7,7	24	64	8	3	51,27	084
8	0,6	9,0	7,7	24	64	8	3	51,27	086
8	0,8	9,0	7,7	24	64	8	3	51,27	087
10	1,6	11,0	9,7	30	74	10	3	77,64	103
12	2,0	13,0	11,6	36	85	12	3	100,50	124
14	0,6	15,0	13,6	42	91	14	3	143,70	146
14	0,8	15,0	13,6	42	91	14	3	143,70	147
16	1,6	17,0	15,5	48	100	16	3	187,00	163
16	3,2	17,0	15,5	48	100	16	3	188,40	167
18	1,6	20,0	17,5	54	106	18	3	231,70	183
20	3,2	22,0	19,5	60	114	20	3	349,10	207
20	5,0	22,0	19,5	60	114	20	3	349,10	209

P									
M									
K									
N									●
S									
H									
O									

→ v_c/f_z Page 460+461

Fraises deux tailles



Norme usine

Norme usine

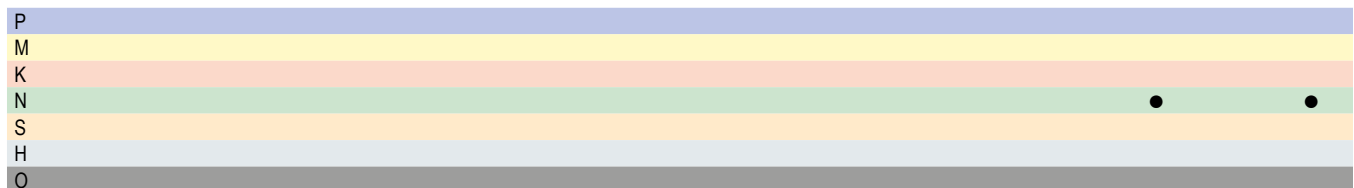


54 630 ...

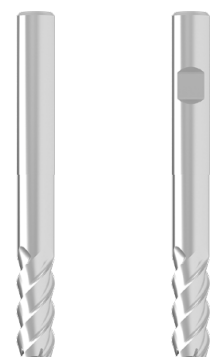
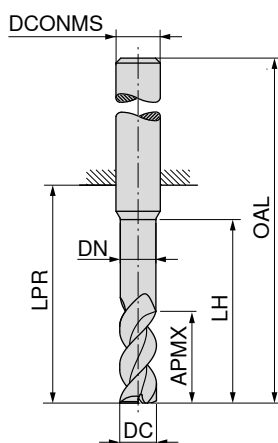
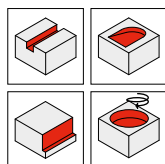
54 631 ...

	EUR V0/5A	EUR V0/5A
6	34,78	061
7	49,40	071
8	49,40	081
9	76,92	091
10	76,92	101
11	100,50	111
12	100,50	121
13	144,60	131
14	144,60	141
15	188,40	151
16	188,40	161
18	236,10	181
20	267,90	201

DC _{h6} mm	APMX mm	DN mm	LH mm	LPR mm	OAL mm	DCONMS _{h5} mm	ZEPP
6	10	5,8	18	22	58	6	4
7	13	6,7	24	28	64	8	4
8	13	7,7	24	28	64	8	4
9	16	8,7	30	34	74	10	4
10	16	9,7	30	34	74	10	4
11	19	10,6	36	40	85	12	4
12	19	11,6	36	40	85	12	4
13	22	12,6	42	46	91	14	4
14	22	13,6	42	46	91	14	4
15	25	14,5	48	52	100	16	4
16	25	15,5	48	52	100	16	4
18	29	17,5	54	58	106	18	4
20	32	19,5	60	64	114	20	4

→ v_c/f_z Page 460+461

Fraises deux tailles



54 630 ...

54 631 ...

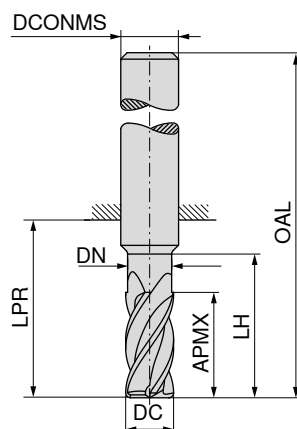
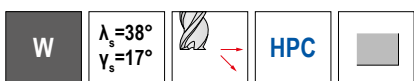
	EUR V0/5A	EUR V0/5A
6	36,80	062
7	54,45	072
8	54,45	082
9	85,74	092
10	85,74	102
11	142,40	112
12	142,40	122
13	207,20	132
14	207,20	142
15	267,90	152
16	267,90	162
18	339,00	182
20	362,30	202

DC _{h6} mm	APMX mm	DN mm	LH mm	LPR mm	OAL mm	DCONMS _{h5} mm	ZEPP
6	16	5,8	30	34	70	6	4
7	21	6,7	40	44	80	8	4
8	21	7,7	40	44	80	8	4
9	26	8,7	50	54	94	10	4
10	26	9,7	50	54	94	10	4
11	31	10,6	60	64	109	12	4
12	31	11,6	60	64	109	12	4
13	36	12,6	70	74	119	14	4
14	36	13,6	70	74	119	14	4
15	41	14,5	80	84	132	16	4
16	41	15,5	80	84	132	16	4
18	47	17,5	90	94	142	18	4
20	52	19,5	100	104	154	20	4

P		
M		
K		
N		
S		
H		
O	●	●

→ v_c/f_z Page 460+461

Fraises deux tailles



Norme usine

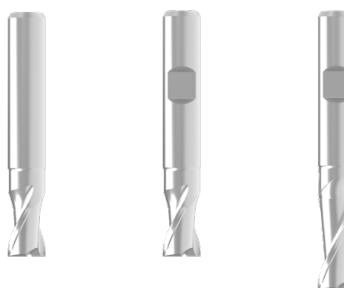
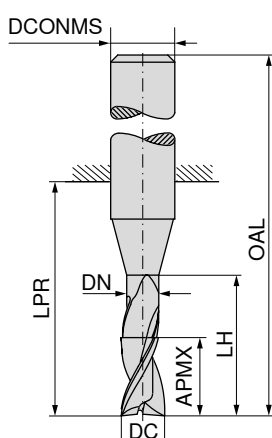
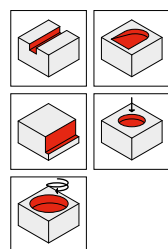
54 650 ...

DC _{h6} mm	APMX mm	DN mm	LH mm	LPR mm	OAL mm	DCONMS _{h5} mm	ZEPP	EUR V0/5A
6	19	5,8	30	34	70	6	5	84,33 062
8	25	7,7	40	44	80	8	5	108,50 082
10	31	9,7	50	54	94	10	5	168,00 102
12	37	11,6	60	64	109	12	5	267,90 122
14	43	13,6	70	74	119	14	5	436,10 142
16	49	15,5	80	84	132	16	7	485,40 162
18	56	17,5	90	94	142	18	7	605,40 182
20	62	19,5	100	104	154	20	7	672,20 202

P								
M								
K								
N								
S								
H								
O								

→ v_c/f_z Page 460+461

Fraises deux tailles



52 942 ...

52 941 ...

52 948 ...

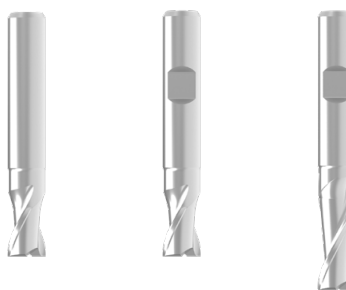
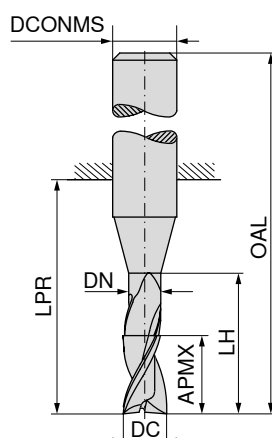
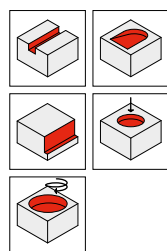
EUR
V1/5BEUR
V1/5BEUR
V1/5B

DC _{e8} mm	APMX mm	DN mm	LH mm	LPR mm	OAL mm	DCONMS _{h6} mm	ZEFF
0,20	0,4			10	38	3	2
0,25	0,5			10	38	3	2
0,30	1,0			10	38	3	2
0,35	1,0			10	38	3	2
0,40	1,0			10	38	3	2
0,50	1,5			10	38	3	2
0,60	1,5			10	38	3	2
0,70	2,0			10	38	3	2
0,80	2,0			10	38	3	2
0,90	2,5			10	38	3	2
1,00	3,0			10	38	3	2
1,00	4,0	0,90	6	22	58	6	2
1,10	3,0			10	38	3	2
1,20	4,0			10	38	3	2
1,30	4,0			10	38	3	2
1,40	4,0			10	38	3	2
1,50	3,0	1,40	6	18	54	6	2
1,50	4,0			10	38	3	2
1,50	6,0	1,40	8	22	58	6	2
1,60	4,0			10	38	3	2
1,80	5,0			10	38	3	2
2,00	4,0	1,90	8	18	54	6	2
2,00	7,0	1,90	10	22	58	6	2
2,50	4,0	2,40	8	18	54	6	2
2,50	6,0			10	38	3	2
2,80	4,0	2,70	9	18	54	6	2
2,80	7,0	2,70	12	22	58	6	2
3,00	6,0	2,90	9	18	54	6	2
3,00	10,0	2,90	14	22	58	6	2
3,50	6,0	3,30	9	18	54	6	2
3,80	7,0	3,60	12	18	54	6	2
3,80	10,0	3,60	18	22	58	6	2
4,00	7,0	3,80	12	18	54	6	2
4,00	13,0	3,80	18	22	58	6	2
4,50	7,0	4,30	12	18	54	6	2
4,80	8,0	4,60	16	18	54	6	2
4,80	13,0	4,60	18	22	58	6	2
5,00	8,0	4,80	16	18	54	6	2
5,00	15,0	4,80	18	22	58	6	2
5,50	8,0	5,30	16	18	54	6	2
5,75	10,0	5,55	16	18	54	6	2

P	●	●	●
M	○	○	○
K	●	●	●
N	○	○	○
S	○	○	○
H			
O	○	○	○

→ v_c/f_z Page 480–483

Fraises deux tailles



52 942 ...

EUR
V1/5B

52 941 ...

EUR
V1/5B

52 948 ...

EUR
V1/5B

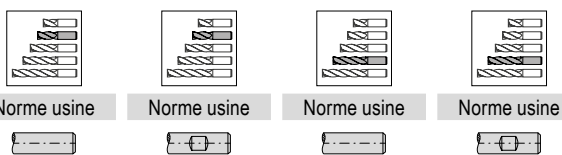
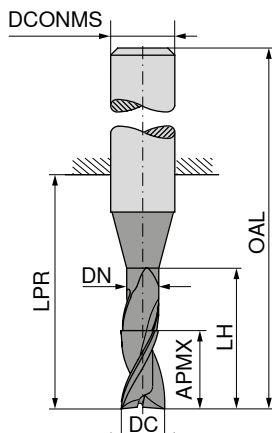
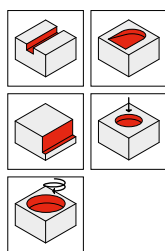
DC _{e8} mm	APMX mm	DN mm	LH mm	LPR mm	OAL mm	DCONMS _{h6} mm	ZEFF
5,75	15,0	5,55	18	22	58	6	2
6,00	10,0	5,80	16	18	54	6	2
6,00	16,0	5,80	20	22	58	6	2
6,75	10,0	6,45	16	23	59	8	2
6,75	16,0	6,45	23	34	70	8	2
7,00	12,0	6,70	18	23	59	8	2
7,00	16,0	6,70	23	34	70	8	2
7,75	12,0	7,45	18	23	59	8	2
7,75	16,0	7,45	23	34	70	8	2
8,00	12,0	7,70	20	23	59	8	2
8,00	22,0	7,70	25	34	70	8	2
8,70	12,0	8,40	12	27	67	10	2
9,70	13,0	9,40	13	27	67	10	2
9,70	22,0	9,40	22	33	73	10	2
10,00	13,0	9,70	13	27	67	10	2
10,00	25,0	9,70	25	33	73	10	2
11,00	25,0	10,60	25	39	84	12	2
12,00	16,0	11,60	16	28	73	12	2
12,00	26,0	11,60	26	39	84	12	2
13,70	16,0	13,30	26	30	75	14	2
13,70	26,0	13,30	35	39	84	14	2
14,00	16,0	13,60	28	30	75	14	2
14,00	26,0	13,60	35	39	84	14	2
16,00	20,0	15,50	32	35	83	16	2
16,00	30,0	15,50	40	45	93	16	2
20,00	25,0	19,50	40	43	93	20	2
20,00	40,0	19,50	50	54	104	20	2

P	●	●	●
M	○	○	○
K	●	●	●
N	○	○	○
S	○	○	○
H	○	○	○
O	○	○	○

14

→ v_c/f_z Page 480–483

Fraises deux tailles



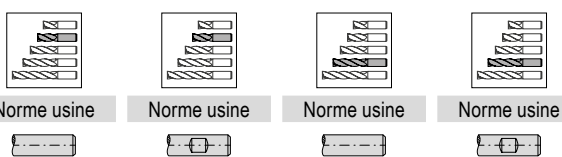
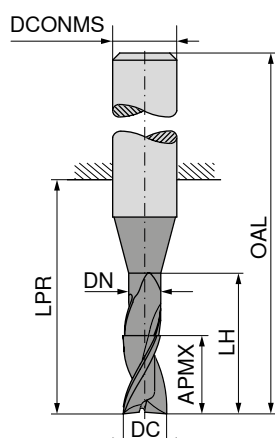
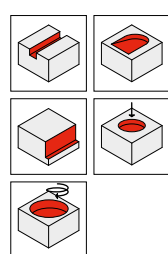
DC _{e8} mm	APMX mm	DN mm	LH mm	LPR mm	OAL mm	DCONMS _{h6} mm	ZEFP
0,20	0,4			10	38	3	2
0,25	0,5			10	38	3	2
0,30	1,0			10	38	3	2
0,35	1,0			10	38	3	2
0,40	1,0			10	38	3	2
0,50	1,5			10	38	3	2
0,60	1,5			10	38	3	2
0,70	2,0			10	38	3	2
0,80	2,0			10	38	3	2
0,90	2,5			10	38	3	2
1,00	3,0			10	38	3	2
1,00	4,0	0,90	6	22	58	6	2
1,10	3,0			10	38	3	2
1,20	4,0			10	38	3	2
1,30	4,0			10	38	3	2
1,40	4,0			10	38	3	2
1,50	4,0			10	38	3	2
1,50	6,0	1,40	8	22	58	6	2
1,50	3,0	1,40	6	18	54	6	2
1,60	4,0			10	38	3	2
1,80	5,0			10	38	3	2
2,00	4,0	1,90	8	18	54	6	2
2,00	7,0	1,90	10	22	58	6	2
2,00	5,0			10	38	3	2
2,50	4,0	2,40	8	18	54	6	2
2,50	6,0			10	38	3	2
2,80	4,0	2,70	9	18	54	6	2
2,80	7,0	2,70	12	22	58	6	2
3,00	6,0	2,90	9	18	54	6	2
3,00	10,0	2,90	14	22	58	6	2
3,00	6,0			10	38	3	2
3,50	6,0	3,30	9	18	54	6	2
3,80	7,0	3,60	12	18	54	6	2
3,80	10,0	3,60	18	22	58	6	2
4,00	7,0	3,80	12	18	54	6	2
4,00	13,0	3,80	18	22	58	6	2
4,50	7,0	4,30	12	18	54	6	2
4,80	8,0	4,60	16	18	54	6	2
4,80	13,0	4,60	18	22	58	6	2
5,00	8,0	4,80	16	18	54	6	2

52 943 ...		52 944 ...		52 947 ...		52 949 ...	
EUR	V1/5B	EUR	V1/5B	EUR	V1/5B	EUR	V1/5B
75,92	92000						
75,92	92500						
51,57	93000						
51,57	93500						
42,87	94000						
39,41	95000						
39,41	96000						
39,41	97000						
39,41	98000						
39,41	99000						
39,41	31000					57,95	01000
39,41	31100					57,95	01000
39,41	31200						
39,41	31300						
40,86	31400						
40,86	31500						
47,52	01500	47,52	01500			57,95	01500
43,02	31600					57,95	01500
43,02	31800						
52,58	02000	52,58	02000			57,95	02000
43,02	32000					57,95	02000
52,58	02500	52,58	02500				
45,49	32500						
59,54	02800	59,54	02800			60,42	02800
52,58	03000	52,58	03000			57,95	03000
45,49	33000					57,95	03000
56,62	03500	56,62	03500				
59,54	03800	59,54	03800			60,42	03800
52,58	04000	52,58	04000			57,95	04000
56,62	04500	56,62	04500			57,95	04000
59,54	04800	59,54	04800			60,42	04800
52,58	05000	52,58	05000			60,42	04800

P		●	●	●	●
M		○	○	○	○
K		●	●	●	●
N		○	○	○	○
S		○	○	○	○
H		○	○	○	○
O		○	○	○	○

→ v_c/f_z Page 480–483

Fraises deux tailles



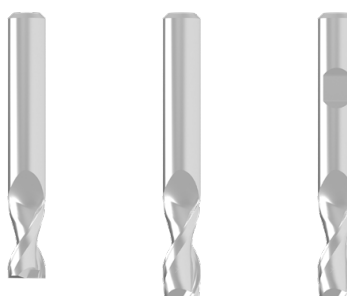
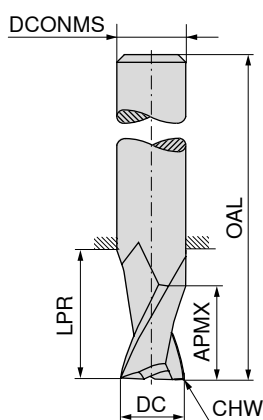
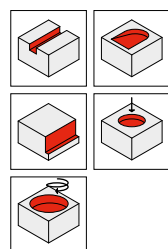
DC _{e8} mm	APMX mm	DN mm	LH mm	LPR mm	OAL mm	DCONMS _{h6} mm	ZEFP
5,00	15,0	4,80	18	22	58	6	2
5,50	8,0	5,30	16	18	54	6	2
5,75	10,0	5,55	16	18	54	6	2
5,75	15,0	5,55	18	22	58	6	2
6,00	10,0	5,80	16	18	54	6	2
6,00	16,0	5,80	20	22	58	6	2
6,75	10,0	6,45	16	23	59	8	2
6,75	16,0	6,45	23	34	70	8	2
7,00	12,0	6,70	18	23	59	8	2
7,00	16,0	6,70	23	34	70	8	2
7,75	12,0	7,45	18	23	59	8	2
7,75	16,0	7,45	23	34	70	8	2
8,00	12,0	7,70	20	23	59	8	2
8,00	22,0	7,70	25	34	70	8	2
8,75	12,0	8,40	12	27	67	10	2
9,00	13,0	8,70	13	27	67	10	2
9,00	22,0	8,70	22	33	73	10	2
9,75	13,0	9,40	13	27	67	10	2
9,75	22,0	9,40	22	33	73	10	2
10,00	13,0	9,70	13	27	67	10	2
10,00	25,0	9,70	25	33	73	10	2
11,00	25,0	10,60	25	39	84	12	2
11,75	16,0	11,30	16	28	73	12	2
12,00	16,0	11,60	16	28	73	12	2
12,00	26,0	11,60	26	39	84	12	2
13,75	16,0	13,30	26	30	75	14	2
14,00	16,0	13,60	28	30	75	14	2
16,00	20,0	15,50	32	35	83	16	2
16,00	30,0	15,50	40	45	93	16	2
18,00	20,0	17,50	34	37	85	18	2
20,00	25,0	19,50	40	43	93	20	2
20,00	40,0	19,50	50	54	104	20	2

52 943 ...	EUR V1/5B	52 944 ...	EUR V1/5B	52 947 ...	EUR V1/5B	52 949 ...	EUR V1/5B
56,62 05500	56,62 05500	59,54 05700	59,54 05700	61,73 05700	61,73 05700	61,73 05700	61,73 05700
52,58 06000	52,58 06000	71,55 06700	71,55 06700	57,95 06000	57,95 06000	78,80 06700	78,80 06700
74,15 07000	74,15 07000	68,94 07700	68,94 07700	71,13 07000	71,13 07000	74,60 07700	74,60 07700
105,30 09000	105,30 09000	105,30 09000	110,50 08700	119,80 09000	119,80 09000	69,98 08000	69,98 08000
107,90 09700	107,90 09700	107,90 09700	122,10 09700	122,10 09700	122,10 09700	118,00 10000	118,00 10000
93,58 10000	93,58 10000	93,58 10000	162,40 11000	162,40 11000	162,40 11000	118,00 10000	118,00 10000
155,00 11700	155,00 11700	129,90 12000	129,90 12000	159,50 12000	159,50 12000	159,50 12000	159,50 12000
204,40 13700	204,40 13700	173,90 14000	173,90 14000	197,00 16000	197,00 16000	258,00 16000	258,00 16000
197,00 16000	197,00 16000	252,10 18000	252,10 18000	315,70 20000	315,70 20000	389,70 20000	389,70 20000
315,70 20000	315,70 20000	389,70 20000	389,70 20000				

P	●	●	●	●
M	○	○	○	○
K	●	●	●	●
N	○	○	○	○
S	○	○	○	○
H	○	○	○	○
O	○	○	○	○

→ v_c/f_z Page 480–483

Fraises deux tailles



Norme usine

≈DIN 6527

≈DIN 6527

EUR V0/5A

50 594 ...

50 594 ...

EUR V0/5A

18,54 020

39,41 025

32,31 028

18,54 025

39,41 025

32,31 030

18,54 030

39,41 035

32,31 038

18,54 035

39,41 040

32,31 040

18,97 040

39,48 045

32,31 048

23,48 050

39,48 055

32,31 050

26,66 055

39,48 065

32,31 058

35,92 065

39,48 070

32,31 060

35,92 070

39,48 075

37,81 068

36,35 075

39,48 078

37,81 070

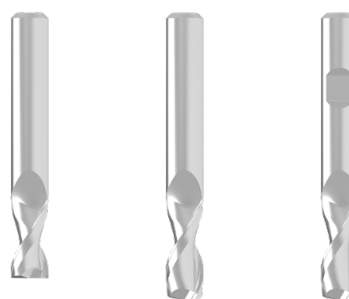
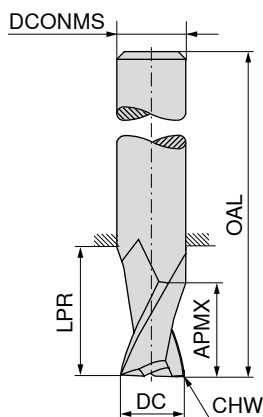
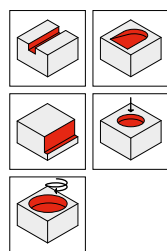
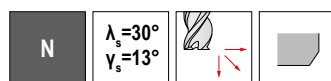
37,81 078

DC _{e8} mm	APMX mm	LPR mm	OAL mm	DCONMS _{h5} mm	CHW mm	ZEFP	
0,25	0,5	10	38	3,0		2	
0,30	1,0	10	38	3,0		2	
0,35	1,0	10	38	3,0		2	
0,40	1,0	10	38	3,0		2	
0,50	1,5	10	38	3,0		2	
0,60	1,5	10	38	3,0		2	
0,70	2,0	10	38	3,0		2	
0,80	2,0	10	38	3,0		2	
0,90	2,5	10	38	3,0		2	
1,00	3,0	22	50	3,0		2	
1,10	3,0	22	50	3,0		2	
1,20	4,0	22	50	3,0		2	
1,40	4,0	22	50	3,0		2	
1,50	4,0	22	50	3,0		2	
1,60	4,0	22	50	3,0		2	
1,80	5,0	22	50	3,0		2	
2,00	5,0	22	50	3,0	0,07	2	
2,00	8,0	8	32	2,0	0,07	2	18,54 020
2,50	6,0	22	50	3,0	0,07	2	39,41 025
2,50	8,0	8	32	2,5	0,07	2	18,54 025
2,80	8,0	21	57	6,0	0,07	2	
3,00	8,0	21	57	6,0	0,15	2	
3,00	12,0	12	32	3,0	0,15	2	18,54 030
3,50	12,0	12	32	3,5	0,15	2	18,54 035
3,80	11,0	21	57	6,0	0,15	2	
4,00	11,0	21	57	6,0	0,15	2	
4,00	12,0	12	40	4,0	0,15	2	18,97 040
4,50	14,0	22	50	4,5	0,15	2	23,48 045
4,80	13,0	21	57	6,0	0,15	2	
5,00	13,0	21	57	6,0	0,15	2	
5,00	14,0	22	50	5,0	0,15	2	23,48 050
5,50	16,0	22	50	5,5	0,15	2	26,66 055
5,80	13,0	21	57	6,0	0,15	2	
6,00	13,0	21	57	6,0	0,15	2	
6,50	16,0	16	50	6,5	0,15	2	35,92 065
6,80	16,0	27	63	8,0	0,15	2	
7,00	16,0	27	63	8,0	0,15	2	
7,00	20,0	24	60	7,0	0,15	2	35,92 070
7,50	20,0	24	60	7,5	0,15	2	36,35 075
7,80	19,0	27	63	8,0	0,15	2	37,81 078

P	●	●	●
M	○	○	○
K	●	●	●
N	○	○	○
S	○	○	○
H			
O	○	○	○

→ v_c/f_z Page 480–483

Fraises deux tailles



50 593 ...

EUR
V0/5A

085

50 594 ...

EUR
V0/5A

087

50 594 ...

EUR
V0/5A

080

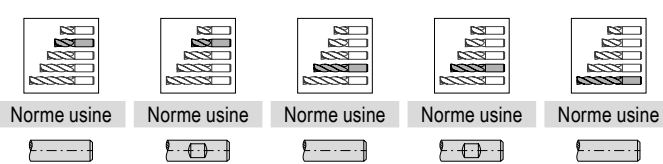
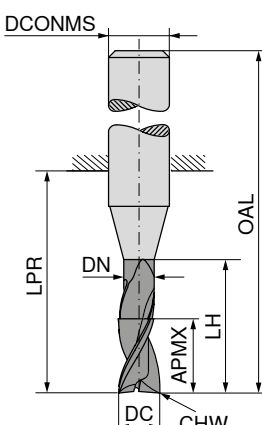
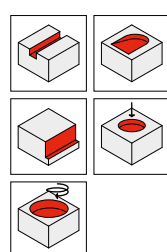
DC _{e8} mm	APMX mm	LPR mm	OAL mm	DCONMS _{h5} mm	CHW mm	ZEFP
8,00	19,0	27	63	8,0	0,15	2
8,50	20,0	24	60	8,5	0,15	2
8,70	19,0	32	72	10,0	0,15	2
9,00	19,0	32	72	10,0	0,15	2
9,00	20,0	24	60	9,0	0,15	2
9,50	22,0	34	70	9,5	0,15	2
9,70	22,0	32	72	10,0	0,15	2
10,00	22,0	32	72	10,0	0,15	2
10,70	26,0	38	83	12,0	0,15	2
11,00	22,0	30	70	11,0	0,15	2
11,00	26,0	38	83	12,0	0,15	2
11,70	26,0	38	83	12,0	0,15	2
12,00	26,0	38	83	12,0	0,15	2
13,00	25,0	30	75	13,0	0,15	2
13,70	26,0	38	83	14,0	0,15	2
14,00	22,0	30	75	14,0	0,15	2
14,00	26,0	38	83	14,0	0,15	2
15,00	25,0	30	75	15,0	0,15	2
15,70	32,0	44	92	16,0	0,15	2
16,00	32,0	44	92	16,0	0,15	2
17,70	32,0	44	92	18,0	0,15	2
18,00	32,0	44	92	18,0	0,15	2
19,70	38,0	54	104	20,0	0,15	2
20,00	38,0	54	104	20,0	0,15	2

P	●	●	●
M	○	○	○
K	●	●	●
N	○	○	○
S	○	○	○
H	○	○	○
O	○	○	○

14

→ v_c/f_z Page 480–483

Fraises deux tailles



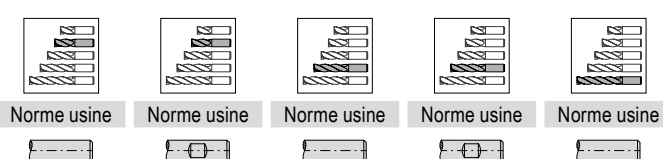
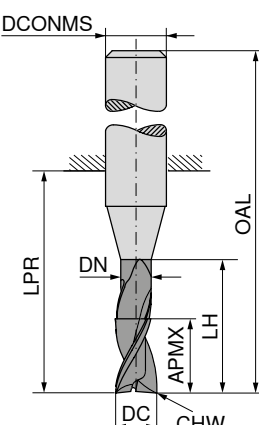
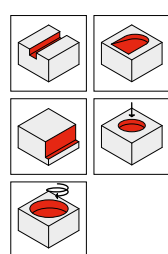
52 939 ... **52 940 ...** **52 945 ...** **52 946 ...** **52 950 ...**

DC ϕ_8 mm	APMX mm	DN mm	LH mm	LPR mm	OAL mm	DCONMS h6 mm	CHW mm	ZEFP	EUR V1/5B	EUR V1/5B	EUR V1/5B	EUR V1/5B	EUR V1/5B	
2,00	4	1,90	8	18	54	6	0,04	2	46,07	02000	46,07	02000		
2,00	5			10	38	3	0,04	2	39,84	32000				
2,00	6			10	38	2	0,04	2			57,95	22000		
2,00	7	1,90	10	22	58	6	0,04	2				50,42	02000	
2,50	4	2,40	8	18	54	6	0,07	2	46,07	02500	46,07	02500		
2,50	6			10	38	3	0,07	2	46,07	32500				
2,80	4	2,70	9	18	54	6	0,07	2	52,30	02800	52,30	02800		
2,80	7			10	38	3	0,07	2			63,89	32800		
2,80	7	2,70	12	22	58	6	0,07	2				52,58	02800	
3,00	6	2,90	9	18	54	6	0,07	2	46,07	03000	46,07	03000		
3,00	6			10	38	3	0,07	2	46,07	33000				
3,00	7			10	38	3	0,07	2			57,95	33000		
3,00	10	2,90	14	22	58	6	0,07	2				50,42	03000	
3,00	20	2,90	24	32	60	3	0,07	2				72,57	33000	
3,50	6	3,30	9	18	54	6	0,07	2	49,68	03500	49,68	03500		
3,80	7	3,60	12	18	54	6	0,07	2	52,30	03800	52,30	03800		
3,80	8	3,60	20	22	50	4	0,07	2			63,89	43800		
3,80	10	3,60	18	22	58	6	0,07	2				52,58	03800	
4,00	7	3,80	12	18	54	6	0,07	2	46,07	04000	46,07	04000		
4,00	8	3,80	20	22	50	4	0,07	2			57,95	44000		
4,00	13	3,80	18	22	58	6	0,07	2				50,42	04000	
4,00	30	3,80	35	47	75	4	0,07	2				79,97	44000	
4,50	7	4,30	12	18	54	6	0,12	2	49,68	04500	49,68	04500		
4,80	8	4,60	16	18	54	6	0,12	2	52,30	04800	52,30	04800		
4,80	10	4,60	20	22	50	5	0,12	2			63,89	54800		
4,80	13	4,60	18	22	58	6	0,12	2				52,58	04800	
5,00	8	4,80	16	18	54	6	0,12	2	46,07	05000	46,07	05000		
5,00	10	4,80	20	22	50	5	0,12	2			57,95	55000		
5,00	15	4,80	18	22	58	6	0,12	2				50,42	05000	
5,00	30	4,80	35	47	75	5	0,12	2				85,62	55000	
5,50	8	5,30	16	18	54	6	0,12	2	49,68	05500	49,68	05500		
5,75	10	5,55	16	18	54	6	0,12	2	58,08	05700	58,08	05700		
5,75	15	5,55	18	22	58	6	0,12	2			65,18	05700	65,18	05700
6,00	10	5,80	16	18	54	6	0,12	2	46,07	06000	46,07	06000		
6,00	16	5,80	20	22	58	6	0,12	2			57,95	06000	57,95	06000
6,00	40	5,80	60	64	100	6	0,12	2			92,72	06700	92,72	06700
6,75	16	6,45	23	34	70	8	0,12	2					99,08	06000
7,00	12	6,70	18	23	59	8	0,12	2	65,34	07000	65,34	07000		

P	●	●	●	●
M	○	○	○	○
K	●	●	●	●
N	○	○	○	○
S	○	○	○	○
H	○	○	○	○
O	○	○	○	○

→ v_c/f_z Page 480–485

Fraises deux tailles



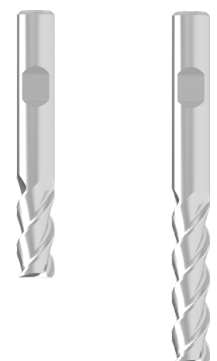
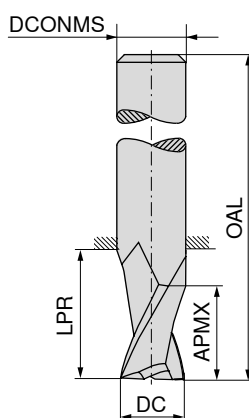
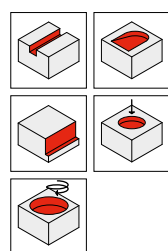
Norme usine Norme usine Norme usine Norme usine Norme usine

52 939 ... **52 940 ...** **52 945 ...** **52 946 ...** **52 950 ...**

DC ϕ_8 mm	APMX mm	DN mm	LH mm	LPR mm	OAL mm	DCONMS h_6 mm	CHW mm	ZEFP	EUR V1/5B	EUR V1/5B	EUR V1/5B	EUR V1/5B	EUR V1/5B
7,00	16	6,70	23	34	70	8	0,12	2					
7,75	12	7,45	18	23	59	8	0,12	2	65,48 07700	65,48 07700	83,42 07000	83,42 07000	
7,75	16	7,45	23	34	70	8	0,12	2			80,10 07700	80,10 07700	
8,00	12	7,70	20	23	59	8	0,12	2	56,62 08000	56,62 08000			
8,00	22	7,70	25	34	70	8	0,12	2			69,98 08000	69,98 08000	
8,00	40	7,70	60	64	100	8	0,12	2					114,60 08000
9,00	13	8,70	22	27	67	10	0,20	2	92,72 09000	92,72 09000			
9,00	22	8,70	28	33	73	10	0,20	2			133,30 09000	133,30 09000	
9,70	13	9,40	22	27	67	10	0,20	2	101,30 09700	101,30 09700			
9,70	22	9,40	28	33	73	10	0,20	2			136,20 09700	136,20 09700	
10,00	13	9,70	24	27	67	10	0,20	2	87,06 10000	87,06 10000			
10,00	25	9,70	30	33	73	10	0,20	2			118,00 10000	118,00 10000	
10,00	40	9,70	55	60	100	10	0,20	2					159,50 10000
11,00	25	10,60	32	39	84	12	0,20	2			181,10 11000	181,10 11000	
12,00	16	11,60	26	28	73	12	0,20	2	120,10 12000	120,10 12000			
12,00	26	11,60	35	39	84	12	0,20	2			159,50 12000	159,50 12000	
12,00	45	11,60	50	55	100	12	0,20	2					211,70 12000
13,70	26	13,30	35	39	84	14	0,20	2			233,30 13700	233,30 13700	
14,00	16	13,60	28	30	75	14	0,20	2	162,40 14000	162,40 14000			
14,00	26	13,60	35	39	84	14	0,20	2			204,40 14000	204,40 14000	
16,00	20	15,50	32	35	83	16	0,20	2	172,60 16000	172,60 16000			
16,00	30	15,50	40	45	93	16	0,20	2			258,00 16000	258,00 16000	
16,00	65	15,50	90	102	150	16	0,20	2					486,70 16000
20,00	25	19,50	40	43	93	20	0,30	2	291,20 20000	291,20 20000			
20,00	40	19,50	50	54	104	20	0,30	2			389,70 20000	389,70 20000	
20,00	65	19,50	90	100	150	20	0,30	2					601,20 20000

P	●	●	●	●
M	○	○	○	○
K	●	●	●	●
N	○	○	○	○
S	○	○	○	○
H	○	○	○	○
O	○	○	○	○

Fraises deux tailles



≈DIN 6527

≈DIN 6527

50 614 ...

50 614 ...

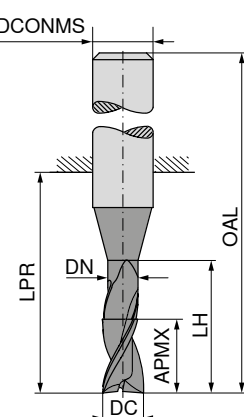
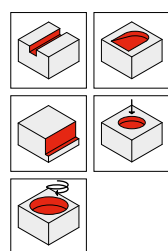
	EUR	V0/5A	EUR	V0/5A
3,0	35,32	030	58,96	036
3,5	38,25	035	35,32	040
3,5	38,25	045	59,09	041
4,0	38,25	050	58,96	046
4,0	38,25	055	64,32	051
4,5	38,25	060	64,32	056
4,5	38,25	065	62,28	061
5,0	38,25	070	88,63	066
5,0	42,15	075	88,63	071
5,5	42,15	080	88,63	076
5,5	46,07	085	81,27	081
6,0	46,07	090	139,90	086
6,0	50,71	095	139,90	091
6,5	50,71	100	139,90	096
6,5	55,03	110	136,20	101
7,0	55,03	120	197,00	111
7,0	60,30	140	197,00	121
7,5	60,30	160	252,10	141
7,5	65,20	180	341,90	161
8,0	65,20	200	414,30	181
8,0	70,10	201	551,90	201

DC _{e8} mm	APMX mm	LPR mm	OAL mm	DCONMS _{h5} mm	ZEFF
3,0	8	21	57	6	3
3,5	11	21	57	6	3
3,5	15	23	59	6	3
4,0	11	21	57	6	3
4,0	19	27	63	6	3
4,5	13	21	57	6	3
4,5	19	27	63	6	3
5,0	13	21	57	6	3
5,0	24	32	68	6	3
5,5	13	21	57	6	3
5,5	24	32	68	6	3
6,0	13	21	57	6	3
6,0	24	32	68	6	3
6,5	16	27	63	8	3
6,5	30	44	80	8	3
7,0	16	27	63	8	3
7,0	30	44	80	8	3
7,5	19	27	63	8	3
7,5	30	44	80	8	3
8,0	19	27	63	8	3
8,0	38	52	88	8	3
8,5	19	32	72	10	3
8,5	38	48	88	10	3
9,0	19	32	72	10	3
9,0	38	48	88	10	3
9,5	22	32	72	10	3
9,5	38	48	88	10	3
10,0	22	32	72	10	3
10,0	45	55	95	10	3
11,0	26	38	83	12	3
11,0	45	57	102	12	3
12,0	26	38	83	12	3
12,0	53	65	110	12	3
14,0	26	38	83	14	3
14,0	53	65	110	14	3
16,0	32	44	92	16	3
16,0	63	75	123	16	3
18,0	32	44	92	18	3
18,0	63	75	123	18	3
20,0	38	54	104	20	3
20,0	75	91	141	20	3

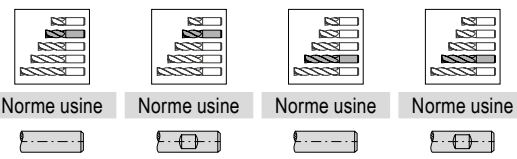
P	○	○
M	●	●
K	○	○
N	○	○
S	●	●
H	○	○
O	○	○

→ v_c/f_z Page 480–485

Fraises deux tailles



DPX72S DRONSKIN DRONSKIN DRONSKIN DRONSKIN DRONSKIN DRONSKIN DRONSKIN



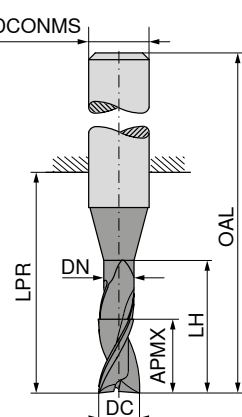
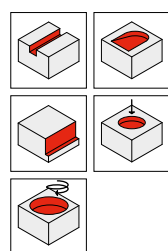
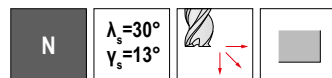
52 921 ... 52 922 ... 52 926 ... 52 927 ...

DC ϕ_8 mm	APMX mm	DN mm	LH mm	LPR mm	OAL mm	DCONMS h_6 mm	ZEFP		EUR V1/5B		EUR V1/5B		EUR V1/5B		EUR V1/5B
1,00	4	0,90	5	22	58	6	3								
1,00	4			22	58	6	3								
1,50	3	1,40	6	18	54	6	3		52,46 01500		52,46 01500				
1,50	3	1,40	6	10	38	3	3		44,64 31500						
1,50	6	1,40	7	22	58	6	3								
1,50	6			22	58	6	3								
2,00	4	1,90	8	18	54	6	3		52,46 02000		52,46 02000				
2,00	4	1,90	8	10	38	3	3		44,64 32000						
2,00	7	1,90	8	22	58	6	3								
2,00	7			22	58	6	3								
2,50	4	2,40	8	18	54	6	3		51,57 02500		51,57 02500				
2,50	4	2,40	8	10	38	3	3		44,64 32500						
2,80	6	2,70	9	18	54	6	3		56,07 02800		56,07 02800				
3,00	6	2,90	9	18	54	6	3		52,46 03000		52,46 03000				
3,00	6	2,90	9	10	38	3	3		44,64 33000						
3,00	10	2,90	14	22	58	6	3								
3,50	6	3,30	9	18	54	6	3		51,57 03500		51,57 03500				
3,80	6	3,60	12	18	54	6	3		56,07 03800		56,07 03800				
4,00	7	3,80	12	18	54	6	3		52,46 04000		52,46 04000				
4,00	13	3,80	17	22	58	6	3								
4,50	7	4,30	12	18	54	6	3		51,57 04500		51,57 04500				
4,80	8	4,60	16	18	54	6	3		56,07 04800		56,07 04800				
5,00	8	4,80	16	18	54	6	3		52,46 05000		52,46 05000				
5,00	15	4,80	19	22	58	6	3								
5,50	8	5,30	16	18	54	6	3		51,57 05500		51,57 05500				
5,75	8	5,55	16	18	54	6	3		61,98 05700		61,98 05700				
6,00	10	5,80	16	18	54	6	3		52,46 06000		52,46 06000				
6,00	16	5,80	20	22	58	6	3								
7,00	19	6,70	23	28	64	8	3								
7,75	10	7,45	18	22	58	8	3		69,98 07700		69,98 07700				
8,00	12	7,70	20	23	59	8	3		61,26 08000		61,26 08000				
8,00	22	7,70	26	34	70	8	3								
9,00	23	8,70	28	32	72	10	3								
9,70	12	9,40	18	19	59	10	3		107,80 09700		107,80 09700				
10,00	13	9,70	24	27	67	10	3		94,31 10000		94,31 10000				
10,00	25	9,70	31	33	73	10	3								
11,00	25	10,60	34	38	83	12	3								
11,70	16	11,30	20	22	67	12	3		152,20 11700		152,20 11700				

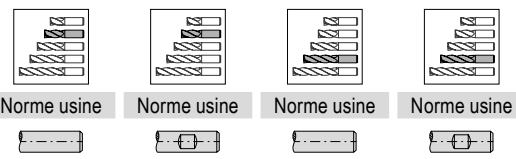
P	●	●	●	●
M	○	○	○	○
K	●	●	●	●
N	○	○	○	○
S	○	○	○	○
H	○	○	○	○
O	○	○	○	○

→ v_c/f_z Page 480-483

Fraises deux tailles



DPX72S DRPX72S DRPX72S DRPX72S
DRAGONSKIN DRAGONSKIN DRAGONSKIN DRAGONSKIN



Norme usine Norme usine Norme usine Norme usine

52 921 ... 52 922 ... 52 926 ... 52 927 ...

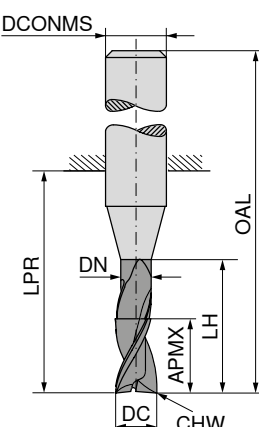
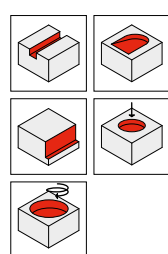
		EUR V1/5B	EUR V1/5B	EUR V1/5B	EUR V1/5B
12,00	16	11,60	26	28	73
12,00	26	11,60	37	39	84
14,00	16	13,60	28	30	75
14,00	26	13,60	37	39	84
16,00	20	15,50	32	35	83
16,00	32	15,50	43	45	93
20,00	25	19,50	40	43	93
20,00	40	19,50	52	54	104
		12,000	12,000	12,000	12,000
		129,80	129,80	159,50	159,50
				12,000	12,000
				20,80	20,80
				14,000	14,000
				16,000	16,000
				20,000	20,000
				315,70	315,70
				20,000	20,000
				315,70	315,70
				20,000	20,000
				391,00	391,00
				20,000	20,000
				391,00	391,00

DC \varnothing_8 mm	APMX mm	DN mm	LH mm	LPR mm	OAL mm	DCONMS h_6 mm	ZEFP
12,00	16	11,60	26	28	73	12	3
12,00	26	11,60	37	39	84	12	3
14,00	16	13,60	28	30	75	14	3
14,00	26	13,60	37	39	84	14	3
16,00	20	15,50	32	35	83	16	3
16,00	32	15,50	43	45	93	16	3
20,00	25	19,50	40	43	93	20	3
20,00	40	19,50	52	54	104	20	3

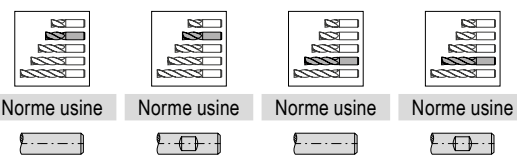
P	●	●	●	●
M	○	○	○	○
K	●	●	●	●
N	○	○	○	○
S	○	○	○	○
H	○	○	○	○
O	○	○	○	○

→ v_c/f_z Page 480–483

Fraises deux tailles



DPX72S DRPX72S DRPX72S DRPX72S
DRAGONSKIN DRAGONSKIN DRAGONSKIN DRAGONSKIN



Norme usine Norme usine Norme usine Norme usine

52 929 ... **52 930 ...** **52 932 ...** **52 933 ...**

EUR EUR EUR EUR
V1/5B V1/5B V1/5B V1/5B

DC _{e6} mm	APMX mm	DN mm	LH mm	LPR mm	OAL mm	CHW mm	DCONMS _{n6} mm	ZEFF				
2,0	4	1,9	8	18	54	0,04	6	3	52,58	02000	52,58	02000
2,0	7	1,9	10	22	58	0,04	6	3	52,14	02500	52,14	02500
2,5	5	2,4	8	18	54	0,07	6	3	52,58	03000	52,58	03000
3,0	6	2,9	9	18	54	0,07	6	3	52,58	04000	52,58	04000
3,0	10	2,9	14	22	58	0,07	6	3	52,58	05000	52,58	05000
4,0	7	3,8	12	18	54	0,07	6	3	52,58	06000	52,58	06000
4,0	13	3,8	17	22	58	0,07	6	3	67,80	07000	67,80	07000
5,0	8	4,8	16	18	54	0,12	6	3	61,98	08000	61,98	08000
5,0	15	4,8	19	22	58	0,07	6	3	104,90	09000	104,90	09000
6,0	10	5,8	16	18	54	0,12	6	3	94,31	10000	94,31	10000
6,0	16	5,8	20	22	58	0,12	6	3	175,30	14000	175,30	14000
7,0	11	6,7	18	23	59	0,12	8	3	197,00	16000	197,00	16000
7,0	19	6,7	23	34	70	0,12	8	3	130,80	12000	130,80	12000
8,0	12	7,7	20	23	59	0,12	8	3	120,20	10000	120,20	10000
8,0	22	7,7	26	34	70	0,12	8	3	175,30	14000	175,30	14000
9,0	13	8,7	22	27	67	0,20	10	3	197,00	16000	197,00	16000
9,0	23	8,7	28	33	73	0,12	10	3	204,40	14000	204,40	14000
10,0	14	9,7	24	27	67	0,20	10	3	259,40	16000	259,40	16000
10,0	25	9,7	31	33	73	0,20	10	3	318,70	20000	318,70	20000
12,0	16	11,6	26	28	73	0,20	12	3	389,70	20000	389,70	20000
12,0	28	11,6	37	39	84	0,20	12	3	389,70	20000	389,70	20000
14,0	18	13,6	28	30	75	0,20	14	3	389,70	20000	389,70	20000
14,0	30	13,6	37	39	84	0,20	14	3	389,70	20000	389,70	20000
16,0	20	15,5	32	35	83	0,20	16	3	389,70	20000	389,70	20000
16,0	35	15,5	43	45	93	0,20	16	3	389,70	20000	389,70	20000
20,0	25	19,5	40	43	93	0,30	20	3	389,70	20000	389,70	20000
20,0	40	19,5	52	54	104	0,20	20	3	389,70	20000	389,70	20000

P	○	○	○	○
M	●	●	●	●
K	○	○	○	○
N	●	●	●	●
S	●	●	●	●
H	●	●	●	●
O	●	●	●	●

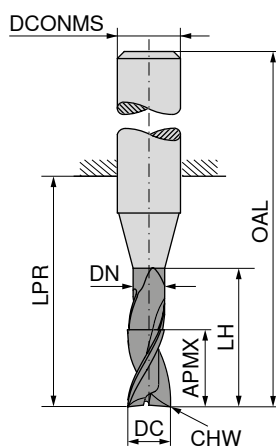
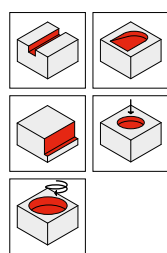
14

→ v_c/f_z Page 480–483

Fraises deux tailles



DRAGONSKIN



52 935 ...

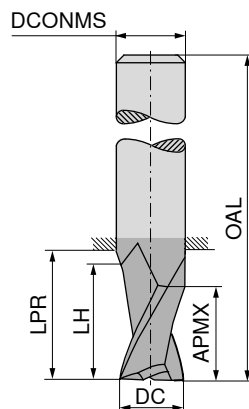
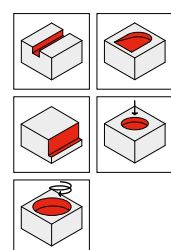
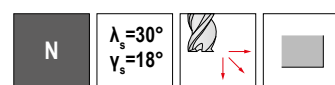
DC _{e8} mm	DN mm	APMX mm	LH mm	LPR mm	OAL mm	DCONMS _{h6} mm	CHW mm	ZEFF	EUR V1/5B	
3	3,0	20	20	24	60	6	0,07	3	115,30	03000
4	3,8	30	35	39	75	6	0,07	3	115,30	04000
5	4,8	30	35	39	75	6	0,12	3	115,30	05000
6	5,8	40	60	64	100	6	0,12	3	111,40	06000
8	7,7	40	60	64	100	8	0,12	3	127,10	08000
10	9,7	40	55	60	100	10	0,20	3	168,00	10000
12	11,6	45	50	55	100	12	0,20	3	230,30	12000
14	13,6	45	50	55	100	14	0,20	3	352,00	14000
16	15,5	65	90	102	150	16	0,20	3	518,60	16000
20	19,5	65	90	100	150	20	0,30	3	601,20	20000

P	○
M	●
K	○
N	●
S	●
H	
O	●

→ v_c/f_z Page 480–485

Fraises « mini »

▲ Queue similaire à DIN 6535



Ti1000



Norme usine

Norme usine

50 598 ...

50 599 ...

	EUR V0/5A		EUR V0/5A
2,00	22,30	020	31,30
2,50	24,05	025	33,17
3,00	22,30	030	31,30
3,50	24,05	035	33,33
4,00	22,30	040	31,30
4,50	24,05	045	33,33
5,00	22,30	050	31,30
5,50	24,05	055	33,33
5,75	24,05	057	33,33
6,00	22,30	060	31,30
6,75	31,74	067	42,44
7,00	30,56	070	39,41
7,75	32,03	077	42,87
8,00	35,06	080	42,15
8,70	49,99	087	62,86
9,00	45,64	090	58,23
9,70	49,99	097	62,86
10,00	49,68	100	60,25
12,00	64,73	120	78,24
14,00	110,80	140	124,10
16,00	124,30	160	142,00
18,00	157,80	180	176,70
20,00	199,90	200	218,80

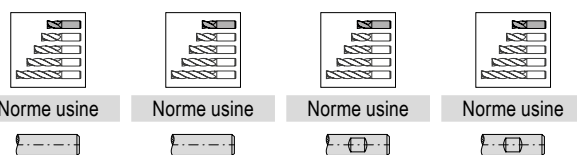
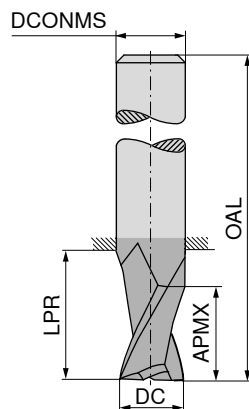
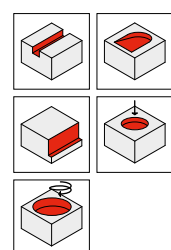
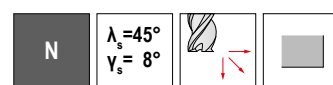
DC _{e8} mm	APMX mm	LH mm	LPR mm	OAL mm	DCONMS _{hs} mm	ZEFP
2,00	4	4,0	10	35	6	3
2,50	4	4,0	10	35	6	3
3,00	5	5,0	10	36	6	3
3,50	5	5,0	10	36	6	3
4,00	7	7,0	12	38	6	3
4,50	7	7,0	12	38	6	3
5,00	8	8,0	13	39	6	3
5,50	8	8,0	13	39	6	3
5,75	8	8,0	13	39	6	3
6,00	8	8,5	13	39	6	3
6,75	11	11,5	16	43	8	3
7,00	11	11,5	16	43	8	3
7,75	11	11,5	16	43	8	3
8,00	11	11,5	16	43	8	3
8,70	13	13,5	18	50	10	3
9,00	13	13,5	18	50	10	3
9,70	13	13,5	18	50	10	3
10,00	13	13,5	18	50	10	3
12,00	15	15,5	24	55	12	3
14,00	15	15,5	26	58	14	3
16,00	18	18,5	28	62	16	3
18,00	20	20,5	35	70	18	3
20,00	22	22,5	40	75	20	3

P	○	●
M	○	○
K	○	●
N	●	○
S	○	○
H	○	○
O	●	○

→ v_c/f_z Page 480–483

Fraises « mini »

▲ Queue similaire à DIN 6535



DC _{e8} mm	APMX mm	LPR mm	OAL mm	DCONMS _{h5} mm	ZEFP
0,50	1,5	17	45	3	3
1,00	2,0	12	45	6	3
1,00	2,0	17	45	3	3
1,20	2,0	12	45	6	3
1,20	3,0	17	45	3	3
1,50	3,0	12	45	6	3
1,50	3,0	17	45	3	3
1,80	3,0	12	45	6	3
1,80	3,0	17	45	3	3
2,00	4,0	13	45	6	3
2,50	6,0	13	45	6	3
2,80	6,0	13	45	6	3
3,00	6,0	13	45	6	3
3,50	7,0	13	45	6	3
3,80	7,0	13	45	6	3
4,00	7,0	12	45	6	3
4,50	8,0	11	45	6	3
4,80	8,0	11	45	6	3
5,00	8,0	11	45	6	3
5,50	8,0	9	45	6	3
5,75	8,0	9	45	6	3
6,00	8,0	9	45	6	3
6,70	10,0	19	55	8	3
7,00	12,0	19	55	8	3
7,70	12,0	19	55	8	3
8,00	13,0	19	55	8	3
8,70	14,0	17	55	10	3
9,00	16,0	17	55	10	3
9,70	16,0	17	55	10	3
10,00	16,0	17	55	10	3

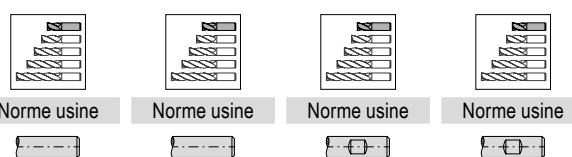
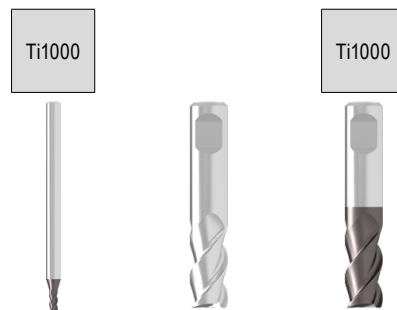
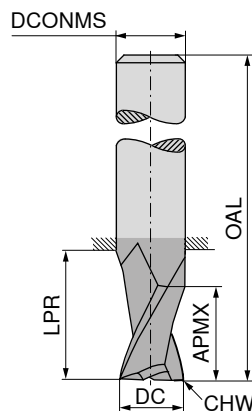
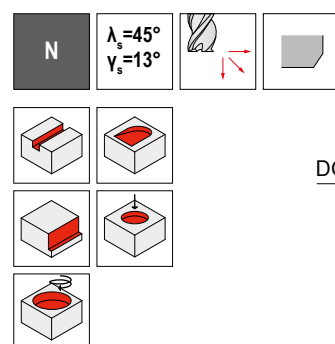
50 664 ...	EUR V0/5A	50 691 ...	EUR V0/5A	50 664 ...	EUR V0/5A	50 691 ...	EUR V0/5A
24,05 30500	29,78 30500	24,01 01000	25,77 01000				
24,05 31000	29,78 31000	24,01 01200	25,77 01200				
24,01 31200	29,78 31200	24,01 01500	25,77 01500				
24,05 31500	29,78 31500	24,01 01800	25,77 01800				
24,01 31800	29,78 31800	24,68 02000	30,42 02000				
		24,68 02500	30,42 02500				
		24,68 02800	30,42 02800				
		24,68 03000	30,42 03000				
		25,77 03500	30,42 03500				
		25,77 03800	30,42 03800				
		25,77 04000	30,42 04000				
		26,37 04500	30,42 04500				
		26,37 04800	30,42 04800				
		26,37 05000	30,42 05000				
		26,37 05500	30,42 05500				
		26,37 05700	30,42 05700				
		26,37 06000	30,42 06000				
		38,27 06700	30,42 06700				
		38,27 07000	30,42 07000				
		38,27 07700	43,22 07700				
		38,27 08000	43,22 08000				
		54,10 08700	52,55 08700				
		54,10 09000	52,55 09000				
		54,10 09700	52,55 09700				
		54,10 10000	52,55 10000				

P	●	●
M	●	●
K	●	●
N	●	○
S	○	●
H		
O	○	●

→ v_c/f_z Page 456-459

Fraises « mini »

▲ Queue similaire à DIN 6535



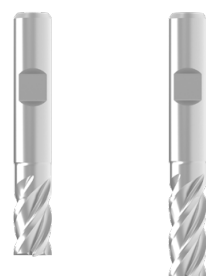
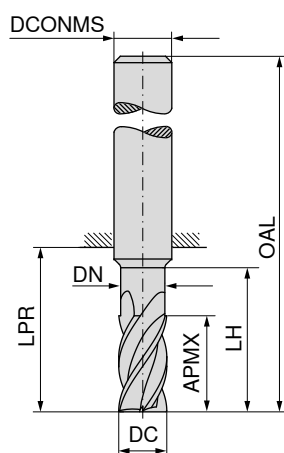
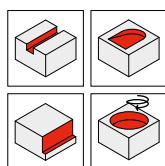
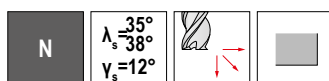
DC _{e8} mm	CHW mm	APMX mm	LPR mm	OAL mm	DCONMS _{hs} mm	ZEFP
0,50	0,05	1,5	17	45	3	3
1,00	0,05	2,0	12	45	6	3
1,00	0,05	2,0	17	45	3	3
1,20	0,05	2,0	12	45	6	3
1,20	0,05	3,0	17	45	3	3
1,50	0,05	3,0	12	45	6	3
1,50	0,05	3,0	17	45	3	3
1,80	0,05	3,0	12	45	6	3
1,80	0,05	3,0	17	45	3	3
2,00	0,05	4,0	13	45	6	3
2,50	0,05	6,0	13	45	6	3
2,80	0,05	6,0	13	45	6	3
3,00	0,10	6,0	13	45	6	3
3,50	0,10	7,0	13	45	6	3
3,80	0,10	7,0	13	45	6	3
4,00	0,10	7,0	12	45	6	3
4,50	0,10	8,0	11	45	6	3
4,80	0,10	8,0	11	45	6	3
5,00	0,10	8,0	11	45	6	3
5,50	0,10	8,0	9	45	6	3
5,75	0,10	8,0	9	45	6	3
6,00	0,10	8,0	9	45	6	3
6,70	0,10	10,0	19	55	8	3
7,00	0,10	12,0	19	55	8	3
7,70	0,10	12,0	19	55	8	3
8,00	0,10	13,0	19	55	8	3
8,70	0,10	14,0	17	55	10	3
9,00	0,10	16,0	17	55	10	3
9,70	0,10	16,0	17	55	10	3
10,00	0,10	16,0	17	55	10	3

50 608 ...	EUR V0/5A	50 609 ...	EUR V0/5A	50 608 ...	EUR V0/5A	50 609 ...	EUR V0/5A
24,20	30500	29,78	30500	24,39	01000	31,37	01000
24,20	31000	29,78	31000	24,39	01200	31,37	01200
24,20	31200	29,78	31200	24,39	01500	31,37	01500
24,20	31500	29,78	31500	24,39	01800	31,37	01800
24,20	31800	29,78	31800	28,38	020	31,37	02000
				25,49	025	31,37	02500
				25,42	02800	31,37	02800
				25,49	030	31,37	03000
				26,58	03500	31,37	03500
				26,58	03800	31,37	03800
				26,51	040	31,37	04000
				27,21	04500	31,37	04500
				27,21	04800	31,37	04800
				26,94	050	31,37	05000
				27,21	05500	31,37	05500
				27,21	05700	31,37	05700
				26,94	060	31,37	06000
				39,45	06700	31,37	06700
				39,69	070	31,37	07000
				39,45	07700	44,58	07700
				39,69	080	44,58	08000
				52,11	08700	54,16	08700
				52,11	09000	54,16	09000
				55,76	09700	54,16	09700
				56,21	100	54,16	10000

P	●	●
M	●	●
K	●	●
N	●	○
S	○	●
H		
O	○	●

→ v_c/f_z Page 456-459

Fraises deux tailles



52 209 ... 52 213 ...

	EUR V1/5B	EUR V1/5B
36,94 02000	41,28 02000	
36,94 03000	41,28 03000	
36,94 04000	41,28 04000	
36,94 05000	41,28 05000	
36,94 06000	41,28 06000	
41,28 08000	41,28 08000	
47,37 08000	47,37 08000	
65,03 10000	83,74 10000	
90,54 12000	111,80 12000	
125,40 14000		
136,20 16000		
176,70 16000		
178,10 18000		
228,80 20000		
	282,60 20000	

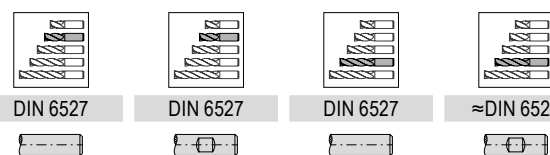
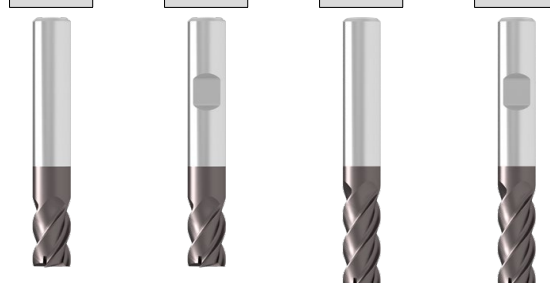
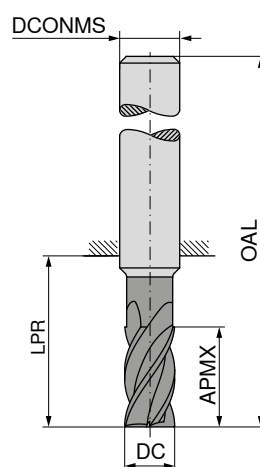
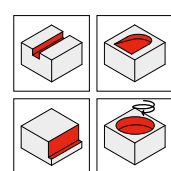
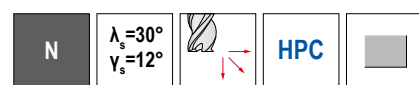
DC _{e8} mm	APMX mm	DN mm	LH mm	LPR mm	OAL mm	DCONMS _{h6} mm	ZEFP
2	4	1,9	8	18	54	6	4
2	7			22	58	6	4
3	6	2,9	9	18	54	6	4
3	10	2,8	14	22	58	6	4
4	7	3,8	12	18	54	6	4
4	13	3,8	17	22	58	6	4
5	8	4,8	16	18	54	6	4
5	15	4,8	19	22	58	6	4
6	10	5,8	16	18	54	6	4
6	16	5,7	20	22	58	6	4
8	12	7,7	20	22	58	8	4
8	22	7,7	26	34	70	8	4
10	14	9,7	24	26	66	10	4
10	25	9,6	31	33	73	10	4
12	16	11,6	26	28	73	12	4
12	28	11,6	37	39	84	12	4
14	18	13,6	28	30	75	14	4
16	22	15,5	32	34	82	16	4
16	35	15,6	43	45	93	16	4
18	20	17,5	34	32	80	18	4
20	25	19,5	40	42	92	20	4
20	40	19,6	52	54	104	20	4

P	●	●
M	○	○
K	●	●
N	○	○
S	○	○
H		
O	○	○

→ v_c/f_z Page 480–483

Fraises deux tailles

▲ Avec pas différentiel

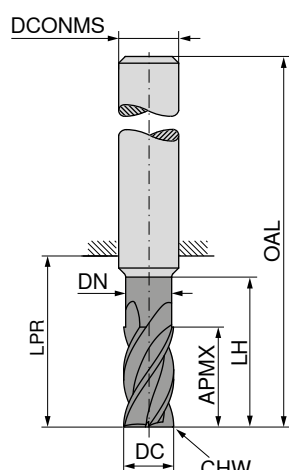
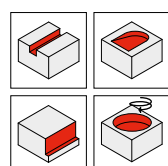


DC _{e8} mm	APMX mm	LPR mm	OAL mm	DCONMS _{h6} mm	ZEFP	52 121 ... EUR V1	52 131 ... EUR V1	52 126 ... EUR V1	52 132 ... EUR V1
3,0	6	18	54	6	4	64,46	030	64,46	030
3,0	10	22	58	6	4			73,15	030
3,5	7	18	54	6	4	64,46	035	64,46	035
3,5	13	22	58	6	4	64,46	040	64,46	040
4,0	7	18	54	6	4	64,46	045	64,46	045
4,0	13	22	58	6	4	64,46	050	64,46	050
4,5	8	18	54	6	4	64,46	060	64,46	060
4,5	15	22	58	6	4	74,47	080	74,47	080
5,0	8	18	54	6	4	113,00	100	113,00	100
5,0	15	22	58	6	4	155,00	120	155,00	120
6,0	10	18	54	6	4	208,50	140	208,50	140
6,0	16	22	58	6	4	230,30	160	230,30	160
8,0	12	23	59	8	4	270,90	180	270,90	180
8,0	22	34	70	8	4	340,60	200	340,60	200
10,0	14	27	67	10	4			341,90	180
10,0	25	33	73	10	4			341,90	180
12,0	16	28	73	12	4			440,50	200
12,0	28	39	84	12	4			440,50	200
14,0	16	30	75	14	4				
14,0	30	39	84	14	4				
16,0	20	35	83	16	4				
16,0	35	45	93	16	4				
18,0	20	32	80	18	4				
18,0	35	45	93	18	4				
20,0	25	43	93	20	4				
20,0	40	54	104	20	4				

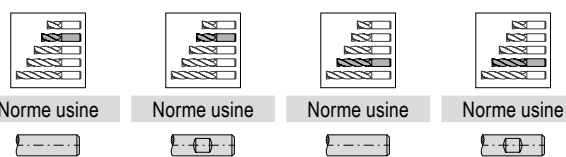
P	●	●	●	●
M	○	○	○	○
K	●	●	●	●
N	○	○	○	○
S	○	○	○	○
H	○	○	○	○
O	○	○	○	○

→ v_c/f_x Page 480–483

Fraises deux tailles



DPX72S DRAGONSkin DPX72S DRAGONSkin



Norme usine Norme usine Norme usine Norme usine

52 206 ... 52 207 ... 52 210 ... 52 211 ...

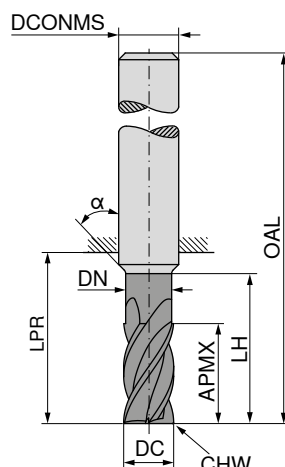
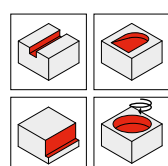
EUR V1/5B EUR V1/5B EUR V1/5B EUR V1/5B

DC _{e8} mm	APMX mm	DN mm	LH mm	LPR mm	OAL mm	DCONMS _{h6} mm	CHW mm	ZEFFP	52 206 ...	52 207 ...	52 210 ...	52 211 ...
1,5	3	1,4	6	10	38	3	0,02	4	45,36	31500		
2,0	4	1,9	8	10	38	3	0,03	4	39,41	32000		
2,0	4	1,9	8	18	54	6	0,03	4	45,64	02000	45,64	02000
2,0	7			10	38	2	0,03	4			57,34	22000
2,5	4	2,4	8	10	38	3	0,04	4	39,41	32500		
3,0	6	2,9	9	10	38	3	0,04	4	39,41	33000		
3,0	6	2,9	9	18	54	6	0,04	4	45,64	03000	45,64	03000
3,0	10	2,8	14	14	38	3	0,03	4			57,34	33000
4,0	7	3,8	12	18	54	6	0,05	4	45,64	04000	45,64	04000
4,0	13	3,8	17	22	50	4	0,04	4			57,34	44000
5,0	8	4,8	16	18	54	6	0,06	4	45,64	05000	45,64	05000
5,0	15	4,8	19	22	50	5	0,04	4			57,34	55000
6,0	10	5,8	16	18	54	6	0,07	4	45,64	06000	45,64	06000
6,0	16	5,7	20	22	58	6	0,04	4			57,34	06000
7,0	19	6,7	23	27	63	8	0,05	4			73,88	07000
8,0	12	7,7	20	22	58	8	0,08	4	55,91	08000	55,91	08000
8,0	22	7,7	26	34	70	8	0,06	4			70,26	08000
9,0	23	8,7	28	33	73	10	0,07	4			127,20	09000
10,0	14	9,7	24	26	66	10	0,10	4	86,47	10000	86,47	10000
10,0	25	9,6	31	33	73	10	0,08	4			117,90	10000
11,0	26	10,6	34	39	84	12	0,10	4			170,90	11000
12,0	16	11,6	26	28	73	12	0,13	4	118,30	12000	118,30	12000
12,0	28	11,6	37	39	84	12	0,13	4			159,50	12000
14,0	18	13,6	28	30	75	14	0,15	4	160,70	14000	160,70	14000
14,0	30	13,6	37	39	84	14	0,15	4			201,40	14000
16,0	22	15,5	32	34	82	16	0,18	4	172,60	16000	172,60	16000
16,0	35	15,6	43	45	93	16	0,18	4			255,00	16000
20,0	25	19,5	40	42	92	20	0,20	4	289,80	20000	289,80	20000
20,0	40	19,6	52	54	104	20	0,20	4			388,30	20000

P	●	●	●	●
M	○	○	○	○
K	●	●	●	●
N	○	○	○	○
S	○	○	○	○
H	○	○	○	○
O	○	○	○	○

→ v_c/f_z Page 480–483

Fraises deux tailles

▲ Angle $\alpha = 30^\circ$ 

DRAGONSKIN



DRAGONSKIN



DRAGONSKIN



Norme usine



Norme usine



Norme usine

52 219 ...

52 214 ...

52 222 ...

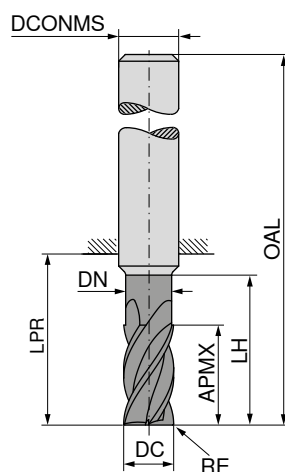
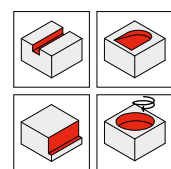
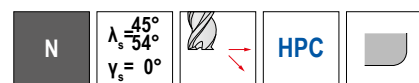
EUR
V1/5BEUR
V1/5BEUR
V1/5B

DC ø_8 mm	APMX mm	DN mm	LH mm	LPR mm	OAL mm	DCONMS h_6 mm	CHW mm	ZEFP	52 219 ...	52 214 ...	52 222 ...
3	16	2,8	32	47	75	3	0,04	4			
4	16	3,8	32	47	75	4	0,05	4			
4	20	3,8	48	72	100	4	0,05	4			
5	20	4,8	35	47	75	5	0,06	4			
5	25	4,8	55	72	100	5	0,06	4			
6	24	5,8	42	44	80	6	0,07	4	89,66	06000	
6	30	5,8	62	64	100	6	0,07	4			104,30
8	32	7,8	60	64	100	8	0,08	4	110,50	08000	
8	40	7,8	75	84	120	8	0,08	4			133,30
10	40	9,8	58	60	100	10	0,10	4	150,60	10000	
10	50	9,8	78	80	120	10	0,10	4			181,10
12	48	11,8	60	75	120	12	0,13	4	218,80	12000	
12	60	11,8	90	105	150	12	0,13	4			262,20
14	45	13,8	50	55	100	14	0,15	4	285,40	14000	
14	56	13,8	95	105	150	14	0,15	4			320,20
16	50	15,8	70	77	125	16	0,18	4	330,30	16000	
16	65	15,8	95	102	150	16	0,18	4			373,60
18	72	17,8	95	102	150	18	0,18	4			543,30
20	60	19,8	80	85	135	20	0,20	4	579,60	20000	
20	80	19,8	95	100	150	20	0,20	4			628,70
25	75	24,5	90	94	150	25	0,25	4	766,40	25000	

P	●	●	●
M	○	○	○
K	●	●	●
N	○	○	○
S	○	○	○
H	○	○	○
O	○	○	○

Fraises deux tailles rayonnées

▲ Usinage silencieux grâce aux angles d'hélice irréguliers



Ti1000



Norme usine

52 102 ...

DC e_8 mm	RE $\pm 0,01$ mm	APMX mm	DN mm	LH mm	OAL mm	DCONMS h_6 mm	ZEFP	EUR V1
2	0,2	7	1,8	11	58	6	4	90,39 022
3	0,3	8	2,8	13	58	6	4	86,47 033
4	0,4	11	3,8	16	58	6	4	83,14 044
5	0,5	13	4,8	18	58	6	4	83,14 055
6	0,5	16	5,8	26	58	6	4	86,33 065
6	1,0	16	5,8	26	58	6	4	86,33 066
8	0,5	22	7,8	32	64	8	4	122,40 085
8	1,0	22	7,8	32	64	8	4	122,40 086
8	1,5	22	7,8	32	64	8	4	122,40 087
10	0,5	25	9,8	35	73	10	4	156,60 105
10	1,0	25	9,8	35	73	10	4	156,60 106
10	1,5	25	9,8	35	73	10	4	156,60 107
12	0,5	28	11,8	38	84	12	4	208,50 125
12	1,0	28	11,8	38	84	12	4	208,50 126
12	1,5	28	11,8	38	84	12	4	208,50 127

P	○
M	●
K	○
N	●
S	●
H	●
O	●

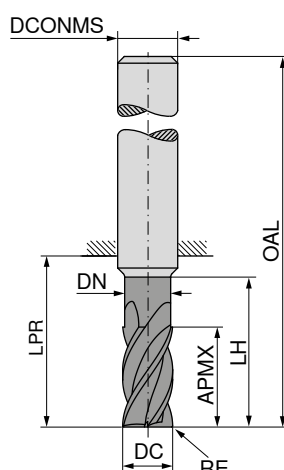
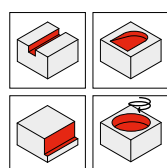
→ v_c/f_z Page 480–483

Fraises deux tailles rayonnées



DPX72S

DRAGONSKIN



Norme usine

52 231 ...

EUR
V1/5B

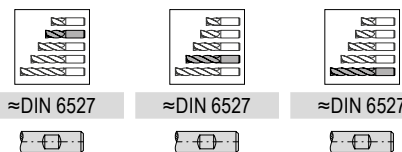
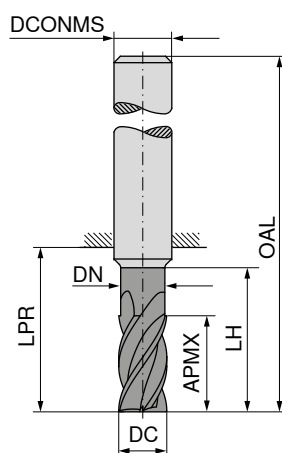
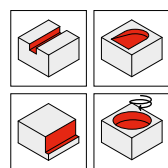
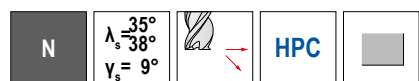
DC _{e8} mm	RE ±0,01 mm	APMX mm	DN mm	LH mm	LPR mm	OAL mm	DCONMS _{h6} mm	ZEFP	
3	0,3	8	2,8	13	21	57	6	4	90,84 03003
3	0,5	8	2,8	13	21	57	6	4	90,84 03005
4	0,3	11	3,8	16	21	57	6	4	88,94 04003
4	0,5	11	3,8	16	21	57	6	4	88,94 04005
5	0,3	13	4,8	18	21	57	6	4	88,94 05003
5	0,5	13	4,8	18	21	57	6	4	88,94 05005
6	0,5	13	5,8	26	21	57	6	4	77,64 06005
6	1,0	13	5,8	26	21	57	6	4	77,64 06010
6	1,5	13	5,8	26	21	57	6	4	79,53 06015
8	0,5	19	7,8	32	27	63	8	4	118,20 08005
8	1,0	19	7,8	32	27	63	8	4	118,20 08010
8	1,5	19	7,8	32	27	63	8	4	124,30 08015
8	2,0	19	7,8	32	27	63	8	4	124,30 08020
10	1,0	22	9,8	35	32	72	10	4	147,70 10010
10	1,5	22	9,8	35	32	72	10	4	155,00 10015
10	2,0	22	9,8	35	32	72	10	4	155,00 10020
12	1,0	26	11,8	38	38	83	12	4	197,00 12010
12	1,5	26	11,8	38	38	83	12	4	202,80 12015
12	2,0	26	11,8	38	38	83	12	4	202,80 12020
12	3,0	26	11,8	38	38	83	12	4	204,40 12030
16	1,0	32	15,8	44	44	92	16	4	327,50 16010
16	1,5	32	15,8	44	44	92	16	4	334,60 16015
16	2,0	32	15,8	44	44	92	16	4	334,60 16020
16	3,0	32	15,8	44	44	92	16	4	337,50 16030
20	1,5	38	19,8	52	54	104	20	4	501,30 20015
20	2,0	38	19,8	52	54	104	20	4	501,30 20020
20	3,0	38	19,8	52	54	104	20	4	504,20 20030

P	●
M	○
K	●
N	○
S	○
H	○
O	○

14

→ v_c/f_z Page 480–483

Fraises deux tailles



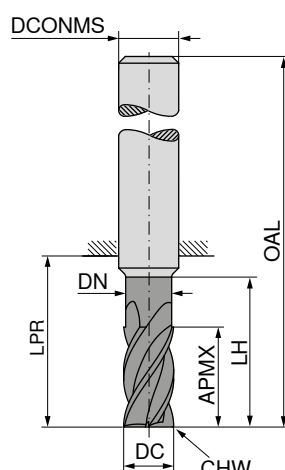
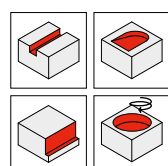
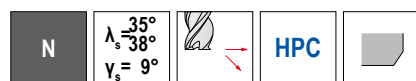
	54 070 ...	54 070 ...	54 070 ...
	EUR V3/5C	EUR V3/5C	EUR V3/5C
3	18,70 03100	18,70 03200	26,44 03400
3	18,70 04100	18,70 04200	26,44 04400
4	18,70 05100	18,70 05200	29,73 05400
5	18,70 06100	21,86 06200	33,22 06400
6	26,33 08100	28,26 08200	42,15 08400
8	34,18 10100	37,22 10200	58,69 10400
10	49,16 12100	59,06 12200	72,35 12400
12	86,11 16100	90,95 16200	136,50 16400
16	128,00 20100	137,80 20200	187,30 20400

DC _{h10} mm	APMX mm	DN mm	LH mm	LPR mm	OAL mm	DCONMS _{h6} mm	ZEFF
3	5		14	50	6	4	
3	8	2,8	13	21	57	6	4
3	8	2,8	15	22	69	6	4
4	8		18	54	6	4	
4	11	3,8	17	21	57	6	4
4	11	3,8	20	26	69	6	4
5	9		18	54	6	4	
5	13	4,8	19	21	57	6	4
5	13	4,8	25	34	69	6	4
6	10		18	54	6	4	
6	13	5,8	19	21	57	6	4
6	13	5,8	30	34	69	6	4
8	12		22	58	8	4	
8	17	7,7	40	44	79	8	4
8	21	7,7	25	27	63	8	4
10	14		26	66	10	4	
10	21	9,7	50	54	93	10	4
10	22	9,7	30	32	72	10	4
12	16		28	73	12	4	
12	25	11,6	60	64	108	12	4
12	26	11,6	36	38	83	12	4
16	22		34	82	16	4	
16	32	15,5	42	44	92	16	4
16	33	15,5	80	84	132	16	4
20	26		42	92	20	4	
20	38	19,5	52	54	104	20	4
20	42	19,5	100	104	154	20	4

P	●	●	●
M	●	●	○
K	●	●	●
N	○	○	
S	○	○	
H			
O			

→ v_c/f_z Page 462–467

Fraises deux tailles



54 071 ...

54 071 ...

54 071 ...

EUR
V3/5CEUR
V3/5CEUR
V3/5C

18,70 03100

18,70 03200

26,44 03400

18,70 04100

18,70 04200

26,44 04400

18,70 05100

18,70 05200

29,73 05400

18,70 06100

21,99 06200

33,22 06400

26,44 08100

26,44 08200

42,15 08400

34,31 10100

34,31 10200

58,69 10400

37,22 12100

37,22 12200

72,35 12400

49,29 14100

49,29 14200

91,30 16400

86,24 16100

86,24 16200

136,50 16400

128,00 20100

128,00 20200

137,80 20200

187,30 20400

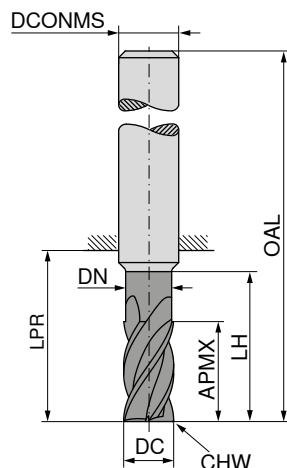
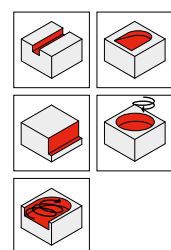
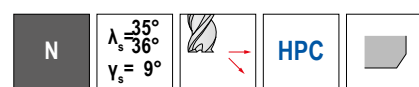
DC _{h10} mm	APMX mm	DN mm	LH mm	LPR mm	OAL mm	DCONMS _{h6} mm	CHW mm	ZEFP
3	5		14	50	6	0,1	4	
3	8	2,8	13	21	57	6	0,1	4
3	8	2,8	15	22	69	6	0,1	4
4	8		18	54	6	0,1	4	
4	11	3,8	17	21	57	6	0,1	4
4	11	3,8	20	26	69	6	0,1	4
5	9		18	54	6	0,1	4	
5	13	4,8	19	21	57	6	0,1	4
5	13	4,8	25	34	69	6	0,1	4
6	10		18	54	6	0,1	4	
6	13	5,8	19	21	57	6	0,1	4
6	13	5,8	30	34	69	6	0,1	4
8	12		22	58	8	0,2	4	
8	17	7,7	40	44	79	8	0,2	4
8	21	7,7	25	27	63	8	0,2	4
10	14		26	66	10	0,2	4	
10	21	9,7	50	54	93	10	0,2	4
10	22	9,7	30	32	72	10	0,2	4
12	16		28	73	12	0,3	4	
12	25	11,6	60	64	108	12	0,3	4
12	26	11,6	36	38	83	12	0,3	4
16	22		34	82	16	0,3	4	
16	33	15,5	80	84	132	16	0,3	4
16	36	15,5	42	44	92	16	0,3	4
20	26		42	92	20	0,3	4	
20	41	19,5	52	54	104	20	0,3	4
20	42	19,5	100	104	154	20	0,3	4

P	●	●	●
M	●	●	○
K	●	●	●
N	○	○	
S	○	○	
H			
O			

→ v_c/f_z Page 462–467

Fraises deux tailles

▲ Profondeur de coupe: 3 x DC



NEW
Ti1000



≈DIN 6527

**54 078 ...**EUR
V3/5C

28,20	06200
36,42	08200
47,73	10200
75,88	12200
117,10	16200
176,70	20200

DC _{r8} mm	APMX mm	DN mm	LH mm	LPR mm	OAL mm	DCONMS _{h8} mm	CHW mm	ZEFP
6	19	5,8	24	26	62	6	0,1	4
8	25	7,7	30	32	68	8	0,2	4
10	31	9,7	38	40	80	10	0,2	4
12	37	11,6	46	48	93	12	0,2	4
16	49	15,5	58	60	108	16	0,3	4
20	61	19,5	74	76	126	20	0,3	4

P	●
M	●
K	●
N	
S	
H	
O	

→ v_c/f_z Page 464+465

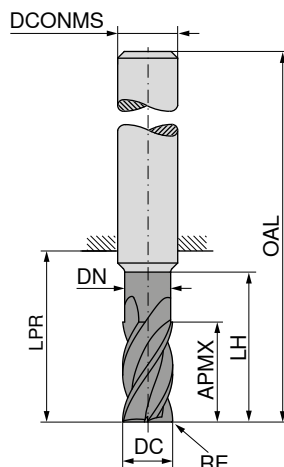
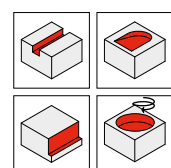
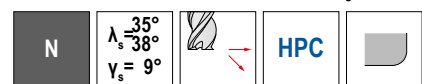
Fraises deux tailles rayonnées

N $\lambda_s = 35^\circ$ $\lambda_s = 38^\circ$ $\gamma_s = 9^\circ$ **HPC**

DC $_{h10}$ mm	RE $\pm 0,05$ mm	APMX mm	DN mm	LH mm	LPR mm	OAL mm	DCONMS $_{h6}$ mm	ZEFP	54 072 ... EUR V3/5C	54 072 ... EUR V3/5C
3	0,1	8	2,8	13	21	57	6	4	24,51 03201	
3	0,3	8	2,8	13	21	57	6	4	24,51 03203	
3	0,5	8	2,8	13	21	57	6	4	24,51 03205	
3	1,0	8	2,8	13	21	57	6	4	24,51 03210	32,25 03405
3	0,5	8	2,8	15	22	69	6	4		32,25 03403
3	0,3	8	2,8	15	22	69	6	4		32,25 03410
3	1,0	8	2,8	15	22	69	6	4		
4	0,1	11	3,8	17	21	57	6	4	24,51 04201	
4	0,3	11	3,8	17	21	57	6	4	24,51 04203	
4	0,5	11	3,8	17	21	57	6	4	24,51 04205	
4	1,0	11	3,8	17	21	57	6	4	24,51 04210	32,25 04405
4	0,5	11	3,8	20	26	69	6	4		32,25 04403
4	0,3	11	3,8	20	26	69	6	4		32,25 04410
4	1,0	11	3,8	20	26	69	6	4		
5	0,5	13	4,8	19	21	57	6	4	24,51 05205	
5	0,1	13	4,8	19	21	57	6	4	24,51 05201	
5	0,3	13	4,8	19	21	57	6	4	24,51 05203	
5	1,0	13	4,8	19	21	57	6	4	24,51 05210	35,52 05405
5	0,5	13	4,8	25	34	69	6	4		35,52 05403
5	0,3	13	4,8	25	34	69	6	4		35,52 05410
5	1,0	13	4,8	25	34	69	6	4		
6	0,3	13	5,8	19	21	57	6	4	27,07 06203	
6	0,1	13	5,8	19	21	57	6	4	27,07 06201	
6	0,5	13	5,8	19	21	57	6	4	27,07 06205	
6	1,0	13	5,8	19	21	57	6	4	27,07 06210	
6	1,5	13	5,8	19	21	57	6	4	27,07 06215	
6	2,0	13	5,8	19	21	57	6	4	27,07 06220	
6	1,0	13	5,8	30	34	69	6	4		39,97 06410
6	0,3	13	5,8	30	34	69	6	4		39,97 06403
6	0,5	13	5,8	30	34	69	6	4		39,97 06405
6	1,5	13	5,8	30	34	69	6	4		39,97 06415
6	2,0	13	5,8	30	34	69	6	4		39,97 06420
8	0,5	17	7,7	40	44	79	8	4		53,36 08405
8	0,3	17	7,7	40	44	79	8	4		53,36 08403
8	1,0	17	7,7	40	44	79	8	4		53,36 08410
8	1,5	17	7,7	40	44	79	8	4		53,36 08415
8	2,0	17	7,7	40	44	79	8	4		53,36 08420
8	0,1	21	7,7	25	27	63	8	4	35,52 08201	
8	0,3	21	7,7	25	27	63	8	4	35,52 08203	
8	0,5	21	7,7	25	27	63	8	4	35,52 08205	
8	1,0	21	7,7	25	27	63	8	4	35,52 08210	
P									●	●
M									●	○
K									●	●
N									○	
S									○	
H										
O										

 $\rightarrow v_c/f_z$ Page 462–467

Fraises deux tailles rayonnées



54 072 ...

54 072 ...

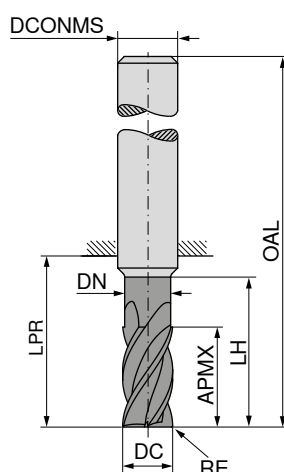
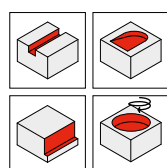
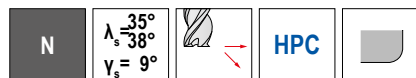
EUR
V3/5CEUR
V3/5C35,52 08215
35,52 0822071,25 10410
71,25 10403
71,25 10405
71,25 10415
71,25 1042044,81 10205
44,81 10201
44,81 10203
44,81 10210
44,81 10215
44,81 10220104,20 12415
104,20 12403
104,20 12405
104,20 12410
104,20 12420
104,20 1243069,33 12203
69,33 12201
69,33 12205
69,33 12210
69,33 12215
69,33 12220
69,33 12230162,00 16415
162,00 16403
162,00 16405
162,00 16410
162,00 16420
162,00 16430
162,00 16440104,70 16203
104,70 16201
104,70 16205
104,70 16210
104,70 16215
104,70 16220
104,70 16230
104,70 16240

DC _{h10} mm	RE _{±0,05} mm	APMX mm	DN mm	LH mm	LPR mm	OAL mm	DCONMS _{h6} mm	ZEFP
8	1,5	21	7,7	25	27	63	8	4
8	2,0	21	7,7	25	27	63	8	4
10	1,0	21	9,7	50	54	93	10	4
10	0,3	21	9,7	50	54	93	10	4
10	0,5	21	9,7	50	54	93	10	4
10	1,5	21	9,7	50	54	93	10	4
10	2,0	21	9,7	50	54	93	10	4
10	0,5	22	9,7	30	32	72	10	4
10	0,1	22	9,7	30	32	72	10	4
10	0,3	22	9,7	30	32	72	10	4
10	1,0	22	9,7	30	32	72	10	4
10	1,5	22	9,7	30	32	72	10	4
10	2,0	22	9,7	30	32	72	10	4
12	1,5	25	11,6	60	64	108	12	4
12	0,3	25	11,6	60	64	108	12	4
12	0,5	25	11,6	60	64	108	12	4
12	1,0	25	11,6	60	64	108	12	4
12	2,0	25	11,6	60	64	108	12	4
12	3,0	25	11,6	60	64	108	12	4
12	0,3	26	11,6	36	38	83	12	4
12	0,1	26	11,6	36	38	83	12	4
12	0,5	26	11,6	36	38	83	12	4
12	1,0	26	11,6	36	38	83	12	4
12	1,5	26	11,6	36	38	83	12	4
12	2,0	26	11,6	36	38	83	12	4
12	3,0	26	11,6	36	38	83	12	4
16	1,5	33	15,5	80	84	132	16	4
16	0,3	33	15,5	80	84	132	16	4
16	0,5	33	15,5	80	84	132	16	4
16	1,0	33	15,5	80	84	132	16	4
16	2,0	33	15,5	80	84	132	16	4
16	3,0	33	15,5	80	84	132	16	4
16	4,0	33	15,5	80	84	132	16	4
16	0,3	36	15,5	42	44	92	16	4
16	0,1	36	15,5	42	44	92	16	4
16	0,5	36	15,5	42	44	92	16	4
16	1,0	36	15,5	42	44	92	16	4
16	1,5	36	15,5	42	44	92	16	4
16	2,0	36	15,5	42	44	92	16	4
16	3,0	36	15,5	42	44	92	16	4
16	4,0	36	15,5	42	44	92	16	4

P	●	●
M	●	○
K	●	●
N	○	●
S	○	○
H		
O		

→ v_c/f_z Page 462–467

Fraises deux tailles rayonnées



54 072 ...

54 072 ...

EUR
V3/5CEUR
V3/5C

152,10 20201
152,10 20203
152,10 20205
152,10 20210
152,10 20215
152,10 20220
152,10 20230
152,10 20240

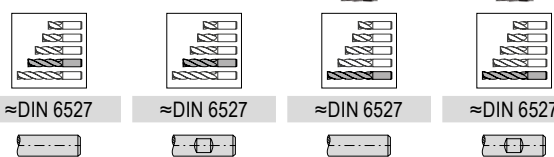
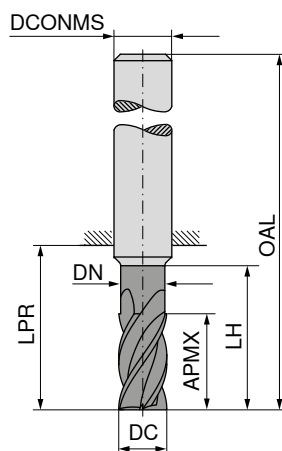
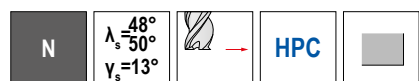
238,00 20415
238,00 20403
238,00 20405
238,00 20410
238,00 20420
238,00 20430
238,00 20440

DC _{h10} mm	RE ±0,05 mm	APMX mm	DN mm	LH mm	LPR mm	OAL mm	DCONMS _{h6} mm	ZEFP
20	0,1	41	19,5	52	54	104	20	4
20	0,3	41	19,5	52	54	104	20	4
20	0,5	41	19,5	52	54	104	20	4
20	1,0	41	19,5	52	54	104	20	4
20	1,5	41	19,5	52	54	104	20	4
20	2,0	41	19,5	52	54	104	20	4
20	3,0	41	19,5	52	54	104	20	4
20	4,0	41	19,5	52	54	104	20	4
20	1,5	42	19,5	100	104	154	20	4
20	0,3	42	19,5	100	104	154	20	4
20	0,5	42	19,5	100	104	154	20	4
20	1,0	42	19,5	100	104	154	20	4
20	2,0	42	19,5	100	104	154	20	4
20	3,0	42	19,5	100	104	154	20	4
20	4,0	42	19,5	100	104	154	20	4

P	●	●
M	●	○
K	●	●
N	○	
S	○	
H		
O		

→ v_c/f_z Page 462–467

Fraises de finition



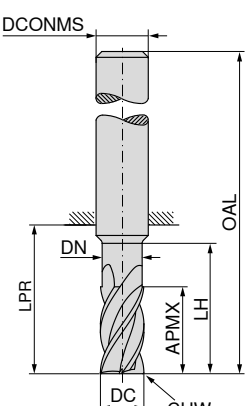
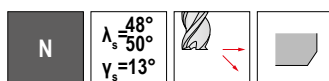
DC _{h10} mm	APMX mm	DN mm	LH mm	LPR mm	OAL mm	DCONMS _{h6} mm	ZEFP
6	13	5,6	19	21	57	6	6
6	15	5,6	42	44	80	6	6
8	19	7,6	25	27	63	8	6
8	20	7,6	62	64	100	8	6
10	22	9,6	30	32	72	10	6
10	25	9,6	58	60	100	10	6
12	26	11,5	36	38	83	12	6
12	30	11,5	73	75	120	12	6
16	32	15,0	42	44	92	16	6
16	40	15,0	100	102	150	16	6
20	38	19,0	52	54	104	20	6
20	50	19,0	98	100	150	20	6

54 076 ...	54 075 ...	54 076 ...	54 075 ...
EUR V3/5C	EUR V3/5C	EUR V3/5C	EUR V3/5C
27,34 06200	27,34 06200	41,51 06400	41,51 06400
35,32 08200	35,32 08200	52,69 08400	52,69 08400
46,53 10200	46,53 10200	73,37 10400	73,37 10400
73,82 12200	73,82 12200	90,44 12400	90,44 12400
113,70 16200	113,70 16200	170,70 16400	170,70 16400
172,20 20200	172,20 20200	234,20 20400	234,20 20400

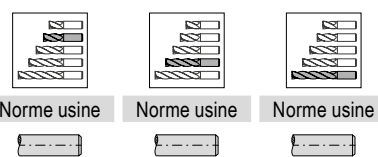
P	●	●	●	●
M	●	●	●	●
K	○	○	○	○
N	○	○	○	○
S	○	○	○	○
H				
O				

→ v_c/f_z Page 468

Fraises de finition



LPR pour queue suivant DIN 6535 HB

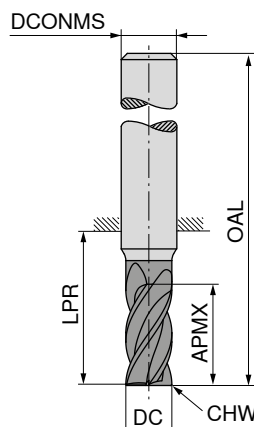
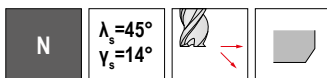


		Norme usine		Norme usine		Norme usine	
		52 010 ...	52 015 ...	52 018 ...			
		EUR V1/5B	EUR V1/5B	EUR V1/5B			
DC _{e8} mm	APMX mm	DN mm	LH mm	LPR mm	OAL mm	DCONMS _{h6} mm	CHW mm
5	8	4,8	13	18	54	6	0,02
5	13	4,8	18	22	58	6	0,02
6	10	5,8	15	18	54	6	0,03
6	16	5,8	20	22	58	6	0,03
6	21			29	65	6	0,03
7	12	6,8	17	23	59	8	0,04
7	22	6,8	30	34	70	8	0,04
7	25			39	75	8	0,04
8	12	7,8	17	23	59	8	0,04
8	22	7,8	32	34	70	8	0,04
8	28			39	75	8	0,04
9	14	8,8	19	20	60	10	0,04
9	25	8,8	33	33	73	10	0,04
9	30			45	85	10	0,04
10	14	9,8	19	20	60	10	0,05
10	25	9,8	33	33	73	10	0,05
10	35			45	85	10	0,05
12	16	11,8	21	25	70	12	0,05
12	28	11,8	38	39	84	12	0,05
12	45			55	100	12	0,05
14	18	13,8	23	25	70	14	0,06
14	30	13,8	38	39	84	14	0,06
16	20	15,8	28	32	80	16	0,06
16	35	15,8	43	45	93	16	0,06
16	50			62	110	16	0,06
16	65			77	125	16	0,06
20	25	19,8	33	35	85	20	0,07
20	40	19,8	45	50	100	20	0,07
20	55			65	115	20	0,07
20	70			80	130	20	0,07
25	55	24,8	63	69	125	25	0,08
25	75			94	150	25	0,08

P	○	○	○
M	●	●	●
K	○	○	○
N	●	●	●
S	●	●	●
H			
O	●	●	●

→ v_c/f_z Page 480–485

Fraises deux tailles



≈DIN 6527

Norme usine



50 633 ...

50 633 ...

EUR
V0/5AEUR
V0/5A

55,04 040

77,92 041

55,04 050

77,92 051

55,04 060

77,92 061

67,21 070

102,00 071

64,32 080

89,95 081

106,30 090

162,40 091

103,10 100

159,50 101

137,10 120

215,80 121

187,00 140

292,50 141

246,20 160

373,60 161

16 48 60 108 16 0,15 6

470,90 162

16 65 77 125 16 0,15 6

527,20 163

16 75 102 150 16 0,15 6

611,30 164

18 32 44 92 18 0,15 8

285,40 180

457,80 181

18 54 66 114 18 0,15 8

350,60 200

586,70 201

20 38 54 104 20 0,15 8

619,90 202

20 60 76 126 20 0,15 8

643,10 203

20 75 85 135 20 0,15 8

851,80 250

25 75 94 150 25 0,15 8

906,80 251

25 95 104 160 25 0,15 8

1.637,00 320

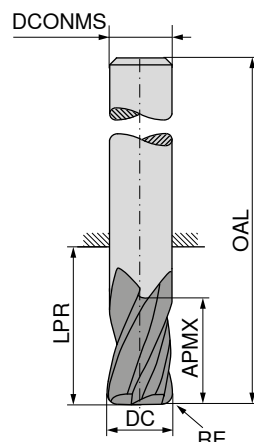
1.701,00 321

DC _{fb} mm	APMX mm	LPR mm	OAL mm	DCONMS _{h6} mm	CHW mm	ZEFP
4	11	21	57	6	0,15	6
4	16	26	62	6	0,15	6
5	13	21	57	6	0,15	6
5	18	26	62	6	0,15	6
6	13	21	57	6	0,15	6
6	18	26	62	6	0,15	6
7	16	27	63	8	0,15	6
7	21	32	68	8	0,15	6
8	19	27	63	8	0,15	6
8	24	32	68	8	0,15	6
9	19	32	72	10	0,15	6
9	27	40	80	10	0,15	6
10	22	32	72	10	0,15	6
10	30	40	80	10	0,15	6
12	26	38	83	12	0,15	6
12	36	48	93	12	0,15	6
14	26	38	83	14	0,15	6
14	42	54	99	14	0,15	6
16	32	44	92	16	0,15	6
16	48	60	108	16	0,15	6
16	65	77	125	16	0,15	6
16	75	102	150	16	0,15	6
16	95	102	150	16	0,15	6
18	32	44	92	18	0,15	8
18	54	66	114	18	0,15	8
20	38	54	104	20	0,15	8
20	60	76	126	20	0,15	8
20	75	85	135	20	0,15	8
20	95	100	150	20	0,15	8
25	75	94	150	25	0,15	8
25	95	104	160	25	0,15	8
32	75	90	150	32	0,15	8
32	95	100	160	32	0,15	8

P	○	○
M	●	●
K	●	●
N	○	○
S	○	○
H	○	○
O	○	○

→ v_c/f_z Page 480–485

Fraises de finition rayonnées

 $\lambda_s = 45^\circ$ 

50 634 ...

EUR
V0/5A

DC _{f8} mm	RE _{±0.05} mm	APMX mm	LPR mm	OAL mm	DCONMS _{h6} mm	ZEFP	
6	0,5	18	26	62	6	6	74,15 060
6	1,0	18	26	62	6	6	74,15 061
8	0,5	24	32	68	8	6	73,74 080
8	1,0	24	32	68	8	6	73,74 081
8	2,0	24	32	68	8	6	73,74 082
10	0,5	30	40	80	10	6	150,60 100
10	1,0	30	40	80	10	6	150,60 101
10	2,0	30	40	80	10	6	150,60 102
12	0,5	36	48	93	12	6	198,50 120
12	1,0	36	48	93	12	6	198,50 121
12	2,0	36	48	93	12	6	198,50 122
12	3,0	36	48	93	12	6	198,50 123
16	0,5	48	60	108	16	6	355,00 160
16	1,0	48	60	108	16	6	355,00 161
16	2,0	48	60	108	16	6	355,00 162
16	3,0	48	60	108	16	6	355,00 163
20	0,5	60	76	126	20	8	530,20 200
20	1,0	60	76	126	20	8	530,20 201
20	2,0	60	76	126	20	8	530,20 202
20	3,0	60	76	126	20	8	530,20 203

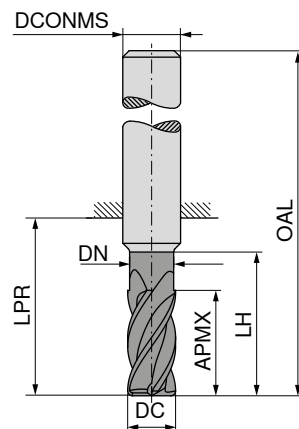
P	○
M	●
K	●
N	
S	○
H	
O	

→ v_c/f_z Page 480-485

Fraises deux tailles



Ti1000



Norme usine



52 109 ...

DC _{e8} mm	APMX mm	DN mm	LH mm	LPR mm	OAL mm	DCONMS _{h6} mm	ZEPP
6	16	5,8	26	26	58	6	8
8	22	7,8	32	32	64	8	10
10	25	9,8	35	35	73	10	12
12	28	11,8	38	39	84	12	12
16	35	15,8	43	45	93	16	16
20	40	19,8	50	54	104	20	16

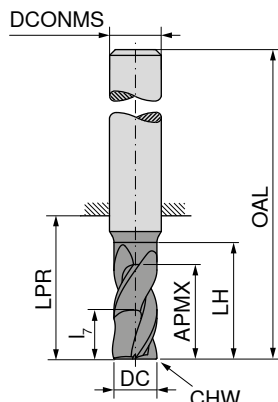
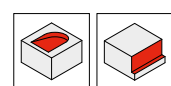
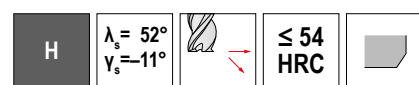
EUR V1	
75,03	060
85,74	080
146,30	100
198,50	120
424,50	160
499,80	200

P	○
M	●
K	○
N	●
S	●
H	
O	●

→ v_c/f_z Page 480–483

Fraises deux tailles

▲ Avec poches à copeaux optimisées



DIN 6527

DIN 6527



50 907 ...

50 907 ...

EUR V0/5A

EUR V0/5A

041

042

72,45

78,95

051

78,95

052

052

76,06

84,33

061

062

87,51

95,04

081

082

149,30

169,60

101

102

204,40

231,70

121

122

360,80

436,10

161

162

517,20

649,00

201

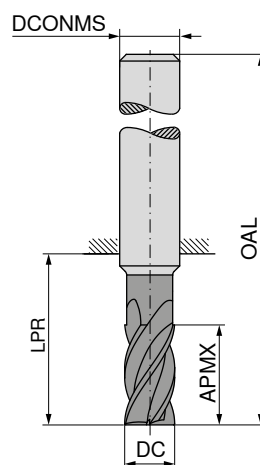
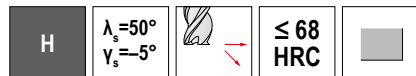
202

DC _{f8} mm	APMX mm	LH mm	I ₇ mm	LPR mm	OAL mm	DCONMS _{h5} mm	CHW mm	ZEFF
4	11	18	4,4	21	57	6	0,15	4
4	16	19	6,4	26	62	6	0,15	4
5	13	19	4,8	21	57	6	0,15	4
5	17	20	6,8	26	62	6	0,15	4
6	13	19	5,2	21	57	6	0,15	4
6	18	21	7,2	26	62	6	0,15	4
8	19	25	7,6	27	63	8	0,15	4
8	24	27	9,6	32	68	8	0,15	4
10	22	30	8,8	32	72	10	0,15	4
10	30	33	12,0	40	80	10	0,15	4
12	26	36	10,4	38	83	12	0,15	4
12	36	39	14,4	48	93	12	0,15	4
16	32	42	12,8	44	92	16	0,15	4
16	48	51	19,2	60	108	16	0,15	4
20	38	52	15,2	54	104	20	0,15	4
20	60	63	24,0	76	126	20	0,15	4

P	●	●
M		
K		
N		
S		
H	●	●
O		

→ v_c/f_z Page 480–485

Fraises de finition



50 635 ...

50 635 ...

EUR V0/5A

EUR V0/5A

51,42 040

58,54 041

48,09 050

55,77 051

54,16 060

61,73 061

61,73 080

71,73 081

106,00 100

121,70 101

144,00 120

168,00 121

256,50 160

314,30 161

366,40 200

334,60 162

467,90 201

420,10 202

489,50 203

1.160,00 250

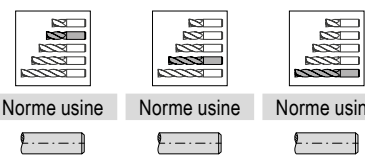
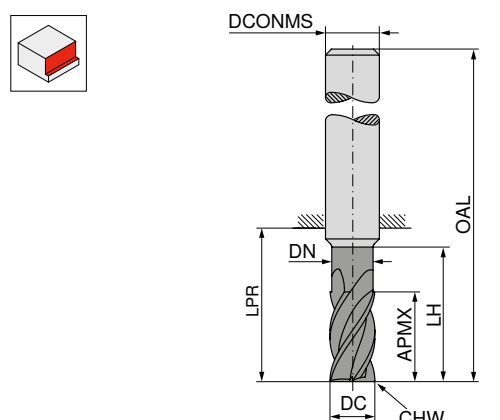
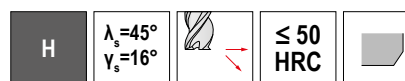
1.201,00 251

DC _{f8} mm	APMX mm	OAL mm	DCONMS _{h5} mm	ZEFP
4	11	57	6	6
4	16	62	6	6
5	13	57	6	6
5	18	62	6	6
6	13	57	6	6
6	18	62	6	6
8	19	63	8	6
8	24	68	8	6
10	22	72	10	6
10	30	80	10	6
12	26	83	12	6
12	36	93	12	6
16	32	92	16	8
16	48	108	16	8
16	90	150	16	8
20	38	104	20	8
20	60	126	20	8
20	75	135	20	8
20	95	150	20	8
25	75	150	25	8
25	95	160	25	8

P	●	●
M	●	●
K	○	○
N	○	○
S	●	●
H	●	●
O	●	●

→ v_c/f_z Page 480–485

Fraises de finition



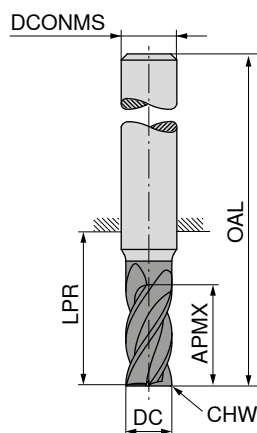
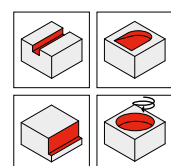
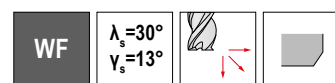
DC _{e8} mm	APMX mm	DN mm	LH mm	LPR mm	OAL mm	DCONMS _{h6} mm	CHW mm	ZEFF
5	8	4,8	13	18	54	6	0,02	6
5	13	4,8	18	22	58	6	0,02	6
6	10	5,8	15	18	54	6	0,03	6
6	16	5,8	20	22	58	6	0,03	6
6	21			29	65	6	0,03	6
8	12	7,8	17	23	59	8	0,04	6
8	22	7,8	32	34	70	8	0,04	6
8	28			39	75	8	0,04	6
10	14	9,8	19	20	60	10	0,05	6
10	25	9,8	33	33	73	10	0,05	6
10	35			45	85	10	0,05	6
12	16	11,8	21	25	70	12	0,05	6
12	28	11,8	38	39	84	12	0,05	6
12	45			55	100	12	0,05	6
16	20	15,8	28	32	80	16	0,06	6
16	35	15,8	43	45	93	16	0,06	6
16	50			62	110	16	0,06	6
16	65			77	125	16	0,06	6
20	25	19,8	33	35	85	20	0,07	8
20	40	19,8	45	50	100	20	0,07	8
20	55			65	115	20	0,07	8
20	70			80	130	20	0,07	8
25	55	24,8	63	69	125	25	0,08	8
25	75			94	150	25	0,08	8

52 112 ...	52 122 ...	52 123 ...
EUR V1	EUR V1	EUR V1
68,81 051	72,28 051	96,63 061
64,46 061	70,70 061	120,20 081
79,83 081	88,37 081	184,00 121
117,90 101	136,70 101	217,40 101
175,30 121	266,50 161	302,80 121
404,20 201	451,90 201	634,50 202
		778,00 203
	753,30 251	1.240,00 251

P	○	○	○
M	●	●	●
K	○	○	○
N	●	●	●
S	●	●	●
H	●	●	●
O	●	●	●

Fraises de semi-ébauche

▲ Avec brise-copeaux fins



50 628 ...

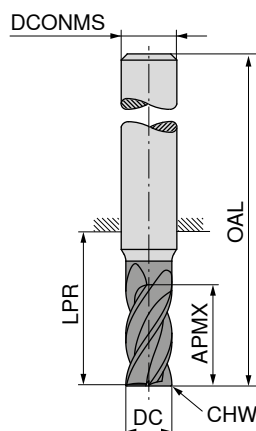
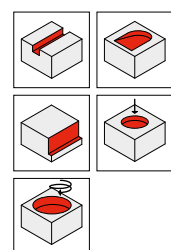
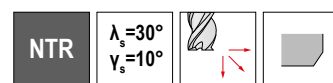
DC _{d11} mm	APMX mm	LPR mm	OAL mm	DCONMS _{h5} mm	CHW mm	ZEFP	EUR V0/5A	
5	15	21	57	6	0,25	4	101,40	050
6	16	21	57	6	0,25	4	101,40	060
8	22	27	63	8	0,25	4	126,30	080
10	25	32	72	10	0,25	4	135,90	100
12	28	38	83	12	0,25	4	168,00	120
16	35	44	92	16	0,25	4	260,60	160
20	40	54	104	20	0,25	4	392,70	200

P								
M								
K								
N							●	
S							○	
H								
O							●	

→ v_c/f_z Page 480–483

Fraises de semi-ébauche

▲ Avec brise-copeaux fin



DIN 6527



52 318 ...

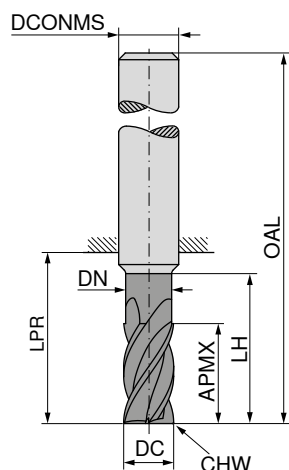
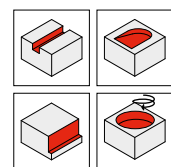
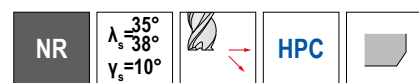
DC _{h10} mm	APMX mm	LPR mm	OAL mm	DCONMS _{h6} mm	CHW mm	ZEFFP	EUR V1
6	13	21	57	6		3	81,54 06000
8	19	27	63	8	0,08	3	101,10 08000
10	22	32	72	10	0,12	4	110,40 10000
12	26	38	83	12	0,15	4	138,70 12000
14	26	38	83	14	0,17	4	176,70 14000
16	32	44	92	16	0,20	4	208,50 16000
18	32	48	92	18	0,22	4	285,40 18000
20	38	54	104	20	0,25	4	315,70 20000

P	●
M	○
K	●
N	○
S	
H	
O	

→ v_c/f_x Page 470+471

Fraises d'ébauche

▲ Avec brise-coapeaux d'ébauche



≈DIN 6527



54 077 ...

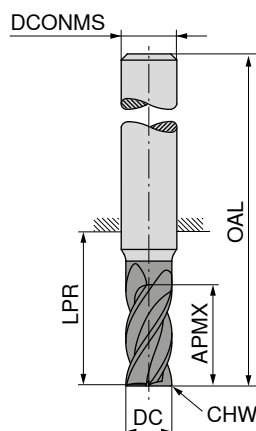
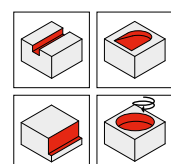
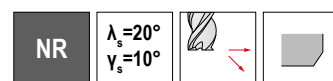
DC _{r8} mm	APMX mm	DN mm	LH mm	LPR mm	OAL mm	DCONMS _{h6} mm	CHW mm	ZEFFP	EUR V3/5C
4	11	3,8	17	21	57	6	0,1	4	26,77 00400
5	13	4,8	19	21	57	6	0,1	4	26,77 00500
6	13	5,8	19	21	57	6	0,1	4	32,06 00600
8	21	7,7	25	27	63	8	0,2	4	40,08 00800
10	22	9,7	30	32	72	10	0,2	4	51,08 01000
12	26	11,6	36	38	83	12	0,3	4	82,84 01200
16	36	15,5	42	44	92	16	0,3	4	124,80 01600
20	41	19,5	52	54	104	20	0,3	4	184,90 02000

P	●
M	●
K	●
N	○
S	○
H	
O	

→ v_c/f_x Page 472+473

Fraises d'ébauche

▲ Avec brise-coapeaux d'ébauche



DIN 6527

DIN 6527

50 618 ...

50 624 ...

EUR
V0/5AEUR
V0/5A

101,00 050

96,03 040

96,03 050

96,03 050

90,24 060

104,30 060

121,50 070

118,90 070

118,40 080

118,90 080

138,60 090

138,10 090

138,60 100

138,10 100

138,60 100

163,70 110

152,20 120

163,70 120

163,70 120

230,30 130

210,20 140

230,30 140

259,40 160

259,40 160

311,60 180

347,70 180

372,40 200

386,80 200

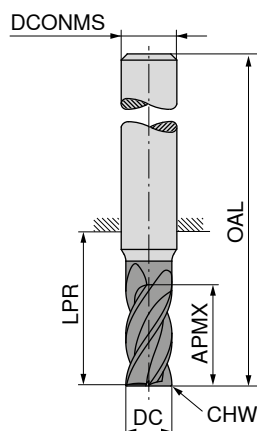
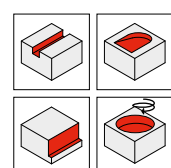
473,60 250

DC _{d11} mm	APMX mm	LPR mm	OAL mm	DCONMS _{h5} mm	CHW mm	ZEFF
4	8	21	57	6	0,6	4
5	8	18	54	6	0,6	4
5	13	21	57	6	0,6	4
6	8	18	54	6	0,6	4
6	13	21	57	6	0,6	4
7	11	22	58	8	0,6	4
7	19	27	63	8	0,6	4
8	11	22	58	8	0,6	4
8	19	27	63	8	0,6	4
9	13	26	66	10	0,6	4
9	22	32	72	10	0,6	4
10	13	26	66	10	0,6	4
10	22	32	72	10	0,6	4
11	26	38	83	12	0,6	4
12	16	28	73	12	0,6	4
12	26	38	83	12	0,6	4
13	26	38	83	14	0,6	4
14	16	31	76	14	0,6	4
14	26	38	83	14	0,6	4
16	19	34	82	16	0,6	4
16	32	44	92	16	0,6	4
18	19	36	84	18	0,6	4
18	32	44	92	18	0,6	4
20	19	42	92	20	0,6	4
20	38	54	104	20	0,6	4
25	45	65	121	25	0,6	5

P	●	●
M	○	○
K	●	●
N	○	○
S	○	○
H	○	○
O	○	○

Fraises d'ébauche

▲ Avec brise-coapeaux d'ébauche



Ti400



DIN 6527



50 637 ...

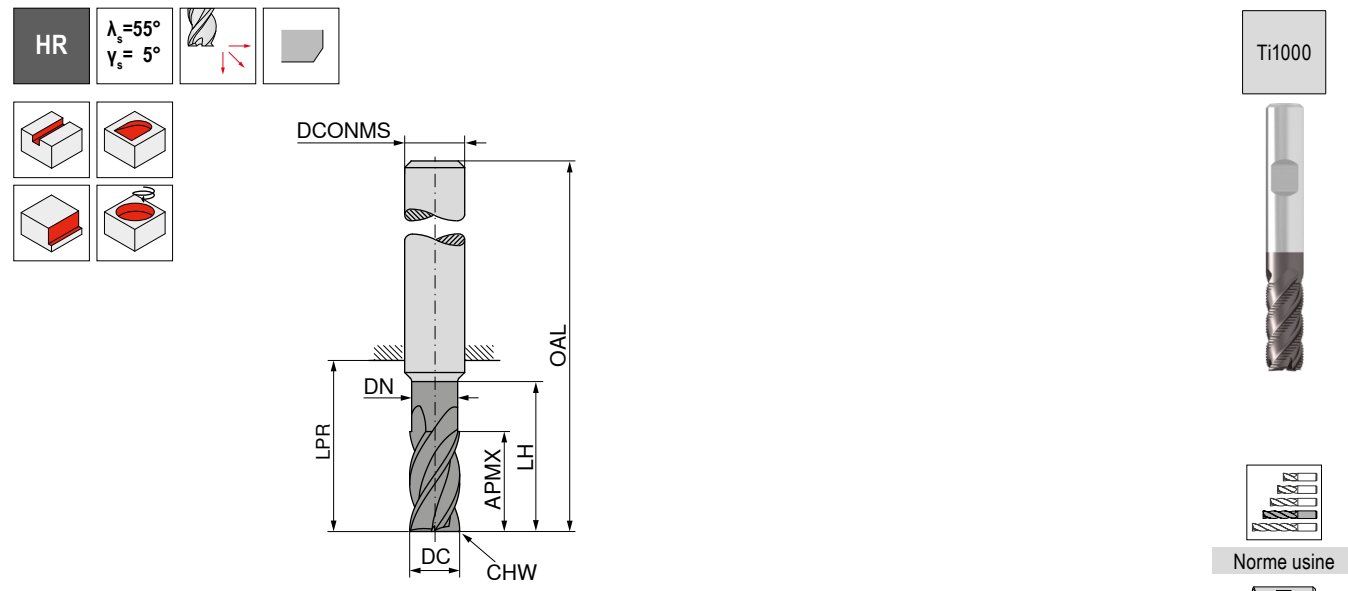
DC _{d11} mm	APMX mm	LPR mm	OAL mm	DCONMS _{h5} mm	CHW mm	ZEFP	EUR V0/5A	
6	13	21	57	6	0,5	4	109,90	060
8	19	27	63	8	0,5	4	126,00	080
10	22	32	72	10	0,5	4	137,60	100
12	26	38	83	12	0,5	4	163,70	120
14	26	38	83	14	0,5	4	230,30	140
16	32	44	92	16	0,5	5	259,40	160
18	32	44	92	18	0,5	5	349,10	180
20	38	54	104	20	0,5	6	388,30	200
25	45	65	121	25	0,5	6	478,20	250

P	○
M	●
K	○
N	○
S	●
H	
O	○

→ v_c/f_z Page 480–483

Fraises d'ébauche

- ▲ Avec brise-coapeaux d'ébauche
- ▲ Avec brise-coapeaux dans les goujures



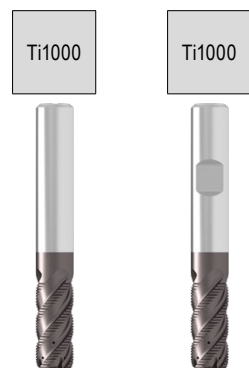
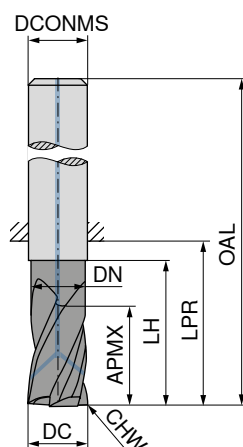
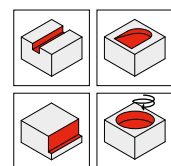
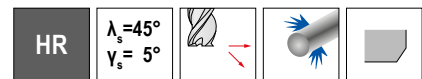
DC _{h11} mm	APMX mm	DN mm	LH mm	LPR mm	OAL mm	DCONMS _{h6} mm	CHW mm	ZEFF	EUR V1
6	16	5,8	21	22	58	6	0,15	4	122,30
8	22	7,7	27	34	70	8	0,20	4	139,90
10	25	9,7	30	33	73	10	0,20	4	152,20
12	28	11,6	38	39	84	12	0,25	4	178,10
14	30	13,6	40	39	84	14	0,30	4	240,60
16	35	15,5	45	45	93	16	0,35	5	307,10
18	35	17,5	45	45	93	18	0,40	5	382,50
20	40	19,5	55	54	104	20	0,40	5	459,10

P	○
M	●
K	○
N	
S	
H	
O	

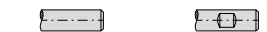
→ V_c/f_z Page 474+475

Fraises d'ébauche

- ▲ Avec brise-coapeaux d'ébauche
- ▲ Avec brise-coapeaux dans les goujures



Norme usine Norme usine



52 338 ...		52 339 ...	
	EUR V1		EUR V1
6	152,20 060	152,20 060	
8	169,60 080	169,60 080	
10	198,50 100	198,50 100	
12	250,60 120	250,60 120	
16	426,00 160	426,00 160	
20	627,40 200	627,40 200	

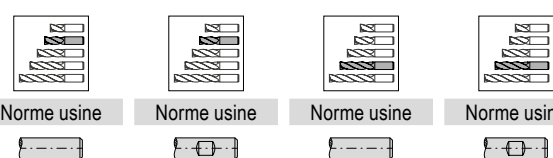
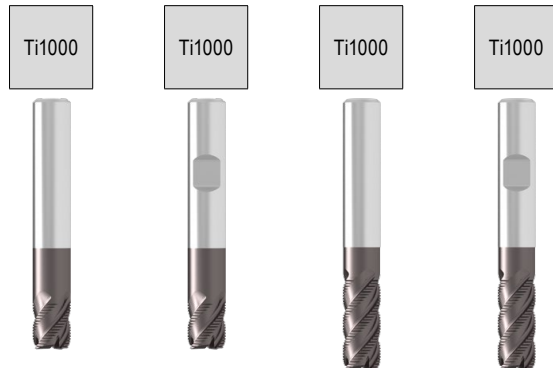
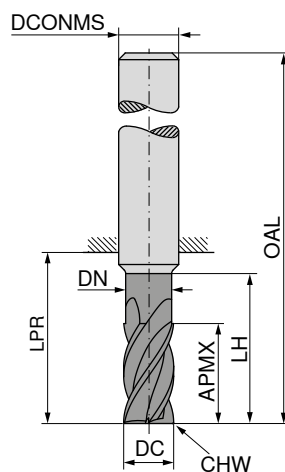
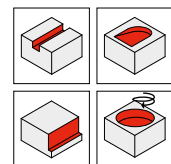
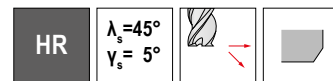
DC _{h11} mm	APMX mm	DN mm	LH mm	LPR mm	OAL mm	DCONMS _{h6} mm	CHW mm	ZEFP
6	16	5,8	21	22	58	6	0,15	4
8	22	7,7	27	34	70	8	0,20	4
10	25	9,7	30	33	73	10	0,20	4
12	28	11,6	38	39	84	12	0,25	4
16	35	15,5	45	45	93	16	0,35	5
20	40	19,5	55	54	104	20	0,40	5

P	●	●
M	●	●
K	●	●
N		
S		
H		
O		

→ v_c/f_z Page 474+475

Fraises d'ébauche

- ▲ Avec brise-coapeux d'ébauche
- ▲ Avec brise-coapeux dans les goujures



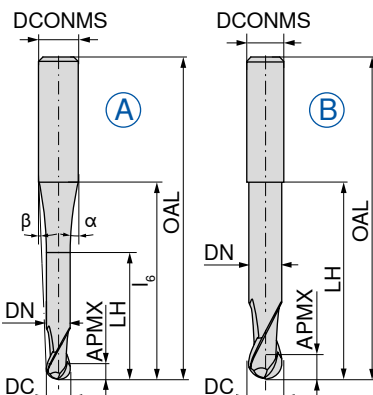
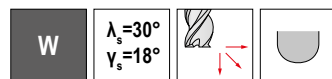
DC _{h11} mm	APMX mm	DN mm	LH mm	LPR mm	OAL mm	DCONMS _{h6} mm	CHW mm	ZEFP	52 342 ...	52 343 ...	52 342 ...	52 343 ...
									EUR V1	EUR V1	EUR V1	EUR V1
6	8	6,0		18	54	6	0,15	4	107,80	060	107,80	060
6	16	5,8	21	22	58	6	0,15	4			119,50	061
8	11	8,0		23	59	8	0,20	4	123,70	080	123,70	080
8	22	7,7	27	34	70	8	0,20	4	132,30	100	132,30	100
10	13	10,0		27	67	10	0,20	4			147,70	101
10	25	9,7	30	33	73	10	0,20	4			147,70	101
12	16	12,0		29	74	12	0,25	4	153,50	120	153,50	120
12	28	11,6	38	39	84	12	0,25	4			173,90	121
14	16	14,0		30	75	14	0,25	4	211,70	140	211,70	140
14	30	13,5	40	39	84	14	0,25	4			233,30	141
16	19	16,0		36	84	16	0,35	5	263,60	160	263,60	160
16	35	15,5	45	45	93	16	0,35	5			299,80	161
20	19	20,0		43	93	20	0,40	5	404,20	200	404,20	200
20	40	19,5	55	54	104	20	0,40	5			450,50	201
25	50	24,0	65	69	125	25	0,50	5			761,90	251

P	●	●	●	●
M	○	○	○	○
K	●	●	●	●
N				
S				
H				
O				

→ V_c/f_z Page 474+475

Fraises hémisphériques

- ▲ Précision du rayon: $\pm 0,005$ mm
- ▲ Pour $\varnothing \leq 5,0$ mm, tolérances angulaires sur α et β : $\pm 0,5^\circ$



Norme usine

Norme usine



52 718 ...

52 720 ...

EUR
V1EUR
V1

162,40 005

120,40 030

147,70 010

107,80 040

130,80 015

105,50 050

101,70 020

104,00 060

97,64 030

115,30 080

95,32 040

134,60 080

5,0 4,70 10,0 40 100 1,5 1 6 2 A

182,40 100

5,0 4,70 14,0 20 57 10 2 6 2 A

187,00 100

6,0 6,0 5,60 20,0 57 6 2 B

218,80 120

6,0 6,0 5,60 40,0 100 6 2 B

289,80 120

8,0 7,0 7,60 25,0 63 8 2 B

162,40 005

8,0 7,0 7,60 60,0 120 8 2 B

147,70 010

10,0 8,0 9,60 30,0 72 10 2 B

130,80 015

10,0 8,0 9,60 60,0 120 10 2 B

182,40 100

12,0 8,0 11,50 40,0 83 12 2 B

187,00 100

12,0 10,0 11,50 70,0 160 12 2 B

218,80 120

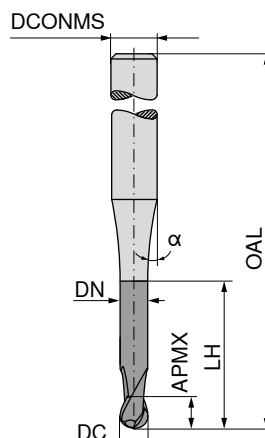
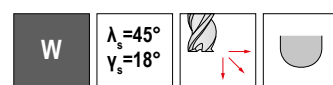
DC $\pm 0,01$ mm	APMX mm	DN mm	LH mm	I _s mm	OAL mm	α°	β°	DCONMS h_5 mm	ZEFF	Version :
0,5	1,0	0,45	2,0	9	38	10	8	3	2	A
1,0	2,0	0,95	4,0	9	38	12,5	6,5	3	2	A
1,5	2,5	1,40	7,5	9	38	32	5	3	2	A
2,0	3,0	1,80	8,0	9	38	31	3,5	3	2	A
3,0	3,5	2,80	10,0	20	57	11,5	5	6	2	A
3,0	3,5	2,80	12,0	40	80	3,5	2,5	6	2	A
4,0	4,0	3,80	12,0	20	57	11	3,5	6	2	A
4,0	4,0	3,80	20,0	40	80	4	1,5	6	2	A
5,0	5,0	4,70	10,0	40	100	1,5	1	6	2	A
5,0	5,0	4,70	14,0	20	57	10	2	6	2	A
6,0	6,0	5,60	20,0		57			6	2	B
6,0	6,0	5,60	40,0		100			6	2	B
8,0	7,0	7,60	25,0		63			8	2	B
8,0	7,0	7,60	60,0		120			8	2	B
10,0	8,0	9,60	30,0		72			10	2	B
10,0	8,0	9,60	60,0		120			10	2	B
12,0	8,0	11,50	40,0		83			12	2	B
12,0	10,0	11,50	70,0		160			12	2	B

P										
M										
K										
N									●	●
S									○	○
H										
O									●	●

 $\rightarrow v_c/f_z$ Page 480–486

Fraises hémisphériques

▲ Précision du rayon: $\pm 0,01$ mm



Norme usine

Norme usine

50 903 ...

50 903 ...

EUR
V0/5A

EUR
V0/5A

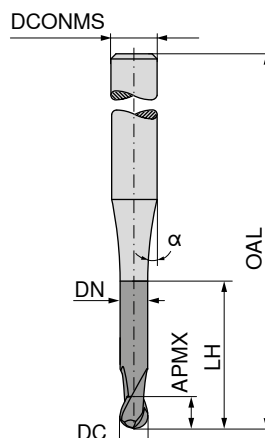
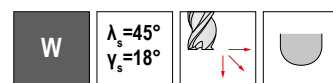
DC _{IS} mm	APMX mm	DN mm	LH mm	OAL mm	α°	DCONMS _{IS} mm	ZEFF
0,2	0,2	0,18	0,6	55	15	3	2
0,2	0,2	0,18	1,0	55	15	3	2
0,2	0,2	0,18	1,6	55	15	3	2
0,2	0,2	0,18	2,0	55	15	3	2
0,3	0,3	0,28	0,9	55	15	3	2
0,3	0,3	0,28	1,5	55	15	3	2
0,3	0,3	0,28	2,4	55	15	3	2
0,3	0,3	0,28	3,0	55	15	3	2
0,4	0,4	0,37	1,2	55	15	3	2
0,4	0,4	0,37	2,0	55	15	3	2
0,4	0,4	0,37	3,2	55	15	3	2
0,4	0,4	0,37	4,0	55	15	3	2
0,5	0,5	0,45	1,5	55	15	3	2
0,5	0,5	0,45	2,5	55	15	3	2
0,5	0,5	0,45	4,0	55	15	3	2
0,5	0,5	0,45	5,0	55	15	3	2
0,6	0,6	0,58	2,0	55	15	3	2
0,6	0,6	0,58	3,0	55	15	3	2
0,6	0,6	0,58	5,0	65	15	3	2
0,6	0,6	0,58	6,0	65	15	3	2
0,8	0,8	0,77	2,5	55	15	3	2
0,8	0,8	0,77	4,0	55	15	3	2
0,8	0,8	0,77	6,5	65	15	3	2
0,8	0,8	0,77	8,0	65	15	3	2
1,0	1,0	0,95	3,0	55	15	3	2
1,0	1,0	0,95	5,0	55	15	3	2
1,0	1,0	0,95	8,0	65	15	3	2
1,0	1,0	0,95	10,0	65	15	3	2
1,0	1,0	0,95	12,0	65	15	3	2
1,2	1,2	1,15	3,0	55	15	3	2
1,2	1,2	1,15	6,0	55	15	3	2
1,2	1,2	1,15	10,0	65	15	3	2
1,2	1,2	1,15	12,0	65	15	3	2
1,3	1,3	1,25	4,0	55	15	3	2
1,3	1,3	1,25	7,0	55	15	3	2
1,3	1,3	1,25	11,0	65	15	3	2
1,3	1,3	1,25	13,0	65	15	3	2
1,5	1,5	1,44	5,0	55	15	3	2
1,5	1,5	1,44	7,5	55	15	3	2

P							
M							
K							
N						●	●
S							
H							
O							

→ v_c/f_z Page 480–486

Fraises hémisphériques

▲ Précision du rayon: $\pm 0,01$ mm



Norme usine

Norme usine

50 903 ...

50 903 ...

EUR
V0/5A

EUR
V0/5A

154

153

161

162

163

164

181

182

183

184

201

202

202

203

204

205

231

232

233

234

235

236

301

302

303

304

401

402

403

404

108,70

111,80

501

502

503

504

111,80

117,50

601

602

108,70

117,50

603

604

121,10

121,10

DC _{IS} mm	APMX mm	DN mm	LH mm	OAL mm	α°	DCONMS _{IS} mm	ZEFF
1,5	1,5	1,44	12,0	65	15	3	2
1,5	1,5	1,44	15,0	65	15	3	2
1,6	1,6	1,52	5,0	55	15	3	2
1,6	1,6	1,52	8,0	55	15	3	2
1,6	1,6	1,52	13,0	65	15	3	2
1,6	1,6	1,52	16,0	65	15	3	2
1,8	1,8	1,72	5,5	55	15	3	2
1,8	1,8	1,72	9,0	55	15	3	2
1,8	1,8	1,72	14,5	65	15	3	2
1,8	1,8	1,72	18,0	65	15	3	2
2,0	2,0	1,92	6,0	55	15	3	2
2,0	2,0	1,92	10,0	55	15	3	2
2,0	2,0	1,92	14,0	55	15	3	2
2,0	2,0	1,92	16,0	65	15	3	2
2,0	2,0	1,92	20,0	65	15	3	2
2,3	2,3	2,22	7,0	55	15	3	2
2,3	2,3	2,22	11,5	55	15	3	2
2,3	2,3	2,22	18,5	65	15	3	2
2,3	2,3	2,22	20,0	65	15	3	2
2,3	2,3	2,22	23,0	65	15	3	2
3,0	3,0	2,90	9,0	65	15	6	2
3,0	3,0	2,90	15,0	65	15	6	2
3,0	3,0	2,90	24,0	100	15	6	2
3,0	3,0	2,90	30,0	100	15	6	2
4,0	4,0	3,90	12,0	65	15	6	2
4,0	4,0	3,90	20,0	65	15	6	2
4,0	4,0	3,90	32,0	100	15	6	2
4,0	4,0	3,90	40,0	100	15	6	2
5,0	5,0	4,90	15,0	65	15	6	2
5,0	5,0	4,90	25,0	65	15	6	2
5,0	5,0	4,90	40,0	100	15	6	2
5,0	5,0	4,90	50,0	100	15	6	2
6,0	6,0	5,90	18,0	65	15	6	2
6,0	6,0	5,90	30,0	100	15	6	2
6,0	6,0	5,90	48,0	100	15	6	2
6,0	6,0	5,90	60,0	100	15	6	2

P							
M							
K							
N						●	●
S							
H							
O							

→ v_c/f_z Page 480–486

Fraises hémisphériques

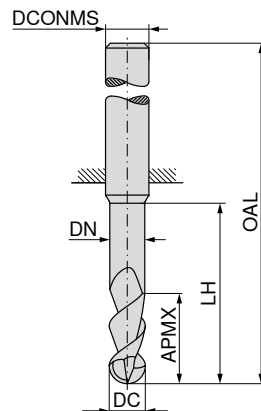
▲ Précision du rayon: $\pm 0,01$ mm



$\lambda_s = 55^\circ$
 $\gamma_s = 7^\circ$



HPC



Norme usine



Norme usine



Norme usine

54 640 ...

EUR
V0/5A
78,66

031

54 640 ...

EUR
V0/5A
85,74

034

54 640 ...

EUR
V0/5A
90,11

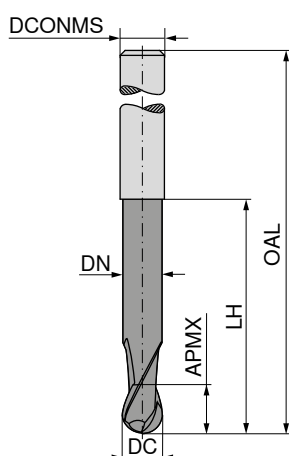
032

DC _{h6} mm	APMX mm	DN mm	LH mm	OAL mm	DCONMS _{h5} mm	ZEFF
3	5,0	2,8	12	55	6	2
3	3,5	2,8	15	58	6	2
3	8,0	2,8	15	58	6	2
3	3,5	2,8	24	67	6	2
4	6,5	3,8	12	55	6	2
4	4,5	3,8	20	62	6	2
4	10,5	3,8	20	62	6	2
4	4,5	3,8	32	74	6	2
5	8,0	4,8	15	58	6	2
5	5,5	4,8	25	70	6	2
5	13,0	4,8	25	70	6	2
5	5,5	4,8	40	88	6	2
6	10,0	5,8	18	58	6	2
6	7,0	5,8	30	70	6	2
6	16,0	5,8	30	70	6	2
6	7,0	5,8	48	88	6	2
8	13,0	7,7	24	64	8	2
8	9,0	7,7	40	80	8	2
8	21,0	7,7	40	80	8	2
8	9,0	7,7	64	104	8	2
10	16,0	9,7	30	74	10	2
10	11,0	9,7	50	94	10	2
10	26,0	9,7	50	94	10	2
10	11,0	9,7	80	124	10	2
12	19,0	11,6	36	85	12	2
12	13,0	11,6	60	109	12	2
12	31,0	11,6	60	109	12	2
12	13,0	11,6	96	145	12	2
14	22,0	13,6	42	91	14	2
14	15,0	13,6	70	119	14	2
14	36,0	13,6	70	119	14	2
14	15,0	13,6	112	161	14	2
16	25,0	15,5	48	100	16	2
16	17,0	15,5	80	132	16	2
16	41,0	15,5	80	132	16	2
16	17,0	15,5	128	180	16	2
18	29,0	17,5	54	106	18	2
18	20,0	17,5	90	142	18	2
18	47,0	17,5	90	142	18	2
18	20,0	17,5	144	196	18	2
20	32,0	19,5	60	114	20	2
20	52,0	19,5	100	154	20	2
20	22,0	19,5	100	154	20	2
20	22,0	19,5	160	214	20	2

P				
M				
K				
N			●	●
S				
H				
O				

→ v_c/f_z Page 460+461

Fraises hémisphériques



Norme usine

Norme usine



52 766 ...

52 768 ...

EUR V1

EUR V1

153,50 005

149,30 010

149,30 020

228,80 021

178,10 020

149,30 030

228,80 031

169,60 030

228,80 040

237,60 040

228,80 050

273,80 050

221,60 060

307,10 060

308,60 080

405,60 080

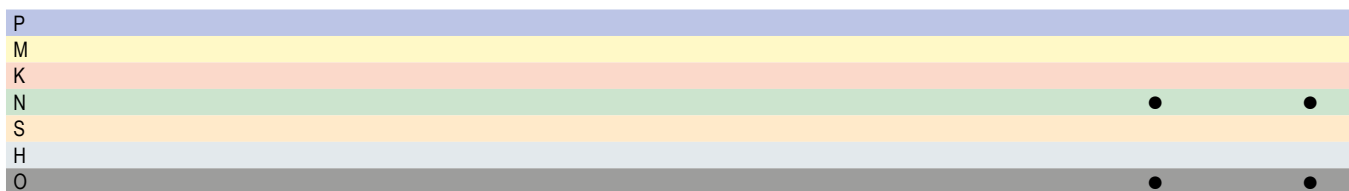
391,00 100

523,00 100

523,00 120

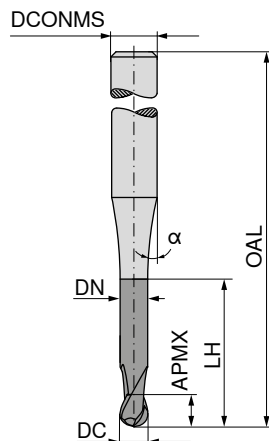
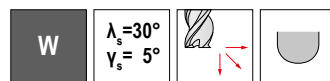
689,40 120

DC _{h10} mm	APMX mm	LH mm	DN mm	OAL mm	DCONMS _{h6} mm	ZEFP
0,5	1,5			38	3	2
1,0	2,0			38	3	2
2,0	3,0			38	3	2
2,0	3,0			50	6	2
2,0	8,0	31	1,8	60	2	2
3,0	5,0			38	3	2
3,0	5,0			50	6	2
3,0	12,0	41	2,8	70	3	2
4,0	8,0			54	6	2
4,0	15,0	51	3,8	80	4	2
5,0	9,0			54	6	2
5,0	20,0	71	4,8	100	5	2
6,0	10,0			54	6	2
6,0	20,0	63	5,8	100	6	2
8,0	12,0			58	8	2
8,0	20,0	83	7,8	120	8	2
10,0	14,0			66	10	2
10,0	25,0	99	9,8	140	10	2
12,0	25,0	104	11,8	150	12	2

→ v_c/f_z Page 418

Micro-fraises hémisphériques

▲ Précision du rayon: $\pm 0,01$ mm



DC _{IS} mm	APMX mm	LH mm	DN mm	OAL mm	α°	DCONMS _{IS} mm	ZEFP
0,6	1,2	3,0	0,58	55	15	6	2
0,6	1,2	6,0	0,58	65	15	6	2
0,8	1,2	4,0	0,77	55	15	6	2
0,8	1,2	8,0	0,77	65	15	6	2
1,0	1,5	5,0	0,95	55	15	6	2
1,0	1,5	12,0	0,95	65	15	6	2
1,2	1,6	6,0	1,15	55	15	6	2
1,2	1,6	12,0	1,15	65	15	6	2
1,5	1,8	7,5	1,44	55	15	6	2
1,5	1,8	15,0	1,44	65	15	6	2
2,0	2,0	10,0	1,92	55	15	6	2
2,0	2,0	20,0	1,92	65	15	6	2

50 912 ...

EUR
V0/5A

182,40

906

50 912 ...

EUR
V0/5A

199,90

006

182,40

908

199,90

008

182,40

910

199,90

010

182,40

912

199,90

012

182,40

915

199,90

015

182,40

920

199,90

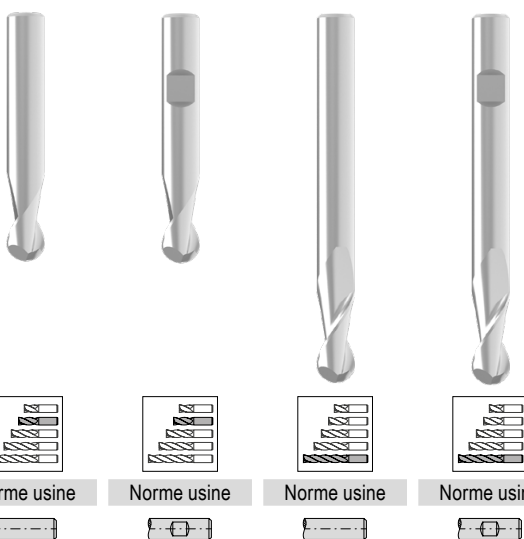
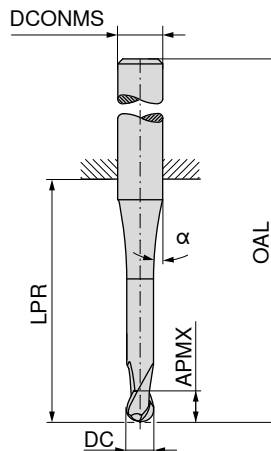
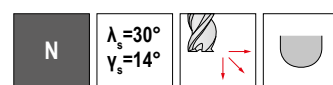
020

P							
M							
K							
N					●		●
S							
H					●		●
O							

→ v_c/f_z Page 418

Fraises hémisphériques

▲ Précision du rayon : $\pm 0,01$ mm

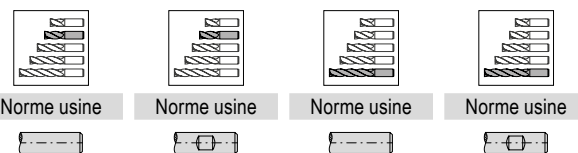
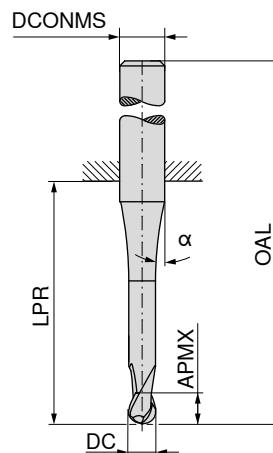


DC mm	APMX mm	LPR mm	OAL mm	α°	DCONMS h_6	ZEFP	52 050 ...	52 052 ...	52 051 ...	52 053 ...
							EUR V1/B	EUR V1/5B	EUR V1/5B	EUR V1/5B
0,10	0,2	12,5	38	8	3	2	107,60	91000		
0,15	0,3	11,5	38	8	3	2	93,43	91500		
0,20	0,4	12,0	38	8	3	2	85,90	92000		
0,25	0,5	12,5	38	8	3	2	82,86	92500		
0,30	1,0	11,3	38	8	3	2	76,79	93000		
0,35	1,0	11,1	38	8	3	2	67,92	93500		
0,40	1,0	10,9	38	8	3	2	49,40	94000		
0,50	1,5	11,7	38	7	3	2	39,41	95000		
0,50	1,5	18,0	54	11	6	2	47,22	95100		
0,50	1,5	47,0	75	7	3	2			54,45	95000
0,50	1,5	44,0	80	11	6	2			63,01	95100
0,60	1,5	11,3	38	7	3	2	43,32	96000		
0,70	2,0	11,4	38	7	3	2	39,41	97000		
0,80	2,0	11,7	38	7	3	2	39,41	98000		
0,90	2,5	11,7	38	7	3	2	39,41	99000		
1,00	2,0	22,0	50	7	3	2	40,71	31000		
1,00	2,0	18,0	54	10	6	2	43,62	01000	43,62	01000
1,00	3,0	47,0	75	7	3	2			59,99	31000
1,00	3,0	44,0	80	10	6	2			68,08	01000
1,10	3,0	22,0	50	6	3	2	39,41	31100		
1,20	3,0	22,0	50	5	3	2	39,41	31200		
1,40	3,0	22,0	50	5	3	2	39,41	31400		
1,50	3,0	22,0	50	6	3	2	39,41	31500		
1,50	3,0	18,0	54	10	6	2	43,62	01500	43,62	01500
1,50	4,0	47,0	75	5	3	2			59,40	31500
1,50	4,0	44,0	80	10	6	2			68,08	01500
1,60	4,0	22,0	50	6	3	2	39,41	31600		
1,80	4,0	22,0	50	6	3	2	39,41	31800		
2,00	4,0	22,0	50	5	3	2	40,71	32000		
2,00	4,0	18,0	54	9	6	2	43,62	02000	43,62	02000
2,00	6,0	47,0	75	5	3	2			55,64	32000
2,00	6,0	44,0	80	10	6	2			66,49	02000
2,50	5,0	22,0	50	3	3	2	39,41	32500		
2,50	5,0	18,0	54	9	6	2	43,62	02500	43,62	02500
2,50	8,0	47,0	75	3	3	2			54,33	32500
2,50	8,0	44,0	80	10	6	2			66,93	02500
3,00	6,0	22,0	50		3	2	40,71	33000		
3,00	6,0	18,0	54	9	6	2	43,62	03000	43,62	03000
3,00	10,0	47,0	75		3	2			53,42	33000
3,00	10,0	44,0	80	9	6	2			65,03	03000
P					●		●	●	●	●
M					○		○	○	○	○
K					●		●	●	●	●
N					○		○	○	○	○
S					○		○	○	○	○
H										
O					○		○	○	○	○

→ v_c/f_z Page 480–486

Fraises hémisphériques

▲ Précision du rayon : $\pm 0,01$ mm



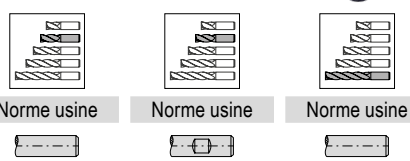
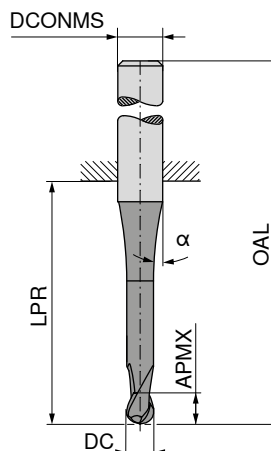
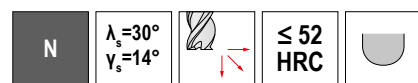
DC mm	APMX mm	LPR mm	OAL mm	α°	DCONMS h_6	ZEFP	52 050 ...	52 052 ...	52 051 ...	52 053 ...
							EUR V1/5B	EUR V1/5B	EUR V1/5B	EUR V1/5B
4,00	7,0	18,0	54	7	6	2	43,62 04000	43,62 04000	50,55 44000	
4,00	7,0	26,0	54		4	2	41,43 44000		65,03 04000	65,03 04000
4,00	13,0	47,0	75		4	2			56,78 55000	
4,00	13,0	44,0	80	8	6	2		43,62 05000	65,03 05000	65,03 05000
5,00	8,0	18,0	54	6	6	2		43,62 05000		
5,00	8,0	26,0	54		5	2		43,62 55000		
5,00	14,0	47,0	75		5	2			61,55 06000	61,55 06000
5,00	14,0	64,0	100	5	6	2			72,00 08000	72,00 08000
6,00	10,0	18,0	54		6	2	43,62 06000	43,62 06000		
6,00	16,0	64,0	100		6	2			96,63 10000	96,63 10000
8,00	12,0	23,0	59		8	2	50,55 08000	50,55 08000	128,80 12000	128,80 12000
8,00	22,0	64,0	100		8	2			182,40 14000	182,40 14000
10,00	13,0	27,0	67		10	2	65,34 10000	65,34 10000		
10,00	25,0	60,0	100		10	2			295,70 16000	295,70 16000
12,00	16,0	28,0	73		12	2	94,16 12000	94,16 12000		
12,00	26,0	55,0	100		12	2			236,10 20000	236,10 20000
14,00	16,0	30,0	75		14	2	122,00 14000	122,00 14000		
14,00	26,0	55,0	100		14	2			356,40 20000	356,40 20000
16,00	20,0	35,0	83		16	2	135,90 16000	135,90 16000		
16,00	30,0	102,0	150		16	2			295,70 16000	295,70 16000
20,00	25,0	43,0	93		20	2				
20,00	40,0	100,0	150		20	2				

P	●	●	●	●
M	○	○	○	○
K	●	●	●	●
N	○	○	○	○
S	○	○	○	○
H				
O	○	○	○	○

→ v_c/f_z Page 480–486

Fraises hémisphériques

▲ Précision du rayon : $\pm 0,01$ mm



52 054 ... **52 056 ...** **52 055 ...**

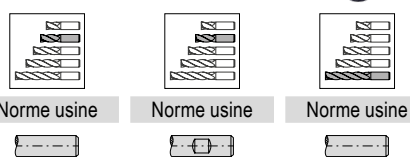
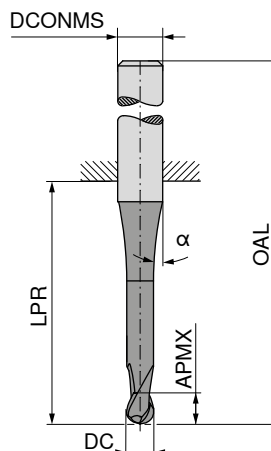
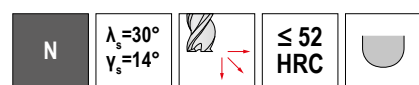
DC _{f8} mm	APMX mm	LPR mm	OAL mm	α°	DCONMS _{h6} mm	ZEFP	EUR V1/5B	EUR V1/5B	EUR V1/5B
0,10	0,2	12,5	38	8	3	2	113,10	91000	
0,15	0,3	11,5	38	8	3	2	99,20	91500	
0,20	0,4	12,0	38	8	3	2	94,16	92000	
0,25	0,5	12,5	38	8	3	2	109,20	92500	
0,30	1,0	11,3	38	8	3	2	101,70	93000	
0,35	1,0	11,1	38	8	3	2	90,96	93500	
0,40	1,0	10,9	38	8	3	2	67,80	94000	
0,50	1,5	11,7	38	7	3	2	55,91	95000	
0,50	1,5	47,0	75	7	3	2			63,44
0,50	1,5	44,0	80	11	6	2			95000
0,50	1,5	18,0	54	11	6	2	58,54	95100	
0,60	1,5	11,3	38	7	3	2	60,12	96000	
0,70	2,0	11,4	38	7	3	2	55,91	97000	
0,80	2,0	11,7	38	7	3	2	55,91	98000	
0,90	2,5	11,7	38	7	3	2	55,91	99000	
1,00	2,0	22,0	50	7	3	2	59,54	31000	
1,00	2,0	18,0	54	10	6	2	65,48	01000	65,48
1,00	3,0	44,0	80	10	6	2			01000
1,00	3,0	47,0	75	7	3	2			101,40
1,10	3,0	22,0	50	6	3	2	55,91	31100	
1,20	3,0	22,0	50	5	3	2	55,91	31200	
1,40	3,0	22,0	50	5	3	2	55,91	31400	
1,50	3,0	22,0	50	6	3	2	59,54	31500	
1,50	3,0	18,0	54	10	6	2	65,48	01500	65,48
1,50	4,0	44,0	80	10	6	2			01500
1,50	4,0	47,0	75	5	3	2	55,91	31600	
1,60	4,0	22,0	50	6	3	2	55,91	31800	
1,80	4,0	22,0	50	6	3	2	65,48	02000	65,48
2,00	4,0	18,0	54	9	6	2	59,54	32000	
2,00	4,0	22,0	50	5	3	2			99,08
2,00	6,0	44,0	80	10	6	2			02000
2,00	6,0	47,0	75	5	3	2			78,95
2,50	5,0	18,0	54	9	6	2	68,81	02500	68,81
2,50	5,0	22,0	50	3	3	2	55,91	32500	
2,50	8,0	44,0	80	10	6	2			100,10
2,50	8,0	47,0	75	3	3	2			77,51
3,00	6,0	18,0	54	9	6	2	65,48	03000	65,48
									03000

P	●	●	●
M	○	○	○
K	●	●	●
N	○	○	○
S	○	○	○
H	○	○	○
O	○	○	○

→ v_c/f_x Page 480–486

Fraises hémisphériques

▲ Précision du rayon : ± 0.01 mm



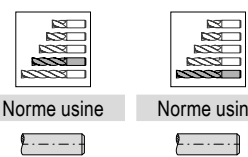
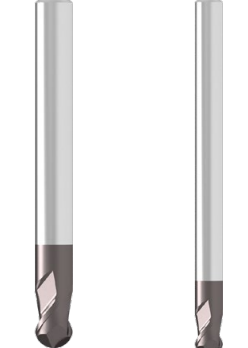
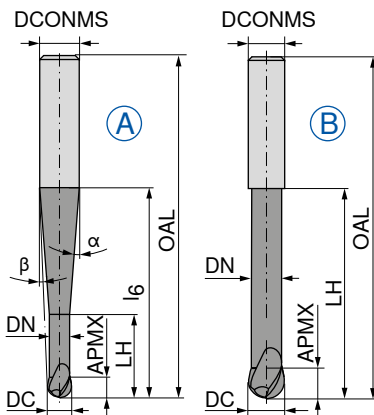
DC mm	APMX mm	LPR mm	OAL mm	α°	DCONMS mm	ZEFP	€2.004 ...		€2.000 ...		€2.000 ...	
							EUR V1/5B	EUR V1/5B	EUR V1/5B	EUR V1/5B	EUR V1/5B	
3,00	6,0	22,0	50		3	2	59,54	33000				
3,00	10,0	47,0	75		3	2				76,32	33000	
3,00	10,0	44,0	80	9	6	2				97,49	03000	
4,00	7,0	18,0	54	10	6	2	65,48	04000	65,48	04000		
4,00	7,0	26,0	54		4	2	62,86	44000				
4,00	13,0	47,0	75		4	2				73,15	44000	
4,00	13,0	44,0	80	8	6	2				97,49	04000	
5,00	8,0	18,0	54	6	6	2	65,48	05000	65,48	05000		
5,00	8,0	26,0	54		5	2	65,48	55000				
5,00	14,0	47,0	75		5	2				83,14	55000	
5,00	14,0	64,0	100	5	6	2				97,49	05000	
6,00	10,0	18,0	54		6	2	65,48	06000	65,48	06000		
6,00	16,0	64,0	100		6	2				97,94	06000	
8,00	12,0	23,0	59		8	2	79,67	08000	79,67	08000		
8,00	22,0	64,0	100		8	2				117,80	08000	
10,00	13,0	27,0	67		10	2	104,90	10000	104,90	10000		
10,00	25,0	60,0	100		10	2				155,00	10000	
12,00	16,0	28,0	73		12	2	149,30	12000	149,30	12000		
12,00	26,0	55,0	100		12	2				204,40	12000	
14,00	16,0	30,0	75		14	2	189,80	14000	189,80	14000		
14,00	26,0	55,0	100		14	2				273,80	14000	
16,00	20,0	35,0	83		16	2	217,40	16000	217,40	16000		
16,00	30,0	102,0	150		16	2				450,50	16000	
18,00	22,0	45,0	93		18	2	295,70	18000	295,70	18000		
20,00	25,0	43,0	93		20	2	356,40	20000	356,40	20000		
20,00	40,0	100,0	150		20	2				550,40	20000	

P	●	●	●
M	○	○	○
K	●	●	●
N	○	○	○
S	○	○	○
H	○	○	○
O	○	○	○

⇒ v_c/f- Page 480-486

Fraises hémisphériques

- ▲ Précision du rayon: $\pm 0,005$ mm
- ▲ Pour $\varnothing DC \leq 5,0$ mm, tolérances angulaires sur α et $\beta: \pm 0,5^\circ$



52 714 ... 52 717 ...

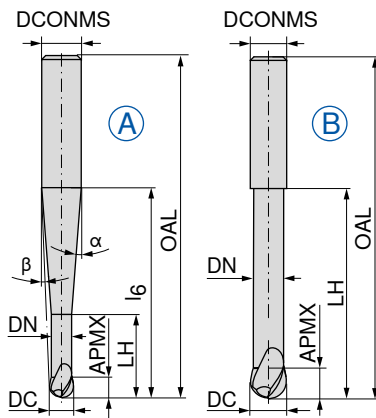
DC $\pm 0,01$ mm	APMX mm	DN mm	LH mm	I ₆ mm	OAL mm	α°	β°	DCONMS _{hs} mm	ZEFF	Version:	EUR V1	EUR V1
0,5	1,0	0,45	2,0	20	57	10	8,5	6	2	A	159,50	005
1,0	2,0	0,95	4,0	20	57	10	8	6	2	A	162,40	010
1,0	2,0	0,95	4,0	40	80	4,5	4	6	2	A	144,80	015
1,5	2,5	1,40	7,5	20	57	12,5	7	6	2	A	134,00	015
1,5	2,5	1,40	7,5	40	80	4,5	3,5	6	2	A	115,90	020
2,0	3,0	1,80	8,0	20	57	12	6,5	6	2	A	111,40	030
2,0	3,0	1,80	8,0	40	80	4	3	6	2	A	115,50	030
3,0	3,5	2,80	10,0	20	57	11,5	5	6	2	A	109,40	040
3,0	3,5	2,80	12,0	40	80	3,5	2,5	6	2	A	107,60	040
4,0	4,0	3,80	12,0	20	57	11	3,5	6	2	A	109,40	050
4,0	4,0	3,80	20,0	40	80	4	1,5	6	2	A	107,00	050
5,0	5,0	4,70	14,0	20	57	10	2	6	2	A	109,40	060
5,0	5,0	4,70	25,0	40	80	3	1	6	2	A	115,00	060
6,0	6,0	5,60	20,0		57			6	2	B	140,30	080
6,0	6,0	5,60	40,0		80			6	2	B	156,60	061
6,0	6,0	5,60	25,0	60	100	2	1	8	2	A	155,00	080
8,0	7,0	7,60	25,0		63			8	2	B	208,50	081
8,0	7,0	7,60	60,0		100			8	2	B	191,30	100
8,0	7,0	7,60	30,0	75	120	2	1	10	2	A	159,50	102
10,0	8,0	9,60	30,0		72			10	2	B	187,00	100
10,0	8,0	9,60	50,0		100			10	2	B	283,90	101
10,0	8,0	9,60	75,0		120			10	2	B	252,10	120
10,0	8,0	9,60	40,0	110	160	1	1	12	2	A	352,00	121
12,0	10,0	11,50	35,0		83			12	2	B	256,50	122
12,0	10,0	11,50	35,0	40	92	35	3,5	16	2	A	307,10	120
12,0	10,0	11,50	70,0		120			12	2	B	557,60	121
12,0	10,0	11,50	70,0		160			12	2	B	344,70	160
12,0	10,0	11,50	50,0	150	200	1,5	1	16	2	A	544,50	160
16,0	12,0	15,50	40,0		92			16	2	B		
16,0	12,0	15,50	80,0		200			16	2	B		

P	●	●
M	○	○
K	●	●
N	○	○
S	○	○
H	○	○
O	○	○

→ v_c/f_z Page 480–486

Fraises hémisphériques

- ▲ Précision du rayon: $\pm 0,01$ mm
- ▲ Pour $\varnothing \leq 5,0$ mm, tolérances angulaires sur α et β : $\pm 0,5^\circ$



Norme usine



52 320 ...

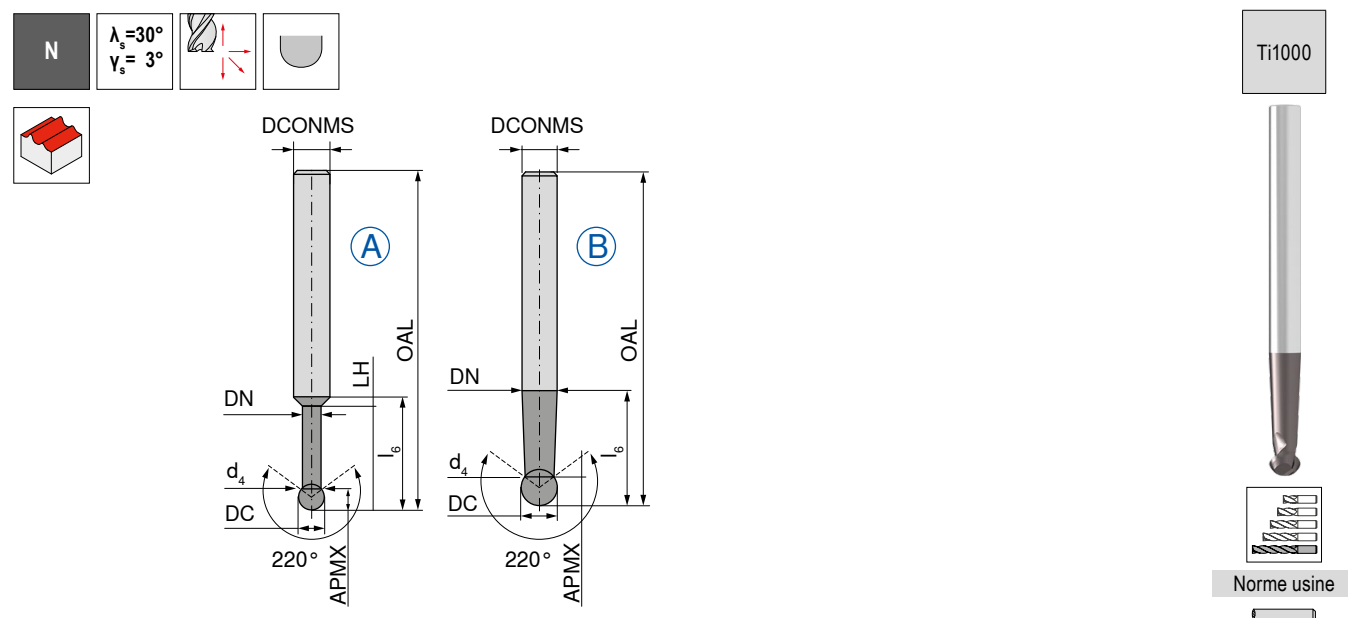
EUR
V1

DC _{ø8} mm	APMX mm	DN mm	LH mm	I ₆ mm	OAL mm	α°	β°	DCONMS _{ø6} mm	ZEFF	Ver- sion :	
2	3	1,8	8	40	100	3,6	3	6	2	A	95,60 020
3	4	2,8	12	40	100	3,1	2,1	6	2	A	95,60 030
4	5	3,8	16	40	100	2,4	1,2	6	2	A	94,16 040
5	6	4,7	20	40	100	1,4	0,7	6	2	A	92,72 050
6	6	5,7	25	50	100	2,3	1,2	8	2	A	127,80 061
6	6	5,7	25		100			6	2	B	79,53 060
8	7	7,7	32		100			8	2	B	118,50 080
8	7	7,7	32	60	120	2	1	10	2	A	176,70 081
10	9	9,6	40	81	160	1,4	0,7	12	2	A	286,90 101
10	9	9,6	40		120			10	2	B	169,60 100
12	11	11,6	50		160			12	2	B	262,20 120
12	11	11,6	50	101	200	2,3	1,2	16	2	A	496,80 121
16	14	15,6	60		200			16	2	B	447,60 160

P	●
M	○
K	●
N	○
S	○
H	
O	○

→ v_c/f_z Page 480–486

Fraises hémisphériques de 220°

▲ Précision du rayon: $\pm 0,005$ mm

52 323 ...

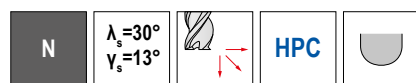
DC l_6 mm	APMX	DN mm	d ₄ mm	LH mm	l_6 mm	OAL mm	DCONMS h_6 mm	ZEFP	Version :	EUR V1
1,0	0,7	0,80	0,8	5	17	58	6	2	A	143,20 010
1,5	1,2	1,20	1,2	8	20	58	6	2	A	143,20 015
2,0	1,5	1,40	1,4	10	21	58	6	2	A	143,20 020
3,0	2,3	2,40	2,4	15	22	65	6	2	A	144,30 030
4,0	3,0	3,40	3,4	20	25	70	6	2	A	147,70 040
5,0	3,5	4,30	4,3	25	28	80	6	2	A	155,00 050
6,0	4,0	5,90	5,3	30	30	100	6	2	A	176,70 060
8,0	6,5	7,90	6,2		40	100	8	2	B	236,10 080
10,0	8,2	9,90	7,6		50	100	10	2	B	310,10 100
12,0	9,9	11,90	9,2		110	160	12	2	B	405,60 121
12,0	9,9	11,90	9,2		70	120	12	2	B	382,50 120

P	●
M	○
K	●
N	○
S	○
H	○
O	○

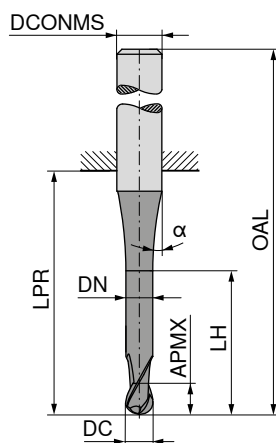
→ v_c/f_z Page 480–486

Fraises hémisphériques

▲ Précision du rayon: $\pm 0,01$ mm



Ti1000



≈DIN 6527

54 073 ...

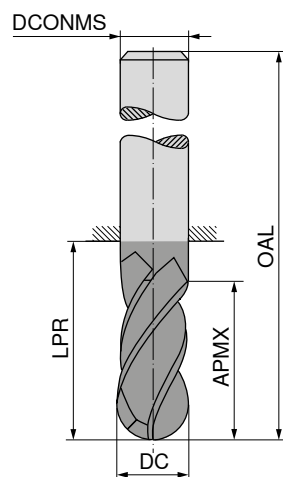
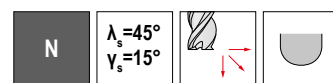
DC _{h10} mm	APMX mm	DN mm	LH mm	LPR mm	OAL mm	DCONMS _{h6} mm	α°	ZEFP	EUR V3/5C
3	5	2,9	9	14	50	6	15	2	22,58 03115
4	8	3,9	12	18	54	6	45	2	22,58 04120
5	9	4,9	15	18	54	6	45	2	22,58 05125
6	10	5,9	17	18	54	6	45	2	23,55 06130
8	12	7,8	20	22	58	8	45	2	30,93 08140
10	14	9,8	26	26	66	10	45	2	38,66 10150
12	16	11,8	28	28	73	12	45	2	56,41 12160
16	22	15,7	32	34	82	16	45	2	92,16 16180
20	26	19,7	40	42	92	20	45	2	131,60 20110

P	●
M	○
K	●
N	●
S	○
H	
O	

→ v_c/f_z Page 476+477

Fraises hémisphériques

▲ Précision du rayon: $\pm 0,005$ mm



Norme usine

Norme usine

52 400 ...

52 402 ...

EUR
V1
64,90
030

EUR
V1
78,07
030

65,90
040

88,94
040

67,80
050

90,54
050

71,42
060

92,72
060

88,37
080

117,80
080

120,10
100

149,30
100

152,20
120

194,30
120

189,80
140

237,60
140

249,20
160

356,40
160

382,50
200

524,60
200

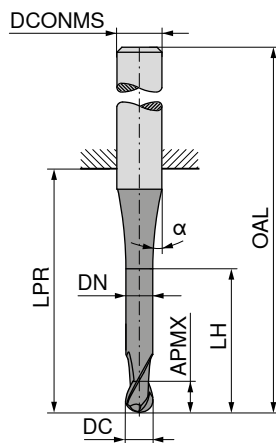
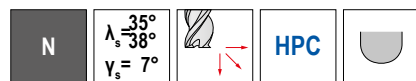
DC ₁₈ mm	APMX mm	LPR mm	OAL mm	DCONMS ₁₆ mm	ZEFF
3	5	22	50	3	4
3	5	47	75	3	4
4	8	26	54	4	4
4	8	47	75	4	4
5	9	26	54	5	4
5	9	47	75	5	4
6	10	18	54	6	4
6	10	64	100	6	4
8	12	23	59	8	4
8	12	64	100	8	4
10	14	27	67	10	4
10	14	60	100	10	4
12	16	29	74	12	4
12	16	55	100	12	4
14	18	30	75	14	4
14	18	55	100	14	4
16	22	35	83	16	4
16	22	102	150	16	4
20	26	43	93	20	4
20	26	100	150	20	4

P	○	○
M	●	●
K	○	○
N	●	●
S	●	●
H		
O	●	●

→ v_c/f_z Page 480–486

Fraises hémisphériques

▲ Précision du rayon: $\pm 0,01$ mm



≈DIN 6527

≈DIN 6527

54 074 ...

54 074 ...

EUR
V3/5C

EUR
V3/5C

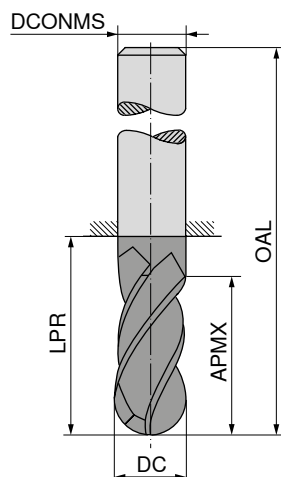
DC _{h10} mm	APMX mm	DN mm	LH mm	LPR mm	OAL mm	DCONMS _{h6} mm	α°	ZEFP
3	8			21	57	6	30	4
3	8	2,9	15	21	57	6	45	4
4	11			21	57	6	30	4
4	11	3,9	16	21	57	6	45	4
5	13			21	57	6	30	4
5	13	4,9	19	21	57	6	45	4
6	13			21	57	6	30	4
6	13	5,9	19	21	57	6	45	4
8	19			36	72	8	30	4
8	19	7,8	25	27	72	8	45	4
10	22			32	72	10	30	4
10	22	9,7	30	32	72	10	45	4
12	26			38	83	12	30	4
12	26	11,7	36	38	83	12	45	4
16	32			44	92	16	30	4
16	32	15,5	42	44	92	16	45	4
20	38			54	104	20	30	4
20	38	19,5	52	54	104	20	45	4

P	●	●
M	●	●
K	●	●
N	○	○
S		
H		
O		

→ v_c/f_z Page 478+479

Fraises hémisphériques

▲ Précision du rayon: $\pm 0,01$ mm



DIN 6527

DIN 6527

50 643 ...**50 643 ...**EUR
V0/5AEUR
V0/5A

67,80 030

82,28 061

67,80 040

91,13 081

67,80 060

120,70 100

75,61 080

152,20 101

120,70 120

157,80 120

120,70 140

201,40 121

120,70 160

305,50 122

120,70 140

197,00 141

120,70 160

269,50 141

120,70 200

372,40 161

120,70 200

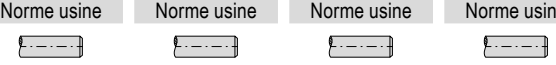
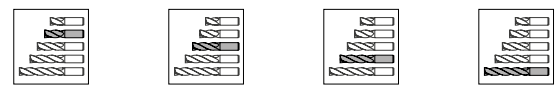
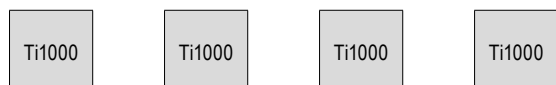
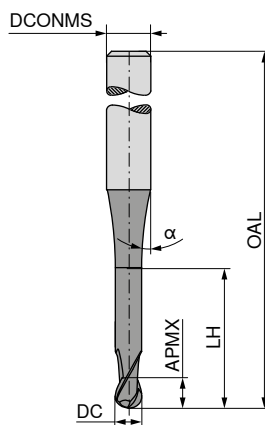
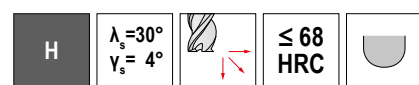
585,30 201

DC _{IS} mm	APMX mm	LPR mm	OAL mm	DCONMS _{IS} mm	ZEFP
3	8	21	57	6	4
4	11	21	57	6	4
6	13	21	57	6	4
6	40	64	100	6	4
8	19	27	63	8	4
8	40	64	100	8	4
10	22	32	72	10	4
10	40	60	100	10	4
12	26	38	83	12	4
12	45	55	100	12	4
12	75	105	150	12	4
14	26	38	83	14	4
14	45	55	100	14	4
16	32	44	92	16	4
16	75	102	150	16	4
20	38	54	104	20	4
20	75	100	150	20	4

P	●	●
M	○	○
K	●	●
N	○	○
S	○	○
H	○	○
O	○	○

→ v_c/f_z Page 480–486

Fraises hémisphériques

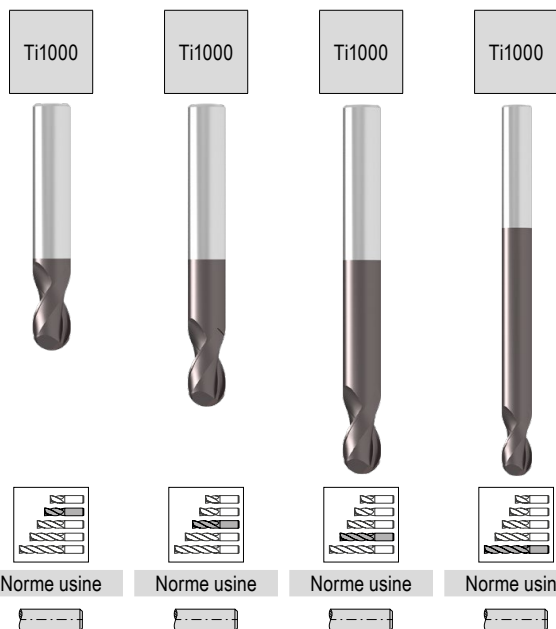
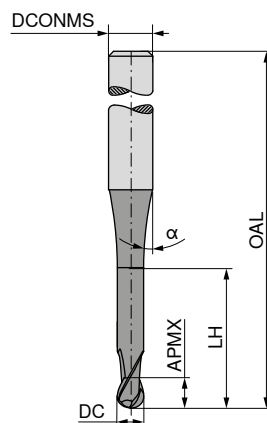
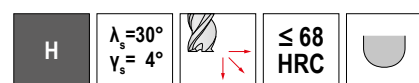
▲ Précision du rayon : $\pm 0,005$ mm

50 906 ...								50 906 ...								50 906 ...								50 906 ...										
DC mm	DC Tol. mm	APMX mm	LH mm	OAL mm	α°	DCONMS ns	ZEFF	EUR V0/5A	EUR V0/5A	EUR V0/5A	EUR V0/5A	002	925	003	935	004	005	951	006	007	008	009	010	011	92,72	112	114	115	96,77	100,70	013	014		
0,20	0/-0,015	0,3	0,6	40	15	4	2	77,06																										
0,25	0/-0,015	0,3	0,6	40	15	4	2	77,06																										
0,30	0/-0,015	0,3	0,6	40	15	4	2	77,06																										
0,35	0/-0,015	0,4	0,7	40	15	4	2	77,06																										
0,40	0/-0,015	0,4	0,7	40	15	4	2	77,06																										
0,50	0/-0,015	0,5	0,8	40	15	4	2	77,06																										
0,60	0/-0,015	0,6	0,9	40	15	4	2	77,06																										
0,70	0/-0,015	0,8	1,1	40	15	4	2	77,06																										
0,80	0/-0,015	0,8	1,1	40	15	4	2	77,06																										
0,90	0/-0,015	0,9	1,2	40	15	4	2	77,06																										
1,00	0/-0,015	1,0	1,3	54		4	2																											
1,00	0/-0,015	1,0	1,3	54	15	6	2	88,50																										
1,00	0/-0,015	1,0	1,3	64		6	2																											
1,00	0/-0,015	1,0	1,3	80		6	2																											
1,00	0/-0,015	1,0	1,3	100		6	2																											
1,20	0/-0,015	1,2	1,5	54		4	2																											
1,40	0/-0,015	1,4	1,8	54		4	2																											
1,50	0/-0,015	1,5	1,9	54		4	2																											
1,50	0/-0,015	1,5	1,9	54	15	6	2	88,50																										
1,50	0/-0,015	1,5	1,9	80		6	2																											
1,60	0/-0,015	1,8	2,3	54		4	2																											
1,80	0/-0,015	1,8	2,3	54		4	2																											
2,00	0/-0,015	2,0	2,5	54		4	2																											
2,00	0/-0,015	4,0	5,0	54		6	2																											
2,00	0/-0,015	4,0	5,0	64		6	2																											
2,00	0/-0,015	4,0	5,0	82		6	2																											
2,00	0/-0,015	4,0	5,0	100		6	2																											
3,00	0/-0,02	5,0	6,3	54		4	2																											
3,00	0/-0,02	5,0	6,3	82		4	2																											
3,00	0/-0,02	5,0	6,3	100		4	2																											
3,00	0/-0,02	5,0	6,3	54	15	6	2	88,50																										
3,00	0/-0,02	5,0	6,3	64		6	2																											
3,00	0/-0,02	5,0	6,3	82		6	2																											
3,00	0/-0,02	8,0	10,0	100		6	2																											
4,00	0/-0,02	8,0		54	15	4	2																											
4,00	0/-0,02	8,0	10,0	82	15	4	2																											
4,00	0/-0,02	8,0	10,0	100	15	4	2																											
4,00	0/-0,02	8,0	10,0	100		4	2																											

P	●	●	●	●
M	○	○	○	○
K	●	●	●	●
N	○	○	○	○
S	○	○	○	○
H	○	○	○	○
O	○	○	○	○

→ v_c/f_z Page 480–486

Fraises hémisphériques

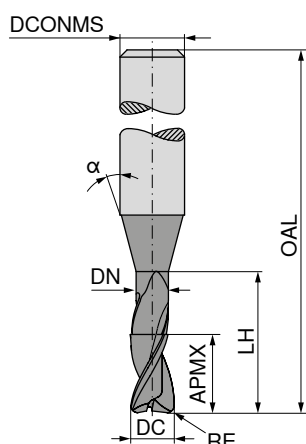
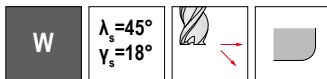
▲ Précision du rayon : $\pm 0,005$ mm

DC mm	DC Tol. mm	APMX mm	LH mm	OAL mm	α°	DCONMS mm	ZEFP	50 906 ... EUR V0/5A	50 906 ... EUR V0/5A	50 906 ... EUR V0/5A	50 906 ... EUR V0/5A
4,00	0/-0,02	8,0	10,0	54	15	6	2	77,06	045	92,72	046
4,00	0/-0,02	8,0	10,0	64		6	2			96,77 100,70	047 048
4,00	0/-0,02	8,0	10,0	82		6	2			77,06 92,72	050 051
4,00	0/-0,02	8,0	10,0	100		6	2			96,77 100,70	052 053
5,00	0/-0,02	9,0		54	15	5	2			77,06 92,72	055
5,00	0/-0,02	9,0		64	15	5	2			92,72	056
5,00	0/-0,02	9,0	11,3	82	15	5	2			96,77 100,70	057 058
5,00	0/-0,02	9,0	11,3	100	15	5	2			96,77 100,70	059
5,00	0/-0,02	9,0	11,3	54	15	6	2	77,06	060	92,72	061
5,00	0/-0,02	9,0	11,3	64	15	6	2			96,77 100,70	062 063
5,00	0/-0,02	9,0	11,3	82		6	2			105,50	064
5,00	0/-0,02	9,0	11,3	100		6	2			142,10	065
6,00	0/-0,02	10,0		54	15	6	2	77,06	066	107,80	082
6,00	0/-0,02	10,0		64	15	6	2			84,33	081
6,00	0/-0,02	10,0		82	15	6	2			105,50	083
6,00	0/-0,02	10,0		100	15	6	2			142,10	084
6,00	0/-0,02	10,0		120	15	6	2			142,10	101
8,00	0/-0,025	12,0		64	15	8	2			153,50	121
8,00	0/-0,025	12,0		82	15	8	2			230,30	122
8,00	0/-0,025	12,0		100	15	8	2			189,80	141
8,00	0/-0,025	12,0		120	15	8	2			281,00	142
10,00	0/-0,025	14,0		67	15	10	2	105,50	101	142,10	102
10,00	0/-0,025	14,0		82	15	10	2			176,70 215,80	103 104
10,00	0/-0,025	14,0		100	15	10	2			153,50	121
10,00	0/-0,025	14,0		127	15	10	2			230,30	122
12,00	0/-0,025	16,0		75	15	12	2			189,80	141
12,00	0/-0,025	16,0		100	15	12	2			281,00	142
12,00	0/-0,025	16,0		150	15	12	2			224,70	161
14,00	0/-0,025	18,0		80	15	14	2			366,40	143
14,00	0/-0,025	18,0		100	15	14	2			372,40	201
14,00	0/-0,025	18,0		150	15	14	2			494,10	163
16,00	0/-0,025	22,0		85	15	16	2			653,40	203
16,00	0/-0,025	22,0		150	15	16	2				
20,00	0/-0,025	26,0		90	15	20	2				
20,00	0/-0,025	26,0		150	15	20	2				

P	●	●	●	●
M	○	○	○	○
K	●	●	●	●
N	○	○	○	○
S	○	○	○	○
H	○	○	○	○
O	○	○	○	○

→ v_c/f_z Page 480–486

Fraises toriques



Norme usine

Norme usine

50 901 ...

50 901 ...

EUR V0/5A

EUR V0/5A

99,08 021

100,10 022

101,00 023

102,60 024

99,08 031

100,10 032

101,00 033

102,60 034

99,08 041

100,10 042

101,00 043

102,60 044

96,93 051

97,77 052

99,08 053

100,10 054

83,42 061

83,42 062

81,12 063

96,03 064

93,86 065

81,12 081

81,12 082

90,24 083

93,86 084

81,12 101

81,12 102

85,74 103

93,86 104

96,03 105

81,12 121

81,12 122

90,24 123

93,86 124

81,12 131

83,42 132

90,24 133

96,03 134

83,42 151

81,12 152

96,03 153

93,86 154

83,42 161

83,42 162

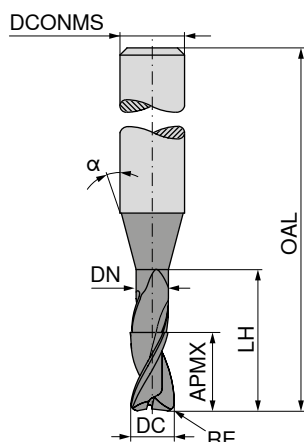
90,24 163

DC ₁₈ mm	RE _{0,015} mm	APMX mm	DN mm	LH mm	OAL mm	α°	DCONMS ₁₅ mm	ZEFP
0,2	0,02	0,2	0,18	0,6	55	15	3	2
0,2	0,02	0,2	0,18	1,0	55	15	3	2
0,2	0,02	0,2	0,18	1,6	55	15	3	2
0,2	0,02	0,2	0,18	2,0	55	15	3	2
0,3	0,03	0,3	0,28	0,9	55	15	3	2
0,3	0,03	0,3	0,28	1,5	55	15	3	2
0,3	0,03	0,3	0,28	2,4	55	15	3	2
0,3	0,03	0,3	0,28	3,0	55	15	3	2
0,4	0,04	0,4	0,37	1,2	55	15	3	2
0,4	0,04	0,4	0,37	2,0	55	15	3	2
0,4	0,04	0,4	0,37	3,2	55	15	3	2
0,4	0,04	0,4	0,37	4,0	55	15	3	2
0,5	0,05	0,5	0,45	1,5	55	15	3	2
0,5	0,05	0,5	0,45	2,5	55	15	3	2
0,5	0,05	0,5	0,45	4,0	55	15	3	2
0,5	0,05	0,5	0,45	5,0	55	15	3	2
0,6	0,06	0,6	0,58	2,0	55	15	3	2
0,6	0,06	0,6	0,58	3,0	55	15	3	2
0,6	0,06	0,6	0,58	4,2	55	15	3	2
0,6	0,06	0,6	0,58	5,0	65	15	3	2
0,6	0,06	0,6	0,58	6,0	65	15	3	2
0,8	0,08	0,8	0,77	2,5	55	15	3	2
0,8	0,08	0,8	0,77	4,0	55	15	3	2
0,8	0,08	0,8	0,77	6,5	65	15	3	2
0,8	0,08	0,8	0,77	8,0	65	15	3	2
1,0	0,10	1,0	0,95	3,0	55	15	3	2
1,0	0,10	1,0	0,95	5,0	55	15	3	2
1,0	0,10	1,0	0,95	8,0	65	15	3	2
1,0	0,10	1,0	0,95	10,0	65	15	3	2
1,0	0,10	1,0	0,95	12,0	65	15	3	2
1,2	0,12	1,2	1,15	3,0	55	15	3	2
1,2	0,12	1,2	1,15	6,0	55	15	3	2
1,2	0,12	1,2	1,15	10,0	65	15	3	2
1,2	0,12	1,2	1,15	12,0	65	15	3	2
1,3	0,13	1,3	1,25	4,0	55	15	3	2
1,3	0,13	1,3	1,25	7,0	55	15	3	2
1,3	0,13	1,3	1,25	11,0	65	15	3	2
1,3	0,13	1,3	1,25	13,0	65	15	3	2
1,5	0,15	1,5	1,44	5,0	55	15	3	2
1,5	0,15	1,5	1,44	7,5	55	15	3	2
1,5	0,15	1,5	1,44	12,0	65	15	3	2
1,5	0,15	1,5	1,44	15,0	65	15	3	2
1,6	0,16	1,6	1,52	5,0	55	15	3	2
1,6	0,16	1,6	1,52	8,0	55	15	3	2
1,6	0,16	1,6	1,52	13,0	65	15	3	2

P								
M								
K								
N							●	●
S								
H								
O								

→ v_c/f_z Page 480–486

Fraises toriques



50 901 ...

50 901 ...

EUR
V0/5AEUR
V0/5A81,12
83,4296,03
96,03181
182164
183201
20290,24
96,03

203

184
204231
23296,03
93,86

233

205
234234
23596,03
96,03

236

235
236301
302104,20
108,70303
304303
304401
402108,70
111,80501
502403
404503
504111,80
117,50

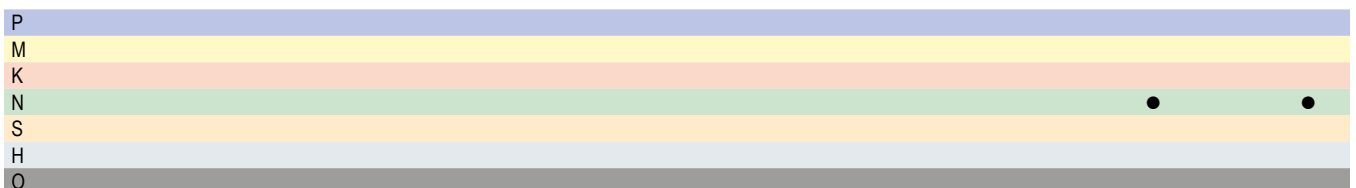
601

503
504602
603108,70
117,50

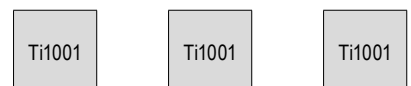
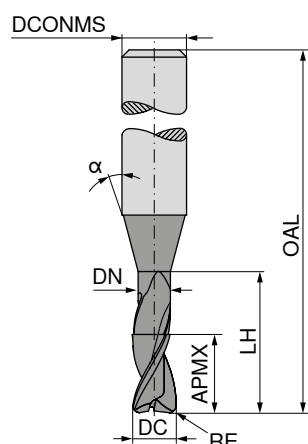
604

121,10

DC ₁₈ mm	RE _{0,015} mm	APMX mm	DN mm	LH mm	OAL mm	α°	DCONMS ₁₅ mm	ZEFP
1,6	0,16	1,6	1,52	16,0	65	15	3	2
1,8	0,18	1,8	1,72	5,5	55	15	3	2
1,8	0,18	1,8	1,72	9,0	55	15	3	2
1,8	0,18	1,8	1,72	14,5	65	15	3	2
1,8	0,18	1,8	1,72	18,0	65	15	3	2
2,0	0,20	2,0	1,92	6,0	55	15	3	2
2,0	0,20	2,0	1,92	10,0	55	15	3	2
2,0	0,20	2,0	1,92	14,0	55	15	3	2
2,0	0,20	2,0	1,92	16,0	65	15	3	2
2,0	0,20	2,0	1,92	20,0	65	15	3	2
2,3	0,23	2,3	2,22	7,0	55	15	3	2
2,3	0,23	2,3	2,22	11,5	55	15	3	2
2,3	0,23	2,3	2,22	14,0	55	15	3	2
2,3	0,23	2,3	2,22	18,5	65	15	3	2
2,3	0,23	2,3	2,22	20,0	65	15	3	2
2,3	0,23	2,3	2,22	23,0	65	15	3	2
3,0	0,30	3,0	2,90	9,0	65	15	6	2
3,0	0,30	3,0	2,90	15,0	65	15	6	2
3,0	0,30	3,0	2,90	24,0	100	15	6	2
3,0	0,30	3,0	2,90	30,0	100	15	6	2
4,0	0,40	4,0	3,90	12,0	65	15	6	2
4,0	0,40	4,0	3,90	20,0	65	15	6	2
4,0	0,40	4,0	3,90	32,0	100	15	6	2
4,0	0,40	4,0	3,90	40,0	100	15	6	2
5,0	0,50	5,0	4,90	15,0	65	15	6	2
5,0	0,50	5,0	4,90	25,0	65	15	6	2
5,0	0,50	5,0	4,90	40,0	100	15	6	2
5,0	0,50	5,0	4,90	50,0	100	15	6	2
6,0	0,60	6,0	5,90	18,0	65	15	6	2
6,0	0,60	6,0	5,90	30,0	100	15	6	2
6,0	0,60	6,0	5,90	48,0	100	15	6	2
6,0	0,60	6,0	5,90	60,0	100	15	6	2

→ v_c/f_z Page 480–486

Fraises toriques



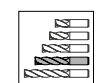
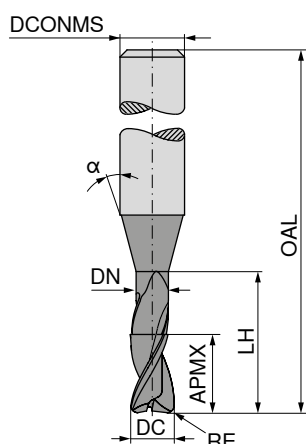
Norme usine Norme usine Norme usine

	50 902 ...	EUR V0/5A	50 902 ...	EUR V0/5A	50 902 ...	EUR V0/5A						
DC ₁₈ mm	RE _{±0,05} mm	APMX mm	DN mm	LH mm	OAL mm	α°	DCONMS ₁₅ mm	ZEFP				
2	0,3	2	1,8	12	50	45	6	2		87,06	020	
2	0,5	2	1,8	12	50	45	6	2		87,06	023	
2	0,3	2	1,8	22	60	45	6	2		87,06	021	
2	0,5	2	1,8	22	60	45	6	2		87,06	024	
2	0,3	2	1,8	47	85	45	6	2		126,40	022	
2	0,5	2	1,8	47	85	45	6	2		126,40	025	
3	0,3	2	2,8	12	50	45	6	2		87,06	030	
3	0,5	2	2,8	12	50	45	6	2		87,06	033	
3	0,3	2	2,8	22	60	45	6	2		87,06	031	
3	0,5	2	2,8	22	60	45	6	2		87,06	034	
3	0,3	2	2,8	47	85	45	6	2		126,40	032	
3	0,5	2	2,8	47	85	45	6	2		126,40	035	
4	0,3	3	3,8	16	54	45	6	2		87,06	040	
4	0,5	3	3,8	16	54	45	6	2		87,06	043	
4	1,0	3	3,8	16	54	45	6	2		87,06	046	
4	0,3	3	3,8	37	75	45	6	2		121,10	041	
4	0,5	3	3,8	37	75	45	6	2		121,10	044	
4	1,0	3	3,8	37	75	45	6	2		121,10	047	
4	0,3	3	3,8	47	85	45	6	2		126,40	042	
4	0,5	3	3,8	47	85	45	6	2		126,40	045	
4	1,0	3	3,8	47	85	45	6	2		126,40	048	
5	0,5	3	4,6	16	54	45	6	2		87,06	050	
5	1,0	3	4,6	16	54	45	6	2		87,06	052	
5	1,5	3	4,6	16	54	45	6	2		87,06	054	
5	0,5	3	4,6	37	75	45	6	2		121,10	051	
5	1,0	2	4,6	37	75	45	6	2		121,10	053	
5	1,5	3	4,6	37	75	45	6	2		121,10	055	
6	0,5	4	5,6	16	54	45	6	2		87,06	060	
6	1,0	4	5,6	16	54	45	6	2		87,06	063	
6	2,0	4	5,6	16	54	45	6	2		87,06	066	
6	0,5	4	5,6	47	85	45	6	2		121,10	061	
6	1,0	4	5,6	47	85	45	6	2		121,10	064	
6	2,0	4	5,6	47	85	45	6	2		121,10	067	
6	0,5	4	5,6	47	85	45	8	2		163,70	069	
6	1,0	4	5,6	47	85	45	8	2		163,70	070	
6	2,0	4	5,6	47	85	45	8	2		163,70	071	
6	0,5	4	5,6	62	100	45	6	2		140,60	062	
6	1,0	4	5,6	62	100	45	6	2		140,60	065	
6	2,0	4	5,6	62	100	45	6	2		140,60	068	
8	0,5	4	7,6	20	58	45	8	2		105,80	080	

P						
M						
K						
N					●	
S					●	
H					●	
O						

→ v_c/f_z Page 480–486

Fraises toriques



Norme usine

Norme usine

Norme usine

50 902 ...

50 902 ...

50 902 ...

EUR
V0/5AEUR
V0/5AEUR
V0/5A

082

084

081

105,80

105,80

165,20

082

084

165,20

132,10

100

165,20

100

103

165,20

132,10

106

165,20

227,60

101

227,60

227,60

104

227,60

227,60

107

227,60

266,50

102

266,50

266,50

105

266,50

266,50

108

347,70

347,70

109

347,70

347,70

110

347,70

347,70

111

347,70

194,30

120

102

194,30

123

105

194,30

126

108

289,80

121

109

289,80

124

110

289,80

127

111

347,70

122

122

347,70

125

125

347,70

128

128

347,70

131

131

704,00

132

132

704,00

133

133

704,00

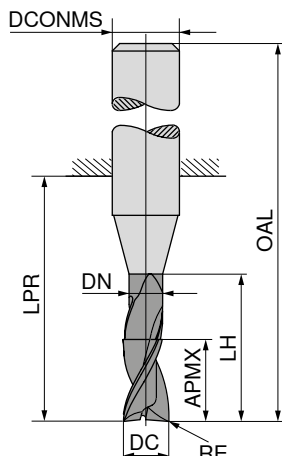
134

134

P			
M			
K			
N			●
S			●
H			●
O			●

→ v_r/f_z Page 480–486

Fraises toriques



Norme usine



52 765 ...

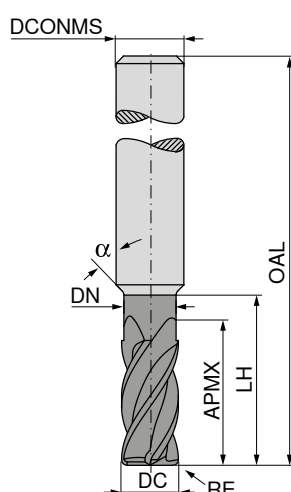
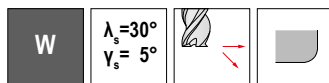
DC _{h10} mm	RE mm	APMX mm	DN mm	LH mm	LPR mm	OAL mm	DCONMS _{h6} mm	ZEFFP
2	0,3	8	1,8	31	32	60	2	2
3	0,5	12	2,8	41	42	70	3	2
4	0,5	15	3,8	51	52	80	4	2
5	0,5	20	4,8	71	72	100	5	2
6	0,8	20	5,8	63	64	100	6	2
8	1,0	20	7,8	83	84	120	8	2
10	1,0	25	9,8	99	100	140	10	2
12	1,5	25	11,8	104	105	150	12	2

EUR	
V1	
194,30	021
204,40	032
255,00	042
292,50	052
320,20	063
424,50	084
539,00	104
714,20	125

P								
M								
K								
N								●
S								
H								
O								●

→ v_c/f_z Page 418

Fraises toriques



Norme usine

Norme usine

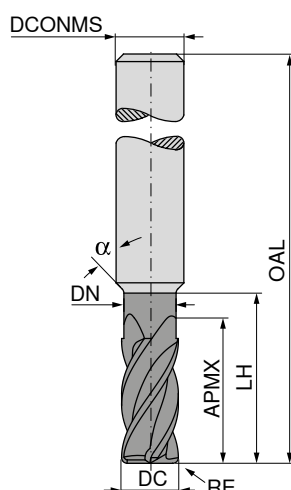
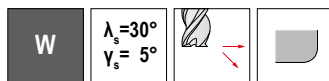
DC _{f8} mm	RE _{±0,05} mm	APMX mm	DN mm	LH mm	OAL mm	α°	DCONMS _{h5} mm	ZEFP	EUR V0/5A		EUR V0/5A
4	0,5	8	3,8	12	54	45	6	4	175,30	040	
4	1,0	8	3,8	12	54	45	6	4	175,30	041	
4	0,5	10	3,8	37	75	45	6	4			210,20 042
4	1,0	10	3,8	37	75	45	6	4			210,20 043
5	0,5	9	4,8	16	54	45	6	4	175,30	050	
5	1,0	9	4,8	16	54	45	6	4	175,30	051	
5	1,5	9	4,8	16	54	45	6	4	175,30	052	
5	0,5	12	4,8	37	75	45	6	4			210,20 053
5	1,0	12	4,8	37	75	45	6	4			210,20 054
5	1,5	12	4,8	37	75	45	6	4			210,20 055
6	0,5	10	5,6	16	54	45	6	4	175,30	060	
6	1,0	10	5,6	16	54	45	6	4	175,30	061	
6	1,5	10	5,6	16	54	45	6	4	175,30	062	
6	2,0	10	5,6	16	54	45	6	4	175,30	063	
6	0,5	12	5,6	62	100	45	6	4			231,70 064
6	1,0	12	5,6	62	100	45	6	4			231,70 065
6	1,5	12	5,6	62	100	45	6	4			231,70 066
6	2,0	12	5,6	62	100	45	6	4			231,70 067
7	0,5	11	6,6	20	58	45	8	4	231,70	070	
7	1,0	11	6,6	20	58	45	8	4	231,70	071	
7	1,5	11	6,6	20	58	45	8	4	231,70	072	
7	2,0	11	6,6	20	58	45	8	4	231,70	073	
7	0,5	14	6,6	62	100	45	8	4			292,50 074
7	1,0	14	6,6	62	100	45	8	4			292,50 075
7	1,5	14	6,6	62	100	45	8	4			292,50 076
7	2,0	14	6,6	62	100	45	8	4			292,50 077
8	0,5	12	7,6	20	58	45	8	4	231,70	080	
8	1,0	12	7,6	20	58	45	8	4	231,70	081	
8	1,5	12	7,6	20	58	45	8	4	231,70	086	
8	2,0	12	7,6	20	58	45	8	4	231,70	083	
8	0,5	14	7,6	62	100	45	8	4			292,50 084
8	1,0	14	7,6	62	100	45	8	4			292,50 085
8	1,5	14	7,6	62	100	45	8	4			292,50 082
8	2,0	14	7,6	62	100	45	8	4			292,50 087
10	0,5	14	9,6	24	66	45	10	4	294,20	100	
10	1,0	14	9,6	24	66	45	10	4	294,20	101	
10	1,5	14	9,6	24	66	45	10	4	294,20	107	
10	2,0	14	9,6	24	66	45	10	4	294,20	103	
10	3,0	14	9,6	24	66	45	10	4	294,20	104	
10	0,5	18	9,6	58	100	45	10	4			383,80 105
10	1,0	18	9,6	58	100	45	10	4			383,80 106

A horizontal bar chart with seven categories on the y-axis: P, M, K, N, S, H, and O. The x-axis ranges from 0 to 50. The bars are colored blue, orange, green, yellow, red, purple, and grey respectively. The bars extend to the following approximate values on the x-axis:

Category	Approximate Value
P	0
M	10
K	20
N	35
S	40
H	45
O	50

→ v_c/f_z Page 418

Fraises toriques



Norme usine

Norme usine

50 911 ...

50 911 ...

EUR
V0/5AEUR
V0/5A

383,80	102
383,80	108
383,80	109

388,30	120
388,30	121
388,30	127
388,30	123
388,30	124

488,20	125
488,20	126
488,20	122
488,20	128
488,20	129

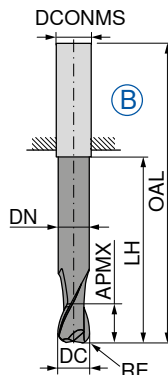
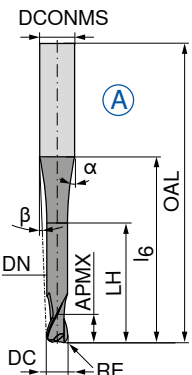
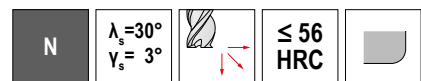
DC _{fb} mm	RE _{±0,05} mm	APMX mm	DN mm	LH mm	OAL mm	α°	DCONMS _{hs} mm	ZEFF
10	1,5	18	9,6	58	100	45	10	4
10	2,0	18	9,6	58	100	45	10	4
10	3,0	18	9,6	58	100	45	10	4
12	0,5	16	11,5	26	73	45	12	4
12	1,0	16	11,5	26	73	45	12	4
12	1,5	16	11,5	26	73	45	12	4
12	2,0	16	11,5	26	73	45	12	4
12	4,0	16	11,5	26	73	45	12	4
12	0,5	22	11,5	53	100	45	12	4
12	1,0	22	11,5	53	100	45	12	4
12	1,5	22	11,5	53	100	45	12	4
12	2,0	22	11,5	53	100	45	12	4
12	4,0	22	11,5	53	100	45	12	4

P								
M								
K								
N						•		•
S								
H						•		•
O								

→ v_c/f_z Page 418

Fraises toriques

- ▲ Précision du rayon: $\pm 0,005$ mm
- ▲ Pour $\varnothing \leq 5,0$ mm, tolérances angulaires sur α et $\beta: \pm 0,5^\circ$



52 730 ...

52 734 ...

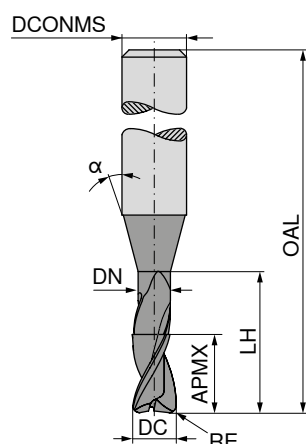
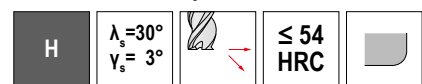
EUR
V1EUR
V1

DC $\pm 0,01$ mm	RE $\pm 0,005$ mm	APMX mm	DN mm	LH mm	I ₆ mm	OAL mm	α°	β°	DCONMS _{h5} mm	ZEFP	Ver- sion:
0,5	0,10	1,0	0,45	2,0	20	57	10	8,5	6	2	A
1,0	0,25	2,0	0,95	4,0	20	57	10	8	6	2	A
1,0	0,25	2,0	0,95	4,0	40	80	4,5	4	6	2	A
1,5	0,30	2,5	1,40	7,5	20	57	12,5	7	6	2	A
1,5	0,30	2,5	1,40	7,5	40	80	4,5	3,5	6	2	A
2,0	0,50	3,0	1,80	8,0	20	57	12	6,5	6	2	A
2,0	0,50	3,0	1,80	8,0	40	80	4	3	6	2	A
3,0	0,50	3,5	2,80	10,0	20	57	11,5	5	6	2	A
3,0	0,50	3,5	2,80	12,0	40	80	3,5	2,5	6	2	A
4,0	0,50	4,0	3,80	12,0	20	57	11	3,5	6	2	A
4,0	0,50	4,0	3,80	20,0	40	80	4	1,5	6	2	A
4,0	1,00	4,0	3,80	12,0	20	57	11	3,5	6	2	A
4,0	1,00	4,0	3,80	20,0	40	80	4	1,5	6	2	A
5,0	1,00	5,0	4,70	14,0	20	57	10	2	6	2	A
5,0	1,00	5,0	4,70	25,0	40	80	3	1	6	2	A
5,0	1,50	5,0	4,70	14,0	20	57	10	2	6	2	A
5,0	1,50	5,0	4,70	25,0	40	80	3	1	6	2	A
6,0	1,00	6,0	5,60	20,0		57			6	2	B
6,0	1,00	6,0	5,60	40,0		80			6	2	B
6,0	2,00	6,0	5,60	20,0		57			6	2	B
6,0	2,00	6,0	5,60	40,0		80			6	2	B
6,0	2,00	6,0	5,60	25,0	60	100	2	1	8	2	A
8,0	1,00	7,0	7,60	25,0		63			8	2	B
8,0	1,00	7,0	7,60	60,0		100			8	2	B
8,0	2,00	7,0	7,60	25,0		63			8	2	B
8,0	2,00	7,0	7,60	60,0		100			8	2	B
8,0	2,00	7,0	7,60	30,0	75	120	2	1	10	2	A
8,0	2,50	7,0	7,60	60,0		100			8	2	B
10,0	1,50	8,0	9,60	30,0		72			10	2	B
10,0	1,50	8,0	9,60	75,0		120			10	2	B
10,0	2,50	8,0	9,60	75,0		120			10	2	B
10,0	3,00	8,0	9,60	30,0		72			10	2	B
10,0	3,00	8,0	9,60	50,0		100			10	2	B
10,0	3,00	8,0	9,60	75,0		120			10	2	B
10,0	3,00	8,0	9,60	40,0	110	160	1	0,5	12	2	A
12,0	1,50	10,0	11,50	35,0		83			12	2	B
12,0	1,50	10,0	11,50	70,0		160			12	2	B
12,0	4,00	10,0	11,50	35,0		83			12	2	B
12,0	4,00	10,0	11,50	35,0	40	92	37	3,5	16	2	A
12,0	4,00	10,0	11,50	70,0		160			12	2	B
12,0	4,00	10,0	11,50	50,0	150	200	1,5	1	16	2	A
16,0	5,00	12,0	15,50	40,0		92			16	2	B
16,0	5,00	12,0	15,50	80,0		200			16	2	B

P	●	●
M	○	○
K	●	●
N	○	○
S	○	○
H	○	○
O	○	○

→ v_c/f_z Page 480–486

Fraises toriques



Norme usine

Norme usine

50 649 ...

50 649 ...

EUR V0/5A

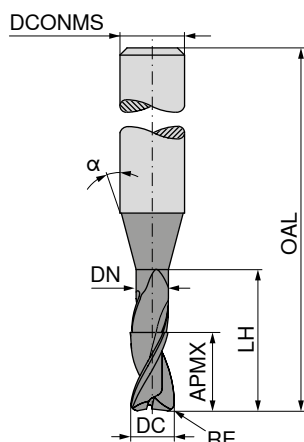
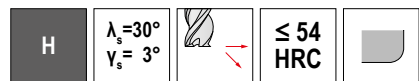
EUR V0/5A

DC _{r8} mm	RE _{0.015} mm	APMX mm	DN mm	LH mm	OAL mm	α°	DCONMS _{hs} mm	ZEFF
0,4	0,04	0,4	0,37	1,2	55	15	6	2
0,4	0,04	0,4	0,37	2,0	55	15	6	2
0,4	0,04	0,4	0,37	3,2	55	15	6	2
0,4	0,04	0,4	0,45	4,0	55	15	6	2
0,5	0,05	0,5	0,45	1,5	55	15	6	2
0,5	0,05	0,5	0,45	2,5	55	15	6	2
0,5	0,05	0,5	0,45	4,0	55	15	6	2
0,5	0,05	0,5	0,45	5,0	55	15	6	2
0,6	0,06	0,6	0,58	2,0	55	15	6	2
0,6	0,06	0,6	0,58	3,0	55	15	6	2
0,6	0,06	0,6	0,58	5,0	65	15	6	2
0,6	0,06	0,6	0,58	6,0	65	15	6	2
0,8	0,08	0,8	0,77	2,5	55	15	6	2
0,8	0,08	0,8	0,77	4,0	55	15	6	2
0,8	0,08	0,8	0,77	6,5	65	15	6	2
0,8	0,08	0,8	0,77	8,0	65	15	6	2
1,0	0,10	1,0	0,95	3,0	55	15	6	2
1,0	0,10	1,0	0,95	5,0	55	15	6	2
1,0	0,10	1,0	0,95	8,0	65	15	6	2
1,0	0,10	1,0	0,95	10,0	65	15	6	2
1,0	0,10	1,0	0,95	12,0	65	15	6	2
1,2	0,12	1,2	1,15	3,0	55	15	6	2
1,2	0,12	1,2	1,15	6,0	55	15	6	2
1,2	0,12	1,2	1,15	10,0	65	15	6	2
1,2	0,12	1,2	1,15	12,0	65	15	6	2
1,3	0,13	1,3	1,25	4,0	55	15	6	2
1,3	0,13	1,3	1,25	7,0	55	15	6	2
1,3	0,13	1,3	1,25	11,0	65	15	6	2
1,3	0,13	1,3	1,25	13,0	65	15	6	2
1,5	0,15	1,5	1,44	5,0	55	15	6	2
1,5	0,15	1,5	1,44	7,5	55	15	6	2
1,5	0,15	1,5	1,44	12,0	65	15	6	2
1,5	0,15	1,5	1,44	15,0	65	15	6	2
1,6	0,16	1,6	1,52	5,0	55	15	6	2
1,6	0,16	1,6	1,52	8,0	55	15	6	2
1,6	0,16	1,6	1,52	13,0	65	15	6	2
1,6	0,16	1,6	1,52	16,0	65	15	6	2
1,8	0,18	1,8	1,72	5,5	55	15	6	2
1,8	0,18	1,8	1,72	9,0	55	15	6	2
1,8	0,18	1,8	1,72	14,5	65	15	6	2

P	●	●
M	○	○
K	●	●
N	○	○
S	○	○
H	○	○
O	○	○

→ v_c/f_z Page 480-486

Fraises toriques



50 649 ...

50 649 ...

EUR
V0/5AEUR
V0/5A

96,03

96,03

201

184

81,12

96,03

202

021

83,42

96,03

020

204

83,42

96,03

231

021

85,74

96,03

232

233

96,03

96,03

301

234

96,03

302

104,20

303

108,70

304

96,03

401

96,03

402

108,70

403

111,80

404

96,03

501

96,03

502

111,80

503

117,50

504

96,03

601

108,70

602

117,50

603

121,10

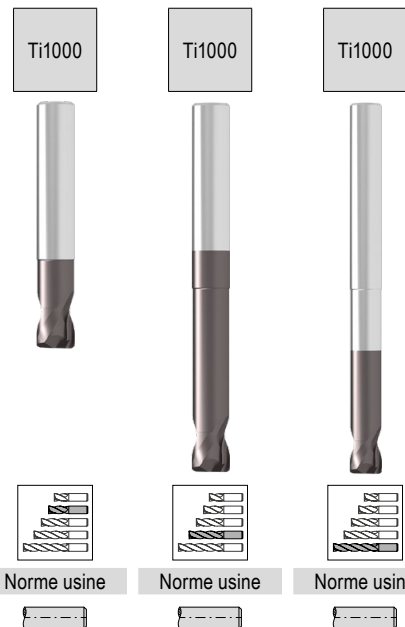
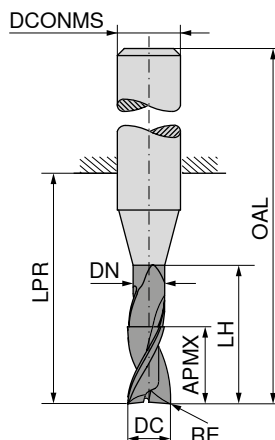
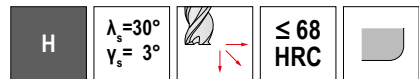
604

DC ₁₈ mm	RE _{.015} mm	APMX mm	DN mm	LH mm	OAL mm	α°	DCONMS _{hs} mm	ZEFF
1,8	0,18	1,8	1,72	18,0	65	15	6	2
2,0	0,20	2,0	1,92	6,0	55	15	6	2
2,0	0,20	2,0	1,92	10,0	55	15	6	2
2,0	0,20	2,0	1,92	14,0	55	15	6	2
2,0	0,20	2,0	1,92	16,0	65	15	6	2
2,0	0,20	2,0	1,92	20,0	65	15	6	2
2,3	0,23	2,3	2,22	7,0	55	15	6	2
2,3	0,23	2,3	2,22	11,5	55	15	6	2
2,3	0,23	2,3	2,22	18,5	65	15	6	2
2,3	0,23	2,3	2,22	23,0	65	15	6	2
3,0	0,30	3,0	2,90	9,0	65	15	6	2
3,0	0,30	3,0	2,90	15,0	65	15	6	2
3,0	0,30	3,0	2,90	24,0	100	15	6	2
3,0	0,30	3,0	2,90	30,0	100	15	6	2
4,0	0,40	4,0	3,90	12,0	65	15	6	2
4,0	0,40	4,0	3,90	20,0	65	15	6	2
4,0	0,40	4,0	3,90	32,0	100	15	6	2
4,0	0,40	4,0	3,90	40,0	100	15	6	2
5,0	0,50	5,0	4,90	15,0	65	15	6	2
5,0	0,50	5,0	4,90	25,0	65	15	6	2
5,0	0,50	5,0	4,90	40,0	100	15	6	2
5,0	0,50	5,0	4,90	50,0	100	15	6	2
6,0	0,60	6,0	5,90	18,0	65	15	6	2
6,0	0,60	6,0	5,90	30,0	100	15	6	2
6,0	0,60	6,0	5,90	48,0	100	15	6	2
6,0	0,60	6,0	5,90	60,0	100	15	6	2

P	●	●
M	○	○
K	●	●
N	○	○
S	○	○
H	○	○
O	○	○

→ v_c/f_z Page 480–486

Fraises toriques



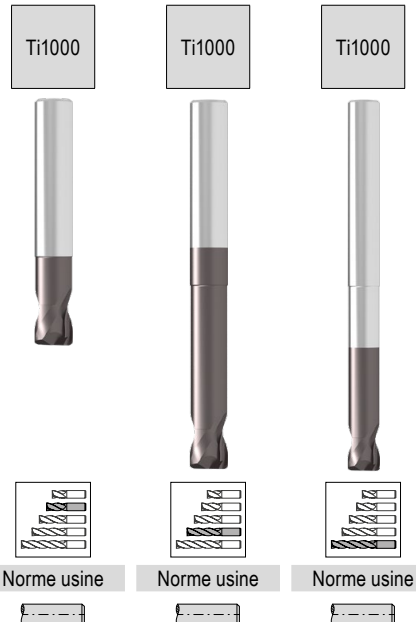
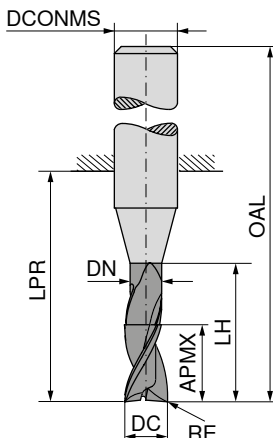
DC ₁₈ mm	RE _{±0,05} mm	APMX mm	DN mm	LH mm	LPR mm	OAL mm	DCONMS _{hs} mm	ZEFFP
2	0,3	2	1,8	7	14	50	6	2
2	0,5	2	1,8	7	14	50	6	2
2	0,3	2	1,8	7	24	60	6	2
2	0,5	2	1,8	7	24	60	6	2
2	0,3	2	1,8	7	49	85	6	2
2	0,5	2	1,8	7	49	85	6	2
3	0,3	2	2,8	7	14	50	6	2
3	0,5	2	2,8	7	14	50	6	2
3	0,3	2	2,8	12	24	60	6	2
3	0,5	2	2,8	12	24	60	6	2
3	0,3	2	2,8	12	49	85	6	2
3	0,5	2	2,8	12	49	85	6	2
4	0,3	3	3,8	13	18	54	6	2
4	0,5	3	3,8	13	18	54	6	2
4	1,0	3	3,8	13	18	54	6	2
4	0,3	3	3,8	20	39	75	6	2
4	0,5	3	3,8	20	39	75	6	2
4	1,0	3	3,8	20	39	75	6	2
4	0,3	3	3,8	20	49	85	6	2
4	0,5	3	3,8	20	49	85	6	2
4	1,0	3	3,8	20	49	85	6	2
5	0,5	3	4,6	13	18	54	6	2
5	1,0	3	4,6	13	18	54	6	2
5	1,5	3	4,6	13	18	54	6	2
5	1,0	3	4,6	20	39	75	6	2
5	1,5	3	4,6	20	39	75	6	2
6	0,5	4	5,6	14	18	54	6	2
6	1,0	4	5,6	14	18	54	6	2
6	2,0	4	5,6	14	18	54	6	2
6	0,5	4	5,6	45	49	85	6	2
6	1,0	4	5,6	45	49	85	6	2
6	2,0	4	5,6	45	49	85	6	2
6	0,5	4	5,6	25	64	100	6	2
6	1,0	4	5,6	25	64	100	6	2
6	2,0	4	5,6	25	64	100	6	2
6	0,5	4	5,6	25	49	85	8	2
6	1,0	4	5,6	25	49	85	8	2
6	2,0	4	5,6	25	49	85	8	2
8	0,5	4	7,6	16	22	58	8	2
8	1,0	4	7,6	16	22	58	8	2

50 651 ...	EUR V0/5A	020
		021
	69,98	022
	69,98	023
	102,00	024
	102,00	025
	69,98	030
	69,98	031
	69,98	032
	69,98	033
	102,00	034
	102,00	035
	69,98	040
	69,98	041
	69,98	042
	98,07	043
	98,07	044
	98,07	045
	102,00	046
	102,00	047
	102,00	048
	69,98	050
	69,98	051
	69,98	052
	98,07	053
	98,07	054
	131,90	061
	69,98	062
	98,07	066
	131,90	067
	98,07	068
	113,80	069
	113,80	070
	113,80	071
	131,90	063
	98,07	064
	131,90	065
	85,45	080
	85,45	081

P	●	●	●
M	○	○	○
K	●	●	●
N	○	○	○
S	○	○	○
H	○	○	○
O	○	○	○

→ v_c/f_z Page 480–486

Fraises toriques



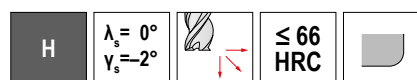
DC _{f8} mm	RE _{±0,05} mm	APMX mm	DN mm	LH mm	LPR mm	OAL mm	DCONMS _{h5} mm	ZEFP	EUR V0/5A	EUR V0/5A	EUR V0/5A
8	2,0	4	7,6	16	22	58	8	2	85,45	082	
8	0,5	4	7,6	50	64	100	8	2			182,40
8	2,0	4	7,6	50	64	100	8	2			132,80
8	1,0	4	7,6	30	60	100	10	2			182,40
8	2,0	4	7,6	30	60	100	10	2			179,80
10	1,0	6	9,6	18	26	66	10	2	106,30	100	
10	3,0	6	9,6	18	26	66	10	2	106,30	101	
10	1,0	6	9,6	50	60	100	10	2			181,10
10	2,0	6	9,6	50	60	100	10	2			106,30
10	3,0	6	9,6	50	60	100	10	2			181,10
10	1,0	6	9,6	60	80	120	10	2			
10	2,0	6	9,6	60	80	120	10	2			
10	3,0	6	9,6	60	80	120	10	2			
10	1,0	6	9,6	30	75	120	12	2			
10	2,0	6	9,6	30	75	120	12	2			
10	3,0	6	9,6	30	75	120	12	2			
12	1,0	8	11,5	18	28	73	12	2	156,60	120	
12	2,0	8	11,5	18	28	73	12	2	156,60	121	
12	3,0	8	11,5	18	28	73	12	2	156,60	122	
12	4,0	8	11,5	18	28	73	12	2	156,60	123	
12	1,0	8	11,5	45	55	100	12	2			233,30
12	2,0	8	11,5	45	55	100	12	2			233,30
12	3,0	8	11,5	45	55	100	12	2			233,30
12	4,0	8	11,5	45	55	100	12	2			233,30
12	1,0	8	11,5	70	75	120	12	2			
12	2,0	8	11,5	70	75	120	12	2			
12	3,0	8	11,5	70	75	120	12	2			
12	4,0	8	11,5	70	75	120	12	2			
12	1,0	8	11,5	35	102	150	16	2			
12	2,0	8	11,5	35	102	150	16	2			
12	3,0	8	11,5	35	102	150	16	2			
12	4,0	8	11,5	35	102	150	16	2			

P	●	●	●
M	○	○	○
K	●	●	●
N	○	○	○
S	○	○	○
H	○	○	○
Q	○	○	○

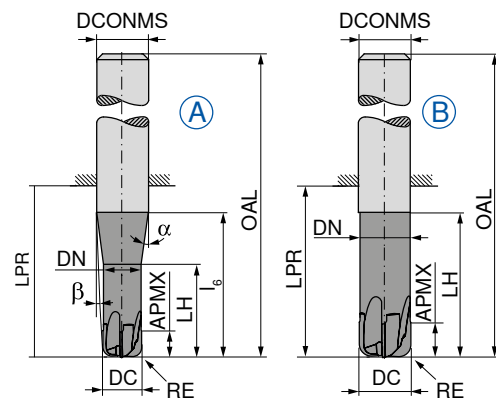
→ v_c/f_z Page 480–486

Fraises toriques

- ▲ Précision du rayon: $\pm 0,005$ mm
- ▲ Fraise haute performance pour l'usinage par cycle carré
- ▲ Pour $\varnothing \leq 5,0$ mm, tolérances angulaires sur α et $\beta: \pm 0,5^\circ$



Ti1000



Norme usine



52 732 ...

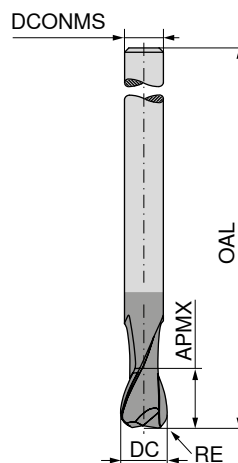
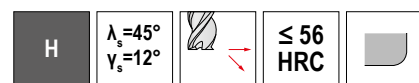
DC $\pm 0,01$ mm	RE $\pm 0,005$ mm	APMX mm	DN mm	LH mm	l ₆ mm	LPR mm	OAL mm	α°	β°	DCONMS h5 mm	ZEFP	Ver- sion :	EUR V1	
3	0,75	2,0	2,8	10	20	21	57	11,5	5	6	4	A	127,60	033
4	1,00	2,5	3,8	12	20	21	57	11	3,5	6	4	A	127,60	044
5	1,25	3,0	4,7	14	20	21	57	10	2	6	4	A	131,70	055
6	1,50	4,0	5,6	20		21	57			6	4	B	133,30	065
8	1,00	5,0	7,6	25		27	63			8	4	B	168,00	084
8	2,00	5,0	7,6	25		27	63			8	4	B	184,00	086
10	1,00	6,0	9,6	30		32	72			10	4	B	191,30	104
10	1,00	6,0	9,6	30		32	72			10	6	B	212,90	105
10	2,50	6,0	9,6	30		32	72			10	4	B	210,20	107
10	2,50	6,0	9,6	30		32	72			10	6	B	212,90	108
12	1,00	7,0	11,5	35		38	83			12	4	B	246,20	124
12	1,00	7,0	11,5	35		38	83			12	8	B	299,80	125
12	3,00	7,0	11,5	35		38	83			12	4	B	267,90	128
12	3,00	7,0	11,5	35		38	83			12	8	B	299,80	129
16	4,00	8,0	15,5	40		44	92			16	4	B	404,20	169

P	●
M	
K	○
N	
S	
H	●
O	

→ v_c/f_z Page 480–486

Fraises toriques, avec Ø intermédiaires

▲ Ø de queues réduits pour une utilisation sur de grandes profondeurs!



Norme usine

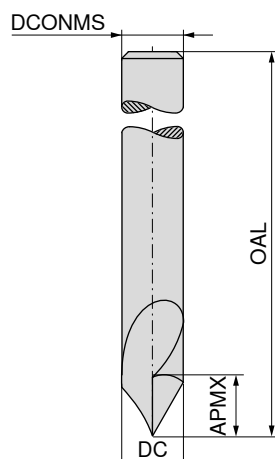
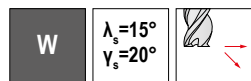
52 107 ...

DC _{ø8} mm	RE _{±0,01} mm	APMX mm	OAL mm	DCONMS _{h6} mm	ZEFF	EUR V1	
7	0,5	9	120	6	4	157,80	075
7	1,0	9	120	6	4	157,80	076
7	1,5	9	120	6	4	157,80	077
9	0,5	12	135	8	4	204,40	095
9	1,0	12	135	8	4	204,40	096
9	1,5	12	135	8	4	204,40	097
11	1,0	15	150	10	4	263,60	115
11	1,5	15	150	10	4	263,60	116
11	2,0	15	150	10	4	263,60	117
13	1,0	18	160	12	4	337,50	135
13	1,5	18	160	12	4	337,50	136
13	2,0	18	160	12	4	337,50	137
15	1,0	21	160	14	4	383,80	156
15	1,5	21	160	14	4	383,80	157
15	2,0	21	160	14	4	383,80	158
17	1,0	24	180	16	4	459,10	176
17	1,5	24	180	16	4	459,10	177
17	2,0	24	180	16	4	459,10	178
17	3,0	24	180	16	4	459,10	179

P	○
M	●
K	○
N	●
S	●
H	
O	●

→ v_c/f_z Page 480–486

Fraises à graver, 60°



Norme usine



52 195 ...

EUR
V151,15 030
54,45 040
58,54 060

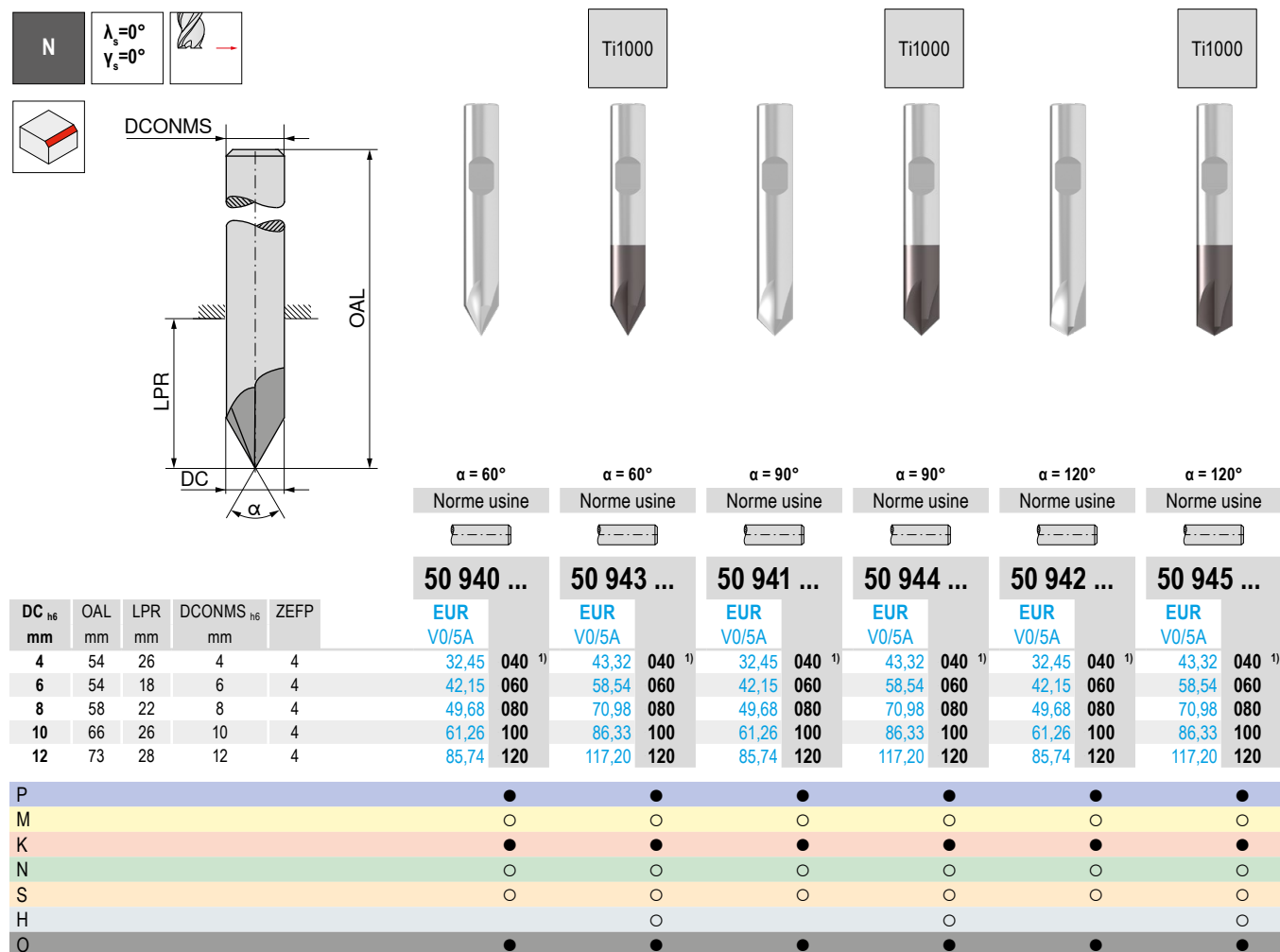
DC _{h6} mm	APMX mm	OAL mm	DCONMS _{h6} mm	ZEFP
3	15	50	3	1
4	18	50	4	1
6	20	54	6	1

P	○
M	○
K	○
N	●
S	○
H	
O	●

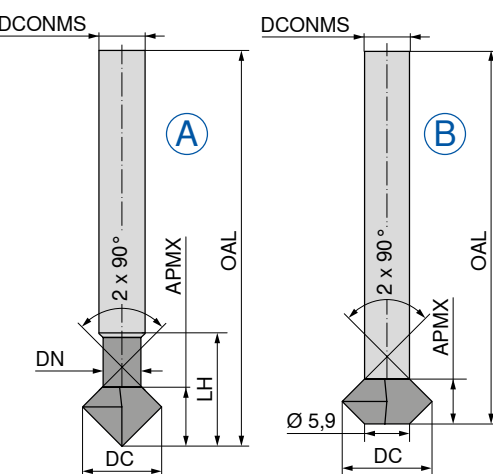
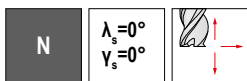
→ v_c/f_z Page 480–483

Fraises à ébavurer

- ▲ 50 940 ... / 50 943 ... Angle de pointe $\alpha = 60^\circ$
- ▲ 50 941 ... / 50 944 ... Angle de pointe $\alpha = 90^\circ$
- ▲ 50 942 ... / 50 945 ... Angle de pointe $\alpha = 120^\circ$



Fraises à ébavurer



Ti1000



52 158 ...

52 159 ...

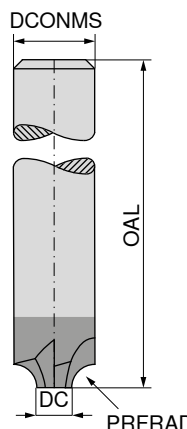
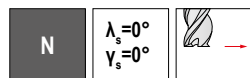
	EUR	V1	EUR	V1
70,82	030	80,10	030	
70,82	040	81,54	040	
72,57	050	83,14	050	
88,50	060	99,38	060	
115,30	080	128,90	080	
143,70	100	160,70	100	
172,60	120	191,30	120	

DC mm	APMX mm	DN mm	LH mm	OAL mm	DCONMS mm	ZEFP	Version :
3	2,0	2,2	12,0	75	4	4	A
4	2,7	2,9	17,7	75	4	4	A
5	3,0	3,9	18,0	75	5	4	A
6	4,0	3,9	19,0	100	6	4	A
8	2,0		100	6	4	B	
10	4,0		100	6	4	B	
12	6,0		100	6	4	B	

P	●	●
M	○	○
K	●	●
N	○	○
S	○	○
H	○	○
O	●	●

→ v_c/f_z Page 480–483

Fraises pour exécution de rayons convexes



Norme usine



52 249 ...

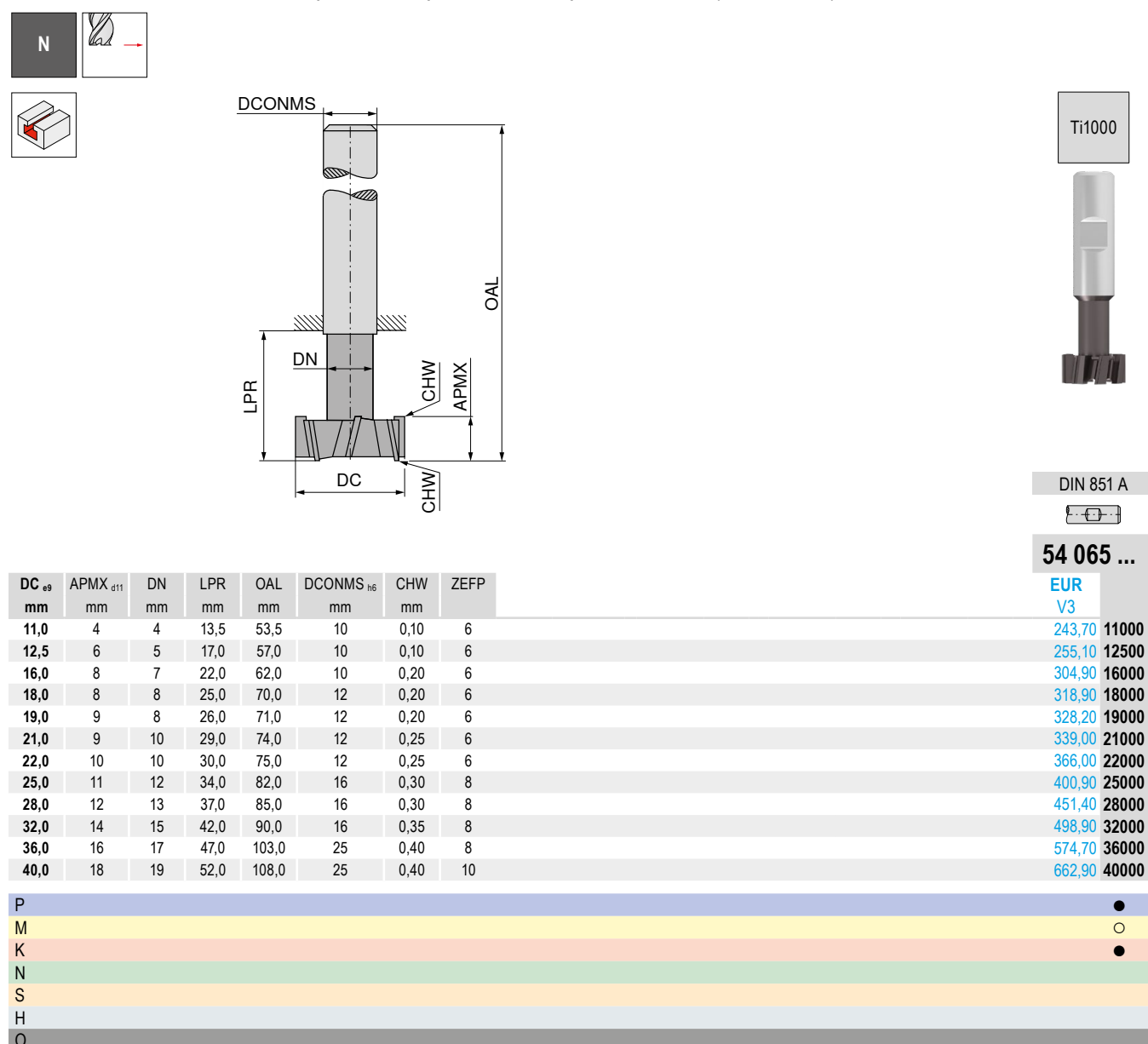
PRFRAD $\pm 0,02$ mm	DC mm	OAL mm	DCONMS h_6 mm	ZEFP	EUR V1
0,50	7,0	70	8	4	155,00 005
1,00	6,0	70	8	4	155,00 010
1,25	7,5	75	10	4	169,60 012
1,50	7,0	75	10	4	165,20 015
2,00	6,0	75	10	4	165,20 020
2,50	7,0	73	12	4	184,00 025
3,00	6,0	73	12	4	184,00 030
3,50	9,0	80	16	4	231,70 035
4,00	8,0	80	16	4	231,70 040
4,50	7,0	80	16	4	231,70 045
5,00	10,0	80	20	4	330,30 050
6,00	8,0	80	20	4	330,30 060

P	●
M	○
K	●
N	○
S	○
H	○
O	●

→ v_c/f_z Page 480–483

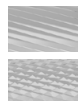
Fraises pour rainures en T

- ▲ Tête de coupe en carbure avec queue en acier brasée
- ▲ Pour rainures suivant DIN 650
- ▲ Veuillez réduire l'avance f_z de 50% lorsque l'outil n'est pas en contact complet avec la matière (entrée et sortie)



Pour plus d'informations sur ce type d'application veuillez consulter les informations techniques → **Page 488.**

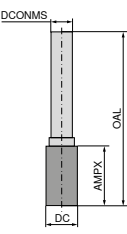
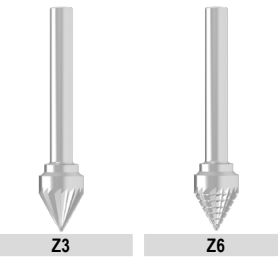
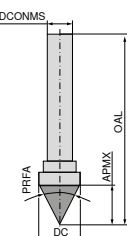
Fraises-limes en carbure, similaires à DIN 8033



Z3: Denture moyenne

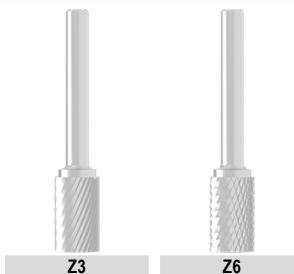
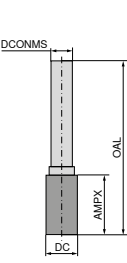


Z = 6: Denture hélicoïdale alternée

 V_c en m/min = 300–600

				50 928 ...	50 928 ...
DC	APMX	OAL	DCONMS	PRFA	EUR
mm	mm	mm	mm		U9
6	5	52	6	60°	14,94 606
12	10	60	6	60°	20,14 612 ¹⁾
					16,51 706 22,16 712 ¹⁾

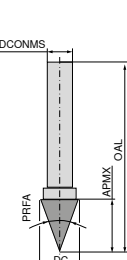
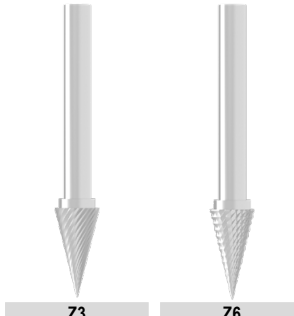
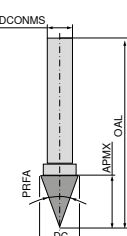
1) Queue en acier / Tête en carbure - Tolérance de queue h9



				50 921 ...	50 921 ...
DC	APMX	OAL	DCONMS	PRFA	EUR
mm	mm	mm	mm		U9
3	13	40	3	7,16	303
6	13	48	3	13,04	306 ¹⁾
6	16	55	6	14,77	606
8	20	65	6	18,84	608 ¹⁾
10	20	65	6	21,44	610 ¹⁾
12	25	70	6	27,53	612 ¹⁾
					7,88 403 14,27 406 ¹⁾ 16,22 706 20,72 708 ¹⁾ 23,17 710 ¹⁾ 30,28 712 ²⁾

1) Queue en acier / Tête en carbure - Tolérance de queue h9

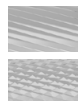
2) Queue en acier / Tête en carbure - Tolérance de queue h7



				50 926 ...	50 926 ...
DC	APMX	OAL	DCONMS	PRFA	EUR
mm	mm	mm	mm		U9
3	14	40	3	9,5°	8,73 303
6	13	48	3	23,0°	12,25 306 ¹⁾
6	18	50	6	16,0°	15,50 606
8	20	65	6	20,0°	14,63 608 ¹⁾
10	20	65	6	25,0°	17,39 610 ¹⁾
12	25	70	6	25,0°	23,90 612 ¹⁾
					9,56 403 13,39 406 ¹⁾ 16,96 706 16,22 708 ¹⁾ 19,26 710 ¹⁾ 26,07 712 ¹⁾

1) Queue en acier / Tête en carbure - Tolérance de queue h9

Fraises-limes en carbure, similaires à DIN 8033



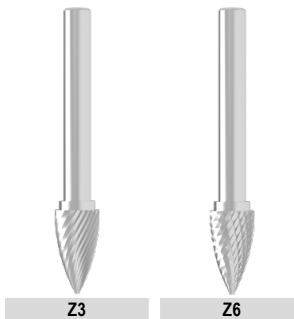
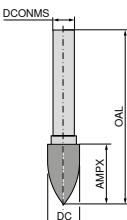
Z3: Denture moyenne



Z = 6: Denture hélicoïdale alternée

V_c en m/min = 300–600

SPG



50 925 ...

50 925 ...

DC mm	APMX mm	OAL mm	DCONMS mm
3	13	40	3
6	13	48	3
6	18	50	6
8	20	65	6
10	20	65	6
12	25	70	6

EUR U9

EUR U9

EUR U9

EUR U9

303

306¹⁾

403

406¹⁾

12,62

13,90

13,90

15,34

18,70

20,43

606

706

18,84

20,72

608¹⁾708¹⁾

23,48

25,78

610¹⁾710¹⁾

27,53

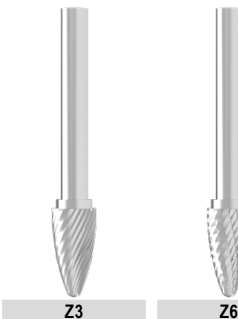
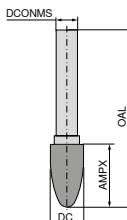
30,43

612²⁾712¹⁾

- 1) Queue en acier / Tête en carbure - Tolérance de queue h9
2) Queue en acier / Tête en carbure - Tolérance de queue h7



RBF



50 924 ...

50 924 ...

DC mm	APMX mm	OAL mm	DCONMS mm
3	13	40	3
6	13	48	3
6	18	50	6
8	20	65	6
10	20	65	6
12	25	70	6
16	30	75	6

EUR U9

EUR U9

8,73

303

13,90

306¹⁾

19,26

606

21,44

706

20,57

608¹⁾

22,75

708¹⁾

23,90

610¹⁾

26,22

710¹⁾

28,97

612¹⁾

31,56

712¹⁾

41,28

616¹⁾

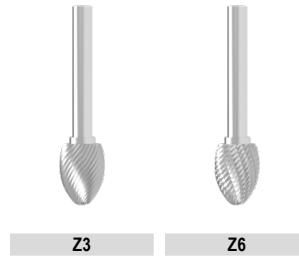
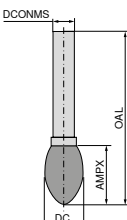
45,36

716¹⁾

- 1) Queue en acier / Tête en carbure - Tolérance de queue h9



TRE



50 929 ...

50 929 ...

DC mm	APMX mm	OAL mm	DCONMS mm
3	7	40	3
6	10	45	3
6	10	50	6
8	13	58	6
10	16	61	6
12	20	65	6

EUR U9

EUR U9

8,73

303

12,99

306¹⁾

17,52

606

19,41

706

19,55

608¹⁾

21,57

708¹⁾

22,30

610¹⁾

24,62

710¹⁾

28,11

612¹⁾

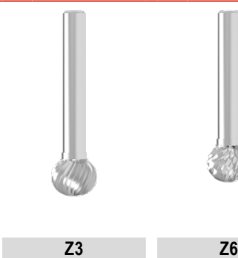
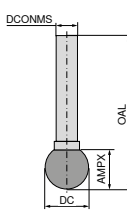
30,70

712¹⁾

- 1) Queue en acier / Tête en carbure - Tolérance de queue h9



KUD



50 930 ...

50 930 ...

DC mm	APMX mm	OAL mm	DCONMS mm
3	2,7	40,0	3
6	5,4	40,4	3
6	5,0	50,0	6
8	7,2	52,2	6
10	9,0	54,0	6
12	10,8	55,8	6
16	14,4	59,4	6

EUR U9

EUR U9

8,73

303

11,75

306¹⁾

16,96

606

18,84

706

16,22

608¹⁾

20,72

708¹⁾

18,97

610¹⁾

22,75

612¹⁾

25,20

712¹⁾

32,45

616¹⁾

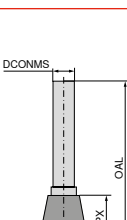
35,64

716¹⁾

- 1) Queue en acier / Tête en carbure - Tolérance de queue h9



WKN



50 931 ...

50 931 ...

DC mm	APMX mm	OAL mm	DCONMS mm	PRFA	EUR U9
3	7	40	3	10°	8,73 303
6	7	50	6	10°	16,22 606
12	13	58	6	20°	21,75 612 ¹⁾

EUR U9

EUR U9

8,73

303

16,22

606

21,75

612¹⁾

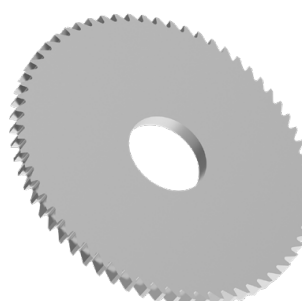
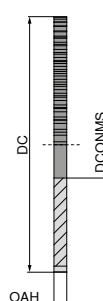
23,90

712¹⁾

- 1) Queue en acier / Tête en carbure - Tolérance de queue h9

Fraises scies en carbure monobloc, denture fine, DIN 1837A

▲ denture droite



DC _{j15} mm	OAH _{±0,01} mm	DCONMS _{H6} mm	ZEFP
15	0,20	5	64
15	0,25	5	64
15	0,30	5	64
15	0,35	5	64
15	0,40	5	64
15	0,50	5	48
15	0,60	5	48
15	0,70	5	48
15	0,80	5	40
15	0,90	5	40
15	1,00	5	40
15	1,10	5	40
15	1,20	5	40
15	1,30	5	40
15	1,40	5	40
15	1,50	5	40
15	1,60	5	40
15	1,70	5	40
15	1,80	5	40
15	1,90	5	40
15	2,00	5	40
15	2,50	5	40
15	3,00	5	40
15	3,50	5	40
15	4,00	5	40
15	4,50	5	40
15	5,00	5	40
15	5,50	5	40
15	6,00	5	40
20	0,20	5	80
20	0,25	5	64
20	0,30	5	64
20	0,35	5	64
20	0,40	5	64
20	0,50	5	48
20	0,60	5	48
20	0,70	5	48
20	0,80	5	48
20	0,90	5	40
20	1,00	5	40
20	1,10	5	40
20	1,20	5	40
20	1,30	5	40
20	1,40	5	40
20	1,50	5	40
20	1,60	5	40
20	1,70	5	40
20	1,80	5	32
20	1,90	5	32
20	2,00	5	32
20	2,50	5	32
20	3,00	5	32
20	3,50	5	24
20	4,00	5	24
20	4,50	5	24

DC _{j15} mm	OAH _{±0,01} mm	DCONMS _{H6} mm	ZEFP
15	0,20	5	64
15	0,25	5	64
15	0,30	5	64
15	0,35	5	64
15	0,40	5	64
15	0,50	5	48
15	0,60	5	48
15	0,70	5	48
15	0,80	5	40
15	0,90	5	40
15	1,00	5	40
15	1,10	5	40
15	1,20	5	40
15	1,30	5	40
15	1,40	5	40
15	1,50	5	40
15	1,60	5	40
15	1,70	5	40
15	1,80	5	40
15	1,90	5	40
15	2,00	5	40
15	2,50	5	40
15	3,00	5	40
15	3,50	5	40
15	4,00	5	40
15	4,50	5	40
15	5,00	5	40
15	5,50	5	40
15	6,00	5	40
20	0,20	5	80
20	0,25	5	64
20	0,30	5	64
20	0,35	5	64
20	0,40	5	64
20	0,50	5	48
20	0,60	5	48
20	0,70	5	48
20	0,80	5	48
20	0,90	5	40
20	1,00	5	40
20	1,10	5	40
20	1,20	5	40
20	1,30	5	40
20	1,40	5	40
20	1,50	5	40
20	1,60	5	40
20	1,70	5	40
20	1,80	5	32
20	1,90	5	32
20	2,00	5	32
20	2,50	5	32
20	3,00	5	32
20	3,50	5	24
20	4,00	5	24
20	4,50	5	24

DIN 1837 A

54 700 ...

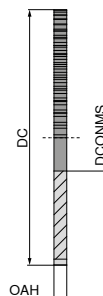
EUR
V6

54 700 ...

EUR
V6</

Fraises scies en carbure monobloc, denture fine, DIN 1837A

▲ denture droite



DC _{j15} mm	OAH ±0,01 mm	DCONMS _{H6} mm	ZEFP
40	0,20	10	128
40	0,25	10	100
40	0,30	10	100
40	0,35	10	100
40	0,40	10	100
40	0,50	10	80
40	0,60	10	80
40	0,70	10	80
40	0,80	10	80
40	0,90	10	64
40	1,00	10	64
40	1,10	10	64
40	1,20	10	64
40	1,30	10	64
40	1,40	10	64
40	1,50	10	64
40	1,60	10	64
40	1,70	10	48
40	1,80	10	48
40	1,90	10	48
40	2,00	10	48
40	2,50	10	48
40	3,00	10	48
40	3,50	10	48
40	4,00	10	40
40	4,50	10	40
40	5,00	10	40
40	5,50	10	40
40	6,00	10	40
50	0,20	13	128
50	0,25	13	128
50	0,30	13	128
50	0,35	13	100
50	0,40	13	100
50	0,50	13	100
50	0,60	13	100
50	0,70	13	80
50	0,80	13	80
50	0,90	13	80
50	1,00	13	80
50	1,10	13	80
50	1,20	13	80
50	1,30	13	64
50	1,40	13	64
50	1,50	13	64
50	1,60	13	64
50	1,70	13	64
50	1,80	13	64
50	1,90	13	64
50	2,00	13	64
50	2,50	13	64
50	3,00	13	48
50	3,50	13	48
50	4,00	13	48
50	4,50	13	48

DIN 1837 A

54 700 ...

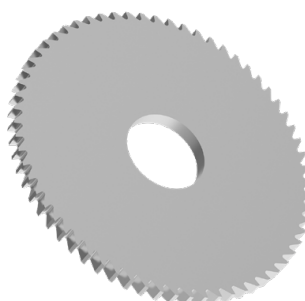
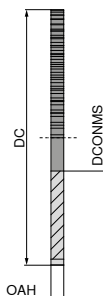
EUR

V6

mm

Fraises scies en carbure monobloc, denture fine, DIN 1837A

▲ denture droite



54 700 ...

EUR

V6

DC _{j515} mm	OAH _{±0,01} mm	DCONMS _{H6} mm	ZEFP	
200	1,5	32	160	939,50 71700
200	1,6	32	160	955,70 71800
200	2,0	32	160	1.131,00 72200
200	2,5	32	160	1.309,00 72300
200	3,0	32	128	1.485,00 72400
200	4,0	32	128	1.855,00 72600

P	●
M	●
K	●
N	●
S	●
H	
O	●

→ V_c/f_z Page 469

DIN 1837 A

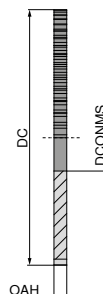
54 700 ...

EUR
V6

DC _{j515} mm	OAH _{±0,01} mm	DCONMS _{H6} mm	ZEFP	
100	0,5	22	160	175,70 50700
100	0,6	22	160	168,20 50800
100	0,7	22	128	161,60 50900
100	0,8	22	128	147,70 51000
100	0,9	22	128	144,80 51100
100	1,0	22	128	139,10 51200
100	1,1	22	128	145,70 51300
100	1,2	22	128	153,60 51400
100	1,3	22	100	163,20 51500
100	1,4	22	100	170,00 51600
100	1,5	22	100	175,00 51700
100	1,6	22	100	184,60 51800
100	1,7	22	100	194,30 51900
100	1,8	22	100	194,30 52000
100	1,9	22	100	211,80 52100
100	2,0	22	100	216,70 52200
100	2,5	22	100	255,50 52300
100	3,0	22	80	300,40 52400
100	3,5	22	80	341,10 52500
100	4,0	22	80	374,80 52600
100	4,5	22	80	437,90 52700
100	5,0	22	80	453,10 52800
100	5,5	22	64	517,20 52900
100	6,0	22	64	532,50 53000
125	0,6	22	160	267,40 55800
125	0,7	22	160	262,50 55900
125	0,8	22	160	257,70 56000
125	0,9	22	160	255,70 56100
125	1,0	22	160	234,80 56200
125	1,1	22	128	243,00 56300
125	1,2	22	128	258,40 56400
125	1,3	22	128	283,80 56500
125	1,4	22	128	283,80 56600
125	1,5	22	128	296,00 56700
125	1,6	22	128	306,30 56800
125	1,7	22	128	331,80 56900
125	1,8	22	128	331,80 57000
125	1,9	22	128	357,40 57100
125	2,0	22	128	357,40 57200
125	2,5	22	100	433,70 57300
125	3,0	22	100	512,30 57400
125	3,5	22	100	587,90 57500
125	4,0	22	100	669,80 57600
125	4,5	22	100	750,70 57700
125	5,0	22	80	774,80 57800
125	5,5	22	80	921,90 57900
125	6,0	22	80	948,20 58000
160	1,0	32	160	467,20 66200
160	1,2	32	160	493,90 66400
160	1,5	32	160	515,10 66700
160	1,6	32	160	525,70 66800
160	2,0	32	128	678,30 67200
160	2,5	32	128	773,70 67300
160	3,0	32	128	887,00 67400
160	4,0	32	128	1.162,00 67600

Fraises scies en carbure monobloc, denture grossière, DIN 1837A

▲ Denture droite grossière



DIN 1838 B

54 701 ...

DC _{j15} mm	OAH ±0,01 mm	DCONMS _{H6} mm	ZEFP	EUR V6
15	0,20	5	20	18,08 10200
15	0,25	5	20	18,08 10300
15	0,30	5	20	18,08 10400
15	0,35	5	20	18,08 10500
15	0,40	5	20	18,08 10600
15	0,50	5	20	18,08 10700
15	0,60	5	20	18,08 10800
15	0,70	5	20	21,53 10900
15	0,80	5	20	21,53 11000
15	0,90	5	20	22,07 11100
15	1,00	5	20	22,91 11200
15	1,10	5	20	23,88 11300
15	1,20	5	20	23,88 11400
15	1,30	5	20	23,88 11500
15	1,40	5	20	23,88 11600
15	1,50	5	20	25,96 11700
15	1,60	5	20	27,87 11800
15	1,70	5	20	30,21 11900
15	1,80	5	20	30,21 12000
15	1,90	5	20	31,45 12100
15	2,00	5	20	31,87 12200
15	2,50	5	20	44,01 12300
15	3,00	5	20	49,80 12400
15	3,50	5	20	56,28 12500
15	4,00	5	20	69,39 12600
15	4,50	5	20	81,40 12700
15	5,00	5	20	84,70 12800
15	5,50	5	20	101,10 12900
15	6,00	5	20	104,20 13000
20	0,20	5	20	19,59 15200
20	0,25	5	20	19,59 15300
20	0,30	5	20	19,59 15400
20	0,35	5	20	19,59 15500
20	0,40	5	20	19,59 15600
20	0,50	5	20	19,59 15700
20	0,60	5	20	19,59 15800
20	0,70	5	20	22,91 15900
20	0,80	5	20	22,91 16000
20	0,90	5	20	23,88 16100
20	1,00	5	20	25,96 16200
20	1,10	5	20	27,87 16300
20	1,20	5	20	27,87 16400
20	1,30	5	20	29,38 16500
20	1,40	5	20	31,87 16600
20	1,50	5	20	31,87 16700
20	1,60	5	20	33,39 16800
20	1,70	5	20	35,16 16900
20	1,80	5	20	35,16 17000
20	1,90	5	20	36,83 17100
20	2,00	5	20	36,83 17200
20	2,50	5	20	46,48 17300
20	3,00	5	20	52,98 17400
20	3,50	5	20	59,60 17500
20	4,00	5	20	70,92 17600
20	4,50	5	20	84,70 17700

54 701 ...

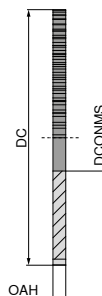
DC _{j15} mm	OAH ±0,01 mm	DCONMS _{H6} mm	ZEFP	EUR V6
20	5,00	5	20	88,14 17800
20	5,50	5	20	102,50 17900
20	6,00	5	20	105,80 18000
25	0,20	8	20	19,31 20200
25	0,25	8	20	19,31 20300
25	0,30	8	20	19,31 20400
25	0,35	8	20	19,31 20500
25	0,40	8	20	19,31 20600
25	0,50	8	20	22,48 20700
25	0,60	8	20	22,48 20800
25	0,70	8	20	24,97 20900
25	0,80	8	20	27,87 21000
25	0,90	8	20	30,21 21100
25	1,00	8	20	30,21 21200
25	1,10	8	20	34,78 21300
25	1,20	8	20	34,78 21400
25	1,30	8	20	36,27 21500
25	1,40	8	20	37,80 21600
25	1,50	8	20	37,80 21700
25	1,60	8	20	41,65 21800
25	1,70	8	20	41,65 21900
25	1,80	8	20	43,32 22000
25	1,90	8	20	46,36 22100
25	2,00	8	20	47,73 22200
25	2,50	8	20	57,95 22300
25	3,00	8	20	75,47 22400
25	3,50	8	20	83,20 22500
25	4,00	8	20	93,96 22600
25	4,50	8	20	107,60 22700
25	5,00	8	20	113,70 22800
25	5,50	8	20	129,40 22900
25	6,00	8	20	135,60 23000
30	0,20	8	30	24,97 25200
30	0,25	8	30	24,97 25300
30	0,30	8	30	24,97 25400
30	0,35	8	30	24,97 25500
30	0,40	8	30	24,97 25600
30	0,50	8	30	26,21 25700
30	0,60	8	30	26,21 25800
30	0,70	8	30	31,75 25900
30	0,80	8	24	34,78 26000
30	0,90	8	24	37,80 26100
30	1,00	8	24	37,80 26200
30	1,10	8	24	42,50 26300
30	1,20	8	24	41,80 26400
30	1,30	8	24	43,19 26500
30	1,40	8	24	47,06 26600
30	1,50	8	24	47,06 26700
30	1,60	8	24	50,09 26800
30	1,70	8	24	50,09 26900
30	1,80	8	24	51,45 27000
30	1,90	8	24	52,98 27100
30	2,00	8	24	56,28 27200
30	2,50	8	24	66,09 27300
30	3,00	8	24	78,63 27400
30	3,50	8	24	89,27 27500
30	4,00	8	24	100,20 27600
30	4,50	8	24	115,50 27700
30	5,00	8	24	121,70 27800
30	5,50	8	24	137,10 27900
30	6,00	8	24	143,40 28000

P	●
M	●
K	●
N	●
S	●
H	
O	●

→ v_c/f_z Page 469

Fraises scies en carbure monobloc, denture grossière, DIN 1837A

▲ Denture droite grossière



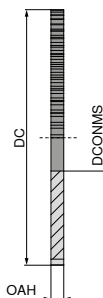
54 701 ...				EUR
DC _{j15} mm	OAH _{±0,01} mm	DCONMS _{H6} mm	ZEFP	V6
50	5,00	13	24	157,30 37800
50	5,50	13	20	175,30 37900
50	6,00	13	20	182,10 38000
63	0,30	16	64	66,21 40400
63	0,35	16	64	62,62 40500
63	0,40	16	64	56,71 40600
63	0,50	16	64	55,31 40700
63	0,60	16	48	56,71 40800
63	0,70	16	48	63,88 40900
63	0,80	16	48	70,36 41000
63	0,90	16	48	71,18 41100
63	1,00	16	48	72,57 41200
63	1,10	16	40	75,47 41300
63	1,20	16	40	78,09 41400
63	1,30	16	40	80,01 41500
63	1,40	16	40	81,26 41600
63	1,50	16	40	82,64 41700
63	1,60	16	40	86,79 41800
63	1,70	16	40	91,18 41900
63	1,80	16	40	92,72 42000
63	1,90	16	40	96,71 42100
63	2,00	16	40	100,00 42200
63	2,50	16	32	120,20 42300
63	3,00	16	32	136,10 42400
63	3,50	16	32	156,00 42500
63	4,00	16	32	171,20 42600
63	4,50	16	32	195,90 42700
63	5,00	16	24	204,20 42800
63	5,50	16	24	229,10 42900
63	6,00	16	24	237,30 43000
80	0,30	22	64	132,40 45400
80	0,35	22	64	129,20 45500
80	0,40	22	64	123,70 45600
80	0,50	22	64	93,07 45700
80	0,60	22	64	90,32 45800
80	0,70	22	64	97,66 45900
80	0,80	22	64	97,66 46000
80	0,90	22	48	101,70 46100
80	1,00	22	48	101,70 46200
80	1,10	22	48	104,40 46300
80	1,20	22	48	109,00 46400
80	1,30	22	48	113,60 46500
80	1,40	22	48	117,80 46600
80	1,50	22	48	120,60 46700
80	1,60	22	48	123,70 46800
80	1,70	22	48	133,70 46900
80	1,80	22	40	135,20 47000
80	1,90	22	40	138,00 47100
80	2,00	22	40	142,60 47200
80	2,50	22	40	168,50 47300
80	3,00	22	40	202,00 47400
80	3,50	22	32	223,40 47500
80	4,00	22	32	242,30 47600
80	4,50	22	32	285,80 47700
80	5,00	22	32	294,50 47800
80	5,50	22	32	326,60 47900
80	6,00	22	32	335,10 48000

P	●
M	●
K	●
N	●
S	●
H	
O	●

→ v_c/f_z Page 469

Fraises scies en carbure monobloc, denture grossière, DIN 1837A

▲ Denture droite grossière



DC _{j515} mm	OAH $\pm 0,01$ mm	DCONMS _{H6} mm	ZEFP	
200	1,5	32	80	939,50 71700
200	1,6	32	80	955,70 71800
200	2,0	32	80	1.131,00 72200
200	2,5	32	80	1.309,00 72300
200	3,0	32	64	1.485,00 72400
200	4,0	32	64	1.855,00 72600

54 701 ...

EUR
V6
939,50 71700
955,70 71800
1.131,00 72200
1.309,00 72300
1.485,00 72400
1.855,00 72600

P	●
M	●
K	●
N	●
S	●
H	
O	●

→ V_c/f_z Page 469

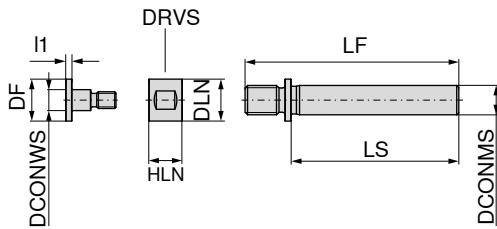
DIN 1838 B

54 701 ...

DC _{j515} mm	OAH $\pm 0,01$ mm	DCONMS _{H6} mm	ZEFP	EUR V6
100	0,5	22	80	175,70 50700
100	0,6	22	80	168,20 50800
100	0,7	22	80	161,60 50900
100	0,8	22	64	147,70 51000
100	0,9	22	64	144,80 51100
100	1,0	22	64	139,10 51200
100	1,1	22	64	145,70 51300
100	1,2	22	64	153,60 51400
100	1,3	22	48	163,20 51500
100	1,4	22	48	170,00 51600
100	1,5	22	48	175,00 51700
100	1,6	22	48	184,60 51800
100	1,7	22	48	194,30 51900
100	1,8	22	48	194,30 52000
100	1,9	22	48	211,80 52100
100	2,0	22	48	216,70 52200
100	2,5	22	48	255,50 52300
100	3,0	22	40	300,40 52400
100	3,5	22	40	341,10 52500
100	4,0	22	40	374,80 52600
100	4,5	22	40	437,90 52700
100	5,0	22	40	453,10 52800
100	5,5	22	32	517,20 52900
100	6,0	22	32	532,50 53000
125	0,6	22	80	267,40 55800
125	0,7	22	80	262,50 55900
125	0,8	22	80	257,70 56000
125	0,9	22	80	255,70 56100
125	1,0	22	80	234,80 56200
125	1,1	22	64	243,00 56300
125	1,2	22	64	258,40 56400
125	1,3	22	64	283,80 56500
125	1,4	22	64	283,80 56600
125	1,5	22	64	296,00 56700
125	1,6	22	64	306,30 56800
125	1,7	22	64	331,80 56900
125	1,8	22	64	331,80 57000
125	1,9	22	64	357,40 57100
125	2,0	22	64	357,40 57200
125	2,5	22	48	433,70 57300
125	3,0	22	48	512,30 57400
125	3,5	22	48	587,90 57500
125	4,0	22	48	669,80 57600
125	4,5	22	40	750,70 57700
125	5,0	22	40	774,80 57800
125	5,5	22	40	921,90 57900
125	6,0	22	40	948,20 58000
160	1,0	32	80	467,20 66200
160	1,2	32	80	493,90 66400
160	1,5	32	80	515,10 66700
160	1,6	32	80	525,70 66800
160	2,0	32	64	678,30 67200
160	2,5	32	64	773,70 67300
160	3,0	32	64	887,00 67400
160	4,0	32	48	1.162,00 67600

Attachements cylindriques pour fraises scies

▲ DCONWS = diamètre d'alésage fraise scie



72 900 ...

DCONWS _{h7} mm	DCONMS _{h7} mm	DLN mm	DF mm	LF mm	LS mm	HLN mm	I ₁ mm	DRVS mm	EUR X1	
5	7	10	10	51	40	8	3	9	129,60	005
5	10	10	10	61	50	8	3	9	129,60	105
8	7	15	15	51	40	8	3	14	129,60	008
8	10	15	15	61	50	8	3	14	140,70	108
10	7	17	17	53	40	10	3	16	129,60	010
10	10	17	17	63	50	10	3	16	140,70	110
10	16	17	17	74	55	10	3	16	150,10	210
13	10	20	20	66	50	10	3	18	140,70	113
13	16	20	20	77	55	10	3	18	150,10	213
16	10	24	24	66	50	14	3	22	140,70	116
16	16	24	24	79	55	14	3	22	150,10	216



Vis - SR



Ecrou - KM

72 945 ...

72 945 ...

Pièces détachées	EUR X1	EUR X1
72 900 005	24,61	000
72 900 105	24,61	000
72 900 008	24,61	001
72 900 108	24,61	001
72 900 010	26,22	002
72 900 110	26,22	002
72 900 210	26,22	010
72 900 113	27,45	003
72 900 213	27,45	003
72 900 116	28,80	004
72 900 216	28,80	011

Vue d'ensemble des fraises pour matières plastiques

Matériau	Résistance N/mm ² – HB	50 983 ...	50 984 ...	50 985 ...	50 986 ...	50 932 ...	50 937 ...	50 936 ...	50 938 ...	50 610 ...	50 611 ...	50 946 ...	50 948 ...	50 947 ...
Aluminium (non ou faiblement allié)	< 350 N/mm ²									●				
Aluminium	< 500 N/mm ²									●				
Alliages d'aluminium 0,5–10% Si	< 400 N/mm ²									●				
Alliages d'aluminium 10 - 15% Si	< 400 N/mm ²								●		●	●	●	●
Aluminium	< 400 N/mm ²							●			●	●	●	
Cuivre (non ou faiblement allié)	< 350 N/mm ²								●					
Alliages de cuivre corroyés	< 700 N/mm ²						●			●	●	●	●	●
Alliages de cuivre spéciaux	< 200 HB						●			●	●	●	●	●
Alliages de cuivre spéciaux	< 300 HB						●			●	●	●	●	●
Alliages de cuivre spéciaux	< 300 HB						●			●	●	●	●	●
Laiton à copeaux courts, bronze, laiton rouge	< 600 N/mm ²								●					
Laiton à copeaux longs	< 600 N/mm ²								●					
Magnésium et alliages de magnésium	< 850 N/mm ²						●			●	●	●	●	●
Tungstène et alliages de tungstène												●	●	●
Molybdène et alliages de molybdène												●	●	●
Matières thermoplastiques										●				
Résines thermodurcissables		●	●	●						●				
Matières plastiques renforcées par fibres		●	●	●	●	●	●	●	●	●	●	●	●	●
Graphite		●	●	●	●	●	●	●	●	●	●	●	●	●

Sens d'usinage

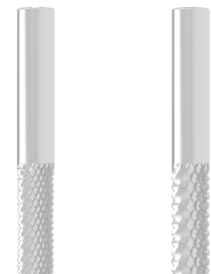
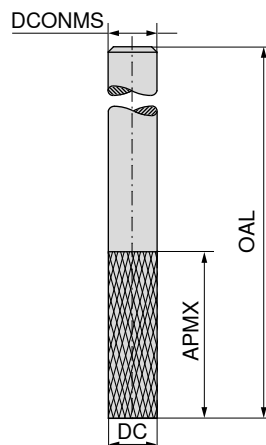
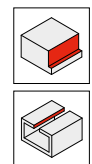


Trucs et astuces

- ①
- ▲ Empêche la formation de bavures coupantes dans les matières renforcées par fibres de verre ou fibres de carbone
- ②
- ▲ Pour obtenir d'excellentes durées de vie dans les matières renforcées par fibres (CFK, AFK) et le graphite
- ③
- ▲ Fraises spécialement conçues pour l'usinage de matières alvéolaires (nids d'abeille), fraisage de poches par ramping.
- ④
- ▲ Fraises spécialement conçues pour l'usinage de matières alvéolaires (nids d'abeille).
- ⑤
- ▲ L'outil dispose d'une dent avec une hélice à droite et l'autre une hélice à gauche, toutes les bavures sont ainsi supprimées en contournage
- ⑥
- ▲ Pour l'usinage des matières plastiques non renforcées (PMMA, Plexiglas, PVC, Durolon) et des alliages d'aluminium à faible teneur en silice
- ⑦
- ▲ Pour l'usinage des matières renforcées par fibre et des alliages d'aluminium à haute teneur en silice
- ⑧
- ▲ Pour l'usinage des matières renforcées par fibre et des alliages d'aluminium à haute teneur en silice
- ⑨
- ▲ Pour l'usinage des matières renforcées par fibre et des alliages d'aluminium à haute teneur en silice

Fraises pour matières à fibres de carbone

- ▲ Coupe à droite
- ▲ Denture hélicoïdale alternée
- ▲ Évacuation des copeaux vers le bas
- ▲ 50 983 ... = Denture fine
- ▲ 50 984 ... = Denture moyenne



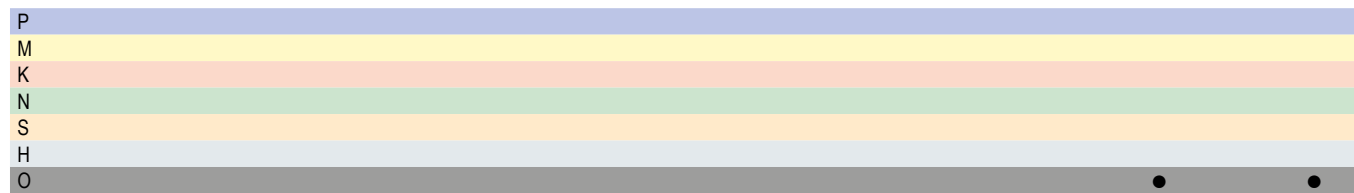
Norme usine Norme usine

--- ---

50 983 ...	50 984 ...
EUR V0	EUR V0

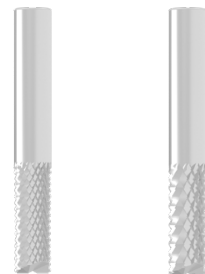
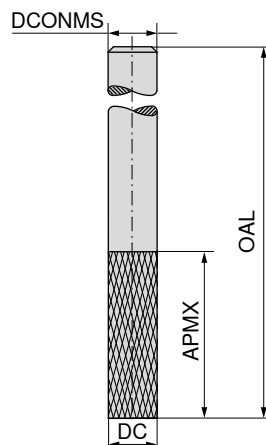
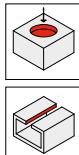
22,89 020	23,75 020
41,43 021	41,43 021
22,89 030	23,75 030
41,43 031	41,43 031
24,93 035	25,95 035
26,94 040	28,54 040
41,43 041	41,43 041
31,56 045	32,88 045
35,78 050	37,24 050
61,73 051	61,73 051
41,43 060	39,84 060
61,73 061	61,73 061
56,78 070	54,75 070
65,34 080	62,86 080
85,74 081	85,74 081
81,99 090	78,52 090
86,64 100	83,60 100
122,40 120	117,20 120
199,90 140	194,30 140
273,80 160	262,20 160
372,40 180	357,90 180
444,60 200	428,80 200

DC _{h10} mm	APMX mm	OAL mm	DCONMS _{h6} mm
2,0	7	40	2,0
2,0	7	50	6,0
3,0	10	40	3,0
3,0	12	50	6,0
3,5	12	40	3,5
4,0	15	40	4,0
4,0	20	50	6,0
4,5	15	50	4,5
5,0	16	50	5,0
5,0	25	75	6,0
6,0	18	50	6,0
6,0	35	75	6,0
7,0	22	60	7,0
8,0	25	63	8,0
8,0	40	100	8,0
9,0	25	63	9,0
10,0	30	72	10,0
12,0	32	83	12,0
14,0	32	83	14,0
16,0	36	92	16,0
18,0	40	92	18,0
20,0	45	104	20,0

→ v_c/f_z Page 418

Fraises pour matières à fibres de carbone

- ▲ Coupe à droite
 - ▲ Denture hélicoïdale alternée
 - ▲ Évacuation des copeaux vers le bas
 - ▲ 50 985 ... = Denture fine
 - ▲ 50 986 ... = Denture moyenne



Norme usine

Norme usine

DC_{h10} mm	APMX mm	OAL mm	DCONMS_{h6} mm
2,0	7	40	2,0
2,0	7	50	6,0
3,0	10	40	3,0
3,0	12	50	6,0
3,5	12	40	3,5
4,0	15	40	4,0
4,0	20	50	6,0
4,5	15	50	4,5
5,0	16	50	5,0
5,0	25	75	6,0
6,0	18	50	6,0
6,0	35	75	6,0
7,0	22	60	7,0
8,0	25	63	8,0
8,0	40	100	8,0
9,0	25	63	9,0
10,0	30	72	10,0
12,0	32	83	12,0
14,0	32	83	14,0
16,0	36	92	16,0
18,0	40	92	18,0
20,0	45	104	20,0

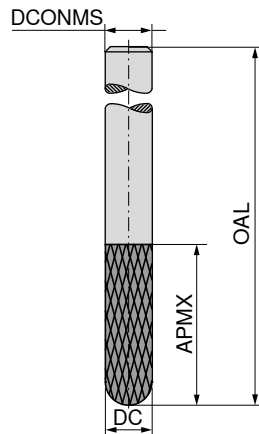
50 985 ...		50 986 ...	
EUR	V0	EUR	V0
23,90	020	24,93	020
44,04	021	44,04	021
23,90	030	24,93	030
44,04	031	44,04	031
26,37	035	27,53	035
28,69	040	30,28	040
44,04	041	44,04	041
33,33	045	35,06	045
38,25	050	39,84	050
64,46	051	64,46	051
44,04	060	42,44	060
64,46	061	64,46	061
60,53	070	58,54	070
69,26	080	66,49	080
89,95	081	89,95	081
85,74	090	82,43	090
90,39	100	86,64	100
127,10	120	121,50	120
204,40	140	197,00	140
281,00	160	265,30	160
378,10	180	362,30	180
454,90	200	434,50	200

P
M
K
N
S
H
Q

→ v_c/f_z Page 418

Fraises hémisphériques pour graphite

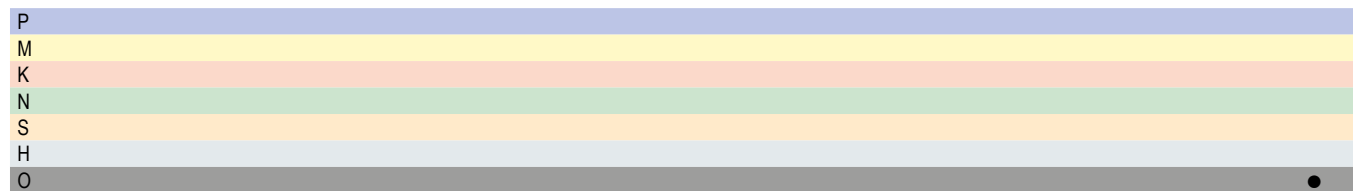
- ▲ Coupe à droite
- ▲ Denture hélicoïdale alternée



Norme usine

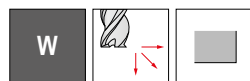
**50 932 ...**

DC _{h10} mm	APMX mm	OAL mm	DCONMS _{h6} mm	EUR V0	
2	7	40	2	83,60	020
2	7	50	6	170,90	022
3	10	40	3	83,60	030
3	12	50	6	170,90	032
4	15	40	4	121,00	040
4	20	50	6	170,90	042
5	16	50	5	155,00	050
5	25	75	6	197,00	052
6	18	50	6	160,70	060
6	35	75	6	188,40	062
8	25	63	8	201,40	080
8	40	100	8	265,30	082
10	30	72	10	292,50	100
12	32	83	12	370,90	120
16	36	92	16	746,00	160
20	40	104	20	879,20	200

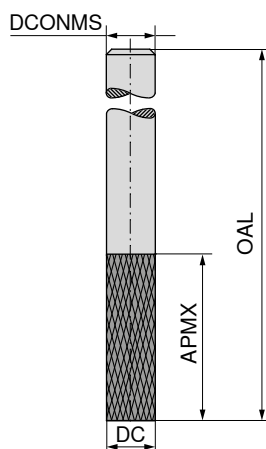
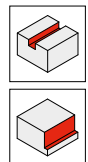
→ v_c/f_z Page 418

Fraises pour matières à fibres de carbone

- ▲ Coupe à droite
- ▲ Denture hélicoïdale alternée



DIAMOND



Norme usine



50 937 ...

EUR
V0

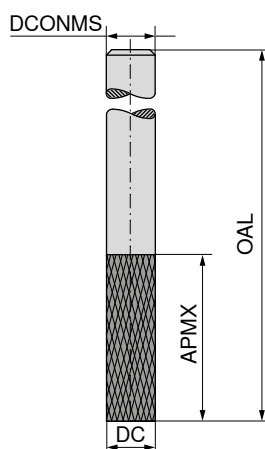
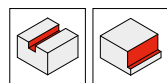
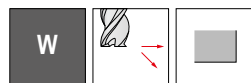
179,80	050
221,60	052
198,50	060
221,60	062
244,80	080
297,00	082
311,60	100
373,60	102
388,30	120
457,80	122
686,60	160
837,40	162

DC _{h10} mm	APMX mm	OAL mm	DCONMS _{h6} mm
5	16	60	6
5	28	75	6
6	20	60	6
6	35	75	6
8	22	63	8
8	40	100	8
10	25	72	10
10	50	100	10
12	30	83	12
12	50	100	12
16	35	92	16
16	60	125	16

P				
M				
K				
N				
S				
H				
O				●

→ v_c/f_z Page 418

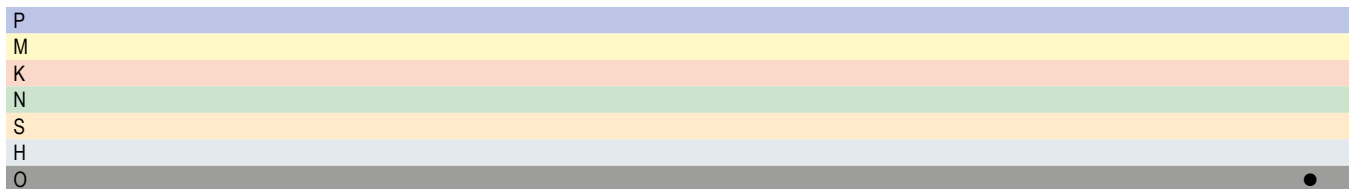
Fraises pour matières alvéolaires



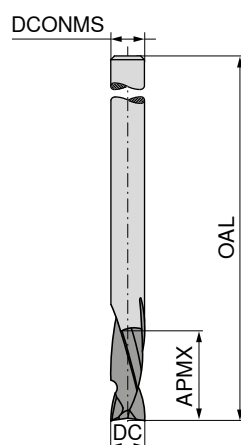
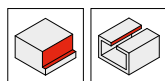
50 936 ...

	EUR	V0
99,67	006	
146,30	008	
185,40	010	
253,30	012	
456,40	016	
625,70	020	
741,70	024	
801,00	025	

DC _{h10} mm	APMX mm	OAL mm	DCONMS _{h6} mm
6	16	50	6
8	19	63	8
10	22	72	10
12	26	83	12
16	17	100	12
20	17	100	12
24	10	100	12
24	17	100	12

→ v_c/f_z Page 418

Fraises pour fibres aramide

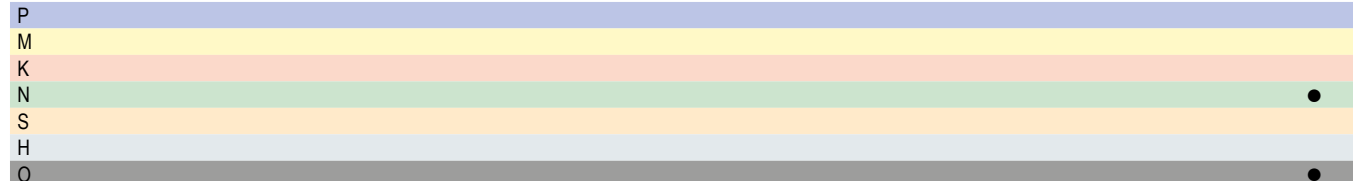


Norme usine



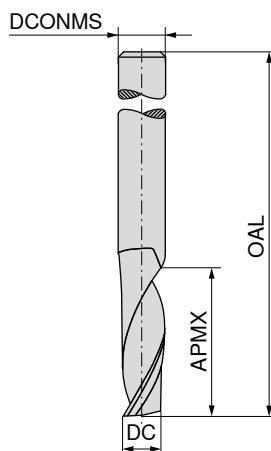
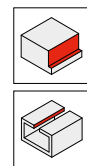
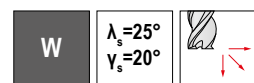
50 938 ...

DC _{h10} mm	APMX mm	OAL mm	DCONMS _{h6} mm	ZEFP	EUR V0	
2	6	40	6	2	166,60	020
3	12	40	3	2	81,12	030
3	12	50	6	2	166,60	032
4	14	40	4	2	92,27	040
5	16	50	5	2	115,80	050
6	18	50	6	2	140,90	060
8	20	63	8	2	170,90	080
10	25	72	10	2	204,40	100
12	30	83	12	2	297,00	120

→ v_c/f_z Page 418

Fraises à une dent

▲ Avec goujures polies



Hélice à droite

Coupé à droite

Norme usine



Hélice à gauche

Coupé à droite

Norme usine

DC _{h10} mm	APMX mm	OAL mm	DCONMS _{h6} mm	ZEFP
1,5	6	40	3,0	1
2,0	10	40	2,0	1
2,0	6	40	3,0	1
2,0	10	60	6,0	1
2,0	12	60	6,0	1
2,5	6	40	2,5	1
3,0	12	60	6,0	1
3,0	12	40	3,0	1
3,0	10	40	6,0	1
3,0	15	60	6,0	1
4,0	20	75	6,0	1
4,0	15	40	4,0	1
4,0	15	60	6,0	1
5,0	16	60	6,0	1
5,0	16	50	5,0	1
5,0	28	75	6,0	1
6,0	20	60	6,0	1
6,0	30	60	6,0	1
6,0	35	75	6,0	1
8,0	22	63	8,0	1
8,0	40	100	8,0	1
10,0	55	100	10,0	1
10,0	25	72	10,0	1
12,0	30	83	12,0	1
16,0	35	92	16,0	1

50 610 ...

EUR
V0

35,20	015
21,88	020
35,20	019
52,00	022
53,42	024
35,20	025
52,00	034
23,48	030
50,99	032
52,00	036
84,15	044
28,38	040
52,00	042
52,00	052
36,35	050
94,31	054
42,00	060
50,99	062
76,32	064
67,80	080
122,40	084
204,40	105
102,00	100
135,30	120
286,90	160

50 611 ...

EUR
V0

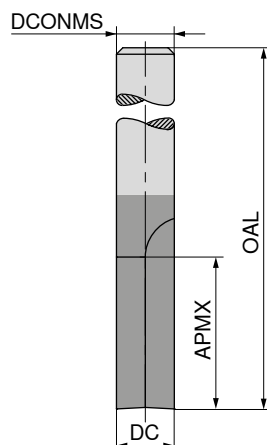
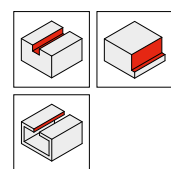
35,20	015
21,88	020
35,20	019
52,00	022
53,42	024
35,20	025
52,00	034
23,48	030
50,99	032
52,00	036
84,15	044
28,38	040
52,00	042
52,00	052
36,35	050
94,31	054
42,00	060
50,99	062
76,32	064
67,80	080
122,40	084
204,40	105
102,00	100
135,30	120
286,90	160

P				
M				
K				
N			●	●
S				
H			●	●
O				

→ v_c/f_z Page 418

Fraises pour matières à fibres de carbone

▲ avec goujures à copeaux polies

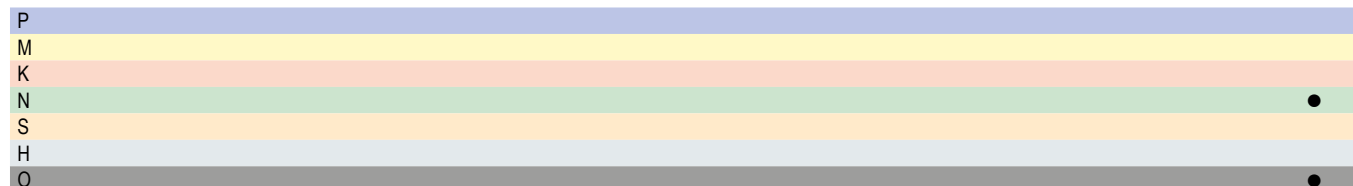


Norme usine

50 946 ...

EUR
V0

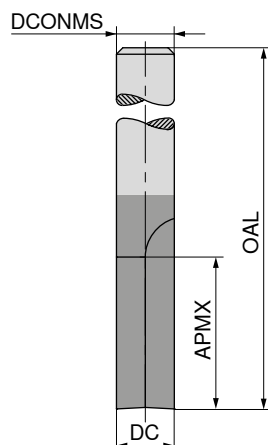
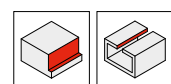
DC _{h10} mm	APMX mm	OAL mm	DCONMS _{h6} mm	ZEFF		
1,5	6	40	3	1	43,32	015
2,0	6	40	3	1	43,32	020
2,0	10	40	2	1	31,15	022
2,0	10	60	6	1	63,01	024
2,0	12	60	6	1	64,90	026
3,0	12	40	3	1	32,75	030
3,0	12	60	6	1	63,01	032
3,0	15	60	6	1	63,01	034
4,0	15	60	6	1	63,01	040
4,0	20	75	6	1	95,46	042
5,0	16	60	6	1	63,01	050
5,0	28	75	6	1	105,80	052
6,0	20	60	6	1	54,90	060
6,0	30	60	6	1	62,45	062
6,0	35	75	6	1	87,91	064
8,0	22	63	8	1	85,33	080
8,0	40	100	8	1	137,10	082
10,0	25	72	10	1	126,90	100
10,0	55	100	10	1	223,10	102
12,0	30	83	12	1	165,20	120



→ v_c/f_z Page 418

Fraises pour matières à fibres de carbone

▲ avec goujures à copeaux polies



Norme usine



50 948 ...

EUR
V0

65,90	020
37,96	030
65,90	031
65,90	040
49,68	050
59,68	060
86,19	080
112,60	100
149,30	120

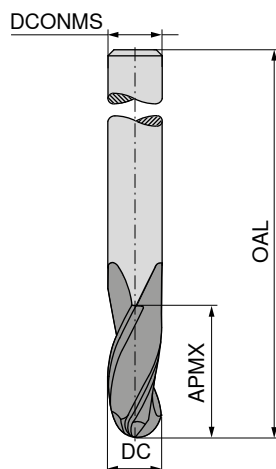
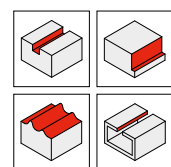
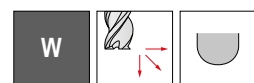
DC _{h10} mm	APMX mm	OAL mm	DCONMS _{h6} mm	ZEFP
2	6	40	6	2
3	12	40	3	2
3	12	50	6	2
4	14	40	6	2
5	16	50	5	2
6	18	50	6	2
8	20	63	8	2
10	25	72	10	2
12	30	83	12	2

P				
M				
K				
N				●
S				
H				
O				●

→ v_c/f_z Page 418

Fraises hémisphériques pour graphite

- ▲ Avec goujures polies
- ▲ Pas différentiel



Ti40



DIN 6527 L



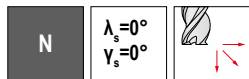
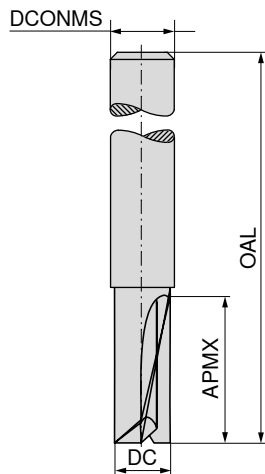
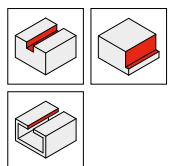
50 947 ...

DC _{h10} mm	APMX mm	OAL mm	DCONMS _{h6} mm	ZEFP	EUR V0	
3	10	57	6	3	90,39	030
4	13	57	6	3	90,39	040
5	15	57	6	3	90,39	050
6	18	57	6	3	77,21	060
8	20	63	8	3	105,80	080
10	25	72	10	3	142,80	100
12	30	83	12	3	185,40	120

P						
M						
K						
N						●
S						
H						
O						●

→ v_c/f_z Page 418

Fraises deux tailles

 $\lambda_s = 0^\circ$ $\gamma_s = 0^\circ$ 

Norme usine



52 168 ...

DC _{e8} mm	APMX mm	OAL mm	DCONMS _{h6} mm	ZEFF	EUR V1	
2	8	50	3	2	23,03	020
3	12	50	3	2	23,03	030
4	13	60	4	2	23,90	040
5	14	60	5	2	29,41	050
6	16	58	6	2	33,61	060
8	20	65	8	2	44,91	080
10	22	70	10	2	71,27	100
12	25	70	12	2	94,73	120

P	●
M	○
K	●
N	○
S	○
H	●
O	●

→ v_c/f_z Page 480–483

Exemples de matières

	Sous-groupe de matières	Index	Composition / Structure / Traitement thermique		Résistance N/mm ² / HB / HRC	Code matière	Désignation matière	Code matière	Désignation matière	
P	Aciers non alliés	P.1.1	< 0,15 % C	Recuit	420 N/mm ² / 125 HB	1.0401	C15 (XC18)	1.0570	Si52-3 (E36-3)	
		P.1.2	< 0,45 % C	Recuit	640 N/mm ² / 190 HB	1.1191	C45E (XC48)	1.0718	9SMnPb28 (S250Pb)	
		P.1.3		Trempé revenu	840 N/mm ² / 250 HB	1.1191	C45E (XC48)	1.1181	Ck35 (XC38)	
		P.1.4	< 0,75 % C	Recuit	910 N/mm ² / 270 HB	1.1223	C60R (XC60)	1.1203	Ck55 (XC55)	
		P.1.5		Trempé revenu	1010 N/mm ² / 300 HB	1.1223	C60R (XC60)	1.1203	Ck55 (XC55)	
	Aciers faiblement alliés	P.2.1		Recuit	610 N/mm ² / 180 HB	1.7131	16MnCr5 (16MC5)	1.7220	34CrMo4 (35CD4)	
		P.2.2		Trempé revenu	930 N/mm ² / 275 HB	1.7131	16MnCr5 (16MC5)	1.2312	40CrMnMoS8-6 (40CMD8+S)	
		P.2.3		Trempé revenu	1010 N/mm ² / 300 HB	1.7225	42CrMo4 (42CD4)	1.2744	57NiCrMoV7 (55NCVD7)	
	Aciers fortement alliés et aciers à outils	P.2.4		Trempé revenu	1200 N/mm ² / 375 HB	1.7225	42CrMo4 (42CD4)	1.3505	100Cr6 (100C6)	
		P.3.1		Recuit	680 N/mm ² / 200 HB	1.4021	X20Cr13 (Z20C13)	1.2080	X200Cr12 (Z200 C12)	
		P.3.2		Durci et trempé	1100 N/mm ² / 300 HB	1.2343	X38CrMoV5 1 (Z38 CDV 5)	1.2379	X155CrVMo12-1 (Z160CDV 12)	
		P.3.3		Durci et trempé	1300 N/mm ² / 400 HB	1.2343	X38CrMoV5-1 (Z38 CDV 5)	1.6359	X2NiCrMo18-8-5 (Maraging 250)	
	Aciers inoxydables	P.4.1	Ferritique / martensitaire	Recuit	680 N/mm ² / 200 HB	1.4016	X6Cr17 (430)	1.2316	X36CrMo17 (Z38CD17)	
		P.4.2	Martensitaire	Trempé revenu	1010 N/mm ² / 300 HB	1.4112	X90CrMoV18	1.4057	X20CrNi17-2 (Z20CN 17-2)	
M	Aciers inoxydables	M.1.1	Austénitique / Austénio-ferritique	Traité	610 N/mm ² / 180 HB	1.4301	X5CrNi18-10 (304)	1.4571	X6CrNiMo17-12-2 (316Ti)	
		M.2.1	Austénitique	Trempé revenu	300 HB	1.4841	X15CrNiSi25-21	1.4310	X12CrNi17-7 (Z12CN17-7)	
		M.3.1	Austénio-ferritique (Duplex)		780 N/mm ² / 230 HB	1.4462	X2CrNiMoN22-5-3 (Uranus45)	1.4410	Z2ND25 07 04 Az (F53)	
K	Fontes grises	K.1.1	Perlitique / ferritique		350 N/mm ² / 180 HB	0.6010	GG-10 (F10)	0.6025	GG-25 (F125)	
		K.1.2	Perlitique (martensitaire)		500 N/mm ² / 260 HB	0.6030	GG-30 (F130)	0.6040	GG-40 (F140)	
	Fontes à graphite sphéroïdal	K.2.1	Ferritique		540 N/mm ² / 160 HB	0.7040	GGG-40 (FGS400-12)	0.7060	GGG-60 (FGS600-3)	
		K.2.2	Perlitique		845 N/mm ² / 250 HB	0.7070	GGG-70 (FGS700-2)	0.7080	GGG-80 (FGS800-2)	
	Fontes malléables	K.3.1	Ferritique		440 N/mm ² / 130 HB	0.8035	GTW-35-04	0.8045	GTW-45	
		K.3.2	Perlitique		780 N/mm ² / 230 HB	0.8165	GTS-65-02	0.8170	GTS-70-02	
N	Alliages d'aluminium corroyé	N.1.1	Non durcissable		60 HB	3.0255	Al99.5 (1050A)	3.3315	AlMg1 (5005)	
		N.1.2	Durcissable	Vieilli	340 N/mm ² / 100 HB	3.1355	AlCuMg2 (2024)	3.4365	AlZnMgCu1.5 (7075)	
	Alliages d'aluminium de fonderie	N.2.1	≤ 12 % Si, non durcissable		250 N/mm ² / 75 HB	3.2581	G-AlSi12	3.2163	G-AlSi9Cu3	
		N.2.2	≤ 12 % Si, durcissable	Vieilli	300 N/mm ² / 90 HB	3.2134	G-AlSi5Cu1Mg	3.2373	G-AlSi9Mg	
		N.2.3	> 12 % Si, non durcissable		440 N/mm ² / 130 HB		G-AlSi17Cu4Mg		G-AlSi18CuNiMg	
	Cuivre et alliages de cuivre (Bronze, laiton)	N.3.1	Laitions à copeaux courts, PB > 1 %		375 N/mm ² / 110 HB	2.0380	CuZn39Pb2 (Ms58)	2.0410	CuZn44Pb2	
		N.3.2	Alliages CuZn, CuSnZn		300 N/mm ² / 90 HB	2.0331	CuZn15	2.4070	CuZn28Sn1As	
		N.3.3	CuSn, cuivre électrolytique		340 N/mm ² / 100 HB	2.0060	E-Cu57	2.0590	CuZn40Fe	
	Alliages de magnésium	N.4.1	Magnésium et alliages de magnésium		70 HB	3.5612	MgAl6Zn	3.5312	MgAl3Zn	
S	Alliages résistants à la chaleur	S.1.1	Base Fe	Recuit	680 N/mm ² / 200 HB	1.4864	X12NiCrSi 36-16	1.4865	G-X40NiCrSi38-18	
		S.1.2		Vieilli	950 N/mm ² / 280 HB	1.4980	X6NiCrTiMoVB25-15-2	1.4876	X10NiCrAlTi32-20	
	Alliages résistants à la chaleur	S.2.1	Base Ni ou Cr	Recuit	840 N/mm ² / 250 HB	2.4631	NiCr20TiAl (Nimonic80A)	3.4856	NiCr22Mo9Nb	
		S.2.2		Vieilli	1180 N/mm ² / 350 HB	2.4668	NiCr19Nb5Mo3 (Inconel 718)	2.4955	NiFe25Cr20NbTi	
		S.2.3	De fonderie		1080 N/mm ² / 320 HB	2.4765	CoCr20W15Ni	1.3401	G-X120Mn12	
	Alliages de titane	S.3.1	Titane pur		400 N/mm ²	3.7025	Ti99,8	3.7034	Ti99,7	
		S.3.2	Alliages Alpha + Beta	Vieilli	1050 N/mm ² / 320 HB	3.7165	TiAl6V4	Ti-6246	Ti-6Al-2Sn-4Zr-6Mo	
		S.3.3	Alliages Beta		1400 N/mm ² / 410 HB	Ti555.3	Ti-5Al-5V-5Mo-3Cr	R56410	Ti-10V-2Fe-3Al	
H	Aciers trempés	H.1.1		Durci et trempé	46–55 HRC					
		H.1.2		Durci et trempé	56–60 HRC					
		H.1.3		Durci et trempé	61–65 HRC					
		H.1.4		Durci et trempé	66–70 HRC					
	Acières frittés	H.2.1		De fonderie	400 HB					
O	Matériaux non métalliques	H.3.1		Durci et trempé	55 HRC					
		O.1.1	Plastiques, duoplastiques		≤ 150 N/mm ²					
O		O.1.2	Plastiques, thermoplastiques		≤ 100 N/mm ²					
		O.2.1	Matières renforcées par fibres d'aramide		≤ 1000 N/mm ²					
		O.2.2	Matières renforcées par fibres de carbone ou de verre		≤ 1000 N/mm ²					
		O.3.1	Graphite							

* Résistance à la traction

Conditions de coupe – Montermill – SCR – Version courte et longue

Index	Emulsion	Air	MMS	Type court	Type long	52 600 ..., 52 601 ..., 52 602 ..., 52 603 ..., 52 604 ..., 52 605 ..., 52 606 ..., 52 607 ..., 52 608 ..., 52 611 ..., 52 612 ...																										
						\emptyset DC (mm) =						\emptyset DC (mm) =						3,0–3,5			4,0–4,5			5,0–5,5			6,0–7,5			8,0–9,5		
						a_e 0,1–0,2 x DC	a_e 0,3–0,4 x DC	a_e 0,6–1,0 x DC	a_e 0,1–0,2 x DC	a_e 0,3–0,4 x DC	a_e 0,6–1,0 x DC	a_e 0,1–0,2 x DC	a_e 0,3–0,4 x DC	a_e 0,6–1,0 x DC	a_e 0,1–0,2 x DC	a_e 0,3–0,4 x DC	a_e 0,6–1,0 x DC	a_e 0,1–0,2 x DC	a_e 0,3–0,4 x DC	a_e 0,6–1,0 x DC	a_e 0,1–0,2 x DC	a_e 0,3–0,4 x DC	a_e 0,6–1,0 x DC									
						v_c (m/min)	a_p max. x DC		f_z (mm/dt)			a_p max. x DC		f_z (mm/dt)			a_p max. x DC		f_z (mm/dt)			a_p max. x DC		f_z (mm/dt)								
P.1.1	90	160		1,0	1,0	0,031	0,024	0,017	0,043	0,033	0,024	1,0	1,0*	0,062	0,046	0,031	0,083	0,062	0,041	0,11	0,08	0,06										
P.1.2	90	150		1,0	1,0	0,034	0,026	0,019	0,047	0,036	0,026	1,0	1,0*	0,068	0,050	0,034	0,090	0,067	0,045	0,12	0,09	0,06										
P.1.3	90	150		1,0	1,0	0,034	0,026	0,019	0,047	0,036	0,026	1,0	1,0*	0,068	0,050	0,034	0,090	0,067	0,045	0,12	0,09	0,06										
P.1.4	90	140		1,0	1,0	0,034	0,026	0,019	0,047	0,036	0,026	1,0	1,0*	0,068	0,050	0,034	0,090	0,067	0,045	0,12	0,09	0,06										
P.1.5	90	140		1,0	1,0	0,034	0,026	0,019	0,047	0,036	0,026	1,0	1,0*	0,068	0,050	0,034	0,090	0,067	0,045	0,12	0,09	0,06										
P.2.1	90	140		1,0	1,0	0,034	0,026	0,019	0,047	0,036	0,026	1,0	1,0*	0,068	0,050	0,034	0,090	0,067	0,045	0,12	0,09	0,06										
P.2.2	90	140		1,0	1,0	0,034	0,026	0,019	0,047	0,036	0,026	1,0	1,0*	0,068	0,050	0,034	0,090	0,067	0,045	0,12	0,09	0,06										
P.2.3	80	120		1,0	1,0	0,025	0,019	0,014	0,035	0,027	0,020	1,0	1,0*	0,050	0,038	0,025	0,067	0,050	0,034	0,09	0,07	0,05										
P.2.4	80	120		1,0	1,0	0,025	0,019	0,014	0,035	0,027	0,020	1,0	1,0*	0,050	0,038	0,025	0,067	0,050	0,034	0,09	0,07	0,05										
P.3.1	90	140		1,0	1,0	0,022	0,017	0,013	0,031	0,024	0,018	1,0	1,0*	0,045	0,034	0,023	0,060	0,045	0,030	0,08	0,06	0,04										
P.3.2	80	130		1,0	1,0	0,022	0,017	0,013	0,031	0,024	0,018	1,0	1,0*	0,045	0,034	0,023	0,060	0,045	0,030	0,08	0,06	0,04										
P.3.3	80	110		1,0	1,0	0,022	0,017	0,013	0,031	0,024	0,018	1,0	1,0*	0,045	0,034	0,023	0,060	0,045	0,030	0,08	0,06	0,04										
P.4.1	80			1,0	1,0	0,020	0,015	0,011	0,028	0,021	0,015	1,0	1,0*	0,040	0,030	0,020	0,053	0,039	0,026	0,07	0,05	0,04										
P.4.2	80			1,0	1,0	0,020	0,015	0,011	0,028	0,021	0,015	1,0	1,0*	0,040	0,030	0,020	0,053	0,039	0,026	0,07	0,05	0,04										
M.1.1	80			1,0	1,0	0,020	0,015	0,011	0,028	0,021	0,015	1,0	1,0*	0,040	0,030	0,020	0,053	0,039	0,026	0,07	0,05	0,04										
M.2.1	80			1,0	1,0	0,020	0,015	0,011	0,028	0,021	0,015	1,0	1,0*	0,040	0,030	0,020	0,053	0,039	0,026	0,07	0,05	0,04										
M.3.1	80			1,0	1,0	0,020	0,015	0,011	0,028	0,021	0,015	1,0	1,0*	0,040	0,030	0,020	0,053	0,039	0,026	0,07	0,05	0,04										
K.1.1		200		1,0	1,0	0,040	0,031	0,022	0,055	0,043	0,031	1,0	1,0*	0,079	0,059	0,040	0,106	0,079	0,053	0,14	0,11	0,07										
K.1.2		180		1,0	1,0	0,040	0,031	0,022	0,055	0,043	0,031	1,0	1,0*	0,079	0,059	0,040	0,106	0,079	0,053	0,14	0,11	0,07										
K.2.1		200		1,0	1,0	0,034	0,026	0,019	0,047	0,036	0,026	1,0	1,0*	0,068	0,050	0,034	0,090	0,067	0,045	0,12	0,09	0,06										
K.2.2		180		1,0	1,0	0,034	0,026	0,019	0,047	0,036	0,026	1,0	1,0*	0,068	0,050	0,034	0,090	0,067	0,045	0,12	0,09	0,06										
K.3.1		140		1,0	1,0	0,028	0,022	0,016	0,040	0,031	0,022	1,0	1,0*	0,057	0,042	0,028	0,076	0,056	0,038	0,10	0,08	0,05										
K.3.2		140		1,0	1,0	0,028	0,022	0,016	0,040	0,031	0,022	1,0	1,0*	0,057	0,042	0,028	0,076	0,056	0,038	0,10	0,08	0,05										
N.1.1																																
N.1.2																																
N.2.1																																
N.2.2																																
N.2.3																																
N.3.1	150	280		1,0	1,0	0,031	0,024	0,017	0,043	0,033	0,024	1,0	1,0*	0,062	0,046	0,031	0,083	0,062	0,041	0,11	0,08	0,06										
N.3.2	140	230		1,0	1,0	0,034	0,026	0,019	0,047	0,036	0,026	1,0	1,0*	0,068	0,050	0,034	0,090	0,067	0,045	0,12	0,09	0,06										
N.3.3	140	230		1,0	1,0	0,034	0,026	0,019	0,047	0,036	0,026	1,0	1,0*	0,068	0,050	0,034	0,090	0,067	0,045	0,12	0,09	0,06										
N.4.1																																
S.1.1	45			0,5	0,5	0,016	0,007	0,009	0,022	0,017	0,012	0,5	0,5	0,032	0,023	0,016	0,042	0,031	0,021	0,06	0,04	0,03										
S.1.2	45			0,5	0,5	0,016	0,007	0,009	0,022	0,017	0,012	0,5	0,5	0,032	0,023	0,016	0,042	0,031	0,021	0,06	0,04	0,03										
S.2.1	30			0,5	0,5	0,018	0,014	0,010	0,025	0,019	0,014	0,5	0,5	0,036	0,027	0,018	0,048	0,036	0,024	0,06	0,05	0,03										
S.2.2	30			0,5	0,5	0,016	0,007	0,009	0,022	0,017	0,012	0,5	0,5	0,032	0,023	0,016	0,042	0,031	0,021	0,06	0,04	0,03										
S.2.3	30			0,5	0,5	0,016	0,012	0,009	0,022	0,017	0,012	0,5	0,5	0,032	0,023	0,016	0,042	0,031	0,021	0,06	0,04	0,03										
S.3.1	80			0,5	0,5	0,025	0,019	0,014	0,035	0,027	0,020	0,5	0,5	0,050	0,038	0,025	0,067	0,050	0,034	0,09	0,07	0,05										
S.3.2	60			0,5	0,5	0,025	0,019	0,014	0,035	0,027	0,019	0,5	0,5	0,050	0,037	0,025	0,066	0,049	0,033	0,09	0,07	0,04										
S.3.3	60			0,5	0,5	0,022	0,017	0,013	0,031	0,024	0,018	0,5	0,5	0,045	0,034	0,023	0,060	0,045	0,030	0,08	0,06	0,04										
H.1.1		80	0,3	0,3	0,018	0,014	0,010	0,025	0,019	0,014	0,3	0,3	0,036	0,027	0,018	0,048	0,036	0,024	0,06	0,05	0,03											
H.1.2		60	0,15	0,15	0,016	0,012	0,009	0,022	0,017																							

Index	52 600 ..., 52 601 ..., 52 602 ..., 52 603 ..., 52 604 ..., 52 605 ..., 52 607 ..., 52 608 ..., 52 611 ..., 52 612 ...																		● 1er choix		
	\varnothing DC (mm) =																		○ Utilisation possible		
	10,0–11,5			12,0			14,0–15,5			16,0–17,0			18,0–19,5			20,0			Emulsion	Air	MMS
	a_e 0,1–0,2 x DC	a_e 0,3–0,4 x DC	a_e 0,6–1,0 x DC	a_e 0,1–0,2 x DC	a_e 0,3–0,4 x DC	a_e 0,6–1,0 x DC	a_e 0,1–0,2 x DC	a_e 0,3–0,4 x DC	a_e 0,6–1,0 x DC	a_e 0,1–0,2 x DC	a_e 0,3–0,4 x DC	a_e 0,6–1,0 x DC	a_e 0,1–0,2 x DC	a_e 0,3–0,4 x DC	a_e 0,6–1,0 x DC	a_e 0,1–0,2 x DC	a_e 0,3–0,4 x DC	a_e 0,6–1,0 x DC			
P.1.1	0,14	0,10	0,07	0,15	0,11	0,08	0,15	0,12	0,08	0,16	0,13	0,10	0,18	0,14	0,11	0,20	0,16	0,12	○	●	○
P.1.2	0,15	0,11	0,08	0,17	0,12	0,08	0,16	0,13	0,09	0,18	0,14	0,11	0,19	0,16	0,12	0,21	0,17	0,14	○	●	○
P.1.3	0,15	0,11	0,08	0,17	0,12	0,08	0,16	0,13	0,09	0,18	0,14	0,11	0,19	0,16	0,12	0,21	0,17	0,14	○	●	○
P.1.4	0,15	0,11	0,08	0,17	0,12	0,08	0,16	0,13	0,09	0,18	0,14	0,11	0,19	0,16	0,12	0,21	0,17	0,14	○	●	○
P.1.5	0,15	0,11	0,08	0,17	0,12	0,08	0,16	0,13	0,09	0,18	0,14	0,11	0,19	0,16	0,12	0,21	0,17	0,14	○	●	○
P.2.1	0,15	0,11	0,08	0,17	0,12	0,08	0,16	0,13	0,09	0,18	0,14	0,11	0,19	0,16	0,12	0,21	0,17	0,14	○	●	○
P.2.2	0,15	0,11	0,08	0,17	0,12	0,08	0,16	0,13	0,09	0,18	0,14	0,11	0,19	0,16	0,12	0,21	0,17	0,14	○	●	○
P.2.3	0,11	0,08	0,06	0,12	0,09	0,06	0,12	0,10	0,07	0,13	0,10	0,08	0,14	0,12	0,09	0,16	0,13	0,10	○	●	○
P.2.4	0,11	0,08	0,06	0,12	0,09	0,06	0,12	0,10	0,07	0,13	0,10	0,08	0,14	0,12	0,09	0,16	0,13	0,10	○	●	○
P.3.1	0,10	0,08	0,05	0,11	0,08	0,06	0,11	0,09	0,06	0,12	0,09	0,07	0,13	0,10	0,08	0,14	0,12	0,09	○	●	○
P.3.2	0,10	0,08	0,05	0,11	0,08	0,06	0,11	0,09	0,06	0,12	0,09	0,07	0,13	0,10	0,08	0,14	0,12	0,09	○	●	○
P.3.3	0,10	0,08	0,05	0,11	0,08	0,06	0,11	0,09	0,06	0,12	0,09	0,07	0,13	0,10	0,08	0,14	0,12	0,09	○	●	○
P.4.1	0,09	0,07	0,04	0,10	0,07	0,05	0,10	0,08	0,05	0,10	0,08	0,06	0,11	0,09	0,07	0,13	0,10	0,08	●		
P.4.2	0,09	0,07	0,04	0,10	0,07	0,05	0,10	0,08	0,05	0,10	0,08	0,06	0,11	0,09	0,07	0,13	0,10	0,08	●		
M.1.1	0,09	0,07	0,04	0,10	0,07	0,05	0,10	0,08	0,05	0,10	0,08	0,06	0,11	0,09	0,07	0,13	0,10	0,08	●		
M.2.1	0,09	0,07	0,04	0,10	0,07	0,05	0,10	0,08	0,05	0,10	0,08	0,06	0,11	0,09	0,07	0,13	0,10	0,08	●		
M.3.1	0,09	0,07	0,04	0,10	0,07	0,05	0,10	0,08	0,05	0,10	0,08	0,06	0,11	0,09	0,07	0,13	0,10	0,08	●		
K.1.1	0,18	0,13	0,09	0,19	0,14	0,10	0,19	0,15	0,11	0,21	0,16	0,12	0,22	0,18	0,14	0,25	0,20	0,16		●	
K.1.2	0,18	0,13	0,09	0,19	0,14	0,10	0,19	0,15	0,11	0,21	0,16	0,12	0,22	0,18	0,14	0,25	0,20	0,16		●	
K.2.1	0,15	0,11	0,08	0,17	0,12	0,08	0,16	0,13	0,09	0,18	0,14	0,11	0,19	0,16	0,12	0,21	0,17	0,14		●	
K.2.2	0,15	0,11	0,08	0,17	0,12	0,08	0,16	0,13	0,09	0,18	0,14	0,11	0,19	0,16	0,12	0,21	0,17	0,14		●	
K.3.1	0,13	0,09	0,06	0,14	0,10	0,07	0,14	0,11	0,08	0,15	0,11	0,09	0,16	0,13	0,10	0,18	0,15	0,11		●	
K.3.2	0,13	0,09	0,06	0,14	0,10	0,07	0,14	0,11	0,08	0,15	0,11	0,09	0,16	0,13	0,10	0,18	0,15	0,11		●	
N.1.1																					
N.1.2																					
N.2.1																					
N.2.2																					
N.2.3																					
N.3.1	0,14	0,10	0,07	0,15	0,11	0,08	0,15	0,12	0,08	0,16	0,13	0,10	0,18	0,14	0,11	0,20	0,16	0,12	●		○
N.3.2	0,15	0,11	0,08	0,17	0,12	0,08	0,16	0,13	0,09	0,18	0,14	0,11	0,19	0,16	0,12	0,21	0,17	0,14	●		○
N.3.3	0,15	0,11	0,08	0,17	0,12	0,08	0,16	0,13	0,09	0,18	0,14	0,11	0,19	0,16	0,12	0,21	0,17	0,14		●	○
N.4.1																					
S.1.1	0,07	0,05	0,04	0,08	0,06	0,04	0,08	0,06	0,04	0,08	0,06	0,05	0,09	0,07	0,06	0,10	0,08	0,06	●		
S.1.2	0,07	0,05	0,04	0,08	0,06	0,04	0,08	0,06	0,04	0,08	0,06	0,05	0,09	0,07	0,06	0,10	0,08	0,06	●		
S.2.1	0,08	0,06	0,04	0,09	0,07	0,04	0,09	0,07	0,05	0,10	0,07	0,06	0,10	0,08	0,06	0,11	0,09	0,07	●		
S.2.2	0,07	0,05	0,04	0,08	0,06	0,04	0,08	0,06	0,04	0,08	0,06	0,05	0,09	0,07	0,06	0,10	0,08	0,06	●		
S.2.3	0,07	0,05	0,04	0,08	0,03	0,04	0,08	0,06	0,04	0,08	0,06	0,05	0,09	0,07	0,06	0,10	0,08	0,06	●		
S.3.1	0,11	0,08	0,06	0,12	0,09	0,06	0,12	0,10	0,07	0,13	0,10	0,08	0,14	0,12	0,09	0,16	0,13	0,10	●		
S.3.2	0,11	0,08	0,06	0,12	0,09	0,06	0,12	0,09	0,07	0,13	0,10	0,08	0,14	0,11	0,09	0,16	0,13	0,10	●		
S.3.3	0,10	0,08	0,05	0,11	0,08	0,06	0,11	0,09	0,06	0,12	0,09	0,07	0,13	0,10	0,08	0,14	0,12	0,09	●		
H.1.1	0,08	0,06	0,04	0,09	0,07	0,04	0,09	0,07	0,05	0,10	0,07	0,06	0,10	0,08	0,06	0,11	0,09	0,07	●		
H.1.2	0,07	0,05	0,04	0,08	0,06	0,04	0,08	0,06	0,04	0,08	0,06	0,05	0,09	0,07	0,06	0,10	0,08	0,06	●		
H.1.3																					
H.1.4																					
H.2.1	0,09	0,07	0,05	0,10	0,07	0,05	0,10	0,08	0,05	0,11	0,08	0,06	0,11	0,09	0,07	0,13	0,11	0,08	●		
H.3.1	0,08	0,06	0,04	0,09	0,07	0,04	0,09	0,07	0,05	0,10	0,07	0,06	0,10	0,08	0,06	0,11	0,09	0,07	●		
O.1.1	0,30	0,22	0,15	0,33	0,25	0,17	0,33	0,26	0,18	0,36	0,27	0,21	0,38	0,31	0,24	0,43	0,35	0,27	●		○
O.1.2																					
O.2.1																					
O.2.2																					
O.3.1																					



Avances recommandées pour fraises toriques et hémisphériques
→ Page 486

Conditions de coupe – Montermill – SCR – Version extra-longue

Index	Emulsion	Air	MMS	Type extra long	52 605 ... / 52 608 ...																				
					3				4				Ø DC (mm) =				6				8				
					a_e 0,1–0,2 x DC	a_e 0,3–0,4 x DC	a_e 0,6–1,0 x DC	a_e 0,1–0,2 x DC	a_e 0,3–0,4 x DC	a_e 0,6–1,0 x DC	a_e 0,1–0,2 x DC	a_e 0,3–0,4 x DC	a_e 0,6–1,0 x DC	a_e 0,1–0,2 x DC	a_e 0,3–0,4 x DC	a_e 0,6–1,0 x DC	a_e 0,1–0,2 x DC	a_e 0,3–0,4 x DC	a_e 0,6–1,0 x DC	f_z (mm/dt)	a_p max. x DC				
				v_c (m/min)																					
P.1.1	80	110		1,0*	0,5	0,031	0,024	0,017	0,043	0,033	0,024	0,062	0,046	0,031	0,083	0,062	0,041	0,11	0,08	0,06					
P.1.2	80	110		1,0*	0,5	0,034	0,026	0,019	0,047	0,036	0,026	0,068	0,050	0,034	0,090	0,067	0,045	0,12	0,09	0,06					
P.1.3	80	110		1,0*	0,5	0,034	0,026	0,019	0,047	0,036	0,026	0,068	0,050	0,034	0,090	0,067	0,045	0,12	0,09	0,06					
P.1.4	80	110		1,0*	0,5	0,034	0,026	0,019	0,047	0,036	0,026	0,068	0,050	0,034	0,090	0,067	0,045	0,12	0,09	0,06					
P.1.5	80	110		1,0*	0,5	0,034	0,026	0,019	0,047	0,036	0,026	0,068	0,050	0,034	0,090	0,067	0,045	0,12	0,09	0,06					
P.2.1	80	90		1,0*	0,5	0,034	0,026	0,019	0,047	0,036	0,026	0,068	0,050	0,034	0,090	0,067	0,045	0,12	0,09	0,06					
P.2.2	80	90		1,0*	0,5	0,034	0,026	0,019	0,047	0,036	0,026	0,068	0,050	0,034	0,090	0,067	0,045	0,12	0,09	0,06					
P.2.3	70	80		1,0*	0,5	0,025	0,019	0,014	0,035	0,027	0,020	0,050	0,038	0,025	0,067	0,050	0,034	0,09	0,07	0,05					
P.2.4	70	80		1,0*	0,5	0,025	0,019	0,014	0,035	0,027	0,020	0,050	0,038	0,025	0,067	0,050	0,034	0,09	0,07	0,05					
P.3.1	70	80		1,0*	0,5	0,022	0,017	0,013	0,031	0,024	0,018	0,045	0,034	0,023	0,060	0,045	0,030	0,08	0,06	0,04					
P.3.2	70	80		1,0*	0,5	0,022	0,017	0,013	0,031	0,024	0,018	0,045	0,034	0,023	0,060	0,045	0,030	0,08	0,06	0,04					
P.3.3	70	80		1,0*	0,5	0,022	0,017	0,013	0,031	0,024	0,018	0,045	0,034	0,023	0,060	0,045	0,030	0,08	0,06	0,04					
P.4.1	70			1,0*	0,5	0,020	0,015	0,011	0,028	0,021	0,015	0,040	0,030	0,020	0,053	0,039	0,026	0,07	0,05	0,04					
P.4.2	70			1,0*	0,5	0,020	0,015	0,011	0,028	0,021	0,015	0,040	0,030	0,020	0,053	0,039	0,026	0,07	0,05	0,04					
M.1.1	70			1,0*	0,5	0,020	0,015	0,011	0,028	0,021	0,015	0,040	0,030	0,020	0,053	0,039	0,026	0,07	0,05	0,04					
M.2.1	70			1,0*	0,5	0,020	0,015	0,011	0,028	0,021	0,015	0,040	0,030	0,020	0,053	0,039	0,026	0,07	0,05	0,04					
M.3.1	70			1,0*	0,5	0,020	0,015	0,011	0,028	0,021	0,015	0,040	0,030	0,020	0,053	0,039	0,026	0,07	0,05	0,04					
K.1.1		160		1,0*	0,5	0,040	0,031	0,022	0,055	0,043	0,031	0,079	0,059	0,040	0,106	0,079	0,053	0,14	0,11	0,07					
K.1.2		120		1,0*	0,5	0,040	0,031	0,022	0,055	0,043	0,031	0,079	0,059	0,040	0,106	0,079	0,053	0,14	0,11	0,07					
K.2.1		160		1,0*	0,5	0,034	0,026	0,019	0,047	0,036	0,026	0,068	0,050	0,034	0,090	0,067	0,045	0,12	0,09	0,06					
K.2.2		120		1,0*	0,5	0,034	0,026	0,019	0,047	0,036	0,026	0,068	0,050	0,034	0,090	0,067	0,045	0,12	0,09	0,06					
K.3.1		100		1,0*	0,5	0,028	0,022	0,016	0,040	0,031	0,022	0,057	0,042	0,028	0,076	0,056	0,038	0,10	0,08	0,05					
K.3.2		100		1,0*	0,5	0,028	0,022	0,016	0,040	0,031	0,022	0,057	0,042	0,028	0,076	0,056	0,038	0,10	0,08	0,05					
N.1.1																									
N.1.2																									
N.2.1																									
N.2.2																									
N.2.3																									
N.3.1	120	240		1,0*	0,5	0,031	0,024	0,017	0,043	0,033	0,024	0,062	0,046	0,031	0,083	0,062	0,041	0,11	0,08	0,06					
N.3.2	100	200		1,0*	0,5	0,034	0,026	0,019	0,047	0,036	0,026	0,068	0,050	0,034	0,090	0,067	0,045	0,12	0,09	0,06					
N.3.3	100	200		1,0*	0,5	0,034	0,026	0,019	0,047	0,036	0,026	0,068	0,050	0,034	0,090	0,067	0,045	0,12	0,09	0,06					
N.4.1																									
S.1.1	40			0,5*	0,25	0,016	0,007	0,009	0,022	0,017	0,012	0,032	0,023	0,016	0,042	0,031	0,021	0,06	0,04	0,03					
S.1.2	40			0,5*	0,25	0,016	0,007	0,009	0,022	0,017	0,012	0,032	0,023	0,016	0,042	0,031	0,021	0,06	0,04	0,03					
S.2.1	25			0,5*	0,25	0,018	0,014	0,010	0,025	0,019	0,014	0,036	0,027	0,018	0,048	0,036	0,024	0,06	0,05	0,03					
S.2.2	25			0,5*	0,25	0,016	0,007	0,009	0,022	0,017	0,012	0,032	0,023	0,016	0,042	0,031	0,021	0,06	0,04	0,03					
S.2.3	25			0,5*	0,25	0,016	0,012	0,009	0,022	0,017	0,012	0,032	0,023	0,016	0,042	0,031	0,021	0,06	0,04	0,03					
S.3.1	60			0,5*	0,25	0,025	0,019	0,014	0,035	0,027	0,020	0,050	0,038	0,025	0,067	0,050	0,034	0,09	0,07	0,05					
S.3.2	50			0,5*	0,25	0,025	0,019	0,014	0,035	0,027	0,019	0,050	0,037	0,025	0,066	0,049	0,033	0,09	0,07	0,04					
S.3.3	50			0,5*	0,25	0,022	0,017	0,013	0,031	0,024	0,018	0,045	0,034	0,023	0,060	0,045	0,030	0,08	0,06	0,04					
H.1.1		60		0,5*	0,3	0,018	0,014	0,010	0,025	0,019	0,014	0,036	0,027	0,018	0,048	0,036	0,024	0,06	0,05	0,03					
H.1.2		50		0,5*	0,15	0,016	0,012	0,009	0,022	0,017	0,012	0,032	0,023	0,016	0,042	0,031	0,021	0,06	0,04	0,03					
H.1.3																									
H.1.4																									
H.2.1		80		0,5*	0,5	0,020	0,016	0,011	0,028	0,022	0,016	0,041	0,030	0,020	0,054	0,040	0,027	0,07	0,05	0,04					
H.3.1		60		0,5*	0,3	0,018	0,014	0,010	0,025	0,019	0,014	0,036	0,027	0,018	0,048	0,036	0,024	0,06	0,05	0,03					
O.1.1	120	240		1,0*	0,5	0,067	0,052	0,038	0,094	0,073	0,053	0,135	0,101	0,068	0,180	0,134	0,090	0,24	0,18	0,12					
O.1.2																									
O.2.1																									
O.2.2																									
O.3.1																									

* = Effeuillage et rainurage trochoïdal

Index	52 605 ... / 52 608 ...																				● 1er choix			○ Utilisation possible		
	Ø DC (mm) =						f _z (mm/dt)						Emulsion						Air			MMS				
	10			12			14			16			18			20			a _e 0,1-0,2 x DC	a _e 0,3-0,4 x DC	a _e 0,6-1,0 x DC	a _e 0,1-0,2 x DC	a _e 0,3-0,4 x DC	a _e 0,6-1,0 x DC		
	a _e 0,1-0,2 x DC	a _e 0,3-0,4 x DC	a _e 0,6-1,0 x DC	a _e 0,1-0,2 x DC	a _e 0,3-0,4 x DC	a _e 0,6-1,0 x DC	a _e 0,1-0,2 x DC	a _e 0,3-0,4 x DC	a _e 0,6-1,0 x DC	a _e 0,1-0,2 x DC	a _e 0,3-0,4 x DC	a _e 0,6-1,0 x DC	a _e 0,1-0,2 x DC	a _e 0,3-0,4 x DC	a _e 0,6-1,0 x DC	a _e 0,1-0,2 x DC	a _e 0,3-0,4 x DC	a _e 0,6-1,0 x DC	a _e 0,1-0,2 x DC	a _e 0,3-0,4 x DC	a _e 0,6-1,0 x DC	a _e 0,1-0,2 x DC	a _e 0,3-0,4 x DC	a _e 0,6-1,0 x DC		
P.1.1	0,14	0,10	0,07	0,15	0,11	0,08	0,15	0,12	0,08	0,15	0,13	0,10	0,18	0,14	0,11	0,20	0,16	0,12	○	●	○	M.1.1	0,09	0,07	0,04	
P.1.2	0,15	0,11	0,08	0,17	0,12	0,08	0,16	0,13	0,09	0,17	0,14	0,11	0,19	0,16	0,12	0,21	0,17	0,14	○	●	○	M.2.1	0,09	0,07	0,04	
P.1.3	0,15	0,11	0,08	0,17	0,12	0,08	0,16	0,13	0,09	0,17	0,14	0,11	0,19	0,16	0,12	0,21	0,17	0,14	○	●	○	M.3.1	0,09	0,07	0,04	
P.1.4	0,15	0,11	0,08	0,17	0,12	0,08	0,16	0,13	0,09	0,17	0,14	0,11	0,19	0,16	0,12	0,21	0,17	0,14	○	●	○	K.1.1	0,18	0,13	0,09	
P.1.5	0,15	0,11	0,08	0,17	0,12	0,08	0,16	0,13	0,09	0,17	0,14	0,11	0,19	0,16	0,12	0,21	0,17	0,14	○	●	○	K.1.2	0,18	0,13	0,09	
P.2.1	0,15	0,11	0,08	0,17	0,12	0,08	0,16	0,13	0,09	0,17	0,14	0,11	0,19	0,16	0,12	0,21	0,17	0,14	○	●	○	K.2.1	0,15	0,11	0,08	
P.2.2	0,15	0,11	0,08	0,17	0,12	0,08	0,16	0,13	0,09	0,17	0,14	0,11	0,19	0,16	0,12	0,21	0,17	0,14	○	●	○	K.2.2	0,15	0,11	0,08	
P.2.3	0,11	0,08	0,06	0,12	0,09	0,06	0,12	0,10	0,07	0,12	0,10	0,08	0,14	0,12	0,09	0,16	0,13	0,10	○	●	○	K.3.1	0,13	0,09	0,06	
P.2.4	0,11	0,08	0,06	0,12	0,09	0,06	0,12	0,10	0,07	0,12	0,10	0,08	0,14	0,12	0,09	0,16	0,13	0,10	○	●	○	K.3.2	0,13	0,09	0,06	
P.3.1	0,10	0,08	0,05	0,11	0,08	0,06	0,11	0,09	0,06	0,11	0,09	0,07	0,13	0,10	0,08	0,14	0,12	0,09	○	●	○	N.1.1				
P.3.2	0,10	0,08	0,05	0,11	0,08	0,06	0,11	0,09	0,06	0,11	0,09	0,07	0,13	0,10	0,08	0,14	0,12	0,09	○	●	○	N.1.2				
P.3.3	0,10	0,08	0,05	0,11	0,08	0,06	0,11	0,09	0,06	0,11	0,09	0,07	0,13	0,10	0,08	0,14	0,12	0,09	○	●	○	N.2.1				
P.4.1	0,09	0,07	0,04	0,10	0,07	0,05	0,10	0,08	0,05	0,10	0,08	0,06	0,11	0,09	0,07	0,13	0,10	0,08	●			N.2.2				
P.4.2	0,09	0,07	0,04	0,10	0,07	0,05	0,10	0,08	0,05	0,10	0,08	0,06	0,11	0,09	0,07	0,13	0,10	0,08	●			N.2.3				
M.1.1	0,09	0,07	0,04	0,10	0,07	0,05	0,10	0,08	0,05	0,10	0,08	0,06	0,11	0,09	0,07	0,13	0,10	0,08	●			M.2.1	0,09	0,07	0,04	
M.2.1	0,09	0,07	0,04	0,10	0,07	0,05	0,10	0,08	0,05	0,10	0,08	0,06	0,11	0,09	0,07	0,13	0,10	0,08	●			M.3.1	0,09	0,07	0,04	
K.1.1	0,18	0,13	0,09	0,19	0,14	0,10	0,19	0,15	0,11	0,20	0,16	0,12	0,22	0,18	0,14	0,25	0,20	0,16	○	●	○	K.1.2	0,18	0,13	0,09	
K.2.1	0,15	0,11	0,08	0,17	0,12	0,08	0,16	0,13	0,09	0,17	0,14	0,11	0,19	0,16	0,12	0,21	0,17	0,14	○	●	○	K.2.2	0,15	0,11	0,08	
K.2.2	0,15	0,11	0,08	0,17	0,12	0,08	0,16	0,13	0,09	0,17	0,14	0,11	0,19	0,16	0,12	0,21	0,17	0,14	○	●	○	K.3.1	0,13	0,09	0,06	
K.3.1	0,13	0,09	0,06	0,14	0,10	0,07	0,14	0,11	0,08	0,14	0,11	0,09	0,16	0,13	0,10	0,18	0,15	0,11	○	●	○	K.3.2	0,13	0,09	0,06	
N.1.1																										
N.1.2																										
N.2.1																										
N.2.2																										
N.2.3																										
N.3.1	0,14	0,10	0,07	0,15	0,11	0,08	0,15	0,12	0,08	0,15	0,13	0,10	0,18	0,14	0,11	0,20	0,16	0,12	●		○	N.3.1	0,14	0,10	0,07	
N.3.2	0,15	0,11	0,08	0,17	0,12	0,08	0,16	0,13	0,09	0,17	0,14	0,11	0,19	0,16	0,12	0,21	0,17	0,14	●		○	N.3.3	0,15	0,11	0,08	
N.3.3	0,15	0,11	0,08	0,17	0,12	0,08	0,16	0,13	0,09	0,17	0,14	0,11	0,19	0,16	0,12	0,21	0,17	0,14	●		○	N.4.1				
S.1.1	0,07	0,05	0,04	0,08	0,06	0,04	0,08	0,06	0,04	0,08	0,06	0,05	0,09	0,07	0,06	0,10	0,08	0,06	●			S.1.2	0,07	0,05	0,04	
S.2.1	0,08	0,06	0,04	0,09	0,07	0,04	0,09	0,07	0,05	0,09	0,07	0,06	0,10	0,08	0,06	0,11	0,09	0,07	●			S.2.2	0,07	0,05	0,04	
S.2.2	0,07	0,05	0,04	0,08	0,06	0,04	0,08	0,06	0,04	0,08	0,06	0,05	0,09	0,07	0,06	0,10	0,08	0,06	●			S.2.3	0,07	0,05	0,04	
S.3.1	0,11	0,08	0,06	0,12	0,09	0,06	0,12	0,10	0,07	0,12	0,10	0,08	0,14	0,12	0,09	0,16	0,13	0,10	●			S.3.2	0,11	0,08	0,06	
S.3.2	0,11	0,08	0,06	0,12	0,09	0,06	0,12	0,09	0,07	0,12	0,10	0,08	0,14	0,11	0,09	0,16	0,13	0,10	●			S.3.3	0,10	0,08	0,05	
H.1.1	0,08	0,06	0,04	0,09	0,07	0,04	0,09	0,07	0,05	0,09	0,07	0,06	0,10	0,08	0,06	0,11	0,09	0,07	●			H.1.2	0,07	0,05	0,04	
H.1.2	0,07	0,05	0,04	0,08	0,06	0,04	0,08	0,06	0,04	0,08	0,06	0,05	0,09	0,07	0,06	0,10	0,08	0,06	●			H.1.3				
H.1.3																										
H.1.4																										
H.2.1	0,09	0,07	0,05	0,10	0,07	0,05	0,10	0,08	0,05	0,10	0,08	0,06	0,11	0,09	0,07	0,13	0,11	0,08			●	H.3.1	0,08	0,06	0,04	
H.3.1	0,08	0,06	0,04	0,09	0,07	0,04	0,09	0,07	0,05	0,09	0,07	0,06	0,10	0,08	0,06	0,11	0,09	0,07			●	O.1.1	0,30	0,22	0,15	
O.1.2																										
O.2.1																										
O.2.2																										
O.3.1																										

Conditions de coupe – Monstermill – SCR – Torques – Version longue

Index	v _c (m/min)	Type long	52 609 ...															
			\emptyset DC (mm) =															
			3			4			5			6			8			
			a_s 0,1–0,2 x DC	a_e 0,3–0,4 x DC	a_s 0,6–1,0 x DC	a_s 0,1–0,2 x DC	a_e 0,3–0,4 x DC	a_s 0,6–1,0 x DC	a_s 0,1–0,2 x DC	a_e 0,3–0,4 x DC	a_s 0,6–1,0 x DC	a_s 0,1–0,2 x DC	a_e 0,3–0,4 x DC	a_s 0,6–1,0 x DC	a_s 0,1–0,2 x DC	a_e 0,3–0,4 x DC	a_s 0,6–1,0 x DC	f_z (mm/dt)
P.1.1	150	1,0	0,019	0,017	0,012	0,029	0,022	0,016	0,040	0,030	0,020	0,048	0,036	0,024	0,06	0,05	0,03	
P.1.2	130	1,0	0,014	0,012	0,009	0,022	0,017	0,012	0,030	0,022	0,015	0,036	0,027	0,018	0,05	0,04	0,02	
P.1.3	130	1,0	0,014	0,012	0,009	0,022	0,017	0,012	0,030	0,022	0,015	0,036	0,027	0,018	0,05	0,04	0,02	
P.1.4	140	1,0	0,019	0,017	0,012	0,022	0,017	0,012	0,030	0,022	0,015	0,036	0,027	0,018	0,05	0,04	0,02	
P.1.5	140	1,0	0,019	0,017	0,012	0,022	0,017	0,012	0,030	0,022	0,015	0,036	0,027	0,018	0,05	0,04	0,02	
P.2.1	150	1,0	0,024	0,021	0,015	0,029	0,022	0,016	0,040	0,030	0,020	0,048	0,036	0,024	0,06	0,05	0,03	
P.2.2	150	1,0	0,019	0,017	0,012	0,029	0,022	0,016	0,040	0,030	0,020	0,048	0,036	0,024	0,06	0,05	0,03	
P.2.3	130	1,0	0,014	0,012	0,009	0,022	0,017	0,012	0,030	0,022	0,015	0,036	0,027	0,018	0,05	0,04	0,02	
P.2.4	130	1,0	0,014	0,012	0,009	0,022	0,017	0,012	0,030	0,022	0,015	0,036	0,027	0,018	0,05	0,04	0,02	
P.3.1	130	1,0	0,014	0,012	0,009	0,022	0,017	0,012	0,030	0,022	0,015	0,036	0,027	0,018	0,05	0,04	0,02	
P.3.2	150	1,0	0,024	0,021	0,015	0,029	0,022	0,016	0,040	0,030	0,020	0,048	0,036	0,024	0,06	0,05	0,03	
P.3.3	130	1,0	0,014	0,012	0,009	0,022	0,017	0,012	0,030	0,022	0,015	0,036	0,027	0,018	0,05	0,04	0,02	
P.4.1																		
P.4.2																		
M.1.1																		
M.2.1																		
M.3.1																		
K.1.1	170	1,0	0,028	0,025	0,018	0,043	0,033	0,024	0,056	0,042	0,028	0,072	0,054	0,036	0,10	0,07	0,05	
K.1.2	170	1,0	0,028	0,025	0,018	0,043	0,033	0,024	0,056	0,042	0,028	0,072	0,054	0,036	0,10	0,07	0,05	
K.2.1	150	1,0	0,024	0,021	0,015	0,036	0,028	0,020	0,046	0,034	0,023	0,060	0,045	0,030	0,08	0,06	0,04	
K.2.2	150	1,0	0,024	0,021	0,015	0,036	0,028	0,020	0,046	0,034	0,023	0,060	0,045	0,030	0,08	0,06	0,04	
K.3.1	80	1,0	0,014	0,012	0,009	0,022	0,017	0,012	0,030	0,022	0,015	0,036	0,027	0,018	0,05	0,04	0,02	
K.3.2	80	1,0	0,014	0,012	0,009	0,022	0,017	0,012	0,030	0,022	0,015	0,036	0,027	0,018	0,05	0,04	0,02	
N.1.1																		
N.1.2																		
N.2.1																		
N.2.2																		
N.2.3																		
N.3.1																		
N.3.2																		
N.3.3																		
N.4.1																		
S.1.1																		
S.1.2																		
S.2.1																		
S.2.2																		
S.2.3																		
S.3.1																		
S.3.2																		
S.3.3																		
H.1.1	80	0,3	0,014	0,012	0,009	0,022	0,017	0,012	0,030	0,022	0,015	0,036	0,027	0,018	0,05	0,04	0,02	
H.1.2	60	0,15	0,009	0,008	0,006	0,014	0,011	0,008	0,020	0,015	0,010	0,024	0,018	0,012	0,03	0,02	0,02	
H.1.3																		
H.1.4																		
H.2.1	100	0,5	0,014	0,012	0,009	0,022	0,017	0,012	0,030	0,022	0,015	0,036	0,027	0,018	0,05	0,04	0,02	
H.3.1	80	0,3	0,014	0,012	0,009	0,022	0,017	0,012	0,030	0,022	0,015	0,036	0,027	0,018	0,05	0,04	0,02	
O.1.1																		
O.1.2																		
O.2.1																		
O.2.2																		
O.3.1																		

Index	52 609 ...										● 1er choix		
	\emptyset DC (mm) =										○ Utilisation possible		
	10			12			16				Emulsion	Air	MMS
	a_e 0,1–0,2 x DC	a_e 0,3–0,4 x DC	a_e 0,6–1,0 x DC	a_e 0,1–0,2 x DC	a_e 0,3–0,4 x DC	a_e 0,6–1,0 x DC	a_e 0,1–0,2 x DC	a_e 0,3–0,4 x DC	a_e 0,6–1,0 x DC				
f _z (mm/dt)													
P.1.1	0,08	0,06	0,04	0,10	0,07	0,05	0,11	0,08	0,06	○	●		
P.1.2	0,06	0,05	0,03	0,07	0,05	0,04	0,08	0,06	0,05	○	●		
P.1.3	0,06	0,05	0,03	0,07	0,05	0,04	0,08	0,06	0,05	○	●		
P.1.4	0,06	0,05	0,03	0,07	0,05	0,04	0,08	0,06	0,05	○	●		
P.1.5	0,06	0,05	0,03	0,07	0,05	0,04	0,08	0,06	0,05	○	●		
P.2.1	0,08	0,06	0,04	0,10	0,07	0,05	0,11	0,08	0,06	○	●		
P.2.2	0,08	0,06	0,04	0,10	0,07	0,05	0,11	0,08	0,06	○	●		
P.2.3	0,06	0,05	0,03	0,07	0,05	0,04	0,08	0,06	0,05	○	●		
P.2.4	0,06	0,05	0,03	0,07	0,05	0,04	0,08	0,06	0,05	○	●		
P.3.1	0,06	0,05	0,03	0,07	0,05	0,04	0,08	0,06	0,05	○	●		
P.3.2	0,08	0,06	0,04	0,10	0,07	0,05	0,11	0,08	0,06	○	●		
P.3.3	0,06	0,05	0,03	0,07	0,05	0,04	0,08	0,06	0,05	○	●		
P.4.1													
P.4.2													
M.1.1													
M.2.1													
M.3.1													
K.1.1	0,12	0,09	0,06	0,14	0,11	0,07	0,15	0,12	0,09	○	●		
K.1.2	0,12	0,09	0,06	0,14	0,11	0,07	0,15	0,12	0,09	○	●		
K.2.1	0,10	0,08	0,05	0,12	0,09	0,06	0,14	0,10	0,08	○	●		
K.2.2	0,10	0,08	0,05	0,12	0,09	0,06	0,14	0,10	0,08	○	●		
K.3.1	0,06	0,05	0,03	0,07	0,05	0,04	0,08	0,06	0,05	○	●		
K.3.2	0,06	0,05	0,03	0,07	0,05	0,04	0,08	0,06	0,05	○	●		
N.1.1													
N.1.2													
N.2.1													
N.2.2													
N.2.3													
N.3.1													
N.3.2													
N.3.3													
N.4.1													
S.1.1													
S.1.2													
S.2.1													
S.2.2													
S.2.3													
S.3.1													
S.3.2													
S.3.3													
H.1.1	0,06	0,05	0,03	0,07	0,05	0,04	0,08	0,06	0,05	●			
H.1.2	0,04	0,03	0,02	0,05	0,04	0,02	0,05	0,04	0,03	●			
H.1.3													
H.1.4													
H.2.1	0,06	0,05	0,03	0,07	0,05	0,04	0,08	0,06	0,05	●			
H.3.1	0,06	0,05	0,03	0,07	0,05	0,04	0,08	0,06	0,05	●			
O.1.1													
O.1.2													
O.2.1													
O.2.2													
O.3.1													

Conditions de coupe – Montermill – SCR – Torques – Mode HSC

Index	v _c (m/min)	a _p	a _e	Ø DC (mm) =								Emulsion	Air	MMS			
				f _z (mm/dt)													
				3	4	5	6	8	10	12	16						
P.1.1	200	0,04	0,5	0,090	0,120	0,150	0,180	0,24	0,30	0,36	0,48	○	●				
P.1.2	170	0,03	0,3	0,066	0,090	0,110	0,132	0,18	0,22	0,26	0,35	○	●				
P.1.3	170	0,03	0,3	0,066	0,090	0,110	0,132	0,18	0,22	0,26	0,35	○	●				
P.1.4	190	0,03	0,4	0,072	0,100	0,120	0,144	0,19	0,24	0,29	0,38	○	●				
P.1.5	190	0,03	0,4	0,072	0,100	0,120	0,144	0,19	0,24	0,29	0,38	○	●				
P.2.1	200	0,04	0,5	0,090	0,120	0,150	0,180	0,24	0,30	0,36	0,48	○	●				
P.2.2	200	0,04	0,5	0,090	0,120	0,150	0,180	0,24	0,30	0,36	0,48	○	●				
P.2.3	170	0,03	0,3	0,066	0,090	0,110	0,132	0,18	0,22	0,26	0,35	○	●				
P.2.4	170	0,03	0,3	0,066	0,090	0,110	0,132	0,18	0,22	0,26	0,35	○	●				
P.3.1	170	0,03	0,3	0,066	0,090	0,110	0,132	0,18	0,22	0,26	0,35	○	●				
P.3.2	200	0,04	0,5	0,090	0,120	0,150	0,180	0,24	0,30	0,36	0,48	○	●				
P.3.3	170	0,03	0,3	0,066	0,090	0,110	0,132	0,18	0,22	0,26	0,35	○	●				
P.4.1																	
P.4.2																	
M.1.1																	
M.2.1																	
M.3.1																	
K.1.1	230	0,05	0,6	0,120	0,160	0,200	0,240	0,32	0,40	0,48	0,64	○	●				
K.1.2	230	0,05	0,6	0,120	0,160	0,200	0,240	0,32	0,40	0,48	0,64	○	●				
K.2.1	200	0,04	0,5	0,096	0,130	0,160	0,192	0,26	0,32	0,38	0,51	○	●				
K.2.2	200	0,04	0,5	0,096	0,130	0,160	0,192	0,26	0,32	0,38	0,51	○	●				
K.3.1	100	0,03	0,4	0,072	0,100	0,120	0,144	0,19	0,24	0,29	0,38	○	●				
K.3.2	100	0,03	0,4	0,072	0,100	0,120	0,144	0,19	0,24	0,29	0,38	○	●				
N.1.1																	
N.1.2																	
N.2.1																	
N.2.2																	
N.2.3																	
N.3.1																	
N.3.2																	
N.3.3																	
N.4.1																	
S.1.1																	
S.1.2																	
S.2.1																	
S.2.2																	
S.2.3																	
S.3.1																	
S.3.2																	
S.3.3																	
H.1.1	100	0,03	0,3	0,060	0,080	0,100	0,120	0,16	0,20	0,24	0,32		●				
H.1.2	90	0,02	0,3	0,048	0,064	0,080	0,096	0,13	0,16	0,19	0,26		●				
H.1.3	80	0,02	0,2	0,024	0,056	0,070	0,084	0,11	0,14	0,17	0,22		●				
H.1.4	60	0,02	0,2	0,036	0,048	0,060	0,072	0,10	0,12	0,14	0,19		●				
H.2.1	130	0,03	0,4	0,072	0,100	0,120	0,144	0,19	0,24	0,29	0,38		●				
H.3.1	100	0,03	0,3	0,060	0,080	0,100	0,120	0,16	0,20	0,24	0,32		●				
O.1.1																	
O.1.2																	
O.2.1																	
O.2.2																	
O.3.1																	

Conditions de coupe – MonsterMill – FRP CR profil fin

Index	Air	Type long	52 598 ...					Emulsion	Air	MMS			
			\emptyset DC (mm) =										
			$> \emptyset 5 \leq \emptyset 6$	$> \emptyset 6 \leq \emptyset 8$	$> \emptyset 8 \leq \emptyset 10$	$> \emptyset 10 \leq \emptyset 12$	$> \emptyset 12 \leq \emptyset 14$						
			a_e 0,6–1,0 x DC	a_e 0,6–1,0 x DC	a_e 0,6–1,0 x DC	a_e 0,6–1,0 x DC	a_e 0,6–1,0 x DC						
f (mm/tr)													
O.1.1													
O.1.2													
O.2.1													
O.2.2	200	1,0	0,125	0,150	0,175	0,200	0,225		●				
O.3.1													



Pour la fraise MonsterMill FRP CR, l'avance est exprimée en mm/tr.

Conditions de coupe – MonsterMill – FRP CR profil prononcé

Index	Air	Type long	52 599 ...					Emulsion	Air	MMS			
			\emptyset DC (mm) =										
			$> \emptyset 5 \leq \emptyset 6$	$> \emptyset 6 \leq \emptyset 8$	$> \emptyset 8 \leq \emptyset 10$	$> \emptyset 10 \leq \emptyset 12$	$> \emptyset 12 \leq \emptyset 14$						
			a_e 0,6–1,0 x DC	a_e 0,6–1,0 x DC	a_e 0,6–1,0 x DC	a_e 0,6–1,0 x DC	a_e 0,6–1,0 x DC						
f (mm/tr)													
O.1.1													
O.1.2													
O.2.1													
O.2.2	200	1,5	0,100	0,120	0,140	0,160	0,180		●				
O.3.1													



Pour la fraise MonsterMill FRP CR, l'avance est exprimée en mm/tr.

Conditions de coupe – MonsterMill – FRP

Index	Air	Type long	52 595 ..., 52 596 ..., 52 597 ...					Emulsion	Air	MMS			
			\emptyset DC (mm) =										
			$> \emptyset 5 \leq \emptyset 6$	$> \emptyset 6 \leq \emptyset 8$	$> \emptyset 8 \leq \emptyset 10$	$> \emptyset 10 \leq \emptyset 12$	$> \emptyset 12 \leq \emptyset 14$						
			a_e 0,6–1,0 x DC	a_e 0,6–1,0 x DC	a_e 0,6–1,0 x DC	a_e 0,6–1,0 x DC	a_e 0,6–1,0 x DC						
f (mm/tr)													
O.1.1													
O.1.2													
O.2.1													
O.2.2	200	1,0	0,018	0,022	0,026	0,03	0,034		●				
O.3.1													



Les préconisations d'utilisation peuvent différer de ces informations en fonction de l'usinage et de l'application. Veuillez contacter votre référent CERATIZIT pour déterminer la recommandation optimale pour votre application.

Conditions de coupe – Montermill – ICR – Version courte

Index	Emulsion	Air	MMS	Type court	52 784 ...										Emulsion	Air	MMS			
					\emptyset DC (mm) =															
					1,5			2			2,5									
					a_s 0,1–0,2 x DC	a_s 0,3–0,4 x DC	a_s 0,6–1,0 x DC	a_s 0,1–0,2 x DC	a_s 0,3–0,4 x DC	a_s 0,6–1,0 x DC	a_s 0,1–0,2 x DC	a_s 0,3–0,4 x DC	a_s 0,6–1,0 x DC	f_z (mm/dt)						
v _c (m/min)		a_p max. x DC																		
P.1.1	140	130		0,25	0,014	0,013	0,010	0,020	0,019	0,014	0,029	0,024	0,018	○	●	○				
P.1.2	140	130		0,25	0,014	0,013	0,010	0,018	0,017	0,013	0,026	0,022	0,016	○	●	○				
P.1.3	140	130		0,25	0,014	0,013	0,010	0,018	0,017	0,013	0,026	0,022	0,016	○	●	○				
P.1.4	140	130		0,25	0,014	0,013	0,010	0,018	0,017	0,013	0,026	0,022	0,016	○	●	○				
P.1.5	140	130		0,25	0,014	0,013	0,010	0,018	0,017	0,013	0,026	0,022	0,016	○	●	○				
P.2.1	120			0,25	0,014	0,013	0,010	0,018	0,017	0,013	0,026	0,022	0,016	○	●	○				
P.2.2	120	110		0,25	0,014	0,013	0,010	0,018	0,017	0,013	0,026	0,022	0,016	○	●	○				
P.2.3	80	90		0,25	0,013	0,012	0,009	0,016	0,015	0,011	0,024	0,020	0,015	○	●	○				
P.2.4	80	90		0,25	0,013	0,012	0,009	0,016	0,015	0,011	0,024	0,020	0,015	○	●	○				
P.3.1	80	90		0,25	0,011	0,010	0,008	0,014	0,013	0,010	0,021	0,017	0,013	○	●	○				
P.3.2	80	90		0,25	0,011	0,010	0,008	0,014	0,013	0,010	0,021	0,017	0,013	○	●	○				
P.3.3	100	110		0,25	0,011	0,010	0,008	0,014	0,013	0,010	0,021	0,017	0,013	○	●	○				
P.4.1	100			0,25	0,009	0,008	0,006	0,013	0,012	0,009	0,019	0,016	0,012	●						
P.4.2	100			0,25	0,009	0,008	0,006	0,013	0,012	0,009	0,019	0,016	0,012	●						
M.1.1	100			0,25	0,009	0,008	0,006	0,013	0,012	0,009	0,019	0,016	0,012	●						
M.2.1	80			0,25	0,009	0,008	0,006	0,013	0,012	0,009	0,019	0,016	0,012	●						
M.3.1	100			0,25	0,009	0,008	0,006	0,013	0,012	0,009	0,019	0,016	0,012	●						
K.1.1		180		0,25	0,020	0,019	0,014	0,025	0,024	0,018	0,036	0,030	0,022		●					
K.1.2		160		0,25	0,020	0,019	0,014	0,025	0,024	0,018	0,036	0,030	0,022		●					
K.2.1		180		0,25	0,016	0,015	0,011	0,022	0,020	0,015	0,031	0,026	0,019		●					
K.2.2		160		0,25	0,016	0,015	0,011	0,022	0,020	0,015	0,031	0,026	0,019		●					
K.3.1		120		0,25	0,014	0,013	0,010	0,018	0,017	0,013	0,026	0,022	0,016		●					
K.3.2		120		0,25	0,014	0,013	0,010	0,018	0,017	0,013	0,026	0,022	0,016		●					
N.1.1																				
N.1.2																				
N.2.1																				
N.2.2																				
N.2.3																				
N.3.1	280	280		0,25	0,007	0,007	0,005	0,020	0,019	0,014	0,029	0,024	0,018	●		○				
N.3.2	220	220		0,25	0,016	0,015	0,011	0,022	0,020	0,015	0,031	0,026	0,019	●		○				
N.3.3	220	220		0,25	0,016	0,015	0,011	0,022	0,020	0,015	0,031	0,026	0,019	●		○				
N.4.1																				
S.1.1	45			0,25	0,009	0,008	0,006	0,013	0,012	0,009	0,019	0,012	0,012	●						
S.1.2	45			0,25	0,009	0,008	0,006	0,013	0,012	0,009	0,019	0,012	0,012	●						
S.2.1	25			0,25	0,011	0,010	0,008	0,014	0,013	0,010	0,021	0,017	0,013	●						
S.2.2	30			0,25	0,009	0,008	0,006	0,013	0,012	0,009	0,019	0,012	0,012	●						
S.2.3	25			0,25	0,011	0,010	0,008	0,014	0,013	0,010	0,021	0,017	0,013	●						
S.3.1	80			0,25	0,013	0,012	0,009	0,016	0,015	0,011	0,024	0,020	0,015	●						
S.3.2	60			0,25	0,014	0,013	0,010	0,018	0,017	0,013	0,026	0,022	0,016	●						
S.3.3	60			0,25	0,014	0,013	0,010	0,018	0,017	0,013	0,026	0,022	0,016	●						
H.1.1		80		0,20	0,011	0,010	0,008	0,014	0,013	0,010	0,021	0,017	0,013	●						
H.1.2		60		0,15	0,009	0,008	0,006	0,013	0,012	0,009	0,019	0,016	0,012	●						
H.1.3																				
H.1.4																				
H.2.1		80		0,25	0,013	0,012	0,009	0,016	0,015	0,011	0,024	0,020	0,015	●						
H.3.1		80		0,20	0,011	0,010	0,008	0,014	0,013	0,010	0,021	0,017	0,013	●						
O.1.1	300	300		0,25	0,029	0,027	0,020	0,043	0,040	0,030	0,051	0,043	0,032	●		○				
O.1.2																				
O.2.1																				
O.2.2																				
O.3.1																				

 Angle de plongée pour ramping ou interpolation circulaire : 5° pour les fraises avec Z = 3 ; 4° pour les fraises avec Z = 4 ; 3° pour les fraises avec Z = 5

Conditions de coupe – Monstermill – ICR – Version courte et longue

Index	Emulsion	Air	MMS	Type court	Type long	52 784 ..., 52 786 ...												● 1er choix			○ Utilisation possible			
						Ø DC (mm) =																		
						3			4			5			6									
						a_e 0,1–0,2 x DC	a_e 0,3–0,4 x DC	a_e 0,6–1,0 x DC	a_e 0,1–0,2 x DC	a_e 0,3–0,4 x DC	a_e 0,6–1,0 x DC	a_e 0,1–0,2 x DC	a_e 0,3–0,4 x DC	a_e 0,6–1,0 x DC	a_e 0,1–0,2 x DC	a_e 0,3–0,4 x DC	a_e 0,6–1,0 x DC	f_z (mm/dt)						
v _c (m/min)		a_p max. x DC																				Emulsion	Air	MMS
P.1.1	140	130	1,0	1,0*	0,038	0,029	0,021	0,049	0,038	0,028	0,063	0,049	0,035	0,074	0,057	0,041	○	●	○					
P.1.2	140	130	1,0	1,0*	0,034	0,026	0,019	0,045	0,035	0,025	0,056	0,043	0,031	0,067	0,052	0,038	○	●	○					
P.1.3	140	130	1,0	1,0*	0,034	0,026	0,019	0,045	0,035	0,025	0,056	0,043	0,031	0,067	0,052	0,038	○	●	○					
P.1.4	140	130	1,0	1,0*	0,034	0,026	0,019	0,045	0,035	0,025	0,056	0,043	0,031	0,067	0,052	0,038	○	●	○					
P.1.5	140	130	1,0	1,0*	0,034	0,026	0,019	0,045	0,035	0,025	0,056	0,043	0,031	0,067	0,052	0,038	○	●	○					
P.2.1	120	110	1,0	1,0*	0,034	0,026	0,019	0,045	0,035	0,025	0,056	0,043	0,031	0,067	0,052	0,038	○	●	○					
P.2.2	120	110	1,0	1,0*	0,034	0,026	0,019	0,045	0,035	0,025	0,056	0,043	0,031	0,067	0,052	0,038	○	●	○					
P.2.3	80	90	1,0	1,0*	0,031	0,024	0,018	0,063	0,049	0,035	0,052	0,040	0,029	0,061	0,047	0,034	○	●	○					
P.2.4	80	90	1,0	1,0*	0,031	0,024	0,018	0,063	0,049	0,035	0,052	0,040	0,029	0,061	0,047	0,034	○	●	○					
P.3.1	80	90	1,0	1,0*	0,027	0,021	0,015	0,036	0,028	0,020	0,045	0,035	0,025	0,054	0,042	0,030	○	●	○					
P.3.2	80	90	1,0	1,0*	0,027	0,021	0,015	0,036	0,028	0,020	0,045	0,035	0,025	0,054	0,042	0,030	○	●	○					
P.3.3	100	110	1,0	1,0*	0,027	0,021	0,015	0,036	0,028	0,020	0,045	0,035	0,025	0,054	0,042	0,030	○	●	○					
P.4.1	100		1,0	1,0*	0,025	0,019	0,014	0,031	0,024	0,018	0,040	0,031	0,023	0,047	0,036	0,026	●							
P.4.2	100		1,0	1,0*	0,025	0,019	0,014	0,031	0,024	0,018	0,040	0,031	0,023	0,047	0,036	0,026	●							
M.1.1	100		1,0	1,0*	0,025	0,019	0,014	0,031	0,024	0,018	0,040	0,031	0,023	0,047	0,036	0,026	●							
M.2.1	80		1,0	1,0*	0,025	0,019	0,014	0,031	0,024	0,018	0,040	0,031	0,023	0,047	0,036	0,026	●							
M.3.1	100		1,0	1,0*	0,025	0,019	0,014	0,031	0,024	0,018	0,040	0,031	0,023	0,047	0,036	0,026	●							
K.1.1		180	1,0	1,0*	0,047	0,036	0,026	0,063	0,049	0,035	0,079	0,061	0,044	0,094	0,073	0,053		●						
K.1.2		160	1,0	1,0*	0,047	0,036	0,026	0,063	0,049	0,035	0,079	0,061	0,044	0,094	0,073	0,053		●						
K.2.1		180	1,0	1,0*	0,040	0,031	0,023	0,054	0,042	0,030	0,067	0,052	0,038	0,081	0,062	0,045		●						
K.2.2		160	1,0	1,0*	0,040	0,031	0,023	0,054	0,042	0,030	0,067	0,052	0,038	0,081	0,062	0,045		●						
K.3.1		120	1,0	1,0*	0,034	0,026	0,019	0,045	0,035	0,025	0,056	0,043	0,031	0,067	0,052	0,038		●						
K.3.2		120	1,0	1,0*	0,034	0,026	0,019	0,045	0,035	0,025	0,056	0,043	0,031	0,067	0,052	0,038		●						
N.1.1																								
N.1.2																								
N.2.1																								
N.2.2																								
N.2.3																								
N.3.1	280	280	1,0	1,0*	0,038	0,029	0,021	0,049	0,038	0,028	0,063	0,049	0,035	0,741	0,572	0,413	●		○					
N.3.2	220	220	1,0	1,0*	0,040	0,031	0,023	0,054	0,042	0,030	0,067	0,052	0,038	0,081	0,062	0,045	●		○					
N.3.3	220	220	1,0	1,0*	0,040	0,031	0,023	0,054	0,042	0,030	0,067	0,052	0,038	0,081	0,062	0,045	●		○					
N.4.1																								
S.1.1	45		0,5	0,5	0,025	0,012	0,014	0,031	0,024	0,018	0,040	0,031	0,023	0,047	0,036	0,026	●							
S.1.2	45		0,5	0,5	0,025	0,012	0,014	0,031	0,024	0,018	0,040	0,031	0,023	0,047	0,036	0,026	●							
S.2.1	25		0,5	0,5	0,027	0,021	0,015	0,036	0,028	0,020	0,045	0,035	0,025	0,054	0,042	0,030		●						
S.2.2	30		0,5	0,5	0,025	0,012	0,014	0,031	0,024	0,018	0,040	0,031	0,023	0,047	0,036	0,026		●						
S.2.3	25		0,5	0,5	0,027	0,021	0,015	0,036	0,028	0,020	0,045	0,035	0,025	0,054	0,042	0,030		●						
S.3.1	80		0,5	0,5	0,031	0,024	0,018	0,040	0,031	0,023	0,052	0,040	0,029	0,061	0,047	0,034		●						
S.3.2	60		0,5	0,5	0,034	0,026	0,019	0,045	0,035	0,025	0,056	0,043	0,031	0,067	0,052	0,038		●						
S.3.3	60		0,5	0,5	0,034	0,026	0,019	0,045	0,035	0,025	0,056	0,043	0,031	0,067	0,052	0,038		●						
H.1.1		80	0,3	0,3	0,027	0,021	0,015	0,036	0,028	0,020	0,045	0,035	0,025	0,054	0,042	0,030		●						
H.1.2		60	0,15	0,15	0,025	0,019	0,014	0,031	0,024	0,018	0,040	0,031	0,023	0,047	0,036	0,026		●						
H.1.3																								
H.1.4																								
H.2.1		80	0,5	0,5	0,031	0,024	0,018	0,040	0,031	0,023	0,052	0,040	0,029	0,061	0,047	0,034		●						
H.3.1		80	0,3	0,3	0,027	0,021	0,015	0,036	0,028	0,020	0,045	0,035	0,025	0,054	0,042	0,030		●						
O.1.1	300	300	1,0	1,0*	0,058	0,045	0,033	0,108	0,083	0,060	0,135	0,104	0,075	0,162	0,125	0,090	●		○					
O.1.2																								
O.2.1																								
O.2.2																								
O.3.1																								

*= Pour un a_p de 1,5xD, multiplier l'avance f_z par 0,8

Voir page suivante



Angle de plongée pour ramping ou interpolation circulaire : 5° pour les fraises avec Z = 3 ; 4° pour les fraises avec Z = 4 ; 3° pour les fraises avec Z = 5

Conditions de coupe – Montermill – ICR – Version courte et longue

Index	Emulsion	Air	MMS	Type court	Type long	52 784 ..., 52 786 ...													
						\emptyset DC (mm) =													
						8			10			12			14				
						a_e 0,1–0,2 x DC	a_e 0,3–0,4 x DC	a_e 0,6–1,0 x DC	a_e 0,1–0,2 x DC	a_e 0,3–0,4 x DC	a_e 0,6–1,0 x DC	a_e 0,1–0,2 x DC	a_e 0,3–0,4 x DC	a_e 0,6–1,0 x DC	a_e 0,1–0,2 x DC	a_e 0,3–0,4 x DC	a_e 0,6–1,0 x DC		
		v_c (m/min)		a_p max. x DC		f_z (mm/dt)													
P.1.1	140	130	1,0	1,0*		0,10	0,08	0,06	0,12	0,10	0,07	0,15	0,11	0,08	0,17	0,13	0,10		
P.1.2	140	130	1,0	1,0*		0,09	0,07	0,05	0,12	0,09	0,07	0,14	0,10	0,08	0,16	0,12	0,09		
P.1.3	140	130	1,0	1,0*		0,09	0,07	0,05	0,12	0,09	0,07	0,14	0,10	0,08	0,16	0,12	0,09		
P.1.4	140	130	1,0	1,0*		0,09	0,07	0,05	0,12	0,09	0,07	0,14	0,10	0,08	0,16	0,12	0,09		
P.1.5	140	130	1,0	1,0*		0,09	0,07	0,05	0,12	0,09	0,07	0,14	0,10	0,08	0,16	0,12	0,09		
P.2.1	120	110	1,0	1,0*		0,09	0,07	0,05	0,12	0,09	0,07	0,14	0,10	0,08	0,16	0,12	0,09		
P.2.2	120	110	1,0	1,0*		0,09	0,07	0,05	0,12	0,09	0,07	0,14	0,10	0,08	0,16	0,12	0,09		
P.2.3	80	90	1,0	1,0*		0,08	0,06	0,05	0,11	0,09	0,06	0,12	0,09	0,07	0,14	0,11	0,08		
P.2.4	80	90	1,0	1,0*		0,08	0,06	0,05	0,11	0,09	0,06	0,12	0,09	0,07	0,14	0,11	0,08		
P.3.1	80	90	1,0	1,0*		0,07	0,06	0,04	0,09	0,07	0,05	0,11	0,08	0,06	0,13	0,10	0,07		
P.3.2	80	90	1,0	1,0*		0,07	0,06	0,04	0,09	0,07	0,05	0,11	0,08	0,06	0,13	0,10	0,07		
P.3.3	100	110	1,0	1,0*		0,07	0,06	0,04	0,09	0,07	0,05	0,11	0,08	0,06	0,13	0,10	0,07		
P.4.1	100		1,0	1,0*		0,06	0,05	0,04	0,08	0,06	0,04	0,10	0,07	0,05	0,11	0,09	0,06		
M.1.1	100		1,0	1,0*		0,06	0,05	0,04	0,08	0,06	0,04	0,09	0,07	0,05	0,11	0,09	0,06		
M.2.1	80		1,0	1,0*		0,06	0,05	0,04	0,08	0,06	0,04	0,09	0,07	0,05	0,11	0,09	0,06		
M.3.1	100		1,0	1,0*		0,06	0,05	0,04	0,08	0,06	0,04	0,09	0,07	0,05	0,11	0,09	0,06		
K.1.1		180	1,0	1,0*		0,13	0,10	0,07	0,14	0,10	0,08	0,16	0,13	0,09	0,22	0,17	0,12		
K.1.2		160	1,0	1,0*		0,13	0,10	0,07	0,14	0,10	0,08	0,16	0,13	0,09	0,22	0,17	0,12		
K.2.1		180	1,0	1,0*		0,11	0,08	0,06	0,14	0,10	0,08	0,14	0,11	0,08	0,19	0,15	0,11		
K.2.2		160	1,0	1,0*		0,11	0,08	0,06	0,12	0,09	0,07	0,14	0,11	0,08	0,19	0,15	0,11		
K.3.1		120	1,0	1,0*		0,09	0,07	0,05	0,11	0,09	0,06	0,14	0,10	0,08	0,16	0,12	0,09		
K.3.2		120	1,0	1,0*		0,09	0,07	0,05	0,11	0,09	0,06	0,14	0,10	0,08	0,16	0,12	0,09		
N.1.1																			
N.1.2																			
N.2.1																			
N.2.2																			
N.2.3																			
N.3.1	280	280	1,0	1,0*		0,10	0,08	0,06	0,12	0,10	0,07	0,15	0,11	0,08	0,17	0,13	0,10		
N.3.2	220	220	1,0	1,0*		0,11	0,08	0,06	0,14	0,10	0,08	0,16	0,13	0,09	0,14	0,11	0,08		
N.3.3	220	220	1,0	1,0*		0,11	0,08	0,06	0,14	0,10	0,08	0,16	0,13	0,09	0,14	0,11	0,08		
N.4.1																			
S.1.1	45					0,5	0,5	0,06	0,05	0,04	0,08	0,06	0,04	0,09	0,07	0,05	0,11	0,09	0,06
S.1.2	45					0,5	0,5	0,06	0,05	0,04	0,08	0,06	0,04	0,09	0,07	0,05	0,11	0,09	0,06
S.2.1	25					0,5	0,5	0,07	0,06	0,04	0,09	0,07	0,05	0,11	0,08	0,06	0,13	0,10	0,07
S.2.2	30					0,5	0,5	0,06	0,05	0,04	0,08	0,06	0,04	0,09	0,07	0,05	0,11	0,09	0,06
S.2.3	25					0,5	0,5	0,07	0,06	0,04	0,09	0,07	0,05	0,11	0,05	0,06	0,13	0,10	0,07
S.3.1	80					0,5	0,5	0,08	0,06	0,05	0,10	0,08	0,06	0,12	0,09	0,07	0,14	0,11	0,08
S.3.2	60					0,5	0,5	0,09	0,07	0,05	0,11	0,09	0,06	0,14	0,10	0,08	0,16	0,12	0,09
S.3.3	60					0,5	0,5	0,09	0,07	0,05	0,11	0,09	0,06	0,14	0,10	0,08	0,16	0,12	0,09
H.1.1		80	0,3	0,3	0,07	0,06	0,04	0,09	0,07	0,05	0,11	0,08	0,06	0,13	0,10	0,07			
H.1.2		60	0,15	0,15	0,06	0,05	0,04	0,08	0,06	0,04	0,09	0,07	0,05	0,11	0,09	0,06			
H.1.3																			
H.1.4																			
H.2.1		80	0,5	0,5	0,08	0,06	0,05	0,10	0,08	0,06	0,12	0,09	0,07	0,14	0,11	0,08			
H.3.1		80	0,3	0,3	0,07	0,06	0,04	0,09	0,07	0,05	0,11	0,08	0,06	0,13	0,10	0,07			
O.1.1	300	300	1,0	1,0*	0,22	0,17	0,12	0,27	0,21	0,15	0,32	0,25	0,18	0,38	0,29	0,21			
O.1.2																			
O.2.1																			
O.2.2																			
O.3.1																			

*= Pour un a_p de 1,5xD, multiplier l'avance f_z par 0,8

Angle de plongée pour ramping ou interpolation circulaire : 5° pour les fraises avec Z = 3 ; 4° pour les fraises avec Z = 4 ; 3° pour les fraises avec Z = 5

Index	52 784 ..., 52 786 ...										● 1er choix				
	\emptyset DC (mm) =										○ Utilisation possible				
	16			18			20				Emulsion	Air	MMS		
	a_e 0,1–0,2 x DC	a_e 0,3–0,4 x DC	a_e 0,6–1,0 x DC	a_e 0,1–0,2 x DC	a_e 0,3–0,4 x DC	a_e 0,6–1,0 x DC	a_e 0,1–0,2 x DC	a_e 0,3–0,4 x DC	a_e 0,6–1,0 x DC						
f_z (mm/dt)															
P.1.1	0,18	0,14	0,11	0,19	0,16	0,12	0,20	0,17	0,14	○					
P.1.2	0,16	0,13	0,10	0,17	0,15	0,11	0,18	0,16	0,13	○					
P.1.3	0,16	0,13	0,10	0,17	0,15	0,11	0,18	0,16	0,13	○					
P.1.4	0,16	0,13	0,10	0,17	0,15	0,11	0,18	0,16	0,13	○					
P.1.5	0,16	0,13	0,10	0,17	0,15	0,11	0,18	0,16	0,13	○					
P.2.1	0,16	0,13	0,10	0,17	0,15	0,11	0,18	0,16	0,13	○					
P.2.2	0,16	0,13	0,10	0,17	0,15	0,11	0,18	0,16	0,13	○					
P.2.3	0,14	0,12	0,09	0,15	0,13	0,10	0,16	0,14	0,11	○					
P.2.4	0,14	0,12	0,09	0,15	0,13	0,10	0,16	0,14	0,11	○					
P.3.1	0,13	0,10	0,08	0,14	0,12	0,09	0,14	0,13	0,10	○					
P.3.2	0,13	0,10	0,08	0,14	0,12	0,09	0,14	0,13	0,10	○					
P.3.3	0,13	0,10	0,08	0,14	0,12	0,09	0,14	0,13	0,10	○					
P.4.1	0,11	0,09	0,07	0,12	0,10	0,08	0,13	0,11	0,09	●					
P.4.2	0,11	0,09	0,07	0,12	0,10	0,08	0,13	0,11	0,09	●					
M.1.1	0,11	0,09	0,07	0,12	0,10	0,08	0,13	0,11	0,09	●					
M.2.1	0,11	0,09	0,07	0,12	0,10	0,08	0,13	0,11	0,09	●					
M.3.1	0,11	0,09	0,07	0,12	0,10	0,08	0,13	0,11	0,09	●					
K.1.1	0,22	0,18	0,14	0,24	0,20	0,16	0,25	0,22	0,18	●					
K.1.2	0,22	0,18	0,14	0,24	0,20	0,16	0,25	0,22	0,18	●					
K.2.1	0,19	0,16	0,12	0,20	0,17	0,13	0,25	0,22	0,18	●					
K.2.2	0,19	0,16	0,12	0,20	0,17	0,13	0,22	0,19	0,15	●					
K.3.1	0,16	0,13	0,10	0,17	0,15	0,11	0,18	0,16	0,13	●					
K.3.2	0,16	0,13	0,10	0,17	0,15	0,11	0,18	0,16	0,13	●					
N.1.1															
N.1.2															
N.2.1															
N.2.2															
N.2.3															
N.3.1	0,18	0,14	0,11	0,19	0,16	0,12	0,20	0,17	0,14	●					
N.3.2	0,19	0,16	0,12	0,21	0,17	0,14	0,22	0,19	0,15	●					
N.3.3	0,19	0,16	0,12	0,21	0,17	0,14	0,22	0,19	0,15	●					
N.4.1															
S.1.1	0,11	0,09	0,07	0,12	0,10	0,08	0,13	0,11	0,09	●					
S.1.2	0,11	0,09	0,07	0,12	0,10	0,08	0,13	0,11	0,09	●					
S.2.1	0,13	0,10	0,08	0,14	0,12	0,09	0,14	0,13	0,10	●					
S.2.2	0,11	0,09	0,07	0,12	0,10	0,08	0,13	0,11	0,09	●					
S.2.3	0,13	0,10	0,08	0,14	0,12	0,09	0,14	0,13	0,10	●					
S.3.1	0,14	0,12	0,09	0,15	0,13	0,10	0,16	0,14	0,11	●					
S.3.2	0,16	0,13	0,10	0,17	0,15	0,11	0,18	0,16	0,13	●					
S.3.3	0,16	0,13	0,10	0,17	0,15	0,11	0,18	0,16	0,13	●					
H.1.1	0,13	0,10	0,08	0,14	0,12	0,09	0,14	0,13	0,10	●					
H.1.2	0,11	0,09	0,07	0,12	0,10	0,08	0,13	0,11	0,09	●					
H.1.3															
H.1.4															
H.2.1	0,14	0,12	0,09	0,15	0,13	0,10	0,16	0,14	0,11	●					
H.3.1	0,13	0,10	0,08	0,14	0,12	0,09	0,14	0,13	0,10	●					
O.1.1	0,38	0,31	0,24	0,41	0,35	0,27	0,43	0,38	0,30	●					
O.1.2															
O.2.1															
O.2.2															
O.3.1															

Conditions de coupe – MonsterMill – ICR, version extra-longue

*= Effeuillage et rainurage trochoïdal



Angle de plongée pour ramping ou interpolation circulaire : 5° pour les fraises avec $Z = 3$; 4° pour les fraises avec $Z = 4$; 3° pour les fraises avec $Z = 5$

Index	52 784 ...																				Emulsion	Air	MMS				
	\emptyset DC (mm) =																										
	10			12			14			16			18			20											
	a_s 0,1-0,2 x DC	a_s 0,3-0,4 x DC	a_s 0,6-1,0 x DC	a_s 0,1-0,2 x DC	a_s 0,3-0,4 x DC	a_s 0,6-1,0 x DC	a_s 0,1-0,2 x DC	a_s 0,3-0,4 x DC	a_s 0,6-1,0 x DC	a_s 0,1-0,2 x DC	a_s 0,3-0,4 x DC	a_s 0,6-1,0 x DC	a_s 0,1-0,2 x DC	a_s 0,3-0,4 x DC	a_s 0,6-1,0 x DC	a_s 0,1-0,2 x DC	a_s 0,3-0,4 x DC	a_s 0,6-1,0 x DC									
P.1.1	0,12	0,10	0,07	0,15	0,11	0,08	0,17	0,13	0,10	0,18	0,14	0,11	0,19	0,16	0,12	0,20	0,17	0,14	○	●	○						
P.1.2	0,12	0,09	0,07	0,14	0,10	0,08	0,16	0,12	0,09	0,16	0,13	0,10	0,17	0,15	0,11	0,18	0,16	0,13	○	●	○						
P.1.3	0,12	0,09	0,07	0,14	0,10	0,08	0,16	0,12	0,09	0,16	0,13	0,10	0,17	0,15	0,11	0,18	0,16	0,13	○	●	○						
P.1.4	0,12	0,09	0,07	0,14	0,10	0,08	0,16	0,12	0,09	0,16	0,13	0,10	0,17	0,15	0,11	0,18	0,16	0,13	○	●	○						
P.1.5	0,12	0,09	0,07	0,14	0,10	0,08	0,16	0,12	0,09	0,16	0,13	0,10	0,17	0,15	0,11	0,18	0,16	0,13	○	●	○						
P.2.1	0,12	0,09	0,07	0,14	0,10	0,08	0,16	0,12	0,09	0,16	0,13	0,10	0,17	0,15	0,11	0,18	0,16	0,13	○	●	○						
P.2.2	0,12	0,09	0,07	0,14	0,10	0,08	0,16	0,12	0,09	0,16	0,13	0,10	0,17	0,15	0,11	0,18	0,16	0,13	○	●	○						
P.2.3	0,11	0,09	0,06	0,12	0,09	0,07	0,14	0,11	0,08	0,14	0,12	0,09	0,15	0,13	0,10	0,16	0,14	0,11	○	●	○						
P.2.4	0,11	0,09	0,06	0,12	0,09	0,07	0,14	0,11	0,08	0,14	0,12	0,09	0,15	0,13	0,10	0,16	0,14	0,11	○	●	○						
P.3.1	0,09	0,07	0,05	0,11	0,08	0,06	0,13	0,10	0,07	0,13	0,10	0,08	0,14	0,12	0,09	0,14	0,13	0,10	○	●	○						
P.3.2	0,09	0,07	0,05	0,11	0,08	0,06	0,13	0,10	0,07	0,13	0,10	0,08	0,14	0,12	0,09	0,14	0,13	0,10	○	●	○						
P.3.3	0,09	0,07	0,05	0,11	0,08	0,06	0,13	0,10	0,07	0,13	0,10	0,08	0,14	0,12	0,09	0,14	0,13	0,10	○	●	○						
P.4.1	0,08	0,06	0,04	0,10	0,07	0,05	0,11	0,09	0,06	0,11	0,09	0,07	0,12	0,10	0,08	0,13	0,11	0,09	●								
P.4.2	0,08	0,06	0,04	0,10	0,07	0,05	0,11	0,09	0,06	0,11	0,09	0,07	0,12	0,10	0,08	0,13	0,11	0,09	●								
M.1.1	0,08	0,06	0,04	0,09	0,07	0,05	0,11	0,09	0,06	0,11	0,09	0,07	0,12	0,10	0,08	0,13	0,11	0,09	●								
M.2.1	0,08	0,06	0,04	0,09	0,07	0,05	0,11	0,09	0,06	0,11	0,09	0,07	0,12	0,10	0,08	0,13	0,11	0,09	●								
M.3.1	0,08	0,06	0,04	0,09	0,07	0,05	0,11	0,09	0,06	0,11	0,09	0,07	0,12	0,10	0,08	0,13	0,11	0,09	●								
K.1.1	0,14	0,10	0,08	0,16	0,13	0,09	0,22	0,17	0,12	0,22	0,18	0,14	0,24	0,20	0,16	0,25	0,22	0,18		●							
K.1.2	0,14	0,10	0,08	0,16	0,13	0,09	0,22	0,17	0,12	0,22	0,18	0,14	0,24	0,20	0,16	0,25	0,22	0,18		●							
K.2.1	0,14	0,10	0,08	0,14	0,11	0,08	0,19	0,15	0,11	0,19	0,16	0,12	0,20	0,17	0,13	0,25	0,22	0,18		●							
K.2.2	0,12	0,09	0,07	0,14	0,11	0,08	0,19	0,15	0,11	0,19	0,16	0,12	0,20	0,17	0,13	0,22	0,19	0,15		●							
K.3.1	0,11	0,09	0,06	0,14	0,10	0,08	0,16	0,12	0,09	0,16	0,13	0,10	0,17	0,15	0,11	0,18	0,16	0,13		●							
K.3.2	0,11	0,09	0,06	0,14	0,10	0,08	0,16	0,12	0,09	0,16	0,13	0,10	0,17	0,15	0,11	0,18	0,16	0,13		●							
N.1.1																											
N.1.2																											
N.2.1																											
N.2.2																											
N.2.3																											
N.3.1	0,12	0,10	0,07	0,15	0,11	0,08	0,17	0,13	0,10	0,18	0,14	0,11	0,19	0,16	0,12	0,20	0,17	0,14	●	○							
N.3.2	0,14	0,10	0,08	0,16	0,13	0,09	0,14	0,11	0,08	0,19	0,16	0,12	0,21	0,17	0,14	0,22	0,19	0,15	●	○							
N.3.3	0,14	0,10	0,08	0,16	0,13	0,09	0,14	0,11	0,08	0,19	0,16	0,12	0,21	0,17	0,14	0,22	0,19	0,15	●	○							
N.4.1																											
S.1.1	0,08	0,06	0,04	0,09	0,07	0,05	0,11	0,09	0,06	0,11	0,09	0,07	0,12	0,10	0,08	0,13	0,11	0,09	●								
S.1.2	0,08	0,06	0,04	0,09	0,07	0,05	0,11	0,09	0,06	0,11	0,09	0,07	0,12	0,10	0,08	0,13	0,11	0,09	●								
S.2.1	0,09	0,07	0,05	0,11	0,08	0,06	0,13	0,10	0,07	0,13	0,10	0,08	0,14	0,12	0,09	0,14	0,13	0,10	●								
S.2.2	0,08	0,06	0,04	0,09	0,07	0,05	0,11	0,09	0,06	0,11	0,09	0,07	0,12	0,10	0,08	0,13	0,11	0,09	●								
S.2.3	0,09	0,07	0,05	0,11	0,05	0,06	0,13	0,10	0,07	0,13	0,10	0,08	0,14	0,12	0,09	0,14	0,13	0,10	●								
S.3.1	0,10	0,08	0,06	0,12	0,09	0,07	0,14	0,11	0,08	0,14	0,12	0,09	0,15	0,13	0,10	0,16	0,14	0,11	●								
S.3.2	0,11	0,09	0,06	0,14	0,10	0,08	0,16	0,12	0,09	0,16	0,13	0,10	0,17	0,15	0,11	0,18	0,16	0,13	●								
S.3.3	0,11	0,09	0,06	0,14	0,10	0,08	0,16	0,12	0,09	0,16	0,13	0,10	0,17	0,15	0,11	0,18	0,16	0,13	●								
H.1.1	0,09	0,07		0,11	0,08		0,13	0,10		0,13	0,10		0,14	0,12		0,14	0,13			●							
H.1.2	0,08	0,06		0,09	0,07		0,11	0,09		0,11	0,09		0,12	0,10		0,13	0,11			●							
H.1.3																											
H.1.4																											
H.2.1	0,10	0,08		0,12	0,09		0,14	0,11		0,14	0,12		0,16	0,13		0,16	0,14			●							
H.3.1	0,09	0,07		0,11	0,08		0,13	0,10		0,13	0,10		0,14	0,12		0,14	0,13			●							
O.1.1	0,27	0,21	0,15	0,32	0,25	0,18	0,38	0,29	0,21	0,38	0,31	0,24	0,41	0,35	0,27	0,43	0,38	0,30	●	○							
O.1.2																											
O.2.1																											
O.2.2																											
O.3.1																											

Conditions de coupe – Montermill – TCR

Index	Type long	Type extra long	Type long	Type extra long	52 504 ..., 52 508 ...											
					\emptyset DC (mm) =											
					4			5			6			8		
					a_e 0,1–0,2 x DC	a_e 0,3–0,4 x DC	a_e 0,6–1,0 x DC	a_e 0,1–0,2 x DC	a_e 0,3–0,4 x DC	a_e 0,6–1,0 x DC	a_e 0,1–0,2 x DC	a_e 0,3–0,4 x DC	a_e 0,6–1,0 x DC	a_e 0,1–0,2 x DC	a_e 0,3–0,4 x DC	a_e 0,6–1,0 x DC
	v_c (m/min)				f_z (mm/dt)											
P.4.1	110	88	1,0	0,5	0,022	0,017	0,012	0,032	0,024	0,016	0,042	0,031	0,021	0,05	0,037	0,025
P.4.2	100	80	1,0	0,5	0,022	0,017	0,012	0,032	0,024	0,016	0,042	0,031	0,021	0,05	0,037	0,025
M.1.1	110	88	1,0	0,5	0,022	0,017	0,012	0,032	0,024	0,016	0,042	0,031	0,021	0,05	0,037	0,025
M.2.1	80	64	1,0	0,5	0,022	0,017	0,012	0,032	0,024	0,016	0,042	0,031	0,021	0,05	0,037	0,025
M.3.1	100	80	1,0	0,5	0,022	0,017	0,012	0,032	0,024	0,016	0,042	0,031	0,021	0,05	0,037	0,025
S.1.1																
S.1.2																
S.2.1																
S.2.2																
S.2.3																
S.3.1	80	96	1,0	0,5	0,022	0,017	0,012	0,032	0,024	0,016	0,042	0,031	0,021	0,050	0,037	0,025
S.3.2	70	80	1,0	0,5	0,020	0,015	0,010	0,030	0,022	0,014	0,040	0,029	0,019	0,048	0,035	0,022
S.3.3	60	64	1,0	0,5	0,150	0,010	0,008	0,025	0,018	0,010	0,035	0,025	0,015	0,040	0,030	0,018

Conditions de coupe – Montermill – TCR

Index	Type long	Type long	52 506 ...											
			\emptyset DC (mm) =											
			4		5		6		8		10		12	
			a_e 0,1–0,2 x DC	a_e 0,3–0,4 x DC										
	v_c (m/min)	a_p max. x DC	f_z (mm/dt)											
P.4.1	110	1,0	0,022	0,017	0,032	0,024	0,042	0,031	0,05	0,037	0,064	0,048	0,08	0,06
P.4.2	100	1,0	0,022	0,017	0,032	0,024	0,042	0,031	0,05	0,037	0,064	0,048	0,08	0,06
M.1.1	110	1,0	0,022	0,017	0,032	0,024	0,042	0,031	0,05	0,037	0,064	0,048	0,08	0,06
M.2.1	80	1,0	0,022	0,017	0,032	0,024	0,042	0,031	0,05	0,037	0,064	0,048	0,08	0,06
M.3.1	100	1,0	0,022	0,017	0,032	0,024	0,042	0,031	0,05	0,037	0,064	0,048	0,08	0,06
S.1.1														
S.1.2														
S.2.1														
S.2.2														
S.2.3														
S.3.1	80	1,0	0,022	0,017	0,032	0,024	0,042	0,031	0,050	0,037	0,064	0,048	0,080	0,060
S.3.2	70	1,0	0,020	0,015	0,030	0,022	0,040	0,029	0,048	0,035	0,062	0,046	0,078	0,058
S.3.3	60	1,0	0,150	0,010	0,025	0,018	0,035	0,025	0,040	0,030	0,055	0,035	0,070	0,050

Index	52 504 ..., 52 508 ...												● 1er choix		
	\emptyset DC (mm) =												○ Utilisation possible		
	10			12			16			20			Emulsion	Air	MMS
	a_e 0,1–0,2 x DC	a_e 0,3–0,4 x DC	a_e 0,6–1,0 x DC	a_e 0,1–0,2 x DC	a_e 0,3–0,4 x DC	a_e 0,6–1,0 x DC	a_e 0,1–0,2 x DC	a_e 0,3–0,4 x DC	a_e 0,6–1,0 x DC	a_e 0,1–0,2 x DC	a_e 0,3–0,4 x DC	a_e 0,6–1,0 x DC			
P.4.1	0,064	0,048	0,032	0,08	0,06	0,04	0,085	0,065	0,045	0,111	0,09	0,07	●	○	
P.4.2	0,064	0,048	0,032	0,08	0,06	0,04	0,085	0,065	0,045	0,111	0,09	0,07	●	○	
M.1.1	0,064	0,048	0,032	0,08	0,06	0,04	0,085	0,065	0,045	0,111	0,09	0,07	●	○	
M.2.1	0,064	0,048	0,032	0,08	0,06	0,04	0,085	0,065	0,045	0,111	0,09	0,07	●	○	
M.3.1	0,064	0,048	0,032	0,08	0,06	0,04	0,085	0,065	0,045	0,111	0,09	0,07	●	○	
S.1.1															
S.1.2															
S.2.1															
S.2.2															
S.2.3															
S.3.1	0,064	0,048	0,032	0,080	0,060	0,040	0,085	0,065	0,045	0,111	0,090	0,070	●		
S.3.2	0,062	0,046	0,030	0,078	0,058	0,038	0,083	0,063	0,043	0,109	0,088	0,068	●		
S.3.3	0,055	0,035	0,025	0,070	0,050	0,030	0,075	0,055	0,035	0,100	0,080	0,060	●		

Index	52 506 ...				● 1er choix				
					○ Utilisation possible				
	\emptyset DC (mm) =				Emulsion	Air	MMS		
	a_e 0,1–0,2 x DC	a_e 0,3–0,4 x DC	a_e 0,1–0,2 x DC	a_e 0,3–0,4 x DC					
P.4.1	0,085	0,065	0,111	0,09	●	○			
P.4.2	0,085	0,065	0,111	0,09	●	○			
M.1.1	0,085	0,065	0,111	0,09	●	○			
M.2.1	0,085	0,065	0,111	0,09	●	○			
M.3.1	0,085	0,065	0,111	0,09	●	○			
S.1.1									
S.1.2									
S.2.1									
S.2.2									
S.2.3									
S.3.1	0,085	0,065	0,111	0,090	●				
S.3.2	0,083	0,063	0,109	0,088	●				
S.3.3	0,075	0,055	0,100	0,080	●				

Conditions de coupe – Montermill – TCR – Hémisphériques

Index	Type long	Type extra long	$a_p \text{ max.} \times DC$	52 514 ...												
				$\emptyset DC (\text{mm}) =$												
				2		3		4		5		6		8		
				a_e 0,1–0,2 $\times DC$	a_e 0,3–0,4 $\times DC$											
				$f_z (\text{mm/dt})$												
P.4.1	110	65	0,1 - 0,2	0,015	0,011	0,018	0,012	0,02	0,015	0,02	0,015	0,03	0,02	0,04	0,03	
P.4.2	100	60	0,1 - 0,2	0,015	0,011	0,018	0,012	0,02	0,015	0,02	0,015	0,03	0,02	0,04	0,03	
M.1.1	110	65	0,1 - 0,2	0,015	0,011	0,018	0,012	0,02	0,015	0,02	0,015	0,03	0,02	0,04	0,03	
M.2.1	80	55	0,1 - 0,2	0,015	0,011	0,018	0,012	0,02	0,015	0,02	0,015	0,03	0,02	0,04	0,03	
M.3.1	100	60	0,1 - 0,2	0,015	0,011	0,018	0,012	0,02	0,015	0,02	0,015	0,03	0,02	0,04	0,03	
S.1.1																
S.1.2																
S.2.1																
S.2.2																
S.2.3																
S.3.1	80	60	0,1 - 0,2	0,017	0,013	0,02	0,014	0,022	0,017	0,022	0,017	0,034	0,025	0,053	0,042	
S.3.2	70	50	0,1 - 0,2	0,014	0,011	0,017	0,012	0,019	0,014	0,019	0,014	0,029	0,022	0,046	0,036	
S.3.3	60	40	0,1 - 0,2	0,012	0,009	0,014	0,01	0,016	0,012	0,016	0,012	0,024	0,018	0,038	0,03	

Conditions de coupe – Montermill – TCR – Grande avance

Index	Type long	Type extra long	$a_p \text{ max.} \times DC$	52 512 ...									● 1er choix ○ Utilisation possible			
				$\emptyset DC (\text{mm}) =$												
				2	3	4	5	6	8	10	12	16	a_e 0,1–1,0 $\times DC$	Emulsion	Air	MMS
				$f_z (\text{mm/dt})$												
P.4.1	120	110	0,06	0,025	0,04	0,06	0,07	0,09	0,11	0,13	0,18	0,22	●	○		
P.4.2	110	100	0,06	0,025	0,04	0,06	0,07	0,09	0,11	0,13	0,18	0,22	●	○		
M.1.1	120	110	0,06	0,025	0,04	0,06	0,07	0,09	0,11	0,13	0,18	0,22	●	○		
M.2.1	100	90	0,06	0,025	0,04	0,06	0,07	0,09	0,11	0,13	0,18	0,22	●	○		
M.3.1	110	100	0,06	0,025	0,04	0,06	0,07	0,09	0,11	0,13	0,18	0,22	●	○		
S.1.1																
S.1.2																
S.2.1																
S.2.2																
S.2.3																
S.3.1	130	120	0,06	0,025	0,040	0,060	0,070	0,090	0,11	0,13	0,18	0,22	●			
S.3.2	110	100	0,06	0,020	0,035	0,055	0,065	0,085	0,10	0,12	0,16	0,20	●			
S.3.3	90	80	0,06	0,015	0,030	0,050	0,060	0,080	0,09	0,11	0,15	0,18	●			

Index	52 514 ...							● 1er choix		
	\varnothing DC (mm) =							○ Utilisation possible		
	10		12		16			Emulsion	Air	MMS
	a_e 0,1–0,2 x DC	a_e 0,3–0,4 x DC	a_e 0,1–0,2 x DC	a_e 0,3–0,4 x DC	a_e 0,1–0,2 x DC	a_e 0,3–0,4 x DC				
f _z (mm/dt)										
P.4.1	0,05	0,04	0,06	0,05	0,07	0,06	●	○		
P.4.2	0,05	0,04	0,06	0,05	0,07	0,06	●	○		
M.1.1	0,05	0,04	0,06	0,05	0,07	0,06	●	○		
M.2.1	0,05	0,04	0,06	0,05	0,07	0,06	●	○		
M.3.1	0,05	0,04	0,06	0,05	0,07	0,06	●	○		
S.1.1										
S.1.2										
S.2.1										
S.2.2										
S.2.3										
S.3.1	0,059	0,046	0,066	0,056	0,073	0,063	●			
S.3.2	0,05	0,04	0,056	0,048	0,062	0,054	●			
S.3.3	0,042	0,033	0,047	0,04	0,052	0,045	●			

Conditions de coupe – Montermill – NCR – Version longue

Index	ZEFP = 4			Type long	53 030 ...												
					\emptyset DC (mm) =												
	4				5			6			8						
	a_e 0,1–0,2 x DC	a_e 0,3–0,4 x DC	a_e 0,6–1,0 x DC		a_e 0,1–0,2 x DC	a_e 0,3–0,4 x DC	a_e 0,6–1,0 x DC	a_e 0,1–0,2 x DC	a_e 0,3–0,4 x DC	a_e 0,6–1,0 x DC	a_e 0,1–0,2 x DC	a_e 0,3–0,4 x DC	a_e 0,6–1,0 x DC	a_e 0,1–0,2 x DC	a_e 0,3–0,4 x DC	a_e 0,6–1,0 x DC	
v _c (m/min)			a_p max. x DC			f_z (mm/dt)											
M.1.1	120	100	70	1,0	0,03	0,02	0,02	0,04	0,03	0,02	0,05	0,04	0,02	0,06	0,05	0,03	
M.2.1	100	80	60	1,0	0,03	0,02	0,02	0,04	0,03	0,02	0,05	0,04	0,02	0,06	0,05	0,03	
M.3.1	120	100	70	1,0	0,03	0,02	0,02	0,04	0,03	0,02	0,05	0,04	0,02	0,06	0,05	0,03	
S.1.1	50	40	30	1,0	0,03	0,02	0,02	0,04	0,03	0,02	0,05	0,04	0,02	0,06	0,05	0,03	
S.1.2	50	40	30	1,0	0,03	0,02	0,02	0,04	0,03	0,02	0,05	0,04	0,02	0,06	0,05	0,03	
S.2.1	35	30	25	1,0	0,03	0,02	0,02	0,04	0,03	0,02	0,05	0,04	0,02	0,06	0,05	0,03	
S.2.2	35	30	25	1,0	0,03	0,02	0,02	0,04	0,03	0,02	0,05	0,04	0,02	0,06	0,05	0,03	
S.2.3	35	30	25	1,0	0,03	0,02	0,02	0,04	0,03	0,02	0,05	0,04	0,02	0,06	0,05	0,03	
S.3.1	120	100	80	1,0	0,04	0,03	0,02	0,05	0,04	0,03	0,05	0,04	0,03	0,07	0,06	0,04	
S.3.2	100	80	60	1,0	0,04	0,03	0,02	0,05	0,04	0,03	0,05	0,04	0,03	0,07	0,06	0,04	
S.3.3	80	70	60	1,0	0,04	0,03	0,02	0,05	0,04	0,03	0,05	0,04	0,03	0,07	0,06	0,04	



Angle de plongée pour ramping ou interpolation circulaire = 3°

Index	ZEFP = 5			Type long	53 031 ...												
					\emptyset DC (mm) =												
	6		8		10		12		16		20						
	a_e 0,1–0,2 x DC	a_e 0,3–0,4 x DC	f_z (mm/dt)														
v _c (m/min)			a_p max. x DC														
M.1.1	100	1,5	0,04	0,03	0,06	0,04	0,07	0,05	0,08	0,06	0,10	0,07	0,12	0,08	●	○	
M.2.1	80	1,5	0,04	0,03	0,06	0,04	0,07	0,05	0,08	0,06	0,10	0,07	0,12	0,08	●	○	
M.3.1	100	1,5	0,04	0,03	0,06	0,04	0,07	0,05	0,08	0,06	0,10	0,07	0,12	0,08	●	○	
S.1.1	40	1,5	0,04	0,03	0,06	0,04	0,07	0,05	0,08	0,06	0,10	0,07	0,12	0,08	●		
S.1.2	40	1,5	0,04	0,03	0,06	0,04	0,07	0,05	0,08	0,06	0,10	0,07	0,12	0,08	●		
S.2.1	35	1,5	0,04	0,03	0,06	0,04	0,07	0,05	0,08	0,06	0,10	0,07	0,12	0,08	●		
S.2.2	35	1,5	0,04	0,03	0,06	0,04	0,07	0,05	0,08	0,06	0,10	0,07	0,12	0,08	●		
S.2.3	35	1,5	0,04	0,03	0,06	0,04	0,07	0,05	0,08	0,06	0,10	0,07	0,12	0,08	●		
S.3.1	100	1,5	0,05	0,04	0,06	0,05	0,08	0,06	0,10	0,07	0,12	0,09	0,14	0,10	●		
S.3.2	80	1,5	0,05	0,04	0,06	0,05	0,08	0,06	0,10	0,07	0,12	0,09	0,14	0,10	●		
S.3.3	70	1,5	0,05	0,04	0,06	0,05	0,08	0,06	0,10	0,07	0,12	0,09	0,14	0,10	●		



Angle de plongée pour ramping ou interpolation circulaire = 1°

Index	53 030 ...												● 1er choix		
	$\emptyset_{DC} (\text{mm}) =$												○ Utilisation possible		
	10			12			16			20			Emulsion	Air	MMS
	a_e 0,1–0,2 x DC	a_e 0,3–0,4 x DC	a_e 0,6–1,0 x DC	a_e 0,1–0,2 x DC	a_e 0,3–0,4 x DC	a_e 0,6–1,0 x DC	a_e 0,1–0,2 x DC	a_e 0,3–0,4 x DC	a_e 0,6–1,0 x DC	a_e 0,1–0,2 x DC	a_e 0,3–0,4 x DC	a_e 0,6–1,0 x DC			
M.1.1	0,08	0,06	0,04	0,10	0,07	0,05	0,12	0,09	0,05	0,14	0,10	0,06	●	○	
M.2.1	0,08	0,06	0,04	0,10	0,07	0,05	0,12	0,09	0,05	0,14	0,10	0,06	●	○	
M.3.1	0,08	0,06	0,04	0,10	0,07	0,05	0,12	0,09	0,05	0,14	0,10	0,06	●	○	
S.1.1	0,08	0,06	0,04	0,10	0,07	0,05	0,12	0,09	0,05	0,14	0,10	0,06	●		
S.1.2	0,08	0,06	0,04	0,10	0,07	0,05	0,12	0,09	0,05	0,14	0,10	0,06	●		
S.2.1	0,08	0,06	0,04	0,10	0,07	0,05	0,12	0,09	0,05	0,14	0,10	0,06	●		
S.2.2	0,08	0,06	0,04	0,10	0,07	0,05	0,12	0,09	0,05	0,14	0,10	0,06	●		
S.2.3	0,08	0,06	0,04	0,10	0,07	0,05	0,12	0,09	0,05	0,14	0,10	0,06	●		
S.3.1	0,09	0,07	0,05	0,11	0,08	0,06	0,13	0,10	0,07	0,16	0,12	0,08	●		
S.3.2	0,09	0,07	0,05	0,11	0,08	0,06	0,13	0,10	0,07	0,16	0,12	0,08	●		
S.3.3	0,09	0,07	0,05	0,11	0,08	0,06	0,13	0,10	0,07	0,16	0,12	0,08	●		

Conditions de coupe – Monstermill – NCR – Version extra-longue

Index	ZEFP = 4		Type extra long	53 030 ...														
				\emptyset DC (mm) =														
	4			5		6		8		10		12						
	a_e 0,1–0,2 x DC	a_e 0,3–0,4 x DC		a_e 0,1–0,2 x DC	a_e 0,3–0,4 x DC													
v_c (m/min)		a_p max. x DC	f_z (mm/dt)															
M.1.1	100	80	1,0	0,03	0,02	0,04	0,03	0,05	0,04	0,06	0,05	0,08	0,06	0,10	0,07			
M.2.1	90	70	1,0	0,03	0,02	0,04	0,03	0,05	0,04	0,06	0,05	0,08	0,06	0,10	0,07			
M.3.1	100	80	1,0	0,03	0,02	0,04	0,03	0,05	0,04	0,06	0,05	0,08	0,06	0,10	0,07			
S.1.1	50	40	1,0	0,03	0,02	0,04	0,03	0,05	0,04	0,06	0,05	0,08	0,06	0,10	0,07			
S.1.2	50	40	1,0	0,03	0,02	0,04	0,03	0,05	0,04	0,06	0,05	0,08	0,06	0,10	0,07			
S.2.1	35	30	1,0	0,03	0,02	0,04	0,03	0,05	0,04	0,06	0,05	0,08	0,06	0,10	0,07			
S.2.2	35	30	1,0	0,03	0,02	0,04	0,03	0,05	0,04	0,06	0,05	0,08	0,06	0,10	0,07			
S.2.3	35	30	1,0	0,03	0,02	0,04	0,03	0,05	0,04	0,06	0,05	0,08	0,06	0,10	0,07			
S.3.1	100	80	1,0	0,04	0,03	0,05	0,04	0,05	0,04	0,07	0,06	0,09	0,07	0,11	0,08			
S.3.2	80	70	1,0	0,04	0,03	0,05	0,04	0,05	0,04	0,07	0,06	0,09	0,07	0,11	0,08			
S.3.3	70	60	1,0	0,04	0,03	0,05	0,04	0,05	0,04	0,07	0,06	0,09	0,07	0,11	0,08			

 Angle de plongée pour ramping ou interpolation circulaire = 3°

Conditions de coupe – MonsterMill – NCR – Hémisphériques

Index	Type long	Type extra long	a_p max. x DC	53 032 ... / 53 033 ...														
				\emptyset DC (mm) =														
	2			3		4		5		6		8						
	a_e 0,01–0,02 x DC	a_e 0,03–0,05 x DC		a_e 0,01–0,02 x DC	a_e 0,03–0,05 x DC													
v_c (m/min)				f_z (mm/dt)														
M.1.1	120	90	0,02	0,02	0,015	0,03	0,02	0,035	0,025	0,04	0,03	0,055	0,04	0,07	0,05			
M.2.1	100	80	0,02	0,02	0,015	0,03	0,02	0,035	0,025	0,04	0,03	0,055	0,04	0,07	0,05			
M.3.1	120	90	0,02	0,02	0,015	0,03	0,02	0,035	0,025	0,04	0,03	0,055	0,04	0,07	0,05			
S.1.1	60	50	0,02	0,015	0,01	0,025	0,015	0,03	0,02	0,04	0,025	0,05	0,03	0,06	0,04			
S.1.2	60	50	0,02	0,015	0,01	0,025	0,015	0,03	0,02	0,04	0,025	0,05	0,03	0,06	0,04			
S.2.1	50	40	0,02	0,015	0,01	0,025	0,015	0,03	0,02	0,04	0,025	0,05	0,03	0,06	0,04			
S.2.2	50	40	0,02	0,015	0,01	0,025	0,015	0,03	0,02	0,04	0,025	0,05	0,03	0,06	0,04			
S.2.3	50	40	0,02	0,015	0,01	0,025	0,015	0,03	0,02	0,04	0,025	0,05	0,03	0,06	0,04			
S.3.1	100	80	0,02	0,02	0,015	0,03	0,02	0,035	0,025	0,04	0,03	0,055	0,04	0,07	0,05			
S.3.2	90	70	0,02	0,02	0,015	0,03	0,02	0,035	0,025	0,04	0,03	0,055	0,04	0,07	0,05			
S.3.3	90	70	0,02	0,02	0,015	0,03	0,02	0,035	0,025	0,04	0,03	0,055	0,04	0,07	0,05			

Index	53 030 ...				● 1er choix			
					○ Utilisation possible			
	\emptyset DC (mm) =							
	16	20	a_e 0,1–0,2 x DC	a_e 0,3–0,4 x DC	a_e 0,1–0,2 x DC	a_e 0,3–0,4 x DC		
f_z (mm/dt)				Emulsion	Air	MMS		
M.1.1	0,12	0,09	0,14	0,10	●		○	
M.2.1	0,12	0,09	0,14	0,10	●		○	
M.3.1	0,12	0,09	0,14	0,10	●		○	
S.1.1	0,12	0,09	0,14	0,10	●			
S.1.2	0,12	0,09	0,14	0,10	●			
S.2.1	0,12	0,09	0,14	0,10	●			
S.2.2	0,12	0,09	0,14	0,10	●			
S.2.3	0,12	0,09	0,14	0,10	●			
S.3.1	0,13	0,10	0,16	0,12	●			
S.3.2	0,13	0,10	0,16	0,12	●			
S.3.3	0,13	0,10	0,16	0,12	●			

Index	53 032 ... / 53 033 ...						● 1er choix		
							○ Utilisation possible		
	\emptyset DC (mm) =								
	10	12	a_e 0,01–0,02 x DC	a_e 0,03–0,05 x DC	a_e 0,01–0,02 x DC	a_e 0,03–0,05 x DC	a_e 0,01–0,02 x DC	a_e 0,03–0,05 x DC	
f_z (mm/dt)						Emulsion	Air	MMS	
M.1.1	0,08	0,06	0,09	0,07	0,12	0,1	●		○
M.2.1	0,08	0,06	0,09	0,07	0,12	0,1	●		○
M.3.1	0,08	0,06	0,09	0,07	0,12	0,1	●		○
S.1.1	0,07	0,05	0,08	0,06	0,1	0,08	●		
S.1.2	0,07	0,05	0,08	0,06	0,1	0,08	●		
S.2.1	0,07	0,05	0,08	0,06	0,1	0,08	●		
S.2.2	0,07	0,05	0,08	0,06	0,1	0,08	●		
S.2.3	0,07	0,05	0,08	0,06	0,1	0,08	●		
S.3.1	0,08	0,06	0,09	0,07	0,12	0,1	●		
S.3.2	0,08	0,06	0,09	0,07	0,12	0,1	●		
S.3.3	0,08	0,06	0,09	0,07	0,12	0,1	●		

Conditions de coupe – Montermill – HCR

Index	$T_x \leq 2,5 \times DC$		53 603 ..., 53 604 ...									
			$\emptyset DC (mm) =$									
	Finition		0,2	0,3	0,4–0,5	0,6–0,7	0,8–0,9	1	1,2–1,4	1,5	1,6–1,8	2
			$a_e 0,05 \times DC$									
	v_c (m/min)	a_p max. x DC	f_z (mm/dt)									
P.1.3	200	1,0	0,006	0,006	0,012	0,012	0,018	0,018	0,024	0,030	0,036	0,042
P.2.3	200	1,0	0,006	0,006	0,012	0,012	0,018	0,018	0,024	0,030	0,036	0,042
P.3.3	200	1,0	0,006	0,006	0,012	0,012	0,018	0,018	0,024	0,030	0,036	0,042
H.1.1	170	1,0	0,006	0,006	0,012	0,012	0,018	0,018	0,024	0,030	0,036	0,042
H.1.2	160	1,0	0,005	0,005	0,010	0,010	0,014	0,014	0,019	0,024	0,029	0,034
H.1.3	150	1,0	0,004	0,004	0,008	0,008	0,012	0,012	0,016	0,020	0,024	0,028
H.1.4	110	1,0	0,003	0,003	0,006	0,006	0,010	0,010	0,013	0,016	0,019	0,022

Index	$T_x \leq 2,5 \times DC$		53 603 ..., 53 604 ...									
			$\emptyset DC (mm) =$									
	Contournage		0,2	0,3	0,4–0,5	0,6–0,7	0,8–0,9	1	1,2–1,4	1,5	1,6–1,8	2
			$a_e 0,05 \times DC$									
	v_c (m/min)	a_p max. x DC	f_z (mm/dt)									
P.1.3	120	0,07	0,003	0,003	0,006	0,006	0,009	0,009	0,012	0,015	0,018	0,021
P.2.3	120	0,07	0,003	0,003	0,006	0,006	0,009	0,009	0,012	0,015	0,018	0,021
P.3.3	120	0,07	0,003	0,003	0,006	0,006	0,009	0,009	0,012	0,015	0,018	0,021
H.1.1	110	0,05	0,003	0,003	0,006	0,006	0,009	0,009	0,012	0,015	0,018	0,021
H.1.2	100	0,05	0,002	0,002	0,005	0,005	0,007	0,007	0,010	0,012	0,014	0,017
H.1.3	80	0,03	0,002	0,002	0,004	0,004	0,006	0,006	0,008	0,010	0,012	0,014
H.1.4	60	0,03	0,002	0,002	0,003	0,003	0,005	0,005	0,006	0,008	0,010	0,011

Index	$T_x \leq 2,5 \times DC$		53 603 ..., 53 604 ...									
			$\emptyset DC (mm) =$									
	Rainurage		0,2	0,3	0,4–0,5	0,6–0,7	0,8–0,9	1	1,2–1,4	1,5	1,6–1,8	2
			$a_e 0,05 \times DC$									
	v_c (m/min)	a_p max. x DC	f_z (mm/dt)									
P.1.3	70	0,07	0,002	0,002	0,005	0,005	0,006	0,008	0,009	0,011	0,012	0,015
P.2.3	70	0,07	0,002	0,002	0,005	0,005	0,006	0,008	0,009	0,011	0,012	0,015
P.3.3	70	0,07	0,002	0,002	0,005	0,005	0,006	0,008	0,009	0,011	0,012	0,015
H.1.1	55	0,05	0,002	0,002	0,005	0,005	0,006	0,008	0,009	0,011	0,012	0,015
H.1.2	45	0,05	0,001	0,001	0,003	0,003	0,004	0,005	0,006	0,007	0,008	0,010
H.1.3												
H.1.4												



Pour obtenir de meilleurs états de surface, veuillez réduire les valeurs f_z et les profondeurs (a_e ou a_p) de 30 % !

Index	53 603 ..., 53 604 ...							● 1er choix		
	$\emptyset DC (mm) =$							○ Utilisation possible		
	2,5	3	4	6	8	10	12	Emulsion	Air	MMS
	$a_e 0,05 \times DC$									
fz (mm/dt)										
P.1.3	0,054	0,060	0,084	0,126	0,168	0,210	0,240	○	●	●
P.2.3	0,054	0,060	0,084	0,126	0,168	0,210	0,240	○	●	●
P.3.3	0,054	0,060	0,084	0,126	0,168	0,210	0,240	○	●	●
H.1.1	0,054	0,060	0,084	0,126	0,168	0,210	0,240	○	●	●
H.1.2	0,043	0,048	0,067	0,101	0,134	0,168	0,192	○	●	●
H.1.3	0,036	0,040	0,056	0,084	0,112	0,140	0,160	○	●	●
H.1.4	0,029	0,032	0,045	0,067	0,090	0,112	0,128	○	●	●

Index	53 603 ..., 53 604 ...							● 1er choix		
	$\emptyset DC (mm) =$							○ Utilisation possible		
	2,5	3	4	6	8	10	12	Emulsion	Air	MMS
	$a_e 0,05 \times DC$									
fz (mm/dt)										
P.1.3	0,027	0,030	0,042	0,063	0,084	0,105	0,120	○	●	●
P.2.3	0,027	0,030	0,042	0,063	0,084	0,105	0,120	○	●	●
P.3.3	0,027	0,030	0,042	0,063	0,084	0,105	0,120	○	●	●
H.1.1	0,027	0,030	0,042	0,063	0,084	0,105	0,120	○	●	●
H.1.2	0,022	0,024	0,034	0,050	0,067	0,084	0,096	○	●	●
H.1.3	0,018	0,020	0,028	0,042	0,056	0,070	0,080	○	●	●
H.1.4	0,014	0,016	0,022	0,034	0,045	0,056	0,064	○	●	●

Index	53 603 ..., 53 604 ...							● 1er choix		
	$\emptyset DC (mm) =$							○ Utilisation possible		
	2,5	3	4	6	8	10	12	Emulsion	Air	MMS
	$a_e 0,05 \times DC$									
fz (mm/dt)										
P.1.3	0,018	0,023	0,030	0,045	0,050	0,053	0,060	○	●	●
P.2.3	0,018	0,023	0,030	0,045	0,050	0,053	0,060	○	●	●
P.3.3	0,018	0,023	0,030	0,045	0,050	0,053	0,060	○	●	●
H.1.1	0,018	0,023	0,030	0,045	0,050	0,053	0,060	○	●	●
H.1.2	0,012	0,015	0,020	0,030	0,033	0,035	0,040	○	●	●
H.1.3										
H.1.4										

Conditions de coupe – Montermill – HCR

Index	$T_x \leq 2,6-5,0 \times DC$		53 603 ..., 53 604 ...									
			$\emptyset DC (mm) =$									
	Finition		0,2	0,3	0,4-0,5	0,6-0,7	0,8-0,9	1	1,2-1,4	1,5	1,6-1,8	2
	v_c (m/min)		$a_e 0,05 \times DC$									
P.1.3	140	1,0	0,005	0,005	0,009	0,009	0,014	0,014	0,018	0,023	0,027	0,032
P.2.3	140	1,0	0,005	0,005	0,009	0,009	0,014	0,014	0,018	0,023	0,027	0,032
P.3.3	140	1,0	0,005	0,005	0,009	0,009	0,014	0,014	0,018	0,023	0,027	0,032
H.1.1	119	1,0	0,005	0,005	0,009	0,009	0,014	0,014	0,018	0,023	0,027	0,032
H.1.2	112	1,0	0,004	0,004	0,007	0,007	0,011	0,011	0,014	0,018	0,022	0,025
H.1.3	105	1,0	0,003	0,003	0,006	0,006	0,009	0,009	0,012	0,015	0,018	0,021
H.1.4	77	1,0	0,002	0,002	0,005	0,005	0,007	0,007	0,010	0,012	0,014	0,017

Index	$T_x \leq 2,6-5,0 \times DC$		53 603 ..., 53 604 ...									
			$\emptyset DC (mm) =$									
	Contournage		0,2	0,3	0,4-0,5	0,6-0,7	0,8-0,9	1	1,2-1,4	1,5	1,6-1,8	2
	v_c (m/min)		$a_e 0,03 \times DC$									
P.1.3	84	0,07	0,002	0,002	0,005	0,005	0,007	0,007	0,009	0,011	0,014	0,016
P.2.3	84	0,07	0,002	0,002	0,005	0,005	0,007	0,007	0,009	0,011	0,014	0,016
P.3.3	84	0,07	0,002	0,002	0,005	0,005	0,007	0,007	0,009	0,011	0,014	0,016
H.1.1	77	0,05	0,002	0,002	0,005	0,005	0,007	0,007	0,009	0,011	0,014	0,016
H.1.2	70	0,05	0,002	0,002	0,004	0,004	0,005	0,005	0,007	0,009	0,011	0,013
H.1.3	56	0,03	0,002	0,002	0,003	0,003	0,005	0,005	0,006	0,008	0,009	0,011
H.1.4	60	0,03	0,002	0,002	0,003	0,003	0,005	0,005	0,006	0,008	0,010	0,011

Index	$T_x \leq 2,6-5,0 \times DC$		53 603 ..., 53 604 ...									
			$\emptyset DC (mm) =$									
	Rainurage		0,2	0,3	0,4-0,5	0,6-0,7	0,8-0,9	1	1,2-1,4	1,5	1,6-1,8	2
	v_c (m/min)		$a_e 1,0 \times DC$									
P.1.3	49	0,07	0,002	0,002	0,003	0,003	0,005	0,005	0,006	0,008	0,009	0,011
P.2.3	49	0,07	0,002	0,002	0,003	0,003	0,005	0,005	0,006	0,008	0,009	0,011
P.3.3	49	0,07	0,002	0,002	0,003	0,003	0,005	0,005	0,006	0,008	0,009	0,011
H.1.1	39	0,05	0,002	0,002	0,003	0,003	0,005	0,005	0,006	0,008	0,009	0,011
H.1.2	32	0,05	0,001	0,001	0,002	0,002	0,003	0,003	0,004	0,005	0,006	0,007
H.1.3												
H.1.4												



Pour obtenir de meilleurs états de surface, veuillez réduire les valeurs f_z et les profondeurs (a_e ou a_p) de 30 % !

Index	53 603 ..., 53 604 ...							● 1er choix		
	$\emptyset DC (mm) =$							○ Utilisation possible		
	2,5	3	4	6	8	10	12	Emulsion	Air	MMS
	$a_e 0,05 \times DC$									
		$f_z (mm/dt)$								
P.1.3	0,041	0,045	0,063	0,095	0,126	0,158	0,180	○	●	●
P.2.3	0,041	0,045	0,063	0,095	0,126	0,158	0,180	○	●	●
P.3.3	0,041	0,045	0,063	0,095	0,126	0,158	0,180	○	●	●
H.1.1	0,041	0,045	0,063	0,095	0,126	0,158	0,180	○	●	●
H.1.2	0,032	0,036	0,050	0,076	0,101	0,126	0,144	○	●	●
H.1.3	0,027	0,030	0,042	0,063	0,084	0,105	0,120	○	●	●
H.1.4	0,022	0,024	0,034	0,050	0,067	0,084	0,096	○	●	●

Index	53 603 ..., 53 604 ...							● 1er choix		
	$\emptyset DC (mm) =$							○ Utilisation possible		
	2,5	3	4	6	8	10	12	Emulsion	Air	MMS
	$a_e 0,03 \times DC$									
		$f_z (mm/dt)$								
P.1.3	0,020	0,023	0,032	0,047	0,063	0,079	0,090	○	●	●
P.2.3	0,020	0,023	0,032	0,047	0,063	0,079	0,090	○	●	●
P.3.3	0,020	0,023	0,032	0,047	0,063	0,079	0,090	○	●	●
H.1.1	0,020	0,023	0,032	0,047	0,063	0,079	0,090	○	●	●
H.1.2	0,016	0,018	0,025	0,038	0,050	0,063	0,072	○	●	●
H.1.3	0,014	0,015	0,021	0,032	0,042	0,053	0,060	○	●	●
H.1.4	0,011	0,012	0,017	0,025	0,034	0,042	0,048	○	●	●

Index	53 603 ..., 53 604 ...							● 1er choix		
	$\emptyset DC (mm) =$							○ Utilisation possible		
	2,5	3	4	6	8	10	12	Emulsion	Air	MMS
	$a_e 1,0 \times DC$									
		$f_z (mm/dt)$								
P.1.3	0,014	0,015	0,021	0,032	0,042	0,053	0,060	○	●	●
P.2.3	0,014	0,015	0,021	0,032	0,042	0,053	0,060	○	●	●
P.3.3	0,014	0,015	0,021	0,032	0,042	0,053	0,060	○	●	●
H.1.1	0,014	0,015	0,021	0,032	0,042	0,053	0,060	○	●	●
H.1.2	0,009	0,010	0,014	0,021	0,028	0,035	0,040	○	●	●
H.1.3										
H.1.4										

Conditions de coupe – Montermill – HCR

Index	$T_x \leq 5,1-10,0 \times DC$		53 603 ..., 53 604 ...										
			$\emptyset DC (mm) =$										
	Finition		0,2	0,3	0,4-0,5	0,6-0,7	0,8-0,9	1	1,2-1,4	1,5	1,6-1,8	2	
			$a_e 0,05 \times DC$										
v_c (m/min)		$a_p \text{max.} \times DC$		f_z (mm/dt)									
P.1.3	110	0,75	0,003	0,003	0,006	0,006	0,009	0,009	0,012	0,015	0,018	0,021	
P.2.3	110	0,75	0,003	0,003	0,006	0,006	0,009	0,009	0,012	0,015	0,018	0,021	
P.3.3	110	0,75	0,003	0,003	0,006	0,006	0,009	0,009	0,012	0,015	0,018	0,021	
H.1.1	94	0,75	0,003	0,003	0,006	0,006	0,009	0,009	0,012	0,015	0,018	0,021	
H.1.2	88	0,75	0,002	0,002	0,005	0,005	0,007	0,007	0,010	0,012	0,014	0,017	
H.1.3	83	0,75	0,002	0,002	0,004	0,004	0,006	0,006	0,008	0,010	0,012	0,014	
H.1.4	61	0,75	0,002	0,002	0,003	0,003	0,005	0,005	0,006	0,008	0,010	0,011	

Index	$T_x \leq 5,1-10,0 \times DC$		53 603 ..., 53 604 ...										
			$\emptyset DC (mm) =$										
	Contournage		0,2	0,3	0,4-0,5	0,6-0,7	0,8-0,9	1	1,2-1,4	1,5	1,6-1,8	2	
			$a_e 0,3 \times DC$										
v_c (m/min)		$a_p \text{max.} \times DC$		f_z (mm/dt)									
P.1.3	66	0,07	0,002	0,002	0,003	0,003	0,005	0,005	0,006	0,008	0,009	0,011	
P.2.3	66	0,07	0,002	0,002	0,003	0,003	0,005	0,005	0,006	0,008	0,009	0,011	
P.3.3	66	0,07	0,002	0,002	0,003	0,003	0,005	0,005	0,006	0,008	0,009	0,011	
H.1.1	61	0,05	0,002	0,002	0,003	0,003	0,005	0,005	0,006	0,008	0,009	0,011	
H.1.2	55	0,05	0,001	0,001	0,002	0,002	0,004	0,004	0,005	0,006	0,007	0,008	
H.1.3	44	0,03	0,001	0,001	0,002	0,002	0,003	0,003	0,004	0,005	0,006	0,007	
H.1.4	33	0,03	0,001	0,001	0,002	0,002	0,002	0,002	0,003	0,004	0,005	0,006	

Index	$T_x \leq 10,1-15,0 \times DC$		53 603 ..., 53 604 ...										
			$\emptyset DC (mm) =$										
	Finition		0,4-0,5	0,6-0,7	0,8-0,9	1	1,2-1,4	1,5	1,6-1,8	2	2,5	3	4
			$a_e 0,05 \times DC$										
v_c (m/min)		$a_p \text{max.} \times DC$		f_z (mm/dt)									
P.1.3	90	0,5	0,005	0,005	0,007	0,007	0,010	0,012	0,014	0,017	0,022	0,024	0,034
P.2.3	90	0,5	0,005	0,005	0,007	0,007	0,010	0,012	0,014	0,017	0,022	0,024	0,034
P.3.3	90	0,5	0,005	0,005	0,007	0,007	0,010	0,012	0,014	0,017	0,022	0,024	0,034
H.1.1	77	0,5	0,005	0,005	0,007	0,007	0,010	0,012	0,014	0,017	0,022	0,024	0,034
H.1.2	72	0,5	0,004	0,004	0,006	0,006	0,008	0,010	0,012	0,013	0,017	0,019	0,027
H.1.3	68	0,5	0,003	0,003	0,005	0,005	0,006	0,008	0,010	0,011	0,014	0,016	0,022
H.1.4	50	0,5	0,003	0,003	0,004	0,004	0,005	0,006	0,008	0,009	0,012	0,013	0,018

Index	$T_x \leq 10,1-15,0 \times DC$		53 603 ..., 53 604 ...										
			$\emptyset DC (mm) =$										
	Contournage		0,4-0,5	0,6-0,7	0,8-0,9	1	1,2-1,4	1,5	1,6-1,8	2	2,5	3	4
			$a_e 0,3 \times DC$										
v_c (m/min)		$a_p \text{max.} \times DC$		f_z (mm/dt)									
P.1.3	90	0,5	0,005	0,005	0,007	0,007	0,010	0,012	0,014	0,017	0,022	0,024	0,034
P.2.3	90	0,5	0,005	0,005	0,007	0,007	0,010	0,012	0,014	0,017	0,022	0,024	0,034
P.3.3	90	0,5	0,005	0,005	0,007	0,007	0,010	0,012	0,014	0,017	0,022	0,024	0,034
H.1.1	77	0,5	0,005	0,005	0,007	0,007	0,010	0,012	0,014	0,017	0,022	0,024	0,034
H.1.2	72	0,5	0,004	0,004	0,006	0,006	0,008	0,010	0,012	0,013	0,017	0,019	0,027
H.1.3	68	0,5	0,003	0,003	0,005	0,005	0,006	0,008	0,010	0,011	0,014	0,016	0,022
H.1.4	50	0,5	0,003	0,003	0,004	0,004	0,005	0,006	0,008	0,009	0,012	0,013	0,018

 Pour obtenir de meilleurs états de surface, veuillez réduire les valeurs f_z et les profondeurs (a_e ou a_p) de 30 % !

Index	53 603 ..., 53 604 ...							● 1er choix		
	$\emptyset DC (\text{mm}) =$							○ Utilisation possible		
	2,5	3	4	6	8	10	12	Emulsion	Air	MMS
	$a_e 0,05 \times DC$									
P.1.3	0,027	0,030	0,042	0,063	0,084	0,105	0,120	○	●	●
P.2.3	0,027	0,030	0,042	0,063	0,084	0,105	0,120	○	●	●
P.3.3	0,027	0,030	0,042	0,063	0,084	0,105	0,120	○	●	●
H.1.1	0,027	0,030	0,042	0,063	0,084	0,105	0,120	○	●	●
H.1.2	0,022	0,024	0,034	0,050	0,067	0,084	0,096	○	●	●
H.1.3	0,018	0,020	0,028	0,042	0,056	0,070	0,080	○	●	●
H.1.4	0,014	0,016	0,022	0,034	0,045	0,056	0,064	○	●	●

Index	53 603 ..., 53 604 ...							● 1er choix		
	$\emptyset DC (\text{mm}) =$							○ Utilisation possible		
	2,5	3	4	6	8	10	12	Emulsion	Air	MMS
	$a_e 0,3 \times DC$									
P.1.3	0,014	0,015	0,021	0,032	0,042	0,053	0,060	○	●	●
P.2.3	0,014	0,015	0,021	0,032	0,042	0,053	0,060	○	●	●
P.3.3	0,014	0,015	0,021	0,032	0,042	0,053	0,060	○	●	●
H.1.1	0,014	0,015	0,021	0,032	0,042	0,053	0,060	○	●	●
H.1.2	0,011	0,012	0,017	0,025	0,034	0,042	0,048	○	●	●
H.1.3	0,009	0,010	0,014	0,021	0,028	0,035	0,040	○	●	●
H.1.4	0,007	0,008	0,011	0,017	0,022	0,028	0,032	○	●	●

Conditions de coupe – Montermill – HCR

Index	$T_x \leq 2 \times DC$		53 605 ...									● 1er choix ○ Utilisation possible		
			$\emptyset DC (mm) =$											
	Finition		1	2	3	4	6	8	10	12				
			$a_e 0,05 \times DC$											
v _c (m/min)	a _p max. x DC	f _z (mm/dt)									Emulsion	Air	MMS	
P.1.3	200	2,0	0,018	0,027	0,038	0,051	0,075	0,093	0,120	0,135	○	●	●	
P.2.3	200	2,0	0,018	0,027	0,038	0,051	0,075	0,093	0,120	0,135	○	●	●	
P.3.3	200	2,0	0,018	0,027	0,038	0,051	0,075	0,093	0,120	0,135	○	●	●	
H.1.1	160	2,0	0,018	0,027	0,038	0,051	0,075	0,093	0,120	0,135	○	●	●	
H.1.2	130	2,0	0,014	0,022	0,030	0,041	0,060	0,074	0,096	0,108	○	●	●	
H.1.3	120	2,0	0,012	0,018	0,025	0,034	0,050	0,062	0,080	0,090	○	●	●	
H.1.4	110	2,0	0,010	0,014	0,020	0,027	0,040	0,050	0,064	0,072	○	●	●	

Index	$T_x \leq 2 \times DC$		53 605 ...									● 1er choix ○ Utilisation possible		
			$\emptyset DC (mm) =$											
	Contournage		1	2	3	4	6	8	10	12				
			$a_e 0,05 \times DC$									Emulsion	Air	MMS
v _c (m/min)	a _p max. x DC	f _z (mm/dt)									Emulsion	Air	MMS	
P.1.3	120	0,07	0,015	0,021	0,030	0,042	0,063	0,084	0,105	0,120	○	●	●	
P.2.3	120	0,07	0,015	0,021	0,030	0,042	0,063	0,084	0,105	0,120	○	●	●	
P.3.3	120	0,07	0,015	0,021	0,030	0,042	0,063	0,084	0,105	0,120	○	●	●	
H.1.1	110	0,05	0,015	0,021	0,030	0,042	0,063	0,084	0,105	0,120	○	●	●	
H.1.2	90	0,05	0,012	0,017	0,024	0,034	0,050	0,067	0,084	0,096	○	●	●	
H.1.3	75	0,03	0,010	0,014	0,020	0,028	0,042	0,056	0,070	0,080	○	●	●	
H.1.4	60	0,03	0,008	0,011	0,016	0,022	0,034	0,045	0,056	0,064	○	●	●	

Index	$T_x \leq 3 \times DC$		53 606 ...									● 1er choix ○ Utilisation possible		
			$\emptyset DC (mm) =$											
	Finition		1	2	3	4	6	8	10	12				
			$a_e 0,04 \times DC$									Emulsion	Air	MMS
v _c (m/min)	a _p max. x DC	f _z (mm/dt)									Emulsion	Air	MMS	
P.1.3	140	2,0	0,014	0,024	0,033	0,045	0,066	0,083	0,105	0,120	○	●	●	
P.2.3	140	2,0	0,014	0,024	0,033	0,045	0,066	0,083	0,105	0,120	○	●	●	
P.3.3	140	2,0	0,014	0,024	0,033	0,045	0,066	0,083	0,105	0,120	○	●	●	
H.1.1	119	2,0	0,014	0,024	0,033	0,045	0,066	0,083	0,105	0,120	○	●	●	
H.1.2	112	2,0	0,011	0,019	0,026	0,036	0,053	0,066	0,084	0,096	○	●	●	
H.1.3	105	2,0	0,009	0,016	0,022	0,030	0,044	0,055	0,070	0,080	○	●	●	
H.1.4	77	2,0	0,007	0,013	0,018	0,024	0,035	0,044	0,056	0,064	○	●	●	

Index	$T_x \leq 3 \times DC$		53 606 ...									● 1er choix ○ Utilisation possible		
			$\emptyset DC (mm) =$											
	Contournage		1	2	3	4	6	8	10	12				
			$a_e 0,04 \times DC$									Emulsion	Air	MMS
v _c (m/min)	a _p max. x DC	f _z (mm/dt)									Emulsion	Air	MMS	
P.1.3	105	0,07	0,009	0,014	0,023	0,036	0,054	0,072	0,090	0,105	○	●	●	
P.2.3	105	0,07	0,009	0,014	0,023	0,036	0,054	0,072	0,090	0,105	○	●	●	
P.3.3	105	0,07	0,009	0,014	0,023	0,036	0,054	0,072	0,090	0,105	○	●	●	
H.1.1	84	0,05	0,009	0,014	0,023	0,036	0,054	0,072	0,090	0,105	○	●	●	
H.1.2	77	0,05	0,007	0,011	0,018	0,029	0,043	0,058	0,072	0,084	○	●	●	
H.1.3	63	0,03	0,006	0,009	0,015	0,024	0,036	0,048	0,060	0,070	○	●	●	
H.1.4	42	0,03	0,005	0,007	0,012	0,019	0,029	0,038	0,048	0,056	○	●	●	

 Pour obtenir de meilleurs états de surface, veuillez réduire les valeurs f_z et les profondeurs (a_e ou a_p) de 30 % !

Conditions de coupe – Monstermill – HCR – Hémisphériques

Index	$T_x \leq 2,5 \times DC$		53 602 ...						● 1er choix		
			$\emptyset DC (mm) =$						○ Utilisation possible		
			3	4	6	8	10	12	Emulsion	Air	MMS
v _c (m/min)		a _p max. x DC	f _z (mm/dt)								
P.1.3	200	0,07	0,038	0,050	0,076	0,101	0,126	0,151	○	●	●
P.2.3	200	0,07	0,038	0,050	0,076	0,101	0,126	0,151	○	●	●
P.3.3	200	0,07	0,038	0,050	0,076	0,101	0,126	0,151	○	●	●
H.1.1	180	0,05	0,038	0,050	0,076	0,101	0,126	0,151	○	●	●
H.1.2	160	0,05	0,030	0,040	0,060	0,081	0,101	0,121	○	●	●
H.1.3	150	0,03	0,025	0,034	0,050	0,067	0,084	0,101	○	●	●
H.1.4	130	0,03	0,020	0,027	0,040	0,054	0,067	0,081	○	●	●

Index	$T_x \leq 2,6-5,0 \times DC$		53 602 ...						● 1er choix		
			$\emptyset DC (mm) =$						○ Utilisation possible		
			3	4	6	8	10	12	Emulsion	Air	MMS
v _c (m/min)		a _p max. x DC	f _z (mm/dt)								
P.1.3	120	0,07	0,03	0,04	0,053	0,073	0,093	0,113	○	●	●
P.2.3	120	0,07	0,03	0,04	0,053	0,073	0,093	0,113	○	●	●
P.3.3	120	0,07	0,03	0,04	0,053	0,073	0,093	0,113	○	●	●
H.1.1	108	0,05	0,030	0,040	0,053	0,073	0,093	0,113	○	●	●
H.1.2	96	0,05	0,024	0,032	0,042	0,058	0,075	0,091	○	●	●
H.1.3	90	0,03	0,020	0,027	0,035	0,049	0,062	0,076	○	●	●
H.1.4	78	0,03	0,016	0,022	0,028	0,039	0,050	0,060	○	●	●

Index	$T_x \leq 5,1-10,0 \times DC$		53 602 ...						● 1er choix		
			$\emptyset DC (mm) =$						○ Utilisation possible		
			3	4	6	8	10	12	Emulsion	Air	MMS
v _c (m/min)		a _p max. x DC	f _z (mm/dt)								
P.1.3	90	0,06	0,023	0,030	0,030	0,045	0,060	0,076	○	●	●
P.2.3	90	0,06	0,023	0,030	0,030	0,045	0,060	0,076	○	●	●
P.3.3	90	0,06	0,023	0,030	0,030	0,045	0,060	0,076	○	●	●
H.1.1	81	0,04	0,023	0,030	0,030	0,045	0,060	0,076	○	●	●
H.1.2	72	0,04	0,018	0,024	0,024	0,036	0,048	0,060	○	●	●
H.1.3	68	0,02	0,015	0,020	0,020	0,030	0,040	0,050	○	●	●
H.1.4	59	0,02	0,012	0,016	0,016	0,024	0,032	0,040	○	●	●



Pour obtenir de meilleurs états de surface, veuillez réduire les valeurs f_z et les profondeurs (a_e ou a_p) de 30 % !

Conditions de coupe – Monstermill – HCR – Hémisphériques

Index	$T_x \leq 2,5 \times DC$		53 600 ..., 53 601 ...										
			$\emptyset DC (mm) =$										
			0,2	0,3	0,4–0,5	0,6–0,7	0,8–0,9	1	1,2–1,4	1,5	1,6–1,8	2	
		$a_e 0,05 \times DC$											
v _c (m/min)		$f_z (mm/dt)$											
P.1.3	200	0,07	0,003	0,006	0,008	0,011	0,015	0,018	0,021	0,027	0,033	0,036	
P.2.3	200	0,07	0,003	0,006	0,008	0,011	0,015	0,018	0,021	0,027	0,033	0,036	
P.3.3	200	0,07	0,003	0,006	0,008	0,011	0,015	0,018	0,021	0,027	0,033	0,036	
H.1.1	180	0,05	0,003	0,006	0,008	0,011	0,015	0,018	0,021	0,027	0,033	0,036	
H.1.2	160	0,05	0,002	0,005	0,006	0,008	0,012	0,014	0,017	0,022	0,026	0,029	
H.1.3	150	0,03	0,002	0,004	0,005	0,007	0,010	0,012	0,014	0,018	0,022	0,024	
H.1.4	130	0,03	0,002	0,003	0,004	0,006	0,008	0,010	0,011	0,014	0,018	0,019	

Index	$T_x \leq 2,6–5,0 \times DC$		53 600 ..., 53 601 ...										
			$\emptyset DC (mm) =$										
			0,2	0,3	0,4–0,5	0,6–0,7	0,8–0,9	1	1,2–1,4	1,5	1,6–1,8	2	
		$a_e 0,05 \times DC$											
v _c (m/min)		$f_z (mm/dt)$											
P.1.3	120	0,07	0,002	0,005	0,006	0,008	0,012	0,014	0,017	0,022	0,026	0,029	
P.2.3	120	0,07	0,002	0,005	0,006	0,008	0,012	0,014	0,017	0,022	0,026	0,029	
P.3.3	120	0,07	0,002	0,005	0,006	0,008	0,012	0,014	0,017	0,022	0,026	0,029	
H.1.1	108	0,05	0,002	0,005	0,006	0,008	0,012	0,014	0,017	0,022	0,026	0,029	
H.1.2	96	0,05	0,002	0,004	0,005	0,007	0,010	0,011	0,014	0,017	0,020	0,023	
H.1.3	90	0,03	0,002	0,003	0,004	0,006	0,008	0,010	0,012	0,015	0,017	0,019	
H.1.4	78	0,03	0,001	0,002	0,003	0,004	0,006	0,008	0,009	0,012	0,014	0,015	

Index	$T_x \leq 5,1–10,0 \times DC$		53 600 ..., 53 601 ...										
			$\emptyset DC (mm) =$										
			0,2	0,3	0,4–0,5	0,6–0,7	0,8–0,9	1	1,2–1,4	1,5	1,6–1,8	2	
		$a_e 0,05 \times DC$											
v _c (m/min)		$f_z (mm/dt)$											
P.1.3	90	0,06	0,002	0,003	0,005	0,006	0,009	0,011	0,014	0,017	0,018	0,021	
P.2.3	90	0,06	0,002	0,003	0,005	0,006	0,009	0,011	0,014	0,017	0,018	0,021	
P.3.3	90	0,06	0,002	0,003	0,005	0,006	0,009	0,011	0,014	0,017	0,018	0,021	
H.1.1	81	0,04	0,002	0,003	0,005	0,006	0,009	0,011	0,014	0,017	0,018	0,021	
H.1.2	72	0,04	0,001	0,002	0,004	0,005	0,007	0,008	0,011	0,013	0,014	0,017	
H.1.3	68	0,02	0,001	0,002	0,003	0,004	0,006	0,007	0,009	0,011	0,012	0,014	
H.1.4	59	0,02	0,001	0,002	0,002	0,003	0,005	0,006	0,007	0,009	0,010	0,011	

Index	$T_x \leq 10,1–15,0 \times DC$		53 600 ..., 53 601 ...										
			$\emptyset DC (mm) =$										
			0,2	0,3	0,4–0,5	0,6–0,7	0,8–0,9	1	1,2–1,4	1,5	1,6–1,8	2	
		$a_e 0,04 \times DC$											
v _c (m/min)		$f_z (mm/dt)$											
P.1.3	70	0,05	0,002	0,002	0,003	0,005	0,006	0,008	0,009	0,011	0,012	0,015	
P.2.3	70	0,05	0,002	0,002	0,003	0,005	0,006	0,008	0,009	0,011	0,012	0,015	
P.3.3	70	0,05	0,002	0,002	0,003	0,005	0,006	0,008	0,009	0,011	0,012	0,015	
H.1.1	63	0,03	0,002	0,002	0,003	0,005	0,006	0,008	0,009	0,011	0,012	0,015	
H.1.2	56	0,03	0,001	0,001	0,002	0,004	0,005	0,006	0,007	0,008	0,010	0,012	
H.1.3	53	0,01	0,001	0,001	0,002	0,003	0,004	0,005	0,006	0,007	0,008	0,010	
H.1.4	46	0,01	0,001	0,001	0,002	0,002	0,003	0,004	0,005	0,006	0,006	0,008	

 Pour obtenir de meilleurs états de surface, veuillez réduire les valeurs f_z et les profondeurs (a_e ou a_p) de 30 % !

Index	53 600 ..., 53 601 ...							● 1er choix		
	$\emptyset DC (mm) =$							○ Utilisation possible		
	2,5	3	4	6	8	10	12	Emulsion	Air	MMS
	$a_e 0,05 \times DC$									
fz (mm/dt)										
P.1.3	0,045	0,054	0,072	0,108	0,144	0,180	0,216	○	●	●
P.2.3	0,045	0,054	0,072	0,108	0,144	0,180	0,216	○	●	●
P.3.3	0,045	0,054	0,072	0,108	0,144	0,180	0,216	○	●	●
H.1.1	0,045	0,054	0,072	0,108	0,144	0,180	0,216	○	●	●
H.1.2	0,036	0,043	0,058	0,086	0,115	0,144	0,173	○	●	●
H.1.3	0,030	0,036	0,048	0,072	0,096	0,120	0,144	○	●	●
H.1.4	0,024	0,029	0,038	0,058	0,077	0,096	0,115	○	●	●

Index	53 600 ..., 53 601 ...							● 1er choix		
	$\emptyset DC (mm) =$							○ Utilisation possible		
	2,5	3	4	6	8	10	12	Emulsion	Air	MMS
	$a_e 0,05 \times DC$									
fz (mm/dt)										
P.1.3	0,036	0,044	0,058	0,076	0,104	0,133	0,162	○	●	●
P.2.3	0,036	0,044	0,058	0,076	0,104	0,133	0,162	○	●	●
P.3.3	0,036	0,044	0,058	0,076	0,104	0,133	0,162	○	●	●
H.1.1	0,036	0,044	0,058	0,076	0,104	0,133	0,162	○	●	●
H.1.2	0,029	0,035	0,046	0,060	0,084	0,107	0,130	○	●	●
H.1.3	0,024	0,029	0,039	0,050	0,070	0,089	0,108	○	●	●
H.1.4	0,019	0,023	0,031	0,040	0,056	0,071	0,086	○	●	●

Index	53 600 ..., 53 601 ...							● 1er choix		
	$\emptyset DC (mm) =$							○ Utilisation possible		
	2,5	3	4	6	8	10	12	Emulsion	Air	MMS
	$a_e 0,05 \times DC$									
fz (mm/dt)										
P.1.3	0,027	0,033	0,044	0,043	0,065	0,086	0,108	○	●	●
P.2.3	0,027	0,033	0,044	0,043	0,065	0,086	0,108	○	●	●
P.3.3	0,027	0,033	0,044	0,043	0,065	0,086	0,108	○	●	●
H.1.1	0,027	0,033	0,044	0,043	0,065	0,086	0,108	○	●	●
H.1.2	0,022	0,026	0,035	0,035	0,052	0,069	0,086	○	●	●
H.1.3	0,018	0,022	0,029	0,029	0,043	0,058	0,072	○	●	●
H.1.4	0,014	0,018	0,023	0,023	0,035	0,046	0,058	○	●	●

Index	53 600 ..., 53 601 ...							● 1er choix		
	$\emptyset DC (mm) =$							○ Utilisation possible		
	2,5	3	4	6	8	10	12	Emulsion	Air	MMS
	$a_e 0,04 \times DC$									
fz (mm/dt)										
P.1.3	0,021	0,027	0,035	0,035	0,052	0,069	0,086	○	●	●
P.2.3	0,021	0,027	0,035	0,035	0,052	0,069	0,086	○	●	●
P.3.3	0,021	0,027	0,035	0,035	0,052	0,069	0,086	○	●	●
H.1.1	0,021	0,027	0,035	0,035	0,052	0,069	0,086	○	●	●
H.1.2	0,017	0,022	0,028	0,028	0,041	0,055	0,069	○	●	●
H.1.3	0,014	0,018	0,023	0,023	0,035	0,046	0,058	○	●	●
H.1.4	0,011	0,014	0,019	0,018	0,028	0,037	0,046	○	●	●

Conditions de coupe – Montermill – PCR – Type UNI

Index	Type courte / longue / extra-longue		52 613 ..., 52 614 ..., 52 615 ..., 52 619 ...																							
	v _c (m/min)	a _p max. x DC	Ø DC (mm) =																							
			5,0				5,7–6,0				6,7–7,0				7,7–8,0				8,7–9,0				9,7–10,0			
			a _e 0,1–0,2	a _e 0,3–0,4	a _e 0,6–1,0	a _e 0,1–0,2	a _e 0,3–0,4	a _e 0,6–1,0	a _e 0,1–0,2	a _e 0,3–0,4	a _e 0,6–1,0	a _e 0,1–0,2	a _e 0,3–0,4	a _e 0,6–1,0	a _e 0,1–0,2	a _e 0,3–0,4	a _e 0,6–1,0	a _e 0,1–0,2	a _e 0,3–0,4	a _e 0,6–1,0	a _e 0,1–0,2	a _e 0,3–0,4	a _e 0,6–1,0			
P.1.1	240	1,0	0,096	0,068	0,043	0,107	0,075	0,048	0,122	0,086	0,054	0,136	0,096	0,061	0,150	0,106	0,067	0,163	0,115	0,073	0,188	0,133	0,084			
P.1.2	230	1,0	0,092	0,065	0,041	0,102	0,072	0,046	0,116	0,082	0,052	0,130	0,092	0,058	0,143	0,101	0,064	0,156	0,110	0,070	0,179	0,127	0,080			
P.1.3	220	1,0	0,087	0,062	0,039	0,097	0,069	0,043	0,111	0,078	0,050	0,124	0,088	0,055	0,136	0,096	0,061	0,148	0,105	0,066	0,171	0,121	0,076			
P.1.4	205	1,0	0,083	0,059	0,037	0,092	0,065	0,041	0,105	0,074	0,047	0,118	0,083	0,053	0,130	0,092	0,058	0,141	0,100	0,063	0,162	0,115	0,072			
P.1.5	195	1,0	0,079	0,056	0,035	0,087	0,062	0,039	0,100	0,070	0,045	0,111	0,079	0,050	0,123	0,087	0,055	0,134	0,094	0,060	0,153	0,109	0,069			
P.2.1	220	1,0	0,096	0,068	0,043	0,107	0,075	0,048	0,122	0,086	0,054	0,136	0,096	0,061	0,150	0,106	0,067	0,163	0,115	0,073	0,188	0,133	0,084			
P.2.2	200	1,0	0,087	0,062	0,039	0,097	0,069	0,043	0,111	0,078	0,050	0,124	0,088	0,055	0,136	0,096	0,061	0,148	0,105	0,066	0,171	0,121	0,076			
P.2.3	180	1,0	0,079	0,056	0,035	0,087	0,062	0,039	0,100	0,070	0,045	0,111	0,079	0,050	0,123	0,087	0,055	0,134	0,094	0,060	0,153	0,109	0,069			
P.2.4	140	1,0	0,073	0,051	0,033	0,081	0,057	0,036	0,092	0,065	0,041	0,103	0,073	0,046	0,114	0,080	0,051	0,124	0,087	0,055	0,142	0,100	0,064			
P.3.1	130	1,0	0,084	0,060	0,038	0,094	0,066	0,042	0,107	0,076	0,048	0,120	0,085	0,054	0,132	0,093	0,059	0,143	0,101	0,064	0,165	0,117	0,074			
P.3.2	120	1,0	0,080	0,057	0,036	0,089	0,063	0,040	0,101	0,072	0,045	0,114	0,080	0,051	0,125	0,088	0,056	0,136	0,096	0,061	0,156	0,111	0,070			
P.3.3	110	1,0	0,076	0,053	0,034	0,084	0,059	0,038	0,096	0,068	0,043	0,107	0,076	0,048	0,118	0,084	0,053	0,129	0,091	0,058	0,148	0,104	0,066			
P.4.1	90	1,0	0,058	0,041	0,026	0,065	0,046	0,029	0,074	0,052	0,033	0,083	0,058	0,037	0,091	0,064	0,041	0,099	0,070	0,044	0,114	0,080	0,051			
M.1.1	60	1,0	0,051	0,036	0,023	0,057	0,040	0,025	0,065	0,046	0,029	0,072	0,051	0,032	0,080	0,056	0,036	0,087	0,061	0,039	0,099	0,070	0,044			
M.2.1	55	1,0	0,042	0,030	0,019	0,047	0,033	0,021	0,054	0,038	0,024	0,060	0,042	0,027	0,066	0,047	0,029	0,072	0,051	0,032	0,082	0,058	0,037			
M.3.1	60	1,0	0,044	0,031	0,020	0,048	0,034	0,022	0,055	0,039	0,025	0,062	0,044	0,028	0,068	0,048	0,031	0,074	0,052	0,033	0,085	0,060	0,038			
K.1.1	240	1,0	0,145	0,103	0,065	0,162	0,114	0,072	0,185	0,130	0,083	0,206	0,146	0,092	0,227	0,161	0,102	0,247	0,175	0,111	0,284	0,201	0,127			
K.1.2	180	1,0	0,102	0,072	0,046	0,113	0,080	0,051	0,129	0,091	0,058	0,145	0,102	0,065	0,159	0,113	0,071	0,173	0,122	0,077	0,199	0,141	0,089			
K.2.1	220	1,0	0,124	0,087	0,055	0,137	0,097	0,061	0,157	0,111	0,070	0,175	0,124	0,078	0,193	0,137	0,086	0,210	0,149	0,094	0,242	0,171	0,108			
K.2.2	180	1,0	0,102	0,072	0,046	0,113	0,080	0,051	0,129	0,091	0,058	0,145	0,102	0,065	0,159	0,113	0,071	0,173	0,122	0,077	0,199	0,141	0,089			
K.3.1	160	1,0	0,102	0,072	0,046	0,113	0,080	0,051	0,129	0,091	0,058	0,145	0,102	0,065	0,159	0,113	0,071	0,173	0,122	0,077	0,199	0,141	0,089			
K.3.2	150	1,0	0,087	0,062	0,039	0,097	0,069	0,043	0,111	0,078	0,050	0,124	0,088	0,055	0,136	0,096	0,061	0,148	0,105	0,066	0,171	0,121	0,076			
N.1.1																										
N.1.2																										
N.2.1																										
N.2.2																										
N.2.3																										
N.3.1																										
N.3.2																										
N.3.3																										
N.4.1																										
S.1.1																										
S.1.2																										
S.2.1																										
S.2.2																										
S.2.3																										
S.3.1																										
S.3.2																										
S.3.3																										
H.1.1																										
H.1.2																										
H.1.3																										
H.1.4																										
H.2.1																										
H.3.1																										
O.1.1																										
O.1.2																										
O.2.1																										
O.2.2																										
O.3.1																										



Avec un a_p de 1,5 x DC, veuillez multiplier l'avance à la dent f_z par un facteur de 0,75

Index	52 613 ..., 52 614 ..., 52 615 ..., 52 619 ...													● 1er choix							
	$\emptyset DC (\text{mm}) =$													○ Utilisation possible							
	13,7–14,0				15,5–16,0				17,5–20,0				Ramping	Fraisage hélicoïdal							
	a_s 0,1–0,2	a_s 0,3–0,4	a_s 0,6–1,0	a_s $x DC$	a_s 0,1–0,2	a_s 0,3–0,4	a_s $x DC$	a_s 0,6–1,0	a_s 0,1–0,2	a_s 0,3–0,4	a_s $x DC$	Angle maxi de ramping	1,0 x DC	Diamètre	1,0 x DC						
	f_z (mm/dt)													$\alpha_{R \max.}^*$	$D_{\min.}$	$D_{\max.}$	f_z	Facteur	Emulsion	Air	MMS
P.1.1	0,209	0,148	0,094	0,229	0,162	0,102	0,262	0,185	0,117	45	0,75 x DC	25°	16°	0,9	○	●	○				
P.1.2	0,200	0,141	0,089	0,219	0,155	0,098	0,250	0,177	0,112	45	0,75 x DC	25°	16°	0,9	○	●	○				
P.1.3	0,190	0,135	0,085	0,208	0,147	0,093	0,238	0,168	0,107	45	0,75 x DC	25°	16°	0,9	○	●	○				
P.1.4	0,181	0,128	0,081	0,198	0,140	0,088	0,226	0,160	0,101	45	0,75 x DC	25°	16°	0,9	○	●	○				
P.1.5	0,171	0,121	0,077	0,187	0,133	0,084	0,214	0,152	0,096	45	0,75 x DC	25°	16°	0,9	○	●	○				
P.2.1	0,209	0,148	0,094	0,229	0,162	0,102	0,262	0,185	0,117	45	0,75 x DC	25°	16°	0,8	○	●	○				
P.2.2	0,190	0,135	0,085	0,208	0,147	0,093	0,238	0,168	0,107	45	0,75 x DC	25°	16°	0,8	○	●	○				
P.2.3	0,171	0,121	0,077	0,187	0,133	0,084	0,214	0,152	0,096	45	0,75 x DC	25°	16°	0,8	○	●	○				
P.2.4	0,159	0,112	0,071	0,174	0,123	0,078	0,198	0,140	0,089	45	0,75 x DC	25°	16°	0,7	○	●	○				
P.3.1	0,184	0,130	0,082	0,201	0,142	0,090	0,230	0,163	0,103	30	0,5 x DC	18°	11°	0,8	●	○					
P.3.2	0,175	0,123	0,078	0,191	0,135	0,085	0,218	0,154	0,098	30	0,5 x DC	18°	11°	0,7	●	○					
P.3.3	0,165	0,117	0,074	0,181	0,128	0,081	0,206	0,146	0,092	30	0,5 x DC	18°	11°	0,7	●	○					
P.4.1	0,127	0,090	0,057	0,139	0,098	0,062	0,159	0,112	0,071	15	0,5 x DC	18°	11°		●	○					
P.4.2	0,127	0,090	0,057	0,139	0,098	0,062	0,159	0,112	0,071	15	0,5 x DC	18°	11°		●	○					
M.1.1	0,111	0,079	0,050	0,122	0,086	0,054	0,139	0,098	0,062	15	0,5 x DC	18°	11°		●						
M.2.1	0,092	0,065	0,041	0,101	0,071	0,045	0,115	0,081	0,051	15	0,5 x DC	18°	11°		●						
M.3.1	0,095	0,067	0,043	0,104	0,074	0,047	0,119	0,084	0,053	15	0,5 x DC	18°	11°		●						
K.1.1	0,317	0,224	0,142	0,347	0,245	0,155	0,397	0,281	0,178	45	0,75 x DC	25°	16°	0,8		●					
K.1.2	0,222	0,157	0,099	0,243	0,172	0,109	0,278	0,196	0,124	45	0,75 x DC	25°	16°	0,8		●					
K.2.1	0,270	0,191	0,121	0,295	0,209	0,132	0,337	0,239	0,151	45	0,75 x DC	25°	16°	0,8		●					
K.2.2	0,222	0,157	0,099	0,243	0,172	0,109	0,278	0,196	0,124	45	0,75 x DC	25°	16°	0,8		●					
K.3.1	0,222	0,157	0,099	0,243	0,172	0,109	0,278	0,196	0,124	45	0,75 x DC	25°	16°	0,8		●					
K.3.2	0,190	0,135	0,085	0,208	0,147	0,093	0,238	0,168	0,107	45	0,75 x DC	25°	16°	0,8		●					
N.1.1																					
N.1.2																					
N.2.1																					
N.2.2																					
N.2.3																					
N.3.1																					
N.3.2																					
N.3.3																					
N.4.1																					
S.1.1																					
S.1.2																					
S.2.1																					
S.2.2																					
S.2.3																					
S.3.1																					
S.3.2																					
S.3.3																					
H.1.1																					
H.1.2																					
H.1.3																					
H.1.4																					
H.2.1																					
H.3.1																					
O.1.1																					
O.1.2																					
O.2.1																					
O.2.2																					
O.3.1																					

 * Profondeur de passe par cycle hélicoïdal

 Conditions de coupe pour le ramping et la plongée hélicoïdale = 100 %
Conditions de coupe pour le perçage : Multipliez la valeur du tableau par le coefficient mentionné

Conditions de coupe – Monstermill – PCR – Type UNI – Fraisage dynamique

Index	Type long		52 619																							
	v _c (m/min)	Angle maximal d'engagement	Ø DC (mm) =								5				6				8				10			
			a _e 0,05 x DC				a _e 0,1 x DC				a _e 0,15 x DC				a _e 0,05 x DC				a _e 0,1 x DC				a _e 0,15 x DC			
P.1.1	505	46°	0,09	0,07	0,05	0,021	0,11	0,08	0,06	0,025	0,14	0,10	0,08	0,032	0,17	0,12	0,10	0,038	0,19	0,14	0,11	0,043				
P.1.2	480	46°	0,09	0,06	0,05	0,020	0,11	0,07	0,06	0,024	0,13	0,10	0,08	0,030	0,16	0,11	0,09	0,036	0,19	0,13	0,11	0,041				
P.1.3	460	46°	0,09	0,06	0,05	0,019	0,10	0,07	0,06	0,022	0,13	0,09	0,07	0,029	0,15	0,11	0,09	0,034	0,18	0,12	0,10	0,039				
P.1.4	435	46°	0,08	0,06	0,05	0,018	0,10	0,07	0,06	0,021	0,12	0,09	0,07	0,027	0,15	0,10	0,08	0,033	0,17	0,12	0,10	0,038				
P.1.5	415	46°	0,08	0,05	0,04	0,017	0,09	0,06	0,05	0,020	0,12	0,08	0,07	0,026	0,14	0,10	0,08	0,031	0,16	0,11	0,09	0,036				
P.2.1	460	46°	0,09	0,07	0,05	0,021	0,11	0,08	0,06	0,025	0,14	0,10	0,08	0,032	0,17	0,12	0,10	0,038	0,19	0,14	0,11	0,043				
P.2.2	415	46°	0,09	0,06	0,05	0,019	0,10	0,07	0,06	0,022	0,13	0,09	0,07	0,029	0,15	0,11	0,09	0,034	0,18	0,12	0,10	0,039				
P.2.3	375	46°	0,08	0,05	0,04	0,017	0,09	0,06	0,05	0,020	0,12	0,08	0,07	0,026	0,14	0,10	0,08	0,031	0,16	0,11	0,09	0,036				
P.2.4	290	46°	0,07	0,05	0,04	0,016	0,08	0,06	0,05	0,019	0,11	0,08	0,06	0,024	0,13	0,09	0,07	0,029	0,15	0,10	0,08	0,033				
P.3.1	270	46°	0,08	0,06	0,05	0,018	0,10	0,07	0,06	0,022	0,12	0,09	0,07	0,028	0,15	0,10	0,09	0,033	0,17	0,12	0,10	0,038				
P.3.2	250	46°	0,08	0,06	0,05	0,018	0,09	0,07	0,05	0,021	0,12	0,08	0,07	0,026	0,14	0,10	0,08	0,031	0,16	0,11	0,09	0,036				
P.3.3	230	46°	0,07	0,05	0,04	0,017	0,09	0,06	0,05	0,019	0,11	0,08	0,06	0,025	0,13	0,09	0,08	0,030	0,15	0,11	0,09	0,034				
P.4.1	190	46°	0,06	0,04	0,03	0,013	0,07	0,05	0,04	0,015	0,09	0,06	0,05	0,019	0,10	0,07	0,06	0,023	0,12	0,08	0,07	0,026				
P.4.2	190	46°	0,06	0,04	0,03	0,013	0,07	0,05	0,04	0,015	0,09	0,06	0,05	0,019	0,10	0,07	0,06	0,023	0,12	0,08	0,07	0,026				
M.1.1	220	35°	0,05	0,03		0,011	0,06	0,04		0,013	0,08	0,05		0,018	0,10	0,06		0,022	0,12	0,07		0,027				
M.2.1	200	35°	0,06	0,04		0,013	0,07	0,05		0,016	0,10	0,06		0,021	0,12	0,08		0,027	0,14	0,10		0,032				
M.3.1	200	35°	0,06	0,04		0,013	0,07	0,05		0,016	0,10	0,06		0,021	0,12	0,08		0,027	0,14	0,10		0,032				
K.1.1	500	46°	0,14	0,10	0,08	0,032	0,17	0,12	0,10	0,037	0,21	0,15	0,12	0,048	0,26	0,18	0,15	0,057	0,29	0,21	0,17	0,066				
K.1.2	375	46°	0,10	0,07	0,06	0,022	0,12	0,08	0,07	0,026	0,15	0,11	0,09	0,033	0,18	0,13	0,10	0,040	0,21	0,15	0,12	0,046				
K.2.1	460	46°	0,12	0,09	0,07	0,027	0,14	0,10	0,08	0,032	0,18	0,13	0,10	0,041	0,22	0,15	0,13	0,049	0,25	0,18	0,14	0,056				
K.2.2	375	46°	0,10	0,07	0,06	0,022	0,12	0,08	0,07	0,026	0,15	0,11	0,09	0,033	0,18	0,13	0,10	0,040	0,21	0,15	0,12	0,046				
K.3.1	335	46°	0,10	0,07	0,06	0,022	0,12	0,08	0,07	0,026	0,15	0,11	0,09	0,033	0,18	0,13	0,10	0,040	0,21	0,15	0,12	0,046				
K.3.2	315	46°	0,09	0,06	0,05	0,019	0,10	0,07	0,06	0,022	0,13	0,09	0,07	0,029	0,15	0,11	0,09	0,034	0,18	0,12	0,10	0,039				
N.1.1																										
N.1.2																										
N.2.1																										
N.2.2																										
N.2.3																										
N.3.1																										
N.3.2																										
N.3.3																										
N.4.1																										
S.1.1																										
S.1.2																										
S.2.1																										
S.2.2																										
S.2.3																										
S.3.1																										
S.3.2																										
S.3.3																										
H.1.1																										
H.1.2																										
H.1.3																										
H.1.4																										
H.2.1																										
H.3.1																										
O.1.1																										
O.1.2																										
O.2.1																										
O.2.2																										
O.3.1																										



Les profondeurs de coupe correspondent à la longueur taillée des outils

Index	52 619																● 1er choix		
	$\varnothing DC (\text{mm}) =$																○ Utilisation possible		
	14				16				18				20				Emulsion	Air	MMS
	a_s 0,05 x DC	a_s 0,1 x DC	a_s 0,15 x DC	h_m	a_s 0,05 x DC	a_s 0,1 x DC	a_s 0,15 x DC	h_m	a_s 0,05 x DC	a_s 0,1 x DC	a_s 0,15 x DC	h_m	a_s 0,05 x DC	a_s 0,1 x DC	a_s 0,15 x DC	h_m			
P.1.1	0,22	0,15	0,13	0,049	0,24	0,17	0,14	0,053	0,26	0,18	0,15	0,057	0,27	0,19	0,16	0,061	○	●	○
P.1.2	0,21	0,15	0,12	0,046	0,23	0,16	0,13	0,051	0,24	0,17	0,14	0,054	0,26	0,18	0,15	0,058	○	●	○
P.1.3	0,20	0,14	0,11	0,044	0,22	0,15	0,12	0,048	0,23	0,16	0,13	0,052	0,25	0,17	0,14	0,055	○	●	○
P.1.4	0,19	0,13	0,11	0,042	0,20	0,14	0,12	0,046	0,22	0,16	0,13	0,049	0,23	0,17	0,14	0,052	○	●	○
P.1.5	0,18	0,13	0,10	0,040	0,19	0,14	0,11	0,043	0,21	0,15	0,12	0,047	0,22	0,16	0,13	0,050	○	●	○
P.2.1	0,22	0,15	0,13	0,049	0,24	0,17	0,14	0,053	0,26	0,18	0,15	0,057	0,27	0,19	0,16	0,061	○	●	○
P.2.2	0,20	0,14	0,11	0,044	0,22	0,15	0,12	0,048	0,23	0,16	0,13	0,052	0,25	0,17	0,14	0,055	○	●	○
P.2.3	0,18	0,13	0,10	0,040	0,19	0,14	0,11	0,043	0,21	0,15	0,12	0,047	0,22	0,16	0,13	0,050	○	●	○
P.2.4	0,16	0,12	0,09	0,037	0,18	0,13	0,10	0,040	0,19	0,14	0,11	0,043	0,21	0,15	0,12	0,046	○	●	○
P.3.1	0,19	0,13	0,11	0,043	0,21	0,15	0,12	0,047	0,22	0,16	0,13	0,050	0,24	0,17	0,14	0,053	●		○
P.3.2	0,18	0,13	0,10	0,040	0,20	0,14	0,11	0,044	0,21	0,15	0,12	0,048	0,23	0,16	0,13	0,051	●		○
P.3.3	0,17	0,12	0,10	0,038	0,19	0,13	0,11	0,042	0,20	0,14	0,12	0,045	0,21	0,15	0,12	0,048	●		○
P.4.1	0,13	0,09	0,08	0,029	0,14	0,10	0,08	0,032	0,15	0,11	0,09	0,035	0,16	0,12	0,09	0,037	●		○
M.1.1	0,14	0,08		0,031	0,16	0,10		0,036	0,18	0,11		0,040	0,20	0,12		0,045	●		
M.2.1	0,17	0,11		0,038	0,19	0,13		0,043	0,22	0,14		0,048	0,24	0,16		0,054	●		
M.3.1	0,17	0,11		0,038	0,19	0,13		0,043	0,22	0,14		0,048	0,24	0,16		0,054	●		
K.1.1	0,33	0,23	0,19	0,073	0,36	0,25	0,21	0,080	0,39	0,27	0,22	0,086	0,41	0,29	0,24	0,092		●	
K.1.2	0,23	0,16	0,13	0,051	0,25	0,18	0,15	0,056	0,27	0,19	0,16	0,061	0,29	0,20	0,17	0,064		●	
K.2.1	0,28	0,20	0,16	0,062	0,31	0,22	0,18	0,068	0,33	0,23	0,19	0,074	0,35	0,25	0,20	0,078		●	
K.2.2	0,23	0,16	0,13	0,051	0,25	0,18	0,15	0,056	0,27	0,19	0,16	0,061	0,29	0,20	0,17	0,064		●	
K.3.1	0,23	0,16	0,13	0,051	0,25	0,18	0,15	0,056	0,27	0,19	0,16	0,061	0,29	0,20	0,17	0,064		●	
K.3.2	0,20	0,14	0,11	0,044	0,22	0,15	0,12	0,048	0,23	0,16	0,13	0,052	0,25	0,17	0,14	0,055		●	
N.1.1																			
N.1.2																			
N.2.1																			
N.2.2																			
N.2.3																			
N.3.1																			
N.3.2																			
N.3.3																			
N.4.1																			
S.1.1																			
S.1.2																			
S.2.1																			
S.2.2																			
S.2.3																			
S.3.1																			
S.3.2																			
S.3.3																			
H.1.1																			
H.1.2																			
H.1.3																			
H.1.4																			
H.2.1																			
H.3.1																			
O.1.1																			
O.1.2																			
O.2.1																			
O.2.2																			
O.3.1																			

Conditions de coupe – Montermill – PCR – Type AL

Index	Type long / extra long		52 616 ..., 52 617 ..., 52 618 ...																				
	v_c (m/min)	$a_p \times DC$	$\emptyset DC$ (mm) =																				
			5,0		5,7–7,0		7,7–8,0		8,7–10,0		11,7–12,0		13,7–14,0		15,5–16,0		f_z (mm/dt)						
			a_e 0,1–0,2	a_e 0,3–0,4	a_e 0,6–1,0	a_e 0,1–0,2	a_e 0,3–0,4	a_e 0,6–1,0	a_e 0,1–0,2	a_e 0,3–0,4	a_e 0,6–1,0	a_e 0,1–0,2	a_e 0,3–0,4	a_e 0,6–1,0	a_e 0,1–0,2	a_e 0,3–0,4	a_e 0,6–1,0	$x DC$					
P.1.1																							
P.1.2																							
P.1.3																							
P.1.4																							
P.1.5																							
P.2.1																							
P.2.2																							
P.2.3																							
P.2.4																							
P.3.1																							
P.3.2																							
P.3.3																							
P.4.1																							
P.4.2																							
M.1.1																							
M.2.1																							
M.3.1																							
K.1.1																							
K.1.2																							
K.2.1																							
K.2.2																							
K.3.1																							
K.3.2																							
N.1.1	630	1,0	0,111	0,078	0,050	0,149	0,105	0,067	0,167	0,118	0,075	0,200	0,141	0,089	0,229	0,162	0,103	0,256	0,181	0,115	0,280	0,198	0,125
N.1.2	575	1,0	0,101	0,071	0,045	0,135	0,096	0,061	0,151	0,107	0,068	0,181	0,128	0,081	0,208	0,147	0,093	0,233	0,165	0,104	0,255	0,180	0,114
N.2.1	380	1,0	0,106	0,075	0,047	0,142	0,101	0,064	0,159	0,112	0,071	0,190	0,135	0,085	0,219	0,155	0,098	0,244	0,173	0,109	0,267	0,189	0,120
N.2.2	305	1,0	0,111	0,078	0,050	0,149	0,105	0,067	0,167	0,118	0,075	0,200	0,141	0,089	0,229	0,162	0,103	0,256	0,181	0,115	0,280	0,198	0,125
N.2.3	220	1,0	0,121	0,086	0,054	0,162	0,115	0,073	0,182	0,129	0,081	0,218	0,154	0,097	0,250	0,177	0,112	0,279	0,198	0,125	0,306	0,216	0,137
N.3.1	275	1,0	0,050	0,036	0,023	0,068	0,048	0,030	0,076	0,054	0,034	0,091	0,064	0,041	0,104	0,074	0,047	0,116	0,082	0,052	0,127	0,090	0,057
N.3.2	165	1,0	0,081	0,057	0,036	0,108	0,077	0,048	0,121	0,086	0,054	0,145	0,103	0,065	0,167	0,118	0,075	0,186	0,132	0,083	0,204	0,144	0,091
N.3.3	220	1,0	0,081	0,057	0,036	0,108	0,077	0,048	0,121	0,086	0,054	0,145	0,103	0,065	0,167	0,118	0,075	0,186	0,132	0,083	0,204	0,144	0,091
N.4.1																							
S.1.1																							
S.1.2																							
S.2.1																							
S.2.2																							
S.2.3																							
S.3.1																							
S.3.2																							
S.3.3																							
H.1.1																							
H.1.2																							
H.1.3																							
H.1.4																							
H.2.1																							
H.3.1																							
O.1.1																							
O.1.2																							
O.2.1																							
O.2.2																							
O.3.1																							



Avec un a_p de 1,5 x DC, veuillez multiplier l'avance à la dent f_z par un facteur de 0,75

Index	52 616 ..., 52 617 ..., 52 618 ...												● 1er choix		
	Ø DC (mm) =						Ramping 1,0 x DC	Fraisage hélicoïdal			Perçage 1,0 x DC	○ Utilisation possible			
	17,5–18,0			19,5–20,0				Diamètre		f_z		Emulsion	Air		
	a_s 0,1–0,2	a_s 0,3–0,4	a_s x DC	a_s 0,6–1,0	a_s x DC	a_s 0,1–0,2	a_s x DC	a_s 0,3–0,4	a_s 0,6–1,0				MMS		
	f_z (mm/dt)							Angle maxi de ramping	$\alpha_{R\max}^*$						
P.1.1															
P.1.2															
P.1.3															
P.1.4															
P.1.5															
P.2.1															
P.2.2															
P.2.3															
P.2.4															
P.3.1															
P.3.2															
P.3.3															
P.4.1															
P.4.2															
M.1.1															
M.2.1															
M.3.1															
K.1.1															
K.1.2															
K.2.1															
K.2.2															
K.3.1															
K.3.2															
N.1.1	0,301	0,213	0,135	0,320	0,226	0,143	45°	0,75 x DC	25°	16°	0,8	●			
N.1.2	0,274	0,194	0,123	0,291	0,206	0,130	45°	0,75 x DC	25°	16°	0,8	●			
N.2.1	0,288	0,203	0,129	0,306	0,216	0,137	45°	0,75 x DC	25°	16°	0,8	●			
N.2.2	0,301	0,213	0,135	0,320	0,226	0,143	45°	0,75 x DC	25°	16°	0,8	●			
N.2.3	0,329	0,233	0,147	0,349	0,247	0,156	45°	0,75 x DC	25°	16°	0,8	●			
N.3.1	0,137	0,097	0,061	0,146	0,103	0,065	45°	0,75 x DC	25°	16°	0,8	●			
N.3.2	0,219	0,155	0,098	0,233	0,165	0,104	45°	0,75 x DC	25°	16°	0,8	●			
N.3.3	0,219	0,155	0,098	0,233	0,165	0,104	45°	0,75 x DC	25°	16°	0,8	●			
N.4.1															
S.1.1															
S.1.2															
S.2.1															
S.2.2															
S.2.3															
S.3.1															
S.3.2															
S.3.3															
H.1.1															
H.1.2															
H.1.3															
H.1.4															
H.2.1															
H.3.1															
O.1.1															
O.1.2															
O.2.1															
O.2.2															
O.3.1															



* Profondeur de passe par cycle hélicoïdal



Conditions de coupe pour le ramping et la plongée hélicoïdale = 100 %

Conditions de coupe pour le perçage : Multipliez la valeur du tableau par le coefficient mentionné

Conditions de coupe – Monstermill – PCR – Type AL – Fraisage dynamique



Les profondeurs de coupe correspondent à la longueur taillée des outils

Index	52 618 ...																● 1er choix ○ Utilisation possible					
	\varnothing DC (mm) =																Emulsion	Air	MMS			
	14				16				18				20									
	a_s 0,1 x DC	a_s 0,2 x DC	a_s 0,3 x DC	h_m	a_s 0,1 x DC	a_s 0,2 x DC	a_s 0,3 x DC	h_m	a_s 0,1 x DC	a_s 0,2 x DC	a_s 0,3 x DC	h_m	a_s 0,1 x DC	a_s 0,2 x DC	a_s 0,3 x DC	h_m						
P.1.1																						
P.1.2																						
P.1.3																						
P.1.4																						
P.1.5																						
P.2.1																						
P.2.2																						
P.2.3																						
P.2.4																						
P.3.1																						
P.3.2																						
P.3.3																						
P.4.1																						
P.4.2																						
M.1.1																						
M.2.1																						
M.3.1																						
K.1.1																						
K.1.2																						
K.2.1																						
K.2.2																						
K.3.1																						
K.3.2																						
N.1.1	0,21	0,15	0,12	0,048	0,23	0,16	0,13	0,052	0,25	0,18	0,14	0,056	0,27	0,19	0,15	0,060	●					
N.1.2	0,19	0,14	0,11	0,043	0,21	0,15	0,12	0,047	0,23	0,16	0,13	0,051	0,24	0,17	0,14	0,054	●					
N.2.1	0,20	0,14	0,12	0,045	0,22	0,16	0,13	0,050	0,24	0,17	0,14	0,054	0,25	0,18	0,15	0,057	●					
N.2.2	0,21	0,15	0,12	0,048	0,23	0,16	0,13	0,052	0,25	0,18	0,14	0,056	0,27	0,19	0,15	0,060	●					
N.2.3	0,23	0,16	0,13	0,052	0,25	0,18	0,15	0,057	0,27	0,19	0,16	0,061	0,29	0,21	0,17	0,065	●					
N.3.1	0,10	0,07	0,06	0,022	0,11	0,07	0,06	0,024	0,11	0,08	0,07	0,025	0,12	0,09	0,07	0,027	●					
N.3.2	0,15	0,11	0,09	0,035	0,17	0,12	0,10	0,038	0,18	0,13	0,11	0,041	0,19	0,14	0,11	0,043	●					
N.3.3	0,15	0,11	0,09	0,035	0,17	0,12	0,10	0,038	0,18	0,13	0,11	0,041	0,19	0,14	0,11	0,043	●					
N.4.1																						
S.1.1																						
S.1.2																						
S.2.1																						
S.2.2																						
S.2.3																						
S.3.1																						
S.3.2																						
S.3.3																						
H.1.1																						
H.1.2																						
H.1.3																						
H.1.4																						
H.2.1																						
H.3.1																						
O.1.1																						
O.1.2																						
O.2.1																						
O.2.2																						
O.3.1																						

Conditions de coupe – Montermill – MCR – Version courte et longue

Index	Type court		50 752 ...										50 752 ...									
	v _c (m/min)	a _p max. x DC	Ø DC (mm) =								Ø DC (mm) =											
			1				2				3				4				5			
			a _e 0,1–0,2	a _e 0,3–0,4	a _e 0,6–1,0	a _e 0,1–0,2	a _e 0,3–0,4	a _e 0,6–1,0	f _z (mm/dt)	a _e 0,1–0,2	a _e 0,3–0,4	a _e 0,6–1,0	a _e 0,1–0,2	a _e 0,3–0,4	a _e 0,6–1,0	a _e 0,1–0,2	a _e 0,3–0,4	a _e 0,6–1,0	a _e 0,1–0,2	a _e 0,3–0,4	a _e 0,6–1,0	
P.1.1	160	0,5	0,008	0,007	0,004	0,015	0,013	0,008	1,0	1,0*	0,032	0,024	0,015	0,043	0,032	0,020	0,053	0,040	0,025	0,064	0,047	0,030
P.1.2	140	0,5	0,008	0,007	0,004	0,015	0,013	0,008	1,0	1,0*	0,032	0,024	0,015	0,043	0,032	0,020	0,053	0,040	0,025	0,064	0,047	0,030
P.1.3	120	0,5	0,008	0,007	0,004	0,015	0,013	0,008	1,0	1,0*	0,032	0,024	0,015	0,043	0,032	0,020	0,053	0,040	0,025	0,064	0,047	0,030
P.1.4	120	0,5	0,008	0,007	0,004	0,015	0,013	0,008	1,0	1,0*	0,032	0,024	0,015	0,043	0,032	0,020	0,053	0,040	0,025	0,064	0,047	0,030
P.1.5	100	0,5	0,008	0,007	0,004	0,015	0,013	0,008	1,0	1,0*	0,032	0,024	0,015	0,043	0,032	0,020	0,053	0,040	0,025	0,064	0,047	0,030
P.2.1	140	0,5	0,008	0,007	0,004	0,015	0,013	0,008	1,0	1,0*	0,032	0,024	0,015	0,043	0,032	0,020	0,053	0,040	0,025	0,064	0,047	0,030
P.2.2	120	0,5	0,008	0,007	0,004	0,015	0,013	0,008	1,0	1,0*	0,032	0,024	0,015	0,043	0,032	0,020	0,053	0,040	0,025	0,064	0,047	0,030
P.2.3	100	0,5	0,008	0,007	0,004	0,015	0,013	0,008	1,0	1,0*	0,032	0,024	0,015	0,043	0,032	0,020	0,053	0,040	0,025	0,064	0,047	0,030
P.2.4	80	0,5	0,008	0,007	0,004	0,015	0,013	0,008	1,0	1,0*	0,032	0,024	0,015	0,043	0,032	0,020	0,053	0,040	0,025	0,064	0,047	0,030
P.3.1	80	0,5	0,008	0,007	0,004	0,015	0,013	0,008	1,0	1,0*	0,032	0,024	0,015	0,043	0,032	0,020	0,053	0,040	0,025	0,064	0,047	0,030
P.3.2	80	0,5	0,008	0,007	0,004	0,015	0,013	0,008	1,0	1,0*	0,032	0,024	0,015	0,043	0,032	0,020	0,053	0,040	0,025	0,064	0,047	0,030
P.3.3	80	0,5	0,008	0,007	0,004	0,015	0,013	0,008	1,0	1,0*	0,032	0,024	0,015	0,043	0,032	0,020	0,053	0,040	0,025	0,064	0,047	0,030
P.4.1	60	0,5	0,008	0,007	0,004	0,015	0,013	0,008	1,0	1,0*	0,030	0,022	0,014	0,038	0,028	0,018	0,049	0,036	0,023	0,058	0,043	0,027
P.4.2	60	0,5	0,008	0,007	0,004	0,015	0,013	0,008	1,0	1,0*	0,030	0,022	0,014	0,038	0,028	0,018	0,049	0,036	0,023	0,058	0,043	0,027
M.1.1	60	0,5	0,008	0,007	0,004	0,015	0,013	0,008	1,0	1,0*	0,030	0,022	0,014	0,038	0,028	0,018	0,049	0,036	0,023	0,058	0,043	0,027
M.2.1																						
M.3.1	60	0,5	0,008	0,007	0,004	0,015	0,013	0,008	1,0	1,0*	0,030	0,022	0,014	0,038	0,028	0,018	0,049	0,036	0,023	0,058	0,043	0,027
K.1.1	160	0,5	0,012	0,010	0,006	0,023	0,019	0,012	1,0	1,0*	0,045	0,033	0,021	0,060	0,044	0,028	0,075	0,055	0,035	0,090	0,066	0,042
K.1.2	160	0,5	0,012	0,010	0,006	0,023	0,019	0,012	1,0	1,0*	0,045	0,033	0,021	0,060	0,044	0,028	0,075	0,055	0,035	0,090	0,066	0,042
K.2.1	140	0,5	0,012	0,010	0,006	0,023	0,019	0,012	1,0	1,0*	0,045	0,033	0,021	0,060	0,044	0,028	0,075	0,055	0,035	0,090	0,066	0,042
K.2.2	140	0,5	0,012	0,010	0,006	0,023	0,019	0,012	1,0	1,0*	0,045	0,033	0,021	0,060	0,044	0,028	0,075	0,055	0,035	0,090	0,066	0,042
K.3.1	100	0,5	0,010	0,008	0,005	0,019	0,016	0,010	1,0	1,0*	0,038	0,028	0,018	0,051	0,038	0,024	0,064	0,047	0,030	0,077	0,057	0,036
K.3.2	100	0,5	0,010	0,008	0,005	0,019	0,016	0,010	1,0	1,0*	0,038	0,028	0,018	0,051	0,038	0,024	0,064	0,047	0,030	0,077	0,057	0,036
N.1.1																						
N.1.2																						
N.2.1																						
N.2.2																						
N.2.3																						
N.3.1	140	0,5	0,008	0,007	0,004	0,015	0,013	0,008	1,0	1,0*	0,032	0,024	0,015	0,043	0,032	0,020	0,053	0,040	0,025	0,064	0,047	0,030
N.3.2	140	0,5	0,008	0,007	0,004	0,015	0,013	0,008	1,0	1,0*	0,032	0,024	0,015	0,043	0,032	0,020	0,053	0,040	0,025	0,064	0,047	0,030
N.3.3	140	0,5	0,008	0,007	0,004	0,015	0,013	0,008	1,0	1,0*	0,032	0,024	0,015	0,043	0,032	0,020	0,053	0,040	0,025	0,064	0,047	0,030
N.4.1																						
S.1.1																						
S.1.2																						
S.2.1																						
S.2.2																						
S.2.3																						
S.3.1	60	0,25	0,008	0,007	0,004	0,015	0,013	0,008	0,5	0,5	0,026	0,019	0,012	0,034	0,025	0,016	0,043	0,032	0,020	0,051	0,038	0,024
S.3.2	60	0,25	0,008	0,007	0,004	0,015	0,013	0,008	0,5	0,5	0,026	0,019	0,012	0,034	0,025	0,016	0,043	0,032	0,020	0,051	0,038	0,024
S.3.3	60	0,25	0,008	0,007	0,004	0,015	0,013	0,008	0,5	0,5	0,026	0,019	0,012	0,034	0,025	0,016	0,043	0,032	0,020	0,051	0,038	0,024
H.1.1																						
H.1.2																						
H.1.3																						
H.1.4																						
H.2.1	80	0,25	0,008	0,007	0,004	0,015	0,013	0,008	0,5	0,5	0,032	0,024	0,015	0,043	0,032	0,020	0,053	0,040	0,025	0,064	0,047	0,030
H.3.1																						
O.1.1																						
O.1.2																						
O.2.1																						
O.2.2																						
O.3.1																						

*= Pour un a_p de 1,5xD, multiplier l'avance f_z par 0,8

Angle de plongée pour ramping ou interpolation circulaire : 3° pour les fraises de diamètre 3 à 5 ; 5° pour les fraises de diamètre 6 à 9 ; 8° pour les fraises de diamètre 10 à 20

Index	50 752 ...																		● 1er choix		
	\emptyset DC (mm) =																		○ Utilisation possible		
	8			10			12			14			16			20			Emulsion	Air	MMS
	a_s 0,1–0,2	a_s 0,3–0,4	a_s 0,6–1,0	a_s 0,1–0,2	a_s 0,3–0,4	a_s 0,6–1,0	a_s 0,1–0,2	a_s 0,3–0,4	a_s 0,6–1,0	a_s 0,1–0,2	a_s 0,3–0,4	a_s 0,6–1,0	a_s 0,1–0,2	a_s 0,3–0,4	a_s 0,6–1,0	a_s 0,1–0,2	a_s 0,3–0,4	a_s 0,6–1,0			
P.1.1	0,09	0,06	0,04	0,11	0,08	0,05	0,12	0,09	0,06	0,13	0,10	0,07	0,14	0,11	0,08	0,16	0,13	0,10		●	
P.1.2	0,09	0,06	0,04	0,11	0,08	0,05	0,12	0,09	0,06	0,13	0,10	0,07	0,14	0,11	0,08	0,16	0,13	0,10		●	
P.1.3	0,09	0,06	0,04	0,11	0,08	0,05	0,12	0,09	0,06	0,13	0,10	0,07	0,14	0,11	0,08	0,16	0,13	0,10		●	
P.1.4	0,09	0,06	0,04	0,11	0,08	0,05	0,12	0,09	0,06	0,13	0,10	0,07	0,14	0,11	0,08	0,16	0,13	0,10		●	
P.1.5	0,09	0,06	0,04	0,11	0,08	0,05	0,12	0,09	0,06	0,13	0,10	0,07	0,14	0,11	0,08	0,16	0,13	0,10		●	
P.2.1	0,09	0,06	0,04	0,11	0,08	0,05	0,12	0,09	0,06	0,13	0,10	0,07	0,14	0,11	0,08	0,16	0,13	0,10		●	
P.2.2	0,09	0,06	0,04	0,11	0,08	0,05	0,12	0,09	0,06	0,13	0,10	0,07	0,14	0,11	0,08	0,16	0,13	0,10		●	
P.2.3	0,09	0,06	0,04	0,11	0,08	0,05	0,12	0,09	0,06	0,13	0,10	0,07	0,14	0,11	0,08	0,16	0,13	0,10		●	
P.2.4	0,09	0,06	0,04	0,11	0,08	0,05	0,12	0,09	0,06	0,13	0,10	0,07	0,14	0,11	0,08	0,16	0,13	0,10		●	
P.3.1	0,09	0,06	0,04	0,11	0,08	0,05	0,12	0,09	0,06	0,13	0,10	0,07	0,14	0,11	0,08	0,16	0,13	0,10		●	
P.3.2	0,09	0,06	0,04	0,11	0,08	0,05	0,12	0,09	0,06	0,13	0,10	0,07	0,14	0,11	0,08	0,16	0,13	0,10		●	
P.3.3	0,09	0,06	0,04	0,11	0,08	0,05	0,12	0,09	0,06	0,13	0,10	0,07	0,14	0,11	0,08	0,16	0,13	0,10		●	
P.4.1	0,08	0,06	0,04	0,10	0,07	0,05	0,10	0,08	0,05	0,11	0,09	0,06	0,12	0,10	0,07	0,14	0,12	0,09	●		
P.4.2	0,08	0,06	0,04	0,10	0,07	0,05	0,10	0,08	0,05	0,11	0,09	0,06	0,12	0,10	0,07	0,14	0,12	0,09	●		
M.1.1	0,08	0,06	0,04	0,10	0,07	0,05	0,10	0,08	0,05	0,11	0,09	0,06	0,12	0,10	0,07	0,14	0,12	0,09	●		
M.2.1																					
M.3.1	0,08	0,06	0,04	0,10	0,07	0,05	0,10	0,08	0,05	0,11	0,09	0,06	0,12	0,10	0,07	0,14	0,12	0,09	●		
K.1.1	0,12	0,09	0,06	0,15	0,11	0,07	0,16	0,13	0,08	0,18	0,14	0,10	0,19	0,16	0,11	0,22	0,18	0,14		●	
K.1.2	0,12	0,09	0,06	0,15	0,11	0,07	0,16	0,13	0,08	0,18	0,14	0,10	0,19	0,16	0,11	0,22	0,18	0,14		●	
K.2.1	0,12	0,09	0,06	0,15	0,11	0,07	0,16	0,13	0,08	0,18	0,14	0,10	0,19	0,16	0,11	0,22	0,18	0,14		●	
K.2.2	0,12	0,09	0,06	0,15	0,11	0,07	0,16	0,13	0,08	0,18	0,14	0,10	0,19	0,16	0,11	0,22	0,18	0,14		●	
K.3.1	0,10	0,08	0,05	0,13	0,10	0,06	0,14	0,11	0,07	0,15	0,12	0,08	0,16	0,14	0,10	0,19	0,16	0,12		●	
K.3.2	0,10	0,08	0,05	0,13	0,10	0,06	0,14	0,11	0,07	0,15	0,12	0,08	0,16	0,14	0,10	0,19	0,16	0,12		●	
N.1.1																					
N.1.2																					
N.2.1																					
N.2.2																					
N.2.3																					
N.3.1	0,09	0,06	0,04	0,11	0,08	0,05	0,12	0,09	0,06	0,13	0,10	0,07	0,14	0,11	0,08	0,16	0,13	0,10	●		
N.3.2	0,09	0,06	0,04	0,11	0,08	0,05	0,12	0,09	0,06	0,13	0,10	0,07	0,14	0,11	0,08	0,16	0,13	0,10	●		
N.3.3	0,09	0,06	0,04	0,11	0,08	0,05	0,12	0,09	0,06	0,13	0,10	0,07	0,14	0,11	0,08	0,16	0,13	0,10	●		
N.4.1																					
S.1.1																					
S.1.2																					
S.2.1																					
S.2.2																					
S.2.3																					
S.3.1	0,07	0,05	0,03	0,09	0,06	0,04	0,09	0,07	0,05	0,10	0,08	0,06	0,11	0,09	0,06	0,13	0,10	0,08	●		
S.3.2	0,07	0,05	0,03	0,09	0,06	0,04	0,09	0,07	0,05	0,10	0,08	0,06	0,11	0,09	0,06	0,13	0,10	0,08	●		
S.3.3	0,07	0,05	0,03	0,09	0,06	0,04	0,09	0,07	0,05	0,10	0,08	0,06	0,11	0,09	0,06	0,13	0,10	0,08	●		
H.1.1																					
H.1.2																					
H.1.3																					
H.1.4																					
H.2.1	0,09	0,06	0,04	0,11	0,08	0,05	0,12	0,09	0,06	0,13	0,10	0,07	0,14	0,11	0,08	0,16	0,13	0,10	●		
H.3.1																					
O.1.1																					
O.1.2																					
O.2.1																					
O.2.2																					
O.3.1																					

Conditions de coupe – Montermill – MCR – Version extra-longue

Index	Type extra long	50 752 ...																
		\emptyset DC (mm) =																
		3			4			5			6			8				
		a_e 0,1–0,2 x DC	a_e 0,3–0,4 x DC	a_e 0,6–1,0 x DC	a_e 0,1–0,2 x DC	a_e 0,3–0,4 x DC	a_e 0,6–1,0 x DC	a_e 0,1–0,2 x DC	a_e 0,3–0,4 x DC	a_e 0,6–1,0 x DC	a_e 0,1–0,2 x DC	a_e 0,3–0,4 x DC	a_e 0,6–1,0 x DC	a_e 0,1–0,2 x DC	a_e 0,3–0,4 x DC	a_e 0,6–1,0 x DC		
v _c (m/min)	a _{pmax} x DC	f _z (mm/dt)																
P.1.1	120	1,0*	0,5	0,025	0,017	0,011	0,031	0,022	0,014	0,040	0,028	0,018	0,047	0,033	0,021	0,06	0,04	0,03
P.1.2	100	1,0*	0,5	0,025	0,017	0,011	0,031	0,022	0,014	0,040	0,028	0,018	0,047	0,033	0,021	0,06	0,04	0,03
P.1.3	80	1,0*	0,5	0,025	0,017	0,011	0,031	0,022	0,014	0,040	0,028	0,018	0,047	0,033	0,021	0,06	0,04	0,03
P.1.4	80	1,0*	0,5	0,025	0,017	0,011	0,031	0,022	0,014	0,040	0,028	0,018	0,047	0,033	0,021	0,06	0,04	0,03
P.1.5	80	1,0*	0,5	0,025	0,017	0,011	0,031	0,022	0,014	0,040	0,028	0,018	0,047	0,033	0,021	0,06	0,04	0,03
P.2.1	100	1,0*	0,5	0,025	0,017	0,011	0,031	0,022	0,014	0,040	0,028	0,018	0,047	0,033	0,021	0,06	0,04	0,03
P.2.2	80	1,0*	0,5	0,025	0,017	0,011	0,031	0,022	0,014	0,040	0,028	0,018	0,047	0,033	0,021	0,06	0,04	0,03
P.2.3	70	1,0*	0,5	0,025	0,017	0,011	0,031	0,022	0,014	0,040	0,028	0,018	0,047	0,033	0,021	0,06	0,04	0,03
P.2.4	70	1,0*	0,5	0,025	0,017	0,011	0,031	0,022	0,014	0,040	0,028	0,018	0,047	0,033	0,021	0,06	0,04	0,03
P.3.1	70	1,0*	0,5	0,025	0,017	0,011	0,031	0,022	0,014	0,040	0,028	0,018	0,047	0,033	0,021	0,06	0,04	0,03
P.3.2	70	1,0*	0,5	0,025	0,017	0,011	0,031	0,022	0,014	0,040	0,028	0,018	0,047	0,033	0,021	0,06	0,04	0,03
P.3.3	70	1,0*	0,5	0,025	0,017	0,011	0,031	0,022	0,014	0,040	0,028	0,018	0,047	0,033	0,021	0,06	0,04	0,03
P.4.1	50	1,0*	0,5	0,020	0,014	0,009	0,027	0,019	0,012	0,034	0,024	0,015	0,040	0,028	0,018	0,05	0,04	0,02
P.4.2	50	1,0*	0,5	0,020	0,014	0,009	0,027	0,019	0,012	0,034	0,024	0,015	0,040	0,028	0,018	0,05	0,04	0,02
M.1.1	50	1,0*	0,5	0,020	0,014	0,009	0,027	0,019	0,012	0,034	0,024	0,015	0,040	0,028	0,018	0,05	0,04	0,02
M.2.1																		
M.3.1	50	1,0*	0,5	0,020	0,014	0,009	0,027	0,019	0,012	0,034	0,024	0,015	0,040	0,028	0,018	0,05	0,04	0,02
K.1.1	120	1,0*	0,5	0,034	0,024	0,015	0,045	0,032	0,020	0,056	0,040	0,025	0,067	0,047	0,030	0,09	0,06	0,04
K.1.2	120	1,0*	0,5	0,034	0,024	0,015	0,045	0,032	0,020	0,056	0,040	0,025	0,067	0,047	0,030	0,09	0,06	0,04
K.2.1	120	1,0*	0,5	0,034	0,024	0,015	0,045	0,032	0,020	0,056	0,040	0,025	0,067	0,047	0,030	0,09	0,06	0,04
K.2.2	120	1,0*	0,5	0,034	0,024	0,015	0,045	0,032	0,020	0,056	0,040	0,025	0,067	0,047	0,030	0,09	0,06	0,04
K.3.1	100	1,0*	0,5	0,027	0,019	0,012	0,036	0,025	0,016	0,045	0,032	0,020	0,054	0,038	0,024	0,07	0,05	0,03
K.3.2	100	1,0*	0,5	0,027	0,019	0,012	0,036	0,025	0,016	0,045	0,032	0,020	0,054	0,038	0,024	0,07	0,05	0,03
N.1.1																		
N.1.2																		
N.2.1																		
N.2.2																		
N.2.3																		
N.3.1	120	1,0*	0,5	0,020	0,014	0,009	0,027	0,019	0,012	0,034	0,024	0,015	0,040	0,028	0,018	0,05	0,04	0,02
N.3.2	120	1,0*	0,5	0,020	0,014	0,009	0,027	0,019	0,012	0,034	0,024	0,015	0,040	0,028	0,018	0,05	0,04	0,02
N.3.3	120	1,0*	0,5	0,020	0,014	0,009	0,027	0,019	0,012	0,034	0,024	0,015	0,040	0,028	0,018	0,05	0,04	0,02
N.4.1																		
S.1.1																		
S.1.2																		
S.2.1																		
S.2.2																		
S.2.3																		
S.3.1	60	0,5*	0,25	0,020	0,014	0,009	0,027	0,019	0,012	0,034	0,024	0,015	0,040	0,028	0,018	0,05	0,04	0,02
S.3.2	60	0,5*	0,25	0,020	0,014	0,009	0,027	0,019	0,012	0,034	0,024	0,015	0,040	0,028	0,018	0,05	0,04	0,02
S.3.3	60	0,5*	0,25	0,020	0,014	0,009	0,027	0,019	0,012	0,034	0,024	0,015	0,040	0,028	0,018	0,05	0,04	0,02
H.1.1																		
H.1.2																		
H.1.3																		
H.1.4																		
H.2.1	80	0,5*	0,5	0,025	0,017	0,011	0,031	0,022	0,014	0,040	0,028	0,018	0,047	0,033	0,021	0,06	0,04	0,03
H.3.1																		
O.1.1																		
O.1.2																		
O.2.1																		
O.2.2																		
O.3.1																		

* = Effeuillage et rainurage trochoïdal



Index	50 752 ...																● 1er choix	○ Utilisation possible
	\emptyset DC (mm) =																	
	10			12			14			16			20			Emulsion	Air	MMS
	a_s 0,1–0,2 x DC	a_s 0,3–0,4 x DC	a_s 0,6–1,0 x DC	a_s 0,1–0,2 x DC	a_s 0,3–0,4 x DC	a_s 0,6–1,0 x DC	a_s 0,1–0,2 x DC	a_s 0,3–0,4 x DC	a_s 0,6–1,0 x DC	a_s 0,1–0,2 x DC	a_s 0,3–0,4 x DC	a_s 0,6–1,0 x DC	a_s 0,1–0,2 x DC	a_s 0,3–0,4 x DC	a_s 0,6–1,0 x DC			
P.1.1	0,08	0,06	0,04	0,08	0,07	0,04	0,09	0,07	0,05	0,10	0,08	0,06	0,12	0,09	0,07		●	
P.1.2	0,08	0,06	0,04	0,08	0,07	0,04	0,09	0,07	0,05	0,10	0,08	0,06	0,12	0,09	0,07		●	
P.1.3	0,08	0,06	0,04	0,08	0,07	0,04	0,09	0,07	0,05	0,10	0,08	0,06	0,12	0,09	0,07		●	
P.1.4	0,08	0,06	0,04	0,08	0,07	0,04	0,09	0,07	0,05	0,10	0,08	0,06	0,12	0,09	0,07		●	
P.1.5	0,08	0,06	0,04	0,08	0,07	0,04	0,09	0,07	0,05	0,10	0,08	0,06	0,12	0,09	0,07		●	
P.2.1	0,08	0,06	0,04	0,08	0,07	0,04	0,09	0,07	0,05	0,10	0,08	0,06	0,12	0,09	0,07		●	
P.2.2	0,08	0,06	0,04	0,08	0,07	0,04	0,09	0,07	0,05	0,10	0,08	0,06	0,12	0,09	0,07		●	
P.2.3	0,08	0,06	0,04	0,08	0,07	0,04	0,09	0,07	0,05	0,10	0,08	0,06	0,12	0,09	0,07		●	
P.2.4	0,08	0,06	0,04	0,08	0,07	0,04	0,09	0,07	0,05	0,10	0,08	0,06	0,12	0,09	0,07		●	
P.3.1	0,08	0,06	0,04	0,08	0,07	0,04	0,09	0,07	0,05	0,10	0,08	0,06	0,12	0,09	0,07		●	
P.3.2	0,08	0,06	0,04	0,08	0,07	0,04	0,09	0,07	0,05	0,10	0,08	0,06	0,12	0,09	0,07		●	
P.3.3	0,08	0,06	0,04	0,08	0,07	0,04	0,09	0,07	0,05	0,10	0,08	0,06	0,12	0,09	0,07		●	
P.4.1	0,07	0,05	0,03	0,07	0,06	0,04	0,08	0,06	0,04	0,08	0,07	0,05	0,10	0,08	0,06	●		
P.4.2	0,07	0,05	0,03	0,07	0,06	0,04	0,08	0,06	0,04	0,08	0,07	0,05	0,10	0,08	0,06	●		
M.1.1	0,07	0,05	0,03	0,07	0,06	0,04	0,08	0,06	0,04	0,08	0,07	0,05	0,10	0,08	0,06	●		
M.2.1																		
M.3.1	0,07	0,05	0,03	0,07	0,06	0,04	0,08	0,06	0,04	0,08	0,07	0,05	0,10	0,08	0,06	●		
K.1.1	0,11	0,08	0,05	0,12	0,09	0,06	0,13	0,10	0,07	0,14	0,11	0,08	0,17	0,14	0,10		●	
K.1.2	0,11	0,08	0,05	0,12	0,09	0,06	0,13	0,10	0,07	0,14	0,11	0,08	0,17	0,14	0,10		●	
K.2.1	0,11	0,08	0,05	0,12	0,09	0,06	0,13	0,10	0,07	0,14	0,11	0,08	0,17	0,14	0,10		●	
K.2.2	0,11	0,08	0,05	0,12	0,09	0,06	0,13	0,10	0,07	0,14	0,11	0,08	0,17	0,14	0,10		●	
K.3.1	0,09	0,06	0,04	0,09	0,07	0,05	0,10	0,08	0,06	0,11	0,09	0,06	0,14	0,11	0,08		●	
K.3.2	0,09	0,06	0,04	0,09	0,07	0,05	0,10	0,08	0,06	0,11	0,09	0,06	0,14	0,11	0,08		●	
N.1.1																		
N.1.2																		
N.2.1																		
N.2.2																		
N.2.3																		
N.3.1	0,07	0,05	0,03	0,07	0,06	0,04	0,08	0,06	0,04	0,08	0,07	0,05	0,10	0,08	0,06	●		
N.3.2	0,07	0,05	0,03	0,07	0,06	0,04	0,08	0,06	0,04	0,08	0,07	0,05	0,10	0,08	0,06	●		
N.3.3	0,07	0,05	0,03	0,07	0,06	0,04	0,08	0,06	0,04	0,08	0,07	0,05	0,10	0,08	0,06	●		
N.4.1																		
S.1.1																		
S.1.2																		
S.2.1																		
S.2.2																		
S.2.3																		
S.3.1	0,07	0,05	0,03	0,07	0,06	0,04	0,08	0,06	0,04	0,08	0,07	0,05	0,10	0,08	0,06	●		
S.3.2	0,07	0,05	0,03	0,07	0,06	0,04	0,08	0,06	0,04	0,08	0,07	0,05	0,10	0,08	0,06	●		
S.3.3	0,07	0,05	0,03	0,07	0,06	0,04	0,08	0,06	0,04	0,08	0,07	0,05	0,10	0,08	0,06	●		
H.1.1																		
H.1.2																		
H.1.3																		
H.1.4																		
H.2.1	0,08	0,06	0,04	0,08	0,07	0,04	0,09	0,07	0,05	0,10	0,08	0,06	0,12	0,09	0,07	●		
H.3.1																		
O.1.1																		
O.1.2																		
O.2.1																		
O.2.2																		
O.3.1																		

Conditions de coupe – CircularLine – CCR-UNI, version courte et longue

Index	Types court / long		53 585..., 53 587..., 53 586 ..., 53 642 ...																				
	v _c (m/min)	Angle maximal d'engagement	Ø DC (mm) =								6				8				10				
			a _e 0,05 x DC				a _e 0,1 x DC				a _e 0,15 x DC				h _m				a _e 0,05 x DC				
			f _z (mm/dt)				f _z (mm/dt)				f _z (mm/dt)				h _m				f _z (mm/dt)				
P.1.1	280	50°	0,15	0,10	0,09	0,033	0,17	0,12	0,10	0,039	0,20	0,14	0,12	0,045	0,23	0,16	0,13	0,051					
P.1.2	280	50°	0,11	0,08	0,07	0,025	0,14	0,10	0,08	0,032	0,17	0,12	0,10	0,039	0,20	0,14	0,12	0,045					
P.1.3	280	50°	0,11	0,08	0,07	0,025	0,14	0,10	0,08	0,032	0,17	0,12	0,10	0,039	0,20	0,14	0,12	0,045					
P.1.4	260	50°	0,11	0,08	0,07	0,025	0,14	0,10	0,08	0,032	0,17	0,12	0,10	0,039	0,20	0,14	0,12	0,045					
P.1.5	260	50°	0,11	0,08	0,07	0,025	0,14	0,10	0,08	0,032	0,17	0,12	0,10	0,039	0,20	0,14	0,12	0,045					
P.2.1	280	50°	0,15	0,10	0,09	0,033	0,17	0,12	0,10	0,039	0,20	0,14	0,12	0,045	0,23	0,16	0,13	0,051					
P.2.2	280	50°	0,15	0,10	0,09	0,033	0,17	0,12	0,10	0,039	0,20	0,14	0,12	0,045	0,23	0,16	0,13	0,051					
P.2.3	260	50°	0,11	0,08	0,07	0,025	0,14	0,10	0,08	0,032	0,17	0,12	0,10	0,039	0,20	0,14	0,12	0,045					
P.2.4	260	50°	0,11	0,08	0,07	0,025	0,14	0,10	0,08	0,032	0,17	0,12	0,10	0,039	0,20	0,14	0,12	0,045					
P.3.1	220	50°	0,11	0,08	0,07	0,025	0,14	0,10	0,08	0,032	0,17	0,12	0,10	0,039	0,20	0,14	0,12	0,045					
P.3.2	220	45°	0,11	0,08	0,07	0,025	0,14	0,10	0,08	0,032	0,17	0,12	0,10	0,039	0,20	0,14	0,12	0,045					
P.3.3	200	45°	0,11	0,08	0,07	0,025	0,14	0,10	0,08	0,032	0,17	0,12	0,10	0,039	0,20	0,14	0,12	0,045					
P.4.1	180	45°	0,09	0,07	0,05	0,021	0,11	0,08	0,07	0,026	0,14	0,10	0,08	0,031	0,16	0,11	0,09	0,035					
P.4.2	160	45°	0,09	0,07	0,05	0,021	0,11	0,08	0,07	0,026	0,14	0,10	0,08	0,031	0,16	0,11	0,09	0,035					
M.1.1	140	45°	0,09	0,07	0,05	0,021	0,11	0,08	0,07	0,026	0,14	0,10	0,08	0,031	0,16	0,11	0,09	0,035					
M.2.1	140	45°	0,09	0,07	0,05	0,021	0,11	0,08	0,07	0,026	0,14	0,10	0,08	0,031	0,16	0,11	0,09	0,035					
M.3.1	140	45°	0,09	0,07	0,05	0,021	0,11	0,08	0,07	0,026	0,14	0,10	0,08	0,031	0,16	0,11	0,09	0,035					
K.1.1	300	50°	0,15	0,10	0,09	0,033	0,17	0,12	0,10	0,039	0,20	0,14	0,12	0,045	0,23	0,16	0,13	0,051					
K.1.2	300	50°	0,15	0,10	0,09	0,033	0,17	0,12	0,10	0,039	0,20	0,14	0,12	0,045	0,23	0,16	0,13	0,051					
K.2.1	300	50°	0,15	0,10	0,09	0,033	0,17	0,12	0,10	0,039	0,20	0,14	0,12	0,045	0,23	0,16	0,13	0,051					
K.2.2	260	50°	0,11	0,08	0,07	0,025	0,14	0,10	0,08	0,032	0,17	0,12	0,10	0,039	0,20	0,14	0,12	0,045					
K.3.1	260	50°	0,11	0,08	0,07	0,025	0,14	0,10	0,08	0,032	0,17	0,12	0,10	0,039	0,20	0,14	0,12	0,045					
K.3.2	200	50°	0,11	0,08	0,07	0,025	0,14	0,10	0,08	0,032	0,17	0,12	0,10	0,039	0,20	0,14	0,12	0,045					
N.1.1																							
N.1.2																							
N.2.1																							
N.2.2																							
N.2.3																							
N.3.1																							
N.3.2																							
N.3.3																							
N.4.1																							
S.1.1	80	40°	0,05	0,03	0,03	0,010	0,06	0,04	0,04	0,014	0,08	0,05	0,04	0,017	0,09	0,06	0,05	0,021					
S.1.2	80	40°	0,05	0,03	0,03	0,010	0,06	0,04	0,04	0,014	0,08	0,05	0,04	0,017	0,09	0,06	0,05	0,021					
S.2.1	60	40°	0,05	0,03	0,03	0,010	0,06	0,04	0,04	0,014	0,08	0,05	0,04	0,017	0,09	0,06	0,05	0,021					
S.2.2	60	40°	0,05	0,03	0,03	0,010	0,06	0,04	0,04	0,014	0,08	0,05	0,04	0,017	0,09	0,06	0,05	0,021					
S.2.3																							
S.3.1	140	40°	0,06	0,04	0,04	0,014	0,08	0,06	0,05	0,018	0,10	0,07	0,06	0,023	0,12	0,09	0,07	0,028					
S.3.2	100	40°	0,06	0,04	0,04	0,014	0,08	0,06	0,05	0,018	0,10	0,07	0,06	0,023	0,12	0,09	0,07	0,028					
S.3.3																							
H.1.1																							
H.1.2																							
H.1.3																							
H.1.4																							
H.2.1																							
H.3.1																							
O.1.1																							
O.1.2																							
O.2.1																							
O.2.2																							
O.3.1																							

 Les profondeurs de coupe correspondent à la longueur taillée

Index	53 585..., 53 587..., 53 586 ..., 53 642 ...																● 1er choix		
	\emptyset DC (mm) =																○ Utilisation possible		
	14				16				18				20				Emulsion	Air	MMS
	a_s 0,05 x DC	a_e 0,1 x DC	a_e 0,15 x DC	h_m	a_s 0,05 x DC	a_s 0,1 x DC	a_e 0,15 x DC	h_m	a_s 0,05 x DC	a_e 0,1 x DC	a_e 0,15 x DC	h_m	a_s 0,05 x DC	a_e 0,1 x DC	a_e 0,15 x DC	h_m			
	f_z (mm/dt)		f_z (mm/dt)		f_z (mm/dt)		f_z (mm/dt)		f_z (mm/dt)		f_z (mm/dt)		f_z (mm/dt)		f_z (mm/dt)		f_z (mm/dt)		
P.1.1	0,26	0,18	0,15	0,057	0,27	0,19	0,16	0,060	0,28	0,20	0,16	0,063	0,30	0,21	0,17	0,066	○	●	○
P.1.2	0,23	0,16	0,13	0,052	0,25	0,18	0,14	0,055	0,26	0,18	0,15	0,058	0,28	0,20	0,16	0,062	○	●	○
P.1.3	0,23	0,16	0,13	0,052	0,25	0,18	0,14	0,055	0,26	0,18	0,15	0,058	0,28	0,20	0,16	0,062	○	●	○
P.1.4	0,23	0,16	0,13	0,052	0,25	0,18	0,14	0,055	0,26	0,18	0,15	0,058	0,28	0,20	0,16	0,062	○	●	○
P.1.5	0,23	0,16	0,13	0,052	0,25	0,18	0,14	0,055	0,26	0,18	0,15	0,058	0,28	0,20	0,16	0,062	○	●	○
P.2.1	0,26	0,18	0,15	0,057	0,27	0,19	0,16	0,060	0,28	0,20	0,16	0,063	0,30	0,21	0,17	0,066	○	●	○
P.2.2	0,26	0,18	0,15	0,057	0,27	0,19	0,16	0,060	0,28	0,20	0,16	0,063	0,30	0,21	0,17	0,066	○	●	○
P.2.3	0,23	0,16	0,13	0,052	0,25	0,18	0,14	0,055	0,26	0,18	0,15	0,058	0,28	0,20	0,16	0,062	○	●	○
P.2.4	0,23	0,16	0,13	0,052	0,25	0,18	0,14	0,055	0,26	0,18	0,15	0,058	0,28	0,20	0,16	0,062	○	●	○
P.3.1	0,23	0,16	0,13	0,052	0,25	0,18	0,14	0,055	0,26	0,18	0,15	0,058	0,28	0,20	0,16	0,062	○	●	○
P.3.2	0,23	0,16	0,13	0,052	0,25	0,18	0,14	0,055	0,26	0,18	0,15	0,058	0,28	0,20	0,16	0,062	○	●	○
P.3.3	0,23	0,16	0,13	0,052	0,25	0,18	0,14	0,055	0,26	0,18	0,15	0,058	0,28	0,20	0,16	0,062	○	●	○
P.4.1	0,18	0,13	0,10	0,040	0,19	0,13	0,11	0,042	0,20	0,14	0,12	0,045	0,21	0,15	0,12	0,047	●		
P.4.2	0,18	0,13	0,10	0,040	0,19	0,13	0,11	0,042	0,20	0,14	0,12	0,045	0,21	0,15	0,12	0,047	●		
M.1.1	0,18	0,13	0,10	0,040	0,19	0,13	0,11	0,042	0,20	0,14	0,12	0,045	0,21	0,15	0,12	0,047	●		
M.2.1	0,18	0,13	0,10	0,040	0,19	0,13	0,11	0,042	0,20	0,14	0,12	0,045	0,21	0,15	0,12	0,047	●		
M.3.1	0,18	0,13	0,10	0,040	0,19	0,13	0,11	0,042	0,20	0,14	0,12	0,045	0,21	0,15	0,12	0,047	●		
K.1.1	0,26	0,18	0,15	0,057	0,27	0,19	0,16	0,060	0,28	0,20	0,16	0,063	0,30	0,21	0,17	0,066	○	●	○
K.1.2	0,26	0,18	0,15	0,057	0,27	0,19	0,16	0,060	0,28	0,20	0,16	0,063	0,30	0,21	0,17	0,066	○	●	○
K.2.1	0,26	0,18	0,15	0,057	0,27	0,19	0,16	0,060	0,28	0,20	0,16	0,063	0,30	0,21	0,17	0,066	○	●	○
K.2.2	0,23	0,16	0,13	0,052	0,25	0,18	0,14	0,055	0,26	0,18	0,15	0,058	0,28	0,20	0,16	0,062	○	●	○
K.3.1	0,23	0,16	0,13	0,052	0,25	0,18	0,14	0,055	0,26	0,18	0,15	0,058	0,28	0,20	0,16	0,062	○	●	○
K.3.2	0,23	0,16	0,13	0,052	0,25	0,18	0,14	0,055	0,26	0,18	0,15	0,058	0,28	0,20	0,16	0,062	○	●	○
N.1.1																			
N.1.2																			
N.2.1																			
N.2.2																			
N.2.3																			
N.3.1																			
N.3.2																			
N.3.3																			
N.4.1																			
S.1.1	0,11	0,08	0,06	0,024	0,11	0,08	0,07	0,026	0,12	0,09	0,07	0,027	0,13	0,09	0,08	0,029	●		
S.1.2	0,11	0,08	0,06	0,024	0,11	0,08	0,07	0,026	0,12	0,09	0,07	0,027	0,13	0,09	0,08	0,029	●		
S.2.1	0,11	0,08	0,06	0,024	0,11	0,08	0,07	0,026	0,12	0,09	0,07	0,027	0,13	0,09	0,08	0,029	●		
S.2.2	0,11	0,08	0,06	0,024	0,11	0,08	0,07	0,026	0,12	0,09	0,07	0,027	0,13	0,09	0,08	0,029	●		
S.2.3																			
S.3.1	0,15	0,10	0,08	0,033	0,16	0,11	0,09	0,035	0,17	0,12	0,10	0,037	0,18	0,12	0,10	0,040	●		
S.3.2	0,15	0,10	0,08	0,033	0,16	0,11	0,09	0,035	0,17	0,12	0,10	0,037	0,18	0,12	0,10	0,040	●		
S.3.3																			
H.1.1																			
H.1.2																			
H.1.3																			
H.1.4																			
H.2.1																			
H.3.1																			
O.1.1																			
O.1.2																			
O.2.1																			
O.2.2																			
O.3.1																			

Conditions de coupe – CircularLine – CCR UNI, version extra-longue

Index	Type extra long			53 589 ... / 53 593 ...																						
	4xDC	5xDC	Angle maximal d'engagement	\emptyset DC (mm) =																						
				6				8				10				12				14						
	v _c (m/min)			a _e 0,05 x DC		a _e 0,1 x DC		h _m		a _e 0,05 x DC		a _e 0,1 x DC		h _m		a _e 0,05 x DC		a _e 0,1 x DC		h _m		a _e 0,05 x DC		a _e 0,1 x DC		h _m
P.1.1	250	220	50°	0,07	0,05	0,016	0,08	0,06	0,019	0,10	0,07	0,022	0,11	0,08	0,025	0,13	0,09	0,028								
P.1.2	250	220	50°	0,06	0,04	0,013	0,07	0,05	0,016	0,08	0,06	0,019	0,10	0,07	0,022	0,11	0,08	0,025								
P.1.3	250	220	50°	0,06	0,04	0,013	0,07	0,05	0,016	0,08	0,06	0,019	0,10	0,07	0,022	0,11	0,08	0,025								
P.1.4	230	210	50°	0,06	0,04	0,013	0,07	0,05	0,016	0,08	0,06	0,019	0,10	0,07	0,022	0,11	0,08	0,025								
P.1.5	230	210	50°	0,06	0,04	0,013	0,07	0,05	0,016	0,08	0,06	0,019	0,10	0,07	0,022	0,11	0,08	0,025								
P.2.1	250	220	50°	0,07	0,05	0,016	0,08	0,06	0,019	0,10	0,07	0,022	0,11	0,08	0,025	0,13	0,09	0,028								
P.2.2	250	220	50°	0,07	0,05	0,016	0,08	0,06	0,019	0,10	0,07	0,022	0,11	0,08	0,025	0,13	0,09	0,028								
P.2.3	230	210	50°	0,06	0,04	0,013	0,07	0,05	0,016	0,08	0,06	0,019	0,10	0,07	0,022	0,11	0,08	0,025								
P.2.4	230	210	50°	0,06	0,04	0,013	0,07	0,05	0,016	0,08	0,06	0,019	0,10	0,07	0,022	0,11	0,08	0,025								
P.3.1	200	180	50°	0,06	0,04	0,013	0,07	0,05	0,016	0,08	0,06	0,019	0,10	0,07	0,022	0,11	0,08	0,025								
P.3.2	200	180	45°	0,06	0,04	0,013	0,07	0,05	0,016	0,08	0,06	0,019	0,10	0,07	0,022	0,11	0,08	0,025								
P.3.3	180	160	45°	0,06	0,04	0,013	0,07	0,05	0,016	0,08	0,06	0,019	0,10	0,07	0,022	0,11	0,08	0,025								
P.4.1	150	130	45°	0,04	0,03	0,009	0,05	0,04	0,011	0,06	0,05	0,014	0,08	0,05	0,017	0,09	0,06	0,020								
P.4.2	130	110	45°	0,04	0,03	0,009	0,05	0,04	0,011	0,06	0,05	0,014	0,08	0,05	0,017	0,09	0,06	0,020								
M.1.1	110	90	45°	0,04	0,03	0,009	0,05	0,04	0,011	0,06	0,05	0,014	0,08	0,05	0,017	0,09	0,06	0,020								
M.2.1	110	90	45°	0,04	0,03	0,009	0,05	0,04	0,011	0,06	0,05	0,014	0,08	0,05	0,017	0,09	0,06	0,020								
M.3.1	110	90	45°	0,04	0,03	0,009	0,05	0,04	0,011	0,06	0,05	0,014	0,08	0,05	0,017	0,09	0,06	0,020								
K.1.1	260	230	50°	0,07	0,05	0,016	0,08	0,06	0,019	0,10	0,07	0,022	0,11	0,08	0,025	0,13	0,09	0,028								
K.1.2	260	230	50°	0,07	0,05	0,016	0,08	0,06	0,019	0,10	0,07	0,022	0,11	0,08	0,025	0,13	0,09	0,028								
K.2.1	260	230	50°	0,07	0,05	0,016	0,08	0,06	0,019	0,10	0,07	0,022	0,11	0,08	0,025	0,13	0,09	0,028								
K.2.2	230	210	50°	0,07	0,05	0,016	0,08	0,06	0,019	0,10	0,07	0,022	0,11	0,08	0,025	0,13	0,09	0,028								
K.3.1	230	210	50°	0,06	0,04	0,013	0,07	0,05	0,016	0,08	0,06	0,019	0,10	0,07	0,022	0,11	0,08	0,025								
K.3.2	180	170	50°	0,06	0,04	0,013	0,07	0,05	0,016	0,08	0,06	0,019	0,10	0,07	0,022	0,11	0,08	0,025								
N.1.1																										
N.1.2																										
N.2.1																										
N.2.2																										
N.2.3																										
N.3.1																										
N.3.2																										
N.3.3																										
N.4.1																										
S.1.1	70	60	40°	0,03	0,02	0,007	0,04	0,03	0,009	0,05	0,04	0,011	0,06	0,04	0,014	0,07	0,05	0,016								
S.1.2	70	60	40°	0,03	0,02	0,007	0,04	0,03	0,009	0,05	0,04	0,011	0,06	0,04	0,014	0,07	0,05	0,016								
S.2.1	50	40	40°	0,03	0,02	0,007	0,04	0,03	0,009	0,05	0,04	0,011	0,06	0,04	0,014	0,07	0,05	0,016								
S.2.2	50	40	40°	0,03	0,02	0,007	0,04	0,03	0,009	0,05	0,04	0,011	0,06	0,04	0,014	0,07	0,05	0,016								
S.2.3																										
S.3.1	120	100	40°	0,03	0,02	0,007	0,04	0,03	0,009	0,05	0,04	0,011	0,06	0,04	0,014	0,07	0,05	0,016								
S.3.2	90	80	40°	0,03	0,02	0,007	0,04	0,03	0,009	0,05	0,04	0,011	0,06	0,04	0,014	0,07	0,05	0,016								
S.3.3																										
H.1.1																										
H.1.2																										
H.1.3																										
H.1.4																										
H.2.1																										
H.3.1																										
O.1.1																										
O.1.2																										
O.2.1																										
O.2.2																										
O.3.1																										



Les profondeurs de coupe correspondent à la longueur taillée

Index	53 589 ... / 53 593 ...										● 1er choix		
	\varnothing DC (mm) =										○ Utilisation possible		
	16			18			20			Emulsion	Air	MMS	
	a_e 0,05 x DC	a_e 0,1 x DC	h_m	a_e 0,05 x DC	a_e 0,1 x DC	h_m	a_e 0,05 x DC	a_e 0,1 x DC	h_m				
	f_z (mm/dt)			f_z (mm/dt)			f_z (mm/dt)						
P.1.1	0,13	0,10	0,030	0,14	0,10	0,032	0,15	0,11	0,033	○	●	○	
P.1.2	0,12	0,09	0,027	0,13	0,09	0,028	0,13	0,10	0,030	○	●	○	
P.1.3	0,12	0,09	0,027	0,13	0,09	0,028	0,13	0,10	0,030	○	●	○	
P.1.4	0,12	0,09	0,027	0,13	0,09	0,028	0,13	0,10	0,030	○	●	○	
P.1.5	0,12	0,09	0,027	0,13	0,09	0,028	0,13	0,10	0,030	○	●	○	
P.2.1	0,13	0,10	0,030	0,14	0,10	0,032	0,15	0,11	0,033	○	●	○	
P.2.2	0,13	0,10	0,030	0,14	0,10	0,032	0,15	0,11	0,033	○	●	○	
P.2.3	0,12	0,09	0,027	0,13	0,09	0,028	0,13	0,10	0,030	○	●	○	
P.2.4	0,12	0,09	0,027	0,13	0,09	0,028	0,13	0,10	0,030	○	●	○	
P.3.1	0,12	0,09	0,027	0,13	0,09	0,028	0,13	0,10	0,030	○	●	○	
P.3.2	0,12	0,09	0,027	0,13	0,09	0,028	0,13	0,10	0,030	○	●	○	
P.3.3	0,12	0,09	0,027	0,13	0,09	0,028	0,13	0,10	0,030	○	●	○	
P.4.1	0,10	0,07	0,022	0,10	0,07	0,023	0,11	0,08	0,024	●			
P.4.2	0,10	0,07	0,022	0,10	0,07	0,023	0,11	0,08	0,024	●			
M.1.1	0,10	0,07	0,022	0,10	0,07	0,023	0,11	0,08	0,024	●			
M.2.1	0,10	0,07	0,022	0,10	0,07	0,023	0,11	0,08	0,024	●			
M.3.1	0,10	0,07	0,022	0,10	0,07	0,023	0,11	0,08	0,024	●			
K.1.1	0,13	0,10	0,030	0,14	0,10	0,032	0,15	0,11	0,033	○	●	○	
K.1.2	0,13	0,10	0,030	0,14	0,10	0,032	0,15	0,11	0,033	○	●	○	
K.2.1	0,13	0,10	0,030	0,14	0,10	0,032	0,15	0,11	0,033	○	●	○	
K.2.2	0,13	0,10	0,030	0,14	0,10	0,032	0,15	0,11	0,033	○	●	○	
K.3.1	0,12	0,09	0,027	0,13	0,09	0,028	0,13	0,10	0,030	○	●	○	
K.3.2	0,12	0,09	0,027	0,13	0,09	0,028	0,13	0,10	0,030	○	●	○	
N.1.1													
N.1.2													
N.2.1													
N.2.2													
N.2.3													
N.3.1													
N.3.2													
N.3.3													
N.4.1													
S.1.1	0,07	0,05	0,017	0,08	0,06	0,018	0,08	0,06	0,019	●			
S.1.2	0,07	0,05	0,017	0,08	0,06	0,018	0,08	0,06	0,019	●			
S.2.1	0,07	0,05	0,017	0,08	0,06	0,018	0,08	0,06	0,019	●			
S.2.2	0,07	0,05	0,017	0,08	0,06	0,018	0,08	0,06	0,019	●			
S.2.3													
S.3.1	0,07	0,05	0,017	0,08	0,06	0,018	0,08	0,06	0,019	●			
S.3.2	0,07	0,05	0,017	0,08	0,06	0,018	0,08	0,06	0,019	●			
S.3.3													
H.1.1													
H.1.2													
H.1.3													
H.1.4													
H.2.1													
H.3.1													
O.1.1													
O.1.2													
O.2.1													
O.2.2													
O.3.1													

Conditions de coupe – CircularLine – CCR-VA, version longue 3xDC

Index	Type long		53 643 ...																	
	v _c (m/min)	Angle maximal d'engagement	Ø DC (mm) =																	
			6						8						10					
			a _e 0,05 x DC	a _e 0,1 x DC	a _e 0,15 x DC	h _m	a _e 0,05 x DC	a _e 0,1 x DC	a _e 0,15 x DC	h _m	a _e 0,05 x DC	a _e 0,1 x DC	a _e 0,15 x DC	h _m	a _e 0,05 x DC	a _e 0,1 x DC	a _e 0,15 x DC	h _m		
P.1.1																				
P.1.2																				
P.1.3																				
P.1.4																				
P.1.5																				
P.2.1																				
P.2.2																				
P.2.3																				
P.2.4																				
P.3.1																				
P.3.2																				
P.3.3																				
P.4.1	200	45°	0,09	0,07	0,05	0,021	0,11	0,08	0,07	0,026	0,14	0,10	0,08	0,031	0,16	0,11	0,09	0,035		
P.4.2	180	45°	0,09	0,07	0,05	0,021	0,11	0,08	0,07	0,026	0,14	0,10	0,08	0,031	0,16	0,11	0,09	0,035		
M.1.1	160	45°	0,09	0,07	0,05	0,021	0,11	0,08	0,07	0,026	0,14	0,10	0,08	0,031	0,16	0,11	0,09	0,035		
M.2.1	160	45°	0,09	0,07	0,05	0,021	0,11	0,08	0,07	0,026	0,14	0,10	0,08	0,031	0,16	0,11	0,09	0,035		
M.3.1	160	45°	0,09	0,07	0,05	0,021	0,11	0,08	0,07	0,026	0,14	0,10	0,08	0,031	0,16	0,11	0,09	0,035		
K.1.1																				
K.1.2																				
K.2.1																				
K.2.2																				
K.3.1																				
K.3.2																				
N.1.1																				
N.1.2																				
N.2.1																				
N.2.2																				
N.2.3																				
N.3.1																				
N.3.2																				
N.3.3																				
N.4.1																				
S.1.1	85	40°	0,05	0,03	0,03	0,010	0,06	0,04	0,04	0,014	0,08	0,05	0,04	0,017	0,09	0,06	0,05	0,021		
S.1.2	85	40°	0,05	0,03	0,03	0,010	0,06	0,04	0,04	0,014	0,08	0,05	0,04	0,017	0,09	0,06	0,05	0,021		
S.2.1	65	40°	0,05	0,03	0,03	0,010	0,06	0,04	0,04	0,014	0,08	0,05	0,04	0,017	0,09	0,06	0,05	0,021		
S.2.2	65	40°	0,05	0,03	0,03	0,010	0,06	0,04	0,04	0,014	0,08	0,05	0,04	0,017	0,09	0,06	0,05	0,021		
S.2.3	65	40°	0,05	0,03	0,03	0,010	0,06	0,04	0,04	0,014	0,08	0,05	0,04	0,017	0,09	0,06	0,05	0,021		
S.3.1	160	40°	0,06	0,04	0,04	0,014	0,08	0,06	0,05	0,018	0,10	0,07	0,06	0,023	0,12	0,09	0,07	0,028		
S.3.2	120	40°	0,06	0,04	0,04	0,014	0,08	0,06	0,05	0,018	0,10	0,07	0,06	0,023	0,12	0,09	0,07	0,028		
S.3.3																				
H.1.1																				
H.1.2																				
H.1.3																				
H.1.4																				
H.2.1																				
H.3.1																				
O.1.1																				
O.1.2																				
O.2.1																				
O.2.2																				
O.3.1																				

 Les profondeurs de coupe correspondent à la longueur taillée

Index	53 643 ...																● 1er choix		
	\emptyset DC (mm) =																○ Utilisation possible		
	14				16				18				20				Emulsion	Air	MMS
	a_s 0,05 x DC	a_e 0,1 x DC	a_e 0,15 x DC	h_m	a_s 0,05 x DC	a_e 0,1 x DC	a_e 0,15 x DC	h_m	a_s 0,05 x DC	a_e 0,1 x DC	a_e 0,15 x DC	h_m	a_s 0,05 x DC	a_e 0,1 x DC	a_e 0,15 x DC	h_m			
f _z (mm/dt)		f _z (mm/dt)		f _z (mm/dt)		f _z (mm/dt)		f _z (mm/dt)		f _z (mm/dt)		f _z (mm/dt)		f _z (mm/dt)		f _z (mm/dt)			
P.1.1																			
P.1.2																			
P.1.3																			
P.1.4																			
P.1.5																			
P.2.1																			
P.2.2																			
P.2.3																			
P.2.4																			
P.3.1																			
P.3.2																			
P.3.3																			
P.4.1	0,18	0,13	0,10	0,040	0,19	0,13	0,11	0,042	0,20	0,14	0,12	0,045	0,21	0,15	0,12	0,047	●		
P.4.2	0,18	0,13	0,10	0,040	0,19	0,13	0,11	0,042	0,20	0,14	0,12	0,045	0,21	0,15	0,12	0,047	●		
M.1.1	0,18	0,13	0,10	0,040	0,19	0,13	0,11	0,042	0,20	0,14	0,12	0,045	0,21	0,15	0,12	0,047	●		
M.2.1	0,18	0,13	0,10	0,040	0,19	0,13	0,11	0,042	0,20	0,14	0,12	0,045	0,21	0,15	0,12	0,047	●		
M.3.1	0,18	0,13	0,10	0,040	0,19	0,13	0,11	0,042	0,20	0,14	0,12	0,045	0,21	0,15	0,12	0,047	●		
K.1.1																			
K.1.2																			
K.2.1																			
K.2.2																			
K.3.1																			
K.3.2																			
N.1.1																			
N.1.2																			
N.2.1																			
N.2.2																			
N.2.3																			
N.3.1																			
N.3.2																			
N.3.3																			
N.4.1																			
S.1.1	0,11	0,08	0,06	0,024	0,11	0,08	0,07	0,026	0,12	0,09	0,07	0,027	0,13	0,09	0,08	0,029	●		
S.1.2	0,11	0,08	0,06	0,024	0,11	0,08	0,07	0,026	0,12	0,09	0,07	0,027	0,13	0,09	0,08	0,029	●		
S.2.1	0,11	0,08	0,06	0,024	0,11	0,08	0,07	0,026	0,12	0,09	0,07	0,027	0,13	0,09	0,08	0,029	●		
S.2.2	0,11	0,08	0,06	0,024	0,11	0,08	0,07	0,026	0,12	0,09	0,07	0,027	0,13	0,09	0,08	0,029	●		
S.2.3	0,11	0,08	0,06	0,024	0,11	0,08	0,07	0,026	0,12	0,09	0,07	0,027	0,13	0,09	0,08	0,029	●		
S.3.1	0,15	0,10	0,08	0,033	0,16	0,11	0,09	0,035	0,17	0,12	0,10	0,037	0,18	0,12	0,10	0,040	●		
S.3.2	0,15	0,10	0,08	0,033	0,16	0,11	0,09	0,035	0,17	0,12	0,10	0,037	0,18	0,12	0,10	0,040	●		
S.3.3																			
H.1.1																			
H.1.2																			
H.1.3																			
H.1.4																			
H.2.1																			
H.3.1																			
O.1.1																			
O.1.2																			
O.2.1																			
O.2.2																			
O.3.1																			

Conditions de coupe – CircularLine – CCR-VA, version extra longue 4xDC

Index	Type extra long		53 644 ...																	
	v _c (m/min)	Angle maximal d'engagement	\emptyset DC (mm) =																	
			6				8				10				12					
			a _e 0,05 x DC	a _e 0,1 x DC	h _m		a _e 0,05 x DC	a _e 0,1 x DC	h _m		a _e 0,05 x DC	a _e 0,1 x DC	h _m		a _e 0,05 x DC	a _e 0,1 x DC	h _m			
			f _z (mm/dt)				f _z (mm/dt)				f _z (mm/dt)				f _z (mm/dt)				f _z (mm/dt)	
P.1.1																				
P.1.2																				
P.1.3																				
P.1.4																				
P.1.5																				
P.2.1																				
P.2.2																				
P.2.3																				
P.2.4																				
P.3.1																				
P.3.2																				
P.3.3																				
P.4.1	170	45°	0,04	0,03	0,009	0,05	0,04	0,011	0,06	0,05	0,014	0,08	0,05	0,017	0,09	0,06	0,020			
P.4.2	150	45°	0,04	0,03	0,009	0,05	0,04	0,011	0,06	0,05	0,014	0,08	0,05	0,017	0,09	0,06	0,020			
M.1.1	125	45°	0,04	0,03	0,009	0,05	0,04	0,011	0,06	0,05	0,014	0,08	0,05	0,017	0,09	0,06	0,020			
M.2.1	125	45°	0,04	0,03	0,009	0,05	0,04	0,011	0,06	0,05	0,014	0,08	0,05	0,017	0,09	0,06	0,020			
M.3.1	125	45°	0,04	0,03	0,009	0,05	0,04	0,011	0,06	0,05	0,014	0,08	0,05	0,017	0,09	0,06	0,020			
K.1.1																				
K.1.2																				
K.2.1																				
K.2.2																				
K.3.1																				
K.3.2																				
N.1.1																				
N.1.2																				
N.2.1																				
N.2.2																				
N.2.3																				
N.3.1																				
N.3.2																				
N.3.3																				
N.4.1																				
S.1.1	75	40°	0,03	0,02	0,007	0,04	0,03	0,009	0,05	0,04	0,011	0,06	0,04	0,014	0,07	0,05	0,016			
S.1.2	75	40°	0,03	0,02	0,007	0,04	0,03	0,009	0,05	0,04	0,011	0,06	0,04	0,014	0,07	0,05	0,016			
S.2.1	55	40°	0,03	0,02	0,007	0,04	0,03	0,009	0,05	0,04	0,011	0,06	0,04	0,014	0,07	0,05	0,016			
S.2.2	55	40°	0,03	0,02	0,007	0,04	0,03	0,009	0,05	0,04	0,011	0,06	0,04	0,014	0,07	0,05	0,016			
S.2.3	55	40°	0,03	0,02	0,007	0,04	0,03	0,009	0,05	0,04	0,011	0,06	0,04	0,014	0,07	0,05	0,016			
S.3.1	140	40°	0,03	0,02	0,007	0,04	0,03	0,009	0,05	0,04	0,011	0,06	0,04	0,014	0,07	0,05	0,016			
S.3.2	105	40°	0,03	0,02	0,007	0,04	0,03	0,009	0,05	0,04	0,011	0,06	0,04	0,014	0,07	0,05	0,016			
S.3.3																				
H.1.1																				
H.1.2																				
H.1.3																				
H.1.4																				
H.2.1																				
H.3.1																				
O.1.1																				
O.1.2																				
O.2.1																				
O.2.2																				
O.3.1																				

 Les profondeurs de coupe correspondent à la longueur taillée

Index	53 644 ...										● 1er choix		
	\emptyset DC (mm) =										○ Utilisation possible		
	16			18			20			Emulsion	Air	MMS	
	a_e 0,05 x DC	a_e 0,1 x DC	h_m	a_e 0,05 x DC	a_e 0,1 x DC	h_m	a_e 0,05 x DC	a_e 0,1 x DC	h_m				
	f_z (mm/dt)			f_z (mm/dt)			f_z (mm/dt)						
P.1.1													
P.1.2													
P.1.3													
P.1.4													
P.1.5													
P.2.1													
P.2.2													
P.2.3													
P.2.4													
P.3.1													
P.3.2													
P.3.3													
P.4.1	0,10	0,07	0,022	0,10	0,07	0,023	0,11	0,08	0,024	●			
P.4.2	0,10	0,07	0,022	0,10	0,07	0,023	0,11	0,08	0,024	●			
M.1.1	0,10	0,07	0,022	0,10	0,07	0,023	0,11	0,08	0,024	●			
M.2.1	0,10	0,07	0,022	0,10	0,07	0,023	0,11	0,08	0,024	●			
M.3.1	0,10	0,07	0,022	0,10	0,07	0,023	0,11	0,08	0,024	●			
K.1.1													
K.1.2													
K.2.1													
K.2.2													
K.3.1													
K.3.2													
N.1.1													
N.1.2													
N.2.1													
N.2.2													
N.2.3													
N.3.1													
N.3.2													
N.3.3													
N.4.1													
S.1.1	0,07	0,05	0,017	0,08	0,06	0,018	0,08	0,06	0,019	●			
S.1.2	0,07	0,05	0,017	0,08	0,06	0,018	0,08	0,06	0,019	●			
S.2.1	0,07	0,05	0,017	0,08	0,06	0,018	0,08	0,06	0,019	●			
S.2.2	0,07	0,05	0,017	0,08	0,06	0,018	0,08	0,06	0,019	●			
S.2.3	0,07	0,05	0,017	0,08	0,06	0,018	0,08	0,06	0,019	●			
S.3.1	0,07	0,05	0,017	0,08	0,06	0,018	0,08	0,06	0,019	●			
S.3.2	0,07	0,05	0,017	0,08	0,06	0,018	0,08	0,06	0,019	●			
S.3.3													
H.1.1													
H.1.2													
H.1.3													
H.1.4													
H.2.1													
H.3.1													
O.1.1													
O.1.2													
O.2.1													
O.2.2													
O.3.1													

Conditions de coupe – CircularLine – CCR-AL

Index	Type long	Type extra long			Angle maximal d'engagement	53 590 ..., 53 591 ..., 53 594 ..., 53 595 ..., 53 641 ...														
						Ø DC (mm) =														
	6			8				10				12								
	3xDC	4xDC	5xDC	a_e 0,1 x DC	a_e 0,2 x DC	a_e 0,3 x DC	h_m	a_e 0,1 x DC	a_e 0,2 x DC	a_e 0,3 x DC	h_m	a_e 0,1 x DC	a_e 0,2 x DC	a_e 0,3 x DC	h_m	a_e 0,1 x DC	a_e 0,2 x DC	a_e 0,3 x DC	h_m	
	v_c (m/min)			f_z (mm/dt)			f_z (mm/dt)			f_z (mm/dt)			f_z (mm/dt)						h_m	
P.1.1																				
P.1.2																				
P.1.3																				
P.1.4																				
P.1.5																				
P.2.1																				
P.2.2																				
P.2.3																				
P.2.4																				
P.3.1																				
P.3.2																				
P.3.3																				
P.4.1																				
P.4.2																				
M.1.1																				
M.2.1																				
M.3.1																				
K.1.1																				
K.1.2																				
K.2.1																				
K.2.2																				
K.3.1																				
K.3.2																				
N.1.1	500	400	300	60°	0,30	0,21	0,18	0,096	0,35	0,25	0,20	0,111	0,40	0,28	0,23	0,126	0,45	0,31	0,26	0,141
N.1.2	500	400	300	60°	0,30	0,21	0,18	0,096	0,35	0,25	0,20	0,111	0,40	0,28	0,23	0,126	0,45	0,31	0,26	0,141
N.2.1	500	400	300	60°	0,30	0,21	0,18	0,096	0,35	0,25	0,20	0,111	0,40	0,28	0,23	0,126	0,45	0,31	0,26	0,141
N.2.2	500	400	300	60°	0,30	0,21	0,18	0,096	0,35	0,25	0,20	0,111	0,40	0,28	0,23	0,126	0,45	0,31	0,26	0,141
N.2.3	400	350	265	60°	0,30	0,21	0,18	0,096	0,35	0,25	0,20	0,111	0,40	0,28	0,23	0,126	0,45	0,31	0,26	0,141
N.3.1	400	350	265	60°	0,30	0,21	0,18	0,096	0,35	0,25	0,20	0,111	0,40	0,28	0,23	0,126	0,45	0,31	0,26	0,141
N.3.2	400	350	265	60°	0,30	0,21	0,18	0,096	0,35	0,25	0,20	0,111	0,40	0,28	0,23	0,126	0,45	0,31	0,26	0,141
N.3.3	300	250	190	60°	0,30	0,21	0,18	0,096	0,35	0,25	0,20	0,111	0,40	0,28	0,23	0,126	0,45	0,31	0,26	0,141
N.4.1																				
S.1.1																				
S.1.2																				
S.2.1																				
S.2.2																				
S.2.3																				
S.3.1																				
S.3.2																				
S.3.3																				
H.1.1																				
H.1.2																				
H.1.3																				
H.1.4																				
H.2.1																				
H.3.1																				
O.1.1																				
O.1.2																				
O.2.1																				
O.2.2																				
O.3.1																				



Les profondeurs de coupe correspondent à la longueur taillée



Angle de ramping et de plongée hélicoïdale = 4°

Index	53 590 ..., 53 591 ..., 53 594 ..., 53 595 ..., 53 641 ...																● 1er choix		
	$\emptyset DC$ (mm) =																○ Utilisation possible		
	14				16				18				20				Emulsion	Air	MMS
	a_e 0,1 x DC	a_e 0,2 x DC	a_e 0,3 x DC	h_m	a_e 0,1 x DC	a_e 0,2 x DC	a_e 0,3 x DC	h_m	a_e 0,1 x DC	a_e 0,2 x DC	a_e 0,3 x DC	h_m	a_e 0,1 x DC	a_e 0,2 x DC	a_e 0,3 x DC	h_m			
	f_z (mm/dt)		f_z (mm/dt)		f_z (mm/dt)		f_z (mm/dt)		f_z (mm/dt)		f_z (mm/dt)		f_z (mm/dt)		f_z (mm/dt)		f_z (mm/dt)		
P.1.1																			
P.1.2																			
P.1.3																			
P.1.4																			
P.1.5																			
P.2.1																			
P.2.2																			
P.2.3																			
P.2.4																			
P.3.1																			
P.3.2																			
P.3.3																			
P.4.1																			
P.4.2																			
M.1.1																			
M.2.1																			
M.3.1																			
K.1.1																			
K.1.2																			
K.2.1																			
K.2.2																			
K.3.1																			
K.3.2																			
N.1.1	0,49	0,35	0,29	0,156	0,52	0,37	0,30	0,164	0,54	0,38	0,31	0,171	0,57	0,40	0,33	0,179	●	○	
N.1.2	0,49	0,35	0,29	0,156	0,52	0,37	0,30	0,164	0,54	0,38	0,31	0,171	0,57	0,40	0,33	0,179	●	○	
N.2.1	0,49	0,35	0,29	0,156	0,52	0,37	0,30	0,164	0,54	0,38	0,31	0,171	0,57	0,40	0,33	0,179	●	○	
N.2.2	0,49	0,35	0,29	0,156	0,52	0,37	0,30	0,164	0,54	0,38	0,31	0,171	0,57	0,40	0,33	0,179	●	○	
N.2.3	0,49	0,35	0,29	0,156	0,52	0,37	0,30	0,164	0,54	0,38	0,31	0,171	0,57	0,40	0,33	0,179	●	○	
N.3.1	0,49	0,35	0,29	0,156	0,52	0,37	0,30	0,164	0,54	0,38	0,31	0,171	0,57	0,40	0,33	0,179	●	○	
N.3.2	0,49	0,35	0,29	0,156	0,52	0,37	0,30	0,164	0,54	0,38	0,31	0,171	0,57	0,40	0,33	0,179	●	○	
N.3.3	0,49	0,35	0,29	0,156	0,52	0,37	0,30	0,164	0,54	0,38	0,31	0,171	0,57	0,40	0,33	0,179	●	○	
N.4.1																			
S.1.1																			
S.1.2																			
S.2.1																			
S.2.2																			
S.2.3																			
S.3.1																			
S.3.2																			
S.3.3																			
H.1.1																			
H.1.2																			
H.1.3																			
H.1.4																			
H.2.1																			
H.3.1																			
O.1.1																			
O.1.2																			
O.2.1																			
O.2.2																			
O.3.1																			

Conditions de coupe – CircularLine – CCR Ti, version longue

Index	Type long		52 510 ...													
	v _c (m/min)	Angle maximal d'engagement	Ø DC (mm) =													
			6				8				10					
			a _e 0,05 x DC	a _e 0,10 x DC	a _e 0,15 x DC	h _m	a _e 0,05 x DC	a _e 0,10 x DC	a _e 0,15 x DC	h _m	a _e 0,05 x DC	a _e 0,10 x DC	a _e 0,15 x DC	h _m		
P.4.1	200	35°	0,080	0,057	0,046	0,022	0,098	0,070	0,057	0,033	0,125	0,089	0,072	0,042		
P.4.2	180	35°	0,080	0,057	0,046	0,022	0,098	0,070	0,057	0,033	0,125	0,089	0,072	0,042		
M.1.1	200	35°	0,080	0,057	0,046	0,022	0,098	0,070	0,057	0,033	0,125	0,089	0,072	0,042		
M.2.1	160	35°	0,080	0,057	0,046	0,022	0,098	0,070	0,057	0,033	0,125	0,089	0,072	0,042		
M.3.1	180	35°	0,080	0,057	0,046	0,022	0,098	0,070	0,057	0,033	0,125	0,089	0,072	0,042		
S.1.1																
S.1.2																
S.2.1																
S.2.2																
S.2.3																
S.3.1	140	25°	0,060	0,042	0,034	0,020	0,070	0,049	0,040	0,030	0,089	0,063	0,052	0,040		
S.3.2	120	25°	0,060	0,042	0,034	0,020	0,070	0,049	0,040	0,030	0,089	0,063	0,052	0,040		
S.3.3	100	25°	0,045	0,032	0,026	0,018	0,052	0,037	0,030	0,028	0,067	0,047	0,039	0,038		

Conditions de coupe – CircularLine – CCR Ti, version extra-longue

Index	Type extra long		52 510 ...													
	v _c (m/min)	Angle maximal d'engagement	Ø DC (mm) =													
			6				8				10					
			a _e 0,05 x DC	a _e 0,10 x DC	h _m	a _e 0,05 x DC	a _e 0,10 x DC	h _m	a _e 0,05 x DC	a _e 0,10 x DC	h _m	a _e 0,05 x DC	a _e 0,10 x DC	h _m		
P.4.1	170	35°	0,057	0,046	0,018	0,070	0,057	0,026	0,089	0,072	0,036	0,114	0,093	0,046		
P.4.2	150	35°	0,057	0,046	0,018	0,070	0,057	0,026	0,089	0,072	0,036	0,114	0,093	0,046		
M.1.1	170	35°	0,057	0,046	0,018	0,070	0,057	0,026	0,089	0,072	0,036	0,114	0,093	0,046		
M.2.1	130	35°	0,057	0,046	0,018	0,070	0,057	0,026	0,089	0,072	0,036	0,114	0,093	0,046		
M.3.1	150	35°	0,057	0,046	0,018	0,070	0,057	0,026	0,089	0,072	0,036	0,114	0,093	0,046		
S.1.1																
S.1.2																
S.2.1																
S.2.2																
S.2.3																
S.3.1	120	25°	0,031	0,022	0,015	0,036	0,025	0,020	0,045	0,032	0,030	0,054	0,038	0,040		
S.3.2	100	25°	0,031	0,022	0,015	0,036	0,025	0,020	0,045	0,032	0,030	0,054	0,038	0,040		
S.3.3	90	25°	0,022	0,016	0,013	0,027	0,019	0,015	0,036	0,025	0,025	0,045	0,032	0,035		



Les profondeurs de coupe correspondent à la longueur taillée

Index	52 510 ...													● 1er choix			○ Utilisation possible		
	\emptyset DC (mm) =																		
	12				16				20										
	a_e 0,05 x DC	a_e 0,10 x DC	a_e 0,15 x DC	h_m	a_e 0,05 x DC	a_e 0,10 x DC	a_e 0,15 x DC	h_m	a_e 0,05 x DC	a_e 0,10 x DC	a_e 0,15 x DC	h_m	Emulsion	Air	MMS	Emulsion	Air	MMS	
	f_z (mm/dt)	f_z (mm/dt)	f_z (mm/dt)		f_z (mm/dt)	f_z (mm/dt)	f_z (mm/dt)		f_z (mm/dt)	f_z (mm/dt)	f_z (mm/dt)								
P.4.1	0,161	0,114	0,093	0,053	0,188	0,133	0,108	0,064	0,268	0,190	0,155	0,079	●	○					
P.4.2	0,161	0,114	0,093	0,053	0,188	0,133	0,108	0,064	0,268	0,190	0,155	0,079	●	○					
M.1.1	0,161	0,114	0,093	0,053	0,188	0,133	0,108	0,064	0,268	0,190	0,155	0,079	●	○					
M.2.1	0,161	0,114	0,093	0,053	0,188	0,133	0,108	0,064	0,268	0,190	0,155	0,079	●	○					
M.3.1	0,161	0,114	0,093	0,053	0,188	0,133	0,108	0,064	0,268	0,190	0,155	0,079	●	○					
S.1.1																			
S.1.2																			
S.2.1																			
S.2.2																			
S.2.3																			
S.3.1	0,113	0,080	0,065	0,050	0,157	0,111	0,090	0,060	0,217	0,153	0,125	0,075	●						
S.3.2	0,113	0,080	0,065	0,050	0,157	0,111	0,090	0,060	0,217	0,153	0,125	0,075	●						
S.3.3	0,085	0,060	0,049	0,048	0,117	0,083	0,068	0,058	0,163	0,115	0,094	0,070	●						

Index	52 510 ...										● 1er choix			○ Utilisation possible				
	\emptyset DC (mm) =																	
	16				20													
	a_e 0,05 x DC	a_e 0,10 x DC	h_m		a_e 0,05 x DC	a_e 0,10 x DC	h_m		Emulsion			Air		MMS				
	f_z (mm/dt)	f_z (mm/dt)	f_z (mm/dt)		f_z (mm/dt)	f_z (mm/dt)	f_z (mm/dt)											
P.4.1	0,133	0,108	0,056	0,190	0,155	0,066	●	○										
P.4.2	0,133	0,108	0,056	0,190	0,155	0,066	●	○										
M.1.1	0,133	0,108	0,056	0,190	0,155	0,066	●	○										
M.2.1	0,133	0,108	0,056	0,190	0,155	0,066	●	○										
M.3.1	0,133	0,108	0,056	0,190	0,155	0,066	●	○										
S.1.1																		
S.1.2																		
S.2.1																		
S.2.2																		
S.2.3																		
S.3.1	0,076	0,054	0,050	0,107	0,076	0,060	●											
S.3.2	0,076	0,054	0,050	0,107	0,076	0,060	●											
S.3.3	0,058	0,041	0,045	0,080	0,057	0,055	●											

Conditions de coupe – CircularLine – CCR-H

Index	Type long		53 596 ...												● 1er choix					
	v _c (m/min)	Angle maximal d'engagement	Ø DC (mm) =												Emulsion	Air	MMS			
			6				8				10									
			a _e 0,02 x DC	a _e 0,05 x DC	a _e 0,10 x DC	h _m	a _e 0,02 x DC	a _e 0,05 x DC	a _e 0,10 x DC	h _m	a _e 0,02 x DC	a _e 0,05 x DC	a _e 0,10 x DC	h _m						
H.1.1	130	30°	0,11	0,07	0,05	0,015	0,13	0,08	0,06	0,019	0,16	0,10	0,07	0,023		●	○			
H.1.2	120	30°	0,06	0,04	0,03	0,008	0,07	0,05	0,03	0,010	0,09	0,06	0,04	0,012		●	○			
H.1.3	115	30°	0,04	0,03		0,006	0,05	0,03		0,007	0,06	0,04		0,009		●	○			
H.1.4	110	30°	0,02			0,003	0,03				0,04			0,006		●	○			
H.2.1	130	30°	0,11	0,07	0,05	0,015	0,13	0,08	0,06	0,019	0,16	0,10	0,07	0,023		●	○			
H.3.1	130	30°	0,11	0,07	0,05	0,015	0,13	0,08	0,06	0,019	0,16	0,10	0,07	0,023						

Index	Type long		53 596 ...												● 1er choix					
	v _c (m/min)	Angle maximal d'engagement	Ø DC (mm) =												Emulsion	Air	MMS			
			12				16				20									
			a _e 0,02 x DC	a _e 0,05 x DC	a _e 0,10 x DC	h _m	a _e 0,02 x DC	a _e 0,05 x DC	a _e 0,10 x DC	h _m	a _e 0,02 x DC	a _e 0,05 x DC	a _e 0,10 x DC	h _m						
H.1.1	130	30°	0,19	0,12	0,08	0,027	0,22	0,14	0,10	0,031	0,24	0,15	0,11	0,034		●	○			
H.1.2	120	30°	0,10	0,07	0,05	0,015	0,13	0,08		0,018	0,14	0,09		0,020		●	○			
H.1.3	115	30°	0,07	0,05		0,010	0,09	0,06		0,012	0,09	0,06		0,013		●	○			
H.1.4	110	30°	0,05			0,006	0,06			0,008	0,08			0,011		●	○			
H.2.1	130	30°	0,19	0,12	0,08	0,027	0,22	0,14		0,031	0,24	0,15		0,034		●	○			
H.3.1	130	30°	0,19	0,12	0,08	0,027	0,22	0,14	0,10	0,031	0,24	0,15	0,11	0,034		●	○			



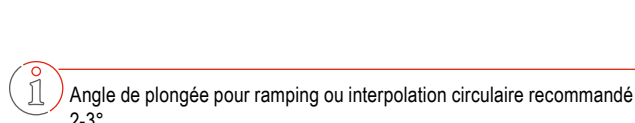
Les profondeurs de coupe correspondent à la longueur taillée

Conditions de coupe – Fraises à ébavurer – SilverLine

Index	v _c (m/min)	50 560 ..., 50 561 ..., 50 562 ..., 50 563 ...					v _c (m/min)	50 564 ..., 50 565 ..., 50 566 ..., 50 567 ...						● 1er choix			
		DPB72S						Non revêtu						○ Utilisation possible			
		Ø DC (mm) =						Ø DC (mm) =									
		4	6	8	10	12	16	4	6	8	10	12	16				
f _z (mm/dt)		f _z (mm/dt)		f _z (mm/dt)		f _z (mm/dt)		f _z (mm/dt)		f _z (mm/dt)		f _z (mm/dt)		Emulsion	Air	MMS	
P.1.1	130	0,03	0,035	0,045	0,06	0,08	0,09	70	0,02	0,025	0,035	0,05	0,07	0,08	●	○	○
P.1.2	130	0,03	0,035	0,045	0,06	0,08	0,09	70	0,02	0,025	0,035	0,05	0,07	0,08	●	○	○
P.1.3	120	0,03	0,035	0,045	0,06	0,08	0,09	65	0,02	0,025	0,035	0,05	0,07	0,08	●	○	○
P.1.4	120	0,03	0,035	0,045	0,06	0,08	0,09	65	0,02	0,025	0,035	0,05	0,07	0,08	●	○	○
P.1.5	90	0,025	0,03	0,04	0,055	0,075	0,085	50	0,015	0,02	0,03	0,045	0,065	0,075	●	○	○
P.2.1	130	0,03	0,035	0,045	0,06	0,08	0,09	70	0,02	0,025	0,035	0,05	0,07	0,08	●	○	○
P.2.2	100	0,03	0,035	0,045	0,06	0,08	0,09	60	0,02	0,025	0,035	0,05	0,07	0,08	●	○	○
P.2.3	90	0,025	0,03	0,04	0,055	0,075	0,085	50	0,015	0,02	0,03	0,045	0,065	0,075	●	○	○
P.2.4	80	0,02	0,02	0,025	0,03	0,04	0,05	45	0,01	0,015	0,015	0,02	0,03	0,04	●	○	○
P.3.1	120	0,03	0,035	0,04	0,055	0,075	0,085	65	0,02	0,025	0,03	0,045	0,065	0,075	●	○	○
P.3.2	70	0,02	0,02	0,025	0,03	0,04	0,05	40	0,01	0,015	0,015	0,02	0,03	0,04	●	○	○
P.3.3	70	0,02	0,02	0,025	0,03	0,04	0,05	40	0,01	0,015	0,015	0,02	0,03	0,04	●	○	○
P.4.1	100	0,03	0,035	0,04	0,055	0,075	0,085	60	0,02	0,025	0,03	0,045	0,065	0,075	●		
P.4.2	95	0,025	0,03	0,04	0,055	0,075	0,085	55	0,015	0,02	0,03	0,045	0,065	0,075	●		
M.1.1	100	0,025	0,03	0,04	0,055	0,075	0,085	65	0,025	0,03	0,04	0,055	0,075	0,085	●		
M.2.1	80	0,02	0,02	0,025	0,03	0,04	0,05	50	0,02	0,02	0,025	0,03	0,04	0,05	●		
M.3.1	100	0,025	0,03	0,04	0,055	0,075	0,085	65	0,025	0,03	0,04	0,055	0,075	0,085	●		
K.1.1	130	0,03	0,035	0,045	0,06	0,08	0,09	85	0,02	0,025	0,035	0,05	0,07	0,08	●	○	○
K.1.2	100	0,03	0,035	0,045	0,06	0,08	0,09	65	0,02	0,025	0,035	0,05	0,07	0,08	●	○	○
K.2.1	130	0,03	0,035	0,045	0,06	0,08	0,09	85	0,02	0,025	0,035	0,05	0,07	0,08	●	○	○
K.2.2	120	0,03	0,035	0,045	0,06	0,08	0,09	80	0,02	0,025	0,035	0,05	0,07	0,08	●	○	○
K.3.1	130	0,03	0,035	0,045	0,06	0,08	0,09	85	0,02	0,025	0,035	0,05	0,07	0,08	●	○	○
K.3.2	120	0,03	0,035	0,045	0,06	0,08	0,09	80	0,02	0,025	0,035	0,05	0,07	0,08	●	○	○
N.1.1																	
N.1.2																	
N.2.1																	
N.2.2																	
N.2.3																	
N.3.1																	
N.3.2																	
N.3.3																	
N.4.1																	
S.1.1	80	0,02	0,02	0,025	0,03	0,04	0,05	50	0,01	0,015	0,025	0,03	0,035	0,04	●		
S.1.2	45	0,012	0,012	0,018	0,02	0,03	0,04	30	0,01	0,015	0,025	0,03	0,035	0,04	●		
S.2.1	50	0,015	0,015	0,02	0,025	0,035	0,045	30	0,01	0,015	0,025	0,03	0,035	0,04	●		
S.2.2	40	0,012	0,012	0,018	0,02	0,03	0,04	30	0,01	0,015	0,025	0,03	0,035	0,04	●		
S.2.3	45	0,012	0,012	0,018	0,02	0,03	0,04	30	0,01	0,015	0,025	0,03	0,035	0,04	●		
S.3.1	60	0,02	0,02	0,025	0,03	0,04	0,05	45	0,01	0,015	0,025	0,03	0,035	0,04	●		
S.3.2	65	0,02	0,02	0,025	0,03	0,04	0,05	45	0,01	0,015	0,025	0,03	0,035	0,04	●		
S.3.3	50	0,015	0,015	0,02	0,025	0,035	0,045	30	0,01	0,015	0,025	0,03	0,035	0,04	●		
H.1.1																	
H.1.2																	
H.1.3																	
H.1.4																	
H.2.1																	
H.3.1																	
O.1.1																	
O.1.2																	
O.2.1																	
O.2.2																	
O.3.1																	

Conditions de coupe – SilverLine

Index	Types court / long		50 993 ..., 50 994 ..., 50 995 ..., 50 996 ..., 50 997 ..., 50 998 ...																				● 1er choix			○ Utilisation possible		
	v _c (m/min)	a _{pmax} x DC	Ø DC (mm) =																				Emulsion	Air	MMS			
			6			8			10			12			16			20			f _z (mm/dt)							
P.1.1	205	1,0	0,070	0,056	0,035	0,094	0,075	0,047	0,116	0,093	0,058	0,140	0,112	0,070	0,173	0,138	0,087	0,196	0,157	0,098	●	○	○					
P.1.2	200	1,0	0,070	0,056	0,035	0,094	0,075	0,047	0,116	0,093	0,058	0,140	0,112	0,070	0,173	0,138	0,087	0,196	0,157	0,098	●	○	○					
P.1.3	200	1,0	0,070	0,056	0,035	0,094	0,075	0,047	0,116	0,093	0,058	0,140	0,112	0,070	0,173	0,138	0,087	0,196	0,157	0,098	●	○	○					
P.1.4	190	1,0	0,070	0,056	0,035	0,094	0,075	0,047	0,116	0,093	0,058	0,140	0,112	0,070	0,173	0,138	0,087	0,196	0,157	0,098	●	○	○					
P.1.5	190	1,0	0,070	0,056	0,035	0,094	0,075	0,047	0,116	0,093	0,058	0,140	0,112	0,070	0,173	0,138	0,087	0,196	0,157	0,098	●	○	○					
P.2.1	200	1,0	0,070	0,056	0,035	0,094	0,075	0,047	0,116	0,093	0,058	0,140	0,112	0,070	0,173	0,138	0,087	0,196	0,157	0,098	●	○	○					
P.2.2	190	1,0	0,060	0,048	0,030	0,080	0,064	0,040	0,100	0,080	0,050	0,120	0,096	0,060	0,150	0,120	0,075	0,170	0,136	0,085	●	○	○					
P.2.3	180	1,0	0,070	0,056	0,035	0,094	0,075	0,047	0,116	0,093	0,058	0,140	0,112	0,070	0,173	0,138	0,087	0,196	0,157	0,098	●	○	○					
P.2.4	170	1,0	0,060	0,048	0,030	0,080	0,064	0,040	0,100	0,080	0,050	0,120	0,096	0,060	0,150	0,120	0,075	0,170	0,136	0,085	●	○	○					
P.3.1	180	1,0	0,070	0,056	0,035	0,094	0,075	0,047	0,116	0,093	0,058	0,140	0,112	0,070	0,173	0,138	0,087	0,196	0,157	0,098	●	○	○					
P.3.2	170	1,0	0,070	0,056	0,035	0,094	0,075	0,047	0,116	0,093	0,058	0,140	0,112	0,070	0,173	0,138	0,087	0,196	0,157	0,098	●	○	○					
P.3.3	145	1,0	0,070	0,056	0,035	0,094	0,075	0,047	0,116	0,093	0,058	0,140	0,112	0,070	0,173	0,138	0,087	0,196	0,157	0,098	●	○	○					
P.4.1	100	1,0	0,038	0,030	0,019	0,052	0,042	0,026	0,066	0,053	0,033	0,080	0,064	0,040	0,101	0,081	0,051	0,115	0,092	0,058	●							
P.4.2	80	1,0	0,038	0,030	0,019	0,052	0,042	0,026	0,066	0,053	0,033	0,080	0,064	0,040	0,101	0,081	0,051	0,115	0,092	0,058	●							
M.1.1	100	1,0	0,038	0,030	0,019	0,052	0,042	0,026	0,066	0,053	0,033	0,080	0,064	0,040	0,101	0,081	0,051	0,115	0,092	0,058	●							
M.2.1	100	1,0	0,038	0,030	0,019	0,052	0,042	0,026	0,066	0,053	0,033	0,080	0,064	0,040	0,101	0,081	0,051	0,115	0,092	0,058	●							
M.3.1	100	1,0	0,038	0,030	0,019	0,052	0,042	0,026	0,066	0,053	0,033	0,080	0,064	0,040	0,101	0,081	0,051	0,115	0,092	0,058	●							
K.1.1	200	1,0	0,094	0,075	0,047	0,126	0,101	0,063	0,160	0,128	0,080	0,192	0,154	0,096	0,240	0,192	0,120	0,274	0,219	0,137	●	○	○					
K.1.2	180	1,0	0,094	0,075	0,047	0,126	0,101	0,063	0,160	0,128	0,080	0,192	0,154	0,096	0,240	0,192	0,120	0,274	0,219	0,137	●	○	○					
K.2.1	190	1,0	0,070	0,056	0,035	0,094	0,075	0,047	0,116	0,093	0,058	0,140	0,112	0,070	0,173	0,138	0,087	0,196	0,157	0,098	●	○	○					
K.2.2	170	1,0	0,070	0,056	0,035	0,094	0,075	0,047	0,116	0,093	0,058	0,140	0,112	0,070	0,173	0,138	0,087	0,196	0,157	0,098	●	○	○					
K.3.1	180	1,0	0,070	0,056	0,035	0,094	0,075	0,047	0,116	0,093	0,058	0,140	0,112	0,070	0,173	0,138	0,087	0,196	0,157	0,098	●	○	○					
K.3.2	160	1,0	0,070	0,056	0,035	0,094	0,075	0,047	0,116	0,093	0,058	0,140	0,112	0,070	0,173	0,138	0,087	0,196	0,157	0,098	●	○	○					
N.1.1																												
N.1.2																												
N.2.1																												
N.2.2																												
N.2.3																												
N.3.1	315	1,0	0,094	0,075	0,047	0,126	0,101	0,063	0,160	0,128	0,080	0,192	0,154	0,096	0,240	0,192	0,120	0,274	0,219	0,137	●	○	○					
N.3.2	315	1,0	0,094	0,075	0,047	0,126	0,101	0,063	0,160	0,128	0,080	0,192	0,154	0,096	0,240	0,192	0,120	0,274	0,219	0,137	●	○	○					
N.3.3	250	1,0	0,094	0,075	0,047	0,126	0,101	0,063	0,160	0,128	0,080	0,192	0,154	0,096	0,240	0,192	0,120	0,274	0,219	0,137	●	○	○					
N.4.1																												
S.1.1	25	1,0	0,030	0,024	0,015	0,040	0,032	0,020	0,050	0,040	0,025	0,060	0,048	0,030	0,075	0,060	0,038	0,084	0,067	0,042	●							
S.1.2	25	1,0	0,030	0,024	0,015	0,040	0,032	0,020	0,050	0,040	0,025	0,060	0,048	0,030	0,075	0,060	0,038	0,084	0,067	0,042	●							
S.2.1	25	1,0	0,030	0,024	0,015	0,040	0,032	0,020	0,050	0,040	0,025	0,060	0,048	0,030	0,075	0,060	0,038	0,084	0,067	0,042	●							
S.2.2	25	1,0	0,030	0,024	0,015	0,040	0,032	0,020	0,050	0,040	0,025	0,060	0,048	0,030	0,075	0,060	0,038	0,084	0,067	0,042	●							
S.2.3	25	1,0	0,030	0,024	0,015	0,040	0,032	0,020	0,050	0,040	0,025	0,060	0,048	0,030	0,075	0,060	0,038	0,084	0,067	0,042	●							
S.3.1	80	1,0	0,060	0,048	0,030	0,080	0,064	0,040	0,100	0,080	0,050	0,120	0,096	0,060	0,150	0,120	0,075	0,170	0,136	0,085	●							
S.3.2																												
S.3.3																												
H.1.1																												
H.1.2																												
H.1.3																												
H.1.4																												
H.2.1																												
H.3.1																												
O.1.1																												
O.1.2																												
O.2.1																												
O.2.2																												
O.3.1																												



Conditions de coupe – SilverLine

Index	Type long		50 949 ..., 50 999 ...																				● 1er choix		
	v _c (m/min)	a _{p,max} × DC	Ø DC (mm) =																				○ Utilisation possible		
			6			8			10			12			16			20			f _x (mm/dt)	Emulsion	Air	MMS	
			a _e 0,1-0,2	a _e 0,3-0,4	a _e 0,6	a _e 0,1-0,2	a _e 0,3-0,4	a _e 0,6	a _e 0,1-0,2	a _e 0,3-0,4	a _e 0,6	a _e 0,1-0,2	a _e 0,3-0,4	a _e 0,6	a _e 0,1-0,2	a _e 0,3-0,4	a _e 0,6	a _e 0,1-0,2	a _e 0,3-0,4	a _e 0,6	a _e 0,1-0,2	a _e 0,3-0,4	a _e 0,6		
P.1.1	165	1,0	0,070	0,056	0,035	0,094	0,075	0,047	0,116	0,093	0,058	0,140	0,112	0,070	0,173	0,138	0,087	0,196	0,157	0,098	●	○	○		
P.1.2	160	1,0	0,070	0,056	0,035	0,094	0,075	0,047	0,116	0,093	0,058	0,140	0,112	0,070	0,173	0,138	0,087	0,196	0,157	0,098	●	○	○		
P.1.3	160	1,0	0,070	0,056	0,035	0,094	0,075	0,047	0,116	0,093	0,058	0,140	0,112	0,070	0,173	0,138	0,087	0,196	0,157	0,098	●	○	○		
P.1.4	150	1,0	0,070	0,056	0,035	0,094	0,075	0,047	0,116	0,093	0,058	0,140	0,112	0,070	0,173	0,138	0,087	0,196	0,157	0,098	●	○	○		
P.1.5	150	1,0	0,070	0,056	0,035	0,094	0,075	0,047	0,116	0,093	0,058	0,140	0,112	0,070	0,173	0,138	0,087	0,196	0,157	0,098	●	○	○		
P.2.1	160	1,0	0,070	0,056	0,035	0,094	0,075	0,047	0,116	0,093	0,058	0,140	0,112	0,070	0,173	0,138	0,087	0,196	0,157	0,098	●	○	○		
P.2.2	150	1,0	0,060	0,048	0,030	0,080	0,064	0,040	0,100	0,080	0,050	0,120	0,096	0,060	0,150	0,120	0,075	0,170	0,136	0,085	●	○	○		
P.2.3	145	1,0	0,070	0,056	0,035	0,094	0,075	0,047	0,116	0,093	0,058	0,140	0,112	0,070	0,173	0,138	0,087	0,196	0,157	0,098	●	○	○		
P.2.4	135	1,0	0,060	0,048	0,030	0,080	0,064	0,040	0,100	0,080	0,050	0,120	0,096	0,060	0,150	0,120	0,075	0,170	0,136	0,085	●	○	○		
P.3.1	145	1,0	0,070	0,056	0,035	0,094	0,075	0,047	0,116	0,093	0,058	0,140	0,112	0,070	0,173	0,138	0,087	0,196	0,157	0,098	●	○	○		
P.3.2	135	1,0	0,070	0,056	0,035	0,094	0,075	0,047	0,116	0,093	0,058	0,140	0,112	0,070	0,173	0,138	0,087	0,196	0,157	0,098	●	○	○		
P.3.3	115	1,0	0,070	0,056	0,035	0,094	0,075	0,047	0,116	0,093	0,058	0,140	0,112	0,070	0,173	0,138	0,087	0,196	0,157	0,098	●	○	○		
P.4.1	80	1,0	0,038	0,030	0,019	0,052	0,042	0,026	0,066	0,053	0,033	0,080	0,064	0,040	0,101	0,081	0,051	0,115	0,092	0,058	●				
P.4.2	65	1,0	0,038	0,030	0,019	0,052	0,042	0,026	0,066	0,053	0,033	0,080	0,064	0,040	0,101	0,081	0,051	0,115	0,092	0,058	●				
M.1.1	80	1,0	0,038	0,030	0,019	0,052	0,042	0,026	0,066	0,053	0,033	0,080	0,064	0,040	0,101	0,081	0,051	0,115	0,092	0,058	●				
M.2.1	80	1,0	0,038	0,030	0,019	0,052	0,042	0,026	0,066	0,053	0,033	0,080	0,064	0,040	0,101	0,081	0,051	0,115	0,092	0,058	●				
M.3.1	80	1,0	0,038	0,030	0,019	0,052	0,042	0,026	0,066	0,053	0,033	0,080	0,064	0,040	0,101	0,081	0,051	0,115	0,092	0,058	●				
K.1.1	160	1,0	0,094	0,075	0,047	0,126	0,101	0,063	0,160	0,128	0,080	0,192	0,154	0,096	0,240	0,192	0,120	0,274	0,219	0,137	●	○	○		
K.1.2	145	1,0	0,094	0,075	0,047	0,126	0,101	0,063	0,160	0,128	0,080	0,192	0,154	0,096	0,240	0,192	0,120	0,274	0,219	0,137	●	○	○		
K.2.1	150	1,0	0,070	0,056	0,035	0,094	0,075	0,047	0,116	0,093	0,058	0,140	0,112	0,070	0,173	0,138	0,087	0,196	0,157	0,098	●	○	○		
K.2.2	135	1,0	0,070	0,056	0,035	0,094	0,075	0,047	0,116	0,093	0,058	0,140	0,112	0,070	0,173	0,138	0,087	0,196	0,157	0,098	●	○	○		
K.3.1	145	1,0	0,070	0,056	0,035	0,094	0,075	0,047	0,116	0,093	0,058	0,140	0,112	0,070	0,173	0,138	0,087	0,196	0,157	0,098	●	○	○		
K.3.2	130	1,0	0,070	0,056	0,035	0,094	0,075	0,047	0,116	0,093	0,058	0,140	0,112	0,070	0,173	0,138	0,087	0,196	0,157	0,098	●	○	○		
N.1.1																									
N.1.2																									
N.2.1																									
N.2.2																									
N.2.3																									
N.3.1	250	1,0	0,094	0,075	0,047	0,126	0,101	0,063	0,160	0,128	0,080	0,192	0,154	0,096	0,240	0,192	0,120	0,274	0,219	0,137	●	○	○		
N.3.2	250	1,0	0,094	0,075	0,047	0,126	0,101	0,063	0,160	0,128	0,080	0,192	0,154	0,096	0,240	0,192	0,120	0,274	0,219	0,137	●	○	○		
N.3.3	200	1,0	0,094	0,075	0,047	0,126	0,101	0,063	0,160	0,128	0,080	0,192	0,154	0,096	0,240	0,192	0,120	0,274	0,219	0,137	●	○	○		
N.4.1																									
S.1.1	20	1,0	0,030	0,024	0,015	0,040	0,032	0,020	0,050	0,040	0,025	0,060	0,048	0,030	0,075	0,060	0,038	0,084	0,067	0,042	●				
S.1.2	20	1,0	0,030	0,024	0,015	0,040	0,032	0,020	0,050	0,040	0,025	0,060	0,048	0,030	0,075	0,060	0,038	0,084	0,067	0,042	●				
S.2.1	20	1,0	0,030	0,024	0,015	0,040	0,032	0,020	0,050	0,040	0,025	0,060	0,048	0,030	0,075	0,060	0,038	0,084	0,067	0,042	●				
S.2.2	20	1,0	0,030	0,024	0,015	0,040	0,032	0,020	0,050	0,040	0,025	0,060	0,048	0,030	0,075	0,060	0,038	0,084	0,067	0,042	●				
S.2.3	20	1,0	0,030	0,024	0,015	0,040	0,032	0,020	0,050	0,040	0,025	0,060	0,048	0,030	0,075	0,060	0,038	0,084	0,067	0,042	●				
S.3.1	65	1,0	0,060	0,048	0,030	0,080	0,064	0,040	0,100	0,080	0,050	0,120	0,096	0,060	0,150	0,120	0,075	0,170	0,136	0,085	●				
S.3.2																									
S.3.3																									
H.1.1																									
H.1.2																									
H.1.3																									
H.1.4																									
H.2.1																									
H.3.1																									
O.1.1																									
O.1.2																									
O.2.1																									
O.2.2																									
O.3.1																									

Conditions de coupe – SilverLine – Fraisage dynamique

Index	Type long		50 949 ..., 50 999 ...																	
	v _c (m/min)	Angle maximal d'engagement	\emptyset DC (mm) =																	
			6				8				10				12					
			a _e 0,05 x DC	a _e 0,1 x DC	a _e 0,15 x DC	h _m	a _e 0,05 x DC	a _e 0,1 x DC	a _e 0,15 x DC	h _m	a _e 0,05 x DC	a _e 0,1 x DC	a _e 0,15 x DC	h _m	a _e 0,05 x DC	a _e 0,1 x DC	a _e 0,15 x DC	h _m	f _z (mm/dt)	f _z (mm/dt)
P.1.1	280	50°	0,15	0,10	0,09	0,033	0,17	0,12	0,10	0,039	0,20	0,14	0,12	0,045	0,23	0,16	0,13	0,051		
P.1.2	280	50°	0,11	0,08	0,07	0,025	0,14	0,10	0,08	0,032	0,17	0,12	0,10	0,039	0,20	0,14	0,12	0,045		
P.1.3	280	50°	0,11	0,08	0,07	0,025	0,14	0,10	0,08	0,032	0,17	0,12	0,10	0,039	0,20	0,14	0,12	0,045		
P.1.4	260	50°	0,11	0,08	0,07	0,025	0,14	0,10	0,08	0,032	0,17	0,12	0,10	0,039	0,20	0,14	0,12	0,045		
P.1.5	260	50°	0,11	0,08	0,07	0,025	0,14	0,10	0,08	0,032	0,17	0,12	0,10	0,039	0,20	0,14	0,12	0,045		
P.2.1	280	50°	0,15	0,10	0,09	0,033	0,17	0,12	0,10	0,039	0,20	0,14	0,12	0,045	0,23	0,16	0,13	0,051		
P.2.2	280	50°	0,15	0,10	0,09	0,033	0,17	0,12	0,10	0,039	0,20	0,14	0,12	0,045	0,23	0,16	0,13	0,051		
P.2.3	260	50°	0,11	0,08	0,07	0,025	0,14	0,10	0,08	0,032	0,17	0,12	0,10	0,039	0,20	0,14	0,12	0,045		
P.2.4	260	50°	0,11	0,08	0,07	0,025	0,14	0,10	0,08	0,032	0,17	0,12	0,10	0,039	0,20	0,14	0,12	0,045		
P.3.1	220	50°	0,11	0,08	0,07	0,025	0,14	0,10	0,08	0,032	0,17	0,12	0,10	0,039	0,20	0,14	0,12	0,045		
P.3.2	220	45°	0,11	0,08	0,07	0,025	0,14	0,10	0,08	0,032	0,17	0,12	0,10	0,039	0,20	0,14	0,12	0,045		
P.3.3	200	45°	0,11	0,08	0,07	0,025	0,14	0,10	0,08	0,032	0,17	0,12	0,10	0,039	0,20	0,14	0,12	0,045		
P.4.1	180	45°	0,09	0,07	0,05	0,021	0,11	0,08	0,07	0,026	0,14	0,10	0,08	0,031	0,16	0,11	0,09	0,035		
P.4.2	160	45°	0,09	0,07	0,05	0,021	0,11	0,08	0,07	0,026	0,14	0,10	0,08	0,031	0,16	0,11	0,09	0,035		
M.1.1	140	45°	0,09	0,07	0,05	0,021	0,11	0,08	0,07	0,026	0,14	0,10	0,08	0,031	0,16	0,11	0,09	0,035		
M.2.1	140	45°	0,09	0,07	0,05	0,021	0,11	0,08	0,07	0,026	0,14	0,10	0,08	0,031	0,16	0,11	0,09	0,035		
M.3.1	140	45°	0,09	0,07	0,05	0,021	0,11	0,08	0,07	0,026	0,14	0,10	0,08	0,031	0,16	0,11	0,09	0,035		
K.1.1	300	50°	0,15	0,10	0,09	0,033	0,17	0,12	0,10	0,039	0,20	0,14	0,12	0,045	0,23	0,16	0,13	0,051		
K.1.2	300	50°	0,15	0,10	0,09	0,033	0,17	0,12	0,10	0,039	0,20	0,14	0,12	0,045	0,23	0,16	0,13	0,051		
K.2.1	300	50°	0,15	0,10	0,09	0,033	0,17	0,12	0,10	0,039	0,20	0,14	0,12	0,045	0,23	0,16	0,13	0,051		
K.2.2	260	50°	0,11	0,08	0,07	0,025	0,14	0,10	0,08	0,032	0,17	0,12	0,10	0,039	0,20	0,14	0,12	0,045		
K.3.1	260	50°	0,11	0,08	0,07	0,025	0,14	0,10	0,08	0,032	0,17	0,12	0,10	0,039	0,20	0,14	0,12	0,045		
K.3.2	200	50°	0,11	0,08	0,07	0,025	0,14	0,10	0,08	0,032	0,17	0,12	0,10	0,039	0,20	0,14	0,12	0,045		
N.1.1																				
N.1.2																				
N.2.1																				
N.2.2																				
N.2.3																				
N.3.1																				
N.3.2																				
N.3.3																				
N.4.1																				
S.1.1	80	40°	0,05	0,03	0,03	0,010	0,06	0,04	0,04	0,014	0,08	0,05	0,04	0,017	0,09	0,06	0,05	0,021		
S.1.2	80	40°	0,05	0,03	0,03	0,010	0,06	0,04	0,04	0,014	0,08	0,05	0,04	0,017	0,09	0,06	0,05	0,021		
S.2.1	60	40°	0,05	0,03	0,03	0,010	0,06	0,04	0,04	0,014	0,08	0,05	0,04	0,017	0,09	0,06	0,05	0,021		
S.2.2	60	40°	0,05	0,03	0,03	0,010	0,06	0,04	0,04	0,014	0,08	0,05	0,04	0,017	0,09	0,06	0,05	0,021		
S.2.3																				
S.3.1	140	40°	0,06	0,04	0,04	0,014	0,08	0,06	0,05	0,018	0,10	0,07	0,06	0,023	0,12	0,09	0,07	0,028		
S.3.2	100	40°	0,06	0,04	0,04	0,014	0,08	0,06	0,05	0,018	0,10	0,07	0,06	0,023	0,12	0,09	0,07	0,028		
S.3.3																				
H.1.1																				
H.1.2																				
H.1.3																				
H.1.4																				
H.2.1																				
H.3.1																				
O.1.1																				
O.1.2																				
O.2.1																				
O.2.2																				
O.3.1																				



Angle de plongée pour ramping ou interpolation circulaire recommandé
2-3°



Les profondeurs de coupe correspondent à la longueur taillée des outils

Index	50 949 ..., 50 999 ...								● 1er choix		
	\emptyset DC (mm) =								○ Utilisation possible		
	16				20				Emulsion	Air	MMS
	a_e 0,05 x DC	a_e 0,1 x DC	a_e 0,15 x DC	h_m	a_e 0,05 x DC	a_e 0,1 x DC	a_e 0,15 x DC	h_m			
	f_z (mm/dt)		f_z (mm/dt)								
P.1.1	0,27	0,19	0,16	0,060	0,30	0,21	0,17	0,066	○	●	○
P.1.2	0,25	0,18	0,14	0,055	0,28	0,20	0,16	0,062	○	●	○
P.1.3	0,25	0,18	0,14	0,055	0,28	0,20	0,16	0,062	○	●	○
P.1.4	0,25	0,18	0,14	0,055	0,28	0,20	0,16	0,062	○	●	○
P.1.5	0,25	0,18	0,14	0,055	0,28	0,20	0,16	0,062	○	●	○
P.2.1	0,27	0,19	0,16	0,060	0,30	0,21	0,17	0,066	○	●	○
P.2.2	0,27	0,19	0,16	0,060	0,30	0,21	0,17	0,066	○	●	○
P.2.3	0,25	0,18	0,14	0,055	0,28	0,20	0,16	0,062	○	●	○
P.2.4	0,25	0,18	0,14	0,055	0,28	0,20	0,16	0,062	○	●	○
P.3.1	0,25	0,18	0,14	0,055	0,28	0,20	0,16	0,062	○	●	○
P.3.2	0,25	0,18	0,14	0,055	0,28	0,20	0,16	0,062	○	●	○
P.3.3	0,25	0,18	0,14	0,055	0,28	0,20	0,16	0,062	○	●	○
P.4.1	0,19	0,13	0,11	0,042	0,21	0,15	0,12	0,047	●		
P.4.2	0,19	0,13	0,11	0,042	0,21	0,15	0,12	0,047	●		
M.1.1	0,19	0,13	0,11	0,042	0,21	0,15	0,12	0,047	●		
M.2.1	0,19	0,13	0,11	0,042	0,21	0,15	0,12	0,047	●		
M.3.1	0,19	0,13	0,11	0,042	0,21	0,15	0,12	0,047	●		
K.1.1	0,27	0,19	0,16	0,060	0,30	0,21	0,17	0,066	○	●	○
K.1.2	0,27	0,19	0,16	0,060	0,30	0,21	0,17	0,066	○	●	○
K.2.1	0,27	0,19	0,16	0,060	0,30	0,21	0,17	0,066	○	●	○
K.2.2	0,25	0,18	0,14	0,055	0,28	0,20	0,16	0,062	○	●	○
K.3.1	0,25	0,18	0,14	0,055	0,28	0,20	0,16	0,062	○	●	○
K.3.2	0,25	0,18	0,14	0,055	0,28	0,20	0,16	0,062	○	●	○
N.1.1											
N.1.2											
N.2.1											
N.2.2											
N.2.3											
N.3.1											
N.3.2											
N.3.3											
N.4.1											
S.1.1	0,11	0,08	0,07	0,026	0,13	0,09	0,08	0,029	●		
S.1.2	0,11	0,08	0,07	0,026	0,13	0,09	0,08	0,029	●		
S.2.1	0,11	0,08	0,07	0,026	0,13	0,09	0,08	0,029	●		
S.2.2	0,11	0,08	0,07	0,026	0,13	0,09	0,08	0,029	●		
S.2.3											
S.3.1	0,16	0,11	0,09	0,035	0,18	0,12	0,10	0,040	●		
S.3.2	0,16	0,11	0,09	0,035	0,18	0,12	0,10	0,040	●		
S.3.3											
H.1.1											
H.1.2											
H.1.3											
H.1.4											
H.2.1											
H.3.1											
O.1.1											
O.1.2											
O.2.1											
O.2.2											
O.3.1											

Conditions de coupe – SilverLine

Index	Type long	50 558 ..., 50 958																			
		\emptyset DC (mm) =																			
		3,0			3,5–4,0			4,5–5,0			5,5–6,0			7,0–8,0			9,0–10,0				
		a_s 0,1–0,2	a_s 0,3–0,4	a_s 0,6–1,0	a_s 0,1–0,2	a_s 0,3–0,4	a_s 0,6–1,0	a_s 0,1–0,2	a_s 0,3–0,4	a_s 0,6–1,0	a_s 0,1–0,2	a_s 0,3–0,4	a_s 0,6–1,0	a_s 0,1–0,2	a_s 0,3–0,4	a_s 0,6–1,0	a_s 0,1–0,2	a_s 0,3–0,4	a_s 0,6–1,0	a_s 0,1–0,2	a_s 0,3–0,4
v _c (m/min)		f_z (mm/dt)																			
P.1.1	110	1,0*	0,035	0,028	0,018	0,042	0,034	0,021	0,050	0,040	0,025	0,058	0,046	0,029	0,072	0,058	0,036	0,086	0,069	0,043	
P.1.2	90	1,0*	0,027	0,022	0,014	0,034	0,027	0,017	0,041	0,033	0,021	0,048	0,038	0,024	0,062	0,050	0,031	0,075	0,060	0,038	
P.1.3	90	1,0*	0,027	0,022	0,014	0,034	0,027	0,017	0,041	0,033	0,021	0,048	0,038	0,024	0,062	0,050	0,031	0,075	0,060	0,038	
P.1.4	80	1,0*	0,027	0,022	0,014	0,034	0,027	0,017	0,041	0,033	0,021	0,048	0,038	0,024	0,062	0,050	0,031	0,075	0,060	0,038	
P.1.5	80	1,0*	0,027	0,022	0,014	0,034	0,027	0,017	0,041	0,033	0,021	0,048	0,038	0,024	0,062	0,050	0,031	0,075	0,060	0,038	
P.2.1	90	1,0*	0,027	0,022	0,014	0,034	0,027	0,017	0,041	0,033	0,021	0,048	0,038	0,024	0,062	0,050	0,031	0,075	0,060	0,038	
P.2.2	70	1,0*	0,027	0,022	0,014	0,034	0,027	0,017	0,041	0,033	0,021	0,048	0,038	0,024	0,062	0,050	0,031	0,075	0,060	0,038	
P.2.3	70	1,0*	0,027	0,022	0,014	0,034	0,027	0,017	0,041	0,033	0,021	0,048	0,038	0,024	0,062	0,050	0,031	0,075	0,060	0,038	
P.2.4	55	1,0*	0,027	0,022	0,014	0,034	0,027	0,017	0,041	0,033	0,021	0,048	0,038	0,024	0,062	0,050	0,031	0,075	0,060	0,038	
P.3.1																					
P.3.2																					
P.3.3																					
P.4.1	50	1,0*	0,022	0,018	0,011	0,028	0,022	0,014	0,034	0,027	0,017	0,041	0,033	0,021	0,054	0,043	0,027	0,066	0,053	0,033	
P.4.2	40	1,0*	0,022	0,018	0,011	0,028	0,022	0,014	0,034	0,027	0,017	0,041	0,033	0,021	0,054	0,043	0,027	0,066	0,053	0,033	
M.1.1	40	1,0*	0,022	0,018	0,011	0,028	0,022	0,014	0,034	0,027	0,017	0,041	0,033	0,021	0,054	0,043	0,027	0,066	0,053	0,033	
M.2.1	50	1,0*	0,022	0,018	0,011	0,028	0,022	0,014	0,034	0,027	0,017	0,041	0,033	0,021	0,054	0,043	0,027	0,066	0,053	0,033	
M.3.1	50	1,0*	0,022	0,018	0,011	0,028	0,022	0,014	0,034	0,027	0,017	0,041	0,033	0,021	0,054	0,043	0,027	0,066	0,053	0,033	
K.1.1	130	1,0*	0,056	0,045	0,028	0,068	0,054	0,034	0,080	0,064	0,040	0,092	0,074	0,046	0,116	0,093	0,058	0,140	0,112	0,070	
K.1.2	120	1,0*	0,056	0,045	0,028	0,068	0,054	0,034	0,080	0,064	0,040	0,092	0,074	0,046	0,116	0,093	0,058	0,140	0,112	0,070	
K.2.1	130	1,0*	0,040	0,032	0,020	0,048	0,038	0,024	0,056	0,045	0,028	0,064	0,051	0,032	0,079	0,063	0,040	0,095	0,076	0,048	
K.2.2	120	1,0*	0,040	0,032	0,020	0,048	0,038	0,024	0,056	0,045	0,028	0,064	0,051	0,032	0,079	0,063	0,040	0,095	0,076	0,048	
K.3.1	130	1,0*	0,056	0,045	0,028	0,068	0,054	0,034	0,080	0,064	0,040	0,092	0,074	0,046	0,116	0,093	0,058	0,140	0,112	0,070	
K.3.2	120	1,0*	0,056	0,045	0,028	0,068	0,054	0,034	0,080	0,064	0,040	0,092	0,074	0,046	0,116	0,093	0,058	0,140	0,112	0,070	
N.1.1																					
N.1.2																					
N.2.1																					
N.2.2																					
N.2.3																					
N.3.1	200	1,0*	0,040	0,032	0,020	0,050	0,040	0,025	0,060	0,048	0,030	0,070	0,056	0,035	0,090	0,072	0,045	0,110	0,088	0,055	
N.3.2	200	1,0*	0,040	0,032	0,020	0,050	0,040	0,025	0,060	0,048	0,030	0,070	0,056	0,035	0,090	0,072	0,045	0,110	0,088	0,055	
N.3.3	140	1,0*	0,040	0,032	0,020	0,050	0,040	0,025	0,060	0,048	0,030	0,070	0,056	0,035	0,090	0,072	0,045	0,110	0,088	0,055	
N.4.1																					
S.1.1	30	1,0*	0,015	0,012	0,008	0,020	0,016	0,010	0,025	0,020	0,013	0,030	0,024	0,015	0,040	0,032	0,020	0,050	0,040	0,025	
S.1.2	30	1,0*	0,015	0,012	0,008	0,020	0,016	0,010	0,025	0,020	0,013	0,030	0,024	0,015	0,040	0,032	0,020	0,050	0,040	0,025	
S.2.1	30	1,0*	0,015	0,012	0,008	0,020	0,016	0,010	0,025	0,020	0,013	0,030	0,024	0,015	0,040	0,032	0,020	0,050	0,040	0,025	
S.2.2	30	1,0*	0,015	0,012	0,008	0,020	0,016	0,010	0,025	0,020	0,013	0,030	0,024	0,015	0,040	0,032	0,020	0,050	0,040	0,025	
S.2.3	30	1,0*	0,015	0,012	0,008	0,020	0,016	0,010	0,025	0,020	0,013	0,030	0,024	0,015	0,040	0,032	0,020	0,050	0,040	0,025	
S.3.1	50	1,0*	0,022	0,018	0,011	0,028	0,022	0,014	0,034	0,027	0,017	0,041	0,033	0,021	0,054	0,043	0,027	0,066	0,053	0,033	
S.3.2	20	1,0*	0,022	0,018	0,011	0,028	0,022	0,014	0,034	0,027	0,017	0,041	0,033	0,021	0,054	0,043	0,027	0,066	0,053	0,033	
S.3.3																					
H.1.1																					
H.1.2																					
H.1.3																					
H.1.4																					
H.2.1																					
H.3.1																					
O.1.1																					
O.1.2																					
O.2.1																					
O.2.2																					
O.3.1																					

* = Type longue : Pour un a_p max. de 1,5 x DC, veuillez multiplier l'avance à la dent f_z par un facteur de 0,75



Angle de plongée pour ramping ou interpolation circulaire recommandé
6-10°

Index	50 558 ..., 50 958																● 1er choix		
	\emptyset DC (mm) =																○ Utilisation possible		
	11,0–12,0			14,0			15,0–16,0			17,0–18,0			19,0–20,0			Emulsion	Air	MMS	
	a_e 0,1–0,2	a_e 0,3–0,4	a_e 0,6–1,0	a_e 0,1–0,2	a_e 0,3–0,4	a_e 0,6–1,0	a_e 0,1–0,2	a_e 0,3–0,4	a_e 0,6–1,0	a_e 0,1–0,2	a_e 0,3–0,4	a_e 0,6–1,0	a_e 0,1–0,2	a_e 0,3–0,4	a_e 0,6–1,0				
P.1.1	0,102	0,082	0,051	0,116	0,093	0,058	0,124	0,099	0,062	0,131	0,105	0,066	0,139	0,111	0,070	●	○	○	
P.1.2	0,089	0,071	0,045	0,103	0,082	0,052	0,110	0,088	0,055	0,117	0,094	0,059	0,123	0,098	0,062	●	○	○	
P.1.3	0,089	0,071	0,045	0,103	0,082	0,052	0,110	0,088	0,055	0,117	0,094	0,059	0,123	0,098	0,062	●	○	○	
P.1.4	0,089	0,071	0,045	0,103	0,082	0,052	0,110	0,088	0,055	0,117	0,094	0,059	0,123	0,098	0,062	●	○	○	
P.1.5	0,089	0,071	0,045	0,103	0,082	0,052	0,110	0,088	0,055	0,117	0,094	0,059	0,123	0,098	0,062	●	○	○	
P.2.1	0,089	0,071	0,045	0,103	0,082	0,052	0,110	0,088	0,055	0,117	0,094	0,059	0,123	0,098	0,062	●	○	○	
P.2.2	0,089	0,071	0,045	0,103	0,082	0,052	0,110	0,088	0,055	0,117	0,094	0,059	0,123	0,098	0,062	●	○	○	
P.2.3	0,089	0,071	0,045	0,103	0,082	0,052	0,110	0,088	0,055	0,117	0,094	0,059	0,123	0,098	0,062	●	○	○	
P.2.4	0,089	0,071	0,045	0,103	0,082	0,052	0,110	0,088	0,055	0,117	0,094	0,059	0,123	0,098	0,062	●	○	○	
P.3.1																			
P.3.2																			
P.3.3																			
P.4.1	0,079	0,063	0,040	0,092	0,074	0,046	0,099	0,079	0,050	0,105	0,084	0,053	0,111	0,089	0,056	●			
P.4.2	0,079	0,063	0,040	0,092	0,074	0,046	0,099	0,079	0,050	0,105	0,084	0,053	0,111	0,089	0,056	●			
M.1.1	0,079	0,063	0,040	0,092	0,074	0,046	0,099	0,079	0,050	0,105	0,084	0,053	0,111	0,089	0,056	●			
M.2.1	0,079	0,063	0,040	0,092	0,074	0,046	0,099	0,079	0,050	0,105	0,084	0,053	0,111	0,089	0,056	●			
M.3.1	0,079	0,063	0,040	0,092	0,074	0,046	0,099	0,079	0,050	0,105	0,084	0,053	0,111	0,089	0,056	●			
K.1.1	0,164	0,131	0,082	0,188	0,150	0,094	0,200	0,160	0,100	0,212	0,170	0,106	0,224	0,179	0,112	●	○	○	
K.1.2	0,164	0,131	0,082	0,188	0,150	0,094	0,200	0,160	0,100	0,212	0,170	0,106	0,224	0,179	0,112	●	○	○	
K.2.1	0,110	0,088	0,055	0,126	0,101	0,063	0,134	0,107	0,067	0,142	0,114	0,071	0,150	0,120	0,075	●	○	○	
K.2.2	0,110	0,088	0,055	0,126	0,101	0,063	0,134	0,107	0,067	0,142	0,114	0,071	0,150	0,120	0,075	●	○	○	
K.3.1	0,164	0,131	0,082	0,188	0,150	0,094	0,200	0,160	0,100	0,212	0,170	0,106	0,224	0,179	0,112	●	○	○	
K.3.2	0,164	0,131	0,082	0,188	0,150	0,094	0,200	0,160	0,100	0,212	0,170	0,106	0,224	0,179	0,112	●	○	○	
N.1.1																			
N.1.2																			
N.2.1																			
N.2.2																			
N.2.3																			
N.3.1	0,130	0,104	0,065	0,150	0,120	0,075	0,160	0,128	0,080	0,170	0,136	0,085	0,180	0,144	0,090	●			
N.3.2	0,130	0,104	0,065	0,150	0,120	0,075	0,160	0,128	0,080	0,170	0,136	0,085	0,180	0,144	0,090	●			
N.3.3	0,130	0,104	0,065	0,150	0,120	0,075	0,160	0,128	0,080	0,170	0,136	0,085	0,180	0,144	0,090	●			
N.4.1																			
S.1.1	0,060	0,048	0,030	0,070	0,056	0,035	0,075	0,060	0,038	0,079	0,063	0,040	0,084	0,067	0,042	●			
S.1.2	0,060	0,048	0,030	0,070	0,056	0,035	0,075	0,060	0,038	0,079	0,063	0,040	0,084	0,067	0,042	●			
S.2.1	0,060	0,048	0,030	0,070	0,056	0,035	0,075	0,060	0,038	0,079	0,063	0,040	0,084	0,067	0,042	●			
S.2.2	0,060	0,048	0,030	0,070	0,056	0,035	0,075	0,060	0,038	0,079	0,063	0,040	0,084	0,067	0,042	●			
S.2.3	0,060	0,048	0,030	0,070	0,056	0,035	0,075	0,060	0,038	0,079	0,063	0,040	0,084	0,067	0,042	●			
S.3.1	0,079	0,063	0,040	0,092	0,074	0,046	0,099	0,079	0,050	0,105	0,084	0,053	0,111	0,089	0,056	●			
S.3.2	0,079	0,063	0,040	0,092	0,074	0,046	0,099	0,079	0,050	0,105	0,084	0,053	0,111	0,089	0,056	●			
S.3.3																			
H.1.1																			
H.1.2																			
H.1.3																			
H.1.4																			
H.2.1																			
H.3.1																			
O.1.1																			
O.1.2																			
O.2.1																			
O.2.2																			
O.3.1																			

Conditions de coupe – SilverLine

Index	Type court		Type long		Type extra long		50 966 ..., 50 967 ..., 50 992 ...																							
	v_c (m/min)	$a_p \text{max.} \times DC$	v_c (m/min)	$a_p \text{max.} \times DC$	v_c (m/min)	$a_p \text{max.} \times DC$	Ø DC (mm) =				3,0				3,5–4,0				4,5–5,0				5,5–6,0				6,5–8,0			
							a_e 0,1–0,2 $\times DC$	a_e 0,3–0,4 $\times DC$	a_e 0,6–1,0 $\times DC$	a_e 0,1–0,2 $\times DC$	a_e 0,3–0,4 $\times DC$	a_e 0,6–1,0 $\times DC$	a_e 0,1–0,2 $\times DC$	a_e 0,3–0,4 $\times DC$	a_e 0,6–1,0 $\times DC$	a_e 0,1–0,2 $\times DC$	a_e 0,3–0,4 $\times DC$	a_e 0,6–1,0 $\times DC$	a_e 0,1–0,2 $\times DC$	a_e 0,3–0,4 $\times DC$	a_e 0,6–1,0 $\times DC$	a_e 0,1–0,2 $\times DC$	a_e 0,3–0,4 $\times DC$	a_e 0,6–1,0 $\times DC$	a_e 0,1–0,2 $\times DC$	a_e 0,3–0,4 $\times DC$	a_e 0,6–1,0 $\times DC$			
P.1.1	252	1,0	210	1,0*	105	0,8	0,028	0,022	0,014	0,038	0,030	0,019	0,049	0,039	0,025	0,060	0,048	0,030	0,080	0,064	0,040	0,060	0,048	0,030	0,080	0,064	0,040			
P.1.2	240	1,0	200	1,0*	100	0,8	0,028	0,022	0,014	0,038	0,030	0,019	0,049	0,039	0,025	0,060	0,048	0,030	0,080	0,064	0,040	0,060	0,048	0,030	0,080	0,064	0,040			
P.1.3	240	1,0	200	1,0*	100	0,8	0,028	0,022	0,014	0,038	0,030	0,019	0,049	0,039	0,025	0,060	0,048	0,030	0,080	0,064	0,040	0,060	0,048	0,030	0,080	0,064	0,040			
P.1.4	228	1,0	190	1,0*	95	0,8	0,028	0,022	0,014	0,038	0,030	0,019	0,049	0,039	0,025	0,060	0,048	0,030	0,080	0,064	0,040	0,060	0,048	0,030	0,080	0,064	0,040			
P.1.5	228	1,0	190	1,0*	95	0,8	0,028	0,022	0,014	0,038	0,030	0,019	0,049	0,039	0,025	0,060	0,048	0,030	0,080	0,064	0,040	0,060	0,048	0,030	0,080	0,064	0,040			
P.2.1	240	1,0	200	1,0*	100	0,8	0,028	0,022	0,014	0,038	0,030	0,019	0,049	0,039	0,025	0,060	0,048	0,030	0,080	0,064	0,040	0,060	0,048	0,030	0,080	0,064	0,040			
P.2.2	228	1,0	190	1,0*	95	0,8	0,028	0,022	0,014	0,038	0,030	0,019	0,049	0,039	0,025	0,060	0,048	0,030	0,080	0,064	0,040	0,060	0,048	0,030	0,080	0,064	0,040			
P.2.3	216	1,0	180	1,0*	90	0,8	0,028	0,022	0,014	0,038	0,030	0,019	0,049	0,039	0,025	0,060	0,048	0,030	0,080	0,064	0,040	0,060	0,048	0,030	0,080	0,064	0,040			
P.2.4	204	1,0	170	1,0*	85	0,8	0,028	0,022	0,014	0,038	0,030	0,019	0,049	0,039	0,025	0,060	0,048	0,030	0,080	0,064	0,040	0,060	0,048	0,030	0,080	0,064	0,040			
P.3.1																														
P.3.2																														
P.3.3																														
P.4.1	120	1,0	100	1,0*	60	0,8	0,017	0,014	0,009	0,024	0,019	0,012	0,031	0,025	0,016	0,038	0,030	0,019	0,052	0,042	0,026	0,038	0,030	0,019	0,052	0,042	0,026			
P.4.2	96	1,0	80	1,0*	50	0,8	0,017	0,014	0,009	0,024	0,019	0,012	0,031	0,025	0,016	0,038	0,030	0,019	0,052	0,042	0,026	0,038	0,030	0,019	0,052	0,042	0,026			
M.1.1	120	1,0	100	1,0*	60	0,8	0,017	0,014	0,009	0,024	0,019	0,012	0,031	0,025	0,016	0,038	0,030	0,019	0,052	0,042	0,026	0,038	0,030	0,019	0,052	0,042	0,026			
M.2.1	120	1,0	100	1,0*	60	0,8	0,017	0,014	0,009	0,024	0,019	0,012	0,031	0,025	0,016	0,038	0,030	0,019	0,052	0,042	0,026	0,038	0,030	0,019	0,052	0,042	0,026			
M.3.1	120	1,0	100	1,0*	60	0,8	0,017	0,014	0,009	0,024	0,019	0,012	0,031	0,025	0,016	0,038	0,030	0,019	0,052	0,042	0,026	0,038	0,030	0,019	0,052	0,042	0,026			
K.1.1	240	1,0	200	1,0*	100	0,8	0,037	0,030	0,019	0,048	0,038	0,024	0,060	0,048	0,030	0,070	0,056	0,035	0,094	0,075	0,047	0,070	0,056	0,035	0,094	0,075	0,047			
K.1.2	216	1,0	180	1,0*	90	0,8	0,037	0,030	0,019	0,048	0,038	0,024	0,060	0,048	0,030	0,070	0,056	0,035	0,094	0,075	0,047	0,070	0,056	0,035	0,094	0,075	0,047			
K.2.1	228	1,0	190	1,0*	60	0,8	0,028	0,022	0,014	0,038	0,030	0,019	0,049	0,039	0,025	0,060	0,048	0,030	0,080	0,064	0,040	0,060	0,048	0,030	0,080	0,064	0,040			
K.2.2	204	1,0	170	1,0*	85	0,8	0,028	0,022	0,014	0,038	0,030	0,019	0,049	0,039	0,025	0,060	0,048	0,030	0,080	0,064	0,040	0,060	0,048	0,030	0,080	0,064	0,040			
K.3.1	216	1,0	180	1,0*	90	0,8	0,028	0,022	0,014	0,038	0,030	0,019	0,049	0,039	0,025	0,060	0,048	0,030	0,080	0,064	0,040	0,060	0,048	0,030	0,080	0,064	0,040			
K.3.2	192	1,0	160	1,0*	80	0,8	0,028	0,022	0,014	0,038	0,030	0,019	0,049	0,039	0,025	0,060	0,048	0,030	0,080	0,064	0,040	0,060	0,048	0,030	0,080	0,064	0,040			
N.1.1																														
N.1.2																														
N.2.1																														
N.2.2																														
N.2.3																														
N.3.1	420	1,0	350	1,0*	175	0,8	0,037	0,030	0,019	0,048	0,038	0,024	0,060	0,048	0,030	0,070	0,056	0,035	0,094	0,075	0,047	0,070	0,056	0,035	0,094	0,075	0,047			
N.3.2	420	1,0	350	1,0*	175	0,8	0,037	0,030	0,019	0,048	0,038	0,024	0,060	0,048	0,030	0,070	0,056	0,035	0,094	0,075	0,047	0,070	0,056	0,035	0,094	0,075	0,047			
N.3.3	336	1,0	280	1,0*	140	0,8	0,037	0,030	0,019	0,048	0,038	0,024	0,060	0,048	0,030	0,070	0,056	0,035	0,094	0,075	0,047	0,070	0,056	0,035	0,094	0,075	0,047			
N.4.1																														
S.1.1	30	0,5	25	0,5	15	0,4	0,015	0,012	0,008	0,020	0,016	0,010	0,025	0,020	0,013	0,030	0,024	0,015	0,040	0,032	0,020	0,030	0,024	0,015	0,040	0,032	0,020			
S.1.2	30	0,5	25	0,5	15	0,4	0,015	0,012	0,008	0,020	0,016	0,010	0,025	0,020	0,013	0,030	0,024	0,015	0,040	0,032	0,020	0,030	0,024	0,015	0,040	0,032	0,020			
S.2.1	30	0,5	25	0,5	15	0,4	0,015	0,012	0,008	0,020	0,016	0,010	0,025	0,020	0,013	0,030	0,024	0,015	0,040	0,032	0,020	0,030	0,024	0,015	0,040	0,032	0,020			
S.2.2	30	0,5	25	0,5	15	0,4	0,015	0,012	0,008	0,020	0,016	0,010	0,025	0,020	0,013	0,030	0,024	0,015	0,040	0,032	0,020	0,030	0,024	0,015	0,040	0,032	0,020			
S.2.3	30	0,5	25	0,5	15	0,4	0,015	0,012	0,008	0,020	0,016	0,010	0,025	0,020	0,013	0,030	0,024	0,015	0,040	0,032	0,020	0,030	0,024	0,015	0,040	0,032	0,020			
S.3.1	108	1,0	90	1,0*	45	0,8	0,028	0,022	0,014	0,038	0,030	0,019	0,049	0,039	0,025	0,060	0,048													

Index	50 966 ..., 50 967 ..., 50 992 ...																				● 1er choix		
	\varnothing DC (mm) =																				○ Utilisation possible		
	8,5–10,0			12,0			14,0			16,0			18,0			20,0			Emulsion	Air	MMS		
	a_e 0,1–0,2	a_e 0,3–0,4	a_e 0,6–1,0	a_e 0,1–0,2	a_e 0,3–0,4	a_e 0,6–1,0	a_e 0,1–0,2	a_e 0,3–0,4	a_e 0,6–1,0	a_e 0,1–0,2	a_e 0,3–0,4	a_e 0,6–1,0	a_e 0,1–0,2	a_e 0,3–0,4	a_e 0,6–1,0	a_e 0,1–0,2	a_e 0,3–0,4	a_e 0,6–1,0					
P.1.1	0,100	0,080	0,050	0,120	0,096	0,060	0,140	0,112	0,070	0,150	0,120	0,075	0,160	0,128	0,080	0,170	0,136	0,085	●	○	○		
P.1.2	0,100	0,080	0,050	0,120	0,096	0,060	0,140	0,112	0,070	0,150	0,120	0,075	0,160	0,128	0,080	0,170	0,136	0,085	●	○	○		
P.1.3	0,100	0,080	0,050	0,120	0,096	0,060	0,140	0,112	0,070	0,150	0,120	0,075	0,160	0,128	0,080	0,170	0,136	0,085	●	○	○		
P.1.4	0,100	0,080	0,050	0,120	0,096	0,060	0,140	0,112	0,070	0,150	0,120	0,075	0,160	0,128	0,080	0,170	0,136	0,085	●	○	○		
P.1.5	0,100	0,080	0,050	0,120	0,096	0,060	0,140	0,112	0,070	0,150	0,120	0,075	0,160	0,128	0,080	0,170	0,136	0,085	●	○	○		
P.2.1	0,100	0,080	0,050	0,120	0,096	0,060	0,140	0,112	0,070	0,150	0,120	0,075	0,160	0,128	0,080	0,170	0,136	0,085	●	○	○		
P.2.2	0,100	0,080	0,050	0,120	0,096	0,060	0,140	0,112	0,070	0,150	0,120	0,075	0,160	0,128	0,080	0,170	0,136	0,085	●	○	○		
P.2.3	0,100	0,080	0,050	0,120	0,096	0,060	0,140	0,112	0,070	0,150	0,120	0,075	0,160	0,128	0,080	0,170	0,136	0,085	●	○	○		
P.2.4	0,100	0,080	0,050	0,120	0,096	0,060	0,140	0,112	0,070	0,150	0,120	0,075	0,160	0,128	0,080	0,170	0,136	0,085	●	○	○		
P.3.1																							
P.3.2																							
P.3.3																							
P.4.1	0,066	0,053	0,033	0,080	0,064	0,040	0,094	0,075	0,047	0,101	0,081	0,051	0,108	0,086	0,054	0,115	0,092	0,058	●				
P.4.2	0,066	0,053	0,033	0,080	0,064	0,040	0,094	0,075	0,047	0,101	0,081	0,051	0,108	0,086	0,054	0,115	0,092	0,058	●				
M.1.1	0,066	0,053	0,033	0,080	0,064	0,040	0,094	0,075	0,047	0,101	0,081	0,051	0,108	0,086	0,054	0,115	0,092	0,058	●				
M.2.1	0,066	0,053	0,033	0,080	0,064	0,040	0,094	0,075	0,047	0,101	0,081	0,051	0,108	0,086	0,054	0,115	0,092	0,058	●				
M.3.1	0,066	0,053	0,033	0,080	0,064	0,040	0,094	0,075	0,047	0,101	0,081	0,051	0,108	0,086	0,054	0,115	0,092	0,058	●				
K.1.1	0,116	0,093	0,058	0,140	0,112	0,070	0,162	0,130	0,081	0,173	0,138	0,087	0,184	0,147	0,092	0,196	0,157	0,098	●	●	●		
K.1.2	0,116	0,093	0,058	0,140	0,112	0,070	0,162	0,130	0,081	0,173	0,138	0,087	0,184	0,147	0,092	0,196	0,157	0,098	●	●	●		
K.2.1	0,100	0,080	0,050	0,120	0,096	0,060	0,140	0,112	0,070	0,150	0,120	0,075	0,160	0,128	0,080	0,170	0,136	0,085	●	●	●		
K.2.2	0,100	0,080	0,050	0,120	0,096	0,060	0,140	0,112	0,070	0,150	0,120	0,075	0,160	0,128	0,080	0,170	0,136	0,085	●	●	●		
K.3.1	0,100	0,080	0,050	0,120	0,096	0,060	0,140	0,112	0,070	0,150	0,120	0,075	0,160	0,128	0,080	0,170	0,136	0,085	●	●	●		
K.3.2	0,100	0,080	0,050	0,120	0,096	0,060	0,140	0,112	0,070	0,150	0,120	0,075	0,160	0,128	0,080	0,170	0,136	0,085	●	●	●		
N.1.1																							
N.1.2																							
N.2.1																							
N.2.2																							
N.2.3																							
N.3.1	0,116	0,093	0,058	0,140	0,112	0,070	0,162	0,130	0,081	0,173	0,138	0,087	0,184	0,147	0,092	0,196	0,157	0,098	●				
N.3.2	0,116	0,093	0,058	0,140	0,112	0,070	0,162	0,130	0,081	0,173	0,138	0,087	0,184	0,147	0,092	0,196	0,157	0,098	●				
N.3.3	0,116	0,093	0,058	0,140	0,112	0,070	0,162	0,130	0,081	0,173	0,138	0,087	0,184	0,147	0,092	0,196	0,157	0,098	●				
N.4.1																							
S.1.1	0,050	0,040	0,025	0,060	0,048	0,030	0,070	0,056	0,035	0,075	0,060	0,038	0,079	0,063	0,040	0,084	0,067	0,042	●				
S.1.2	0,050	0,040	0,025	0,060	0,048	0,030	0,070	0,056	0,035	0,075	0,060	0,038	0,079	0,063	0,040	0,084	0,067	0,042	●				
S.2.1	0,050	0,040	0,025	0,060	0,048	0,030	0,070	0,056	0,035	0,075	0,060	0,038	0,079	0,063	0,040	0,084	0,067	0,042	●				
S.2.2	0,050	0,040	0,025	0,060	0,048	0,030	0,070	0,056	0,035	0,075	0,060	0,038	0,079	0,063	0,040	0,084	0,067	0,042	●				
S.2.3	0,050	0,040	0,025	0,060	0,048	0,030	0,070	0,056	0,035	0,075	0,060	0,038	0,079	0,063	0,040	0,084	0,067	0,042	●				
S.3.1	0,100	0,080	0,050	0,120	0,096	0,060	0,140	0,112	0,070	0,150	0,120	0,075	0,160	0,128	0,080	0,170	0,136	0,085	●				
S.3.2	0,066	0,053	0,033	0,080	0,064	0,040	0,094	0,075	0,047	0,101	0,081	0,051	0,108	0,086	0,054	0,115	0,092	0,058	●				
S.3.3																							
H.1.1																							
H.1.2																							
H.1.3																							
H.1.4																							
H.2.1																							
H.3.1																							
O.1.1																							
O.1.2																							
O.2.1																							
O.2.2																							
O.3.1																							

Conditions de coupe – SilverLine

Index	Type long	50 976 ..., 50 977 ...																			
		\emptyset DC (mm) =																			
		3		4		5		6		8		10		12		14					
		a_e 0,3–0,4 x DC	a_e 0,6–1,0 x DC	f_z (mm/dt)																	
v _c (m/min)	a _p max. x DC																				
P.1.1	210	2,0	0,026	0,019	0,034	0,024	0,042	0,030	0,049	0,035	0,066	0,047	0,081	0,058	0,098	0,070	0,113	0,081			
P.1.2	200	2,0	0,026	0,019	0,034	0,024	0,042	0,030	0,049	0,035	0,066	0,047	0,081	0,058	0,098	0,070	0,113	0,081			
P.1.3	200	2,0	0,026	0,019	0,034	0,024	0,042	0,030	0,049	0,035	0,066	0,047	0,081	0,058	0,098	0,070	0,113	0,081			
P.1.4	190	2,0	0,026	0,019	0,034	0,024	0,042	0,030	0,049	0,035	0,066	0,047	0,081	0,058	0,098	0,070	0,113	0,081			
P.1.5	190	2,0	0,026	0,019	0,034	0,024	0,042	0,030	0,049	0,035	0,066	0,047	0,081	0,058	0,098	0,070	0,113	0,081			
P.2.1	200	2,0	0,026	0,019	0,034	0,024	0,042	0,030	0,049	0,035	0,066	0,047	0,081	0,058	0,098	0,070	0,113	0,081			
P.2.2	190	2,0	0,020	0,014	0,027	0,019	0,034	0,025	0,042	0,030	0,056	0,040	0,070	0,050	0,084	0,060	0,098	0,070			
P.2.3	180	2,0	0,026	0,019	0,034	0,024	0,042	0,030	0,049	0,035	0,066	0,047	0,081	0,058	0,098	0,070	0,113	0,081			
P.2.4	170	2,0	0,020	0,014	0,027	0,019	0,034	0,025	0,042	0,030	0,056	0,040	0,070	0,050	0,084	0,060	0,098	0,070			
P.3.1	180	2,0	0,026	0,019	0,034	0,024	0,042	0,030	0,049	0,035	0,066	0,047	0,081	0,058	0,098	0,070	0,113	0,081			
P.3.2	170	2,0	0,026	0,019	0,034	0,024	0,042	0,030	0,049	0,035	0,066	0,047	0,081	0,058	0,098	0,070	0,113	0,081			
P.3.3	140	2,0	0,026	0,019	0,034	0,024	0,042	0,030	0,049	0,035	0,066	0,047	0,081	0,058	0,098	0,070	0,113	0,081			
P.4.1	120	1,5	0,012	0,009	0,017	0,012	0,022	0,016	0,027	0,019	0,036	0,026	0,046	0,033	0,056	0,040	0,066	0,047			
P.4.2	100	1,5	0,012	0,009	0,017	0,012	0,022	0,016	0,027	0,019	0,036	0,026	0,046	0,033	0,056	0,040	0,066	0,047			
M.1.1	120	1,5	0,012	0,009	0,017	0,012	0,022	0,016	0,027	0,019	0,036	0,026	0,046	0,033	0,056	0,040	0,066	0,047			
M.2.1	120	1,5	0,012	0,009	0,017	0,012	0,022	0,016	0,027	0,019	0,036	0,026	0,046	0,033	0,056	0,040	0,066	0,047			
M.3.1	120	1,5	0,012	0,009	0,017	0,012	0,022	0,016	0,027	0,019	0,036	0,026	0,046	0,033	0,056	0,040	0,066	0,047			
K.1.1	200	2,0	0,031	0,022	0,039	0,028	0,048	0,034	0,056	0,040	0,074	0,053	0,091	0,065	0,108	0,077	0,126	0,090			
K.1.2	180	2,0	0,031	0,022	0,039	0,028	0,048	0,034	0,056	0,040	0,074	0,053	0,091	0,065	0,108	0,077	0,126	0,090			
K.2.1	190	2,0	0,026	0,019	0,034	0,024	0,042	0,030	0,049	0,035	0,066	0,047	0,081	0,058	0,098	0,070	0,113	0,081			
K.2.2	170	2,0	0,026	0,019	0,034	0,024	0,042	0,030	0,049	0,035	0,066	0,047	0,081	0,058	0,098	0,070	0,113	0,081			
K.3.1	180	2,0	0,026	0,019	0,034	0,024	0,042	0,030	0,049	0,035	0,066	0,047	0,081	0,058	0,098	0,070	0,113	0,081			
K.3.2	160	2,0	0,026	0,019	0,034	0,024	0,042	0,030	0,049	0,035	0,066	0,047	0,081	0,058	0,098	0,070	0,113	0,081			
N.1.1																					
N.1.2																					
N.2.1																					
N.2.2																					
N.2.3																					
N.3.1	350	2,0	0,031	0,022	0,039	0,028	0,048	0,034	0,056	0,040	0,074	0,053	0,091	0,065	0,108	0,077	0,126	0,090			
N.3.2	350	2,0	0,031	0,022	0,039	0,028	0,048	0,034	0,056	0,040	0,074	0,053	0,091	0,065	0,108	0,077	0,126	0,090			
N.3.3	280	2,0	0,031	0,022	0,039	0,028	0,048	0,034	0,056	0,040	0,074	0,053	0,091	0,065	0,108	0,077	0,126	0,090			
N.4.1																					
S.1.1																					
S.1.2																					
S.2.1																					
S.2.2																					
S.2.3																					
S.3.1																					
S.3.2																					
S.3.3																					
H.1.1																					
H.1.2																					
H.1.3																					
H.1.4																					
H.2.1																					
H.3.1																					
O.1.1																					
O.1.2																					
O.2.1																					
O.2.2																					
O.3.1																					

1 Evitez si possible une utilisation avec un $a_e < 0,3 \times DC$!

1 Angle de plongée pour ramping ou interpolation circulaire = 3°

Index	50 976 ..., 50 977 ...						● 1er choix		
	\emptyset DC (mm) =						○ Utilisation possible		
	16		18		20		Emulsion	Air	MMS
	a_e 0,3–0,4 x DC	a_e 0,6–1,0 x DC	a_e 0,3–0,4 x DC	a_e 0,6–1,0 x DC	a_e 0,3–0,4 x DC	a_e 0,6–1,0 x DC			
	f_z (mm/dt)								
P.1.1	0,121	0,087	0,129	0,092	0,137	0,098	●	○	○
P.1.2	0,121	0,087	0,129	0,092	0,137	0,098	●	○	○
P.1.3	0,121	0,087	0,129	0,092	0,137	0,098	●	○	○
P.1.4	0,121	0,087	0,129	0,092	0,137	0,098	●	○	○
P.1.5	0,121	0,087	0,129	0,092	0,137	0,098	●	○	○
P.2.1	0,121	0,087	0,129	0,092	0,137	0,098	●	○	○
P.2.2	0,105	0,075	0,112	0,080	0,119	0,085	●	○	○
P.2.3	0,121	0,087	0,129	0,092	0,137	0,098	●	○	○
P.2.4	0,105	0,075	0,112	0,080	0,119	0,085	●	○	○
P.3.1	0,121	0,087	0,129	0,092	0,137	0,098	●	○	○
P.3.2	0,121	0,087	0,129	0,092	0,137	0,098	●	○	○
P.3.3	0,121	0,087	0,129	0,092	0,137	0,098	●	○	○
P.4.1	0,071	0,051	0,076	0,054	0,081	0,058	●		
P.4.2	0,071	0,051	0,076	0,054	0,081	0,058	●		
M.1.1	0,071	0,051	0,076	0,054	0,081	0,058	●		
M.2.1	0,071	0,051	0,076	0,054	0,081	0,058	●		
M.3.1	0,071	0,051	0,076	0,054	0,081	0,058	●		
K.1.1	0,134	0,096	0,143	0,102	0,151	0,108	●	●	●
K.1.2	0,134	0,096	0,143	0,102	0,151	0,108	●	●	●
K.2.1	0,121	0,087	0,129	0,092	0,137	0,098	●	●	●
K.2.2	0,121	0,087	0,129	0,092	0,137	0,098	●	●	●
K.3.1	0,121	0,087	0,129	0,092	0,137	0,098	●	●	●
K.3.2	0,121	0,087	0,129	0,092	0,137	0,098	●	●	●
N.1.1									
N.1.2									
N.2.1									
N.2.2									
N.2.3									
N.3.1	0,134	0,096	0,143	0,102	0,151	0,108	●	○	○
N.3.2	0,134	0,096	0,143	0,102	0,151	0,108	●	○	○
N.3.3	0,134	0,096	0,143	0,102	0,151	0,108	●	○	○
N.4.1									
S.1.1									
S.1.2									
S.2.1									
S.2.2									
S.2.3									
S.3.1									
S.3.2									
S.3.3									
H.1.1									
H.1.2									
H.1.3									
H.1.4									
H.2.1									
H.3.1									
O.1.1									
O.1.2									
O.2.1									
O.2.2									
O.3.1									

Conditions de coupe – SilverLine

Index	Type extra long	50 970 ..., 50 971 ..., 50 974 ..., 50 975 ...																			
		\emptyset DC (mm) =																			
		3			4			5			6			8			10				
		a_s 0,1–0,2 x DC	a_s 0,3–0,4 x DC	a_s 0,6–1,0 x DC	a_s 0,1–0,2 x DC	a_s 0,3–0,4 x DC	a_s 0,6–1,0 x DC	a_s 0,1–0,2 x DC	a_s 0,3–0,4 x DC	a_s 0,6–1,0 x DC	a_s 0,1–0,2 x DC	a_s 0,3–0,4 x DC	a_s 0,6–1,0 x DC	a_s 0,1–0,2 x DC	a_s 0,3–0,4 x DC	a_s 0,6–1,0 x DC	a_s 0,1–0,2 x DC	a_s 0,3–0,4 x DC	a_s 0,6–1,0 x DC	f_z (mm/dt)	
P.1.1	160	1,0	0,027	0,021	0,015	0,036	0,028	0,020	0,050	0,037	0,025	0,060	0,045	0,030	0,080	0,060	0,040	0,100	0,075	0,050	
P.1.2	140	1,0	0,027	0,021	0,015	0,036	0,028	0,020	0,050	0,037	0,025	0,060	0,045	0,030	0,080	0,060	0,040	0,100	0,075	0,050	
P.1.3	140	1,0	0,027	0,021	0,015	0,036	0,028	0,020	0,050	0,037	0,025	0,060	0,045	0,030	0,080	0,060	0,040	0,100	0,075	0,050	
P.1.4	140	1,0	0,027	0,021	0,015	0,036	0,028	0,020	0,050	0,037	0,025	0,060	0,045	0,030	0,080	0,060	0,040	0,100	0,075	0,050	
P.1.5	140	1,0	0,027	0,021	0,015	0,036	0,028	0,020	0,050	0,037	0,025	0,060	0,045	0,030	0,080	0,060	0,040	0,100	0,075	0,050	
P.2.1	140	1,0	0,027	0,021	0,015	0,036	0,028	0,020	0,050	0,037	0,025	0,060	0,045	0,030	0,080	0,060	0,040	0,100	0,075	0,050	
P.2.2	140	1,0	0,027	0,021	0,015	0,036	0,028	0,020	0,050	0,037	0,025	0,060	0,045	0,030	0,080	0,060	0,040	0,100	0,075	0,050	
P.2.3	120	1,0	0,027	0,021	0,015	0,036	0,028	0,020	0,050	0,037	0,025	0,060	0,045	0,030	0,080	0,060	0,040	0,100	0,075	0,050	
P.2.4	120	1,0	0,027	0,021	0,015	0,036	0,028	0,020	0,050	0,037	0,025	0,060	0,045	0,030	0,080	0,060	0,040	0,100	0,075	0,050	
P.3.1	140	1,0	0,027	0,021	0,015	0,036	0,028	0,020	0,050	0,037	0,025	0,060	0,045	0,030	0,080	0,060	0,040	0,100	0,075	0,050	
P.3.2	80	1,0	0,027	0,021	0,015	0,036	0,028	0,020	0,050	0,037	0,025	0,060	0,045	0,030	0,080	0,060	0,040	0,100	0,075	0,050	
P.3.3	80	1,0	0,027	0,021	0,015	0,036	0,028	0,020	0,050	0,037	0,025	0,060	0,045	0,030	0,080	0,060	0,040	0,100	0,075	0,050	
P.4.1	80	0,5	0,016	0,012	0,009	0,022	0,017	0,012	0,030	0,022	0,015	0,038	0,028	0,019	0,050	0,037	0,025	0,064	0,048	0,032	
P.4.2	80	0,5	0,016	0,012	0,009	0,022	0,017	0,012	0,030	0,022	0,015	0,038	0,028	0,019	0,050	0,037	0,025	0,064	0,048	0,032	
M.1.1	80	0,5	0,016	0,012	0,009	0,022	0,017	0,012	0,030	0,022	0,015	0,038	0,028	0,019	0,050	0,037	0,025	0,064	0,048	0,032	
M.2.1	70	0,5	0,016	0,012	0,009	0,022	0,017	0,012	0,030	0,022	0,015	0,038	0,028	0,019	0,050	0,037	0,025	0,064	0,048	0,032	
M.3.1	80	0,5	0,016	0,012	0,009	0,022	0,017	0,012	0,030	0,022	0,015	0,038	0,028	0,019	0,050	0,037	0,025	0,064	0,048	0,032	
K.1.1	150	1,0	0,040	0,031	0,022	0,054	0,042	0,030	0,070	0,052	0,035	0,080	0,060	0,040	0,100	0,075	0,050	0,110	0,082	0,055	
K.1.2	140	1,0	0,040	0,031	0,022	0,054	0,042	0,030	0,070	0,052	0,035	0,080	0,060	0,040	0,100	0,075	0,050	0,110	0,082	0,055	
K.2.1	150	1,0	0,027	0,021	0,015	0,036	0,028	0,020	0,050	0,037	0,025	0,060	0,045	0,030	0,080	0,060	0,040	0,090	0,067	0,045	
K.2.2	140	1,0	0,027	0,021	0,015	0,036	0,028	0,020	0,050	0,037	0,025	0,060	0,045	0,030	0,080	0,060	0,040	0,090	0,067	0,045	
K.3.1	140	1,0	0,027	0,021	0,015	0,036	0,028	0,020	0,050	0,037	0,025	0,060	0,045	0,030	0,080	0,060	0,040	0,090	0,067	0,045	
K.3.2	140	1,0	0,027	0,021	0,015	0,036	0,028	0,020	0,050	0,037	0,025	0,060	0,045	0,030	0,080	0,060	0,040	0,090	0,067	0,045	
N.1.1																					
N.1.2																					
N.2.1																					
N.2.2																					
N.2.3																					
N.3.1	220	1,0	0,034	0,026	0,019	0,045	0,035	0,025	0,054	0,042	0,030	0,063	0,049	0,035	0,081	0,062	0,045	0,102	0,079	0,057	
N.3.2	180	1,0	0,034	0,026	0,019	0,045	0,035	0,025	0,054	0,042	0,030	0,063	0,049	0,035	0,081	0,062	0,045	0,102	0,079	0,057	
N.3.3	180	1,0	0,034	0,026	0,019	0,045	0,035	0,025	0,054	0,042	0,030	0,063	0,049	0,035	0,081	0,062	0,045	0,102	0,079	0,057	
N.4.1																					
S.1.1	25	0,5	0,013	0,010	0,007	0,018	0,014	0,010	0,022	0,017	0,012	0,027	0,021	0,015	0,036	0,028	0,020	0,045	0,035	0,025	
S.1.2	25	0,5	0,013	0,010	0,007	0,018	0,014	0,010	0,022	0,017	0,012	0,027	0,021	0,015	0,036	0,028	0,020	0,045	0,035	0,025	
S.2.1	25	0,5	0,013	0,010	0,007	0,018	0,014	0,010	0,022	0,017	0,012	0,027	0,021	0,015	0,036	0,028	0,020	0,045	0,035	0,025	
S.2.2	25	0,5	0,013	0,010	0,007	0,018	0,014	0,010	0,022	0,017	0,012	0,027	0,021	0,015	0,036	0,028	0,020	0,045	0,035	0,025	
S.2.3	25	0,5	0,013	0,010	0,007	0,018	0,014	0,010	0,022	0,017	0,012	0,027	0,021	0,015	0,036	0,028	0,020	0,045	0,035	0,025	
S.3.1	80	0,5	0,027	0,021	0,015	0,036	0,028	0,020	0,045	0,035	0,025	0,054	0,042	0,030	0,072	0,055	0,040	0,090	0,069	0,050	
S.3.2	70	0,5	0,020	0,015	0,011	0,027	0,021	0,015	0,032	0,025	0,018	0,040	0,031	0,022	0,054	0,042	0,030	0,072	0,055	0,040	
S.3.3																					
H.1.1																					
H.1.2																					
H.1.3																					
H.1.4																					
H.2.1																					
H.3.1																					
O.1.1																					
O.1.2																					
O.2.1																					
O.2.2																					
O.3.1																					



Index	50 970 ..., 50 971 ..., 50 974 ..., 50 975 ...																● 1er choix		
	\emptyset DC (mm) =																○ Utilisation possible		
	12			14			16			18			20			Emulsion	Air	MMS	
	a_e 0,1–0,2	a_e 0,3–0,4	a_e 0,6–1,0	a_e 0,1–0,2	a_e 0,3–0,4	a_e 0,6–1,0	a_e 0,1–0,2	a_e 0,3–0,4	a_e 0,6–1,0	a_e 0,1–0,2	a_e 0,3–0,4	a_e 0,6–1,0	a_e 0,1–0,2	a_e 0,3–0,4	a_e 0,6–1,0	x DC	x DC	x DC	
P.1.1	0,120	0,089	0,060	0,128	0,099	0,070	0,135	0,103	0,080	0,142	0,116	0,090	0,158	0,129	0,100	●	○	○	
P.1.2	0,120	0,089	0,060	0,128	0,099	0,070	0,135	0,103	0,080	0,142	0,116	0,090	0,158	0,129	0,100	●	○	○	
P.1.3	0,120	0,089	0,060	0,128	0,099	0,070	0,135	0,103	0,080	0,142	0,116	0,090	0,158	0,129	0,100	●	○	○	
P.1.4	0,120	0,089	0,060	0,128	0,099	0,070	0,135	0,103	0,080	0,142	0,116	0,090	0,158	0,129	0,100	●	○	○	
P.1.5	0,120	0,089	0,060	0,128	0,099	0,070	0,135	0,103	0,080	0,142	0,116	0,090	0,158	0,129	0,100	●	○	○	
P.2.1	0,120	0,089	0,060	0,128	0,099	0,070	0,135	0,103	0,080	0,142	0,116	0,090	0,158	0,129	0,100	●	○	○	
P.2.2	0,120	0,089	0,060	0,128	0,099	0,070	0,135	0,103	0,080	0,142	0,116	0,090	0,158	0,129	0,100	●	○	○	
P.2.3	0,120	0,089	0,060	0,128	0,099	0,070	0,135	0,103	0,080	0,142	0,116	0,090	0,158	0,129	0,100	●	○	○	
P.2.4	0,120	0,089	0,060	0,128	0,099	0,070	0,135	0,103	0,080	0,142	0,116	0,090	0,158	0,129	0,100	●	○	○	
P.3.1	0,120	0,089	0,060	0,128	0,099	0,070	0,135	0,103	0,080	0,142	0,116	0,090	0,158	0,129	0,100	●	○	○	
P.3.2	0,120	0,089	0,060	0,128	0,099	0,070	0,135	0,103	0,080	0,142	0,116	0,090	0,158	0,129	0,100	●	○	○	
P.3.3	0,120	0,089	0,060	0,128	0,099	0,070	0,135	0,103	0,080	0,142	0,116	0,090	0,158	0,129	0,100	●	○	○	
P.4.1	0,080	0,060	0,040	0,082	0,064	0,045	0,085	0,065	0,050	0,095	0,077	0,060	0,111	0,090	0,070	●			
P.4.2	0,080	0,060	0,040	0,082	0,064	0,045	0,085	0,065	0,050	0,095	0,077	0,060	0,111	0,090	0,070	●			
M.1.1	0,080	0,060	0,040	0,082	0,064	0,045	0,085	0,065	0,050	0,095	0,077	0,060	0,111	0,090	0,070	●			
M.2.1	0,080	0,060	0,040	0,082	0,064	0,045	0,085	0,065	0,050	0,095	0,077	0,060	0,111	0,090	0,070	●			
M.3.1	0,080	0,060	0,040	0,082	0,064	0,045	0,085	0,065	0,050	0,095	0,077	0,060	0,111	0,090	0,070	●			
K.1.1	0,120	0,089	0,060	0,128	0,099	0,070	0,135	0,103	0,080	0,142	0,116	0,090	0,158	0,129	0,100	●	●	●	
K.1.2	0,120	0,089	0,060	0,128	0,099	0,070	0,135	0,103	0,080	0,142	0,116	0,090	0,158	0,129	0,100	●	●	●	
K.2.1	0,100	0,075	0,050	0,100	0,078	0,055	0,101	0,077	0,060	0,103	0,084	0,065	0,111	0,090	0,070	●	●	●	
K.2.2	0,100	0,075	0,050	0,100	0,078	0,055	0,101	0,077	0,060	0,103	0,084	0,065	0,111	0,090	0,070	●	●	●	
K.3.1	0,100	0,075	0,050	0,100	0,078	0,055	0,101	0,077	0,060	0,103	0,084	0,065	0,111	0,090	0,070	●	●	●	
K.3.2	0,100	0,075	0,050	0,100	0,078	0,055	0,101	0,077	0,060	0,103	0,084	0,065	0,111	0,090	0,070	●	●	●	
N.1.1																			
N.1.2																			
N.2.1																			
N.2.2																			
N.2.3																			
N.3.1	0,126	0,097	0,070	0,153	0,118	0,085	0,180	0,139	0,100	0,198	0,153	0,110	0,216	0,166	0,120	●			
N.3.2	0,126	0,097	0,070	0,153	0,118	0,085	0,180	0,139	0,100	0,198	0,153	0,110	0,216	0,166	0,120	●			
N.3.3	0,126	0,097	0,070	0,153	0,118	0,085	0,180	0,139	0,100	0,198	0,153	0,110	0,216	0,166	0,120	●			
N.4.1																			
S.1.1	0,054	0,042	0,030	0,063	0,049	0,035	0,072	0,055	0,040	0,081	0,062	0,045	0,090	0,069	0,050	●			
S.1.2	0,054	0,042	0,030	0,063	0,049	0,035	0,072	0,055	0,040	0,081	0,062	0,045	0,090	0,069	0,050	●			
S.2.1	0,054	0,042	0,030	0,063	0,049	0,035	0,072	0,055	0,040	0,081	0,062	0,045	0,090	0,069	0,050	●			
S.2.2	0,054	0,042	0,030	0,063	0,049	0,035	0,072	0,055	0,040	0,081	0,062	0,045	0,090	0,069	0,050	●			
S.2.3	0,054	0,042	0,030	0,063	0,049	0,035	0,072	0,055	0,040	0,081	0,062	0,045	0,090	0,069	0,050	●			
S.3.1	0,108	0,083	0,060	0,126	0,097	0,070	0,144	0,111	0,080	0,162	0,125	0,090	0,180	0,139	0,100	●			
S.3.2	0,090	0,069	0,050	0,099	0,076	0,055	0,108	0,083	0,060	0,126	0,097	0,070	0,144	0,111	0,080	●			
S.3.3																●			
H.1.1																			
H.1.2																			
H.1.3																			
H.1.4																			
H.2.1																			
H.3.1																			
O.1.1																			
O.1.2																			
O.2.1																			
O.2.2																			
O.3.1																			

Conditions de coupe – SilverLine – Fraises d'ébauche-finition et fraises d'ébauche

Index	Type court	Type long	a_p max. x DC	50 969 ..., 50 970..., 50 971 ..., 50 972 ..., 50 973 ..., 50 974 ..., 50 975 ..., 50 978 ..., 50 979 ...																			
				\emptyset DC (mm) =																			
				3,0				3,5–4,0				4,5–5,0				5,5–6,0				7,0–8,0			
				a_s 0,1–0,2 x DC	a_s 0,3–0,4 x DC	a_s 0,6–1,0 x DC	a_s 0,1–0,2 x DC	a_s 0,3–0,4 x DC	a_s 0,6–1,0 x DC	a_s 0,1–0,2 x DC	a_s 0,3–0,4 x DC	a_s 0,6–1,0 x DC	a_s 0,1–0,2 x DC	a_s 0,3–0,4 x DC	a_s 0,6–1,0 x DC	a_s 0,1–0,2 x DC	a_s 0,3–0,4 x DC	a_s 0,6–1,0 x DC	a_s 0,1–0,2 x DC	a_s 0,3–0,4 x DC	a_s 0,6–1,0 x DC		
P.1.1	253	230	1,0*	0,037	0,030	0,019	0,048	0,038	0,024	0,060	0,048	0,030	0,070	0,056	0,035	0,094	0,075	0,047	0,116	0,093	0,058		
P.1.2	242	220	1,0*	0,037	0,030	0,019	0,048	0,038	0,024	0,060	0,048	0,030	0,070	0,056	0,035	0,094	0,075	0,047	0,116	0,093	0,058		
P.1.3	242	220	1,0*	0,037	0,030	0,019	0,048	0,038	0,024	0,060	0,048	0,030	0,070	0,056	0,035	0,094	0,075	0,047	0,116	0,093	0,058		
P.1.4	230	210	1,0*	0,037	0,030	0,019	0,048	0,038	0,024	0,060	0,048	0,030	0,070	0,056	0,035	0,094	0,075	0,047	0,116	0,093	0,058		
P.1.5	230	210	1,0*	0,037	0,030	0,019	0,048	0,038	0,024	0,060	0,048	0,030	0,070	0,056	0,035	0,094	0,075	0,047	0,116	0,093	0,058		
P.2.1	242	220	1,0*	0,037	0,030	0,019	0,048	0,038	0,024	0,060	0,048	0,030	0,070	0,056	0,035	0,094	0,075	0,047	0,116	0,093	0,058		
P.2.2	230	210	1,0*	0,028	0,022	0,014	0,038	0,030	0,019	0,049	0,039	0,025	0,060	0,048	0,030	0,080	0,064	0,040	0,100	0,080	0,050		
P.2.3	220	200	1,0*	0,037	0,030	0,019	0,048	0,038	0,024	0,060	0,048	0,030	0,070	0,056	0,035	0,094	0,075	0,047	0,116	0,093	0,058		
P.2.4	210	190	1,0*	0,028	0,022	0,014	0,038	0,030	0,019	0,049	0,039	0,025	0,060	0,048	0,030	0,080	0,064	0,040	0,100	0,080	0,050		
P.3.1	220	200	1,0*	0,037	0,030	0,019	0,048	0,038	0,024	0,060	0,048	0,030	0,070	0,056	0,035	0,094	0,075	0,047	0,116	0,093	0,058		
P.3.2	210	190	1,0*	0,037	0,030	0,019	0,048	0,038	0,024	0,060	0,048	0,030	0,070	0,056	0,035	0,094	0,075	0,047	0,116	0,093	0,058		
P.3.3	176	160	1,0*	0,037	0,030	0,019	0,048	0,038	0,024	0,060	0,048	0,030	0,070	0,056	0,035	0,094	0,075	0,047	0,116	0,093	0,058		
P.4.1	120	110	1,0*	0,017	0,014	0,009	0,024	0,019	0,012	0,031	0,025	0,016	0,038	0,030	0,019	0,052	0,042	0,026	0,066	0,053	0,033		
P.4.2	100	90	1,0*	0,017	0,014	0,009	0,024	0,019	0,012	0,031	0,025	0,016	0,038	0,030	0,019	0,052	0,042	0,026	0,066	0,053	0,033		
M.1.1	120	110	1,0*	0,017	0,014	0,009	0,024	0,019	0,012	0,031	0,025	0,016	0,038	0,030	0,019	0,052	0,042	0,026	0,066	0,053	0,033		
M.2.1	120	110	1,0*	0,017	0,014	0,009	0,024	0,019	0,012	0,031	0,025	0,016	0,038	0,030	0,019	0,052	0,042	0,026	0,066	0,053	0,033		
M.3.1	120	110	1,0*	0,017	0,014	0,009	0,024	0,019	0,012	0,031	0,025	0,016	0,038	0,030	0,019	0,052	0,042	0,026	0,066	0,053	0,033		
K.1.1	242	220	1,0*	0,046	0,037	0,023	0,062	0,050	0,031	0,078	0,062	0,039	0,094	0,075	0,047	0,126	0,101	0,063	0,160	0,128	0,080		
K.1.2	220	200	1,0*	0,046	0,037	0,023	0,062	0,050	0,031	0,078	0,062	0,039	0,094	0,075	0,047	0,126	0,101	0,063	0,160	0,128	0,080		
K.2.1	230	210	1,0*	0,037	0,030	0,019	0,048	0,038	0,024	0,060	0,048	0,030	0,070	0,056	0,035	0,094	0,075	0,047	0,116	0,093	0,058		
K.2.2	210	190	1,0*	0,037	0,030	0,019	0,048	0,038	0,024	0,060	0,048	0,030	0,070	0,056	0,035	0,094	0,075	0,047	0,116	0,093	0,058		
K.3.1	220	200	1,0*	0,037	0,030	0,019	0,048	0,038	0,024	0,060	0,048	0,030	0,070	0,056	0,035	0,094	0,075	0,047	0,116	0,093	0,058		
K.3.2	200	180	1,0*	0,037	0,030	0,019	0,048	0,038	0,024	0,060	0,048	0,030	0,070	0,056	0,035	0,094	0,075	0,047	0,116	0,093	0,058		
N.1.1																							
N.1.2																							
N.2.1																							
N.2.2																							
N.2.3																							
N.3.1	385	350	1,0*	0,046	0,037	0,023	0,062	0,050	0,031	0,078	0,062	0,039	0,094	0,075	0,047	0,126	0,101	0,063	0,160	0,128	0,080		
N.3.2	308	350	1,0*	0,046	0,037	0,023	0,062	0,050	0,031	0,078	0,062	0,039	0,094	0,075	0,047	0,126	0,101	0,063	0,160	0,128	0,080		
N.3.3	308	280	1,0*	0,046	0,037	0,023	0,062	0,050	0,031	0,078	0,062	0,039	0,094	0,075	0,047	0,126	0,101	0,063	0,160	0,128	0,080		
N.4.1																							
S.1.1	35	30	0,5	0,015	0,012	0,008	0,020	0,016	0,010	0,025	0,020	0,013	0,030	0,024	0,015	0,040	0,032	0,020	0,050	0,040	0,025		
S.1.2	35	30	0,5	0,015	0,012	0,008	0,020	0,016	0,010	0,025	0,020	0,013	0,030	0,024	0,015	0,040	0,032	0,020	0,050	0,040	0,025		
S.2.1	35	30	0,5	0,015	0,012	0,008	0,020	0,016	0,010	0,025	0,020	0,013	0,030	0,024	0,015	0,040	0,032	0,020	0,050	0,040	0,025		
S.2.2	35	30	0,5	0,015	0,012	0,008	0,020	0,016	0,010	0,025	0,020	0,013	0,030	0,024	0,015	0,040	0,032	0,020	0,050	0,040	0,025		
S.2.3	35	30	0,5	0,015	0,012	0,008	0,020	0,016	0,010	0,025	0,020	0,013	0,030	0,024	0,015	0,040	0,032	0,020	0,050	0,040	0,025		
S.3.1	110	90	0,5	0,028	0,022	0,014	0,038	0,030	0,019	0,049	0,039	0,025	0,060	0,048	0,030	0,080	0,064	0,040	0,100	0,080	0,050		
S.3.2	70	50	0,5	0,017	0,014	0,009	0,024	0,019	0,012	0,031	0,025	0,016	0,038	0,030	0,019	0,052	0,042	0,026	0,066	0,053	0,033		
S.3.3																							
H.1.1																							
H.1.2																							
H.1.3																							
H.1.4																							
H.2.1																							
H.3.1																							
O.1.1																							
O.1.2																							
O.2.1																							
O.2.2																							
O.3.1																							

* = Type longue : Pour un a_p max. de 1,5 x DC, veuillez multiplier l'avance à la dent f_z par un facteur de 0,75

Angle de plongée pour ramping ou interpolation circulaire = 3°

Index	50 969 ..., 50 970 ..., 50 971 ..., 50 972 ..., 50 973 ..., 50 974 ..., 50 975 ..., 50 978 ..., 50 979 ...															● 1er choix		
	\emptyset DC (mm) =															○ Utilisation possible		
	11,0–12,0			14,0			15,0–16,0			17,0→18,0			19,0–20,0			Emulsion	Air	MMS
	a_e 0,1–0,2	a_e 0,3–0,4	a_e 0,6–1,0	a_e 0,1–0,2	a_e 0,3–0,4	a_e 0,6–1,0	a_e 0,1–0,2	a_e 0,3–0,4	a_e 0,6–1,0	a_e 0,1–0,2	a_e 0,3–0,4	a_e 0,6–1,0	a_e 0,1–0,2	a_e 0,3–0,4	a_e 0,6–1,0			
	f_z (mm/dt)																	
P.1.1	0,140	0,112	0,070	0,162	0,130	0,081	0,173	0,138	0,087	0,184	0,147	0,092	0,196	0,157	0,098	●	○	○
P.1.2	0,140	0,112	0,070	0,162	0,130	0,081	0,173	0,138	0,087	0,184	0,147	0,092	0,196	0,157	0,098	●	○	○
P.1.3	0,140	0,112	0,070	0,162	0,130	0,081	0,173	0,138	0,087	0,184	0,147	0,092	0,196	0,157	0,098	●	○	○
P.1.4	0,140	0,112	0,070	0,162	0,130	0,081	0,173	0,138	0,087	0,184	0,147	0,092	0,196	0,157	0,098	●	○	○
P.1.5	0,140	0,112	0,070	0,162	0,130	0,081	0,173	0,138	0,087	0,184	0,147	0,092	0,196	0,157	0,098	●	○	○
P.2.1	0,140	0,112	0,070	0,162	0,130	0,081	0,173	0,138	0,087	0,184	0,147	0,092	0,196	0,157	0,098	●	○	○
P.2.2	0,120	0,096	0,060	0,140	0,112	0,070	0,150	0,120	0,075	0,160	0,128	0,080	0,170	0,136	0,085	●	○	○
P.2.3	0,140	0,112	0,070	0,162	0,130	0,081	0,173	0,138	0,087	0,184	0,147	0,092	0,196	0,157	0,098	●	○	○
P.2.4	0,120	0,096	0,060	0,140	0,112	0,070	0,150	0,120	0,075	0,160	0,128	0,080	0,170	0,136	0,085	●	○	○
P.3.1	0,140	0,112	0,070	0,162	0,130	0,081	0,173	0,138	0,087	0,184	0,147	0,092	0,196	0,157	0,098	●	○	○
P.3.2	0,140	0,112	0,070	0,162	0,130	0,081	0,173	0,138	0,087	0,184	0,147	0,092	0,196	0,157	0,098	●	○	○
P.3.3	0,140	0,112	0,070	0,162	0,130	0,081	0,173	0,138	0,087	0,184	0,147	0,092	0,196	0,157	0,098	●	○	○
P.4.1	0,080	0,064	0,040	0,094	0,075	0,047	0,101	0,081	0,051	0,108	0,086	0,054	0,115	0,092	0,058	●		
P.4.2	0,080	0,064	0,040	0,094	0,075	0,047	0,101	0,081	0,051	0,108	0,086	0,054	0,115	0,092	0,058	●		
M.1.1	0,080	0,064	0,040	0,094	0,075	0,047	0,101	0,081	0,051	0,108	0,086	0,054	0,115	0,092	0,058	●		
M.2.1	0,080	0,064	0,040	0,094	0,075	0,047	0,101	0,081	0,051	0,108	0,086	0,054	0,115	0,092	0,058	●		
M.3.1	0,080	0,064	0,040	0,094	0,075	0,047	0,101	0,081	0,051	0,108	0,086	0,054	0,115	0,092	0,058	●		
K.1.1	0,192	0,154	0,096	0,224	0,179	0,112	0,240	0,192	0,120	0,258	0,206	0,129	0,274	0,219	0,137	●	●	●
K.1.2	0,192	0,154	0,096	0,224	0,179	0,112	0,240	0,192	0,120	0,258	0,206	0,129	0,274	0,219	0,137	●	●	●
K.2.1	0,140	0,112	0,070	0,162	0,130	0,081	0,173	0,138	0,087	0,184	0,147	0,092	0,196	0,157	0,098	●	●	●
K.2.2	0,140	0,112	0,070	0,162	0,130	0,081	0,173	0,138	0,087	0,184	0,147	0,092	0,196	0,157	0,098	●	●	●
K.3.1	0,140	0,112	0,070	0,162	0,130	0,081	0,173	0,138	0,087	0,184	0,147	0,092	0,196	0,157	0,098	●	●	●
K.3.2	0,140	0,112	0,070	0,162	0,130	0,081	0,173	0,138	0,087	0,184	0,147	0,092	0,196	0,157	0,098	●	●	●
N.1.1																		
N.1.2																		
N.2.1																		
N.2.2																		
N.2.3																		
N.3.1	0,192	0,154	0,096	0,224	0,179	0,112	0,240	0,192	0,120	0,258	0,206	0,129	0,274	0,219	0,137	●		
N.3.2	0,192	0,154	0,096	0,224	0,179	0,112	0,240	0,192	0,120	0,258	0,206	0,129	0,274	0,219	0,137	●		
N.3.3	0,192	0,154	0,096	0,224	0,179	0,112	0,240	0,192	0,120	0,258	0,206	0,129	0,274	0,219	0,137	●		
N.4.1																		
S.1.1	0,060	0,048	0,030	0,070	0,056	0,035	0,075	0,060	0,038	0,079	0,063	0,040	0,084	0,067	0,042	●		
S.1.2	0,060	0,048	0,030	0,070	0,056	0,035	0,075	0,060	0,038	0,079	0,063	0,040	0,084	0,067	0,042	●		
S.2.1	0,060	0,048	0,030	0,070	0,056	0,035	0,075	0,060	0,038	0,079	0,063	0,040	0,084	0,067	0,042	●		
S.2.2	0,060	0,048	0,030	0,070	0,056	0,035	0,075	0,060	0,038	0,079	0,063	0,040	0,084	0,067	0,042	●		
S.2.3	0,060	0,048	0,030	0,070	0,056	0,035	0,075	0,060	0,038	0,079	0,063	0,040	0,084	0,067	0,042	●		
S.3.1	0,120	0,096	0,060	0,140	0,112	0,070	0,150	0,120	0,075	0,160	0,128	0,080	0,170	0,136	0,085	●		
S.3.2	0,080	0,064	0,040	0,094	0,075	0,047	0,101	0,081	0,051	0,108	0,086	0,054	0,115	0,092	0,058	●		
S.3.3																		
H.1.1																		
H.1.2																		
H.1.3																		
H.1.4																		
H.2.1																		
H.3.1																		
O.1.1																		
O.1.2																		
O.2.1																		
O.2.2																		
O.3.1																		

Conditions de coupe – SilverLine –

Outils de grande précision géométrique

Index	Type long	Type extra long	a_p max. x DC	50 991 ...								● 1er choix		
				\emptyset DC (mm) = a_e 0,05 x DC								Emulsion	Air	MMS
				6	8	10	12	16	20	25	f_z (mm/dt)			
P.1.1	260	180	2,0	0,030	0,040	0,050	0,060	0,075	0,085	0,098	●			
P.1.2	250	175	2,0	0,030	0,040	0,050	0,060	0,075	0,085	0,098	●			
P.1.3	250	175	2,0	0,030	0,040	0,050	0,060	0,075	0,085	0,098	●			
P.1.4	230	160	2,0	0,030	0,040	0,050	0,060	0,075	0,085	0,098	●			
P.1.5	230	160	2,0	0,030	0,040	0,050	0,060	0,075	0,085	0,098	●			
P.2.1	250	175	2,0	0,030	0,040	0,050	0,060	0,075	0,085	0,098	●			
P.2.2	230	160	2,0	0,023	0,031	0,039	0,047	0,059	0,067	0,077	●			
P.2.3	220	155	2,0	0,030	0,040	0,050	0,060	0,075	0,085	0,098	●			
P.2.4	210	145	2,0	0,023	0,031	0,039	0,047	0,059	0,067	0,077	●			
P.3.1	220	155	2,0	0,030	0,040	0,050	0,060	0,075	0,085	0,098	●			
P.3.2	210	145	2,0	0,030	0,040	0,050	0,060	0,075	0,085	0,098	●			
P.3.3	175	120	2,0	0,030	0,040	0,050	0,060	0,075	0,085	0,098	●			
P.4.1	120	80	2,0	0,019	0,026	0,033	0,040	0,051	0,058	0,066	●			
P.4.2	100	70	2,0	0,019	0,026	0,033	0,040	0,051	0,058	0,066	●			
M.1.1	120	80	2,0	0,019	0,026	0,033	0,040	0,051	0,058	0,066	●			
M.2.1	120	80	2,0	0,019	0,026	0,033	0,040	0,051	0,058	0,066	●			
M.3.1	120	80	2,0	0,019	0,026	0,033	0,040	0,051	0,058	0,066	●			
K.1.1	250	175	2,0	0,035	0,047	0,058	0,070	0,087	0,098	0,112	●			
K.1.2	220	155	2,0	0,035	0,047	0,058	0,070	0,087	0,098	0,112	●			
K.2.1	230	160	2,0	0,030	0,040	0,050	0,060	0,075	0,085	0,098	●			
K.2.2	210	145	2,0	0,030	0,040	0,050	0,060	0,075	0,085	0,098	●			
K.3.1	220	155	2,0	0,030	0,040	0,050	0,060	0,075	0,085	0,098	●			
K.3.2	200	140	2,0	0,030	0,040	0,050	0,060	0,075	0,085	0,098	●			
N.1.1														
N.1.2														
N.2.1														
N.2.2														
N.2.3														
N.3.1	430	300	2,0	0,035	0,047	0,058	0,070	0,087	0,098	0,112	●			
N.3.2	430	300	2,0	0,035	0,047	0,058	0,070	0,087	0,098	0,112	●			
N.3.3	350	245	2,0	0,035	0,047	0,058	0,070	0,087	0,098	0,112	●			
N.4.1														
S.1.1	40	30	2,0	0,015	0,020	0,025	0,030	0,038	0,042	0,048	●			
S.1.2	40	30	2,0	0,015	0,020	0,025	0,030	0,038	0,042	0,048	●			
S.2.1	40	30	2,0	0,015	0,020	0,025	0,030	0,038	0,042	0,048	●			
S.2.2	40	30	2,0	0,015	0,020	0,025	0,030	0,038	0,042	0,048	●			
S.2.3	40	30	2,0	0,015	0,020	0,025	0,030	0,038	0,042	0,048	●			
S.3.1	200	140	2,0	0,030	0,040	0,050	0,060	0,075	0,085	0,098	●			
S.3.2	125	85	2,0	0,019	0,026	0,033	0,040	0,051	0,058	0,066	●			
S.3.3														
H.1.1														
H.1.2														
H.1.3														
H.1.4														
H.2.1														
H.3.1														
O.1.1														
O.1.2														
O.2.1														
O.2.2														
O.3.1														



Angle de plongée pour ramping ou interpolation circulaire = 1°

Conditions de coupe – SilverLine – 50 990 ... – Finition

Index	Type long	50 990 ...										● 1er choix			○ Utilisation possible					
		Ø DC (mm) =										Emulsion	Air	MMS						
		4	5	6	8	10	12	16	20	a_e 0,05 $\times DC$	f _t (mm/dt)									
v _c (m/min)	a _p max. x DC																			
P.1.1	195	0,08	0,019	0,025	0,030	0,040	0,050	0,060	0,075	0,085	●	○	○							
P.1.2	165	0,08	0,018	0,023	0,027	0,036	0,045	0,054	0,068	0,077	●	○	○							
P.1.3	165	0,08	0,018	0,023	0,027	0,036	0,045	0,054	0,068	0,077	●	○	○							
P.1.4	145	0,08	0,018	0,023	0,027	0,036	0,045	0,054	0,068	0,077	●	○	○							
P.1.5	145	0,08	0,018	0,023	0,027	0,036	0,045	0,054	0,068	0,077	●	○	○							
P.2.1	165	0,08	0,018	0,023	0,027	0,036	0,045	0,054	0,068	0,077	●	○	○							
P.2.2	130	0,08	0,018	0,023	0,027	0,036	0,045	0,054	0,068	0,077	●	○	○							
P.2.3	130	0,08	0,018	0,023	0,027	0,036	0,045	0,054	0,068	0,077	●	○	○							
P.2.4	100	0,08	0,018	0,023	0,027	0,036	0,045	0,054	0,068	0,077	●	○	○							
P.3.1																				
P.3.2																				
P.3.3																				
P.4.1	90	0,08	0,011	0,014	0,017	0,023	0,029	0,035	0,044	0,050	●									
P.4.2	75	0,08	0,011	0,014	0,017	0,023	0,029	0,035	0,044	0,050	●									
M.1.1	75	0,08	0,011	0,014	0,017	0,023	0,029	0,035	0,044	0,050	●									
M.2.1	90	0,08	0,011	0,014	0,017	0,023	0,029	0,035	0,044	0,050	●									
M.3.1	90	0,08	0,011	0,014	0,017	0,023	0,029	0,035	0,044	0,050	●									
K.1.1	235	0,08	0,028	0,034	0,040	0,053	0,065	0,077	0,096	0,108	●									
K.1.2	220	0,08	0,028	0,034	0,040	0,053	0,065	0,077	0,096	0,108	●									
K.2.1	235	0,08	0,028	0,033	0,039	0,050	0,061	0,072	0,089	0,100	●									
K.2.2	220	0,08	0,028	0,033	0,039	0,050	0,061	0,072	0,089	0,100	●									
K.3.1	235	0,08	0,028	0,034	0,040	0,053	0,065	0,077	0,096	0,108	●									
K.3.2	220	0,08	0,028	0,034	0,040	0,053	0,065	0,077	0,096	0,108	●									
N.1.1																				
N.1.2																				
N.2.1																				
N.2.2																				
N.2.3																				
N.3.1	360	0,08	0,028	0,034	0,040	0,053	0,065	0,077	0,096	0,108	●	○	○							
N.3.2	360	0,08	0,028	0,034	0,040	0,053	0,065	0,077	0,096	0,108	●	○	○							
N.3.3	255	0,08	0,028	0,034	0,040	0,053	0,065	0,077	0,096	0,108	●	○	○							
N.4.1																				
S.1.1																				
S.1.2																				
S.2.1																				
S.2.2																				
S.2.3																				
S.3.1																				
S.3.2																				
S.3.3																				
H.1.1																				
H.1.2																				
H.1.3																				
H.1.4																				
H.2.1																				
H.3.1																				
O.1.1																				
O.1.2																				
O.2.1																				
O.2.2																				
O.3.1																				



Angle de plongée pour ramping ou interpolation circulaire = 3°

Conditions de coupe – SilverLine – 50 990 ... – Ebauche

Index	Type long	50 990 ...																			
		\emptyset DC (mm) =																			
		4			5			6			8			10			12				
		a_s 0,1–0,2	a_s 0,3–0,4	a_s 0,6–1,0	a_s 0,1–0,2	a_s 0,3–0,4	a_s 0,6–1,0	a_s 0,1–0,2	a_s 0,3–0,4	a_s 0,6–1,0	a_s 0,1–0,2	a_s 0,3–0,4	a_s 0,6–1,0	a_s 0,1–0,2	a_s 0,3–0,4	a_s 0,6–1,0	a_s 0,1–0,2	a_s 0,3–0,4	a_s 0,6–1,0	a_s 0,1–0,2	a_s 0,3–0,4
v _c (m/min)		f_z (mm/dt)																			
P.1.1	130	1,0	0,026	0,022	0,017	0,031	0,027	0,021	0,036	0,031	0,024	0,047	0,040	0,031	0,056	0,049	0,038	0,067	0,058	0,045	
P.1.2	110	1,0	0,021	0,018	0,014	0,026	0,022	0,017	0,031	0,027	0,021	0,041	0,035	0,027	0,050	0,043	0,033	0,059	0,051	0,040	
P.1.3	110	1,0	0,021	0,018	0,014	0,026	0,022	0,017	0,031	0,027	0,021	0,041	0,035	0,027	0,050	0,043	0,033	0,059	0,051	0,040	
P.1.4	95	1,0	0,021	0,018	0,014	0,026	0,022	0,017	0,031	0,027	0,021	0,041	0,035	0,027	0,050	0,043	0,033	0,059	0,051	0,040	
P.1.5	95	1,0	0,021	0,018	0,014	0,026	0,022	0,017	0,031	0,027	0,021	0,041	0,035	0,027	0,050	0,043	0,033	0,059	0,051	0,040	
P.2.1	110	1,0	0,021	0,018	0,014	0,026	0,022	0,017	0,031	0,027	0,021	0,041	0,035	0,027	0,050	0,043	0,033	0,059	0,051	0,040	
P.2.2	85	1,0	0,021	0,018	0,014	0,026	0,022	0,017	0,031	0,027	0,021	0,041	0,035	0,027	0,050	0,043	0,033	0,059	0,051	0,040	
P.2.3	85	1,0	0,021	0,018	0,014	0,026	0,022	0,017	0,031	0,027	0,021	0,041	0,035	0,027	0,050	0,043	0,033	0,059	0,051	0,040	
P.2.4	65	1,0	0,021	0,018	0,014	0,026	0,022	0,017	0,031	0,027	0,021	0,041	0,035	0,027	0,050	0,043	0,033	0,059	0,051	0,040	
P.3.1																					
P.3.2																					
P.3.3																					
P.4.1	60	1,0	0,015	0,013	0,010	0,019	0,016	0,013	0,023	0,020	0,015	0,030	0,026	0,020	0,038	0,033	0,025	0,045	0,039	0,030	
P.4.2	50	1,0	0,015	0,013	0,010	0,019	0,016	0,013	0,023	0,020	0,015	0,030	0,026	0,020	0,038	0,033	0,025	0,045	0,039	0,030	
M.1.1	50	1,0	0,015	0,013	0,010	0,019	0,016	0,013	0,023	0,020	0,015	0,030	0,026	0,020	0,038	0,033	0,025	0,045	0,039	0,030	
M.2.1	60	1,0	0,015	0,013	0,010	0,019	0,016	0,013	0,023	0,020	0,015	0,030	0,026	0,020	0,038	0,033	0,025	0,045	0,039	0,030	
M.3.1	60	1,0	0,015	0,013	0,010	0,019	0,016	0,013	0,023	0,020	0,015	0,030	0,026	0,020	0,038	0,033	0,025	0,045	0,039	0,030	
K.1.1	155	1,0	0,042	0,036	0,028	0,050	0,043	0,033	0,059	0,051	0,039	0,075	0,065	0,050	0,092	0,079	0,061	0,108	0,094	0,072	
K.1.2	145	1,0	0,042	0,036	0,028	0,050	0,043	0,033	0,059	0,051	0,039	0,075	0,065	0,050	0,092	0,079	0,061	0,108	0,094	0,072	
K.2.1	155	1,0	0,032	0,027	0,021	0,038	0,033	0,025	0,044	0,038	0,029	0,054	0,047	0,036	0,065	0,056	0,043	0,077	0,066	0,051	
K.2.2	145	1,0	0,032	0,027	0,021	0,038	0,033	0,025	0,044	0,038	0,029	0,054	0,047	0,036	0,065	0,056	0,043	0,077	0,066	0,051	
K.3.1	155	1,0	0,042	0,036	0,028	0,050	0,043	0,033	0,059	0,051	0,039	0,075	0,065	0,050	0,092	0,079	0,061	0,108	0,094	0,072	
K.3.2	145	1,0	0,042	0,036	0,028	0,050	0,043	0,033	0,059	0,051	0,039	0,075	0,065	0,050	0,092	0,079	0,061	0,108	0,094	0,072	
N.1.1																					
N.1.2																					
N.2.1																					
N.2.2																					
N.2.3																					
N.3.1	240	1,0	0,032	0,028	0,022	0,041	0,035	0,027	0,050	0,043	0,033	0,066	0,057	0,044	0,083	0,072	0,055	0,099	0,086	0,066	
N.3.2	240	1,0	0,032	0,028	0,022	0,041	0,035	0,027	0,050	0,043	0,033	0,066	0,057	0,044	0,083	0,072	0,055	0,099	0,086	0,066	
N.3.3	170	1,0	0,032	0,028	0,022	0,041	0,035	0,027	0,050	0,043	0,033	0,066	0,057	0,044	0,083	0,072	0,055	0,099	0,086	0,066	
N.4.1																					
S.1.1																					
S.1.2																					
S.2.1																					
S.2.2																					
S.2.3																					
S.3.1																					
S.3.2																					
S.3.3																					
H.1.1																					
H.1.2																					
H.1.3																					
H.1.4																					
H.2.1																					
H.3.1																					
O.1.1																					
O.1.2																					
O.2.1																					
O.2.2																					
O.3.1																					



Angle de plongée pour ramping ou interpolation circulaire = 3°

Index	50 990 ...						● 1er choix		
	\emptyset DC (mm) =						○ Utilisation possible		
	16			20			Emulsion	Air	MMS
	a_s 0,1–0,2 x DC	a_s 0,3–0,4 x DC	a_s 0,6–1,0 x DC	a_s 0,1–0,2 x DC	a_s 0,3–0,4 x DC	a_s 0,6–1,0 x DC			
	f_z (mm/dt)								
P.1.1	0,083	0,072	0,055	0,092	0,080	0,062	●	○	○
P.1.2	0,074	0,064	0,050	0,083	0,072	0,056	●	○	○
P.1.3	0,074	0,064	0,050	0,083	0,072	0,056	●	○	○
P.1.4	0,074	0,064	0,050	0,083	0,072	0,056	●	○	○
P.1.5	0,074	0,064	0,050	0,083	0,072	0,056	●	○	○
P.2.1	0,074	0,064	0,050	0,083	0,072	0,056	●	○	○
P.2.2	0,074	0,064	0,050	0,083	0,072	0,056	●	○	○
P.2.3	0,074	0,064	0,050	0,083	0,072	0,056	●	○	○
P.2.4	0,074	0,064	0,050	0,083	0,072	0,056	●	○	○
P.3.1									
P.3.2									
P.3.3									
P.4.1	0,056	0,049	0,038	0,063	0,055	0,042	●		
P.4.2	0,056	0,049	0,038	0,063	0,055	0,042	●		
M.1.1	0,056	0,049	0,038	0,063	0,055	0,042	●		
M.2.1	0,056	0,049	0,038	0,063	0,055	0,042	●		
M.3.1	0,056	0,049	0,038	0,063	0,055	0,042	●		
K.1.1	0,133	0,115	0,089	0,150	0,130	0,100	●	○	○
K.1.2	0,133	0,115	0,089	0,150	0,130	0,100	●	○	○
K.2.1	0,093	0,081	0,062	0,104	0,090	0,070	●	○	○
K.2.2	0,093	0,081	0,062	0,104	0,090	0,070	●	○	○
K.3.1	0,133	0,115	0,089	0,150	0,130	0,100	●	○	○
K.3.2	0,133	0,115	0,089	0,150	0,130	0,100	●	○	○
N.1.1									
N.1.2									
N.2.1									
N.2.2									
N.2.3									
N.3.1	0,125	0,108	0,083	0,141	0,122	0,094	●	○	○
N.3.2	0,125	0,108	0,083	0,141	0,122	0,094	●	○	○
N.3.3	0,125	0,108	0,083	0,141	0,122	0,094	●	○	○
N.4.1									
S.1.1									
S.1.2									
S.2.1									
S.2.2									
S.2.3									
S.3.1									
S.3.2									
S.3.3									
H.1.1									
H.1.2									
H.1.3									
H.1.4									
H.2.1									
H.3.1									
O.1.1									
O.1.2									
O.2.1									
O.2.2									
O.3.1									

Conditions de coupe – SilverLine – Hémisphériques

Index	Type court		Type long		50 963 ...																				
					Ø DC (mm) =																				
					3		4		5		6		7		8										
	v_c (m/min)	a_p max. x DC	v_c (m/min)	a_p max. x DC	0,01– 0,02	0,03– 0,04	0,05	0,01– 0,02	0,03– 0,04	0,05															
P.1.1	300	0,08	180	0,06	0,072	0,058	0,036	0,094	0,075	0,047	0,118	0,094	0,059	0,142	0,114	0,071	0,166	0,133	0,083	0,190	0,152	0,095			
P.1.2	280	0,08	170	0,06	0,072	0,058	0,036	0,094	0,075	0,047	0,118	0,094	0,059	0,142	0,114	0,071	0,166	0,133	0,083	0,190	0,152	0,095			
P.1.3	225	0,08	135	0,06	0,072	0,058	0,036	0,094	0,075	0,047	0,118	0,094	0,059	0,142	0,114	0,071	0,166	0,133	0,083	0,190	0,152	0,095			
P.1.4	225	0,08	135	0,06	0,072	0,058	0,036	0,094	0,075	0,047	0,118	0,094	0,059	0,142	0,114	0,071	0,166	0,133	0,083	0,190	0,152	0,095			
P.1.5	245	0,08	145	0,06	0,072	0,058	0,036	0,094	0,075	0,047	0,118	0,094	0,059	0,142	0,114	0,071	0,166	0,133	0,083	0,190	0,152	0,095			
P.2.1	280	0,08	170	0,06	0,072	0,058	0,036	0,094	0,075	0,047	0,118	0,094	0,059	0,142	0,114	0,071	0,166	0,133	0,083	0,190	0,152	0,095			
P.2.2	215	0,08	130	0,06	0,058	0,046	0,029	0,076	0,061	0,038	0,092	0,074	0,046	0,110	0,088	0,055	0,128	0,102	0,064	0,146	0,117	0,073			
P.2.3	190	0,08	115	0,06	0,072	0,058	0,036	0,094	0,075	0,047	0,118	0,094	0,059	0,142	0,114	0,071	0,166	0,133	0,083	0,190	0,152	0,095			
P.2.4	210	0,08	125	0,06	0,072	0,058	0,036	0,094	0,075	0,047	0,118	0,094	0,059	0,142	0,114	0,071	0,166	0,133	0,083	0,190	0,152	0,095			
P.3.1	210	0,08	125	0,06	0,072	0,058	0,036	0,094	0,075	0,047	0,118	0,094	0,059	0,142	0,114	0,071	0,166	0,133	0,083	0,190	0,152	0,095			
P.3.2	175	0,08	105	0,06	0,058	0,046	0,029	0,076	0,061	0,038	0,092	0,074	0,046	0,110	0,088	0,055	0,128	0,102	0,064	0,146	0,117	0,073			
P.3.3	130	0,08	80	0,06	0,046	0,037	0,023	0,058	0,046	0,029	0,068	0,054	0,034	0,080	0,064	0,040	0,091	0,073	0,046	0,102	0,082	0,051			
P.4.1																									
P.4.2																									
M.1.1																									
M.2.1																									
M.3.1																									
K.1.1	330	0,08	200	0,06	0,072	0,058	0,036	0,094	0,075	0,047	0,118	0,094	0,059	0,142	0,114	0,071	0,166	0,133	0,083	0,190	0,152	0,095			
K.1.2	280	0,08	170	0,06	0,072	0,058	0,036	0,094	0,075	0,047	0,118	0,094	0,059	0,142	0,114	0,071	0,166	0,133	0,083	0,190	0,152	0,095			
K.2.1	330	0,08	200	0,06	0,072	0,058	0,036	0,094	0,075	0,047	0,118	0,094	0,059	0,142	0,114	0,071	0,166	0,133	0,083	0,190	0,152	0,095			
K.2.2	280	0,08	170	0,06	0,058	0,046	0,029	0,076	0,061	0,038	0,092	0,074	0,046	0,110	0,088	0,055	0,128	0,102	0,064	0,146	0,117	0,073			
K.3.1	330	0,08	200	0,06	0,072	0,058	0,036	0,094	0,075	0,047	0,118	0,094	0,059	0,142	0,114	0,071	0,166	0,133	0,083	0,190	0,152	0,095			
K.3.2	280	0,08	170	0,06	0,058	0,046	0,029	0,076	0,061	0,038	0,092	0,074	0,046	0,110	0,088	0,055	0,128	0,102	0,064	0,146	0,117	0,073			
N.1.1																									
N.1.2																									
N.2.1																									
N.2.2																									
N.2.3																									
N.3.1																									
N.3.2																									
N.3.3	455	0,08	275	0,06	0,046	0,037	0,023	0,058	0,046	0,029	0,068	0,054	0,034	0,080	0,064	0,040	0,091	0,073	0,046	0,102	0,082	0,051			
N.4.1																									
S.1.1																									
S.1.2																									
S.2.1																									
S.2.2																									
S.2.3																									
S.3.1																									
S.3.2																									
S.3.3																									
H.1.1	100	0,08	60	0,06	0,046	0,037	0,023	0,058	0,046	0,029	0,068	0,054	0,034	0,080	0,064	0,040	0,091	0,073	0,046	0,102	0,082	0,051			
H.1.2	60	0,08	35	0,06	0,046	0,037	0,023	0,058	0,046	0,029	0,068	0,054	0,034	0,080	0,064	0,040	0,091	0,073	0,046	0,102	0,082	0,051			
H.1.3	55	0,08	35	0,06	0,046	0,037	0,023	0,058	0,046	0,029	0,068	0,054	0,034	0,080	0,064	0,040	0,091	0,073	0,046	0,102	0,082	0,051			
H.1.4																									
H.2.1	70	0,08	40	0,06	0,046	0,037	0,023	0,058	0,046	0,029	0,068	0,054	0,034	0,080	0,064	0,040	0,091	0,073	0,046	0,102	0,082	0,051			
H.3.1	100	0,08	60	0,06	0,046	0,037	0,023	0,058	0,046	0,029	0,068	0,054	0,034	0,080	0,064	0,040	0,091	0,073	0,046	0,102	0,082	0,051			
O.1.1																									
O.1.2																									
O.2.1																									
O.2.2																									
O.3.1																									



Index	50 963 ...																		● 1er choix		
	\varnothing DC (mm) =																				
	10			12			14			16			18			20			Emulsion	Air	MMS
	0,01– 0,02	0,03– 0,04	0,05	0,01– 0,02	0,03– 0,04	0,05	0,01– 0,02	0,03– 0,04	0,05	0,01– 0,02	0,03– 0,04	0,05	0,01– 0,02	0,03– 0,04	0,05	0,01– 0,02	0,03– 0,04	0,05			
P.1.1	0,238	0,190	0,119	0,286	0,229	0,143	0,334	0,267	0,167	0,400	0,320	0,200	0,450	0,360	0,225	0,500	0,400	0,250	●	○	○
P.1.2	0,238	0,190	0,119	0,286	0,229	0,143	0,334	0,267	0,167	0,400	0,320	0,200	0,450	0,360	0,225	0,500	0,400	0,250	●	○	○
P.1.3	0,238	0,190	0,119	0,286	0,229	0,143	0,334	0,267	0,167	0,400	0,320	0,200	0,450	0,360	0,225	0,500	0,400	0,250	●	○	○
P.1.4	0,238	0,190	0,119	0,286	0,229	0,143	0,334	0,267	0,167	0,400	0,320	0,200	0,450	0,360	0,225	0,500	0,400	0,250	●	○	○
P.1.5	0,238	0,190	0,119	0,286	0,229	0,143	0,334	0,267	0,167	0,400	0,320	0,200	0,450	0,360	0,225	0,500	0,400	0,250	●	○	○
P.2.1	0,238	0,190	0,119	0,286	0,229	0,143	0,334	0,267	0,167	0,400	0,320	0,200	0,450	0,360	0,225	0,500	0,400	0,250	●	○	○
P.2.2	0,180	0,144	0,090	0,216	0,173	0,108	0,250	0,200	0,125	0,300	0,240	0,150	0,350	0,280	0,175	0,400	0,320	0,200	●	○	○
P.2.3	0,238	0,190	0,119	0,286	0,229	0,143	0,334	0,267	0,167	0,400	0,320	0,200	0,450	0,360	0,225	0,500	0,400	0,250	●	○	○
P.2.4	0,238	0,190	0,119	0,286	0,229	0,143	0,334	0,267	0,167	0,400	0,320	0,200	0,450	0,360	0,225	0,500	0,400	0,250	●	○	○
P.3.1	0,238	0,190	0,119	0,286	0,229	0,143	0,334	0,267	0,167	0,400	0,320	0,200	0,450	0,360	0,225	0,500	0,400	0,250	●	○	○
P.3.2	0,180	0,144	0,090	0,216	0,173	0,108	0,250	0,200	0,125	0,300	0,240	0,150	0,350	0,280	0,175	0,400	0,320	0,200	●	○	○
P.3.3	0,124	0,099	0,062	0,146	0,117	0,073	0,168	0,134	0,084	0,180	0,144	0,090	0,210	0,168	0,105	0,240	0,192	0,120	●	○	○
P.4.1																					
P.4.2																					
M.1.1																					
M.2.1																					
M.3.1																					
K.1.1	0,238	0,190	0,119	0,286	0,229	0,143	0,334	0,267	0,167	0,400	0,320	0,200	0,450	0,360	0,225	0,500	0,400	0,250	●	○	○
K.1.2	0,238	0,190	0,119	0,286	0,229	0,143	0,334	0,267	0,167	0,400	0,320	0,200	0,450	0,360	0,225	0,500	0,400	0,250	●	○	○
K.2.1	0,238	0,190	0,119	0,286	0,229	0,143	0,334	0,267	0,167	0,400	0,320	0,200	0,450	0,360	0,225	0,500	0,400	0,250	●	○	○
K.2.2	0,180	0,144	0,090	0,216	0,173	0,108	0,250	0,200	0,125	0,300	0,240	0,150	0,350	0,280	0,175	0,400	0,320	0,200	●	○	○
K.3.1	0,238	0,190	0,119	0,286	0,229	0,143	0,334	0,267	0,167	0,400	0,320	0,200	0,450	0,360	0,225	0,500	0,400	0,250	●	○	○
K.3.2	0,180	0,144	0,090	0,216	0,173	0,108	0,250	0,200	0,125	0,300	0,240	0,150	0,350	0,280	0,175	0,400	0,320	0,200	●	○	○
N.1.1																					
N.1.2																					
N.2.1																					
N.2.2																					
N.2.3																					
N.3.1																					
N.3.2																					
N.3.3	0,124	0,099	0,062	0,146	0,117	0,073	0,168	0,134	0,084	0,180	0,144	0,090	0,210	0,168	0,105	0,240	0,192	0,120	●		
N.4.1																					
S.1.1																					
S.1.2																					
S.2.1																					
S.2.2																					
S.2.3																					
S.3.1																					
S.3.2																					
S.3.3																					
H.1.1	0,124	0,099	0,062	0,146	0,117	0,073	0,168	0,134	0,084	0,179	0,143	0,090	0,190	0,152	0,095	0,200	0,160	0,100	●		
H.1.2	0,124	0,099	0,062	0,146	0,117	0,073	0,168	0,134	0,084	0,179	0,143	0,090	0,190	0,152	0,095	0,200	0,160	0,100	●		
H.1.3	0,124	0,099	0,062	0,146	0,117	0,073	0,168	0,134	0,084	0,179	0,143	0,090	0,190	0,152	0,095	0,200	0,160	0,100	●		
H.1.4																					
H.2.1	0,124	0,099	0,062	0,146	0,117	0,073	0,168	0,134	0,084	0,179	0,143	0,090	0,190	0,152	0,095	0,200	0,160	0,100	●		
H.3.1	0,124	0,099	0,062	0,146	0,117	0,073	0,168	0,134	0,084	0,179	0,143	0,090	0,190	0,152	0,095	0,200	0,160	0,100	●		
O.1.1																					
O.1.2																					
O.2.1																					
O.2.2																					
O.3.1																					

Conditions de coupe – SilverLine – Grande avance

Index	Type long	Type extra long	a_p max. x DC	50 989 ...																	
				\emptyset DC (mm) =																	
				6			8			10			12			16					
				a_s 0,1–0,2 x DC	a_s 0,3–0,4 x DC	a_s 0,5 x DC	a_s 0,1–0,2 x DC	a_s 0,3–0,4 x DC	a_s 0,5 x DC	a_s 0,1–0,2 x DC	a_s 0,3–0,4 x DC	a_s 0,5 x DC	a_s 0,1–0,2 x DC	a_s 0,3–0,4 x DC	a_s 0,5 x DC	a_s 0,1–0,2 x DC	a_s 0,3–0,4 x DC	a_s 0,5 x DC	f_z (mm/dt)		
P.1.1	240	190	0,03	0,360	0,288	0,180	0,460	0,368	0,230	0,560	0,448	0,280	0,660	0,528	0,330	0,814	0,651	0,407			
P.1.2	210	170	0,03	0,360	0,288	0,180	0,460	0,368	0,230	0,560	0,448	0,280	0,660	0,528	0,330	0,814	0,651	0,407			
P.1.3	210	170	0,03	0,360	0,288	0,180	0,460	0,368	0,230	0,560	0,448	0,280	0,660	0,528	0,330	0,814	0,651	0,407			
P.1.4	190	150	0,03	0,360	0,288	0,180	0,460	0,368	0,230	0,560	0,448	0,280	0,660	0,528	0,330	0,814	0,651	0,407			
P.1.5	190	150	0,03	0,360	0,288	0,180	0,460	0,368	0,230	0,560	0,448	0,280	0,660	0,528	0,330	0,814	0,651	0,407			
P.2.1	220	175	0,03	0,360	0,288	0,180	0,460	0,368	0,230	0,560	0,448	0,280	0,660	0,528	0,330	0,814	0,651	0,407			
P.2.2	200	160	0,03	0,360	0,288	0,180	0,460	0,368	0,230	0,560	0,448	0,280	0,660	0,528	0,330	0,814	0,651	0,407			
P.2.3	180	145	0,03	0,360	0,288	0,180	0,460	0,368	0,230	0,560	0,448	0,280	0,660	0,528	0,330	0,814	0,651	0,407			
P.2.4	170	135	0,03	0,360	0,288	0,180	0,460	0,368	0,230	0,560	0,448	0,280	0,660	0,528	0,330	0,814	0,651	0,407			
P.3.1	170	135	0,03	0,360	0,288	0,180	0,460	0,368	0,230	0,560	0,448	0,280	0,660	0,528	0,330	0,814	0,651	0,407			
P.3.2	150	120	0,03	0,360	0,288	0,180	0,460	0,368	0,230	0,560	0,448	0,280	0,660	0,528	0,330	0,814	0,651	0,407			
P.3.3	120	95	0,03	0,360	0,288	0,180	0,460	0,368	0,230	0,560	0,448	0,280	0,660	0,528	0,330	0,814	0,651	0,407			
P.4.1	90	70	0,03	0,360	0,288	0,180	0,460	0,368	0,230	0,560	0,448	0,280	0,660	0,528	0,330	0,814	0,651	0,407			
P.4.2	70	55	0,03	0,360	0,288	0,180	0,460	0,368	0,230	0,560	0,448	0,280	0,660	0,528	0,330	0,814	0,651	0,407			
M.1.1	90	70	0,03	0,360	0,288	0,180	0,460	0,368	0,230	0,560	0,448	0,280	0,660	0,528	0,330	0,814	0,651	0,407			
M.2.1	90	70	0,03	0,360	0,288	0,180	0,460	0,368	0,230	0,560	0,448	0,280	0,660	0,528	0,330	0,814	0,651	0,407			
M.3.1	90	70	0,03	0,360	0,288	0,180	0,460	0,368	0,230	0,560	0,448	0,280	0,660	0,528	0,330	0,814	0,651	0,407			
K.1.1	250	200	0,03	0,360	0,288	0,180	0,460	0,368	0,230	0,560	0,448	0,280	0,660	0,528	0,330	0,814	0,651	0,407			
K.1.2	230	185	0,03	0,360	0,288	0,180	0,460	0,368	0,230	0,560	0,448	0,280	0,660	0,528	0,330	0,814	0,651	0,407			
K.2.1	200	160	0,03	0,360	0,288	0,180	0,460	0,368	0,230	0,560	0,448	0,280	0,660	0,528	0,330	0,814	0,651	0,407			
K.2.2	180	145	0,03	0,360	0,288	0,180	0,460	0,368	0,230	0,560	0,448	0,280	0,660	0,528	0,330	0,814	0,651	0,407			
K.3.1	220	175	0,03	0,360	0,288	0,180	0,460	0,368	0,230	0,560	0,448	0,280	0,660	0,528	0,330	0,814	0,651	0,407			
K.3.2	210	170	0,03	0,360	0,288	0,180	0,460	0,368	0,230	0,560	0,448	0,280	0,660	0,528	0,330	0,814	0,651	0,407			
N.1.1																					
N.1.2																					
N.2.1																					
N.2.2																					
N.2.3																					
N.3.1																					
N.3.2																					
N.3.3	250	200	0,03	0,360	0,288	0,180	0,460	0,368	0,230	0,560	0,448	0,280	0,660	0,528	0,330	0,814	0,651	0,407			
N.4.1																					
S.1.1																					
S.1.2																					
S.2.1																					
S.2.2																					
S.2.3																					
S.3.1																					
S.3.2																					
S.3.3																					
H.1.1	120	95	0,03	0,240	0,192	0,120	0,330	0,264	0,165	0,420	0,336	0,210	0,510	0,408	0,255	0,644	0,515	0,322			
H.1.2	80	65	0,03	0,240	0,192	0,120	0,330	0,264	0,165	0,420	0,336	0,210	0,510	0,408	0,255	0,644	0,515	0,322			
H.1.3																					
H.1.4																					
H.2.1	120	95	0,03	0,240	0,192	0,120	0,330	0,264	0,165	0,420	0,336	0,210	0,510	0,408	0,255	0,644	0,515	0,322			
H.3.1	120	95	0,03	0,240	0,192	0,120	0,330	0,264	0,165	0,420	0,336	0,210	0,510	0,408	0,255	0,644	0,515	0,322			
O.1.1																					
O.1.2																					
O.2.1																					
O.2.2																					
O.3.1																					

Index	50 989 ...			● 1er choix		
				○ Utilisation possible		
	\emptyset DC (mm) = 20			Emulsion	Air	MMS
	a_e 0,1-0,2 \times DC	a_e 0,3-0,4 \times DC	a_e 0,5 \times DC			
	f_z (mm/dt)					
P.1.1	0,912	0,730	0,456	●	○	○
P.1.2	0,912	0,730	0,456	●	○	○
P.1.3	0,912	0,730	0,456	●	○	○
P.1.4	0,912	0,730	0,456	●	○	○
P.1.5	0,912	0,730	0,456	●	○	○
P.2.1	0,912	0,730	0,456	●	○	○
P.2.2	0,912	0,730	0,456	●	○	○
P.2.3	0,912	0,730	0,456	●	○	○
P.2.4	0,912	0,730	0,456	●	○	○
P.3.1	0,912	0,730	0,456	●	○	○
P.3.2	0,912	0,730	0,456	●	○	○
P.3.3	0,912	0,730	0,456	●	○	○
P.4.1	0,912	0,730	0,456	●		
P.4.2	0,912	0,730	0,456	●		
M.1.1	0,912	0,730	0,456	●		
M.2.1	0,912	0,730	0,456	●		
M.3.1	0,912	0,730	0,456	●		
K.1.1	0,912	0,730	0,456	●	○	○
K.1.2	0,912	0,730	0,456	●	○	○
K.2.1	0,912	0,730	0,456	●	○	○
K.2.2	0,912	0,730	0,456	●	○	○
K.3.1	0,912	0,730	0,456	●	○	○
K.3.2	0,912	0,730	0,456	●	○	○
N.1.1						
N.1.2						
N.2.1						
N.2.2						
N.2.3						
N.3.1						
N.3.2						
N.3.3	0,912	0,730	0,456	●	○	○
N.4.1						
S.1.1						
S.1.2						
S.2.1						
S.2.2						
S.2.3						
S.3.1						
S.3.2						
S.3.3						
H.1.1	0,736	0,589	0,368	●	●	
H.1.2	0,736	0,589	0,368	●	●	
H.1.3						
H.1.4						
H.2.1	0,736	0,589	0,368	●	●	
H.3.1	0,736	0,589	0,368	●	●	
O.1.1						
O.1.2						
O.2.1						
O.2.2						
O.3.1						

Conditions de coupe – S-Cut – Version courte et longue

Index	Types court / long	52 205 ..., 52 223 ..., 52 224 ..., 52 225 ..., 52 228 ...																	
		\emptyset DC (mm) =																	
		3			4			5			6			8					
		a_p 0,1–0,2 x DC	a_p 0,3–0,4 x DC	a_p 0,6–1,0 x DC	a_p 0,1–0,2 x DC	a_p 0,3–0,4 x DC	a_p 0,6–1,0 x DC	a_p 0,1–0,2 x DC	a_p 0,3–0,4 x DC	a_p 0,6–1,0 x DC	a_p 0,1–0,2 x DC	a_p 0,3–0,4 x DC	a_p 0,6–1,0 x DC	a_p 0,1–0,2 x DC	a_p 0,3–0,4 x DC	a_p 0,6–1,0 x DC	f_z (mm/dt)		
v _c (m/min)	a _p max. x DC																		
P.1.1	150	1,0	0,036	0,028	0,020	0,049	0,038	0,028	0,071	0,053	0,036	0,095	0,071	0,047	0,127	0,092	0,069		
P.1.2	150	1,0	0,039	0,030	0,022	0,054	0,041	0,030	0,078	0,058	0,039	0,104	0,077	0,052	0,138	0,104	0,069		
P.1.3	130	1,0	0,039	0,030	0,022	0,054	0,041	0,030	0,078	0,058	0,039	0,104	0,077	0,052	0,138	0,104	0,069		
P.1.4	140	1,0	0,039	0,030	0,022	0,054	0,041	0,030	0,078	0,058	0,039	0,104	0,077	0,052	0,138	0,104	0,069		
P.1.5	120	1,0	0,039	0,030	0,022	0,054	0,041	0,030	0,078	0,058	0,039	0,104	0,077	0,052	0,138	0,104	0,069		
P.2.1	140	1,0	0,039	0,030	0,022	0,054	0,041	0,030	0,078	0,058	0,039	0,104	0,077	0,052	0,138	0,104	0,069		
P.2.2	120	1,0	0,039	0,030	0,022	0,054	0,041	0,030	0,078	0,058	0,039	0,104	0,077	0,052	0,138	0,104	0,069		
P.2.3	140	1,0	0,039	0,030	0,022	0,054	0,041	0,030	0,078	0,058	0,039	0,104	0,077	0,052	0,138	0,104	0,069		
P.2.4	120	1,0	0,039	0,030	0,022	0,054	0,041	0,030	0,078	0,058	0,039	0,104	0,077	0,052	0,138	0,104	0,069		
P.3.1	100	1,0	0,023	0,017	0,013	0,032	0,024	0,017	0,046	0,035	0,023	0,061	0,045	0,030	0,081	0,058	0,046		
P.3.2	120	1,0	0,025	0,020	0,015	0,036	0,028	0,021	0,052	0,039	0,026	0,069	0,052	0,035	0,092	0,069	0,046		
P.3.3	100	1,0	0,025	0,020	0,015	0,036	0,028	0,021	0,052	0,039	0,026	0,069	0,052	0,035	0,092	0,069	0,046		
P.4.1	130	1,0	0,023	0,017	0,013	0,032	0,024	0,017	0,046	0,035	0,023	0,061	0,045	0,030	0,081	0,058	0,046		
P.4.2	110	1,0	0,023	0,017	0,013	0,032	0,024	0,017	0,046	0,035	0,023	0,061	0,045	0,030	0,081	0,058	0,046		
M.1.1	100	1,0	0,023	0,017	0,013	0,032	0,024	0,017	0,046	0,035	0,023	0,061	0,045	0,030	0,081	0,058	0,046		
M.2.1	50	1,0	0,020	0,015	0,012	0,028	0,021	0,015	0,039	0,029	0,020	0,053	0,039	0,026	0,069	0,029	0,035		
M.3.1	100	1,0	0,023	0,017	0,013	0,032	0,024	0,017	0,046	0,035	0,023	0,061	0,045	0,030	0,081	0,058	0,046		
K.1.1	200	1,0	0,046	0,036	0,025	0,063	0,049	0,036	0,091	0,068	0,046	0,122	0,091	0,061	0,161	0,127	0,081		
K.1.2	200	1,0	0,046	0,036	0,025	0,063	0,049	0,036	0,091	0,068	0,046	0,122	0,091	0,061	0,161	0,127	0,081		
K.2.1	220	1,0	0,039	0,030	0,022	0,054	0,041	0,030	0,078	0,058	0,039	0,104	0,077	0,052	0,138	0,104	0,069		
K.2.2	200	1,0	0,039	0,030	0,022	0,054	0,041	0,030	0,078	0,058	0,039	0,104	0,077	0,052	0,138	0,104	0,069		
K.3.1	180	1,0	0,039	0,030	0,022	0,054	0,041	0,030	0,078	0,058	0,039	0,104	0,077	0,052	0,138	0,104	0,069		
K.3.2	160	1,0	0,032	0,025	0,018	0,046	0,036	0,025	0,066	0,048	0,032	0,087	0,064	0,044	0,115	0,092	0,058		
N.1.1																			
N.1.2																			
N.2.1																			
N.2.2																			
N.2.3																			
N.3.1	250	1,0	0,036	0,028	0,020	0,049	0,038	0,028	0,071	0,053	0,036	0,095	0,071	0,047	0,127	0,092	0,069		
N.3.2	250	1,0	0,036	0,028	0,020	0,049	0,038	0,028	0,071	0,053	0,036	0,095	0,071	0,047	0,127	0,092	0,069		
N.3.3	250	1,0	0,036	0,028	0,020	0,049	0,038	0,028	0,071	0,053	0,036	0,095	0,071	0,047	0,127	0,092	0,069		
N.4.1																			
S.1.1	50	0,5	0,020	0,015	0,012	0,028	0,021	0,015	0,039	0,029	0,020	0,053	0,039	0,026	0,069	0,029	0,035		
S.1.2	50	0,5	0,020	0,015	0,012	0,028	0,021	0,015	0,039	0,029	0,020	0,053	0,039	0,026	0,069	0,029	0,035		
S.2.1	30	0,5	0,018	0,014	0,010	0,025	0,020	0,014	0,037	0,026	0,018	0,048	0,036	0,024	0,069	0,046	0,035		
S.2.2	30	0,5	0,018	0,014	0,010	0,025	0,020	0,014	0,037	0,026	0,018	0,048	0,036	0,024	0,069	0,046	0,035		
S.2.3	30	0,5	0,018	0,014	0,010	0,025	0,020	0,014	0,037	0,026	0,018	0,048	0,036	0,024	0,069	0,046	0,035		
S.3.1	120	0,5	0,029	0,022	0,016	0,040	0,031	0,023	0,058	0,044	0,029	0,077	0,058	0,039	0,104	0,081	0,058		
S.3.2	110	0,5	0,029	0,022	0,016	0,040	0,031	0,022	0,058	0,043	0,029	0,076	0,056	0,038	0,104	0,081	0,058		
S.3.3	75	0,5	0,025	0,020	0,015	0,036	0,028	0,021	0,052	0,039	0,026	0,069	0,052	0,035	0,092	0,069	0,046		
H.1.1	120	0,5	0,023	0,018	0,013	0,032	0,025	0,018	0,047	0,035	0,023	0,062	0,046	0,031	0,081	0,058	0,046		
H.1.2	120	0,3	0,023	0,018	0,013	0,032	0,025	0,018	0,047	0,035	0,023	0,062	0,046	0,031	0,081	0,058	0,046		
H.1.3	120	0,2	0,023	0,018	0,013	0,032	0,025	0,018	0,047	0,035	0,023	0,062	0,046	0,031	0,081	0,058	0,046		
H.1.4																			
H.2.1																			
H.3.1																			
O.1.1																			
O.1.2																			
O.2.1																			
O.2.2																			
O.3.1																			

 Pour un a_p de 1,5 x DC, multipliez l'avance à la dent f_z par un facteur de 0,75.
Pour un a_p de 2,0 x DC, multipliez l'avance à la dent f_z par un facteur de 0,5.

 Angle de ramping et de plongée hélicoïdale = 3°

Index	52 205 ..., 52 223 ..., 52 224 ..., 52 225 ..., 52 228 ...																● 1er choix				
	\varnothing DC (mm) =																○ Utilisation possible				
	10				12				16				20				25				
	a_s 0,1–0,2 x DC	a_e 0,3–0,4 x DC	a_s 0,6–1,0 x DC	a_s 0,1–0,2 x DC	a_e 0,3–0,4 x DC	a_s 0,6–1,0 x DC	a_e 0,1–0,2 x DC	a_s 0,3–0,4 x DC	a_s 0,6–1,0 x DC	a_e 0,1–0,2 x DC	a_s 0,3–0,4 x DC	a_s 0,6–1,0 x DC	a_e 0,1–0,2 x DC	a_s 0,3–0,4 x DC	a_s 0,6–1,0 x DC	a_e 0,1–0,2 x DC	a_s 0,3–0,4 x DC	a_s 0,6–1,0 x DC	Emulsion	Air	MMS
P.1.1	0,161	0,115	0,081	0,173	0,127	0,029	0,184	0,150	0,115	0,230	0,184	0,138	0,292	0,234	0,175	●	○	○			
P.1.2	0,173	0,127	0,092	0,196	0,138	0,092	0,207	0,161	0,127	0,242	0,196	0,161	0,307	0,248	0,204	●	○	○			
P.1.3	0,173	0,127	0,092	0,196	0,138	0,092	0,207	0,161	0,127	0,242	0,196	0,161	0,307	0,248	0,204	●	○	○			
P.1.4	0,173	0,127	0,092	0,196	0,138	0,092	0,207	0,161	0,127	0,242	0,196	0,161	0,307	0,248	0,204	●	○	○			
P.1.5	0,173	0,127	0,092	0,196	0,138	0,092	0,207	0,161	0,127	0,242	0,196	0,161	0,307	0,248	0,204	●	○	○			
P.2.1	0,173	0,127	0,092	0,196	0,138	0,092	0,207	0,161	0,127	0,242	0,196	0,161	0,307	0,248	0,204	●	○	○			
P.2.2	0,173	0,127	0,092	0,196	0,138	0,092	0,207	0,161	0,127	0,242	0,196	0,161	0,307	0,248	0,204	●	○	○			
P.2.3	0,173	0,127	0,092	0,196	0,138	0,092	0,207	0,161	0,127	0,242	0,196	0,161	0,307	0,248	0,204	●	○	○			
P.2.4	0,173	0,127	0,092	0,196	0,138	0,092	0,207	0,161	0,127	0,242	0,196	0,161	0,307	0,248	0,204	●	○	○			
P.3.1	0,104	0,081	0,046	0,115	0,081	0,058	0,115	0,092	0,069	0,150	0,115	0,092	0,190	0,146	0,117	●					
P.3.2	0,115	0,092	0,058	0,127	0,092	0,069	0,138	0,104	0,081	0,161	0,138	0,104	0,204	0,175	0,131	●	○	○			
P.3.3	0,115	0,092	0,058	0,127	0,092	0,069	0,138	0,104	0,081	0,161	0,138	0,104	0,204	0,175	0,131	●	○	○			
P.4.1	0,104	0,081	0,046	0,115	0,081	0,058	0,115	0,092	0,069	0,150	0,115	0,092	0,190	0,146	0,117	●					
P.4.2	0,104	0,081	0,046	0,115	0,081	0,058	0,115	0,092	0,069	0,150	0,115	0,092	0,190	0,146	0,117	●					
M.1.1	0,104	0,081	0,046	0,115	0,081	0,058	0,115	0,092	0,069	0,150	0,115	0,092	0,190	0,146	0,117	●					
M.2.1	0,092	0,069	0,046	0,092	0,069	0,046	0,104	0,081	0,058	0,127	0,104	0,081	0,161	0,131	0,102	●					
M.3.1	0,104	0,081	0,046	0,115	0,081	0,058	0,115	0,092	0,069	0,150	0,115	0,092	0,190	0,146	0,117	●					
K.1.1	0,207	0,150	0,104	0,219	0,161	0,115	0,242	0,184	0,138	0,288	0,230	0,184	0,365	0,292	0,234	○	●	○			
K.1.2	0,207	0,150	0,104	0,219	0,161	0,115	0,242	0,184	0,138	0,288	0,230	0,184	0,365	0,292	0,234	○	●	○			
K.2.1	0,173	0,127	0,092	0,196	0,138	0,092	0,207	0,161	0,127	0,242	0,196	0,161	0,307	0,248	0,204	○	●	○			
K.2.2	0,173	0,127	0,092	0,196	0,138	0,092	0,207	0,161	0,127	0,242	0,196	0,161	0,307	0,248	0,204	○	●	○			
K.3.1	0,173	0,127	0,092	0,196	0,138	0,092	0,207	0,161	0,127	0,242	0,196	0,161	0,307	0,248	0,204	○	●	○			
K.3.2	0,150	0,104	0,069	0,161	0,115	0,081	0,173	0,127	0,104	0,207	0,173	0,127	0,263	0,219	0,161	○	●	○			
N.1.1																					
N.1.2																					
N.2.1																					
N.2.2																					
N.2.3																					
N.3.1	0,161	0,115	0,081	0,173	0,127	0,092	0,184	0,150	0,127	0,230	0,184	0,138	0,292	0,234	0,175	●		○			
N.3.2	0,161	0,115	0,081	0,173	0,127	0,092	0,184	0,150	0,127	0,230	0,184	0,138	0,292	0,234	0,175	●		○			
N.3.3	0,161	0,115	0,081	0,173	0,127	0,092	0,184	0,150	0,115	0,230	0,184	0,138	0,292	0,234	0,175	●		○			
N.4.1																					
S.1.1	0,092	0,069	0,046	0,092	0,069	0,046	0,104	0,081	0,058	0,127	0,104	0,081	0,161	0,131	0,102	●					
S.1.2	0,092	0,069	0,046	0,092	0,069	0,046	0,104	0,081	0,058	0,127	0,104	0,081	0,161	0,131	0,102	●					
S.2.1	0,081	0,058	0,046	0,092	0,035	0,046	0,092	0,069	0,058	0,115	0,092	0,069	0,146	0,117	0,088	●					
S.2.2	0,081	0,058	0,046	0,092	0,035	0,046	0,092	0,069	0,058	0,115	0,092	0,069	0,146	0,117	0,088	●					
S.2.3	0,081	0,058	0,046	0,092	0,035	0,046	0,092	0,069	0,058	0,115	0,092	0,069	0,146	0,117	0,088	●					
S.3.1	0,127	0,092	0,069	0,138	0,104	0,069	0,150	0,115	0,092	0,184	0,150	0,115	0,234	0,190	0,146	●					
S.3.2	0,127	0,092	0,069	0,138	0,104	0,069	0,150	0,115	0,092	0,184	0,150	0,115	0,234	0,190	0,146	●					
S.3.3	0,115	0,092	0,058	0,127	0,092	0,069	0,138	0,104	0,081	0,161	0,138	0,104	0,204	0,175	0,131	●					
H.1.1	0,104	0,081	0,058	0,115	0,081	0,058	0,127	0,092	0,069	0,150	0,127	0,092	0,190	0,161	0,117	●					
H.1.2	0,104	0,081	0,058	0,115	0,081	0,058	0,127	0,092	0,069	0,150	0,127	0,092	0,190	0,161	0,117	●					
H.1.3	0,104	0,081	0,058	0,115	0,081	0,058	0,127	0,092	0,069	0,150	0,127	0,092	0,190	0,161	0,117	●					
H.1.4																					
H.2.1																					
H.3.1																					
O.1.1																					
O.1.2																					
O.2.1																					
O.2.2																					
O.3.1																					

Conditions de coupe – S-Cut – Version extra-longue

Index	Type extra long	52 205 ..., 52 226 ..., 52 227 ...																	
		\emptyset DC (mm) =																	
		3			4			5			6			8					
		a_s 0,1–0,2 x DC	a_s 0,3–0,4 x DC	a_s 0,6–1,0 x DC	a_s 0,1–0,2 x DC	a_s 0,3–0,4 x DC	a_s 0,6–1,0 x DC	a_s 0,1–0,2 x DC	a_s 0,3–0,4 x DC	a_s 0,6–1,0 x DC	a_s 0,1–0,2 x DC	a_s 0,3–0,4 x DC	a_s 0,6–1,0 x DC	a_s 0,1–0,2 x DC	a_s 0,3–0,4 x DC	a_s 0,6–1,0 x DC	f_z (mm/dt)		
P.1.1	130	1,0	0,5	0,036	0,028	0,02	0,049	0,038	0,028	0,071	0,053	0,036	0,095	0,071	0,047	0,127	0,092	0,069	
P.1.2	120	1,0	0,5	0,039	0,030	0,022	0,054	0,041	0,03	0,078	0,058	0,039	0,104	0,077	0,052	0,138	0,104	0,069	
P.1.3	100	1,0	0,5	0,039	0,030	0,022	0,054	0,041	0,03	0,078	0,058	0,039	0,104	0,077	0,052	0,138	0,104	0,069	
P.1.4	120	1,0	0,5	0,039	0,030	0,022	0,054	0,041	0,03	0,078	0,058	0,039	0,104	0,077	0,052	0,138	0,104	0,069	
P.1.5	100	1,0	0,5	0,039	0,030	0,022	0,054	0,041	0,03	0,078	0,058	0,039	0,104	0,077	0,052	0,138	0,104	0,069	
P.2.1	110	1,0	0,5	0,039	0,030	0,022	0,054	0,041	0,03	0,078	0,058	0,039	0,104	0,077	0,052	0,138	0,104	0,069	
P.2.2	100	1,0	0,5	0,039	0,030	0,022	0,054	0,041	0,03	0,078	0,058	0,039	0,104	0,077	0,052	0,138	0,104	0,069	
P.2.3	100	1,0	0,5	0,039	0,030	0,022	0,054	0,041	0,03	0,078	0,058	0,039	0,104	0,077	0,052	0,138	0,104	0,069	
P.2.4	90	1,0	0,5	0,039	0,030	0,022	0,054	0,041	0,03	0,078	0,058	0,039	0,104	0,077	0,052	0,138	0,104	0,069	
P.3.1	70	1,0	0,5	0,023	0,017	0,013	0,032	0,024	0,017	0,046	0,035	0,023	0,061	0,045	0,03	0,081	0,058	0,046	
P.3.2	100	1,0	0,5	0,025	0,020	0,015	0,036	0,028	0,021	0,052	0,039	0,026	0,069	0,052	0,035	0,092	0,069	0,046	
P.3.3	90	1,0	0,5	0,025	0,020	0,015	0,036	0,028	0,021	0,052	0,039	0,026	0,069	0,052	0,035	0,092	0,069	0,046	
P.4.1	70	1,0	0,5	0,023	0,017	0,013	0,032	0,024	0,017	0,046	0,035	0,023	0,061	0,045	0,03	0,081	0,058	0,046	
P.4.2	60	1,0	0,5	0,023	0,017	0,013	0,032	0,024	0,017	0,046	0,035	0,023	0,061	0,045	0,03	0,081	0,058	0,046	
M.1.1	60	1,0	0,5	0,023	0,017	0,013	0,032	0,024	0,017	0,046	0,035	0,023	0,061	0,045	0,03	0,081	0,058	0,046	
M.2.1	40	1,0	0,5	0,02	0,015	0,012	0,028	0,021	0,015	0,039	0,029	0,02	0,053	0,039	0,026	0,069	0,029	0,035	
M.3.1	60	1,0	0,5	0,023	0,017	0,013	0,032	0,024	0,017	0,046	0,035	0,023	0,061	0,045	0,03	0,081	0,058	0,046	
K.1.1	180	1,0	0,5	0,046	0,036	0,025	0,063	0,049	0,036	0,091	0,068	0,046	0,122	0,091	0,061	0,161	0,127	0,081	
K.1.2	140	1,0	0,5	0,046	0,036	0,025	0,063	0,049	0,036	0,091	0,068	0,046	0,122	0,091	0,061	0,161	0,127	0,081	
K.2.1	180	1,0	0,5	0,039	0,030	0,022	0,054	0,041	0,03	0,078	0,058	0,039	0,104	0,077	0,052	0,138	0,104	0,069	
K.2.2	140	1,0	0,5	0,039	0,030	0,022	0,054	0,041	0,03	0,078	0,058	0,039	0,104	0,077	0,052	0,138	0,104	0,069	
K.3.1	140	1,0	0,5	0,039	0,030	0,022	0,054	0,041	0,03	0,078	0,058	0,039	0,104	0,077	0,052	0,138	0,104	0,069	
K.3.2	120	1,0	0,5	0,032	0,025	0,018	0,046	0,036	0,025	0,066	0,048	0,032	0,087	0,064	0,044	0,115	0,092	0,058	
N.1.1																			
N.1.2																			
N.2.1																			
N.2.2																			
N.2.3																			
N.3.1	250	1,0	0,5	0,036	0,028	0,020	0,049	0,038	0,028	0,071	0,053	0,036	0,095	0,071	0,047	0,127	0,092	0,069	
N.3.2	250	1,0	0,5	0,036	0,028	0,020	0,049	0,038	0,028	0,071	0,053	0,036	0,095	0,071	0,047	0,127	0,092	0,069	
N.3.3	250	1,0	0,5	0,036	0,028	0,020	0,049	0,038	0,028	0,071	0,053	0,036	0,095	0,071	0,047	0,127	0,092	0,069	
N.4.1																			
S.1.1	40	0,5	0,25	0,02	0,015	0,012	0,028	0,021	0,015	0,039	0,029	0,02	0,053	0,039	0,026	0,069	0,029	0,035	
S.1.2	40	0,5	0,25	0,02	0,015	0,012	0,028	0,021	0,015	0,039	0,029	0,02	0,053	0,039	0,026	0,069	0,029	0,035	
S.2.1	25	0,5	0,25	0,018	0,014	0,010	0,025	0,02	0,014	0,037	0,026	0,018	0,048	0,036	0,024	0,069	0,046	0,035	
S.2.2	25	0,5	0,25	0,018	0,014	0,010	0,025	0,02	0,014	0,037	0,026	0,018	0,048	0,036	0,024	0,069	0,046	0,035	
S.2.3	25	0,5	0,25	0,018	0,014	0,010	0,025	0,02	0,014	0,037	0,026	0,018	0,048	0,036	0,024	0,069	0,046	0,035	
S.3.1	50	0,5	0,25	0,029	0,022	0,016	0,040	0,031	0,023	0,058	0,044	0,029	0,077	0,058	0,039	0,104	0,081	0,058	
S.3.2	40	0,5	0,25	0,029	0,022	0,016	0,040	0,031	0,022	0,058	0,043	0,029	0,076	0,056	0,038	0,104	0,081	0,058	
S.3.3	40	0,5	0,25	0,025	0,020	0,015	0,036	0,028	0,021	0,052	0,039	0,026	0,069	0,052	0,035	0,092	0,069	0,046	
H.1.1	100	0,5	0,5	0,023	0,018	0,013	0,032	0,025	0,018	0,047	0,035	0,023	0,062	0,046	0,031	0,081	0,058	0,046	
H.1.2	100	0,5	0,3	0,023	0,018	0,013	0,032	0,025	0,018	0,047	0,035	0,023	0,062	0,046	0,031	0,081	0,058	0,046	
H.1.3	100	0,5	0,15	0,023	0,018	0,013	0,032	0,025	0,018	0,047	0,035	0,023	0,062	0,046	0,031	0,081	0,058	0,046	
H.1.4																			
H.2.1																			
H.3.1																			
O.1.1																			
O.1.2																			
O.2.1																			
O.2.2																			
O.3.1																			



Angle de ramping et de plongée hélicoïdale = 3°

Index	52 205 ..., 52 226 ..., 52 227 ...															● 1er choix			
	$\emptyset DC$ (mm) =															○ Utilisation possible			
	10				12				16				20				25		
	a_s 0,1–0,2 x DC	a_s 0,3–0,4 x DC	a_s 0,6–1,0 x DC	a_s 0,1–0,2 x DC	a_s 0,3–0,4 x DC	a_s 0,6–1,0 x DC	a_s 0,1–0,2 x DC	a_s 0,3–0,4 x DC	a_s 0,6–1,0 x DC	a_s 0,1–0,2 x DC	a_s 0,3–0,4 x DC	a_s 0,6–1,0 x DC	a_s 0,1–0,2 x DC	a_s 0,3–0,4 x DC	a_s 0,6–1,0 x DC	a_s 0,1–0,2 x DC	a_s 0,3–0,4 x DC	a_s 0,6–1,0 x DC	
f_z (mm/dt)																			
P.1.1	0,161	0,115	0,081	0,173	0,127	0,029	0,184	0,15	0,115	0,23	0,184	0,138	0,276	0,23	0,184	●	○	○	
P.1.2	0,173	0,127	0,092	0,196	0,138	0,092	0,207	0,161	0,127	0,242	0,196	0,161	0,288	0,242	0,196	●	○	○	
P.1.3	0,173	0,127	0,092	0,196	0,138	0,092	0,207	0,161	0,127	0,242	0,196	0,161	0,288	0,242	0,196	●	○	○	
P.1.4	0,173	0,127	0,092	0,196	0,138	0,092	0,207	0,161	0,127	0,242	0,196	0,161	0,288	0,242	0,196	●	○	○	
P.1.5	0,173	0,127	0,092	0,196	0,138	0,092	0,207	0,161	0,127	0,242	0,196	0,161	0,288	0,242	0,196	●	○	○	
P.2.1	0,173	0,127	0,092	0,196	0,138	0,092	0,207	0,161	0,127	0,242	0,196	0,161	0,288	0,242	0,196	●	○	○	
P.2.2	0,173	0,127	0,092	0,196	0,138	0,092	0,207	0,161	0,127	0,242	0,196	0,161	0,288	0,242	0,196	●	○	○	
P.2.3	0,173	0,127	0,092	0,196	0,138	0,092	0,207	0,161	0,127	0,242	0,196	0,161	0,288	0,242	0,196	●	○	○	
P.2.4	0,173	0,127	0,092	0,196	0,138	0,092	0,207	0,161	0,127	0,242	0,196	0,161	0,288	0,242	0,196	●	○	○	
P.3.1	0,104	0,081	0,046	0,115	0,081	0,058	0,115	0,092	0,069	0,15	0,115	0,092	0,184	0,15	0,115	●			
P.3.2	0,115	0,092	0,058	0,127	0,092	0,069	0,138	0,104	0,081	0,161	0,138	0,104	0,184	0,161	0,138	●	○	○	
P.3.3	0,115	0,092	0,058	0,127	0,092	0,069	0,138	0,104	0,081	0,161	0,138	0,104	0,184	0,161	0,138	●	○	○	
P.4.1	0,104	0,081	0,046	0,115	0,081	0,058	0,115	0,092	0,069	0,15	0,115	0,092	0,184	0,150	0,115	●			
P.4.2	0,104	0,081	0,046	0,115	0,081	0,058	0,115	0,092	0,069	0,15	0,115	0,092	0,184	0,150	0,115	●			
M.1.1	0,104	0,081	0,046	0,115	0,081	0,058	0,115	0,092	0,069	0,15	0,115	0,092	0,184	0,150	0,115	●			
M.2.1	0,092	0,069	0,046	0,092	0,069	0,046	0,104	0,081	0,058	0,127	0,104	0,081	0,15	0,127	0,104	●			
M.3.1	0,104	0,081	0,046	0,115	0,081	0,058	0,115	0,092	0,069	0,15	0,115	0,092	0,184	0,150	0,115	●			
K.1.1	0,207	0,15	0,104	0,219	0,161	0,115	0,242	0,184	0,138	0,288	0,23	0,184	0,345	0,288	0,230	○	●	○	
K.1.2	0,207	0,15	0,104	0,219	0,161	0,115	0,242	0,184	0,138	0,288	0,23	0,184	0,345	0,288	0,230	○	●	○	
K.2.1	0,173	0,127	0,092	0,196	0,138	0,092	0,207	0,161	0,127	0,242	0,196	0,161	0,288	0,242	0,196	○	●	○	
K.2.2	0,173	0,127	0,092	0,196	0,138	0,092	0,207	0,161	0,127	0,242	0,196	0,161	0,288	0,242	0,196	○	●	○	
K.3.1	0,173	0,127	0,092	0,196	0,138	0,092	0,207	0,161	0,127	0,242	0,196	0,161	0,288	0,242	0,196	○	●	○	
K.3.2	0,15	0,104	0,069	0,161	0,115	0,081	0,173	0,127	0,104	0,207	0,173	0,127	0,242	0,207	0,173	○	●	○	
N.1.1																			
N.1.2																			
N.2.1																			
N.2.2																			
N.2.3																			
N.3.1	0,161	0,115	0,081	0,173	0,127	0,092	0,184	0,15	0,127	0,23	0,184	0,138	0,276	0,230	0,184	●		○	
N.3.2	0,161	0,115	0,081	0,173	0,127	0,092	0,184	0,15	0,127	0,23	0,184	0,138	0,276	0,230	0,184	●		○	
N.3.3	0,161	0,115	0,081	0,173	0,127	0,092	0,184	0,15	0,115	0,23	0,184	0,138	0,276	0,230	0,184	●		○	
N.4.1																			
S.1.1	0,092	0,069	0,046	0,092	0,069	0,046	0,104	0,081	0,058	0,127	0,104	0,081	0,15	0,127	0,104	●			
S.1.2	0,092	0,069	0,046	0,092	0,069	0,046	0,104	0,081	0,058	0,127	0,104	0,081	0,15	0,127	0,104	●			
S.2.1	0,081	0,058	0,046	0,092	0,035	0,046	0,092	0,069	0,058	0,115	0,092	0,069	0,138	0,115	0,092	●			
S.2.2	0,081	0,058	0,046	0,092	0,035	0,046	0,092	0,069	0,058	0,115	0,092	0,069	0,138	0,115	0,092	●			
S.2.3	0,081	0,058	0,046	0,092	0,035	0,046	0,092	0,069	0,058	0,115	0,092	0,069	0,138	0,115	0,092	●			
S.3.1	0,127	0,092	0,069	0,138	0,104	0,069	0,15	0,115	0,092	0,184	0,15	0,115	0,219	0,184	0,15	●			
S.3.2	0,127	0,092	0,069	0,138	0,104	0,069	0,15	0,115	0,092	0,184	0,15	0,115	0,219	0,184	0,15	●			
S.3.3	0,115	0,092	0,058	0,127	0,092	0,069	0,138	0,104	0,081	0,161	0,138	0,104	0,184	0,161	0,138	●			
H.1.1	0,104	0,081	0,058	0,115	0,081	0,058	0,127	0,092	0,069	0,150	0,127	0,092	0,173	0,150	0,127	●			
H.1.2	0,104	0,081	0,058	0,115	0,081	0,058	0,127	0,092	0,069	0,150	0,127	0,092	0,173	0,150	0,127	●			
H.1.3	0,104	0,081	0,058	0,115	0,081	0,058	0,127	0,092	0,069	0,150	0,127	0,092	0,173	0,150	0,127	●			
H.1.4																			
H.2.1																			
H.3.1																			
O.1.1																			
O.1.2																			
O.2.1																			
O.2.2																			
O.3.1																			

Conditions de coupe – S-Cut – SC-UNI, version longue, ZEFP = 5

Index	Type long	Angle maximal d'engagement	52 230 ...															
			\emptyset DC (mm) =															
			6				8				10				12			
			a_e 0,050 x DC	a_e 0,1 x DC	a_e 0,150 x DC	h_m	a_e 0,050 x DC	a_e 0,1 x DC	a_e 0,150 x DC	h_m	a_e 0,050 x DC	a_e 0,1 x DC	a_e 0,150 x DC	h_m	a_e 0,050 x DC	a_e 0,1 x DC	a_e 0,150 x DC	h_m
			f_z (mm/dt)		f_z (mm/dt)		f_z (mm/dt)		f_z (mm/dt)		f_z (mm/dt)		f_z (mm/dt)		f_z (mm/dt)		f_z (mm/dt)	
P.1.1	280	50°	0,134	0,095	0,077	0,030	0,157	0,111	0,090	0,035	0,201	0,142	0,116	0,045	0,255	0,180	0,147	0,057
P.1.2	280	50°	0,112	0,079	0,065	0,025	0,143	0,101	0,083	0,032	0,179	0,126	0,103	0,040	0,228	0,161	0,132	0,051
P.1.3	280	50°	0,112	0,079	0,065	0,025	0,143	0,101	0,083	0,032	0,179	0,126	0,103	0,040	0,228	0,161	0,132	0,051
P.1.4	260	50°	0,112	0,079	0,065	0,025	0,143	0,101	0,083	0,032	0,179	0,126	0,103	0,040	0,228	0,161	0,132	0,051
P.1.5	260	50°	0,112	0,079	0,065	0,025	0,143	0,101	0,083	0,032	0,179	0,126	0,103	0,040	0,228	0,161	0,132	0,051
P.2.1	280	50°	0,134	0,095	0,077	0,030	0,157	0,111	0,090	0,035	0,201	0,142	0,116	0,045	0,255	0,180	0,147	0,057
P.2.2	280	50°	0,134	0,095	0,077	0,030	0,157	0,111	0,090	0,035	0,201	0,142	0,116	0,045	0,255	0,180	0,147	0,057
P.2.3	280	50°	0,112	0,079	0,065	0,025	0,143	0,101	0,083	0,032	0,179	0,126	0,103	0,040	0,228	0,161	0,132	0,051
P.2.4	280	50°	0,112	0,079	0,065	0,025	0,143	0,101	0,083	0,032	0,179	0,126	0,103	0,040	0,228	0,161	0,132	0,051
P.3.1	160	50°	0,080	0,057	0,046	0,018	0,098	0,070	0,057	0,022	0,125	0,089	0,072	0,028	0,161	0,114	0,093	0,036
P.3.2	220	50°	0,112	0,079	0,065	0,025	0,143	0,101	0,083	0,032	0,179	0,126	0,103	0,040	0,228	0,161	0,132	0,051
P.3.3	220	50°	0,112	0,079	0,065	0,025	0,143	0,101	0,083	0,032	0,179	0,126	0,103	0,040	0,228	0,161	0,132	0,051
P.4.1	180	50°	0,080	0,057	0,046	0,018	0,098	0,070	0,057	0,022	0,125	0,089	0,072	0,028	0,161	0,114	0,093	0,036
P.4.2	180	50°	0,080	0,057	0,046	0,018	0,098	0,070	0,057	0,022	0,125	0,089	0,072	0,028	0,161	0,114	0,093	0,036
M.1.1	140	45°	0,080	0,057	0,046	0,018	0,098	0,070	0,057	0,022	0,125	0,089	0,072	0,028	0,161	0,114	0,093	0,036
M.2.1	140	45°	0,080	0,057	0,046	0,018	0,098	0,070	0,057	0,022	0,125	0,089	0,072	0,028	0,161	0,114	0,093	0,036
M.3.1	140	45°	0,080	0,057	0,046	0,018	0,098	0,070	0,057	0,022	0,125	0,089	0,072	0,028	0,161	0,114	0,093	0,036
K.1.1	300	50°	0,134	0,095	0,077	0,030	0,157	0,111	0,090	0,035	0,201	0,142	0,116	0,045	0,255	0,180	0,147	0,057
K.1.2	300	50°	0,134	0,095	0,077	0,030	0,157	0,111	0,090	0,035	0,201	0,142	0,116	0,045	0,255	0,180	0,147	0,057
K.2.1	300	50°	0,134	0,095	0,077	0,030	0,157	0,111	0,090	0,035	0,201	0,142	0,116	0,045	0,255	0,180	0,147	0,057
K.2.2	260	50°	0,134	0,095	0,077	0,030	0,157	0,111	0,090	0,035	0,201	0,142	0,116	0,045	0,255	0,180	0,147	0,057
K.3.1	260	50°	0,112	0,079	0,065	0,025	0,157	0,111	0,090	0,035	0,179	0,126	0,103	0,040	0,228	0,161	0,132	0,051
K.3.2	200	50°	0,112	0,079	0,065	0,025	0,157	0,111	0,090	0,035	0,179	0,126	0,103	0,040	0,228	0,161	0,132	0,051
N.1.1																		
N.1.2																		
N.2.1																		
N.2.2																		
N.2.3																		
N.3.1																		
N.3.2																		
N.3.3																		
N.4.1																		
S.1.1	140	40°	0,080	0,057	0,046	0,018	0,098	0,070	0,057	0,022	0,125	0,089	0,072	0,028	0,161	0,114	0,093	0,036
S.1.2	140	40°	0,080	0,057	0,046	0,018	0,098	0,070	0,057	0,022	0,125	0,089	0,072	0,028	0,161	0,114	0,093	0,036
S.2.1	60	40°	0,045	0,032	0,026	0,010	0,054	0,038	0,031	0,012	0,067	0,047	0,039	0,015	0,085	0,060	0,049	0,019
S.2.2	60	40°	0,045	0,032	0,026	0,010	0,054	0,038	0,031	0,012	0,067	0,047	0,039	0,015	0,085	0,060	0,049	0,019
S.2.3	60	40°	0,045	0,032	0,026	0,010	0,054	0,038	0,031	0,012	0,067	0,047	0,039	0,015	0,085	0,060	0,049	0,019
S.3.1	140	40°	0,045	0,032	0,026	0,010	0,072	0,051	0,041	0,016	0,089	0,063	0,052	0,020	0,112	0,079	0,065	0,025
S.3.2	120	40°	0,045	0,032	0,026	0,010	0,072	0,051	0,041	0,016	0,089	0,063	0,052	0,020	0,112	0,079	0,065	0,025
S.3.3	100	40°	0,045	0,032	0,026	0,010	0,054	0,038	0,031	0,012	0,067	0,047	0,039	0,015	0,085	0,060	0,049	0,019
H.1.1																		
H.1.2																		
H.1.3																		
H.1.4																		
H.2.1																		
H.3.1																		
O.1.1																		
O.1.2																		
O.2.1																		
O.2.2																		
O.3.1																		

 Les profondeurs de coupe correspondent à la longueur taillée des outils

Index	52 230 ...								● 1er choix		
	\varnothing DC (mm) =								○ Utilisation possible		
	16				20				Emulsion	Air	MMS
	a_e 0,050 x DC	a_e 0,1 x DC	a_e 0,150 x DC	h_m	a_e 0,050 x DC	a_e 0,1 x DC	a_e 0,150 x DC	h_m			
	f_z (mm/dt)				f_z (mm/dt)						
P.1.1	0,291	0,206	0,168	0,065	0,335	0,237	0,194	0,075	○	●	○
P.1.2	0,268	0,190	0,155	0,060	0,291	0,206	0,168	0,065	○	●	○
P.1.3	0,268	0,190	0,155	0,060	0,291	0,206	0,168	0,065	○	●	○
P.1.4	0,268	0,190	0,155	0,060	0,291	0,206	0,168	0,065	○	●	○
P.1.5	0,268	0,190	0,155	0,060	0,291	0,206	0,168	0,065	○	●	○
P.2.1	0,291	0,206	0,168	0,065	0,335	0,237	0,194	0,075	○	●	○
P.2.2	0,291	0,206	0,168	0,065	0,335	0,237	0,194	0,075	○	●	○
P.2.3	0,268	0,190	0,155	0,060	0,291	0,206	0,168	0,065	○	●	○
P.2.4	0,268	0,190	0,155	0,060	0,291	0,206	0,168	0,065	○	●	○
P.3.1	0,188	0,133	0,108	0,042	0,268	0,190	0,155	0,060	●		
P.3.2	0,268	0,190	0,155	0,060	0,291	0,206	0,168	0,065	○	●	○
P.3.3	0,268	0,190	0,155	0,060	0,291	0,206	0,168	0,065	○	●	○
P.4.1	0,188	0,133	0,108	0,042	0,268	0,190	0,155	0,060	●		
P.4.2	0,188	0,133	0,108	0,042	0,268	0,190	0,155	0,060	●		
M.1.1	0,188	0,133	0,108	0,042	0,268	0,190	0,155	0,060	●		
M.2.1	0,188	0,133	0,108	0,042	0,268	0,190	0,155	0,060	●		
M.3.1	0,188	0,133	0,108	0,042	0,268	0,190	0,155	0,060	●		
K.1.1	0,291	0,206	0,168	0,065	0,335	0,237	0,194	0,075	○	●	○
K.1.2	0,291	0,206	0,168	0,065	0,335	0,237	0,194	0,075	○	●	○
K.2.1	0,291	0,206	0,168	0,065	0,335	0,237	0,194	0,075	○	●	○
K.2.2	0,291	0,206	0,168	0,065	0,335	0,237	0,194	0,075	○	●	○
K.3.1	0,268	0,190	0,155	0,060	0,291	0,206	0,168	0,065	○	●	○
K.3.2	0,268	0,190	0,155	0,060	0,291	0,206	0,168	0,065	○	●	○
N.1.1											
N.1.2											
N.2.1											
N.2.2											
N.2.3											
N.3.1											
N.3.2											
N.3.3											
N.4.1											
S.1.1	0,188	0,133	0,108	0,042	0,268	0,190	0,155	0,060	●		
S.1.2	0,188	0,133	0,108	0,042	0,268	0,190	0,155	0,060	●		
S.2.1	0,116	0,082	0,067	0,026	0,161	0,114	0,093	0,036	●		
S.2.2	0,116	0,082	0,067	0,026	0,161	0,114	0,093	0,036	●		
S.2.3	0,116	0,082	0,067	0,026	0,161	0,114	0,093	0,036	●		
S.3.1	0,157	0,111	0,090	0,035	0,219	0,155	0,127	0,049	●		
S.3.2	0,157	0,111	0,090	0,035	0,219	0,155	0,127	0,049	●		
S.3.3	0,116	0,082	0,067	0,026	0,161	0,114	0,093	0,036	●		
H.1.1											
H.1.2											
H.1.3											
H.1.4											
H.2.1											
H.3.1											
O.1.1											
O.1.2											
O.2.1											
O.2.2											
O.3.1											

Conditions de coupe – 3D Finish – Fraises en forme de tonneau

Index	v _c (m/min)	52 739 ...		● 1er choix		
		Ø DC (mm) = 10		○ Utilisation possible		
		a _e 0,05–0,10	a _e 0,10–0,20	Emulsion	Air	MMS
		f _z (mm/dt)				
P.1.1	280	0,07	0,06	●	●	○
P.1.2	250	0,07	0,05	●	●	○
P.1.3	250	0,07	0,05	●	●	○
P.1.4	250	0,07	0,05	●	●	○
P.1.5	250	0,07	0,05	●	●	○
P.2.1	250	0,07	0,05	●	●	○
P.2.2	250	0,07	0,05	●	●	○
P.2.3	210	0,06	0,04	●	●	○
P.2.4	210	0,06	0,04	●	●	○
P.3.1	210	0,06	0,04	●	●	○
P.3.2	200	0,05	0,03		●	
P.3.3	200	0,05	0,03		●	
P.4.1	80	0,05	0,03	●		○
P.4.2	80	0,05	0,03	●		○
M.1.1	60	0,04	0,02	●		○
M.2.1	60	0,04	0,02	●		○
M.3.1	60	0,04	0,02	●		○
K.1.1	280	0,08	0,06		●	
K.1.2	280	0,08	0,06		●	
K.2.1	250	0,07	0,05		●	
K.2.2	250	0,07	0,05		●	
K.3.1	140	0,04	0,03		●	
K.3.2	140	0,04	0,03		●	
N.1.1	600	0,07	0,05	●		○
N.1.2	600	0,06	0,04	●		○
N.2.1	410	0,07	0,05	●		○
N.2.2						
N.2.3						
N.3.1	180	0,08	0,06	●	○	○
N.3.2	180	0,08	0,06	●		○
N.3.3	180	0,08	0,06	●		○
N.4.1	410	0,10	0,08	●		○
S.1.1	30	0,04	0,02	●		
S.1.2	30	0,04	0,02	●		
S.2.1	30	0,04	0,02	●		
S.2.2	30	0,04	0,02	●		
S.2.3	30	0,04	0,02	●		
S.3.1	100	0,04	0,02	●		
S.3.2	80	0,04	0,02	●		
S.3.3	60	0,04	0,02	●		
H.1.1	100	0,05	0,03		●	
H.1.2						
H.1.3						
H.1.4						
H.2.1	130	0,05	0,03		●	
H.3.1	100	0,05	0,03		●	
O.1.1	410	0,10	0,08	●	○	○
O.1.2	600	0,10	0,08	●		○
O.2.1						
O.2.2						
O.3.1						



Tenir compte du diamètre DC pour le calcul de la vitesse de rotation N.

Conditions de coupe – 3D Finish – Fraises de forme ovale

Index	v_c (m/min)	52 745 ...														Emulsion	Air	MMS			
		$\emptyset DC$ (mm) =																			
		6		8		10		12		16		f_z (mm/dt)									
		a_e 0,05-0,10	a_e 0,1-0,2	a_e 0,2-0,3	a_e 0,05-0,10	a_e 0,1-0,2	a_e 0,2-0,3	a_e 0,05-0,10	a_e 0,1-0,2	a_e 0,2-0,3	a_e 0,05-0,10	a_e 0,1-0,2	a_e 0,2-0,3	a_e 0,05-0,10	a_e 0,1-0,2	a_e 0,2-0,3					
P.1.1	280	0,04	0,04	0,04	0,06	0,06	0,05	0,07	0,07	0,06	0,08	0,08	0,07	0,11	0,11	0,10	●	●	○		
P.1.2	250	0,04	0,04	0,03	0,06	0,05	0,04	0,07	0,06	0,05	0,08	0,07	0,06	0,11	0,10	0,08	●	●	○		
P.1.3	250	0,04	0,04	0,03	0,06	0,05	0,04	0,07	0,06	0,05	0,08	0,07	0,06	0,11	0,10	0,08	●	●	○		
P.1.4	250	0,04	0,04	0,03	0,06	0,05	0,04	0,07	0,06	0,05	0,08	0,07	0,06	0,11	0,10	0,08	●	●	○		
P.1.5	250	0,04	0,04	0,03	0,06	0,05	0,04	0,07	0,06	0,05	0,08	0,07	0,06	0,11	0,10	0,08	●	●	○		
P.2.1	250	0,04	0,04	0,03	0,06	0,05	0,04	0,07	0,06	0,05	0,08	0,07	0,06	0,11	0,10	0,08	●	●	○		
P.2.2	250	0,04	0,04	0,03	0,06	0,05	0,04	0,07	0,06	0,05	0,08	0,07	0,06	0,11	0,10	0,08	●	●	○		
P.2.3	210	0,04	0,03	0,02	0,05	0,04	0,03	0,06	0,05	0,04	0,07	0,06	0,05	0,10	0,08	0,06	●	●	○		
P.2.4	210	0,04	0,03	0,02	0,05	0,04	0,03	0,06	0,05	0,04	0,07	0,06	0,05	0,10	0,08	0,06	●	●	○		
P.3.1	210	0,04	0,03	0,02	0,05	0,04	0,03	0,06	0,05	0,04	0,07	0,06	0,05	0,10	0,08	0,06	●	●	○		
P.3.2	200	0,03	0,02	0,02	0,04	0,03	0,02	0,05	0,04	0,03	0,06	0,05	0,04	0,08	0,06	0,05	●				
P.3.3	200	0,03	0,02	0,02	0,04	0,03	0,02	0,05	0,04	0,03	0,06	0,05	0,04	0,08	0,06	0,05	●				
P.4.1	80	0,03	0,02	0,02	0,04	0,03	0,02	0,05	0,04	0,03	0,06	0,05	0,04	0,08	0,06	0,05	●		○		
P.4.2	80	0,03	0,02	0,02	0,04	0,03	0,02	0,05	0,04	0,03	0,06	0,05	0,04	0,08	0,06	0,05	●		○		
M.1.1	60	0,02	0,02	0,01	0,03	0,02	0,02	0,04	0,03	0,02	0,05	0,04	0,02	0,06	0,05	0,03	●		○		
M.2.1	60	0,02	0,02	0,01	0,03	0,02	0,02	0,04	0,03	0,02	0,05	0,04	0,02	0,06	0,05	0,03	●		○		
M.3.1	60	0,02	0,02	0,01	0,03	0,02	0,02	0,04	0,03	0,02	0,05	0,04	0,02	0,06	0,05	0,03	●		○		
K.1.1	280	0,05	0,04	0,04	0,06	0,06	0,05	0,08	0,07	0,06	0,10	0,08	0,07	0,13	0,11	0,10		●			
K.1.2	280	0,05	0,04	0,04	0,06	0,06	0,05	0,08	0,07	0,06	0,10	0,08	0,07	0,13	0,11	0,10		●			
K.2.1	250	0,04	0,04	0,03	0,06	0,05	0,04	0,07	0,06	0,05	0,08	0,07	0,06	0,11	0,10	0,08		●			
K.2.2	250	0,04	0,04	0,03	0,06	0,05	0,04	0,07	0,06	0,05	0,08	0,07	0,06	0,11	0,10	0,08		●			
K.3.1	140	0,02	0,02	0,01	0,03	0,02	0,02	0,04	0,03	0,02	0,05	0,04	0,02	0,06	0,05	0,03		●			
K.3.2	140	0,02	0,02	0,01	0,03	0,02	0,02	0,04	0,03	0,02	0,05	0,04	0,02	0,06	0,05	0,03		●			
N.1.1	600	0,04	0,04	0,03	0,06	0,05	0,04	0,07	0,06	0,05	0,08	0,07	0,06	0,11	0,10	0,08	●		○		
N.1.2	600	0,04	0,03	0,02	0,05	0,04	0,03	0,06	0,05	0,04	0,07	0,06	0,05	0,10	0,08	0,06	●		○		
N.2.1	410	0,04	0,04	0,03	0,06	0,05	0,04	0,07	0,06	0,05	0,08	0,07	0,06	0,11	0,10	0,08	●		○		
N.2.2																					
N.2.3																					
N.3.1	180	0,05	0,04	0,04	0,06	0,06	0,05	0,08	0,07	0,06	0,10	0,08	0,07	0,13	0,11	0,10	●	○	○		
N.3.2	180	0,05	0,04	0,04	0,06	0,06	0,05	0,08	0,07	0,06	0,10	0,08	0,07	0,13	0,11	0,10	●		○		
N.3.3	180	0,05	0,04	0,04	0,06	0,06	0,05	0,08	0,07	0,06	0,10	0,08	0,07	0,13	0,11	0,10	●		○		
N.4.1	410	0,06	0,05	0,05	0,08	0,06	0,06	0,10	0,08	0,08	0,12	0,10	0,10	0,16	0,13	0,13	●		○		
S.1.1	30	0,02	0,02	0,01	0,03	0,02	0,02	0,04	0,03	0,02	0,05	0,04	0,02	0,06	0,05	0,03	●				
S.1.2	30	0,02	0,02	0,01	0,03	0,02	0,02	0,04	0,03	0,02	0,05	0,04	0,02	0,06	0,05	0,03	●				
S.2.1	30	0,02	0,02	0,01	0,03	0,02	0,02	0,04	0,03	0,02	0,05	0,04	0,02	0,06	0,05	0,03	●				
S.2.2	30	0,02	0,02	0,01	0,03	0,02	0,02	0,04	0,03	0,02	0,05	0,04	0,02	0,06	0,05	0,03	●				
S.2.3	30	0,02	0,02	0,01	0,03	0,02	0,02	0,04	0,03	0,02	0,05	0,04	0,02	0,06	0,05	0,03	●				
S.3.1	100	0,04	0,03	0,02	0,05	0,04	0,03	0,06	0,05	0,04	0,07	0,06	0,05	0,10	0,08	0,06	●				
S.3.2	80	0,03	0,02	0,02	0,04	0,03	0,02	0,05	0,04	0,03	0,06	0,05	0,04	0,08	0,06	0,05	●				
S.3.3	60	0,03	0,02	0,02	0,04	0,03	0,02	0,05	0,04	0,03	0,06	0,05	0,04	0,08	0,06	0,05	●				
H.1.1	100	0,03	0,02	0,02	0,04	0,03	0,02	0,05	0,04	0,03	0,06	0,05	0,04	0,08	0,06	0,05		●			
H.1.2																					
H.1.3																					
H.1.4																					
H.2.1	130	0,03	0,02	0,02	0,04	0,03	0,02	0,05	0,04	0,03	0,06	0,05	0,04	0,08	0,06	0,05		●			
H.3.1	100	0,03	0,02	0,02	0,04	0,03	0,02	0,05	0,04	0,03	0,06	0,05	0,04	0,08	0,06	0,05		●			
O.1.1	410	0,06	0,05	0,05	0,08	0,06	0,06	0,10	0,08	0,08	0,12	0,10	0,10	0,16	0,13	0,13	●	○	○		
O.1.2	600	0,06	0,05	0,05	0,08	0,06	0,06	0,10	0,08	0,08	0,12	0,10	0,10	0,16	0,13	0,13	●	○	○		
O.2.1																					
O.2.2																					
O.3.1																					



Tenir compte du diamètre DC pour le calcul de la vitesse de rotation N.

Conditions de coupe – 3D Finish – Fraises de forme conique

Index	v_c (m/min)	52 753 ..., 52 755 ...										● 1er choix		
		\emptyset DC (mm) =										Emulsion	Air	MMS
		6		8		10		12		16				
		a_e 0,05–0,10	a_e 0,1–0,2	a_e 0,05–0,10	a_e 0,1–0,2	a_e 0,05–0,10	a_e 0,1–0,2	a_e 0,05–0,10	a_e 0,1–0,2	a_e 0,05–0,10	a_e 0,1–0,2			
P.1.1	280	0,04	0,02	0,05	0,03	0,06	0,04	0,07	0,05	0,10	0,06	●	●	○
P.1.2	250	0,04	0,02	0,05	0,03	0,06	0,04	0,07	0,05	0,10	0,06	●	●	○
P.1.3	250	0,04	0,02	0,05	0,03	0,06	0,04	0,07	0,05	0,10	0,06	●	●	○
P.1.4	250	0,04	0,02	0,05	0,03	0,06	0,04	0,07	0,05	0,10	0,06	●	●	○
P.1.5	250	0,04	0,02	0,05	0,03	0,06	0,04	0,07	0,05	0,10	0,06	●	●	○
P.2.1	250	0,04	0,02	0,05	0,03	0,06	0,04	0,07	0,05	0,10	0,06	●	●	○
P.2.2	250	0,04	0,02	0,05	0,03	0,06	0,04	0,07	0,05	0,10	0,06	●	●	○
P.2.3	210	0,03	0,02	0,04	0,02	0,05	0,03	0,06	0,04	0,08	0,05	●	●	○
P.2.4	210	0,03	0,02	0,04	0,02	0,05	0,03	0,06	0,04	0,08	0,05	●	●	○
P.3.1	210	0,03	0,02	0,04	0,02	0,05	0,03	0,06	0,04	0,08	0,05	●	●	○
P.3.2	200	0,02	0,02	0,03	0,02	0,04	0,03	0,05	0,04	0,06	0,05	●		
P.3.3	200	0,02	0,02	0,03	0,02	0,04	0,03	0,05	0,04	0,06	0,05	●		
P.4.1	80	0,02	0,02	0,03	0,02	0,04	0,03	0,05	0,04	0,06	0,05	●		○
P.4.2	80	0,02	0,02	0,03	0,02	0,04	0,03	0,05	0,04	0,06	0,05	●		○
M.1.1	60	0,02	0,01	0,02	0,02	0,03	0,02	0,04	0,02	0,05	0,03	●		○
M.2.1	60	0,02	0,01	0,02	0,02	0,03	0,02	0,04	0,02	0,05	0,03	●		○
M.3.1	60	0,02	0,01	0,02	0,02	0,03	0,02	0,04	0,02	0,05	0,03	●		○
K.1.1	280	0,04	0,03	0,06	0,04	0,07	0,05	0,08	0,06	0,11	0,08		●	
K.1.2	280	0,04	0,03	0,06	0,04	0,07	0,05	0,08	0,06	0,11	0,08		●	
K.2.1	250	0,04	0,03	0,05	0,04	0,06	0,05	0,07	0,06	0,10	0,08		●	
K.2.2	250	0,04	0,03	0,05	0,04	0,06	0,05	0,07	0,06	0,10	0,08		●	
K.3.1	140	0,02	0,01	0,02	0,02	0,03	0,02	0,04	0,02	0,05	0,03		●	
K.3.2	140	0,02	0,01	0,02	0,02	0,03	0,02	0,04	0,02	0,05	0,03		●	
N.1.1	600	0,04	0,02	0,05	0,03	0,06	0,04	0,07	0,05	0,10	0,06	●		○
N.1.2	600	0,03	0,02	0,04	0,03	0,05	0,04	0,06	0,05	0,08	0,06	●		○
N.2.1	410	0,04	0,02	0,05	0,03	0,06	0,04	0,07	0,05	0,10	0,06	●		○
N.2.2														
N.2.3														
N.3.1	180	0,04	0,03	0,05	0,04	0,06	0,05	0,07	0,06	0,10	0,08	●	○	○
N.3.2	180	0,04	0,03	0,05	0,04	0,06	0,05	0,07	0,06	0,10	0,08	●		○
N.3.3	180	0,04	0,03	0,05	0,04	0,06	0,05	0,07	0,06	0,10	0,08	●		○
N.4.1	410	0,06	0,05	0,08	0,06	0,10	0,08	0,12	0,10	0,16	0,13	●		○
S.1.1	30	0,02	0,01	0,02	0,02	0,03	0,02	0,04	0,02	0,05	0,03	●		
S.1.2	30	0,02	0,01	0,02	0,02	0,03	0,02	0,04	0,02	0,05	0,03	●		
S.2.1	30	0,02	0,01	0,02	0,02	0,03	0,02	0,04	0,02	0,05	0,03	●		
S.2.2	30	0,02	0,01	0,02	0,02	0,03	0,02	0,04	0,02	0,05	0,03	●		
S.2.3	30	0,02	0,01	0,02	0,02	0,03	0,02	0,04	0,02	0,05	0,03	●		
S.3.1	100	0,02	0,01	0,02	0,02	0,03	0,02	0,04	0,02	0,05	0,03	●		
S.3.2	80	0,02	0,01	0,02	0,02	0,03	0,02	0,04	0,02	0,05	0,03	●		
S.3.3	60	0,02	0,01	0,02	0,02	0,03	0,02	0,04	0,02	0,05	0,03	●		
H.1.1	100	0,02	0,02	0,03	0,02	0,04	0,03	0,05	0,04	0,06	0,05	●		
H.1.2														
H.1.3														
H.1.4														
H.2.1	130	0,02	0,02	0,03	0,02	0,04	0,03	0,05	0,04	0,06	0,05	●		
H.3.1	100	0,02	0,02	0,03	0,02	0,04	0,03	0,05	0,04	0,06	0,05	●		
O.1.1	410	0,06	0,05	0,08	0,06	0,10	0,08	0,12	0,10	0,16	0,13	●	○	○
O.1.2	600	0,06	0,05	0,08	0,06	0,10	0,08	0,12	0,10	0,16	0,13	●		○
O.2.1														
O.2.2														
O.3.1														



Tenir compte du diamètre DC pour le calcul de la vitesse de rotation N.

Conditions de coupe – 3D Finish – Fraises de forme lenticulaire

Index	v_c (m/min)	52 756 ...										● 1er choix		
		$\emptyset DC$ (mm) =										○ Utilisation possible		
		4		6		8		10		12		Emulsion	Air	MMS
		0,05–0,10	0,1–0,2	0,05–0,10	0,1–0,2	0,05–0,10	0,1–0,2	0,05–0,10	0,1–0,2	0,05–0,10	0,1–0,2			
		f_z (mm/dt)												
P.1.1	280	0,03	0,02	0,04	0,03	0,06	0,04	0,07	0,05	0,08	0,06	●	●	○
P.1.2	240	0,03	0,02	0,04	0,03	0,06	0,04	0,07	0,05	0,08	0,06	●	●	○
P.1.3	240	0,03	0,02	0,04	0,03	0,06	0,04	0,07	0,05	0,08	0,06	●	●	○
P.1.4	240	0,03	0,02	0,04	0,03	0,06	0,04	0,07	0,05	0,08	0,06	●	●	○
P.1.5	240	0,03	0,02	0,04	0,03	0,06	0,04	0,07	0,05	0,08	0,06	●	●	○
P.2.1	240	0,03	0,02	0,04	0,03	0,06	0,04	0,07	0,05	0,08	0,06	●	●	○
P.2.2	240	0,03	0,02	0,04	0,03	0,06	0,04	0,07	0,05	0,08	0,06	●	●	○
P.2.3	200	0,02	0,02	0,04	0,02	0,05	0,03	0,06	0,04	0,07	0,05	●	●	○
P.2.4	200	0,02	0,02	0,04	0,02	0,05	0,03	0,06	0,04	0,07	0,05	●	●	○
P.3.1	200	0,02	0,02	0,04	0,02	0,05	0,03	0,06	0,04	0,07	0,05	●	●	○
P.3.2	180	0,02	0,01	0,03	0,02	0,04	0,02	0,05	0,03	0,06	0,04	●		
P.3.3	180	0,02	0,01	0,03	0,02	0,04	0,02	0,05	0,03	0,06	0,04	●		
P.4.1	120	0,02	0,01	0,03	0,02	0,04	0,02	0,05	0,03	0,06	0,04	●		○
P.4.2	120	0,02	0,01	0,03	0,02	0,04	0,02	0,05	0,03	0,06	0,04	●		○
M.1.1	90	0,02	0,01	0,02	0,01	0,03	0,02	0,04	0,02	0,05	0,02	●		○
M.2.1	90	0,02	0,01	0,02	0,01	0,03	0,02	0,04	0,02	0,05	0,02	●		○
M.3.1	90	0,02	0,01	0,02	0,01	0,03	0,02	0,04	0,02	0,05	0,02	●		○
K.1.1	300	0,03	0,02	0,05	0,04	0,06	0,05	0,08	0,06	0,10	0,07		●	
K.1.2	300	0,03	0,02	0,05	0,04	0,06	0,05	0,08	0,06	0,10	0,07		●	
K.2.1	270	0,03	0,02	0,04	0,03	0,06	0,04	0,07	0,05	0,08	0,06		●	
K.2.2	270	0,03	0,02	0,04	0,03	0,06	0,04	0,07	0,05	0,08	0,06		●	
K.3.1	150	0,02	0,01	0,02	0,02	0,03	0,02	0,04	0,03	0,05	0,04		●	
K.3.2	150	0,02	0,01	0,02	0,02	0,03	0,02	0,04	0,03	0,05	0,04		●	
N.1.1	900	0,03	0,02	0,04	0,03	0,06	0,04	0,07	0,05	0,08	0,06	●		○
N.1.2	900	0,02	0,02	0,04	0,02	0,05	0,03	0,06	0,04	0,07	0,05	●		○
N.2.1	600	0,03	0,02	0,04	0,03	0,06	0,04	0,07	0,05	0,08	0,06	●		○
N.2.2														
N.2.3														
N.3.1	270	0,03	0,02	0,05	0,04	0,06	0,05	0,08	0,06	0,10	0,07	●	○	○
N.3.2	270	0,03	0,02	0,05	0,04	0,06	0,05	0,08	0,06	0,10	0,07	●		○
N.3.3	270	0,03	0,02	0,05	0,04	0,06	0,05	0,08	0,06	0,10	0,07	●		○
N.4.1	600	0,04	0,03	0,06	0,05	0,08	0,06	0,10	0,08	0,12	0,10	●		○
S.1.1														
S.1.2														
S.2.1														
S.2.2														
S.2.3														
S.3.1	150	0,02	0,02	0,04	0,02	0,05	0,03	0,06	0,04	0,07	0,05	●		
S.3.2	120	0,02	0,01	0,03	0,02	0,04	0,02	0,05	0,03	0,06	0,04	●		
S.3.3	90	0,02	0,01	0,03	0,02	0,04	0,02	0,05	0,03	0,06	0,04	●		
H.1.1														
H.1.2														
H.1.3														
H.1.4														
H.2.1														
H.3.1														
O.1.1														
O.1.2														
O.2.1														
O.2.2														
O.3.1														



Tenir compte du diamètre DC pour le calcul de la vitesse de rotation N.

Conditions de coupe – Fraises PCD

Index	v _c (m/min)	50 011 ..., 50 012 ...		50 010 ..., 50 013 ...		50 014 ...		50 015 ...			
		a _p max. x DC	a _e	a _p max. x DC	a _e	a _p max. x DC	a _e	a _p max. x DC	a _e	a _p max. x DC	a _e
N.1.1	900	0,15xDC	1xDC	1xDC	0,1xDC	0,15xDC	0,1xDC	0,9xAPMX	0,3xDC	0,1xDC	1xDC
N.1.2	900	0,15xDC	1xDC	1xDC	0,1xDC	0,15xDC	0,1xDC	0,9xAPMX	0,3xDC	0,1xDC	1xDC
N.2.1	700	0,15xDC	1xDC	1xDC	0,1xDC	0,15xDC	0,1xDC	0,9xAPMX	0,3xDC	0,1xDC	1xDC
N.2.2	600	0,15xDC	1xDC	1xDC	0,1xDC	0,15xDC	0,1xDC	0,9xAPMX	0,3xDC	0,1xDC	1xDC
N.2.3	400	0,15xDC	1xDC	1xDC	0,1xDC	0,15xDC	0,1xDC	0,9xAPMX	0,3xDC	0,1xDC	1xDC
N.3.1	500							0,9xAPMX	0,3xDC	0,1xDC	1xDC
N.3.2											
N.3.3											
N.4.1	900							0,9xAPMX	0,3xDC	0,1xDC	1xDC
O.1.1	120	0,2xDC	1xDC	1xDC	0,1xDC	0,2xDC	0,1xDC	0,9xAPMX	0,3xDC	0,1xDC	1xDC
O.1.2	250	0,2xDC	1xDC	1xDC	0,1xDC	0,2xDC	0,1xDC	0,9xAPMX	0,3xDC	0,1xDC	1xDC
O.2.1											
O.2.2	200–300	0,2xDC	1xDC	1xDC	0,1xDC	0,2xDC	0,1xDC	0,9xAPMX	0,3xDC	0,1xDC	1xDC
O.3.1	650	0,2xDC	1xDC	1xDC	0,1xDC	0,2xDC	0,1xDC	0,9xAPMX	0,3xDC	0,1xDC	1xDC

Index	v _c (m/min)	50 016 ..., 50 017 ...				50 018 ...				50 020 ...			
		a _p max. x DC	a _e	a _p max. x DC	a _e	a _p max. x DC	a _e	a _p max. x DC	a _e	a _p max. x DC	a _e	a _p max. x DC	a _e
N.1.1	900	0,9xAPMX	0,3xDC	0,1xDC	1xDC	0,8xAPMX	0,3xDC	0,1xDC	0,8xDC	1,2xAPMX	0,2xDC	1xDC	1xDC
N.1.2	900	0,9xAPMX	0,3xDC	0,1xDC	1xDC	0,8xAPMX	0,3xDC	0,1xDC	0,8xDC	1,2xAPMX	0,2xDC	1xDC	1xDC
N.2.1	700	0,9xAPMX	0,3xDC	0,1xDC	1xDC	0,8xAPMX	0,3xDC	0,1xDC	0,8xDC	1,2xAPMX	0,2xDC	1xDC	1xDC
N.2.2	600	0,9xAPMX	0,3xDC	0,1xDC	1xDC	0,8xAPMX	0,3xDC	0,1xDC	0,8xDC	1,2xAPMX	0,2xDC	1xDC	1xDC
N.2.3	400	0,9xAPMX	0,3xDC	0,1xDC	1xDC	0,8xAPMX	0,3xDC	0,1xDC	0,8xDC	1,2xAPMX	0,2xDC	1xDC	1xDC
N.3.1	500	0,9xAPMX	0,3xDC	0,1xDC	1xDC	0,8xAPMX	0,3xDC	0,1xDC	0,8xDC	1,2xAPMX	0,2xDC	1xDC	1xDC
N.3.2													
N.3.3													
N.4.1	900	0,9xAPMX	0,3xDC	0,1xDC	1xDC	0,8xAPMX	0,3xDC	0,1xDC	0,8xDC	1,2xAPMX	0,2xDC	1xDC	1xDC
O.1.1	120	0,9xAPMX	0,3xDC	0,1xDC	1xDC	0,8xAPMX	0,3xDC	0,1xDC	0,8xDC	1,2xAPMX	0,2xDC	1xDC	1xDC
O.1.2	250	0,9xAPMX	0,3xDC	0,1xDC	1xDC	0,8xAPMX	0,3xDC	0,1xDC	0,8xDC	1,2xAPMX	0,2xDC	1xDC	1xDC
O.2.1													
O.2.2	200–300	0,9xAPMX	0,3xDC	0,1xDC	1xDC	0,8xAPMX	0,3xDC	0,1xDC	0,8xDC	1,2xAPMX	0,2xDC	1xDC	1xDC
O.3.1	650	0,9xAPMX	0,3xDC	0,1xDC	1xDC	0,8xAPMX	0,3xDC	0,1xDC	0,8xDC	1,2xAPMX	0,2xDC	1xDC	1xDC

Index	v _c (m/min)	50 019 ...								● 1er choix		○ Utilisation possible			
						Ø DC (mm) =				40	50	63	80	100	125
										Emulsion	Air	MMS			
N.1.1	2200	0,8xAPMX	0,3xDC	0,1xDC	0,8xDC	0,150	0,150	0,150	0,150	0,150	0,150	0,150	●	○	
N.1.2	2100	0,8xAPMX	0,3xDC	0,1xDC	0,8xDC	0,150	0,150	0,150	0,150	0,150	0,150	0,150	●	○	
N.2.1	1850	0,8xAPMX	0,3xDC	0,1xDC	0,8xDC	0,150	0,150	0,150	0,150	0,150	0,150	0,150	●	○	
N.2.2	1850	0,8xAPMX	0,3xDC	0,1xDC	0,8xDC	0,150	0,150	0,150	0,150	0,150	0,150	0,150	●	○	
N.2.3	1750	0,8xAPMX	0,3xDC	0,1xDC	0,8xDC	0,150	0,150	0,150	0,150	0,150	0,150	0,150	●	○	
N.3.1	1000–1500	0,8xAPMX	0,3xDC	0,1xDC	0,8xDC	0,150	0,150	0,150	0,150	0,150	0,150	0,150	●	○	
N.3.2															
N.3.3															
N.4.1	2200	0,8xAPMX	0,3xDC	0,1xDC	0,8xDC	0,150	0,150	0,150	0,150	0,150	0,150	0,150	●	○	
O.1.1															
O.1.2															
O.2.1															
O.2.2	500–600	0,8xAPMX	0,3xDC	0,1xDC	0,8xDC	0,230	0,230	0,230	0,230	0,230	0,230	0,230	●	○	
O.3.1															

Index	50 010 ..., 50 011 ..., 50 012 ..., 50 013 ..., 50 014 ..., 50 015 ...													● 1er choix		
	Ø DC (mm) =													○ Utilisation possible		
	2	3	4	5	6	8	10	12	16	20	25	32	Emulsion	Air	MMS	
N.1.1	0,018	0,027	0,035	0,048	0,060	0,065	0,070	0,080	0,090	0,120	0,140	0,160	●		○	
N.1.2	0,018	0,027	0,035	0,048	0,060	0,065	0,070	0,080	0,090	0,120	0,140	0,160	●		○	
N.2.1	0,018	0,027	0,035	0,048	0,060	0,065	0,070	0,080	0,090	0,120	0,140	0,160	●		○	
N.2.2	0,018	0,027	0,035	0,048	0,060	0,065	0,070	0,080	0,090	0,120	0,140	0,160	●		○	
N.2.3	0,018	0,027	0,035	0,048	0,060	0,065	0,070	0,080	0,090	0,120	0,140	0,160	●		○	
N.3.1							0,070	0,080	0,090	0,120	0,140	0,160	●		○	
N.3.2																
N.3.3																
N.4.1						0,070	0,080	0,090	0,120	0,140	0,160	●		○		
O.1.1	0,025	0,038	0,050	0,071	0,100	0,150	0,200	0,250	0,300	0,400	0,440	0,460	●		○	
O.1.2	0,021	0,031	0,040	0,050	0,060	0,070	0,080	0,115	0,150	0,200	0,220	0,260	●		○	
O.2.1																
O.2.2	0,021	0,031	0,040	0,050	0,060	0,070	0,080	0,115	0,150	0,20	0,220	0,260	●		○	
O.3.1	0,021	0,031	0,040	0,050	0,060	0,070	0,080	0,115	0,150	0,20	0,220	0,260	●		○	

Index	50 016 ..., 50 017 ..., 50 018 ..., 50 020 ...													● 1er choix		
	Ø DC (mm) =													○ Utilisation possible		
	2	3	4	5	6	8	10	12	16	20	25	32	Emulsion	Air	MMS	
N.1.1	0,018	0,027	0,035	0,0475	0,060	0,065	0,070	0,080	0,090	0,120	0,140	0,160	●		○	
N.1.2	0,018	0,027	0,035	0,0475	0,060	0,065	0,070	0,080	0,090	0,120	0,140	0,160	●		○	
N.2.1	0,018	0,027	0,035	0,0475	0,060	0,065	0,070	0,080	0,090	0,120	0,140	0,160	●		○	
N.2.2	0,018	0,027	0,035	0,0475	0,060	0,065	0,070	0,080	0,090	0,120	0,140	0,160	●		○	
N.2.3	0,018	0,027	0,035	0,0475	0,060	0,065	0,070	0,080	0,090	0,120	0,140	0,160	●		○	
N.3.1							0,070	0,080	0,090	0,120	0,140	0,160	●		○	
N.3.2																
N.3.3																
N.4.1						0,070	0,080	0,090	0,120	0,140	0,160	●		○		
O.1.1	0,025	0,038	0,050	0,0705	0,100	0,150	0,200	0,250	0,300	0,400	0,440	0,460	●		○	
O.1.2	0,021	0,031	0,040	0,050	0,060	0,070	0,080	0,115	0,150	0,200	0,220	0,260	●		○	
O.2.1																
O.2.2	0,021	0,031	0,040	0,050	0,060	0,070	0,080	0,115	0,150	0,200	0,220	0,260	●		○	
O.3.1	0,021	0,031	0,040	0,050	0,060	0,070	0,080	0,115	0,150	0,200	0,220	0,260	●		○	

Conditions de coupe – AluLine – ZEFP = 2

Index	Type court		Type mi-longue		53 623..., 53 624..., 53 625..., 53 626..., 53 633..., 53 634..., 53 635..., 53 636..., 53 619..., 53 620..., 53 621..., 53 622..., 53 629..., 53 630..., 53 631..., 53 632..., 52 627..., 53 628..., 53 637..., 53 638...																				
	v_c (m/min)	$a_p \text{max.} \times DC$	v_c (m/min)	$a_p \text{max.} \times DC$	$\emptyset DC$ (mm) =																				
					2			2,5–3,0			3,5–4,0			4,5–5,0			5,5–6,0			6,5–8,0					
					a_e 0,1–0,2	a_e 0,3–0,4	a_e 0,6–1,0	a_e 0,1–0,2	a_e 0,3–0,4	a_e 0,6–1,0	a_e 0,1–0,2	a_e 0,3–0,4	a_e 0,6–1,0	a_e 0,1–0,2	a_e 0,3–0,4	a_e 0,6–1,0	a_e 0,1–0,2	a_e 0,3–0,4	a_e 0,6–1,0	a_e 0,1–0,2	a_e 0,3–0,4	a_e 0,6–1,0	a_e 0,1–0,2	a_e 0,3–0,4	a_e 0,6–1,0
N.1.1	600	1,0	360	0,7	0,032	0,027	0,021	0,045	0,039	0,030	0,057	0,049	0,038	0,071	0,061	0,047	0,084	0,073	0,056	0,110	0,095	0,073			
N.1.2	600	1,0	360	0,7	0,032	0,027	0,021	0,045	0,039	0,030	0,057	0,049	0,038	0,071	0,061	0,047	0,084	0,073	0,056	0,110	0,095	0,073			
N.2.1	360	1,0	215	0,7	0,023	0,020	0,015	0,035	0,030	0,023	0,047	0,040	0,031	0,059	0,051	0,039	0,071	0,061	0,047	0,095	0,082	0,063			
N.2.2	360	1,0	215	0,7	0,023	0,020	0,015	0,035	0,030	0,023	0,047	0,040	0,031	0,059	0,051	0,039	0,071	0,061	0,047	0,095	0,082	0,063			
N.2.3	240	1,0	145	0,7	0,023	0,020	0,015	0,035	0,030	0,023	0,047	0,040	0,031	0,059	0,051	0,039	0,071	0,061	0,047	0,095	0,082	0,063			
N.3.1	240	1,0	145	0,7	0,018	0,016	0,012	0,029	0,025	0,019	0,038	0,033	0,025	0,048	0,042	0,032	0,058	0,050	0,039	0,078	0,068	0,052			
N.3.2	240	1,0	145	0,7	0,018	0,016	0,012	0,029	0,025	0,019	0,038	0,033	0,025	0,048	0,042	0,032	0,058	0,050	0,039	0,078	0,068	0,052			
N.3.3	170	1,0	100	0,7	0,018	0,016	0,012	0,029	0,025	0,019	0,038	0,033	0,025	0,048	0,042	0,032	0,058	0,050	0,039	0,078	0,068	0,052			
N.4.1	220	1,0	130	0,7	0,023	0,020	0,015	0,035	0,030	0,023	0,047	0,040	0,031	0,059	0,051	0,039	0,071	0,061	0,047	0,095	0,082	0,063			

Conditions de coupe – AluLine – ZEFP = 3

Index	Type court / mi-long		Type long		Type extra long		53 615..., 53 616..., 53 617..., 53 618..., 53 611..., 53 612..., 53 613..., 53 614..., 53 712..., 53 713..., 53 714..., 53 715..., 53 708..., 53 709..., 53 710..., 53 711..., 53 584..., 53 597...																			
	v_c (m/min)	$a_p \text{max.} \times DC$	v_c (m/min)	$a_p \text{max.} \times DC$	v_c (m/min)	$a_p \text{max.} \times DC$	$\emptyset DC$ (mm) =																			
							2			2,5–3,0			3,5–4,0			4,5–5,0			5,5–6,0							
							a_e 0,1–0,2	a_e 0,3–0,4	a_e 0,6–1,0	a_e 0,1–0,2	a_e 0,3–0,4	a_e 0,6–1,0	a_e 0,1–0,2	a_e 0,3–0,4	a_e 0,6–1,0	a_e 0,1–0,2	a_e 0,3–0,4	a_e 0,6–1,0	a_e 0,1–0,2	a_e 0,3–0,4	a_e 0,6–1,0	a_e 0,1–0,2	a_e 0,3–0,4	a_e 0,6–1,0		
N.1.1	600	1,0	480	0,8	240	0,6	0,023	0,020	0,015	0,035	0,030	0,023	0,047	0,040	0,031	0,059	0,051	0,039	0,071	0,061	0,047					
N.1.2	600	1,0	480	0,8	240	0,6	0,023	0,020	0,015	0,035	0,030	0,023	0,047	0,040	0,031	0,059	0,051	0,039	0,071	0,061	0,047					
N.2.1	360	1,0	290	0,8	145	0,6	0,023	0,020	0,015	0,033	0,029	0,022	0,044	0,038	0,029	0,054	0,047	0,036	0,066	0,057	0,044					
N.2.2	360	1,0	290	0,8	145	0,6	0,023	0,020	0,015	0,033	0,029	0,022	0,044	0,038	0,029	0,054	0,047	0,036	0,066	0,057	0,044					
N.2.3	240	1,0	190	0,8	95	0,6	0,023	0,020	0,015	0,033	0,029	0,022	0,044	0,038	0,029	0,054	0,047	0,036	0,066	0,057	0,044					
N.3.1	240	1,0	190	0,8	95	0,6	0,015	0,013	0,010	0,024	0,021	0,016	0,032	0,028	0,022	0,041	0,035	0,027	0,050	0,043	0,033					
N.3.2	240	1,0	190	0,8	95	0,6	0,015	0,013	0,010	0,024	0,021	0,016	0,032	0,028	0,022	0,041	0,035	0,027	0,050	0,043	0,033					
N.3.3	170	1,0	135	0,8	70	0,6	0,015	0,013	0,010	0,024	0,021	0,018	0,014	0,029	0,025	0,019	0,037	0,032	0,025	0,045	0,039	0,030				
N.4.1	220	1,0	175	0,8	90	0,6	0,020	0,017	0,013	0,028	0,024	0,019	0,036	0,031	0,024	0,045	0,039	0,030	0,053	0,046	0,035					

Conditions de coupe – AluLine – ZEFP = 4

Index	Type court / mi-long		Type long		Type extra long		53 700..., 53 701..., 53 702..., 53 703..., 53 704..., 53 705..., 53 706..., 53 707..., 53 560..., 53 561..., 53 562..., 53 563..., 53 564..., 53 565..., 53 566..., 53 567..., 53 568..., 53 569...																		
	v_c (m/min)	$a_p \text{max.} \times DC$	v_c (m/min)	$a_p \text{max.} \times DC$	v_c (m/min)	$a_p \text{max.} \times DC$	$\emptyset DC$ (mm) =																		
							2			3,0			4,0			5,0			6,0						
							a_e 0,1–0,2	a_e 0,3–0,4	a_e 0,6–1,0	a_e 0,1–0,2	a_e 0,3–0,4	a_e 0,6–1,0	a_e 0,1–0,2	a_e 0,3–0,4	a_e 0,6–1,0	a_e 0,1–0,2	a_e 0,3–0,4	a_e 0,6–1,0	a_e 0,1–0,2	a_e 0,3–0,4	a_e 0,6–1,0	a_e 0,1–0,2	a_e 0,3–0,4	a_e 0,6–1,0	
N.1.1	600	1,0	480	0,8	240	0,6	0,018	0,016	0,012	0,029	0,025	0,019	0,038	0,033	0,025	0,048	0,042	0,032	0,058	0,050	0,039				
N.1.2	600	1,0	480	0,8	240	0,6	0,018	0,016	0,012	0,029	0,025	0,019	0,038	0,033	0,025	0,048	0,042	0,032	0,058	0,050	0,039				
N.2.1	360	1,0	290	0,8	145	0,6	0,020	0,017	0,013	0,028	0,024	0,019	0,036	0,031	0,024	0,045	0,039	0,030	0,053	0,046	0,035				
N.2.2	480	1,0	385	0,8	145	0,6	0,020	0,017</td																	

53 623..., 53 624..., 53 625..., 53 626..., 53 633..., 53 634..., 53 635..., 53 636..., 53 619..., 53 620...,
53 621..., 53 622..., 53 629..., 53 630..., 53 631..., 53 632..., 52 627..., 53 628..., 53 637..., 53 638...

● 1er choix

○ Utilisation possible

Index	$\emptyset DC$ (mm) =																				Emulsion	Air	MMS			
	8,5–10,0				10,5–12,0				12,5–14,0				14,5–16,0				16,5–18,0									
	a_e	a_e	a_e	a_e	a_e	a_e	a_e	a_e	a_e	a_e	a_e	a_e	a_e	a_e	a_e	a_e	a_e	a_e	a_e	a_e						
N.1.1	0,137	0,118	0,091	0,162	0,140	0,108	0,189	0,164	0,126	0,203	0,176	0,135	0,216	0,187	0,144	0,230	0,199	0,153	●	○*	○					
N.1.2	0,137	0,118	0,091	0,162	0,140	0,108	0,189	0,164	0,126	0,203	0,176	0,135	0,216	0,187	0,144	0,230	0,199	0,153	●	○*	○					
N.2.1	0,120	0,104	0,080	0,144	0,125	0,096	0,168	0,146	0,112	0,180	0,156	0,120	0,194	0,168	0,129	0,206	0,178	0,137	●	○*	○					
N.2.2	0,120	0,104	0,080	0,144	0,125	0,096	0,168	0,146	0,112	0,180	0,156	0,120	0,194	0,168	0,129	0,206	0,178	0,137	●	○*	○					
N.2.3	0,120	0,104	0,080	0,144	0,125	0,096	0,168	0,146	0,112	0,180	0,156	0,120	0,194	0,168	0,129	0,206	0,178	0,137	●	○*	○					
N.3.1	0,098	0,085	0,065	0,119	0,103	0,079	0,138	0,120	0,092	0,149	0,129	0,099	0,158	0,137	0,105	0,168	0,146	0,112	●	○*	○					
N.3.2	0,098	0,085	0,065	0,119	0,103	0,079	0,138	0,120	0,092	0,149	0,129	0,099	0,158	0,137	0,105	0,168	0,146	0,112	●	○*	○					
N.3.3	0,098	0,085	0,065	0,119	0,103	0,079	0,138	0,120	0,092	0,149	0,129	0,099	0,158	0,137	0,105	0,168	0,146	0,112	●	○*	○					
N.4.1	0,120	0,104	0,080	0,144	0,125	0,096	0,168	0,146	0,112	0,180	0,156	0,120	0,194	0,168	0,129	0,206	0,178	0,137	●	○*	○					

* = Uniquement adapté pour les fraises revêtues DLC

Index	$\emptyset DC$ (mm) =																				Emulsion	Air	MMS			
	6,5–8,0				8,5–10,0				10,5–12,0				12,5–14,0				14,5–16,0				16,5–18,0					
	a_e	a_e	a_e	a_e	a_e	a_e	a_e	a_e	a_e	a_e	a_e	a_e	a_e	a_e	a_e	a_e	a_e	a_e	a_e	a_e	a_e	a_e	a_e	a_e		
N.1.1	0,095	0,082	0,063	0,120	0,104	0,080	0,144	0,125	0,096	0,168	0,146	0,112	0,180	0,156	0,120	0,194	0,168	0,129	0,206	0,178	0,137	●	○*	○		
N.1.2	0,095	0,082	0,063	0,120	0,104	0,080	0,144	0,125	0,096	0,168	0,146	0,112	0,180	0,156	0,120	0,194	0,168	0,129	0,206	0,178	0,137	●	○*	○		
N.2.1	0,087	0,075	0,058	0,110	0,095	0,073	0,132	0,114	0,088	0,153	0,133	0,102	0,164	0,142	0,109	0,174	0,151	0,116	0,186	0,161	0,124	●	○*	○		
N.2.2	0,087	0,075	0,058	0,110	0,095	0,073	0,132	0,114	0,088	0,153	0,133	0,102	0,164	0,142	0,109	0,174	0,151	0,116	0,186	0,161	0,124	●	○*	○		
N.2.3	0,087	0,075	0,058	0,110	0,095	0,073	0,132	0,114	0,088	0,153	0,133	0,102	0,164	0,142	0,109	0,174	0,151	0,116	0,186	0,161	0,124	●	○*	○		
N.3.1	0,066	0,057	0,044	0,083	0,072	0,055	0,099	0,086	0,066	0,117	0,101	0,078	0,125	0,108	0,083	0,134	0,116	0,089	0,141	0,122	0,094	●	○*	○		
N.3.2	0,066	0,057	0,044	0,083	0,072	0,055	0,099	0,086	0,066	0,117	0,101	0,078	0,125	0,108	0,083	0,134	0,116	0,089	0,141	0,122	0,094	●	○*	○		
N.3.3	0,066	0,057	0,044	0,083	0,072	0,055	0,099	0,086	0,066	0,117	0,101	0,078	0,125	0,108	0,083	0,134	0,116	0,089	0,141	0,122	0,094	●	○*	○		
N.4.1	0,087	0,075	0,058	0,110	0,095	0,073	0,132	0,114	0,088	0,153	0,133	0,102	0,164	0,142	0,109	0,174	0,151	0,116	0,186	0,161	0,124	●	○*	○		

* = Uniquement adapté pour les fraises revêtues DLC

Index	$\emptyset DC$ (mm) =																				Emulsion	Air	MMS			
	8,0				8,5–10,0				12,0				14,0				16,0				18,0					
	a_e	a_e	a_e	a_e	a_e	a_e	a_e	a_e	a_e	a_e	a_e	a_e	a_e	a_e	a_e	a_e	a_e	a_e	a_e	a_e	a_e	a_e	a_e	a_e		
N.1.1	0,078	0,068	0,052	0,098	0,085	0,065	0,119	0,103	0,079	0,138	0,120	0,092	0,149	0,129	0,099	0,158	0,137	0,105	0,168	0,146	0,112	●	○*	○		
N.1.2	0,078	0,068	0,052	0,098	0,085	0,065	0,119	0,103	0,079	0,138	0,120	0,092	0,149	0,129	0,099	0,158	0,137	0,105	0,168	0,146	0,112	●	○*	○		
N.2.1	0,071	0,061	0,047	0,087	0,075	0,058	0,105	0,091	0,070	0,122	0,105	0,081	0,130	0,112	0,087	0,138	0,120	0,092	0,147	0,127	0,098	●	○*	○		
N.2.2	0,071	0,061	0,047	0,087	0,075	0,058	0,105	0,091	0,070	0,122	0,105	0,081	0,130	0,112	0,087	0,138	0,120	0,092	0,147	0,127	0,098	●	○*	○		
N.2.3	0,071	0,061	0,047	0,087	0,075	0,058	0,105	0,091	0,070	0,122	0,105	0,081	0,130	0,112	0,087	0,138	0,120	0,092	0,147	0,127	0,098	●	○*	○		
N.3.1	0,060	0,052	0,040	0,075	0,065	0,050	0,090	0,078	0,060	0,105	0,091	0,070	0,113	0,098	0,075	0,120	0,104	0,080	0,128	0,111	0,085	●	○*	○		
N.3.2	0,060	0,052	0,040	0,075	0,065	0,050	0,090	0,078	0,060	0,105	0,091	0,070	0,113	0,098	0,075	0,120	0,104	0,080	0,128	0,111	0,085	●	○*	○		
N.3.3	0,060	0,052	0,040	0,075	0,065	0,050	0,090	0,078	0,060	0,105	0,091	0,070	0,113	0,098	0,075	0,120	0,104	0,080	0,128	0,111	0,085	●	○*	○		
N.4.1	0,071	0,061	0,047	0,087	0,075	0,058	0,105	0,091	0,070	0,122	0,105	0,081	0,130	0,112	0,087	0,138	0,120	0,092	0,147	0,127	0,098	●	○*	○		

* = Uniquement adapté pour les fraises revêtues DLC

Conditions de coupe – AluLine – Ebauche-finition

Index	Types court / long		Type mi-longue		53 582 ..., 53 583 ...														
	v_c (m/min)	$a_{p\max} \times DC$	v_c (m/min)	$a_{p\max} \times DC$	$\emptyset DC$ (mm) =														
					3				4				5				6		
					a_e 0,1–0,2 $\times DC$	a_e 0,3–0,4 $\times DC$	a_e 0,6–1,0 $\times DC$	a_e 0,1–0,2 $\times DC$	a_e 0,3–0,4 $\times DC$	a_e 0,6–1,0 $\times DC$	a_e 0,1–0,2 $\times DC$	a_e 0,3–0,4 $\times DC$	a_e 0,6–1,0 $\times DC$	a_e 0,1–0,2 $\times DC$	a_e 0,3–0,4 $\times DC$	a_e 0,6–1,0 $\times DC$	a_e 0,1–0,2 $\times DC$	a_e 0,3–0,4 $\times DC$	a_e 0,6–1,0 $\times DC$
N.1.1	600	1,0	480	0,8	0,114	0,099	0,076	0,131	0,113	0,087	0,147	0,127	0,098	0,162	0,140	0,108	0,195	0,169	0,130
N.1.2	600	1,0	480	0,8	0,114	0,099	0,076	0,131	0,113	0,087	0,147	0,127	0,098	0,162	0,140	0,108	0,195	0,169	0,130
N.2.1	360	1,0	290	0,8	0,082	0,071	0,055	0,098	0,085	0,065	0,113	0,098	0,075	0,129	0,112	0,086	0,162	0,140	0,108
N.2.2	360	1,0	290	0,8	0,082	0,071	0,055	0,098	0,085	0,065	0,113	0,098	0,075	0,129	0,112	0,086	0,162	0,140	0,108
N.2.3	240	1,0	190	0,8	0,082	0,071	0,055	0,098	0,085	0,065	0,113	0,098	0,075	0,129	0,112	0,086	0,162	0,140	0,108
N.3.1	240	1,0	190	0,8	0,049	0,042	0,033	0,065	0,056	0,043	0,081	0,070	0,054	0,098	0,085	0,065	0,129	0,112	0,086
N.3.2	240	1,0	190	0,8	0,049	0,042	0,033	0,065	0,056	0,043	0,081	0,070	0,054	0,098	0,085	0,065	0,129	0,112	0,086
N.3.3	170	1,0	135	0,8	0,049	0,042	0,033	0,065	0,056	0,043	0,081	0,070	0,054	0,098	0,085	0,065	0,129	0,112	0,086
N.4.1	220	1,0	175	0,8	0,082	0,071	0,055	0,098	0,085	0,065	0,113	0,098	0,075	0,129	0,112	0,086	0,162	0,140	0,108

Conditions de coupe – AluLine – Fraises hémisphériques

Index	Type court		Type long		Type extra long		53 607 ..., 53 608 ..., 53 609 ..., 53 610 ...																			
	v_c (m/min)	$a_{p\max} \times DC$	v_c (m/min)	$a_{p\max} \times DC$	v_c (m/min)	$a_{p\max} \times DC$	$\emptyset DC$ (mm) =																			
							3				4				5				6				8			
							a_e 0,1–0,2 $\times DC$	a_e 0,3–0,4 $\times DC$	a_e 0,6–1,0 $\times DC$	a_e 0,1–0,2 $\times DC$	a_e 0,3–0,4 $\times DC$	a_e 0,6–1,0 $\times DC$	a_e 0,1–0,2 $\times DC$	a_e 0,3–0,4 $\times DC$	a_e 0,6–1,0 $\times DC$	a_e 0,1–0,2 $\times DC$	a_e 0,3–0,4 $\times DC$	a_e 0,6–1,0 $\times DC$	a_e 0,1–0,2 $\times DC$	a_e 0,3–0,4 $\times DC$	a_e 0,6–1,0 $\times DC$					
N.1.1	750	0,03	450	0,02	225	0,015	0,035	0,030	0,023	0,047	0,040	0,031	0,059	0,051	0,039	0,071	0,061	0,047	0,095	0,082	0,063					
N.1.2	750	0,03	450	0,02	225	0,015	0,035	0,030	0,023	0,047	0,040	0,031	0,059	0,051	0,039	0,071	0,061	0,047	0,095	0,082	0,063					
N.2.1	600	0,03	360	0,02	180	0,015	0,033	0,029	0,022	0,044	0,038	0,029	0,054	0,047	0,036	0,066	0,057	0,044	0,087	0,075	0,058					
N.2.2	600	0,03	360	0,02	180	0,015	0,033	0,029	0,022	0,044	0,038	0,029	0,054	0,047	0,036	0,066	0,057	0,044	0,087	0,075	0,058					
N.2.3	400	0,03	240	0,02	120	0,015	0,033	0,029	0,022	0,044	0,038	0,029	0,054	0,047	0,036	0,066	0,057	0,044	0,087	0,075	0,058					
N.3.1	180	0,03	110	0,02	55	0,015	0,024	0,021	0,016	0,032	0,028	0,022	0,041	0,035	0,027	0,050	0,043	0,033	0,066	0,057	0,044					
N.3.2	180	0,03	110	0,02	55	0,015	0,024	0,021	0,016	0,032	0,028	0,022	0,041	0,035	0,027	0,050	0,043	0,033	0,066	0,057	0,044					
N.3.3	230	0,03	140	0,02	70	0,015	0,024	0,021	0,016	0,032	0,028	0,022	0,041	0,035	0,027	0,050	0,043	0,033	0,066	0,057	0,044					
N.4.1	350	0,03	210	0,02	105	0,015	0,033	0,029	0,022	0,044	0,038	0,029	0,054	0,047	0,036	0,066	0,057	0,044	0,087	0,075	0,058					
O.1.1	65	0,03	40	0,03	40	0,03							0,135	0,104	0,075	0,200	0,149	0,100	0,240	0,179	0,120	0,300	0,224	0,150		
O.1.2	240	0,03	145	0,03	145	0,03							0,135	0,104	0,075	0,200	0,149	0,100	0,240	0,179	0,120	0,300	0,224	0,150		

Conditions de coupe – AluLine – Fraises de finition

Index	Type court	Type long	Type extra long	$a_{p\max} \times DC$	53 639 ...																		
					6				8				10				12				16		
					a_e $< 0,02 \times DC$	a_e 0,02–0,04 $\times DC$	a_e 0,05 $\times DC$	a_e $< 0,02 \times DC$	a_e 0,02–0,04 $\times DC$	a_e 0,05 $\times DC$	a_e $< 0,02 \times DC$	a_e 0,02–0,04 $\times DC$	a_e 0,05 $\times DC$	a_e $< 0,02 \times DC$	a_e 0,02–0,04 $\times DC$	a_e 0,05 $\times DC$	a_e $< 0,02 \times DC$	a_e 0,02–0,04 $\times DC$	a_e 0,05 $\times DC$				
N.1.1	500	400	300	2,0	0,036	0,031	0,024	0,047	0,040	0,031	0,056	0,049	0,038	0,067	0,058	0,045	0,083	0,072	0,055				
N.1.2	500	400	300	2,0	0,036	0,031	0,024	0,047	0,040	0,031	0,056	0,049	0,038	0,067	0,058	0,045	0,083	0,072	0,055				
N.2.1	300	240	180	2,0	0,027	0,023	0,018	0,036	0,031	0,024	0,045	0,039	0,030	0,054	0,047	0,036	0,068	0,059	0,045				
N.2.2	300	240	180	2,0	0,027	0,023	0,018	0,036	0,031	0,024	0,045	0,039	0,030	0,054	0,047	0,036	0,068	0,059	0,045				
N.2.3	210	170	125	2,0	0,027	0,023	0,018	0,036	0,031	0,024	0,045	0,039	0,030	0,054	0,047	0,036	0,068	0,059	0,045				
N.3.1	210	170	125	2,0	0,027	0,023	0,018	0,036	0,031	0,024	0,045	0,039	0,030	0,054	0,047	0,036	0,068	0,059	0,045				
N.3.2	210	170	125	2,0	0,027	0,023	0,018	0,036	0,031	0,024	0,045	0,039	0,030	0,054	0,047	0,036	0,068	0,059	0,045				
N.3.3	150	120	90	2,0	0,027	0,023	0,018	0,036	0,031														

Index	53 582 ..., 53 583 ...												● 1er choix ○ Utilisation possible		
	$\emptyset DC$ (mm) =														
	10			12			16			20			Emulsion	Air	MMS
	a_e 0,1-0,2	a_e 0,3-0,4	a_e 0,6-1,0	a_e 0,1-0,2	a_e 0,3-0,4	a_e 0,6-1,0	a_e 0,1-0,2	a_e 0,3-0,4	a_e 0,6-1,0	a_e 0,1-0,2	a_e 0,3-0,4	a_e 0,6-1,0			
N.1.1	0,225	0,195	0,150	0,258	0,224	0,172	0,305	0,264	0,203	0,336	0,291	0,224	●		
N.1.2	0,225	0,195	0,150	0,258	0,224	0,172	0,305	0,264	0,203	0,336	0,291	0,224	●		
N.2.1	0,194	0,168	0,129	0,225	0,195	0,150	0,273	0,237	0,182	0,305	0,264	0,203	●		
N.2.2	0,194	0,168	0,129	0,225	0,195	0,150	0,273	0,237	0,182	0,305	0,264	0,203	●		
N.2.3	0,194	0,168	0,129	0,225	0,195	0,150	0,273	0,237	0,182	0,305	0,264	0,203	●		
N.3.1	0,161	0,139	0,107	0,194	0,168	0,129	0,240	0,208	0,160	0,272	0,235	0,181	●		
N.3.2	0,161	0,139	0,107	0,194	0,168	0,129	0,240	0,208	0,160	0,272	0,235	0,181	●		
N.3.3	0,161	0,139	0,107	0,194	0,168	0,129	0,240	0,208	0,160	0,272	0,235	0,181	●		
N.4.1	0,194	0,168	0,129	0,225	0,195	0,150	0,273	0,237	0,182	0,305	0,264	0,203	●		

Index	53 607 ..., 53 608 ..., 53 609 ..., 53 610 ...												● 1er choix ○ Utilisation possible		
	$\emptyset DC$ (mm) =														
	10			12			14			16			20		
	a_e 0,1-0,2	a_e 0,3-0,4	a_e 0,6-1,0	a_e 0,1-0,2	a_e 0,3-0,4	a_e 0,6-1,0	a_e 0,1-0,2	a_e 0,3-0,4	a_e 0,6-1,0	a_e 0,1-0,2	a_e 0,3-0,4	a_e 0,6-1,0	a_e 0,1-0,2	a_e 0,3-0,4	a_e 0,6-1,0
N.1.1	0,120	0,104	0,080	0,144	0,125	0,096	0,168	0,146	0,112	0,180	0,156	0,120	0,206	0,178	0,137
N.1.2	0,120	0,104	0,080	0,144	0,125	0,096	0,168	0,146	0,112	0,180	0,156	0,120	0,206	0,178	0,137
N.2.1	0,110	0,095	0,073	0,132	0,114	0,088	0,153	0,133	0,102	0,164	0,142	0,109	0,186	0,161	0,124
N.2.2	0,110	0,095	0,073	0,132	0,114	0,088	0,153	0,133	0,102	0,164	0,142	0,109	0,186	0,161	0,124
N.2.3	0,110	0,095	0,073	0,132	0,114	0,088	0,153	0,133	0,102	0,164	0,142	0,109	0,186	0,161	0,124
N.3.1	0,083	0,072	0,055	0,099	0,086	0,066	0,117	0,101	0,078	0,125	0,108	0,083	0,141	0,122	0,094
N.3.2	0,083	0,072	0,055	0,099	0,086	0,066	0,117	0,101	0,078	0,125	0,108	0,083	0,141	0,122	0,094
N.3.3	0,083	0,072	0,055	0,099	0,086	0,066	0,117	0,101	0,078	0,125	0,108	0,083	0,141	0,122	0,094
N.4.1	0,110	0,095	0,073	0,132	0,114	0,088	0,153	0,133	0,102	0,164	0,142	0,109	0,186	0,161	0,124
O.1.1	0,400	0,298	0,200	0,500	0,373	0,250	0,548	0,424	0,300	0,592	0,452	0,350	0,712	0,581	0,450
O.1.2	0,400	0,298	0,200	0,500	0,373	0,250	0,548	0,424	0,300	0,592	0,452	0,350	0,712	0,581	0,450

Index	53 639 ...			● 1er choix ○ Utilisation possible		
	$\emptyset DC$ (mm) =					
	10					
	a_e $< 0,02 \times DC$	a_e 0,02-0,04	a_e 0,05	Emulsion	Air	MMS
N.1.1	0,092	0,080	0,062	●		○
N.1.2	0,092	0,080	0,062	●		○
N.2.1	0,077	0,066	0,051	●		○
N.2.2	0,077	0,066	0,051	●		○
N.2.3	0,077	0,066	0,051	●		○
N.3.1	0,077	0,066	0,051	●		○
N.3.2	0,077	0,066	0,051	●		○
N.3.3	0,077	0,066	0,051	●		○
N.4.1	0,077	0,066	0,051	●		○

Conditions de coupe – Fraises pour matière plastiques

Index	Résistance N/mm² – HB	50 983 ..., 50 984 ..., 50 985 ..., 50 986 ..., 50 932 ...		50 937 ...	50 936 ...	50 938 ...	50 610 ..., 50 611 ..., 52 76. ...	50 91 ...	50 946 ...	50 948 ...	50 947 ...
		v _c (m/min)									
N.1.1	60 HB						400–450	400–450			
N.1.2	340 N/mm² / 100 HB						400–450	400–450			
N.2.1	250 N/mm² / 75 HB						350–400	350–400			
N.2.2	300 N/mm² / 90 HB				300–400				300–400	300–400	300–400
N.2.3	440 N/mm² / 130 HB				300–400				250–300	250–300	250–300
N.3.1	375 N/mm² / 110 HB						350–400	350–400			
N.3.2	300 N/mm² / 90 HB						400–450	400–450			
N.3.3	340 N/mm² / 100 HB						400–450	400–450			
N.4.1	70 HB					250			250	250	250
O.1.1	≤ 150 N/mm²						500–550	500–550			
O.1.2	≤ 100 N/mm²						500–550	500–550			
O.2.1	≤ 1000 N/mm²	150–200		150–200	500–600	150–200					
O.2.2	≤ 1000 N/mm²	150–200		150–200	500–600	150–200					
O.3.1		300–400		500–600	500–600	300–400					

DC en mm	Plastiques, Duroplast, Bois dur, Carton						Plastique, Thermoplaste, Polycarbonate, Alliages non ferreux, Caoutchoucs durs					
	Fraise deux tailles type W			Fraise torique Type W			Fraise deux tailles type W			Fraise torique Type W		
	Contournage - Effeulage		Rainurage	Copiage - Fraisage par plans //		Contournage - Effeulage		Copiage - Fraisage par plans //		Rainurage	Ebauche Finition	
	Ebauche	Finition		Ebauche	Finition	Ebauche	Finition	Ebauche	Finition		a _e = 0,5 x DC	a _e = 0,03 x DC
	a _p = 1,0 x DC	a _p = 1,0 x DC		a _p = 0,5 x DC	a _p = 0,03 x DC	a _p = 1,5 x DC	a _p = 1,0 x DC	a _p = 0,8 x DC	a _p = 0,1 x DC		a _e = 0,5 x DC	a _e = 0,02 x DC
	a _e = 0,4 x DC	a _e = 0,1 x DC		a _p = 0,5 x DC	a _p = 0,02 x DC	f _z (mm)		f _z (mm)			Ebauche Finition	
2	0,024	0,018	0,016	0,028	0,024	0,024	0,022	0,017	0,037	0,030		
3	0,036	0,027	0,024	0,042	0,036	0,036	0,033	0,026	0,056	0,045		
4	0,048	0,036	0,032	0,056	0,048	0,048	0,044	0,034	0,074	0,060		
5	0,060	0,045	0,040	0,070	0,060	0,060	0,055	0,043	0,093	0,075		
6	0,072	0,054	0,048	0,084	0,072	0,072	0,066	0,051	0,111	0,090		
8	0,100	0,070	0,060	0,110	0,100	0,100	0,090	0,070	0,150	0,120		
10	0,120	0,090	0,080	0,140	0,120	0,120	0,110	0,090	0,190	0,150		
12	0,140	0,110	0,100	0,170	0,140	0,140	0,130	0,100	0,220	0,180		
14	0,170	0,130	0,110	0,200	0,170	0,170	0,150	0,120	0,260	0,210		
16	0,190	0,140	0,130	0,220	0,190	0,190	0,180	0,140	0,300	0,240		
18	0,220	0,160	0,140	0,250	0,220	0,220	0,200	0,150	0,330	0,270		
20	0,240	0,180	0,160	0,280	0,240	0,240	0,220	0,170	0,370	0,300		

DC en mm	Matières avec fibres (AFK, CFK, GFK)			
	Fraises avec dentures en croix			
	Contournage - Effeulage		Rainurage	
	a _p = 1,0 x DC		a _p = 0,35 x DC	
	a _e = 0,4 x DC		a _e = 0,35 x DC	
	Finition	Moyenne	Finition	Moyenne
2	0,16	0,14	0,14	0,12
3	0,24	0,21	0,21	0,18
4	0,32	0,28	0,28	0,24
5	0,40	0,35	0,35	0,30
6	0,48	0,42	0,42	0,36
8	0,64	0,56	0,56	0,48
10	0,80	0,70	0,70	0,60
12	0,96	0,84	0,84	0,72
16	1,28	1,12	1,12	0,96
20	1,60	1,40	1,40	1,20



Avances recommandées pour fraises hémisphériques et toriques,
→ page 486

Conditions de coupe – Fraises à ébavurer – AluLine

Index	v _c (m/min)	53 660 ..., 53 661 ..., 53 662 ..., 53 663 ...						v _c (m/min)	53 664 ..., 53 665 ..., 53 666 ..., 53 667 ...						● 1er choix			
		DLC							Non revêtu						○ Utilisation possible			
		Ø DC (mm) =							Ø DC (mm) =									
		4	6	8	10	12	16		4	6	8	10	12	16				
		f _z (mm/dt)								f _z (mm/dt)						Emulsion	Air	MMS
N.1.1	300	0,03	0,04	0,05	0,06	0,07	0,08	195	0,02	0,03	0,04	0,05	0,06	0,07	●	○*	○	
N.1.2	300	0,03	0,04	0,05	0,06	0,07	0,08	195	0,02	0,03	0,04	0,05	0,06	0,07	●	○*	○	
N.2.1	260	0,03	0,04	0,05	0,06	0,07	0,08	170	0,02	0,03	0,04	0,05	0,06	0,07	●	○*	○	
N.2.2	280	0,03	0,04	0,05	0,06	0,07	0,08	180	0,02	0,03	0,04	0,05	0,06	0,07	●	○*	○	
N.2.3	250	0,03	0,04	0,05	0,06	0,07	0,08	165	0,02	0,03	0,04	0,05	0,06	0,07	●	○*	○	
N.3.1	110	0,03	0,04	0,05	0,06	0,07	0,08	75	0,02	0,03	0,04	0,05	0,06	0,07	●	○*	○	
N.3.2	140	0,03	0,04	0,05	0,06	0,07	0,08	90	0,02	0,03	0,04	0,05	0,06	0,07	●	○*	○	
N.3.3	120	0,03	0,04	0,05	0,06	0,07	0,08	80	0,02	0,03	0,04	0,05	0,06	0,07	●	○*	○	
N.4.1																		
O.1.1	320	0,03	0,04	0,05	0,06	0,07	0,08	195	0,02	0,03	0,04	0,05	0,06	0,07	●	○	○	
O.1.2	320	0,03	0,04	0,05	0,06	0,07	0,08	195	0,02	0,03	0,04	0,05	0,06	0,07	●	○	○	
O.2.1																		
O.2.2																		
O.3.1																		

* = Uniquement adapté pour les fraises revêtues DLC

Conditions de coupe – Fraises à ébavurer – BlueLine

Index	v _c (m/min)	52 560 ..., 52 561 ..., 52 562 ..., 52 563 ...						v _c (m/min)	● 1er choix									
		Ti2000							○ Utilisation possible									
		Ø DC (mm) =																
		4	6	8	10	12	16		f _z (mm/dt)						Emulsion	Air	MMS	
P.3.2	80	0,02	0,02	0,025	0,03	0,04	0,05		●									
P.3.3	70	0,02	0,02	0,025	0,03	0,04	0,05		●									
H.1.1	120	0,045	0,055	0,06	0,065	0,065	0,07		●									
H.1.2	90	0,04	0,05	0,055	0,06	0,06	0,065		●									
H.1.3	70	0,035	0,045	0,05	0,055	0,055	0,06		●									
H.1.4	50	0,025	0,03	0,04	0,045	0,045	0,05		●									
H.2.1																		
H.3.1																		

Conditions de coupe – BlueLine – Micro-fraises deux tailles et toriques

Index	T _x ≤ 2,5 x DC		52 345 ..., 52 346 ..., 52 347 ..., 52 349 ..., 52 350 ..., 52 351 ...												Air			
	v _c (m/min)	a _p max. x DC	Ø DC (mm) =															
			0,2	0,3	0,4–0,5	0,6–0,7	0,8–0,9	1,0	1,2–1,4	1,5	1,6–1,8	2,0	2,5	3,0				
a_e 0,05 x DC																		
f_z (mm/dt)																		
P.3.2	190	0,5	0,0038	0,0045	0,0050	0,0078	0,0093	0,0131	0,0165	0,018	0,0195	0,0210	0,0225	0,0240	●			
P.3.3	190	0,5	0,0038	0,0045	0,0050	0,0078	0,0093	0,0131	0,0165	0,018	0,0195	0,0210	0,0225	0,0240	●			
H.1.1	120	0,5	0,0038	0,0045	0,0050	0,0078	0,0093	0,0131	0,0165	0,018	0,0195	0,0210	0,0225	0,0240	●			
H.1.2	70	0,5	0,0030	0,0360	0,0045	0,0062	0,0074	0,0104	0,0132	0,0144	0,0156	0,0168	0,0180	0,0192	●			
H.1.3	50	0,5	0,0025	0,0030	0,0040	0,0052	0,0062	0,0087	0,0110	0,0120	0,0130	0,0140	0,0150	0,0160	●			
H.1.4																		
H.2.1	190	0,5	0,0038	0,0045	0,0050	0,0078	0,0093	0,0131	0,0165	0,0180	0,0195	0,0210	0,0225	0,0240	●			
H.3.1	70	0,5	0,0030	0,0360	0,0045	0,0062	0,0074	0,0104	0,0132	0,0144	0,0156	0,0168	0,0180	0,0192	●			

Index	T _x ≤ 2,6–5,0 x DC		52 345 ..., 52 346 ..., 52 347 ..., 52 349 ..., 52 350 ..., 52 351 ...												Air			
	v _c (m/min)	a _p max. x DC	Ø DC (mm) =															
			0,2	0,3	0,4–0,5	0,6–0,7	0,8–0,9	1,0	1,2–1,4	1,5	1,6–1,8	2,0	2,5	3,0				
a_e 0,05 x DC																		
f_z (mm/dt)																		
P.3.2	170	0,5	0,0038	0,0041	0,0045	0,0063	0,0075	0,0102	0,0134	0,0152	0,0158	0,0176	0,0195	0,0195	●			
P.3.3	170	0,5	0,0038	0,0041	0,0045	0,0063	0,0075	0,0102	0,0134	0,0152	0,0158	0,0176	0,0195	0,0195	●			
H.1.1	108	0,5	0,0038	0,0041	0,0045	0,0063	0,0075	0,0102	0,0134	0,0152	0,0158	0,0176	0,0195	0,0195	●			
H.1.2	63	0,5	0,0030	0,0032	0,0036	0,0050	0,0060	0,0082	0,0107	0,0121	0,0126	0,0140	0,0156	0,0156	●			
H.1.3	45	0,5	0,0025	0,0027	0,0030	0,0042	0,0050	0,0068	0,0089	0,0101	0,0105	0,0117	0,0130	0,0130	●			
H.1.4																		
H.2.1	170	0,5	0,0038	0,0041	0,0045	0,0063	0,0075	0,0102	0,0134	0,0152	0,0158	0,0176	0,0195	0,0195	●			
H.3.1	63	0,5	0,0030	0,0032	0,0036	0,0050	0,0060	0,0082	0,0107	0,0121	0,0126	0,0140	0,0156	0,0156	●			

Index	T _x ≤ 5,1–10,0 x DC		52 345 ..., 52 346 ..., 52 347 ..., 52 349 ..., 52 350 ..., 52 351 ...												Air			
	v _c (m/min)	a _p max. x DC	Ø DC (mm) =															
			0,2	0,3	0,4–0,5	0,6–0,7	0,8–0,9	1,0	1,2–1,4	1,5	1,6–1,8	2,0	2,5	3,0				
a_e 0,05 x DC																		
f_z (mm/dt)																		
P.3.2	150	0,5	0,0030	0,0038	0,0045	0,0060	0,0068	0,0075	0,0083	0,0090	0,0105	0,0113	0,012	0,0128	●			
P.3.3	150	0,5	0,0030	0,0038	0,0045	0,0060	0,0068	0,0075	0,0083	0,0090	0,0105	0,0113	0,012	0,0128	●			
H.1.1	96	0,5	0,0030	0,0038	0,0045	0,0060	0,0068	0,0075	0,0083	0,0090	0,0105	0,0113	0,0120	0,0128	●			
H.1.2	56	0,5	0,0024	0,0030	0,0036	0,0048	0,0054	0,0060	0,0066	0,0072	0,0084	0,0090	0,0096	0,0102	●			
H.1.3	40	0,5	0,0020	0,0025	0,0030	0,0040	0,0045	0,0050	0,0055	0,0060	0,0070	0,0075	0,0080	0,0085	●			
H.1.4																		
H.2.1	150	0,5	0,0030	0,0038	0,0045	0,0060	0,0068	0,0075	0,0083	0,0090	0,0105	0,0113	0,0120	0,0128	●			
H.3.1	56	0,5	0,0024	0,0030	0,0036	0,0048	0,0054	0,0060	0,0066	0,0072	0,0084	0,0090	0,0096	0,0102	●			

Index	$T_x \leq 10,1-15,0 \times DC$		52 345 ..., 52 346 ..., 52 347 ..., 52 349 ..., 52 350 ..., 52 351 ...												Air		
	v_c (m/min)	$a_p \text{ max.} \times DC$	$\emptyset DC (\text{mm}) =$														
			0,2	0,3	0,4-0,5	0,6-0,7	0,8-0,9	1,0	1,2-1,4	1,5	1,6-1,8	2,0	2,5	3,0			
			$a_e 0,05 \times DC$														
P.3.2	114	0,5	0,0015	0,0023	0,0030	0,0038	0,0045	0,0048	0,0051	0,0054	0,0057	0,0060	0,0063	0,0066	●		
P.3.3	114	0,5	0,0015	0,0023	0,0030	0,0038	0,0045	0,0048	0,0051	0,0054	0,0057	0,0060	0,0063	0,0066	●		
H.1.1	72	0,5	0,0015	0,0023	0,0030	0,0038	0,0045	0,0048	0,0051	0,0054	0,0057	0,0060	0,0063	0,0066	●		
H.1.2	42	0,5	0,0012	0,0018	0,0024	0,0030	0,0036	0,0038	0,0041	0,0043	0,0046	0,0048	0,0050	0,0053	●		
H.1.3	30	0,5	0,0010	0,0015	0,0020	0,0025	0,0030	0,0032	0,0034	0,0036	0,0038	0,0040	0,0042	0,0044	●		
H.1.4																	
H.2.1	114	0,5	0,0015	0,0023	0,0030	0,0038	0,0045	0,0048	0,0051	0,0054	0,0057	0,0060	0,0063	0,0066	●		
H.3.1	42	0,5	0,0012	0,0018	0,0024	0,0030	0,0036	0,0038	0,0041	0,0043	0,0046	0,0048	0,0050	0,0053	●		

Index	$T_x \leq 15,1-20,0 \times DC$		52 345 ..., 52 346 ..., 52 347 ..., 52 349 ..., 52 350 ..., 52 351 ...												Air		
	v_c (m/min)	$a_p \text{ max.} \times DC$	$\emptyset DC (\text{mm}) =$														
			0,2	0,3	0,4-0,5	0,6-0,7	0,8-0,9	1,0	1,2-1,4	1,5	1,6-1,8	2,0	2,5	3,0			
			$a_e 0,05 \times DC$														
P.3.2	75	0,5	0,0015	0,0015	0,0023	0,003	0,0038	0,0045	0,0048	0,0051	0,0054	0,0057	0,0060	0,0063	●		
P.3.3	75	0,5	0,0015	0,0015	0,0023	0,003	0,0038	0,0045	0,0048	0,0051	0,0054	0,0057	0,0060	0,0063	●		
H.1.1	48	0,5	0,0015	0,0015	0,0023	0,0030	0,0038	0,0045	0,0048	0,0051	0,0054	0,0057	0,0060	0,0063	●		
H.1.2	28	0,5	0,0012	0,0012	0,0018	0,0024	0,003	0,0036	0,0038	0,0041	0,0043	0,0046	0,0048	0,0050	●		
H.1.3	20	0,5	0,0010	0,0010	0,0015	0,0020	0,0025	0,0030	0,0032	0,0034	0,0036	0,0038	0,0040	0,0042	●		
H.1.4																	
H.2.1	75	0,5	0,0015	0,0015	0,0023	0,0030	0,0038	0,0045	0,0048	0,0051	0,0054	0,0057	0,0060	0,0063	●		
H.3.1	28	0,5	0,0012	0,0012	0,0018	0,0024	0,0030	0,0036	0,0038	0,0041	0,0043	0,0046	0,0048	0,0050	●		

Index	$T_x \leq 20,1-30,0 \times DC$		52 345 ..., 52 346 ..., 52 347 ..., 52 349 ..., 52 350 ..., 52 351 ...												Air		
	v_c (m/min)	$a_p \text{ max.} \times DC$	$\emptyset DC (\text{mm}) =$														
			0,2	0,3	0,4-0,5	0,6-0,7	0,8-0,9	1,0	1,2-1,4	1,5	1,6-1,8	2,0	2,5	3,0			
			$a_e 0,05 \times DC$														
P.3.2	57	0,5	0,0010	0,002	0,0020	0,0030	0,0030	0,0030	0,0040	0,0040	0,0040	0,005	0,0050	0,0050	●		
P.3.3	57	0,5	0,0010	0,002	0,0020	0,0030	0,0030	0,0030	0,0040	0,0040	0,0040	0,005	0,0050	0,0050	●		
H.1.1	36	0,5	0,0010	0,002	0,0020	0,0030	0,0030	0,0030	0,0040	0,0040	0,0040	0,005	0,0050	0,0050	●		
H.1.2	21	0,5	0,0010	0,001	0,0020	0,0020	0,0020	0,0030	0,0030	0,0030	0,0030	0,004	0,0040	0,0040	●		
H.1.3	15	0,5	0,0008	0,001	0,0013	0,0017	0,0019	0,0022	0,0025	0,0027	0,0029	0,003	0,0031	0,0032	●		
H.1.4																	
H.2.1	57	0,5	0,0010	0,002	0,0020	0,0030	0,0030	0,0040	0,0040	0,0040	0,005	0,0050	0,0050	●			
H.3.1	21	0,5	0,0010	0,001	0,0020	0,0020	0,0020	0,0030	0,0030	0,0030	0,004	0,0040	0,0040	●			

Conditions de coupe – BlueLine – Micro-fraises hémisphériques

Index	T _x ≤ 2,5 x DC		52 356 ..., 52 357 ..., 52 358 ..., 52 359 ..., 52 360 ...												Air		
	v _c (m/min)	a _p max. x DC	Ø DC (mm) =														
			0,2	0,3	0,4–0,5	0,6–0,7	0,8–0,9	1,0	1,2–1,4	1,5	1,6–1,8	2,0	2,5	3,0			
P.3.2	190	0,5	0,0015	0,0023	0,0030	0,0038	0,0045	0,0053	0,0060	0,0063	0,0066	0,0069	0,0072	0,0075	●		
P.3.3	190	0,5	0,0015	0,0023	0,0030	0,0038	0,0045	0,0053	0,0060	0,0063	0,0066	0,0069	0,0072	0,0075	●		
H.1.1	120	0,5	0,0015	0,0023	0,0030	0,0038	0,0045	0,0053	0,0060	0,0063	0,0066	0,0069	0,0072	0,0075	●		
H.1.2	70	0,5	0,0012	0,0018	0,0024	0,0030	0,0036	0,0042	0,0048	0,0050	0,0053	0,0055	0,0058	0,0060	●		
H.1.3	50	0,5	0,0010	0,0015	0,0020	0,0025	0,0030	0,0035	0,0040	0,0042	0,0044	0,0046	0,0048	0,0050	●		
H.1.4																	
H.2.1	190	0,5	0,0015	0,0023	0,0030	0,0038	0,0045	0,0053	0,0060	0,0063	0,0066	0,0069	0,0072	0,0075	●		
H.3.1	70	0,5	0,0012	0,0018	0,0024	0,0030	0,0036	0,0042	0,0048	0,0050	0,0053	0,0055	0,0058	0,0060	●		

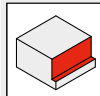
Index	T _x ≤ 2,6–5,0 x DC		52 356 ..., 52 357 ..., 52 358 ..., 52 359 ..., 52 360 ...												Air		
	v _c (m/min)	a _p max. x DC	Ø DC (mm) =														
			0,2	0,3	0,4–0,5	0,6–0,7	0,8–0,9	1,0	1,2–1,4	1,5	1,6–1,8	2,0	2,5	3,0			
P.3.2	170	0,5	0,0011	0,0014	0,0018	0,0023	0,0026	0,0029	0,0032	0,0035	0,0038	0,0041	0,0044	0,0048	●		
P.3.3	170	0,5	0,0011	0,0014	0,0018	0,0023	0,0026	0,0029	0,0032	0,0035	0,0038	0,0041	0,0044	0,0048	●		
H.1.1	108	0,5	0,0011	0,0014	0,0018	0,0023	0,0026	0,0029	0,0032	0,0035	0,0038	0,0041	0,0044	0,0048	●		
H.1.2	63	0,5	0,0008	0,0011	0,0014	0,0018	0,0019	0,0021	0,0023	0,0025	0,0027	0,0029	0,0032	0,0038	●		
H.1.3	45	0,5	0,0007	0,0009	0,0012	0,0015	0,0017	0,0019	0,0021	0,0023	0,0025	0,0027	0,0029	0,0032	●		
H.1.4																	
H.2.1	170	0,5	0,0011	0,0014	0,0018	0,0023	0,0026	0,0029	0,0032	0,0035	0,0038	0,0041	0,0044	0,0048	●		
H.3.1	63	0,5	0,0008	0,0011	0,0014	0,0018	0,0019	0,0021	0,0023	0,0025	0,0027	0,0029	0,0032	0,0038	●		

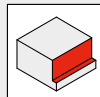
Index	T _x ≤ 5,1–10,0 x DC		52 356 ..., 52 357 ..., 52 358 ..., 52 359 ..., 52 360 ...												Air		
	v _c (m/min)	a _p max. x DC	Ø DC (mm) =														
			0,2	0,3	0,4–0,5	0,6–0,7	0,8–0,9	1,0	1,2–1,4	1,5	1,6–1,8	2,0	2,5	3,0			
P.3.2	150	0,5	0,0006	0,0009	0,0012	0,0015	0,0018	0,0021	0,0024	0,0027	0,0030	0,0033	0,0036	0,0039	●		
P.3.3	150	0,5	0,0006	0,0009	0,0012	0,0015	0,0018	0,0021	0,0024	0,0027	0,0030	0,0033	0,0036	0,0039	●		
H.1.1	96	0,5	0,0006	0,0009	0,0012	0,0015	0,0018	0,0021	0,0024	0,0027	0,003	0,0033	0,0036	0,0039	●		
H.1.2	56	0,5	0,0005	0,0007	0,0010	0,0012	0,0014	0,0017	0,0019	0,0022	0,0024	0,0026	0,0029	0,0031	●		
H.1.3	40	0,5	0,0004	0,0006	0,0008	0,0010	0,0012	0,0014	0,0016	0,0018	0,0020	0,0022	0,0024	0,0026	●		
H.1.4																	
H.2.1	150	0,5	0,0006	0,0009	0,0012	0,0015	0,0018	0,0021	0,0024	0,0027	0,0030	0,0033	0,0036	0,0039	●		
H.3.1	56	0,5	0,0005	0,0007	0,0010	0,0012	0,0014	0,0017	0,0019	0,0022	0,0024	0,0026	0,0029	0,0031	●		

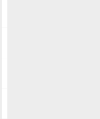
Index	$T_x \leq 10,1-15,0 \times DC$		52 356 ..., 52 357 ..., 52 358 ..., 52 359 ..., 52 360 ...													Air	
	v_c (m/min)	a_p max. x DC	$\emptyset DC$ (mm) =														
			0,2	0,3	0,4-0,5	0,6-0,7	0,8-0,9	1,0	1,2-1,4	1,5	1,6-1,8	2,0	2,5	3,0			
			a_e 0,05 x DC														
P.3.2	114	0,5	0,0003	0,0006	0,0009	0,0012	0,0015	0,0018	0,0021	0,0024	0,0027	0,0030	0,0033	0,0036	●		
P.3.3	114	0,5	0,0003	0,0006	0,0009	0,0012	0,0015	0,0018	0,0021	0,0024	0,0027	0,0030	0,0033	0,0036	●		
H.1.1	72	0,5	0,0003	0,0006	0,0008	0,0012	0,0015	0,0018	0,0021	0,0024	0,0027	0,0030	0,0033	0,0036	●		
H.1.2	42	0,5	0,0002	0,0005	0,0007	0,0010	0,0012	0,0014	0,0017	0,0019	0,0022	0,0022	0,0026	0,0029	●		
H.1.3	30	0,5	0,0002	0,0004	0,0006	0,0008	0,0010	0,0012	0,0014	0,0016	0,0018	0,0020	0,0022	0,0024	●		
H.1.4																	
H.2.1	114	0,5	0,0003	0,0006	0,0008	0,0012	0,0015	0,0018	0,0021	0,0024	0,0027	0,0030	0,0033	0,0036	●		
H.3.1	42	0,5	0,0002	0,0005	0,0007	0,0010	0,0012	0,0014	0,0017	0,0019	0,0022	0,0022	0,0026	0,0029	●		

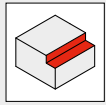
Index	$T_x \leq 15,1-20,0 \times DC$		52 356 ..., 52 357 ..., 52 358 ..., 52 359 ..., 52 360 ...													Air	
	v_c (m/min)	a_p max. x DC	$\emptyset DC$ (mm) =														
			0,2	0,3	0,4-0,5	0,6-0,7	0,8-0,9	1,0	1,2-1,4	1,5	1,6-1,8	2,0	2,5	3,0			
			a_e 0,05 x DC														
P.3.2	114	0,5	0,0002	0,0004	0,0006	0,0009	0,0012	0,0015	0,0018	0,0021	0,0024	0,0027	0,003	0,0033	●		
P.3.3	114	0,5	0,0002	0,0004	0,0006	0,0009	0,0012	0,0015	0,0018	0,0021	0,0024	0,0027	0,003	0,0033	●		
H.1.1	72	0,5	0,0002	0,0004	0,0005	0,0009	0,0012	0,0015	0,0018	0,0021	0,0024	0,0027	0,003	0,0033	●		
H.1.2	42	0,5	0,0001	0,0003	0,0004	0,0007	0,0009	0,0011	0,0014	0,0016	0,0019	0,0019	0,0023	0,0026	●		
H.1.3	30	0,5	0,0001	0,0002	0,0003	0,0005	0,0007	0,0009	0,0011	0,0013	0,0015	0,0017	0,0019	0,0021	●		
H.1.4																	
H.2.1	114	0,5	0,0002	0,0004	0,0005	0,0009	0,0012	0,0015	0,0018	0,0021	0,0024	0,0027	0,003	0,0033	●		
H.3.1	42	0,5	0,0001	0,0003	0,0004	0,0007	0,0009	0,0011	0,0014	0,0016	0,0019	0,0021	0,0023	0,0026	●		

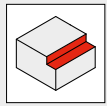
Conditions de coupe – BlueLine

Index	52 140 ... 52 141 ...	52 133 ... 52 134 ... 52 324 ...		52 133 ..., 52 134 ..., 52 140 ..., 52 141 ..., 52 324 ...										Air	
				$\emptyset DC$ (mm) =											
				3	4	5	6	8	10	12	16	20			
				v_c (m/min)	a_p max. x DC				f_z (mm/dt)						
P.3.2	190	160		1,0	0,018	0,020	0,022	0,024	0,025	0,030	0,035	0,038	0,040	●	
P.3.3	190	160		1,0	0,018	0,020	0,022	0,024	0,025	0,030	0,035	0,038	0,040	●	
H.1.1	160	140		1,0	0,013	0,013	0,016	0,018	0,020	0,023	0,025	0,029	0,032	●	
H.1.2	140	130		1,0	0,011	0,011	0,014	0,016	0,018	0,020	0,022	0,025	0,027	●	
H.1.3	100	90		1,0	0,010	0,010	0,012	0,014	0,016	0,018	0,020	0,023	0,025	●	
H.1.4															
H.2.1	190	160		1,0	0,018	0,020	0,022	0,024	0,025	0,030	0,035	0,038	0,040	●	
H.3.1	140	130		1,0	0,011	0,011	0,014	0,016	0,018	0,020	0,022	0,025	0,027	●	

Index		52 135 ..., 52 136 ..., 52 325 ...										Air		
		$\emptyset DC$ (mm) =												
		3	4	5	6	8	10	12	16	20				
		v_c (m/min)	a_p max. x DC						f_z (mm/dt)					
P.3.2	140	1,0	0,011	0,013	0,015	0,019	0,022	0,027	0,032	0,034	0,035	●		
P.3.3	140	1,0	0,011	0,013	0,015	0,019	0,022	0,027	0,032	0,034	0,035	●		
H.1.1	125	1,0	0,008	0,009	0,011	0,014	0,016	0,02	0,023	0,026	0,028	●		
H.1.2	115	1,0	0,007	0,008	0,009	0,012	0,014	0,017	0,02	0,023	0,025	●		
H.1.3	80	1,0	0,005	0,006	0,007	0,01	0,012	0,015	0,017	0,019	0,02	●		
H.1.4														
H.2.1	140	1,0	0,011	0,013	0,015	0,019	0,022	0,027	0,032	0,034	0,035	●		
H.3.1	115	1,0	0,007	0,008	0,009	0,012	0,014	0,017	0,02	0,023	0,025	●		

Index		52 344 ...																		
		$\emptyset DC$ (mm) =																		
		0,5			1,0–1,5			2,0–2,5			3,0–3,5			4,0		5,0				
		a_e 0,1–0,2 x DC	a_e 0,3–0,4 x DC	a_e 0,6–1,0 x DC	a_e 0,1–0,2 x DC	a_e 0,3–0,4 x DC	a_e 0,6–1,0 x DC	a_e 0,1–0,2 x DC	a_e 0,3–0,4 x DC	a_e 0,6–1,0 x DC	a_e 0,1–0,2 x DC	a_e 0,3–0,4 x DC	a_e 0,6–1,0 x DC	a_e 0,1–0,2 x DC	a_e 0,3–0,4 x DC	a_e 0,6–1,0 x DC				
		v_c (m/min)	a_p max. x DC																	
P.3.2	120	0,5	0,006	0,004	0,004	0,008	0,006	0,005	0,011	0,008	0,006	0,016	0,012	0,009	0,022	0,017	0,012	0,027	0,020	0,014
P.3.3	120	0,5	0,006	0,004	0,004	0,008	0,006	0,005	0,011	0,008	0,006	0,016	0,012	0,009	0,022	0,017	0,012	0,027	0,020	0,014
H.1.1	80	0,5	0,006	0,004	0,004	0,008	0,006	0,005	0,011	0,008	0,006	0,016	0,012	0,009	0,022	0,017	0,012	0,027	0,020	0,014
H.1.2	60	0,5	0,004	0,004	0,003	0,006	0,005	0,004	0,009	0,007	0,005	0,013	0,010	0,007	0,017	0,013	0,010	0,022	0,016	0,011
H.1.3	50	0,5	0,004	0,003	0,002	0,005	0,004	0,003	0,007	0,006	0,004	0,011	0,008	0,006	0,014	0,011	0,008	0,018	0,013	0,009
H.1.4																				
H.2.1	120	0,5	0,006	0,004	0,004	0,008	0,006	0,005	0,011	0,008	0,006	0,016	0,012	0,009	0,022	0,017	0,012	0,027	0,020	0,014
H.3.1	60	0,5	0,004	0,004	0,003	0,006	0,005	0,004	0,009	0,007	0,005	0,013	0,010	0,007	0,017	0,013	0,010	0,022	0,016	0,011

Index				52 133 ..., 52 134 ..., 52 140 ..., 52 141 ..., 52 324 ...										Air		
				\emptyset DC (mm) =												
	v_c (m/min)			a_p max. x DC	3	4	5	6	8	10	12	16	20			
P.3.2	190	160		0,05	0,018	0,020	0,022	0,024	0,025	0,030	0,035	0,038	0,040	●		
P.3.3	190	160		0,05	0,018	0,020	0,022	0,024	0,025	0,030	0,035	0,038	0,040	●		
H.1.1	160	140		0,05	0,013	0,013	0,016	0,018	0,020	0,023	0,025	0,029	0,032	●		
H.1.2	140	130		0,05	0,011	0,011	0,014	0,016	0,018	0,020	0,022	0,025	0,027	●		
H.1.3	100	90		0,05	0,010	0,010	0,012	0,014	0,016	0,018	0,020	0,023	0,025	●		
H.1.4																
H.2.1	190	160		0,05	0,018	0,020	0,022	0,024	0,025	0,030	0,035	0,038	0,040	●		
H.3.1	140	130		0,05	0,011	0,011	0,014	0,016	0,018	0,020	0,022	0,025	0,027	●		

Index				52 135 ..., 52 136 ..., 52 325 ...										Air		
				\emptyset DC (mm) =												
	v_c (m/min)			a_p max. x DC	3	4	5	6	8	10	12	16	20			
P.3.2	140	0,05		0,011	0,013	0,015	0,019	0,022	0,027	0,032	0,034	0,035	●			
P.3.3	140	0,05		0,011	0,013	0,015	0,019	0,022	0,027	0,032	0,034	0,035	●			
H.1.1	125	0,05		0,008	0,009	0,011	0,014	0,016	0,02	0,023	0,026	0,028	●			
H.1.2	115	0,05		0,007	0,008	0,009	0,012	0,014	0,017	0,02	0,023	0,025	●			
H.1.3	80	0,05		0,005	0,006	0,007	0,01	0,012	0,015	0,017	0,019	0,02	●			
H.1.4																
H.2.1	140	0,05		0,011	0,013	0,015	0,019	0,022	0,027	0,032	0,034	0,035	●			
H.3.1	115	0,05		0,007	0,008	0,009	0,012	0,014	0,017	0,02	0,023	0,025	●			

Index	52 344 ...														Air			
			\emptyset DC (mm) =															
					6,0	8,0	10,0	12,0	16,0	20,0	a_e 0,1–0,2 x DC	a_e 0,3–0,4 x DC	a_e 0,6–1,0 x DC	a_e 0,1–0,2 x DC	a_e 0,3–0,4 x DC	a_e 0,6–1,0 x DC	a_e 0,1–0,2 x DC	a_e 0,3–0,4 x DC
P.3.2	0,036	0,027	0,018	0,048	0,036	0,024	0,054	0,040	0,027	0,06	0,045	0,030	0,076	0,058	0,045	0,095	0,077	0,060
P.3.3	0,036	0,027	0,018	0,048	0,036	0,024	0,054	0,040	0,027	0,06	0,045	0,030	0,076	0,058	0,045	0,095	0,077	0,060
H.1.1	0,036	0,027	0,018	0,048	0,036	0,024	0,054	0,040	0,027	0,06	0,045	0,030	0,076	0,058	0,045	0,095	0,077	0,060
H.1.2	0,029	0,021	0,014	0,038	0,029	0,019	0,043	0,032	0,022	0,048	0,036	0,024	0,061	0,046	0,036	0,076	0,062	0,048
H.1.3	0,024	0,018	0,012	0,032	0,024	0,016	0,036	0,027	0,018	0,040	0,030	0,020	0,051	0,039	0,030	0,063	0,052	0,040
H.1.4																		
H.2.1	0,036	0,027	0,018	0,048	0,036	0,024	0,054	0,040	0,027	0,060	0,045	0,030	0,076	0,058	0,045	0,095	0,077	0,060
H.3.1	0,029	0,021	0,014	0,038	0,029	0,019	0,043	0,032	0,022	0,048	0,036	0,024	0,061	0,046	0,036	0,076	0,062	0,048

Conditions de coupe – BlueLine

Index	v _c (m/min)	a _{p max.} x DC	52 348 ...												Air		
			Ø DC (mm) =														
			6		8		10		12		16		20				
			a _e 0,05 x DC	a _e 0,1 x DC	a _e 0,05 x DC	a _e 0,1 x DC	a _e 0,05 x DC	a _e 0,1 x DC	a _e 0,05 x DC	a _e 0,1 x DC	a _e 0,05 x DC	a _e 0,1 x DC	a _e 0,05 x DC	a _e 0,1 x DC			
P.3.2	120	2,0	0,025	0,021	0,029	0,024	0,031	0,027	0,036	0,032	0,042	0,038	0,049	0,045	●		
P.3.3	120	2,0	0,025	0,021	0,029	0,024	0,031	0,027	0,036	0,032	0,042	0,038	0,049	0,045	●		
H.1.1	100	2,0	0,025	0,021	0,029	0,024	0,031	0,027	0,036	0,032	0,042	0,038	0,049	0,045	●		
H.1.2	90	2,0	0,021	0,017	0,024	0,019	0,027	0,022	0,030	0,025	0,035	0,030	0,041	0,036	●		
H.1.3	60	2,0	0,014	0,011	0,016	0,013	0,018	0,015	0,021	0,018	0,025	0,022	0,030	0,027	●		
H.1.4																	
H.2.1	120	2,0	0,025	0,021	0,029	0,024	0,031	0,027	0,036	0,032	0,042	0,038	0,049	0,045	●		
H.3.1	90	2,0	0,021	0,017	0,024	0,019	0,027	0,022	0,030	0,025	0,035	0,030	0,041	0,036	●		

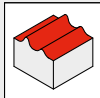
Index	v _c (m/min)	a _{p max.} x DC	52 353 ...												Air		
			Ø DC (mm) =														
			1	2	3	4	5	6	8	10	12	16					
			a _e 0,05 x DC														
P.3.2	200	0,5	0,008	0,015	0,030	0,045	0,060	0,075	0,090	0,105	0,120	0,135	●				
P.3.3	200	0,5	0,008	0,015	0,030	0,045	0,060	0,075	0,090	0,105	0,120	0,135	●				
H.1.1	170	0,5	0,008	0,015	0,030	0,045	0,060	0,075	0,090	0,105	0,120	0,135	●				
H.1.2	150	0,5	0,006	0,012	0,024	0,036	0,048	0,060	0,072	0,084	0,096	0,108	●				
H.1.3	110	0,5	0,005	0,010	0,020	0,030	0,040	0,050	0,060	0,070	0,080	0,090	●				
H.1.4																	
H.2.1	200	0,5	0,008	0,015	0,030	0,045	0,060	0,075	0,090	0,105	0,120	0,135	●				
H.3.1	150	0,5	0,006	0,012	0,024	0,036	0,048	0,060	0,072	0,084	0,096	0,108	●				

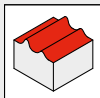
Index	v _c (m/min)	a _{p max.} x DC	52 354 ...												Air		
			Ø DC (mm) =														
			1	2	3	4	5	6	8	10	12	16					
			a _e 0,05 x DC														
P.3.2	200	0,5	0,005	0,008	0,015	0,023	0,030	0,038	0,045	0,053	0,060	0,068	●				
P.3.3	200	0,5	0,005	0,008	0,015	0,023	0,030	0,038	0,045	0,053	0,060	0,068	●				
H.1.1	170	0,5	0,005	0,008	0,015	0,023	0,030	0,038	0,045	0,053	0,060	0,068	●				
H.1.2	150	0,5	0,004	0,006	0,012	0,018	0,024	0,030	0,036	0,042	0,048	0,054	●				
H.1.3	110	0,5	0,003	0,005	0,010	0,015	0,020	0,025	0,03	0,035	0,040	0,045	●				
H.1.4																	
H.2.1	200	0,5	0,005	0,008	0,015	0,023	0,030	0,038	0,045	0,053	0,060	0,068	●				
H.3.1	150	0,5	0,004	0,006	0,012	0,018	0,024	0,030	0,036	0,042	0,048	0,054	●				

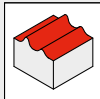
Index		52 353 ...											Air	
		$\emptyset DC \text{ (mm)} =$												
		1	2	3	4	5	6	8	10	12	16			
		a_e $0,6-1,0 \times DC$												
P.3.2	200	0,05	0,008	0,015	0,030	0,045	0,06	0,075	0,090	0,105	0,120	0,135	●	
P.3.3	200	0,05	0,008	0,015	0,030	0,045	0,06	0,075	0,090	0,105	0,120	0,135	●	
H.1.1	170	0,05	0,008	0,015	0,030	0,045	0,06	0,075	0,090	0,105	0,120	0,135	●	
H.1.2	150	0,05	0,006	0,012	0,024	0,036	0,048	0,060	0,072	0,084	0,096	0,108	●	
H.1.3	110	0,05	0,005	0,010	0,020	0,030	0,040	0,050	0,060	0,070	0,080	0,090	●	
H.1.4														
H.2.1	200	0,05	0,008	0,015	0,030	0,045	0,060	0,075	0,090	0,105	0,120	0,135	●	
H.3.1	150	0,05	0,006	0,012	0,024	0,036	0,048	0,060	0,072	0,084	0,096	0,108	●	

Index		52 354 ...											Air	
		$\emptyset DC \text{ (mm)} =$												
		1	2	3	4	5	6	8	10	12	16			
		a_e $0,6-1,0 \times DC$												
P.3.2	200	0,05	0,005	0,008	0,015	0,023	0,030	0,038	0,045	0,053	0,060	0,068	●	
P.3.3	200	0,05	0,005	0,008	0,015	0,023	0,030	0,038	0,045	0,053	0,060	0,068	●	
H.1.1	170	0,05	0,005	0,008	0,015	0,023	0,030	0,038	0,045	0,053	0,060	0,068	●	
H.1.2	150	0,05	0,004	0,006	0,012	0,018	0,024	0,030	0,036	0,042	0,048	0,054	●	
H.1.3	110	0,05	0,003	0,005	0,010	0,015	0,020	0,025	0,030	0,035	0,040	0,045	●	
H.1.4														
H.2.1	200	0,05	0,005	0,008	0,015	0,023	0,030	0,038	0,045	0,053	0,060	0,068	●	
H.3.1	150	0,05	0,004	0,006	0,012	0,018	0,024	0,030	0,036	0,042	0,048	0,054	●	

Conditions de coupe – BlueLine – Fraises hémisphériques

Index		52 258 ..., 52 259 ...										
		$\emptyset DC$ (mm) =										
		0,1–0,5	0,6–1,0	1,5–2,0	2,5	3,0	4,0	5,0	6,0	8,0	10,0	
a_e $0,05 \times DC$												
v _c (m/min)	a _{pmax} x DC	f _z (mm/dt)										
P.3.2	190	0,05	0,008	0,010	0,012	0,016	0,020	0,025	0,030	0,040	0,050	0,060
P.3.3	190	0,05	0,008	0,010	0,012	0,016	0,020	0,025	0,030	0,040	0,050	0,060
H.1.1	165	0,05	0,004	0,005	0,006	0,008	0,010	0,014	0,017	0,028	0,038	0,048
H.1.2	145	0,05	0,004	0,004	0,005	0,006	0,008	0,012	0,015	0,025	0,035	0,045
H.1.3	105	0,05	0,003	0,004	0,005	0,005	0,006	0,010	0,014	0,022	0,030	0,040
H.1.4												
H.2.1	190	0,05	0,008	0,010	0,012	0,016	0,020	0,025	0,030	0,040	0,050	0,060
H.3.1	145	0,05	0,004	0,004	0,005	0,006	0,008	0,012	0,015	0,025	0,035	0,045

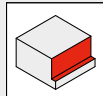
Index		52 256 ..., 52 257 ..., 52 302 ..., 52 303 ..., 52 404 ..., 52 405 ...										
		$\emptyset DC$ (mm) =										
		0,1–0,5	0,6–1,0	1,1–1,5	1,6–2,0	2,5	3,0	4,0	5,0	6,0	7,0	
a_e $0,05 \times DC$												
v _c (m/min)	a _{pmax} x DC	f _z (mm/dt)										
P.3.2	200	0,05	0,010	0,012	0,015	0,019	0,025	0,030	0,033	0,036	0,040	0,040
P.3.3	200	0,05	0,010	0,012	0,015	0,019	0,025	0,030	0,033	0,036	0,040	0,040
H.1.1	170	0,05	0,005	0,006	0,006	0,008	0,011	0,015	0,020	0,024	0,027	0,035
H.1.2	150	0,05	0,005	0,006	0,006	0,008	0,010	0,013	0,018	0,022	0,025	0,032
H.1.3	110	0,05	0,004	0,005	0,005	0,007	0,009	0,013	0,016	0,021	0,025	0,030
H.1.4												
H.2.1	200	0,05	0,010	0,012	0,015	0,019	0,025	0,030	0,033	0,036	0,040	0,040
H.3.1	150	0,05	0,005	0,006	0,006	0,008	0,010	0,013	0,018	0,022	0,025	0,032

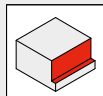
Index		52 355 ...											
		$\emptyset DC$ (mm) =											
		0,6–0,8	1,0	1,2–1,5	2,0	2,0	3,0	4,0	5,0	6,0	8,0	10,0	12,0
a_e $0,05 \times DC$													
v _c (m/min)	a _{pmax} x DC	f _z (mm/dt)											
P.3.2	200	0,05	0,006	0,008	0,010	0,015	0,030	0,045	0,060	0,075	0,090	0,105	0,120
P.3.3	200	0,05	0,006	0,008	0,010	0,015	0,030	0,045	0,060	0,075	0,090	0,105	0,120
H.1.1	170	0,05	0,006	0,008	0,010	0,015	0,030	0,045	0,060	0,075	0,090	0,105	0,120
H.1.2	150	0,05	0,004	0,006	0,008	0,012	0,024	0,036	0,048	0,060	0,072	0,084	0,096
H.1.3	110	0,05	0,004	0,005	0,007	0,010	0,020	0,030	0,040	0,050	0,060	0,070	0,080
H.1.4													
H.2.1	200	0,05	0,006	0,008	0,010	0,015	0,030	0,045	0,060	0,075	0,090	0,105	0,120
H.3.1	150	0,05	0,004	0,006	0,008	0,012	0,024	0,036	0,048	0,060	0,072	0,084	0,096

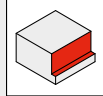
Index	52 258 ..., 52 259 ...			Air	
	\emptyset DC (mm) =				
	12,0	16,0	20,0		
	a_e $0,05 \times DC$		f_z (mm/dt)		
P.3.2	0,070	0,090	0,10	●	
P.3.3	0,070	0,090	0,10	●	
H.1.1	0,058	0,078	0,09	●	
H.1.2	0,055	0,075	0,08	●	
H.1.3	0,050	0,070	0,07	●	
H.1.4					
H.2.1	0,070	0,090	0,10	●	
H.3.1	0,055	0,075	0,08	●	

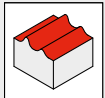
Index	52 258 ..., 52 259 ...							Air	
	\emptyset DC (mm) =								
	8,0	9,0	10,0	12,0	14,0	16,0	20,0		
	a_e $0,05 \times DC$								
	f_z (mm/dt)								
P.3.2	0,050	0,06	0,07	0,08	0,09	0,100	0,120	●	
P.3.3	0,050	0,06	0,07	0,08	0,09	0,100	0,120	●	
H.1.1	0,042	0,048	0,058	0,068	0,078	0,088	0,105	●	
H.1.2	0,039	0,045	0,055	0,065	0,075	0,085	0,100	●	
H.1.3	0,035	0,040	0,050	0,060	0,070	0,080	0,090	●	
H.1.4									
H.2.1	0,050	0,060	0,070	0,080	0,090	0,100	0,120	●	
H.3.1	0,039	0,045	0,055	0,065	0,075	0,085	0,100	●	

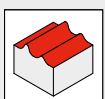
Conditions de coupe – BlueLine – Fraises toriques

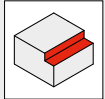
Index		52 304 ...										Air	
		$\emptyset DC (\text{mm}) =$											
		0,5–1,5	2,0–3,0	4,0	5,0	6,0	8,0	10,0	12,0	16,0			
a_e $0,05 \times DC$													
v _c (m/min)	a _p max. x DC	f _z (mm/dt)										Air	
P.3.2	190	1,0	0,012	0,028	0,055	0,055	0,065	0,075	0,090	0,100	0,120	●	
P.3.3	190	1,0	0,012	0,028	0,055	0,055	0,065	0,075	0,090	0,100	0,120	●	
H.1.1	160	1,0	0,007	0,023	0,040	0,040	0,055	0,070	0,082	0,090	0,110	●	
H.1.2	140	1,0	0,006	0,020	0,038	0,038	0,052	0,065	0,080	0,085	0,105	●	
H.1.3	100	1,0	0,005	0,018	0,035	0,035	0,050	0,060	0,075	0,080	0,100	●	
H.1.4													
H.2.1	190	1,0	0,012	0,028	0,055	0,055	0,065	0,075	0,090	0,100	0,120	●	
H.3.1	140	1,0	0,006	0,020	0,038	0,038	0,052	0,065	0,080	0,085	0,105	●	

Index		52 305 ...										Air	
		$\emptyset DC (\text{mm}) =$											
		1,0–1,5	2,0	3,0	4,0	5,30	6,0						
a_e $0,05 \times DC$													
v _c (m/min)	a _p max. x DC	f _z (mm/dt)										Air	
P.3.2	190	1,0	0,010	0,025	0,025	0,050	0,050	0,060	●				
P.3.3	190	1,0	0,010	0,025	0,025	0,050	0,050	0,060	●				
H.1.1	160	1,0	0,005	0,020	0,020	0,035	0,035	0,050	●				
H.1.2	140	1,0	0,004	0,017	0,017	0,033	0,033	0,053	●				
H.1.3	100	1,0	0,003	0,015	0,015	0,030	0,030	0,005	●				
H.1.4													
H.2.1	190	1,0	0,010	0,025	0,025	0,050	0,050	0,060	●				
H.3.1	140	1,0	0,004	0,017	0,017	0,033	0,033	0,053	●				

Index		52 361 ...										Air	
		$\emptyset DC (\text{mm}) =$											
		0,8–1,0	1,2–1,5	2,0	3,0	4,0	6,0	8,0	10,0	12,0			
a_e $0,05 \times DC$													
v _c (m/min)	a _p max. x DC	f _z (mm/dt)										Air	
P.3.2	200	0,5	0,008	0,010	0,015	0,030	0,045	0,075	0,090	0,105	0,120	●	
P.3.3	200	0,5	0,008	0,010	0,015	0,030	0,045	0,075	0,090	0,105	0,120	●	
H.1.1	170	0,5	0,008	0,010	0,015	0,030	0,045	0,075	0,090	0,105	0,120	●	
H.1.2	150	0,5	0,006	0,008	0,012	0,024	0,036	0,060	0,072	0,084	0,096	●	
H.1.3	110	0,5	0,005	0,007	0,010	0,020	0,030	0,050	0,060	0,070	0,080	●	
H.1.4													
H.2.1	200	0,5	0,008	0,010	0,015	0,03	0,045	0,075	0,090	0,105	0,120	●	
H.3.1	150	0,5	0,006	0,008	0,012	0,024	0,036	0,060	0,072	0,084	0,096	●	

Index		52 304 ...										Air	
		$\emptyset DC (mm) =$											
		0,5–1,5	2,0–3,0	4,0	5,0	6,0	8,0	10,0	12,0	16,0			
		a_e $0,05 \times DC$											
v _c (m/min)	a _{pmax} x DC	f _z (mm/dt)										Air	
P.3.2	190	0,05	0,016	0,032	0,060	0,060	0,080	0,090	0,100	0,120	0,140	●	
P.3.3	190	0,05	0,016	0,032	0,060	0,060	0,080	0,090	0,100	0,120	0,140	●	
H.1.1	160	0,05	0,011	0,028	0,050	0,050	0,070	0,080	0,090	0,100	0,130	●	
H.1.2	140	0,05	0,010	0,025	0,044	0,044	0,070	0,075	0,088	0,085	0,125	●	
H.1.3	100	0,05	0,009	0,021	0,040	0,040	0,065	0,070	0,085	0,080	0,120	●	
H.1.4													
H.2.1	190	0,05	0,016	0,032	0,060	0,060	0,080	0,090	0,100	0,120	0,140	●	
H.3.1	140	0,05	0,010	0,025	0,044	0,044	0,070	0,075	0,088	0,085	0,125	●	

Index		52 305 ...						Air	
		$\emptyset DC (mm) =$							
		1,0–1,5	2,0	3,0	4,0	5,30	6,0		
		a_e $0,05 \times DC$							
v _c (m/min)	a _{pmax} x DC	f _z (mm/dt)						Air	
P.3.2	190	0,05	0,014	0,030	0,030	0,055	0,055	0,070	●
P.3.3	190	0,05	0,014	0,030	0,030	0,055	0,055	0,070	●
H.1.1	160	0,05	0,009	0,025	0,025	0,045	0,045	0,060	●
H.1.2	140	0,05	0,008	0,022	0,022	0,040	0,040	0,058	●
H.1.3	100	0,05	0,007	0,018	0,018	0,035	0,035	0,050	●
H.1.4									
H.2.1	190	0,05	0,014	0,030	0,030	0,055	0,055	0,070	●
H.3.1	140	0,05	0,008	0,022	0,022	0,040	0,040	0,058	●

Index		52 361 ...										Air	
		$\emptyset DC (mm) =$											
		0,8–1,0	1,2–1,5	2,0	3,0	4,0	6,0	8,0	10,0	12,0			
		a_e $0,05 \times DC$											
v _c (m/min)	a _{pmax} x DC	f _z (mm/dt)										Air	
P.3.2	200	0,05	0,008	0,010	0,015	0,030	0,045	0,075	0,090	0,105	0,120	●	
P.3.3	200	0,05	0,008	0,010	0,015	0,030	0,045	0,075	0,090	0,105	0,120	●	
H.1.1	170	0,05	0,008	0,010	0,015	0,030	0,045	0,075	0,090	0,105	0,120	●	
H.1.2	150	0,05	0,006	0,008	0,012	0,024	0,036	0,060	0,072	0,084	0,096	●	
H.1.3	110	0,05	0,005	0,007	0,010	0,020	0,030	0,050	0,060	0,070	0,080	●	
H.1.4													
H.2.1	200	0,05	0,008	0,010	0,015	0,030	0,045	0,075	0,090	0,105	0,120	●	
H.3.1	150	0,05	0,006	0,008	0,012	0,024	0,036	0,060	0,072	0,084	0,096	●	

Conditions de coupe – Micro-fraises – 2,2xDC

Index	52 802 ..., 52 804 ..., 52 806 ...																	
	\emptyset DC (mm) = 0,2–0,4					\emptyset DC (mm) = 0,5–0,7					\emptyset DC (mm) = 0,8–0,9							
	a_e	0,1 x DC	0,2 x DC	0,3 x DC	0,4 x DC	0,6–1,0 x DC	a_e	0,1 x DC	0,2 x DC	0,3 x DC	0,4 x DC	0,6–1,0 x DC	a_e	0,1 x DC	0,2 x DC	0,3 x DC	0,4 x DC	0,6–1,0 x DC
	$a_{p\max.}$	0,02	0,02	0,02	0,01	0,01	$a_{p\max.}$	0,1	0,1	0,1	0,1	0,05	$a_{p\max.}$	0,2	0,2	0,2	0,2	0,12
	$n_{\min.}$	30.000					$n_{\min.}$	12.000					$n_{\min.}$	8.000				
	n	v_f (mm/min)				n	v_f (mm/min)				n	v_f (mm/min)						
P.1.1	50.000	232	202	174	144	116	50.000	274	238	205	170	137	50.000	485	422	364	301	242
P.1.2	50.000	232	202	174	144	116	50.000	274	238	205	170	137	50.000	485	422	364	301	242
P.1.3	50.000	232	202	174	144	116	50.000	274	238	205	170	137	50.000	485	422	364	301	242
P.1.4	50.000	201	175	151	125	101	50.000	237	206	178	147	119	50.000	420	365	315	260	210
P.1.5	50.000	201	175	151	125	101	50.000	237	206	178	147	119	50.000	420	365	315	260	210
P.2.1	50.000	232	202	174	144	116	50.000	274	238	205	170	137	50.000	485	422	364	301	242
P.2.2	50.000	232	202	174	144	116	50.000	274	238	205	170	137	50.000	485	422	364	301	242
P.2.3	50.000	201	175	151	125	101	50.000	237	206	178	147	119	50.000	420	365	315	260	210
P.2.4	50.000	201	175	151	125	101	50.000	237	206	178	147	119	50.000	420	365	315	260	210
P.3.1	50.000	201	175	151	125	101	50.000	237	206	178	147	119	50.000	420	365	315	260	210
P.3.2	50.000	232	202	174	144	116	50.000	274	238	205	170	137	50.000	485	422	364	301	242
P.3.3	50.000	201	175	151	125	101	50.000	237	206	178	147	119	50.000	420	365	315	260	210
P.4.1	50.000	232	202	174	144	116	50.000	274	238	205	170	137	50.000	485	422	364	301	242
P.4.2	50.000	232	202	174	144	116	50.000	274	238	205	170	137	50.000	485	422	364	301	242
M.1.1	50.000	232	202	174	144	116	50.000	274	238	205	170	137	50.000	485	422	364	301	242
M.2.1	50.000	232	202	174	144	116	50.000	274	238	205	170	137	50.000	485	422	364	301	242
M.3.1	50.000	232	202	174	144	116	50.000	274	238	205	170	137	50.000	485	422	364	301	242
K.1.1	50.000	232	202	174	144	116	50.000	274	238	205	170	137	50.000	485	422	364	301	242
K.1.2	50.000	232	202	174	144	116	50.000	274	238	205	170	137	50.000	485	422	364	301	242
K.2.1	50.000	232	202	174	144	116	50.000	274	238	205	170	137	50.000	485	422	364	301	242
K.2.2	50.000	232	202	174	144	116	50.000	274	238	205	170	137	50.000	485	422	364	301	242
K.3.1	50.000	141	123	106	88	71	50.000	175	152	131	109	88	32.000	285	248	213	176	142
K.3.2	50.000	141	123	106	88	71	50.000	175	152	131	109	88	32.000	285	248	213	176	142
N.1.1	50.000	232	202	174	144	116	50.000	274	238	205	170	137	50.000	582	506	436	361	291
N.1.2	50.000	232	202	174	144	116	50.000	274	238	205	170	137	50.000	582	506	436	361	291
N.2.1																		
N.2.2																		
N.2.3																		
N.3.1	50.000	232	202	174	144	116	50.000	274	238	205	170	137	44.000	485	422	364	301	242
N.3.2	50.000	232	202	174	144	116	50.000	274	238	205	170	137	50.000	582	506	436	361	291
N.3.3	50.000	232	202	174	144	116	50.000	274	238	205	170	137	50.000	582	506	436	361	291
N.4.1	50.000	212	185	159	132	106	50.000	250	218	188	155	125	50.000	531	462	398	329	266
S.1.1	50.000	46	40	35	29	23	30.000	55	48	41	34	27	19.000	69	60	51	43	34
S.1.2	50.000	46	40	35	29	23	30.000	55	48	41	34	27	19.000	69	60	51	43	34
S.2.1	50.000	72	62	54	44	36	50.000	89	77	66	55	44	25.000	91	79	68	56	45
S.2.2	50.000	46	40	35	29	23	30.000	55	48	41	34	27	19.000	69	60	51	43	34
S.2.3	50.000	54	47	41	34	27	30.000	66	57	49	41	33	12.000	78	68	59	49	39
S.3.1	50.000	114	99	85	71	57	50.000	164	143	123	102	82	44.000	114	99	85	71	57
S.3.2	50.000	114	99	85	71	57	50.000	164	143	123	102	82	44.000	164	143	123	102	82
S.3.3	50.000	70	61	53	43	35	50.000	85	74	64	53	42	38.000	101	88	76	63	51
H.1.1	50.000	219	191	164	136	110	50.000	232	202	174	144	116	50.000	388	338	291	241	194
H.1.2	50.000	201	175	151	125	101	50.000	285	248	213	176	142	38.000	336	292	252	208	168
H.1.3	50.000	114	99	85	71	57	50.000	134	117	101	83	67	25.000	156	136	117	97	78
H.1.4	50.000	107	93	80	67	54	50.000	126	110	95	78	63	25.000	141	123	106	88	71
H.2.1	50.000	219	191	164	136	110	50.000	232	202	174	144	116	50.000	388	338	291	241	194
H.3.1	50.000	201	175	151	125	101	50.000	285	248	213	176	142	38.000	336	292	252	208	168
O.1.1	50.000	232	202	174	144	116	50.000	274	238	205	170	137	50.000	582	506	436	361	291
O.1.2	50.000	232	202	174	144	116	50.000	274	238	205	170	137	50.000	582	506	436	361	291
O.2.1	50.000	212	185	159	132	106	50.000	200	174	150	124	100	38.000	316	275	237	196	158
O.2.2	50.000	212	185	159	132	106	50.000	200	174	150	124	100	38.000	316	275	237	196	158
O.3.1																		

Index	52 802 ..., 52 804 ..., 52 806 ...											● 1er choix			
	Ø DC (mm) = 1,0–1,4						Ø DC (mm) = 1,5–1,7						○ Utilisation possible		
	a _e	0,1 x DC	0,2 x DC	0,3 x DC	0,4 x DC	0,6–1,0 x DC	a _e	0,1 x DC	0,2 x DC	0,3 x DC	0,4 x DC	0,6–1,0 x DC	Emulsion	Air	MMS
	a _{p,max.}	0,3	0,3	0,3	0,3	0,2	a _{p,max.}	0,45	0,45	0,45	0,45	0,3			
	n _{min.}	6.500					n _{min.}	6.500							
	n	v _f (mm/min)					n	v _f (mm/min)							
P.1.1	50.000	775	674	581	480	387	33.000	1200	1044	900	744	600	●	○	○
P.1.2	50.000	775	674	581	480	387	33.000	1200	1044	900	744	600	●	○	○
P.1.3	50.000	775	674	581	480	387	33.000	1200	1044	900	744	600	●	○	○
P.1.4	50.000	671	584	503	416	335	33.000	1039	904	779	644	520	●	○	○
P.1.5	50.000	671	584	503	416	335	33.000	1039	904	779	644	520	●	○	○
P.2.1	50.000	775	674	581	480	387	33.000	1200	1044	900	744	600		●	○
P.2.2	50.000	775	674	581	480	387	33.000	1200	1044	900	744	600		●	○
P.2.3	50.000	671	584	503	416	335	33.000	1039	904	779	644	520		●	○
P.2.4	50.000	671	584	503	416	335	33.000	1039	904	779	644	520		●	○
P.3.1	50.000	671	584	503	416	335	33.000	1039	904	779	644	520		●	○
P.3.2	50.000	775	674	581	480	387	33.000	1200	1044	900	744	600		●	○
P.3.3	50.000	671	584	503	416	335	33.000	1039	904	779	644	520		●	○
P.4.1	50.000	775	674	581	480	387	33.000	1200	1044	900	744	600		●	○
P.4.2	50.000	775	674	581	480	387	33.000	1200	1044	900	744	600		●	○
M.1.1	50.000	775	674	581	480	387	33.000	1200	1044	900	744	600	●	○	
M.2.1	50.000	775	674	581	480	387	33.000	1200	1044	900	744	600	●	○	
M.3.1	50.000	775	674	581	480	387	33.000	1200	1044	900	744	600	●	○	
K.1.1	50.000	775	674	581	480	387	33.000	1200	1044	900	744	600	○	●	
K.1.2	50.000	775	674	581	480	387	33.000	1200	1044	900	744	600	○	●	
K.2.1	50.000	775	674	581	480	387	33.000	1200	1044	900	744	600	○	●	
K.2.2	50.000	775	674	581	480	387	33.000	1200	1044	900	744	600	○	●	
K.3.1	50.000	389	338	292	241	194	21.000	548	477	411	340	274		●	
K.3.2	25000	389	338	292	241	194	21.000	548	477	411	340	274		●	
N.1.1	50.000	930	809	697	576	465	50.000	1500	1305	1125	930	750	●	○	
N.1.2	50.000	930	809	697	576	465	50.000	1500	1305	1125	930	750	●	○	
N.2.1															
N.2.2															
N.2.3															
N.3.1	44.000	775	674	581	480	387	29.000	1160	1009	870	719	580	●	○	
N.3.2	50.000	930	809	697	576	465	38.000	1400	1218	1050	868	700	●	○	
N.3.3	50.000	930	809	697	576	465	38.000	1400	1218	1050	868	700	●	○	
N.4.1	50.000	849	738	636	526	424	38.000	1388	1207	1041	860	694	●	○	
S.1.1	15.000	99	86	74	61	49	12.000	170	148	127	105	85	●	○	
S.1.2	15.000	99	86	74	61	49	12.000	170	148	127	105	85	●	○	
S.2.1	25.000	152	132	114	94	76	16.000	294	256	220	182	147	●	○	
S.2.2	15.000	99	86	74	61	49	12.000	170	148	127	105	85	●	○	
S.2.3	12.000	131	114	99	82	66	8.000	255	221	191	158	127	●	○	
S.3.1	44.000	170	148	127	105	85	29.000	329	286	246	204	164	●	○	
S.3.2	44.000	247	215	186	153	124	29.000	365	318	274	226	183	●	○	
S.3.3	38.000	170	148	127	105	85	25.000	329	286	246	204	164	●	○	
H.1.1	50.000	620	539	465	384	310	33.000	850	740	638	527	425		●	
H.1.2	38.000	537	467	402	333	268	25.000	779	678	585	483	390		●	
H.1.3	25.000	235	204	176	146	117	16.000	346	301	260	215	173		●	
H.1.4	25.000	221	193	166	137	111	16.000	327	284	245	202	163		●	
H.2.1	50.000	620	539	465	384	310	33.000	850	740	638	527	425		●	
H.3.1	38.000	537	467	402	333	268	25.000	779	678	585	483	390		●	
O.1.1	50.000	930	809	697	576	465	38.000	1520	1322	1140	942	760	●	○	○
O.1.2	50.000	930	809	697	576	465	33.000	1320	1148	990	818	660	●	○	○
O.2.1	38.000	495	431	371	307	247	25.000	685	596	513	424	342	●	○	○
O.2.2	38.000	495	431	371	307	247	25.000	685	596	513	424	342	●	○	○
O.3.1															

Conditions de coupe – Micro-fraises – 2,2xDC

Index	52 802 ..., 52 804 ..., 52 806 ...												● 1er choix		
	Ø DC (mm) = 1,8–1,9						Ø DC (mm) = 2,0						○ Utilisation possible		
	a _e	0,1 x DC	0,2 x DC	0,3 x DC	0,4 x DC	0,6–1,0 x DC	a _e	0,1 x DC	0,2 x DC	0,3 x DC	0,4 x DC	0,6–1,0 x DC	Emulsion	Air	MMS
	a _{p max.}	0,54	0,54	0,54	0,54	0,36	a _{p max.}	0,6	0,6	0,6	0,6	0,4			
	n _{min.}	5.500					n _{min.}	5.000							
	n	v _f (mm/min)					n	v _f (mm/min)							
P.1.1	29.000	1300	1131	975	806	650	25.000	1500	1300	1125	930	750	●	○	○
P.1.2	29.000	1300	1131	975	806	650	25.000	1500	1300	1125	930	750	●	○	○
P.1.3	29.000	1300	1131	975	806	650	25.000	1500	1300	1125	930	750	●	○	○
P.1.4	29.000	1300	1131	975	806	650	25.000	1500	1300	1125	930	750	●	○	○
P.1.5	29.000	1300	1131	975	806	650	25.000	1500	1300	1125	930	750	●	○	○
P.2.1	29.000	1300	1131	975	806	650	25.000	1500	1300	1125	930	750	●	○	○
P.2.2	29.000	1300	1131	975	806	650	25.000	1500	1300	1125	930	750	●	○	○
P.2.3	29.000	1300	1131	975	806	650	25.000	1500	1300	1125	930	750	●	○	○
P.2.4	29.000	1300	1131	975	806	650	25.000	1500	1300	1125	930	750	●	○	○
P.3.1	29.000	1300	1131	975	806	650	25.000	1500	1300	1125	930	750	●	○	○
P.3.2	29.000	1300	1131	975	806	650	25.000	1500	1300	1125	930	750	●	○	○
P.3.3	29.000	1300	1131	975	806	650	25.000	1500	1300	1125	930	750	●	○	○
P.4.1	29.000	1300	1131	975	806	650	25.000	1500	1300	1125	930	750	●	○	○
P.4.2	29.000	1300	1131	975	806	650	25.000	1500	1300	1125	930	750	●	○	○
M.1.1	29.000	1300	1131	975	806	650	25.000	1500	1300	1125	930	750	●	○	
M.2.1	29.000	1300	1131	975	806	650	25.000	1500	1300	1125	930	750	●	○	
M.3.1	29.000	1300	1131	975	806	650	25.000	1500	1300	1125	930	750	●	○	
K.1.1	29.000	1300	1131	975	806	650	25.000	1500	1300	1125	930	750	○	●	
K.1.2	29.000	1300	1131	975	806	650	25.000	1500	1300	1125	930	750	○	●	
K.2.1	29.000	1300	1131	975	806	650	25.000	1500	1300	1125	930	750	○	●	
K.2.2	29.000	1300	1131	975	806	650	25.000	1500	1300	1125	930	750	○	●	
K.3.1	18.000	630	548	473	391	315	12.000	750	650	550	450	350	●		
K.3.2	18.000	630	548	473	391	315	12.000	750	650	550	450	350	●		
N.1.1	44.000	1800	1566	1350	1116	900	25.000	1500	1300	1125	930	750	●	○	
N.1.2	44.000	1800	1566	1350	1116	900	25.000	1500	1300	1125	930	750	●	○	
N.2.1															
N.2.2															
N.2.3															
N.3.1	25.000	1250	1088	938	775	625	19.000	1140	990	855	700	570	●	○	
N.3.2	32.000	1520	1322	1140	942	760	25.000	1500	1300	1125	930	750	●	○	
N.3.3	32.000	1520	1322	1140	942	760	25.000	1500	1300	1125	930	750	●	○	
N.4.1	33.000	1560	1357	1170	967	780	25.000	1500	1300	1125	930	750	●	○	
S.1.1	10.000	280	244	210	174	140	7.500	300	260	230	200	160	●	○	
S.1.2	10.000	280	244	210	174	140	7.500	300	260	230	200	160	●	○	
S.2.1	14.000	420	365	315	260	210	12.500	500	400	350	300	250	●	○	
S.2.2	10.000	280	244	210	174	140	7.500	300	260	230	200	160	●	○	
S.2.3	7.000	370	322	278	229	185	6.000	300	260	230	200	160	●	○	
S.3.1	25.000	400	348	300	248	200	25.000	1500	1300	1125	930	750	●	○	
S.3.2	25.000	480	418	360	298	240	25.000	1500	1300	1125	930	750	●	○	
S.3.3	22.000	380	331	285	236	190	25.000	1500	1300	1125	930	750	●	○	
H.1.1	29.000	1200	1044	900	744	600	25.000	1500	1300	1125	930	750	●		
H.1.2	22.000	1000	870	750	620	500	19.000	1140	990	855	700	570	●		
H.1.3	14.000	420	365	315	260	210	19.000	1140	990	855	700	570	●		
H.1.4	14.000	420	365	315	260	210	19.000	1140	990	855	700	570	●		
H.2.1	29.000	1200	1044	900	744	600	25.000	1500	1300	1125	930	750	●		
H.3.1	22.000	1000	870	750	620	500	19.000	1140	990	855	700	570	●		
O.1.1	33.000	1560	1357	1170	967	780	19.000	1140	990	855	700	570	●	○	○
O.1.2	28.000	1400	1218	1050	868	700	19.000	1140	990	855	700	570	●	○	○
O.2.1	22.000	800	696	600	496	400	12.000	720	630	540	450	360	●	○	○
O.2.2	22.000	800	696	600	496	400	12.000	720	630	540	450	360	●	○	○
O.3.1															

Conditions de coupe – Micro-fraises – 5xDC

Index	52 802 ..., 52 804 ..., 52 806 ...															● 1er choix			
	Ø DC (mm) = 0,2–0,4 mm					Ø DC (mm) = 0,5–0,7 mm					Ø DC (mm) = 0,8–0,9 mm					Emulsion	Air	MMS	
	a_e	0,1 x DC	0,2 x DC	0,3 x DC	0,4 x DC	a_e	0,1 x DC	0,2 x DC	0,3 x DC	0,4 x DC	a_e	0,1 x DC	0,2 x DC	0,3 x DC	0,4 x DC	0,6–1,0 x DC			
	a_p max.	0,012				a_p max.	0,06				a_p max.	0,12				0,064			
	$n_{min.}$	30.000				$n_{min.}$	12.000				$n_{min.}$	8.000							
	n	v_f (mm/min)				n	v_f (mm/min)				n	v_f (mm/min)							
P.1.1	50.000	232	202	174	144	50.000	274	238	205	170	44.000	485	422	364	301	242	●	○	○
P.1.2	50.000	232	202	174	144	50.000	274	238	205	170	44.000	485	422	364	301	242	●	○	○
P.1.3	50.000	232	202	174	144	50.000	274	238	205	170	44.000	485	422	364	301	242	●	○	○
P.1.4	50.000	201	175	151	125	50.000	237	206	178	147	31.000	330	287	248	205	165	●	○	○
P.1.5	50.000	201	175	151	125	50.000	237	206	178	147	31.000	330	287	248	205	165	●	○	○
P.2.1	50.000	232	202	174	144	50.000	274	238	205	170	44.000	485	422	364	301	242	●	○	○
P.2.2	50.000	232	202	174	144	50.000	274	238	205	170	44.000	485	422	364	301	242	●	○	○
P.2.3	50.000	201	175	151	125	50.000	237	206	178	147	31.000	330	287	248	205	165	●	○	○
P.2.4	50.000	201	175	151	125	50.000	237	206	178	147	31.000	330	287	248	205	165	●	○	○
P.3.1	50.000	201	175	151	125	50.000	237	206	178	147	31.000	330	287	248	205	165	●	○	○
P.3.2	50.000	232	202	174	144	50.000	274	238	205	170	44.000	485	422	364	301	242	●	○	○
P.3.3	50.000	201	175	151	125	50.000	237	206	178	147	31.000	330	287	248	205	165	●	○	○
P.4.1	50.000	232	202	174	144	50.000	274	238	205	170	44.000	485	422	364	301	242	●	○	○
P.4.2	50.000	232	202	174	144	50.000	274	238	205	170	44.000	485	422	364	301	242	●	○	○
M.1.1	50.000	232	202	174	144	50.000	219	191	164	136	31.000	346	301	260	215	173	●	○	○
M.2.1	50.000	232	202	174	144	50.000	219	191	164	136	31.000	346	301	260	215	173	●	○	○
M.3.1	50.000	232	202	174	144	50.000	219	191	164	136	31.000	346	301	260	215	173	●	○	○
K.1.1	50.000	232	202	174	144	50.000	219	191	164	136	50.000	416	362	312	258	208	○	●	○
K.1.2	50.000	232	202	174	144	50.000	219	191	164	136	50.000	416	362	312	258	208	○	●	○
K.2.1	50.000	232	202	174	144	50.000	219	191	164	136	50.000	416	362	312	258	208	○	●	○
K.2.2	50.000	232	202	174	144	50.000	219	191	164	136	50.000	416	362	312	258	208	○	●	○
K.3.1	50.000	141	123	106	88	50.000	175	152	131	109	25.000	240	209	180	149	120	●	○	○
K.3.2	50.000	141	123	106	88	50.000	175	152	131	109	25.000	240	209	180	149	120	●	○	○
N.1.1	50.000	232	202	174	144	50.000	274	238	205	170	50.000	554	482	416	344	277	●	○	○
N.1.2	50.000	232	202	174	144	50.000	274	238	205	170	50.000	554	482	416	344	277	●	○	○
N.2.1																			
N.2.2																			
N.2.3																			
N.3.1	50.000	232	202	174	144	50.000	274	238	205	170	38.000	485	422	364	301	242	●	○	○
N.3.2	50.000	232	202	174	144	50.000	274	238	205	170	50.000	554	482	416	344	277	●	○	○
N.3.3	50.000	232	202	174	144	50.000	274	238	205	170	50.000	554	482	416	344	277	●	○	○
N.4.1	50.000	212	185	159	132	50.000	250	218	188	155	50.000	506	440	379	314	253	●	○	○
S.1.1	50.000	55	48	41	32	31.000	58	51	44	36	15.000	98	85	73	61	49	●	○	○
S.1.2	50.000	55	48	41	32	31.000	58	51	44	36	15.000	98	85	73	61	49	●	○	○
S.2.1	50.000	63	54	47	39	44.000	76	66	57	47	22.000	91	79	68	56	45	●	○	○
S.2.2	50.000	55	47	40	32	31.000	58	51	44	36	15.000	98	85	73	61	49	●	○	○
S.2.3	50.000	46	40	35	29	25.000	55	48	41	34	12.000	78	68	59	49	39	●	○	○
S.3.1	50.000	60	61	48	41	50.000	71	62	53	44	38.000	114	99	85	71	57	●	○	○
S.3.2	50.000	60	61	48	41	50.000	71	62	53	44	38.000	126	110	95	78	63	●	○	○
S.3.3	50.000	60	52	45	37	50.000	71	62	49	39	31.000	89	77	66	55	44	●	○	○
H.1.1	50.000	95	83	71	59	50.000	134	117	101	83	31.000	180	157	135	112	90			
H.1.2	50.000	95	83	71	59	44.000	134	117	101	83	22.000	180	157	135	112	90			
H.1.3	50.000	89	78	67	55	44.000	126	110	95	78	22.000	170	148	127	105	85			
H.1.4																			
H.2.1	50.000	155	135	116	96	50.000	164	143	123	102	44.000	346	301	260	215	173	●	○	○
H.3.1	50.000	95	83	71	59	50.000	134	117	101	83	31.000	180	157	135	112	90	●	○	○
O.1.1	50.000	232	202	174	144	50.000	274	238	205	170	50.000	554	482	416	344	277	●	○	○
O.1.2	50.000	232	202	174	144	50.000	274	238	205	170	44.000	554	482	416	344	277	●	○	○
O.2.1	50.000	141	123	106	88	50.000	200	174	150	124	31.000	316	275	237	196	158	●	○	○
O.2.2	50.000	141	123	106	88	50.000	200	174	150	124	31.000	316	275	237	196	158	●	○	○
O.3.1																			

 Pour des engagements avec $a_e = 0,6$ à $1,0$ et $a_p = 1 \times DC$, seul un rainurage trochoïdal ou un usinage par effeuillage est permis, sinon le risque de casse de l'outil est très élevé.

Conditions de coupe – Micro-fraises – 5xDC

Index	52 802 ..., 52 804 ..., 52 806 ...																							
	Ø DC (mm) = 1,0–1,4						Ø DC (mm) = 1,5–1,7						Ø DC (mm) = 1,8–1,9											
	a _e	0,1 x DC	0,2 x DC	0,3 x DC	0,4 x DC	0,6–1,0 x DC	a _e	0,1 x DC	0,2 x DC	0,3 x DC	0,4 x DC	0,6–1,0 x DC	a _e	0,1 x DC	0,2 x DC	0,3 x DC	0,4 x DC	0,6–1,0 x DC						
	a _{p max.}	0,3			0,2		a _{p max.}	0,3			0,2		a _{p max.}	0,54			0,36							
	n _{min.}	6.500					n _{min.}	6.500					n _{min.}	5.500										
	n	v _f (mm/min)					n	v _f (mm/min)					n	v _f (mm/min)										
P.1.1	44.000	682	593	511	423	341	29.000	1160	1009	870	719	580	25.000	1250	1088	938	775	625						
P.1.2	44.000	682	593	511	423	341	29.000	1160	1009	870	719	580	25.000	1250	1088	938	775	625						
P.1.3	44.000	682	593	511	423	341	29.000	1160	1009	870	719	580	25.000	1250	1088	938	775	625						
P.1.4	31.000	416	362	312	258	208	21.000	693	603	520	430	346	18.000	850	740	638	527	425						
P.1.5	31.000	416	362	312	258	208	21.000	693	603	520	430	346	18.000	850	740	638	527	425						
P.2.1	44.000	682	593	511	423	341	29.000	1160	1009	870	719	580	25.000	1250	1088	938	775	625						
P.2.2	44.000	682	593	511	423	341	29.000	1160	1009	870	719	580	25.000	1250	1088	938	775	625						
P.2.3	31.000	416	362	312	258	208	21.000	693	603	520	430	346	18.000	850	740	638	527	425						
P.2.4	31.000	416	362	312	258	208	21.000	693	603	520	430	346	18.000	850	740	638	527	425						
P.3.1	31.000	416	362	312	258	208	21.000	693	603	520	430	346	18.000	850	740	638	527	425						
P.3.2	44.000	682	593	511	423	341	29.000	1160	1009	870	719	580	25.000	1250	1088	938	775	625						
P.3.3	31.000	416	362	312	258	208	21.000	693	603	520	430	346	18.000	850	740	638	527	425						
P.4.1	44.000	682	593	511	423	341	29.000	1160	1009	870	719	580	25.000	1250	1088	938	775	625						
P.4.2	44.000	682	593	511	423	341	29.000	1160	1009	870	719	580	25.000	1250	1088	938	775	625						
M.1.1	31.000	480	418	360	298	240	21.000	800	696	600	496	400	18.000	850	740	638	527	425						
M.2.1	31.000	480	418	360	298	240	21.000	800	696	600	496	400	18.000	850	740	638	527	425						
M.3.1	31.000	480	418	360	298	240	21.000	800	696	600	496	400	18.000	850	740	638	527	425						
K.1.1	50.000	620	539	465	384	310	33.000	1000	870	750	620	500	28.000	1320	1148	990	818	660						
K.1.2	50.000	620	539	465	384	310	33.000	1000	870	750	620	500	28.000	1320	1148	990	818	660						
K.2.1	50.000	620	539	465	384	310	33.000	1000	870	750	620	500	28.000	1320	1148	990	818	660						
K.2.2	50.000	620	539	465	384	310	33.000	1000	870	750	620	500	28.000	1320	1148	990	818	660						
K.3.1	25.000	297	258	223	184	148	16.000	411	357	308	255	205	14.000	480	418	360	298	240						
K.3.2	25.000	297	258	223	184	148	16.000	411	357	308	255	205	14.000	480	418	360	298	240						
N.1.1	50.000	775	674	581	480	387	42.000	1200	1044	900	744	600	36.000	1500	1305	1125	930	750						
N.1.2	50.000	775	674	581	480	387	42.000	1200	1044	900	744	600	36.000	1500	1305	1125	930	750						
N.2.1																								
N.2.2																								
N.2.3																								
N.3.1	38.000	697	607	523	432	349	25.000	1000	870	750	620	500	22.000	1100	957	825	682	550						
N.3.2	50.000	930	809	697	576	465	33.000	1320	1148	990	818	660	28.000	1400	1218	1050	868	700						
N.3.3	50.000	930	809	697	576	465	33.000	1320	1148	990	818	660	28.000	1400	1218	1050	868	700						
N.4.1	50.000	849	738	636	526	424	33.000	1205	1048	904	747	602	28.000	1400	1218	1050	868	700						
S.1.1	15.000	120	105	90	75	60	10.000	184	160	138	114	92	8.000	280	244	210	174	140						
S.1.2	15.000	120	105	90	75	60	10.000	184	160	138	114	92	8.000	280	244	210	174	140						
S.2.1	22.000	114	99	85	71	57	14.000	196	170	147	121	98	12.000	300	261	225	186	150						
S.2.2	15.000	120	105	90	75	60	10.000	184	160	138	114	92	8.000	280	244	210	174	140						
S.2.3	12.000	131	114	99	82	66	8.000	170	148	127	105	85	7.000	240	209	180	149	120						
S.3.1	38.000	156	135	117	96	78	25.000	274	238	205	170	137	22.000	380	331	285	236	190						
S.3.2	38.000	212	185	159	132	106	25.000	365	318	274	226	183	22.000	450	392	338	279	225						
S.3.3	31.000	127	111	95	79	64	21.000	201	175	151	125	100	18.000	300	261	225	186	150						
H.1.1	31.000	201	175	151	125	101	21.000	346	301	260	215	173	16.000	500	435	375	310	250						
H.1.2	22.000	235	204	176	146	117	14.000	346	301	260	215	173	12.000	450	392	338	279	225						
H.1.3	22.000	221	193	166	137	111	14.000	327	284	245	202	163	12.000	450	392	338	279	225						
H.1.4																								
H.2.1	44.000	426	371	320	264	213	29.000	600	522	450	372	300	25.000	800	696	600	496	400						
H.3.1	31.000	201	175	151	125	101	21.000	346	301	260	215	173	16.000	500	435	375	310	250						
O.1.1	50.000	930	809	697	576	465	33.000	1320	1148	990	818	660	28.000	1400	1218	1050	868	700						
O.1.2	44.000	813	708	610	504	407	29.000	1160	1009	870	719	580	25.000	1200	1044	900	744	600						
O.2.1	31.000	438	381	329	272	219	21.000	575	500	431	357	288	18.000	650	566	488	403	325						
O.2.2	31.000	438	381	329	272	219	21.000	575	500	431	357	288	18.000	650	566	488	403	325						
O.3.1																								

Index	52 802 ..., 52 804 ..., 52 806 ...						● 1er choix		
	\emptyset DC (mm) = 2,0						○ Utilisation possible		
	a_e	0,1 x DC	0,2 x DC	0,3 x DC	0,4 x DC	0,6-1,0 x DC			
	a_p max.	0,6			0,4				
	$n_{min.}$	5.000							
	n	v_f (mm/min)						Emulsion	Air
P.1.1	22.000	1320	1148	990	818	660	●	○	○
P.1.2	22.000	1320	1148	990	818	660	●	○	○
P.1.3	22.000	1320	1148	990	818	660	●	○	○
P.1.4	15.000	900	783	675	558	450	●	○	○
P.1.5	15.000	900	783	675	558	450	●	○	○
P.2.1	22.000	1320	1148	990	818	660	●	○	
P.2.2	22.000	1320	1148	990	818	660	●	○	
P.2.3	15.000	900	783	675	558	450	●	○	
P.2.4	15.000	900	783	675	558	450	●	○	
P.3.1	15.000	900	783	675	558	450	●	○	
P.3.2	22.000	1320	1148	990	818	660	●	○	
P.3.3	15.000	900	783	675	558	450	●	○	
P.4.1	22.000	1320	1148	990	818	660	●	○	
P.4.2	22.000	1320	1148	990	818	660	●	○	
M.1.1	15.000	900	783	675	558	450	●	○	
M.2.1	15.000	900	783	675	558	450	●	○	
M.3.1	15.000	900	783	675	558	450	●	○	
K.1.1	25.000	1500	1305	1125	930	750	○	●	
K.1.2	25.000	1500	1305	1125	930	750	○	●	
K.2.1	25.000	1500	1305	1125	930	750	○	●	
K.2.2	25.000	1500	1305	1125	930	750	○	●	
K.3.1	12.000	520	452	390	322	260		●	
K.3.2	12.000	520	452	390	322	260		●	
N.1.1	31.000	1860	1618	1395	1153	930	●	○	
N.1.2	31.000	1860	1618	1395	1153	930	●	○	
N.2.1									
N.2.2									
N.2.3									
N.3.1	19.000	1140	992	855	707	570	●	○	
N.3.2	25.000	1500	1305	1125	930	750	●	○	
N.3.3	25.000	1500	1305	1125	930	750	●	○	
N.4.1	25.000	1500	1305	1125	930	750	●	○	
S.1.1	7.000	300	261	225	186	150	●	○	
S.1.2	7.000	300	261	225	186	150	●	○	
S.2.1	11.000	400	348	300	248	200	●	○	
S.2.2	7.000	300	261	225	186	150	●	○	
S.2.3	6.000	260	226	195	161	130	●	○	
S.3.1	19.000	420	365	315	260	210	●	○	
S.3.2	19.000	500	435	375	310	250	●	○	
S.3.3	15.000	400	348	300	248	200	●	○	
H.1.1	15.000	500	435	375	310	250		●	
H.1.2	11.000	480	418	360	298	240		●	
H.1.3	11.000	480	418	360	298	240		●	
H.1.4									
H.2.1	22.000	1000	870	750	620	500		●	
H.3.1	15.000	500	435	375	310	250		●	
O.1.1	25.000	1500	1305	1125	930	750	●	○	○
O.1.2	22.000	1320	1148	990	818	660	●	○	○
O.2.1	15.000	660	574	495	409	330	●	○	○
O.2.2	15.000	660	574	495	409	330	●	○	○
O.3.1									

Conditions de coupe – Micro-fraises – 10xDC

Index	52 802 ..., 52 804 ..., 52 806 ...																			
	a_e	\emptyset DC (mm) = 0,2–0,4				\emptyset DC (mm) = 0,5–0,7				a_e	\emptyset DC (mm) = 0,8–0,9				\emptyset DC (mm) = 1,0–1,4					
		0,006	0,006	0,006	0,006	0,015	0,015	0,015	0,015		0,024	0,024	0,024	0,024	0,03	0,03	0,03	0,03		
	a_p max.	30.000				12.000				$n_{min.}$	8.000				6.500					
	n	v_f (mm/min)				n	v_f (mm/min)													
P.1.1	50.000	232	202	174	144	274	238	205	170	38.000	450	392	338	279	589	512	442	365		
P.1.2	50.000	232	202	174	144	274	238	205	170	38.000	450	392	338	279	589	512	442	365		
P.1.3	50.000	232	202	174	144	274	238	205	170	38.000	450	392	338	279	589	512	442	365		
P.1.4	50.000	201	175	151	125	190	165	142	118	25.000	300	261	225	186	335	292	252	208		
P.1.5	50.000	201	175	151	125	190	165	142	118	25.000	300	261	225	186	335	292	252	208		
P.2.1	50.000	232	202	174	144	274	238	205	170	38.000	450	392	338	279	589	512	442	365		
P.2.2	50.000	232	202	174	144	274	238	205	170	38.000	450	392	338	279	589	512	442	365		
P.2.3	50.000	201	175	151	125	190	165	142	118	25.000	300	261	225	186	335	292	252	208		
P.2.4	50.000	201	175	151	125	190	165	142	118	25.000	300	261	225	186	335	292	252	208		
P.3.1	50.000	201	175	151	125	190	165	142	118	25.000	300	261	225	186	335	292	252	208		
P.3.2	50.000	232	202	174	144	274	238	205	170	38.000	450	392	338	279	589	512	442	365		
P.3.3	50.000	201	175	151	125	190	165	142	118	25.000	300	261	225	186	335	292	252	208		
P.4.1	50.000	232	202	174	144	274	238	205	170	38.000	450	392	338	279	589	512	442	365		
P.4.2	50.000	232	202	174	144	274	238	205	170	38.000	450	392	338	279	589	512	442	365		
M.1.1	50.000	155	135	116	96	219	191	164	136	25.000	312	271	234	193	387	337	290	240		
M.2.1	50.000	155	135	116	96	219	191	164	136	25.000	312	271	234	193	387	337	290	240		
M.3.1	50.000	155	135	116	96	219	191	164	136	25.000	312	271	234	193	387	337	290	240		
K.1.1	50.000	232	202	174	144	274	238	205	170	44.000	485	422	364	301	682	593	511	423		
K.1.2	50.000	232	202	174	144	274	238	205	170	44.000	485	422	364	301	682	593	511	423		
K.2.1	50.000	232	202	174	144	274	238	205	170	44.000	485	422	364	301	682	593	511	423		
K.2.2	50.000	232	202	174	144	274	238	205	170	44.000	485	422	364	301	682	593	511	423		
K.3.1	50.000	141	123	106	88	150	131	113	93	19.000	215	187	161	133	269	234	202	167		
K.3.2	50.000	141	123	106	88	150	131	113	93	19.000	215	187	161	133	269	234	202	167		
N.1.1	50.000	232	202	174	144	438	381	329	272	50.000	693	603	520	430	930	809	697	576		
N.1.2	50.000	232	202	174	144	438	381	329	272	50.000	693	603	520	430	930	809	697	576		
N.2.1																				
N.2.2																				
N.2.3																				
N.3.1	50.000	232	202	174	144	274	238	205	170	31.000	402	350	301	249	480	418	360	298		
N.3.2	50.000	232	202	174	144	274	238	205	170	44.000	416	362	312	258	542	472	407	336		
N.3.3	50.000	232	202	174	144	274	238	205	170	44.000	416	362	312	258	542	472	407	336		
N.4.1	50.000	212	185	159	132	300	261	225	186	44.000	506	440	379	314	742	646	557	460		
S.1.1	50.000	46	40	35	29	55	48	41	34	12.000	69	60	51	43	88	76	66	54		
S.1.2	50.000	46	40	35	29	55	48	41	34	12.000	69	60	51	43	88	76	66	54		
S.2.1	50.000	54	47	40	33	63	55	47	39	19.000	102	89	76	63	126	110	95	78		
S.2.2	50.000	46	40	35	29	55	48	41	34	12.000	69	60	51	43	88	76	66	54		
S.2.3	50.000	46	40	35	29	55	48	41	34	12.000	59	51	44	36	82	71	62	51		
S.3.1	50.000	60	52	45	37	71	62	53	44	31.000	101	88	76	63	141	123	106	88		
S.3.2	50.000	60	52	45	37	71	62	53	44	31.000	101	88	76	63	177	154	133	110		
S.3.3	50.000	60	52	45	37	71	62	53	44	25.000	89	77	66	55	141	123	106	88		
H.1.1	50.000	47	41	36	29	67	58	50	42	25.000	90	78	68	56	101	88	75	62		
H.1.2	50.000	47	41	36	29	67	58	50	42	19.000	90	78	68	56	101	88	75	62		
H.1.3	50.000	45	39	34	28	63	55	47	39	19.000	85	74	64	53	95	83	71	59		
H.1.4																				
H.2.1	50.000	77	67	58	48	82	71	62	51	38.000	173	151	130	107	194	168	145	120		
H.3.1	50.000	47	41	36	29	67	58	50	42	25.000	90	78	68	56	101	88	75	62		
O.1.1	50.000	232	202	174	144	329	286	246	204	44.000	554	482	416	344	813	708	610	504		
O.1.2	50.000	232	202	174	144	329	286	246	204	38.000	554	482	416	344	705	613	529	437		
O.2.1	50.000	141	123	106	88	200	174	150	124	25.000	285	248	213	176	339	295	255	210		
O.2.2	50.000	141	123	106	88	200	174	150	124	25.000	285	248	213	176	339	295	255	210		
O.3.1																				



Pour des engagements avec $a_e = 0,6$ à $1,0$ et $a_p = 1xDC$, seul un rainurage trochoïdal ou un usinage par effeuillage est permis, sinon le risque de casse de l'outil est très élevé.

Index	52 802 ..., 52 804 ..., 52 806 ...															● 1er choix									
	Ø DC (mm) = 1,5–1,7				Ø DC (mm) = 1,8–1,9					Ø DC (mm) = 2,0						○ Utilisation possible									
	a_e	0,1 x DC	0,2 x DC	0,3 x DC	0,4 x DC	a_e	0,1 x DC	0,2 x DC	0,3 x DC	0,4 x DC	a_e	0,1 x DC	0,2 x DC	0,3 x DC	0,4 x DC	$a_{p\ max.}$	0,06	0,06	0,06	0,06	$a_{p\ max.}$	0,072	0,072	0,072	0,072
	$a_{p\ max.}$	0,06	0,06	0,06	0,06	$a_{p\ max.}$	0,072	0,072	0,072	0,072	$a_{p\ max.}$	0,08	0,08	0,08	0,08	$a_{p\ max.}$	0,08	0,08	0,08	0,08	$a_{p\ max.}$	0,08	0,08	0,08	0,08
	$n_{min.}$	6.500				$n_{min.}$	5.500				$n_{min.}$	5.000				$n_{min.}$	5.000				$n_{min.}$	5.000			
	n	v_f (mm/min)			n	v_f (mm/min)			n	v_f (mm/min)			n	v_f (mm/min)			n	v_f (mm/min)			n				
P.1.1	25.000	1000	870	750	620	22.000	1080	940	810	670	19.000	1140	992	855	707	●	○	○	○	○	●	○	○	○	
P.1.2	25.000	1000	870	750	620	22.000	1080	940	810	670	19.000	1140	992	855	707	●	○	○	○	○	●	○	○	○	
P.1.3	25.000	1000	870	750	620	22.000	1080	940	810	670	19.000	1140	992	855	707	●	○	○	○	○	●	○	○	○	
P.1.4	16.000	554	482	416	344	14.000	680	592	510	422	12.000	720	626	540	446	●	○	○	○	○	●	○	○	○	
P.1.5	16.000	554	482	416	344	14.000	680	592	510	422	12.000	720	626	540	446	●	○	○	○	○	●	○	○	○	
P.2.1	25.000	1000	870	750	620	22.000	1080	940	810	670	19.000	1140	992	855	707	●	○	○	○	○	●	○	○	○	
P.2.2	25.000	1000	870	750	620	22.000	1080	940	810	670	19.000	1140	992	855	707	●	○	○	○	○	●	○	○	○	
P.2.3	16.000	554	482	416	344	14.000	680	592	510	422	12.000	720	626	540	446	●	○	○	○	○	●	○	○	○	
P.2.4	16.000	554	482	416	344	14.000	680	592	510	422	12.000	720	626	540	446	●	○	○	○	○	●	○	○	○	
P.3.1	16.000	554	482	416	344	14.000	680	592	510	422	12.000	720	626	540	446	●	○	○	○	○	●	○	○	○	
P.3.2	25.000	1000	870	750	620	22.000	1080	940	810	670	19.000	1140	992	855	707	●	○	○	○	○	●	○	○	○	
P.3.3	16.000	554	482	416	344	14.000	680	592	510	422	12.000	720	626	540	446	●	○	○	○	○	●	○	○	○	
P.4.1	25.000	1000	870	750	620	22.000	1080	940	810	670	19.000	1140	992	855	707	●	○	○	○	○	●	○	○	○	
P.4.2	25.000	1000	870	750	620	22.000	1080	940	810	670	19.000	1140	992	855	707	●	○	○	○	○	●	○	○	○	
M.1.1	16.000	600	522	450	372	14.000	650	566	488	403	12.000	720	626	540	446	●	○	○	○	○	●	○	○	○	
M.2.1	16.000	600	522	450	372	14.000	650	566	488	403	12.000	720	626	540	446	●	○	○	○	○	●	○	○	○	
M.3.1	16.000	600	522	450	372	14.000	650	566	488	403	12.000	720	626	540	446	●	○	○	○	○	●	○	○	○	
K.1.1	29.000	1160	1009	870	719	25.000	1240	1079	930	769	22.000	1320	1148	990	818	○	●	●	●	●	●	●	●	●	
K.1.2	29.000	1160	1009	870	719	25.000	1240	1079	930	769	22.000	1320	1148	990	818	○	●	●	●	●	●	●	●	●	
K.2.1	29.000	1160	1009	870	719	25.000	1240	1079	930	769	22.000	1320	1148	990	818	○	●	●	●	●	●	●	●	●	
K.2.2	29.000	1160	1009	870	719	25.000	1240	1079	930	769	22.000	1320	1148	990	818	○	●	●	●	●	●	●	●	●	
K.3.1	12.000	329	286	246	204	10.000	380	331	285	236	9.000	390	339	293	242	●	●	●	●	●	●	●	●	●	
K.3.2	12.000	329	286	246	204	10.000	380	331	285	236	9.000	390	339	293	242	●	●	●	●	●	●	●	●	●	
N.1.1	38.000	1520	1322	1140	942	33.000	1600	1392	1200	992	28.000	1680	1462	1260	1042	●	○	○	○	○	●	○	○	○	
N.1.2	38.000	1520	1322	1140	942	33.000	1600	1392	1200	992	28.000	1680	1462	1260	1042	●	○	○	○	○	●	○	○	○	
N.2.1																									
N.2.2																									
N.2.3																									
N.3.1	21.000	800	696	600	496	18.000	850	740	638	527	15.000	900	783	675	558	●	○	○	○	○	●	○	○	○	
N.3.2	29.000	900	783	675	558	25.000	1000	870	750	620	22.000	1140	992	855	707	●	○	○	○	○	●	○	○	○	
N.3.3	29.000	900	783	675	558	25.000	1000	870	750	620	22.000	1140	992	855	707	●	○	○	○	○	●	○	○	○	
N.4.1	29.000	1059	921	794	657	25.000	1200	1044	900	744	22.000	1320	1148	990	818	●	○	○	○	○	●	○	○	○	
S.1.1	8.000	127	111	95	79	7.000	220	191	165	136	6.000	250	218	188	155	●	○	○	○	○	●	○	○	○	
S.1.2	8.000	127	111	95	79	7.000	220	191	165	136	6.000	250	218	188	155	●	○	○	○	○	●	○	○	○	
S.2.1	12.000	204	178	153	127	10.000	300	261	225	186	9.000	350	305	263	217	●	○	○	○	○	●	○	○	○	
S.2.2	8.000	127	111	95	79	7.000	220	191	165	136	6.000	250	218	188	155	●	○	○	○	○	●	○	○	○	
S.2.3	8.000	106	92	80	66	7.000	200	174	150	124	6.000	220	191	165	136	●	○	○	○	○	●	○	○	○	
S.3.1	21.000	228	199	171	141	18.000	300	261	225	186	15.000	380	331	285	236	●	○	○	○	○	●	○	○	○	
S.3.2	21.000	274	238	205	170	18.000	400	348	300	248	15.000	450	392	338	279	●	○	○	○	○	●	○	○	○	
S.3.3	16.000	237	206	178	147	14.000	300	261	225	186	12.000	380	331	285	236	●	○	○	○	○	●	○	○	○	
H.1.1	16.000	173	151	130	107	14.000	200	174	150	124	12.000	240	209	180	149	●	●	●	●	●	●	●	●	●	
H.1.2	12.000	173	151	130	107	10.000	200	174	150	124	9.000	240	209	180	149	●	●	●	●	●	●	●	●	●	
H.1.3	12.000	163	142	122	101	10.000	200	174	150	124	9.000	240	209	180	149	●	●	●	●	●	●	●	●	●	
H.1.4																									
H.2.1	25.000	300	261	225	186	21.000	400	348	300	248	19.000	500	435	375	310	●	●	●	●	●	●	●	●	●	
H.3.1	16.000	173	151	130	107	14.000	200	174	150	124	12.000	240	209	180	149	●	●	●	●	●	●	●	●	●	
O.1.1	29.000	1160	1009	870	719	25.000	1200	1044	900	744	22.000	1320	1148	990	818	●	○	○	○	○	●	○	○	○</	

Conditions de coupe – MultiLock – Fraises hémisphériques

Index	53 803 ..., 53 804 ...						● 1er choix		
			\emptyset DC (mm) =				○ Utilisation possible		
	CTC5240	CTPX225	12	16	20	25			
			$a_e / a_p = 0,05 \times DC$				Emulsion	Air	MMS
v _c (m/min)		f _z (mm/dt)							
P.1.1		180	0,12	0,15	0,18	0,20	●	○	○
P.1.2		160	0,13	0,16	0,19	0,21	●	○	○
P.1.3		160	0,13	0,16	0,19	0,21	●	○	○
P.1.4		140	0,10	0,13	0,16	0,18	●	○	○
P.1.5		140	0,10	0,13	0,16	0,18	●	○	○
P.2.1		150	0,10	0,13	0,16	0,18	●	○	○
P.2.2		150	0,10	0,13	0,16	0,18	●	○	○
P.2.3		90	0,09	0,10	0,13	0,14	●	○	○
P.2.4		90	0,09	0,10	0,13	0,14	●	○	○
P.3.1		80	0,07	0,09	0,11	0,12	●	○	○
P.3.2		80	0,07	0,09	0,11	0,12	●	○	○
P.3.3		80	0,07	0,09	0,11	0,12	●	○	○
P.4.1		60	0,09	0,10	0,13	0,14	●		○
P.4.2		50	0,09	0,10	0,13	0,14	●		○
M.1.1		50	0,07	0,09	0,11	0,12	●		○
M.2.1		40	0,06	0,08	0,10	0,11	●		○
M.3.1		50	0,07	0,09	0,11	0,12	●		○
K.1.1		150	0,13	0,17	0,21	0,23	●	○	○
K.1.2		120	0,12	0,15	0,18	0,20	●	○	○
K.2.1		140	0,13	0,16	0,19	0,21	●	○	○
K.2.2		120	0,10	0,13	0,16	0,18	●	○	○
K.3.1		120	0,13	0,16	0,19	0,21	●	○	○
K.3.2		100	0,12	0,15	0,18	0,20	●	○	○
N.1.1		500	0,20	0,25	0,30	0,33	●		○
N.1.2		450	0,20	0,25	0,30	0,33	●		○
N.2.1									
N.2.2		380	0,19	0,24	0,28	0,31	●		○
N.2.3		150	0,16	0,20	0,24	0,26	●		○
N.3.1		220	0,13	0,17	0,21	0,23	●		○
N.3.2		190	0,13	0,17	0,21	0,23	●		○
N.3.3		250	0,13	0,16	0,19	0,21	●		○
N.4.1									
S.1.1	60		0,08	0,11	0,16	0,17	●		
S.1.2									
S.2.1	60		0,08	0,11	0,16	0,17	●		
S.2.2	60		0,08	0,11	0,16	0,17	●		
S.2.3									
S.3.1	140		0,11	0,16	0,21	0,22	●		
S.3.2	100		0,08	0,11	0,16	0,17	●		
S.3.3									
H.1.1									
H.1.2									
H.1.3									
H.1.4									
H.2.1									
H.3.1									
O.1.1									
O.1.2									
O.2.1									
O.2.2									
O.3.1									

Conditions de coupe – MultiLock – Fraises toriques

Index	CTCS240	CTPX25	53 805 ..., 53 806 ...										● 1er choix			
			\emptyset DC (mm) =										○ Utilisation possible			
			12		16		20		25							
			$a_e = 0,1-0,3 \times DC$	$a_e = 0,3-0,6 \times DC$	$a_e = 0,1-0,3 \times DC$	$a_e = 0,3-0,6 \times DC$	$a_e = 0,1-0,3 \times DC$	$a_e = 0,3-0,6 \times DC$	$a_e = 0,1-0,3 \times DC$	$a_e = 0,3-0,6 \times DC$						
P.1.1		180	0,08	0,05	0,11	0,07	0,14	0,08	0,15	0,08			●	○	○	
P.1.2		160	0,09	0,05	0,12	0,07	0,15	0,09	0,17	0,09			●	○	○	
P.1.3		160	0,09	0,05	0,12	0,07	0,15	0,09	0,17	0,09			●	○	○	
P.1.4		140	0,07	0,04	0,10	0,06	0,13	0,08	0,14	0,08			●	○	○	
P.1.5		140	0,07	0,04	0,10	0,06	0,13	0,08	0,14	0,08			●	○	○	
P.2.1		150	0,07	0,04	0,10	0,06	0,13	0,08	0,14	0,08			●	○	○	
P.2.2		150	0,07	0,04	0,10	0,06	0,13	0,08	0,14	0,08			●	○	○	
P.2.3		90	0,06	0,03	0,08	0,05	0,10	0,06	0,11	0,06			●	○	○	
P.2.4		90	0,06	0,03	0,08	0,05	0,10	0,06	0,11	0,06			●	○	○	
P.3.1		80	0,05	0,03	0,07	0,04	0,09	0,06	0,10	0,06			●	○	○	
P.3.2		80	0,05	0,03	0,07	0,04	0,09	0,06	0,10	0,06			●	○	○	
P.3.3		80	0,05	0,03	0,07	0,04	0,09	0,06	0,10	0,06			●	○	○	
P.4.1		60	0,06	0,05	0,08	0,07	0,10	0,09	0,11	0,09			●	○		
P.4.2		50	0,06	0,05	0,08	0,07	0,10	0,09	0,11	0,09			●	○		
M.1.1		50	0,05	0,04	0,07	0,06	0,09	0,08	0,10	0,08			●	○		
M.2.1		40	0,04	0,03	0,06	0,05	0,08	0,07	0,09	0,07			●	○		
M.3.1		50	0,05	0,04	0,07	0,06	0,09	0,08	0,10	0,08			●	○		
K.1.1		150	0,09	0,06	0,13	0,08	0,16	0,10	0,18	0,10			●	○	○	
K.1.2		120	0,08	0,05	0,11	0,07	0,14	0,08	0,15	0,08			●	○	○	
K.2.1		140	0,09	0,05	0,12	0,07	0,15	0,09	0,17	0,09			●	○	○	
K.2.2		120	0,07	0,04	0,10	0,06	0,13	0,08	0,14	0,08			●	○	○	
K.3.1		120	0,09	0,05	0,12	0,07	0,15	0,09	0,17	0,09			●	○	○	
K.3.2		100	0,08	0,05	0,11	0,07	0,14	0,08	0,15	0,08			●	○	○	
N.1.1																
N.1.2																
N.2.1																
N.2.2																
N.2.3																
N.3.1																
N.3.2		220	0,09	0,06	0,13	0,08	0,16	0,10	0,18	0,10			●	○		
N.3.3																
N.4.1																
S.1.1	60		0,07	0,04	0,10	0,06	0,15	0,08	0,17	0,10			●			
S.1.2	60		0,07	0,04	0,10	0,06	0,15	0,08	0,17	0,10			●			
S.2.1	60		0,07	0,04	0,10	0,06	0,15	0,08	0,17	0,10			●			
S.2.2	60		0,07	0,04	0,10	0,06	0,15	0,08	0,17	0,10			●			
S.2.3	60		0,07	0,04	0,10	0,06	0,15	0,08	0,17	0,10			●			
S.3.1	140		0,10	0,05	0,15	0,08	0,2	0,11	0,22	0,13			●			
S.3.2	100		0,07	0,04	0,10	0,06	0,15	0,08	0,17	0,10			●			
S.3.3																
H.1.1																
H.1.2																
H.1.3																
H.1.4																
H.2.1																
H.3.1																
O.1.1																
O.1.2																
O.2.1																
O.2.2																
O.3.1																

1

Angle de plongée en ramping = 1,9°

Angle de plongée en interpolation hélicoïdale = 1,5°

Diamètres des trous en interpolation hélicoïdale = $D_{min} 1,7 \times DC / D_{max} 1,95 \times DC$ Lors de rampings ou d'interpolations hélicoïdales réduire les avances à la dent f_z de 50%

Conditions de coupe – MultiLock – Fraises grande avance

Index	CTCS240	CTPX225	53 801 ... , 53 802 ...												Emulsion	Air	MMS			
			$\emptyset DC$ (mm) =																	
			12			16			20			25								
			0,1–0,2	0,3–0,4	0,6–1,0	0,1–0,2	0,3–0,4	0,6–1,0	0,1–0,2	0,3–0,4	0,6–1,0	0,1–0,2	0,3–0,4	0,6–1,0						
P.1.1	200	0,45	0,36	0,26	0,63	0,47	0,30	0,81	0,60	0,38	0,89	0,63	0,38	0,63	●	○	○			
P.1.2	180	0,50	0,39	0,29	0,69	0,51	0,33	0,89	0,65	0,41	0,98	0,69	0,41	0,69	●	○	○			
P.1.3	180	0,50	0,39	0,29	0,69	0,51	0,33	0,89	0,65	0,41	0,98	0,69	0,41	0,69	●	○	○			
P.1.4	150	0,41	0,33	0,24	0,57	0,42	0,27	0,74	0,54	0,35	0,82	0,58	0,35	0,58	●	○	○			
P.1.5	150	0,41	0,33	0,24	0,57	0,42	0,27	0,74	0,54	0,35	0,82	0,58	0,35	0,58	●	○	○			
P.2.1	170	0,41	0,33	0,24	0,57	0,42	0,27	0,74	0,54	0,35	0,82	0,58	0,35	0,58	●	○	○			
P.2.2	170	0,41	0,33	0,24	0,57	0,42	0,27	0,74	0,54	0,35	0,82	0,58	0,35	0,58	●	○	○			
P.2.3	100	0,33	0,26	0,20	0,46	0,34	0,22	0,59	0,44	0,28	0,65	0,47	0,28	0,65	●	○	○			
P.2.4	100	0,33	0,26	0,20	0,46	0,34	0,22	0,59	0,44	0,28	0,65	0,47	0,28	0,65	●	○	○			
P.3.1	90	0,29	0,23	0,17	0,41	0,30	0,19	0,52	0,38	0,25	0,57	0,41	0,25	0,57	●	○	○			
P.3.2	90	0,29	0,23	0,17	0,41	0,30	0,19	0,52	0,38	0,25	0,57	0,41	0,25	0,57	●	○	○			
P.3.3	90	0,29	0,23	0,17	0,41	0,30	0,19	0,52	0,38	0,25	0,57	0,41	0,25	0,57	●	○	○			
P.4.1	70	0,50	0,39	0,29	0,69	0,51	0,33	0,89	0,65	0,41	0,98	0,69	0,41	0,98	●		○			
P.4.2	60	0,50	0,39	0,29	0,69	0,51	0,33	0,89	0,65	0,41	0,98	0,69	0,41	0,98	●		○			
M.1.1	55	0,29	0,23	0,17	0,41	0,30	0,19	0,52	0,38	0,24	0,57	0,40	0,24	0,57	●	○				
M.2.1	40	0,25	0,20	0,15	0,35	0,26	0,17	0,44	0,33	0,21	0,49	0,35	0,21	0,49	●		○			
M.3.1	60	0,29	0,23	0,17	0,41	0,30	0,19	0,52	0,38	0,24	0,57	0,40	0,24	0,57	●		○			
K.1.1	170	0,53	0,42	0,32	0,74	0,55	0,35	0,96	0,71	0,45	1,06	0,75	0,45	1,06	●	○	○			
K.1.2	130	0,45	0,36	0,26	0,63	0,47	0,3	0,81	0,59	0,38	0,89	0,63	0,38	0,89	●	○	○			
K.2.1	150	0,50	0,39	0,29	0,69	0,51	0,33	0,89	0,65	0,41	0,98	0,69	0,41	0,98	●	○	○			
K.2.2	130	0,41	0,33	0,24	0,57	0,42	0,27	0,74	0,54	0,35	0,82	0,58	0,35	0,82	●	○	○			
K.3.1	130	0,50	0,39	0,29	0,69	0,51	0,33	0,89	0,65	0,41	0,98	0,69	0,41	0,98	●	○	○			
K.3.2	110	0,45	0,36	0,26	0,63	0,47	0,30	0,81	0,59	0,38	0,89	0,63	0,38	0,89	●	○	○			
N.1.1																				
N.1.2																				
N.2.1																				
N.2.2																				
N.2.3																				
N.3.1																				
N.3.2																				
N.3.3																				
N.4.1																				
S.1.1	60	0,18	0,15	0,11	0,20	0,15	0,11	0,21	0,18	0,14	0,23	0,19	0,16	0,23	●					
S.1.2	60	0,18	0,15	0,11	0,20	0,15	0,11	0,21	0,18	0,14	0,23	0,19	0,16	0,23	●					
S.2.1	60	0,18	0,15	0,11	0,20	0,15	0,11	0,21	0,18	0,14	0,23	0,19	0,16	0,23	●					
S.2.2	60	0,18	0,15	0,11	0,20	0,15	0,11	0,21	0,18	0,14	0,23	0,19	0,16	0,23	●					
S.2.3	60	0,18	0,15	0,11	0,20	0,15	0,11	0,21	0,18	0,14	0,23	0,19	0,16	0,23	●					
S.3.1	140	0,18	0,15	0,11	0,20	0,15	0,11	0,21	0,18	0,14	0,23	0,19	0,16	0,23	●					
S.3.2	100	0,25	0,19	0,14	0,26	0,19	0,12	0,28	0,22	0,17	0,29	0,24	0,18	0,29	●					
S.3.3	140	0,18	0,15	0,11	0,20	0,15	0,11	0,22	0,18	0,14	0,23	0,20	0,16	0,23	●					
H.1.1																				
H.1.2																				
H.1.3																				
H.1.4																				
H.2.1																				
H.3.1																				
O.1.1																				
O.1.2																				
O.2.1																				
O.2.2																				
O.3.1																				



Angle de plongée en ramping et en interpolation hélicoïdale = 1,9°

Diamètres des trous en interpolation hélicoïdale = $D_{min} \cdot 1,6 \times DC / D_{max} \cdot 1,95 \times DC$ Lors de rampings ou d'interpolations hélicoïdales réduire les avances à la dent f_z de 50%

Conditions de coupe – MultiLock – Fraises à ébavurer

Index	CTPX225	53800 ...		● 1er choix		
		$\emptyset DC$ (mm) =		○ Utilisation possible		
		12	16			
		$a_e \times DC$ =				
P.1.1	200	0,09	0,12	●	○	○
P.1.2	180	0,10	0,13	●	○	○
P.1.3	180	0,10	0,13	●	○	○
P.1.4	150	0,08	0,11	●	○	○
P.1.5	150	0,08	0,11	●	○	○
P.2.1	170	0,08	0,11	●	○	○
P.2.2	170	0,08	0,11	●	○	○
P.2.3	100	0,07	0,09	●	○	○
P.2.4	100	0,07	0,09	●	○	○
P.3.1	90	0,06	0,08	●	○	○
P.3.2	90	0,06	0,08	●	○	○
P.3.3	90	0,06	0,08	●	○	○
P.4.1	70	0,07	0,09	●		○
P.4.2	60	0,07	0,09	●		○
M.1.1	60	0,06	0,08	●		○
M.2.1	40	0,05	0,07	●		○
M.3.1	60	0,06	0,08	●		○
K.1.1	170	0,11	0,14	●	○	○
K.1.2	130	0,09	0,12	●	○	○
K.2.1	150	0,10	0,13	●	○	○
K.2.2	130	0,08	0,11	●	○	○
K.3.1	130	0,10	0,13	●	○	○
K.3.2	110	0,09	0,12	●	○	○
N.1.1	550	0,16	0,21	●		
N.1.2	500	0,16	0,21	●		
N.2.1						
N.2.2	420	0,15	0,20	●		
N.2.3	170	0,13	0,17	●		
N.3.1	240	0,11	0,14	●		
N.3.2	210	0,11	0,14	●		
N.3.3	280	0,10	0,13	●		
N.4.1						
S.1.1						
S.1.2						
S.2.1						
S.2.2						
S.2.3						
S.3.1						
S.3.2						
S.3.3						
H.1.1						
H.1.2						
H.1.3						
H.1.4						
H.2.1						
H.3.1						
O.1.1						
O.1.2						
O.2.1						
O.2.2						
O.3.1						

Conditions de coupe – MultiChange – PCR-UNI

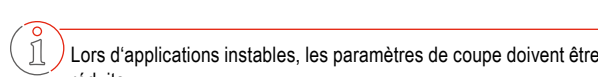
Index	52 871 ...																
	Facteurs de correction f_z et v_c			a_p max.	v_c (m/min)	Conditions de coupe pour porte-outils extra-courts et courts											
	Porte-outils					10,0	\emptyset DC (mm) =				10,0	\emptyset DC (mm) =					
	Type mi-longue	Type long	Type extra long				12,0	16,0	20,0								
							a_e 0,25xD _C						a_e 1xD _C				
						f_z (mm/dt)				v_c (m/min)	f_z (mm/dt)						
P.1.1	0,9	0,7*	0,6*	0,56	490	0,057	0,065	0,080	0,091	240	0,028	0,033	0,040	0,046			
P.1.2	0,9	0,7*	0,6*	0,56	470	0,054	0,062	0,076	0,087	230	0,027	0,031	0,038	0,044			
P.1.3	0,9	0,7*	0,6*	0,56	445	0,052	0,059	0,073	0,083	220	0,026	0,030	0,036	0,041			
P.1.4	0,9	0,7*	0,6*	0,56	425	0,049	0,056	0,069	0,079	205	0,025	0,028	0,034	0,039			
P.1.5	0,9	0,7*	0,6*	0,56	400	0,047	0,053	0,065	0,075	195	0,023	0,027	0,033	0,037			
P.2.1	0,9	0,7*	0,6*	0,56	445	0,057	0,065	0,080	0,091	220	0,028	0,033	0,040	0,046			
P.2.2	0,9	0,7*	0,6*	0,56	405	0,052	0,059	0,073	0,083	200	0,026	0,030	0,036	0,041			
P.2.3	0,9	0,7*	0,6*	0,56	365	0,047	0,053	0,065	0,075	180	0,023	0,027	0,033	0,037			
P.2.4	0,9	0,7*	0,6*	0,56	285	0,043	0,050	0,060	0,069	140	0,022	0,025	0,030	0,035			
P.3.1	0,9	0,7*	0,6*	0,56	265	0,050	0,057	0,070	0,080	130	0,025	0,029	0,035	0,040			
P.3.2	0,9	0,7*	0,6*	0,56	245	0,047	0,054	0,067	0,076	120	0,024	0,027	0,033	0,038			
P.3.3	0,9	0,7*	0,6*	0,56	225	0,045	0,051	0,063	0,072	110	0,022	0,026	0,031	0,036			
P.4.1	0,9	0,7*	0,6*	0,56	180	0,034	0,040	0,048	0,055	90	0,017	0,020	0,024	0,028			
P.4.2	0,9	0,7*	0,6*	0,56	180	0,034	0,040	0,048	0,055	90	0,017	0,020	0,024	0,028			
M.1.1	0,9	0,7*	0,6*	0,56	120	0,030	0,035	0,042	0,048	60	0,015	0,017	0,021	0,024			
M.2.1	0,9	0,7*	0,6*	0,56	115	0,025	0,029	0,035	0,040	55	0,012	0,014	0,018	0,020			
M.3.1	0,9	0,7*	0,6*	0,56	120	0,026	0,030	0,036	0,041	60	0,013	0,015	0,018	0,021			
K.1.1	0,9	0,7*	0,6*	0,56	485	0,086	0,099	0,121	0,138	240	0,043	0,050	0,060	0,069			
K.1.2	0,9	0,7*	0,6*	0,56	365	0,060	0,069	0,085	0,097	180	0,030	0,035	0,042	0,048			
K.2.1	0,9	0,7*	0,6*	0,56	445	0,073	0,084	0,103	0,118	220	0,037	0,042	0,051	0,059			
K.2.2	0,9	0,7*	0,6*	0,56	365	0,060	0,069	0,085	0,097	180	0,030	0,035	0,042	0,048			
K.3.1	0,9	0,7*	0,6*	0,56	325	0,060	0,069	0,085	0,097	160	0,030	0,035	0,042	0,048			
K.3.2	0,9	0,7*	0,6*	0,56	305	0,052	0,059	0,073	0,083	150	0,026	0,030	0,036	0,041			

* = Effeuillage et rainurage trochoïdal

Conditions de coupe – MultiChange – PCR-ALU

Index	52 872 ...																
	Facteurs de correction f_z et v_c			a_p max.	v_c (m/min)	Conditions de coupe pour porte-outils extra-courts et courts											
	Porte-outils					10,0	\emptyset DC (mm) =				10,0	\emptyset DC (mm) =					
	Type mi-longue	Type long	Type extra long				12,0	16,0	20,0	a_e 0,25xD _C							
							f_z (mm/dt)						v_c (m/min)	f_z (mm/dt)			
N.1.1	0,9	0,7*	0,6*	0,56	1035	0,169	0,194	0,237	0,271	675	0,084	0,097	0,119	0,136			
N.1.2	0,9	0,7*	0,6*	0,56	945	0,154	0,177	0,216	0,247	610	0,077	0,088	0,108	0,123			
N.2.1	0,9	0,7*	0,6*	0,56	625	0,161	0,185	0,226	0,259	405	0,081	0,093	0,113	0,129			
N.2.2	0,9	0,7*	0,6*	0,56	500	0,169	0,194	0,237	0,271	325	0,084	0,097	0,119	0,136			
N.2.3	0,9	0,7*	0,6*	0,56	360	0,184	0,212	0,259	0,296	235	0,092	0,106	0,129	0,148			
N.3.1	0,9	0,7*	0,6*	0,56	450	0,077	0,088	0,108	0,123	295	0,038	0,044	0,054	0,062			
N.3.2	0,9	0,7*	0,6*	0,56	270	0,123	0,141	0,173	0,197	175	0,061	0,071	0,086	0,099			
N.3.3	0,9	0,7*	0,6*	0,56	360	0,123	0,141	0,173	0,197	235	0,061	0,071	0,086	0,099			
N.4.1																	

* = Effeuillage et rainurage trochoïdal



Index	52 871 ...						● 1er choix		
	Ramping	Perçage	Fraisage hélicoïdal				Emulsion	Air	MMS
				Angle maxi d'interpolation					
Index	Angle maxi	Facteur f _z	a _{R max.**}	D _{min.} 1,5 x DC	D _{max.} 1,8 x DC				
P.1.1	45°	0,9	0,56xDC	20°	13°	○	●	○	
P.1.2	45°	0,9	0,56xDC	20°	13°	○	●	○	
P.1.3	45°	0,9	0,56xDC	20°	13°	○	●	○	
P.1.4	45°	0,9	0,56xDC	20°	13°	○	●	○	
P.1.5	45°	0,9	0,56xDC	20°	13°	○	●	○	
P.2.1	45°	0,8	0,56xDC	20°	13°	○	●	○	
P.2.2	45°	0,8	0,56xDC	20°	13°	○	●	○	
P.2.3	45°	0,8	0,56xDC	20°	13°	○	●	○	
P.2.4	45°	0,7	0,56xDC	20°	13°	○	●	○	
P.3.1	30°	0,8	0,56xDC	20°	13°	●		○	
P.3.2	30°	0,7	0,56xDC	20°	13°	●		○	
P.3.3	30°	0,7	0,56xDC	20°	13°	●		○	
P.4.1	15°		0,56xDC	20°	13°	●		○	
P.4.2	15°		0,56xDC	20°	13°	●		○	
M.1.1	15°		0,4xDC	14°	9°	●			
M.2.1	15°		0,4xDC	14°	9°	●			
M.3.1	15°		0,4xDC	14°	9°	●			
K.1.1	45°	0,8	0,56xDC	20	13		●		
K.1.2	45°	0,8	0,56xDC	20	13		●		
K.2.1	45°	0,8	0,56xDC	20	13		●		
K.2.2	45°	0,8	0,56xDC	20	13		●		
K.3.1	45°	0,8	0,56xDC	20	13		●		
K.3.2	45°	0,8	0,56xDC	20	13		●		

Index	52 872 ...						● 1er choix		
	Ramping	Perçage	Fraisage hélicoïdal				Emulsion	Air	MMS
				Angle maxi d'interpolation					
Index	Angle maxi	Facteur f _z	a _{R max.**}	D _{min.} 1,5 x DC	D _{max.} 1,8 x DC				
N.1.1	45°	0,9	0,56xDC	20°	13°	●		○	
N.1.2	45°	0,9	0,56xDC	20°	13°	●		○	
N.2.1	45°	0,9	0,56xDC	20°	13°	●		○	
N.2.2	45°	0,9	0,56xDC	20°	13°	●		○	
N.2.3	45°	0,9	0,56xDC	20°	13°	●		○	
N.3.1	45°	0,9	0,56xDC	20°	13°	●		○	
N.3.2	45°	0,9	0,56xDC	20°	13°	●		○	
N.3.3	45°	0,9	0,56xDC	20°	13°	●		○	
N.4.1									



** Profondeur de passe par cycle hélicoïdal

Conditions de coupe – MultiChange – Fraises à rainurer

Index	52 860 ..., 52 861 ...																		Emulsion	Air	MMS				
	Conditions de coupe pour porte-outils extra-courts et courts																								
	$\emptyset_{DC} (\text{mm}) =$																								
	8 10 12 16 20																								
	$a_p \text{max.} =$																		$a_e \times DC =$						
	5,2 4,4 3,6 6,5 5,5 4,5 7,8 6,6 5,4 10,4 8,8 7,2 13 11 9																		$f_z (\text{mm}/\text{dt})$						
P.1.1	0,9	0,7*	0,6*	175	0,05	0,04	0,02	0,06	0,04	0,03	0,07	0,05	0,03	0,08	0,06	0,04	0,09	0,07	0,05	○	●	○			
P.1.2	0,9	0,7*	0,6*	165	0,05	0,03	0,02	0,05	0,04	0,03	0,06	0,05	0,03	0,08	0,06	0,04	0,09	0,07	0,04	○	●	○			
P.1.3	0,9	0,7*	0,6*	160	0,04	0,03	0,02	0,05	0,04	0,03	0,06	0,04	0,03	0,07	0,05	0,04	0,08	0,06	0,04	○	●	○			
P.1.4	0,9	0,7*	0,6*	150	0,04	0,03	0,02	0,05	0,04	0,02	0,06	0,04	0,03	0,07	0,05	0,03	0,08	0,06	0,04	○	●	○			
P.1.5	0,9	0,7*	0,6*	145	0,04	0,03	0,02	0,05	0,04	0,02	0,05	0,04	0,03	0,07	0,05	0,03	0,08	0,06	0,04	○	●	○			
P.2.1	0,9	0,7*	0,6*	160	0,05	0,04	0,02	0,06	0,04	0,03	0,07	0,05	0,03	0,08	0,06	0,04	0,09	0,07	0,05	○	●	○			
P.2.2	0,9	0,7*	0,6*	145	0,04	0,03	0,02	0,05	0,04	0,03	0,06	0,04	0,03	0,07	0,05	0,04	0,08	0,06	0,04	○	●	○			
P.2.3	0,9	0,7*	0,6*	130	0,04	0,03	0,02	0,05	0,04	0,02	0,05	0,04	0,03	0,07	0,05	0,03	0,08	0,06	0,04	○	●	○			
P.2.4	0,9	0,7*	0,6*	100	0,04	0,03	0,02	0,04	0,03	0,02	0,05	0,04	0,03	0,06	0,05	0,03	0,07	0,05	0,04	○	●	○			
P.3.1	0,9	0,7*	0,6*	95	0,04	0,03	0,02	0,05	0,04	0,03	0,06	0,04	0,03	0,07	0,05	0,04	0,08	0,06	0,04	●		○			
P.3.2	0,9	0,7*	0,6*	85	0,04	0,03	0,02	0,05	0,04	0,02	0,06	0,04	0,03	0,07	0,05	0,03	0,08	0,06	0,04	●		○			
P.3.3	0,9	0,7*	0,6*	80	0,04	0,03	0,02	0,05	0,03	0,02	0,05	0,04	0,03	0,06	0,05	0,03	0,07	0,05	0,04	●		○			
P.4.1	0,9	0,7*	0,6*	65	0,03	0,02	0,01	0,03	0,03	0,02	0,04	0,03	0,02	0,05	0,04	0,02	0,06	0,04	0,03	●		○			
P.4.2	0,9	0,7*	0,6*	65	0,03	0,02	0,01	0,03	0,03	0,02	0,04	0,03	0,02	0,05	0,04	0,02	0,06	0,04	0,03	●		○			
M.1.1																									
M.2.1																									
M.3.1																									
K.1.1	0,9	0,7*	0,6*	175	0,07	0,05	0,04	0,09	0,07	0,04	0,10	0,07	0,05	0,12	0,09	0,06	0,14	0,10	0,07	●					
K.1.2	0,9	0,7*	0,6*	130	0,05	0,04	0,03	0,06	0,05	0,03	0,07	0,05	0,04	0,09	0,06	0,04	0,10	0,07	0,05	●					
K.2.1	0,9	0,7*	0,6*	160	0,06	0,05	0,03	0,07	0,06	0,04	0,09	0,06	0,04	0,10	0,08	0,05	0,12	0,09	0,06	●					
K.2.2	0,9	0,7*	0,6*	130	0,05	0,04	0,03	0,06	0,05	0,03	0,07	0,05	0,04	0,09	0,06	0,04	0,10	0,07	0,05	●					
K.3.1	0,9	0,7*	0,6*	115	0,05	0,04	0,03	0,06	0,05	0,03	0,07	0,05	0,04	0,09	0,06	0,04	0,10	0,07	0,05	●					
K.3.2	0,9	0,7*	0,6*	110	0,04	0,03	0,02	0,05	0,04	0,03	0,06	0,04	0,03	0,07	0,05	0,04	0,08	0,06	0,04	●					
N.1.1																									
N.1.2																									
N.2.1																									
N.2.2																									
N.2.3																									
N.3.1																									
N.3.2																									
N.3.3																									
N.4.1																									
S.1.1																									
S.1.2																									
S.2.1																									
S.2.2																									
S.2.3																									
S.3.1																									
S.3.2																									
S.3.3																									
H.1.1																									
H.1.2																									
H.1.3																									
H.1.4																									
H.2.1																									
H.3.1																									
O.1.1																									
O.1.2																									
O.2.1																									
O.2.2																									
O.3.1																									

* = Effeuillage et rainurage trochoïdal

 Lors d'applications instables, les paramètres de coupe doivent être réduits.

Conditions de coupe – MultiChange – Fraises semi-ébauche

Index	52 862 ...													Emulsion	Air	MMS			
	Conditions de coupe pour porte-outils extra-courts et courts																		
	$\emptyset_{DC} (\text{mm}) =$																		
	8			10			12			16			20						
	$a_p \text{ max.} =$			7,5			9,4			11,3			15,0						
	$a_e \times DC =$			0,1–0,2	0,3–0,4	0,1–0,2	0,3–0,4	0,1–0,2	0,3–0,4	0,1–0,2	0,3–0,4	0,1–0,2	0,3–0,4	0,1–0,2	0,3–0,4				
$f_z (\text{mm/dt})$																			
P.1.1	0,9	0,7*	0,6*	225	0,04	0,03	0,05	0,04	0,06	0,04	0,08	0,05	0,09	0,06	○	●	○		
P.1.2	0,9	0,7*	0,6*	215	0,04	0,03	0,05	0,04	0,06	0,04	0,07	0,05	0,08	0,06	○	●	○		
P.1.3	0,9	0,7*	0,6*	205	0,04	0,03	0,05	0,03	0,06	0,04	0,07	0,05	0,08	0,06	○	●	○		
P.1.4	0,9	0,7*	0,6*	195	0,04	0,03	0,05	0,03	0,05	0,04	0,06	0,05	0,07	0,05	○	●	○		
P.1.5	0,9	0,7*	0,6*	185	0,04	0,03	0,04	0,03	0,05	0,04	0,06	0,04	0,07	0,05	○	●	○		
P.2.1	0,9	0,7*	0,6*	205	0,04	0,03	0,05	0,04	0,06	0,04	0,08	0,05	0,09	0,06	○	●	○		
P.2.2	0,9	0,7*	0,6*	185	0,04	0,03	0,05	0,03	0,06	0,04	0,07	0,05	0,08	0,06	○	●	○		
P.2.3	0,9	0,7*	0,6*	170	0,04	0,03	0,04	0,03	0,05	0,04	0,06	0,04	0,07	0,05	○	●	○		
P.2.4	0,9	0,7*	0,6*	130	0,03	0,02	0,04	0,03	0,05	0,03	0,06	0,04	0,06	0,05	○	●	○		
P.3.1	0,9	0,7*	0,6*	120	0,04	0,03	0,05	0,03	0,05	0,04	0,07	0,05	0,08	0,05	●		○		
P.3.2	0,9	0,7*	0,6*	110	0,04	0,03	0,04	0,03	0,05	0,04	0,06	0,04	0,07	0,05	●		○		
P.3.3	0,9	0,7*	0,6*	105	0,04	0,02	0,04	0,03	0,05	0,03	0,06	0,04	0,07	0,05	●		○		
P.4.1	0,9	0,7*	0,6*	85	0,03	0,02	0,03	0,02	0,04	0,03	0,05	0,03	0,05	0,04	●		○		
P.4.2	0,9	0,7*	0,6*	85	0,03	0,02	0,03	0,02	0,04	0,03	0,05	0,03	0,05	0,04	●		○		
M.1.1	0,9	0,7*	0,6*	55	0,02	0,02	0,03	0,02	0,03	0,02	0,04	0,03	0,05	0,03	●				
M.2.1	0,9	0,7*	0,6*	50	0,02	0,01	0,02	0,02	0,03	0,02	0,03	0,02	0,04	0,03	●				
M.3.1	0,9	0,7*	0,6*	55	0,02	0,01	0,02	0,02	0,03	0,02	0,03	0,02	0,04	0,03	●				
K.1.1	0,9	0,7*	0,6*	225	0,07	0,05	0,08	0,06	0,09	0,07	0,11	0,08	0,13	0,09	●				
K.1.2	0,9	0,7*	0,6*	170	0,05	0,03	0,06	0,04	0,07	0,05	0,08	0,06	0,09	0,06	●				
K.2.1	0,9	0,7*	0,6*	205	0,06	0,04	0,07	0,05	0,08	0,06	0,10	0,07	0,11	0,08	●				
K.2.2	0,9	0,7*	0,6*	170	0,05	0,03	0,06	0,04	0,07	0,05	0,08	0,06	0,09	0,06	●				
K.3.1	0,9	0,7*	0,6*	150	0,05	0,03	0,06	0,04	0,07	0,05	0,08	0,06	0,09	0,06	●				
K.3.2	0,9	0,7*	0,6*	140	0,04	0,03	0,05	0,03	0,06	0,04	0,07	0,05	0,08	0,06	●				
N.1.1	0,9	0,7*	0,6*	785	0,08	0,05	0,09	0,06	0,10	0,07	0,13	0,09	0,15	0,10	●		○		
N.1.2	0,9	0,7*	0,6*	715	0,07	0,05	0,08	0,06	0,09	0,07	0,12	0,08	0,13	0,09	●		○		
N.2.1	0,9	0,7*	0,6*	475	0,07	0,05	0,09	0,06	0,10	0,07	0,12	0,09	0,14	0,10	●		○		
N.2.2	0,9	0,7*	0,6*	380	0,08	0,05	0,09	0,06	0,10	0,07	0,13	0,09	0,15	0,10	●		○		
N.2.3	0,9	0,7*	0,6*	275	0,08	0,06	0,10	0,07	0,11	0,08	0,14	0,10	0,16	0,11	●		○		
N.3.1	0,9	0,7*	0,6*	340	0,03	0,02	0,04	0,03	0,05	0,03	0,06	0,04	0,07	0,05	●		○		
N.3.2	0,9	0,7*	0,6*	205	0,06	0,04	0,07	0,05	0,08	0,05	0,09	0,07	0,11	0,07	●		○		
N.3.3	0,9	0,7*	0,6*	275	0,06	0,04	0,07	0,05	0,08	0,05	0,09	0,07	0,11	0,07	●		○		
N.4.1																			
S.1.1																			
S.1.2																			
S.2.1																			
S.2.2																			
S.2.3																			
S.3.1																			
S.3.2																			
S.3.3																			
H.1.1																			
H.1.2																			
H.1.3																			
H.1.4																			
H.2.1																			
H.3.1																			
O.1.1																			
O.1.2																			
O.2.1																			
O.2.2																			
O.3.1																			

* = Effeuillage et rainurage trochoïdal

 Lors d'applications instables, les paramètres de coupe doivent être réduits.

Conditions de coupe – MultiChange – Fraises grande avance

Index	52 864 ...																							
	Facteurs de correction f_z et v_c pour P.O mi-long		Facteurs de correction f_z et v_c pour P.O longs		Facteurs de correction f_z et v_c pour P.O extra-long		$a_p \times DCX$	Conditions de coupe pour porte-outils extra-courts et courts														Emulsion	Air	MMS
								$\emptyset DCX$ (mm) =																
								8	10	12	16	20	$a_e \times DCX$ =	0,1–0,2	0,3–0,4	0,6–1,0	0,1–0,2	0,3–0,4	0,6–1,0	0,1–0,2	0,3–0,4	0,6–1,0		
													f_z (mm/dt)	0,1–0,2	0,3–0,4	0,6–1,0	0,1–0,2	0,3–0,4	0,6–1,0	0,1–0,2	0,3–0,4	0,6–1,0		
P.1.1	0,9	0,7*	0,6*	175	0,05	0,44	0,31	0,20	0,53	0,37	0,24	0,61	0,43	0,27	0,74	0,52	0,33	0,85	0,60	0,38	○	●	○	
P.1.2	0,9	0,7*	0,6*	165	0,05	0,42	0,30	0,19	0,50	0,36	0,22	0,58	0,41	0,26	0,71	0,50	0,32	0,81	0,57	0,36	○	●	○	
P.1.3	0,9	0,7*	0,6*	160	0,05	0,40	0,28	0,18	0,48	0,34	0,21	0,55	0,39	0,25	0,67	0,48	0,30	0,77	0,54	0,34	○	●	○	
P.1.4	0,9	0,7*	0,6*	150	0,05	0,38	0,27	0,17	0,45	0,32	0,20	0,52	0,37	0,23	0,64	0,45	0,29	0,73	0,52	0,33	○	●	○	
P.1.5	0,9	0,7*	0,6*	145	0,05	0,36	0,25	0,16	0,43	0,30	0,19	0,50	0,35	0,22	0,60	0,43	0,27	0,69	0,49	0,31	○	●	○	
P.2.1	0,9	0,7*	0,6*	160	0,05	0,44	0,31	0,20	0,53	0,37	0,24	0,61	0,43	0,27	0,74	0,52	0,33	0,85	0,60	0,38	○	●	○	
P.2.2	0,9	0,7*	0,6*	145	0,05	0,40	0,28	0,18	0,48	0,34	0,21	0,55	0,39	0,25	0,67	0,48	0,30	0,77	0,54	0,34	○	●	○	
P.2.3	0,9	0,7*	0,6*	130	0,05	0,36	0,25	0,16	0,43	0,30	0,19	0,50	0,35	0,22	0,60	0,43	0,27	0,69	0,49	0,31	○	●	○	
P.2.4	0,9	0,7*	0,6*	100	0,05	0,33	0,24	0,15	0,40	0,28	0,18	0,46	0,32	0,21	0,56	0,40	0,25	0,64	0,45	0,29	○	●	○	
P.3.1	0,9	0,7*	0,6*	95	0,05	0,39	0,27	0,17	0,46	0,33	0,21	0,53	0,38	0,24	0,65	0,46	0,29	0,74	0,53	0,33	●		○	
P.3.2	0,9	0,7*	0,6*	85	0,05	0,37	0,26	0,16	0,44	0,31	0,20	0,50	0,36	0,23	0,62	0,44	0,28	0,70	0,50	0,32	●		○	
P.3.3	0,9	0,7*	0,6*	80	0,05	0,35	0,24	0,15	0,41	0,29	0,19	0,48	0,34	0,21	0,58	0,41	0,26	0,67	0,47	0,30	●		○	
P.4.1	0,9	0,7*	0,6*	65	0,05	0,27	0,19	0,12	0,32	0,23	0,14	0,37	0,26	0,16	0,45	0,32	0,20	0,51	0,36	0,23	●		○	
P.4.2	0,9	0,7*	0,6*	65	0,05	0,27	0,19	0,12	0,32	0,23	0,14	0,37	0,26	0,16	0,45	0,32	0,20	0,51	0,36	0,23	●		○	
M.1.1	0,9	0,7*	0,6*	45	0,05	0,23	0,16	0,10	0,28	0,20	0,12	0,32	0,23	0,14	0,39	0,28	0,18	0,45	0,32	0,20	●			
M.2.1	0,9	0,7*	0,6*	40	0,05	0,19	0,14	0,09	0,23	0,16	0,10	0,27	0,19	0,12	0,32	0,23	0,15	0,37	0,26	0,17	●			
M.3.1	0,9	0,7*	0,6*	45	0,05	0,20	0,14	0,09	0,24	0,17	0,11	0,28	0,19	0,12	0,34	0,24	0,15	0,38	0,27	0,17	●			
K.1.1	0,9	0,7*	0,6*	175	0,05	0,67	0,47	0,30	0,80	0,56	0,36	0,92	0,65	0,41	1,12	0,79	0,50	1,28	0,91	0,57	●			
K.1.2	0,9	0,7*	0,6*	130	0,05	0,47	0,33	0,21	0,56	0,39	0,25	0,64	0,45	0,29	0,78	0,55	0,35	0,90	0,63	0,40	●			
K.2.1	0,9	0,7*	0,6*	160	0,05	0,57	0,40	0,25	0,68	0,48	0,30	0,78	0,55	0,35	0,95	0,67	0,43	1,09	0,77	0,49	●			
K.2.2	0,9	0,7*	0,6*	130	0,05	0,47	0,33	0,21	0,56	0,39	0,25	0,64	0,45	0,29	0,78	0,55	0,35	0,90	0,63	0,40	●			
K.3.1	0,9	0,7*	0,6*	115	0,05	0,47	0,33	0,21	0,56	0,39	0,25	0,64	0,45	0,29	0,78	0,55	0,35	0,90	0,63	0,40	●			
K.3.2	0,9	0,7*	0,6*	110	0,05	0,40	0,28	0,18	0,48	0,34	0,21	0,55	0,39	0,25	0,67	0,48	0,30	0,77	0,54	0,34	●			
N.1.1																								
N.1.2																								
N.2.1																								
N.2.2																								
N.2.3																								
N.3.1																								
N.3.2																								
N.3.3																								
N.4.1																								
S.1.1																								
S.1.2																								
S.2.1																								
S.2.2																								
S.2.3																								
S.3.1																								
S.3.2																								
S.3.3																								
H.1.1																								
H.1.2																								
H.1.3																								
H.1.4																								
H.2.1																								
H.3.1																								
O.1.1																								
O.1.2																								
O.2.1																								
O.2.2																								
O.3.1																								

* = Effeuillage et rainurage trochoïdal



Lors d'applications instables, les paramètres de coupe doivent être réduits.

Conditions de coupe – MultiChange – Fraises de finition

Index	52 863 ...									● 1er choix		
	Conditions de coupe pour porte-outils extra-courts et courts									○ Utilisation possible		
	$\emptyset DC (\text{mm}) =$					$a_p \text{ max.} =$				Emulsion	Air	MMS
	8	10	12	16	20	7,5	9,4	11,3	15,0			
$a_s \times DC =$ 0,1–0,2 $f_z (\text{mm}/\text{dt})$												
P.1.1	0,9	0,7*	0,6*	405	0,04	0,05	0,06	0,08	0,09	○	●	○
P.1.2	0,9	0,7*	0,6*	385	0,04	0,05	0,06	0,07	0,08	○	●	○
P.1.3	0,9	0,7*	0,6*	365	0,04	0,05	0,06	0,07	0,08	○	●	○
P.1.4	0,9	0,7*	0,6*	350	0,04	0,05	0,05	0,06	0,07	○	●	○
P.1.5	0,9	0,7*	0,6*	330	0,04	0,04	0,05	0,06	0,07	○	●	○
P.2.1	0,9	0,7*	0,6*	365	0,04	0,05	0,06	0,08	0,09	○	●	○
P.2.2	0,9	0,7*	0,6*	335	0,04	0,05	0,06	0,07	0,08	○	●	○
P.2.3	0,9	0,7*	0,6*	300	0,04	0,04	0,05	0,06	0,07	○	●	○
P.2.4	0,9	0,7*	0,6*	235	0,03	0,04	0,05	0,06	0,06	○	●	○
P.3.1	0,9	0,7*	0,6*	215	0,04	0,05	0,05	0,07	0,08	●		○
P.3.2	0,9	0,7*	0,6*	200	0,04	0,04	0,05	0,06	0,07	●		○
P.3.3	0,9	0,7*	0,6*	185	0,04	0,04	0,05	0,06	0,07	●		○
P.4.1	0,9	0,7*	0,6*	150	0,03	0,03	0,04	0,05	0,05	●		○
P.4.2	0,9	0,7*	0,6*	150	0,03	0,03	0,04	0,05	0,05	●		○
M.1.1	0,9	0,7*	0,6*	100	0,02	0,03	0,03	0,04	0,05	●		
M.2.1	0,9	0,7*	0,6*	95	0,02	0,02	0,03	0,03	0,04	●		
M.3.1	0,9	0,7*	0,6*	100	0,02	0,02	0,03	0,03	0,04	●		
K.1.1	0,9	0,7*	0,6*	400	0,07	0,08	0,09	0,11	0,13	●		
K.1.2	0,9	0,7*	0,6*	300	0,05	0,06	0,07	0,08	0,09	●		
K.2.1	0,9	0,7*	0,6*	365	0,06	0,07	0,08	0,10	0,11	●		
K.2.2	0,9	0,7*	0,6*	300	0,05	0,06	0,07	0,08	0,09	●		
K.3.1	0,9	0,7*	0,6*	265	0,05	0,06	0,07	0,08	0,09	●		
K.3.2	0,9	0,7*	0,6*	250	0,04	0,05	0,06	0,07	0,08	●		
N.1.1												
N.1.2												
N.2.1												
N.2.2												
N.2.3												
N.3.1												
N.3.2												
N.3.3												
N.4.1												
S.1.1												
S.1.2												
S.2.1												
S.2.2												
S.2.3												
S.3.1												
S.3.2												
S.3.3												
H.1.1												
H.1.2												
H.1.3												
H.1.4												
H.2.1												
H.3.1												
O.1.1												
O.1.2												
O.2.1												
O.2.2												
O.3.1												

* = Effeuillage et rainurage trochoïdal



Lors d'applications instables, les paramètres de coupe doivent être réduits.

Conditions de coupe – MultiChange – Fraises toriques ou hémisphériques

Index	52 865 ..., 52 866 ...																		Emulsion	Air	MMS																								
	Conditions de coupe pour porte-outils extra-courts et courts																																												
	$\varnothing DC (\text{mm}) =$																																												
	8 10 12 16 20																																												
	$a_p \text{max.} =$																																												
	4,8 1,6 0,8 5,6 2,0 1,0 6,8 2,4 1,2 9,0 3,2 1,6 11,3 4,0 2,0																																												
$a_e \times DC =$																																													
$f_z (\text{mm/dt})$																																													
P.1.1	0,9	0,7*	0,6*	110	0,027	0,025	0,018	0,032	0,030	0,022	0,037	0,034	0,025	0,045	0,042	0,031	0,051	0,048	0,035	○	●	○																							
P.1.2	0,9	0,7*	0,6*	105	0,025	0,024	0,017	0,030	0,028	0,021	0,035	0,032	0,024	0,043	0,040	0,029	0,049	0,045	0,033	○	●	○																							
P.1.3	0,9	0,7*	0,6*	100	0,024	0,022	0,017	0,029	0,027	0,020	0,033	0,031	0,023	0,041	0,038	0,028	0,046	0,043	0,032	○	●	○																							
P.1.4	0,9	0,7*	0,6*	95	0,023	0,021	0,016	0,027	0,026	0,019	0,032	0,029	0,022	0,039	0,036	0,026	0,044	0,041	0,030	○	●	○																							
P.1.5	0,9	0,7*	0,6*	90	0,022	0,020	0,015	0,026	0,024	0,018	0,030	0,028	0,020	0,037	0,034	0,025	0,042	0,039	0,029	○	●	○																							
P.2.1	0,9	0,7*	0,6*	100	0,027	0,025	0,018	0,032	0,030	0,022	0,037	0,034	0,025	0,045	0,042	0,031	0,051	0,048	0,035	○	●	○																							
P.2.2	0,9	0,7*	0,6*	90	0,024	0,022	0,017	0,029	0,027	0,020	0,033	0,031	0,023	0,041	0,038	0,028	0,046	0,043	0,032	○	●	○																							
P.2.3	0,9	0,7*	0,6*	80	0,022	0,020	0,015	0,026	0,024	0,018	0,030	0,028	0,020	0,037	0,034	0,025	0,042	0,039	0,029	○	●	○																							
P.2.4	0,9	0,7*	0,6*	65	0,020	0,019	0,014	0,024	0,022	0,016	0,028	0,026	0,019	0,034	0,031	0,023	0,039	0,036	0,026	○	●	○																							
P.3.1	0,9	0,7*	0,6*	60	0,023	0,022	0,016	0,028	0,026	0,019	0,032	0,030	0,022	0,039	0,037	0,027	0,045	0,042	0,031	●	○	○																							
P.3.2	0,9	0,7*	0,6*	55	0,022	0,021	0,015	0,026	0,025	0,018	0,030	0,028	0,021	0,037	0,035	0,025	0,043	0,040	0,029	●	○	○																							
P.3.3	0,9	0,7*	0,6*	50	0,021	0,019	0,014	0,025	0,023	0,017	0,029	0,027	0,020	0,035	0,033	0,024	0,040	0,037	0,028	●	○	○																							
P.4.1	0,9	0,7*	0,6*	40	0,016	0,015	0,011	0,019	0,018	0,013	0,022	0,021	0,015	0,027	0,025	0,019	0,031	0,029	0,021	●	○	○																							
P.4.2	0,9	0,7*	0,6*	40	0,016	0,015	0,011	0,019	0,018	0,013	0,022	0,021	0,015	0,027	0,025	0,019	0,031	0,029	0,021	●	○	○																							
M.1.1	0,9	0,7*	0,6*	27	0,014	0,013	0,010	0,017	0,016	0,012	0,019	0,018	0,013	0,024	0,022	0,016	0,027	0,025	0,019	●																									
M.2.1	0,9	0,7*	0,6*	25	0,012	0,011	0,008	0,014	0,013	0,010	0,016	0,015	0,011	0,020	0,018	0,013	0,022	0,021	0,015	●																									
M.3.1	0,9	0,7*	0,6*	27	0,012	0,011	0,008	0,014	0,013	0,010	0,017	0,015	0,011	0,020	0,019	0,014	0,023	0,022	0,016	●																									
K.1.1	0,9	0,7*	0,6*	110	0,040	0,037	0,028	0,048	0,045	0,033	0,055	0,052	0,038	0,068	0,063	0,046	0,077	0,072	0,053	●																									
K.1.2	0,9	0,7*	0,6*	80	0,028	0,026	0,019	0,034	0,031	0,023	0,039	0,036	0,027	0,047	0,044	0,032	0,054	0,050	0,037	●																									
K.2.1	0,9	0,7*	0,6*	100	0,034	0,032	0,023	0,041	0,038	0,028	0,047	0,044	0,032	0,057	0,054	0,039	0,066	0,061	0,045	●																									
K.2.2	0,9	0,7*	0,6*	80	0,028	0,026	0,019	0,034	0,031	0,023	0,039	0,036	0,027	0,047	0,044	0,032	0,054	0,050	0,037	●																									
K.3.1	0,9	0,7*	0,6*	70	0,028	0,026	0,019	0,034	0,031	0,023	0,039	0,036	0,027	0,047	0,044	0,032	0,054	0,050	0,037	●																									
K.3.2	0,9	0,7*	0,6*	70	0,024	0,022	0,017	0,029	0,027	0,020	0,033	0,031	0,023	0,041	0,038	0,028	0,046	0,043	0,032	●																									
N.1.1	0,9	0,7*	0,6*	420	0,045	0,042	0,031	0,054	0,050	0,037	0,062	0,058	0,042	0,076	0,071	0,052	0,087	0,081	0,059	●	○	○																							
N.1.2	0,9	0,7*	0,6*	380	0,041	0,038	0,028	0,049	0,046	0,034	0,056	0,053	0,039	0,069	0,064	0,047	0,079	0,073	0,054	●	○	○																							
N.2.1	0,9	0,7*	0,6*	255	0,043	0,040	0,029	0,052	0,048	0,035	0,059	0,055	0,041	0,072	0,067	0,050	0,083	0,077	0,057	●	○	○																							
N.2.2	0,9	0,7*	0,6*	205	0,045	0,042	0,031	0,054	0,050	0,037	0,062	0,058	0,042	0,076	0,071	0,052	0,087	0,081	0,059	●	○	○																							
N.2.3	0,9	0,7*	0,6*	145	0,049	0,046	0,034	0,059	0,055	0,040	0,068	0,063	0,046	0,083	0,077	0,057	0,095	0,088	0,065	●	○	○																							
N.3.1	0,9	0,7*	0,6*	185	0,020	0,019	0,014	0,025	0,023	0,017	0,028	0,026	0,019	0,034	0,032	0,024	0,039	0,037	0,027	●	○	○																							
N.3.2	0,9	0,7*	0,6*	110	0,033	0,031	0,022	0,039	0,037	0,027	0,045	0,042	0,031	0,055	0,051	0,038	0,063	0,059	0,043	●	○	○																							
N.3.3	0,9	0,7*	0,6*	145	0,033	0,031	0,022	0,039	0,037	0,027	0,045	0,042	0,031	0,055	0,051	0,038	0,063	0,059	0,043	●	○	○																							
N.4.1																																													
S.1.1																																													
S.1.2																																													
S.2.1																																													
S.2.2																																													
S.2.3																																													
S.3.1																																													
S.3.2																																													
S.3.3																																													
H.1.1																																													
H.1.2																																													
H.1.3																																													
H.1.4																																													
H.2.1																																													
H.3.1																																													
O.1.1																																													
O.1.2																																													
O.2.1																																													
O.2.2																																													
O.3.1																																													

* = Effeuillage et rainurage trochoïdal

 Lors d'applications instables, les paramètres de coupe doivent être réduits.

Conditions de coupe – MultiChange – Fraises toriques ou hémisphériques – Mode HSC

Index	52 865 ... , 52 866 ...									● 1er choix				
	Conditions de coupe pour porte-outils extra-courts et courts									○ Utilisation possible				
	\emptyset_{DC} (mm) =									Emulsion	Air	MMS		
	8	10	12	16	20	$a_e/a_p =$	0,04	0,05	0,06	0,08	0,10			
						f_z (mm/dt)								
P.1.1	0,9	0,7*	0,6*	385	0,11	0,11	0,11	0,11	0,11	0,11	0,11	○	●	○
P.1.2	0,9	0,7*	0,6*	365	0,10	0,11	0,11	0,11	0,11	0,11	0,11	○	●	○
P.1.3	0,9	0,7*	0,6*	350	0,10	0,10	0,10	0,10	0,10	0,10	0,10	○	●	○
P.1.4	0,9	0,7*	0,6*	330	0,09	0,10	0,10	0,10	0,10	0,10	0,10	○	●	○
P.1.5	0,9	0,7*	0,6*	315	0,09	0,09	0,09	0,09	0,09	0,09	0,09	○	●	○
P.2.1	0,9	0,7*	0,6*	350	0,11	0,11	0,11	0,11	0,11	0,11	0,11	○	●	○
P.2.2	0,9	0,7*	0,6*	315	0,10	0,10	0,10	0,10	0,10	0,10	0,10	○	●	○
P.2.3	0,9	0,7*	0,6*	285	0,09	0,09	0,09	0,09	0,09	0,09	0,09	○	●	○
P.2.4	0,9	0,7*	0,6*	220	0,08	0,08	0,09	0,09	0,09	0,08	0,08	○	●	○
P.3.1	0,9	0,7*	0,6*	205	0,09	0,10	0,10	0,10	0,10	0,10	0,10	●		○
P.3.2	0,9	0,7*	0,6*	190	0,09	0,09	0,09	0,09	0,09	0,09	0,09	●		○
P.3.3	0,9	0,7*	0,6*	175	0,08	0,09	0,09	0,09	0,09	0,09	0,09	●		○
P.4.1	0,9	0,7*	0,6*	140	0,07	0,07	0,07	0,07	0,07	0,07	0,07	●		○
P.4.2	0,9	0,7*	0,6*	140	0,07	0,07	0,07	0,07	0,07	0,07	0,07	●		○
M.1.1	0,9	0,7*	0,6*	95	0,06	0,06	0,06	0,06	0,06	0,06	0,06	●		
M.2.1	0,9	0,7*	0,6*	90	0,05	0,05	0,05	0,05	0,05	0,05	0,05	●		
M.3.1	0,9	0,7*	0,6*	95	0,05	0,05	0,05	0,05	0,05	0,05	0,05	●		
K.1.1	0,9	0,7*	0,6*	380	0,16	0,17	0,17	0,17	0,17	0,17	0,17	●		
K.1.2	0,9	0,7*	0,6*	285	0,11	0,12	0,12	0,12	0,12	0,12	0,12	●		
K.2.1	0,9	0,7*	0,6*	350	0,14	0,14	0,14	0,14	0,14	0,14	0,14	●		
K.2.2	0,9	0,7*	0,6*	285	0,11	0,12	0,12	0,12	0,12	0,12	0,12	●		
K.3.1	0,9	0,7*	0,6*	255	0,11	0,12	0,12	0,12	0,12	0,12	0,12	●		
K.3.2	0,9	0,7*	0,6*	235	0,10	0,10	0,10	0,10	0,10	0,10	0,10	●		
N.1.1	0,9	0,7*	0,6*	840	0,18	0,19	0,19	0,19	0,19	0,19	0,19	●		○
N.1.2	0,9	0,7*	0,6*	765	0,17	0,17	0,17	0,17	0,17	0,17	0,17	●		○
N.2.1	0,9	0,7*	0,6*	510	0,17	0,18	0,18	0,18	0,18	0,18	0,18	●		○
N.2.2	0,9	0,7*	0,6*	405	0,18	0,19	0,19	0,19	0,19	0,19	0,19	●		○
N.2.3	0,9	0,7*	0,6*	290	0,20	0,21	0,21	0,21	0,21	0,20	0,20	●		○
N.3.1	0,9	0,7*	0,6*	365	0,08	0,09	0,09	0,09	0,09	0,09	0,09	●		○
N.3.2	0,9	0,7*	0,6*	220	0,13	0,14	0,14	0,14	0,14	0,14	0,14	●		○
N.3.3	0,9	0,7*	0,6*	290	0,13	0,14	0,14	0,14	0,14	0,14	0,14	●		○
N.4.1														
S.1.1														
S.1.2														
S.2.1														
S.2.2														
S.2.3														
S.3.1														
S.3.2														
S.3.3														
H.1.1														
H.1.2														
H.1.3														
H.1.4														
H.2.1														
H.3.1														
O.1.1				150	0,083	0,086	0,087	0,087	0,085	●				
O.1.2				100	0,083	0,086	0,087	0,087	0,085	●				
O.2.1														
O.2.2														
O.3.1														

* = Effeuillage et rainurage trochoïdal



Lors d'applications instables, les paramètres de coupe doivent être réduits.

Conditions de coupe – MultiChange – Fraises toriques

Index	52 870 ...												Emulsion	Air	MMS			
	Conditions de coupe pour porte-outils extra-courts et courts																	
	$\emptyset_{DC} (\text{mm}) =$																	
	$a_p \text{ max.} =$																	
		10		12		16		20										
		5,0		3,0		6,0		3,6		8,0		4,8		10,0		6,0		
		$a_e \times DC$																
		$f_z (\text{mm}/dt)$																
P.1.1																		
P.1.2																		
P.1.3																		
P.1.4																		
P.1.5																		
P.2.1																		
P.2.2																		
P.2.3																		
P.2.4																		
P.3.1																		
P.3.2																		
P.3.3																		
P.4.1																		
P.4.2																		
M.1.1																		
M.2.1																		
M.3.1																		
K.1.1																		
K.1.2																		
K.2.1																		
K.2.2																		
K.3.1																		
K.3.2																		
N.1.1	0,9	0,7	0,6	840	0,187	0,216	0,215	0,248	0,263	0,303	0,301	0,346	●					
N.1.2	0,9	0,7	0,6	765	0,170	0,196	0,196	0,225	0,239	0,275	0,273	0,315	●					
N.2.1	0,9	0,7	0,6	510	0,179	0,206	0,206	0,237	0,251	0,289	0,287	0,331	●					
N.2.2	0,9	0,7	0,6	405	0,187	0,216	0,215	0,248	0,263	0,303	0,301	0,346	●					
N.2.3	0,9	0,7	0,6	295	0,204	0,235	0,235	0,271	0,287	0,331	0,328	0,378	●					
N.3.1																		
N.3.2																		
N.3.3																		
N.4.1																		
S.1.1																		
S.1.2																		
S.2.1																		
S.2.2																		
S.2.3																		
S.3.1																		
S.3.2																		
S.3.3																		
H.1.1																		
H.1.2																		
H.1.3																		
H.1.4																		
H.2.1																		
H.3.1																		
O.1.1																		
O.1.2																		
O.2.1																		
O.2.2																		
O.3.1																		



Lors d'applications instables, les paramètres de coupe doivent être réduits.

Conditions de coupe – MultiChange – Fraises à rayons concaves

Index	v _c (m/min)	52 869 ...												Emulsion	Air	MMS			
		Ø DCX (mm) =																	
		8		10		12		16		20									
		0,5	1,0	1,5	2,0	2,5	3,0	3,5	4,0	4,5	5,0	5,0	6,0						
P.1.1	150	0,03	0,03	0,04	0,03	0,05	0,05	0,04	0,07	0,07	0,06	0,08	0,08	○	●	○			
P.1.2	170	0,03	0,03	0,04	0,04	0,06	0,05	0,05	0,08	0,08	0,07	0,09	0,09	○	●	○			
P.1.3	130	0,03	0,04	0,03	0,05	0,05	0,04	0,04	0,08	0,07	0,07	0,09	0,08	○	●	○			
P.1.4	120	0,03	0,04	0,03	0,05	0,05	0,04	0,04	0,08	0,07	0,07	0,09	0,08	○	●	○			
P.1.5	170	0,03	0,03	0,04	0,04	0,06	0,05	0,05	0,08	0,08	0,07	0,09	0,09	○	●	○			
P.2.1	130	0,03	0,02	0,03	0,03	0,05	0,04	0,04	0,06	0,06	0,05	0,07	0,07	○	●	○			
P.2.2	130	0,03	0,02	0,03	0,03	0,05	0,04	0,04	0,06	0,06	0,05	0,07	0,07	○	●	○			
P.2.3	120	0,03	0,03	0,04	0,03	0,05	0,05	0,04	0,08	0,07	0,07	0,09	0,08	○	●	○			
P.2.4	120	0,03	0,03	0,04	0,03	0,05	0,05	0,04	0,08	0,07	0,07	0,09	0,08	○	●	○			
P.3.1	80	0,02	0,02	0,03	0,02	0,03	0,03	0,03	0,05	0,05	0,04	0,06	0,06	○	●	○			
P.3.2	70	0,02	0,02	0,02	0,02	0,03	0,03	0,02	0,04	0,04	0,04	0,05	0,05	○	●	○			
P.3.3	70	0,02	0,02	0,02	0,02	0,03	0,03	0,02	0,04	0,04	0,04	0,05	0,05	○	●	○			
P.4.1	70	0,02	0,02	0,02	0,02	0,03	0,03	0,02	0,04	0,04	0,04	0,05	0,05	○	●	○			
P.4.2	70	0,02	0,02	0,02	0,02	0,03	0,03	0,02	0,04	0,04	0,04	0,05	0,05	○	●	○			
M.1.1	40	0,02	0,02	0,02	0,02	0,03	0,03	0,02	0,04	0,04	0,04	0,05	0,05	●					
M.2.1	40	0,02	0,02	0,02	0,02	0,03	0,03	0,02	0,04	0,04	0,04	0,05	0,05	●					
M.3.1	40	0,02	0,02	0,02	0,02	0,03	0,03	0,02	0,04	0,04	0,04	0,05	0,05	●					
K.1.1	130	0,03	0,03	0,04	0,04	0,06	0,05	0,05	0,08	0,08	0,07	0,09	0,09		●				
K.1.2	100	0,03	0,03	0,04	0,03	0,05	0,05	0,04	0,07	0,07	0,06	0,08	0,08		●				
K.2.1	120	0,03	0,03	0,04	0,03	0,05	0,05	0,04	0,08	0,07	0,07	0,09	0,08		●				
K.2.2	100	0,03	0,02	0,03	0,03	0,05	0,04	0,04	0,06	0,06	0,05	0,07	0,07		●				
K.3.1	100	0,03	0,03	0,04	0,03	0,05	0,05	0,04	0,08	0,07	0,07	0,09	0,08		●				
K.3.2	90	0,03	0,02	0,03	0,03	0,05	0,04	0,04	0,06	0,06	0,05	0,07	0,07		●				
N.1.1	430	0,05	0,04	0,06	0,05	0,09	0,08	0,07	0,12	0,11	0,1	0,14	0,13	●		○			
N.1.2	380	0,05	0,04	0,06	0,05	0,09	0,08	0,07	0,12	0,11	0,1	0,14	0,13	●		○			
N.2.1	260	0,05	0,04	0,05	0,05	0,08	0,07	0,06	0,11	0,1	0,09	0,12	0,12	●		○			
N.2.2	320	0,05	0,04	0,06	0,05	0,08	0,07	0,07	0,11	0,11	0,1	0,13	0,12	●		○			
N.2.3	130	0,04	0,03	0,05	0,04	0,07	0,06	0,05	0,1	0,09	0,08	0,11	0,1	●		○			
N.3.1	190	0,03	0,03	0,04	0,04	0,06	0,05	0,05	0,08	0,08	0,07	0,09	0,09	●		○			
N.3.2	170	0,02	0,02	0,02	0,02	0,03	0,03	0,03	0,04	0,04	0,04	0,05	0,05	●		○			
N.3.3	140	0,02	0,02	0,02	0,02	0,03	0,03	0,02	0,04	0,04	0,04	0,05	0,05	●		○			
N.4.1																			
S.1.1																			
S.1.2																			
S.2.1																			
S.2.2																			
S.2.3																			
S.3.1																			
S.3.2																			
S.3.3																			
H.1.1																			
H.1.2																			
H.1.3																			
H.1.4																			
H.2.1																			
H.3.1																			
O.1.1																			
O.1.2																			
O.2.1																			
O.2.2																			
O.3.1																			

 Lors d'applications instables, les paramètres de coupe doivent être réduits.

Conditions de coupe – MultiChange – Fraises à chanfreiner

Index	Facteurs de correction f_z et v_c pour P/O mi-longs	Facteurs de correction f_z et v_c pour P/O longs	Facteurs de correction f_z et v_c pour P/O extra-longs	v_c (m/min)	52 867 ...				52 868 ...				● 1er choix			
					Conditions de coupe pour porte-outils extra-courts et courts											
					\emptyset DCX (mm) =				\emptyset DCX (mm) =							
					10	12	16	20	10	12	16	20				
												a_p max. (mm) =				
P.1.1	0,9	0,7	0,6	200	0,06	0,07	0,08	0,09	0,06	0,07	0,08	0,09	5,0	6,0	4,8	6,0
P.1.2	0,9	0,7	0,6	190	0,06	0,06	0,08	0,09	0,06	0,06	0,08	0,09	5,0	6,0	4,8	6,0
P.1.3	0,9	0,7	0,6	185	0,05	0,06	0,07	0,08	0,05	0,06	0,07	0,08	5,0	6,0	4,8	6,0
P.1.4	0,9	0,7	0,6	175	0,05	0,06	0,07	0,08	0,05	0,06	0,07	0,08	5,0	6,0	4,8	6,0
P.1.5	0,9	0,7	0,6	165	0,05	0,05	0,07	0,08	0,05	0,05	0,07	0,08	5,0	6,0	4,8	6,0
P.2.1	0,9	0,7	0,6	185	0,06	0,07	0,08	0,09	0,06	0,07	0,08	0,09	5,0	6,0	4,8	6,0
P.2.2	0,9	0,7	0,6	165	0,05	0,06	0,07	0,08	0,05	0,06	0,07	0,08	5,0	6,0	4,8	6,0
P.2.3	0,9	0,7	0,6	150	0,05	0,05	0,07	0,08	0,05	0,05	0,07	0,08	5,0	6,0	4,8	6,0
P.2.4	0,9	0,7	0,6	115	0,04	0,05	0,06	0,07	0,04	0,05	0,06	0,07	5,0	6,0	4,8	6,0
P.3.1	0,9	0,7	0,6	110	0,05	0,06	0,07	0,08	0,05	0,06	0,07	0,08	5,0	6,0	4,8	6,0
P.3.2	0,9	0,7	0,6	100	0,05	0,06	0,07	0,08	0,05	0,06	0,07	0,08	5,0	6,0	4,8	6,0
P.3.3	0,9	0,7	0,6	90	0,05	0,05	0,06	0,07	0,05	0,05	0,06	0,07	5,0	6,0	4,8	6,0
P.4.1	0,9	0,7	0,6	75	0,04	0,04	0,05	0,06	0,04	0,04	0,05	0,06	5,0	6,0	4,8	6,0
P.4.2	0,9	0,7	0,6	75	0,04	0,04	0,05	0,06	0,04	0,04	0,05	0,06	5,0	6,0	4,8	6,0
M.1.1	0,9	0,7	0,6	50	0,03	0,04	0,04	0,05	0,03	0,04	0,04	0,05	5,0	6,0	4,8	6,0
M.2.1	0,9	0,7	0,6	45	0,03	0,03	0,04	0,04	0,03	0,03	0,04	0,04	5,0	6,0	4,8	6,0
M.3.1	0,9	0,7	0,6	50	0,03	0,03	0,04	0,04	0,03	0,03	0,04	0,04	5,0	6,0	4,8	6,0
K.1.1	0,9	0,7	0,6	200	0,09	0,10	0,12	0,14	0,09	0,10	0,12	0,14	5,0	6,0	4,8	6,0
K.1.2	0,9	0,7	0,6	150	0,06	0,07	0,09	0,10	0,06	0,07	0,09	0,10	5,0	6,0	4,8	6,0
K.2.1	0,9	0,7	0,6	185	0,07	0,09	0,11	0,12	0,07	0,09	0,11	0,12	5,0	6,0	4,8	6,0
K.2.2	0,9	0,7	0,6	150	0,06	0,07	0,09	0,10	0,06	0,07	0,09	0,10	5,0	6,0	4,8	6,0
K.3.1	0,9	0,7	0,6	135	0,06	0,07	0,09	0,10	0,06	0,07	0,09	0,10	5,0	6,0	4,8	6,0
K.3.2	0,9	0,7	0,6	125	0,05	0,06	0,07	0,08	0,05	0,06	0,07	0,08	5,0	6,0	4,8	6,0
N.1.1	0,9	0,7	0,6	550	0,10	0,11	0,14	0,16	0,10	0,11	0,14	0,16	5,0	6,0	4,8	6,0
N.1.2	0,9	0,7	0,6	500	0,09	0,10	0,13	0,14	0,09	0,10	0,13	0,14	5,0	6,0	4,8	6,0
N.2.1	0,9	0,7	0,6	330	0,09	0,11	0,13	0,15	0,09	0,11	0,13	0,15	5,0	6,0	4,8	6,0
N.2.2	0,9	0,7	0,6	265	0,10	0,11	0,14	0,16	0,10	0,11	0,14	0,16	5,0	6,0	4,8	6,0
N.2.3	0,9	0,7	0,6	190	0,11	0,12	0,15	0,17	0,11	0,12	0,15	0,17	5,0	6,0	4,8	6,0
N.3.1	0,9	0,7	0,6	240	0,04	0,05	0,06	0,07	0,04	0,05	0,06	0,07	5,0	6,0	4,8	6,0
N.3.2	0,9	0,7	0,6	145	0,07	0,08	0,10	0,12	0,07	0,08	0,10	0,12	5,0	6,0	4,8	6,0
N.3.3	0,9	0,7	0,6	190	0,07	0,08	0,10	0,12	0,07	0,08	0,10	0,12	5,0	6,0	4,8	6,0
N.4.1																
S.1.1																
S.1.2																
S.2.1																
S.2.2																
S.2.3																
S.3.1																
S.3.2																
S.3.3																
H.1.1																
H.1.2																
H.1.3																
H.1.4																
H.2.1																
H.3.1																
O.1.1																
O.1.2																
O.2.1																
O.2.2																
O.3.1																

 Lors d'applications instables, les paramètres de coupe doivent être réduits

Conditions de coupe – Fraises à rainurer en T

Index	v _c (m/min)	54 065 ...												● 1er choix		○ Utilisation possible	
		Ø DC (mm) =												Emulsion	Air	MMS	
		11,0	12,5	16,0	18,0	19,0	21,0	22,0	25,0	28,0	32,0	36,0	40,0				
P.1.1	72	0,015	0,018	0,021	0,025	0,028	0,030	0,030	0,030	0,035	0,040	0,045	0,050	●			
P.1.2	68	0,015	0,018	0,021	0,025	0,028	0,030	0,030	0,030	0,035	0,040	0,045	0,050	●			
P.1.3	68	0,015	0,018	0,021	0,025	0,028	0,030	0,030	0,030	0,035	0,040	0,045	0,050	●			
P.1.4	64	0,015	0,018	0,021	0,025	0,028	0,030	0,030	0,030	0,035	0,040	0,045	0,050	●			
P.1.5	64	0,015	0,018	0,021	0,025	0,028	0,030	0,030	0,030	0,035	0,040	0,045	0,050	●			
P.2.1	64	0,015	0,018	0,021	0,025	0,028	0,030	0,030	0,030	0,035	0,040	0,045	0,050	●			
P.2.2	64	0,015	0,018	0,021	0,025	0,028	0,030	0,030	0,030	0,035	0,040	0,045	0,050	●			
P.2.3	56	0,015	0,018	0,021	0,025	0,028	0,030	0,030	0,030	0,035	0,040	0,045	0,050	●			
P.2.4	56	0,015	0,018	0,021	0,025	0,028	0,030	0,030	0,030	0,035	0,040	0,045	0,050	●			
P.3.1	64	0,015	0,018	0,021	0,025	0,028	0,030	0,030	0,030	0,035	0,040	0,045	0,050	●			
P.3.2	60	0,015	0,018	0,021	0,025	0,028	0,030	0,030	0,030	0,035	0,040	0,045	0,050	●			
P.3.3	52	0,015	0,018	0,021	0,025	0,028	0,030	0,030	0,030	0,035	0,040	0,045	0,050	●			
P.4.1	40	0,010	0,012	0,014	0,017	0,019	0,020	0,020	0,020	0,023	0,027	0,030	0,033	●			
P.4.2	40	0,010	0,012	0,014	0,017	0,019	0,020	0,020	0,020	0,023	0,027	0,030	0,033	●			
M.1.1	40	0,010	0,012	0,014	0,017	0,019	0,020	0,020	0,020	0,023	0,027	0,030	0,033	●			
M.2.1	40	0,010	0,012	0,014	0,017	0,019	0,020	0,020	0,020	0,023	0,027	0,030	0,033	●			
M.3.1	40	0,010	0,012	0,014	0,017	0,019	0,020	0,020	0,020	0,023	0,027	0,030	0,033	●			
K.1.1	68	0,040	0,048	0,056	0,067	0,075	0,080	0,080	0,080	0,093	0,093	0,105	0,117	●			
K.1.2	56	0,030	0,036	0,042	0,050	0,056	0,060	0,060	0,060	0,070	0,070	0,079	0,088	●			
K.2.1	64	0,030	0,036	0,042	0,050	0,056	0,060	0,060	0,060	0,070	0,070	0,079	0,088	●			
K.2.2	52	0,030	0,036	0,042	0,050	0,056	0,060	0,060	0,060	0,070	0,070	0,079	0,088	●			
K.3.1	56	0,030	0,036	0,042	0,050	0,056	0,060	0,060	0,060	0,070	0,070	0,079	0,088	●			
K.3.2	54	0,030	0,036	0,042	0,050	0,056	0,060	0,060	0,060	0,070	0,070	0,079	0,088	●			
N.1.1																	
N.1.2																	
N.2.1																	
N.2.2																	
N.2.3																	
N.3.1																	
N.3.2																	
N.3.3																	
N.4.1																	
S.1.1																	
S.1.2																	
S.2.1																	
S.2.2																	
S.2.3																	
S.3.1																	
S.3.2																	
S.3.3																	
H.1.1																	
H.1.2																	
H.1.3																	
H.1.4																	
H.2.1																	
H.3.1																	
O.1.1																	
O.1.2																	
O.2.1																	
O.2.2																	
O.3.1																	



Veuillez réduire l'avance f_z de 50% lorsque l'outil n'est pas en contact complet avec la matière (entrée et sortie).

Conditions de coupe – Fraises Mini, non revêtues

Index	Type extra-court	50 608 ..., 50 664 ...																	
		\emptyset_{DC} (mm) =																	
		0,5		1,0		1,2		1,5		1,8–2,0		2,5–3,0		3,5–4,0					
		a_s 0,1–0,2 x DC	a_s 0,3–0,4 x DC	a_s 0,6–1,0 x DC	a_s 0,1–0,2 x DC	a_s 0,3–0,4 x DC	a_s 0,6–1,0 x DC												
	v_c (m/min)	a_p max. x DC																	
P.1.1																			
P.1.2																			
P.1.3																			
P.1.4																			
P.1.5																			
P.2.1																			
P.2.2																			
P.2.3																			
P.2.4																			
P.3.1																			
P.3.2																			
P.3.3																			
P.4.1																			
P.4.2																			
M.1.1																			
M.2.1																			
M.3.1																			
K.1.1																			
K.1.2																			
K.2.1																			
K.2.2																			
K.3.1																			
K.3.2																			
N.1.1	250	1,0	0,007	0,006	0,011	0,009	0,014	0,011	0,018	0,014	0,024	0,019	0,038	0,030	0,019	0,050	0,040	0,025	
N.1.2	250	1,0	0,007	0,006	0,011	0,009	0,014	0,011	0,018	0,014	0,024	0,019	0,038	0,030	0,019	0,050	0,040	0,025	
N.2.1	180	1,0	0,009	0,007	0,013	0,010	0,016	0,013	0,020	0,016	0,026	0,021	0,037	0,030	0,019	0,048	0,038	0,024	
N.2.2	180	1,0	0,009	0,007	0,013	0,010	0,016	0,013	0,020	0,016	0,026	0,021	0,037	0,030	0,019	0,048	0,038	0,024	
N.2.3	150	1,0	0,009	0,007	0,013	0,010	0,016	0,013	0,020	0,016	0,026	0,021	0,037	0,030	0,019	0,048	0,038	0,024	
N.3.1	200	1,0	0,004	0,003	0,008	0,006	0,010	0,008	0,014	0,011	0,018	0,014	0,028	0,022	0,014	0,038	0,030	0,019	
N.3.2	200	1,0	0,004	0,003	0,008	0,006	0,010	0,008	0,014	0,011	0,018	0,014	0,028	0,022	0,014	0,038	0,030	0,019	
N.3.3	140	1,0	0,004	0,003	0,008	0,006	0,010	0,008	0,014	0,011	0,018	0,014	0,028	0,022	0,014	0,038	0,030	0,019	
N.4.1	180	1,0	0,009	0,007	0,013	0,010	0,016	0,013	0,020	0,016	0,026	0,021	0,037	0,030	0,019	0,048	0,038	0,024	
S.1.1																			
S.1.2																			
S.2.1																			
S.2.2																			
S.2.3																			
S.3.1	50	0,5	0,003	0,002	0,005	0,004	0,006	0,005	0,007	0,006	0,010	0,008	0,015	0,012	0,008	0,020	0,016	0,010	
S.3.2	20	0,5	0,003	0,002	0,005	0,004	0,006	0,005	0,007	0,006	0,010	0,008	0,015	0,012	0,008	0,020	0,016	0,010	
S.3.3																			
H.1.1																			
H.1.2																			
H.1.3																			
H.1.4																			
H.2.1																			
H.3.1																			
O.1.1																			
O.1.2																			
O.2.1																			
O.2.2																			
O.3.1																			

Index	50 608 ..., 50 664 ...												<input checked="" type="radio"/> 1er choix <input type="radio"/> Utilisation possible					
	\emptyset DC (mm) =												Emulsion	Air	MMS			
	4,5–5,0			5,5–6,0			6,7–8,0			8,7–10,0								
	a_s 0,1–0,2 x DC	a_s 0,3–0,4 x DC	a_s 0,6–1,0 x DC	a_s 0,1–0,2 x DC	a_s 0,3–0,4 x DC	a_s 0,6–1,0 x DC	a_s 0,1–0,2 x DC	a_s 0,3–0,4 x DC	a_s 0,6–1,0 x DC	a_s 0,1–0,2 x DC	a_s 0,3–0,4 x DC	a_s 0,6–1,0 x DC						
f_z (mm/dt)																		
P.1.1																		
P.1.2																		
P.1.3																		
P.1.4																		
P.1.5																		
P.2.1																		
P.2.2																		
P.2.3																		
P.2.4																		
P.3.1																		
P.3.2																		
P.3.3																		
P.4.1																		
P.4.2																		
M.1.1																		
M.2.1																		
M.3.1																		
K.1.1																		
K.1.2																		
K.2.1																		
K.2.2																		
K.3.1																		
K.3.2																		
N.1.1	0,064	0,051	0,032	0,077	0,062	0,039	0,104	0,083	0,052	0,130	0,104	0,065	●	○				
N.1.2	0,064	0,051	0,032	0,077	0,062	0,039	0,104	0,083	0,052	0,130	0,104	0,065	●	○				
N.2.1	0,060	0,048	0,030	0,070	0,056	0,035	0,094	0,075	0,047	0,116	0,093	0,058	●	○				
N.2.2	0,060	0,048	0,030	0,070	0,056	0,035	0,094	0,075	0,047	0,116	0,093	0,058	●	○				
N.2.3	0,060	0,048	0,030	0,070	0,056	0,035	0,094	0,075	0,047	0,116	0,093	0,058	●	○				
N.3.1	0,049	0,039	0,025	0,060	0,048	0,030	0,080	0,064	0,040	0,100	0,080	0,050	●	○				
N.3.2	0,049	0,039	0,025	0,060	0,048	0,030	0,080	0,064	0,040	0,100	0,080	0,050	●	○				
N.3.3	0,049	0,039	0,025	0,060	0,048	0,030	0,080	0,064	0,040	0,100	0,080	0,050	●	○				
N.4.1	0,060	0,048	0,030	0,070	0,056	0,035	0,094	0,075	0,047	0,116	0,093	0,058	●	○				
S.1.1																		
S.1.2																		
S.2.1																		
S.2.2																		
S.2.3																		
S.3.1	0,025	0,020	0,013	0,030	0,024	0,015	0,040	0,032	0,020	0,050	0,040	0,025	●	○				
S.3.2	0,025	0,020	0,013	0,030	0,024	0,015	0,040	0,032	0,020	0,050	0,040	0,025	●	○				
S.3.3																		
H.1.1																		
H.1.2																		
H.1.3																		
H.1.4																		
H.2.1																		
H.3.1																		
O.1.1																		
O.1.2																		
O.2.1																		
O.2.2																		
O.3.1																		

Conditions de coupe – Fraises Mini, revêtues

Index	Type extra-court	50 609 ..., 50 691 ...																				
		\emptyset DC (mm) =																				
		0,5		1,0		1,2		1,5		1,8–2,0		2,5–3,0		3,5–4,0								
		a_s 0,1–0,2 x DC	a_s 0,3–0,4 x DC	a_s 0,6–1,0 x DC	a_s 0,1–0,2 x DC	a_s 0,3–0,4 x DC	a_s 0,6–1,0 x DC	f_z (mm/dt)														
v _c (m/min)	a _p max. x DC																					
P.1.1	110	1,0	0,011	0,009	0,014	0,011	0,015	0,012	0,017	0,014	0,020	0,016	0,027	0,022	0,014	0,034	0,027	0,017				
P.1.2	90	1,0	0,006	0,005	0,008	0,006	0,010	0,008	0,012	0,010	0,015	0,012	0,022	0,018	0,011	0,028	0,022	0,014				
P.1.3	90	1,0	0,006	0,005	0,008	0,006	0,010	0,008	0,012	0,010	0,015	0,012	0,022	0,018	0,011	0,028	0,022	0,014				
P.1.4	80	1,0	0,006	0,005	0,008	0,006	0,010	0,008	0,012	0,010	0,015	0,012	0,022	0,018	0,011	0,028	0,022	0,014				
P.1.5	80	1,0	0,006	0,005	0,008	0,006	0,010	0,008	0,012	0,010	0,015	0,012	0,022	0,018	0,011	0,028	0,022	0,014				
P.2.1	90	1,0	0,006	0,005	0,008	0,006	0,010	0,008	0,012	0,010	0,015	0,012	0,022	0,018	0,011	0,028	0,022	0,014				
P.2.2	70	1,0	0,006	0,005	0,008	0,006	0,010	0,008	0,012	0,010	0,015	0,012	0,022	0,018	0,011	0,028	0,022	0,014				
P.2.3	70	1,0	0,006	0,005	0,008	0,006	0,010	0,008	0,012	0,010	0,015	0,012	0,022	0,018	0,011	0,028	0,022	0,014				
P.2.4	55	1,0	0,006	0,005	0,008	0,006	0,010	0,008	0,012	0,010	0,015	0,012	0,022	0,018	0,011	0,028	0,022	0,014				
P.3.1																						
P.3.2																						
P.3.3																						
P.4.1	50	1,0	0,003	0,002	0,005	0,004	0,006	0,005	0,007	0,006	0,010	0,008	0,015	0,012	0,008	0,020	0,016	0,010				
P.4.2	40	1,0	0,003	0,002	0,005	0,004	0,006	0,005	0,007	0,006	0,010	0,008	0,015	0,012	0,008	0,020	0,016	0,010				
M.1.1	40	1,0	0,003	0,002	0,005	0,004	0,006	0,005	0,007	0,006	0,010	0,008	0,015	0,012	0,008	0,020	0,016	0,010				
M.2.1	50	1,0	0,003	0,002	0,005	0,004	0,006	0,005	0,007	0,006	0,010	0,008	0,015	0,012	0,008	0,020	0,016	0,010				
M.3.1	50	1,0	0,003	0,002	0,005	0,004	0,006	0,005	0,007	0,006	0,010	0,008	0,015	0,012	0,008	0,020	0,016	0,010				
K.1.1	130	1,0	0,018	0,014	0,022	0,018	0,024	0,019	0,028	0,022	0,034	0,027	0,044	0,035	0,022	0,056	0,045	0,028				
K.1.2	120	1,0	0,018	0,014	0,022	0,018	0,024	0,019	0,028	0,022	0,034	0,027	0,044	0,035	0,022	0,056	0,045	0,028				
K.2.1	130	1,0	0,017	0,014	0,020	0,016	0,022	0,018	0,024	0,019	0,028	0,022	0,035	0,028	0,018	0,042	0,034	0,021				
K.2.2	120	1,0	0,017	0,014	0,020	0,016	0,022	0,018	0,024	0,019	0,028	0,022	0,035	0,028	0,018	0,042	0,034	0,021				
K.3.1	130	1,0	0,018	0,014	0,022	0,018	0,024	0,019	0,028	0,022	0,034	0,027	0,044	0,035	0,022	0,056	0,045	0,028				
K.3.2	120	1,0	0,018	0,014	0,022	0,018	0,024	0,019	0,028	0,022	0,034	0,027	0,044	0,035	0,022	0,056	0,045	0,028				
N.1.1																						
N.1.2																						
N.2.1																						
N.2.2																						
N.2.3																						
N.3.1	200	1,0	0,004	0,003	0,008	0,006	0,010	0,008	0,014	0,011	0,018	0,014	0,028	0,022	0,014	0,038	0,030	0,019				
N.3.2	200	1,0	0,004	0,003	0,008	0,006	0,010	0,008	0,014	0,011	0,018	0,014	0,028	0,022	0,014	0,038	0,030	0,019				
N.3.3	140	1,0	0,004	0,003	0,008	0,006	0,010	0,008	0,014	0,011	0,018	0,014	0,028	0,022	0,014	0,038	0,030	0,019				
N.4.1																						
S.1.1	30	0,5	0,003	0,002	0,005	0,004	0,006	0,005	0,007	0,006	0,010	0,008	0,015	0,012	0,008	0,020	0,016	0,010				
S.1.2	30	0,5	0,003	0,002	0,005	0,004	0,006	0,005	0,007	0,006	0,010	0,008	0,015	0,012	0,008	0,020	0,016	0,010				
S.2.1	30	0,5	0,003	0,002	0,005	0,004	0,006	0,005	0,007	0,006	0,010	0,008	0,015	0,012	0,008	0,020	0,016	0,010				
S.2.2	30	0,5	0,003	0,002	0,005	0,004	0,006	0,005	0,007	0,006	0,010	0,008	0,015	0,012	0,008	0,020	0,016	0,010				
S.2.3	30	0,5	0,003	0,002	0,005	0,004	0,006	0,005	0,007	0,006	0,010	0,008	0,015	0,012	0,008	0,020	0,016	0,010				
S.3.1	50	0,5	0,003	0,002	0,005	0,004	0,006	0,005	0,007	0,006	0,010	0,008	0,015	0,012	0,008	0,020	0,016	0,010				
S.3.2	20	0,5	0,003	0,002	0,005	0,004	0,006	0,005	0,007	0,006	0,010	0,008	0,015	0,012	0,008	0,020	0,016	0,010				
S.3.3																						
H.1.1																						
H.1.2																						
H.1.3																						
H.1.4																						
H.2.1																						
H.3.1																						
O.1.1																						
O.1.2																						
O.2.1																						
O.2.2																						
O.3.1																						

Index	50 609 ..., 50 691 ...												● 1er choix		
	\emptyset DC (mm) =												○ Utilisation possible		
	4,5–5,0			5,5–6,0			6,7–8,0			8,7–10,0			Emulsion	Air	MMS
	a_s 0,1–0,2 x DC	a_s 0,3–0,4 x DC	a_s 0,6–1,0 x DC	a_s 0,1–0,2 x DC	a_s 0,3–0,4 x DC	a_s 0,6–1,0 x DC	a_s 0,1–0,2 x DC	a_s 0,3–0,4 x DC	a_s 0,6–1,0 x DC	a_s 0,1–0,2 x DC	a_s 0,3–0,4 x DC	a_s 0,6–1,0 x DC			
P.1.1	0,041	0,033	0,021	0,048	0,038	0,024	0,062	0,050	0,031	0,075	0,060	0,038	○	●	○
P.1.2	0,034	0,027	0,017	0,041	0,033	0,021	0,054	0,043	0,027	0,066	0,053	0,033	○	●	○
P.1.3	0,034	0,027	0,017	0,041	0,033	0,021	0,054	0,043	0,027	0,066	0,053	0,033	○	●	○
P.1.4	0,034	0,027	0,017	0,041	0,033	0,021	0,054	0,043	0,027	0,066	0,053	0,033	○	●	○
P.1.5	0,034	0,027	0,017	0,041	0,033	0,021	0,054	0,043	0,027	0,066	0,053	0,033	○	●	○
P.2.1	0,034	0,027	0,017	0,041	0,033	0,021	0,054	0,043	0,027	0,066	0,053	0,033	○	●	○
P.2.2	0,034	0,027	0,017	0,041	0,033	0,021	0,054	0,043	0,027	0,066	0,053	0,033	○	●	○
P.2.3	0,034	0,027	0,017	0,041	0,033	0,021	0,054	0,043	0,027	0,066	0,053	0,033	○	●	○
P.2.4	0,034	0,027	0,017	0,041	0,033	0,021	0,054	0,043	0,027	0,066	0,053	0,033	○	●	○
P.3.1															
P.3.2															
P.3.3															
P.4.1	0,025	0,020	0,013	0,030	0,024	0,015	0,040	0,032	0,020	0,050	0,040	0,025	●		○
P.4.2	0,025	0,020	0,013	0,030	0,024	0,015	0,040	0,032	0,020	0,050	0,040	0,025	●		○
M.1.1	0,025	0,020	0,013	0,030	0,024	0,015	0,040	0,032	0,020	0,050	0,040	0,025	●		○
M.2.1	0,025	0,020	0,013	0,030	0,024	0,015	0,040	0,032	0,020	0,050	0,040	0,025	●		○
M.3.1	0,025	0,020	0,013	0,030	0,024	0,015	0,040	0,032	0,020	0,050	0,040	0,025	●		○
K.1.1	0,066	0,053	0,033	0,078	0,062	0,039	0,100	0,080	0,050	0,122	0,098	0,061	○	●	○
K.1.2	0,066	0,053	0,033	0,078	0,062	0,039	0,100	0,080	0,050	0,122	0,098	0,061	○	●	○
K.2.1	0,050	0,040	0,025	0,058	0,046	0,029	0,072	0,058	0,036	0,086	0,069	0,043	○	●	○
K.2.2	0,050	0,040	0,025	0,058	0,046	0,029	0,072	0,058	0,036	0,086	0,069	0,043	○	●	○
K.3.1	0,066	0,053	0,033	0,078	0,062	0,039	0,100	0,080	0,050	0,122	0,098	0,061	○	●	○
K.3.2	0,066	0,053	0,033	0,078	0,062	0,039	0,100	0,080	0,050	0,122	0,098	0,061	○	●	○
N.1.1															
N.1.2															
N.2.1															
N.2.2															
N.2.3															
N.3.1	0,049	0,039	0,025	0,060	0,048	0,030	0,080	0,064	0,040	0,100	0,080	0,050	●		○
N.3.2	0,049	0,039	0,025	0,060	0,048	0,030	0,080	0,064	0,040	0,100	0,080	0,050	●		○
N.3.3	0,049	0,039	0,025	0,060	0,048	0,030	0,080	0,064	0,040	0,100	0,080	0,050	●		○
N.4.1															
S.1.1	0,025	0,020	0,013	0,030	0,024	0,015	0,040	0,032	0,020	0,050	0,040	0,025	●		○
S.1.2	0,025	0,020	0,013	0,030	0,024	0,015	0,040	0,032	0,020	0,050	0,040	0,025	●		○
S.2.1	0,025	0,020	0,013	0,030	0,024	0,015	0,040	0,032	0,020	0,050	0,040	0,025	●		○
S.2.2	0,025	0,020	0,013	0,030	0,024	0,015	0,040	0,032	0,020	0,050	0,040	0,025	●		○
S.2.3	0,025	0,020	0,013	0,030	0,024	0,015	0,040	0,032	0,020	0,050	0,040	0,025	●		○
S.3.1	0,025	0,020	0,013	0,030	0,024	0,015	0,040	0,032	0,020	0,050	0,040	0,025	●		○
S.3.2	0,025	0,020	0,013	0,030	0,024	0,015	0,040	0,032	0,020	0,050	0,040	0,025	●		○
S.3.3															
H.1.1															
H.1.2															
H.1.3															
H.1.4															
H.2.1															
H.3.1															
O.1.1															
O.1.2															
O.2.1															
O.2.2															
O.3.1															

Conditions de coupe – Fraises deux tailles – Type W, version courte

Index	HPC		54 590..., 54 591..., 54 594..., 54 595..., 54 610..., 54 611..., 54 640..., 54 642...																				
			\emptyset DC (mm) =																				
	v_c (m/min)		a_p max. x DC		2,7–3,0				3,7–4,0				4,7–5,0				5,7–7,0				7,7–9,0		
N.1.1	560	1,0*	0,054	0,042	0,030	0,063	0,049	0,035	0,100	0,075	0,050	0,120	0,089	0,060	0,200	0,150	0,100	0,240	0,180	0,120	0,120	0,120	0,120
N.1.2	560	1,0*	0,054	0,042	0,030	0,063	0,049	0,035	0,100	0,075	0,050	0,120	0,089	0,060	0,200	0,150	0,100	0,240	0,180	0,120	0,120	0,120	0,120
N.2.1	336	1,0*	0,054	0,042	0,030	0,063	0,049	0,035	0,100	0,075	0,050	0,120	0,089	0,060	0,200	0,150	0,100	0,240	0,180	0,120	0,120	0,120	0,120
N.2.2	336	1,0*	0,054	0,042	0,030	0,063	0,049	0,035	0,100	0,075	0,050	0,120	0,089	0,060	0,200	0,150	0,100	0,240	0,180	0,120	0,120	0,120	0,120
N.2.3	224	1,0*	0,054	0,042	0,030	0,063	0,049	0,035	0,100	0,075	0,050	0,120	0,089	0,060	0,200	0,150	0,100	0,240	0,180	0,120	0,120	0,120	0,120
N.3.1	224	1,0*	0,036	0,028	0,020	0,054	0,042	0,030	0,080	0,060	0,040	0,100	0,075	0,050	0,160	0,120	0,080	0,200	0,150	0,100	0,240	0,180	0,120
N.3.2	160	1,0*	0,036	0,028	0,020	0,054	0,042	0,030	0,080	0,060	0,040	0,100	0,075	0,050	0,160	0,120	0,080	0,200	0,150	0,100	0,240	0,180	0,120
N.3.3	160	1,0*	0,036	0,028	0,020	0,054	0,042	0,030	0,080	0,060	0,040	0,100	0,075	0,050	0,160	0,120	0,080	0,200	0,150	0,100	0,240	0,180	0,120
N.4.1																							

* Pour un a_p de 1,5 x DC, programmez un a_e maxi de 0,1–0,4 x DC

Conditions de coupe – Fraises deux tailles – Type W, version longue

Index	HPC		50 960 ..., 54 590 ..., 54 592 ..., 54 591 ..., 54 593 ..., 54 594 ..., 54 595 ..., 54 596 ..., 54 597 ..., 54 610 ..., 54 611 ..., 54 612 ..., 54 613 ..., 54 620 ..., 54 630 ..., 54 631 ..., 54 632 ..., 54 633 ..., 54 650 ..., 54 640 ..., 54 642 ...																				
			\emptyset DC (mm) =																				
	v_c (m/min)		a_p max. x DC		2,7–3,0				3,7–4,0				4,7–5,0				5,7–7,0				7,7–9,0		
N.1.1	320	1,0*	0,036	0,028	0,020	0,063	0,049	0,035	0,100	0,075	0,050	0,120	0,089	0,060	0,160	0,120	0,080	0,200	0,150	0,100	0,240	0,180	0,120
N.1.2	320	1,0*	0,036	0,028	0,020	0,063	0,049	0,035	0,100	0,075	0,050	0,120	0,089	0,060	0,160	0,120	0,080	0,200	0,150	0,100	0,240	0,180	0,120
N.2.1	192	1,0*	0,036	0,028	0,020	0,063	0,049	0,035	0,100	0,075	0,050	0,120	0,089	0,060	0,160	0,120	0,080	0,200	0,150	0,100	0,240	0,180	0,120
N.2.2	192	1,0*	0,036	0,028	0,020	0,063	0,049	0,035	0,100	0,075	0,050	0,120	0,089	0,060	0,160	0,120	0,080	0,200	0,150	0,100	0,240	0,180	0,120
N.2.3	128	1,0*	0,036	0,028	0,020	0,063	0,049	0,035	0,100	0,075	0,050	0,120	0,089	0,060	0,160	0,120	0,080	0,200	0,150	0,100	0,240	0,180	0,120
N.3.1	128	1,0*	0,027	0,021	0,015	0,045	0,035	0,025	0,070	0,052	0,035	0,100	0,075	0,050	0,140	0,100	0,070	0,180	0,130	0,090	0,240	0,180	0,120
N.3.2	92	1,0*	0,027	0,021	0,015	0,045	0,035	0,025	0,070	0,052	0,035	0,100	0,075	0,050	0,140	0,100	0,070	0,180	0,130	0,090	0,240	0,180	0,120
N.3.3	92	1,0*	0,027	0,021	0,015	0,045	0,035	0,025	0,070	0,052	0,035	0,100	0,075	0,050	0,140	0,100	0,070	0,180	0,130	0,090	0,240	0,180	0,120
N.4.1																							

* Pour un a_p de 1,5 x DC, programmez un a_e maxi de 0,1–0,4 x DC

Conditions de coupe – Fraises deux tailles – Type W ou WR, version extra-longue

Index	HPC		54 590 ..., 54 592 ..., 54 610 ..., 54 612 ..., 54 630 ..., 54 631 ..., 54 632 ..., 54 633 ..., 54 650 ..., 54 640 ..., 54 642 ...																				
			\emptyset DC (mm) =																				
	v_c (m/min)		a_p max. x DC		2,7–3,0				3,7–4,0				4,7–5,0				5,7–7,0				7,7–9,0		
N.1.1	240	0,750*	0,013	0,010	0,007	0,018	0,014	0,010	0,040	0,030	0,020	0,050	0,037	0,025	0,060	0,050	0,030	0,070	0,050	0,040	0,040	0,040	0,040
N.1.2	240	0,750*	0,013	0,010	0,007	0,018	0,014	0,010	0,040	0,030	0,020	0,050	0,037	0,025	0,060	0,050	0,030	0,070	0,050	0,040	0,040	0,040	0,040
N.2.1	144	0,750*	0,013	0,010	0,007	0,018	0,014	0,010	0,040	0,030	0,020	0,050	0,037	0,025	0,060	0,050	0,030	0,070	0,050	0,040	0,040	0,040	0,040
N.2.2	144	0,750*	0,013	0,010	0,007	0,018	0,014	0,010	0,040	0,030	0,020	0,050	0,037	0,025	0,060	0,050	0,030	0,070	0,050	0,040	0,040	0,040	0,040
N.2.3	100	0,750*	0,013	0,010	0,007	0,018	0,014	0,010	0,040	0,030	0,020	0,050	0,037	0,025	0,060	0,050	0,030	0,070	0,050	0,040	0,040	0,040	0,040
N.3.1	100	0,750*	0,009	0,007	0,005	0,014	0,011	0,008	0,020	0,015	0,010	0,030	0,022	0,015	0,040	0,030	0,020	0,050	0,040	0,030	0,040	0,030	0,030
N.3.2	72	0,750*	0,009	0,007	0,005	0,014	0,011	0,008	0,020	0,015	0,010	0,030	0,022	0,015	0,040	0,030	0,020	0,050	0,040	0,030	0,040	0,030	0,030
N.3.3	72	0,750*	0,009	0,007	0,005	0,014	0,011	0,008	0,020	0,015	0,010	0,030	0,022	0,015	0,040	0,030	0,020	0,050	0,040	0,030	0,040	0,030	0,030
N.4.1																							

* Pour un a_p de 1,5 x DC, programmez un a_e maxi de 0,1–0,4 x DC

 Refroidissement par émulsion

 Avances recommandées pour fraises toriques et hémisphériques
→ Page 486

Conditions de coupe – Fraises deux tailles

Index	Types court / long		54 070 ..., 54 071 ..., 54 072 ...																		
	v_c (m/min)	a_p max x DC	\emptyset DC (mm) =																		
			3				4				5				6				8		
			a_s 0,1–0,2 x DC	a_s 0,3–0,4 x DC	a_s 0,6–1,0 x DC	a_s 0,1–0,2 x DC	a_s 0,3–0,4 x DC	a_s 0,6–1,0 x DC	a_s 0,1–0,2 x DC	a_s 0,3–0,4 x DC	a_s 0,6–1,0 x DC	a_s 0,1–0,2 x DC	a_s 0,3–0,4 x DC	a_s 0,6–1,0 x DC	a_s 0,1–0,2 x DC	a_s 0,3–0,4 x DC	a_s 0,6–1,0 x DC	f_z (mm/dt)			
P.1.1	210	1,0	0,028	0,022	0,014	0,038	0,030	0,019	0,049	0,039	0,025	0,060	0,048	0,030	0,080	0,064	0,040				
P.1.2	200	1,0	0,028	0,022	0,014	0,038	0,030	0,019	0,049	0,039	0,025	0,060	0,048	0,030	0,080	0,064	0,040				
P.1.3	200	1,0	0,028	0,022	0,014	0,038	0,030	0,019	0,049	0,039	0,025	0,060	0,048	0,030	0,080	0,064	0,040				
P.1.4	190	1,0	0,028	0,022	0,014	0,038	0,030	0,019	0,049	0,039	0,025	0,060	0,048	0,030	0,080	0,064	0,040				
P.1.5	190	1,0	0,028	0,022	0,014	0,038	0,030	0,019	0,049	0,039	0,025	0,060	0,048	0,030	0,080	0,064	0,040				
P.2.1	200	1,0	0,028	0,022	0,014	0,038	0,030	0,019	0,049	0,039	0,025	0,060	0,048	0,030	0,080	0,064	0,040				
P.2.2	190	1,0	0,022	0,018	0,011	0,030	0,024	0,015	0,038	0,030	0,019	0,046	0,037	0,023	0,062	0,050	0,031				
P.2.3	180	1,0	0,028	0,022	0,014	0,038	0,030	0,019	0,049	0,039	0,025	0,060	0,048	0,030	0,080	0,064	0,040				
P.2.4	170	1,0	0,022	0,018	0,011	0,030	0,024	0,015	0,038	0,030	0,019	0,046	0,037	0,023	0,062	0,050	0,031				
P.3.1	180	1,0	0,028	0,022	0,014	0,038	0,030	0,019	0,049	0,039	0,025	0,060	0,048	0,030	0,080	0,064	0,040				
P.3.2	170	1,0	0,028	0,022	0,014	0,038	0,030	0,019	0,049	0,039	0,025	0,060	0,048	0,030	0,080	0,064	0,040				
P.3.3	140	1,0	0,028	0,022	0,014	0,038	0,030	0,019	0,049	0,039	0,025	0,060	0,048	0,030	0,080	0,064	0,040				
P.4.1	100	1,0	0,017	0,014	0,009	0,024	0,019	0,012	0,031	0,025	0,016	0,038	0,030	0,019	0,052	0,042	0,026				
P.4.2	80	1,0	0,017	0,014	0,009	0,024	0,019	0,012	0,031	0,025	0,016	0,038	0,030	0,019	0,052	0,042	0,026				
M.1.1	100	1,0	0,017	0,014	0,009	0,024	0,019	0,012	0,031	0,025	0,016	0,038	0,030	0,019	0,052	0,042	0,026				
M.2.1	100	1,0	0,017	0,014	0,009	0,024	0,019	0,012	0,031	0,025	0,016	0,038	0,030	0,019	0,052	0,042	0,026				
M.3.1	100	1,0	0,017	0,014	0,009	0,024	0,019	0,012	0,031	0,025	0,016	0,038	0,030	0,019	0,052	0,042	0,026				
K.1.1	200	1,0	0,037	0,030	0,019	0,048	0,038	0,024	0,060	0,048	0,030	0,070	0,056	0,035	0,094	0,075	0,047				
K.1.2	180	1,0	0,037	0,030	0,019	0,048	0,038	0,024	0,060	0,048	0,030	0,070	0,056	0,035	0,094	0,075	0,047				
K.2.1	190	1,0	0,028	0,022	0,014	0,038	0,030	0,019	0,049	0,039	0,025	0,060	0,048	0,030	0,080	0,064	0,040				
K.2.2	170	1,0	0,028	0,022	0,014	0,038	0,030	0,019	0,049	0,039	0,025	0,060	0,048	0,030	0,080	0,064	0,040				
K.3.1	180	1,0	0,028	0,022	0,014	0,038	0,030	0,019	0,049	0,039	0,025	0,060	0,048	0,030	0,080	0,064	0,040				
K.3.2	160	1,0	0,028	0,022	0,014	0,038	0,030	0,019	0,049	0,039	0,025	0,060	0,048	0,030	0,080	0,064	0,040				
N.1.1																					
N.1.2																					
N.2.1																					
N.2.2																					
N.2.3																					
N.3.1	350	1,0	0,037	0,030	0,019	0,048	0,038	0,024	0,060	0,048	0,030	0,070	0,056	0,035	0,094	0,075	0,047				
N.3.2	350	1,0	0,037	0,030	0,019	0,048	0,038	0,024	0,060	0,048	0,030	0,070	0,056	0,035	0,094	0,075	0,047				
N.3.3	280	1,0	0,037	0,030	0,019	0,048	0,038	0,024	0,060	0,048	0,030	0,070	0,056	0,035	0,094	0,075	0,047				
N.4.1																					
S.1.1	30	1,0	0,015	0,012	0,008	0,020	0,016	0,010	0,025	0,020	0,013	0,030	0,024	0,015	0,040	0,032	0,020				
S.1.2	30	1,0	0,015	0,012	0,008	0,020	0,016	0,010	0,025	0,020	0,013	0,030	0,024	0,015	0,040	0,032	0,020				
S.2.1	30	1,0	0,015	0,012	0,008	0,020	0,016	0,010	0,025	0,020	0,013	0,030	0,024	0,015	0,040	0,032	0,020				
S.2.2	30	1,0	0,015	0,012	0,008	0,020	0,016	0,010	0,025	0,020	0,013	0,030	0,024	0,015	0,040	0,032	0,020				
S.2.3	30	1,0	0,015	0,012	0,008	0,020	0,016	0,010	0,025	0,020	0,013	0,030	0,024	0,015	0,040	0,032	0,020				
S.3.1	90	1,0	0,028	0,022	0,014	0,038	0,030	0,019	0,049	0,039	0,025	0,060	0,048	0,030	0,080	0,064	0,040				
S.3.2	50	1,0	0,017	0,014	0,009	0,024	0,019	0,012	0,031	0,025	0,016	0,038	0,030	0,019	0,052	0,042	0,026				
S.3.3																					
H.1.1																					
H.1.2																					
H.1.3																					
H.1.4																					
H.2.1																					
H.3.1																					
O.1.1																					
O.1.2																					
O.2.1																					
O.2.2																					
O.3.1																					



Angle de ramping et de plongée hélicoïdale = 3°

Index	54 070 ..., 54 071 ..., 54 072 ...												● 1er choix ○ Utilisation possible					
	\emptyset DC (mm) =												Emulsion	Air	MMS			
	10			12			16			20								
	a_s 0,1–0,2 x DC	a_s 0,3–0,4 x DC	a_s 0,6–1,0 x DC	a_s 0,1–0,2 x DC	a_s 0,3–0,4 x DC	a_s 0,6–1,0 x DC	a_s 0,1–0,2 x DC	a_s 0,3–0,4 x DC	a_s 0,6–1,0 x DC	a_s 0,1–0,2 x DC	a_s 0,3–0,4 x DC	a_s 0,6–1,0 x DC						
P.1.1	0,100	0,080	0,050	0,120	0,096	0,060	0,150	0,120	0,075	0,170	0,136	0,085	●	○	○			
P.1.2	0,100	0,080	0,050	0,120	0,096	0,060	0,150	0,120	0,075	0,170	0,136	0,085	●	○	○			
P.1.3	0,100	0,080	0,050	0,120	0,096	0,060	0,150	0,120	0,075	0,170	0,136	0,085	●	○	○			
P.1.4	0,100	0,080	0,050	0,120	0,096	0,060	0,150	0,120	0,075	0,170	0,136	0,085	●	○	○			
P.1.5	0,100	0,080	0,050	0,120	0,096	0,060	0,150	0,120	0,075	0,170	0,136	0,085	●	○	○			
P.2.1	0,100	0,080	0,050	0,120	0,096	0,060	0,150	0,120	0,075	0,170	0,136	0,085	●	○	○			
P.2.2	0,078	0,062	0,039	0,094	0,075	0,047	0,118	0,094	0,059	0,134	0,107	0,067	●	○	○			
P.2.3	0,100	0,080	0,050	0,120	0,096	0,060	0,150	0,120	0,075	0,170	0,136	0,085	●	○	○			
P.2.4	0,078	0,062	0,039	0,094	0,075	0,047	0,118	0,094	0,059	0,134	0,107	0,067	●	○	○			
P.3.1	0,100	0,080	0,050	0,120	0,096	0,060	0,150	0,120	0,075	0,170	0,136	0,085	●	○	○			
P.3.2	0,100	0,080	0,050	0,120	0,096	0,060	0,150	0,120	0,075	0,170	0,136	0,085	●	○	○			
P.3.3	0,100	0,080	0,050	0,120	0,096	0,060	0,150	0,120	0,075	0,170	0,136	0,085	●	○	○			
P.4.1	0,066	0,053	0,033	0,080	0,064	0,040	0,101	0,081	0,051	0,115	0,092	0,058	●					
P.4.2	0,066	0,053	0,033	0,080	0,064	0,040	0,101	0,081	0,051	0,115	0,092	0,058	●					
M.1.1	0,066	0,053	0,033	0,080	0,064	0,040	0,101	0,081	0,051	0,115	0,092	0,058	●					
M.2.1	0,066	0,053	0,033	0,080	0,064	0,040	0,101	0,081	0,051	0,115	0,092	0,058	●					
M.3.1	0,066	0,053	0,033	0,080	0,064	0,040	0,101	0,081	0,051	0,115	0,092	0,058	●					
K.1.1	0,116	0,093	0,058	0,140	0,112	0,070	0,173	0,138	0,087	0,196	0,157	0,098	●	○	○			
K.1.2	0,116	0,093	0,058	0,140	0,112	0,070	0,173	0,138	0,087	0,196	0,157	0,098	●	○	○			
K.2.1	0,100	0,080	0,050	0,120	0,096	0,060	0,150	0,120	0,075	0,170	0,136	0,085	●	○	○			
K.2.2	0,100	0,080	0,050	0,120	0,096	0,060	0,150	0,120	0,075	0,170	0,136	0,085	●	○	○			
K.3.1	0,100	0,080	0,050	0,120	0,096	0,060	0,150	0,120	0,075	0,170	0,136	0,085	●	○	○			
K.3.2	0,100	0,080	0,050	0,120	0,096	0,060	0,150	0,120	0,075	0,170	0,136	0,085	●	○	○			
N.1.1																		
N.1.2																		
N.2.1																		
N.2.2																		
N.2.3																		
N.3.1	0,116	0,093	0,058	0,140	0,112	0,070	0,173	0,138	0,087	0,196	0,157	0,098	●					
N.3.2	0,116	0,093	0,058	0,140	0,112	0,070	0,173	0,138	0,087	0,196	0,157	0,098	●					
N.3.3	0,116	0,093	0,058	0,140	0,112	0,070	0,173	0,138	0,087	0,196	0,157	0,098	●					
N.4.1																		
S.1.1	0,050	0,040	0,025	0,060	0,048	0,030	0,075	0,060	0,038	0,084	0,067	0,042	●					
S.1.2	0,050	0,040	0,025	0,060	0,048	0,030	0,075	0,060	0,038	0,084	0,067	0,042	●					
S.2.1	0,050	0,040	0,025	0,060	0,048	0,030	0,075	0,060	0,038	0,084	0,067	0,042	●					
S.2.2	0,050	0,040	0,025	0,060	0,048	0,030	0,075	0,060	0,038	0,084	0,067	0,042	●					
S.2.3	0,050	0,040	0,025	0,060	0,048	0,030	0,075	0,060	0,038	0,084	0,067	0,042	●					
S.3.1	0,100	0,080	0,050	0,120	0,096	0,060	0,150	0,120	0,075	0,170	0,136	0,085	●					
S.3.2	0,066	0,053	0,033	0,080	0,064	0,040	0,101	0,081	0,051	0,115	0,092	0,058	●					
S.3.3																		
H.1.1																		
H.1.2																		
H.1.3																		
H.1.4																		
H.2.1																		
H.3.1																		
O.1.1																		
O.1.2																		
O.2.1																		
O.2.2																		
O.3.1																		

Conditions de coupe – Fraises deux tailles

Index	Type long		54 078 ...																	
	v_c (m/min)	a_p max x DC	\emptyset DC (mm) =																	
			6				8				10				12					
			a_e 0,1–0,2 x DC	a_e 0,3–0,4 x DC	a_e 0,6–1,0 x DC	a_e 0,1–0,2 x DC	a_e 0,3–0,4 x DC	a_e 0,6–1,0 x DC	a_e 0,1–0,2 x DC	a_e 0,3–0,4 x DC	a_e 0,6–1,0 x DC	a_e 0,1–0,2 x DC	a_e 0,3–0,4 x DC	a_e 0,6–1,0 x DC	a_e 0,1–0,2 x DC	a_e 0,3–0,4 x DC	a_e 0,6–1,0 x DC	f_z (mm/dt)		
P.1.1	120	1xDC	0,048	0,038	0,024	0,062	0,050	0,031	0,075	0,060	0,038	0,089	0,071	0,045	0,110	0,088	0,055			
P.1.2	110	1xDC	0,041	0,033	0,021	0,054	0,043	0,027	0,066	0,053	0,033	0,079	0,063	0,040	0,099	0,079	0,050			
P.1.3	110	1xDC	0,041	0,033	0,021	0,054	0,043	0,027	0,066	0,053	0,033	0,079	0,063	0,040	0,099	0,079	0,050			
P.1.4	110	1xDC	0,041	0,033	0,021	0,054	0,043	0,027	0,066	0,053	0,033	0,079	0,063	0,040	0,099	0,079	0,050			
P.1.5	110	1xDC	0,041	0,033	0,021	0,054	0,043	0,027	0,066	0,053	0,033	0,079	0,063	0,040	0,099	0,079	0,050			
P.2.1	110	1xDC	0,041	0,033	0,021	0,054	0,043	0,027	0,066	0,053	0,033	0,079	0,063	0,040	0,099	0,079	0,050			
P.2.2	110	1xDC	0,041	0,033	0,021	0,054	0,043	0,027	0,066	0,053	0,033	0,079	0,063	0,040	0,099	0,079	0,050			
P.2.3	110	1xDC	0,041	0,033	0,021	0,054	0,043	0,027	0,066	0,053	0,033	0,079	0,063	0,040	0,099	0,079	0,050			
P.2.4	95	1xDC	0,041	0,033	0,021	0,054	0,043	0,027	0,066	0,053	0,033	0,079	0,063	0,040	0,099	0,079	0,050			
P.3.1	95	1xDC	0,041	0,033	0,021	0,054	0,043	0,027	0,066	0,053	0,033	0,079	0,063	0,040	0,099	0,079	0,050			
P.3.2	95	1xDC	0,041	0,033	0,021	0,054	0,043	0,027	0,066	0,053	0,033	0,079	0,063	0,040	0,099	0,079	0,050			
P.3.3																				
P.4.1	70	1xDC	0,041	0,033	0,021	0,054	0,043	0,027	0,066	0,053	0,033	0,079	0,063	0,040	0,099	0,079	0,050			
P.4.2	60	1xDC	0,041	0,033	0,021	0,054	0,043	0,027	0,066	0,053	0,033	0,079	0,063	0,040	0,099	0,079	0,050			
M.1.1	70	1xDC	0,041	0,033	0,021	0,054	0,043	0,027	0,066	0,053	0,033	0,079	0,063	0,040	0,099	0,079	0,050			
M.2.1	70	1xDC	0,041	0,033	0,021	0,054	0,043	0,027	0,066	0,053	0,033	0,079	0,063	0,040	0,099	0,079	0,050			
M.3.1	70	1xDC	0,041	0,033	0,021	0,054	0,043	0,027	0,066	0,053	0,033	0,079	0,063	0,040	0,099	0,079	0,050			
K.1.1	130	1xDC	0,078	0,062	0,039	0,100	0,080	0,050	0,122	0,098	0,061	0,144	0,115	0,072	0,177	0,142	0,089			
K.1.2	120	1xDC	0,078	0,062	0,039	0,100	0,080	0,050	0,122	0,098	0,061	0,144	0,115	0,072	0,177	0,142	0,089			
K.2.1	130	1xDC	0,058	0,046	0,029	0,072	0,058	0,036	0,086	0,069	0,043	0,102	0,082	0,051	0,124	0,099	0,062			
K.2.2	120	1xDC	0,058	0,046	0,029	0,072	0,058	0,036	0,086	0,069	0,043	0,102	0,082	0,051	0,124	0,099	0,062			
K.3.1	130	1xDC	0,078	0,062	0,039	0,100	0,080	0,050	0,122	0,098	0,061	0,144	0,115	0,072	0,177	0,142	0,089			
K.3.2	130	1xDC	0,078	0,062	0,039	0,100	0,080	0,050	0,122	0,098	0,061	0,144	0,115	0,072	0,177	0,142	0,089			
N.1.1																				
N.1.2																				
N.2.1																				
N.2.2																				
N.2.3																				
N.3.1																				
N.3.2																				
N.3.3																				
N.4.1																				
S.1.1																				
S.1.2																				
S.2.1																				
S.2.2																				
S.2.3																				
S.3.1																				
S.3.2																				
S.3.3																				
H.1.1																				
H.1.2																				
H.1.3																				
H.1.4																				
H.2.1																				
H.3.1																				
O.1.1																				
O.1.2																				
O.2.1																				
O.2.2																				
O.3.1																				

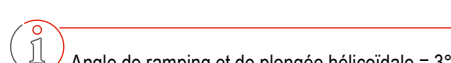
Angle de ramping et de plongée hélicoïdale = 3°

Avec un $a_e < 0,3 \times DC$ la fraise peut être utilisée sur son a_p max de 3xDC.

Index	54 078 ...			● 1er choix ○ Utilisation possible		
	\varnothing DC (mm) = 20			Emulsion	Air	MMS
	a_s 0,1–0,2 x DC	a_s 0,3–0,4 x DC	a_s 0,6–1,0 x DC			
	f_z (mm/dt)					
P.1.1	0,123	0,098	0,062	●	●	○
P.1.2	0,111	0,089	0,056	●	●	○
P.1.3	0,111	0,089	0,056	●	●	○
P.1.4	0,111	0,089	0,056	●	●	○
P.1.5	0,111	0,089	0,056	●	●	○
P.2.1	0,111	0,089	0,056	●	●	○
P.2.2	0,111	0,089	0,056	●	●	○
P.2.3	0,111	0,089	0,056	●	●	○
P.2.4	0,111	0,089	0,056	●	●	○
P.3.1	0,111	0,089	0,056	●	●	○
P.3.2	0,111	0,089	0,056	●	●	○
P.3.3						
P.4.1	0,111	0,089	0,056	●		
P.4.2	0,111	0,089	0,056	●		
M.1.1	0,111	0,089	0,056	●		
M.2.1	0,111	0,089	0,056	●		
M.3.1	0,111	0,089	0,056	●		
K.1.1	0,200	0,160	0,100		●	●
K.1.2	0,200	0,160	0,100		●	●
K.2.1	0,139	0,111	0,070		●	●
K.2.2	0,139	0,111	0,070		●	●
K.3.1	0,200	0,160	0,100		●	●
K.3.2	0,200	0,160	0,100		●	●
N.1.1						
N.1.2						
N.2.1						
N.2.2						
N.2.3						
N.3.1						
N.3.2						
N.3.3						
N.4.1						
S.1.1						
S.1.2						
S.2.1						
S.2.2						
S.2.3						
S.3.1						
S.3.2						
S.3.3						
H.1.1						
H.1.2						
H.1.3						
H.1.4						
H.2.1						
H.3.1						
O.1.1						
O.1.2						
O.2.1						
O.2.2						
O.3.1						

Conditions de coupe – Fraises deux tailles

Index	Type extra long		54 070 ..., 54 071 ..., 54 072 ...																
	v_c (m/min)	a_p max. x DC	3				4			5			6			8			
			a_s 0,1–0,2 x DC	a_s 0,3–0,4 x DC	a_s 0,6–1,0 x DC	a_s 0,1–0,2 x DC	a_s 0,3–0,4 x DC	a_s 0,6–1,0 x DC	a_s 0,1–0,2 x DC	a_s 0,3–0,4 x DC	a_s 0,6–1,0 x DC	a_s 0,1–0,2 x DC	a_s 0,3–0,4 x DC	a_s 0,6–1,0 x DC	a_s 0,1–0,2 x DC	a_s 0,3–0,4 x DC	a_s 0,6–1,0 x DC		
P.1.1	120	0,8	0,027	0,022	0,014	0,034	0,027	0,017	0,041	0,033	0,021	0,048	0,038	0,024	0,062	0,050	0,031		
P.1.2	110	0,8	0,022	0,018	0,011	0,028	0,022	0,014	0,034	0,027	0,017	0,041	0,033	0,021	0,054	0,043	0,027		
P.1.3	110	0,8	0,022	0,018	0,011	0,028	0,022	0,014	0,034	0,027	0,017	0,041	0,033	0,021	0,054	0,043	0,027		
P.1.4	110	0,8	0,022	0,018	0,011	0,028	0,022	0,014	0,034	0,027	0,017	0,041	0,033	0,021	0,054	0,043	0,027		
P.1.5	110	0,8	0,022	0,018	0,011	0,028	0,022	0,014	0,034	0,027	0,017	0,041	0,033	0,021	0,054	0,043	0,027		
P.2.1	110	0,8	0,022	0,018	0,011	0,028	0,022	0,014	0,034	0,027	0,017	0,041	0,033	0,021	0,054	0,043	0,027		
P.2.2	110	0,8	0,022	0,018	0,011	0,028	0,022	0,014	0,034	0,027	0,017	0,041	0,033	0,021	0,054	0,043	0,027		
P.2.3	110	0,8	0,022	0,018	0,011	0,028	0,022	0,014	0,034	0,027	0,017	0,041	0,033	0,021	0,054	0,043	0,027		
P.2.4	95	0,8	0,022	0,018	0,011	0,028	0,022	0,014	0,034	0,027	0,017	0,041	0,033	0,021	0,054	0,043	0,027		
P.3.1	95	0,8	0,022	0,018	0,011	0,028	0,022	0,014	0,034	0,027	0,017	0,041	0,033	0,021	0,054	0,043	0,027		
P.3.2	95	0,8	0,022	0,018	0,011	0,028	0,022	0,014	0,034	0,027	0,017	0,041	0,033	0,021	0,054	0,043	0,027		
P.3.3																			
P.4.1	70	0,8	0,022	0,018	0,011	0,028	0,022	0,014	0,034	0,027	0,017	0,041	0,033	0,021	0,054	0,043	0,027		
P.4.2	60	0,8	0,022	0,018	0,011	0,028	0,022	0,014	0,034	0,027	0,017	0,041	0,033	0,021	0,054	0,043	0,027		
M.1.1	70	0,8	0,022	0,018	0,011	0,028	0,022	0,014	0,034	0,027	0,017	0,041	0,033	0,021	0,054	0,043	0,027		
M.2.1	70	0,8	0,022	0,018	0,011	0,028	0,022	0,014	0,034	0,027	0,017	0,041	0,033	0,021	0,054	0,043	0,027		
M.3.1	70	0,8	0,022	0,018	0,011	0,028	0,022	0,014	0,034	0,027	0,017	0,041	0,033	0,021	0,054	0,043	0,027		
K.1.1	130	0,8	0,044	0,035	0,022	0,056	0,045	0,028	0,066	0,053	0,033	0,078	0,062	0,039	0,100	0,080	0,050		
K.1.2	120	0,8	0,044	0,035	0,022	0,056	0,045	0,028	0,066	0,053	0,033	0,078	0,062	0,039	0,100	0,080	0,050		
K.2.1	130	0,8	0,035	0,028	0,018	0,042	0,034	0,021	0,050	0,040	0,025	0,058	0,046	0,029	0,072	0,058	0,036		
K.2.2	120	0,8	0,035	0,028	0,018	0,042	0,034	0,021	0,050	0,040	0,025	0,058	0,046	0,029	0,072	0,058	0,036		
K.3.1	130	0,8	0,044	0,035	0,022	0,056	0,045	0,028	0,066	0,053	0,033	0,078	0,062	0,039	0,100	0,080	0,050		
K.3.2	130	0,8	0,044	0,035	0,022	0,056	0,045	0,028	0,066	0,053	0,033	0,078	0,062	0,039	0,100	0,080	0,050		
N.1.1																			
N.1.2																			
N.2.1																			
N.2.2																			
N.2.3																			
N.3.1																			
N.3.2																			
N.3.3																			
N.4.1																			
S.1.1																			
S.1.2																			
S.2.1																			
S.2.2																			
S.2.3																			
S.3.1																			
S.3.2																			
S.3.3																			
H.1.1																			
H.1.2																			
H.1.3																			
H.1.4																			
H.2.1																			
H.3.1																			
O.1.1																			
O.1.2																			
O.2.1																			
O.2.2																			
O.3.1																			



Index	54 070 ..., 54 071 ..., 54 072 ...												● 1er choix ○ Utilisation possible					
	\varnothing DC (mm) =												Emulsion	Air	MMS			
	10			12			16			20								
	a_s 0,1–0,2 x DC	a_s 0,3–0,4 x DC	a_s 0,6–1,0 x DC	a_s 0,1–0,2 x DC	a_s 0,3–0,4 x DC	a_s 0,6–1,0 x DC	a_s 0,1–0,2 x DC	a_s 0,3–0,4 x DC	a_s 0,6–1,0 x DC	a_s 0,1–0,2 x DC	a_s 0,3–0,4 x DC	a_s 0,6–1,0 x DC						
P.1.1	0,075	0,060	0,038	0,089	0,071	0,045	0,110	0,088	0,055	0,123	0,098	0,062	●	○	○			
P.1.2	0,066	0,053	0,033	0,079	0,063	0,040	0,099	0,079	0,050	0,111	0,089	0,056	●	○	○			
P.1.3	0,066	0,053	0,033	0,079	0,063	0,040	0,099	0,079	0,050	0,111	0,089	0,056	●	○	○			
P.1.4	0,066	0,053	0,033	0,079	0,063	0,040	0,099	0,079	0,050	0,111	0,089	0,056	●	○	○			
P.1.5	0,066	0,053	0,033	0,079	0,063	0,040	0,099	0,079	0,050	0,111	0,089	0,056	●	○	○			
P.2.1	0,066	0,053	0,033	0,079	0,063	0,040	0,099	0,079	0,050	0,111	0,089	0,056	●	○	○			
P.2.2	0,066	0,053	0,033	0,079	0,063	0,040	0,099	0,079	0,050	0,111	0,089	0,056	●	○	○			
P.2.3	0,066	0,053	0,033	0,079	0,063	0,040	0,099	0,079	0,050	0,111	0,089	0,056	●	○	○			
P.2.4	0,066	0,053	0,033	0,079	0,063	0,040	0,099	0,079	0,050	0,111	0,089	0,056	●	○	○			
P.3.1	0,066	0,053	0,033	0,079	0,063	0,040	0,099	0,079	0,050	0,111	0,089	0,056	●	○	○			
P.3.2	0,066	0,053	0,033	0,079	0,063	0,040	0,099	0,079	0,050	0,111	0,089	0,056	●	○	○			
P.3.3																		
P.4.1	0,066	0,053	0,033	0,079	0,063	0,040	0,099	0,079	0,050	0,111	0,089	0,056	●					
P.4.2	0,066	0,053	0,033	0,079	0,063	0,040	0,099	0,079	0,050	0,111	0,089	0,056	●					
M.1.1	0,066	0,053	0,033	0,079	0,063	0,040	0,099	0,079	0,050	0,111	0,089	0,056	●					
M.2.1	0,066	0,053	0,033	0,079	0,063	0,040	0,099	0,079	0,050	0,111	0,089	0,056	●					
M.3.1	0,066	0,053	0,033	0,079	0,063	0,040	0,099	0,079	0,050	0,111	0,089	0,056	●					
K.1.1	0,122	0,098	0,061	0,144	0,115	0,072	0,177	0,142	0,089	0,200	0,160	0,100	●	○	○			
K.1.2	0,122	0,098	0,061	0,144	0,115	0,072	0,177	0,142	0,089	0,200	0,160	0,100	●	○	○			
K.2.1	0,086	0,069	0,043	0,102	0,082	0,051	0,124	0,099	0,062	0,139	0,111	0,070	●	○	○			
K.2.2	0,086	0,069	0,043	0,102	0,082	0,051	0,124	0,099	0,062	0,139	0,111	0,070	●	○	○			
K.3.1	0,122	0,098	0,061	0,144	0,115	0,072	0,177	0,142	0,089	0,200	0,160	0,100	●	○	○			
K.3.2	0,122	0,098	0,061	0,144	0,115	0,072	0,177	0,142	0,089	0,200	0,160	0,100	●	○	○			
N.1.1																		
N.1.2																		
N.2.1																		
N.2.2																		
N.2.3																		
N.3.1																		
N.3.2																		
N.3.3																		
N.4.1																		
S.1.1																		
S.1.2																		
S.2.1																		
S.2.2																		
S.2.3																		
S.3.1																		
S.3.2																		
S.3.3																		
H.1.1																		
H.1.2																		
H.1.3																		
H.1.4																		
H.2.1																		
H.3.1																		
O.1.1																		
O.1.2																		
O.2.1																		
O.2.2																		
O.3.1																		

Conditions de coupe – Fraises de finition

Index	Type long	Type extra long	Type long / extra long	54 075 ..., 54 076 ...						● 1er choix ○ Utilisation possible			
				$\emptyset DC (\text{mm}) =$						a_p 0,05 $\times DC$	Emulsion	Air	MMS
				6	8	10	12	16	20				
				v_c (m/min)		$a_{p\max} \times DC$	f_z (mm/dt)						
P.1.1	210	145	2,0	0,027	0,036	0,045	0,054	0,068	0,077	●	○	○	
P.1.2	200	140	2,0	0,027	0,036	0,045	0,054	0,068	0,077	●	○	○	
P.1.3	200	140	2,0	0,027	0,036	0,045	0,054	0,068	0,077	●	○	○	
P.1.4	185	130	2,0	0,027	0,036	0,045	0,054	0,068	0,077	●	○	○	
P.1.5	185	130	2,0	0,027	0,036	0,045	0,054	0,068	0,077	●	○	○	
P.2.1	200	140	2,0	0,027	0,036	0,045	0,054	0,068	0,077	●	○	○	
P.2.2	185	130	2,0	0,021	0,028	0,035	0,042	0,053	0,060	●	○	○	
P.2.3	175	125	2,0	0,027	0,036	0,045	0,054	0,068	0,077	●	○	○	
P.2.4	170	115	2,0	0,021	0,028	0,035	0,042	0,053	0,060	●	○	○	
P.3.1	180	125	2,0	0,027	0,036	0,045	0,054	0,068	0,077	●	○	○	
P.3.2	170	115	2,0	0,027	0,036	0,045	0,054	0,068	0,077	●	○	○	
P.3.3	140	95	2,0	0,027	0,036	0,045	0,054	0,068	0,077	●	○	○	
P.4.1	95	65	2,0	0,017	0,023	0,030	0,036	0,045	0,052	●			
P.4.2	80	60	2,0	0,017	0,023	0,030	0,036	0,045	0,052	●			
M.1.1	95	65	2,0	0,017	0,023	0,030	0,036	0,045	0,052	●			
M.2.1	95	65	2,0	0,017	0,023	0,030	0,036	0,045	0,052	●			
M.3.1	95	65	2,0	0,017	0,023	0,030	0,036	0,045	0,052	●			
K.1.1	200	140	2,0	0,032	0,042	0,052	0,063	0,078	0,088	●	○	○	
K.1.2	175	125	2,0	0,032	0,042	0,052	0,063	0,078	0,088	●	○	○	
K.2.1	185	130	2,0	0,027	0,036	0,045	0,054	0,068	0,077	●	○	○	
K.2.2	170	115	2,0	0,027	0,036	0,045	0,054	0,068	0,077	●	○	○	
K.3.1	175	125	2,0	0,027	0,036	0,045	0,054	0,068	0,077	●	○	○	
K.3.2	160	110	2,0	0,027	0,036	0,045	0,054	0,068	0,077	●	○	○	
N.1.1													
N.1.2													
N.2.1													
N.2.2													
N.2.3													
N.3.1	345	240	2,0	0,032	0,042	0,052	0,063	0,078	0,088	●	○	○	
N.3.2	345	240	2,0	0,032	0,042	0,052	0,063	0,078	0,088	●	○	○	
N.3.3	280	196	2,0	0,032	0,042	0,052	0,063	0,078	0,088	●	○	○	
N.4.1													
S.1.1	35	25	2,0	0,014	0,018	0,023	0,027	0,034	0,038	●			
S.1.2	35	25	2,0	0,014	0,018	0,023	0,027	0,034	0,038	●			
S.2.1	35	25	2,0	0,014	0,018	0,023	0,027	0,034	0,038	●			
S.2.2	35	25	2,0	0,014	0,018	0,023	0,027	0,034	0,038	●			
S.2.3	35	25	2,0	0,014	0,018	0,023	0,027	0,034	0,038	●			
S.3.1	160	110	2,0	0,027	0,036	0,045	0,054	0,068	0,077	●			
S.3.2	100	70	2,0	0,017	0,023	0,030	0,036	0,045	0,052	●			
S.3.3													
H.1.1													
H.1.2													
H.1.3													
H.1.4													
H.2.1													
H.3.1													
O.1.1													
O.1.2													
O.2.1													
O.2.2													
O.3.1													



Angle de plongée pour ramping ou interpolation circulaire = 1°

Conditions de coupe – Fraises scie

Index	54 700 ... / 54 701 ...	
	Fraises scie	
	Nuance carbure à grains fins	
	v_c (m/min)	f_z (mm/dt)
P.1.1	80–140	0,002–0,012
P.1.2	50–80	0,001–0,012
P.1.3	50–80	0,001–0,012
P.1.4	50–80	0,001–0,012
P.1.5	50–80	0,001–0,012
P.2.1	50–80	0,001–0,012
P.2.2	50–80	0,001–0,012
P.2.3	50–80	0,001–0,012
P.2.4	50–80	0,001–0,012
P.3.1	50–80	0,001–0,012
P.3.2	50–80	0,001–0,012
P.3.3	50–80	0,001–0,012
P.4.1	80–120	0,001–0,012
P.4.2	50–80	0,001–0,012
M.1.1	50–80	0,001–0,012
M.2.1	50–80	0,001–0,012
M.3.1	50–80	0,001–0,012
K.1.1	80–140	0,002–0,012
K.1.2	50–80	0,001–0,010
K.2.1	50–80	0,001–0,010
K.2.2	50–80	0,001–0,010
K.3.1	50–80	0,001–0,010
K.3.2	50–80	0,001–0,010
N.1.1	200–500	0,003–0,012
N.1.2	200–500	0,003–0,012
N.2.1	200–450	0,003–0,012
N.2.2	200–450	0,003–0,012
N.2.3	200–450	0,003–0,012
N.3.1	200–450	0,003–0,012
N.3.2	200–450	0,003–0,012
N.3.3	200–450	0,003–0,012
N.4.1		
S.1.1	20–30	0,001–0,012
S.1.2	20–30	0,001–0,012
S.2.1	20–30	0,001–0,012
S.2.2	20–30	0,001–0,012
S.2.3	20–30	0,001–0,012
S.3.1	30–70	0,001–0,012
S.3.2	30–70	0,001–0,012
S.3.3	30–70	0,001–0,012
H.1.1		
H.1.2		
H.1.3		
H.1.4		
H.2.1		
H.3.1		
O.1.1	130–200	0,003–0,015
O.1.2	130–200	0,003–0,015
O.2.1		
O.2.2		
O.3.1		

14



Les données de coupe dépendent fortement des conditions extérieures, p.ex. de la stabilité du serrage de l'outil et du montage de la pièce ainsi que de la matière et du type de machine. Les valeurs indiquées représentent des paramètres de coupe possibles qui doivent être ajustés en fonction de l'utilisation !

Conditions de coupe – Fraises de semi-ébauche NTR

Index	a_e 0,1–0,4 x DC	a_e 0,6–1,0 x DC	a_p max en mm v_c (m/min)	52 318 ...															
				\emptyset DC (mm) =															
				6			8			10			12			14			
	a_e 0,1–0,2 x DC	a_e 0,3–0,4 x DC	a_e 0,6–1,0 x DC	a_e 0,1–0,2 x DC	a_e 0,3–0,4 x DC	a_e 0,6–1,0 x DC	a_e 0,1–0,2 x DC	a_e 0,3–0,4 x DC	a_e 0,6–1,0 x DC	a_e 0,1–0,2 x DC	a_e 0,3–0,4 x DC	a_e 0,6–1,0 x DC	a_e 0,1–0,2 x DC	a_e 0,3–0,4 x DC	a_e 0,6–1,0 x DC	a_e 0,1–0,2 x DC	a_e 0,3–0,4 x DC	a_e 0,6–1,0 x DC	
P.1.1	250	140	1xDC	0,074	0,047	0,028	0,095	0,060	0,035	0,114	0,072	0,042	0,131	0,083	0,049	0,145	0,092	0,055	
P.1.2	250	140	1xDC	0,074	0,047	0,028	0,095	0,060	0,035	0,114	0,072	0,042	0,131	0,083	0,049	0,145	0,092	0,055	
P.1.3	205	115	1xDC	0,069	0,044	0,026	0,089	0,056	0,033	0,106	0,067	0,040	0,122	0,077	0,046	0,135	0,086	0,051	
P.1.4	205	115	1xDC	0,069	0,044	0,026	0,089	0,056	0,033	0,106	0,067	0,040	0,122	0,077	0,046	0,135	0,086	0,051	
P.1.5	205	115	1xDC	0,069	0,044	0,026	0,089	0,056	0,033	0,106	0,067	0,040	0,122	0,077	0,046	0,135	0,086	0,051	
P.2.1	225	125	1xDC	0,074	0,047	0,028	0,095	0,060	0,035	0,114	0,072	0,042	0,131	0,083	0,049	0,145	0,092	0,055	
P.2.2	225	125	1xDC	0,074	0,047	0,028	0,095	0,060	0,035	0,114	0,072	0,042	0,131	0,083	0,049	0,145	0,092	0,055	
P.2.3	135	75	1xDC	0,068	0,043	0,025	0,087	0,055	0,033	0,104	0,066	0,039	0,120	0,076	0,045	0,133	0,085	0,055	
P.2.4	135	75	1xDC	0,068	0,043	0,025	0,087	0,055	0,033	0,104	0,066	0,039	0,120	0,076	0,045	0,133	0,085	0,050	
P.3.1	145	85	1xDC	0,072	0,045	0,027	0,092	0,058	0,034	0,110	0,070	0,041	0,127	0,080	0,047	0,141	0,089	0,053	
P.3.2	125	70	1xDC	0,064	0,041	0,024	0,082	0,052	0,031	0,099	0,062	0,037	0,113	0,072	0,042	0,126	0,080	0,047	
P.3.3	125	70	1xDC	0,064	0,041	0,024	0,082	0,052	0,031	0,099	0,062	0,037	0,113	0,072	0,042	0,126	0,080	0,047	
P.4.1	100	55	1xDC	0,050	0,031	0,018	0,063	0,040	0,024	0,076	0,048	0,028	0,087	0,055	0,033	0,097	0,061	0,037	
P.4.2	100	55	1xDC	0,050	0,031	0,018	0,063	0,040	0,024	0,076	0,048	0,028	0,087	0,055	0,033	0,097	0,061	0,037	
M.1.1	75	40	1xDC	0,043	0,027	0,016	0,055	0,035	0,021	0,066	0,042	0,025	0,076	0,048	0,028	0,084	0,054	0,032	
M.2.1	85	40	1xDC	0,047	0,030	0,018	0,060	0,038	0,022	0,072	0,046	0,027	0,083	0,052	0,031	0,092	0,058	0,035	
M.3.1	70	35	1xDC	0,036	0,023	0,013	0,046	0,029	0,017	0,055	0,035	0,021	0,063	0,040	0,024	0,070	0,045	0,027	
K.1.1	310	150	1xDC	0,124	0,078	0,046	0,158	0,100	0,059	0,190	0,120	0,071	0,218	0,138	0,081	0,242	0,154	0,090	
K.1.2	260	100	1xDC	0,100	0,060	0,026	0,138	0,080	0,039	0,160	0,100	0,051	0,188	0,120	0,061	0,212	0,135	0,070	
K.2.1	285	140	1xDC	0,105	0,067	0,039	0,135	0,085	0,050	0,161	0,102	0,060	0,185	0,117	0,069	0,205	0,130	0,077	
K.2.2	130	65	1xDC	0,050	0,031	0,018	0,063	0,040	0,024	0,076	0,048	0,028	0,087	0,055	0,033	0,097	0,061	0,037	
K.3.1	205	100	1xDC	0,087	0,055	0,032	0,111	0,070	0,041	0,133	0,084	0,050	0,153	0,097	0,057	0,170	0,108	0,064	
K.3.2	195	95	1xDC	0,074	0,047	0,028	0,095	0,060	0,035	0,114	0,072	0,042	0,131	0,083	0,049	0,145	0,092	0,055	
N.1.1	825	535	1xDC	0,092	0,066	0,047	0,117	0,084	0,060	0,140	0,101	0,072	0,161	0,116	0,083	0,179	0,129	0,092	
N.1.2	825	535	1xDC	0,092	0,066	0,047	0,117	0,084	0,060	0,140	0,101	0,072	0,161	0,116	0,083	0,179	0,129	0,092	
N.2.1	550	355	1xDC	0,096	0,069	0,049	0,123	0,088	0,063	0,147	0,106	0,076	0,169	0,122	0,087	0,188	0,136	0,097	
N.2.2	440	285	1xDC	0,101	0,073	0,052	0,129	0,093	0,066	0,154	0,111	0,079	0,178	0,128	0,091	0,198	0,142	0,101	
N.2.3	315	205	1xDC	0,110	0,079	0,057	0,141	0,101	0,072	0,168	0,121	0,087	0,194	0,139	0,099	0,216	0,155	0,110	
N.3.1	395	255	1xDC	0,046	0,033	0,024	0,059	0,042	0,030	0,070	0,050	0,036	0,081	0,058	0,041	0,090	0,065	0,046	
N.3.2	315	205	1xDC	0,073	0,053	0,038	0,094	0,067	0,048	0,112	0,081	0,058	0,129	0,093	0,066	0,144	0,103	0,074	
N.3.3	235	155	1xDC	0,073	0,053	0,038	0,094	0,067	0,048	0,112	0,081	0,058	0,129	0,093	0,066	0,144	0,103	0,074	
N.4.1																			
S.1.1																			
S.1.2																			
S.2.1																			
S.2.2																			
S.2.3																			
S.3.1																			
S.3.2																			
S.3.3																			
H.1.1																			
H.1.2																			
H.1.3																			
H.1.4																			
H.2.1																			
H.3.1																			
O.1.1																			
O.1.2																			
O.2.1																			
O.2.2																			
O.3.1																			

Conditions de coupe – Fraises d'ébauche

Index	Type long		54 077 ...															
	v _c (m/min)	a _{pmax} x DC	Ø DC (mm) =															
			4			5			6			8			10			
			a _s 0,1–0,2 x DC	a _s 0,3–0,4 x DC	a _s 0,6–1,0 x DC	a _s 0,1–0,2 x DC	a _s 0,3–0,4 x DC	a _s 0,6–1,0 x DC	a _s 0,1–0,2 x DC	a _s 0,3–0,4 x DC	a _s 0,6–1,0 x DC	a _s 0,1–0,2 x DC	a _s 0,3–0,4 x DC	a _s 0,6–1,0 x DC	a _s 0,1–0,2 x DC	a _s 0,3–0,4 x DC	a _s 0,6–1,0 x DC	
P.1.1	185	1,0	0,043	0,035	0,022	0,054	0,043	0,027	0,063	0,050	0,032	0,085	0,068	0,042	0,104	0,084	0,052	
P.1.2	175	1,0	0,043	0,035	0,022	0,054	0,043	0,027	0,063	0,050	0,032	0,085	0,068	0,042	0,104	0,084	0,052	
P.1.3	175	1,0	0,043	0,035	0,022	0,054	0,043	0,027	0,063	0,050	0,032	0,085	0,068	0,042	0,104	0,084	0,052	
P.1.4	170	1,0	0,043	0,035	0,022	0,054	0,043	0,027	0,063	0,050	0,032	0,085	0,068	0,042	0,104	0,084	0,052	
P.1.5	170	1,0	0,043	0,035	0,022	0,054	0,043	0,027	0,063	0,050	0,032	0,085	0,068	0,042	0,104	0,084	0,052	
P.2.1	175	1,0	0,043	0,035	0,022	0,054	0,043	0,027	0,063	0,050	0,032	0,085	0,068	0,042	0,104	0,084	0,052	
P.2.2	170	1,0	0,034	0,027	0,017	0,044	0,035	0,022	0,054	0,043	0,027	0,072	0,058	0,036	0,090	0,072	0,045	
P.2.3	160	1,0	0,043	0,035	0,022	0,054	0,043	0,027	0,063	0,050	0,032	0,085	0,068	0,042	0,104	0,084	0,052	
P.2.4	150	1,0	0,034	0,027	0,017	0,044	0,035	0,022	0,054	0,043	0,027	0,072	0,058	0,036	0,090	0,072	0,045	
P.3.1	160	1,0	0,043	0,035	0,022	0,054	0,043	0,027	0,063	0,050	0,032	0,085	0,068	0,042	0,104	0,084	0,052	
P.3.2	150	1,0	0,043	0,035	0,022	0,054	0,043	0,027	0,063	0,050	0,032	0,085	0,068	0,042	0,104	0,084	0,052	
P.3.3	130	1,0	0,043	0,035	0,022	0,054	0,043	0,027	0,063	0,050	0,032	0,085	0,068	0,042	0,104	0,084	0,052	
P.4.1	90	1,0	0,022	0,017	0,011	0,028	0,022	0,014	0,034	0,027	0,017	0,047	0,037	0,023	0,059	0,048	0,030	
P.4.2	70	1,0	0,022	0,017	0,011	0,028	0,022	0,014	0,034	0,027	0,017	0,047	0,037	0,023	0,059	0,048	0,030	
M.1.1	90	1,0	0,022	0,017	0,011	0,028	0,022	0,014	0,034	0,027	0,017	0,047	0,037	0,023	0,059	0,048	0,030	
M.2.1	90	1,0	0,022	0,017	0,011	0,028	0,022	0,014	0,034	0,027	0,017	0,047	0,037	0,023	0,059	0,048	0,030	
M.3.1	90	1,0	0,022	0,017	0,011	0,028	0,022	0,014	0,034	0,027	0,017	0,047	0,037	0,023	0,059	0,048	0,030	
K.1.1	175	1,0	0,056	0,045	0,028	0,070	0,056	0,035	0,085	0,068	0,042	0,113	0,091	0,057	0,144	0,115	0,072	
K.1.2	160	1,0	0,056	0,045	0,028	0,070	0,056	0,035	0,085	0,068	0,042	0,113	0,091	0,057	0,144	0,115	0,072	
K.2.1	170	1,0	0,043	0,035	0,022	0,054	0,043	0,027	0,063	0,050	0,032	0,085	0,068	0,042	0,104	0,084	0,052	
K.2.2	155	1,0	0,043	0,035	0,022	0,054	0,043	0,027	0,063	0,050	0,032	0,085	0,068	0,042	0,104	0,084	0,052	
K.3.1	160	1,0	0,043	0,035	0,022	0,054	0,043	0,027	0,063	0,050	0,032	0,085	0,068	0,042	0,104	0,084	0,052	
K.3.2	145	1,0	0,043	0,035	0,022	0,054	0,043	0,027	0,063	0,050	0,032	0,085	0,068	0,042	0,104	0,084	0,052	
N.1.1																		
N.1.2																		
N.2.1																		
N.2.2																		
N.2.3																		
N.3.1	280	1,0	0,056	0,045	0,028	0,070	0,056	0,035	0,085	0,068	0,042	0,113	0,091	0,057	0,144	0,115	0,072	
N.3.2	280	1,0	0,056	0,045	0,028	0,070	0,056	0,035	0,085	0,068	0,042	0,113	0,091	0,057	0,144	0,115	0,072	
N.3.3	225	1,0	0,056	0,045	0,028	0,070	0,056	0,035	0,085	0,068	0,042	0,113	0,091	0,057	0,144	0,115	0,072	
N.4.1																		
S.1.1	25	1,0	0,018	0,014	0,009	0,023	0,018	0,011	0,027	0,022	0,014	0,036	0,029	0,018	0,045	0,036	0,023	
S.1.2	25	1,0	0,018	0,014	0,009	0,023	0,018	0,011	0,027	0,022	0,014	0,036	0,029	0,018	0,045	0,036	0,023	
S.2.1	25	1,0	0,018	0,014	0,009	0,023	0,018	0,011	0,027	0,022	0,014	0,036	0,029	0,018	0,045	0,036	0,023	
S.2.2	25	1,0	0,018	0,014	0,009	0,023	0,018	0,011	0,027	0,022	0,014	0,036	0,029	0,018	0,045	0,036	0,023	
S.2.3	25	1,0	0,018	0,014	0,009	0,023	0,018	0,011	0,027	0,022	0,014	0,036	0,029	0,018	0,045	0,036	0,023	
S.3.1	70	1,0	0,034	0,027	0,017	0,044	0,035	0,022	0,054	0,043	0,027	0,072	0,058	0,036	0,090	0,072	0,045	
S.3.2	40	1,0	0,022	0,017	0,011	0,028	0,022	0,014	0,034	0,027	0,017	0,047	0,037	0,023	0,059	0,048	0,030	
S.3.3																		
H.1.1																		
H.1.2																		
H.1.3																		
H.1.4																		
H.2.1																		
H.3.1																		
O.1.1																		
O.1.2																		
O.2.1																		
O.2.2																		
O.3.1																		



Angle de ramping et de plongée hélicoïdale = 3°

Index	54 077 ...										● 1er choix		
	\emptyset DC (mm) =										○ Utilisation possible		
	12			16			20				Emulsion	Air	MMS
	a_s 0,1–0,2 x DC	a_s 0,3–0,4 x DC	a_s 0,6–1,0 x DC	a_s 0,1–0,2 x DC	a_s 0,3–0,4 x DC	a_s 0,6–1,0 x DC	a_s 0,1–0,2 x DC	a_s 0,3–0,4 x DC	a_s 0,6–1,0 x DC	f _z (mm/dt)			
P.1.1	0,126	0,101	0,063	0,156	0,125	0,078	0,176	0,141	0,088		●	○	○
P.1.2	0,126	0,101	0,063	0,156	0,125	0,078	0,176	0,141	0,088		●	○	○
P.1.3	0,126	0,101	0,063	0,156	0,125	0,078	0,176	0,141	0,088		●	○	○
P.1.4	0,126	0,101	0,063	0,156	0,125	0,078	0,176	0,141	0,088		●	○	○
P.1.5	0,126	0,101	0,063	0,156	0,125	0,078	0,176	0,141	0,088		●	○	○
P.2.1	0,126	0,101	0,063	0,156	0,125	0,078	0,176	0,141	0,088		●	○	○
P.2.2	0,108	0,086	0,054	0,135	0,108	0,068	0,153	0,122	0,077		●	○	○
P.2.3	0,126	0,101	0,063	0,156	0,125	0,078	0,176	0,141	0,088		●	○	○
P.2.4	0,108	0,086	0,054	0,135	0,108	0,068	0,153	0,122	0,077		●	○	○
P.3.1	0,126	0,101	0,063	0,156	0,125	0,078	0,176	0,141	0,088		●	○	○
P.3.2	0,126	0,101	0,063	0,156	0,125	0,078	0,176	0,141	0,088		●	○	○
P.3.3	0,126	0,101	0,063	0,156	0,125	0,078	0,176	0,141	0,088		●	○	○
P.4.1	0,072	0,058	0,036	0,091	0,073	0,045	0,104	0,083	0,052		●		
P.4.2	0,072	0,058	0,036	0,091	0,073	0,045	0,104	0,083	0,052		●		
M.1.1	0,072	0,058	0,036	0,091	0,073	0,045	0,104	0,083	0,052		●		
M.2.1	0,072	0,058	0,036	0,091	0,073	0,045	0,104	0,083	0,052		●		
M.3.1	0,072	0,058	0,036	0,091	0,073	0,045	0,104	0,083	0,052		●		
K.1.1	0,173	0,138	0,086	0,216	0,173	0,108	0,247	0,197	0,123		●	○	○
K.1.2	0,173	0,138	0,086	0,216	0,173	0,108	0,247	0,197	0,123		●	○	○
K.2.1	0,126	0,101	0,063	0,156	0,125	0,078	0,176	0,141	0,088		●	○	○
K.2.2	0,126	0,101	0,063	0,156	0,125	0,078	0,176	0,141	0,088		●	○	○
K.3.1	0,126	0,101	0,063	0,156	0,125	0,078	0,176	0,141	0,088		●	○	○
K.3.2	0,126	0,101	0,063	0,156	0,125	0,078	0,176	0,141	0,088		●	○	○
N.1.1													
N.1.2													
N.2.1													
N.2.2													
N.2.3													
N.3.1	0,173	0,138	0,086	0,216	0,173	0,108	0,247	0,197	0,123		●		
N.3.2	0,173	0,138	0,086	0,216	0,173	0,108	0,247	0,197	0,123		●		
N.3.3	0,173	0,138	0,086	0,216	0,173	0,108	0,247	0,197	0,123		●		
N.4.1													
S.1.1	0,054	0,043	0,027	0,068	0,054	0,034	0,076	0,060	0,038		●		
S.1.2	0,054	0,043	0,027	0,068	0,054	0,034	0,076	0,060	0,038		●		
S.2.1	0,054	0,043	0,027	0,068	0,054	0,034	0,076	0,060	0,038		●		
S.2.2	0,054	0,043	0,027	0,068	0,054	0,034	0,076	0,060	0,038		●		
S.2.3	0,054	0,043	0,027	0,068	0,054	0,034	0,076	0,060	0,038		●		
S.3.1	0,108	0,086	0,054	0,135	0,108	0,068	0,153	0,122	0,077		●		
S.3.2	0,072	0,058	0,036	0,091	0,073	0,045	0,104	0,083	0,052		●		
S.3.3													
H.1.1													
H.1.2													
H.1.3													
H.1.4													
H.2.1													
H.3.1													
O.1.1													
O.1.2													
O.2.1													
O.2.2													
O.3.1													

Conditions de coupe – Fraises d'ébauche

Index			52 338 ..., 52 339 ..., 52 341 ..., 52 342 ..., 52 343 ...											
			Ti1000											
	Rainurage		Contournage		$\emptyset DC$ (mm)									
	v _c (m/min)				6	8	10	12	14	f _x (mm/dt)				
P.1.1	170	190	0,028	0,03	0,04	0,05	0,05	0,06	0,06	0,07	0,07	0,08		
P.1.2	160	180	0,028	0,03	0,04	0,05	0,05	0,06	0,06	0,07	0,07	0,08		
P.1.3	150	170	0,028	0,03	0,04	0,05	0,05	0,06	0,06	0,07	0,07	0,08		
P.1.4	150	170	0,028	0,03	0,04	0,05	0,05	0,06	0,06	0,07	0,07	0,08		
P.1.5	130	150	0,028	0,03	0,04	0,05	0,05	0,06	0,06	0,07	0,07	0,08		
P.2.1	110	130	0,028	0,03	0,04	0,05	0,05	0,06	0,06	0,07	0,07	0,08		
P.2.2	110	130	0,028	0,03	0,04	0,05	0,05	0,06	0,06	0,07	0,07	0,08		
P.2.3	110	130	0,028	0,03	0,04	0,05	0,05	0,06	0,06	0,07	0,07	0,08		
P.2.4	110	130	0,028	0,03	0,04	0,05	0,05	0,06	0,06	0,07	0,07	0,08		
P.3.1	160	180	0,028	0,03	0,04	0,05	0,05	0,06	0,06	0,07	0,07	0,08		
P.3.2	90	110	0,028	0,03	0,04	0,05	0,05	0,06	0,06	0,07	0,07	0,08		
P.3.3	90	110	0,028	0,03	0,04	0,05	0,05	0,06	0,06	0,07	0,07	0,08		
P.4.1	55	65	0,02	0,03	0,03	0,04	0,04	0,05	0,05	0,06	0,06	0,07		
P.4.2	35	45	0,02	0,03	0,03	0,04	0,04	0,05	0,05	0,06	0,06	0,07		
M.1.1	60	70	0,02	0,03	0,03	0,04	0,04	0,05	0,05	0,06	0,06	0,07		
M.2.1	45	55	0,02	0,03	0,03	0,04	0,04	0,05	0,05	0,06	0,06	0,07		
M.3.1	50	60	0,02	0,03	0,03	0,04	0,04	0,05	0,05	0,06	0,06	0,07		
K.1.1	120	130	0,028	0,03	0,04	0,05	0,05	0,06	0,06	0,07	0,07	0,08		
K.1.2	110	120	0,028	0,03	0,04	0,05	0,05	0,06	0,06	0,07	0,07	0,08		
K.2.1	110	120	0,028	0,03	0,04	0,05	0,05	0,06	0,06	0,07	0,07	0,08		
K.2.2	90	100	0,028	0,03	0,04	0,05	0,05	0,06	0,06	0,07	0,07	0,08		
K.3.1	110	120	0,028	0,03	0,04	0,05	0,05	0,06	0,06	0,07	0,07	0,08		
K.3.2	100	110	0,028	0,03	0,04	0,05	0,05	0,06	0,06	0,07	0,07	0,08		
N.1.1														
N.1.2														
N.2.1														
N.2.2														
N.2.3														
N.3.1														
N.3.2														
N.3.3														
N.4.1														
S.1.1														
S.1.2														
S.2.1														
S.2.2														
S.2.3														
S.3.1														
S.3.2														
S.3.3														
H.1.1														
H.1.2														
H.1.3														
H.1.4														
H.2.1														
H.3.1														
O.1.1														
O.1.2														
O.2.1														
O.2.2														
O.3.1														



Pour le Rainurage les valeurs figurant dans le tableau correspondent à :
 $a_e = 1,0 \times DC / a_p = 1,0 \times DC$



Pour le Contournage les valeurs figurant dans le tableau correspondent à :
 $a_e = 0,4 \times DC / a_p = 1,0 \times DC$

Index	52 338 ..., 52 339 ..., 52 340 ..., 52 341 ..., 52 342 ..., 52 343 ...								● 1er choix		
	Ti1000								○ Utilisation possible		
	16		18		20		25				
	f_z (mm/dt)								Emulsion	Air	MMS
P.1.1	0,08	0,09	0,09	0,1	0,1	0,12	0,1	0,12	●	○	
P.1.2	0,08	0,09	0,09	0,1	0,1	0,12	0,1	0,12	●	○	
P.1.3	0,08	0,09	0,09	0,1	0,1	0,12	0,1	0,12	●	○	
P.1.4	0,08	0,09	0,09	0,1	0,1	0,12	0,1	0,12	●	○	
P.1.5	0,08	0,09	0,09	0,1	0,1	0,12	0,1	0,12	●	○	
P.2.1	0,08	0,09	0,09	0,1	0,1	0,12	0,1	0,12	●	○	
P.2.2	0,08	0,09	0,09	0,1	0,1	0,12	0,1	0,12	●	○	
P.2.3	0,08	0,09	0,09	0,1	0,1	0,12	0,1	0,12	●	○	
P.2.4	0,08	0,09	0,09	0,1	0,1	0,12	0,1	0,12	●	○	
P.3.1	0,08	0,09	0,09	0,1	0,1	0,12	0,1	0,12	●	○	
P.3.2	0,08	0,09	0,09	0,1	0,1	0,12	0,1	0,12	●	○	
P.3.3	0,08	0,09	0,09	0,1	0,1	0,12	0,1	0,12	●	○	
P.4.1	0,06	0,08	0,07	0,09	0,08	0,1	0,08	0,1	●		
P.4.2	0,06	0,08	0,07	0,09	0,08	0,1	0,08	0,1	●		
M.1.1	0,06	0,08	0,07	0,09	0,08	0,1	0,08	0,1	●		
M.2.1	0,06	0,08	0,07	0,09	0,08	0,1	0,08	0,1	●		
M.3.1	0,06	0,08	0,07	0,09	0,08	0,1	0,08	0,1	●		
K.1.1	0,08	0,09	0,09	0,1	0,1	0,12	0,1	0,12	●	○	
K.1.2	0,08	0,09	0,09	0,1	0,1	0,12	0,1	0,12	●	○	
K.2.1	0,08	0,09	0,09	0,1	0,1	0,12	0,1	0,12	●	○	
K.2.2	0,08	0,09	0,09	0,1	0,1	0,12	0,1	0,12	●	○	
K.3.1	0,08	0,09	0,09	0,1	0,1	0,12	0,1	0,12	●	○	
K.3.2	0,08	0,09	0,09	0,1	0,1	0,12	0,1	0,12	●	○	
N.1.1											
N.1.2											
N.2.1											
N.2.2											
N.2.3											
N.3.1											
N.3.2											
N.3.3											
N.4.1											
S.1.1											
S.1.2											
S.2.1											
S.2.2											
S.2.3											
S.3.1											
S.3.2											
S.3.3											
H.1.1											
H.1.2											
H.1.3											
H.1.4											
H.2.1											
H.3.1											
O.1.1											
O.1.2											
O.2.1											
O.2.2											
O.3.1											



Pour les outils à lubrification centrale (52 338 ... / 52 339 ...) les vitesses de coupe (v_c) peuvent être augmentées de 20 à 30 % !

Conditions de coupe – Fraises hémisphériques

Index	Type court		54 073 ...																	
	v _c (m/min)	a _{pmax} x DC	Ø DC (mm) =								f _z (mm/dt)									
			3			4			5		6			8						
			a _s 0,01–0,02 x DC	a _s 0,03–0,04 x DC	a _s 0,05 x DC	a _s 0,01–0,02 x DC	a _s 0,03–0,04 x DC	a _s 0,05 x DC	a _s 0,01–0,02 x DC	a _s 0,03–0,04 x DC	a _s 0,05 x DC	a _s 0,01–0,02 x DC	a _s 0,03–0,04 x DC	a _s 0,05 x DC	a _s 0,01–0,02 x DC	a _s 0,03–0,04 x DC	a _s 0,05 x DC	a _s 0,01–0,02 x DC	a _s 0,03–0,04 x DC	a _s 0,05 x DC
P.1.1	180	0,08	0,022	0,018	0,011	0,028	0,022	0,014	0,034	0,027	0,017	0,041	0,033	0,021	0,054	0,043	0,027			
P.1.2	160	0,08	0,022	0,018	0,011	0,028	0,022	0,014	0,034	0,027	0,017	0,041	0,033	0,021	0,054	0,043	0,027			
P.1.3	160	0,08	0,022	0,018	0,011	0,028	0,022	0,014	0,034	0,027	0,017	0,041	0,033	0,021	0,054	0,043	0,027			
P.1.4	150	0,08	0,022	0,018	0,011	0,028	0,022	0,014	0,034	0,027	0,017	0,041	0,033	0,021	0,054	0,043	0,027			
P.1.5	150	0,08	0,022	0,018	0,011	0,028	0,022	0,014	0,034	0,027	0,017	0,041	0,033	0,021	0,054	0,043	0,027			
P.2.1	170	0,08	0,022	0,018	0,011	0,028	0,022	0,014	0,034	0,027	0,017	0,041	0,033	0,021	0,054	0,043	0,027			
P.2.2	140	0,08	0,022	0,018	0,011	0,028	0,022	0,014	0,034	0,027	0,017	0,041	0,033	0,021	0,054	0,043	0,027			
P.2.3	140	0,08	0,022	0,018	0,011	0,028	0,022	0,014	0,034	0,027	0,017	0,041	0,033	0,021	0,054	0,043	0,027			
P.2.4	130	0,08	0,022	0,018	0,011	0,028	0,022	0,014	0,034	0,027	0,017	0,041	0,033	0,021	0,054	0,043	0,027			
P.3.1																				
P.3.2																				
P.3.3																				
P.4.1	100	0,08	0,015	0,012	0,008	0,020	0,016	0,010	0,025	0,020	0,013	0,030	0,024	0,015	0,040	0,032	0,020			
P.4.2	40	0,08	0,015	0,012	0,008	0,020	0,016	0,010	0,025	0,020	0,013	0,030	0,024	0,015	0,040	0,032	0,020			
M.1.1	50	0,08	0,015	0,012	0,008	0,020	0,016	0,010	0,025	0,020	0,013	0,030	0,024	0,015	0,040	0,032	0,020			
M.2.1	50	0,08	0,015	0,012	0,008	0,020	0,016	0,010	0,025	0,020	0,013	0,030	0,024	0,015	0,040	0,032	0,020			
M.3.1	50	0,08	0,015	0,012	0,008	0,020	0,016	0,010	0,025	0,020	0,013	0,030	0,024	0,015	0,040	0,032	0,020			
K.1.1	120	0,08	0,044	0,035	0,022	0,056	0,045	0,028	0,066	0,053	0,033	0,078	0,062	0,039	0,100	0,080	0,050			
K.1.2	80	0,08	0,044	0,035	0,022	0,056	0,045	0,028	0,066	0,053	0,033	0,078	0,062	0,039	0,100	0,080	0,050			
K.2.1	120	0,08	0,035	0,028	0,018	0,042	0,034	0,021	0,050	0,040	0,025	0,058	0,046	0,029	0,072	0,058	0,036			
K.2.2	200	0,08	0,035	0,028	0,018	0,042	0,034	0,021	0,050	0,040	0,025	0,058	0,046	0,029	0,072	0,058	0,036			
K.3.1	120	0,08	0,044	0,035	0,022	0,056	0,045	0,028	0,066	0,053	0,033	0,078	0,062	0,039	0,100	0,080	0,050			
K.3.2	100	0,08	0,044	0,035	0,022	0,056	0,045	0,028	0,066	0,053	0,033	0,078	0,062	0,039	0,100	0,080	0,050			
N.1.1																				
N.1.2																				
N.2.1																				
N.2.2																				
N.2.3																				
N.3.1	200	0,08	0,032	0,026	0,016	0,043	0,034	0,022	0,054	0,043	0,027	0,066	0,053	0,033	0,088	0,070	0,044			
N.3.2	200	0,08	0,032	0,026	0,016	0,043	0,034	0,022	0,054	0,043	0,027	0,066	0,053	0,033	0,088	0,070	0,044			
N.3.3	140	0,08	0,032	0,026	0,016	0,043	0,034	0,022	0,054	0,043	0,027	0,066	0,053	0,033	0,088	0,070	0,044			
N.4.1																				
S.1.1	30	0,08	0,015	0,012	0,008	0,020	0,016	0,010	0,025	0,020	0,013	0,030	0,024	0,015	0,040	0,032	0,020			
S.1.2	30	0,08	0,015	0,012	0,008	0,020	0,016	0,010	0,025	0,020	0,013	0,030	0,024	0,015	0,040	0,032	0,020			
S.2.1	30	0,08	0,015	0,012	0,008	0,020	0,016	0,010	0,025	0,020	0,013	0,030	0,024	0,015	0,040	0,032	0,020			
S.2.2	30	0,08	0,015	0,012	0,008	0,020	0,016	0,010	0,025	0,020	0,013	0,030	0,024	0,015	0,040	0,032	0,020			
S.2.3	30	0,08	0,015	0,012	0,008	0,020	0,016	0,010	0,025	0,020	0,013	0,030	0,024	0,015	0,040	0,032	0,020			
S.3.1	50	0,08	0,015	0,012	0,008	0,020	0,016	0,010	0,025	0,020	0,013	0,030	0,024	0,015	0,040	0,032	0,020			
S.3.2	20	0,08	0,015	0,012	0,008	0,020	0,016	0,010	0,025	0,020	0,013	0,030	0,024	0,015	0,040	0,032	0,020			
S.3.3																				
H.1.1																				
H.1.2																				
H.1.3																				
H.1.4																				
H.2.1																				
H.3.1																				
O.1.1																				
O.1.2																				
O.2.1																				
O.2.2																				
O.3.1																				

Index	54 073 ...												● 1er choix ○ Utilisation possible					
	\emptyset DC (mm) =												Emulsion	Air	MMS			
	10			12			16			20								
	a_e 0,01–0,02	a_e 0,03–0,04	a_e 0,05 x DC	a_e 0,01–0,02	a_e 0,03–0,04 x DC	a_e 0,05 x DC	a_e 0,01–0,02	a_e 0,03–0,04 x DC	a_e 0,05 x DC	a_e 0,01–0,02	a_e 0,03–0,04 x DC	a_e 0,05 x DC						
	f_z (mm/dt)																	
P.1.1	0,066	0,053	0,033	0,079	0,063	0,040	0,099	0,079	0,050	0,111	0,089	0,056	●	○	○			
P.1.2	0,066	0,053	0,033	0,079	0,063	0,040	0,099	0,079	0,050	0,111	0,089	0,056	●	○	○			
P.1.3	0,066	0,053	0,033	0,079	0,063	0,040	0,099	0,079	0,050	0,111	0,089	0,056	●	○	○			
P.1.4	0,066	0,053	0,033	0,079	0,063	0,040	0,099	0,079	0,050	0,111	0,089	0,056	●	○	○			
P.1.5	0,066	0,053	0,033	0,079	0,063	0,040	0,099	0,079	0,050	0,111	0,089	0,056	●	○	○			
P.2.1	0,066	0,053	0,033	0,079	0,063	0,040	0,099	0,079	0,050	0,111	0,089	0,056	●	○	○			
P.2.2	0,066	0,053	0,033	0,079	0,063	0,040	0,099	0,079	0,050	0,111	0,089	0,056	●	○	○			
P.2.3	0,066	0,053	0,033	0,079	0,063	0,040	0,099	0,079	0,050	0,111	0,089	0,056	●	○	○			
P.2.4	0,066	0,053	0,033	0,079	0,063	0,040	0,099	0,079	0,050	0,111	0,089	0,056	●	○	○			
P.3.1																		
P.3.2																		
P.3.3																		
P.4.1	0,050	0,040	0,025	0,060	0,048	0,030	0,075	0,060	0,038	0,084	0,067	0,042	●					
P.4.2	0,050	0,040	0,025	0,060	0,048	0,030	0,075	0,060	0,038	0,084	0,067	0,042	●					
M.1.1	0,050	0,040	0,025	0,060	0,048	0,030	0,075	0,060	0,038	0,084	0,067	0,042	●					
M.2.1	0,050	0,040	0,025	0,060	0,048	0,030	0,075	0,060	0,038	0,084	0,067	0,042	●					
M.3.1	0,050	0,040	0,025	0,060	0,048	0,030	0,075	0,060	0,038	0,084	0,067	0,042	●					
K.1.1	0,122	0,098	0,061	0,144	0,115	0,072	0,177	0,142	0,089	0,200	0,160	0,100	●	○	○			
K.1.2	0,122	0,098	0,061	0,144	0,115	0,072	0,177	0,142	0,089	0,200	0,160	0,100	●	○	○			
K.2.1	0,086	0,069	0,043	0,102	0,082	0,051	0,124	0,099	0,062	0,139	0,111	0,070	●	○	○			
K.2.2	0,086	0,069	0,043	0,102	0,082	0,051	0,124	0,099	0,062	0,139	0,111	0,070	●	○	○			
K.3.1	0,122	0,098	0,061	0,144	0,115	0,072	0,177	0,142	0,089	0,200	0,160	0,100	●	○	○			
K.3.2	0,122	0,098	0,061	0,144	0,115	0,072	0,177	0,142	0,089	0,200	0,160	0,100	●	○	○			
N.1.1																		
N.1.2																		
N.2.1																		
N.2.2																		
N.2.3																		
N.3.1	0,110	0,088	0,055	0,132	0,106	0,066	0,166	0,133	0,083	0,188	0,150	0,094	●					
N.3.2	0,110	0,088	0,055	0,132	0,106	0,066	0,166	0,133	0,083	0,188	0,150	0,094	●					
N.3.3	0,110	0,088	0,055	0,132	0,106	0,066	0,166	0,133	0,083	0,188	0,150	0,094	●					
N.4.1																		
S.1.1	0,050	0,040	0,025	0,060	0,048	0,030	0,075	0,060	0,038	0,084	0,067	0,042	●					
S.1.2	0,050	0,040	0,025	0,060	0,048	0,030	0,075	0,060	0,038	0,084	0,067	0,042	●					
S.2.1	0,050	0,040	0,025	0,060	0,048	0,030	0,075	0,060	0,038	0,084	0,067	0,042	●					
S.2.2	0,050	0,040	0,025	0,060	0,048	0,030	0,075	0,060	0,038	0,084	0,067	0,042	●					
S.2.3	0,050	0,040	0,025	0,060	0,048	0,030	0,075	0,060	0,038	0,084	0,067	0,042	●					
S.3.1	0,050	0,040	0,025	0,060	0,048	0,030	0,075	0,060	0,038	0,084	0,067	0,042	●					
S.3.2	0,050	0,040	0,025	0,060	0,048	0,030	0,075	0,060	0,038	0,084	0,067	0,042	●					
S.3.3																		
H.1.1																		
H.1.2																		
H.1.3																		
H.1.4																		
H.2.1																		
H.3.1																		
O.1.1																		
O.1.2																		
O.2.1																		
O.2.2																		
O.3.1																		

Conditions de coupe – Fraises hémisphériques

Index	Types court / long		54 074 ...																	
	v_c (m/min)	a_p max. x DC	Ø DC (mm) =																	
			3			4			5		6			8						
			a_e 0,01–0,02 x DC	a_e 0,03–0,04 x DC	a_e 0,05 x DC	a_e 0,01–0,02 x DC	a_e 0,03–0,04 x DC	a_e 0,05 x DC	a_e 0,01–0,02 x DC	a_e 0,03–0,04 x DC	a_e 0,05 x DC	a_e 0,01–0,02 x DC	a_e 0,03–0,04 x DC	a_e 0,05 x DC	a_e 0,01–0,02 x DC	a_e 0,03–0,04 x DC	a_e 0,05 x DC	a_e 0,01–0,02 x DC	a_e 0,03–0,04 x DC	a_e 0,05 x DC
P.1.1	130	0,08xD	0,027	0,022	0,014	0,034	0,027	0,017	0,041	0,033	0,021	0,048	0,038	0,024	0,062	0,050	0,031			
P.1.2	110	0,08xD	0,022	0,018	0,011	0,028	0,022	0,014	0,034	0,027	0,017	0,041	0,033	0,021	0,054	0,043	0,027			
P.1.3	110	0,08xD	0,022	0,018	0,011	0,028	0,022	0,014	0,034	0,027	0,017	0,041	0,033	0,021	0,054	0,043	0,027			
P.1.4	95	0,08xD	0,022	0,018	0,011	0,028	0,022	0,014	0,034	0,027	0,017	0,041	0,033	0,021	0,054	0,043	0,027			
P.1.5	95	0,08xD	0,022	0,018	0,011	0,028	0,022	0,014	0,034	0,027	0,017	0,041	0,033	0,021	0,054	0,043	0,027			
P.2.1	110	0,08xD	0,022	0,018	0,011	0,028	0,022	0,014	0,034	0,027	0,017	0,041	0,033	0,021	0,054	0,043	0,027			
P.2.2	85	0,08xD	0,022	0,018	0,011	0,028	0,022	0,014	0,034	0,027	0,017	0,041	0,033	0,021	0,054	0,043	0,027			
P.2.3	85	0,08xD	0,022	0,018	0,011	0,028	0,022	0,014	0,034	0,027	0,017	0,041	0,033	0,021	0,054	0,043	0,027			
P.2.4	65	0,08xD	0,022	0,018	0,011	0,028	0,022	0,014	0,034	0,027	0,017	0,041	0,033	0,021	0,054	0,043	0,027			
P.3.1																				
P.3.2																				
P.3.3																				
P.4.1	60	0,08xD	0,015	0,012	0,008	0,020	0,016	0,010	0,025	0,020	0,013	0,030	0,024	0,015	0,040	0,032	0,020			
P.4.2	50	0,08xD	0,015	0,012	0,008	0,020	0,016	0,010	0,025	0,020	0,013	0,030	0,024	0,015	0,040	0,032	0,020			
M.1.1	50	0,08xD	0,015	0,012	0,008	0,020	0,016	0,010	0,025	0,020	0,013	0,030	0,024	0,015	0,040	0,032	0,020			
M.2.1	60	0,08xD	0,015	0,012	0,008	0,020	0,016	0,010	0,025	0,020	0,013	0,030	0,024	0,015	0,040	0,032	0,020			
M.3.1	60	0,08xD	0,015	0,012	0,008	0,020	0,016	0,010	0,025	0,020	0,013	0,030	0,024	0,015	0,040	0,032	0,020			
K.1.1	155	0,08xD	0,044	0,035	0,022	0,056	0,045	0,028	0,066	0,053	0,033	0,078	0,062	0,039	0,100	0,080	0,050			
K.1.2	145	0,08xD	0,044	0,035	0,022	0,056	0,045	0,028	0,066	0,053	0,033	0,078	0,062	0,039	0,100	0,080	0,050			
K.2.1	155	0,08xD	0,035	0,028	0,018	0,042	0,034	0,021	0,050	0,040	0,025	0,058	0,046	0,029	0,072	0,058	0,036			
K.2.2	145	0,08xD	0,035	0,028	0,018	0,042	0,034	0,021	0,050	0,040	0,025	0,058	0,046	0,029	0,072	0,058	0,036			
K.3.1	155	0,08xD	0,044	0,035	0,022	0,056	0,045	0,028	0,066	0,053	0,033	0,078	0,062	0,039	0,100	0,080	0,050			
K.3.2	145	0,08xD	0,044	0,035	0,022	0,056	0,045	0,028	0,066	0,053	0,033	0,078	0,062	0,039	0,100	0,080	0,050			
N.1.1																				
N.1.2																				
N.2.1																				
N.2.2																				
N.2.3																				
N.3.1	240	0,08xD	0,032	0,026	0,016	0,043	0,034	0,022	0,054	0,043	0,027	0,066	0,053	0,033	0,088	0,070	0,044			
N.3.2	240	0,08xD	0,032	0,026	0,016	0,043	0,034	0,022	0,054	0,043	0,027	0,066	0,053	0,033	0,088	0,070	0,044			
N.3.3	170	0,08xD	0,032	0,026	0,016	0,043	0,034	0,022	0,054	0,043	0,027	0,066	0,053	0,033	0,088	0,070	0,044			
N.4.1																				
S.1.1																				
S.1.2																				
S.2.1																				
S.2.2																				
S.2.3																				
S.3.1																				
S.3.2																				
S.3.3																				
H.1.1																				
H.1.2																				
H.1.3																				
H.1.4																				
H.2.1																				
H.3.1																				
O.1.1																				
O.1.2																				
O.2.1																				
O.2.2																				
O.3.1																				

Index	54 074 ...												● 1er choix ○ Utilisation possible					
	$\emptyset DC (mm) =$												Emulsion	Air	MMS			
	10			12			16			20								
	a_s 0,01–0,02 x DC	a_s 0,03–0,04 x DC	a_s 0,05 x DC	a_s 0,01–0,02 x DC	a_s 0,03–0,04 x DC	a_s 0,05 x DC	a_s 0,01–0,02 x DC	a_s 0,03–0,04 x DC	a_s 0,05 x DC	a_s 0,01–0,02 x DC	a_s 0,03–0,04 x DC	a_s 0,05 x DC						
	$f_z (\text{mm}/\text{dt})$																	
P.1.1	0,075	0,060	0,038	0,089	0,071	0,045	0,110	0,088	0,055	0,123	0,098	0,062	●	○	○			
P.1.2	0,066	0,053	0,033	0,079	0,063	0,040	0,099	0,079	0,050	0,111	0,089	0,056	●	○	○			
P.1.3	0,066	0,053	0,033	0,079	0,063	0,040	0,099	0,079	0,050	0,111	0,089	0,056	●	○	○			
P.1.4	0,066	0,053	0,033	0,079	0,063	0,040	0,099	0,079	0,050	0,111	0,089	0,056	●	○	○			
P.1.5	0,066	0,053	0,033	0,079	0,063	0,040	0,099	0,079	0,050	0,111	0,089	0,056	●	○	○			
P.2.1	0,066	0,053	0,033	0,079	0,063	0,040	0,099	0,079	0,050	0,111	0,089	0,056	●	○	○			
P.2.2	0,066	0,053	0,033	0,079	0,063	0,040	0,099	0,079	0,050	0,111	0,089	0,056	●	○	○			
P.2.3	0,066	0,053	0,033	0,079	0,063	0,040	0,099	0,079	0,050	0,111	0,089	0,056	●	○	○			
P.2.4	0,066	0,053	0,033	0,079	0,063	0,040	0,099	0,079	0,050	0,111	0,089	0,056	●	○	○			
P.3.1																		
P.3.2																		
P.3.3																		
P.4.1	0,050	0,040	0,025	0,060	0,048	0,030	0,075	0,060	0,038	0,084	0,067	0,042	●					
P.4.2	0,050	0,040	0,025	0,060	0,048	0,030	0,075	0,060	0,038	0,084	0,067	0,042	●					
M.1.1	0,050	0,040	0,025	0,060	0,048	0,030	0,075	0,060	0,038	0,084	0,067	0,042	●					
M.2.1	0,050	0,040	0,025	0,060	0,048	0,030	0,075	0,060	0,038	0,084	0,067	0,042	●					
M.3.1	0,050	0,040	0,025	0,060	0,048	0,030	0,075	0,060	0,038	0,084	0,067	0,042	●					
K.1.1	0,122	0,098	0,061	0,144	0,115	0,072	0,177	0,142	0,089	0,200	0,160	0,100	●	○	○			
K.1.2	0,122	0,098	0,061	0,144	0,115	0,072	0,177	0,142	0,089	0,200	0,160	0,100	●	○	○			
K.2.1	0,086	0,069	0,043	0,102	0,082	0,051	0,124	0,099	0,062	0,139	0,111	0,070	●	○	○			
K.2.2	0,086	0,069	0,043	0,102	0,082	0,051	0,124	0,099	0,062	0,139	0,111	0,070	●	○	○			
K.3.1	0,122	0,098	0,061	0,144	0,115	0,072	0,177	0,142	0,089	0,200	0,160	0,100	●	○	○			
K.3.2	0,122	0,098	0,061	0,144	0,115	0,072	0,177	0,142	0,089	0,200	0,160	0,100	●	○	○			
N.1.1																		
N.1.2																		
N.2.1																		
N.2.2																		
N.2.3																		
N.3.1	0,110	0,088	0,055	0,132	0,106	0,066	0,166	0,133	0,083	0,188	0,150	0,094	●					
N.3.2	0,110	0,088	0,055	0,132	0,106	0,066	0,166	0,133	0,083	0,188	0,150	0,094	●					
N.3.3	0,110	0,088	0,055	0,132	0,106	0,066	0,166	0,133	0,083	0,188	0,150	0,094	●					
N.4.1																		
S.1.1																		
S.1.2																		
S.2.1																		
S.2.2																		
S.2.3																		
S.3.1																		
S.3.2																		
S.3.3																		
H.1.1																		
H.1.2																		
H.1.3																		
H.1.4																		
H.2.1																		
H.3.1																		
O.1.1																		
O.1.2																		
O.2.1																		
O.2.2																		
O.3.1																		

Tableau des V_c en fonction du revêtement

Index	Non revêtu		Ti400		 1er choix  Utilisation possible			Ti1000 / DPX72S			 1er choix  Utilisation possible			
					Emulsion	Air	MMS			Emulsion	Air	MMS		
P.1.1	90–110	130–160	90–130	140–200	●	○	○	150–170	220–240	○	●	○		
P.1.2	80–100	120–140	90–110	100–160	●	○	○	130–150	180–220	○	●	○		
P.1.3	80–100	120–140	90–110	100–160	●	○	○	130–150	180–220	○	●	○		
P.1.4	50–60	70–90	60–70	80–110	●	○	○	70–100	100–140	○	●	○		
P.1.5	50–60	70–90	60–70	80–110	●	○	○	70–100	100–140	○	●	○		
P.2.1	70–90	100–130	80–100	140–160	●	○	○	120–140	170–200	○	●	○		
P.2.2	70–90	100–130	80–100	100–150	●	○	○	120–140	170–200	○	●	○		
P.2.3	40–60	60–80	50–70	70–100	●	○	○	60–80	90–120	○	●	○		
P.2.4	40–60	60–80	50–70	70–100	●	○	○	60–80	90–120	○	●	○		
P.3.1	50–60	70–90	60–80	70–110	●	○	○	70–100	100–140	○	●	○		
P.3.2	30–50	40–70	40–60	70–100	●	○	○	60–80	80–120	○	●	○		
P.3.3	25–40	40–60	40–60	70–100	●	○	○	50–80	70–110	○	●	○		
P.4.1	40–50	60–70	40–50	60–80	●	○	○	60–80	90–120	●		○		
P.4.2	40–50	60–70	40–50	60–80	●	○	○	60–80	90–120	●		○		
M.1.1	40–50	60–70	50–60	80–110	●	○	○	70–80	100–120	●		○		
M.2.1	20–30	30–40	25–35	40–70	●	○	○	40–60	60–80	●		○		
M.3.1	30–40	40–50	40–50	70–100	●	○	○	50–70	80–100	●		○		
K.1.1	60–80	90–120	70–90	100–130	●	○	○	100–110	140–160	○	●	○		
K.1.2	60–70	80–100	60–80	90–120	●	○	○	80–100	120–140	○	●	○		
K.2.1	60–70	80–100	70–90	100–130	●	○	○	80–100	120–140	○	●	○		
K.2.2	50–60	70–90	60–80	90–120	●	○	○	70–80	100–120	○	●	○		
K.3.1	60–80	90–120	60–80	90–120	●	○	○	100–110	140–160	○	●	○		
K.3.2	50–60	70–90	60–80	90–120	●	○	○	70–80	100–120	○	●	○		
N.1.1	<300	<400	280–320	250–350	●	○	○	180–350	250–500	●		○		
N.1.2	<300	<400	280–320	220–320	●	○	○	180–350	250–500	●		○		
N.2.1	130–180	200–250	220–270	200–300	●	○	○	140–200	200–300	●		○		
N.2.2	100–120	140–170	170–200	200–250	●	○	○	110–130	160–180	●		○		
N.2.3	40–60	60–80	120–180	150–200	●	○	○	50–70	80–100	●		○		
N.3.1	160–200	230–280	100–130	120–200	●	○	○	180–210	250–300	●	○	○		
N.3.2	150–180	210–260	100–130	120–180	●	○	○	180–210	250–300	●		○		
N.3.3	150–180	210–260	100–130	120–180	●	○	○	180–210	250–300	●		○		
N.4.1	150–180	220–260	170–200	170–250	●	○	○	180–210	250–300	●		○		
S.1.1			25–35	30–50	●	○	○	30–40	40–60	●	○	○		
S.1.2			25–35	30–50	●	○	○	30–40	40–60	●	○	○		
S.2.1	15–25	20–35	40–60	50–80	●	○	○	35–50	50–70	●	○	○		
S.2.2			30–40	40–60	●	○	○	30–40	40–60	●	○	○		
S.2.3														
S.3.1	30–50	40–70	40–50	70–100	●	○	○	50–70	80–100	●	○	○		
S.3.2	30–40	40–50	50–60	80–120	●	○	○	50–60	70–90	●	○	○		
S.3.3			30–40	40–60	●	○	○	20–30	30–40	●	○	○		
H.1.1								60–70	80–100	●				
H.1.2								40–60	60–80	●				
H.1.3								30–40	40–60	●				
H.1.4								20–30	30–40	●				
H.2.1								70–80	100–120	●				
H.3.1								60–70	80–100	●				
O.1.1	50–70	70–100	120–180	150–220	●	○	○	60–80	80–120	○	●	○		
O.1.2	40–60	60–90	70–90	90–120	●	○	○	40–70	60–100	○	●	○		
O.2.1	30–50	40–70	50–70	70–110	●	○	○	40–60	60–80	○	●	○		
O.2.2	30–50	40–70	50–70	70–110	●	○	○	40–60	60–80	○	●	○		
O.3.1	70–100	100–140	100–120	130–180	●	●	○	80–120	120–180	●	●	○		

Index	Ti1001		● 1er choix ○ Utilisation possible		Ti10 / Ti20		● 1er choix ○ Utilisation possible			
			Emulsion	Air	MMS			Emulsion	Air	MMS
	v _c (m/min)					v _c (m/min)				
P.1.1										
P.1.2										
P.1.3										
P.1.4										
P.1.5										
P.2.1										
P.2.2										
P.2.3										
P.2.4										
P.3.1										
P.3.2										
P.3.3										
P.4.1										
P.4.2										
M.1.1										
M.2.1										
M.3.1										
K.1.1										
K.1.2										
K.2.1										
K.2.2										
K.3.1										
K.3.2										
N.1.1	300–400	300–500	●	○	150–350	250–500	●	○		
N.1.2	300–400	300–500	●	○	120–220	150–300	●	○		
N.2.1	250–300	300–450	●	○	150–180	220–250	●	○		
N.2.2	200–250	250–350	●	○	100–130	150–180	●	○		
N.2.3	150–200	200–250	●	○				○		
N.3.1					170–180	240–260	●	○		
N.3.2	220–280	250–330	●	○	120–150	170–220	●	○		
N.3.3	220–280	250–330	●	○	120–150	170–220	●	○		
N.4.1					140–170	200–250	●			
S.1.1										
S.1.2										
S.2.1										
S.2.2										
S.2.3										
S.3.1					80–100	●	○			
S.3.2										
S.3.3										
H.1.1										
H.1.2										
H.1.3										
H.1.4										
H.2.1										
H.3.1										
O.1.1					220–280	300–400	●	○		
O.1.2					140–170	200–240	●	○		
O.2.1					70–100	100–140	●	○		
O.2.2					70–100	100–140	●	○		
O.3.1										

Conditions de coupe – Programme standard version courte et longue

Index	$a_p \text{ max.} \times DC$	$\emptyset DC (\text{mm}) =$						$a_p \text{ max.} \times DC$	$\emptyset DC (\text{mm}) =$										
		2,5			3,0				4,0			5,0			6,0				
		a_e 0,1–0,2 $\times DC$	a_e 0,3–0,4 $\times DC$	a_e 0,6–1,0 $\times DC$	a_e 0,1–0,2 $\times DC$	a_e 0,3–0,4 $\times DC$	a_e 0,6–1,0 $\times DC$		a_e 0,1–0,2 $\times DC$	a_e 0,3–0,4 $\times DC$	a_e 0,6–1,0 $\times DC$	a_e 0,1–0,2 $\times DC$	a_e 0,3–0,4 $\times DC$	a_e 0,6–1,0 $\times DC$	a_e 0,1–0,2 $\times DC$	a_e 0,3–0,4 $\times DC$	a_e 0,6–1,0 $\times DC$		
P.1.1	1,0	0,5	0,017	0,011	0,008	0,024	0,016	0,012	1,5	1,0	0,033	0,022	0,016	0,041	0,027	0,020	0,054	0,035	0,026
P.1.2	1,0	0,5	0,017	0,011	0,008	0,024	0,016	0,012	1,5	1,0	0,033	0,022	0,016	0,043	0,028	0,021	0,054	0,035	0,026
P.1.3	1,0	0,5	0,017	0,011	0,008	0,024	0,016	0,012	1,5	1,0	0,033	0,022	0,016	0,043	0,028	0,021	0,054	0,035	0,026
P.1.4	1,0	0,5	0,017	0,011	0,008	0,024	0,016	0,012	1,5	1,0	0,033	0,022	0,016	0,043	0,028	0,021	0,054	0,035	0,026
P.1.5	1,0	0,5	0,017	0,011	0,008	0,024	0,016	0,012	1,5	1,0	0,033	0,022	0,016	0,043	0,028	0,021	0,054	0,035	0,026
P.2.1	1,0	0,5	0,017	0,011	0,008	0,024	0,016	0,012	1,5	1,0	0,033	0,022	0,016	0,043	0,028	0,021	0,054	0,035	0,026
P.2.2	1,0	0,5	0,014	0,009	0,007	0,020	0,013	0,010	1,5	1,0	0,027	0,018	0,013	0,036	0,024	0,018	0,045	0,029	0,022
P.2.3	1,0	0,5	0,014	0,009	0,007	0,020	0,013	0,010	1,5	1,0	0,027	0,018	0,013	0,036	0,024	0,018	0,045	0,029	0,022
P.2.4	1,0	0,5	0,014	0,009	0,007	0,020	0,013	0,010	1,5	1,0	0,027	0,018	0,013	0,036	0,024	0,018	0,045	0,029	0,022
P.3.1	1,0	0,5	0,017	0,011	0,008	0,024	0,016	0,012	1,5	1,0	0,033	0,022	0,016	0,043	0,028	0,021	0,054	0,035	0,026
P.3.2	1,0	0,5	0,017	0,011	0,008	0,024	0,016	0,012	1,5	1,0	0,033	0,022	0,016	0,043	0,028	0,021	0,054	0,035	0,026
P.3.3	1,0	0,5	0,017	0,011	0,008	0,024	0,016	0,012	1,5	1,0	0,033	0,022	0,016	0,043	0,028	0,021	0,054	0,035	0,026
P.4.1	1,0	0,5	0,011	0,007	0,005	0,016	0,011	0,008	1,5	1,0	0,022	0,014	0,011	0,029	0,019	0,014	0,036	0,023	0,017
P.4.2	1,0	0,5	0,011	0,007	0,005	0,016	0,011	0,008	1,5	1,0	0,022	0,014	0,011	0,029	0,019	0,014	0,036	0,023	0,017
M.1.1	1,0	0,5	0,011	0,007	0,005	0,016	0,011	0,008	1,5	1,0	0,022	0,014	0,011	0,029	0,019	0,014	0,036	0,023	0,017
M.2.1	1,0	0,5	0,011	0,007	0,005	0,016	0,011	0,008	1,5	1,0	0,022	0,014	0,011	0,029	0,019	0,014	0,036	0,023	0,017
M.3.1	1,0	0,5	0,011	0,007	0,005	0,016	0,011	0,008	1,5	1,0	0,022	0,014	0,011	0,029	0,019	0,014	0,036	0,023	0,017
K.1.1	1,0	0,5	0,020	0,013	0,010	0,029	0,019	0,014	1,5	1,0	0,039	0,026	0,019	0,052	0,034	0,025	0,064	0,042	0,031
K.1.2	1,0	0,5	0,017	0,011	0,008	0,025	0,016	0,012	1,5	1,0	0,034	0,022	0,016	0,044	0,029	0,022	0,055	0,036	0,027
K.2.1	1,0	0,5	0,017	0,011	0,008	0,025	0,016	0,012	1,5	1,0	0,034	0,022	0,016	0,044	0,029	0,022	0,055	0,036	0,027
K.2.2	1,0	0,5	0,017	0,011	0,008	0,025	0,016	0,012	1,5	1,0	0,034	0,022	0,016	0,044	0,029	0,022	0,055	0,036	0,027
K.3.1	1,0	0,5	0,017	0,011	0,008	0,025	0,016	0,012	1,5	1,0	0,034	0,022	0,016	0,044	0,029	0,022	0,055	0,036	0,027
K.3.2	1,0	0,5	0,017	0,011	0,008	0,025	0,016	0,012	1,5	1,0	0,034	0,022	0,016	0,044	0,029	0,022	0,055	0,036	0,027
N.1.1	1,0	0,5	0,028	0,018	0,013	0,040	0,027	0,020	1,5	1,0	0,055	0,036	0,027	0,072	0,047	0,035	0,090	0,059	0,043
N.1.2	1,0	0,5	0,028	0,018	0,013	0,040	0,027	0,020	1,5	1,0	0,055	0,036	0,027	0,072	0,047	0,035	0,090	0,059	0,043
N.2.1	1,0	0,5	0,028	0,018	0,013	0,040	0,027	0,020	1,5	1,0	0,055	0,036	0,027	0,072	0,047	0,035	0,090	0,059	0,043
N.2.2	1,0	0,5	0,028	0,018	0,013	0,040	0,027	0,020	1,5	1,0	0,055	0,036	0,027	0,072	0,047	0,035	0,090	0,059	0,043
N.2.3	1,0	0,5	0,028	0,018	0,013	0,040	0,027	0,020	1,5	1,0	0,055	0,036	0,027	0,072	0,047	0,035	0,090	0,059	0,043
N.3.1	1,0	0,5	0,019	0,012	0,009	0,028	0,018	0,013	1,5	1,0	0,038	0,025	0,018	0,050	0,032	0,024	0,061	0,040	0,030
N.3.2	1,0	0,5	0,019	0,012	0,009	0,028	0,018	0,013	1,5	1,0	0,038	0,025	0,018	0,050	0,032	0,024	0,061	0,040	0,030
N.3.3	1,0	0,5	0,019	0,012	0,009	0,028	0,018	0,013	1,5	1,0	0,038	0,025	0,018	0,050	0,032	0,024	0,061	0,040	0,030
N.4.1	1,0	0,5	0,026	0,017	0,012	0,038	0,025	0,018	1,5	1,0	0,051	0,033	0,025	0,067	0,044	0,033	0,083	0,054	0,040
S.1.1	0,7	0,3	0,014	0,009	0,007	0,020	0,013	0,010	1,0	1,0	0,027	0,018	0,013	0,036	0,024	0,018	0,045	0,029	0,022
S.1.2	0,7	0,3	0,014	0,009	0,007	0,020	0,013	0,010	1,0	1,0	0,027	0,018	0,013	0,036	0,024	0,018	0,045	0,029	0,022
S.2.1	0,7	0,3	0,015	0,010	0,007	0,022	0,014	0,011	1,0	1,0	0,030	0,020	0,014	0,039	0,026	0,019	0,049	0,032	0,024
S.2.2	0,7	0,3	0,014	0,009	0,007	0,020	0,013	0,010	1,0	1,0	0,027	0,018	0,013	0,036	0,024	0,018	0,045	0,029	0,022
S.2.3	0,7	0,3	0,015	0,010	0,007	0,022	0,014	0,011	1,0	1,0	0,030	0,020	0,014	0,039	0,026	0,019	0,049	0,032	0,024
S.3.1	0,7	0,3	0,017	0,011	0,008	0,024	0,016	0,012	1,0	1,0	0,033	0,022	0,016	0,043	0,028	0,021	0,054	0,035	0,026
S.3.2	0,7	0,3	0,018	0,012	0,009	0,026	0,017	0,013	1,0	1,0	0,035	0,023	0,017	0,046	0,030	0,023	0,058	0,038	0,028
S.3.3	0,7	0,3	0,018	0,012	0,009	0,026	0,017	0,013	1,0	1,0	0,035	0,023	0,017	0,046	0,030	0,023	0,058	0,038	0,028
H.1.1	0,5*		0,019**			0,027**			1,0		0,037**			0,049**			0,061**		
H.1.2	0,5*		0,017**			0,025**			1,0		0,034**			0,045**			0,056**		
H.1.3	0,5*		0,015**			0,022**			1,0		0,030**			0,040**			0,050**		
H.1.4	0,5*		0,013**			0,020**			1,0		0,026**			0,035**			0,043**		
H.2.1	0,5*		0,021**			0,030**			1,0		0,041**			0,054**			0,067**		
H.3.1	0,5*		0,019**			0,027**			1,0		0,037**			0,049**			0,061**		
O.1.1	1,0	0,5	0,044	0,029	0,021	0,064	0,042	0,031	1,5	1,0	0,086	0,057	0,042	0,114	0,074	0,055	0,141	0,092	0,068
O.1.2	1,0	0,5	0,040	0,026	0,019	0,058	0,038	0,028	1,5	1,1	0,078	0,051	0,038	0,103	0,068	0,050	0,128	0,084	0,062
O.2.1	1,0	0,5	0,019	0,012	0,009	0,028	0,018	0,013	1,5	1,2	0,038	0,025	0,018	0,050	0,032	0,024	0,061	0,040	0,030
O.2.2	1,0	0,5	0,019	0,012	0,009	0,028	0,018	0,013	1,5	1,3	0,038	0,025	0,018	0,050	0,032	0,024	0,061	0,040	0,030
O.3.1	1,0	0,5																	

$a_e : 0,2\text{--}0,3 \text{ mm}$	$a_e : 0,2\text{--}0,3 \text{ mm}$	$a_e : 0,2\text{--}0,3 \text{ mm}$	$\emptyset \text{ DC (mm)} =$ $f_z (\text{mm/dt})$	$a_e : 0,2\text{--}0,3 \text{ mm}$			
0,110***	0,130***	0,150***	0,170***	0,190***	0,210***	0,230***	

1 Angle de ramping et de plongée hélicoïdale = 3°

 Avances recommandées pour fraises toriques et hémisphériques → **Page 486**

Conditions de coupe – Programme standard version extra longue

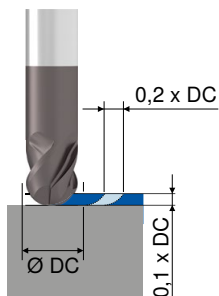
Index	$a_p \text{max.} \times DC$	$\emptyset DC (\text{mm}) =$				$a_p \text{max.} \times DC$	$\emptyset DC (\text{mm}) =$																
		2,5		3,0			4,0				5,0		6,0				8,0		10,0				
		a_e 0,1-0,2 $\times DC$	a_e 0,3-0,4 $\times DC$	a_e 0,1-0,2 $\times DC$	a_e 0,3-0,4 $\times DC$		a_e 0,1-0,2 $\times DC$	a_e 0,3-0,4 $\times DC$															
$f_z (\text{mm}/\text{dt})$		$f_z (\text{mm}/\text{dt})$																					
P.1.1	0,6	0,013	0,009	0,024	0,016	1,0	0,033	0,021	0,052	0,034	0,049	0,032	0,070	0,040	0,080	0,050	0,090	0,060					
P.1.2	0,6	0,013	0,009	0,024	0,016	1,0	0,033	0,021	0,041	0,027	0,049	0,032	0,070	0,040	0,080	0,050	0,090	0,060					
P.1.3	0,6	0,013	0,009	0,024	0,016	1,0	0,033	0,021	0,041	0,027	0,049	0,032	0,070	0,040	0,080	0,050	0,090	0,060					
P.1.4	0,6	0,013	0,009	0,024	0,016	1,0	0,033	0,021	0,041	0,027	0,049	0,032	0,070	0,040	0,080	0,050	0,090	0,060					
P.1.5	0,6	0,013	0,009	0,024	0,016	1,0	0,033	0,021	0,041	0,027	0,049	0,032	0,070	0,040	0,080	0,050	0,090	0,060					
P.2.1	0,6	0,013	0,009	0,024	0,016	1,0	0,033	0,021	0,041	0,027	0,049	0,032	0,070	0,040	0,080	0,050	0,090	0,060					
P.2.2	0,6	0,011	0,007	0,020	0,013	1,0	0,027	0,018	0,034	0,022	0,041	0,027	0,050	0,040	0,070	0,040	0,080	0,050					
P.2.3	0,6	0,011	0,007	0,020	0,013	1,0	0,027	0,018	0,034	0,022	0,041	0,027	0,050	0,040	0,070	0,040	0,080	0,050					
P.2.4	0,6	0,011	0,007	0,020	0,013	1,0	0,027	0,018	0,034	0,022	0,041	0,027	0,050	0,040	0,070	0,040	0,080	0,050					
P.3.1	0,6	0,013	0,009	0,024	0,016	1,0	0,033	0,021	0,041	0,027	0,049	0,032	0,070	0,040	0,080	0,050	0,090	0,060					
P.3.2	0,6	0,013	0,009	0,024	0,016	1,0	0,033	0,021	0,041	0,027	0,049	0,032	0,070	0,040	0,080	0,050	0,090	0,060					
P.3.3	0,6	0,013	0,009	0,024	0,016	1,0	0,033	0,021	0,041	0,027	0,049	0,032	0,070	0,040	0,080	0,050	0,090	0,060					
P.4.1	0,6	0,009	0,006	0,016	0,011	1,0	0,022	0,014	0,027	0,018	0,033	0,021	0,040	0,030	0,050	0,040	0,060	0,040					
P.4.2	0,6	0,009	0,006	0,016	0,011	1,0	0,022	0,014	0,027	0,018	0,033	0,021	0,040	0,030	0,050	0,040	0,060	0,040					
M.1.1	0,6	0,009	0,006	0,016	0,011	1,0	0,022	0,014	0,027	0,018	0,033	0,021	0,040	0,030	0,050	0,040	0,060	0,040					
M.2.1	0,6	0,009	0,006	0,016	0,011	1,0	0,022	0,014	0,027	0,018	0,033	0,021	0,040	0,030	0,050	0,040	0,060	0,040					
M.3.1	0,6	0,009	0,006	0,016	0,011	1,0	0,022	0,014	0,027	0,018	0,033	0,021	0,040	0,030	0,050	0,040	0,060	0,040					
K.1.1	0,6	0,015	0,010	0,029	0,019	1,0	0,039	0,025	0,048	0,032	0,058	0,038	0,080	0,050	0,100	0,060	0,110	0,070					
K.1.2	0,6	0,013	0,009	0,025	0,016	1,0	0,033	0,022	0,042	0,027	0,050	0,033	0,070	0,040	0,080	0,060	0,090	0,060					
K.2.1	0,6	0,013	0,009	0,025	0,016	1,0	0,033	0,022	0,042	0,027	0,050	0,033	0,070	0,040	0,080	0,060	0,090	0,060					
K.2.2	0,6	0,013	0,009	0,025	0,016	1,0	0,033	0,022	0,042	0,027	0,050	0,033	0,070	0,040	0,080	0,060	0,090	0,060					
K.3.1	0,6	0,013	0,009	0,025	0,016	1,0	0,033	0,022	0,042	0,027	0,050	0,033	0,070	0,040	0,080	0,060	0,090	0,060					
K.3.2	0,6	0,013	0,009	0,025	0,016	1,0	0,033	0,022	0,042	0,027	0,050	0,033	0,070	0,040	0,080	0,060	0,090	0,060					
N.1.1	0,6	0,022	0,014	0,041	0,027	1,0	0,054	0,035	0,068	0,044	0,081	0,053	0,110	0,070	0,140	0,090	0,150	0,100					
N.1.2	0,6	0,022	0,014	0,041	0,027	1,0	0,054	0,035	0,068	0,044	0,081	0,053	0,110	0,070	0,140	0,090	0,150	0,100					
N.2.1	0,6	0,022	0,014	0,041	0,027	1,0	0,054	0,035	0,068	0,044	0,081	0,053	0,110	0,070	0,140	0,090	0,150	0,100					
N.2.2	0,6	0,022	0,014	0,041	0,027	1,0	0,054	0,035	0,068	0,044	0,081	0,053	0,110	0,070	0,140	0,090	0,150	0,100					
N.2.3	0,6	0,022	0,014	0,041	0,027	1,0	0,054	0,035	0,068	0,044	0,081	0,053	0,110	0,070	0,140	0,090	0,150	0,100					
N.3.1	0,6	0,015	0,010	0,028	0,018	1,0	0,037	0,024	0,046	0,030	0,056	0,037	0,070	0,050	0,090	0,060	0,100	0,070					
N.3.2	0,6	0,015	0,010	0,028	0,018	1,0	0,037	0,024	0,046	0,030	0,056	0,037	0,070	0,050	0,090	0,060	0,100	0,070					
N.3.3	0,6	0,015	0,010	0,028	0,018	1,0	0,037	0,024	0,046	0,030	0,056	0,037	0,070	0,050	0,090	0,060	0,100	0,070					
N.4.1	0,6	0,020	0,013	0,038	0,025	1,0	0,050	0,033	0,063	0,041	0,076	0,049	0,100	0,070	0,130	0,080	0,140	0,090					
S.1.1	0,3	0,011	0,007	0,020	0,013	0,5	0,027	0,018	0,034	0,022	0,041	0,027	0,050	0,040	0,070	0,040	0,080	0,050					
S.1.2	0,3	0,011	0,007	0,020	0,013	0,5	0,027	0,018	0,034	0,022	0,041	0,027	0,050	0,040	0,070	0,040	0,080	0,050					
S.2.1	0,3	0,012	0,008	0,022	0,014	0,5	0,029	0,019	0,037	0,024	0,044	0,029	0,060	0,040	0,070	0,050	0,080	0,050					
S.2.2	0,3	0,011	0,007	0,020	0,013	0,5	0,027	0,018	0,034	0,022	0,041	0,027	0,050	0,040	0,070	0,050	0,080	0,050					
S.2.3	0,3	0,012	0,008	0,022	0,014	0,5	0,029	0,019	0,037	0,024	0,044	0,029	0,060	0,040	0,070	0,050	0,080	0,050					
S.3.1	0,3	0,013	0,009	0,024	0,016	0,5	0,033	0,021	0,041	0,027	0,049	0,032	0,070	0,040	0,080	0,050	0,090	0,060					
S.3.2	0,3	0,014	0,009	0,026	0,017	0,5	0,035	0,023	0,044	0,029	0,052	0,034	0,070	0,050	0,090	0,060	0,100	0,060					
S.3.3	0,3	0,014	0,009	0,026	0,017	0,5	0,035	0,023	0,044	0,029	0,052	0,034	0,070	0,050	0,090	0,060	0,100	0,060					
H.1.1	0,3*	0,012**		0,022**		0,5*	0,029**		0,037**		0,044**		0,060**		0,070**		0,080**						
H.1.2	0,3*	0,011**		0,020**		0,5*	0,027**		0,034**		0,041**		0,050**		0,070**		0,080**						
H.1.3	0,3*	0,010**		0,018**		0,5*	0,024**		0,030**		0,036**		0,050**		0,060**		0,070**						
H.1.4	0,3*	0,008**		0,016**		0,5*	0,021**		0,026**		0,031**		0,040**		0,050**		0,060**						
H.2.1	0,3*	0,013**		0,024**		0,5*	0,033**		0,041**		0,049**		0,070**		0,080**		0,090**						
H.3.1	0,3*	0,012**		0,022**		0,5*	0,029**		0,037**		0,044**		0,060**		0,070**		0,080**						
O.1.1	0,6	0,034	0,022	0,064	0,042	1,0	0,085	0,056	0,107	0,070	0,128	0,084	0,170	0,110	0,210	0,140	0,230	0,150					
O.1.2	0,6	0,031	0,020	0,058	0,038	1,0	0,077	0,051	0,097	0,063	0,116	0,076	0,160	0,100	0,190	0,130	0,210	0,140					
O.2.1	0,6	0,015	0,010	0,028	0,018	1,0	0,037	0,024	0,046	0,0													

Index	\emptyset DC (mm) =							
	14,0		16,0		18,0		20,0–25,0	
	a_e 0,1–0,2 x DC	a_e 0,3–0,4 x DC						
f_z (mm/dt)								
P.1.1	0,100	0,060	0,110	0,070	0,120	0,080	0,140	0,090
P.1.2	0,100	0,060	0,110	0,070	0,120	0,080	0,140	0,090
P.1.3	0,100	0,060	0,110	0,070	0,120	0,080	0,140	0,090
P.1.4	0,100	0,060	0,110	0,070	0,120	0,080	0,140	0,090
P.1.5	0,100	0,060	0,110	0,070	0,120	0,080	0,140	0,090
P.2.1	0,100	0,060	0,110	0,070	0,120	0,080	0,140	0,090
P.2.2	0,080	0,050	0,090	0,060	0,100	0,070	0,110	0,080
P.2.3	0,080	0,050	0,090	0,060	0,100	0,070	0,110	0,080
P.2.4	0,080	0,050	0,090	0,060	0,100	0,070	0,110	0,080
P.3.1	0,100	0,060	0,110	0,070	0,120	0,080	0,140	0,090
P.3.2	0,100	0,060	0,110	0,070	0,120	0,080	0,140	0,090
P.3.3	0,100	0,060	0,110	0,070	0,120	0,080	0,140	0,090
P.4.1	0,070	0,040	0,070	0,050	0,080	0,050	0,090	0,060
P.4.2	0,070	0,040	0,070	0,050	0,080	0,050	0,090	0,060
M.1.1	0,070	0,040	0,070	0,050	0,080	0,050	0,090	0,060
M.2.1	0,070	0,040	0,070	0,050	0,080	0,050	0,090	0,060
M.3.1	0,070	0,040	0,070	0,050	0,080	0,050	0,090	0,060
K.1.1	0,120	0,080	0,130	0,090	0,150	0,100	0,160	0,110
K.1.2	0,100	0,070	0,110	0,070	0,130	0,080	0,140	0,090
K.2.1	0,100	0,070	0,110	0,070	0,130	0,080	0,140	0,090
K.2.2	0,100	0,070	0,110	0,070	0,130	0,080	0,140	0,090
K.3.1	0,100	0,070	0,110	0,070	0,130	0,080	0,140	0,090
K.3.2	0,100	0,070	0,110	0,070	0,130	0,080	0,140	0,090
N.1.1	0,160	0,110	0,180	0,120	0,200	0,130	0,230	0,150
N.1.2	0,160	0,110	0,180	0,120	0,200	0,130	0,230	0,150
N.2.1	0,160	0,110	0,180	0,120	0,200	0,130	0,230	0,150
N.2.2	0,160	0,110	0,180	0,120	0,200	0,130	0,230	0,150
N.2.3	0,160	0,110	0,180	0,120	0,200	0,130	0,230	0,150
N.3.1	0,110	0,070	0,130	0,080	0,140	0,090	0,160	0,100
N.3.2	0,110	0,070	0,130	0,080	0,140	0,090	0,160	0,100
N.3.3	0,110	0,070	0,130	0,080	0,140	0,090	0,160	0,100
N.4.1	0,150	0,100	0,170	0,110	0,190	0,120	0,210	0,140
S.1.1	0,080	0,050	0,090	0,060	0,100	0,070	0,110	0,080
S.1.2	0,080	0,050	0,090	0,060	0,100	0,070	0,110	0,080
S.2.1	0,090	0,060	0,100	0,070	0,110	0,070	0,120	0,080
S.2.2	0,080	0,050	0,090	0,060	0,100	0,070	0,110	0,080
S.2.3	0,090	0,060	0,100	0,070	0,110	0,070	0,120	0,080
S.3.1	0,100	0,060	0,110	0,070	0,120	0,080	0,140	0,090
S.3.2	0,110	0,070	0,120	0,080	0,130	0,090	0,150	0,100
S.3.3	0,110	0,070	0,120	0,080	0,130	0,090	0,150	0,100
H.1.1	0,090**		0,100**		0,110**		0,120**	
H.1.2	0,080**		0,090**		0,100**		0,110**	
H.1.3	0,070**		0,080**		0,090**		0,100**	
H.1.4	0,060**		0,070**		0,080**		0,090**	
H.2.1	0,100**		0,110**		0,120**		0,140**	
H.3.1	0,090**		0,100**		0,110**		0,120**	
O.1.1	0,260	0,170	0,290	0,190	0,320	0,210	0,360	0,230
O.1.2	0,230	0,150	0,260	0,170	0,290	0,190	0,330	0,210
O.2.1	0,110	0,070	0,130	0,080	0,140	0,090	0,160	0,100
O.2.2	0,110	0,070	0,130	0,080	0,140	0,090	0,160	0,100
O.3.1	0,110	0,070	0,130	0,080	0,140	0,090	0,160	0,100

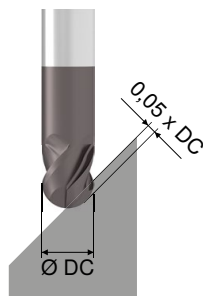
\emptyset DC (mm) =				
14,0		16,0		18,0
a_e 0,2–0,3 mm		a_e 0,2–0,3 mm		a_e 0,2–0,3 mm
f_z (mm/dt)				
0,170***		0,190***		0,210***
				0,230***

Valeurs indicatives d'avance à la dent pour l'usinage des aciers, fontes et non ferreux avec des fraises toriques ou hémisphériques.

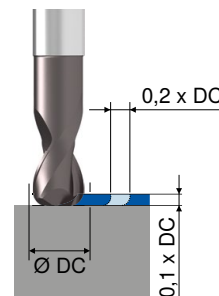
Fraises hémisphériques



Fraises hémisphériques et toriques



Fraises toriques



$\varnothing \text{ DC}$ mm	f_z mm	f_z mm	f_z mm
2	0,015	0,010	0,010
3	0,030	0,020	0,015
4	0,040	0,030	0,020
5	0,060	0,050	0,030
6	0,070	0,060	0,050
8	0,100	0,080	0,070
10	0,120	0,100	0,080
12	0,150	0,120	0,100
16	0,180	0,150	0,120
18	0,200	0,180	0,140
20	0,220	0,200	0,150

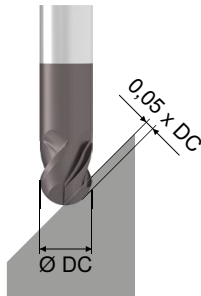


Pour des outils non revêtus, veuillez réduire l'avance de 10 à 20%.

Valeurs indicatives d'avance à la dent pour l'usinage des aciers pré-traités et traités avec les fraises toriques ou hémisphériques revêtues Ti 1000.

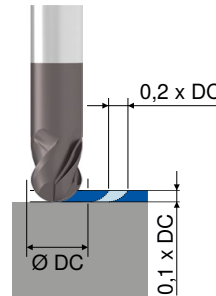
Fraises hémisphériques et toriques

Dureté = 40–60 HRC
 $V_c = 80\text{--}120 \text{ m/min}$



Fraises hémisphériques et toriques

Dureté = 40–60 HRC
 $V_c = 80\text{--}120 \text{ m/min}$



$\varnothing \text{ DC}$ mm	f_z mm	f_z mm
2	0,005	0,005
3	0,015	0,010
4	0,030	0,015
5	0,050	0,020
6	0,060	0,030
8	0,070	0,035
10	0,080	0,040
12	0,080	0,050
16	0,100	0,080

Fraisage trochoïdal

Le fraisage trochoïdal permet la réalisation de gros volumes copeaux sur des machines de faible puissance.

En fonction de la résistance du matériau à usiner la largeur fraisée variera de 5 à 20% du diamètre d'outil. Les forces de coupe générées avec cette méthode sont plus faibles. Étant donné que le processus de fraisage trochoïdal implique un usage périphérique de la fraise, les forces qui se produisent sont plus faibles

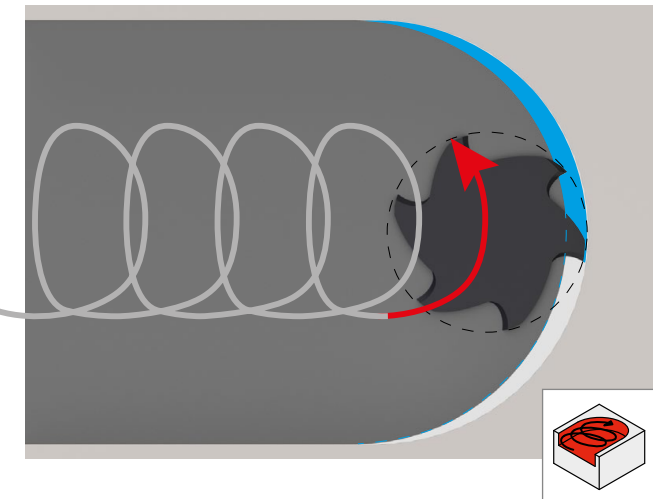
Lors du fraisage trochoïdal de rainures, le diamètre de la fraise ne doit pas dépasser 70% de la largeur de rainure à effectuer.

Exemple : Rainure de 20 mm x 70 % = 14 mm

Une fraise avec un diamètre de Ø 14 mm serait un outil adapté.

Avantages/profits

- ▲ Usure d'outil moindre et équilibrée
- ▲ Réduction des temps de cycle
- ▲ Utilisation complète de l'arête de coupe
- ▲ Réduction des forces de coupe



La majeure partie des logiciels de CFAO proposent une application pour le rainurage trochoïdal, pour lequel vous trouverez ci-dessous nos préconisations :

Matériau	Profondeur de passe (a_p)	Pénétration radiale	Avance	V_c Facteur de correction
			Facteur de correction	
Aciers	2xDC	0,05xD	3,5	1,6
	2xDC	0,10xD	2,5	1,3
Aciers inoxydables	2xDC	0,05xD	3,5	1,4
	2xDC	0,10xD	2,5	1,2
Fontes	2xDC	0,05xD	3,5	1,6
	2xDC	0,10xD	2,5	1,3
Métaux non ferreux	2xDC	0,05xD	3,5	1,8
	2xDC	0,10xD	2,5	1,4
	2xDC	0,20xD	1,5	1,2
Superalliages	2xDC	0,05xD	2,5	1,4
	2xDC	0,10xD	2,0	1,2
Matières trempées	2xDC	0,02xD	2,5	1,5
	2xDC	0,05xD	2,0	1,3

14



Ces paramètres sont à appliquer si les conditions de stabilité de la pièce, de son montage et plus généralement de l'environnement de la machine sont suffisantes.

Conseils techniques

Correction de l'avance

Lorsque les outils ne peuvent être utilisés avec les vitesses de rotation recommandées figurant sur les tableaux, il est absolument nécessaire d'ajuster l'avance de table proportionnellement à la vitesse de rotation.

Exemple:

Paramètres de coupe recommandés dans le tableau $n = 50.000 \text{ tr/min}$ et $v_f 1.000 \text{ mm/min}$,
Rotation maximale de la broche machine = 40.000 1/min .

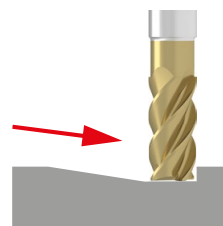
Ajustement des paramètres comme suit :

$$\begin{aligned} 40.000 \text{ tr/min} / 50.000 \text{ tr/min} * 100 &= \text{correspond à } 80\% \\ 1000 \text{ mm/min} * 80\% &= 800 \text{ mm/min} \end{aligned}$$

L'avance à utiliser dans ce cas = **800 mm/min**.

Plongée en ramping avec des fraises en carbure monobloc

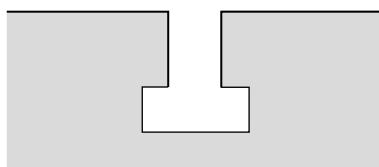
L'angle de ramping pour les fraises 2 tailles en carbure monobloc doit être compris entre 2° à 10° suivant l'exécution. Un chanfrein de protection ou un rayon de pointe sont avantageux.



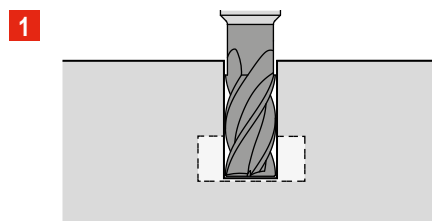
Recommandations d'angle de plongée hélicoïdale pour fraises carbure monobloc :

- | | |
|--|--------------------------|
| ▲ Angle de plongée avec 3 dents ou moins | → 6° – 10° |
| ▲ Angle de plongée pour 4 dents | → 3° – 6° |
| ▲ Angle de plongée pour 5 dents | → 2° – 3° |
| ▲ Angle de plongée pour plus de 5 dents | → non adapté |

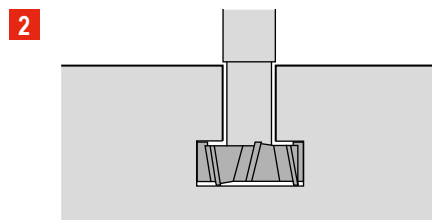
Réalisation d'une rainure en T



Pour réaliser une rainure en T avec une fraise pour rainures en T, veuillez suivre les recommandations suivantes



Réaliser une première rainure en laissant 0,5mm de surépaisseur au fond.
Le fond étant la dimension finie de la rainure en T.
La rainure supérieure doit être réalisée dans sa dimension finale lors de cette opération.



Enfin, vous pouvez réaliser la rainure avec la fraise pour rainures en T
Lors de l'entrée et la sortie de la matière, veuillez réduire l'avance de 50%

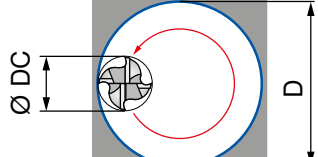
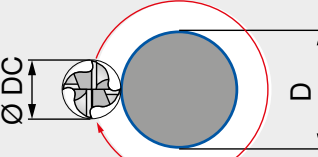
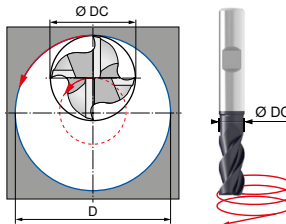
Formules générales de fraisage

Désignation	Abréviation	Unité	Formule	Exemple	
Nombre de tours	n	min ⁻¹	$n = \frac{v_c \times 1000}{DC \times \pi}$	$v_c = 25 \text{ m/min}$ $DC = 20 \text{ mm}$	$n = \frac{25 \times 1000}{20 \times \pi} = 398 \text{ min}^{-1}$
Vitesse de coupe	v_c	m/min	$v_c = \frac{DC \times \pi \times n}{1000}$	$n = 400 \text{ min}^{-1}$ $DC = 20 \text{ mm}$	$v_c = \frac{20 \times \pi \times 400}{1000} = 25 \text{ m/min}$
Avance à la dent	f_z	mm	$f_z = \frac{v_f}{ZEFP \times n}$	$v_f = 320 \text{ mm/min.}$ $n = 400 \text{ min}^{-1}$ $ZEFP = 4$	$f_z = \frac{320}{4 \times 400} = 0,2 \text{ mm}$
Avance par tour	f	mm/tr	$f = f_z \times ZEFP$	$f_z = 0,2 \text{ mm}$ $ZEFP = 4$	$f = 0,2 \times 4 = 0,8 \text{ mm}$
Vitesse d'avance	v_f	mm/min.	$v_f = f_z \times ZEFP \times n$	$f_z = 0,2 \text{ mm}$ $ZEFP = 4$ $n = 400 \text{ min}^{-1}$	$v_f = 0,2 \times 4 \times 400 = 320 \text{ mm/min.}$
Epaisseur moyenne de copeau	h_m	mm	$h_m = f_z \times \sqrt{\frac{a_e}{DC}}$	$f_z = 0,2 \text{ mm}$ $a_e = 0,3 \text{ mm}$ $DC = 20 \text{ mm}$	$h_m = 0,2 \times \sqrt{\frac{0,3}{20}} = 0,024 \text{ mm}$

ZEFP = Nombre de dents

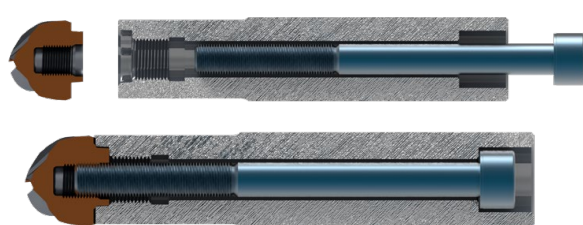
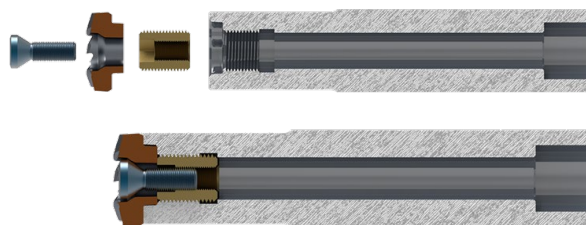
 a_e = Largeur fraisée

Calcul de la vitesse d'avance centre fraise (V_{fm})

Désignation	Abréviation	Unité	Formule	Exemple
Interpolation interne	v_{fm}	mm/min.	$v_{fm} = \frac{v_f \times (D - DC)}{D}$	
Interpolation externe	v_{fm}	mm/min.	$v_{fm} = \frac{v_f \times (D + DC)}{D}$	
Interpolation hélicoïdale	v_{fm}	mm/min.	$v_{fm} = \frac{n \times f_z \times ZEFP \times (D - D_c)}{D}$	

Conseils de montage

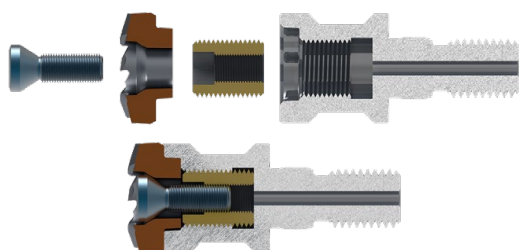
Illustrations relatives au montage sur porte-outils MultiLock cylindriques



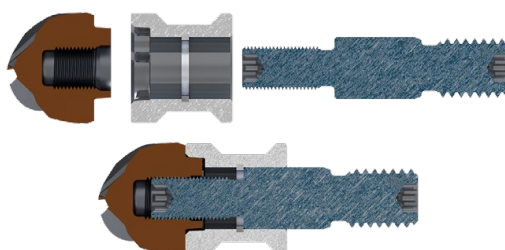
- ▲ L'adaptateur à queue cylindrique a une utilisation universelle. Les fraises MultiLock grande avance ou toriques seront serrées par l'avant à l'aide d'une douille filetée et d'une vis de serrage. Les fraises hémisphériques et à ébavurer seront serrées par l'arrière grâce à une vis insérée dans la queue cylindrique.

Illustrations relatives au montage sur porte-outils MultiLock à queue filetée

Type A



Type B



- ▲ L'adaptateur à visser de type A doit être utilisé pour les fraises MultiLock à grande avance et les fraises toriques. Celles-ci sont serrées par l'avant à l'aide d'une douille filetée et d'une vis de serrage.

- ▲ L'adaptateur à visser type B est construit en deux parties et est destiné aux fraises MultiLock hémisphériques et à ébavurer. Celles-ci sont serrées par l'arrière à l'aide d'une vis de serrage. Cette vis se fixe également dans le porte-outil.



Des instructions de montage détaillées sont jointes aux porte-outils respectifs. Vous pouvez également les trouver dans notre e-shop

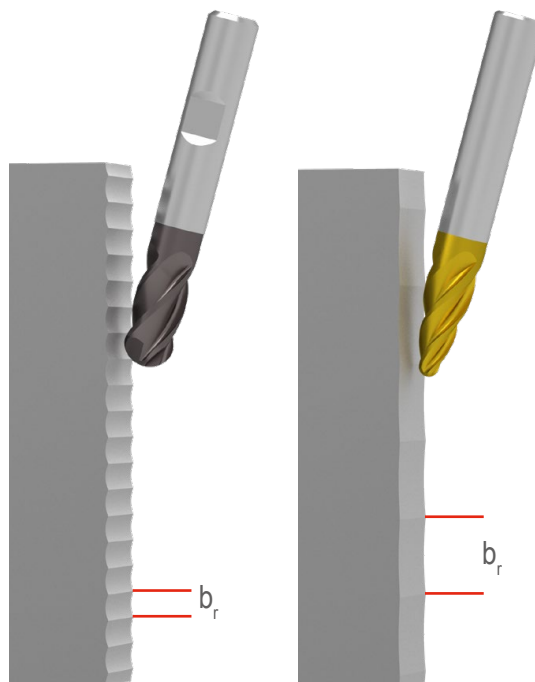
Comparatif - Fraises hémisphériques vs Fraises 3D Finish

3D Finish

- ▲ Le rayon ne dépend pas du diamètre de la fraise
- ▲ De grands pas sont possibles grâce à ces grands rayons
- ▲ La combinaison petit diamètre de fraise grand rayon de courbure est rendue possible, exemple : Fraise diamètre 16 mm , rayon 1500 mm

Fraises hémisphériques

- ▲ Le rayon dépend du diamètre de la fraise
- ▲ Seuls de petits pas sont possibles à cause de la valeur de ces rayons
- ▲ La valeur du rayon est limitée, exemple : Fraise diamètre 16 mm, rayon 8 mm



Formules de calcul :

$$b_r = 2 \times \sqrt{R_{th} \times (r \times 2 - R_{th})}$$

$$R_{th} = r - \sqrt{\frac{(r \times 2)^2 - b_r^2}{4}}$$

$$R_a \approx 0,1 \times R_{th}$$

$$R_{th} \approx R_a / 0,1$$

Résultat

Etat de surface exigé = R_a 0,4

$$R_{th} = 0,4 / 0,1 \approx 4 \mu\text{m} = 0,004 \text{ mm}$$

14

Fraises hémisphériques

Diamètre 16 mm, Rayon 8 mm

$$b_r = 2 \times \sqrt{0,004 \times (8 \times 2 - 0,004)}$$

$$\mathbf{b_r = 0,51 \text{ mm}}$$



Légende

R_{th} = Hauteur de relief théorique

r = Rayon

R_a = Rugosité Moyenne Arithmétique

b_r = Profondeur de passe / saut de passe

3D Finish

Diamètre 16 mm, Rayon 1500 mm

$$b_r = 2 \times \sqrt{0,004 \times (1500 \times 2 - 0,004)}$$

$$\mathbf{b_r = 6,93 \text{ mm}}$$



Conseils d'application



3D Finish – Fraises en forme de tonneau

- ▲ Convient aux parois faciles d'accès



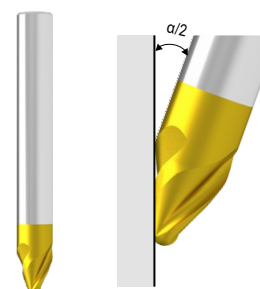
3D Finish – Fraise de forme ovale

- ▲ Convient aux parois facilement accessibles
- ▲ Ne convient pas aux cavités profondes



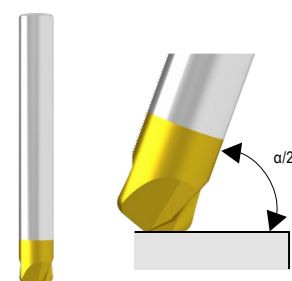
3D Finish – Fraises de forme conique

- ▲ Pour les pièces présentant des murs importants ou des cavités profondes
- ▲ $\alpha/2$ est l'angle d'inclinaison permettant la réalisation de surfaces planes
- ▲ Si la surface à un angle correspondant à $\alpha/2$, alors elle peut être usinée sur une machine 3 axes



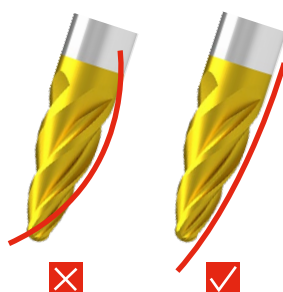
3D Finish – Fraises de forme conique

- ▲ Pour la génération de surfaces planes
- ▲ $\alpha/2$ est l'angle d'inclinaison permettant la réalisation de surfaces planes
- ▲ Si la surface à un angle correspondant à $\alpha/2$, alors elle peut être usinée sur une machine 3 axes



3D Finish – Fraise de forme lenticulaire

- ▲ Pour les surfaces convexes

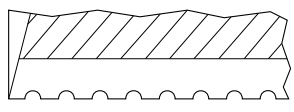
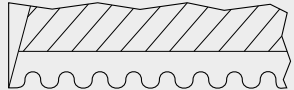


Important :

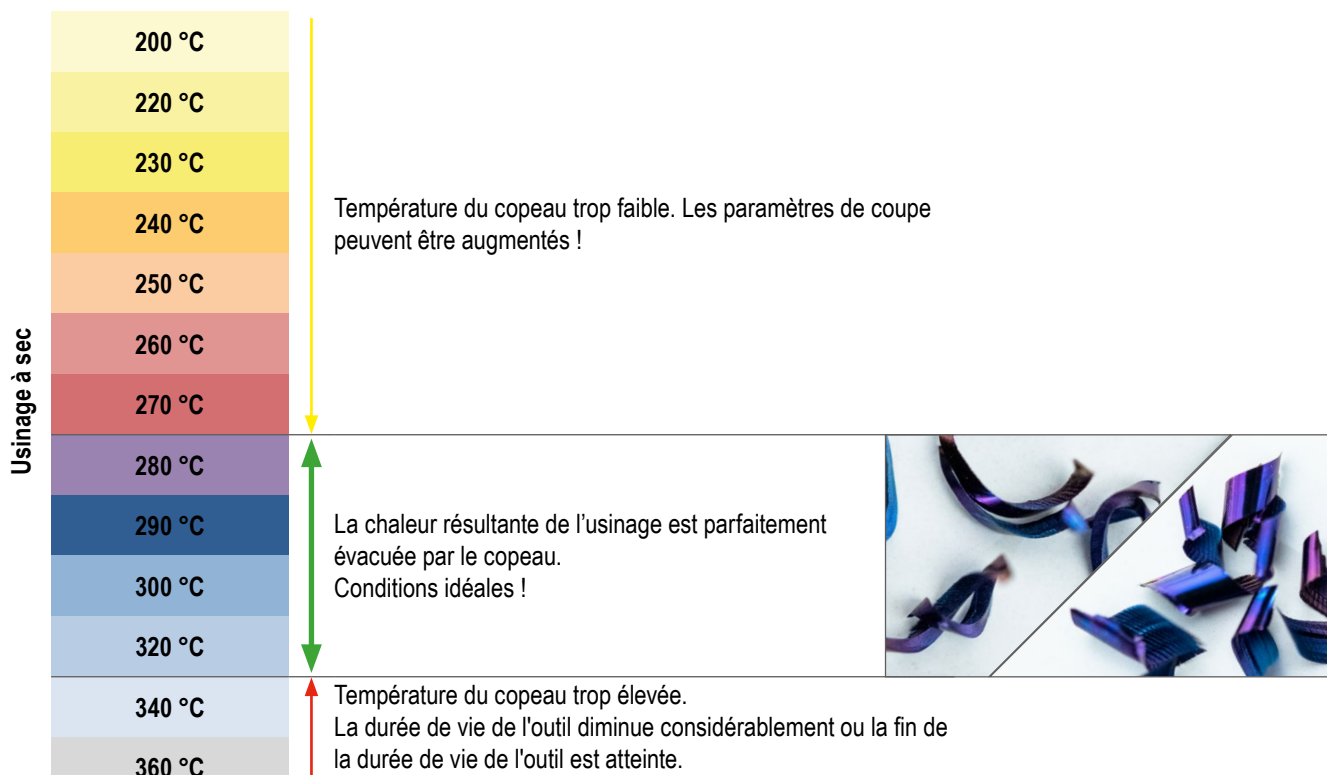
Vérifiez que le rayon de courbure de la pièce soit supérieur à celui de l'outil.

Vérifiez que votre système de programmation soit compatible à l'utilisation des fraises 3D Finish.

Différences entre les types de fraises

Désignation	Type	Forme de l'arête de coupe	Description d'utilisation	Forme de copeaux
Fraises d'ébauche moyenne	WF		<ul style="list-style-type: none"> ▲ Volume copeau important, même sur des machines à faible puissance ▲ Un état de surface généralement suffisant ▲ Efforts de coupe réduits par rapport aux fraises à arête lisse ▲ La finition n'est pas nécessaire 	
	NF			
	HF			
Fraise d'ébauche	WR		<ul style="list-style-type: none"> ▲ Produit des copeaux très fins et courts ▲ Résoudre d'éventuels problèmes dans des conditions instables ▲ Volume copeau important, même sur des machines à plus faible puissance ▲ Convient parfaitement au rainurage ▲ Finition supplémentaire nécessaire ▲ Avances importantes possibles 	
	NR			
	HR			

Échelle des températures pour l'usinage à sec des aciers



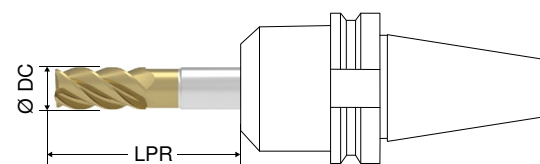
Conseil pour la sélection des outils

L'angle de coupe et l'angle d'hélice ainsi que le revêtement constituent les facteurs décisifs pour le domaine d'application.

Caractéristiques	Avantages
Les petits angles d'hélice sont adaptés	<ul style="list-style-type: none"> ▲ Pour matières très résistantes ▲ Pour un volume copeaux important ▲ Pour le rainurage, le fraisage de poches et pour l'ébauche
Les grands angles d'hélice sont adaptés	<ul style="list-style-type: none"> ▲ Pour aciers tendres, métaux non ferreux etc ▲ Pour un volume copeaux moins important ▲ Pour la finition
Les petits angles de coupe conviennent	<ul style="list-style-type: none"> ▲ Pour matières dures et cassantes ▲ Pour un volume copeaux important ▲ Pour l'ébauche
Les grands angles de coupe conviennent	<ul style="list-style-type: none"> ▲ Coupe douce ▲ Faibles variations des efforts de coupe ▲ Bonne stabilité d'arête ▲ Faible tendance à l'écaillage ▲ Coupe douce ▲ Faibles efforts de coupe ▲ Bonne évacuation des copeaux ▲ Faible tendance au collage

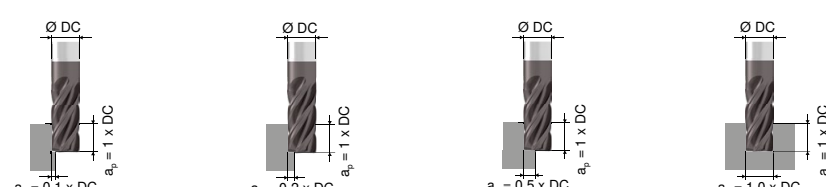
Facteurs de correction pour fraises en carbure monobloc

Facteurs de correction de la vitesse de coupe (V_c) et de l'avance (f_z) en fonction du porte à faux (LPR)



Version	1,5 x DC	4 x DC	8 x DC	12 x DC	> 12 x DC
Porte à faux (LPR)	1,0	1,0	0,9	0,85	0,7
Facteur pour V_c (Kf V_c)	1,2	1,0	0,8	0,7	0,5

Facteurs de correction de la vitesse de coupe (V_c) et de l'avance (f_z) en fonction de la profondeur de passe (a_p) et de la largeur fraisée (a_e)



Facteur pour V_c (Kf V_c)	1,3	1,1	1,0	0,85
Facteur pour f_z (Kf f_z)	1,5	1,3	1,0	0,8

Formules pour le copiage

Rugosité théorique (R_{th}) en fonction du pas (b_r)

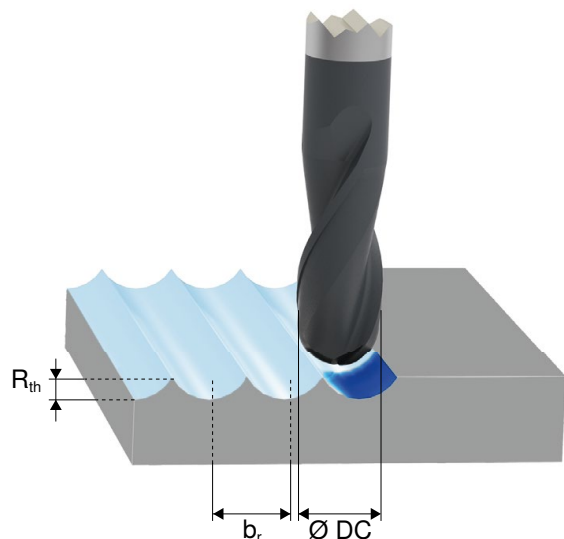
$$R_{th} = r - \sqrt{\frac{(r \times 2)^2 - b_r^2}{4}}$$

$$b_r = 2 \times \sqrt{R_{th} \times (r \times 2 - R_{th})}$$

$$R_{th} \approx R_a / 0,1$$

$$R_a \approx 0,1 \times R_{th}$$

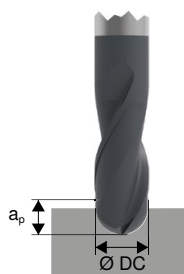
Afin d'obtenir un meilleur état de surface par copiage, le pas b_r doit être adaptée au diamètre DC de la fraise.



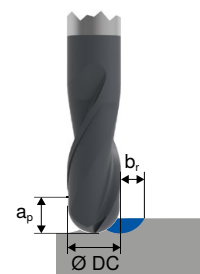
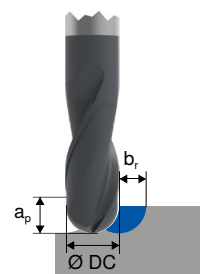
Facteurs de multiplication du nombre de tours (Kf n) pour le copiage

$$n = \frac{v_c \times 1000}{DC \times \pi} \times Kf n$$

Rainurage avec fraise hémisphérique



Contournage avec fraise hémisphérique



Ébauche

Profondeur de passe a_p

0,5 x DC

Profondeur de passe / saut de passe b_r

1 x DC

> 0,5 x DC

0,2 x DC – 0,5 x DC

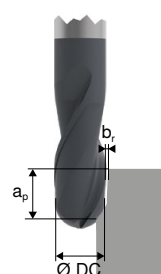
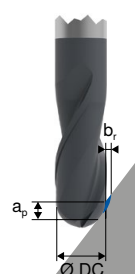
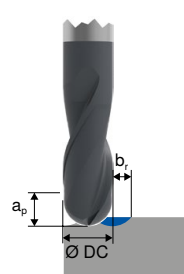
Facteur de multiplication du nombre de tours (Kf n)

1

1

1,1

Contournage avec fraise hémisphérique



Finition

Profondeur de passe a_p

< 0,2 x DC

0,2 x DC – 0,5 x DC

> 0,5 x DC

Profondeur de passe / saut de passe b_r

< 0,2 x DC

< 0,2 x DC

< 0,2 x DC

Facteur de multiplication du nombre de tours (Kf n)

2

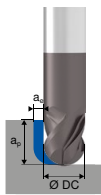
1,3

1

Formules pour le copiage

Dans le contournage ou le coplage avec des fraises hémisphériques et une profondeur de coupe de $a_p \geq 0,5 \times DC$ et $a_e = 0,2$ à $0,5 \times DC$ le nombre de tours peut être déterminé moyennant la formule suivante :

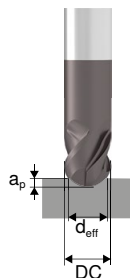
$$n = \frac{v_c \times 1000}{DC \times \pi}$$



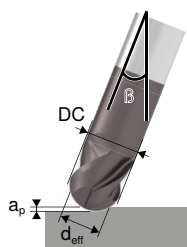
Dans le contournage ou le coplage avec des fraises hémisphériques, le diamètre effectif de la fraise $d_{eff.}$ est à déterminer moyennant la formule suivante :

Fraises hémisphériques

$$d_{eff.} = 2 \times \sqrt{a_p \times (DC - a_p)}$$

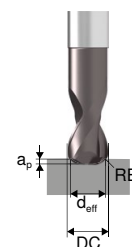


$$d_{eff.} = DC \times \sin\left(\beta \pm \arccos\left(\frac{DC - 2a_p}{DC}\right)\right)$$



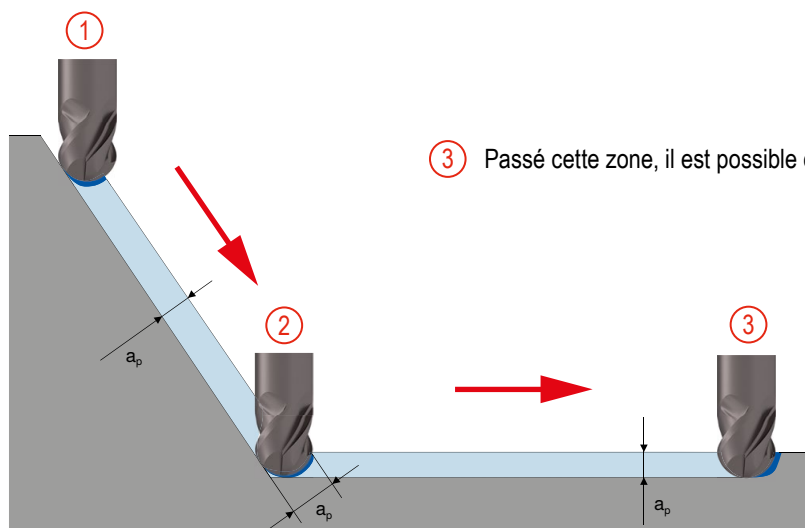
Fraises toriques

$$d_{eff.} = (DC - 2RE) + 2 \times \sqrt{a_p \times (2RE - a_p)}$$



Conseils pour le fraisage en plongée et longitudinal

- ① Dans le contournage ou l'usinage de parois, des avances élevées sont possibles puisque l'engagement de la fraise dans la matière est relativement faible (zone bleue).
- ② Augmentation considérable de la profondeur de passe en arrivant au fond de la rainure. Dans cette zone, l'avance doit être impérativement réduite, sinon les vibrations, la déviation latérale et le broutage peuvent provoquer la rupture de l'outil. La réduction de l'avance dépend de l'angle de coplage et de la profondeur de passe.



Règle:
Plus l'angle est aigu, plus l'avance doit être réduite.



Dans le fraisage en plongée et en contournage, l'avance doit être adaptée aux différentes positions de la fraise. Sinon, l'arête peut être endommagée dû à la surcharge (vibrations, déviation latérale ou broutage).

Description des types d'outils

CCR AL	Circular Cutter – Aluminium et non-ferreux	NR	Pour les aciers, les fontes ainsi que les aciers inoxydables – Avec brise-copeaux d'ébauche
CCR H	Circular Cutter – Aciers trempés	NTR	Pour les aciers, les fontes ainsi que les aciers inoxydables – Avec brise-copeaux trapézoïdal (faibles marques sur les pièces)
CCR Ti	Circular Cutter – Titane et superalliages	SC UNI	Soft Cut – Universel
CCR UNI	Circular Cutter – Universel	SC NR	Soft Cut – avec brise-copeaux d'ébauche
CCR VA	Circular Cutter – Aciers inoxydables	W	Pour les non ferreux (Aluminium, cuivre, laiton)
H	Pour les aciers à haute résistance et les matériaux trempés	WF	Pour les non ferreux (Aluminium, cuivre, laiton) – Avec brise-copeaux fin
HR	Pour les aciers à haute résistance et les matériaux trempés – avec brise-copeaux d'ébauche	WR	Pour les non ferreux (Aluminium, cuivre, laiton) – Avec brise-copeaux d'ébauche
N	Pour les aciers, les fontes ainsi que les aciers inoxydables		

MonsterMill

FRP	Fiber Cutter – usinage de composites	NCR	Nickel Alloy Cutter – Alliages base Nickel
FRP CR	Fiber Cutter – usinage de composites avec zone de compression sur la longueur totale	PCR ALU	Plunging Cutter – Aluminium et non ferreux
HCR	Hard Cutter – Usinage au dur	PCR UNI	Plunging Cutter – Universel
ICR	Inox Cutter – Aciers inoxydables	SCR	Steel Cutter – Aciers
MCR	Multi Cutter – Universel	TCR	Titanium Cutter – Alliages de titane

Fraises-limes

KEL	Forme conique rayonnée (Forme L)	SPG	Forme en ogive pointue (Forme G)
KSJ	Forme conique 60° (Forme J)	TRE	Forme de goutte (Forme E)
KSK	Forme conique 90° (Forme K)	WKN	Forme conique inversée sans coupe au centre (Forme N)
KUD	Forme sphérique (Forme D)	WRC	Forme hémisphérique (Forme C)
RBF	Forme en ogive rayonnée (Forme F)	ZYA	Forme cylindrique sans coupe au centre (Forme A)
SKM	Forme conique pointue (Forme M)		

Revêtements

APA72S	<ul style="list-style-type: none"> ▲ Revêtement AlCrN multicouche ▲ HV_{0,05} = 3500 ▲ Coefficient de friction (dans l'acier) = 0,35 ▲ Température maximale d'utilisation : 1100 °C 	Ti28	<ul style="list-style-type: none"> ▲ Revêtement Ti multicouche ▲ HV_{0,05} = 2800 ▲ Coefficient de friction (dans l'acier) = 0,1 ▲ Température maximale d'utilisation : 500 °C
APB72S	<ul style="list-style-type: none"> ▲ Revêtement spécial nanocouche ▲ HV_{0,05} = 3300 ▲ Coefficient de friction (dans l'acier) = 0,6 ▲ Température maximale d'utilisation : 900 °C 	Ti40	<ul style="list-style-type: none"> ▲ Revêtement Ti mono-couche ▲ HV_{0,05} = 4000 ▲ Température maximale d'utilisation: 900 °C
APX72S	<ul style="list-style-type: none"> ▲ Revêtement spécial nanocouche ▲ HV_{0,05} = 3800 ▲ Coefficient de friction (dans l'acier) = 0,4 ▲ Température maximale d'utilisation: 1100 °C 	Ti400	<ul style="list-style-type: none"> ▲ Revêtement Ti multicouche ▲ HV_{0,05} = 3600 ▲ Coefficient de friction (dans l'acier) = 0,2 ▲ Température maximale d'utilisation : 400 °C
CTC5240	<ul style="list-style-type: none"> ▲ Revêtement TiB2 ▲ HIT 43 GPa ~ 4300 HV_{0,05} ▲ Coeff. de friction dans l'acier 0,3 ▲ Température maximale d'utilisation 1000 °C 	Ti1000	<ul style="list-style-type: none"> ▲ Revêtement Ti mono-couche ▲ HV_{0,05} = 3500 ▲ Coefficient de friction (dans l'acier) = 0,3 ▲ Température maximale d'utilisation : 800 °C
CTPX225	<ul style="list-style-type: none"> ▲ Revêtement AlTiN ▲ HIT 35 GPa ~ 3500 HV_{0,05} ▲ Coeff. de friction dans l'acier 0,5 ▲ Température maximale d'utilisation 1000 °C 	Ti1001	<ul style="list-style-type: none"> ▲ Revêtement Ti mono-couche ▲ HV_{0,05} = 3500 ▲ Coefficient de friction (dans l'acier) = 0,6 ▲ Température maximale d'utilisation: 800 °C
DIAMOND	<ul style="list-style-type: none"> ▲ Revêtement diamant mono-couche ▲ HV_{0,025} = 10000 ▲ Coefficient de friction (dans l'acier) = 0,2 ▲ Température maximale d'utilisation : 700 °C 	Ti1050	<ul style="list-style-type: none"> ▲ Revêtement Ti multicouche ▲ HV_{0,005} = 3300 ▲ Coefficient de friction (dans l'acier) = 0,3-0,5 ▲ Température maximale d'utilisation: 900 °C
DLC	<ul style="list-style-type: none"> ▲ Revêtement de carbone amorphe, semblable au diamant ▲ Spécialement conçu pour l'usinage des non-ferreux ▲ Température maximale d'utilisation: 400 °C 	Ti1100	<ul style="list-style-type: none"> ▲ Revêtement Ti multicouche ▲ HV_{0,05} = 3200 ▲ Coefficient de friction (dans l'acier) = 0,35 ▲ Température maximale d'utilisation: 1100 °C
DPA52S	<ul style="list-style-type: none"> ▲ Revêtement spécial Nanocouche ▲ HV_{0,05} = 3400 ▲ Coefficient de friction (dans l'acier) = 0,5 ▲ Température maximale d'utilisation : 1100 °C 	Ti1200	<ul style="list-style-type: none"> ▲ Revêtement Ti nanocouche ▲ Température maximale d'utilisation: 1100 - 1200 °C
DPA72S	<ul style="list-style-type: none"> ▲ Revêtement spécial nanocouche ▲ HV_{0,05} = 3200 ▲ Coefficient de friction (dans l'acier) = 0,5 ▲ Température maximale d'utilisation: 1000 °C 	Ti1500	<ul style="list-style-type: none"> ▲ Revêtement Ti nanocouche ▲ HV_{0,05} = 3400 ▲ Coefficient de friction (dans l'acier) = 0,7 ▲ Température maximale d'utilisation: 900 °C
DPB72S	<ul style="list-style-type: none"> ▲ Revêtement multicouche TiAlCrN ▲ HV_{0,05} = 3200 ▲ Coefficient de friction (dans l'acier) = 0,35 ▲ Température maximale d'utilisation : 1000 °C 	Ti2000	<ul style="list-style-type: none"> ▲ Revêtement Ti multicouche ▲ HV_{0,05} = 3500 ▲ Coefficient de friction (dans l'acier) = 0,5 ▲ Température maximale d'utilisation: 900 °C
DPX22S	<ul style="list-style-type: none"> ▲ Ti SiCN revêtement multi-couches ▲ Dureté : H_T [GPa] 38 ▲ Température maximale d'utilisation : 1100 °C 		
DPX52S	<ul style="list-style-type: none"> ▲ Revêtement TiSiN multicouche ▲ HV_{0,05} = 3500 ▲ Coefficient de friction (dans l'acier) = 0,4 ▲ Température maximale d'utilisation : 1000 °C 		
DPX62S	<ul style="list-style-type: none"> ▲ Revêtement TiAlN multicouche ▲ HV_{0,05} = 3800 ▲ Coefficient de friction (dans l'acier) = 0,4 ▲ Température maximale d'utilisation : 800 °C 		
DPX62U	<ul style="list-style-type: none"> ▲ Revêtement spécial TiAlN ▲ HV_{0,05} = 4000 ▲ Coefficient de friction (dans l'acier) = 0,5 ▲ Température maximale d'utilisation : 1150 °C 		
DPX72S	<ul style="list-style-type: none"> ▲ Revêtement spécial multicouche ▲ HV_{0,05} = 3400 ▲ Coefficient de friction (dans l'acier) = 0,6 ▲ Température maximale d'utilisation : 900 °C 		

